

NADZOR RADIOAKTIVNOSTI V OKOLICI NUKLEARNE ELEKTRARNE KRŠKO

Poročilo za leto 2021

Institut "Jožef Stefan", Ljubljana, Slovenija

Institut Ruđer Bošković, Zagreb, Hrvaška

Nuklearna elektrarna Krško, Krško, Slovenija

Zavod za varstvo pri delu, Ljubljana, Slovenija

MEIS storitve za okolje, Mali Vrh pri Šmarju, Slovenija

VSEBINA

Nadzor radioaktivnosti v okolici Nuklearne elektrarne Krško – Poročilo za leto 2021, IJS-DP-13760

Izvajalci meritev	P-3 / P-82
Letno poročilo	P-5 / P-82
Uvod in upravne podlage	P-7 / P-82
Povzetek	P-11 / P-82
Izvleček	P-19 / P-82
Neodvisni nadzor pooblaščenih izvajalcev	P-73 / P-82

POGLAVJE

Poročilo

Povzetek

Izvleček in angleški prevod izvlečka

Neodvisni nadzor pooblaščenih izvajalcev

AVTORJI

mag. Denis Glavič - Cindro
doc. dr. Benjamin Zorko

doc. dr. Benjamin Zorko

doc. dr. Benjamin Zorko

mag. Denis Glavič – Cindro

Ovrednotenje meritev radioaktivnosti in ocena učinkov izpustov NEK na okolje ISBN 978-961-264-227-3

Odgovorni za izdajo: doc. dr. Benjamin Zorko

Urednika: doc. dr. Benjamin Zorko in mag. Denis Glavič - Cindro

Recenzija: prof. dr. Alojz Kodre, mag. Matjaž Koželj, mag. Borut Breznik

Lektoriral: prof. dr. Alojz Kodre

Monografija je lektorirana po mednarodnem standardu ISO 80000.

POGLAVJE

Radioaktivnost v reki Savi

Radioaktivnost v pitni in podzemni vodi

Radioaktivnost v usedih

Zrak

Zunanje sevanje

Radionuklidi v hrani

AVTORJI

doc. dr. Benjamin Zorko, IJS

dr. Jasmina Kožar Logar, IJS

dr. Toni Petrovič, IJS

dr. Marko Giacomelli, ZVD

dr. Matjaž Korun, IJS

prof. dr. Katarina Vogel Mikuš, BF

Merski rezultati – nadzor radioaktivnosti v okolici Nuklearne elektrarne Krško – Poročilo za leto 2021, IJS-DP-13759

Imisijske meritve (meritve v okolju jedrske elektrarne)

Obratovalni nadzor radioaktivnosti v okolici NEK Tabele merskih rezultatov	M-1 / M-128
Obratovalni nadzor radioaktivnosti v okolici NEK zaradi HE Brežice Tabele merskih rezultatov	M-89 / M-128
<i>Tabele interkomparacijskih rezultatov</i> Mednarodne primerjalne meritve izvajalcev	M-103 / M-128

Poročilo *Merski rezultati – nadzor radioaktivnosti v okolici Nuklearne elektrarne Krško – Poročilo za leto 2021, IJS-DP-13759* je na priloženi zgoščenki.

Vzdrževanje pripravljenosti izrednega monitoringa radioaktivnosti

Redna letna obhoda okolice NEK v letu 2021 sta bila izvedena 14. 6.–16. 6. 2021 in 6. 9.–8. 9. 2021.

Poročilo o obhodu mobilnih enot ZVD in IJS v okolici NEK – vzdrževanje pripravljenosti za primer izrednega dogodka, LMSAR-51/2021-MG, 15. 7. 2021

ROMENEK 2/21, Mobilni radiološki laboratorij, Poročilo o meritvah po programu vzdrževanja pripravljenosti za primer izrednega dogodka v NEK, IJS-DP-13623, oktober 2021

Obe poročili o vzdrževanju pripravljenosti za primer izrednega dogodka sta na priloženi zgoščenki.

NADZOR RADIOAKTIVNOSTI V OKOLICI NUKLEARNE ELEKTRARNE KRŠKO

Poročilo za leto 2021



Institut "Jožef Stefan", Ljubljana, Slovenija

Institut Ruđer Bošković, Zagreb, Hrvaška

Nuklearna elektrarna Krško, Krško, Slovenija

Zavod za varstvo pri delu, Ljubljana, Slovenija

MEIS storitve za okolje, Mali Vrh pri Šmarju, Slovenija

NADZOR RADIOAKTIVNOSTI V OKOLICI NUKLEARNE ELEKTRARNE KRŠKO

Poročilo za leto 2021

Odgovorni za izdajo poročila: doc. dr. Benjamin Zorko

Koordinator za IJS: doc. dr. Benjamin Zorko

Koordinator za NEK: mag. Borut Breznik

Skrbnik za NEK: Aleš Volčanšek, univ. dipl. kem.

Izvajalci meritev in drugi sodelujoči

so navedeni na 3. strani v poročilu *Merski rezultati – nadzor radioaktivnosti v okolici Nuklearne elektrarne Krško – Poročilo za leto 2021, IJS-DP-13759*, ki je na priloženi zgoščenki.

Urednica: mag. Denis Glavič - Cindro

Lektoriral: prof. dr. Alojz Kodre;
poročilo (razen angleškega prevoda izvlečka) je lektorirano po mednarodnem standardu ISO 80000

Stavčni in računalniški prelom: mag. Denis Glavič - Cindro

Likovno in grafično uredila: mag. Denis Glavič - Cindro

Fotografije: doc. dr. Benjamin Zorko, mag. Denis Glavič - Cindro, arhiv NEK

Oprema in vezava: ABO grafika in Institut "Jožef Stefan"

Založil: Institut "Jožef Stefan"

Prva izdaja: marec 2022

Naročnik: NE Krško, Vrbina 12, SI-8270 Krško

Pogodba št.: Pogodba št. 3200014 (Z-8191605, Obratovalni monitoring radioaktivnosti v okolici NEK)
z dne 3. 2. 2020

Št. delovnega poročila: IJS-DP-13760

Redakcija je bila končana aprila 2022.

Vse pravice pridržane. Noben del poročila *Nadzor radioaktivnosti v okolici Nuklearne elektrarne Krško – Poročilo za leto 2021* ter obeh prilog k poročilu: *Ovrednotenje meritev radioaktivnosti in ocena učinkov izpustov NEK na okolje* in *Merski rezultati – nadzor radioaktivnosti v okolici Nuklearne elektrarne Krško – Poročilo za leto 2021, IJS-DP-13759* ne sme biti reproduciran, shranjen ali prepisan v kateri koli obliki oziroma na kateri koli način, bodisi elektronsko, mehansko, s fotokopiranjem, snemanjem ali kako drugače, brez predhodnega privoljenja Nuklearne elektrarne Krško ©. Avtorska dela so intelektualna last Instituta "Jožef Stefan".

Naklada: 56 izvodov



NASLOV:

Nadzor radioaktivnosti v okolici Nuklearne elektrarne Krško

IJS-DP-13760

april 2022

KLJUČNE BESEDE:

poročanje o rezultatih meritev, radioaktivno onesnaženje okolja, zračni in tekočinski radioaktivni izpusti, umetni in naravni radionuklidi, vsebnost radionuklidov, specifična aktivnost radionuklidov, površinske vode, podtalnica, vodovod, deževnica, talni in suhi used, zrak, aerosoli, zemlja, hrana, doze zunanjega sevanja, ocena efektivnih doz, razredčitveni faktor, referenčna oseba – posameznik iz prebivalstva, primerjalne meritve

KRATEK POVZETEK:

Sumarni rezultati meritev radioaktivnosti umetnih in naravnih radionuklidov v različnih nadzorovanih medijih in ekspozijskih prenosnih poteh so podani z ocenami efektivnih doz. Konzervativni oceni efektivne doze posameznika iz prebivalstva (referenčna oseba) zaradi emisij jedrske elektrarne dajeta v letu 2021 za atmosferske emisije *efektivno dozo* $1,6E-4$ mSv na leto, kar velja za ograjo NEK in okvirno tudi za razdaljo 500 m od osi reaktorja, ter $1,6 E-5$ mSv na leto za tekočinske emisije za referenčno osebo. V letu 2021 so bili tako vsi sevalni učinki NEK na posameznika iz prebivalstva v okolici ocenjeni na manj kot $1,8 E-4$ mSv na leto, kar je 0,35 % avtorizirane mejne letne doze na robu izključitvenega območja in dalje (0,05 mSv; vsota prispevkov po vseh prenosnih poteh). Iz meritev so bile ocenjene tudi izpostavitve naravnemu sevanju in prispevki zaradi splošne radioaktivne onesnaženosti okolja, ki so jo povzročile poskusne jedrske eksplozije in černobilska nesreča. ***Ocenjena vrednost sevalnih učinkov (letne efektivne doze) NEK na referenčno osebo – posameznika iz prebivalstva ob ograji NEK je približno 0,0076 % značilnega neizogibnega naravnega ozadja v okolici NEK. Ocena velja okvirno tudi na razdalji 500 m od osi reaktorja.***

TITLE:

Off-site radiological monitoring of the Krško Nuclear Power Plant

IJS-DP-13760

March 2022

KEYWORDS:

reporting measurement results, radioactive contamination of the environment, airborne and liquid radioactive effluents, man-made and natural occurring radionuclides, specific activities, surface waters, underground water, tap water, rainwater, dry and ground deposition, airborne radionuclides, soil, foodstuffs, external radiation doses, effective dose assessments, dilution factor, representative person, intercomparison measurements

SHORT ABSTRACT:

Summarised results of radioactivity measurements of antropogenic and naturally occurring radionuclides are presented by different contamination media and exposure pathways in the form of assessed effective doses. Conservatively estimated effective dose received by representative person as the result of Krško NPP emissions in the year 2021 gives a value of the *effective dose* of $1.6 E-4$ mSv per year for atmospheric discharges at the Krško NPP fence (applicable approximately also at a distance of 500 m from the axis of the reactor) and $1.6 E-5$ mSv per year for liquid discharges received by adult representative person. Thus, in 2021, the radiation effects of the Krško NPP on the representative person in the immediate surroundings were estimated at less than $1.8 E-4$ mSv per year, representing 0.35 % of the authorized dose limit at the border of the Krško NPP exclusion area, set at 0,05 mSv; the sum of the contributions from all exposure pathways. From the measurements the exposure to natural radiation and general radioactive contamination due to nuclear test explosions and Chernobyl accident were assessed. ***The estimated sum of all radiation contributions (annual effective doses) from the Krško NPP to the representative person at the Krško NPP fence is 0.0076 % of the characteristic unavoidable natural background radiation in the vicinity of the Krško NPP. The estimate is valid approximately also at the distance of 500 m from the axis of the reactor.***



AVTORJI IN RECENZENTI POROČILA

	Ime in priimek	Datum in podpis
Povzetek in izvleček	doc. dr. Benjamin Zorko, IJS	
Neodvisni nadzor pooblaščenih izvajalcev	mag. Denis Glavič – Cindro, IJS	
Radioaktivnost v reki Savi	doc. dr. Benjamin Zorko, IJS	
Radioaktivnost v pitni in podzemni vodi	dr. Jasmina Kožar Logar, IJS	
Radioaktivnost v usedih	dr. Toni Petrovič, IJS	
Zrak	dr. Marko Giacomelli, ZVD	
Zunanje sevanje	dr. Matjaž Korun, IJS	
Radionuklidi v hrani	prof. dr. Katarina Vogel Mikuš, BF	
Recenzija	prof. dr. Alojz Kodre	
	mag. Matjaž Koželj	



IZVAJALCI MERITEV

INSTITUT "JOŽEF STEFAN" (IJS), LJUBLJANA

Koordinator projekta za IJS: doc. dr. Benjamin Zorko

Izvajalci na IJS:

Odsek za fiziko nizkih in srednjih energij (Odsek F2)

M. Centrih, dipl. inž. fiz., N. Čipanovska, mag. biol. biokem. fiziol., B. Črnič, mag. med. fiz.,
P. Gerjol, dipl. inž. teh. var., mag. D. Glavič - Cindro, S. Gobec, dr. M. Korun, dr. J. Kožar Logar,
dr. R. Krištof, dr. M. Nečemer, P. Prem, prof. biol., dr. T. Petrovič, K. Poiškruh, mag. med. fiz.,
R. Roš Opaškar, mag. B. Vodenik, doc. dr. B. Zorko

Odsek za znanosti o okolju (Odsek O2)

dr. L. Rovan, B. Svetek, inž. kem. tehnol., dr. M. Štok, Z. Trkov, inž. kem. tehnol.

ZAVOD ZA VARSTVO PRI DELU (ZVD), LJUBLJANA

Koordinator projekta za ZVD: dr. Gregor Omahen

Izvajalci na ZVD:

dr. M. Giacomelli, A. Ivanc, P. Jovanovič, inž. fiz., D. Konda, M. Levstek, dr. G. Omahen, L. Peršin,
M. Podvratnik, univ.dipl.fiz. in mag.med.fiz.

INSTITUT RUĐER BOŠKOVIĆ (IRB), ZAGREB

Koordinator projekta za IRB - ZIMO: dr. Željko Grahek

Izvajalci na IRB – Zavod za istraživanje mora i okoliša, Laboratorij za radioekologiju (IRB–ZIMO–LRE):

dr. I. Coha, dipl. inž., dr. Ž. Grahek, M. Ivković, mag. kem., G. Karanović, dipl. inž., T. Kardum,
dr. I. Tucaković, D. Žilić

Izvajalci na IRB – Laboratorij za mjerenje niskih radioaktivnosti – Zavod za eksperimentalnu fiziku:

dr. J. Barešić, mag. D. Borković, dr. I. Krajcar Bronić, dr. I. Lovrenčić Mikelić, A. Rajtarić, dr. A. Sironić

Izvajalci na IRB – Laboratorij za radijacijsku kemiju i dozimetriju – Zavod za kemiju materijala:

dr. Ž. Knežević, dr. M. Majer, dr. M. Nodilo, V. Trpulec

IZVAJALCI EMISIJSKIH MERITEV ZNOTRAJ OGRAJE NE KRŠKO NUKLEARNA ELEKTRARNA KRŠKO (NEK), KRŠKO

Nosilec projekta za NE Krško: mag. Borut Breznik

Izvajalci v NEK:

M. Simončič, univ. dipl. kem., M. Pavlin, dipl. str., M. Urbanč, D. Mešiček, B. Vene, kem. tehnik,
A. Volčanšek, univ. dipl. kem.

IZVAJALCI IZRAČUNOV RAZREDČITVENIH, DEPOZICIJSKIH TER KOEFICIENTOV SEVANJA IZ OBLAKA PO LAGRANGEVEM MODELU DELCEV, MEIS STORITVE ZA OKOLJE (MEIS), MALI VRH PRI ŠMARJU

Izvajalci v MEIS:

dr. P. Mlakar, dr. B. Grašič, dr. M. Z. Božnar





LETNO POROČILO

Po pogodbi št. 3200014 (Z-8191605) z dne 3. 2. 2020 z Nuklearno elektrarno Krško, Vrbina 12, SI-8270 Krško, obravnavamo v poročilu radiološko sliko v okolici NEK in širše. V ta namen v uvodu povzemamo ovrednotenja po posameznih sklopih, kot to zahteva *Pravilnik o monitoringu radioaktivnosti JV10* (Ur. l. RS 27/2018, 5. 5. 2018) [8]. Uvod je povzetek prispevkov iz drugega dela poročila - monografije *Ovrednotenje meritev radioaktivnosti in ocena učinkov izpustov NEK na okolje*, kjer so ocene doz in drugi parametri obravnavani podrobno. Za potrebe poročila pa v strnjeni obliki podajamo ugotovitve za leto 2021.

Odgovorni za izdajo:

doc. dr. Benjamin Zorko





UVOD IN PRAVNE PODLAGE

Namen ovrednotenja je celovit in neodvisen izračun doz direktnega in indirektnega učinka majhnih količin radioaktivnih snovi, ki jih v zrak in vodo med obratovanjem izpušča jedrska elektrarna Krško. Osnova za izvajanje obratovalnega nadzora je *Pravilnik o monitoringu radioaktivnosti JV10* (Ur. l. RS 27/18, 5. 5. 2018) [8]. Program obsega meritve v okolju jedrske elektrarne (priloga 4, preglednica 3 iz pravilnika JV10). Podroben program meritev je določen v *Tehnični specifikaciji za izvedbo storitve obratovalnega monitoringa radioaktivnosti v okolici NEK (pitne vode, zraka, hrane, reke Save, padavin, zemlje in sevanja v okolju skupaj z oceno doz prebivalstva) za leti 2020–2021 v Republiki Sloveniji*, NEK, TS št. TO.RZ, 16/2019, in dodatno v *Radiological Effluent Technical Specifications (RETS)*, NEK-RETS, Rev. 10, poglavje 3.12, strani 45–62.

Da bi zajeli vse učinke radioaktivnosti na prebivalstvo, meritve v okolici elektrarne obsegajo zunanje sevanje (sevanje radionuklidov v zraku, iz tal, kozmično sevanje ter sevanje neposredno iz elektrarne) in koncentracije aktivnosti oziroma specifične aktivnosti radioaktivnih snovi v zraku, hrani in vodi. Te snovi z vnosom v telo povzročijo notranje obsevanje. Koncentracije aktivnosti oziroma specifične aktivnosti radionuklidov v zraku, hrani in vodi se merijo v odvzetih vzorcih v laboratorijih zunaj vpliva na okolje, ki ga povzroča elektrarna. Za izračun doz so avtorji uporabili znanstveno potrjene modele in postopke. Ovrednotenje se nanaša na imisijske meritve v okolju ter povzetek programa emisijskih meritev. Za oceno obremenitve prebivalstva zaradi izpustov iz jedrskega objekta se uporablja referenčna oseba, ki predstavlja posameznika iz prebivalstva, ki prejemajo ali bi lahko prejeli najvišje doze. Za evalvacijo merskih podatkov in oceno doznih obremenitev so bili kot dopolnilni ali vzporedni podatki uporabljeni tudi:

- letno in mesečna poročila NEK o tekočinskih in zračnih emisijah v letu 2021;
- mesečni izračuni zračnih razredčitvenih faktorjev Agencije Republike Slovenije za okolje za okolico NEK v letu 2021;
- mesečni izračuni zračnih razredčitvenih in depozicijskih faktorjev ter koeficientov sevanja iz oblaka MEIS storitve za okolje, d. o. o., za okolico NEK v letu 2021;
- mesečna poročila o meritvah koncentracije H-3 v podtalnici na dodatnih lokacijah v okolici NEK (vrtine VOP-1/06, V 12/77 in V-7/77);
- mesečna poročila o meritvah savske vode, sedimentov in biote iz *Dodatnega programa nadzora radioaktivnosti v okolici NEK zaradi HE Brežice*;
- nekateri merski podatki iz *Programa nadzora radioaktivnosti v življenjskem okolju Republike Slovenije* in posebnih meritev IJS.

Učinek objektov, ki v okolje spuščajo radioaktivne snovi, nadziramo na dva načina. Na samem viru izpustov merimo emisije, to je sestavo radionuklidov in izpuščeno aktivnost, ter z modelom transporta snovi v okolju ocenjujemo dozne obremenitve posameznika iz prebivalstva (referenčna oseba) v okolici objektov. Po drugi strani pa z neposrednimi meritvami ugotavljamo vnos radioaktivnih snovi v okolje, kar omogoča neposredno oceno izpostavljenosti posameznika iz prebivalstva. Slednje meritve omogočajo tudi oceno izpostavljenosti posameznika iz prebivalstva naravnemu sevanju in vplivom širšega okolja, kot so bile jedrske eksplozije in černobilska nesreča.

Zunanje sevanje se meri z elektronskimi merilniki hitrosti doze, ki se uporabljajo pri sprotne spremljanju zunanjega sevanja (MFM-203), in s pasivnimi termoluminiscenčnimi dozimetri (TLD). Radioaktivnost v zraku se določa iz vzorcev, dobljenih s črpanjem zraka skozi aerosolne filtre in filtre, ki zadržijo jod iz zraka, ter iz vzorcev deževnice in suhega useda. Radioaktivnost v reki Savi, kamor se iztekajo tekočinski izpusti, se določa iz meritev vzorcev vode, sedimentov in rib, radioaktivnost podzemnih vod pa iz vzorcev podtalnice in vzorcev vodovodne vode iz zajetij in črpaljšč. Vzorci hrane, ki so pridelani v okolici elektrarne in v katerih se meri vsebnost radionuklidov, so izbrani tako, da se lahko oceni celotni prispevek radioaktivnosti hrane k dozi. Poleg tega se določa še vsebnost radionuklidov v zemlji.

Izvajalci meritev so bili Institut "Jožef Stefan" (IJS) in Zavod za varstvo pri delu (ZVD) iz Ljubljane ter Institut Ruđer Bošković (IRB) iz Zagreba, Republika Hrvaška. Emisijske meritve znotraj ograje Nuklearne elektrarne Krško so izvedli sodelavci NEK.



Institut "Jožef Stefan" (IJS) in Zavod za varstvo pri delu (ZVD) sta pooblaščenca za izvajanje merilnega nadzora radioaktivnosti na podlagi 159. člena Zakona o varstvu pred ionizirajočimi sevanji in jedrski varnosti (ZVISJV-1, Ur. l. RS, št. 76/17 in 26/19) ter 8. in 10. člena Pravilnika o monitoringu radioaktivnosti (JV10, Ur. l. RS, št. 27/18) s pooblastiloma 35400-3/2019/12 z dne 14. 1. 2020 (IJS) in 35400-1/2019/4 z dne 15. 2. 2019 (ZVD), ki ju je izdala Uprava Republike Slovenije za jedrsko varnost (URSJV) v soglasju z Upravo RS za varstvo pred sevanji (URSVS).

Institut "Ruđer Bošković" (IRB) je pooblaščen za izvajanje merilnega nadzora radioaktivnosti na podlagi 139. in 159. člena Zakona o varstvu pred ionizirajočimi sevanji in jedrski varnosti (ZVISJV-1, Ur. l. RS, št. 76/17 in 26/19) ter 8. in 10. člena Pravilnika o monitoringu radioaktivnosti (JV10, Ur. l. RS, št. 27/18) s pooblastilom 35400-12/2020/4 z dne 22. 5. 2020, ki ga je izdala URSJV v soglasju z URSVS.

Pravilnik o posebnih zahtevah varstva pred sevanji in načinu ocene doz (SV5) (Ur. l. RS, št. 47/18 z dne 21. 7. 2018) [12] zahteva, da morajo poročilo o ocenah doz za posamezne značilne in referenčne osebe izdelati pooblaščenca izvedenci varstva pred sevanji.

Uprava Republike Slovenije za varstvo pred sevanji je pooblastila za dajanje strokovnih mnenj, ki temeljijo na meritvah in/ali izračunih glede izdelave ocen varstva izpostavljenih delavcev pred sevanji, delovnih razmer izpostavljenih delavcev, obsegu izvajanja ukrepov varstva pred sevanji na opazovanih in nadzorovanih območjih, preverjanju učinkovitosti teh ukrepov, rednem umerjanju merilne opreme ter preverjanju uporabnosti zaščitne opreme na področju izpostavljenosti prebivalcev zaradi izvajanja sevalnih dejavnosti, naslednje sodelavce Instituta "Jožef Stefan" in Zavoda za varstvo pri delu:

- dr. Marka Giacomellija z odločbo 1864-15/2019-3 z dne 16. 10. 2019;
- mag. Denis Glavič - Cindro z odločbo 1864-25/2017-3 z dne 4. 12. 2017;
- mag. Matjaža Koželja z odločbo 1864-5/2018-4 z dne 16. 4. 2018;
- dr. Gregorja Omahna z odločbo 1864-6/2021-4 z dne 19. 7. 2021;
- mag. Matjaža Stepišnika z odločbo 1864-16/2017-3 z dne 2. 8. 2017 ter
- doc. dr. Benjamin Zorka z odločbo 1864-9/2018-5 z dne 1. 2. 2019.

Institut "Jožef Stefan" (IJS), Ljubljana, je z odločbo Uprave RS za varstvo pred sevanji (URSVS) št. 1864-2/2017-5 z dne 30. 3. 2017 na podlagi 30. člena Zakona o varstvu pred ionizirajočimi sevanji in jedrski varnosti (Ur. l. RS, št. 102/04 – ZVISJV-UPB2, Ur. l. RS št. 70/08 – ZVO-1B in Ur. l. RS št. 60/11 – ZVISJV-C) ter 11. člena Pravilnika o pooblašcanju izvajalcev strokovnih nalog s področja ionizirajočih sevanj (Ur. l. RS, št. 18/04) pooblaščen kot izvajalec dozimetrije za ugotavljanje izpostavljenosti zunanjemu obsevanju in dajanje strokovnih mnenj, ki temeljijo na meritvah in/ali izračunih na podlagi termoluminiscenčne dozimetrije sevanja gama, sevanja beta in rentgenske svetlobe. Pooblastilo je bilo na podlagi 46. člena ZVIJSV (Ur. l. RS 76/17, 26/19 in 172/21) in 3. člena Pravilnika o pooblašcanju izvajalcev strokovnih nalog s področja ionizirajočih sevanj (Ur. l. RS št. 39/18) podaljšano 29. 3. 2022 z odločbo št. 1864-572022-4.

Institut "Jožef Stefan" (IJS), Ljubljana, je s pooblastilom št. 1864-7/2017-3 z dne 21. 9. 2017, ki ga je izdala Uprava RS za varstvo pred sevanji (URSVS) na podlagi 27. člena Zakona o varstvu pred ionizirajočimi sevanji in jedrski varnosti (Ur. l. RS, št. 102/04, uradno prečiščeno besedilo, 70/08 – ZVO-1B, 60/11 in 74/15) ter 11. člena Pravilnika o pooblašcanju izvajalcev strokovnih nalog s področja ionizirajočih sevanj (Ur. l. RS, št. 18/04), pooblaščen kot izvedenec varstva pred sevanji za dajanje strokovnih mnenj, ki temeljijo na meritvah in/ali izračunih in za izvajanje nadzornih meritev na nadzorovanih in opazovanih območjih, pregledov virov sevanja in osebne varovalne opreme.

Institut "Jožef Stefan" (IJS), Ljubljana, je s pooblastilom št. 3571-3/2017/2 z dne 6. 3. 2017, ki ga je izdala Uprava RS za jedrsko varnost (URSJV) na podlagi 2. in 3. odstavka 58. člena Zakona o varstvu pred ionizirajočimi sevanji in jedrski varnosti (ZVIJSV, Ur. l. RS, št. 102/04, uradno prečiščeno besedilo, 70/08 – ZVO-1B, 60/11 in 74/15), pooblaščen za izvajanje del pooblaščenega izvedenca za sevalno in jedrsko varnost za vse dejavnosti, ki so določene v tabeli v pooblastilu. Pooblastilo je bilo na podlagi 2. in 3. odstavka 88. člena ZVIJSV (Ur. l. RS 76/17, 26/19 in 172/21) ter 4. člena Pravilnika o pooblašcanju izvedencih za sevalno in jedrsko varnost (Ur. l. RS št. 50/16 in 76/16) podaljšano 11. 3. 2022 z odločbo št. 3571-1/2022/2.



Institut "Jožef Stefan" ima izdelan sistem zagotovitve kakovosti. Sistem kakovosti Odseka za fiziko nizkih in srednjih energij (F-2), v okviru katerega delujejo Laboratorij za meritve radioaktivnosti, Laboratorij za termoluminiscenčno dozimetrijo, Ekološki laboratorij z mobilno enoto in Laboratorij za tekočinskoscintilacijsko spektrometrijo, je opisan v *Poslovniku kakovosti Odseka za fiziko nizkih in srednjih energij (F2-PK)*. Vsa dela, povezana z meritvami radioaktivnosti v okolici Nuklearne elektrarne Krško v okviru *Programa nadzora radioaktivnosti v okolici NE Krško*, potekajo v skladu z institutskim in odsečnim poslovnikom in po postopkih, na katere se odsečni poslovnik sklicuje. Laboratorij za meritve radioaktivnosti je akreditiran pri Slovenski akreditaciji za meritve sevalcev gama v trdnih in tekočih vzorcih, Laboratorij za termoluminiscenčno dozimetrijo za meritve doz s termoluminiscenčnimi dozimetri za uporabo v osebni in okoljski dozimetriji ter Ekološki laboratorij z mobilno enoto (ELME) za merjenje hitrosti doze s prenosnimi merilniki ionizirajočega sevanja, za neposredne meritve površinske kontaminacije s sevalci alfa, beta in z nizkoenergijskimi sevalci gama in za visokoločljivostno spektrometrijo gama v mobilnem radiološkem laboratoriju. Laboratorij za tekočinsko-scintilacijsko spektrometrijo je akreditiran za določanje tritija v vzorcih vode po direktni metodi in po metodi z elektrolitsko obogatitvijo, za določanje skupne aktivnosti sevalcev alfa in beta v vodnih vzorcih ter aktivnosti C-14 v tekočih, plinastih in trdnih vzorcih. Z akreditacijsko listino št. LP-022 jim Slovenska akreditacija priznava izpolnjevanje zahtev standarda SIST EN ISO/IEC 17025:2017 pri teh dejavnostih. Odsek za znanosti v okolju, v okviru katerega deluje Laboratorij za radiokemijo, ima ravno tako izdelan sistem kakovosti, ki je skladen z zahtevami standarda SIST EN ISO/IEC 17025:2017. Metode za določanje vsebnosti stroncija, tritija in C-14 v vzorcih iz okolja so od junija 2009 dalje akreditirane pri Slovenski akreditaciji pod zaporedno številko LP-090.

Na Institutu Ruđer Bošković ima Laboratorij za radioekologijo akreditacijo Hrvatske akreditacijske agencije (HAA) v skladu s standardom HRN EN ISO/IEC 17025:2017 pod zaporedno številko 1162 za določanje vsebnosti radionuklidov z visokoločljivostno spektrometrijo gama in vsebnosti Sr-89/Sr-90 po radiokemijski metodi v vzorcih iz okolja in proizvodih, vključno s hrano in pitno vodo ter za določanje tritija, skupne aktivnosti sevalcev alfa in beta ter Fe-55 v vodnih vzorcih. Od julija 2021 je laboratorij za meritve nizkih radioaktivnosti na Institutu Ruđer Bošković akreditiran pri HAA pod zaporedno številko 1667 za določanje specifične aktivnosti C-14 s tekočinskoscintilacijsko spektrometrijo v organskih in anorganskih materialih.

Zavod za varstvo pri delu ima delujoč sistem zagotovitve kakovosti, v katerega so vključene vse dejavnosti, povezane z meritvami v okviru *Programa nadzora radioaktivnosti v okolice NE Krško*. Laboratorij za merjenje specifičnih aktivnosti radionuklidov je akreditiran pri Slovenski akreditaciji za izvajanje visokoločljivostne spektrometrije gama v vzorcih aerosolov, padavin, zemlje, sedimentov in živil ter za določanje vsebnosti Sr-89 in Sr-90 v vzorcih iz okolja in živil. Z akreditacijsko listino št. LP-032 mu Slovenska akreditacija priznava izpolnjevanje zahtev standarda SIST EN ISO/IEC 17025:2017 pri teh dejavnostih.





POVZETEK

To poročilo podaja rezultate nadzora radioaktivnosti, ki so ga NEK kot zavezanec ter pooblaščen izvajalci nadzora radioaktivnosti (Institut "Jožef Stefan", Zavod za varstvo pri delu, Institut Ruđer Bošković in MEIS, d.o.o) opravili v letu 2021. Sumarni rezultati meritev radioaktivnosti umetnih in naravnih radionuklidov v različnih nadzorovanih medijih in ekspozijskih prenosnih poteh so podani z ocenami učinkovitih doz, ki so predstavljene v izvlečku v poglavju "*OCENA UČINKOV*" (tabeli D in E). Ocena letnih učinkovitih doz sledi metodologiji ICRP in IAEA [36], [37], [38] in je izdelana v skladu s slovensko zakonodajo. Ko seštejemo vrednosti za atmosferske in tekočinske izpuste, ugotovimo, da je učinek nadzorovanih izpustov iz NEK na prebivalstvo¹ (referenčne osebe za različne prenosne poti) znatno pod avtorizirano mejo 0,05 mSv (po vseh prenosnih poteh).

Če povzamemo izsledke poglavij v monografiji *Ovrednotenje meritev radioaktivnosti in ocena učinkov izpustov NEK na okolje*, lahko sklenemo, da prebivalci, ki živijo na krško-brežiškem polju, v vaseh v celotnem okrožju v okolici NEK in na robu izključitvenega območja, niso nič bolj izpostavljeni ionizirajočemu sevanju kot prebivalci drugod po Sloveniji. Prebivalstvo v okolici NEK je, tako kot drugod po Sloveniji, izpostavljeno naravnim virom ionizirajočega sevanja, kontaminaciji okolja z umetnimi radioaktivnimi snovmi (globalno onesnaženje), potencialno pa še ionizirajočemu sevanju, ki je posledica nadzorovanih zračnih in tekočinskih izpustov iz elektrarne ter neposrednemu sevanju iz objektov znotraj ograje.

Vsi sevalni učinki NEK na prebivalstvo so tako v okolici ocenjeni na manj kot $1,8 \text{ E}-4$ mSv na leto, kar je 0,35 % avtorizirane mejne letne doze na robu izključitvenega območja in navzven. Pri tem je treba poudariti, da gre za različne referenčne osebe (posameznikov iz prebivalstva) in je zato seštevek učinkov zračnih in tekočinskih izpustov iz NEK samo groba ocena letne učinkovite doze. Nizke vrednosti lahko pripišemo majhnim nadzorovanim izpustom iz NEK. Zasluge za nizke učinke jedrske elektrarne grede tudi zaposlenim v NEK, ki zglejedo skrbijo za nadzor in omejevanje izpustov.

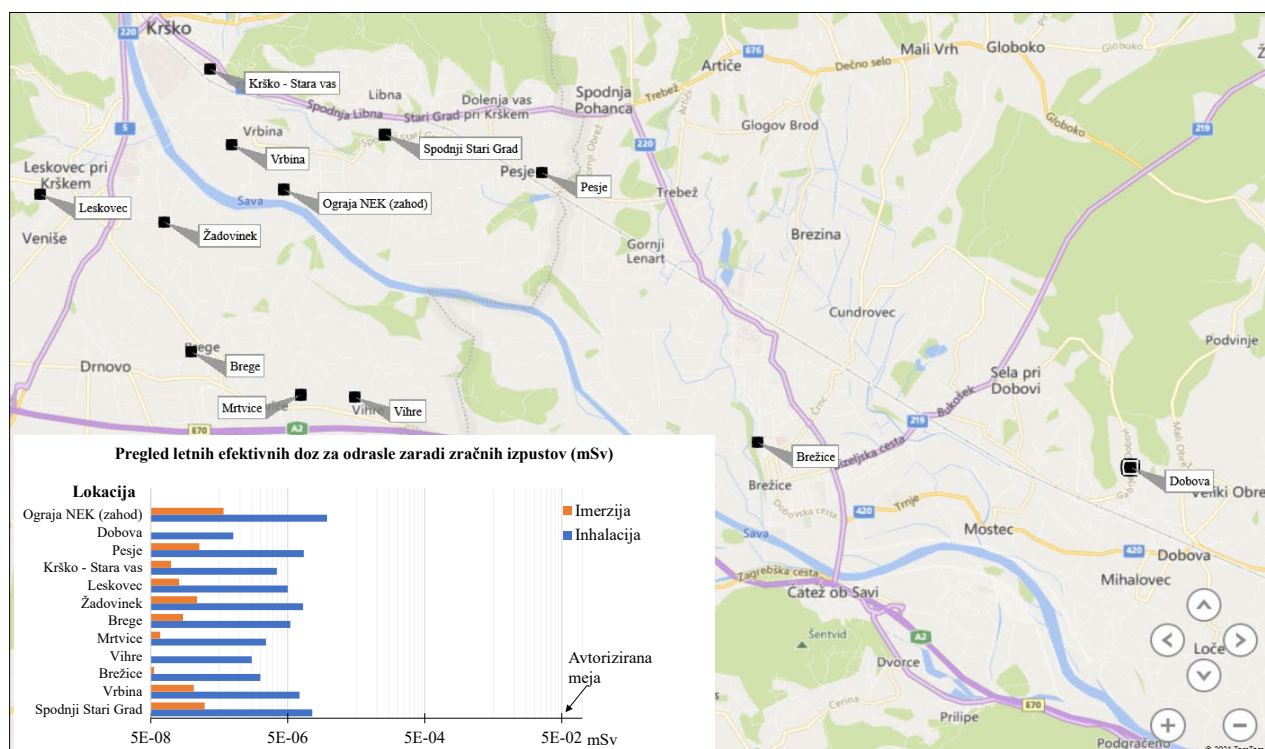
Za atmosferske emisije je bila ocenjena učinkovita doza $1,6 \text{ E}-4$ mSv na leto, kar velja za ograjo NEK in okvirno tudi za razdaljo 500 m od osi reaktorja. Za tekočinske emisije za referenčno osebo iz skupine ribičev je bila ocenjena učinkovita doza $1,6 \text{ E}-5$ mSv na leto.

V nadzoru radioaktivnosti v okolju smo med radionuklidi zaznali H-3 in C-14, ki sta med izpusti iz NEK, prav tako pa sta tudi del vodnega kroga in globalnega onesnaženja z jedrskimi poskusi v šestdesetih letih prejšnjega stoletja. Tako smo H-3 zaznali v reki Savi, padavinah in vodi iz črpališč, ki ga lahko pripišemo tudi izpustom iz NEK. K celotni učinkoviti dozi največ prispeva zaužitje hrane (86 %), k čemur največ prispeva C-14. Učinkovita doza zaradi vdihavanja prispeva k celotni učinkoviti dozi 11 %, med radionuklidi je največ prispeval H-3. Učinkovita doza zunanjega sevanja k celotni učinkoviti dozi prispeva 3 %. Med radionuklidi je največ prispeval Co-60 iz tekočinskih izpustov.

Sevalnim učinkom NEK tako največ prispeva zaužitje hrane zaradi C-14 zaradi zračnih izpustov, $1,4 \text{ E}-4$ mSv na leto. Rezultati meritev kažejo pričakovano rahlo povišanje specifične aktivnosti C-14 v vzorcih na razdalji do 1 km od osi reaktorja glede na vzorce, vzete na referenčni točki v Dobovi. Pri izračunu doze, prejete zaradi C-14 v okolici NEK, smo konzervativno privzeli, da referenčna oseba uživa hrano iz neposredne bližine NEK (blizu roba izključitvenega območja) dva meseca v letu, drugih 10 mesecev pa hrano od drugod (Dobova). Učinkovita doza pri C-14 se nanaša na hrano in ne na posamezno vrsto hrane, saj se specifične aktivnosti C-14 (v Bq na kilogram ogljika) v raznih vrstah živil ne razlikujejo.

Prispevek vdihavanja plinov in aerosolov, ki so posledica zračnih izpustov iz NEK, je drugi najpomembnejši prispevek, ki je $1,9 \text{ E}-5$ mSv. K tej oceni največ prispevajo izpusti tritija v obliki vodne molekule (HTO). Pregled ocenjenih doz zaradi zračnih izpustov iz NEK na lokacijah v bližini NEK je na sliki P1. Kot smo že omenili, je učinek nadzorovanih izpustov iz NEK po vseh prenosnih poteh na prebivalstvo znatno pod avtorizirano mejo 0,05 mSv.

¹ Za oceno obremenitve prebivalstva zaradi izpustov iz jedrskega objekta se uporablja referenčna oseba, ki predstavlja posameznika iz prebivalstva, ki prejemajo ali bi lahko prejeli najvišje doze.



Slika P1: Pregled ocenjenih letnih efektivnih doz za umetne radionuklide za zračne izpuste v okolici NEK v letu 2021. Ocena učinka na prebivalstvo je bila narejena na podlagi meritev zračnih izpustov (emisij) in z uporabo razredčitvenih faktorjev Lagrangeevega modela. Skala na legendi je logaritemska.

Tretji največji prispevek k celotni letni efektivni dozi za odraslo referenčno osebo je posledica tekočinskih izpustov v reko Savo. Izračunana efektivna doza za odraslo referenčno osebo 350 m nizvodno od jezu NEK je $1,6 \text{ E}-5 \text{ mSv}$ (zadrževanje na obrežju in uživanje rib). Tako nizke ocenjene vrednosti potrjujejo tudi rezultati meritev C-14 v ribah, kjer prispevka NEK statistično ni bilo mogoče ločiti od naravnega ozadja. Pregled ocenjenih doz zaradi tekočinskih izpustov iz NEK na lokacijah nizvodno od jezu NEK je na sliki P2.

Zunanje sevanje iz objektov je nedoločljivo iz meritev s termoluminiscenčnimi dozimetri. Za zunanje sevanje izpustov smo konzervativno ocenili, da le-ti prispevajo celotno efektivno dozo $7 \text{ E}-11 \text{ mSv}$.

Poleg radioaktivnih izotopov vodika in ogljika smo v vzorcih iz okolja (rečna voda, padavine, zrak, hrana, zunanje sevanje) zaznali še Sr-90 in Cs-137, ki izvirata iz globalnega onesnaženja zaradi nesreče v jedrskem reaktorju v Černobilu. Čeprav sta oba radionuklida v izpustih iz NEK, sta prispevka v okolju zanemarljiva in neločljiva od globalnega onesnaženja.

Občutljive spektrometerske naprave zaznavajo tudi naravne radionuklide, na podlagi česar lahko ugotavljamo naravno sevanje, ki je značilno za okolico NEK in Slovenijo. V letu 2021 je to bilo za okolico NEK $2,3 \text{ mSv}$, za Slovenijo pa $2,44 \text{ mSv}$ [14].



Slika P2: Pregled ocenjenih letnih efektivnih doz za umetne radionuklide za tekočinske izpuste iz NEK v letu 2021. Skala na legendi je logaritemska.





SHORT SUMMARY

This report contains the results of radioactivity monitoring performed by the Krško NPP as a liable party, and authorized providers of radioactivity monitoring (Jožef Stefan Institute, Institute for Occupational Safety, Ruđer Bošković Institute and MEIS, d.o.o.) in 2021. Summed results of radioactivity measurements of artificial and natural radionuclides in various media and exposure pathways are given by estimates of effective doses, which are presented in the Summary in the chapter "*DOSE ESTIMATE*" (Tables D and E). Estimation of annual effective doses follows the ICRP and IAEA methodology [36], [37], [38]. From the results of measurements and dose estimates in 2021, we can conclude that the adult representative person at the border of the exclusion zone (500 m from the reactor axis) and beyond received an annual effective dose lower than 0.05 mSv (authorized annual effective dose of contributions of all exposure pathways).

The population in the vicinity of the Krško NPP, like people elsewhere in Slovenia, is exposed to natural sources of ionizing radiation, global contamination with antropogenic radioactivity, and potentially ionizing radiation resulting from atmospheric and liquid discharges from power plants and direct radiation from buildings. inside the fence perimeter.

All radiation effects of the Krško NPP on the population (representative person²) are estimated at less than 1.8 E-4 mSv per year in the vicinity, amounting to 0.35 % of the authorized annual limit dose at the edge of the exclusion zone and beyond. It should be emphasized that the total effective dose estimate is a sum of contributions from different representative persons, so that the sum of the effects of air and liquid discharges from the Krško NPP represents only a rough estimate of the annual effective dose. The low values can be attributed to small discharges from the Krško NPP. The credit for low discharges from the NPP also goes to the Krško NPP employees, who take exemplary care of controlling and limiting the emissions from the facility.

For atmospheric emissions, the effective dose of 1.6 E-4 mSv per year was estimated, which applies to the Krško NPP fence and approximately also to the distance of 500 m from the reactor axis. For liquid discharges, it was estimated that the adult representative person received a dose of 1.6 E-5 mSv per year.

In the scope of environmental radioactivity monitoring programme in the vicinity of the Krško NPP, we detected H-3 and C-14 among radionuclides, found in the discharges from the nuclear power plant. Both radionuclides are also part of the water cycle and of global contamination from nuclear tests in the 1960s. Thus, H-3 was detected in the Sava River, in precipitation and in water from waterworks, which can also be attributed to discharges from the Krško NPP. Food intake (86 %) is the largest contribution to the total effective dose, with C-14 prevailing. The effective dose due to inhalation contributes to the total effective dose 11 %, with H-3 contributing the most among radionuclides. The effective dose of external radiation contributes 3 % to the total effective dose. Among radionuclides, Co-60 contributed the most from liquid discharges.

Food consumption due to C-14 contributes 1.4 E-4 mSv per year to the total annual effective dose, which is the major contribution from the radiation effects of the Krško NPP. These are atmospheric discharges from the Krško NPP, contaminating plants. The results of the measurements show an expected slight increase in the specific activity of C-14 in the samples at a distance of up to 1 km from the reactor axis compared to the samples taken at the reference point in Dobova. When calculating the dose received due to C-14 in the vicinity of the Krško NPP, we conservatively assumed that residents consume food from the immediate vicinity of the Krško NPP (near the edge of the exclusion zone) two months a year and food from elsewhere (for instance reference point: Dobova) ten months a year. The effective dose resulting from C-14 refers to the food and not to the individual type of food, as the specific activities of C-14 (in Bq per kilogram of carbon) do not differ in different types of food.

² the purpose of protection of the public, it is necessary to characterise an individual receiving a dose that is representative of the more highly exposed individuals in the population. This individual is defined as the 'representative person' [ICRP, 2006, Assessing Dose of the Representative Person for the Purpose of Radiation Protection of the Public and The Optimisation of Radiological Protection: Broadening the Process, ICRP Publication 101, Annals of the ICRP 36 3, 2006].

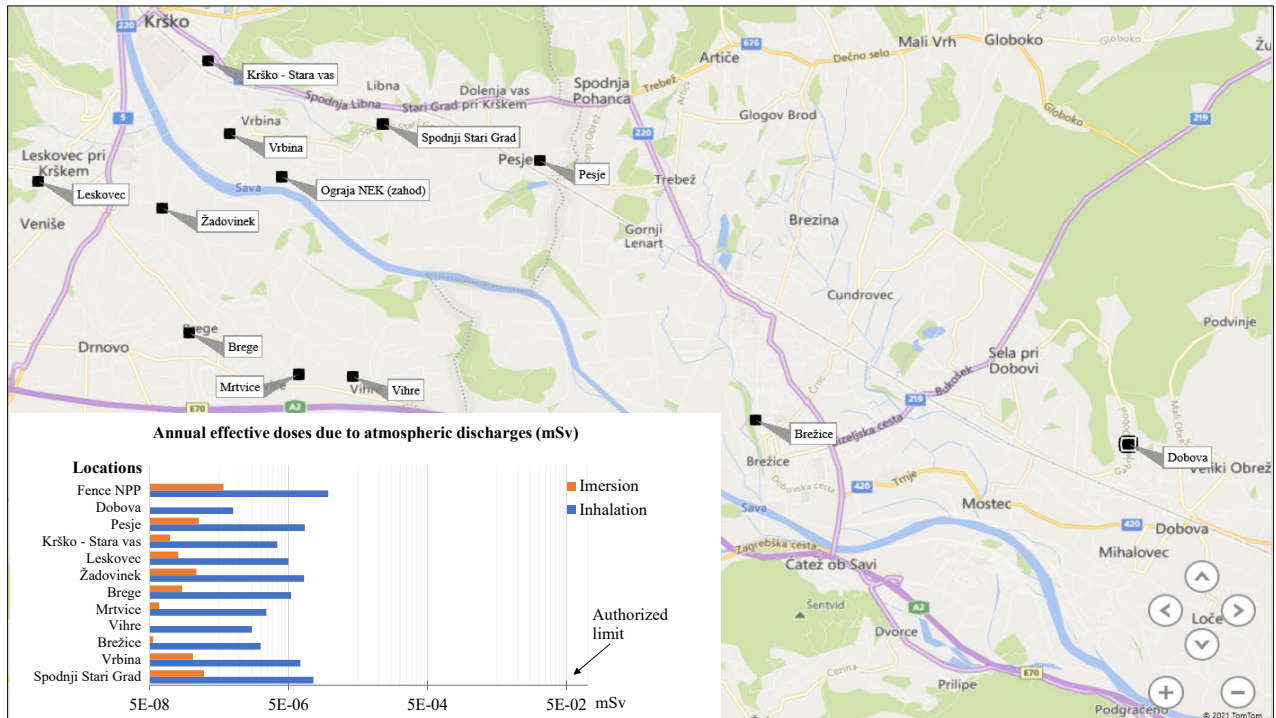


Figure P1: Review of estimated annual effective doses for artificial radionuclides for air emissions in the vicinity of the Krško NPP in 2021. The scale is logarithmic.

The contribution of inhalation of gases and aerosols resulting from air emissions from the Krško NPP is the second most important contribution, amounting to $1.9 \text{ E}^{-5} \text{ mSv}$. Tritium emissions in the form of a water molecule (HTO) contribute the most to this estimate. An overview of the estimated effective doses due to atmospheric discharges from the Krško NPP at locations in the vicinity of the Krško NPP is shown in Figure P1. As already mentioned, the radiation effect of the discharges from the Krško NPP by all exposure pathways on the population (representative person) is significantly below the authorized limit of 0.05 mSv .

The third-largest contribution to the total annual effective dose for an adult representative person is from the liquid discharges into the Sava river. The calculated effective dose for an adult representative person 350 m downstream of the Krško NPP dam is $1.6 \text{ E}^{-5} \text{ mSv}$ (the main exposure pathways: staying on the river banks, fish consumption). Such low estimated values are also substantiated by measurement results of C-14 in fish, where the contribution of the Krško NPP could not be statistically separated from the natural background. An overview of the estimated effective doses due to liquid discharges from the Krško NPP at the locations downstream of the Krško NPP dam is shown in Figure P2.

External radiation from buildings on-site cannot be determined from measurements with thermoluminescent dosimeters. For external radiation of emissions, we conservatively estimated that they contribute to the total effective dose of $7 \text{ E}^{-11} \text{ mSv}$.

Beside radioactive isotopes of hydrogen and carbon, we detected Sr-90 and Cs-137 in environmental samples (river water, precipitation, air, food, external radiation), which originate from global contamination due to the accident at the Chernobyl nuclear reactor. Although they are measured in small quantities in atmospheric and liquid effluents from the Krško NPP, their contributions to the annual effective dose are negligible and inseparable from global contamination.



Figure P2: Review of estimated annual effective doses for artificial radionuclides for liquid discharges from the Krško NPP in 2021. The scale is logarithmic.

Thus, the estimated value of radiation effects (annual effective doses) of the Krško NPP on the population (representative person) at the Krško NPP fence and approximately at a distance of 500 m from the reactor axis is approximately 0.0076 % of the typical unavoidable natural background in the vicinity of the Krško NPP (2.3 mSv). The estimate for background radiation in Slovenia for 2021 was 2,44 mSv [14]. The report does not address the exposure of the population to ionizing radiation due to medical diagnostic tests, which are the second most important source of exposure in the developed world and also in Slovenia.





IZVLEČEK

UVOD

Podobno kot v svetu je prebivalstvo v Sloveniji izpostavljeno naravnemu ionizirajočemu sevanju in nekaterim antropogenim virom ionizirajočega sevanja, predvsem tistim od uporabe ionizirajočega sevanja v medicini in od učinka preostale černobilske kontaminacije in atmosferskih jedrskih poskusov. Pri prebivalstvu v okolici Nuklearne elektrarne Krško (NEK) so dodatno možne izpostavitve zaradi atmosferskih in tekočinskih izpustov radioaktivnih snovi iz NEK in zaradi neposrednega sevanja iz objektov znotraj njene ograje. Pri njih mora NEK upoštevati *avtorizirane meje* in druge mejne vrednosti, ki se nanašajo na izpuste ter druge sevalne učinke na okolje in prebivalstvo. Omejitev dodatne izpostavitve prebivalstva je bila določena že v lokacijski dokumentaciji NEK leta 1974, kjer je navedena zahteva, da celotna letna efektivna doza prispevkov vseh prenosnih poti na posameznika iz prebivalstva na robu izključitvenega območja (500 m od osi reaktorja) in navzven ne sme presegati 0,05 mSv [5], [11]. Ta omejitev je bila po začetku obratovanja dopolnjena še z omejitvijo letne efektivne doze zunanjega sevanja objektov na ograji (0,2 mSv na leto) ter z omejitvijo aktivnosti radionuklidov v tekočih in plinastih efluentih. Izpolnjevanje zahtev dokazuje NEK z *obratovalnim nadzorom radioaktivnosti*, katerega obseg in način izvajanja določata *Pravilnik o monitoringu radioaktivnosti (JV10)* [8]. Obratovalni nadzor radioaktivnosti obsega meritve *emisij* na samem objektu, meritve *imisij* v okolici, meritve zunanjega sevanja v okolju, ovrednotenje merskih rezultatov in oceno doz. Obseg nadzora radioaktivnosti določa priloga 4 omenjenega pravilnika (Zasnova programa obratovalnega monitoringa radioaktivnosti jedrske elektrarne). Pravilnik določa tudi zahteve, ki jih morajo izpolnjevati izvajalci nadzora radioaktivnosti, tehnične zahteve za merilno in analizno opremo ter načine in poti izpostavljenosti, ki jih je treba upoštevati pri ocenjevanju doz. Poleg NEK, ki meri emisije, sodelujejo pri izvedbi nadzora radioaktivnosti tudi različni *neodvisni pooblaščenji izvajalci nadzora*.

To poročilo podaja rezultate nadzora radioaktivnosti, ki so ga NEK kot zavezanec in pooblaščenji izvajalci nadzora radioaktivnosti opravili v letu 2021. Sumarni rezultati meritev radioaktivnosti umetnih in naravnih radionuklidov v različnih nadzorovanih medijih in ekspozicijskih prenosnih poteh so podani z ocenami efektivnih doz, ki so predstavljene v poglavju "*OCENA UČINKOV*" (tabela D). Ocena doz sledi metodologiji ICRP in IAEA [36], [37], [38]. V letu 2021 so bili vsi sevalni učinki NEK na prebivalstvo³ v okolici ocenjeni na manj kot 1,8 E-4 mSv na leto, kar je 0,35 % avtorizirane mejne letne doze na robu izključitvenega območja in navzven. Za atmosferske emisije je bila ocenjena efektivna doza 1,6E-4 mSv na leto, kar velja za ograjo NEK in okvirno tudi za razdaljo 500 m od osi reaktorja. Za tekočinske emisije za referenčno osebo je bila ocenjena efektivna doza 1,6 E-5 mSv na leto. Sevalnim učinkom največ prispeva zaužitje C-14 v hrani, 1,4 E-4 mSv na leto.

Ugotovimo lahko, da so sevalni učinki NEK v primerjavi s tistimi iz globalnega onesnaženja in od uporabe radionuklidov v medicini za več redov velikosti nižji. Še več, ocenjena vrednost sevalnih učinkov (letne efektivne doze) NEK na referenčno osebo ob ograji NEK in okvirno tudi na razdalji 500 m od osi reaktorja je približno 0,076 % značilnega neizogibnega naravnega ozadja. Izvleček povzema monografijo *Ovrednotenje meritev radioaktivnosti in ocena učinkov izpustov NEK na okolje*, ki je samostojna priloga poročila *Nadzor radioaktivnosti v okolici Nuklearne elektrarne Krško, Poročilo za leto 2021*, interna oznaka 7/2022, Ljubljana, april 2022.

V poročilu niso obravnavane izpostavitve prebivalstva ionizirajočemu sevanju zaradi medicinskih diagnostičnih preiskav, ki so v razvitem svetu in tudi pri nas za naravnim sevanjem drugi najpomembnejši vir izpostavitve.

³ Za oceno obremenitve prebivalstva zaradi izpustov iz jedrskega objekta se uporablja referenčna oseba, ki predstavlja posameznika iz prebivalstva, ki prejemajo ali bi lahko prejeli najvišje doze.



ZNAČILNOSTI VZORČENJA IN MERITEV VZORCEV IZ OKOLJA

Vzorčenje in meritve so v letu 2021 potekale v enakem obsegu in na enak način kot v preteklih letih, kar omogoča primerjavo rezultatov nadzora z rezultati iz preteklih let in določitev možnih usmeritev. Zaradi gradnje HE Brežice je bil uveden dodatni radiološki merilni nadzor v akumulacijskem jezeru. Značilnosti vzorčenja in meritev so:

1) Reka Sava

- a) neprekinjeno vzorčenje na štirih lokacijah (Krško – 3,2 km vzvodno, nad jezo HE Brežice – 7,2 km nizvodno, Brežice – 8,2 km nizvodno in Jesenice na Dolenjskem – 17,5 km nizvodno) za dolgožive radionuklide; posamično vzorčenje nefiltrirane vode v Krškem, na levem in desnem bregu akumulacijskega jezera, v razlivnem območju ("nadomestni habitat"), nad jezo HE Brežice, v Brežicah, Jesenicah na Dolenjskem in Podsusedu pri Zagrebu (HR, okrog 30 km nizvodno od NEK) za kratkožive radionuklide;
- b) posamični četrletni vzorci reke Save v Krškem in Brežicah;
- c) vzorčenje sedimentov na desetih lokacijah (Krško vzvodno, pod jezo NEK, Pesje, na levem in desnem bregu akumulacijskega jezera HE Brežice, nad jezo HE Brežice, Brežice, Jesenice na Dolenjskem, Podsused - HR nizvodno);
- č) vzorci rib: Krško, akumulacijsko jezero Brežice, Brežice, Jesenice na Dolenjskem, Podsused (HR) in Otok (HR).

Meritve vzorcev vključujejo določanje koncentracije aktivnosti in specifične aktivnosti sevalcev gama z visokoločljivostno spektrometrijo gama (VLG), določanje koncentracije aktivnosti tritija (H-3) s tekočinskoscintilacijsko spektrometrijo in določanje Sr-90/Sr-89 z radiokemično separacijo in štetjem s proporcionalnim števcem.

2) Vodovodi in črpališča

- a) posamični letni vzorci vode iz vodovoda v Ljubljani (Osrednjeslovenska regija, referenčna lokacija);
- b) posamični četrletni vzorci vode iz vodovodov v Krškem in Brežicah;
- c) mesečni sestavljeni vzorci črpališč na Bregah, v Rorah in Brežicah ter vodovodov Spodnji Stari Grad in Brežice; na Hrvaškem je bila dodana nova lokacija črpališče Petruševac v Zagrebu;
- č) vzorčenje podtalnice v neposredni okolici elektrarne (četrletni posamični vzorci iz vrtine E1 znotraj ograje NEK in mesečni posamični vzorci iz vrtine VOP-4, Vrbina) ter na dveh lokacijah na Hrvaškem (vrtini Medsave in Šibice);
- d) mesečni vzorci vrtin VOP-1/06, V-7/77 in V-12/77.

Meritve vzorcev vključujejo določanje koncentracije aktivnosti sevalcev gama z visokoločljivostno spektrometrijo gama (VLG), določanje koncentracije aktivnosti tritija (H-3) s tekočinsko-scintilacijsko spektrometrijo in določanje koncentracije aktivnosti Sr-90/Sr-89 z radiokemično separacijo in štetjem s proporcionalnim števcem. Radiokemijska analiza Sr-89/Sr-90 se opravi na istih vzorcih kot visokoločljivostna spektrometrija gama.

3) Padavinski in suhi usedi

- a) mesečni sestavljeni vzorci iz zbiralnikov padavin na Bregah, v Krškem in na referenčni lokaciji v Dobovi ter v Ljubljani (kontrolna lokacija; v okviru nadzora radioaktivnosti v življenjskem okolju v Republiki Sloveniji);
- b) mesečna menjava vazelinskih zbiralnikov suhega useda na osmih lokacijah v ožji in širši okolici NEK ter v Ljubljani (referenčna lokacija).

Pri vzorcih padavin so bile opravljene meritve z visokoločljivostno spektrometrijo gama, določena je bila še koncentracija aktivnosti tritija (H-3) s tekočinskoscintilacijsko spektrometrijo in koncentracija aktivnosti Sr-90/Sr-89 z radiokemično analizo. Radiokemijska analiza Sr-89/Sr-90 se opravi na istih vzorcih kot visokoločljivostna spektrometrija gama. Na vazelinskih vzorcih so bile opravljene meritve z visokoločljivostno spektrometrijo gama.



4) Zrak

- a) vzorčenje aerosolov se opravlja z neprekinjenim prečrpavanjem zraka skozi aerosolne filtre, ki se menjajo vsakih 15 dni; črpalke so postavljene na osmih lokacijah v okolici NEK (Spodnji Stari Grad, Krško – Stara vas, Leskovec, Brege, Vihre, Gornji Lenart, Spodnja Libna in referenčna lokacija Dobova) ter na kontrolni lokaciji v Ljubljani (nadzor radioaktivnosti v življenjskem okolju v Republiki Sloveniji);
- b) vzorčenje joda I-131 se opravlja s posebnimi črpalkami in filtri na istih lokacijah, kjer poteka vzorčenje aerosolov (razen v Dobovi);
- c) vzorčenje za specifično meritev Sr-90/Sr-89 se je v prvi polovici leta 2021 opravljal v Dobovi, v drugi polovici pa v Stari vasi.
- č) meritve emisij se opravijo na glavnem ventilacijskem izpustu NEK, pri čemer se odvezemajo vzorci za meritev joda, tritija (H-3), ogljika (C-14), aerosolov ter opravljajo meritve žlahtnih plinov;
- d) zbiranje vzorcev zračnega ogljika C-14 v CO₂ je neprekinjeno potekalo na dveh mestih na ograji NEK, ki je v izključitvenem območju, v letu 2021 je bilo skupno zbranih šest vzorcev. Kontrolne meritve so potekale v Zagrebu, R Hrvaška.

Meritve filtrov za aerosole in posebnih filtrov za I-131 se opravljajo z visokoločljivostno spektrometrijo gama, specifična meritev Sr-90/Sr-89 pa se opravlja na proporcionalnem števcu beta. Radiokemijska analiza Sr-89/Sr-90 se opravi na istih vzorcih kot visokoločljivostna spektrometrija gama. Merjenje specifične aktivnosti C-14 v atmosferskem CO₂ poteka z uporabo tekočinskoscintilacijskega števca, pri pretvorbi CO₂ v benzen.

5) Zunanja izpostavljenost sevanju

Zunanje sevanje

- a) doza zunanjega sevanja (sevanje gama in ionizirajoča komponenta kozmičnega sevanja) se meri s 57 termoluminiscenčnimi dozimetri (TL-dozimetri) v okolici NEK (nameščeni so krožno okoli NEK na razdaljah do 10 km) in devetimi TL-dozimetri na ograji NEK; dozimetri se odčitavajo v polletnih presledkih; referenčni dozimeter za vse meritve doze zunanjega sevanja je v Ljubljani; dodatnih 10 TL-dozimetrov je postavljenih na Hrvaškem;
- b) doza zunanjega sevanja se meri s sedmimi TL-dozimetri na zahodni ograji NEK v bližini skladišča za suho skladiščenje – predobratovalni monitoring;
- c) vzporedno potekajo meritve s TL-dozimetri na 50 lokacijah po državi [17], [18];
- d) v sklopu mreže zgodnjega obveščanja je v okolici NEK postavljenih 14 merilnikov sevanja MFM, ki delujejo neprekinjeno; poleg teh je v mrežo zgodnjega obveščanja v Sloveniji vključenih še dodatnih 57 merilnikov.

Za merjenje okoljskega doznega ekvivalenta H*(10) IJS uporablja dozimetre tipa TLD-IJS-05 (iz CaF₂:Mn). Meritve H*(10) na 10 lokacijah na Hrvaškem so opravljene s termoluminiscenčnimi (LiF:Mg,Cu,P, MCP-N, CaF₂:Mn in Al₂O₃:C) in radiofotoluminiscenčnimi (RPL) dozimetri. Podatke iz merilnikov mreže zgodnjega obveščanja zbira in posreduje URSJV.

Zemlja

- a) vzorce zemlje zbiramo na treh lokacijah neobdelane zemlje nizvodno od NEK na poplavnih območjih (Amerika – 3,5 km od NEK, Gmajnice – 2,5 km od NEK in Kusova Vrbinja-Trnje – 8,5 km od NEK); vzorčenje poteka dvakrat letno, in sicer ločeno po globinah do 30 cm.

Meritve sevalcev gama se opravljajo z visokoločljivostno spektrometrijo gama, specifična aktivnost Sr-90/Sr-89 pa se določa z radiokemijsko analizo, ki se opravi na istih vzorcih kot visokoločljivostna spektrometrija gama.

6) Hrana

- a) Odvzemna mesta vzorcev hrane v letu 2021, ki so označena na priloženem zemljevidu na koncu poročila, so bila: sadovnjak ob NEK (sadje), Pesje (mleko, zelenjava, sadje), Brege (mleko,



zelenjava), Vihre (meso, zelenjava), Vrbinja (žito, zelenjava, sadje), Spodnji Stari Grad (meso, jajca, zelenjava), Žadovinec (zelenjava), Trnje (zelenjava), Leskovec (meso, sadje), Dolenje Skopice (mleko, zelenjava), Gornji Lenart (jajca), Kalce-Naklo (meso). V letu 2021 je bilo v okolici NEK skupno vzorčenih 32 vrst živil.

- b) pogostost vzorčenja je odvisna od vrste živila: mleko mesečno oziroma trimesečno za specifično meritev Sr-90/Sr-89, meso, jajca in žito enkrat letno, povrtnine, poljščine in sadje sezonsko;
- c) vzorčenje rastlinstva, poljščin in sadja za določanje specifične aktivnosti C-14 je potekalo v letu 2021 dvakrat (julij in september) na 16 lokacijah v okolici NEK in v Dobovi; skupaj je bilo analiziranih 34 vzorcev.

Specifične aktivnosti sevalcev gama so bile izmerjene z visokoločljivostno spektrometrijo gama, specifične aktivnosti Sr-90/Sr-89 pa z radiokemijsko metodo, ki se opravi na istih vzorcih kot visokoločljivostna spektrometrija gama.

REZULTATI MERITEV IN ZNAČILNOSTI V POTEKIH

Uvod

Pri ovrednotenju merskih rezultatov z visokoločljivostno spektrometrijo gama, opravljenih na IJS, smo uporabili neposredne merske rezultate, $y \pm u(y)$ iz poročila *Merski rezultati – nadzor radioaktivnosti v okolici Nuklearne elektrarne Krško – Poročilo za leto 2021, IJS-DP-13759*, enako kot v zadnjih treh letih. Tu je $u(y)$ združena standardna negotovost specifične aktivnosti y in se nanaša na interval zaupanja z 68-odstotno zanesljivostjo (faktor pokritja $k = 1$). Združena standardna negotovost pri rutinskih meritvah na visokoločljivostni spektrometriji gama vključuje statistično negotovost števila sunkov v vrhovih v spektru ter negotovosti metode določanja števila sunkov v vrhovih, ozadja, umeritve spektrometra, jedrskih podatkov in količine vzorca. Negotovosti, ki izvirajo iz vzorčenja, razen količine vzorca, niso vključene.

Če je pri detektirani prisotnosti radionuklida negotovost aktivnosti večja od 80 % vrednosti izmerka, poročamo neposredni merski rezultat, ki ga označimo z znakom "‡", pod tabelo pa dopišemo, da gre za merski rezultat pod mejo kvantifikacije.

Za izračun letne doze uporabljamo aritmetično sredino periodičnih merskih rezultatov [57]. Negotovost izračunane letne doze je apriorna negotovost aritmetičnega povprečja, ki upošteva negotovosti periodičnih merskih rezultatov. Negotovost aritmetičnega povprečja lahko ocenimo tudi s predpostavko, da so periodični merski rezultati porazdeljeni po normalni verjetnostni porazdelitvi. Standardno deviacijo takšne porazdelitve imenujemo razsutje. Če jo delimo s korenem števila meritev, pridemo do aposteriorne negotovosti aritmetičnega povprečja. Definicije teh izrazov so v delovnem poročilu *Merski rezultati – nadzor radioaktivnosti v okolici Nuklearne elektrarne Krško – Poročilo za leto 2021, IJS-DP-13759*. Tako definirane cenilke so združljive s frekventističnim pristopom [59], le da se namesto aposteriorne negotovosti tam uporablja izraz raztresenost povprečja.

Kadar se poroča meja detekcije (največkrat pri Pb-210, H-3, Sr-90, itd.), se na podlagi priporočila Evropske komisije (*European Commission recommendation on standardized information on radioactive airborne and liquid discharges into the environment from nuclear power reactors and reprocessing plants in normal operation*, Euratom Off. J. Eur. Union. 2004; str. L2:32; odstavka 6 in 7 [60]) v tabelah upošteva 1/4 meje detekcije kot predpostavljena vrednost. Teh vrednosti ne podajamo s pripadajočo negotovostjo in so v tabelah označene z znakom "†". Zaradi tega tudi negotovosti aritmetičnega povprečja za izbrano leto ne podajamo z apriorno negotovostjo, temveč z aposteriorno negotovostjo (tj. upoštevamo razsutje vrednosti). Takšni zapisi so v tabelah označeni z "x".

Spodnje meje aktivnosti drugih nedetektiranih radionuklidov nismo pisali v tabele. Pri izračunih mesečnih povprečij se prazna polja upoštevajo kot ničle.

Označba Sr-90/Sr-89 pomeni, da ni bila narejena analiza na Y-90. Ločitev za Y-90 se izvede samo v primerih, ko iz ponovitev meritev Sr-90/Sr-89 ugotovimo, da je izmerjena hitrost štetja res manjša od predhodno določene in je ta razlika hitrosti štetja posledica radioaktivnega razpada Sr-89. Poročane specifične aktivnosti Sr-89/Sr-90 se tako nanašajo le na koncentracije aktivnosti ali specifične aktivnosti Sr-90, saj kratkoživi



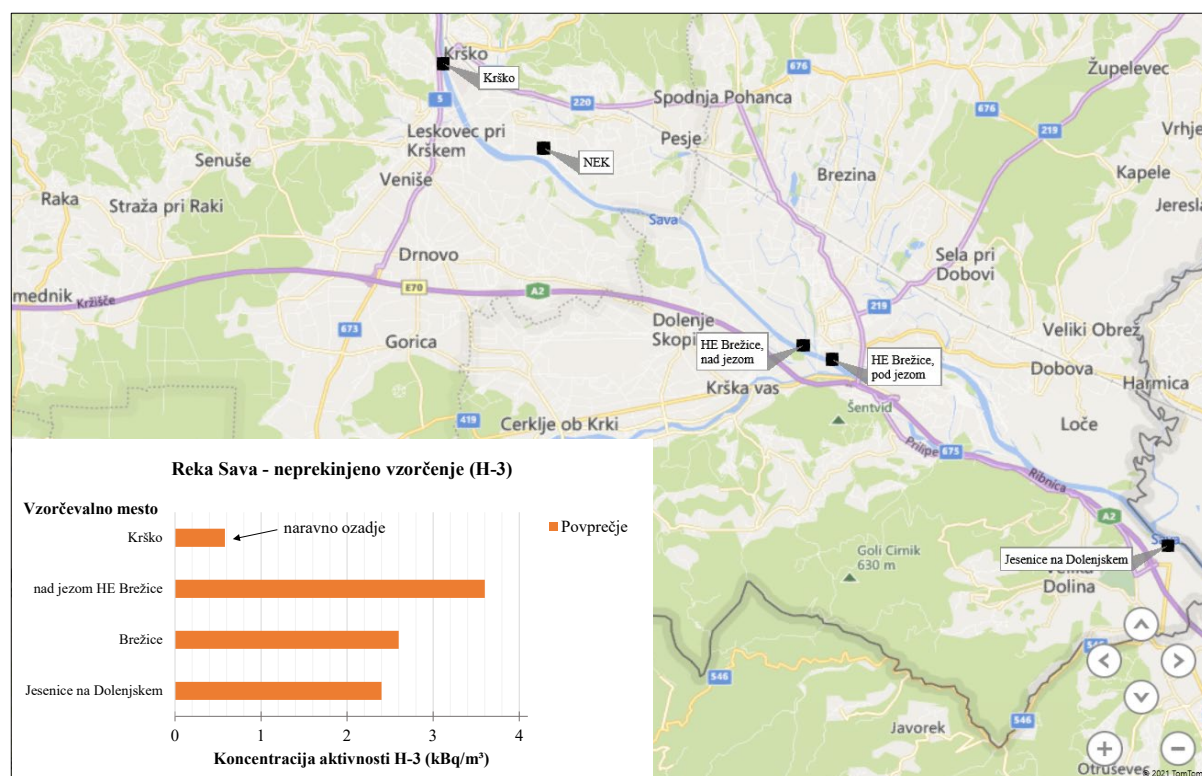
Sr-89 ni prisoten v okolju od počrnbilskega obdobja dalje. To potrjujejo tudi redna mesečna poročila o izpustih iz NEK, kjer Sr-89 ni bil zaznan.

Po posvetu z lektorjem prof. dr. Alojzijem Kodretom smo izboljšali izraze (uporabili ustrezne slovenske izraze), ki smo jih poenotili po celotnem poročilu:

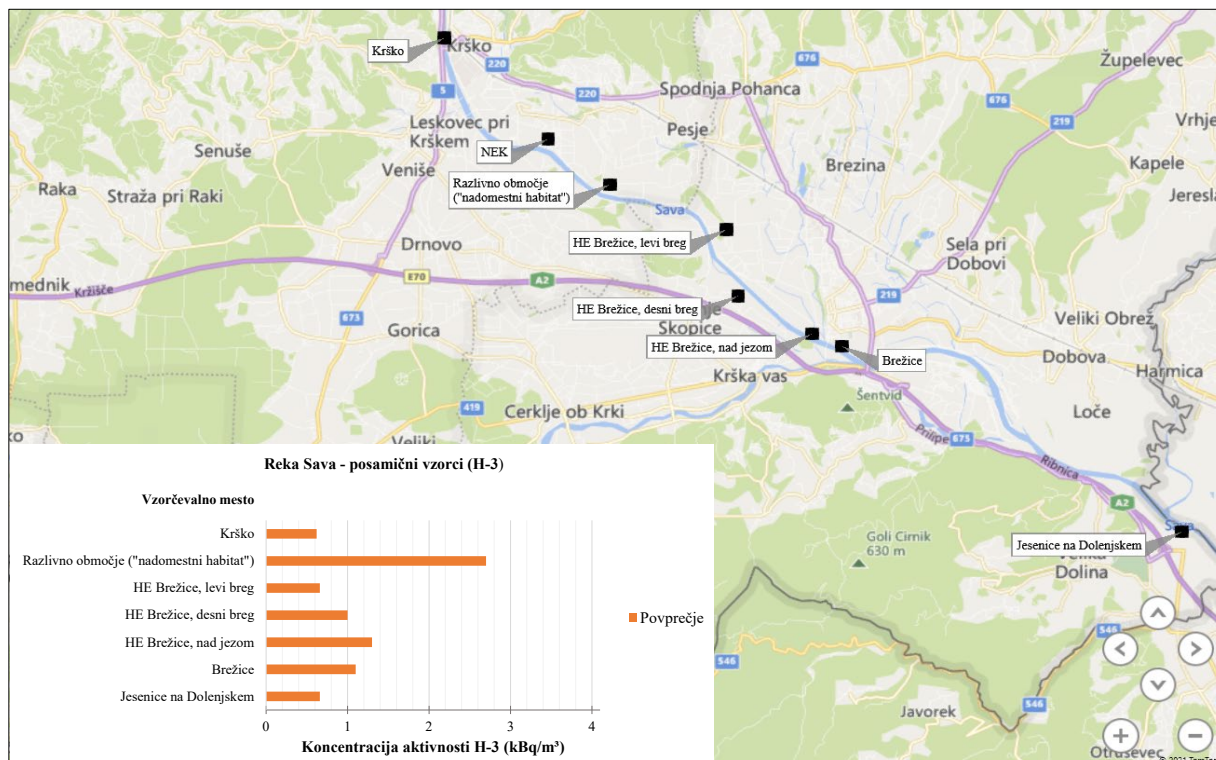
- namesto *ingestija* uporabljamo *zaužitje*;
- namesto *kontinuirno vzorčenje* uporabljamo *neprekinjeno vzorčenje*;
- namesto *enkratno vzorčenje* uporabljamo izraz *posamično vzorčenje*;
- *povprečje* je *aritmetično povprečje*. Če gre za drugo povprečje (npr. uteženo), je to ustrezno navedeno;
- *učinek* je neposredna posledica delovanja NEK;
- *vpliv* je posredna in nedoločena posledica delovanja NEK.
- Namesto *stresanje* uporabljamo dovršni glagolnik *razsutje*

1) Reka Sava (Izvleček poglavja *Radioaktivnost v reki Savi*)

Tritij je redno prisoten v tekočinskih efluentih NEK, zaznamo ga tudi v reki Savi. Pregled povprečnih mesečnih koncentracij aktivnosti H-3 v reki Savi na postajah z neprekinjenim vzorčenjem (filtrirana voda) vzvodno in nizvodno od jezusa NEK v letu 2021 je prikazan na sliki I1.



Slika I1: Pregled povprečnih mesečnih koncentracij aktivnosti H-3 v reki Savi na postajah z neprekinjenim vzorčenjem vzvodno in nizvodno od jezusa NEK v letu 2021. Dolgoletno povprečje (od leta 2002) mesečnih koncentracij aktivnosti H-3 v Brežicah je 3,9 kBq/m³, od julija 2017 pa je 2,1 kBq/m³. Večmesečno povprečje (od julija 2017) mesečnih koncentracij aktivnosti H-3 na vzorčevalni postaji nad jezum HE Brežice je 2,4 kBq/m³. Koncentracije aktivnosti tritija v Jesenicah na Dolenjskem so nižje zaradi dodatnega redčenja Save s Krko in Sotlo. Dolgoletno povprečje mesečnih koncentracij aktivnosti H-3 v Jesenicah na Dolenjskem je 2,4 kBq/m³, od julija 2017 pa je 1,8 kBq/m³.



Slika I2: Pregled povprečnih mesečnih koncentracij aktivnosti H-3 v letu 2021 v reki Savi na lokacijah vzvodno in nizvodno od jezua NEK, kjer se vzorčujejo posamični (mesečni ali četrtletni) vzorci.

Po izgradnji in umestitvi HE Brežice se je tok reke Save spremenil in časovni potek koncentracij aktivnosti H-3 na vzorčevalnih mestih v akumulaciji HE Brežice (levi breg, desni breg, nad jezom HE Brežice) ne sledi časovnemu poteku mesečnih izpustov H-3 iz NEK. Pojavljajo se občasna ujemanja z dnevnimi izpusti, pri čemer upoštevamo dvo- do tridnevni zamik med datumoma izpusta in vzorčenja. Enako je bilo tudi v letu 2021. Opazimo, da so koncentracije aktivnosti H-3 v reki Savi, vzorčene na levi in desni strani najširšega dela akumulacije, v okviru merskih negotovosti med seboj primerljive. Domnevamo lahko, da je tok počasnejši, a izrazitejši, po desni strani akumulacije do najširšega dela akumulacije, nato tok sledi matici reke do jezua HE Brežice. To lahko sklepamo tudi iz batimetričnih meritev globine reke Save, ki so bile opravljene v zaježitvi nad jezom HE Brežice [27]. Na sliki I2 so prikazane koncentracije aktivnosti H-3 na lokacijah vzvodno in nizvodno od jezua NEK, kjer se vzorčujejo posamični vzorci (nefiltrirana voda).

V letu 2021 je bil vzorčen C-14 v izpustih iz odpadnih merilnih rezervoarjev (WMT). Prispevek C-14 smo ocenili iz meritev v četrtletnih vzorcih WMT, ki jih je opravil IRB. Četrtletne aktivnosti C-14 so bile od 0,004 GBq v zadnjem četrtletju do 0,095 GBq v prvem četrtletju, ko so bili tekočinski izpusti v reko Savo najvišji. Skupno letno izpuščeno aktivnost C-14 0,13 GBq smo izračunali kot vsoto četrtletnih vrednosti. Izpusti so skoraj za velikostni red nižji, kot je dolgoletno povprečje (1,7 GBq) od leta 2013.

C-14 je bil merjen tudi v savski vodi in v ribah [20]. Na lokacijah na levem in desnem bregu akumulacijskega jezera HE Brežice so bili odvzeti posamični četrtletni vzorci. Vse izmerjene specifične aktivnosti so nižje od trenutnih atmosferskih aktivnosti (103 pMC ali 226 Bq/kg C). V primerjavi s prejšnjimi leti so specifične aktivnosti C-14 v reki Savi in ribah v letu 2021 okviru negotovosti meritev enake.

I-131 je redno prisoten na vseh nadzornih mestih reke Save, tako vzvodno od elektrarne kot nizvodno v Brežicah in Jesenicah na Dolenjskem. V tekočinskih izpustih iz NEK I-131 v tem letu ni bil zaznan.

V letu 2021 koncentracija aktivnosti I-131 zelo niha in je včasih tudi pod mejo detekcije. V posamičnih vzorcih je bila do 9,8 Bq/m³ v Krškem v zadnjem četrtletju, kjer je bilo tudi najvišje povprečje 6,1 Bq/m³



v letu 2021. Na levem bregu so bile koncentracije aktivnosti od 1,7 Bq/m³ do 5,9 Bq/m³, na desnem bregu od 0,6 Bq/m³ do 4,7 Bq/m³, nad jezom HE Brežice od 2,2 Bq/m³ do 4,3 Bq/m³, v Brežicah od 1,9 Bq/m³ do 3,2 Bq/m³ in v Jesenicah na Dolenjskem od 1,3 Bq/m³ do 6 Bq/m³.

Če primerjamo rezultate meritev z ločenim nadzorom v življenjskem okolju v RS [18], so bile povprečne koncentracije na reki Savi v Brežicah nižje, kot jih izmerimo v Savi v Ljubljani (2,8 – 11,6 Bq/m³). V Muri in Dravi so bile koncentracije aktivnosti I-131 nižje, do 1 Bq/m³ v februarjem vzorcu reke Drave.

V vzorcih rib in talnega sedimenta na vseh vzorčevalnih mestih vzvodno in nizvodno od jezua NEK ni bila zaznana prisotnost I-131, kar je enako kot v preteklih letih.

Letni tekočinski izpust Cs-137 iz NEK v reko Savo je bil 1,8 MBq, kar je v okviru razsutja podatkov primerljivo z izpusti v preteklih letih (2012-2020) in nižje kot dolgoletno povprečje 15,1 MBq od leta 2000. Vsebnost Cs-137 v reki Savi pripisujemo globalni kontaminaciji, saj je izračunani prirastek koncentracije aktivnosti Cs-137 v Brežicah, ob upoštevanju letnih tekočinskih izpustov in povprečnega pretoka Save ter privzetku razredčitvenega razmerja na levem bregu v Brežicah, enak 4 E-4 Bq/m³. Tega prispevka ni mogoče ločiti od nehomogeno porazdeljene globalne kontaminacije.

Povprečje mesečnih koncentracij aktivnosti v filtrirani vodi reke Save je bilo na referenčnem mestu v Krškem 0,36 Bq/m³, v Jesenicah na Dolenjskem pa 0,12 Bq/m³. V Brežicah in nad jezom HE Brežice Cs-137 v savski vodi ni bil zaznan v nobenem vzorcu. Večina posamičnih izmerjenih koncentracij aktivnosti filtrirane savske vode je bila pod mejo detekcije aktivnosti (MDA). Na levem bregu največje razširitve pretočne akumulacije je bilo povprečje 0,57 Bq/m³, v Jesenicah na Dolenjskem pa 0,44 Bq/m³.

Izmerjene koncentracije aktivnosti Cs-137 v rekah po Sloveniji variirajo glede na lokacijo vzorčenja in so podobne ali višje od vrednosti, izmerjenih v reki Savi v okolici NEK. Povprečna koncentracija aktivnosti Cs-137 v letu 2021 je bila od 0,17 Bq/m³ v Savi v Lazah pri Ljubljani do 5,2 Bq/m³ v Muri [18].

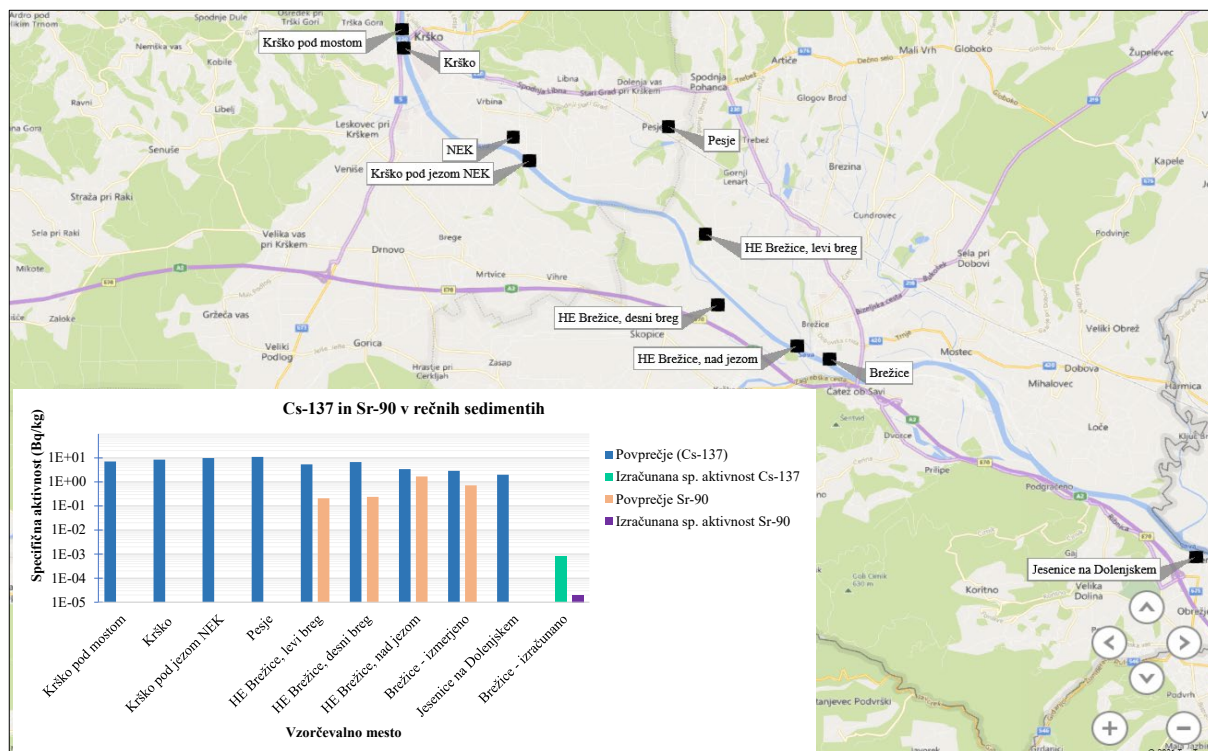
Radioaktivni stroncij (Sr-90) je redno izmerjen v tekočinskih izpustih NEK. V letu 2021 je bila izpuščena aktivnost v reko Savo 0,04 MBq, kar je enako kot v letu 2020 ter nižje kot v letih pred tem. Tudi vsebnost Sr-90 v reki Savi pripisujemo globalni kontaminaciji, saj je izračunani prirastek koncentracije aktivnosti Sr-90 v Brežicah, ob upoštevanju letnih tekočinskih izpustov in povprečnega pretoka Save ter privzetku razredčitvenega razmerja na levem bregu v Brežicah, enak 1 E-5 Bq/m³. Tega prispevka ni mogoče ločiti od nehomogeno porazdeljene globalne kontaminacije.

Večina stroncija je raztopljen v vodi. Koncentracija aktivnosti Sr-90 v filtrskem ostanku je bila v večini primerov pod mejo detekcije. Na splošno so koncentracije stroncija v vodi do 10-krat višje kot pri ceziju. Povprečna koncentracija aktivnosti Sr-90 v filtrirani vodi na referenčnem mestu Krško je bila 1,1 Bq/m³, nad jezom HE Brežice 1,4 Bq/m³, v Brežicah 1,5 Bq/m³ in v Jesenicah na Dolenjskem 1,8 Bq/m³. V okviru razsutja podatkov so vrednosti primerljive med seboj. Koncentracije aktivnosti Sr-90 v posamičnih vzorcih nefiltrirane vode so v okviru negotovosti enake kot v neprekinjeno vzorčenih vzorcih filtrirane vode. Na vseh lokacijah so četrtletna povprečja od 1,3 Bq/m³ do 3,4 Bq/m³. Najvišja posamična izmerjena vrednost je bila v Jesenicah na Dolenjskem na desnem bregu 8,9 Bq/m³.

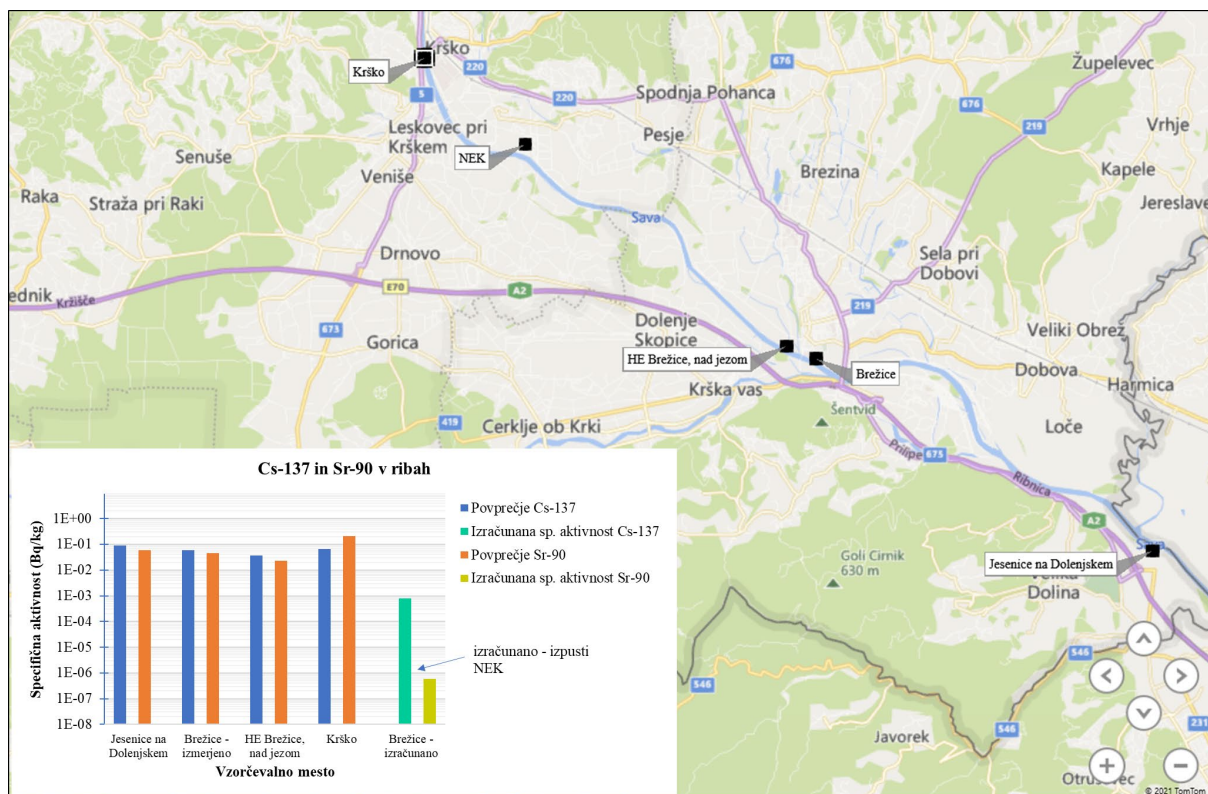
Povprečne koncentracije aktivnosti stroncija v drugih rekah po Sloveniji se ne razlikujejo od rezultatov meritev, izmerjenih v Savi v okolici NEK. Povprečna koncentracija, izmerjena v Savi na lokaciji Laze pri Ljubljani, je bila 2,6 Bq/m³, v Dravi 1,8 Bq/m³ in v Muri 2,5 Bq/m³ [18].

Na sliki I3 prikazujemo povprečne specifične aktivnosti Cs-137 in Sr-90 v obrežnih sedimentih vzvodno in nizvodno od jezua NEK. Vsebnosti obeh radionuklidov v sedimentih pripisujemo globalni kontaminaciji, saj tekočinski izpusti iz NEK prispevajo specifični aktivnosti 8 E-4 Bq/kg za Cs-137 in 2 E-5 Bq/kg za Sr-90 v obrežnih sedimentih v Brežicah. Prispevka sta zanemarljiva v primerjavi s povprečnima specifičnima aktivnostima 4,5 Bq/kg za Cs-137 in 0,7 Bq/kg za Sr-90 v letu 2021 na istem mestu.

Na sliki I4 prikazujemo povprečne specifične aktivnosti Cs-137 in Sr-90 v ribah vzvodno in nizvodno od jezua NEK. aktivnosti pripisujemo globalni kontaminaciji, saj sta prispevka radionuklidov zaradi tekočinskih izpustov iz NEK od štiri do pet velikostnih redov nižja od izmerjenih vrednosti.



Slika I3: Specifične aktivnosti Cs-137 in Sr-90 v sedimentih v letu 2021. Povprečje Sr-90 v Krškem je bilo pod mejo detekcije. Skala je logaritemska.



Slika I4: Specifične aktivnosti Cs-137 in Sr-90 v ribah v letu 2021. Skala je logaritemska.



Drugi fisijski in aktivacijski produkti (Co-58, Co-60, Mn-54, Ag-110m, Sb-125) se redno pojavljajo v tekočinskih izpustih NEK. Skupna aktivnost teh radionuklidov v letu 2021 je bila vsaj šest velikostnih redov nižja od tritijeve. Cs-134 je bil v tekočinskih izpustih nazadnje izmerjen leta 2016. V zadnjih nekaj letih ni bil zaznan v okolju noben od naštetih radionuklidov. Nazadnje je bil detektiran Co-60 v letih 2003 in 2006 v vodi in sedimentu, Cs-134 pa v sedimentih leta 2002.

Naravni radionuklidi uranove (U-238, Ra-226 in Pb-210) in torijeve (Ra-228 in Th-228) razpadne vrste so bili redno zaznani v vseh vzorcih vode. V savski vodi so bile na vseh odvzemnih mestih koncentracije aktivnosti U-238 do 6,1 Bq/m³, Ra-226 do 4,4 Bq/m³, Pb-210 do 34 Bq/m³, Ra-228 do 3,9 Bq/m³, Th-228 do 2,8 Bq/m³ in Be-7 do 360 Bq/m³. Koncentracije aktivnosti naravnih radionuklidov v vodi so tako podobne izmerjenim v rekah po Sloveniji.

Povprečne koncentracije aktivnosti K-40 so od 7,4 Bq/m³ do 76 Bq/m³ na vseh lokacijah od referenčne lokacije v Krškem do Jesenic na Dolenjskem. Za K-40 je značilno izrazito nihanje, ki je povezano predvsem z onesnaženostjo rek, v manjši meri pa tudi z geološko sestavo tal. Koncentracija aktivnosti K-40 v rekah po Sloveniji variira, kot je to značilno za geološko raznovrstnost slovenskega ozemlja. Povprečna koncentracija aktivnosti K-40 v rekah v letu 2021 je bila od 12 Bq/m³ v reki Soči do 255 Bq/m³ v Savinji. Najvišja koncentracija aktivnosti je bila v Savinji (369 ± 12) Bq/m³. Povišano vsebnost kalija lahko razlagamo s povišano sedimentacijo reke (mešanje vode in zemljine) na mestu odvzema (npr. po čistilni napravi v Laškem) [18].

V sedimentih so bile na vseh odvzemnih mestih specifične aktivnosti U-238 do 52 Bq/kg, Ra-226 do 70 Bq/kg, Pb-210 do 130 Bq/kg, Ra-228 do 54 Bq/kg in Th-228 do 43 Bq/kg. Povprečne specifične aktivnosti K-40 so bile od 290 Bq/kg (Brežice) do 560 Bq/kg (Krško). V sedimentu je bil občasno zaznan Be-7 z razponom od 0 Bq/kg do 280 Bq/kg na vseh lokacijah.

V efluentih NEK naravni radionuklidi niso prisotni, zato ne ocenjujemo njihove obremenitve na okolje.

2) Vodovodi in črpališča (*Izvleček poglavja Radioaktivnost v pitni in podzemni vodi*)

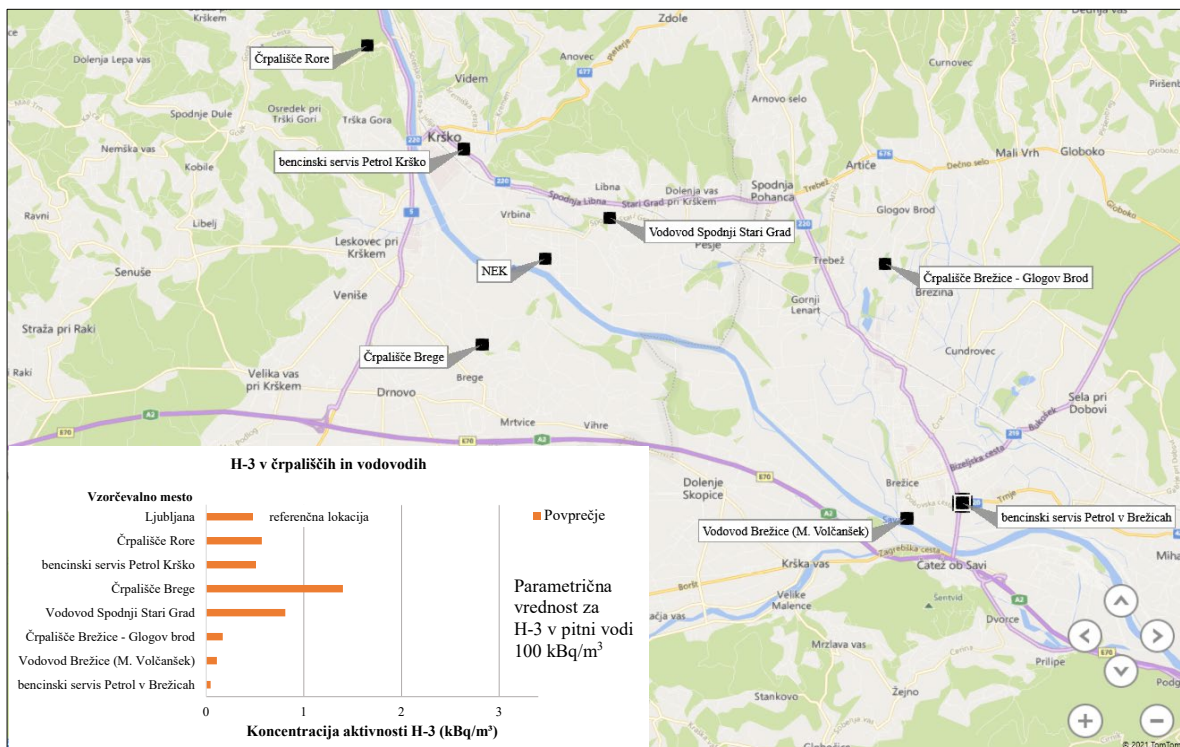
Koncentracija aktivnosti tritija v pitni vodi v okolici NEK je istega velikostnega reda kot drugod po Sloveniji. Vsebnosti tritija na Bregah so najvišje v Sloveniji in so nedvomno posledica učinka NEK, vendar tudi najvišje vrednosti še vedno dosegajo manj kot 2 % parametrične vrednosti⁴ direktive Evropske komisije za pitne vode. Poleg rednih mesečnih odvzemov vode na črpališčih in vodovodih v občinah Krško in Brežice je bila tudi v letu 2021 analizirana voda s posamičnimi odvzemi na bencinskih servisih Petrol v Krškem in v Brežicah. Vrednosti za vodo iz brežiškega vodovoda so nizke. V vzorcih krškega vodovoda je bilo povprečje primerljivo s koncentracijo aktivnosti v ljubljanskem vodovodu. Pregled povprečnih mesečnih koncentracij aktivnosti H-3 v pitni vodi iz črpališč in vodovodov v krški in brežiški občini je na sliki I5. V legendi je za primerjavo dodana še koncentracija aktivnosti H-3 v vodovodu Ljubljana [19].

Zaradi nadzora izmenjave vode med Savo in podzemno vodo na krško-brežiškem polju se že od začetka obratovalnega merilnega nadzora radioaktivnosti v okolici NEK preverja stanje tritija v vrtinah. Voda iz vrtin se ne uporablja niti kot pitna voda niti kot tehnološka voda, ampak le za sledenje izpustov iz NEK. Pregled koncentracij aktivnosti H-3 v vrtinah je na sliki I6.

Radionuklida Cs-137 in Sr-90 sta nehomogeno razširjena na naših tleh. V majhnih količinah se pojavljata tudi v izpustih NEK, vendar je njun učinek na podtalnico zanemarljiv in neločljiv od globalne kontaminacije.

V mesečnih ali četrletnih vzorcih na vseh vzorčevalnih mestih v Krškem in Brežicah ter tudi na Hrvaškem I-131 ni bil zaznan v pitni vodi ali pa je bil pod mejo kvantifikacije.

⁴ Parametrična vrednost je vrednost radioaktivnih snovi v pitni vodi, nad katero organ, pristojen za varstvo pred sevanji, preveri, ali prisotnost radioaktivnih snovi v pitni vodi predstavlja tveganje za zdravje ljudi, na katero se je treba odzvati, ter po potrebi sprejme sanacijske ukrepe za izboljšanje kakovosti vode do take stopnje, da bodo izpolnjene zahteve za varovanje zdravja ljudi z vidika varstva pred sevanjem [9].



Slika I5: Pregled povprečnih mesečnih koncentracij aktivnosti H-3 v pitni vodi iz črpališč in vodovodov v krški in brežiški občini na lokacijah, kjer se vzorčujejo neprekinjeno ali četrtletno. Za primerjavo prikazujemo tudi koncentracijo aktivnosti na referenčni lokaciji (Ljubljana).



Slika I6: Pregled povprečnih mesečnih koncentracij aktivnosti H-3 v vodi iz vrtin v okolici NEK. Voda iz vrtin se ne uporablja niti kot pitna voda niti kot tehnološka voda, ampak le za sledenje izpustov iz NEK.

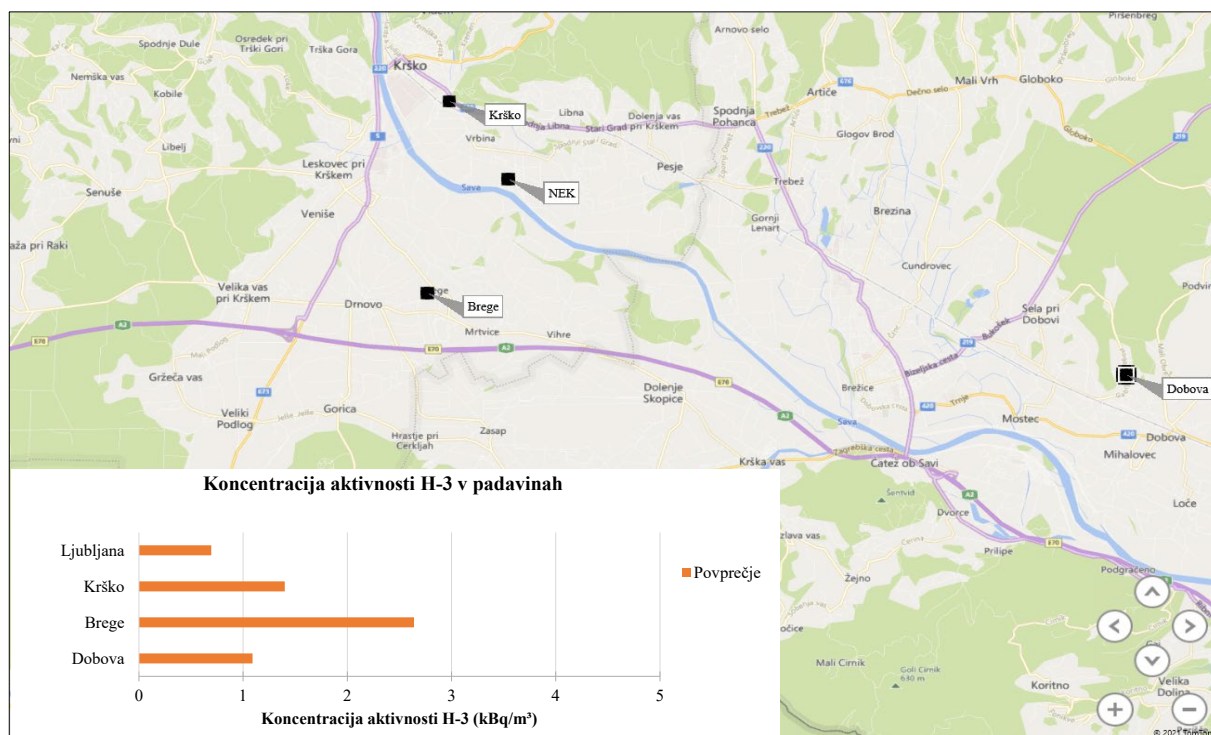


Koncentracije aktivnosti naravnega radionuklida K-40 so bile izmerjene na vseh vzorčevalnih mestih. Na Bregah je bilo povprečje mesečnih koncentracij aktivnosti 57 Bq/m^3 , v vodovodu Spodnji Stari Grad 32 Bq/m^3 , kar je nižje kot v letih 2019 in 2020. Na drugih črpališčih in vodovodih pa je bila povprečna koncentracija aktivnosti K-40 24 Bq/m^3 , kar je v okviru statističnega razsutja podatkov enako kot v letih 2019 in 2020. Domnevamo, da se na krško-brežiškem polju spreminja režim gnojenja kmetijskih površin nad območji vodonosnikov [45] in in da gre za neposredni učinek padavinskega useda in višjih vodostajev Save.

Za vsa vzorčevalna mesta krškega in brežiškega vodovoda velja, da so povprečja mesečnih koncentracij aktivnosti naravnega U-238 nizka, najvišje povprečje mesečnih vrednosti je bilo izmerjeno v črpališču Brežice, in sicer $3,3 \text{ Bq/m}^3$. Povprečje mesečnih koncentracij aktivnosti Ra-226 se giblje od $1,7 \text{ Bq/m}^3$ (vodovod Spodnji Stari Grad) do $3,0 \text{ Bq/m}^3$ (črpališče Brege). Povprečje mesečnih koncentracij aktivnosti Pb-210 je bilo od $2,9 \text{ Bq/m}^3$ v vodi iz vodovoda Spodnji Stari Grad, do 13 Bq/m^3 v vodi iz črpališča Brežice. V Ljubljani je bila koncentracija aktivnosti Pb-210 $7,4 \text{ Bq/m}^3$. Povprečje mesečnih koncentracij aktivnosti Ra-228 v vodovodu Brežice je bilo $0,4 \text{ Bq/m}^3$, v vodovodu Spodnji Stari Grad pa $1,1 \text{ Bq/m}^3$. Povprečja mesečnih koncentracij Th-228 se gibljejo med $0,3 \text{ Bq/m}^3$ (vodovod Spodnji Stari Grad) in $0,6 \text{ Bq/m}^3$ (črpališče Rore). Be-7 je bil občasno detektiran v vseh črpališčih in vodovodih v Krškem in Brežicah. Povprečje mesečnih koncentracij Be-7 je bilo $2,8 \text{ Bq/m}^3$ v črpališču Brežice, najvišje povprečje pa je bilo v vodovodu Brežice in sicer $4,9 \text{ Bq/m}^3$.

3) Padavinski in suhi usedi (*Izvleček poglavja Radioaktivnost v usedih*)

V letu 2021 je bila letna količina padavin v Ljubljani 1475 mm, v Krškem 839 mm, na Bregah 928 mm in v Dobovi 971 mm. Letna količina padavin v okolici NEK je bila v letu 2021 37 % nižja kot v Ljubljani. Količine padavin po lokacijah so v okvirih razsutja podatkov primerljive z zadnjimi leti. Razsutje letne količine padavin je $\pm 60 \text{ mm}$ v Ljubljani, v okolici NEK pa 45 mm. Variacija padavin po mesecih je še izrazitejša. Sušni meseci se pojavljajo praktično vsako leto, vendar ne vedno v istem letnem času.



Slika I7: Pregled povprečnih mesečnih koncentracij aktivnosti H-3 v padavinah v okolici NEK in Ljubljani v letu 2021



Koncentracija aktivnosti tritija v padavinah močno variira in le koncentracije aktivnosti nad 2 kBq/m³ bi lahko pripisali izpustom iz NEK [53]. V letu 2021 je bila koncentracija aktivnosti tritija v padavinah osemkrat višja od 2 kBq/m³, in sicer sedemkrat na Bregah (spomladi in jeseni) in aprila tudi v Krškem. Povprečne mesečne koncentracije aktivnosti H-3 v padavinah so na sliki I7.

Učinek NEK na koncentracije aktivnosti tritija v padavinah v neposredni bližini elektrarne je opazen, če pogledamo letna povprečja, ki so na Bregah in v Krškem (Stara Vas) vsako leto višja kot v Dobovi in Ljubljani. V zimi in pomladi (januar–april) so bile koncentracije aktivnosti tritija na Bregah višje od povprečne vrednosti, kar se sklada z zračnimi izpusti, ki so bili takrat najvišji v letu. Prav tako so bile koncentracije aktivnosti tritija višje od povprečja na Bregah oktobra in decembra. Povezanost med zračnimi izpusti in izmerjeno koncentracijo aktivnosti H-3 je letos zaznana na vseh vzorčevalnih mestih v okolici NEK in sicer ima vzorčni korelacijski (Pearsonov) koeficient [49] najvišjo vrednost v Krškem (0,9), nato sledita Brege (0,6) in Dobova (0,5). Na referenčnem vzorčevalnem mestu v Ljubljani je koeficient korelacije blizu ničle, kar kaže na to, da ni povezave.

V Dobovi je časovni potek koncentracij aktivnosti H-3 podoben kot na referenčni lokaciji v Ljubljani. Mesečne vrednosti so v povprečju za 70 % višje kot v Ljubljani. Koncentracije aktivnosti tritija v grobem sledijo naravnim letnim gibanjem tritija v ozračju severne zemeljske poloble, kjer so vrednosti poleti v splošnem višje kot pozimi [52]. Na drugih dveh lokacijah so mesečne koncentracije aktivnosti H-3 od 2- do 5-krat višje kot v Ljubljani.

Najvišji mesečni padavinski used H-3 je bil izmerjen na Bregah 0,43 kBq/m² v mesecu aprilu. Vrednosti in časovni poteki usedov za Ljubljano, Dobovo in Krško so v okviru razsutja vrednosti primerljivi, vrhovi se skladajo z meseci, ko je bilo padavin več. Časovni potek za Brege je drugačen od preostalih in kaže na učinke delovanja elektrarne na usede. Najvišje vrednosti sledijo mesecem z največjo količino padavin pomladi, jeseni pa takšne povezanosti ni.

Najvišja koncentracija aktivnosti Cs-137 v padavinah za kraje v okolici NEK je bila ugotovljena v februarjem vzorcu v Krškem (3 ± 1) Bq/m³, medtem ko so bile koncentracije aktivnosti cezija na preostalih lokacijah v vseh mesecih manj kot 1 Bq/m³. Izrazit odmik koncentracije aktivnosti Cs-137 od povprečja v Krškem pripisujemo resuspenziji s tal in manjši količini vzorca. Številni merski rezultati imajo veliko negotovost, kar pomeni, da so vrednosti pod mejo kvantifikacije, prav tako je bilo tudi več kot polovica (7–8) mesecev, ko Cs-137 v padavinah nismo zaznali.

Najvišje izmerjene vrednosti padavinskega useda za Cs-137 so bile: v Ljubljani 0,02 Bq/m² maja, na Bregah 0,01 Bq/m² januarja, v Krškem 0,08 Bq/m² februarja in v Dobovi 0,03 Bq/m² januarja, v vseh primerih pri majhni oziroma manjši količini padavin, razen v Krškem, ko je junija padla zmerna količina padavin. V takšnih primerih povišanje pripisujemo resuspenziji delcev s tal, v zimskih mesecih pa še kurjenju s trdimi gorivi.

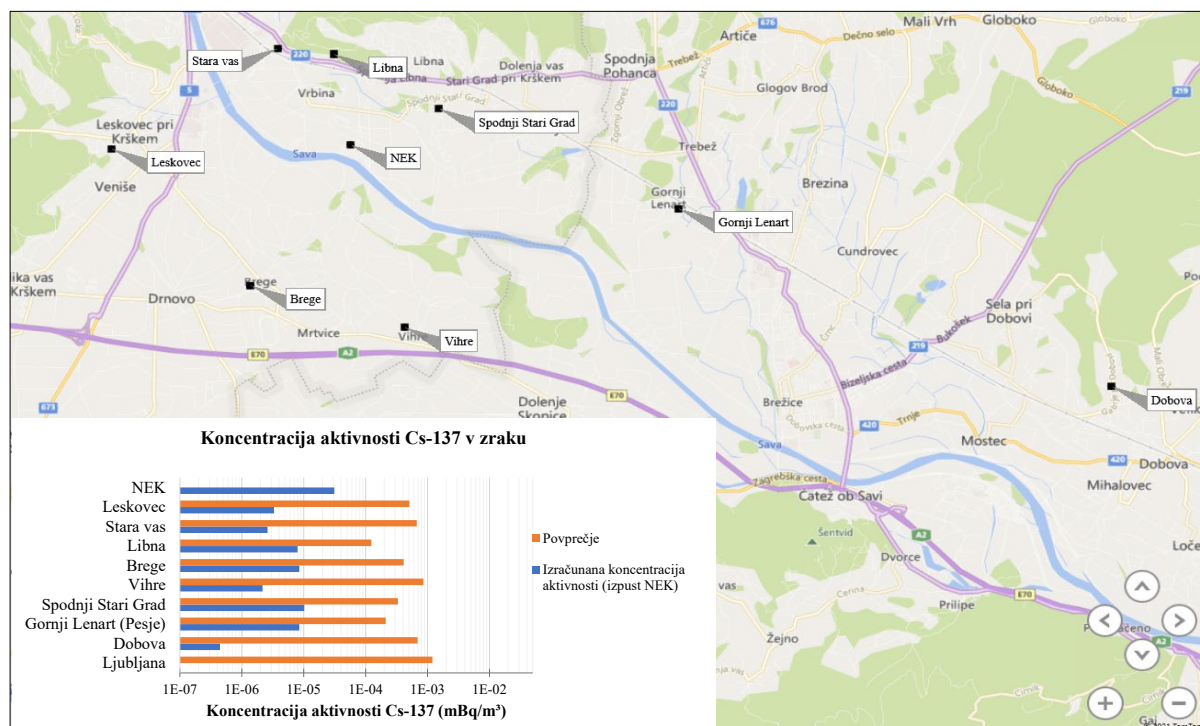
Used je na vseh lokacijah primerljiv z vrednostmi iz predčernobilskega obdobja med letoma 1982 in 1985.

Tudi v letu 2021 Sr-90 nismo posebej obravnavali, saj so bile vse izmerjene vrednosti pod mejo detekcije in tako ne moremo oceniti učinka delovanja NEK na okolje zaradi izpustov Sr-90.

4) Zrak (*Izvleček poglavja Zrak*)

Čeprav je v zračnih izpustih iz NEK največ tritija H-3 (6,7 TBq) in C-14 (0,1 TBq), le-teh v okolju ne ugotavljamo oziroma nista v programu meritev. Njunjo prisotnost v okolju ocenjujemo z uporabo modela razširjanja snovi po zraku na podlagi meritev na izviri.

Med obratovanjem so bili v izpuhu NEK v letu 2021 zaznani izpusti I-131, Co-58, Co-60, Se-75, Ag-110m, Te-125m, Te-127m, Cs-137 in Sr-90, vendar ti radionuklidi z izjemo zadnjih dveh niso bili detektirani na nobenem od sedmih merilnih mest v okolici NEK in v Ljubljani. Izračunane koncentracije aktivnosti Cs-137 in Sr-90 so na vzorčevalnih postajah najmanj tri rede velikosti nižje od izmerjenih vrednosti. Cs-137 in Sr-90 sta v okolju tako pretežno posledica splošne kontaminacije.



Slika I8: Pregled povprečnih mesečnih in izračunanih (ocenjenih) koncentracij aktivnosti Cs-137 v zraku v okolici NEK in Ljubljani

Povprečne mesečne koncentracije aktivnosti Cs-137 na lokacijah v okolici NEK v letu 2021 so dvakrat nižje kot drugod po Sloveniji. Domnevamo, da je prisotnost Cs-137 v zraku posledica uporabe trdih goriv (drva, briketi, peleti), manj pa zaradi resuspenzije prašnih delcev s tal. Na sliki I8 je pregled koncentracij aktivnosti Cs-137 (izmerjenih in izračunanih – upoštevamo Lagrangeeve razredčitvene koeficiente) na lokacijah v okolici NEK. Za primerjavo je dodana še vrednost za Ljubljano. Skala je logaritemska.

Meritve stroncija Sr-90 v okolju se izvajajo v trimesečnih sestavljenih vzorcih. v prvi polovici leta 2021 so bile meritve opravljene v Dobovi, v drugi polovici leta pa v Stari vasi. Povprečni koncentraciji aktivnosti v letu 2021 sta bili $6,5 \text{ E-7}$ v Dobovi, v Stari vasi pa $1,4 \text{ E-4}$ mBq/m^3 . Radionuklid Sr-89 v letu 2021 v zračnih izpustih NEK ni bil zaznan.

Radionuklid I-131 v letu 2021 ni bil detektiran na nobenem od sedmih merilnih mest v okolici NEK, kjer so postavljene kombinirane črpalke (aerosolni in ogljeni filtri). Tudi zmogljivejše aerosolne črpalke na mestih v Dobovi (nadzor radioaktivnosti v okolju v okolici NEK) in Ljubljani (nadzor radioaktivnosti v okolju v RS) niso pokazale prisotnosti I-131 v zraku.

Meritve naravnih radionuklidov v aerosolih v vzorcih iz okolice NEK kažejo prisotnost radionuklidov, ki jih merimo v okviru nadzornih meritev tudi na drugih mestih v Sloveniji. Pri tem velja, da se povprečni koncentraciji aktivnosti Be-7 in Pb-210 v letu 2021 v okviru negotovosti povprečja dobro ujemata na vseh merilnih mestih v okolici NEK in Ljubljani. Povprečna koncentracija aktivnosti Be-7 v letu 2021 v okolici NEK je bila $3,4 \text{ mBq/m}^3$, Pb-210 pa $0,6 \text{ mBq/m}^3$. V Ljubljani sta bili povprečni koncentraciji $4,6 \text{ mBq/m}^3$ in $0,8 \text{ mBq/m}^3$. Za kozmogeni Be-7 ugotavljamo, da je bila v okviru negotovosti povprečij na vseh vzorčevalnih mestih v okolici NEK, Murski Soboti in v Ljubljani izmerjena primerljiva vrednost, izjema je lokacija Predmeja, kjer so vrednosti za velikostni red višje, kar je najverjetneje lastnost dobro prevetrene lokacije in posledično višjih koncentracij v zraku. Podobno velja tudi za Pb-210. Taka ugotovitev je pričakovana predvsem za lokacije s podobnim padavinskim režimom in ustrezno podobnim izpiranjem aerosolov iz ozračja ter prehajanjem zračnih mas iz višjih plasti atmosfere v nižje.

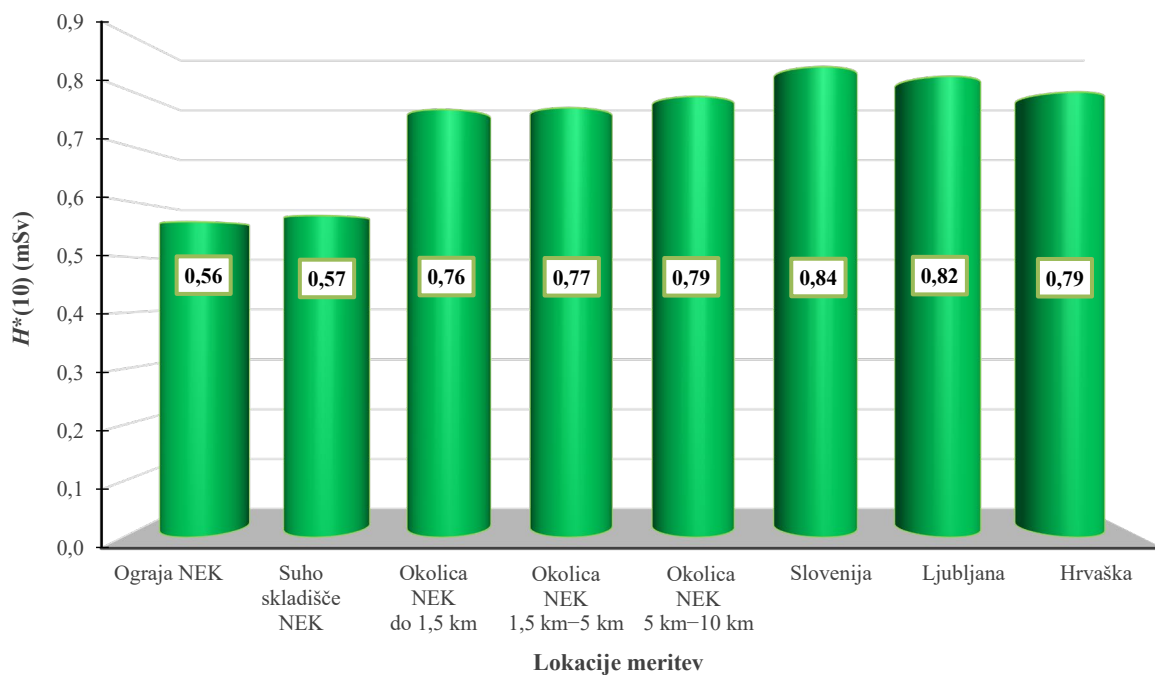


Pri drugih naravnih radionuklidih (izotopi uranove in torijeve razpadne verige ter K-40) so bile razlike med posameznimi merilnimi mesti v okolici NEK večje. Neujemanje lahko pripišemo različni sestavi tal, bližini obdelovalnih polj ter neupoštevanju izhajanja radona iz vzorca pri meritvah Ra-226 za vzorce iz Predmeje in Murske Sobote ter uporabi zračnih črpalk z različnimi pretoki. Meritve koncentracije aktivnosti radionuklidov v aerosolih v Ljubljani se zaradi najbolj zmogljive črpalke v primerjavah uporabljajo kot referenčne.

5) Zunanja izpostavljenost sevanju (*Izveček poglavja Zunanje sevanje*)

Zunanje sevanje

Zunanje sevanje, ki mu je izpostavljeno prebivalstvo v okolici NEK, vključuje kozmično sevanje, sevanje naravnih radionuklidov v ozračju (predvsem razpadnih produktov radona), sevanje iz radioaktivnega oblaka ob izpustu radioaktivnih snovi iz NEK v okolje in zunanje sevanje zaradi useda, ki se odloži po prehodu oblaka, ter zunanje sevanje zaradi naravnih in umetnih radionuklidov v zemlji. Ker okoljski TLD ne merijo doze nevtronske komponente kozmičnega sevanja, smo jo izračunali z uporabo programa EXPACS ([74], [75], [76]). Program omogoča izračun doze, ki je posledica posameznih komponent kozmičnega sevanja, vključno z nevtronsko komponento za poljubno geografsko dolžino in širino. Mreža TLD tako meri skupno dozo sevanja gama naravnih radionuklidov v okolju, direktne ionizirajoče komponente kozmičnega sevanja ter prispevka globalne kontaminacije s Cs-137.



Slika I9: Za leto 2021 prikazujemo primerjavo med povprečnimi okoljskimi doznimi ekvivalenti $H^*(10)$, izmerjenimi v okolici NEK, na referenčni lokaciji v Ljubljani in povprečnimi ekvivalenti, izmerjenimi na Hrvaškem v okviru programa nadzora radioaktivnosti v okolici NEK, ter povprečnimi ekvivalenti izmerjenimi v okviru meritev radioaktivnosti v življenjskem okolju v Republiki Sloveniji.

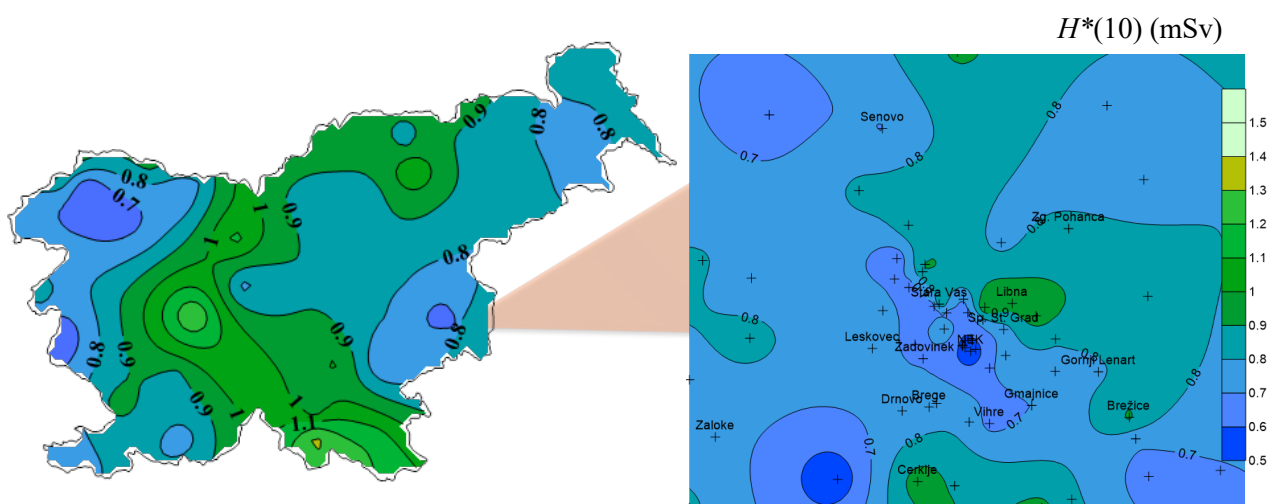


Na sliki I9 prikazujemo primerjavo med povprečnimi letnimi okoljskimi doznimi ekvivalenti $H^*(10)$, izmerjenimi v okolici NEK, na referenčni lokaciji v Ljubljani in povprečnimi ekvivalenti izmerjenimi na Hrvaškem v okviru programa nadzora radioaktivnosti v okolici NEK ter povprečnimi ekvivalenti izmerjenimi v okviru meritev radioaktivnosti v življenjskem okolju v Republiki Sloveniji. Izmerjeni letni okoljski dozni ekvivalenti se v okviru razsutja vrednosti ne odmikajo od večletnega povprečja na posameznih lokacijah. Najnižji letni $H^*(10)$ je ob ograji NEK, saj so tam prodnata tla z odstranjeno plastjo zemlje. Zunanje sevanje iz zemljišča dodatno slabijo še asfaltirane površine in zgradbe znotraj ograje NEK. V okviru predobratovalnega monitoringa za suho skladišče smo v juniju 2021 postavili 7 dozimetrov ob zahodni ograji NEK. Povprečen polletni dozni ekvivalent je bil $(0,57 \pm 0,01)$ mSv, kar je v okviru negotovosti meritev primerljivo s polletnim doznim ekvivalentom, ki smo ga izmerili s TLD na ograji NEK. To kaže, da je prispevek NEK k dozni obremenitvi v okolici zaradi sevanja iz objektov NEK zanemarljiv in nemerljiv.

Meritve v Sloveniji kažejo, da je povprečni letni okoljski dozni ekvivalent v okolici NEK sistematično nekoliko nižji kot v življenjskem okolju v Sloveniji. To pripisujemo raznolikosti slovenske pokrajine, orografiji, sestavi tal, debelini snežne odeje, neenakomernemu usedu Cs-137 po nesreči v jedrskem reaktorju v Černobilu..., kar vpliva na dozo zunanjega sevanja. Tudi v krajih v okolici NEK so določene raznolikosti pokrajine, dodatno pa k nihanjem efektivnih doz izmerjenih s TLD na bližnjih lokacijah prispevajo še lokalne posebnosti pri postavitvi dozimetrov v okolju (travniki, polje, gozd, asfaltirane površine, bližine zgradb, temperatura tal itd.). Na sliki I10 prikazujemo izodoze⁵ $H^*(10)$ na zemljevidu Slovenije. Povečano je prikazano območje v okolici NEK.

Neprekinjene meritve $H^*(10)$ s 14 merilniki MFM v okolici NEK so v letu 2021 dale povprečno vrednost $(0,85 \pm 0,15)$ mSv na leto (v razponu od 0,65 mSv do 1,16 mSv), kar je v okviru razsutja merskih vrednosti enako kot letni dozni ekvivalent, dobljen s TL-dozimetri.

Povprečni letni okoljski dozni ekvivalent pri 60 merilnikih, ki so pod nadzorom URSJV, je bil v letu 2021 $(0,88 \pm 0,15)$ mSv v razponu od 0,60 mSv do 1,27 mSv. V okviru razsutja merskih vrednosti je enak, kot ga kažejo meritve s TLD na območju Slovenije. V primerjavi s prejšnjimi leti ne opazimo statistično značilnih odklikov.



Slika I10: Povprečni letni okoljski dozni ekvivalent $H^*(10)$ po Sloveniji in v okolici NEK v letu 2021

⁵ Izodoze so krivulje, ki povezujejo področja z enako letno efektivno dozo $H^*(10)$.



Primerjava med rezultati meritev z MFM in TLD je le informativna, saj merilniki MFM niso namenjeni meritvam okoljskega doznega ekvivalenta ozadja. Iz rezultatov meritev ugotavljamo, da se na posameznih lokacijah vrednosti, izmerjene z MFM in TLD, lahko razlikujejo tudi za 30 %, kar je posledica različne podlage na mestih, kjer sta na določeni lokaciji postavljena merilnika MFM in TLD. Na IJS, kjer sta oba merilnika postavljena v neposredni bližini, se vrednost ($0,76 \pm 0,03$) mSv, določena z MFM, v okviru negotovosti ujema z vrednostjo ($0,82 \pm 0,09$) mSv, določeno s TLD.

Za meritve zunanjega sevanja v Sloveniji je v vseh primerih značilno izrazito zmanjševanje letnega okoljskega doznega ekvivalenta, predvsem v prvih letih po černobilski nesreči (1986). Tak potek se nadaljuje tudi v letu 2021. Vzrok je razpad usedlih kratkoživih sevalcev gama, ki so v začetnem obdobju največ prispevali k zunanjemu sevanju, in prodiranje Cs-137 v zemljo. Letni okoljski dozni ekvivalenti zaradi globalne kontaminacije s Cs-137 na lokacijah v okolici NEK, ocenjeni pri predpostavki realne globinske porazdelitve Cs-137, so v območju med 0,002 mSv in 0,028 mSv. To je primerljivo z vrednostmi na lokacijah, kjer se zemlja vzorčuje v okviru nadzora radioaktivnosti v Republiki Sloveniji. Tam so ocenjene letne doze $H^*(10)$ v območju od 0,011 mSv do 0,042 mSv.

Zemlja

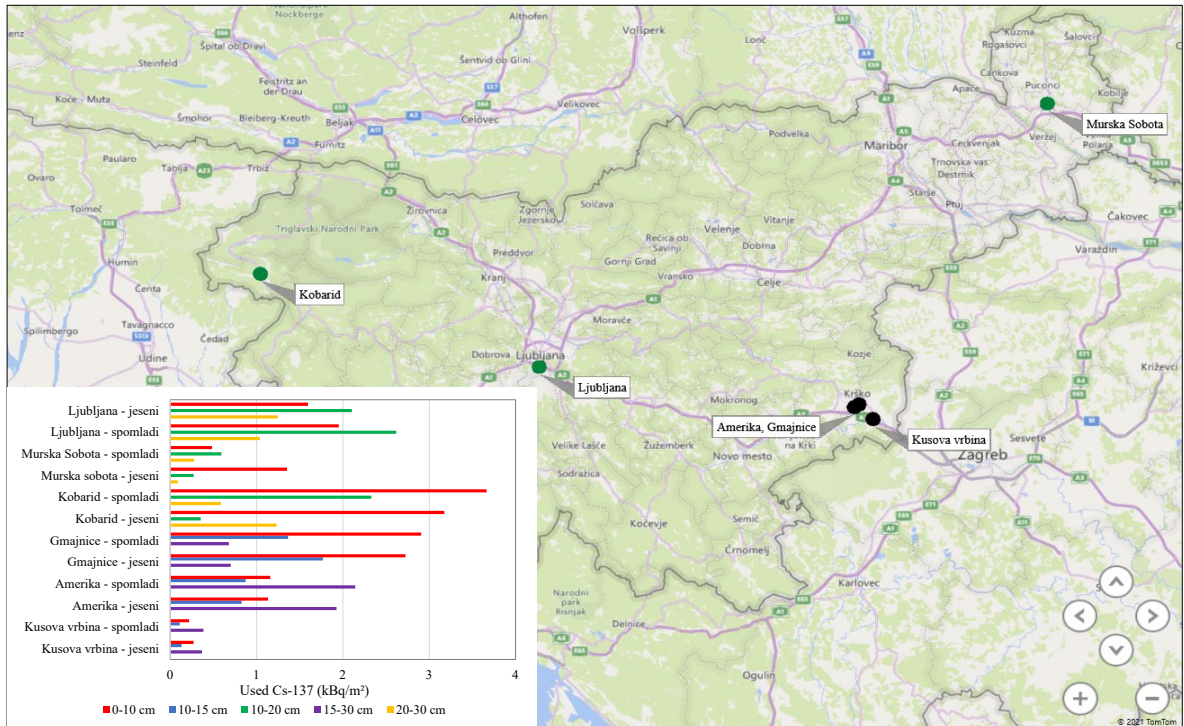
Vzorčenje zemlje poteka na poplavnih področjih, kjer sta usedanje iz zraka in poplavljanje prenosni poti, po katerih lahko izpusti NEK dosežejo mesto vzorčenja.

Specifične aktivnosti Cs-137 v zemlji so bile v letu 2021 od 2,4 Bq/kg v globinah 5–10 cm in 10–15 cm na lokaciji Kusova Vrbinca do 47 Bq/kg v globini 5–10 cm v Gmajnicah. Iz rezultatov meritev je razvidno, da gre za precejšnje razsutje specifičnih aktivnosti Cs-137 na mikrolokaciji v posameznih letih. Nihanja vrednosti lahko pripišemo nehomogenosti svežega nanosa po černobilski nesreči in prerazporeditvi useda na mikrolokaciji. Prerazporeditev je posledica hidrogeoloških procesov, ki vplivajo na prodiranje Cs-137 v zemljo. To ugotovitev lahko podkrepimo z ugotovljenim premikanjem težišča nanosa v globino na lokaciji Kusova Vrbinca. Dva izrazita skoka v globini težišča sta vsekakor posledica poplav, ki so povzročile dodaten nanos sveže mivke. To je tudi razlog, da je prodiranje Cs-137 v zemljo navidezno hitreje kot na drugih dveh lokacijah. Začetna globina težišča nanosa na lokaciji Kusova Vrbinca, upoštevajoč podatke od leta 1992, je ustrezno večja. Dodatno lahko ugotovimo, da se šele v 10-letnem drsečem povprečju izpovpreči lokalna nehomogenost useda in vpliv hidrogeoloških procesov v zgornjih plasteh. Na slikah I11 in I12 prikazujemo usede Cs-137 in Sr-90 po globinah za lokacije v okolici NEK, za primerjavo pa so dodani še usedi po Sloveniji. Opazimo lahko, da so usedi v okolici NEK v okviru razsutja primerljivi s podatki po Sloveniji.

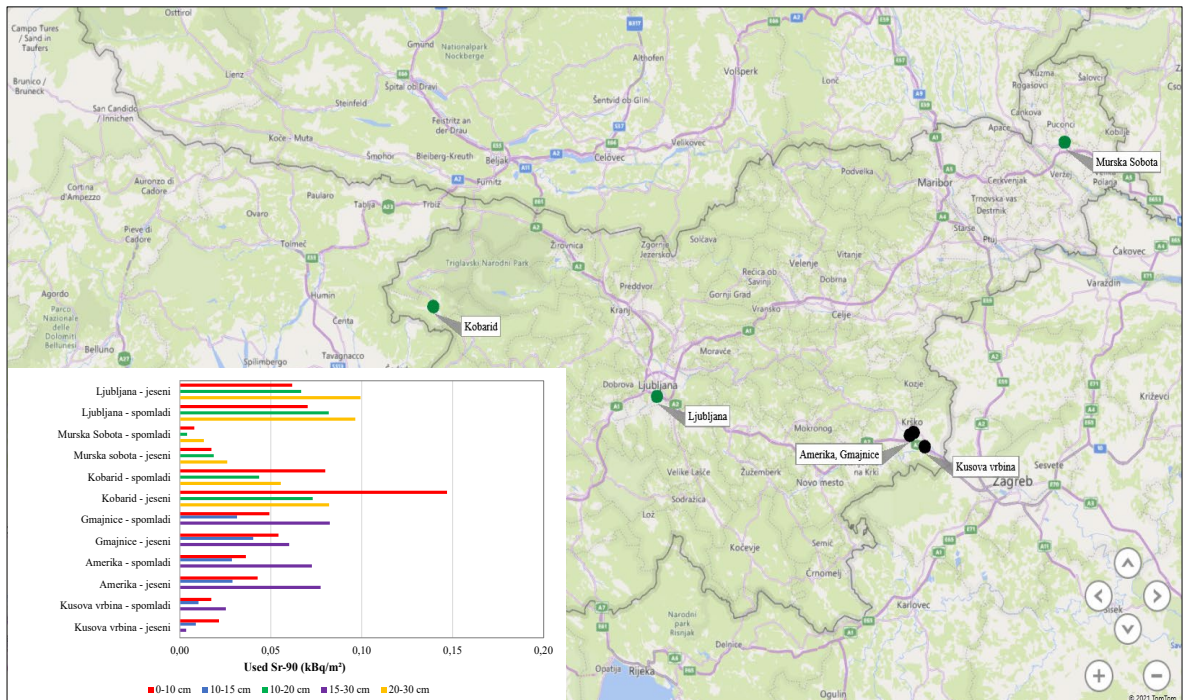
Sicer so se v izpuhu NEK poleg kratkoživih radionuklidov v letu 2021 pojavili tudi Co-58, Co-60, Se-75, Ag-110m, in Cs-137, katerih prisotnosti v usedu zemlje nismo zaznali.

Noben od radionuklidov, ki so bili prisotni v tekočinskih izpustih (Mn-54, Co-58, Co-60, Nb-95, Ag-110m, Sb-125 in Cs-137), ni bil izmerjen v vzorcih zemlje. Izjema je Cs-137, pri katerem pa izmerjene specifične aktivnosti na lokacijah okrog NEK v primerjavi z vrednostmi na referenčni lokaciji v Ljubljani in drugod po Sloveniji kažejo, da ni posledica izpustov iz NEK, temveč zgolj globalne kontaminacije.

Naravni radionuklidi, potomci uranove in torijeve razpadne verige ter K-40 so v zemlji porazdeljeni enakomerno, razen Pb-210, ki se useda iz zraka kot potomec Rn-222. Potomca iz torijevega razpadnega niza Ra-228 in Th-228 sta v ravnovesju v vseh globinah in na vseh lokacijah. U-238 in Ra-226 nista v ravnovesju, ker je uran v vodi topnejši od radija in se zato bolje izpira. Rezultati meritev kažejo, da so specifične aktivnosti potomcev uranove in radijeve razpadne vrste ter K-40 na lokacijah, ki so izpostavljene rednim poplavam, nižje. Tako je bilo povprečje specifičnih aktivnosti K-40 v Kusovi Vrbinca 310 Bq/kg, v Ameriki pa 410 Bq/kg. Povprečja U-238 za vzorčevalne lokacije so od 22 Bq/kg do 34 Bq/kg, Ra-228 pa od 24 Bq/kg v Kusovi Vrbinca do 33 Bq/kg v Ameriki. Pri tem predpostavimo, da sta Ra-228 in Th-232 v sevalnem ravnovesju. Rezultati meritev specifičnih aktivnosti naravnih radionuklidov v zemlji (K-40, U-238, Ra-226, Ra-228, Th-228) se ujemajo s povprečnimi specifičnimi aktivnostmi, 420 Bq/kg za K-40, 33 Bq/kg za U-238 in 45 Bq/kg za Th-232, ki jih za države južne Evrope navaja UNSCEAR [67].



Slika I11: Usedi Cs-137 v okolici NEK (Gmajnice, Amerika, Kusova Vrbina) in po Sloveniji (Ljubljana, Murska Sobota, Kobarid) v letu 2021



Slika I12: Usedi Sr-90 po Sloveniji (Ljubljana, Murska Sobota, Kobarid) in v okolici NEK (Gmajnice, Amerika, Kusova Vrbina) v letu 2021



6) Hrana (Izvleček poglavja Radionuklidi v hrani)

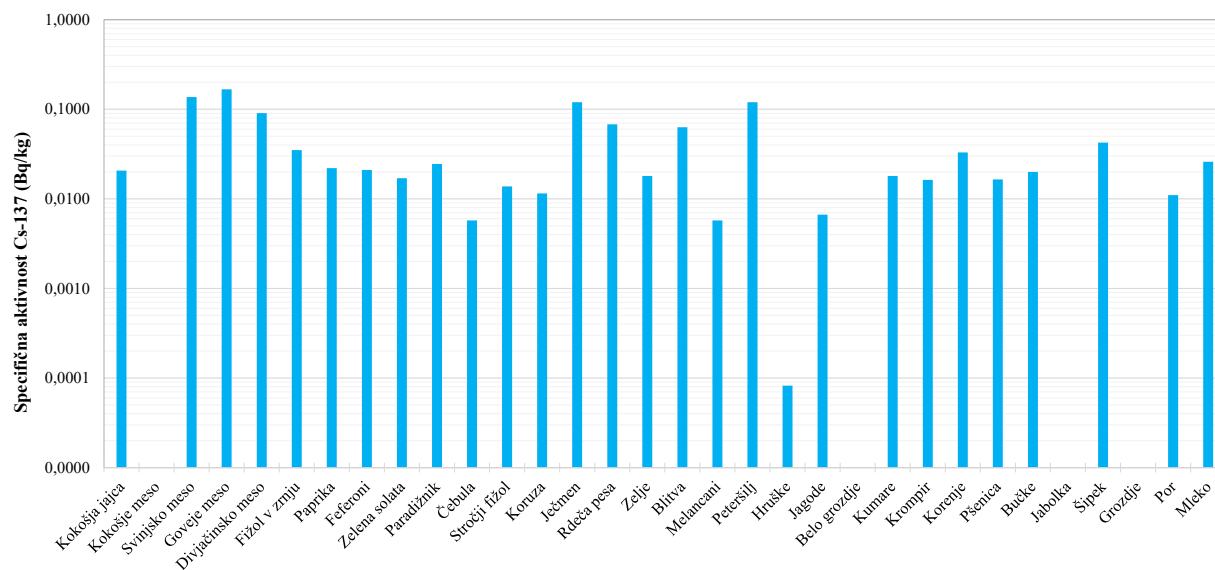
V hrani nismo zaznali radionuklidov, ki so bodisi v zračnih bodisi v tekočinskih izpustih NEK. Izjeme so C-14, Cs-137 in Sr-90, ki pa so pretežno kozmogogenega izvora ali posledica globalne kontaminacije. Meritve specifičnih aktivnosti H-3 v hrani niso v programu nadzora radioaktivnosti v okolici NEK.

C-14 se v rastline vgrajuje v procesu fotosinteze, v živalski in človeški organizem pa prehaja predvsem z zaužitjem rastlinske hrane. Specifična aktivnost C-14 je bila v bližnji okolici NEK v letu 2021 izmerjena v koruzi, pšenici, jabolkah in hruškah in sicer v juliju in septembru. Med povprečnimi vsebnosti C-14 v hrani in rastlinju, merjenih v juliju in septembru na istih lokacijah, ni statistično značilnih razlik. Najvišja izmerjena specifična aktivnost C-14, (304 ± 7) Bq na kilogram ogljika, je bila izmerjena v pšenici (lokacija H, Vrbina-odlagališče odpadkov) v juliju [19].

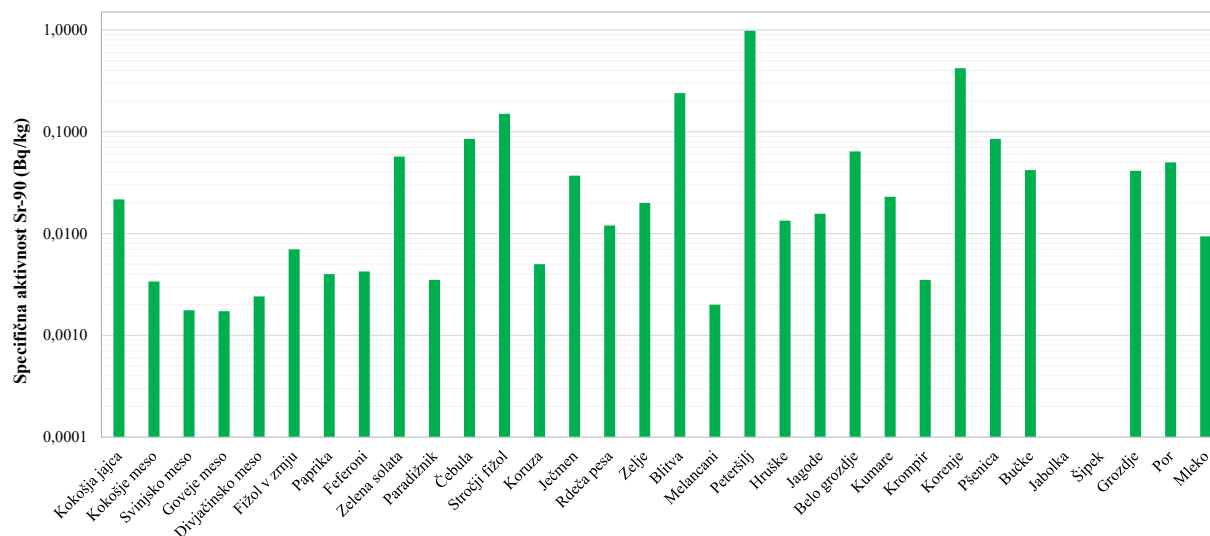
Radionuklida Cs-137 in Sr-90 sta bila v letu 2021 tako v okolici NEK kot drugod po Sloveniji detektirana v vseh skupinah vzorčenih živil. Meritve drugod po Sloveniji je izvedel ZVD v okviru nadzora radioaktivnosti v hrani in živilih v Sloveniji [15]. Na slikah I13 in I14 prikazujemo specifične aktivnosti Cs-137 in Sr-90 v posameznih vzorčenih živilih na lokacijah v okolici NEK. Za primerjavo so še specifične aktivnosti po Sloveniji. Izračunane specifične aktivnosti radionuklidov, ki so v okolje prišli po zračnih izpustih iz NEK, so vsaj pet redov velikosti nižje od izmerjenih specifičnih aktivnosti v hrani. To razloži, da vsebnosti Cs-137 in Sr-90 v hrani pripisujemo globalni onesnaženosti. Specifične aktivnosti radionuklidov v hrani v okolici NEK in po Sloveniji močno variirajo, kar je posledica neenakomerne globalne onesnaženosti, orografije, sestave tal in drugih značilnosti površja Republike Slovenije. V okviru negotovosti povprečij po skupinah hranil so specifične aktivnosti Cs-137 in Sr-90 primerljive za tiste vzorčene v okolici NEK in Sloveniji.

Med naravnimi radionuklidi je v hrani je najbolj zastopan K-40, ki je vnesen po različnih prenosnih poteh iz zemlje, umetnih gnojil in zraka, prisotni pa so tudi radionuklidi iz razpadnih vrst U-238 in Th-232.

V letu 2021 je bila specifična aktivnost K-40 v hrani, pridelani na krško-brežiškem polju, od 32 Bq/kg (jagode) do 208 Bq/kg (peteršilj), v hrani, vzorčeni drugod po Sloveniji, pa od 29 Bq/kg (borovnice) do 463 Bq/kg (fižol). V okolici NEK v skupino z večjo specifično aktivnostjo K-40 spada listna zelenjava in žito, med živila z manjšo aktivnostjo K-40 pa mleko in sadje.



Slika I13: Specifične aktivnosti Cs-137 v hrani v okolici NEK v letu 2021. Navpična skala je logaritemska.



Slika I14: Specifične aktivnosti Sr-90 v hrani v okolici NEK v letu 2021. Navpična skala je logaritemska.

OCENA UČINKOV

Tekočinski izpusti (Tabeli A1 in A2)

Ob delovanju jedrske elektrarne v Krškem so koncentracije aktivnosti izpuščenih radionuklidov, razen H-3, v okolju znatno pod detekcijskimi mejami in je njihov morebitni prispevek težko ločiti od ozadja (C-14, Cs-137). Zato njihov učinek na človeka in okolje posredno ovrednotimo iz podatkov o izpustih v ozračje in tekočinskih izpustih. Z uporabo modelov, ki opisujejo razširjanje radionuklidov po raznih prenosnih poteh v okolju, pa ocenimo izpostavljenost prebivalstva⁶.

Zaradi gradnje HE Brežice in nastanka akumulacijskega jezera je prišlo do sprememb pri načinih in poteh izpostavitve prebivalstva. Sedanja ocena učinkov radionuklidov, ki je opisana v nadaljevanju, temelji na starih predpostavkah in ne upošteva vseh hidravličnih parametrov in konfiguracije struge reke Save, kot so mešanje na jezcu, negotovosti pretokov ter zatekanje reke Save nizvodno v podtalnico (pred izgradnjo akumulacijskega jezera HE Brežice).

V tabelah A1 in A2 je prikazano ovrednotenje tekočinskih emisij z modelnim izračunom za leto 2021, ki temelji na tekočinskih izpustih in podatkih o letnem pretoku reke Save, upoštevajoč značilnosti referenčne osebe (to so ribiči, ki lovijo po akumulacijskem jezeru do 350 m nizvodno od jezca NEK in pod merilno postajo za neprekinjeno vzorčenje v Brežicah, preživijo znaten čas na obrežju in uživajo savske ribe). Iz tabel A1 in A2 lahko ugotovimo, da so prispevki k letni efektivni dozi za odraslega prebivalca 350 m nizvodno od jezca NEK 0,031 % od predpisane omejitve, prispevek v Brežicah pa le 0,015 %.

Če bi upoštevali povprečne navade referenčne osebe, bi bile prejete efektivne doze še nekajkrat nižje. K celotni efektivni dozi tako največ prispeva H-3 (40 %), pri čemer je prevladujoča prenosna pot zaužitje rib. Iz rezultatov meritev C-14 v reki Savi in ribah ugotavljamo, da so specifične aktivnosti C-14 v vodi in ribah enake naravnemu ozadju (globalno onesnaženje). Zaradi zadrževanja na bregu je prevladujoči prispevek obremenitev od izpustov Co-60 in Co-58 (90 %). Zaradi pitja savske vode, kar je malo verjetna prenosna pot, pa bi prevladal prispevek H-3 (100 %).

⁶ Za oceno obremenitve prebivalstva zaradi izpustov iz jedrskega objekta se uporablja referenčna oseba, ki predstavlja posameznika iz prebivalstva, ki prejemajo ali bi lahko prejeli najvišje doze.



Tabela A1: Ocenjena efektivna letna doza posameznika iz prebivalstva na lokaciji 350 m pod jezom NEK

Način izpostavitve	Prenosna pot	Najpomembnejši radionuklidi	Letna doza (mSv)
zunanje sevanje	sevanje iz useda (obrežni sediment)	Co-60	4,2E-6
notranja obsevanost	zaužitje ribe	H-3, C-14	1,1E-5

Tabela A2: Ocenjena efektivna letna doza posameznika iz prebivalstva v Brežicah

Način izpostavitve	Prenosna pot	Najpomembnejši radionuklidi	Letna doza (mSv)
zunanje sevanje	sevanje iz useda (obrežni sediment)	Co-60	2,0E-6
notranja obsevanost	zaužitje ribe	H-3, C-14	5,3E-6

Atmosferski izpusti (Tabeli B1 in B2)

V ovrednotenju učinka atmosferskih izpustov vključimo naslednje skupine radionuklidov:

- **žlahtni plini**, ki prispevajo izključno k zunanji izpostavitvi ob prehodu oblaka;
- **čisti sevalci beta**, kot sta H-3 in C-14, ki sta biološko pomembna le v primeru vnosa v organizem z inhalacijo (H-3, C-14) in zaužitjem (C-14);
- **sevalci beta/gama** v aerosolih (radionuklidi Co, Cs, Sr) s prenosnimi potmi: inhalacija, zunanje sevanje iz useda, zaužitje rastlin z usedlimi radionuklidi;
- **izotopi joda** v raznih fizikalnih in kemijskih oblikah, s prispevkom pri inhalaciji ob prehodu oblaka in pri vnosu v telo z mlekom.

V tabelah B1 in B2 je prikazano ovrednotenje zračnih emisij z modelnim izračunom razredčitvenih koeficientov v ozračju za leto 2021 in za posamezne skupine radionuklidov po najpomembnejših prenosnih poteh za odrasle prebivalce v naselju Spodnji Stari Grad, ki je najbližje naselje zunaj izključitvenega območja (tabela B1), in ob ograji NEK. Ocene okvirno veljajo tudi za razdaljo 500 m od osi reaktorja (tabela B2). Velja omejitev dodatne izpostavitve prebivalstva na robu izključitvenega območja (500 m od osi reaktorja) in navzven: celotna letna efektivna doza prispevkov vseh prenosnih poti na posameznika iz prebivalstva ne sme preseči 0,050 mSv. Iz tabel B1 in B2 lahko ugotovimo, da so prispevki k letni efektivni dozi za odraslega posameznika iz prebivalca ob ograji NEK ter okvirno tudi na razdalji 500 m od osi reaktorja, 0,32 % od predpisane omejitve, prispevek v Spodnjem Starem Gradu pa le 0,023 %.

Razredčitvene faktorje za zunanje sevanje iz oblaka in inhalacijo od leta 2007 ocenjujemo z Lagrangeevim modelom, ki vključuje značilnosti terena v okolici NEK in večji nabor meteoroloških spremenljivk. Model uporablja vse merjene podatke iz ekološkega informacijskega sistema EIS, ki ga upravlja NEK. Model potrebuje še hitrost izpustnih plinov ter presek ventilacijskega izpusta (pretok plinov skozi glavni izpuh). Po posvetovanju z NEK je bila za temperaturo dimnih plinov izbrana temperatura 25 °C. Prispevek sevanja iz useda je bil do leta 2010 ocenjen še z Gaussovimi modelom z upoštevanjem talnega izpusta [3]. Ocena za zračno imerzijo v letu 2021 je v okviru razsutja podatkov primerljiva z ocenami za prejšnja leta.

Meritve C-14 so bile v letu 2021 izvedene na vzorcih pšenice, koruze, jabolok in hrušk na Institutu Ruđer Bošković iz Zagreba. Rezultati meritev kažejo pričakovano rahlo povišanje specifične aktivnosti C-14 v vzorcih na razdalji do 1 km od osi reaktorja glede na vzorce, vzete na referenčni točki v Dobovi. Ocenjena



letna efektivna doza zaradi zaužitja C-14 je tako v okolici NEK (do 1 km) za $1,4 \text{ E-4 mSv}$ višja kot na kontrolni točki v Dobovi. Pri izračunu doze, prejete zaradi C-14 v okolici NEK, smo konzervativno privzeli, da posamezniki iz prebivalstva uživajo hrano iz neposredne bližine NEK (blizu roba izključitvenega območja) dva meseca v letu, drugih 10 mesecev pa hrano od drugod (Dobova). Iz tega izhaja, da je tudi v računu doze zaradi C-14 upoštevano, da posamezniki iz prebivalstva uživajo hrano, pridelano na krško-brežiškem področju (od ograje NEK do Dobove).

Razlika med računanjem efektivne doze zaradi C-14 in efektivne doze zaradi vnosa drugih radionuklidov v hrano je v tem, da se za C-14 upošteva uteženo povprečje specifične aktivnosti C-14 glede na lokacijo vzorčenja, za druge radionuklide pa to ni mogoče zaradi različnih načinov vzorčenja. Doza C-14 se nanaša na hrano in ne na posamezno vrsto hrane, saj se specifične aktivnosti C-14 (v Bq na kilogram ogljika) v raznih vrstah živil ne razlikujejo. Razmerje med izotopoma C-14 in C-12 je namreč v vseh organizmih konstantno in izraža razmerje med izotopoma v atmosferi. V primeru umetnih izpustov C-14 pa se razmerje med izotopi C-14 in C-12 tako v atmosferi kot v organizmih lahko spremeni, saj izotopi C-14 zamenjujejo izotope C-12 v organskih molekulah.

V letu 2021 je bil v rastlinju analiziran tudi organsko vezan tritij (OBT). Meritve so opravili na IRB [23]. Koncentracije aktivnosti v vseh merjenih vzorcih rastlinja (koruza, jabolka) so od $(1,5 \pm 1,0) \text{ Bq/L}$ na kontrolni lokaciji v Dobovi do $(20,8 \pm 1,7) \text{ Bq/L}$ ob zahodni ograji NEK (lokacija J). Izmerjene vrednosti so pod 100 Bq/L , kolikor je priporočena raven evropske komisije za H-3 v pitni vodi. Dozna obremenitev na posameznika iz prebivalstva zaradi vsebnosti OBT v hrani je z biološkega stališča zanemarljiva (manj kot $1 \text{ E-4 } \mu\text{Sv}$).

Ugotavljamo, da so bili vsi načini izpostavitve prebivalstva (različne referenčne osebe) zanemarljivi v primerjavi z naravnim sevanjem, doznimi omejitvami in avtoriziranimi mejami.

Tabela B1: Izpostavitve sevanju odraslega posameznika iz prebivalstva v naselju Spodnji Stari Grad zaradi atmosferskih izpustov iz NEK v letu 2021

Način izpostavitve	Prenosna pot	Najpomembnejši radionuklidi	Letna doza (mSv)
zunanje sevanje	– imerzija (oblak)	– žlahtni plini (Ar-41, izotopi Xe)	$3,1 \text{ E-7}$
	– sevanje iz useda	– aerosoli (Co-60, Cs-137)	$1,0 \text{ E-11}$
notranja obsevanost	inhalacija (oblak)	H-3, C-14	$1,1 \text{ E-5}$
	zaužitje rastlinske hrane	C-14	0*

* Rezultat je manjši od negotovosti meritve.

Tabela B2: Izpostavitve sevanju odraslega posameznika iz prebivalstva ob ograji NEK zaradi atmosferskih izpustov iz NEK v letu 2021. Ocene okvirno veljajo tudi za razdaljo 500 m od osi reaktorja.

Način izpostavitve	Prenosna pot	Najpomembnejši radionuklidi	Letna doza (mSv)
zunanje sevanje	– imerzija (oblak)	– žlahtni plini (Ar-41, izotopi Xe)	$5,8 \text{ E-7}$
	– sevanje iz useda	– aerosoli (Co-60, Cs-137)	$7,4 \text{ E-11}$
notranja obsevanost	inhalacija (oblak)	H-3, C-14	$1,9 \text{ E-5}$
	zaužitje rastlinske hrane	C-14	$1,4 \text{ E-4}$



Naravno sevanje (Tabela C) – okolica NEK

Meritve zunanjega sevanja v okolici NEK so tudi v letu 2021 potrdile ugotovitve iz preteklosti, da gre za značilno naravno okolje, kot ga najdemo tudi drugje v Sloveniji in v svetu. Letni okoljski dozni ekvivalent $H^*(10)$ sevanja gama in direktne ionizirajoče komponente kozmičnega sevanja v okolici NEK je na prostem v povprečju 0,77 mSv, kar je v okviru razsutja podatkov primerljivo s prejšnjimi leti. K temu je treba dodati še prispevek $H^*(10)$ nevtronskega kozmičnega sevanja, ki je za območje NEK 0,07 mSv na leto. Tako je bila skupna doza naravnega zunanjega sevanja $H^*(10)$ v letu 2021 v okolici NEK 0,84 mSv na leto. Ustrezna letna učinkovita doza (ob upoštevanju pretvorbene faktorjev iz publikacije Radiation Protection 106 [86]) je 0,71 mSv na leto, kar je nižje od podatka za svetovno povprečje (0,87 mSv na leto). V okviru nadzora radioaktivnosti v življenjskem okolju v Republiki Sloveniji za leto 2021 [14], kjer učinkovito dozo zunanjega sevanja merimo s 50 dozimetri, postavljenimi po Sloveniji (glej poglavje *Zunanje sevanje*), smo letno učinkovito dozo ocenili na 0,91 mSv.

Specifične aktivnosti naravnih radionuklidov v hrani v okolici NEK so primerljive s povprečnimi vrednostmi v Sloveniji in svetu. Učinkovita doza za referenčno osebo v okolici NEK je bila ocenjena na 0,26 mSv. Ta vrednost je primerljiva z učinkovito dozo 0,27 mSv zaradi vnosa hrane iz (UNSCEAR [67]). V okviru nadzora radioaktivnosti v življenjskem okolju v Republiki Sloveniji za leto 2021 [14] je bila ocenjena učinkovita doza Pb-210 za zaužitje 0,078 mSv. Če upoštevamo, da Pb-210 prispeva k celotni učinkoviti dozi 21 % (glej poglavje *Radionuklidi v hrani*), lahko grobo ocenimo učinkovito dozo zaradi vnosa hrane na 0,37 mSv. Ta vrednost je višja kot je ocena učinkovite doze zaradi zaužitja na področju NEK. Pri tem je treba upoštevati, da se v okolici NEK in po Sloveniji vzorčijo različne vrste živil. Upoštevati je treba še različni metodologiji vrednotenja porabe živil po različnih starostnih skupinah. Metodologija, ki je bila uporabljena v tem poročilu ([84], [85]), temelji na realni oceni porabe po starostnih skupinah na podlagi potrošnikove košarice. Podatke o porabi živil po starostnih skupinah je za IJS pripravil Nacionalni inštitut za javno zdravje (NIJZ). Zbiranje podatkov na terenu je potekalo v letih 2017 in 2018. Ta pristop je boljši od pristopa, ki ga uporablja Statistični urad RS (SURS), ki temelji na nakupu živil na člana gospodinjstva (primernejše za vrednotenje ekonomskih kazalnikov). Ker je delež neuporabljene hrane nezanemarljiv, menimo, da je pristop NIJZ ustrežnejši in realnejši. Variabilnost Pb-210 in drugih naravnih radionuklidov v hrani in različna pristopa pri oceni porabe živil lahko prispevata različnim ocenam učinkovite doze zaradi zaužitja v okolici NEK in Sloveniji.

Značilni prispevek kratkoživih radonovih potomcev k učinkoviti dozi 1,3 mSv je bil ocenjen v poročilu za leto 2000 (IJS-DP-8340, #3 na strani 7. Ocena velja za okolico NEK in Slovenijo.

Posamezni prispevki k dozi naravnega sevanja so zbrani v tabeli C. Skupna letna učinkovita doza je ocenjena na 2,30 mSv, kar je nižje od povprečja zadnjih 10 let (2,35 mSv) in svetovnega povprečja, ki je 2,4 mSv na leto [67]. Iz poročila nadzora radioaktivnosti v življenjskem okolju v Republiki Sloveniji za leto 2021 [14] lahko ocenimo skupno učinkovito dozo na 2,44 mSv.

Tabela C: Učinkovite doze E zaradi naravnih virov sevanja v okolici NEK v letu 2021

Vir		Letna učinkovita doza E (mSv)
– sevanje gama in neposredno ionizirajoče kozmično sevanje [#]		0,65
– kozmični nevtroni [67]		0,06
zaužitje (K, U, Th) ([67], učinkovita doza) ^{##}		0,26
vdihanje	kratkoživi potomci Rn-222, učinkovita doza) ^{###}	1,3
	naravni radionuklidi (Pb-210) ^{####}	0,04
Skupaj		2,30

Opomba: [#] Ocena učinkovite doze zunanjega sevanja iz okoljskega doznega ekvivalenta doze $H^*(10)$ z upoštevanjem pretvorbene faktorja $E/H^*(10) = 0,84$ za fotone 600 keV [86]. Pretvorbene faktorji v območju od 100 keV do 6 MeV so v območju med 0,84 in 0,89.

^{##} Vzeto iz poglavja *Radionuklidi v hrani*

^{###} Značilni prispevek kratkoživih radonovih potomcev k učinkoviti dozi je bil ocenjen v poročilu za leto 2000 (IJS-DP-8340, #3 na strani 7).

^{####} Vzeto iz poglavja *Zrak*



Naravni radionuklidi

Izmerjene aktivnosti naravnih radionuklidov (uranova in torijeva veriga, K-40, Be-7) se ne razlikujejo bistveno od vrednosti, izmerjenih v drugih krajih Slovenije, in vrednosti, ki jih podaja literatura. To velja tako za reko Savo, podtalnice, vodovode in usede, kot za zrak in hrano. Prav tako velja, da so vrednosti primerljive z vrednostmi iz preteklih let.

Černobilska kontaminacija, poskusne jedrske eksplozije, nesreča v Fukušimi

V letu 2021 sta bila, podobno kot v preteklih letih, od antropogenih radionuklidov v zemlji merljiva še Cs-137 in Sr-90, ki izvirata iz černobilske nesreče in poskusnih jedrskih eksplozij. Učinka radionuklidov, ki so ušli v ozračje po nesreči v japonski jedrski elektrarni v Fukušimi leta 2011, v letu 2021 ni bilo zaznati.

Prispevek Cs-137 k zunanjemu sevanju je bil ocenjen na manj kot 0,014 mSv na leto, kar je 1,7 % povprečne letne zunanje doze zaradi naravnega sevanja v okolici NEK. Ocena se znižuje v primerjavi s preteklimi leti.

Predvidena efektivna doza zaradi inhalacije radionuklidov, ki so posledica splošne kontaminacije (Cs-137 in Sr-90), je za odraslega posameznika iz prebivalstva ocenjena na $2,1 \text{ E-}7$ mSv na leto.

Cs-137 in Sr-90 iz jedrskih poskusov in černobilske nesreče sta bila izmerjena v sledih v posameznih vrstah hrane. Efektivna doza zaradi zaužitja te hrane je bila za leto 2021 ocenjena na $1 \text{ E-}4$ mSv na leto za Cs-137 in $4 \text{ E-}4$ mSv na leto za Sr-90, kar je skupaj 0,5 % letne efektivne doze zaradi naravnih radionuklidov (brez K-40) v hrani. Ocenjena doza je primerljiva s tistimi iz prejšnjih let.

K letni efektivni dozi v hrani največ prispeva C-14, ki je v prehransko verigo prišel po naravni poti in zaradi nadzemnih jedrskih poskusov v 60. letih prejšnjega stoletja.

Povzetek letnih izpostavitv prebivalstva v okolici NEK za leto 2021 (Tabela D)

V tabeli D so predstavljeni posamezni prispevki k letni efektivni dozi zaradi emisij NEK v letu 2021 za odraslo osebo ob ograji NEK. Ocene okvirno veljajo tudi za razdaljo 500 m od osi reaktorja. Izjema je doza zaradi zunanjega sevanja, ki jo merijo TLD. Ob ograji NEK so med gradnjo objekta odstranili vrhno plast zemlje in nasuli prod, zaradi česar je povprečni letni okoljski dozni ekvivalent v okolici NEK za 30 % višji od tistega na ograji NEK. Zaradi tega tu podajamo povprečni okoljski dozni ekvivalent za okolico NEK.

Ko seštejemo vrednosti za atmosferske in tekočinske izpuste, ugotovimo, da je učinek nadzorovanih izpustov iz NEK na prebivalstvo znatno pod avtorizirano mejo. Pri tem je treba poudariti, da gre za različne referenčne osebe (posameznike iz prebivalstva) in je zato seštevek samo groba ocena letne efektivne doze.

Primerjava s preteklimi leti

V okolju v okolici NEK so bili izmerjeni tudi drugi radionuklidi, ki so pretežno del globalne kontaminacije (C-14, Sr-90, Cs-137), uporabe v medicini (I-131) ali kozmogenega izvora (H-3, C-14). Prispevki k letni efektivni dozi po medijih za vse umetne radionuklide, ki jo prejme prebivalstvo (odrasli) iz najbližjih naselij, oziroma referenčnih lokacij, so zbrani v tabeli E, dodana je primerjava s prejšnjimi leti. V letu 2021 je bil največji prispevek od zunanjega sevanja – posledica prisotnosti Cs-137 v zemlji (globalno onesnaženje). Drugi največji prispevek je od C-14 v hrani. Ugotovimo lahko še, da se vsota prispevkov z leti znižuje, k čemur največ prispeva zmanjšana ocena zaradi sevanja Cs-137 iz zemlje.


Tabela D: Povzetek letnih izpostavitv prebivalstva v okolici NEK za leto 2021

Vir	Prenosna pot	Letna efektivna doza (mSv)
naravno sevanje	– gama in neposredno ionizirajoče kozmično sevanje	0,65 ^{**}
	– kozmični nevtroni	0,06
	– zaužitje (K, U, Th)	0,26
	– vdihavanje (kratkoživi potomci Rn-222)	1,30
	– vdihavanje (naravni radionuklidi (Pb-210))	0,04
	Skupaj naravno sevanje v okolici NEK[#]	2,30
NEK – neposredno sevanje ob ograji NEK	– neposredno sevanje iz objektov NEK	nedoločljivo
NEK atmosferski izpusti (na ograji NEK****)	– zunanje sevanje iz oblaka	5,8 E–7
	– zunanje sevanje iz useda (Co-60, Cs-137)	7,4 E–11
	– vdihavanje iz oblaka (H-3, C-14)	1,9 E–5
	– zaužitje (C-14)	1,4 E–4
NEK tekočinski izpusti (Sava)	– referenčna oseba (350 m pod jezom NEK)	1,6 E–5
	– odrasla referenčna oseba, Brežice	7,3 E–6
	Skupaj učinki NEK*	1,8 E–4
černobilska kontaminacija, jedrski poskusi	– zunanje sevanje**	< 1,4 E–2 ^{***}
	– zaužitje rastlinske in živalske hrane (brez C-14)****	5,0 E–4
	– zaužitje rastlinske hrane (C-14)	1,5 E–2
	– zaužitje rib (Sr-90)	9,2 E–5
	Skupaj globalno onesnaženje	2,9 E–2

* Skupna vsota prispevkov NEK je informativna, saj seštevamo prispevke za različne referenčne osebe. Pri skupni vsoti se pri prispevku tekočinskih izpustov upošteva le ocena letne efektivne doze za referenčno osebo – ribiče, ki lovijo 350 m nizvodno od jezua NEK.

** Ocena efektivne doze zunanjega sevanja iz okoljskega doznega ekvivalenta $H^*(10)$ z upoštevanjem pretvorbenega faktorja $E/H^*(10) = 0,84$ za fotone 600 keV [86].

*** V tej oceni ni upoštevano, da se referenčna oseba zadržuje 20 % časa na prostem in da je faktor ščitenja pri zadrževanju v hiši 0,1. Predpostavlja se, da se referenčna oseba zadržuje ves čas na prostem. Gre za konzervativno oceno.

**** Ocena okvirno velja tudi na razdalji 500 m od osi reaktorja.

***** Del pripada kontaminaciji zaradi nadzemnih jedrskih poskusov, del pa kozmogonemu izvoru, saj C-14 nastaja v ozračju ob jedrskih reakcijah molekul dušika s hitrimi (kozmičnimi) protoni.

Povzeto po tabeli C.



Tabela E: Pregled ocenjenih letnih efektivnih doz za vse umetne radionuklide po nadzorovanih medijih izpostavitve za odraslo referenčno osebo v okolici NEK od leta 2017 do leta 2021 iz merskih rezultatov. Zaznani umetni radionuklidi so pretežno ali del globalne kontaminacije (C-14, Sr-90, Cs-137) ali kozmogenega izvora (H-3, C-14) ali izredne kontaminacije (Ru-106) v letu 2017 ali uporabe v medicini (I-131). Vsi sevalni učinki NEK na prebivalstvo v okolici so zanemarljivo majhni v primerjavi z globalnim onesnaženjem (tabela D) in so ocenjeni na manj kot 0,35 % avtorizirane mejne letne doze na robu izključitvenega območja in navzven.

Nadzorovani medij	Letna efektivna doza umetnih radionuklidov <i>E</i> (mSv)					Lokacija	Opombe
	2017	2018	2019	2020	2021		
Reka Sava	1,3 E-4	9,1 E-5	1,1 E-4	7 E-5	1,1E-4	Brežice	pitje (H-3) kopanje (Cs-137) zaužitje rib (Sr-90)
	1,4 E-6	1,5 E-6	8,3 E-7	1,3 E-6	1,1 E-6	Brežice	
	0,0011	7,3 E-4	1,4 E-4	1,9 E-4	9,2 E-5	Brežice	
Črpališča in vodovodi	3,5 E-5	3,5 E-5	2,8 E-5	3,2 E-5	3,1 E-5	Brege	pitje vode (H-3)
Padavine in suhi used	3,8 E-5	2,3 E-5	1,9 E-5	1,8 E-5	1,9 E-5	Brege	Zaužitje rastlinja (H-3)
Zrak	2,4 E-4	4,6 E-7	4,5 E-7	2,7 E-7	2,1 E-7	Povprečje po lokacijah	inhalacija in imerzija (Cs-137, Ru-106 (2017))
Zunanje sevanje **	0,033	0,023	0,015	0,017	0,014	Vse lokacije	(Cs-137)
Hrana	0,0153	0,0151	0,0152	0,01485	0,0145	Na ograji NEK***	zaužitje C-14* Sr-90, Cs-137
	0,0014	0,0015	0,0010	0,0016	5,0E-4	vse lokacije in na ograji NEK***	
Skupaj	0,0512	0,0405	0,0315	0,0338	0,0293		

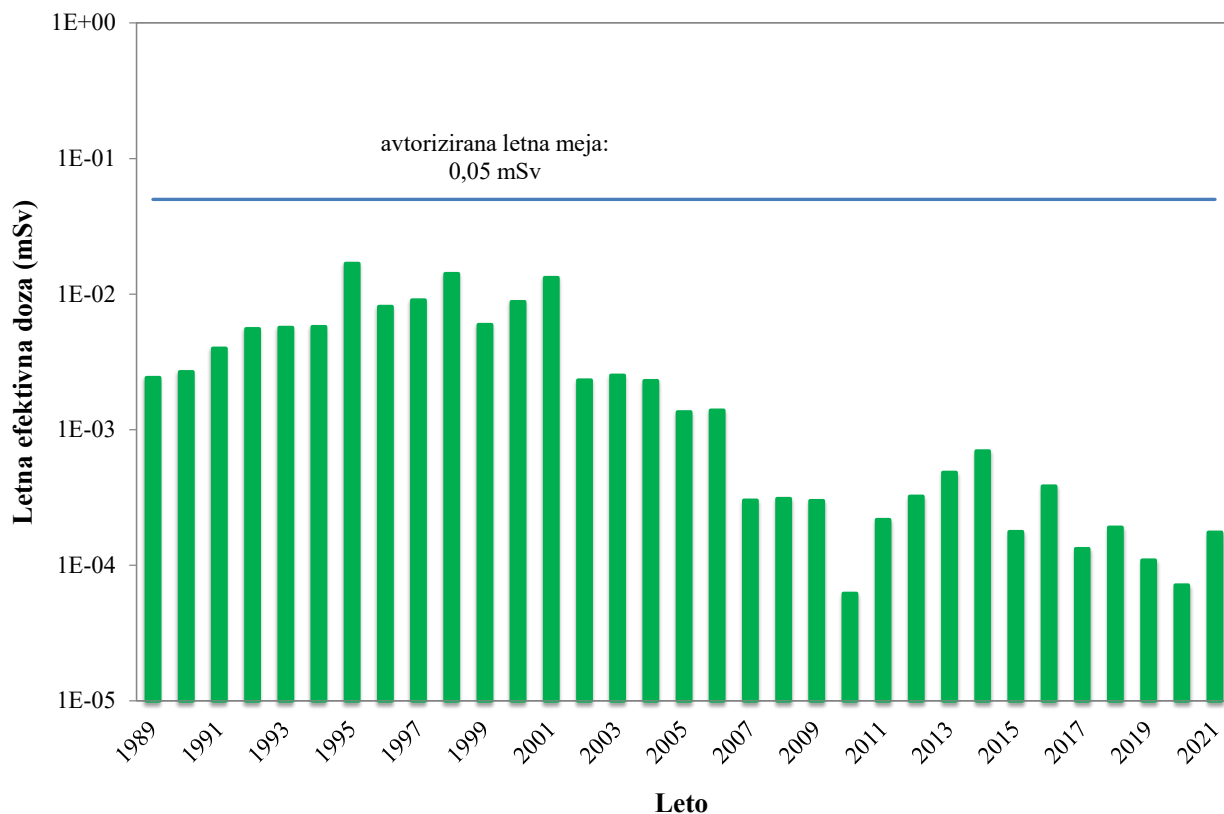
* Del pripada kontaminaciji zaradi nadzemnih jedrskih poskusov, del pa kozmogenemu izvoru, saj C-14 nastaja v ozračju ob jedrskih reakcijah molekul dušika s hitrimi (kozmičnimi) protoni.

** Upoštevan je okoljski dozni ekvivalent H*(10).

*** Ocene okvirno veljajo tudi za razdaljo 500 m od osi reaktorja.

Na sliki I15 je predstavljen seštevek ocenjenih letnih efektivnih doz posameznih referenčnih oseb zaradi emisij NEK od leta 1989 do leta 2021. Posebej je označena avtorizirana letna meja 0,05 mSv. Posamezni prispevki se nanašajo na različne posameznike iz prebivalstva in je zato seštevek samo groba ocena letne efektivne doze. Od leta 2001 do 2011 se seštevek znižuje, v letih od 2012 pa je bila letna efektivna doza na prebivalca na ograji NEK (ocene okvirno veljajo tudi za razdaljo 500 m od osi reaktorja), nekoliko višja zaradi učinka C-14 na prehrabno verigo med vegetacijo, vendar še vedno dva velikostna reda pod avtorizirano mejo. Tudi v letih 2013 in 2014 lahko opazimo povišanje letne efektivne doze, lahko ga pripišemo izključno prispevku C-14 v tekočinskih izpustih, ki ga v prejšnjih letih nismo upoštevali. V letu 2021 daje seštevek primerljivo vrednost s prejšnjimi leti. Najnižja je bila v letu 2010. Tako nizke vrednosti lahko pripišemo majhnim nadzorovanim izpustom iz NEK. Pri primerjanju prispevkov v posameznih letih je treba upoštevati še, da se pri izračunu zunanjega sevanja iz oblaka in inhalacije iz oblaka od leta 2007 uporablja Lagrangeev model, ki daje nižje vrednosti izpostavitve, ter da so bile vrednosti prispevka k dozi zaradi zaužitja C-14 (iz atmosferskih izpustov) do leta 2006 ocenjene na osnovi izpustov in podatkov iz podobnih elektram.

Tako lahko ugotovimo, da so sevalni učinki NEK v primerjavi z globalnim onesnaženjem in učinki uporabe radionuklidov v medicini za več redov velikosti nižji. Še več, ocenjena vrednost sevalnih učinkov (letne efektivne doze) NEK na prebivalstvo ob ograji NEK (in okvirno 500 m od osi reaktorja) je približno 0,0076 % značilnega neizogibnega naravnega ozadja.



Slika I15: Seštevek ocenjenih letnih efektivnih doz posameznih referenčnih skupin zaradi emisij NEK od leta 2004 do leta 2021. Označena je tudi avtorizirana letna meja (0,05 mSv). Skala je logaritemska.

SKLEPI

Povzetek izpostavitve prebivalstva v okolici NEK za leto 2021 je v tabeli D, kjer so navedeni prispevki naravnega sevanja, učinki NEK na ograji NEK, ki je v izključitvenem območju, in preostali učinki černobilske kontaminacije in poskusnih jedrskih eksplozij:

- v letu 2021 so bili vsi sevalni učinki NEK na ograji NEK (ocena okvirno velja tudi za razdaljo 500 m od osi reaktorja) ter 350 m nizvodno od jezua NEK na prebivalstvo v okolici ocenjeni na manj kot $1,8 \text{ E}-4$ mSv na leto;
- ocenjena vrednost sevalnih učinkov NEK na ograji NEK je približno 0,0076 % značilnega neizogibnega naravnega ozadja. Ocena okvirno velja tudi na razdalji 500 m od osi reaktorja;
- ocenjena vrednost sevalnih učinkov NEK je majhna v primerjavi z avtorizirano mejno dozo za prebivalstvo v okolici NEK (efektivna doza 0,05 mSv na leto na razdalji 500 m in navzven za prispevke po vseh prenosnih poteh);
- k celotni efektivni dozi zaradi izpustov iz NEK največ prispeva zaužitje hrane (86 %) z vnosom C-14;
- efektivna doza zaradi izpustov iz NEK zaradi vdihavanja prispeva k celotni efektivni dozi 11 %; med radionuklidi največ prispeva H-3;
- efektivna doza zaradi izpustov iz NEK zunanjega sevanja k celotni efektivni dozi prispeva 3 %; med radionuklidi največ prispeva Co-60;
- vsota prispevkov efektivnih doz zaradi izpustov iz NEK, ki jih izračunamo iz meritev vzorcev iz okolja, se z leti znižuje, k čemur največ prispeva zmanjšano sevanje zaradi Cs-137 iz zemlje; to je ostanek zračnega in padavinskega useda po nesreči v jedrskem reaktorju leta 1986 v Černobilu, Ukrajina.



S U M M A R Y

INTRODUCTION

The population of Slovenia, like populations elsewhere in the world, is exposed to natural ionizing radiation as well as to certain anthropogenic sources of ionizing radiation, which come primarily from the use of radiation sources in medicine, the residual Chernobyl contamination and the contamination generated by atmospheric nuclear tests. When it comes to residents in the surroundings of the Krško Nuclear Power Plant (Krško NPP), we could add the discharges of atmospheric and liquid radioactive substances from the Krško NPP and the direct radiation emanating from the buildings and objects inside the power plant's fenced perimeter. The Krško NPP is required to comply with *authorised limits* ([5], [11]) and other dose limits related to releases, as well as other radiation impacts on the environment and population. The constraints on additional exposure of the population (representative person) was laid down already in the site plan documentation for the Krško NPP in 1974, which required the total annual effective dose from all exposure pathways to the representative person at the border of the exclusion area (500 m from the reactor axis) and beyond not to exceed 0.05 mSv. After the commissioning and start of the Krško NPP operation, this limit was supplemented with the requirement that the annual effective dose from external radiation from the site buildings at the border of the Krško NPP exclusion area shall not exceed 0.2 mSv per year.

The Krško NPP is required to provide evidence of compliance by performing *operational radioactivity monitoring*, the scope and method of which are prescribed by the *Rules on the monitoring of radioactivity*. Operational radioactivity monitoring includes measurements of *emissions* on the premises, measurements of *imissions* in the surroundings, measurements of external radiation in the environment, evaluation of measurement results and dose estimation. The scope of monitoring is defined in Annex 4 of the above Rules (Design of the operational radioactivity monitoring programme for the nuclear power plant). The Rules also define requirements that must be met by the providers of radioactivity monitoring, minimal technical requirements for measurement and analysis equipment as well as the methods and exposure pathways that must be considered in dose evaluation. Apart from the Krško NPP, which is in charge of emission measurements, radioactivity monitoring is performed by various *independent authorised monitoring providers*.

This Report presents the results of radioactivity monitoring that was performed in 2021 by the Krško NPP – as the entity liable for monitoring, and by the authorised radioactivity monitoring providers. Summarised results of radioactivity measurements of anthropogenic and naturally occurring radionuclides are presented by different contamination media and exposure pathways in the form of assessed effective doses, which are presented in Chapter "*DOSE ESTIMATE*" (Table D). The dose assessment is based on the methodology of ICRP and IAEA [36] [37] [38].

Thus, in 2021, the radiation effects of the Krško NPP on the representative person⁷ in the immediate surroundings were estimated at less than 1.8 E-4 mSv per year, amounting to 0.35 % of the authorized dose limit at the Krško NPP exclusion area. The estimated effective dose at the Krško NPP fence (approximately valid also at 500 m distance from the axis of the reactor) received by representative person as the result of Krško NPP atmospheric discharges is estimated to 1.6 E-4 mSv per year, and to 1.6 E-5 mSv per year due to the Krško NPP liquid discharges. The major contribution of 1.4 E-4 mSv per year to the total effective dose comes from food ingestion due to the C-14 fallout (discharge).

The estimated sum of all radiation contributions (annual effective doses) at the Krško NPP fence is 0.0076 % of the characteristic unavoidable natural background radiation. The estimate can approximately be applied

⁷ The purpose of protection of the public, it is necessary to characterise an individual receiving a dose that is representative of the more highly exposed individuals in the population. This individual is defined as the 'representative person' [ICRP, 2006, Assessing Dose of the Representative Person for the Purpose of Radiation Protection of the Public and The Optimisation of Radiological Protection: Broadening the Process, ICRP Publication 101, Annals of the ICRP 36 3, 2006].



also at the distance of 500 m from the axis of the reactor. The Summary lists the most important facts from the Monography *Ovrednotenje meritev radioaktivnosti in ocena učinkov izpustov NEK na okolje*, which is a separate supplement to the report *Nadzor radioaktivnosti v okolici Nuklearne elektrarne Krško, Poročilo za leto 2021*, internal code 7/2022, Ljubljana, April 2022.

The Report does not deal with the exposure of the population to the ionizing radiation caused by diagnostic medical examinations, which represents the second strongest source of exposure after natural radiation in the developed world as well as in Slovenia.

CHARACTERISTICS OF SAMPLING AND MEASUREMENTS

In 2021, the scope and methods of sampling and measurements remained the same as in previous years, enabling comparison of the monitoring results with the results from previous years as well as determination of trends. Because of the construction of the Brežice hydroelectric power plant (Brežice HPP) dam, additional sampling locations were introduced in the reservoir. The characteristics of the sampling and measurements are as follows:

1) Sava River

- a) continuous sampling at four locations: (Krško – 3.2 km upstream, in front of Brežice HPP dam – 7.2 km downstream, Brežice – 8.2 km downstream, and Jesenice na Dolenjskem – 17.5 km downstream) for long-lived radionuclides; single samples of unfiltered water at Krško, left and right riverbanks in the reservoir, replacement habitat, before Brežice HPP dam, Brežice, Jesenice na Dolenjskem and Podsused near Zagreb (Croatia, around 30 km downstream from the Krško NPP) for short-lived radionuclides;
- b) quarterly single water samples from Sava at Krško and Brežice;
- c) sediment sampling at ten locations (Krško upstream, below the Krško NPP dam, Pesje, left and right riverbanks in the reservoir, in front of Brežice HPP dam, Brežice, Jesenice na Dolenjskem and Podsused in Croatia – all downstream of the Krško NPP dam);
- d) fish samples: Krško, reservoir HPP Brežice, Brežice, Jesenice na Dolenjskem, Podsused (Croatia) and Otok.

Sample measurements involved determination of the activity concentration and specific activity of gamma emitters using high resolution gamma-ray spectrometry (HRGS), the activity concentration and specific activity determination of tritium (H-3) with liquid scintillation beta spectrometry, and the determination of Sr-90/Sr-89 using radiochemical separation and counting with a proportional counter.

2) Waterworks and pumping stations

- a) single water sample from Ljubljana water system (reference location);
- b) quarterly water samples from the waterworks in Krško, Brežice;
- c) monthly continuous samples from the pumping stations in Brege, Rore, Brežice and the waterworks in Spodnji Stari Grad and Brežice; in Croatia, a new sampling location was added at the Petruševac pumping station in Zagreb
- d) sampling of groundwater in the immediate vicinity of the Krško NPP (quarterly samples from the E1 borehole inside the Krško NPP perimeter fence and monthly samples from the VOP-4 borehole and two locations in Croatia (Medsave and Šibice boreholes);
- e) monthly single samples from boreholes VOP-1/06, V-7/77 in V-12/77.

The measurements were performed using the same methodology as for the Sava River samples.

3) Precipitation and dry fallout

- a) monthly composite samples from precipitation collectors in Brege, Krško and the reference location in Dobova and Ljubljana (control location);



- b) monthly replacement of vaseline collecting plates for dry fallout at eight locations in the immediate and wider surroundings of the Krško NPP, and in Ljubljana (reference location).

Precipitation samples were analysed using high resolution gamma-ray spectrometry, liquid scintillation beta spectrometry for tritium (H-3) activity concentration determination, and radiochemical analysis for the determination of Sr-90/Sr-89. High resolution gamma-ray spectrometry was also applied on Vaseline samples.

4) Air

- a) aerosol sampling comprised of continuously pumping air through aerosol filters, exchanged every fifteen days. Pumps are located at eight locations in the surroundings of the Krško NPP (Spodnji Stari Grad, Krško – Stara vas, Leskovec, Brege, Vihre, Gornji Lenart, Spodnja Libna and reference location Dobova) and in Ljubljana (control location);
- b) iodine (I-131) sampling was performed with special pumps and filters at the same locations as the sampling of aerosols (except for the Dobova location);
- c) sampling for the purpose of Sr-90/Sr-89-specific measurement was performed with pumps in Dobova (first half-year) and in Stara Vas in the second half-year;
- d) emission measurements were performed at the Krško NPP's main plant main ventilation (stack), whereby samples for the measurement of iodine, tritium (H-3), carbon (C-14), aerosols and noble gases were collected;
- e) sampling of airborne C-14 in CO₂ was performed continuously at two locations at the Krško NPP fence which is inside the Krško NPP exclusion area (on the Krško NPP perimeter fence). In 2021, a total of six samples were collected and analysed. The control measurements were performed in Zagreb (Croatia).

The measurements of aerosol filters and dedicated filters for I-131 were performed with high resolution gamma-ray spectrometry, and the Sr-90/Sr-89-specific measurement was performed using a proportional counter. Measurement of the specific activity of C-14 in atmospheric CO₂ is performed using a liquid scintillation counter. In preparation of the sample CO₂ is converted to benzene.

5) External Exposure to Radiation

External radiation

- a) external radiation dose (gamma radiation and the ionizing component of cosmic radiation) was measured using 57 TL dosimeters in the vicinity of the Krško NPP (the locations surrounding the plant at the distance up to 10 km) and 9 TL dosimeters on the Krško NPP perimeter fence. Data were collected from the dosimeters every six months. Ljubljana was the reference location for all external radiation measurements. Additional 10 dosimeters were located in Croatia;
- b) the external radiation dose is also measured with seven TL dosimeters on the western fence of the Krško NPP near the future dry fuel storage facility - pre-operational monitoring;
- c) measurements using 50 TL dosimeters at locations distributed throughout Slovenia were performed in parallel with the measurements in the vicinity of the Krško NPP [17], [18];
- d) 14 continuous radiation detectors MFM-203 are in operation in the vicinity of Krško NPP as part of the Early Warning Network. In addition to these, further 57 continuous radiation detectors are in operation at other locations in Slovenia, also as a part of the Early Warning Network.

For the measurement of the ambient dose equivalent $H^*(10)$, IJS uses dosimeters of type TLD-IJS-05 (made of CaF₂:Mn). Measurements of $H^*(10)$ at 10 sites in Croatia are made with thermoluminescence (LiF:Mg,Cu,P, MCP-N, CaF₂:Mn and Al₂O₃:C) and radiophotoluminescence (RPL) dosimeters. The data from continuous detectors are collected and processed by the Slovenian Nuclear Safety Administration.



Soil

- a) soil samples were collected at three locations on the flood plains downstream of the Krško NPP (Amerika – 3.5 km from the Krško NPP, Gmajnice – 2.5 km from the Krško NPP, and Kusova Vrbina-Trnje – 8.5 km from the Krško NPP). Sampling was performed twice a year with samples taken in layers from several depths (down to 30 cm on non-cultivated land).

Sample measurements were performed using high resolution gamma-ray spectrometry, while strontium specific activity determination was determined using radiochemical analysis.

6) Food

- a) sampling of food was performed in the following locations: orchard next to the Krško NPP (fruits), Pesje (milk, vegetables, fruits), Brege (milk, vegetables), Vihre (meat, vegetables), Vrbina (eggs, vegetables, cereals), Spodnji Stari Grad (meat, eggs, vegetables), Žadovinek (vegetables), Trnje (vegetables), Leskovec (meat, fruits), Dolenje Skopice (milk, vegetables); Gornji Lenart (eggs), Kalce-Naklo (meat). Thirty-two different food samples were collected in 2021;
- b) sampling frequency depended on food category: milk was sampled monthly or quarterly (for the Sr-90/Sr-89-specific measurements); meat, eggs and cereals were sampled annually; vegetables, crops and fruits once per season;
- c) sampling of vegetation, crops and fruits for C-14 specific activity determination took place twice in 2021 (July and September) at sixteen locations in the surroundings of the Krško NPP and in the reference location in Dobova; a total of thirty-four samples were collected and analyzed;

Measurements of the specific activity of gamma emitters were performed using high resolution gamma-ray spectrometry, while Sr-90/Sr-89 specific activity determination was performed using radiochemical analysis.

MEASUREMENT RESULTS AND TIME-TRENDS

Introduction

For the data interpretation and dose assessment the primary measurement $y \pm u(y)$, results obtained from gamma-ray spectrometry carried out by JSI (*Merski rezultati – nadzor radioaktivnosti v okolici Nuklearne elektrarne Krško – Poročilo za leto 2021, IJS-DP-13759*) are used in the same way as in recent years. The $u(y)$ represents the combined standard deviation of the specific activity related to 68 % confidence interval (coverage factor $k = 1$). The combined standard deviation incorporates statistical fluctuation of the net signal and the uncertainties of the background signal, spectrometer calibration, nuclear data and the sample quantity. The uncertainties stemming from sampling, except for the sample quantity, are not taken into account.

If the uncertainty of the measurement result exceeds 80 % of the observed values (quantification limit), the primary measurement result is reported. Such an outcome is designated by a symbol "‡", with a footnote under the Table explaining that the result is below the quantification limit.

The annual dose is calculated as the arithmetic average of periodic measurement outcomes [58]. The uncertainty of the average could either be evaluated with a-priori uncertainty (uncertainty propagation rule) or with a-posteriori uncertainty (standard deviation divided by the square root of the number of samples).

When the detection limit is reported (usually by Pb-210, H-3, Sr-90 radionuclides) a 1/4th of the detection limit is reported in tables, as a predicted value, under the recommendation of the European Council (*European Commission recommendation on standardized information on radioactive airborne and liquid discharges into the environment from nuclear power reactors and reprocessing plants in normal operation*, Euratom Off. J. Eur. Union. 2004; pp L2:32; paragraphs 6 in 7 [60]). This value has no associated uncertainty and the uncertainty of the arithmetic average is represented with a-posteriori uncertainty. In such cases the records are designated by a symbol "x".

For non-detected radionuclides - to keep the presentation clear - the limits of detection are not provided. The empty fields in tables are taken as zero values.



Above definitions of estimators are in line with the frequentist approach to probability [59], except that instead of the term »a-posteriori uncertainty«, the term »average scattering of the mean« is used.

Definitions of these terms are given in the report *Merski rezultati – nadzor radioaktivnosti v okolici Nuklearne elektrarne Krško – Poročilo za leto 2021, IJS DP 13759*.

The designation »Sr-90/Sr-89« signifies that the separation to determine the activity of Y-90 was not performed. The separation to determine the activity of Y-90 should be carried out only in cases, when the counting rate of Sr-90/Sr-89 decreased, and the difference was a result of the radioactive decay rate of Sr-89. Thus, the reported activity concentrations or specific activities of Sr-89/Sr-90 refer only to activity concentrations or specific activities of Sr-90, because the short-lived Sr-89 has not been detected in the environment since post-Chernobyl period. This is also confirmed by periodic monthly reports on atmospheric discharges from the Krško NPP, where the radionuclide Sr-89 was not detected.

1) Sava River (Abstract from the chapter Radioaktivnost v reki Savi)

Tritium is regularly present in liquid effluents from the NPP, and it is also detected in the Sava River. An overview of the monthly averages of activity concentrations of H-3 in the Sava River at stations with continuous sampling (filtered water) upstream and downstream of the Krško NPP dam in 2021 is shown in Figure II.

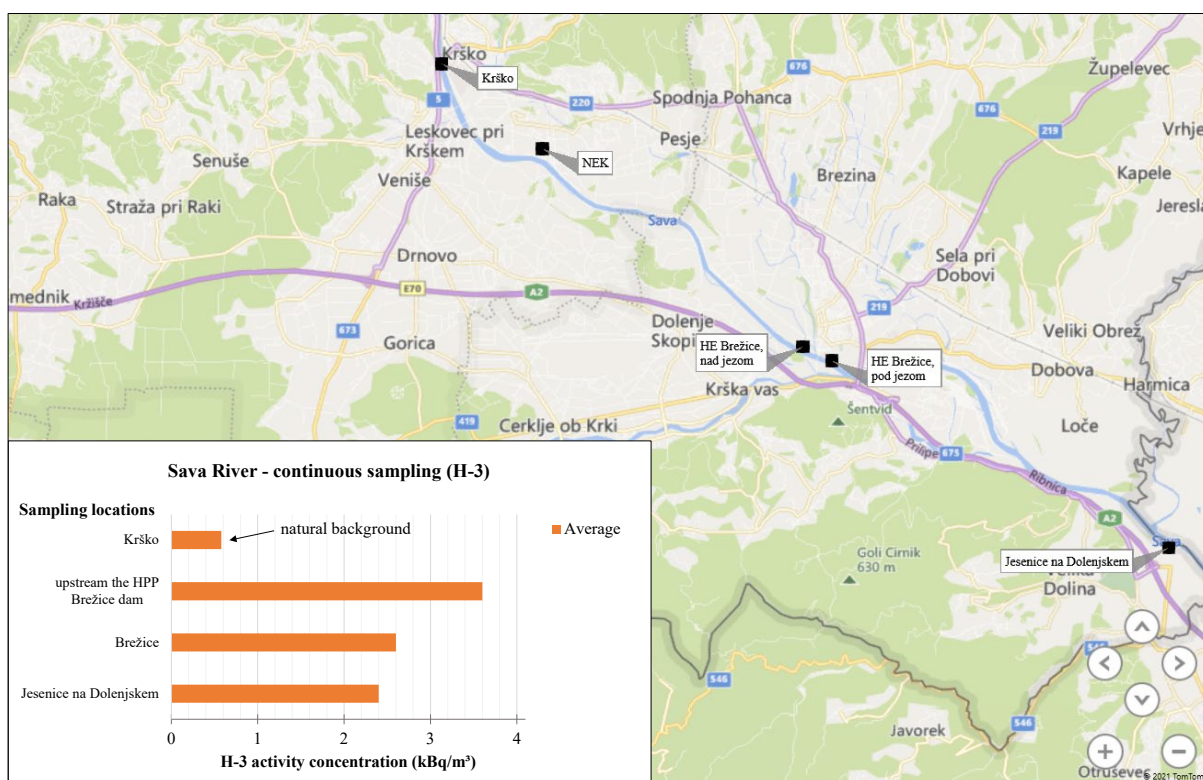


Figure II: Overview of monthly averages of activity concentrations of H-3 in Sava river at stations with continuous sampling mode upstream and downstream of the Krško NPP dam in 2021. The long-term average (since 2002) of monthly activity concentrations of H-3 activity in Brežice is 3.9 kBq/m³. The long-term average (since July 2017) of monthly activity concentrations of H-3 at the sampling station in front of the Brežice HPP dam is 2.4 kBq/m³. Tritium activity concentrations in the Sava at Jesenice na Dolenjskem sampling station are lower due to additional dilution of the Sava with Krka and Sotla rivers. Since 2002, the long-term average of monthly concentrations of H-3 activity in Jesenice na Dolenjskem is 2.4 kBq/m³, while since 2017 it is 1.8 kBq/m³.

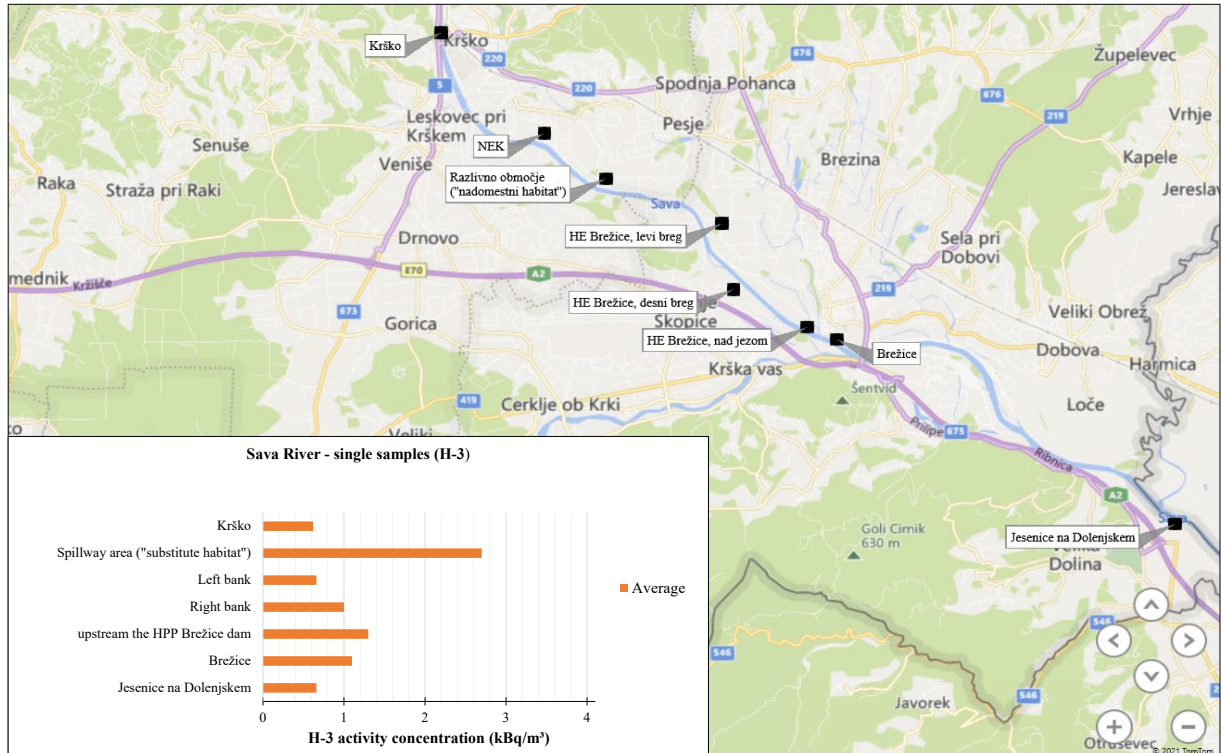


Figure I2: Review of monthly averages of activity concentrations of H-3 in the Sava river at locations upstream and downstream of the Krško NPP dam, where single (monthly or quarterly) samples are collected.

After the construction and installation of HPP Brežice, the flow of the Sava River changed. The time course of H-3 activity concentrations at sampling points in the HPP Brežice accumulation lake (left bank, right bank, in front of HPP Brežice dam) no longer follows the time course of H-3 discharges from Krško NPP. The same was true in 2021. It can be observed that the activity concentrations of H-3 in the Sava River, sampled on the left and right sides of the widest part of the reservoir, are comparable within terms of measurement uncertainty. We can assume that the river flow is slower but more pronounced on the right side of the accumulation lake down to the broadest part of the lake, then the flow follows the river main stream down to the HPP Brežice dam. This can also be deduced from bathymetric measurements of the Sava River's depth, which were performed in the embankment above the dam of HPP Brežice [27]. Figure I2 shows the activity concentrations of H-3 at the locations upstream and downstream of the NEK dam, where single samples of unfiltered water are collected.

In 2021, C-14 was sampled in the effluents from the waste monitoring tanks (WMT). The contribution of C-14 was estimated from measurements in quarterly WMT samples carried out by the IRB. Quarterly C-14 activities ranged from 0.004 GBq in the last quarter to 0.095 GBq in the first quarter, when liquid discharges to the Sava River were highest. The total annual C-14 release of 0.13 GBq was calculated as the sum of the quarterly values. The releases are almost an order of magnitude lower than the long-term average (1.7 GBq) since 2013.

C-14 was also measured in Sava river water and fish [20]. Single samples were taken quarterly at the locations on the left and right banks of the lake of HPP Brežice. All measured specific activities are lower than the current atmospheric activities (103 pMC or 226 Bq/kg C). The specific activities of C-14 in the Sava river and fish samples in 2021 are, in terms of measurement uncertainty, the same.

I-131 is regularly present at all sampling locations of the Sava river, both upstream from the power plant and downstream in Brežice and Jesenice na Dolenjskem. The presence of I-131 in the Sava river is attributed to discharges of liquid sewage from hospitals into rivers that flow into the Sava upstream of the Krško NPP dam (Ljublanica, Savinja). I-131 was not detected in liquid discharges from Krško NPP this year.



The average activity concentration of I-131 in the filtered water samples (continuous sampling) ranged from 0.9 Bq/m³ in Jesenice na Dolenjskem to 2.6 Bq/m³ in Krško. The highest individual value was 9.8 Bq/m³ in a sample from Krško sampling location taken in the fourth quarter of the year. On the left bank of the flow accumulation reservoir of the HPP Brežice, activity concentrations ranged from 1.7 Bq/m³ to 5.9 Bq/m³, on the right bank from 0.6 Bq/m³ to 4.7 Bq/m³, upstream the dam of the Brežice HPP from 2.2 Bq/m³ to 4.3 Bq/m³, in Brežice from 1.9 Bq/m³ to 3.2 Bq/m³, and in Jesenice na Dolenjskem from 1.3 Bq/m³ to 6 Bq/m³.

From the programme of the environmental radioactivity monitoring in the living environment in the Republic of Slovenia in 2021 [18], we understand that the average concentrations in the Sava river in Brežice were lower than those measured in the Sava river in Ljubljana (2.8–11.6 Bq/m³) and are also comparable with the long-term average of 5.1 Bq/m³ in Brežice. In the Mura and Drava rivers, I-131 activity concentrations were even lower, up to 1 Bq/m³, in the February Drava river sample.

No I-131 was detected in fish and sediment samples at all sampling points upstream and downstream of the NEK dam, which is the same as in previous years.

The annual activity of liquid discharges of Cs-137 from the NPP into the Sava river was 1.8 MBq, which is comparable to previous years (2012–2020) in terms of data scattering and lower than the long-term average of 15.1 MBq since 2000.

The Cs-137 content in the Sava river is attributed to global contamination, as the calculated increment of the Cs-137 activity concentration in Brežice, taking into account the annual liquid discharges, the average flow rate of the Sava river, and dilution ratio of 1.4 on the left bank in Brežice, is equal to 4 E-4 Bq/m³. The calculated increment is three orders of magnitude lower than the measured values, making it indistinguishable from global contamination.

The average monthly activity concentration in filtered water of the Sava river was 0.36 Bq/m³ at the reference site in Krško and 0.12 Bq/m³ in Jesenice na Dolenjskem. In Brežice and before the HPP Brežice dam, Cs-137 was not detected in any samples of Sava water. Most of the measured activity concentrations in singly sampled Sava water samples were below the minimum activity detection limit. On the left bank of the largest spread of the flow accumulation reservoir, the average was 0.57 Bq/m³ and at Jesenice na Dolenjskem 0.44 Bq/m³.

The measured Cs-137 activity concentrations in rivers in Slovenia vary among sampling locations and are similar to or higher than the values measured in the Sava river in the vicinity of the Krško NPP. The average Cs-137 activity concentration in 2021 ranged from 0.17 Bq/m³ in Sava at Laze near Ljubljana, to 5.2 Bq/m³ in the Mura river [17].

Radioactive strontium (Sr-90) is regularly measured in the Krško NPP liquid effluents. In 2021, the activity released into the Sava river was 0.04 MBq, the same as in 2020 and lower than in previous years. The Sr-90 content in Sava river is also attributed to global contamination, as the calculated increment of the Sr-90 activity concentration in Brežice, taking into account the annual liquid discharges and the average flow rate of the river, and assuming a dilution ratio of 1.4 on the left bank in Brežice, is equal to 1 E-5 Bq/m³. This contribution cannot be separated from the inhomogeneously distributed global contamination.

Most of the strontium is dissolved in water. Sr-90 activity concentration in the filter residue was in most cases below the detection limit. In general, strontium concentrations in water are up to 10 times higher than for caesium. The average Sr-90 activity concentration in the filtered water at the reference sampling location Krško was 1.1 Bq/m³, upstream of the dam of the HPP Brežice 1.4 Bq/m³, in Brežice 1.5 Bq/m³ and in Jesenice na Dolenjskem 1.8 Bq/m³. Within data scattering, the values are comparable. The activity concentrations of Sr-90 in one-time samples of unfiltered water are, within the frame of the total uncertainty, the same as in continuously sampled filtered water. At all sites, the quarterly averages ranged from 1.3 Bq/m³ to 3.4 Bq/m³. The highest value in one-time samples was 8.9 Bq/m³ at Jesenice na Dolenjskem.



The average activity concentrations of strontium in other rivers in Slovenia do not differ from the results measured in the Sava river in the vicinity of Krško NPP's. The average concentration measured in the Sava at Laze near Ljubljana was 2.6 Bq/m³, in the Drava 1.8 Bq/m³ and in the Mura 2.5 Bq/m³ [17].

Figure I3 shows the average specific activities of Cs-137 and Sr-90 in river sediments upstream and downstream of the the Krško NPP dam. The contents of both radionuclides in the sediments are attributed to global contamination, as liquid discharges from the Krško NPP contribute specific activities of 8 E-4 Bq/kg for Cs-137 and 2 E-5 Bq/kg for Sr-90 in the river sediments in Brežice. These contributions are negligible compared to the average specific activities of 4.5 Bq/kg for Cs-137 and 0.7 Bq/kg for Sr-90 in the sediments in 2021 at Brežice sampling site.

Figure I4 shows the average specific activities of Cs-137 and Sr-90 in fish upstream and downstream of the the Krško NPP dam. The measured specific activities of radionuclides in fish are attributed to global contamination as well, as the contributions (calculated estimates) of radionuclides due to liquid discharges from the Krško NPP are four to five orders of magnitude lower than the measured specific activities of the two radionuclides in fish.

Other fission and activation products (Co-58, Co-60, Mn-54, Ag 110m, Sb-125) occur regularly in NPP liquid effluents. The total activity of these radionuclides in 2021 was at least six orders of magnitude lower than tritium. Cs-134 was last measured in liquid effluents in 2016. None of these radionuclides have been detected in the environment in the last decade or more. Co-60 was last detected in water and sediment in 2003 and 2006, and Cs-134 in sediment in 2002.

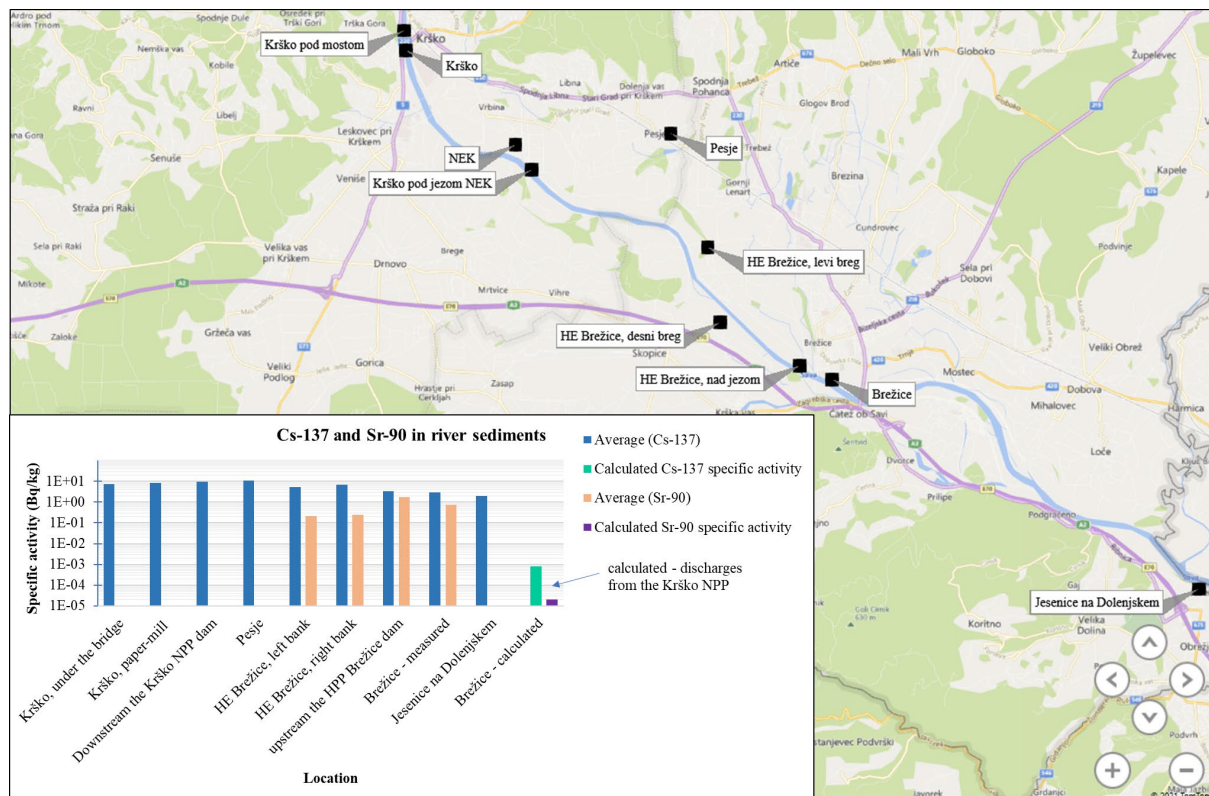


Figure I3: Specific activities of Cs-137 and Sr-90 in river sediments in 2021. The average of Sr-90 in Krško was below the detection limit. The scale is logarithmic.

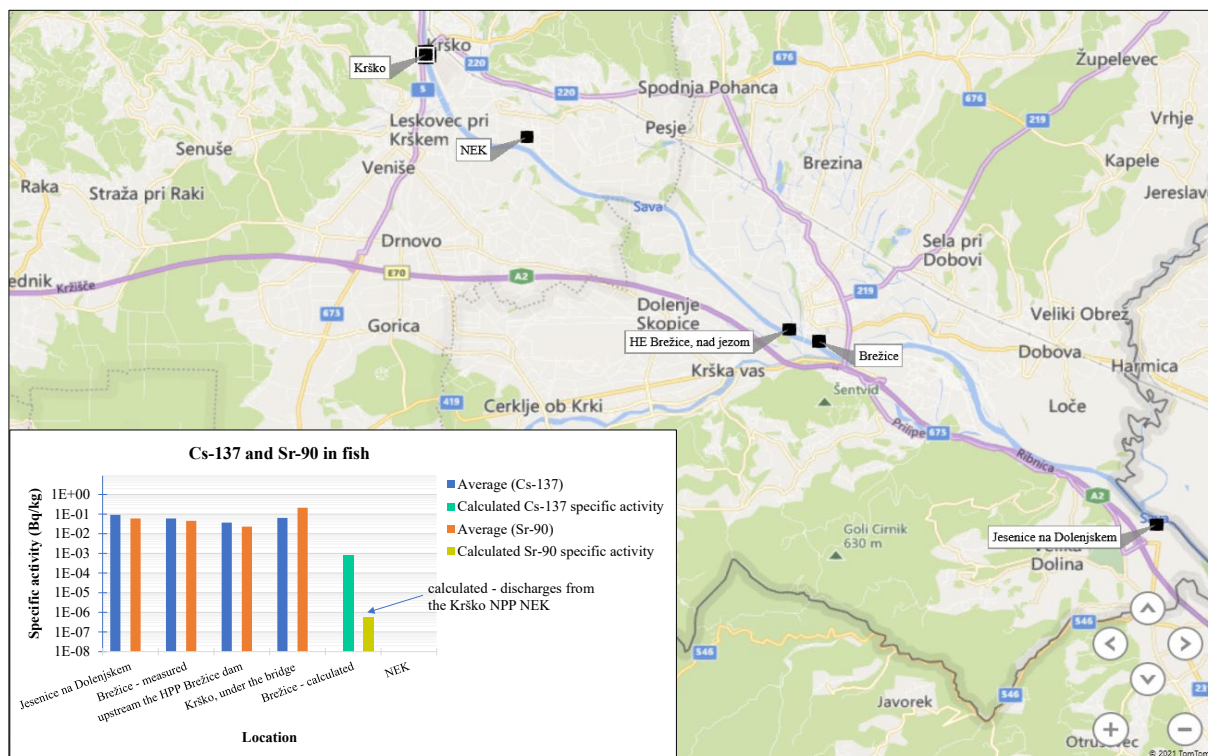


Figure I4: Specific activities of Cs-137 and Sr-90 in fish samples in 2021. The scale is logarithmic.

Natural radionuclides of the uranium (U-238, Ra-226 and Pb-210) and thorium (Ra-228 and Th-228) decay series were regularly detected in all water samples. In the Sava water, activity concentrations of U-238 up to 6.1 Bq/m³, Ra-226 up to 4.4 Bq/m³, Pb-210 up to 34 Bq/m³, Ra-228 up to 3.9 Bq/m³, Th-228 up to 2.8 Bq/m³ and Be-7 up to 360 Bq/m³ were measured at all sampling sites. The activity concentrations of natural radionuclides in the water were thus similar to those measured in rivers in Slovenia.

The average activity concentrations of K-40 ranged from 7.4 Bq/m³ to 76 Bq/m³ at all locations starting from the reference sampling location in Krško to Jesenice na Dolenjskem. K-40 is characterised by pronounced fluctuations, mainly related to the contamination of rivers and in small extent to the geological composition of the bedrock. The activity concentration of K-40 in rivers in Slovenia varies, in accord with the geological diversity of the Slovenian territory. The average concentration of K-40 in rivers in 2021 ranged from 12 Bq/m³ in the Soča river to 255 Bq/m³ in the Savinja river. The highest activity concentration was in Savinja (369 ± 12) Bq/m³. The elevated potassium content can be explained by increased river sedimentation (mixing of water and sediment) at the off-site wastewater treatment plant in Laško [17].

In sediments at all sampling sites, specific activities of U-238 up to 52 Bq/kg, Ra 226 up to 70 Bq/kg, Pb-210 up to 130 Bq/kg, Ra 228 up to 54 Bq/kg and Th-228 up to 43 Bq/kg were observed. The average specific activities of K-40 ranged from 290 Bq/kg (Brežice) to 560 Bq/kg (Krško). Be-7 was occasionally detected in sediment with a range from 0 Bq/kg to 280 Bq/kg at all locations.

No naturally occurring radionuclides are present in the Krško NPP effluents and therefore no environmental impact is assessed.



2) **Waterworks and pumping stations** (*Abstract from the chapter Radioaktivnost v pitni in podzemni vodi*)

The concentration of tritium in drinking water in the vicinity of Krško NPP is in the same order of magnitude as elsewhere in Slovenia. The values in Brege and Spodnji Stari Grad are the highest in Slovenia and are undoubtedly due to the impact of Krško NPP. However, even the highest values are still less than 2% of the European Commission's Drinking Water Directive maximum recommended values⁸. An overview of activity concentrations of H-3 in drinking water from pumping stations and waterworks in the municipalities of Krško and Brežice is shown in Figure I5. In the legend, the activity concentration of H-3 in the Ljubljana water supply system is added for comparison [19].

In order to monitor the exchange of water between Sava river and the groundwater in the Krško-Brežice field, the tritium level in boreholes has been monitored since the start of the operational radioactivity monitoring in the vicinity of the Krško NPP. The water from the boreholes is not used as drinking water or process water, it only serves for tracking discharges from Krško NPP. An overview of H-3 activity concentrations in boreholes is shown in Figure I6.

The radionuclides Cs-137 and Sr-90 are distributed inhomogeneously in our soils. They also occur in small quantities in NPP discharges, but their impact on groundwater is negligible and inseparable from global contamination.

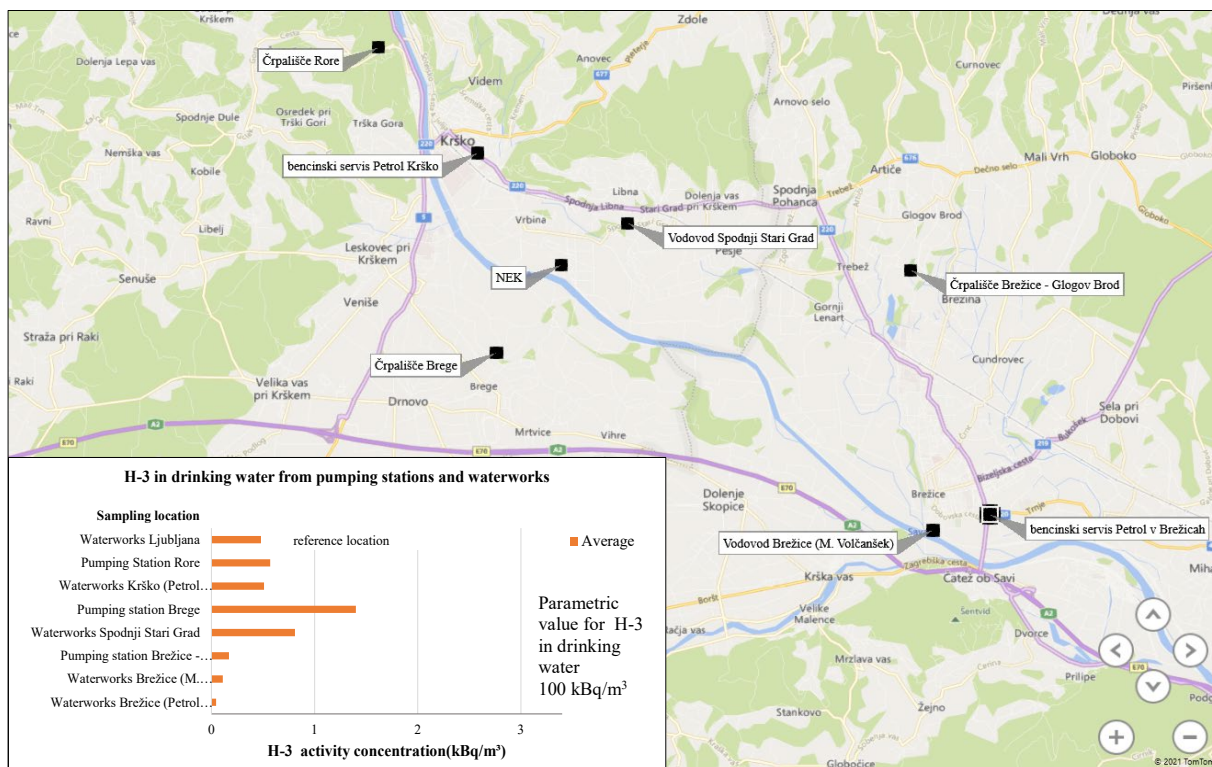


Figure I5: Review of average activity concentrations of H-3 in drinking water from pumping stations and waterworks in the municipalities of Krško and Brežice at locations where they are sampled continuously or quarterly. The activity concentration of H-3 measured at the reference location (Ljubljana) is compared with values in the vicinity of the Krško NPP.

⁸ Recommended value or parametric value (in Slovenian legislation) [9] means the level of radioactivity in drinking water above which the radiation protection authority (administration) shall verify whether the presence of radioactive substances in drinking water constitutes a risk to human health to which a response must be given and, if necessary, remedial action must be taken to improve the quality of the water to such an extent that the requirements for the protection of human health from the point of view of radiation protection are met.



Figure I6: Review of monthly averages of activity concentrations of H-3 in water from the boreholes. The water from the boreholes is not used as drinking water or process water, but only for tracking liquid discharges from the Krško NPP.

In monthly or quarterly samples at all sampling sites in Krško and Brežice, as well as in Croatia, I-131 was not detected in drinking water or the results of measurements were below the quantification limit.

Activity concentrations of the natural radionuclide K-40 were measured at all sampling points. At Brege, the average monthly activity concentration of K-40 was 57 Bq/m³, in the Spodnji Stari Grad water supply 32 Bq/m³, both lower than in 2019 and 2020. In the other pumping stations and water supplies, the average activity concentration of K-40 was 24 Bq/m³, which is, within statistical data scattering, the same as in 2019 and 2020. We assume that in the Krško-Brežice field, the use of fertilisers in agricultural areas above the aquifer zones is changing [35] and with that also the direct influence of precipitation and higher water levels of the Sava river.

For all sampling points of the Krško and Brežice water supply, the average monthly activity concentrations of natural U-238 are low, with the highest monthly average measured at the Brežice pumping station, 3.3 Bq/m³. The average monthly activity concentrations of Ra-226 ranged from 1.7 Bq/m³ (Spodnji Stari Grad water supply) to 3.0 Bq/m³ (Brege pumping station). The average monthly activity concentrations of Pb-210 ranged from 2.9 Bq/m³ in water from the Spodnji Stari Grad water supply to 13 Bq/m³ in water from the Brežice pumping station. In Ljubljana, the activity concentration of Pb-210 was 7.4 Bq/m³. The average monthly activity concentration of Ra-228 in the Brežice water supply was 0.4 Bq/m³ and in Spodnji Stari Grad 1.1 Bq/m³. The average monthly activity concentrations of Th-228 ranged from 0.3 Bq/m³ (Spodnji Stari Grad water supply) to 0.6 Bq/m³ (Rore pumping station). Be-7 was occasionally detected in all pumping stations and water supply systems in Krško and Brežice. The average monthly concentration of Be-7 was 2.8 Bq/m³ in the Brežice pumping station, while the highest average was 4.9 Bq/m³ in the Brežice water supply.



3) Precipitation and dry fallout (*abstract from the chapter Radioaktivnost v usedih*)

In 2021, the annual precipitation in Ljubljana was 1475 mm, in Krško 839 mm, in Brege 928 mm and in Dobova 971 mm. The annual precipitation at sampling points in the vicinity of the Krško NPP in 2021 was 37% less than in Ljubljana. By locations, the rainfall amounts are comparable to recent years within the range of the statistical data scattering. The standard deviation of annual amount of precipitation is ± 60 mm in Ljubljana and 45 mm for the locations in Krško and Brežice municipalities. The variation of monthly rates of precipitation are even more pronounced. Dry months occur practically every year, but not always at the same time of year.

The activity concentration of tritium in precipitation fluctuates considerably and only activity concentrations above 2 kBq/m^3 could be attributed to the Krško NPP atmospheric discharges [40]. In 2021, tritium activity concentration in precipitation was higher than 2 kBq/m^3 eight times, seven times at Brege (spring and autumn) and once in Krško, in April. The average monthly activity concentrations of H-3 in precipitation are shown in Figure I7.

The effect of the NPP on tritium activity concentrations in precipitation in the immediate vicinity of the plant can be seen by comparing the annual averages, which are higher each year at Brege and Krško (Stara Vas) than in Dobova and Ljubljana. In winter and spring (January–April), tritium activity concentrations at Brege were higher than the average value, which is consistent with the atmospheric discharges being the highest at that period of the year. Tritium activity concentrations were also higher than average at Brege in October and December. The correlation between atmospheric discharges and measured H-3 activity concentrations was found at all sampling points in the vicinity of the Krško NPP this year. The correlation (Pearson) coefficient [36] was the highest at Krško (0.9), followed by Brege (0.6) and Dobova (0.5). At the reference sampling point in Ljubljana, the correlation coefficient is close to zero, indicating that there is no correlation between the atmospheric discharges and activity concentrations.

In Dobova, the time course of H-3 activity concentrations is similar to that of the reference site in Ljubljana. Monthly values are on average 70 % higher than in Ljubljana. Tritium activity concentrations roughly follow the natural annual trends of tritium in the atmosphere of the northern hemisphere, where values are generally higher in summer than in winter [39]. At the other two locations, monthly H-3 activity concentrations are 2 to 5 times higher than in Ljubljana.

The highest monthly fallout of H-3 0.43 kBq/m^2 was measured at Brege, in April. The values and time courses of fallout for Ljubljana, Dobovo and Krško are comparable within the scattering of the data, the peaks occurring in months with more precipitation. The time course for Brege is different from the others and shows the effect of the power plant on fallout. The peaks follow the months with the highest rainfall in spring, whereas there is no such correlation in autumn.

The highest Cs-137 activity concentration in precipitation for sampling locations around the the Krško NPP was found at Krško (3 ± 1) Bq/m^3 in April, while activity concentrations at the remaining sites were less than 1 Bq/m^3 in all months. The pronounced deviation of the Cs-137 activity concentration from the mean at Krško is attributed to resuspension from the soil and a small quantity of the sample. Many of the measured results have large uncertainties, meaning that the values are below the quantification limit, and in more than half (7-8) of the months Cs-137 was not detected in precipitation.

The highest measured fallout of Cs-137 were: in Ljubljana 0.02 Bq/m^2 in May, at Brege 0.01 Bq/m^2 in March, in Krško 0.08 Bq/m^2 in February and in Dobova 0.03 Bq/m^2 in January, in all cases with low precipitation, except in Krško, where a moderate amount of precipitation fell in June. Such increase is attributed to resuspension of particles from the ground, and in winter months to solid fuel burning.

The fallout at all sampling locations is comparable to the pre-Chernobyl values between 1982 and 1985.

Also in 2021 Sr-90 was not considered separately as all measured values were below the detection limit and thus the impact of the Krško NPP on the environment due to Sr-90 atmospheric discharges cannot be assessed.



Figure I7: Review of monthly averages of activity concentrations of H-3 in precipitation at sampling locations in the vicinity of the Krško NPP. The activity concentration of H-3 obtained at the reference location (Ljubljana) is compared with values in the vicinity of the Krško NPP.

4) Air (abstract from the chapter Zrak)

Although tritium H-3 (6,7 TBq) and C-14 (0.1 TBq) are the most abundant radioisotopes in air emissions from Krško NPP, they are not measured in the environment or are not part of the measurement programme (aerosol samples). Their presence in the environment is assessed using an air dispersion model based on measurements of their activities at the source.

During operation, I-131, Co-58, Co-60, Se-75, Ag-110m, Te-125m, Te-127m, Cs-137 and Sr-90 were detected in the Krško NPP atmospheric effluents in 2021, but with the exception of the last two, those radionuclides were not detected at any of the seven sampling points in the vicinity of the Krško NPP and in Ljubljana. Cs-137 and Sr-90 in the environment are mainly due to global contamination, since their calculated activity concentrations are at least three orders of magnitude lower than the measured values at the sampling sites.

The average monthly activity concentrations of Cs-137 at sampling points in the vicinity of Krško NPP in 2021 were lower than the long-term averages at the same sampling points and half of the average elsewhere in Slovenia. The presence of Cs-137 in the air is assumed to result from the use of solid fuels (wood, briquettes, pellets) and, to a lesser extent, from the resuspension of dust particles from the ground. Figure I8 provides an overview of Cs-137 activity concentrations at sampling locations in the vicinity of the Krško NPP. For comparison, in the legend of the Figure I8, the value for Ljubljana sampling location is added. The scale is logarithmic.

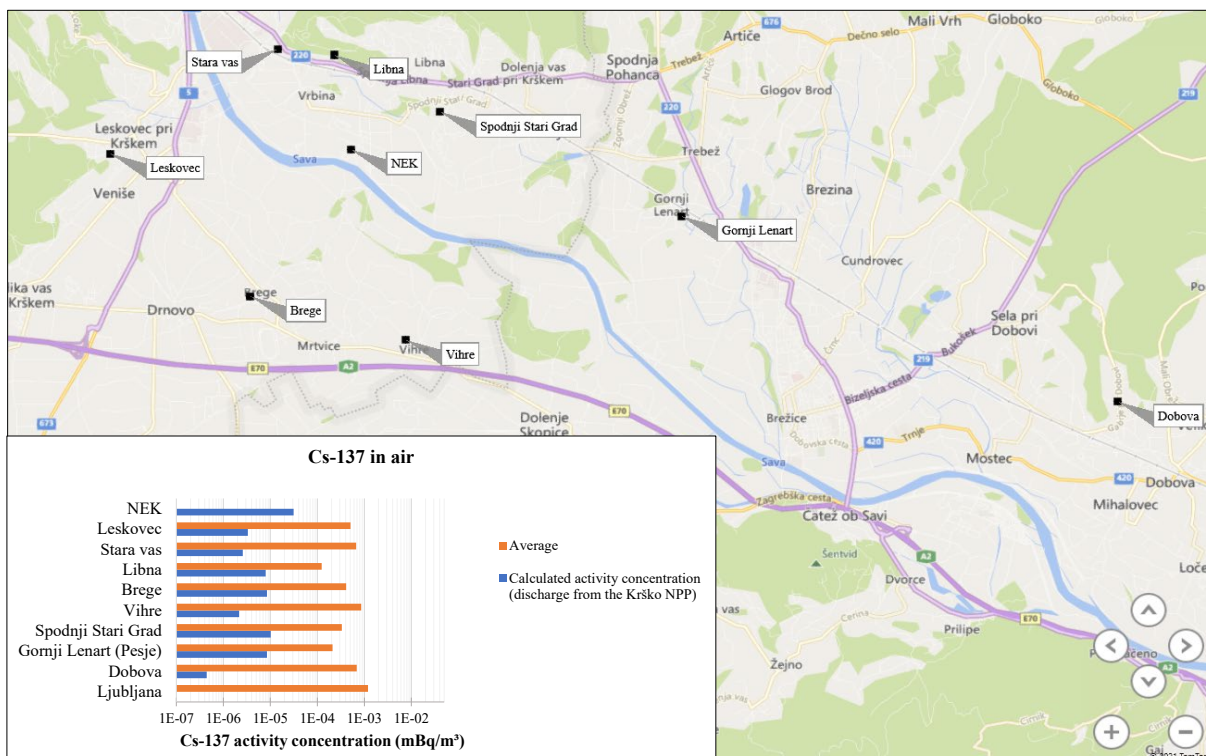


Figure I8: Review of monthly averages and calculated (estimated) activity concentrations of Cs-137 in air in the vicinity of the Krško NPP. The scale is logarithmic. The activity concentration of Cs-137 obtained at the reference location (Ljubljana) is compared with values in the vicinity of the Krško NPP.

Measurements of strontium Sr-90 in the environment are carried out in three-monthly composite samples. In the first half of the year, samples from Dobova were analysed, in the second half of the year the samples from Stara Vas are considered for the analyses. The average activity concentration at Dobova was $6.5 \text{ E-}5 \text{ mBq/m}^3$, and at Stara vas $1.4 \text{ E-}4 \text{ mBq/m}^3$. All measurement results were below the detection limit. The radionuclide Sr-89 was not detected in Krško NPP atmospheric discharges in 2021.

Radionuclide I-131 was not detected in 2021 at any of the seven sampling sites in the vicinity of Krško NPP where combined pumps (aerosol filters, charcoal filters) are installed. The more powerful aerosol pumps at Dobova (monitoring of ambient radioactivity around Krško NPP) and Ljubljana (monitoring of radioactivity in living environment in the RS) also did not detect the presence of I-131 in the air.

Measurements of natural radionuclides in aerosol samples from the vicinity of Krško NPP indicate the presence of radionuclides that are also measured at other sampling locations in Slovenia. In this respect, the average activity concentrations of Be-7 and Pb-210 in 2021 are considered to be in good agreement within uncertainty range at all sampling locations in the vicinity of Krško NPP and Ljubljana. The average Be-7 activity concentration in 2021 in the vicinity of Krško NPP was 3.4 mBq/m^3 and that of Pb-210 was 0.6 mBq/m^3 . In Ljubljana the respective values were 4.6 mBq/m^3 and 0.8 mBq/m^3 . For cosmogenic Be-7, comparable values within uncertainty range were measured at all sampling points in the vicinity of the Krško NPP, Murska Sobota and Ljubljana, with the exception of Predmeja, where the values are an order of magnitude higher. This anomaly is most likely due to the well-ventilated site resulting in higher air activity concentrations. This finding is expected especially for sites with similar rainfall regimes and correspondingly similar aerosol scavenging from the atmosphere and transport of air masses from the upper to the lower layers of the atmosphere.



For other natural radionuclides (uranium and thorium decay chain isotopes, K-40), the differences between sampling locations in the vicinity of the NPP were larger. They can be attributed to the different soil composition, the proximity of the cultivated fields, neglecting radon exhalation in the Ra-226 measurements for the samples from Predmeja and Murska Sobota and the use of aerosol pumps with different flow-rates. The measurements of radionuclide activity concentrations in aerosols in Ljubljana serve as a reference in the comparisons due to the most powerful pump used.

5) External Exposure to Radiation (*abstract from the chapter Zunanje sevanje*)

External radiation

External radiation to which the representative person in the vicinity of the Krško NPP is exposed includes cosmic radiation, radiation of natural radionuclides (mainly radon daughter products) in the atmosphere, radiation from a radioactive cloud upon release of radioactive effluents from the Krško NPP stack into the environment and external radiation due to fallout following cloud passage as well as to natural and artificial radionuclides in the soil. Since environmental TLDs do not measure the dose of the neutron component of cosmic radiation, we calculated it using the EXPACS program ([74], [75], [76]). The program allows the calculation of the ambient dose equivalent resulting from individual cosmic radiation components including the neutron component for any longitude and latitude. The TL dosimeters from the network thus measure the total external radiation dose of gamma emitters of natural radionuclides, ionizing cosmic radiation components and the contribution of global Cs-137 contamination.

Figure I9 shows the average annual ambient dose equivalent $H^*(10)$ in 2021 in the vicinity of the Krško NPP, at the Krško NPP fence perimeter, in environment in Republic of Slovenia and in Republic of Croatia. The measured annual ambient dose equivalents do not deviate from the long-term average at individual sampling sites within the range of data scattering. The lowest annual $H^*(10)$ is at the Krško NPP fence perimeter due to the topmost layer of gravel (soil layer was removed). External radiation from the soil is further attenuated by paved surfaces and by buildings inside the Krško NPP fence. As part of the pre-operational monitoring for the dry storage, in June 2021, we deployed 7 dosimeters at the western part of the fence. The average half-year ambient dose equivalent (0.57 ± 0.01) mSv is comparable, considering measurement uncertainties, to the half-year ambient dose equivalent measured by TLDs at the NPP fence in the framework of the operational off-site environmental radioactivity monitoring. This shows that the contribution of the Krško NPP radiation effects to the ambient dose equivalent is negligible and immeasurable.

Measurements show that the average annual ambient dose equivalent in the vicinity of the Krško NPP is systematically slightly lower than in the environment in Slovenia. We attribute this to the diversity of the Slovenian landscape, orography, soil composition and texture, snow cover thickness, uneven Cs-137 fallout after the accident at the Chernobyl nuclear reactor, and other effects which may affect the external radiation dose. In addition, local peculiarities regarding the type of the ground where dosimeters are posted (meadow, agriculture area, forest, asphalted surfaces, proximity of buildings, soil temperature, etc.) contribute to the fluctuations of effective doses measured by TLD at nearby locations. Figure I10 shows the isodoses⁹ of $H^*(10)$ on the map of Slovenia. The area in the vicinity of the Krško NPP is enlarged.

Continuous measurements of $H^*(10)$ with 14 MFM meters in the vicinity of Krško NPP in 2021 gave an average value of (0.85 ± 0.15) mSv per year (ranging from 0.65 mSv to 1.16 mSv), which is the same as the annual dose equivalent obtained with the TL dosimeters within the range of the scatter of the measurement values.

The average annual ambient dose equivalent from the 60 dose meters under the supervision of the SNSA in 2021 was (0.88 ± 0.15) mSv, ranging from 0.60 mSv to 1.27 mSv. The average annual ambient dose equivalent measured by the 60 MFMs is the same as the TLD measurements in the Slovenian area in

⁹ Isodoses are curves connecting points with the same annual ambient dose equivalents, $H^*(10)$



terms of benchmark fluctuation. No statistical deviations are observed when compared to previous years.

The comparison between the measurement results obtained by MFM and TLD is only informative, as the MFM probes are not intended for measurements of the natural background ambient dose equivalent. From the measurement results, we find that the values measured by the MFM and TLD can vary by up to 30% at individual locations, which is due to the different ground characteristics at the locations where the MFM and TLD are posted. At the JSI meadow, where both detectors are located in close proximity, the MFM value of $(0,76 \pm 0,03)$ mSv agrees within the uncertainty range with the TLD value of $(0,82 \pm 0,09)$ mSv.

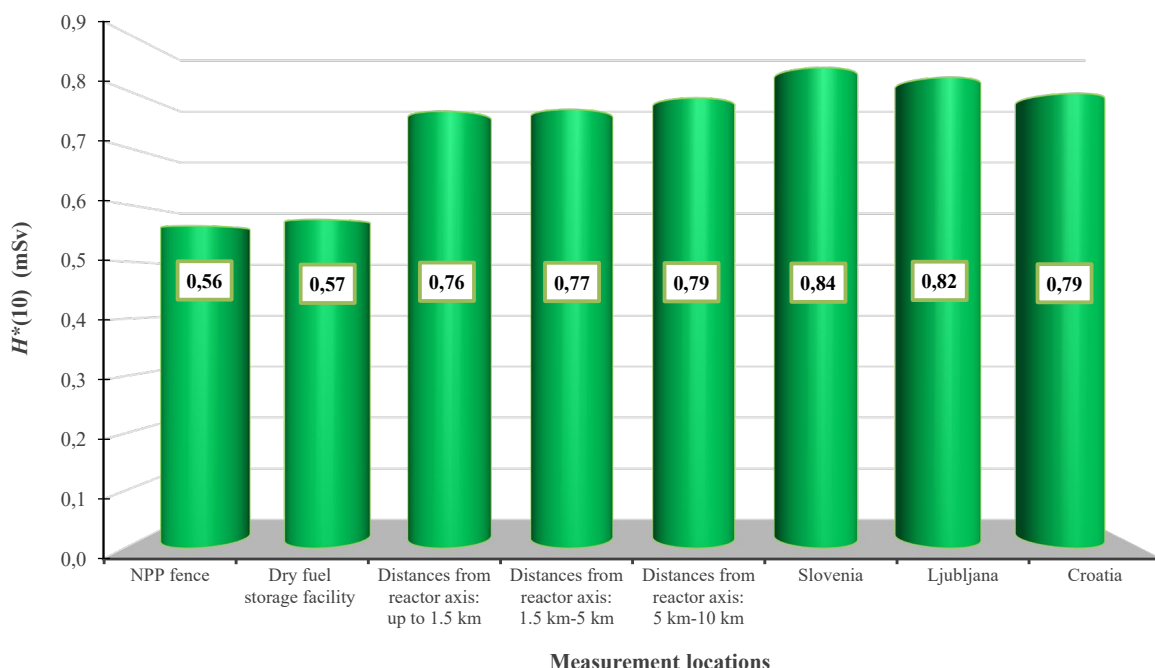


Figure I9: Comparison between average ambient dose equivalents, $H^*(10)$ measured in the environment in the vicinity of the Krško NPP, fence perimeter, at the reference location in Ljubljana, the average ambient dose equivalents measured in environments in Croatia and Slovenia.

External radiation measurements in Slovenia are in all cases characterised by a marked decrease in the annual ambient dose equivalent, especially in the first years after the Chernobyl accident (1986). This trend continues in 2021. It is due to the decay of deposited short-lived gamma emitters, which were the major contributors to the external radiation in the initial period, and the penetration of Cs-137 into the soil. The annual ambient dose equivalents due to global Cs-137 contamination at sites in the vicinity of Krško NPP, estimated assuming a realistic depth distribution of Cs-137, are in the range between 0.002 mSv and 0.028 mSv. This is comparable to the values at sites where soil is sampled in the framework of radioactivity monitoring in the Republic of Slovenia. There, the estimated annual $H^*(10)$ doses are in the range 0.011 mSv to 0.042 mSv.

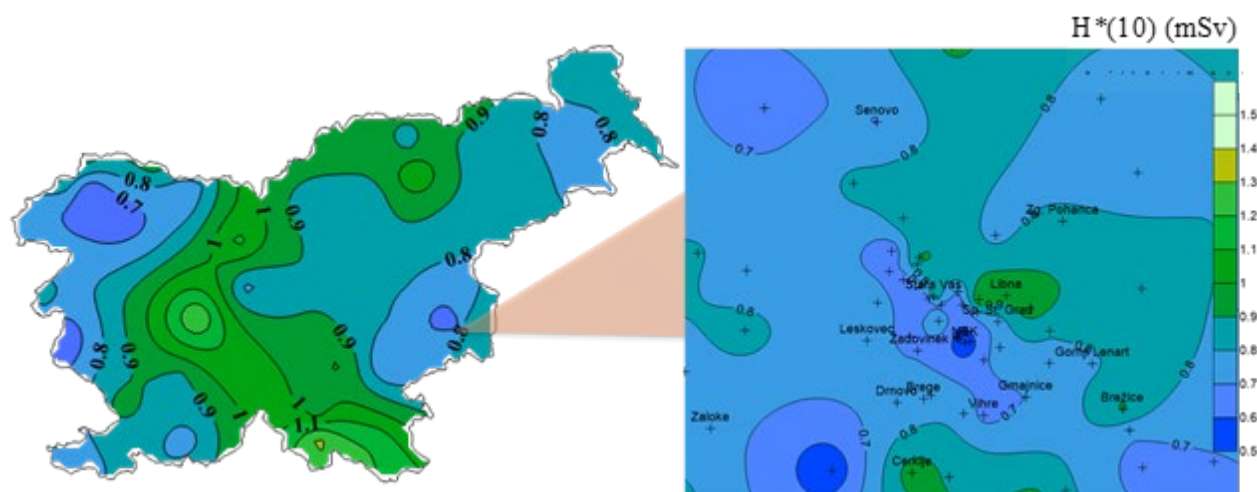


Figure I10: Average annual ambient dose equivalent $H^*(10)$ in Slovenia and in the vicinity of the Krško NPP in 2021

Soil

Soil sampling is carried out in flood-prone areas, where aerial deposition and flooding are the exposure pathways through which Krško NPP discharges can reach the sampling points.

The specific activities of Cs-137 in soil in 2021 ranged from 2.4 Bq/kg at depths of 5-10 cm and 10-15 cm at the Kusova Vrbina site to 47 Bq/kg at a depth of 5-10 cm at Gmajnice. From the measurement results, it is clear that there is considerable scatter of the specific Cs-137 activities at the microlocation from one year to the next. The fluctuations in the values can be attributed to the inhomogeneity of the fresh deposition after the Chernobyl accident and redistribution of the fallout at the microlocation. The redistribution is due to hydrogeological processes influencing the migration of Cs-137 downward into the soil. This conclusion can be supported by the observed shift in the centre of gravity of the deposition at the Kusova Vrbina site. The two distinct peaks in the depth of the centre of gravity are clearly the result of flooding, which caused additional deposition of fresh sand. This is also the reason why the migration of Cs-137 into the soil is apparently faster than at the other two sites. The initial depth of the centre of gravity of the deposition at Kusova Vrbina, taking into account data from 1992, is correspondingly greater. In addition, it can be noted that it is only in the 10-year moving average that the local inhomogeneity of the fallout and the influence of hydrogeological processes in the upper layers can be averaged out. Figures I11 and I12 show the depth profiles of Cs-137 and Sr-90 fallouts for locations in the vicinity of the Krško NPP: for comparison, fallouts at three sites in Slovenia are added. We can observe that the fallouts in the vicinity of the Krško NPP are lower than over Slovenia.

The Co-60, Te-125m, Te-127m that are detected in the atmospheric discharges from the Krško NPP, were not detected in the soil. Also, none of the radionuclides present in the liquid effluents were detected in soil samples. The exception is Cs-137, for which the specific activities measured at sites around Krško NPP compared to the values at the reference site in Ljubljana (and Slovenia) indicate that it is not due to Krško NPP discharges, but only due to global contamination.

The natural radionuclides, the progeny of the uranium and thorium decay chains and K-40 are evenly distributed in the soil, with the exception of Pb-210, which is deposited from the air as the progeny of Rn-222. The progeny of the thorium decay chain, Ra-228 and Th-228, are in equilibrium at all depths and at all locations. U-238 and Ra-226 are not in equilibrium because uranium is more soluble in water than radium and therefore easily leached. The results of the measurements show that the specific activities of the progeny of the uranium and radium decay species and K-40 are lower in locations subject to regular flooding. The results of the measurements of the specific activities of natural radionuclides in soil (K-40, U-238, Ra-226, Ra 228, Th 228) are in agreement with average specific activities reported by UNSCEAR for the countries of southern Europe [67].

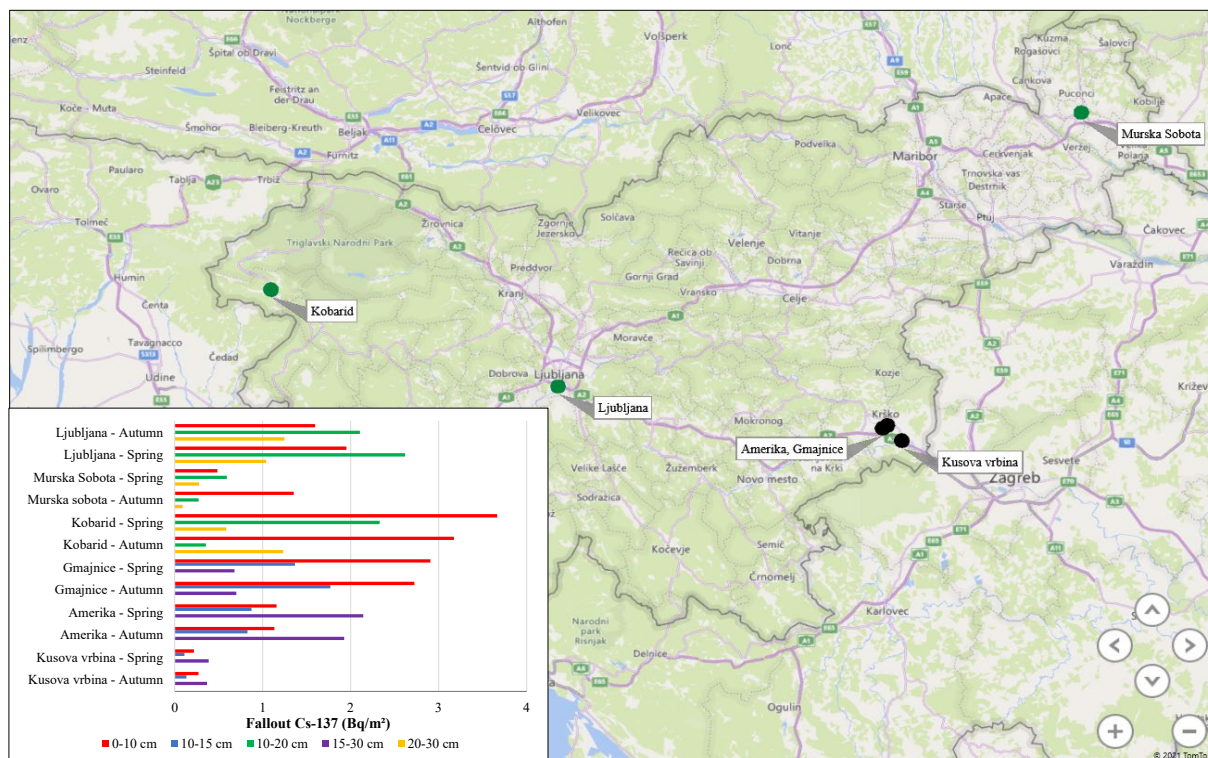


Figure I11: Fallout of Cs-137 in Slovenia (Ljubljana, Murska Sobota, Kobarid) and in the vicinity of the Krško NPP (Gmajnice, Amerika, Kusova vrbina) in 2021

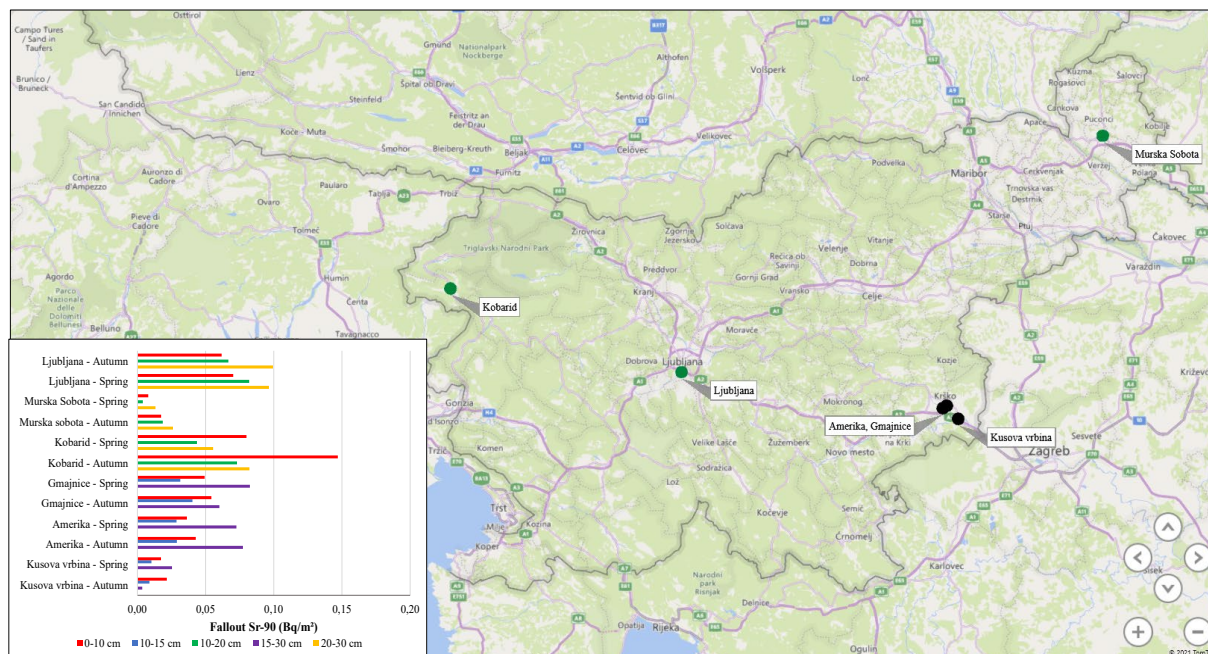


Figure I12: Fallout of Sr-90 in Slovenia (Ljubljana, Murska Sobota, Kobarid) and in the vicinity of the Krško NPP (Gmajnice, Amerika, Kusova vrbina) in 2021



6) Food (abstract from the chapter Radionuklidi v hrani)

In food, we did not detect any radionuclides that are present in either atmospheric or liquid discharges from the NPP. The exceptions are Cs-137 and Sr-90, which are mainly of cosmogenic or global contamination origin. Measurements of specific activities of tritium (in forms of OBT-Organically Bound Tritium or TFWT-Tissue Free Water Tritium) in food are not part of the environmental radioactivity monitoring programme in the vicinity of the Krško NPP.

C-14 is incorporated into plants through photosynthesis, and is mainly taken up by animals and humans by ingestion of plants. In 2021, specific activities of C-14 were measured in maize and wheat in July and September. There are no statistically significant differences between the averages of C-14 in food and vegetation measured in July and September at the same locations. The highest measured specific activity of C-14, (304 ± 7) Bq per kg of carbon, was measured in maize in July (Sampling point H, Vrbina-Waste disposal) [19].

The radionuclides Cs-137 and Sr-90 were detected in all food groups sampled in 2021, both in the vicinity of Krško NPP and elsewhere in Slovenia [15]. Figures I13 and I14 show the specific activities of Cs-137 and Sr-90 in individual sampled foods at locations in the vicinity of the Krško NPP. For the comparison, the amounts of Cs-137 and Sr-90 in food sampled across Slovenia are given in the legends. The calculated specific activities of radionuclides that entered the environment after atmospheric emissions from the Krško NPP are at least five orders of magnitude lower than the measured specific activities in food. This explains why the levels of Cs-137 and Sr-90 in food are attributed to global contamination. Specific activities of radionuclides in food in the vicinity of the Krško NPP and elsewhere in Slovenia vary greatly as a consequence of uneven global contamination, orography, soil composition and other surface characteristics of the Republic of Slovenia. Within the range of uncertainties of averages for groups of foodstuff, specific activities of Cs-137 and Sr-90 measured in the food from the vicinity of the Krško NPP and Slovenia are similar.

Among the natural radionuclides, K-40 is the most abundant in the food, entering through various exposure pathways from the soil (fertilisers and air). The radionuclides from decay schemes of U-238 and Th-232 are also present in the food.

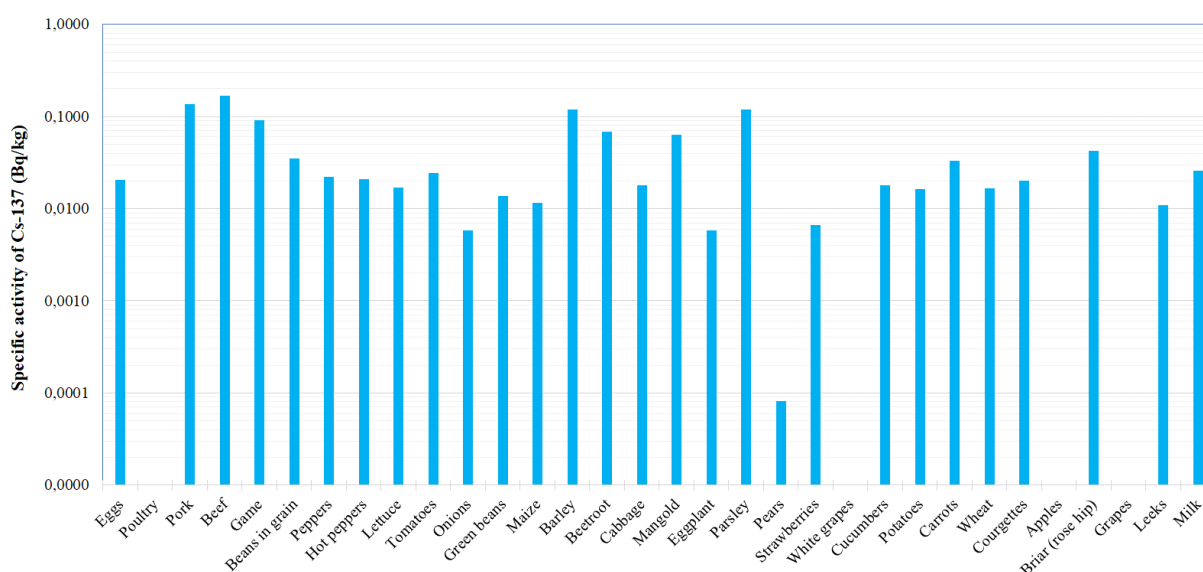


Figure I13: Specific activities of Cs-137 in food in the vicinity of the Krško NPP in 2021. The scale is logarithmic.

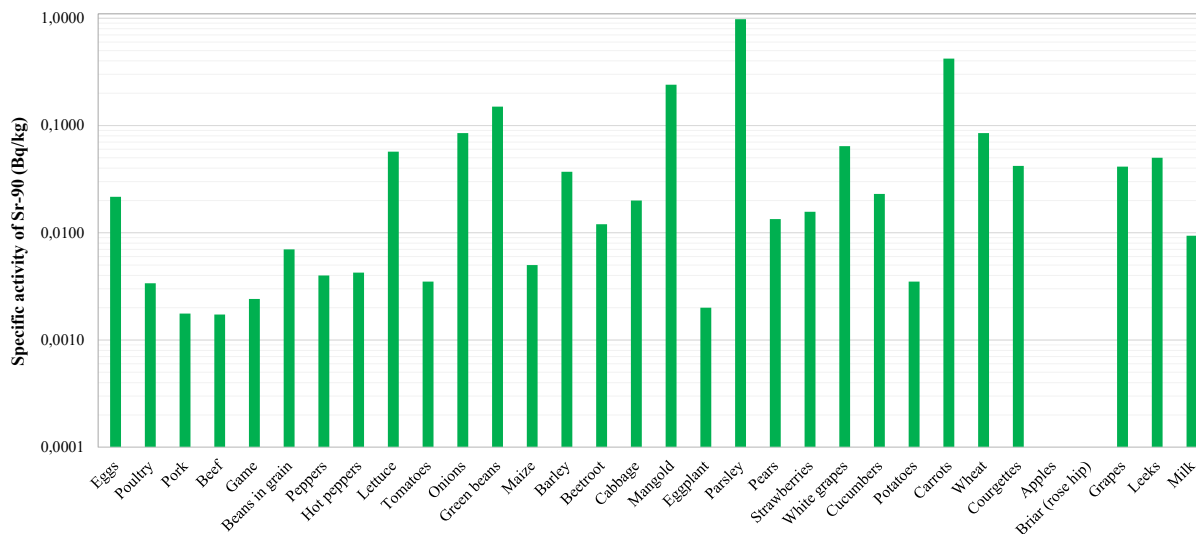


Figure I14: Specific activities of Sr-90 in food in the vicinity of the Krško NPP in 2021. The scale is logarithmic.

In 2021, specific activity of K-40 in food produced in the Krško-Brežice field ranged from 32 Bq/kg (strawberries) to 208 Bq/kg (parsley), and in food sampled elsewhere in Slovenia from 29 Bq/kg (blueberries) to 463 Bq/kg (beans). In the vicinity of the NPP, leafy vegetables and fruit vegetables belong to the group with higher specific K-40 activity, while milk and fruit belong to the group of foods with lower K-40 activity.

DOSE ESTIMATE

Liquid effluents (Tables A1 and A2)

Activity concentrations of the radionuclides, with the exception of H-3, released with the operation of the nuclear power plant in Krško, into the environment remain well below the detection limits or inseparable from the background (C-14, Cs-137). So, their impact on humans and the environment is indirectly assessed from data on atmospheric and liquid discharges. Representative person's exposure is assessed using models describing the dispersion of radionuclides through various exposure pathways in the environment.

The construction of the Brežice hydroelectric power station and the creation of the reservoir (lake) have led to changes in the exposure pathways and routes of exposure of the representative person. The current assessment of the effects of released radionuclides, described below, is based on old assumptions and does not take into account all hydraulic parameters and the configuration of the Sava river channel, such as mixing at the dam, flow uncertainties, downstream flow of the Sava river into the groundwater (before the construction of the storage lake of the Brežice HPP).

Tables A1 and A2 show the dose estimates due to the liquid effluents obtained by a model calculation. These are based on the inventory of liquid discharges, data of the annual flow-rate of the Sava river, and taking into account the characteristics of two representative groups of population (ie fishermen fishing in the lake up to 350 m downstream of the NPP dam and fishermen catching fish near the location for continuous sampling of river water in Brežice). From Tables A1 and A2 we can conclude that the annual effective doses for an adult representative person at 350 m downstream of the NPP dam, and at Brežice are 0.031%, and 0.015 % of the authorized dose limit, respectively.



If the average habit characteristics of the representative persons were taken into account, the effective doses received by those individuals would even be several times lower than those stated above. Thus, H-3 (40%) contributes the most to the total effective dose, with fish ingestion the predominating exposure pathway. From the measurement results of C-14 in the Sava river and fish, we find that the specific activities of C-14 in water and fish are the same as the natural background (global contamination). For a person standing a given time at the shoreline, the predominant contribution is the external radiation from Co-60 and Co-58 (90%). In case of drinking Sava water – an unlikely exposure pathway – the contribution of H-3 (100%) would prevail.

Table A1: Estimated annual effective dose of an representative person-at a location 350 m downstream the NPP dam in 2021

Mode of exposure	Exposure pathway	Key radionuclide	Annual effective dose (mSv)
External radiation	groundshine (river sediment)	Co-60	4.2 E-6
Internal exposure	Ingestion (fish)	C-14	1.1 E-5

Table A2: Estimated annual effective dose of an representative person at Brežice in 2021

Mode of exposure	Exposure pathway	Key radionuclide	Annual effective dose (mSv)
External radiation	groundshine (river sediment)	Co-60	2.0 E-6
Internal exposure	Ingestion (fish)	C-14	5.3 E-6

Atmospheric discharges (Tables B1 and B2)

The following groups of radionuclides are included in the evaluation of the effect of atmospheric discharges:

- noble gases, which are exclusively relevant for external exposure during cloud passage;
- pure beta emitters such as H-3 and C-14, which are only biologically relevant in the case of uptake by inhalation (H-3, C-14) and ingestion (C-14);
- beta/gamma emitters in aerosols (radionuclides Co, Cs, Sr, etc.) with exposure pathways: inhalation, external radiation from fallout, ingestion of plants with deposited radionuclides;
- isotopes of iodine in various physical and chemical forms, relevant for inhalation during cloud passage and for intake in milk.

Tables B1 and B2 show the evaluation of the air emissions with the model calculation of the dilution factors in the atmosphere for the year 2021 and for the individual groups of radionuclides along the most important exposure pathways for the adult representative person in the settlement of Spodnji Stari Grad, which is the nearest settlement outside the exclusion zone (Table B1), and along the Krško NPP fence. Estimates are also indicative for a distance of 500 m from the reactor axis (Table B2). The official limitation on the additional exposure of the representative person at the edge of the exclusion zone (500 m from the reactor axis) is valid, together with the demand that the total annual effective dose contribution of all transmission pathways to an individual member of the population (representative person) should not exceed 0.050 mSv. From Tables B1 and B2 it can be seen that the contributions to the annual effective dose to an adult resident (representative person) at the NPP fence and also, approximately, at 500 m from the reactor axis are 0.32 % of the prescribed limit of 0.050 mSv, while the contribution at Lower Stari Grad is 0.023 % of the prescribed limit.



Table B1: Exposure of an adult resident in Spodnji Stari Grad to ionizing radiation from atmospheric discharges from NPP in 2021

Mode of exposure	Exposure pathway	Key radionuclide	Annual effective dose (mSv)
External radiation	– cloudshine – groundshine	– noble gases (Ar-41, isotopes of Xe) – aerosols (Co-60, Cs-137)	3.1 E–7 1.0 E–11
Internal exposure	inhalation	H-3, C-14	1.1 E–5
Internal exposure	ingestion	C-14	0*

* The measurement result is lower than the measurement uncertainty

Table B2: Exposure of an adult resident (representative person) near the Krško NPP fence perimeter due to atmospheric discharges from Krško NPP in 2021. Estimates are also tentatively valid for a distance of 500 m from the reactor axis.

Mode of exposure	Exposure pathway	Key radionuclide	Annual effective dose (mSv)
External radiation	– cloudshine – groundshine	– noble gases (Ar-41, isotopes of Xe) – aerosols (Co-60, Cs-137)	5.8 E–7 7.4 E–11
Internal exposure	inhalation	H-3, C-14	1.9 E–5
Internal exposure	ingestion	C-14	1.4 E–4

Since 2007, the dilution factors for external cloud radiation and inhalation are estimated by a Lagrangian model that incorporates the terrain characteristics in the vicinity of the NPP and a larger set of meteorological variables. The model uses all measured data available in the EIS system operated by Krško NPP. For emissions, this is the gas flow through the plant main ventilation (stack). The model also needs for calculations the velocity of the exhaust gases and the cross section of the stack at the outlet. After the consultation with Krško NPP, the gas temperature at the outlet was set to 25 °C. The contribution of radiation from the plume had, until 2010, also been estimated by a Gaussian model taking into account the ground discharge [3]. The estimate for the 2021 atmospheric discharges is comparable, within the range of data scattering, to results of previous years.

C-14 measurements in 2021 were carried out on wheat, maize, pear and apple samples at the Ruđer Bošković Institute, Zagreb, Croatia. The results of the measurements show an expected slight increase of the specific activity of C-14 in samples within 1 km from the reactor axis compared to samples taken at the Dobova reference point. The estimated annual effective dose due to ingestion of C-14 is thus 1.4 E-4 mSv higher in the vicinity of the NPP (up to 1 km) than at the Dobova control point. In calculating the effective dose from C-14 in the vicinity of the NPP, we conservatively assumed that the representative person consumes food from the immediate vicinity of the NPP (near the edge of the exclusion zone) for two months of the year and food from elsewhere (Dobova) for the other 10 months. It follows that even in the case of dose calculations due to C-14, we take into account that the representative person consumes food produced in the Krško-Brešice area (from the Krško NPP fence to Dobova).



The difference between the effective dose calculation due to C-14 and the effective dose due to intake of other radionuclides in food is that for C-14 a weighted average of the specific activity of C-14 is taken depending on the sampling location, whereas for other radionuclides this is not possible due to different sampling methods. The C-14 dose refers to the food and not to the individual food type, as the specific activities of C-14 (in Bq per kg of carbon) do not differ between food types. The ratio of C-14 to C-12 is constant in all organisms and reflects the ratio of the two isotopes in the atmosphere. However, in the case of artificial releases of C-14, the ratio of C-14 to C-12 isotopes in the atmosphere and in organisms may change as C-14 isotope replaces C-12 isotope in organic molecules.

In 2021, organically bound tritium (OBT) was also analyzed in vegetation. The measurements were carried out at the IRB [21]. The activity concentrations in all measured vegetation samples (maize, apples) ranged from 1.5 Bq/L at the control site in Dobova to 20.8 Bq/L at the Site J (western side of the Krško NPP boundary). The measured values are below 100 Bq/L, which is the recommended level for H-3 in drinking water given by the European Commission. The dose estimate to the population (representative person) from OBT in food is negligible from a biological point of view (less than 1 E-4 Sv).

We conclude that all exposures to the general public (different representative persons) were negligible compared to natural radiation, dose constraints and authorised limits.

Natural background (Table C)

Measurements of ambient dose radiation in the vicinity of Krško NPP in 2021 have confirmed past findings that this is a typical natural environment found elsewhere in Slovenia and worldwide. The annual ambient dose equivalent $H^*(10)$ of gamma radiation and the directly ionising component of cosmic radiation in the vicinity of Krško NPP was 0.77 mSv on average outdoors, which is comparable to previous years within range of data scattering. To this estimate, the contribution of $H^*(10)$ for neutron cosmic radiation must be added. For the Krško NPP area it is estimated to 0.07 mSv per year. Thus, the total natural external radiation dose $H^*(10)$ in 2021 in the vicinity of Krško NPP was 0.84 mSv per year. The corresponding annual effective dose (taking into account the conversion factors from Radiation Protection 106 [86]) is 0.71 mSv per year, which is lower than the value for the world average (0.87 mSv per year). As part of the monitoring of radioactivity in the living environment of Republic of Slovenia in the 2021 [14], where the effective dose of external radiation is measured by 50 dosimeters distributed throughout Slovenia (see chapter *Zunanje sevanje*), it was estimated to 0.91 mSv.

Table C: Effective doses E due to natural radiation sources in the vicinity of Krško NPP in 2021

Source		Annual effective dose E (mSv)
– gamma radiation and the directly ionizing component of cosmic radiation [#]		0.65
– neutron component of cosmic radiation [67]		0.06
Ingestion (K, U, Th) ([67], effective dose) ^{##}		0.26
Inhalation	Inhalation (short-lived daughters of Rn-222, effective dose) ^{###}	1.3
	Natural radionuclides (Pb-210) ^{####}	0.04
Total		2.30

Notes: [#] Estimate of the effective dose of external radiation from the ambient dose equivalent of $H^*(10)$ using the conversion factor $E/H^*(10) = 0.84$ for 600 keV photons (Radiation Protection 106 [86]). Conversion factors in the 100 keV to 6 MeV energy range are between 0.84 and 0.89.

^{##} From Chapter in this Book *Radionuklidi v hrani*

^{###} A typical contribution of radon short-lived daughter isotopes to the effective dose was discussed in the report for 2000 (IJS-DP-8340, #3, page 7).

^{####} From Chapter in this Book *Zrak*



The specific activities of natural radionuclides in food in the vicinity of the NPP are comparable to the average values in Slovenia and worldwide. The effective dose to a reference person in the vicinity of NEK was estimated to be 0.26 mSv. This value is comparable to the effective dose 0.27 mSv due to food intake from (UNSCEAR [61]). In the framework of the monitoring of radioactivity in the living environment in Slovenia in 2021 [14], the effective dose of Pb-210 for ingestion was estimated to 0.078 mSv. Assuming that Pb-210 contributes 21 % to the total effective dose (see chapter *Radionuklidi v hrani*), a rough estimate of the effective dose due to food ingestion can be made at 0.37 mSv. This value is higher than the estimate of the effective dose due to ingestion in the NPP area. It is important to note that different types of food are sampled in the vicinity of the NPP and across Slovenia. In addition, different methodologies for evaluating food consumption were taken into account. The methodology used in this report is based on a realistic estimate of consumption by age group based on a consumer's basket ([84], [85]). The data on food consumption by age group were prepared for the IJS by the National Institute of Public Health (NIJZ). Field data collection took place in 2017 and 2018. This approach is better than the one used by Statistical Office of Slovenia (SURSTAT), which is based on the purchase of goods per household member (more suitable for evaluating economic indicators). As the proportion of unconsumed food is not negligible, we consider that the NIJZ approach is more appropriate and realistic.

The typical contribution of short-lived radon progeny to the effective dose 1.3 mSv was estimated in the 2000 report (IJS-DP-8340, #3 on page 7. The estimate is valid for the vicinity of NEK and Slovenia.

The individual contributions to the natural radiation dose are summarised in Table C. The total annual effective dose is estimated to be 2.30 mSv, which is lower than the average over the last 10 years of 2.35 mSv and the global average of 2.4 mSv per year within the range of fluctuations [67]. From the report on the monitoring of radioactivity in the living environment in the Republic of Slovenia in the 2021 [14], the total effective dose can be estimated at 2.44 mSv.

Natural radionuclides

The measured activities of natural radionuclides (uranium and thorium chains, K-40, Be-7) do not differ significantly from those measured in other parts of Slovenia and from those reported in the literature. This is true for the Sava river, groundwater, water supplies and sediments, as well as for air and food. It is also true that the values are comparable with those of previous years.

Global contamination

In 2021, as in previous years, Cs-137 and Sr-90, originating from the Chernobyl accident and experimental nuclear explosions, were the most prominent anthropogenic radionuclides in soil. The effect of radionuclides released into the atmosphere after the 2011 accident at the Fukushima nuclear power plant in Japan was not detectable in 2021.

The contribution of Cs-137 to the external radiation was estimated to be less than 0.014 mSv per year, which is 1.7 % of the average annual external dose from natural radiation in the vicinity of Krško NPP. The estimate is lower than to estimates in previous years.

The estimated effective dose due to inhalation of radionuclides resulting from global contamination (Cs-137 and Sr-90) for an adult individual (representative person) is estimated at 2.1×10^{-7} mSv per year.

Cs-137 and Sr-90 from nuclear tests and the Chernobyl accident have been measured in trace amounts in various individual foodstuffs. The annual effective dose from ingestion of these foods was estimated for 2021 at 1×10^{-4} mSv for Cs-137 and 4×10^{-4} mSv for Sr-90, totalling to 0.5 % of the annual effective dose from naturally occurring radionuclides (excluding K-40) in food. The estimated effective dose is comparable to those of previous years.

The main contributor to the annual effective dose in food is C-14, which entered the food chain naturally and as a result of above-ground nuclear testing in the 1960s.


Summary of annual exposures of the representative person in the vicinity of Krško NPP for 2021 (Table D)

In Table D the contributions to the annual effective dose from Krško NPP emissions in 2021 for an adult representative person at the Krško NPP fence are listed. The estimates are also indicative for a distance of 500 m from the reactor axis. The exception is the dose from external radiation measured by TLDs. During the construction of the facility the topsoil was removed and gravel was piled along the Krško NPP fence, resulting in an average annual ambient dose equivalent in the vicinity of the Krško NPP that is 30 % higher than that at the Krško NPP fence. For this reason, the average ambient dose equivalent for the vicinity of Krško NPP is given here.

Table D: Summary of annual exposures of the representative person in the vicinity of Krško NPP for 2021

Source	Exposure pathway	Annual effective dose (mSv)
Natural radiation	– gamma radiation and the directly ionizing component of cosmic radiation	0.65 ^{**}
	– neutron component of cosmic radiation	0.06
	– ingestion (K, U, Th)	0.26
	– inhalation (Rn-222 short-lived daughters)	1.30
Total natural radiation in the vicinity of the Krško NPP		2.30
Krško NPP - direct radiation at the fence of the Krško NPP	– direct irradiation from the Krško NPP buildings	indeterminable
Krško NPP atmospheric discharges (representative person at the Krško NPP fence ^{****})	– external dose (air immersion)	5.8 E–7
	– groundshine (Co-60, Cs-137)	7.4 E–11
	– inhalation (H-3, C-14)	1.9 E–5
	– ingestion (C-14)	1.4 E–4
Krško NPP Liquid effluent (Sava)	- adult representative person at 350 m downstream from the Krško NPP dam	1.6 E–5
	– adult representative person in Brežice	7.3 E–6
Total radiation effects of the Krško NPP*		1.8 E–4
Chernobyl accident, nuclear-weapons tests	- external dose ^{**}	< 1.4 E–2 ^{***}
	- ingestion of vegetable and animal food (without C-14) ^{*****}	5.0 E–4
	- ingestion of vegetable food (C-14)	1.45 E–2
	– ingestion of fish	9.2 E–5
Total global contamination		2.9 E–2

* The total sum of NPP's contributions is informative, as we add up the contributions that are not necessarily additive since the population groups (representative persons) are not the same. In the total sum, only the estimate of the annual effective dose for the representative person - fishermen fishing 350 m downstream of the Krško NPP dam - is taken into account in the contribution of liquid discharges.

** Estimate of the effective dose of external radiation from the ambient dose equivalent of $H^*(10)$ using the conversion factor $E/H^*(10) = 0.84$ for 600 keV photons (Radiation Protection 106 [86]).

*** This estimate is not based on the assumption that a representative person spends 20 % of the time in the open, and that the shielding factor in the house is 0.1. We take into account that the representative person spends all the time outside. The estimate is conservative.

**** The estimate can approximately be applied at the distance of 500 m from the axis of the reactor.

***** C-14 is a radionuclide with global occurrence, partly of natural origin in the upper atmosphere by a reaction of neutrons from cosmic rays with nitrogen and, to a lesser extent, with oxygen and carbon



When the values for atmospheric and liquid discharges are added together, the effect of discharges from Krško NPP on the population (representative person) is significantly below the authorised limit. It should be stressed that these are different representative persons and therefore the summed value is only a rough estimate of the annual effective dose.

Comparison with previous years (Table E)

Other radionuclides have also been measured in the environment around Krško NPP, mainly as part of global contamination (C-14, Sr-90, Cs-137) or medical use (I-131), or of cosmogenic origin (H-3, C-14). The contributions to the annual effective dose by contamination media for all artificial radionuclides received by the population (adult representative person) from the nearest settlements, or reference sites, and a comparison with previous years are summarised in Table E. the largest contribution in 2021 was due to external radiation - due to the presence of Cs-137 in soil. The second largest contribution is due to C-14 in food (global contamination, cosmogenic origin). It can also be noted that the sum of the contributions decreases in the course of years, mainly due to the decrease in the estimate due to Cs-137 radiation from soil.

Table E: Overview of annual effective doses for all artificial radionuclides delivered to adult representative person in the vicinity of Krško NPP through various contamination media from 2016 to 2021. The detected artificial radionuclides are mainly due to global contamination (C-14, Sr-90, Cs-137), accidental release (Ru-106), or use in medicine (I-131). The ionizing radiation effects of the Krško NPP on the representative person in the immediate surroundings are small compared to the global contamination (Table D): they are estimated at 0.34 % of the authorized dose limit at the border of the Krško NPP exclusion area and beyond.

Contamination medium	Annual effective dose of artificial radionuclides <i>E</i> (mSv)					Location	Remarks
	2017	2018	2019	2020	2021		
River Sava	1.3 E-4 1.4 E-6 0.0011	9.1 E-5 1.5 E-6 7.3 E-4	1.1 E-4 8.3 E-7 1.4 E-4	7 E-5 1.3 E-6 1.9 E-4	1.1E-4 1.1 E-6 9.2 E-5	Brežice Brežice Brežice	drinking (H-3) swimming (Cs-137) fish ingestion (Sr-90)
Waterworks, pumping stations	3.5 E-5	3.5 E-5	2.8 E-5	3.2 E-5	3.1 E-5	Brege	drinking (H-3)
Precipitation and dry fallout	3.8 E-5	2.3 E-5	1.9 E-5	1.8 E-5	1.9 E-5	Brege	Ingestion of the vegetation (H-3)
Air	2.4 E-4	4.6 E-7	4.5 E-7	2.7 E-7	2.1 E-7	Location average	Inhalation and imersion (Cs-137, Ru-106 (2017))
External radiation**	0.033	0.023	0.015	0.017	0.014	All locations	(Cs-137)
Food	0.0153 0.0014	0.0151 0.0015	0.0152 0.0010	0.01485 0.0016	0.0145 5.0E-4	At the Krško NPP fence***; All locations and at the Krško NPP fence***	ingestion C-14* Sr-90, Cs-137
Total	0.0512	0.0405	0.0315	0.0338	0.0293		

* C-14 is a radionuclide with global occurrence, partly of natural origin in the upper atmosphere by a reaction of neutrons from cosmic rays with nitrogen and, to a lesser extent, with oxygen and carbon. Smaller doses, yet persisting for about 10 000 years will be delivered by the C-14 (half-life 5730 years), produced during nuclear weapons tests in the atmosphere in concentrations about twice higher than the cosmogenic levels.

** The ambient dose equivalent $H^*(10)$ is used.

*** Valid approximately also at the distance of 500 m from the axis of the reactor. Only measurements from the first half of 2021 were taken into account.



Figure I15 presents the sum of the estimated annual effective doses of the representative persons due to the Krško NPP emissions from 1989 to 2021. The authorized annual limit of 0.05 mSv is marked. The contributions refer to different representative persons (population groups), so the sum is only a rough estimate of the annual effective dose. From 2001 to 2011, the sum decreases, but in the years since 2012, the annual effective dose of the representative person at the NPP fence (estimates are also tentatively valid for a distance of 500 m from the reactor axis) rose slightly due to the effect of C-14 on the food chain during vegetation: yet it is still two orders of magnitude below the authorised limit. An increase in the annual effective dose can also be observed in 2013 and 2014, but this can be attributed solely to the contribution of C-14 in liquid discharges, which was not taken into account in previous years. In 2021, the summation gives a value comparable to previous years. The low values can be attributed to the low controlled discharges from the Krško NPP. When comparing the contributions in consecutive years, it should also be borne in mind that the Lagrangian model, which gives lower exposure values, has been used since 2007 for the calculation of external cloud radiation and cloud inhalation, and that the dose contribution values due to ingestion of C-14 (from atmospheric releases) up to 2006 were estimated on the basis of releases and data from similar power plants.

Thus, it can be concluded that the radiological effects of NPPs are an order of magnitude lower than those from global contamination and the use of radionuclides in medicine. Moreover, the estimated value of the radiation effects (annual effective dose) of Krško NPP on the representative person along the Krško NPP fence and also at a distance of approximately 500 m from the reactor axis is about 0.0075% of the typical unavoidable natural background.

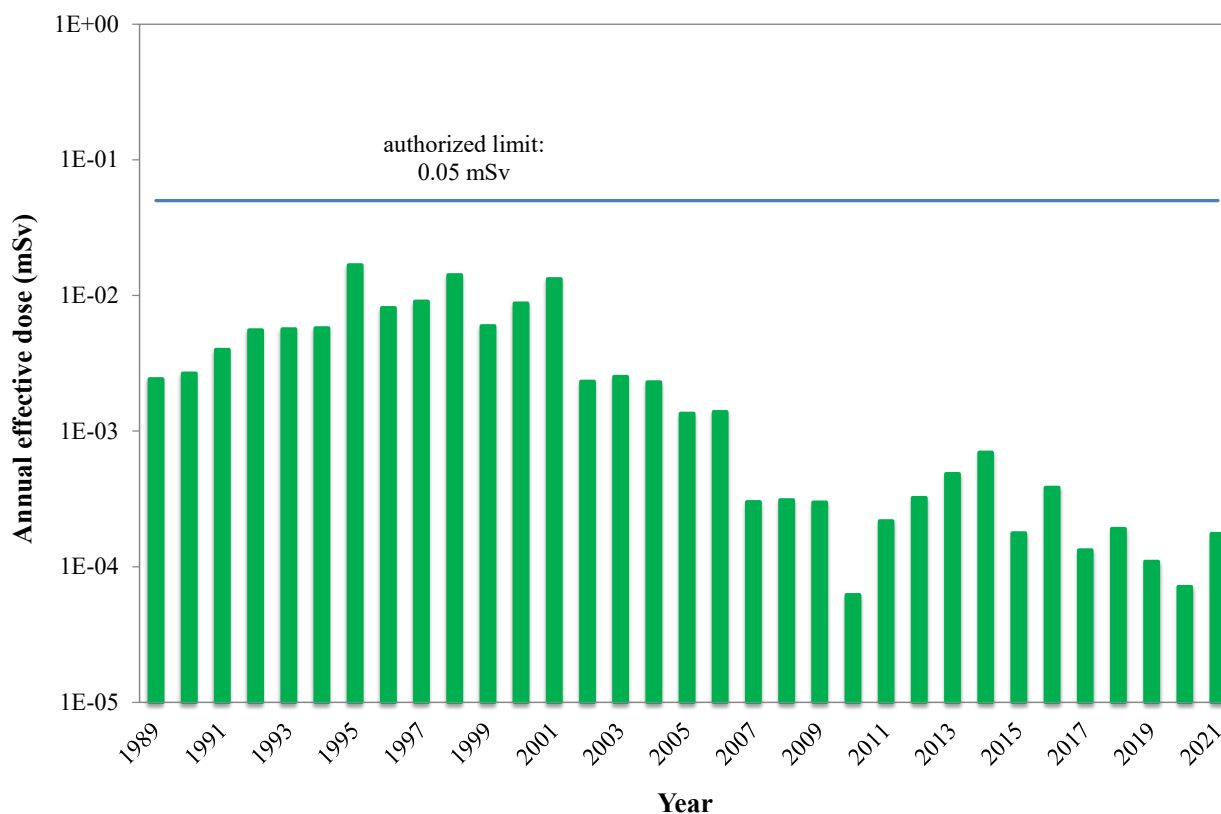


Figure I15: The sum of the estimated annual effective doses of the representative persons - individuals from different population groups - due to the Krško NPP emissions from 1989 to 2021. The authorized annual limit (0.05 mSv) is also marked. The total sum of NPP's contributions is informative, as we add up contributions that are not necessarily additive since the population groups are not the same. The scale is logarithmic.



CONCLUSION

A summary of the radiation effects on the population (representative person) living in the vicinity of Krško NPP for the year 2021 is given in Table D, which lists the contributions from natural radiation, the radiation effects of Krško NPP at the fence perimeter, which is in the exclusion zone, and the residual effects of Chernobyl contamination and nuclear test explosions:

- In 2021, all radiation effects of Krško NPP at the fence perimeter (the estimate is also tentatively valid for a distance of 500 m from the reactor axis) and 350 m downstream of the Krško NPP dam on the (representative person) were estimated to be less than 1.8 E-4 mSv per year;
- the estimated value of the radiation effects of Krško NPP is small compared to the authorised dose limit for the (representative person) in the vicinity of the NPP (effective dose of 0.05 mSv per year at a distance of 500 m and outwards for contributions via all exposure pathways);
- the estimated value of the radiation effects of Krško NPP at the fence perimeter is approximately 0.0076 % of the typical unavoidable natural background. The estimate is also tentatively valid for a distance of 500 m from the reactor axis;
- the most significant contributor to the total effective dose is food ingestion (86 %), with C-14 from atmospheric discharges being the major contributor among radionuclides;
- inhalation effective dose due to Krško NPP operation contributes 11 % to the total effective dose. Among the radionuclides, H-3 from atmospheric discharges is the major contributor;
- the effective dose due to Krško NPP operation from external radiation contributes 3 % to the total effective dose. Among the radionuclides, Co-60 from liquid discharges is the major contributor;
- the sum of the effective dose due to Krško NPP operation contributions calculated from measurements of environmental samples has been decreasing over the years, with the main contributor being the decrease in the estimate due to Cs-137 radiation from the ground (soil). Cs-137 in soil is a residue of airborne and precipitation fallout from the 1986 nuclear reactor accident at Chernobyl, Ukraine.



NEODVISNI NADZOR POOBLAŠČENIH IZVAJALCEV

POVZETEK

Opravljen je bil primerjava rezultatov meritev iz programa neodvisnega nadzora obratovalnega nadzora med laboratoriji NEK, IJS in ZVD za leto 2021 za izbrane emisijske vzorce tekočinskih izpustov iz odpadnih merilnih rezervoarjev WMT in plinastih izpustov iz dimnika izza RM-24 ter za imisijske vzorce iz okolja – posamično vzorčenje vzorcev mleka v okolici NEK ter vzorcev padavin za analizo vsebnosti tritija H-3. Opravljena je bila tudi statistična primerjava vseh rezultatov meritev različnih vzorcev iz okolja v obdobju 2017–2021. Glede na kompleksnost postopkov vzorčenja, priprave vzorcev in meritev lahko ocenimo, da so ujemanja med sodelujočimi laboratoriji dobra. Na podlagi rezultatov meritev plinastih izpustov iz dimnika izza RM-24 predlagamo, da bi v prihodnje izvajali primerjave na filtrih, vzorčenih v času remonta. Poleg tega predlagamo, da bi pri neodvisnem nadzoru meritev vsebnosti umetnih radionuklidov v vzorcih WMT, ki vsebujejo merljive vsebnosti teh radionuklidov, sočasno sodelovali obe neodvisni inštituciji – IJS in ZVD. V letih 2020 in 2021 je bil spremenjen nabor vzorcev iz imisijskih meritev, ki je prinesel v neodvisni nadzor dodatne informacije in kvaliteto, zato predlagamo, da URSJV s tem pristopom nadaljuje v prihodnjih letih ter da zaradi boljše statistične primerjave razširi nabor vzorcev in vsako leto izbere druge vzorce iz okolja.

UVOD

Na podlagi sklepov verifikacijske komisije po 35. členu pogodbe EURATOM iz leta 2007 in v skladu z Zakonom o varstvu pred ionizirajočimi sevanji in jedrski varnosti (Ur. l. RS 76/17, ZVISJV-1) [7] in Pravilnikom o monitoringu radioaktivnosti (JV10) (Ur. l. RS 27/18) [8] se izvaja neodvisni nadzor meritev obratovalnega nadzora NE Krško, ki ga razpiše in vodi upravni organ (URSJV). Skladno z zakonodajo lahko meritve iz programa obratovalnega nadzora in meritve neodvisnega nadzora izvajajo le pooblaščen laboratoriji. Neodvisnost preverjanja je zagotovljena s tem, da izvajalec, ki izvaja meritve v sklopu obratovalnega nadzora, ne more izvajati enakih meritev v okviru neodvisnega nadzora. Projektna naloga *Neodvisni nadzor obratovalnega monitoringa NE Krško za leto 2021* obsega tri sklope. Sklopa 1 in 2 obravnavata meritve emisij (tekoči in plinasti izpusti), medtem ko sklop 3 obravnava primerjavo vzorčenja in meritev vzorcev iz okolja (imisijske meritve). V tabelah 1–3 je prikazan program meritev v vseh treh sklopih. Od leta 2010 do 2019 je bil nabor vzorcev v programu teh meritev stalen in se ni spreminjal, od leta 2020 dalje URSJV vsako leto izbere drugačen nabor vzorcev iz okolja (imisijskih meritev).

V letu 2021 sta pri neodvisnem nadzoru emisij NEK – tekočinskih izpustov iz odpadnih merilnih rezervoarjev (WMT) – sodelovala laboratorija NEK kot izvajalec obratovalnega nadzora in ZVD kot izvajalec neodvisnega nadzora. IJS in ZVD se kot izvajalec neodvisnega nadzora izmenjujeta vsako leto. Meritve vsebnosti tritija v vzorcih iz programa neodvisnega nadzora je izvedel IJS, Odsek O-2. V skladu s pogodbo in pripadajočo projektno nalogo mora odvzem vzorcev za redne meritve NEK in neodvisni nadzor potekati istočasno pod nadzorstvom predstavnika URSJV v vnaprej dogovorjenih terminih, vzorčevalec ZVD tedaj prevzame vzorce v NEK. Vsi izvajalci (ZVD, IJS in NEK) nato opravijo meritve prevzetih vzorcev po svojih postopkih.

Pri neodvisnem nadzoru emisij – plinastih izpustov NEK iz glavnega izpuha RM-24 – sta v letu 2021, tako kot v predhodnih letih, sodelovala laboratorija IJS kot izvajalec obratovalnega nadzora in ZVD kot izvajalec neodvisnega nadzora. Pri rednem obratovalnem nadzoru NEK mesečno pošilja filtre izvajalcu meritev (IJS). V mesecih, ko se izvaja neodvisni nadzor, pa NEK pošlje filtre najprej na ZVD. Ko na ZVD opravijo meritve, pošljejo filtre na IJS. V tem primeru so meritve opravljene zaporedoma na istih vzorcih. Primerjava meritev aktivnosti alfa v zračnih filtrih v tem poročilu ni obravnavana.



V letih 2010–2019 sta bila pri neodvisnem nadzoru imisij (okoljskih vzorcev) 2-krat letno istočasno vzorčena sediment in savska voda iz rednega nadzora radioaktivnosti na dveh lokacijah v okolici NEK (Krško in Brežice). V letu 2020 je URSJV program imisijskih meritev spremenila in predpisala primerjavo enkratnih sezonskih vzorcev sadja in žitaric. V letu 2021 pa so bile v okviru neodvisnega nadzora opravljene primerjave rezultatov meritev z visokoločljivostno spektrometrijo gama in stroncija Sr-90 treh vzorcev mleka ter tritija H-3 v treh vzorcih padavin. Vzorci mleka so bili odvzeti konec junija 2021 na vseh lokacijah v okolici NEK, kjer ZVD redno mesečno vzorči mleko: Pesje, Drnovo in Skopice. Primerjava določitve vsebnosti H-3 v vzorcih padavin je bila opravljena na julijskih vzorcih z vseh treh lokacij, kjer vzorči IJS: Krško, Brege in Dobova. Iz rednih zbirnih mesečnih vzorcev padavin v mesecu juliju se je po opravljenem vzorčenju odlilo 2-krat po 1 L vode za analizo vsebnosti tritija. Oba izvajalca, Odsek O-2 kot redni izvajalec v okviru obratovalnega nadzora in Odsek F-2 kot neodvisni izvajalec sta nato pripravila vzorce in opravila meritve po svojih postopkih.

Tabela 1: Program nadzora emisij – tekočinski izpusti (sklop 1) za leto 2021

VRSTA IN OPIS MERITVE	VZORČEVALNO MESTO	VRSTA VZORCA	POGOSTOST VZORČENJA	LETNO ŠT. MERITEV
Izotopska analiza sevalcev gama z visokoločljivostno spektrometrijo gama	Odpadni merilni rezervoarji (WMT)	Vzorec, odvzet hkrati za NEK, za izvajalca primerjalnih meritev in za neodvisni nadzor (manj kot 0,5 L vode)	4-krat letno (četrletno)	4 (brez joda in žlahtnih plinov)
Specifična analiza tekočinskoscintilacijska spektrometrija H-3)	Odpadni merilni rezervoarji (WMT)		4-krat letno (četrletno)	4 (brez joda in žlahtnih plinov)

Tabela 2: Program nadzora emisij – plinasti izpusti (sklop 2) za leto 2021

VRSTA IN OPIS MERITVE	VZORČEVALNO MESTO	VRSTA VZORCA	POGOSTOST VZORČENJA	LETNO ŠT. MERITEV
Izotopska analiza sevalcev gama z visokoločljivostno spektrometrijo gama	Glavni izpuh iz dimnika, izza RM-24	Zbirni mesečni zračni filter	4-krat letno (četrletno)	4 (brez joda in žlahtnih plinov)
Aktivnost sevalcev alfa	Glavni izpuh iz dimnika, izza RM-24		2-krat letno (polletno)	2

Tabela 3: Program nadzora imisij (sklop 3) za leto 2021

VRSTA IN OPIS MERITVE	VZORČEVALNO MESTO	VRSTA VZORCA	POGOSTOST VZORČENJA	LETNO ŠT. MERITEV
Izotopska analiza sevalcev gama z visokoločljivostno spektrometrijo gama	Pesje	Mleko, enkratni vzorec	1-krat letno, 1 vzorec	2
	Drnovo			2
Specifična izotopska analiza Sr-90/Sr-89	Skopice			2
Specifična analiza tekočinskoscintilacijska spektrometrija H-3)	Libna	Padavine, mesečni sestavljeni vzorec	1-krat letno, 1 vzorec	1
	Brege			1
	Dobova			1



REZULTATI MERITEV S ČASOVNIMI POTEKI

Primerjava rezultatov meritev za leto 2021

Rezultate ($y + u(y)$) rednih meritev izvajalcev obratovalnega nadzora in meritev neodvisnega nadzora smo primerjali z ζ -preskusom, ki je definiran kot:

$$\zeta\text{-preskus} = \frac{y_{\text{LAB}_1} - y_{\text{LAB}_2}}{\sqrt{u(y)_{\text{LAB}_1}^2 + u(y)_{\text{LAB}_2}^2}}$$

kjer sta LAB_1 in LAB_2 okrajšavi za prvi in drugi laboratorij, ki sodelujeta v primerjavi. Prednost ζ -preskusa je, da v medsebojni primerjavi poleg rezultatov posameznih laboratorijev vključuje tudi pripadajoči merilni negotovosti s faktorjem pokritja $k = 1$ in da, v primeri z u -preskusom (preskus absolutnih vrednosti ζ) prikaže tudi sistematska odmikanja. Rezultate smo primerjali za vsak radionuklid posebej, vendar le tiste rezultate meritev, o katerih sta poročala oba laboratorija. V primeru, ko je bil en rezultat označen kot meja kvantifikacije ali detekcije, ζ -preskusa nismo naredili. Pri ovrednotenju rezultatov smo uporabili merila, definirana v standardu *ISO/IEC 17043:2010 Conformity assessment – General requirements for proficiency testing*. Rezultati so med seboj primerljivi, ko je $|\zeta| \leq 2$.

V tabelah od 4 do 7 so prikazani rezultati neodvisnih meritev izvajalcev obratovalnega nadzora in rednih meritev ter njihove medsebojne primerjave. **S krepkim tiskom na sivi podlagi so označene vse vrednosti ζ , ki so po absolutni vrednosti večje od 2.**

V tabeli 4 so podane primerjave med rezultati meritev vod iz odpadnih merilnih rezervoarjev WMT (sklop 1). Vključeni so le rezultati za umetne radionuklide. Ker NEK pri rednih meritvah poroča o svojih rezultatih s 95-odstotno zanesljivostjo (faktor pokritja $k = 2$), so bile vse negotovosti v tabeli 4 preračunane na 68-odstotno zanesljivost (faktor pokritja $k = 1$). V skladu s priporočili EURATOM-a (2004/2/Euratom) poroča NEK za posamezne ključne neizmerjene radionuklide aktivnosti, izračunane na podlagi ene četrtine meje detekcije (MDA). Te aktivnosti so v primerjalnih tabelah obarvane modro ter jih nismo primerjali z rezultati ZVD. Oba laboratorija (NEK in ZVD) sta v teh 4 vzorcih nad mejo kvantifikacije za sevalce gama poročala le o treh radionuklidih v junijskem in septembrskem vzorcu (Co-58, Co-60 in Ag-110m). Vsi rezultati so med seboj primerljivi, razen za Co-60 v obeh vzorcih. NEK je v obeh primerih poročal višje vrednosti od ZVD, v junijskem vzorcu za okoli 38 % in v septembrskem za okoli 12 % z ζ -preskusoma $-2,7$ in $-2,1$.

Na drugi strani je ZVD v teh štirih vzorcih nad mejo kvantifikacije poročal tudi o Co-60 in Ag-110m v marčevskem vzorcu, Mn-54, Ru-106 in Cs-137 v septembrskem vzorcu ter o Co-57, Co-58, Co-60 in Ag-110m v decembrskem vzorcu. Vsi ti rezultati so nižji od poročenih mej detekcije NEK, razen za Co-60 v marčevskem vzorcu.

Tritij je bil določen v vseh 4 vzorcih pri obeh sodelujočih laboratorijih. Izmerjene aktivnosti so bile zelo visoke. Primerjava med rezultati NEK in IJS, Odsek O-2, potrjuje dobro ujemanje pri vseh štirih vzorcih, pri čemer so rezultati NEK sistematsko višji za 7–20 % od rezultatov IJS.

V tabeli 5 so podane primerjave rezultatov meritev vsebnosti radionuklidov v aerosolnih filtrih iz glavnega izpuha RM-24 (sklop 2). Obravnavani so le umetni radionuklidi, negotovosti v tabeli pa so podane z 68-odstotno zanesljivostjo (faktor pokritja $k = 1$). V izbranih vzorcih je IJS nad mejo kvantifikacije poročal le o Te-125m in Te-127m v avgustovskem vzorcu ter o Te-127m in Cs-137 v decembrskem vzorcu. Za razliko od IJS je ZVD poročal meje detekcije za Co-60 in Cs-137 ter ni poročal o nobenem umetnem radionuklidu nad mejo kvantifikacije. Tako kot v preteklih treh letih ne moremo pri meritvah vsebnosti radionuklidov v aerosolnih filtrih primerjati nobenega rezultata. Rezultat za Cs-137 v decembrskem vzorcu, v poročilu IJS je nižji od meje detekcije, ki jo je za ta vzorec določil ZVD, kar pomeni, da so rezultati konsistentni.

V mesečnih poročilih o radioaktivnih emisijah in dozi, ki jih pripravlja NEK na podlagi rednih nadzornih meritev emisij v NEK [5], so v vseh 4 mesecih (februar, maj, avgust in november) vključeni izotopi žlahtnih plinov ksenona in argona ter H-3 in C-14; februarja so poročali še o I-131, avgusta in decembra pa o I-131, Cs-137 in Se-75. Vsi ti radionuklidi razen Se-75 v avgustovskem vzorcu so bili na meji kvantifikacije.



Tabela 4: Primerjava rezultatov emisijskih meritev tekočinskih izpustov iz WMT *

Vzorč. mesto	WMT											
	ZVD (spektrometrija gama) IJS, Odsek O-2 (H-3)				NEK				ζ-preskus			
Datum vzor.	25. 3. 2021	29. 6. 2021	28. 9. 2021	15. 12. 2021	25. 3. 2021	29. 6. 2021	28. 9. 2021	15. 12. 2021	Prvi vzorec	Drugi vzorec	Tretji vzorec	Četrti vzorec
Kol. vzorca (L)	0,2	0,2	0,2	0,2	1,0	1,0	1,0	1,0				
Koda vzorca	RV0630321	RV1940621	RV3890921	RV5031221	25.03.2021 WMT#2	29.06.2021 WMT#2	28.09.2021 WMT#2	16.12.2021 WMT#2				
IZOTOP	KONCENTRACIJA AKTIVNOSTI (Bq/m ³)											
Na-22			1,2E+3 ± 2E+2		7,8E+02		1,1E+03	4,6E+02				
Cr-51												
Mn-54												
Fe-59												
Co-57				1,0E+02 ± 7E+01								
Co-58		1,7E+04 ± 1E+03	1,4E+04 ± 9E+02	2,0E+03 ± 2E+02	7,0E+02	1,8E+04 ± 1,0E+3	1,5E+4 ± 1,1E+03	5,7E+02		-0,82	-0,38	
Co-60	2,7E+03 ± 1E+02	4,0E+03 ± 2E+02	2,4E+04 ± 8E+02	3,6E+03 ± 2E+02	1,2E+03	5,5E+03 ± 5E+02	2,7E+4 ± 1,4E+03	9,5E+02		-2,92	-2,14	
Zn-65												
Sr-85												
Y-88												
Y-92												
Zr,Nb-95												
Zr-95												
Nb-95						7,7E+02	1,9E+3	5,4E+02				
Nb-97												
Mo-99												
Tc-99m												
Ru-103												
Ru-106			2,0E+04 ± 2E+03									
Ag-110m	1,4E+03 ± 8E+01	1,4E+04 ± 4E+02	1,0E+05 ± 2E+03	5,4E+03 ± 2E+02	8,3E+02	1,4E+04 ± 7,1E+2	9,5E+4 ± 5E+03	8,6E+02		-0,48	1,58	
Sn-117m												
Sb-124												
Sb-125					1,9E+03			1,1E+03				
Te-123m												
Te-125m												
Te-127m												
Te-129m												
Te-132												
I-131												
I-133												
Cs-134												
Cs-137			6,1E+02 ± 2E+02		9,9E+02	1,5E+03	3,5E+3	8,4E+02				
Ba-140												
La-140												
Ce-141												
Ce-144												
Fe-55												
H-3	1,9E+10 ± 2E+08	4,8E+09 ± 5E+07	5,7E+09 ± 5E+07	9,3E+09 ± 9E+07	2,3E+10 ± 3E+9	5,5E+09 ± 7,0E+8	6,3E+09 ± 7,7E+8	1,0E+10 ± 1,3E+9	-1,36	-0,95	-0,74	-0,82
C-14												

* Vse negotovosti so podane s faktorjem pokritja $k = 1$ (interval z 68-odstotno zanesljivostjo). Z modro barvo so označeni tisti rezultati, ki jih je NEK izračunal na podlagi ¼ MDA. S krepkim tiskom na sivi podlagi so označeni ζ-preskusi, večji po absolutni vrednosti od 2.



Tabela 5: Primerjava rezultatov emisijskih meritev plinastih izpustov iz dimnika RM-24 *

Vzorč. mesto	RM-24											
Pooblaščenca organizacija	IJS				ZVD				ζ-preskus			
Datum vzor.	2. 2. 2021 - 2. 3. 2021	4. 5. 2021 - 1. 6. 2021	3. 8. 2021 - 31. 8. 2021	2. 11. 2021 - 30. 11. 2021	2. 2. 2021 - 2. 3. 2021	4. 5. 2021 - 1. 6. 2021	3. 8. 2021 - 31. 8. 2021	2. 11. 2021 - 30. 11. 2021	Prvi vzorec	Drugi vzorec	Tretji vzorec	Četrty vzorec
Kol. vzorca (m ³)	1335	1454	1425	1403	1335	1454	1425	1403				
Koda vzorca	K21AERM2421	K21AERM2451	K21AERM2481	K21AERM24B1	RV0610321	RV1670621	RV3280921	RV4991221				
IZOTOP	SPECIFIČNA AKTIVNOST (Bq/m ³)											
Na-22												
Cr-51												
Mn-54												
Fe-59												
Co-57												
Co-58												
Co-60												
Zn-65												
Sr-85												
Y-88												
Y-92												
Zr,Nb-95												
Zr-95												
Nb-95												
Nb-97												
Mo-99												
Tc-99m												
Ru-103												
Ru-106												
Ag-110m												
Sn-113												
Sn-117m												
Sb-124												
Sb-125												
Te-123m												
Te-125m												
Te-127m												
Te-129m												
Te-132												
I-131												
I-133												
Cs-134												
Cs-137												
Ba-140												
La-140												
Ce-141												
Ce-144												
Fe-55												

* Vse negotovosti so podane s faktorjem pokritja $k = 1$ (interval z 68-odstotno zanesljivostjo).



Tabela 6: Primerjava rezultatov meritev mleka*

Vzorč. mesto	PESJE	BREGE	DOLENJE SKOPICE	PESJE	BREGE	DOLENJE SKOPICE			
Pooblaščenca organizacija	IJS			ZVD			mleko PESJE	mleko BREGE	mleko DOLENJE SKOPICE
Vrsta vzorca	MLEKO								
Datum vzorčenja	30. 6. 2021								
Kol. vzorca (kg)	4,99	5,09	3,62	5,14	5,23	5,28	ζ-preskus	ζ-preskus	ζ-preskus
Odstotek suhe snovi	12,9	13,3	12,70						
Koda vzorca	KI21ML171	KI21ML371	KI21ML471	MLPE0621	MLBG0621	MLDS0621			
IZOTOP	SPECIFIČNA AKTIVNOST (Bq/kg)								
U-238	‡ 8,5E-02 ± 7E-02	‡ 3,1E-01 ± 2E-01	‡ 5,8E-02 ± 2E-01						
Ra-226	‡ 1,8E-01 ± 1E-01	‡ 7,7E-02 ± 1E-01	‡ 9,3E-02 ± 9E-02	‡ 2,4E-02 ± 7E-03			‡ 1,1E-02 ± 6E-03	-0,74	0,97
Pb-210	‡ 1,6E-02 ± 7E-02	‡ 4,1E-01 ± 4E-01	‡ 5,3E-02	† 2,5E-01	† 2,9E-01		‡ 2,4E-01		
Ra-228			‡ 2,1E-02 ± 3E-02	‡ 1,0E-01 ± 3E-02			‡ 3,7E-02 ± 1E-02		-0,42
Th-228	‡ 1,9E-02 ± 7E-03	‡ 2,9E-02 ± 1E-02	‡ 4,4E-02 ± 2E-02						
Th-230			‡ 1,5E+00 ± 1E+00						
K-40	‡ 5,2E+01 ± 3E+00	‡ 4,7E+01 ± 2E+00	‡ 4,6E+01 ± 1E+00	‡ 4,8E+1 ± 3E+00	‡ 5,0E+01 ± 3E+00		‡ 4,7E+01 ± 2E+00	0,92	-0,70
Be-7									
I-131									
Cs-134									
Cs-137	‡ 7,9E-03 ± 2E-02	‡ 1,5E-02 ± 1E-02	‡ 2,8E-02 ± 9E-03	‡ 4,3E-02 ± 4E-03	‡ 2,4E-02 ± 4E-03		‡ 2,1E-02 ± 3E-03	-1,39	-0,68
Co-58									
Co-60									
Cr-51									
Mn-54									
Zn-65									
Nb-95									
Ru-106									
Sb-125									
Sr-90	‡ 3,0E-02 ± 2E-03	‡ 1,6E-02 ± 2E-03	‡ 1,6E-02 ± 2E-03	‡ 1,7E-02 ± 5E-03	‡ 6,0E-03 ± 5E-03	‡ 5,3E-02		2,44	1,90

* Vse negotovosti so podane s faktorjem pokritja $k = 1$ (interval z 68-odstotno zanesljivostjo).

(†) Rezultat meritve je pod mejo detekcije.

(‡) Rezultat meritve je pod mejo kvantifikacije.

S krepkim tiskom na sivi podlagi so označene vrednosti ζ, večje po absolutni vrednosti od 2.


Tabela 7: Primerjava rezultatov meritev tritija v padavinah*

Vrsta vzorca	PADAVINE				
Pooblaščenca organizacija			IJS Odsek O-2	IJS Odsek F-2	H-3
Radionuklid			H-3	H-3	ζ-preskus
Datum vzorčevanja	Vzorčevalno mesto	Koda vzorca			
odvzem 2. 8. 2021 vzočevalno obdobje 1. 7. 2021 - 2. 8. 2021)	Keško	KI21PD371	1,6E+03 ± 1E+02	1,5E+03 ± 1E+02	0,59
	Brege	KI21PD271	1,7E+03 ± 1E+02	1,6E+03 ± 1E+02	0,60
	Dobova	KI21PD471	1,5E+03 ± 1E+02	1,4E+03 ± 1E+02	0,82

* Vse negotovosti so podane s faktorjem pokritja $k = 1$ (interval z 68-odstotno zanesljivostjo).

V tabeli 6 so prikazani rezultati meritev IJS in ZVD za vzorce mleka. Tu lahko med seboj primerjamo 11 rezultatov, od teh je le pri Sr-90 na lokaciji Pesje razlika nad mejo sprejemljivosti. IJS, Odsek O-2 poroča za 76 % višji rezultat kot ZVD z ζ-preskusom 2,44. Če primerjamo nabor poročenih radionuklidov, vidimo, da IJS poroča o U-238 in Th-228 v vseh vzorcih, ZVD pa ne. Poudariti je treba, da so aktivnosti teh radionuklidov zelo nizke. Oba izvajalca sta v vseh vzorcih poročala o Cs-137 in K-40, pri vseh meritvah so rezultati primerljivi. Sistematskih razhajanj ni opaziti. V splošnem so nabori radionuklidov v poročilih obeh izvajalcev podobni.

V tabeli 7 so prikazani rezultati meritev tritija v vzorcih padavin, meritve sta izvajala Odseka O-2 in F-2 z IJS. Rezultati so statistično primerljivi, pri čemer so rezultati meritev na Odseku O-2 sistematsko višji za okoli 7 %.

Primerjava rezultatov meritev različnih vzorcev iz okolja

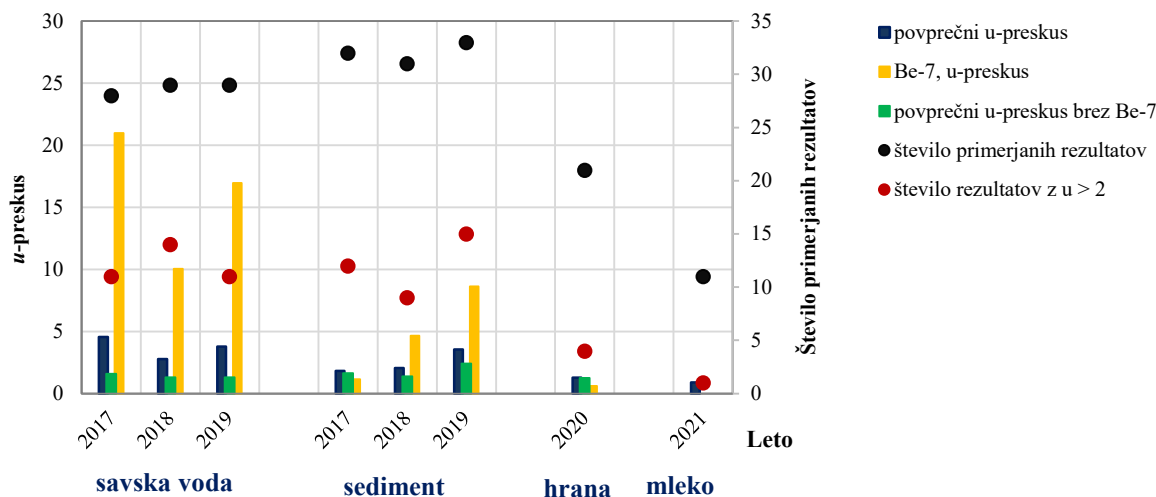
Pooblaščenim laboratorijem redno in v primernem obsegu sodelujejo pri mednarodnih primerjalnih meritvah, kjer z naborom različnih vzorcev pokrivajo vse ključne matrike vzorcev iz programa nadzora radioaktivnosti. Ti rezultati so zbrani na priloženi zgoščenki v poročilu *Merski rezultati – nadzor radioaktivnosti v okolici Nuklearne elektrarne Krško - Poročilo za leto 2021, IJS-DP-13759, marec 2022* v poglavju *Tabele rezultatov primerjalnih meritev*. Ob rezultatih so navedena tudi ovrednotenja in ocene uspešnosti, kot so jih podali izvajalci primerjalnih meritev. V skladu z zahtevami standarda ISO/IEC 17025:2017, po katerem so vsi izvajalci akreditirani za svoje dejavnosti, morajo akreditirani laboratoriji svoje rezultate primerjalnih meritev ovrednotiti ter v primeru razlik poiskati vzroke in uvesti ustrezne korektivne ukrepe in voditi zapise. Kakovost izvajanja primerjalnih meritev ocenjujejo akreditacijske službe in predstavlja pomemben pogoj za vzdrževanje obsega akreditacije.

Med primerjalnimi meritvami in neodvisnim nadzorom je ključna razlika. Pri mednarodnih medlaboratorijskih primerjavah laboratoriji dobijo v analizo pripravljene vzorce z dobro definiranimi referenčnimi vrednostmi, določenimi na neodvisen način. Vzorčenja ni, v laboratoriju opravijo le zadnjo fazo priprave vzorcev – skladno s svojimi postopki pripravijo merjence v ustreznih geometrijah ter izmerijo vsebnosti radionuklidov. Pri neodvisnem nadzoru pa laboratoriji opravijo tudi vzorčenje in celotno pripravo vzorcev, ki med drugim vključuje tudi sušenje in homogenizacijo. Neodvisni nadzor torej daje primerjavo celotnega postopka, ki vključuje vzorčenje, pripravo, meritve in izračun aktivnosti detektiranih radionuklidov; vsaka faza prinese svoj prispevek k merilni negotovosti in zmanjša primerljivost rezultatov.



Primerjava celotnega postopka od vzorčenja do meritev vzorcev iz okolja je zelo kompleksna in zahteva zelo podrobno obravnavo, če želimo ovrednotiti kvaliteto rezultatov meritev. Okoljski vzorci so nehomogeni, poleg tega je tudi matrika vzorca slabo definirana. Po vzorčenju se vzorci obdelajo v laboratorijih in pripravijo za analizo. Ker so postopki vzorčenja in priprave vzorcev za analizo v pooblaščenih laboratorijih različni, lahko pričakujemo dodatno neujemanje med merskimi rezultati.

Zgornje trditve potrjuje tudi statistična analiza rezultatov imisijskih meritev savske vode in sedimenta z visokoločljivostno spektrometrijo gama v okviru neodvisnega nadzora v letih od 2017 do 2019 ter primerjava s statistično analizo hrane v letih 2020 in 2021. Rezultati te analize so prikazani na sliki 1. Za vsako leto je bil določen povprečen u -preskus ($|z|$ -preskus v absolutnem merilu) in glede na to, da je bila v preteklem obdobju večina razlik pri Be-7, še povprečen u -preskus posebej za Be-7 in za druge radionuklide brez Be-7. V vzorcih mleka v letu 2021 Be-7 ni detektiral noben laboratorij. Na levi osi so prikazane vrednosti u -preskusa, na desni pa število primerjanih rezultatov in število rezultatov z vrednostjo u -preskusa nad 2. Rezultati meritev H-3 v savski vodi in padavinah s tekočinskoscintilacijsko spektrometrijo v tej analizi niso upoštevani. S slike lahko razberemo, da so največji odmiki pri savski vodi in najmanjši pri vzorcih hrane. K visokim povprečnim vrednostim u -preskusa v savski vodi in tudi v sedimentih prispeva predvsem Be-7, kar je lahko posledica vzorčenja ali priprave vzorcev. Za razliko od vzorčenja in priprave savskih vod in sedimentov, je vzorčenje hrane iz istega sode ali območja bolj določeno in enolično, kar se kaže s skladnimi rezultati in manjšimi vrednostmi u -preskusov.



Slika 1: Statistična obdelava rezultatov meritev savske vode in sedimentov v Krškem in Brežicah za obdobje 2017–2019 ter hrane v letih 2020 in 2021

DISKUSIJA IN SKLEPI

Pri neodvisnem nadzoru emisijskih in imisijskih meritev je sedanji izbor in število primerjanih vzorcev premajhno za zanesljivo statistično obdelavo rezultatov meritev pooblaščenih izvajalcev. V tem obsegu daje le zelo grobo oceno sprejemljivosti rezultatov meritev v poročilih.

Pri neodvisnem nadzoru emisijskih meritev plinastih izpustov, vzorčenih v dimniku pred RM-24, je vsebnost izmerjenih umetnih radionuklidov premajhna, da bi lahko opravili kakršno koli primerjavo. Na drugi strani pa so v vzorcih tekočinskih izpustov iz WMT prisotni umetni radionuklidi v merljivih koncentracijah, kar omogoča primerjavo med posameznimi pooblaščenimi izvajalci. **Zato tako kot v predhodnih letih ponovno predlagamo, da bi pri neodvisnem nadzoru vzorcev WMT sočasno obe neodvisni inštituciji – IJS in ZVD opravljali visokoločljivostno spektrometrijo gama.** S tem bi pridobili dodatno primerjavo med IJS in ZVD pri vzorcih, ki imajo povišane vsebnosti radionuklidov. Ker nobena



od obeh institucij ne opravlja rednih meritev teh vzorcev, bi laboratorija pridobila dodatne dragocene izkušnje pri analizi spektrov s povišano vsebnostjo umetnih radionuklidov ter s tem izboljšala usposobljenost in pripravljenost na morebitne izredne dogodke. **Poleg tega predlagamo, da bi vzorce za primerjavo iz programa nadzora emisij – plinastih in tekočih izpustov odvzeli med rednim remontom NEK in neposredno po njem, ko je v vzorcih lahko več umetnih radionuklidov, kar omogoča bolj kakovostno primerjavo.**

Pri letošnjih vzorcih iz programa neodvisnega nadzora imisijskih meritev faza vzorčenja ni bila ključna. Dobro ujemanje med izvajalci obratovalnega nadzora in neodvisnega nadzora pri meritvah vzorcev mleka in padavin v letu 2021 dodatno potrjuje, da ima vzorčenje velik vpliv na primerljivost rezultatov meritev pooblaščenih izvajalcev. **Ker vzorčenje in priprava vzorcev bistveno vplivata na rezultate meritev, predlagamo, da se v prihodnje tema elementoma posveti dodatna pozornost in se ustrezno dopolni program meritev v okviru neodvisnega nadzora, in sicer da se zaradi boljše statistične primerjave razširi nabor vzorcev in se vsako leto izbere druge vzorce iz okolja.**

Na podlagi rezultatov statistične primerjave vseh rezultatov v okviru neodvisnega nadzora v obdobju od 2010 do 2021 ponovno poudarjamo naslednje sklepe:

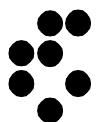
- predlagamo, da bi v prihodnje vzorce za primerjavo iz programa nadzora emisij – plinastih in tekočih izpustov odvzeli med rednim remontom NEK in neposredno po njem, ko je v vzorcih lahko več umetnih radionuklidov, kar omogoča bolj kakovostno primerjavo;
- predlagamo, da bi pri visokoločljivostni spektrometriji gama pri neodvisnem nadzoru tekočinskih emisij (WMT) sodelovala oba laboratorija (IJS in ZVD); tako bi pridobili dodatno primerjavo med IJS, ZVD in NEK pri vzorcih, ki imajo povišane vsebnosti radionuklidov; s tem bi oba neodvisna laboratorija pridobila dodatne izkušnje pri analizi spektrov s povišano vsebnostjo umetnih radionuklidov in izboljšala usposobljenost in pripravljenost na morebitne izredne dogodke;
- spreminjanje izbora okoljskih vzorcev, ki ga je uvedel URSJV v letu 2020, omogoča bolj kompleksno analizo rezultatov in prinaša dodatne zaključke; zato predlagamo, da tudi v prihodnje pri neodvisnem nadzoru URSJV nadaljuje s tem pristopom in da zaradi boljše statistične primerjave razširi nabor vzorcev ter vsako leto izbere drug nabor okoljskih vzorcev in meritev iz programa obratovalnega nadzora; na ta način lahko odkrijemo šibke točke v delovnem procesu ter bolje ocenimo, kje so potrebne izboljšave pri delu pooblaščenih izvajalcev.



OVREDNOTENJE MERITEV RADIOAKTIVNOSTI IN OCENA UČINKOV IZPUSTOV NEK NA OKOLJE



Institut "Jožef Stefan", Ljubljana, Slovenija





OVREDNOTENJE MERITEV RADIOAKTIVNOSTI IN OCENA UČINKOV IZPUSTOV NEK NA OKOLJE

Odgovorni za izdajo: doc. dr. Benjamin Zorko

Urednika: doc. dr. Benjamin Zorko in mag. Denis Glavič - Cindro

Recenzija: prof. dr. Alojz Kodre, mag. Matjaž Koželj, mag. Borut Breznik

Lektoriral: prof. dr. Alojz Kodre

Monografija je lektorirana po mednarodnem standardu ISO 80000.

POGLAVJE

AVTORJI

Radioaktivnost v reki Savi

doc. dr. Benjamin Zorko, IJS

Radioaktivnost v pitni in podzemni vodi

dr. Jasmina Kožar Logar, IJS

Radioaktivnost v usedih

dr. Toni Petrovič, IJS

Zrak

dr. Marko Giacomelli, ZVD

Zunanje sevanje

dr. Matjaž Korun, IJS

Radionuklidi v hrani

prof. dr. Katarina Vogel Mikuš, BF

Založil: Institut "Jožef Stefan", Jamova 39, Ljubljana

Prva izdaja: april 2022

CIP - Kataložni zapis o publikaciji
Narodna in univerzitetna knjižnica, Ljubljana

621.311.25(497.4Krško)

539.16:502.175(497.4)

OVREDNOTENJE meritev radioaktivnosti v reki Savi, pitni vodi, padavinah, zraku, zemlji in hrani v okolici NEK in po Sloveniji / [avtorji Matjaž Stepišnik ... [et al.] ; urednika Benjamin Zorko in Denis Glavič-Cindro]. - 1. izd. - Ljubljana : Institut "Jožef Stefan", 2022

ISBN 978-961-264-227-3

COBISS.SI-ID 103628547

Vse pravice pridržane. Noben del monografije ne sme biti reproduciran, shranjen ali prepisan v kateri koli obliki oziroma na kateri koli način, bodisi elektronsko, mehansko, s fotokopiranjem, snemanjem ali kako drugače, brez predhodnega privoljenja Nuklearne elektrarne Krško ©. Avtorska dela so intelektualna last Instituta "Jožef Stefan".

Naklada: 56 izvodov



VSEBINA

Predgovor urednika

1	Radioaktivnost v reki Savi	1 / 114
2	Radioaktivnost v pitni in podzemni vodi	23 / 114
3	Radioaktivnost v usedih	41 / 114
4	Zrak	53 / 114
5	Zunanje sevanje	77 / 114
6	Radionuklidi v hrani	93 / 114
7	Reference	109 / 114





PREDGOVOR UREDNIKA

Monografija *Ovrednotenje meritev radioaktivnosti in ocene učinkov izpustov NEK na okolje* obravnava stanje v okolju v okolici jedrske elektrarne Krško (NEK) v letu 2021, ko se je aprila iztekel 31. gorivni ciklus in se je z majem začel 32. gorivni ciklusa delovanja jedrske elektrarne. Je samostojna priloga poročila *Nadzor radioaktivnosti v okolici Nuklearne elektrarne Krško, Poročilo za leto 2021*, interna oznaka 7/2022. Monografijo sta neodvisno recenzirala ("peer review") prof. dr. Alojz Kodre in mag. Matjaž Koželj.

Recenzent prof. dr. Alojz Kodre, zaslužni profesor Univerze v Ljubljani, je diplomiral iz fizike leta 1966, magistriral leta 1971 in doktoriral leta 1974. Po diplomi se je zaposlil kot asistent na Oddelku za fiziko FNT in dopolnilno na IJS. Leta 1975 je bil habilitiran za docenta za fiziko, leta 1981 za rednega profesorja. Predaval je matematično fizikalne predmete (Matematična fizika I in II, Modelska analiza), kot raziskovalec se je ukvarjal z fiziko notranjih atomskih lupin. V domačem laboratoriju je razvijal absorpcijsko rentgensko spektroskopijo, leta 1989 pa so v skupini sodelavcev prvi v Sloveniji začeli z meritvami s sinhrotronsko svetlobo na sinhrotronu DESY v Hamburgu, pozneje tudi na sinhrotronih LURE v Orsayu in ESRF v Grenoblu ter Elettra v Bazovici pri Trstu. V letih 1977 in 1978 je kot »Fulbright research fellow« obiskal University of N. Carolina v Chapel Hillu, v letih 1989 in 1990 pa kot »Fulbright visiting professor« University of Oregon v Eugeneu. V času tega obiska je sodeloval v eksperimentih na sinhrotronih v Brookhavnu in Stanfordu. Njegova bibliografija obsega prek petsto enot, od tega prek dvesto osemdeset znanstvenih člankov. V soavtorstvu z I. Kuščerjem je objavil učbenik *Mathematik in Physik und Technik* (Springer-Verlag 1993) in v slovenščini *Matematika v fiziki in tehniki* (DMFA 1994).

Mag. Matjaž Koželj ima več kot dvajsetletne izkušnje na področju jedrske tehnologije in varstva pred sevanji. Pri vrednotenju učinkov NE Krško na okolje in prebivalstvo sodeluje že več kot deset let. Je pooblaščen izvedenec varstva pred sevanji za področje izpostavljenosti prebivalcev zaradi izvajanja sevalnih dejavnosti in za področje varstva pred sevanji v jedrskih objektih, industriji, raziskovalnih in izobraževalnih ustanovah. Je predavatelj v Izobraževalnem centru za jedrsko tehnologijo Instituta "Jožef Stefan", kjer sodeluje pri izvedbi predavanj na področju varstva pred sevanji, jedrske in reaktorske fizike ter instrumentacije in regulacije. Mag. Matjaž Koželj je avtor ali soavtor več kot osemdeset izvirnih znanstvenih in strokovnih člankov, znanstvenih prispevkov na konferencah, samostojnih znanstvenih in strokovnih sestavkov, poročil in elaboratov. V preteklosti je kot ekspert in predavatelj sodeloval pri več tečajih, ki jih je organizirala Mednarodna agencija za atomsko energijo. Skoraj petnajst let je že član, zadnja leta pa tudi vodja ene izmed strokovnih skupin za oceno doz v skupini za obvladovanje izrednega dogodka pri Upravi RS za jedrsko varnost. Je tudi član Izvršilnega odbora Društva Slovenije za varstvo pred sevanji.

V monografiji obravnavamo merske izide in modelske izračune za ugotavljanje radioaktivnosti v okolju, ki je posledica prvobitne radioaktivnosti, splošne onesnaženosti zaradi jedrskih poskusov in nesreč v jedrskih objektih ter nadzorovanih zračnih in tekočinskih izpustov iz jedrske elektrarne Krško. Neprekinjeno zbiranje in vrednotenje merskih podatkov (obdobja povprečja) omogoča prikazovanje časovnih teženj in s tem tudi vzdržnost pri trajni umestitvi jedrskega objekta v življenjski prostor. Za to uporabljamo prikladne modele s kompleksnimi matematičnimi in numeričnimi algoritmi, ki ustrezajo fizikalnim procesom. Tako izračunamo predvidene koncentracije aktivnosti ali specifične aktivnosti izbranih radionuklidov v tistih medijih, prek katerih se radioaktivnost vnese v človekovo telo (zaužitje, inhalacija) ali pa človekovo telo obdaja (zunanje sevanje). Z upoštevanjem porabe ali časa zadrževanja v izbranem mediju lahko ocenimo letne efektivne doze ali okoljski dozni ekvivalent zračnih in tekočinskih izpustov iz NEK na referenčne osebe iz različnih starostnih skupin (odrasli, otroci in dojenčki), ki živijo v neposredni bližini jedrske elektrarne (500 m od osi reaktorja in dalje). Z leti smo v raziskavah našli ustrezne načine računanja in poročanja o majhnih vrednostih [58]. Predvidene koncentracije aktivnosti ali specifične aktivnosti radionuklidov nato primerjamo z izmerjenimi vrednostmi v vzorcih iz okolja na istih lokacijah v okolici NEK. Rezultati meritev v okolju v okolici NEK se še kritično primerjajo z rezultati meritev na izbrani referenčni ali kontrolni lokaciji (Ljubljana, Dobova) ter drugod po Sloveniji.

Monografija *Ovrednotenje meritev radioaktivnosti in ocene učinkov izpustov NEK na okolje* obsega sedem poglavij, v katerih kritično obravnavamo značilne prenosne poti razširjanja radionuklidov po vodi, zraku,



zemlji, pri uživanju hrane in ob direktnem zunanjem obsevanju. Poglavlja se vsebinsko dopolnjujejo in prepletajo. V prvem poglavju *Radioaktivnost v reki Savi* tako razlagamo učinek tekočinskih izpustov NEK na okolico in referenčno osebo iz skupine ribičev, vse do vnosa radionuklidov v telo (efektivna doza zaradi notranjega obsevanja) in tudi zunanje sevanja (efektivna doza zaradi zunanje obsevanja). Tekočinski izpusti lahko vplivajo na pitno vodo zaradi mogočega stika Save s podtalnico, kar se obravnava v drugem poglavju *Radioaktivnost v pitni in podzemni vodi*. Ker so nekatera črpališča na krško-brežiškem področju plitva, zemljina pa prepustna, je mogoč vpliv na podtalnico tudi po zračni prenosni poti s padavinami. Used lahko vodi do zunanje in notranje obsevanja, saj se delci v zraku posedajo na tla in lahko preko listov značilno pridejo v rastlinje, ki ga prebivalci uživajo (*Radioaktivnost v usedih*). Če se takšen used zadrži v tleh, so prebivalci lahko izpostavljeni še zunanemu sevanju. Transport in razširjanje plinov in aerosolov obravnava poglavje *Radioaktivnost v zraku*, kjer je glavno orodje za ocenjevanje učinkov napredni numerični model. Le-ta realno opisuje razširjanje radioaktivnih snovi od točke izpusta na razgibanih in zahtevnih terenih ter območjih, kjer je hitrost vetra majhna. V petem poglavju *Zunanje sevanje* obravnavamo izpostavitve referenčne osebe zunanemu ionizirajočemu sevanju. Poglavlje *Radionuklidi v hrani* opisuje in razlaga učinke na prebivalstvo zaradi zaužitja hrane, ki je pridelana na krško-brežiškem polju. Merski izidi se kritično primerjajo s podatki po Sloveniji. Obravnavo smo dopolnili s statistično analizo, kar je dopolnitev kritične presoje podatkov in s tem dodana vrednost k celotni monografiji. V zadnjem poglavju so zbrane vse reference, uporabljene v monografiji *Ovrednotenje meritev radioaktivnosti in ocene učinkov izpustov NEK na okolje*.

Avtorji poglavij v monografiji so znanstveniki in/ali strokovnjaki s področja jedrske fizike, kemije in biologije ter tudi strokovnjaki s področij jedrske varnosti in zaščite pred ionizirajočimi sevanji. Svoje prispevke so pripravili na izviren in znanstveno-strokovno način, s katerim so kritično komentirali merske izide in druge spremljajoče pomembne podatke. Oceno učinkov izpustov iz jedrske elektrarne na okoliško prebivalstvo so ugotavljali z računanjem letne efektivne doze, pri čemer so upoštevali tri starostne skupine. Če povzamemo izsledke poglavij, lahko sklenemo, da prebivalci, ki živijo na krško-brežiškem polju, v vaseh v celotnem okrožju v okolici NEK in na robu izključitvenega območja, niso nič bolj izpostavljeni ionizirajočemu sevanju kot prebivalci drugod po Sloveniji. Ocenjujemo, da je prispevek NEK zaradi zračnih in tekočinskih izpustov zanemarljiv tako z biološkega kot tudi statističnega vidika.

Obravnava emisijskih in imisijskih rezultatov meritev in izračun letnih efektivnih doz izpostavljenosti ionizirajočemu sevanju ima podlago v slovenski zakonodaji jedrske in sevalne varnosti, ki zahteva takšno ovrednotenje (pravilnik *JV 10* [8]), ter v znanstvenem in strokovnem izražanju, saj le tako lahko v realnih razmerah preverimo različne znanstvene metode in načine ovrednotenja merskih podatkov. Avtorji obravnavajo problematiko izpustov iz jedrske elektrarne ter morebitne učinke na ljudi v bližnji in širši okolici NEK ter skladno z zakonodajo podajajo neodvisna in znanstveno-strokovno utemeljena mnenja.

Skupina za meritve ionizirajočega sevanja Instituta "Jožef Stefan" (IJS) je močno vpeta v metrološko stroko, saj imamo edini v regionalnem področju v radiju nekaj 100 km potrjene in usklajene predloge najboljših merskih zmoglosti (CMC) na ravni regionalnih metroloških organizacij in Mednarodnega biroja za mere in uteži (BIPM) za aktivnosti (Bq/kg). Tako lahko dokazujemo visoko znanstveno-raziskovalno ter strokovno usposobljenost tako za izvedbo meritev kot tudi za njihovo objavo in ovrednotenje.

doc. dr. Benjamin Zorko, odgovorni urednik

1 RADIOAKTIVNOST V REKI SAVI

POVZETEK

V poglavju so predstavljeni in ovrednoteni rezultati meritev radioaktivnosti v reki Savi (rečna voda, sedimenti, ribe) in ocena učinkov na prebivalstvo tako iz meritev tekočinskih izpustov iz NEK v reko Savo in z uporabo modela, kot tudi iz meritev koncentracij aktivnosti radionuklidov in okoljskih vzorcev.

V letu 2021 je bila skupna aktivnost tekočinskih izpustov v okolje primerljiva s prejšnjimi leti. Največ je prispeval tritij, edini umetni radionuklid, ki ga redno merimo v reki Savi in je zagotovo vsaj delno posledica tekočinskih izpustov NEK. Pri vseh drugih umetnih radionuklidih je učinek NEK v okolju nemerljiv oziroma nedoločljiv. Vsebnosti cezija in stroncija v okoljskih vzorcih nizvodno od NEK zelo verjetno nista posledica učinkov NEK na okolje, ampak posledica neenakomerne globalne kontaminacije. Prisotnost joda v reki Savi je posledica uporabe tega radionuklida v terapevtski in diagnostični rabi v bolnišnicah. Letna efektivna doza zaradi zadrževanja na obrežju zaradi zunanjega sevanja in zaužitja rib za referenčno skupino prebivalstva po savski prenosni poti je nižja ali enaka 0,016 μSv na leto.

UVOD

Nadzorni program vzorčenja in meritev za ugotavljanje radioaktivnosti v reki Savi obsega analize vzorcev iz okolja (imisije) in meritve tekočinskih izpustov na samem viru v NEK (emisije). Meritve v okolju omogočajo splošno oceno stanja na območju okoli NEK, oceno morebitnih učinkov nizvodno od elektrarne in tudi učinkov zunanjih dogodkov, kot je bila černobilska nesreča. Program obsega vzorčenje in meritve vode, suspendiranih snovi v vodi, sedimentov in vodne biote. Lokacije vzorčenja so postavljene nizvodno in vzvodno od NEK, tako da je mogoče ločiti med drugimi zunanjimi vplivi in dejanskimi učinki elektrarne.

NEK pri normalnem obratovanju občasno kontrolirano izpušča v okolje tekočine iz izpustnih rezervoarjev. Tekočine z nizkimi aktivnostmi radionuklidov se izpuščajo v reko Savo skozi kanal bistvene oskrbne vode (ESW – Essential Service Water), ki je nad jezom jedrske elektrarne. Skozi kanal se tako izpuščajo radioaktivne tekočine iz odpadnih merilnih rezervoarjev (WMT) in sistema za kaluženje uparjalnikov (SGBD). Izpuščena radioaktivnost je zaradi redčenja s savsko vodo na lokacijah vzorčenja, razen za tritij, skoraj vedno pod detekcijsko mejo meritev v okolju.



Slika 1.1: Izhod bistvene oskrbne vode (ESW), kjer se izpuščajo radioaktivne tekočine iz odpadnih merilnih rezervoarjev (WMT) in sistema za kaluženje uparjalnikov (SGBD). Fotografija na desni je posneta z jezca NEK.



V reki Savi so tudi naravni radionuklidi uranove in torijeve razpadne verige ter radioaktivni kalij (K-40). V vzorcih je vedno berilij (Be-7), ki je kozmogene narave. Poleg tega sta tu še tritij (H-3) in radioaktivni ogljik (C-14), ki sta tako kozmogene kot antropogene narave. Poleg naravnih in kozmogonih radionuklidov sta zaradi globalne kontaminacije povsod v okolju tudi umetna radionuklida: stroncij (Sr-90), cezij (Cs-137). Zaradi uporabe v medicini je v reki Savi še jod (I-131).

Učinke na prebivalstvo ocenjujemo iz neposrednih meritev izpustov (emisij) in z uporabo modela, ki je natančneje opisan v poročilu *Izpostavitev referenčne skupine prebivalcev sevanju zaradi tekočinskih izpustov NEK v reko Savo (IJS-DP-10114)* [25], [26]. Model, ki temelji na enodimenzionalni projekciji rešitve parcialne diferencialne enačbe za opis transporta in razširitve oblaka izpuščenih tekočin, upošteva najpomembnejše prenosne poti in načine izpostavitve referenčne skupine iz prebivalstva (referenčne osebe). Ocena učinka na okolje ne vključuje ovrednotenja prejetih doz zaradi naravnih radionuklidov, saj ti niso del izpustov NEK.

Po izgradnji HE Brežice so nastopile v reki Savi nove hidravlične razmere, ki jih ne poznamo dobro. Na spremembe v režimu toka reke Save po izgradnji HE Brežice kažejo vizualna opazovanja lokalnega prebivalstva (ribiči) in vrednotenje izmerjenih koncentracij aktivnosti tritija na vzorčevalnih postajah (v pretočni akumulaciji HE Brežice, nad jezom HE Brežice in Brežice). Ugotavljamo, da se je spremenilo razredčitveno razmerje v Brežicah, na drugih lokacijah pa ni znano. V skladu s tehnično specifikacijo *Dose Calculation and dilution modelling of run-of-river Brežice hydro plant accumulation* št. TO. RZ-5/2020 [28] bo izdelan numerični program za oceno učinkov prebivalstva, ki bo temeljil na ovrednotenju razredčitvenih koeficientov oziroma razredčitvenih razmerij v pretočni akumulaciji HE Brežice z uporabo preizkušenega modela PCFLOW3D [29], [30] in [31]. V okviru projektne naloge je bila predlagana tudi eksperimentalna študija sledenja vsebnosti tritija v reki Savi nizvodno od jezua NEK, ki se bo uporabila za primerjavo med teoretičnimi napovedmi koncentracij aktivnosti tritija v reki Savi in izmerjenimi vrednostmi. Hidrodinamske in hidravlične razmere so bile razdelane v ločeni študiji s simulacijo širjenja toplotnega onesnaženja nizvodno od jezua NEK [32], hidravlične lastnosti reke Save pa so bile dodatno podkrepjene z batigrafskim slikanjem globine [33].

Neodvisno od radiološkega nadzora NEK se izvaja tudi nadzor drugih rek po Sloveniji v okviru programa nadzora radioaktivnosti v življenjskem okolju v Republiki Sloveniji [17]. Na Savi v Ljubljani, Krki, Savi pri Brežicah, Dravi, Muri in Kolpi se polletno jemljejo vzorci vode. Rezultati teh meritev se uporabljajo za splošno oceno stanja v Sloveniji, obenem pa jih uporabljamo kot referenčne vrednosti za oceno učinka NEK.

OKOLJSKI VZORCI

Značilnosti vzorčenja

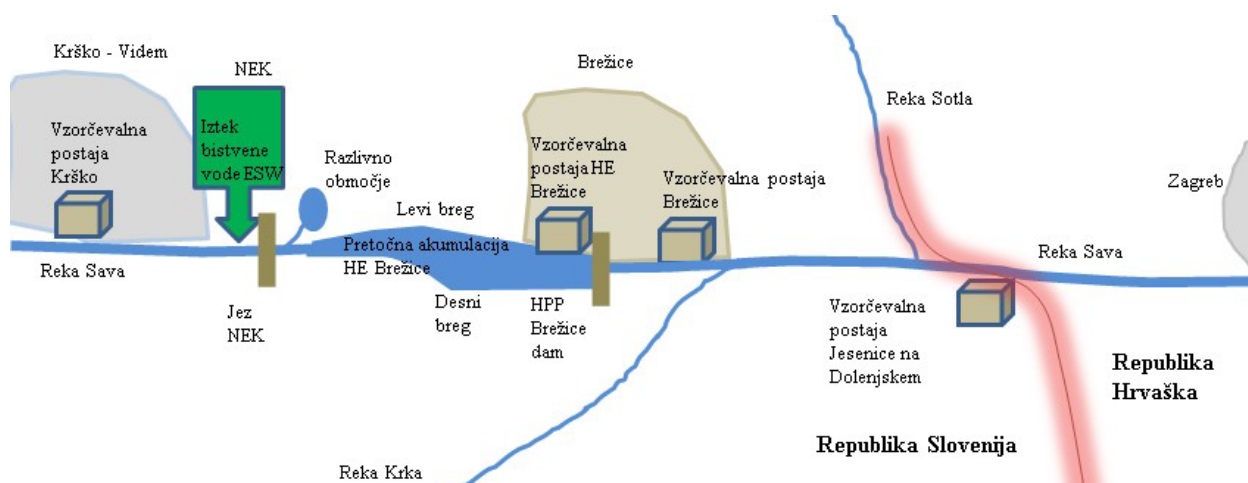
Neprekinjeno vzorčenje reke Save je potekalo v rečni matici na štirih lokacijah (slika 1.2), in sicer v Krškem pred papirnico (3,2 km vzvodno od NEK), pri HE Brežice (nad jezom, 7,2 km nizvodno od NEK), v Brežicah (8,2 km nizvodno od NEK in 400 m nizvodno od starega mostu) in v Jesenicah na Dolenjskem (17,5 km nizvodno od NEK). Prvi vzorčevalnik za neprekinjeno vzorčenje na referenčnem odvzemnem mestu Krško (v črpalni postaji za tehnološko vodo papirnice Vipap) deluje tako, da se zbirajo in merijo vzorci četrtletno, razen za tritij, ki se vzorčuje mesečno. Po izgradnji jezua HE Brežice je bila v letu 2017 zgrajena nova avtomatska vzorčevalna postaja HE Brežice, ki je na levem bregu Save 100 m nad jezom (sliki 1.2 in 1.3). Košara za zajem vode je na sredini jezua HE Brežice v najnižjem delu v rečni matici. Tudi vzorčevalna postaja v Brežicah je na levem bregu, rečna vodna se neprekinjeno zajema iz rečne matice. Na vzorčevalnih postajah HE Brežice in Brežice delujeta enaka vzorčevalnika z avtomatskim dnevnim zajemom vode. Voda se črpa v prelivno zbirno posodo. Iz prelivne posode manjša črpalka neprekinjeno črpa vodo in jo naliva v eno izmed štirih zbirnih posod. Voda se pretaka prek filtrov, tako da se ločeno zbira filtrski ostanek. V vsaki posodi se zbira dnevni vzorec, ki omogoča tudi odvzem enodnevnega vzorca v primeru izrednega dogodka. Na dan se nabere nekaj litrov vode. Vzorčevalec nato na tri dni iz vsake zbirne posode natoči 1,6 litra vode v vzorčevalno posodo (mesečni vzorec 50 litrov). Na podoben način poteka odvzem vzorcev v Jesenicah na Dolenjskem, kjer se enako zbirajo mesečni vzorci. Postaja je tam na desnem



bregu. Košara za zajem rečne vode blizu rečne matice je bližje desnemu bregu. Vzorčenja na postajah je opravljal NEK, meritve vzorcev pa so opravljale neodvisne organizacije ZVD, IRB in IJS. Neprekinjena vzorčenja sestavljenih dnevnih vzorcev savske vode so namenjena predvsem za določanje povprečne koncentracije aktivnosti dolgoživih radionuklidov. Pri tem se ločeno merita voda in filtrski ostanek, ki se kot groba suspendirana snov predhodno odstrani iz vode s filtriranjem.

Neprekinjeno vzorčenje ne omogoča ovrednotenja kratkoživih radionuklidov. Zato se neodvisno izvaja tudi kvartalno ali mesečno vzorčenje posamičnih vzorcev nefiltrirane vode (50-litrski vzorci). Iz rezultatov teh meritev lahko natančneje ocenimo koncentracije aktivnosti kratkoživega joda (I-131).

Ločen odvzem posamičnih vzorcev vode je tako potekal na osmih lokacijah in sicer v Krškem, v razlivnem območju ("nadomestni habitat" 1,7 km nizvodno od NEK), na levem in desnem bregu akumulacijskega jezera HE Brežice (4,5 km in 5,5 km od NEK), neposredno nad jezo HE Brežice (ob avtomatski postaji), v Brežicah pod starim mostom, v Jesenicah na Dolenjskem in v kraju Podsused pri Zagrebu (okrog 30 km nizvodno od NEK). Lokacija na razlivnem območju je namenjena spremljanju vode za zapornim jezo HE Brežice, ki je na levem bregu in omogoča razlivanje reke pri zelo visokih vodostajih. Vzorčenje posamičnih vzorcev vode sta opravila ZVD in IRB.



Slika 1.2: Shematski prikaz vseh vzorčevalnih postaj za neprekinjeno vzorčenje ob reki Savi po izgradnji akumulacijskega jezera HE Brežice



Slika 1.3: Avtomatska vzorčevalna postaja HE Brežice (7,2 km nizvodno od NEK), kjer poteka neprekinjen zajem vzorcev vode



Za ovrednotenje učinkov po savski prenosni poti se kvartalno in mesečno spremlja tudi radioaktivnost v sedimentih. Pri teh učinkih je pomemben dolgoletni potek, povezan z globalno kontaminacijo, to je tudi informacija o ničelnem stanju v primeru, da bi prišlo do resnejših izpustov iz NEK. Vzorčenje sedimentov je potekalo na 9 lokacijah, in sicer vzvodno od NEK pod mostom (na levem bregu), pod jezom v NEK (desni breg), pri Pesju (na levem bregu), na levem in desnem bregu akumulacijskega jezera HE Brežice, neposredno nad jezom HE Brežice (ob avtomatski postaji), pri Brežicah (na levem bregu), pri Jesenicah na Dolenjskem (na desnem bregu) in na Hrvaškem v kraju Podsused pri Zagrebu. Vzorčenje sedimentov sta opravila ZVD in IRB. Opažamo, da se tri lokacije vzorčenja podvajajo in da je glede na obliko brežine akumulacijskega jezera HE Brežice težko pridobiti reprezentativni vzorec sedimenta na bregovih akumulacije.

Poleg spremljanja radioaktivnosti površinskih vod in sedimentov je pomemben indikator kontaminacije v Savi tudi vodna biota (ribe). Ulov rib je potekal na šestih lokacijah v Krškem, na akumulacijskem jezeru HE Brežice, v Brežicah, Jesenicah na Dolenjskem ter v Republiki Hrvaški v krajih Podsused in Otok. Četrtno vzorčenje rib v Sloveniji je opravil ZVD, na Hrvaškem pa IRB.

Značilnosti meritev okoljskih vzorcev

Pri vzorcih vode, sedimentov in rib ločeno potekajo meritve sevalcev gama in čistih sevalcev beta (H-3, C-14 in Sr-90). Vsebnost sevalcev gama v vzorcih reke Save se je določala z visokoločljivostno spektrometrijo gama po postopku izvajalca meritev, ki vključuje pripravo vzorca s sušenjem (izparevanje v sistemu s prisilno ventilacijo) in homogenizacijo. S tekočinskoscintilacijsko spektrometrijo (LSC) je bila merjena koncentracija aktivnosti tritija (H-3) v vodnem destilatu savske vode. Z metodo LSC je bila merjena tudi vsebnost C-14. Aktivnost Sr-90 se je določala z radiokemično separacijo in štetjem na proporcionalnem števcu po postopku izvajalca meritve. Merska metoda za določanje stroncija ne omogoča ločenega merjenja radionuklidov Sr-90 in Sr-89, zato izmerek pomeni skupno aktivnost Sr-90/Sr-89. Ker pa je bila koncentracija aktivnosti kratkoživega Sr-89 v tekočinskih izpustih NEK pod mejo detekcije, se koncentracija aktivnosti Sr-90/Sr-89 dejansko nanaša le na Sr-90. Poleg tega je zaradi kratke razpolovne dobe Sr-89, ki bi bil posledica globalne kontaminacije, že v celoti razpadel.

Vzorčenje in meritve na savski prenosni poti razlikujemo glede na vrsto vzorcev:

- vzorčenje vode skupaj z grobo suspendirano snovjo (količina vzorca vode je 50 litrov) in ločene meritve sušine vzorcev vode in filtrskega ostanka vode, ki se kot groba suspendirana snov predhodno odstrani iz vode s filtriranjem;
- vzorčenje talnih sedimentov, ki v glavnem vsebujejo fini pesek (količina vzorca od 100 do 500 g); vzorčenje gibljivih sedimentov, ki vsebujejo več organske snovi, se od leta 2005 ne izvaja več;
- vzorčenje in meritve rib vrst klen, podust, krap, som, mrena, štupser, babuška, plotica in deverika z maso od 280 do 880 g; pred pripravo vzorcev se odstranijo repi in glave rib.

REZULTATI MERITEV IN TIPIČNI ČASOVNI POTEKI

Seznam meritev, pogostost posameznih meritev, merski rezultati in izvajalci meritev so navedeni v *Merski rezultati – nadzor radioaktivnosti v okolici Nuklearne elektrarne Krško – Poročilo za leto 2021, IJS-DP-13759, marec 2022*, ki so na priloženi zgoščenki v poročilu. Tabele z merskimi podatki o vodah in sedimentih so: T-1 do T-4 (ZVD, H-3 – IJS), T-5, T-6 (IRB); T-7, T-9, T-10, T-12, T-13, T-14 (ZVD, H-3 – IJS); T-11, T-15/p, T-16/p1, T-16/p2, T-16/p3, T-17/p, T-18 (IRB), T-HE 1 do T-HE 9 (ZVD, H-3 – IJS). Tabele z merskimi podatki o ribah so: T-19, T-21, T-22 (ZVD); T-22/p1, T-24, T-25 (IRB), T-HE 10, T-HE 11 (ZVD).

Tritij (H-3)

V vseh jedrskih elektrarnah je prisoten radioaktivni izotop vodika tritij (H-3) v tekočinskih in atmosferskih izpustih. Kot kozmogeni radionuklid nastaja tudi v zgornji plasti atmosfere pri jedrskih reakcijah visokoenergijskega kozmičnega sevanja z dušikom. Tritij se veže v molekulo vode (HTO) in z dežjem pride do zemeljske površine. Večina tritija je razredčena v oceanih. Poskusne jedrske eksplozije v petdesetih in



šestdesetih letih prejšnjega stoletja so naravni inventar tritija povečale za dva velikostna reda. Tako je njegova koncentracija aktivnosti v deževnici na severni polobli narasla z $0,6 \text{ kBq/m}^3$ na 150 kBq/m^3 v letu 1963 [24]. Do danes se je zaradi radioaktivnega razpada in prehoda v oceanske vode koncentracija aktivnosti H-3 v deževnici znižala na prvotnih $0,6 \text{ kBq/m}^3$. Tritij je edini radionuklid, ki ga je mogoče sistematično spremljati v okolju kot nedvomno posledico izpustov NEK. Zato je uporaben kot sledilec in z njegovo razredčitvijo ocenimo tudi koncentracije drugih radionuklidov, ki jih v okolju navadno ne zaznamo [26].

Tritij je redno prisoten v tekočinskih efluentih NEK. Po podatkih NEK so bili največji mesečni tekočinski izpusti H-3 opravljani v februarju ($4,34 \text{ TBq}$, slika 1.4). Skupni letni izpust v letu 2021 $16,1 \text{ TBq}$ je bil v okviru razsutja podatkov primerljiv s povprečjem letnih aktivnosti H-3 v tekočinskih izpustih od 1999 do 2020 ($11,8 \text{ TBq}$). Na sliki 1.5 je prikazana primerjava koncentracij aktivnosti tritija v savski vodi na lokacijah Krško, HE Brežice, Brežice in Jesenice na Dolenjskem v letu 2021.

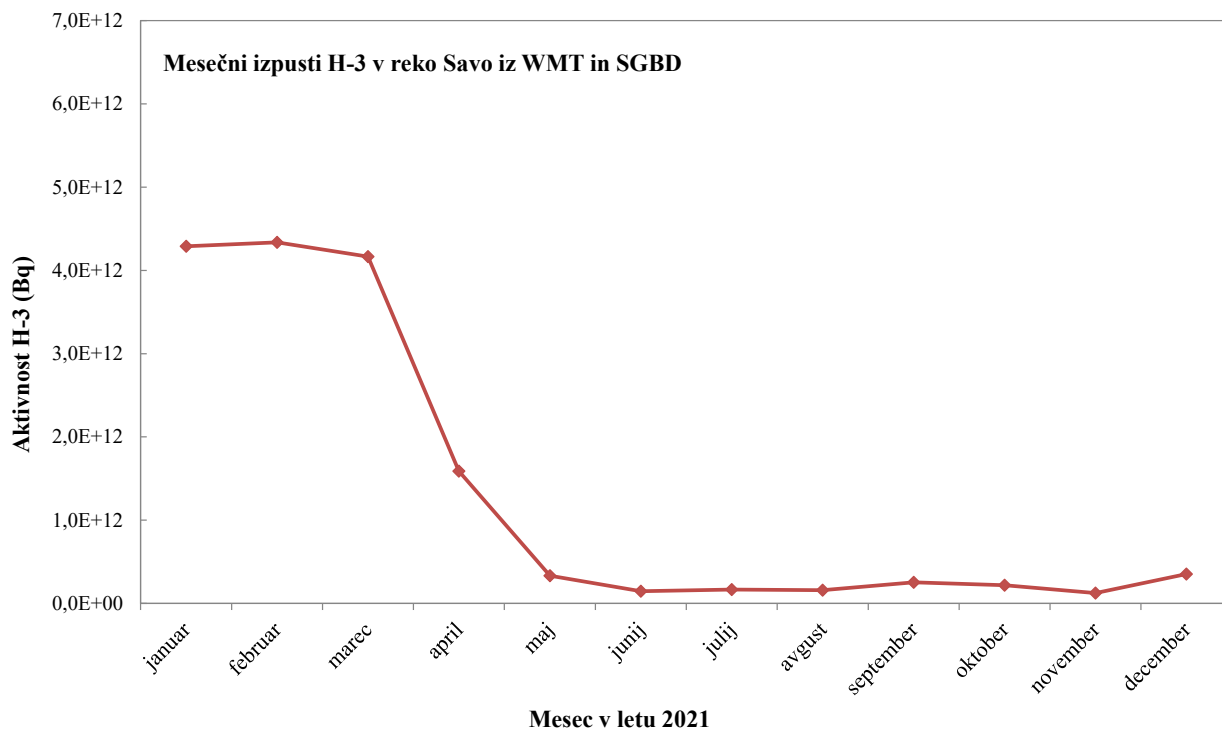
Povprečje mesečnih koncentracij aktivnosti H-3 nad jezom HE Brežice $3,6 \text{ kBq/m}^3$ je višje od koncentracij aktivnosti na referenčnem odvzemnem mestu Krško $0,6 \text{ kBq/m}^3$. V Brežicah (za jezom HE Brežice) je povprečje mesečnih koncentracij aktivnosti $2,6 \text{ kBq/m}^3$ kar $1,5$ krat nižje od dolgoletnega povprečja $3,9 \text{ kBq/m}^3$ za zadnjih 18 let. Izmerjena povprečja koncentracij aktivnosti v Jesenicah na Dolenjskem (letno povprečje $2,4 \text{ kBq/m}^3$) so pričakovano nižja kot v Brežicah zaradi dodatnega redčenja Save s Krko in Sotlo. Izjeme so prvi trije meseci, saj so koncentracije aktivnosti tritija v Jesenicah na Dolenjskem višje kot v Brežicah. Neujemanje lahko pripišemo nestacionarnosti pojavov v pretočni akumulaciji HE Brežice.

V marcu so bile izmerjene najvišje koncentracije aktivnosti H-3 na lokacijah, kjer se vzorčuje neprekinjeno (nad jezom HE Brežice, Brežice in Jesenice na Dolenjskem). Nad jezom HE Brežice je bila koncentracija aktivnosti H-3 najvišja ($17,8 \pm 0,9 \text{ kBq/m}^3$) in je bila približno 40-krat višja kot na referenčnem odvzemnem mestu v Krškem ($0,5 \pm 0,1 \text{ kBq/m}^3$). V Brežicah je bila koncentracija aktivnosti v marcu ($7,9 \pm 0,4 \text{ kBq/m}^3$), v Jesenicah na Dolenjskem pa ($9,1 \pm 0,7 \text{ kBq/m}^3$). Meseca marca je bil vodostaj reke Save $128 \text{ m}^3/\text{s}$, kar je nižje od povprečja $199 \text{ m}^3/\text{s}$ v letu 2021. V mesecu marcu je bila izmerjena koncentracija aktivnosti v Jesenicah na Dolenjskem višja kot v Brežicah, kar ni običajno. Tudi v februarju, maju in oktobru smo opazili podobna razmerja koncentracij aktivnosti tritija na omenjenih vzorčevalnih lokacijah. V Jesenicah na Dolenjskem pričakujemo nižje koncentracije aktivnosti H-3 kot v Brežicah zaradi pritokov rek Krke in Sotle, kar bi ob popolnem mešanju moralo znižati koncentracijo aktivnosti H-3. To anomalijo lahko pripišemo novonastalim razmeram po izgradnji pretočne akumulacije. Meritve tritija na lokacijah Brežice in Krško je opravil IJS, medtem ko je meritve na Hrvaškem izvajal IRB.

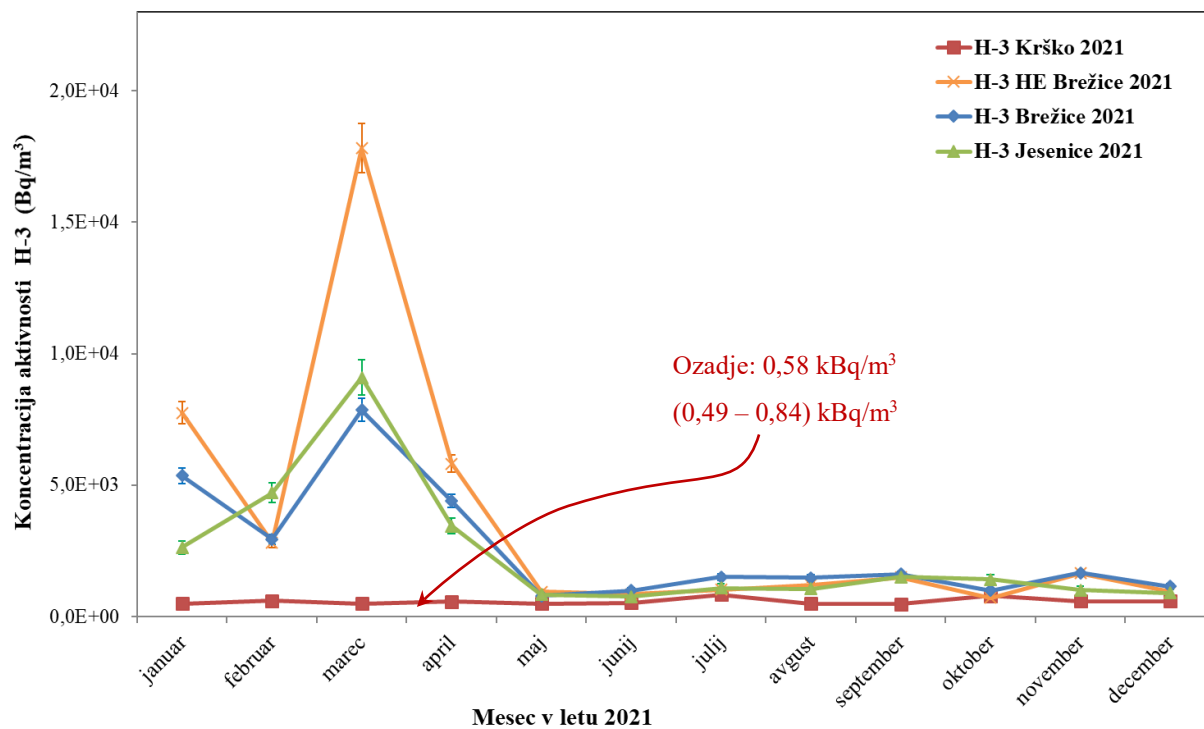
V tabeli 1.1 prikazujemo moč povezanosti mesečnih izmerjenih koncentracij aktivnosti na vzorčevalnih mestih nizvodno od jezov NEK in mesečnimi aktivnostmi H-3 v tekočinskih izpustih iz NEK. Merilo za korelacijo (povezanost med spremenljivkama) je vzorčni korelacijski (Pearsonov) koeficient [49], ki je predstavljen v tabeli 1.2. Iz tabele 1.1 lahko ugotovimo, da so povezanosti zelo močne med vzorčevalnimi postajami nad jezom HE Brežice, in Jesenicami na Dolenjskem in aktivnostmi H-3 v reki Savi. Nasprotno, je povezanost negativna in šibka za levi in desni breg pretočne akumulacije in izpuste.

Tabela 1.1: Vrednosti korelacijskega koeficienta med koncentracijami aktivnostmi H-3 in aktivnostjo tekočinskih izpustov H-3 iz NEK

Vrednost korelacijskega koeficienta	Primerjava med izpusti in vzorčevalni lokacijami
-0,19	levi breg
-0,35	desni breg
0,73	nad jezom HE Brežice
0,83	Brežice
0,80	Jesenice na Dolenjskem



Slika 1.4: Mesečne aktivnosti tekočinskih izpustov H-3 iz NEK v letu 2021



Slika 1.5: Primerjava koncentracij aktivnosti tritija v savski vodi na lokacijah Krško, HE Brežice, Brežice in Jesenice na Dolenjskem. Lokacija Krško je v toku Save nad elektrarno in je zato referenčna. Na tej lokaciji je bilo v letu 2021 povprečje mesečnih koncentracij aktivnosti H-3 0,58 kBq/m³.



Tabela 1.2: Merila moči povezanosti spremenljivk¹⁰ v odvisnosti od absolutne vrednosti korelacijskega koeficienta

Vrednost korelacijskega koeficienta	Moč povezanosti
0,00	ni povezanosti
0,01–0,19	neznatna povezanost
0,20–0,39	nizka/šibka povezanost
0,40–0,69	srednja/zmerna povezanost
0,70–0,89	visoka/močna povezanost
0,90–0,99	zelo visoka/zelo močna povezanost
1,00	popolna (funkcijska) povezanost

Tabela 1.3: Vrednosti korelacijskega koeficienta za primerjavo med koncentracijami aktivnostmi H-3 na vzorčevalnih lokacijah nizvodno od jezua NEK

Vrednost korelacijskega koeficienta	Primerjava med vzorčevalni lokacijami
0,29	levi breg–desni breg
–0,17	levi breg–nad jezom HE Brežice
–0,13	levi breg–Brežice
–0,18	levi breg–Jesenice na Dolenjskem
–0,27	desni breg–nad jezom HE Brežice
–0,31	desni breg–Brežice
–0,23	desni breg–Jesenice na Dolenjskem
0,96	nad jezom HE Brežice–Brežice
0,92	nad jezom HE Brežice–Jesenice na Dolenjskem
0,89	Brežice–Jesenice na Dolenjskem

V tabeli 1.3 prikazujemo moč povezanosti izmerjenih mesečnih koncentracij aktivnosti na vzorčevalnih mestih nizvodno od jezua NEK. Ugotavljamo, da so povezanosti močne ali zelo močne med vzorčevalnimi postajami nad jezom HE Brežice in Jesenicami na Dolenjskem. šibka je povezanost med koncentracijami aktivnosti H-3 na levem in desnem bregu največje razširitve pretočne akumulacije. Negativne in neznatne ali šibke povezanosti so med drugimi vzorčevalnimi lokacijami.

Pri tem je treba povedati, da se na lokacijah največje razširitve v pretočni akumulaciji reka Sava vzorči enkratno mesečno. V primerjavi z vzorčevalnimi mesti, kjer se vzorči neprekinjeno (nad jezom HE Brežice,

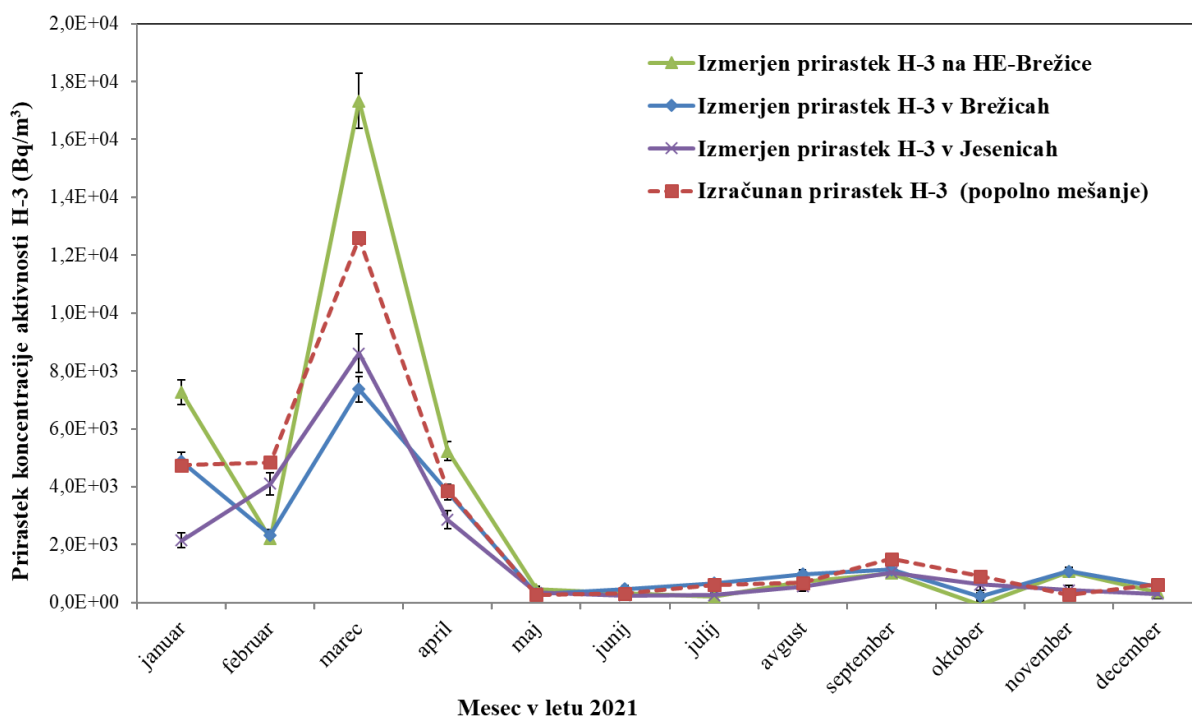
¹⁰ Povzeto po https://sl.wikipedia.org/wiki/Pearsonov_koeficient_korelacije



Brežice in Jesenice na Dolenjskem) lahko na levem in desnem bregu največje razširitve pretočne akumulacije HE Brežice predpostavimo možnost vpliva časovnega poteka dnevnih izpustov na izmerjene koncentracije aktivnosti H-3 v reki Savi. Po pregledu časovnega poteka aktivnosti tekočinskih izpustov H-3 [5] lahko ugotovimo, da vzorčenja niso zajela močnejših dnevnih izpustov. Upoštevali smo dvodnevni zamik med časom izpusta in vzorčenjem. Hitrost toka reke Save je v začetnem delu pretočne akumulacije nizvodno od jezua NEK (1–2 km) ocenjena na 0,5 m/s, v najširšem delu zaježitve in v delu nad jezom HE Brežice pa je tok reke počasnejši in je ocenjen na 0,03 m/s pri srednjem letnem pretoku reke 200 m³/s. Iz teh podatkov sledi, da lahko oblak efluentov potuje od jezua NEK do jezua HE Brežice tudi več dni. Zaradi tega lahko sklepamo na slabše moči povezanosti med primerjavami merskih rezultatov na vzorčevalnih lokacijah in izpusti.

Najvišja koncentracija aktivnosti H-3 ($1,9 \pm 0,1$ kBq/m³) je bila na levem bregu pretočne akumulacije julija, ko je bil ujet močnejši dnevni izpust konec junija. Na desnem bregu je bil ob istem času vzorčenja prav tako zaznan junijski izpust, saj je bila koncentracija aktivnosti H-3 enaka ($1,9 \pm 0,1$ kBq/m³). Na desnem bregu v največji razširitvi pretočne akumulacije je bila koncentracija aktivnosti H-3 najvišja oktobra ($3,6 \pm 0,2$ kBq/m³), ko je bil zaznan močnejši dnevni izpust konec septembra. Na levem bregu tega izpusta nismo zaznali.

Koncentracija aktivnosti H-3 v razlivnem področju ("nadomestni habitat" 1,7 km nizvodno od NEK) je bila najvišja v prvem četrtletju (od 1,8 kBq/m³ do 3,5 kBq/m³), ko so bili mesečni tekočinski izpusti v reko Savo najvišji. Tudi v tem primeru je pomemben datum vzorčenja, saj lahko z zajeto vodo na dan vzorčenja zaznamo močnejše dnevne izpuste. Površinska voda iz razlivnega območja ni neposredno povezana s tekočo vodo iz Save. Sklepamo, da so povišane koncentracije aktivnosti najverjetneje posledica preteklih izpustov.



Slika 1.6: Primerjava med mesečnimi izmerjenimi prirastki koncentracije aktivnosti tritija v reki Savi in izračunanimi prirastki koncentracije aktivnosti. Izračunana koncentracija aktivnosti je dobljena iz mesečnih tekočinskih izpustov H-3 in pretoka Save (mesečni izpust / mesečna prostornina pretečene Save).



V vseh letih je tudi redno povišana koncentracija tritija v podzemni vodi v vrtini VOP-4 (blizu levega brega Save, 600 m nizvodno od jezua NEK). V tem letu je bilo povprečje mesečnih koncentracij aktivnosti H-3 3,9 kBq/m³, kar je v okviru razsutja podatkov primerljivo s prejšnjimi leti. Najvišja izmerjena posamična koncentracija aktivnosti 10 kBq/m³ je bila v aprilu (glej tudi poglavje *Radioaktivnost v pitni in podzemni vodi*), kar je dva meseca po najvišjih izpustih v februarju. V drugih rekah v Sloveniji je bilo povprečje mesečnih koncentracij aktivnosti H-3 kot v preteklih letih, večinoma pod 1 kBq/m³ [18]. Iz časovnega poteka na sliki 10 v [18] lahko opazimo zmanjševanje povprečja koncentracije aktivnosti H-3 v rekah. Pojavljajo se občasne anomalije, kot je bilo na primer v letih 2013 in 2020 v reki Savi pri Brežicah, kar je bila posledica tekočinskih izpustov iz NEK.

Na sliki 1.6 je prikazana primerjava med izmerjenimi mesečnimi prirastki koncentracije aktivnosti H-3 in izračunanimi koncentracijami aktivnosti H-3 na HE Brežice, v Brežicah in v Jesenicah na Dolenjskem. Prirastek koncentracije aktivnosti tritija pomeni, da je bila odšteta izmerjena koncentracija aktivnosti tritija (naravno ozadje) na referenčnem mestu v Krškem pred NEK. Izračunano koncentracijo aktivnosti smo dobili tako, da smo mesečni izpust H-3 delili z mesečno količino pretečene savske vode in predpostavili popolno mešanje vode.

Na sliki 1.7 je podana primerjava med izmerjenimi letnimi prirastki koncentracije aktivnosti in izračunanimi letnimi koncentracijami aktivnosti H-3 v Brežicah od leta 2002. Dodali smo tudi izmerjene prirastke na jezua HE Brežice od leta 2017. Dolgoletne težnje kažejo, da na mestu vzorčenja v Brežicah in tudi pri HE Brežice v preteklosti najverjetneje še ni prišlo do popolnega mešanja izpuščenih radionuklidov s savsko vodo. Izmerjeni povprečni letni prirastki koncentracije aktivnosti tritija v Brežicah so bili sistematično večji kot izračunani prirastki ob predpostavki popolnega mešanja vode. Po izgradnji jezua HE Brežice so se hidrodinamske razmere spremenile, kar smo že opisali v uvodu.

Po dosednji metodologiji ocenimo razredčitveno razmerje DR (*Dilution Ratio*) na različnih lokacijah pod jezom NEK kot razmerje med prirastkom koncentracije aktivnosti tritija na danem mestu pod izpustom (npr. v Brežicah) $C_{w,L}$ in prirastkom koncentracije aktivnosti tritija na mestu s popolnim mešanjem vode $C_{w,tot}$ [26]:

$$DR = \frac{C_{w,L}}{C_{w,tot}} \quad (1.1)$$

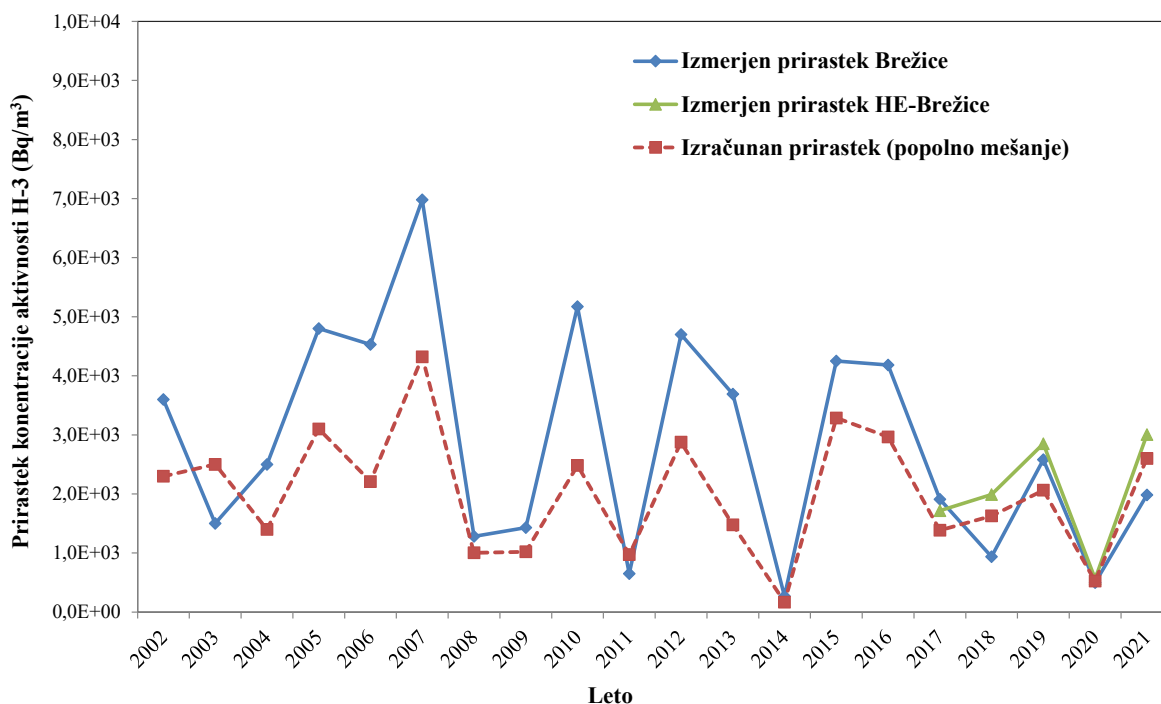
Prirastek koncentracije aktivnosti na mestu popolnega mešanja izračunamo iz izraza:

$$C_{w,tot} = \frac{A_{H-3}}{F \times t} \quad (1.2)$$

kjer je A_{H-3} skupna letna izpuščena aktivnost tritija (Bq), produkt $F \times t$ pa celotni letni volumen pretečene Save v kubičnih metrih. Pri tem je F povprečni letni pretok, t pa je čas (eno leto).

Vrednosti DR so lahko 0 na lokacijah, kjer še ni prišlo do mešanja, med 0 in 1 na lokacijah, kjer se čista voda le delno meša s kontaminirano (npr. na nasprotnem bregu pod izpustom), ali pa več kot 1 na lokacijah, kjer se kontaminirana voda nepopolno meša s čisto, npr. na istem bregu neposredno pod izpustom. Pri popolnem mešanju je DR enak 1.

Iz razlike med povprečnima letnima koncentracijama aktivnosti tritija v Brežicah in v Krškem smo dobili izmerjena prirastka koncentracije aktivnosti v Brežicah $C_{w,L}$ 0,50 kBq/m³ in nad jezom HE Brežice 0,56 kBq/m³. Izračunani prirastek koncentracije aktivnosti tritija na mestu popolnega mešanja $C_{w,tot}$ je bil 0,52 kBq/m³. Oba rezultata meritve se dobro ujemata z izračunanim prirastkom na mestu popolnega mešanja. Na sliki 1.7 sta prikazana časovna poteka prirastka koncentracije aktivnosti v Brežicah in HE Brežice in ter njuna primerjava z izračunanim prirastkom. Tako je bilo v letu 2021 razredčitveno razmerje DR v Brežicah ocenjeno na 0,8, kar je nižje kot razredčitveno razmerje nad jezom HE Brežice 1,2. Dolgoletno povprečno razredčitveno razmerje (od 2007 do 2021) na vzorčevalni lokaciji ob levem bregu v Brežicah je ocenjeno na $(1,4 \pm 0,5)$.



Slika 1.7: Primerjava med letnima povprečnima prirastkoma koncentracije aktivnosti H-3 v reki Savi na jezcu HE Brežice ter za jezom v Brežicah in izračunano koncentracijo aktivnosti H-3, dobljeno iz letnih tekočinskih izpustov in pretoka Save ob predpostavki popolnega mešanja

Ker še ni popolnoma jasno, kakšen učinek ima gradnja HE Brežice na razredčitveno razmerje v Brežicah, smo primerjali tudi povprečno razredčitveno razmerje po izgradnji HE-Brežice od leta 2017. Na odvzemnem mestu HE Brežice je nekajletno razredčitveno razmerje ocenjeno na $(1,2 \pm 0,1)$. Pričakovali bi, da se nad jezom reka dodatno zmeša in je tako razredčitveno razmerje v Brežicah nižje od HE Brežice in zelo blizu $DR = 1$. To potrjujejo tudi meritve, saj je povprečno razredčitveno razmerje v Brežicah pod jezom od leta 2017 $(1,0 \pm 0,4)$.

Ogljik (C-14)

Večina C-14 v okolju je danes posledica naravnega kozmičnega sevanja. Poskusne jedrske eksplozije so njegovo aktivnost v atmosferi v šestdesetih letih podvojile. Le manjši delež C-14 nastaja zaradi izpustov jedrskih objektov. Od leta 2013 se C-14 sistematično meri v četrtnih vzorcih tekočinskih efluentov, te meritve je v letu 2021 opravil IRB. Iz posameznih meritev in volumna izpuščene vode iz WMT (kvartalni izpusti) smo ocenili četrtno aktivnosti C-14. Te so bile od 0,004 GBq v zadnjem četrtnju do 0,095 GBq v prvem četrtnju, ko so bili tekočinski izpusti v reko Savo najvišji. Skupno letno izpuščeno aktivnost C-14 0,13 GBq smo izračunali kot vsoto četrtnih vrednosti. Izpusti so skoraj za velikostni red nižji, kot je dolgoletno povprečje (1,7 GBq) od leta 2013. Ocenjeni izpusti so tudi nižji od grobe ocene, ki jo naredimo glede na obratovalno moč elektrarne (1,8 GBq na leto oziroma 2,6 GBq/GW(e)-leto [40]). Aktivnost izpuščenega C-14 je do 4 velikostnih redov nižja kot pri tritiju.

C-14 je bil v letu 2021 merjen tudi v savski vodi in v ribah [20]. Na lokacijah na levem in desnem bregu pretočne akumulacije HE Brežice so bili odvzeti posamični četrtni vzorci. Povprečni četrtni koncentraciji aktivnosti C-14 na levem in desnem bregu akumulacijskega jezera sta bili 84 pMC¹¹

¹¹ pMC pomeni "odstotek modernega ogljika" ali relativna specifična aktivnost C-14. Relativna specifična aktivnost se izračuna glede na referenčni vzorec aktivnosti C-14 iz znanega standarda. Po definiciji je 100 pMC enak 226 Bq na kg ogljika. Pri pretvorbi rezultatov meritev C-14 v vodi, upoštevamo, da je 100 pMC enako 11,3 Bq/m³ vode [22].



(9,5 Bq/m³ vode) in 85 pMC (9,6 Bq/m³). Izmerjena sta bila tudi dva vzorca rib (krap in podust) v akumulacijskem jezeru HE Brežice. Izmerjeni relativni specifični aktivnosti C-14 v ribah sta bili 95 pMC in 91 pMC (215 Bq/kg C in 205 Bq/kg C). Vse izmerjene aktivnosti so nižje od trenutnih atmosferskih aktivnosti (103 pMC). V primerjavi s prejšnjimi leti sta specifični aktivnosti C-14 v reki Savi in ribah v okviru negotovosti meritev enake.

Glede na letne izpuste v Savo je pričakovati, da bi povprečna koncentracija aktivnosti C-14 v Brežicah narasla na okrog 0,07 Bq/m³. Zaradi prisotnosti naravnega, večinoma kozmogenega C-14 v okolju (okrog 11 Bq/m³) tako nizke koncentracije aktivnosti ni mogoče izluščiti iz naravnega ozadja.

Vnos radioaktivnega ogljika v ribe poteka prek vode in vodnih rastlin, s katerimi se ribe hranijo. Obstaja popolno ravnovesje med raztopljenim anorganskim ogljikom v vodi in v ribi [41]. Iz bioakumulacijskega faktorja C-14 in ocenjenega povprečnega prirastka C-14 v Savi (0,07 Bq/m³) zaradi učinka NEK lahko ocenimo, da se relativna specifična aktivnost C-14 v ribah podobno kot v vodni bioti minimalno poveča (< 0,2 Bq/kg) in je pod mejo detekcije.

Jod (I-131)

Kratkoživi radioaktivni jod (I-131) občasno opazimo v tekočinskih efluentih NEK. V izpustih iz NEK v letu 2021 I-131 ni bil zaznan.

I-131 je redno prisoten v vodi na vseh vzorčevalnih mestih reke Save, tako vzvodno od elektrarne kot nizvodno v pretočni akumulaciji HE Brežice v Brežicah in Jesenicah na Dolenjskem. Povišane koncentracije joda je bilo mogoče izmeriti takoj po črnobilski nesreči. V nekaterih rekah v Sloveniji ga je mogoče najti zaradi uporabe tega radionuklida v medicini.

V letu 2021 koncentracija aktivnosti I-131 zelo niha in je včasih tudi pod mejo detekcije. V posamičnih vzorcih je bila do 9,8 Bq/m³ v Krškem v zadnjem četrtletju, kjer je bilo tudi najvišje povprečje 6,1 Bq/m³ v letu 2021. Na levem bregu so bile koncentracije aktivnosti od 1,7 Bq/m³ do 5,9 Bq/m³, na desnem bregu od 0,6 Bq/m³ do 4,7 Bq/m³ nad jezom HE Brežice od 2,2 Bq/m³ do 4,3 Bq/m³, v Brežicah od 1,9 Bq/m³ do 3,2 Bq/m³ in v Jesenicah na Dolenjskem od 1,3 Bq/m³ do 6 Bq/m³.

Če primerjamo rezultate meritev z ločenim nadzorom v življenjskem okolju v RS [18], so bile povprečne koncentracije na reki Savi v Brežicah nižje, kot jih izmerimo v Savi v Ljubljani (2,8–11,6 Bq/m³). V Muri in Dravi so bile koncentracije aktivnosti I-131 nižje, do 1 Bq/m³ v februarjem vzorcu reke Drave.

V talnem sedimentu se jod redkeje pojavlja in v tem letu ni bil zaznan.

V vzorcih rib iz referenčnega odvzema (v Krškem nad jezom) in tudi v vzorcih iz nadzornih odvzemnih mest pod jezom NEK (meritve ZVD in IRB) ni bila zaznana prisotnost I-131, kar je enako kot v preteklih letih. Glede na koncentracije aktivnosti joda v posamičnih vzorcih nefiltrirane vode (okrog 10 Bq/m³) bi pričakovali, da je specifična aktivnost joda v ribah okrog 0,4 Bq/kg (upoštevajoč bioakumulacijski faktor $B_r = 0,04 \text{ m}^3/\text{kg}$) [26]. Če upoštevamo še zamik med datumoma vzorčenja in analize ter način priprave vzorcev (sušenje ali sežig), se zaradi hitrega radioaktivnega razpada predvidena specifična aktivnost I-131 v ribi zmanjša pod mejo detekcije oziroma vsebnost ni merljiva.

Cezij (Cs-137)

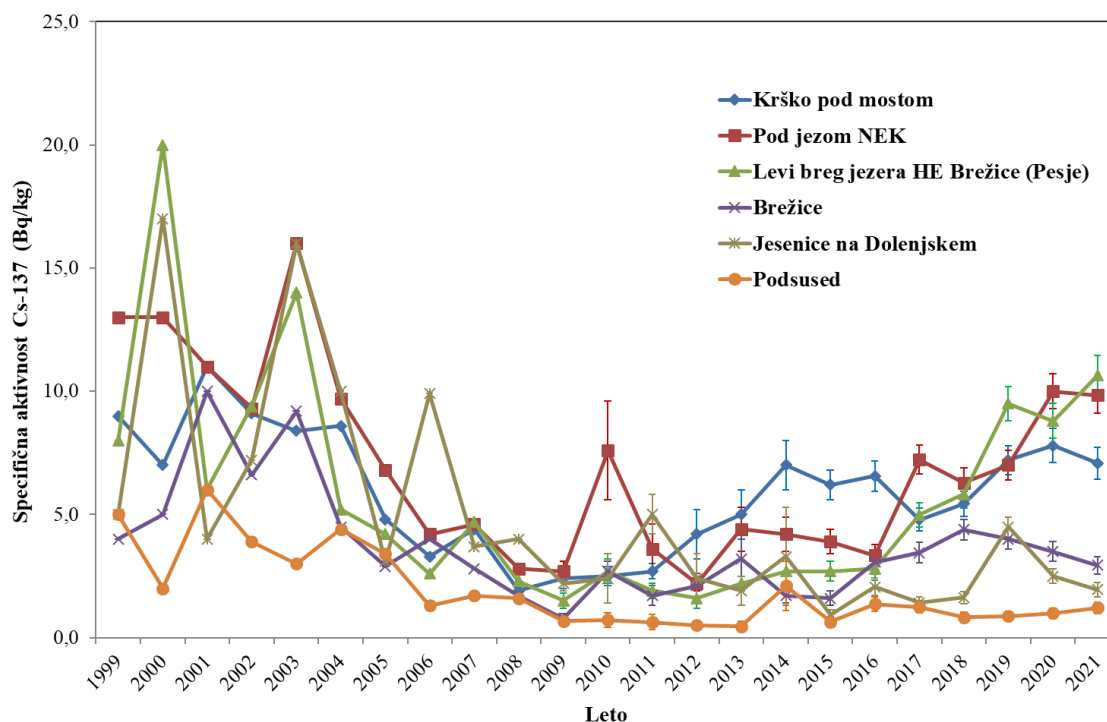
Radioaktivni izotop cezija (Cs-137) je povsod v okolju in je posledica globalne in regionalne kontaminacije (jedrski poskusi in nesreča v Černobilu). Cs-137 izmerimo tudi v tekočinskih izlivih NEK.

Letni izpust Cs-137 je bil 1,8 MBq, kar je v okviru razsutja podatkov primerljivo kot v preteklih letih (2012–2020) in nižje kot dolgoletno povprečje 15,1 MBq od leta 2000. Cezij se slabo (le v nekaj odstotkih) veže na grobo suspendirano snov [26]. Če bi prišlo do večjega izpusta NEK, bi to najprej zaznali v povečani koncentraciji aktivnosti v vodi (suhi ostanek po izparevanju vzorca vode) in le manjši delež v filtrskem ostanku (v grobi suspendirani snovi). Upoštevaje letni izpust in povprečni pretok Save ter ob privzetku razredčitvenega razmerja na levem bregu v Brežicah lahko ocenimo prirastek koncentracije aktivnosti Cs-137 v Brežicah na okrog 0,4 mBq/m³. Prirastek je tri velikostne rede nižji od izmerjenih vrednosti, zaradi česar ga ni mogoče ločiti od globalne kontaminacije.



Povprečje mesečnih koncentracij aktivnosti v filtrirani vodi (suhi ostanek po izparevanju vzorca vode) je bilo na referenčnem mestu v Krškem $0,36 \text{ Bq/m}^3$, na odvzemnem mestu Jesenice na Dolenjskem pa $0,12 \text{ Bq/m}^3$. V Brežicah in nad jezom HE Brežice Cs-137 v vodi ni bil zaznan v nobenem vzorcu.

Večina posamičnih izmerjenih koncentracij aktivnosti filtrirane savske vode je bila pod mejo detekcije aktivnosti (MDA). Na levem bregu največje razširitve pretočne akumulacije je bilo povprečje $0,57 \text{ Bq/m}^3$, v Jesenicah na Dolenjskem pa $0,44 \text{ Bq/m}^3$.



Slika 1.8: Primerjava specifičnih aktivnosti Cs-137 v talnem sedimentu reke Save na lokacijah vzdolžno in nizvodno od jezusa NEK. Prikazane so povprečne specifične aktivnosti od 1999 do 2021.

Cs-137 se je sicer v preteklosti navadno pojavljal v nekoliko višjih koncentracijah v filtrskem ostanku kot v vodni sušini, sedaj pa so rezultati praviloma na meji detekcije ali pod njo. Na referenčni lokaciji v Krškem in nad jezom HE Brežice je bila koncentracija aktivnosti pod mejo detekcije. V Brežicah je bila povprečna koncentracija aktivnosti $0,28 \text{ Bq/m}^3$ (najvišja v avgustu $0,5 \text{ Bq/m}^3$), v Jesenicah na Dolenjskem pa $0,13 \text{ Bq/m}^3$ (najvišja v januarju $0,3 \text{ Bq/m}^3$).

Izmerjene koncentracije aktivnosti Cs-137 v rekah po Sloveniji variirajo glede na lokacijo vzorčenja in so podobne ali višje od vrednosti, izmerjenih v reki Savi v okolici NEK. Povprečna koncentracija aktivnosti Cs-137 v letu 2021 je bila od $0,17 \text{ Bq/m}^3$ v Savi v Lazah pri Ljubljani do $5,2 \text{ Bq/m}^3$ v Muri. V Krki, Savi Brežice in Kolpi Cs-137 v letu 2021 ni bil detektiran, ali pa je bil vsaj en rezultat meritve pod mejo kvantifikacije (velika merska negotovost) [18].

Povprečja specifičnih aktivnosti Cs-137 v sedimentih so od 2 Bq/kg v Jesenicah na Dolenjskem do 11 Bq/kg v Pesjah (pretočna akumulacija HE Brežice). Na referenčnem mestu v Krškem je bilo povprečje $7,8 \text{ Bq/kg}$ (povprečje meritev ZVD in IRB). Med meritvami sedimentov, ki jih je izvedel ZVD, in meritvami IRB opazimo odmikanja. Na sliki 1.8 smo primerjali dolgoletne poteke rezultate meritev IRB. Opazne so razlike med meritvami na posameznih lokacijah. Na podlagi standardne deviacije (razsutja) posamičnih meritev vzorcev po lokacijah lahko to pripisujemo negotovosti vzorčenja. Pred letom 2010 se je specifična aktivnost Cs-137 v sedimentu na vseh lokacijah sistematično zmanjševala. To smo povezali z razpadom radionuklida iz globalne kontaminacije ter istočasno z izpiranjem talnega sedimenta. Specifične aktivnosti umetnih radionuklidov so v sedimentih zaradi izpiranja bistveno nižje kot v vrhnji plasti zemlje (običajna specifična aktivnost cezija v zemlji je namreč nekaj deset Bq/kg). Iz rezultatov meritev na sliki



1.8 je razvidno, da specifična aktivnost Cs-137 v zadnjih letih od 2017 naprej na večini lokacij (tako na referenčni lokaciji kot v pretočni akumulaciji) narašča. To je lahko posledica premikanja obrežnega sedimenta in morda tudi posledica posegov v okolje zaradi gradnje hidroelektrarn na spodnji Savi. Zaradi majhnih izpustov in razmeroma velikih vzorčevalnih in merskih negotovosti ugotavljamo, da učinka NEK v sedimentu ni mogoče zaznati.

Spektrometrične analize rib sta opravila ZVD in IRB. V meritvah rib, ki jih je opravil IRB, Cs-137 ni bil zaznan. Nasprotno pa analize vzorcev rib, ulovljenih na lokacijah, od katerih je referenčna v Krškem, druge pa so nizvodno pod izpustom NEK, ki jih je opravil ZVD, kažejo, da so povprečne mesečne specifične aktivnosti Cs-137 v ribah nad mejo detekcije. V Krškem je bilo povprečje 0,06 Bq/kg, v Brežicah 0,06 Bq/kg, v Jesenicah na Dolenjskem 0,09 Bq/kg, v pretočni akumulaciji nad jezom HE Brežice 0,04 Bq/kg in na območju največje razširitve 0,05 Bq/kg. Povprečja so izračunana po štirih vzorcih rib. V okviru negotovosti povprečij so vsebnosti Cs-137 v ribah na vseh odvzemnih mestih podobne.

Glede na izpuste cezija iz NEK in posledično na povišanje koncentracije aktivnosti Cs-137 v vzorcih nefiltrirane vode (največ 0,0004 Bq/m³) bi pričakovali, da je specifična aktivnost Cs-137 v ribah okrog 0,0008 Bq/kg (upoštevajoč koncentracijski faktor $B_r = 2,0 \text{ m}^3/\text{kg}$) [26], kar je približno dva reda velikosti nižje od izmerjenih specifičnih aktivnosti. Podobno kot pri sedimentu ugotovimo, da je specifična aktivnost cezija v ribah kot posledica učinka NEK nemerljiva in da je nizka prisotnost Cs-137 predvsem posledica globalne kontaminacije.

Stroncij (Sr-90)

Sr-90 je podobno kot radionuklid Cs-137 prisoten povsod v okolju in je posledica globalne kontaminacije. V primerjavi s cezijem je bil delež stroncija v okolju zaradi učinka Černobila na področju Slovenije skoraj zanemarljiv. Kot posledica poskusnih jedrskih eksplozij pa je bil used obeh radionuklidov na naši geografski širini primerljiv.

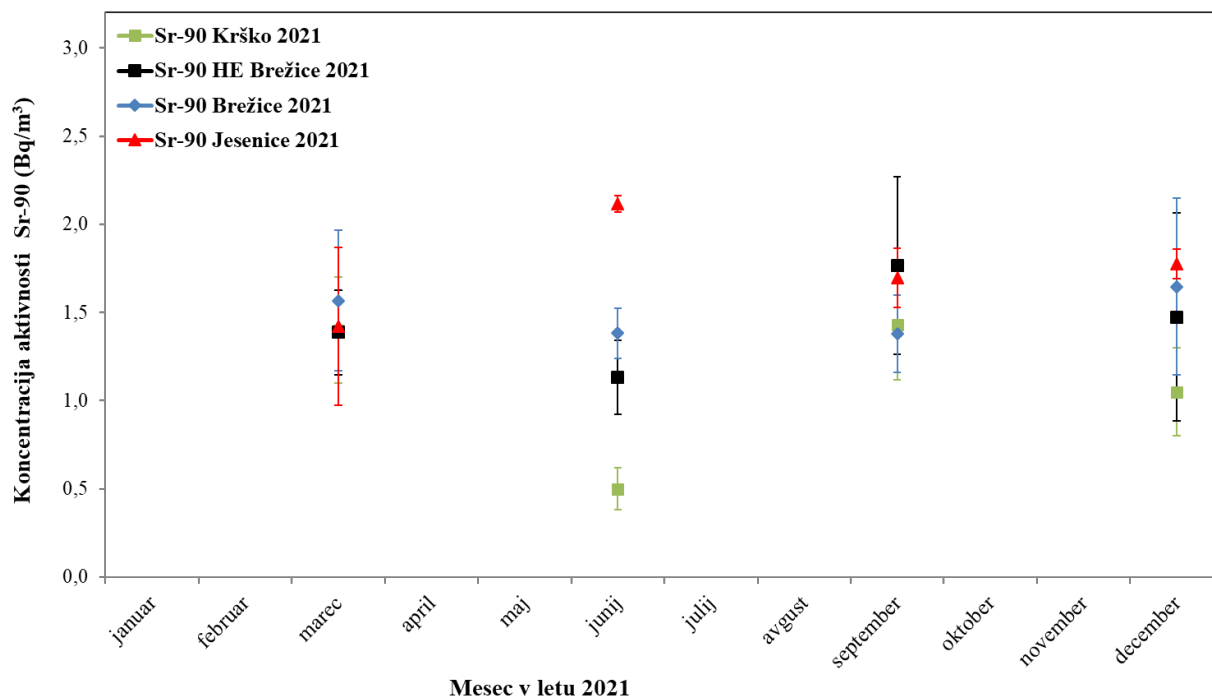
Radioaktivni izotop stroncija Sr-90 je redno v tekočinskih izpustih NEK. V letu 2021 je bilo v reko Savo izpuščena aktivnost 0,04 MBq.

Večina stroncija je raztopljena v vodi, saj je koncentracija aktivnosti Sr-90 v vodi vsaj 10-krat večja kot v filtrskem ostanku. Rezultati meritev Sr-90 v filtrskem ostanku so na vseh vzorčevalnih lokacijah (Krško, Brežice, nad jezom HE Brežice, Jesenice na Dolenjskem) pod mejo detekcije. Na splošno so koncentracije stroncija v vodi do 10-krat višje kot za Cs-137. Na sliki 1.9 je prikazana primerjava rezultatov meritev Sr-90 v vodi na različnih odvzemnih mestih v letu 2021.

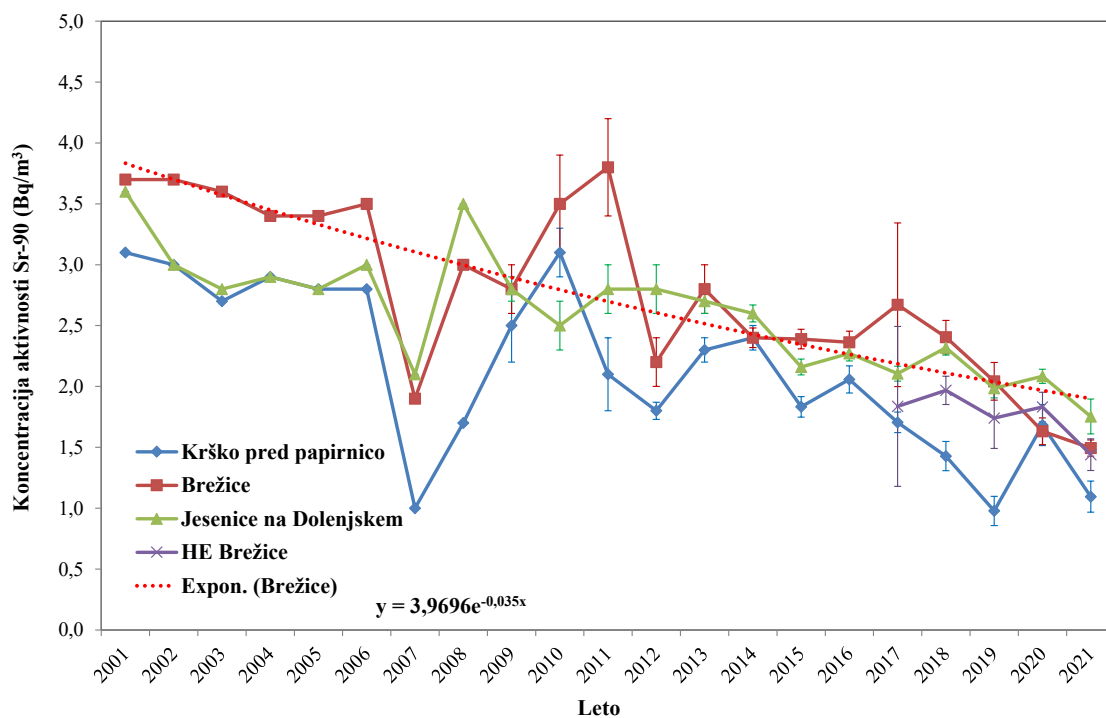
Razlike med povprečji koncentracij aktivnosti Sr-90 na lokacijah, kjer se neprekinjeno vzorči, so v okviru negotovosti povprečij majhne, od 1,1 Bq/m³ v Krškem do 1,8 Bq/m³ v Jesenicah na Dolenjskem. Tudi koncentracije aktivnosti Sr-90 v posamičnih (nefiltriranih) vzorcih vode v okviru merskih in vzorčevalnih negotovosti ne odstopajo od meritev neprekinjeno vzorčenih vzorcev filtrirane vode in so od 1,3 Bq/m³ na levem bregu največje razširitve pretočne akumulacije HE Brežice do 3,4 Bq/m³ v Jesenicah na Dolenjskem.

Povprečne koncentracije aktivnosti stroncija v drugih rekah po Sloveniji ne odstopajo od rezultatov meritev, izmerjenih v Savi v okolici NEK. Povprečna koncentracija, izmerjena v Savi na lokaciji Laze pri Ljubljani, je bila 2,6 Bq/m³, v Dravi 1,8 Bq/m³ in v Muri 2,5 Bq/m³ [18]. Koncentracije aktivnosti Sr-90 v savski vodi so v okviru merskih in vzorčevalnih negotovosti podobne rezultatom iz zadnjih nekaj let (glej sliko 1.10). Opazna je težnja upadanja, ustrezna razpolovni dobi stroncija (28,8 let). Primerjava meritev na različnih lokacijah z upoštevanjem merskih negotovosti kaže, da je učinek NEK nemerljiv.

Specifične aktivnosti stroncija v obrežnih sedimentih so tipično do 10-krat nižje od specifičnih aktivnosti cezija. Na referenčni lokaciji v Krškem stroncij ni bil zaznan. Na ostalih lokacijah nizvodno od jezov NEK so bile povprečne specifične aktivnosti Sr-90 od 0,2 Bq/kg na levem in desnem bregu do 1,7 Bq/kg nad jezom HE Brežice. Izstopa meritev v prvem četrtletju, sicer so bile specifične aktivnosti Sr-90 od 0,15 Bq/kg do 0,25 Bq/kg. Specifična aktivnost stroncija v obrežnem sedimentu je tako primerljiva z rezultati meritev iz predhodnih let. V obrežnih sedimentih je učinek NEK je nemerljiv.



Slika 1.9: Primerjava četrletnih povprečnih koncentracij aktivnosti Sr-90 v vodi (v suhem ostanku po izparevanju vzorca) reke Save na lokacijah Krško, nad jezom HE Brežice, Brežice in Jesenice na Dolenjskem. Meritve na lokacijah nad jezom HE Brežice, Brežice in Jesenice na Dolenjskem so mesečne.



Slika 1.10: Primerjava povprečnih koncentracij aktivnosti Sr-90 v vodi reke Save in eksponentno upadanje zaradi radioaktivnega razpada; razpadna konstanta Sr-90 je 0,024 na leto in se v okviru negotovosti povprečij ujema z usmeritvijo na grafu ((0,035 ± 0,01) na leto).



Ugotavljamo tudi, da je specifična aktivnost stroncija v ribah (vodni bioti) na lokacijah vzorčnja nizvodno od jezua NEK, ki bi bila lahko posledica delovanja NEK, nemerljiva, saj v okviru negotovosti povprečij ni razlik med posameznimi lokacijami. Povprečja so od 0,02 Bq/kg nad jezom HE Brežice do 0,06 Bq/kg v Jesenicah na Dolenjskem. V Krškem je bilo povprečje 0,2 Bq/kg. Ločeno merjenje kosti in mišic rib se ne izvaja od leta 2005, zato primerjava med specifičnimi aktivnostmi stroncija v vzorcih mišic in kosti rib ni mogoča. Stroncij se namreč v glavnem kopiči v kosteh, kjer so vsebnosti tipično dva velikostna reda višje kot v mišicah. Glede na povprečno koncentracijo aktivnosti stroncija v vzorcih reke Save ($1,7 \pm 0,4$) Bq/m³ bi pričakovali, da je specifična aktivnost stroncija v ribah 0,1 Bq/kg (upoštevajoč koncentracijski faktor $B_r = 0,06 \text{ m}^3/\text{kg}$) [26]. Povprečje specifičnih aktivnosti v ribah 0,07 Bq/kg (mišice in kosti ribe skupaj, meritve ZVD) se dobro ujema z oceno in je podobno kot v preteklih letih.

Drugi aktivacijski in fisijski produkti

Drugi fisijski in aktivacijski produkti (Co-58, Co-60, Mn-54, Ag-110m, Sb-125, Cs-134) se redno pojavljajo v tekočinskih izpustih NEK. V letu 2021 je bila skupna aktivnost teh radionuklidov vsaj šest velikostnih redov nižja od tritijeve. Cs-134 je bil v tekočinskih izpustih nazadnje izmerjen leta 2016. V zadnjih nekaj letih ni bil zaznan v okolju noben od naštetih radionuklidov. Nazadnje je bil detektiran Co-60 v letih 2003 in 2006 v vodi in sedimentu, Cs-134 pa v sedimentih leta 2002.

Naravni radionuklidi

Naravni radionuklidi uranove (U-238, Ra-226 in Pb-210) in torijeve (Ra-228 in Th-228) razpadne vrste so bili redno zaznani v vseh vzorcih vode. V savski vodi so bile na vseh odvzemnih mestih koncentracije aktivnosti U-238 do 6,1 Bq/m³, Ra-226 do 4,4 Bq/m³, Pb-210 do 34 Bq/m³, Ra-228 do 3,9 Bq/m³, Th-228 do 2,8 Bq/m³ in Be-7 do 360 Bq/m³. Povprečne koncentracije aktivnosti K-40 so od 7,4 Bq/m³ do 76 Bq/m³ na vseh lokacijah od referenčne lokacije v Krškem do Jesenic na Dolenjskem. Predvsem za K-40 je značilno izrazito nihanje, ki je povezano predvsem z onesnaženostjo rek, v manjši meri pa tudi z geološko sestavo tal. Koncentracije aktivnosti naravnih radionuklidov v vodi so tako podobne izmerjenim v rekah po Sloveniji. Koncentracija aktivnosti K-40 v rekah po Sloveniji variira, kot je to značilno za geološko raznovrstnost slovenskega ozemlja. Kalij je splošno razširjen v vrhnji plasti zemlje, njegove spojine pa so topne v vodi. Povprečna koncentracija aktivnosti K-40 v rekah v letu 2021 je bila od 12 Bq/m³ v reki Soči do 255 Bq/m³ v Savinji. Najvišja koncentracija aktivnosti je bila v Savinji (369 ± 12) Bq/m³. Povišano vsebnost kalija lahko razlagamo s povišano sedimentacijo reke (mešanje vode in zemljine) na mestu odvzema (npr. po čistilni napravi v Laškem) [18].

V sedimentih so bile na vseh odvzemnih mestih specifične aktivnosti U-238 do 52 Bq/kg, Ra-226 do 70 Bq/kg, Pb-210 do 130 Bq/kg, Ra-228 do 54 Bq/kg in Th-228 do 43 Bq/kg. Povprečne specifične aktivnosti K-40 so bile od 290 Bq/kg (Brežice) do 560 Bq/kg (Krško). V sedimentu je bil občasno zaznan Be-7 z razponom od 0 Bq/kg do 280 Bq/kg na vseh lokacijah.

V efluentih NEK naravni radionuklidi niso prisotni, zato ne ocenjujemo njihove obremenitve na okolje.

OCENA UČINKOV

Izpostavitve prebivalstva se ocenjuje iz neposrednih meritev izpustov (emisij) in z uporabo ustreznih modelov. Učinek na okolje po savski prenosni poti ocenjujemo iz primerjave rezultatov emisijskih meritev (meritev vzorcev iz odpadnih merilnih rezervoarjev – WMT in kaluž uparjalnikov – SGBD), ki jih izvaja NEK, in rezultatov meritev vzorcev reke Save. V letu 2003 sta bila izdelana metodologija in model za oceno doz pri izpostavitvi prebivalcev [25], revidirana pa v letu 2009 (*Izpostavitve referenčne skupine prebivalcev sevanju zaradi tekočinskih izpustov NEK v reko Savo – Nova referenčna lokacija* [26]). V metodologiji so prepoznane glavne prenosne poti, načini izpostavitve in referenčne osebe¹² za Slovenijo in

¹² Za oceno obremenitve prebivalstva zaradi izpustov iz jedrskega objekta se uporablja referenčna oseba, ki predstavlja posameznika iz prebivalstva, ki prejema ali bi lahko prejeli najvišje doze.



Hrvaško. Za modelno oceno obremenitev, ki bi jih lahko prinesle zgolj po Savi potekajoče prenosne poti, je bila izbrana kot referenca skupina brežiških športnih ribičev in članov njihovih družin. To so referenčne osebe, ki prejmejo dozo, značilno za bolj izpostavljene posameznike iz prebivalstva.

Zaradi gradnje HE Brežice 7,2 km nizvodno od NEK in nastanka pretočnega akumulacijskega jezera je prišlo do sprememb pri načinih in poteh izpostavitve prebivalstva sevanju. Sedanja ocena učinkov izpuščenih radionuklidov, ki je opisana v nadaljevanju, temelji na starih predpostavkah in ne vključuje spremenjenih hidravličnih parametrov.

Prvotne ocene, ki so bile narejene v letu 2003, so predpostavljale, da so referenčna skupina ribiči, ki ribarijo pri Brežicah, kjer naj bi bilo mešanje izpuščene radioaktivnosti v reko Savo popolno. Kasnejša analiza v letu 2009 je ugotovila, da ribiči pogosto ribarijo znatno bližje NEK, kjer je mešanje še nepopolno. V revidiranem modelu je dodana nova lokacija za ribiče (levi del struge, 350 m pod jezo NEK), ki je prikazana na sliki 1.11. Za to skupino uporabljamo drugo razredčitveno razmerje DR , saj na tem mestu ne prihaja do popolnega mešanja s savsko vodo.

V skladu s tehnično specifikacijo *Dose calculation and dilution modelling of run-of-river Brežice hydro plant accumulation* št. TO. RZ-5/2020 [28] bo izdelan numerični program za oceno učinkov prebivalstva, ki bo temeljil na ovrednotenju razredčitvenih koeficientov v pretočni akumulaciji HE Brežice z uporabo preizkušenega modela PCFLOW3D [29], [30], [31]. Numerično reševanje parcialnih diferencialnih enačb poteka v dveh fazah-modulih [34]. Hidrodinamični modul simulira potek tokov na celotnem področju, ki je razdeljen v prostorske celice (x, y, z). Transportno disperzijski modul nato simulira transport in disperzijo onesnažil (efluentov) v enakem področju in času. Ker je transport efluentov nizvodno od jezua NEK nestacionaren pojav (hitrostno polje, meteorološki pogoji), bo takšno modeliranje zahtevno. Uporabljeno bo za različne okoljske pogoje (pretok reke, temperatura vode, temperatura zraka, hitrost in smer vetra), kar bo v proces teoretične napovedi razredčitvenih koeficientov vneslo dodatno komponento kompleksnosti in zahtevnosti pri ocenjevanju parametrov. Zato je v okviru projektne naloge predvidena tudi eksperimentalna študija, kjer bodo teoretične napovedi vzporejene z izmerjenimi koncentracijami aktivnosti tritija na izbranih mestih.



Slika 1.11: Lokacija za račun modelske doze za referenčno osebo (ribiči) 350 m od jezua NEK na levem bregu. Stara lokacija je bila 7,7 km nizvodno od jezua NEK.


Tabela 1.4: Inventar tekočinskih izpustov v letu 2016, 2017, 2018, 2019, 2020 in 2021 [5]

Radionuklid	2016 (Bq na leto)	2017 (Bq na leto)	2018 (Bq na leto)	2019 (Bq na leto)	2020 (Bq na leto)	2021 (Bq na leto)
H-3	1,99E+13	8,64E+12	1,05E+13	1,36E+13	2,95E+12	1,61E+13
C-14	9,20E+09	1,25E+08	4,1E+07	8,76E+07	2,98E+08	1,31E+08
Na-24	–	–	–	–	–	–
Cr-51	–	–	–	–	–	–
Mn-54	–	–	4,57E+05	4,01E+04	4,28E+05	9,07E+05
Fe-55	2,95E+06	2,02E+06	3,96E+06	4,25E+06	2,97E+06	3,86E+06
Fe-59	–	–	–	–	–	–
Co-57	–	–	–	–	–	–
Co-58	2,22E+06	5,97E+05	3,40E+06	7,33E+06	1,18E+06	9,09E+06
Co-60	2,36E+06	1,38E+06	2,00E+06	3,70E+06	2,37E+06	4,94E+06
Zn-65	–	–	–	–	–	–
Se-75	–	–	–	–	–	–
Sr-85	–	–	–	–	–	–
Sr-89	–	–	–	–	–	–
Sr-90	6,51E+04	1,34E+05	4,43E+04	7,80E+04	4,38E+04	4,34E+04
Y-92	–	–	–	–	–	–
Zr-95	–	–	–	–	–	–
Nb-95	–	–	6,43E+05	–	–	–
Nb-97	–	–	–	–	–	–
Mo-99	–	–	–	–	–	–
Tc-99m	–	–	–	–	–	–
Kr-85	–	–	–	–	–	–
Kr-85m	–	–	–	–	–	–
Kr-87	–	–	–	–	–	–
Kr-88	–	–	–	–	–	–
Rb-88	–	–	–	–	–	–
Ru-103	–	–	–	–	–	–
Ru-106	–	–	–	–	–	–
Ag-110m	3,17E+06	1,39E+06	1,96E+06	6,90E+06	1,97E+06	1,19E+07
Sn-113	–	–	–	–	–	–
Sb-124	–	–	–	–	–	–
Sb-125	–	7,04E+05	2,45E+06	–	–	2,10E+06
Te-123m	–	–	–	–	–	–
Te-125m	–	–	–	–	–	–
Te-127m	–	–	–	–	–	–
Te-129m	–	–	–	–	–	–
Te-132	–	–	–	–	–	–
I-129	–	–	–	–	–	–
I-131	2,01E+04	–	–	1,92E+05	–	–
I-132	–	–	–	–	–	–
I-133	–	–	–	–	–	–
I-134	–	–	–	–	–	–
Cs-134	–	–	–	–	–	–
Cs-137	1,71E+06	1,00E+06	1,99E+06	2,17E+06	9,60E+05	1,81E+06
Cs-136	–	–	–	–	–	–
Cs-138	–	–	–	–	–	–
Xe-131m	–	–	–	–	–	–
Xe-133	9,33E+05	–	–	–	–	–
Xe-133m	–	–	–	–	–	–
Xe-135	–	–	–	–	–	–
Xe-135m	–	–	–	–	–	–
Ba-140	–	–	–	–	–	–
La-140	–	–	–	–	–	–
Ce-141	–	–	–	–	–	–
Ce-144	5,91E+05	–	–	–	–	–
Hg-203	–	–	–	–	–	–



V tabeli 1.4 je podan inventar letnih tekočinskih izpustov NEK, kar je vhodni podatek pri oceni letne efektivne doze. Navedeni so tudi vsi pomembni radionuklidi, ki bi potencialno lahko bili v izpustnih vodah. Iz tabele je razvidno, da je v izpustu v reko Savo največja količina tritija (H-3) in to $1,6E+13$ Bq, vendar je ta radionuklid z vidika radiotoksičnosti malo pomemben. Pomembna sta aktivacijska produkta Co-60 in Co-58 ter fisijski produkti Cs-134, Cs-137 in Sr-90. Pomemben je tudi C-14, ki sicer nima visoke radiotoksičnosti, vendar je po količini takoj za tritijem. Celotna letna aktivnost izpuščenih radionuklidov, razen tritija in ogljika, je bila $3,6E+7$ Bq. V okviru razsutja podatkov je letna izpuščena aktivnost v letu 2021 primerljiva s prejšnjimi petimi leti. Pri izračunu letne efektivne doze nismo upoštevali prispevka žlahtnih plinov Xe-131m, Xe-133, Xe-133m, Xe-135, Kr-85m in drugih zelo kratkoživih radionuklidov, ker za vnos v telo niso pomembni.

Za izračun letne efektivne doze v letu 2021 so bili uporabljeni naslednji vhodni podatki:

- letni izpust radionuklidov iz poročil NEK (tabela 1.4);
 - povprečni pretok Save v Brežicah v tem obdobju ($199 \text{ m}^3/\text{s}$);
 - razredčitveno razmerje *DR* na lokaciji 350 m nizvodno od jeza NEK (3 ± 2) in v Brežicah ($1,4 \pm 0,5$); to je dolgoletno povprečno razredčitveno razmerje od 2007 do 2020, dobljeno iz primerjave meritev tritija v izpustih in v Brežicah;
 - povprečna koncentracija suspendiranega sedimenta ($5,78 \text{ g/m}^3$, povprečje meritev v Brežicah, nad jezom HE Brežice in Jesenice na Dolenjskem);
- predpostavka o maksimalno izpostavljenem posamezniku in ekstremni porabi (največja mogoča ocena izpostavitve).

Od številnih mogočih prenosnih poti za vnos izpuščenih radionuklidov sta za prebivalce v okolici NEK najpomembnejši zadrževanje na bregu (zunanje sevanje) in uživanje rečnih rib. Po dostopnih informacijah napajanje živine in zalivanje pridelkov z rečno vodo nista značilnosti tega področja, zato ju nismo upoštevali v računu. Pitje rečne vode prav tako ni realna podmena zaradi onesnaženosti reke. Vpliv reke Save na pitno vodo se obravnava v poglavju *Radioaktivnost v pitni in podzemni vodi*. Analizirano je tudi izpostavljanje pri kopanju v reki Savi. Ta prenosna pot se zdi malo verjetna, zato ni vključena v model.

V modelu je vključeno zadrževanje na bregu in uživanje rib, značilno za ribiče, ki so v našem primeru referenčne osebe. Podrobni podatki o navadah ribičev so bili dobljeni od gospodarja Ribiške družine Brestanica-Krško. Po njegovih informacijah morda tretjina ribičev uživa ujete ribe. Ti tvorijo referenčno skupino, ki šteje 36 ljudi. V tabeli 1.5 so podane značilnosti referenčne osebe, ki so bile uporabljene v metodologiji: čas, ki ga ribič in njegov otrok preživita na bregu, in letna poraba rib iz Save. Za oceno izpostavljenosti pri pitju savske vode (malo verjetna prenosna pot) so uporabljeni podatki za letno porabo Evropske unije in slovenske zakonodaje po starostnih skupinah: 260 L (dojenčki 1 leto), 350 L (otroci 7–12 let) in 750 L (odrasli > 17 let).

Tabela 1.5: Značilnosti referenčne osebe in maksimalno izpostavljenega posameznika za Slovenijo, uporabljene v metodologiji

	Referenčna oseba (povprečne navade)	Maksimalno izpostavljeni posameznik
Čas, ki ga ribič preživi na bregu	200 h	500 h
Čas, ki ga ob ribiču preživi njegov otrok (10 let)	100 h	250 h
Letna poraba rib iz Save – ribič	10 kg	45 kg
Letna poraba rib iz Save – otrok (10 let)	3 kg	10 kg
Letna poraba rib iz Save – dojenček (1 leto)	0 kg	0 kg
Velikost referenčne (kritične) skupine	36 ljudi	–



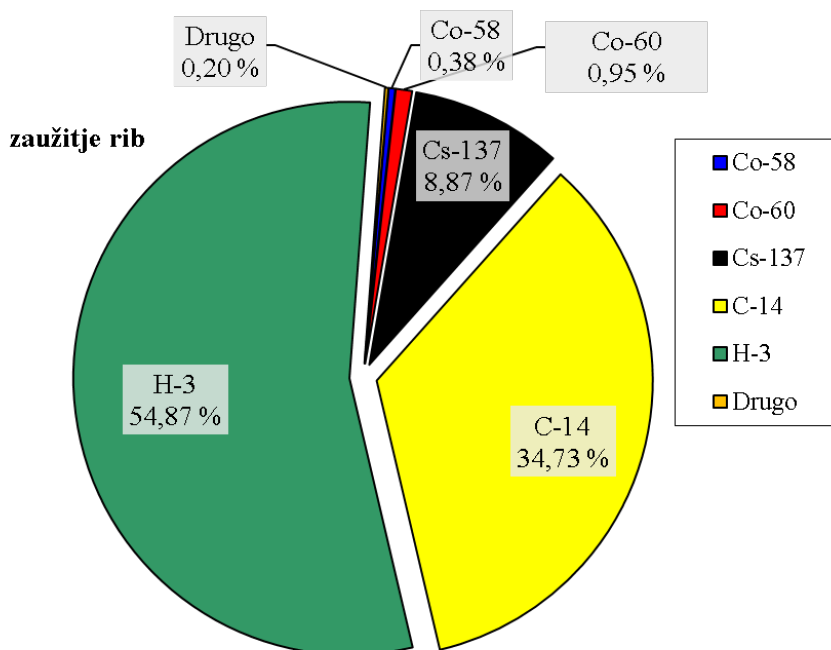
Tabela 1.6: Ocenjena efektivna letna doza posameznika iz prebivalstva v Brežicah, pri čemer upoštevamo maksimalno izpostavljenega posameznika (ekstremna poraba) v letu 2021

Lokacija	Brežice
Prenosne poti	Rečni breg in uživanje rib (zelo verjetna prenosna pot)
Starostna skupina	Efektivna doza (μSv na leto)
odrasli (> 17 let)	0,0073 μSv Prispevek zunanjega sevanja: 0,0020 μSv Prispevek zaužitja rib: 0,0053 μSv
otroci (od 7 do 12 let)	0,0025 μSv Prispevek zunanjega sevanja: 0,001 μSv Prispevek uživanja rib: 0,0015 μSv
dojenčki (1 leto)	0 μSv

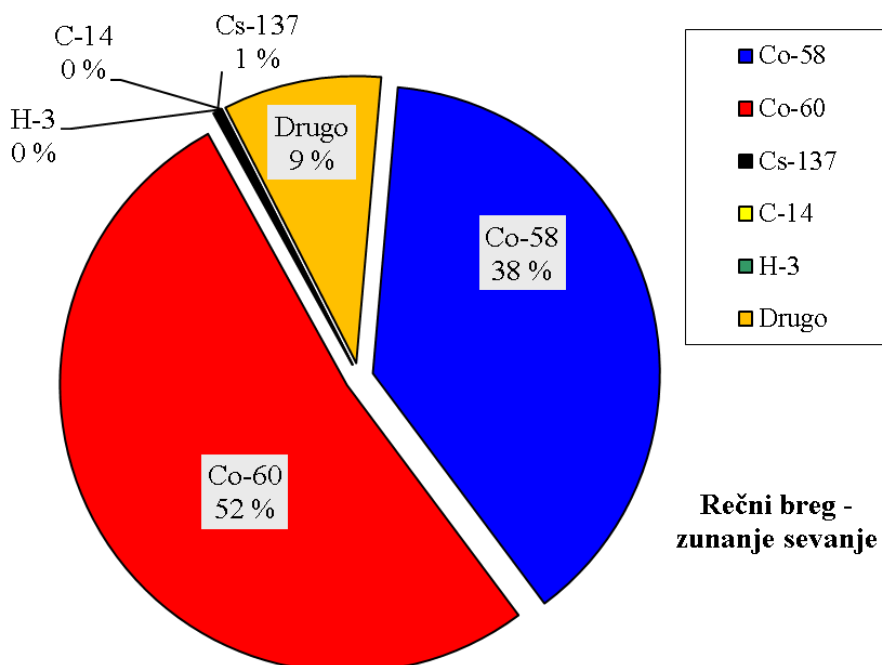
Ocenjena letna efektivna doza za referenčno osebo, narejena iz realnih izpustov NEK in ob predpostavkah največje izpostavitve (ekstremna poraba in maksimalni čas zadrževanja na obrežju, tabela 1.6), je za odraslo osebo v Brežicah 0,0073 μSv . Na bližji lokaciji (350 m nizvodno od NEK) pa je izračunana letna efektivna doza za odraslo osebo (maksimalna poraba) 0,016 μSv (tabela 1.7). Če bi upoštevali povprečne navade referenčne osebe, bi bile prejete efektivne doze še nekajkrat nižje. Največja negotovost izračuna letnih efektivnih doz izvira iz negotovosti koncentracijskih faktorjev B_r za ribe, saj se privzeti faktorji lahko spreminjajo tudi za red velikosti. Podobno slabo so poznane tudi negotovosti doznih faktorjev, ki so bistveno večje od merskih negotovosti.

Tabela 1.7: Ocenjena efektivna letna doza posameznika iz prebivalstva na lokaciji 350 m pod jezom v letu 2021, pri čemer upoštevamo maksimalno izpostavljenega posameznika (ekstremna poraba)

Lokacija	350 m pod jezom NEK
Prenosne poti	Rečni breg in uživanje rib
Starostna skupina	Letna efektivna doza (μSv)
odrasli (> 17 let)	0,0156 μSv Prispevek zunanjega sevanja: 0,0042 μSv Prispevek zaužitja rib: 0,0114 μSv
otroci (od 7 do 12 let)	0,0054 μSv Prispevek zunanjega sevanja: 0,0033 μSv Prispevek uživanja rib: 0,0021 μSv
dojenčki (1 leto)	0 μSv



Slika 1.12: Prispevki posameznih radionuklidov k skupni dozi (zadrževanje na rečnem bregu in zaužitje rib na lokaciji 350 m nizvodno od NEK) v letu 2021. Največ prispeva H-3.



Slika 1.13: Prispevki posameznih radionuklidov k zunanji dozi pri zadrževanju na rečnem bregu 350 m nizvodno od NEK v letu 2021. Največ prispevata Co-60 in Co-58.



Druge starostne skupine (otroci in dojenčki) v skladu s to oceno prejmejo še nižjo efektivno dozo. Vzporedno je narejena tudi ocena efektivne letne doze ob predpostavki pitja rečne vode (odrasla referenčna oseba v Brežicah $0,05 \mu\text{Sv}$). V poročilu *IJS-DP-10114* [26] je bilo ugotovljeno, da je prenosna pot pitja rečne vode malo verjetna in je zato nismo upoštevali pri končnem vrednotenju izpostavljenosti.

Na slikah 1.12, 1.13 so deleži prispevkov posameznih radionuklidov, ki največ prispevajo k prejeti dozi pri zelo verjetni prenosni poti (zadrževanje na rečnem bregu in uživanje rib).

H-3 največ prispeva k celotni dozi iz vseh prispevkov (40 %, dominantno je zaužitje rib (55 %)). V prispevku zadrževanja na bregu je praktično celotna obremenitev zaradi Co-60 in Co-58, in sicer 90 %. V prispevku pitja savske vode, ki je malo verjetna prenosna pot, postane dominantni prispevek H-3 skoraj 100 % in bi bila prejeta efektivna doza odraslega 350 m pod jezom NEK $0,1 \mu\text{Sv}$.

SKLEPI

Tritij je edini radionuklid v okolju, ki ga lahko sistematično merimo v savski rečni vodi in je zagotovo vsaj delno posledica izpustov NEK. Tekočinski izpusti tritija v reko Savo so bili v letu 2021 primerjivi z dolgoletnim povprečjem. Povprečne letne koncentracije aktivnosti H-3 so na vseh odvzemnih mestih okrog nekaj kBq/m^3 ($2,4\text{--}3,6 \text{kBq/m}^3$), kar je do šestkrat več od običajnega ozadja (okrog $0,6 \text{kBq/m}^3$). Navkljub nizki radiotoksičnosti H-3 veliko prispeva k celotni efektivni dozi zaradi zaužitja rib (40 %). V zadnjih letih je bil prispevek C-14 k celotni letni efektivni dozi zaradi tekočinskih izpustov prevladujoč.

Učinek delovanja NEK zaradi izpustov drugih umetnih radionuklidov v reko Savo je v okolju zanemarljiv in tudi večinoma nemerljiv, saj so prispevki neločljivi od njihovih siceršnjih vrednosti v okolju (naravni vir, globalna kontaminacija). Iz podatkov o količini izpustov iz NEK in modelske ocene bi morali v okoljskih vzorcih takoj za tritijem zaznati C-14, Cs-137, Co-58, Co-60, Ag-110m in Sb-125. Aktivnost naštetih radionuklidov v izpustih je pet velikostnih redov nižja od H-3. Izpusti Sr-90 pa so bili še bistveno nižji (osem redov velikosti).

Radionuklida C-14 zaradi razredčitve v Savi in glede na njegovo prisotnost v okolju navadno ne moremo ločiti od naravnega ozadja. C-14 je bil merjen v savski vodi in ribi. Izmerjene specifične aktivnosti v vzorcih so enake značilnim okoljskim vrednostim. Prispevek C-14 iz tekočinskih izpustov iz NEK smo ocenili iz meritev v četrletnih vzorcih WMT, ki jih je opravil IRB.

V letu 2021 I-131 v izpustih NEK ni bil zaznan, redno pa ga opazimo v vseh vzorcih savske vode, tako na referenčni lokaciji nad NEK kot tudi na vseh vzorčevalnih mestih pod NEK. I-131 v okolju je posledica uporabe tega izotopa v terapevtske in diagnostične namene v bolnišnicah.

Kobaltovih izotopov, ki so redno prisotni v izpustih, v okolju v letu 2021 nismo zaznali.

Meritve Cs-137 v vodi so na vseh lokacijah (tudi referenčni) večinoma pod mejo detekcije. Lažje se cezij zazna v rečnih sedimentih. Sr-90 v vodi se sicer pojavlja v nekoliko višjih koncentracijah aktivnosti kot Cs-137, vendar so njegove specifične aktivnosti v sedimentih bistveno nižje kot pri ceziju (blizu meje detekcije). Povečane koncentracije aktivnosti Sr-90 in Cs-137 v savski vodi nizvodno od NEK, ki bi lahko bile povezane z izpusti NEK, nismo opazili. Spreminjanje specifične aktivnosti Sr-90 in Cs-137 v vzorcih obrežnih sedimentov zelo verjetno ni posledica delovanja NEK, temveč naravnega premikanja sedimentov in morda tudi posegov v okolje zaradi gradnje hidroelektrarn na spodnji Savi.

Iz izmerjenih izpustov NEK za leto 2021 in upoštevanja ustreznih razredčitev, ki smo jih uporabili v modelni oceni, lahko sklenemo, da je izračunana letna efektivna doza referenčne osebe, na kateri koli lokaciji nizvodno od NEK zaradi savske prenosne poti zanemarljiva (nižja ali enaka $0,016 \mu\text{Sv}$ na leto). Pri izračunu smo upoštevali maksimalno izpostavljenega posameznika. Ocena učinkov temelji na modelu, ki je bil izdelan v letu 2003 in revidiran v letu 2009. Zaradi spremenjenih hidrodinamskih pogojev reke Save po izgradnji pretočne akumulacije HE Brežice je v teku projektna naloga *Vpliv HE Brežice na NEK in Poročilo o vplivih na okolje za podaljšanje obratovalne dobe NEK* [27]. Pričakuje se, da bo nova modelska ocena temeljila na numeričnem izračunu razredčitvenih koeficientov. Za to bo uporabljen preverjen 3-D model PCFLOW3D [29], [30] in [31].





2 RADIOAKTIVNOST V PITNI IN PODZEMNI VODI

POVZETEK

Podzemna voda krško-brežiškega polja se uporablja za pitje, namakanje in druge gospodarske namene. Vir vode so vodonosniki, ki so v večji ali manjši meri povezani s Savo in padavinami. Na podlagi merskih rezultatov v letu 2021 ter na podlagi rezultatov meritev iz preteklih let ugotavljamo učinek izpustov NEK na pitno vodo in podtalnico v občinah Krško in Brežice. V letu 2021 je bila v program nadzora vključena še vrtina z zagrebškega črpališča Petruševca. Zbranih je bilo 156 vzorcev vode na 15 lokacijah: vodovodi in črpališča v Brežicah in Krškem, vrtine znotraj ograje NEK, v neposredni bližini akumulacijskega jezera HE Brežice in na Hrvaškem. Za primerjavo je bilo analiziranih še 14 vzorcev na dveh dodatnih referenčnih lokacijah. V odvzetih vzorcih so bile izmerjene koncentracije aktivnosti naravnih in umetnih radionuklidov. Tako kot v prejšnjih letih sta bila tudi v letu 2021 med umetnimi radionuklidi največkrat zaznana H-3 in Sr-90. Cs-137 je bil večinoma pod mejo kvantifikacije, I-131 in drugi umetni radionuklidi niso bili zaznani v nobenem vzorcu. Iz izmerjenih povprečij mesečnih koncentracij aktivnosti radionuklidov je bila ocenjena letna učinkovita doza za tri starostne skupine prebivalstva, ki uporabljajo vodo iz vzorčenih vodovodov in črpališč za pitje. Izračunane letne učinkovite doze zaradi prispevka umetnih radionuklidov v pitni vodi so glede na celotno letno dozo zaradi umetnih in naravnih radionuklidov v pitni vodi kvečjemu 0,15 % v brežiškem in 0,91 % v krškem vodovodu, ob tem da NEK ni vir vseh zaznanih umetnih radionuklidov. Na podlagi izračunanih letnih učinkovitih doz umetnih in naravnih radionuklidov v vodovodih in črpališčih v okolici NEK lahko trdimo, da je v letu 2021 učinek delovanja NEK na pitno vodo zanemarljivo majhen.

UVOD

Lokacije in obseg vzorčenja pitne vode in podtalnice so določeni v programu nadzora, ki ga pripravi upravni organ (JV10, URSJV) [8]. Vodovod Ljubljana je referenčna lokacija in se redno analizira v okviru republiškega nadzora radioaktivnosti v pitni vodi v Sloveniji [19]. Izračun izpeljanih vrednosti koncentracij (IK) umetnih radionuklidov v pitni vodi je v Uredbi o mejnih dozah, referenčnih ravneh in radioaktivni kontaminaciji (UV2) [10]. Z analizami ugotavljamo koncentracije aktivnosti naravnih in umetnih radionuklidov in iz njih sklepamo na morebitni prispevek k celotni letni učinkoviti dozi prebivalcev zaradi obratovanja NEK. V skladu z zahtevami pravilnika JV10 [8] ovrednotimo sevalne obremenitve za tri starostne skupine, in sicer za dojenčka (do enega leta), otroka (7-10 let) in odraslo osebo, starejšo od 17 let. Pri izračunih upoštevamo dogovorjeno količino zaužite vode iz navedb v priporočilih Svetovne zdravstvene organizacije. Iz izsledkov ankete med prebivalci v okolici NEK je razvidno, da povprečen odrasel prebivalec letno zaužije 0,40 m³ vode. Realne doze so torej lahko tudi do polovice manjše, vendar ohranjamo prvotne izračune zaradi kontinuitete in primerljivosti z drugimi študijami.

Pandemija ni vplivala na obseg in kakovost vzorčenja ter analiz. Kontrolirani izpusti iz jedrskih in sevalnih objektov ter uporaba virov v medicini so glavni viri antropogenih snovi v okolju in s tem tudi v pitni vodi. V letu 2021 iz sveta ni bilo poročil o jedrskih nezgodah, ki bi lahko vplivale na koncentracijo radioaktivnih snovi v pitni vodi v okolici NEK. Redni nadzor ni zaznal nenavadnih odmikov.

Med radionuklidi umetnega izvora v letu 2021 ni bilo sprememb v primerjavi s prejšnjimi leti: v vodi iz črpališč in vrtin smo poleg tritija izmerili le še Sr-90. I-131 ni bil zaznan v nobenem vzorcu iz črpališč oziroma vrtin. V nekaterih vzorcih je bil zaznan tudi Cs-137, vrednosti so bile največkrat pod mejo kvantifikacije in zato obremenjene z veliko mersko negotovostjo.

NEK stoji tik ob reki Savi in uporablja savsko vodo za hlajenje. Med obratovanjem nadzorovano izpušča nekaj radioaktivnih snovi v reko Savo, ki vsaj delno napaja nekatere podzemne vodonosnike krško-brežiškega polja. Podzemna voda je na tem območju edini vir pitne vode. Savska prenosna pot torej seže tudi do pitne vode, zato je uveden nadzor pitne vode v okolici NEK.



Tritij in C-14 sta naravna in antropogena radionuklida. Nastajata v zgornjih plasteh atmosfere, v nekaterih industrijskih panogah in med proizvodnjo električne energije v jedrskih elektrarnah. Sta edina merjena radionuklida v sklopu merilnega nadzora, ki se redno pojavljata v emisijskih, imisijskih in okoljskih merskih rezultatih. V izpustih NEK poleg H-3 zasledimo tudi merljive količine C-14, ki ga v vzorcih vod ne merimo.

Med naravnimi radionuklidi so bili zaznani radionuklidi uranove in torijeve razpadne verige, radioaktivni kalij K-40 ter kozmogeni Be-7, ki nastaja v zemeljski atmosferi in se spira v tla z deževnico. Naravne in umetne radionuklide lahko uporabimo tudi kot sledilce za študije transportnih procesov v naravi. Tritij je poleg C-14 eden najbolj uporabljenih radioaktivnih sledilcev. Tudi drugi radionuklidi so koristni pri opazovanju antropogenih vplivov na okolje. Tako lahko glede na prisotnost K-40 ocenimo obremenjenost okolja zaradi kmetijstva [44]. Kalij je namreč sestavni del umetnih gnojil. Prisotnost kozmogenega Be-7 v vzorcih podzemne vode lahko kaže na mešanje med padavinami in podtalnico oziroma vodo v vodonosniku.

OKOLJSKI VZORCI

Značilnosti vzorčenja

Obseg, način in pogostost vzorčenja ter zahteve za merilne postopke in opremo pri nadzoru določa *Pravilnik o monitoringu radioaktivnosti (JV10)* [8]. V letu 2021 je novost v programu nadzora vrtina Petruševac, kar je tudi ime največjega zagrebškega črpališča. V prilogi, ki določa zasnovo letnega programa nadzora radioaktivnosti v okolju jedrske elektrarne, so za pitno vodo predpisane kontrolne meritve z visokoločljivostno spektrometrijo gama ter specifični analizi vsebnosti stroncija Sr-89/Sr-90 in tritija H-3.

Vzorčenje vodovodov, črpališč in podtalnice (vrtine) je v letu 2021 potekalo v skladu s *Pravilnikom o monitoringu radioaktivnosti (JV10)* in *Radiological Effluent Technical Specifications (RETS), NEK-RETS, Rev. 10* na naslednjih lokacijah:

1. Mesečni sestavljeni vzorci črpališč in vodovodov:

- črpališče Brege, desni breg Save, 1,4 km od jeza NEK, 1,1 km od Save;
- črpališče Rore, desni breg Save, 1 km od Save, vzvodno od NEK;
- vodovod Spodnji Stari Grad, levi breg Save, 2,8 km od Save;
- vodovod Brežice, levi breg Save, 2,5 km od Save;
- črpališče Brežice – Glogov Brod, levi breg Save, 3,2 km od Save; VT-1 in VT-2, globina 200 m.

2. Posamični četrtletni vzorci:

- vodovod Krško (bencinski servis Petrol, Krško), levi breg Save;
- vodovod Brežice (bencinski servis Petrol, Brežice), desni breg Save;
- vrtina E1 znotraj vzhodne ograje NEK, levi breg Save.

3. Posamični mesečni vzorci:

- vrtina VOP-4, levi breg Save, približno 600 m nizvodno od jezu NEK in približno 50 m od struge Save (samo analiza tritija);
- vrtina VOP-1/06, levi breg Save, približno 400 m nizvodno od jezu NEK in približno 700 m od struge Save (samo analiza tritija);
- vrtina V-7/77, levi breg Save, približno 3 km nizvodno od jezu NEK in približno 600 m od struge Save (samo analiza tritija);
- vrtina V-12/77, desni breg Save, približno 3,4 km nizvodno od jezu NEK in približno 300 m od struge Save (samo analiza tritija);
- vrtina Medsave, Republika Hrvaška, desni breg Save, 23 km od NEK, 0,1 km od Save, kontrolna točka med Savo in črpališči na Hrvaškem;
- vrtina Šibice, Republika Hrvaška, levi breg Save, 22 km od NEK, 2 km od Save, globina vrtine 10–15 m;
- vrtina Petruševac, Republika Hrvaška, levi breg Save, 60 km od NEK, 1 km od Save, globina vrtine 80 m.



4. Posamično letno vzorčenje na referenčni lokaciji

- vodovod Ljubljana: Osrednjeslovenska regija, republiški nadzor radioaktivnosti pitne vode [19].

V črpališčih Brege, Rore, Brežice – Glogov Brod in na odzemnem mestu vodovoda Spodnji Stari Grad so nameščeni avtomatski vzorčevalniki. Ti na vsake tri ure dodajo približno 190 mL vzorca pitne vode v 50-litrski sod. Tako dobimo povprečno mešanico vzorca pitne vode za celotno mesečno obdobje. Dnevni nadzor opravljajo nadzorniki črpališč ali uporabniki pitne vode. Na enem vzorčevalnem mestu pri uporabnikih (vodovod Brežice) se vzorčenje izvaja ročno, enkrat dnevno po 1,5 L vode. Na bencinskih servisih in iz vrtine E1 se odvzame posamični vzorec četrtletno. Iz vrtine VOP-4 se jemlje posamični mesečni vzorec na začetku tekočega meseca, enkrat mesečno so vzorčene tudi preostale tri vrtine v bližini NEK, na katerih se opravlja samo analiza tritija. Vzorčenje na Hrvaškem se opravlja na treh vzorčevalnih mestih v bližini Zagreba. Posamična mesečna vzorčenja na začetku meseca in spektroskopske analize opravijo na IRB. Rezultate z vseh treh hrvaških vzorčevalnih mest obravnavamo kot podtalnico.

Značilnosti meritev okoljskih vzorcev

Za ugotavljanje koncentracij aktivnosti umetnih in naravnih radionuklidov v okviru merilnega nadzora uporabljamo tri merske metode: visokoločljivostno spektrometrijo gama, tekočinskoscintilacijsko spektrometrijo po elektrolitski obogatitvi vzorcev s tritijem in radiokemijsko metodo za ugotavljanje Sr-90.

Kot določa *Pravilnik o monitoringu radioaktivnosti (JV10)* [8], so metode vzorčenja, priprave vzorcev in meritev izbrane tako, da je detekcijska meja za posamezne radionuklide praviloma pod tridesetino mejnih vrednosti kontaminacije za pitno vodo. Metode vzorčenja, meritev in analiz so podrobno opisane v naslednjih dokumentih izvajalcev meritev na IJS: *Zbiranje vzorcev pitnih, površinskih in podtalnih vod (LMR-DN-05)*, *Priprava sušine vzorcev vod (LMR-DN-06)*, *Visokoločljivostna spektrometrija gama v laboratoriju (LMR-DN-10)*, *Določanje stroncija z beta štetjem (SDN-O2-STC(01))*, *Vzorčenje in priprava vzorcev za določitev tritija (LSC-DN-06)*, *Analiza in izračun vsebnosti tritija (LSC-DN-07)* in *Določanje tritija s tekočinskim scintilacijskim štetjem (SDN-O2-STC(02))*.

Pitna voda na vplivnem območju NEK in referenčnih lokacijah

Na željo naročnika smo pregledali in zbrali tudi poročila o kakovosti pitnih vod na vplivnem območju NEK in na referenčni lokaciji.

S pitnimi vodami v občini Krško upravlja podjetje Kostak [46]. V vodovodni sistem Krško so redno vključeni štiri vodni viri: vodnjak Brege in tri vrtine vodarne Rore. Vodnjak Drnovo je samo občasen in rezervni vir pitne vode zaradi nekoliko višjih vrednosti pesticidov, njihovih metabolnih produktov in nitratov v bližnji preteklosti.

Vodovodni sistem Brežice napaja šest vodnih virov in sicer vodnjaka Glogov Brod, Brezina, dve vrtini Prilipe in dve zajetji, Novaščk in Brezovec [47]. Vrtini in vodnjaka zagotavljata skoraj 98 % pitne vode, od tega dobro polovico, skoraj 52 % celotne pitne vode, vodnjak Glogov Brod.

Centralni vodovodni sistem Ljubljana sestavlja pet vodarn s 44 črpališči, področje je razdeljeno na devet vodooskrbnih območij [48].

V vseh treh vodovodnih sistemih izvajajo nadzor pitnih vod po ustaljenih postopkih na osnovi HACCP načrtov. Ti vsebujejo mesta vzorčenja, vrsto preskušanj in najmanjšo frekvenco vzorčenja. Le ta se določa na osnovi ocene tveganj za vsako oskrbovalno območje posebej.

V tem poročilu obravnavana oskrbovalna območja se med seboj zelo razlikujejo, število vzorcev in vrst analiz ni primerljivo, prav tako so poročila o kakovosti pitnih vod zelo različno zasnovana. Iz javno dostopnih podatkov lahko razberemo, da so za vodovod Krško in Brežice v letu 2021 poročali o 5 % neskladnih vzorcih za mikrobiološka preskušanja, medtem ko je bilo za Centralni vodovodni sistem Ljubljana (CVSL) takih 3,7 %. V vseh treh poročilih poročajo o primerni vsebnosti nitratov, atrazina in desetiltrazina pod mejnimi vrednostmi: koncentracije nitratov so bile med 13,5 mg/L in 20,7 mg/L v vzorcih



iz vodnjaka Brege, medtem ko so bile vrednosti v Ljubljani med 4 mg/L in 23 mg/L. Pri atrazinu in desetiltrazinu so vrednosti za Brege med 0,011 µg/L in 0,018 µg/L oziroma med 0,02 µg/L in 0,032 µg/L, medtem ko so bile koncentracije v Ljubljani največ 0,038 µg/L oziroma 0,04 µg/L, kar je še vedno največ 40 % mejne vrednosti. Za vrtine Rore in brežiški vodovodni sistem je javni podatek le, da v letu 2021 ni bilo neskladnih vzorcev, kar pomeni, da so bile vse vrednosti fizikano-kemijskih preskušanj pod dovoljenimi mejnimi vrednostmi. Iz javno dostopnih podatkov torej lahko zaključimo, da je kvaliteta vode glede na tri obravnavana onesnaževala v vseh treh vodovodnih sistemih primerna, najvišje vrednosti so bile zabeležene za vzorce iz centralnega vodovodnega sistema Ljubljana.

REZULTATI MERITEV IN TIPIČNI ČASOVNI POTEKI

V tabelah od T-28 do T-36 ter T-V1, T-V2, T-V3, T-V4, T-HE 12, T-HE 13, T-HE 14 v poročilu *Merski rezultati – nadzor radioaktivnosti v okolici Nuklearne elektrarne Krško – Poročilo za leto 2021, IJS-DP-13759, marec 2022*, so na priloženi zgoščenki zbrani merski rezultati koncentracij aktivnosti radionuklidov v vseh zgoraj omenjenih vrtinah, vodovodih in črpališčih.

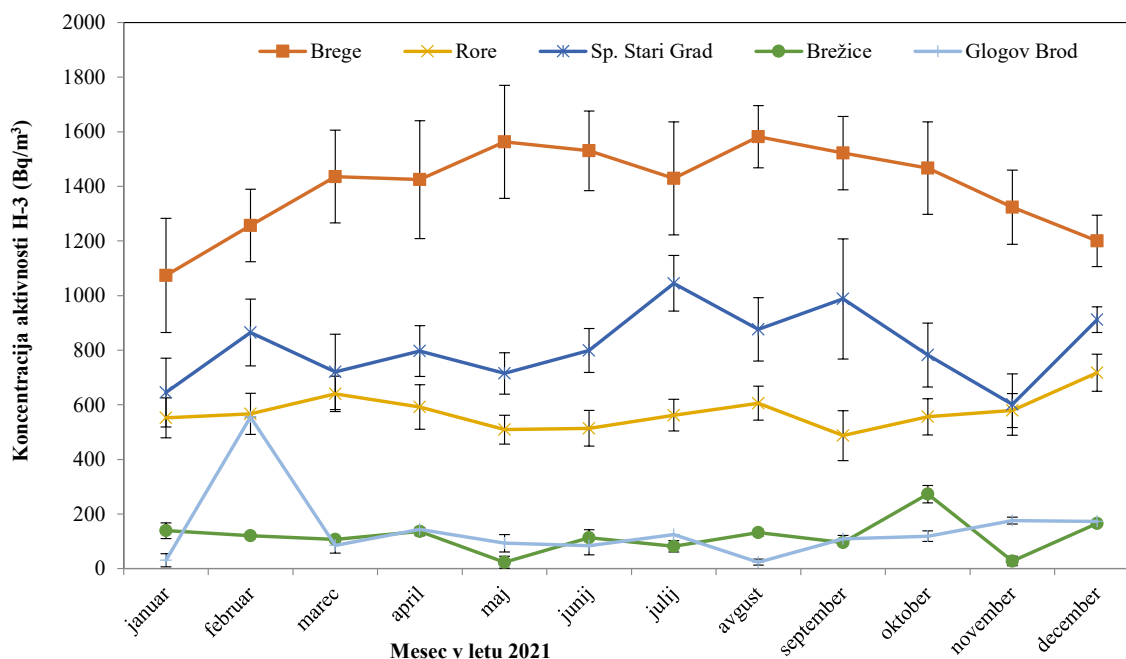
Tritij (H-3)

Tritij zavzema največji delež aktivnosti plinastih in tekočinskih radioaktivnih izpustov iz NEK, ki lahko vplivajo na stanje v podtalnici. Kemijsko je HTO molekula vode, kar pomeni, da je idealni sledilec za gibanje podzemnih vod.

Na sliki 2.1 so prikazane koncentracije aktivnosti H-3 v mesečnih sestavljenih vzorcih vode iz črpališč in vodovodov v okolici NEK. Delitev vodovodnih vod krško-brežiškega polja v tri različne razrede v letu 2021 je nekoliko izrazitejša kot v letu 2020, vendar je razporeditev drugačna kot na primer v obdobju med marcem 2017 in marcem 2020, ko sta črpališče Brege in vodovod Spodnji Stari Grad zajemala vodo iz istega vodnega vira, drugi par sta bila črpališče Brežice - Glogov Brod in vodovod Brežice, tritijeve vrednosti za vzorce s črpališča Rore pa so bile med obema paroma. V letu 2021 so vsebnosti tritija za črpališče Brege brez velikih posebnosti, z nekoliko višjimi vrednostmi v pomladno – poletnem kot v jesensko – zimskem obdobju, kar je običajni naravni potek koncentracij aktivnosti tritija predvsem v padavinah. Povprečna vrednost tritija za črpališče Brege je na ravni zadnjih treh let in še vedno pada, vseeno je to vir pitne vode z najvišjimi vrednostmi tritija v Sloveniji. Dosega manj kot dva odstotka mejne vrednosti 100 Bq/L, ki je predpisana v *EU direktivi za pitne vode* [43]. Vzorci vode vodovoda Spodnji Stari Grad so v letu 2021 sicer vseskozi nekoliko višji od vrednosti za črpališče Rore, vendar ju že lahko obravnavamo kot sorodna pitna vira. Najnižje in precej konstantne vsebnosti tritija smo tudi v letu 2021 izmerili v vzorcih z vodovoda Brežice in črpališča Glogov Brod, njuni povprečni vrednosti sta nekoliko višji kot v preteklih letih. Tako tudi za leto 2021 lahko trdimo, da sta se črpališče Glogov Brod in vodovod Brežice napajala iz istega vodonosnika, kjer prevladuje starejša voda z nizkimi koncentracijami aktivnosti tritija. Vrednosti so praktično identične za obe vzorčevalni mesti, tako kot je bilo to leta 2020 in prej. Manjši odklon na črpališču Glogov Brod smo opazili samo v februarju 2021.

Tudi z vzorci s črpališča Rore se bolj ali manj nadaljuje potek celotnega obdobja od junija 2015 dalje, ko je bilo to črpališče vključeno v redni radiološki nadzor. Vpliva letnih časov ni videti, kar pomeni, da nimamo opraviti s pomembnejšim deležem meteornih vod.

Povprečja mesečnih koncentracij aktivnosti tritija za mesečne vzorce z neprekinjenim vzorčenjem od leta 2018 do leta 2021 so zbrana v tabeli 2.1. Medtem ko se srednje vrednosti za črpališče Rore, črpališče Glogov Brod in vodovod Brežice v tem obdobju znatno ne spreminjajo, opazimo znižanje srednje vrednosti za črpališče Brege in vodovod Spodnji Stari Grad. Vrednosti se hitreje spreminjajo v vodovodu Spodnji Stari Grad.

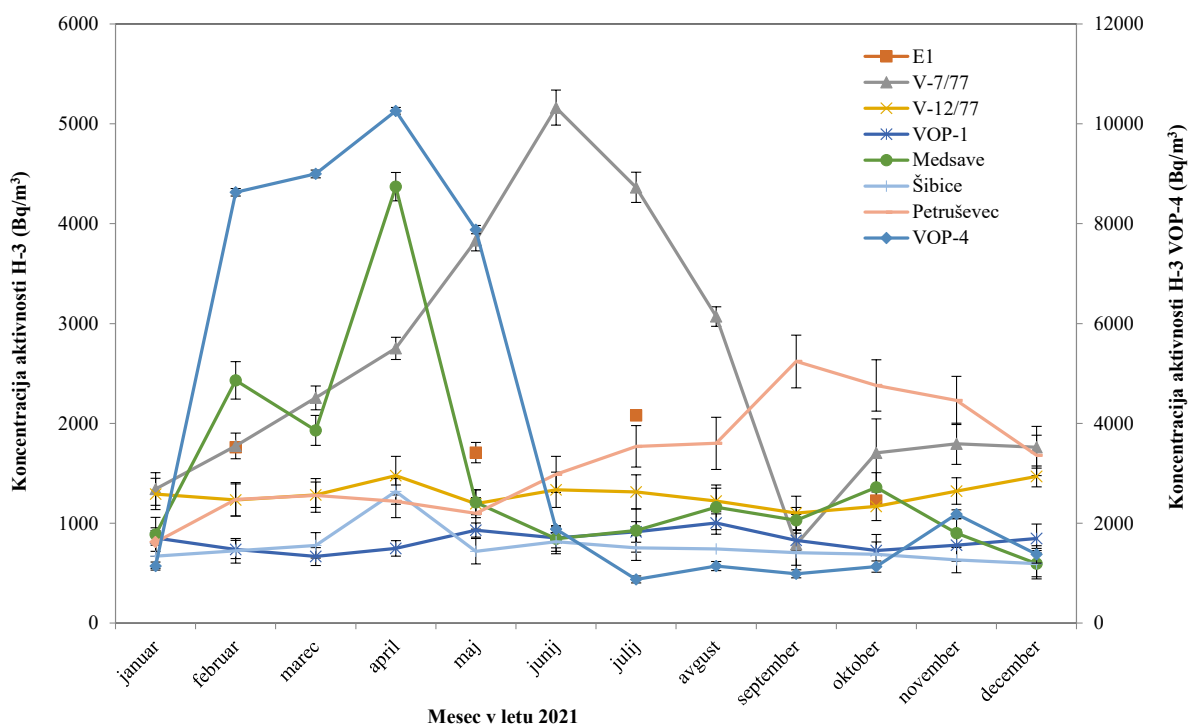


Slika 2.1: Mesečna koncentracija aktivnosti H-3 v vzorcih pitne vode iz črpališč in vodovodov za leto 2021

Tabela 2.1 Srednja vrednost koncentracije aktivnosti H-3 v črpališčih in vodovodih v okolici NEK za obdobje od leta 2018 do 2021

	2021	(Bq/m ³)	2020	(Bq/m ³)	2019	(Bq/m ³)	2018	(Bq/m ³)
ČRPALIŠČE BREGE	1401	± 37	1473	± 48	1319	± 46	2043	± 67
ČRPALIŠČE RORE	573	± 16	554	± 18	620	± 24	600	± 20
VODOVOD SP. STARI GRAD	812	± 21	1058	± 35	1177	± 41	2010	± 61
VODOVOD BREŽICE	118	± 6	99	± 8	77	± 8	83	± 8
ČRPALIŠČE BREŽICE	143	± 40	114	± 27	81	± 18	250	± 52

Poleg rednih mesečnih odvzemov vode na črpališčih in vodovodih v občinah Krško in Brežice je bila tudi v letu 2021 analizirana voda s po štirimi posamičnimi odvzemi na bencinskih servisih Petrol v Krškem in v Brežicah. Vrednosti za vodo iz brežiškega vodovoda so nizke; izračunana srednja vrednost koncentracije aktivnosti je 46 Bq/m³. V vzorcih krškega vodovoda so vrednosti drugega velikostnega reda, v povprečju okrog 510 Bq/m³ in so primerljive s koncentracijo aktivnosti tritija v ljubljanskem vodovodu ((480 ± 50) Bq/m³). Rezultati posamičnih vzorcev so primerljivi z mesečnimi vrednostmi matičnih vodovodov. Krški Petrol je v dneh vzorčenja očitno prejemal vodo iz črpališča Rore. Vsi štirje rezultati za četrtletne posamične vzorce (tabeli T-28 in T-29) na obeh vzorčevalnih lokacijah so med seboj statistično primerljivi.



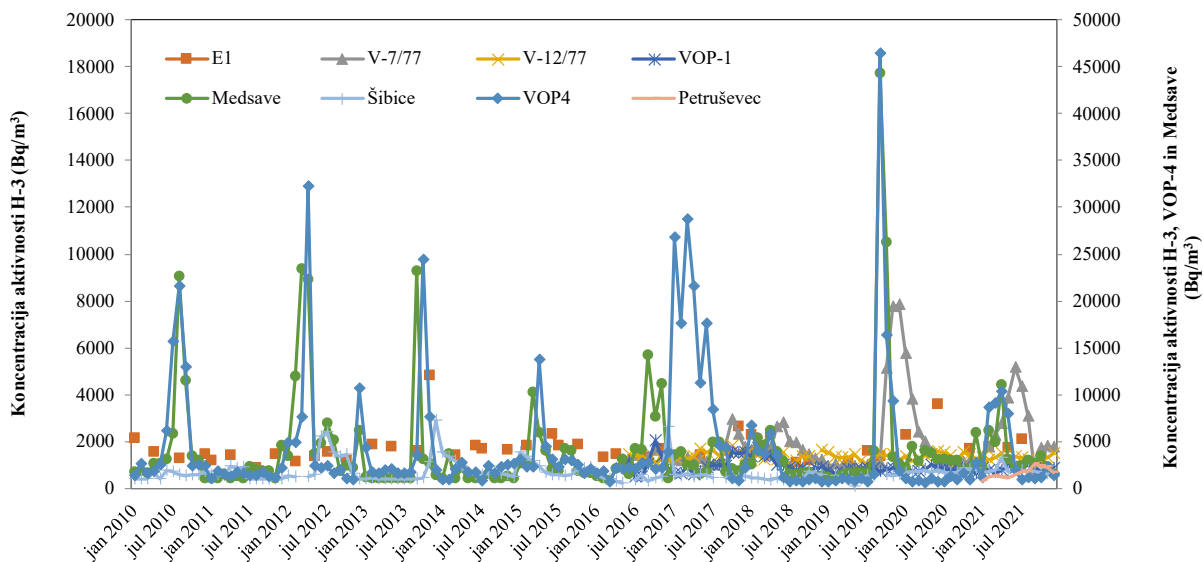
Slika 2.2: Koncentracija aktivnosti H-3 v mesečnih vzorcih vrtin.

Zaradi izmenjave vode med Savo in podzemno vodo na krško-brežiškem polju se že od začetka obratovalnega merilnega nadzora radioaktivnosti v okolici NEK preverja stanje tritija v vrtinah, kar je namenjeno sledenju izpustov iz NEK. Vrtinama E1 za izključitvenim območjem in VOP-4, ki je le 50 m oddaljena od Save, ter hrvaškima vrtinama Šibice in Medsave so bile sredi leta 2016 dodane še tri vrtine in sicer VOP-1, V-7/77 in V-12/77, v letu 2021 pa še vrtina s črpališča Petruševac v Zagrebu. Mesečne koncentracije aktivnosti so prikazane na sliki 2.2. Vrednosti koncentracij aktivnosti iz vrtine VOP-4 so bile od februarja do maja v povprečju sedemkrat višje kot preostanek leta, razmerje med najvišjo in najnižjo vrednostjo je skoraj 12. Visoke vrednosti sovpadajo z rednim remontom v aprilu 2021, ko je bilo 54 izpustov. Približno 79 % vseh tekočinskih izpustov tritija v letu 2021 oziroma 67 % za obdobje 2020–2021 se je zgodilo v prvih treh mesecih leta 2021. Korelacija med izpusti in koncentracijo aktivnosti v vrtini VOP-4 je izredno dobra, če upoštevamo enomesečni zamik med izpusti in vsebnostjo tritija v vrtini. Preostali del leta so bile koncentracije aktivnosti tritija v vrtini VOP-4 sorazmerno konstantne, s povprečno mesečno koncentracijo zadnjih sedem mesecev 1369 Bq/m³, kar je primerljivo z mesečnim povprečjem za isto obdobje za reko Savo v Brežicah, 1345 Bq/m³. Podoben potek opazimo tudi za nekatere druge obravnavane vrtine: vrednosti v vrtini V-7/77 lepo sledijo poteku v vrtini VOP-4, le s približno dvomesečnim zamikom. Vrtina Medsave reagira v približno enakem okvirju kot VOP-4, medtem ko pri vrtini Petruševac opazimo približno petmesečni zamik. Maksimum koncentracije aktivnosti tritija v tej vrtini seveda ni tako izrazit kot v preostalih treh omenjenih vrtinah (slika 2.4). V ostalih vrtinah so vrednosti čez celo leto precej konstantne, brez velikih nihanj.

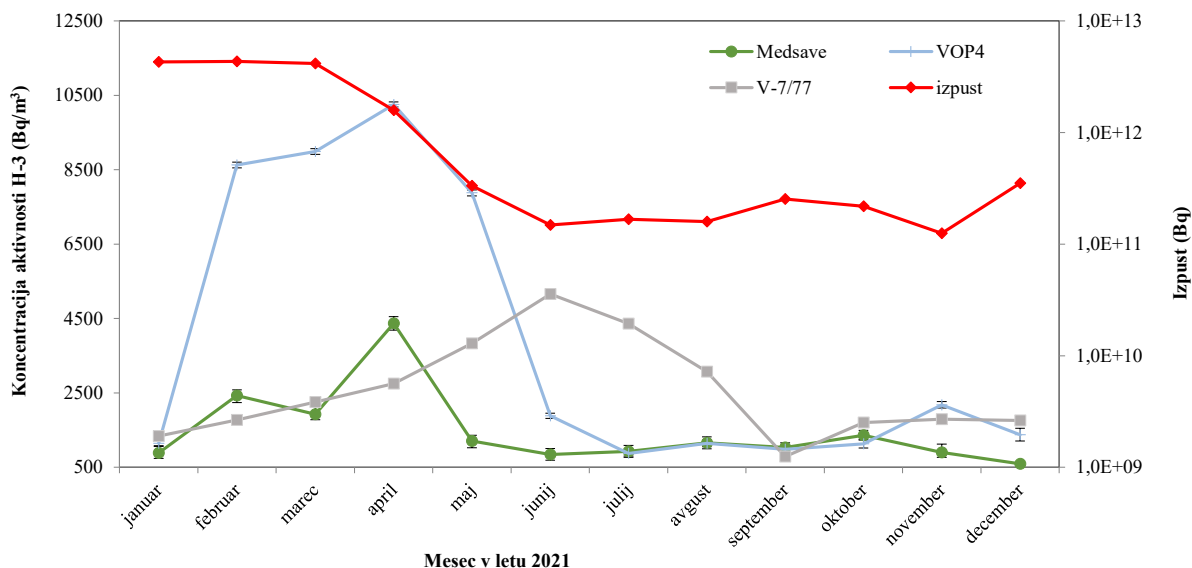
V zadnjih letih se večkrat obregnemo v korelacijo med koncentracijami aktivnosti v nekaterih vrtinah in izpustih predvsem zato, ker je korelacija včasih zelo jasna in nedvoumna, drugič pa je ne moremo potrditi. V poročilu za leto 2020 smo zapisali tezo, da morda tiči razlog v količini in številnosti izpustov – če so izpusti manj aktivni, korelacija s koncentracijami aktivnosti ni tako izrazita. V zadnjih dvajsetih letih je bilo samo v letu 2014 nekoliko manj izpustov kot v letu 2020, ko jih je bilo le za okoli 3 TBq, medtem ko jih je bilo v letu 2019 za skoraj 14 TBq, v letu 2021 pa okrog 16 TBq. Predpostavko iz prejšnjih treh let, ko smo na podlagi meritev sklepali, da so korelacije med izpusti in koncentracijami aktivnosti v Savi najbližjih vrtinah izrazitejša zaradi stabilnega vodostaja, moramo dopolniti s pristavkom, da za to obstaja



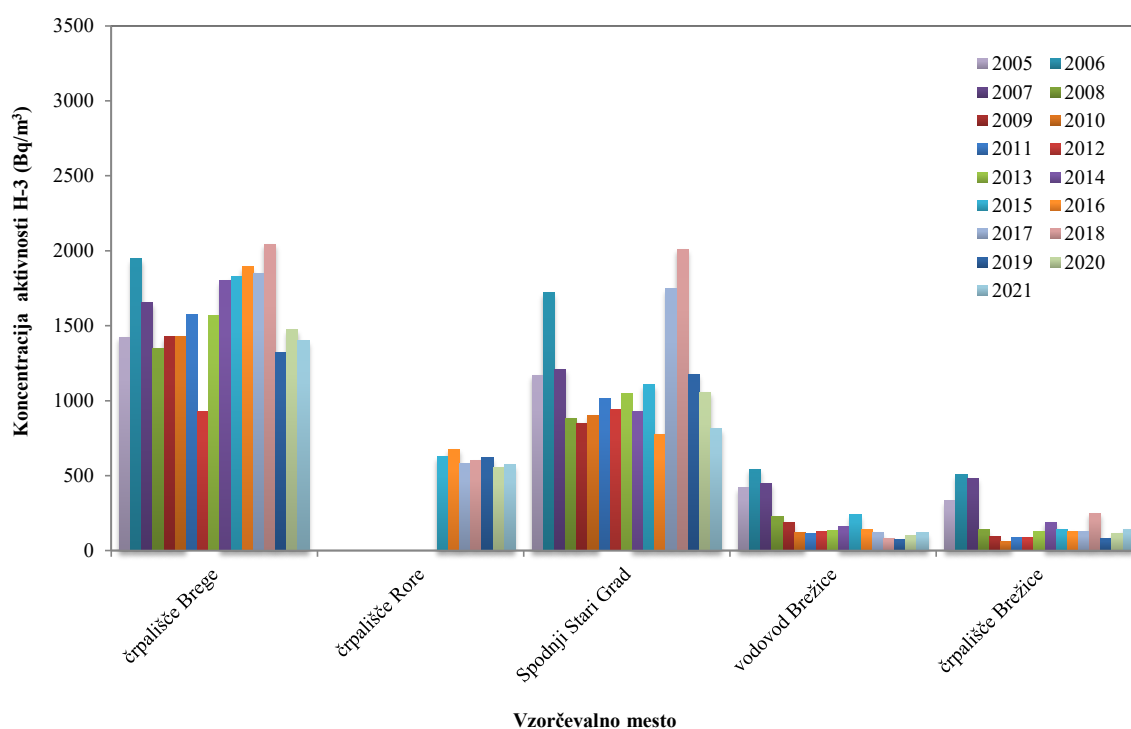
prag aktivnosti, kar smo potrdili z letošnjimi meritvami. Na sliki 2.3 so prikazani večletni rezultati za vse vrtine. Medtem ko je bila korelacija med vrtinama VOP-4 in Medsave od februarja 2018 do decembra 2019 in od februarja do junija 2021 velika, to ne drži za leto 2020, ko je korelacija med koncentracijami aktivnosti v obeh vrtinah neznatna.



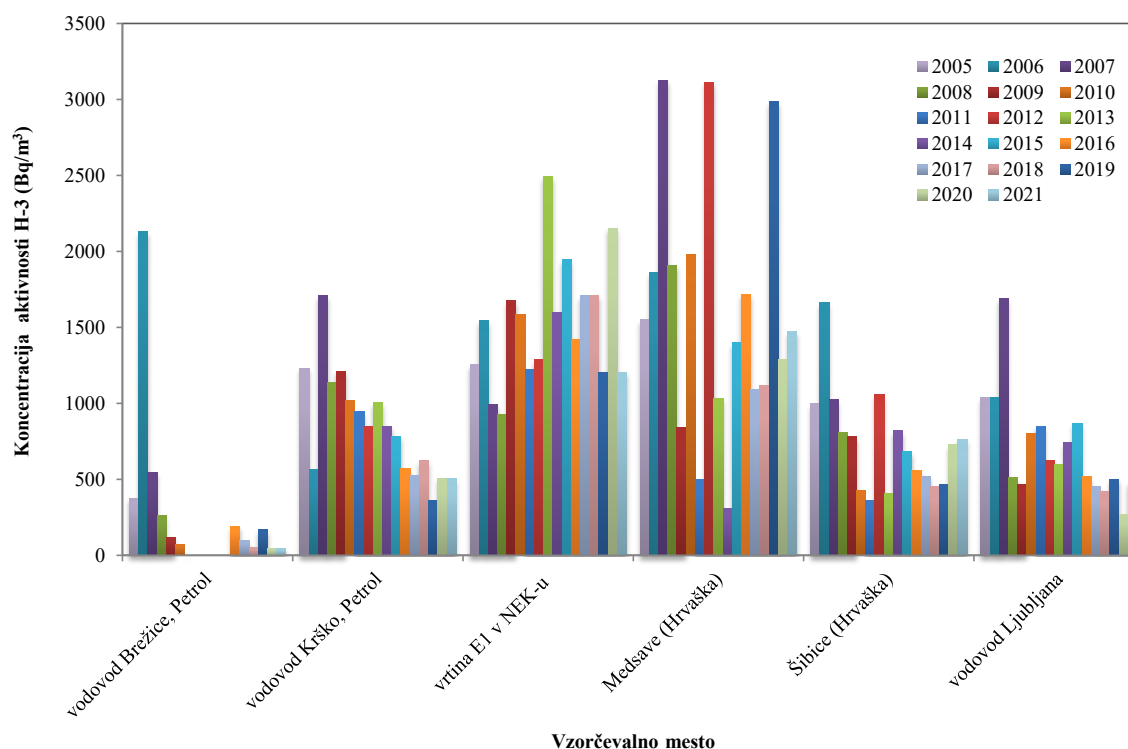
Slika 2.3: Koncentracije aktivnosti tritija za obdobje 2010–2021 za vse vrtine, ki so vključene v nadzor



Slika 2.4: Koncentracije aktivnosti tritija v vrtinah VOP-4, V-7/77 in Medsave ter izpust NEK v letu 2021 (leva ordinatna os je v linearni skali, desna pa v logaritemski)



Slika 2.5: Povprečja mesečnih koncentracij aktivnosti H-3 v vodovodih in črpalnicah od leta 2005 do 2021 v okolici NEK



Slika 2.6: Povprečne letne koncentracije aktivnosti H-3 v vodovodih in podtalnici od leta 2005 do 2021 v Sloveniji in na Hrvaškem



Sliki 2.5. in 2.6 prikazujeta povprečja mesečnih koncentracij aktivnosti H-3 v vodovodih in podtalnici od leta 2005 do 2021 v Sloveniji in na Hrvaškem. Obe sliki sta v enakem merilu, da jasno vidimo razlike med pitnimi vodami in podzemnimi vodami iz vrtin. Vrednosti za leto 2021 so istega reda velikosti kot v zadnjih dveh letih. Mesečna koncentracija aktivnosti tritija se je v vrtini E1 v letu 2021 spet vrnila na vrednost iz leta 2019, potem ko je bila srednja vrednost za leto 2020 nekoliko višja kot v prejšnjih letih. Na obeh slikah vidimo najbolj enakomeren upad aktivnosti pri vodovodu Krško, kjer je vrednost za leto 2021 v grobem približno dvakrat manjša kot leta 2009, kar ustreza razpolovnemu času za tritij. Sklepamo lahko, da se vodovod Krško napaja iz stabilnega vodnega vira z le malo povezavami z meteornimi vodami in da tritijevi izpusti iz NEK nanj neposredno ne vplivajo. Na prvi pogled morda preseneča dejstvo, da upad ni tako gladek za vodovod Ljubljana, do kamor vpliv NEK gotovo ne seže. Razlike med posameznimi leti pripišemo dejstvu, da je vodovod Ljubljana velik sistem, ki se napaja iz različnih vodnih virov z različnimi koncentracijami aktivnosti tritija. Pri nekaterih vodovodih, črpališčih in vrtinah opazimo rahlo povečanje mesečne koncentracije aktivnosti, kar je posledica spremenjenih hidroloških razmer, kot na primer sprememba nivoja podtalnice ali stabilnejši vodostaj Save. Izpusti se v zadnjih letih namreč niso drastično povečali.

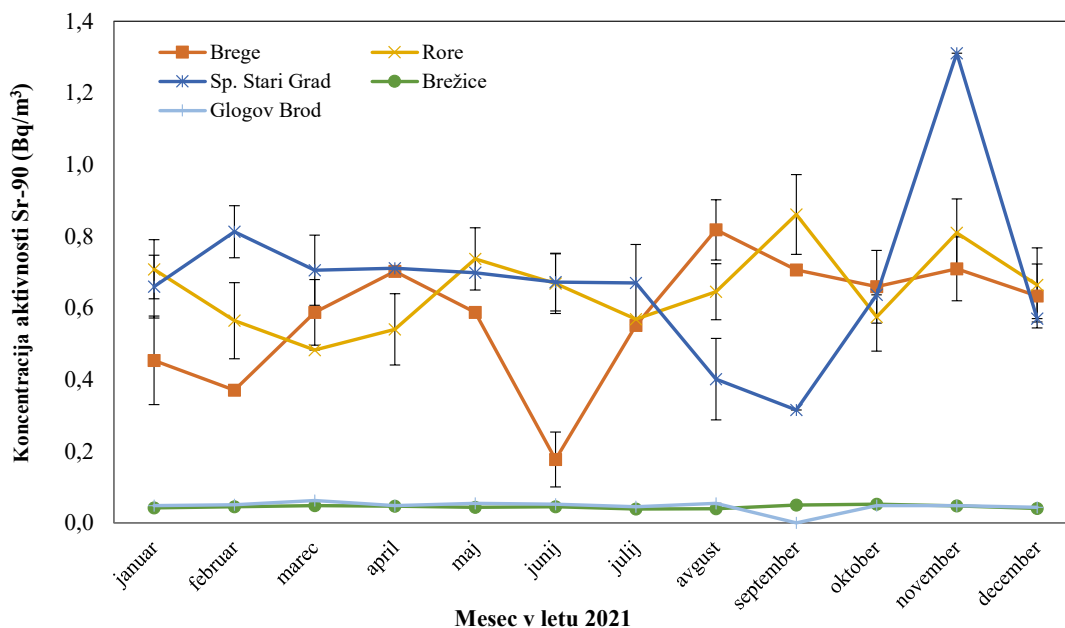
Cezij (Cs-137) in stroncij (Sr-90)

Med umetnimi radionuklidi smo pozorni predvsem na vsebnost cezija Cs-137 in stroncija Sr-90. Oba sta nehomogeno razširjena tudi na naših tleh, pripisujemo ju predvsem černobilski nesreči in nadzemnim jedrskim poskusom. V majhnih količinah se pojavljata tudi v izpustih NEK. Oba lahko uporabimo kot sledilca za študij transportnih procesov. V tabeli 2.2 so prikazani deleži vzorcev, v katerih sta bila radionuklida izmerjena. Cs-137 se pojavlja samo še v 11 % vzorcev, kar je manjši delež kot v preteklih letih. Stroncij je bil izmerjen v 73 % vzorcev, kar je primerljivo z letom 2020. Rezultati za Sr-90 so prikazani na slikah od 2.7 do 2.10. Metodologija se v zadnjem letu ni spremenila.

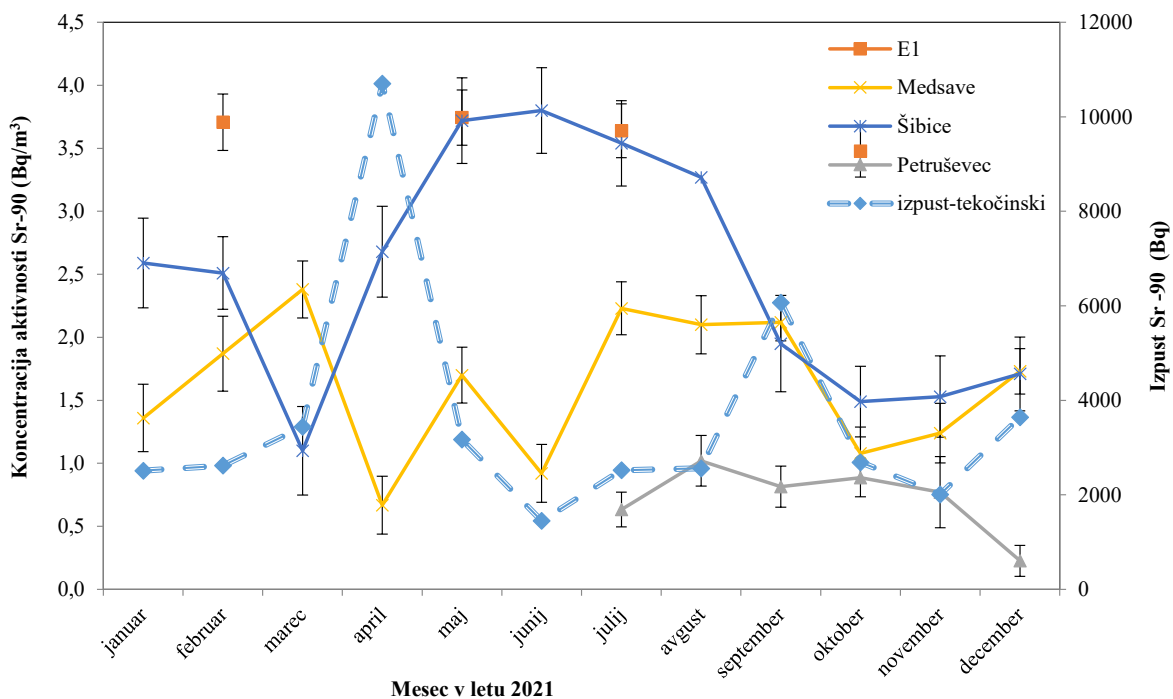
Sliki 2.9 in 2.10 sta narisani v enakem merilu in tako jasno vidimo, da so koncentracije aktivnosti za vrtine skoraj štirikrat višje od najvišjih vrednosti za pitne vode. Letno povprečje koncentracije aktivnosti Sr-90 v krških črpališčih in vodovodu je bilo 0,65 Bq/m³, kar je več kot 2019 in primerljivo z letom 2020. V brežiškem vodovodnem sistemu je bila večina izmerjenih vrednosti pod mejo kvantifikacije. Vrednost za brežiški vodovod 0,11 Bq/m³ je izpeljana iz detekcijskih mej. Za ljubljanski vodovod je bila v letu 2021 izpeljana vrednost okrog 0,04 Bq/m³, kar je manj kot v vzorcih s krško-brežiškega polja. V posamično odvzetih četrletnih vzorcih vode iz vodovoda Brežice so bile vse vrednosti okoli 0,25 Bq/m³, v Krškem pa 0,67 Bq/m³, kar je v obeh primerih nekoliko več kot v letu 2020. Korelacij z izpusti, pretoki ali padavinami ni opaziti.

Tabela 2.2: Število vseh vzorcev, v katerih smo v okviru merilnega nadzora določali Cs-137 in Sr-90, in delež tistih, kjer so bile izmerjene vrednosti nad detekcijsko mejo

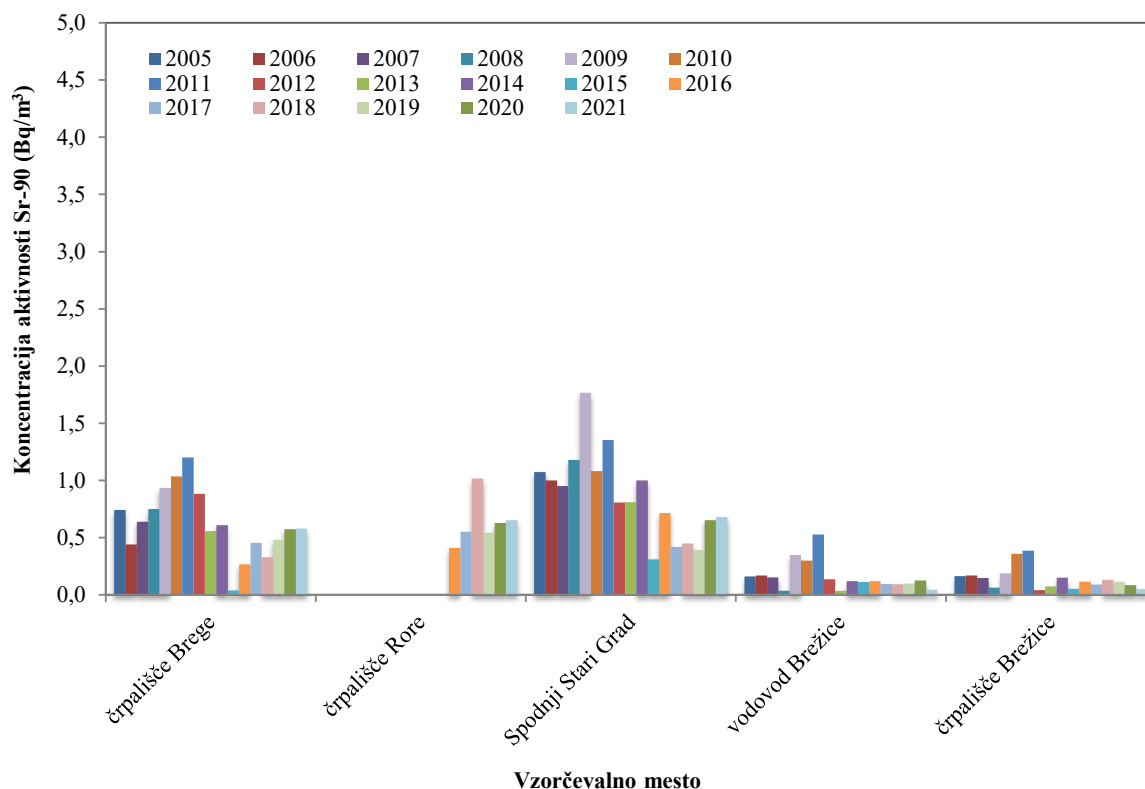
	št. mest	št vzorcev na leto	skupno število vzorcev	Cs-137	delež	Sr-90	delež	
črpališča	5	12	60	3	0,05	35	0,58	
	vodovodi	2	4	8	1	0,13	7	0,88
vrtine SLO		2	1	2	0	0,00	0	0,00
		1	4	4	0	0,00	4	1,00
	vrtine HR	2	12	24	6	0,25	24	1,00
	1	6	6	1	0,17	6	1,00	
skupaj	13		104	11	0,11	76	0,73	



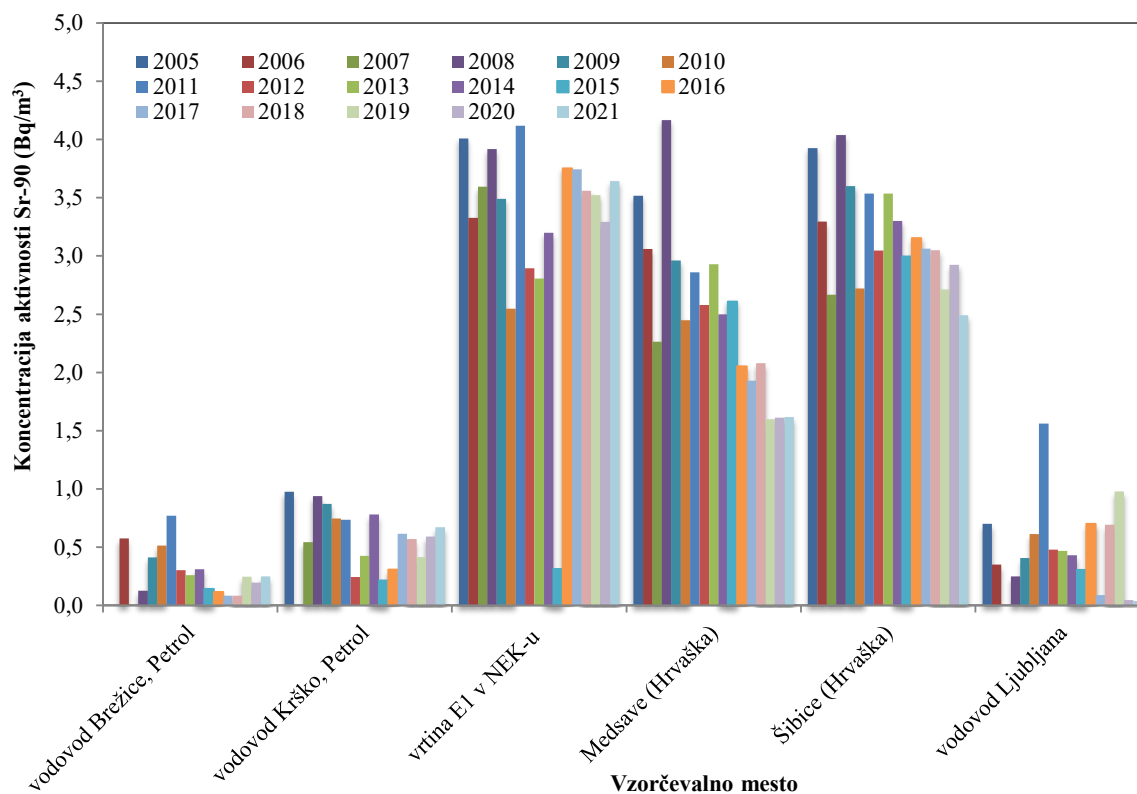
Slika 2.7: Koncentracija aktivnosti Sr-90 v mesečnih sestavljenih vzorcih iz črpališč in vodovodov v okolici NEK v letu 2021



Slika 2.8: Koncentracija aktivnosti Sr-90 v posamičnih mesečnih vzorcih vrtin ter mesečni tekočinski izpusti Sr-90 v Savo v letu 2021



Slika 2.9: Povprečne letne koncentracije aktivnosti Sr-90 v vodovodih in črpališčih v okolici NEK od leta 2005 do 2021



Slika 2.10: Povprečne letne koncentracije aktivnosti Sr-90 v vodovodih, črpališčih in podtalnici od leta 2005 do 2021 v Sloveniji in na Hrvaškem



Na sliki 2.7 so prikazane koncentracije Sr-90 v mesečnih vzorcih vode črpališč in vodovodov za leto 2021. V grobem lahko tudi v letu 2021 vzorce iz petih vzorčevalnih mest razdelimo v dve skupini. V brežiškem vodovodu in črpališču Glogov Brod so vrednosti v večini vzorcev pod mejo kvantifikacije in je vrednost definirana kot četrtnina detekcijske meje. V drugi skupini so vsa ostala črpališča oziroma vodovodi z večinoma merljivimi koncentracijami aktivnosti med $0,2 \text{ Bq/m}^3$ in $1,3 \text{ Bq/m}^3$. Koncentracija aktivnosti Sr-90 v pitni vodi je bila najvišja novembra v vodovodu Spodnji Stari Grad. Podobno visokih vrednosti za vzorce v ostalih vodovodih oziroma črpališčih v letu 2021 ni bilo. Vrednosti za vzorce iz črpališča Rore so bile stabilnejše kot v črpališču Brege in vodovodu Spodnji Stari Grad. Najnižja vrednost je bila ugotovljena v junijskem vzorcu za vzorec iz črpališča Brege. Nekoliko višje vrednosti se v vrtnah Šibice in Medsave pojavijo en oziroma tri mesece po izpustu, vendar s tem jasne korelacije med tekočinskimi izpusti in vrednostmi v vrtnah ne moremo potrditi. V splošnem vrednosti padajo oziroma se počasi stabilizirajo, saj jih dandanes že v veliki meri določa občutljivost metode, kar lahko razberemo tudi iz slike 2.9 s povprečnimi letnimi koncentracijami za vodovode in črpališča.

Na sliki 2.8 so prikazani mesečni tekoči izpusti Sr-90 iz NEK in koncentracija aktivnosti stroncija v hrvaških vrtnah in vrtini E1 znotraj ograje NEK. Najnižje vrednosti so bile izmerjene v vzorcih iz vrtine Petruševca, ki je bila v nadzor vključena leta 2021, vrednosti v vrtnah Šibice in E1 so enakega velikostnega reda. Vrednosti za vzorce iz vrtine E1 so primerljive za vsa štiri vzorčenja. Povprečje mesečnih koncentracij aktivnosti Sr-90 za leto 2021 na sliki 2.10 je v vseh treh vrtnah primerljivo z vrednostmi iz leta 2020.

Jod (I-131) in aktivacijski ter fisijski produkti

Jod I-131 in drugi aktivacijski in fisijski produkti v vzorcih vodovodov, črpališč in vrtn tudi v letu 2021 niso bili zaznani.

Naravni radionuklidi

Koncentracije aktivnosti naravnega radionuklida K-40 so bile leta 2021 izmerjene na vseh vzorčevalnih mestih. Mesečne koncentracije aktivnosti K-40 so v vseh črpališčih in obeh vodovodih večinoma podobne vrednostim iz leta 2020. Delitev vodovodov in črpališč na dve skupini glede na K-40 ni več tako jasna kot še v letu 2020: v skupini treh vzorčevalnih mest Rore, Glogov Brod in Brežice vrednosti ostajajo na približno enaki ravni kot prejšnja leta, vrednosti so približno konstantne čez celo leto s povprečno vrednostjo okrog 24 Bq/m^3 . V drugi skupini, kamor smo v prejšnjih nekaj letih uvrščali črpališče Brege in vodovod Spodnji Stari Grad z vrednostmi okrog 70 Bq/m^3 , pa opazamo znižanje vrednosti. Koncentracije aktivnosti se v vzorcih iz Spodnjega Starega Gradu že bližajo vrednostim iz vzorčevalnih mest prve skupine. Povprečni mesečni koncentraciji aktivnosti sta bili v letu 2021 za Brege $57,2 \text{ Bq/m}^3$ in za Spodnji Stari Grad $31,6 \text{ Bq/m}^3$. Domnevamo, da se na krško-brežiškem polju spreminja količina ali vsaj režim gnojenja kmetijskih površin nad območji vodonosnikov [45] in da obstaja neposredni vpliv padavinskega useda in višjih vodostajev Save.

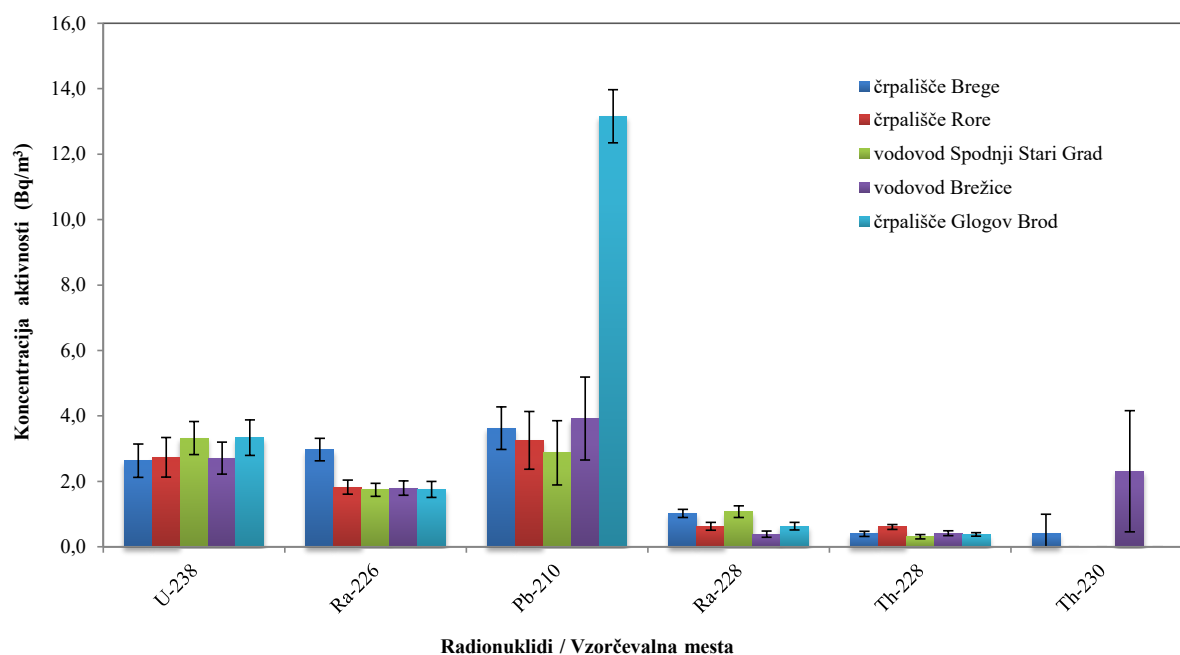
Na sliki 2.11 so povprečja mesečnih koncentracij aktivnosti nekaterih naravnih radionuklidov v krško-brežiških vodovodih in črpališčih. V oči pade nenavadno visoka mesečna koncentracija aktivnosti za Pb-210 na vzorčevalnem mestu Glogov Brod (črpališče Brežice). Najprej smo pregledali meritve, analize, zapise in prenose podatkov ter preverili možnost, da se je prikradla napaka v katerikoli del procesa. Posebnosti nismo našli. V letu 2021 smo v vzorcih na tem vzorčevalnem mestu petkrat izmerili vrednosti, višje od 10 Bq/m^3 , najvišja izmerjena vrednost je bila ugotovljena v februarskem vzorcu, in sicer $(46,2 \pm 3,2) \text{ Bq/m}^3$. Vse višje vrednosti so bile izmerjene v zimsko-jesenskih vzorcih. V februarskem vzorcu je bila ugotovljena za to vzorčevalno mesto nenavadno visoka vrednost za H-3, saj je več kot petkrat višja od povprečja preostalih 11 mesecev. Pred radiokemijsko analizo za H-3 v laboratoriju vedno izmerimo tudi pH in prevodnost. Pri obeh parametrih sta bili v februarju izmerjeni najnižji vrednosti v letu 2021, izstopa predvsem rezultat za prevodnost, ki se od povprečja preostalih 11 mesecev razlikuje za skoraj 10 %. Prevodnost je za to vzorčevalno mesto sicer praviloma konstantna, letni raztros vrednosti je kvečjemu okrog 4 %. Vsi trije parametri povedo, da je bila v času vzorčenja voda nekoliko drugačna kot običajno. Višja



vrednost za H-3 ter nižja vrednost za prevodnost in pH nakazujeta možnost vdora padavinskih vod, pri tem nekoliko bega le dejstvo, da v vzorcu ni bilo Be-7, ki bi ga praviloma pričakovali, saj je bil ugotovljen v padavinskih vzorcih na območju vzorčevanja tako v januarju kot februarju.

Če izvzamemo K-40, je v vzorcih ugotovljenega največ Pb-210 s povprečno vrednostjo okrog $5,4 \text{ Bq/m}^3$, kar je enako kot leta 2020, le da gre letošnje povprečje precej na račun Glogovega Broda. Pb-210 v ostalih vodovodih in črpališčih je bil nekoliko nižji kot leta 2020. Sledijo mu Be-7 s povprečno vrednostjo $3,8 \text{ Bq/m}^3$, U-238 s približno $3,0 \text{ Bq/m}^3$ in Ra-226 z $2,0 \text{ Bq/m}^3$. Be-7 je nekoliko višji, U-238 pa nižji kot lani, Ra-226 se praktično ne razlikuje od lanske vrednosti. Ra-228 in obeh torijevih radionuklidov je manj kot leto poprej. Najvišje povprečje mesečnih koncentracij aktivnosti za Pb-210 je bilo izračunano za črpališče Glogov Brod ($13,2 \pm 2,9 \text{ Bq/m}^3$), za U-238 pa ($3,3 \pm 0,6 \text{ Bq/m}^3$) na istem črpališču. Povprečja mesečnih koncentracij aktivnosti Ra-226 se gibljejo od $1,7 \text{ Bq/m}^3$ (vodovod Spodnji Stari grad) do $3,0 \text{ Bq/m}^3$ (črpališče Brege). Povprečje mesečnih koncentracij aktivnosti Ra-228 za vodovod Brežice je ($0,39 \pm 0,09 \text{ Bq/m}^3$), za vodovod Spodnji Stari Grad pa ($1,1 \pm 0,2 \text{ Bq/m}^3$). Minimalne in maksimalne vrednosti se ne pojavljajo na istih vzorčevalnih mestih kot prejšnje leto.

Be-7 je bil izmerjen v vseh črpališčih in vodovodih v Krškem in Brežicah. Povprečje mesečnih koncentracij aktivnosti Be-7 je od $2,3 \text{ Bq/m}^3$ v črpališču Brege do $4,9 \text{ Bq/m}^3$ v vodovodu Brežice, v povprečju približno $3,8 \text{ Bq/m}^3$.



Slika 2.11: Povprečne letne koncentracije aktivnosti naravnih radionuklidov v vodovodih in črpališčih v letu 2021



OCENA UČINKOV

V tekočih in plinastih izpustih NEK je največ H-3 v obliki vode ali vodne pare. Z določanjem vsebnosti umetnih radionuklidov v pitni vodi in podtalnici ugotavljamo učinek morebitnega onesnaževanja zaradi izpustov iz NEK. Iščemo torej korelacije med koncentracijami aktivnosti v okoljskih vzorcih in aktivnostmi izpustov iz NEK. Povezave s tekočinskimi izpusti v letu 2021 so bile očitnejše kot leto poprej, obravnavamo jih v podpoglavjih o tritiju in stronciju. Za razliko od leta 2020, ko smo zabeležili enega manjših izpustov v zadnjih 10 letih, se tekočinski izpust H-3 v letu 2021 uvrsti v zgornjo polovico: v letu 2020 je bila skupna količina tekočinskih izpustov H-3 iz NEK 2,9 TBq, kar je približno 30 % desetletnega povprečja, medtem ko je bila količina v 2021 16,1 TBq, kar je skoraj 40 % več od desetletnega povprečja. Letni izpust H-3 v Savo je bil približno 36 % letne omejitve izpusta, postavljenega na 45 TBq. Največji tekočinski izpust H-3 je bil februarja (4,34 TBq), tudi v januarju in marcu so bili izpusti istega velikostnega razreda.

Pomembno vlogo pri razjasnitvi morebitnega učinka elektrarne na okolico in ljudi ima primerjava rezultatov meritev v enem letu z dolgoletnim povprečjem za izbrani radionuklid na isti lokaciji. Primerjava povprečnih letnih koncentracij H-3 in Sr-90 v vzorcih vode iz črpališč in vodovodov v okolici NEK od leta 2005 do 2021 je prikazana na slikah 2.5, 2.6, 2.9 in 2.10. Vrednosti so tudi v letu 2021 enakega velikostnega reda kot v preteklih letih.

V tabelah 2.3 in 2.4 so prikazane izračunane letne učinkovite doze zaradi vnosa umetnih in naravnih radionuklidov ter njihovih vsot pri pitju vodovodne vode za tri starostne skupine prebivalstva. Za primerjavo so podane tudi izračunane letne učinkovite doze, izračunane na osnovi meritev na referenčni lokaciji (vodovod Ljubljana), ki se izvajajo v okviru republiškega nadzora pitne vode. Letne učinkovite doze so izračunane ob predpostavki, da odrasel človek (referenčna oseba¹³) popije na leto 0,75 m³ vode, desetletni otrok 0,35 m³ vode in enoletni otrok 0,26 m³ vode na leto. Te predpostavke so v rabi že vrsto let, povzete so po priporočilih Svetovne zdravstvene organizacije in privzete tudi pri pripravi dokumentov članic EU. Glede na anketo, izvedeno med prebivalci iz bližine NEK, bi lahko za količino zaužite vode za odraslega človeka uporabili skoraj polovico manjšo količino (0,40 m³), kar pomeni, da bi bile tudi vse izračunane doze skoraj za polovico manjše. Ohranjamo dosedanje predpostavke in metodologijo, ki so skladne s priporočili Svetovne zdravstvene organizacije in dokumenti EU, s tem pa kontinuiteto in primerljivost z dosedanjimi podatki.

Letna učinkovita doza za umetne radionuklide v pitni vodi je vsota prispevkov zaradi prisotnosti H-3, Sr-90 in Cs-137. Pri tem je velja pripomniti, da je H-3 kozmogenega izvora, manjši del pa je posledica izpustov iz jedrske elektrarne. Drugih umetnih radionuklidov ni bilo zaznati v izmerjenih vzorcih. Letna učinkovita doza za naravne radionuklide v pitni vodi je vsota prispevkov radionuklidov iz uranove in torijeve razpadne vrste ter Be-7. K-40 ni vključen v izračun, saj ne prispeva k dozi zaradi homeostatskega uravnavanja količine kalija v telesu.

Poglejmo si nekaj povprečij za odraslo referenčno osebo. Zaradi prisotnosti umetnih radionuklidov v krškem vodooskrbnem sistemu prejme referenčna oseba 0,026 μSv. Od naravnih radionuklidov k celotni dozi največ prispeva Pb-210. V brežiškem vodovodnem sistemu je ocenjena povprečna letna učinkovita doza v letu 2021 za referenčno osebo zaradi prisotnosti umetnih radionuklidov 0,003 μSv. Celotna povprečna ocenjena letna doza za referenčno osebo zaradi prisotnosti umetnih in naravnih radionuklidov v pitni vodi je 2,9 μSv v vodovodu Brežice in 7,8 μSv na črpališču Glogov Brod. Od naravnih radionuklidov tudi tu k celotni dozi daleč največ prispeva Pb-210, ki ga je bilo v letu 2021 v vzorcih iz Glogovega Broda več kot prejšnja leta. V krškem vodovodnem sistemu je prispevek umetnih radionuklidov približno devetkrat višji kot v brežiškem vodovodu, kar je podobno kot v preteklih letih. Razlog je črpanje krške pitne vode iz vodonosnika, ki se delno napaja iz Save in Krke. Po drugi strani je skupna ocenjena doza za krški vodooskrbni sistem skoraj polovico nižja kot za brežiški zaradi drugačnega prispevka naravnih radionuklidov. V ljubljanskem vodovodu je bil prispevek umetnih radionuklidov ocenjen na 0,007 μSv na leto za odraslo referenčno osebo, kar je manj kot 0,2 % celotne ocenjene letne doze zaradi prisotnosti umetnih in naravnih radionuklidov (3,6 μSv) v pitni vodi. Celotna ocenjena letna doza je za Ljubljančane

¹³ Za oceno obremenitve prebivalstva zaradi izpustov iz jedrskega objekta se uporablja referenčna oseba, ki predstavlja posameznika iz prebivalstva, ki prejema ali bi lahko prejeli najvišje doze.



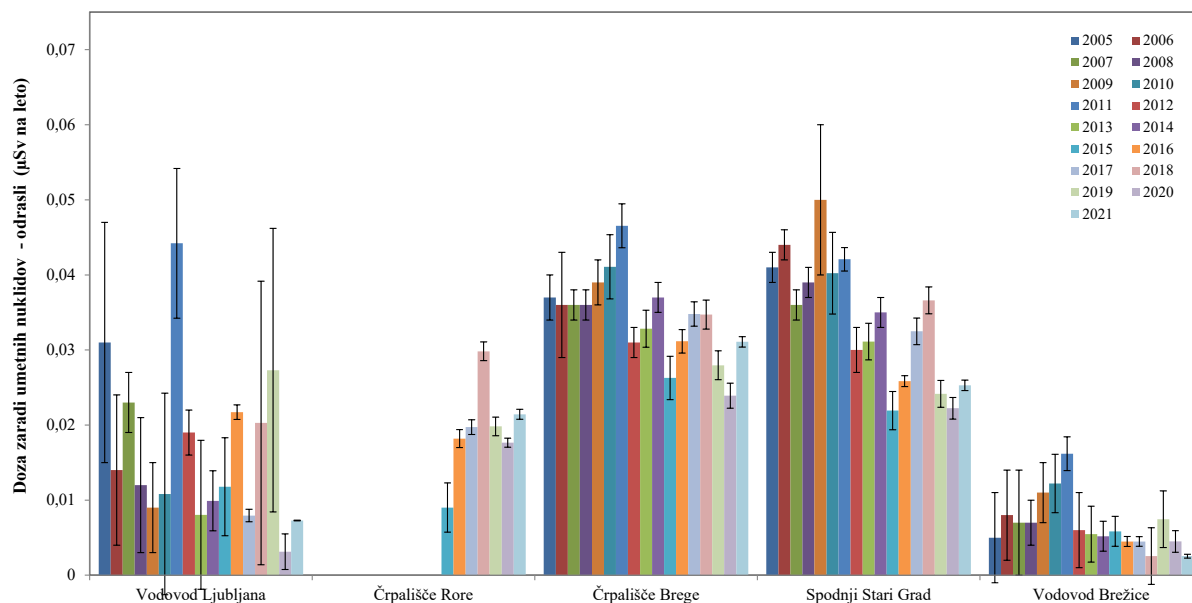
nižja kot za prebivalce Brežic in višja kot za prebivalce Krškega. Poudariti velja, da je letna efektivna doza za odraslo referenčno osebo zaradi vnosa naravnih radionuklidov pri pitju vodovodne vode, enako kot pri vnosu hrane, vključena v vsoti prispevkov k dozi naravnega sevanja (tabeli B in C v izvlečku).

Tabela 2.3: Izračunane letne efektivne doze za odraslo referenčno osebo, otroka in dojenčka zaradi umetnih in naravnih radionuklidov ter njihove vsote v vodovodih ter črpališčih pitne vode in podtalnice v letu 2021 za krške vodovode in črpališča.

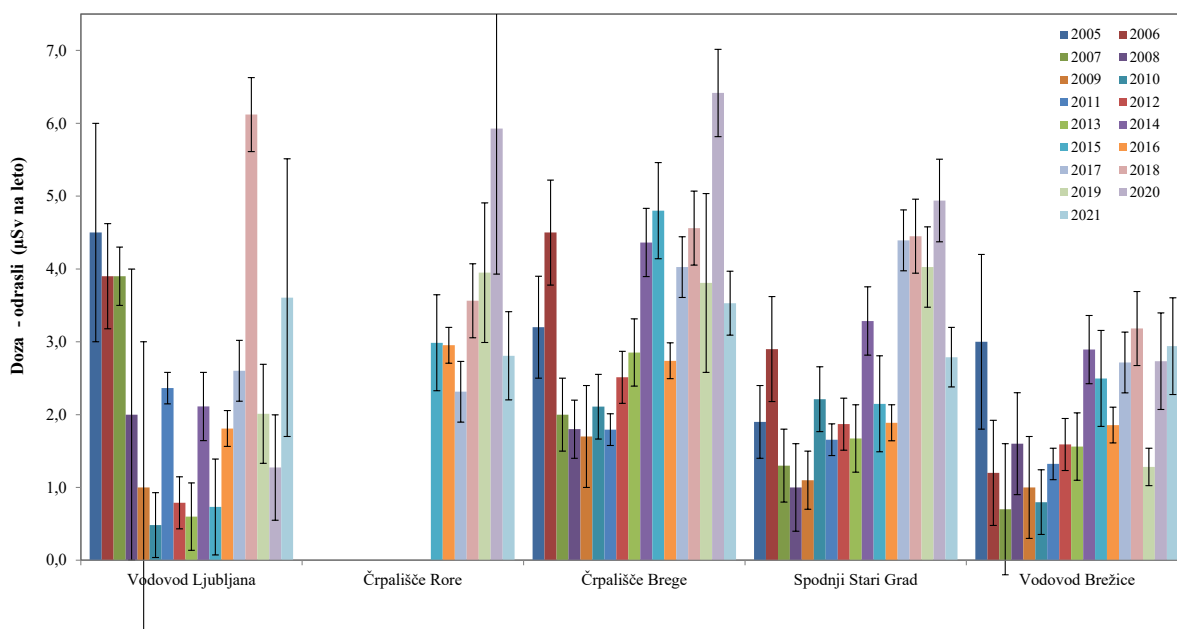
STAROSTNA SKUPINA	vrsta radionuklidov	vodovod Krško	Črpališče Brege	Črpališče Rore	Vodovod Krško (Spodnji Stari Grad)
		Letna efektivna doza (μSv)			
ODRASLI	umetni	0,021 \pm 0,001	0,031 \pm 0,001	0,021 \pm 0,001	0,025 \pm 0,001
	naravni	1,5 \pm 0,2	3,5 \pm 0,4	2,8 \pm 0,6	2,8 \pm 0,4
	vsota	1,6 \pm 0,2	3,5 \pm 0,4	2,8 \pm 0,6	2,8 \pm 0,4
OTROCI	umetni	0,018 \pm 0,001	0,023 \pm 0,001	0,018 \pm 0,001	0,021 \pm 0,001
	naravni	2,4 \pm 0,4	5,1 \pm 0,6	3,9 \pm 0,8	4,3 \pm 0,6
	vsota	2,4 \pm 0,4	5,2 \pm 0,6	4,0 \pm 0,8	4,3 \pm 0,6
DOJENČKI	umetni	0,049 \pm 0,002	0,058 \pm 0,002	0,049 \pm 0,002	0,054 \pm 0,002
	naravni	11,3 \pm 1,9	21,9 \pm 2,1	16,8 \pm 2,7	18,6 \pm 2,2
	vsota	11,4 \pm 1,9	22,0 \pm 2,1	16,9 \pm 2,7	18,7 \pm 2,2

Tabela 2.4: Izračunane letne efektivne doze za odraslo referenčno osebo, otroka in dojenčka zaradi umetnih in naravnih radionuklidov ter njihove vsote v vodovodih ter črpališčih pitne vode in podtalnice v letu 2021 za brežiške vodovode in črpališča.

STAROSTNA SKUPINA	vrsta radionuklidov	vodovod Brežice	Vodovod Brežice (Volčanšek)	Črpališča Brežice (Glogov Brod)
		Letna efektivna doza (μSv)		
ODRASLI	umetni	0,0059 \pm 0,0017	0,003 \pm 0,0003	0,003 \pm 0,001
	naravni	3,8 \pm 0,5	2,9 \pm 0,7	7,8 \pm 1,9
	vsota	3,8 \pm 0,5	2,9 \pm 0,7	7,8 \pm 1,9
OTROCI	umetni	0,0056 \pm 0,0017	0,0019 \pm 0,0002	0,002 \pm 0,000
	naravni	5,1 \pm 0,7	4,0 \pm 0,9	10,5 \pm 2,5
	vsota	5,1 \pm 0,7	4,0 \pm 0,9	10,5 \pm 2,5
DOJENČKI	umetni	0,0157 \pm 0,0047	0,005 \pm 0,000	0,005 \pm 0,001
	naravni	18,7 \pm 2,5	15,8 \pm 2,9	37,7 \pm 8,1
	vsota	18,7 \pm 2,5	15,8 \pm 2,9	37,7 \pm 8,1



Slika 2.12: Ocenjeni prispevek umetnih radionuklidov v pitni vodi k letni dozi za odraslo osebo od leta 2005 do 2021 na različnih vzorčevalnih lokacijah



Slika 2.13: Ocenjena letna doza zaradi prisotnosti umetnih in naravnih radionuklidov v pitni vodi za odraslo osebo od leta 2005 do 2021 na različnih vzorčevalnih lokacijah



Na sliki 2.12 je prikazana primerjava ocenjenih letnih efektivnih doz za odraslo referenčno osebo zaradi prisotnosti umetnih radionuklidov v vodi. Vključeni so podatki za črpališči Brege in Rore ter vodovodi Spodnji Stari Grad, Brežice in Ljubljana. Slika 2.13 je podobna, le da gre za ocenjene letne efektivne doze za odraslo referenčno osebo zaradi prisotnosti umetnih in naravnih radionuklidov v pitni vodi. Čeprav so koncentracije aktivnosti naravnih radionuklidov v črpališčih in vodovodih v splošnem nizke, prispevajo naravni radionuklidi uranove in torijeve razpadne vrste največ k ocenjeni letni efektivni dozi. Zaradi visokih doznih faktorjev največ prispevajo k celotni ocenjeni dozi Pb-210, Ra-226 in Ra-228. Že iz velikostnega reda doz na slikah 2.12 in 2.13 razberemo, da je prispevek umetnih radionuklidov za odraslo osebo zaradi tekočinskih in zračnih izpustov NEK zanemarljiv v primerjavi s prispevkom k letni dozi zaradi umetnih radionuklidov iz splošne kontaminacije in naravnih radionuklidov zaradi naravnega sevanja v pitni vodi. Vrednosti za umetne in naravne radionuklide v splošnem ločujeta dva velikostna razreda.

SKLEPI

Med umetnimi radionuklidi sta bila v pitni vodi in podtalnici v letu 2021 izmerjena H-3 in Sr-90. Cs-137 je bil sicer večinoma zaznan, ne pa tudi izmerjen, ker so bile vrednosti pod mejo kvantifikacije. Izmerjen je bil v manj kot 9 % vzorcev pitnih vod. I-131 v letu 2021 ni bil zaznan v nobenem vzorcu vodovodnih oziroma podzemnih vod.

Koncentracije aktivnosti tritija v pitni vodi v okolici NEK so istega velikostnega reda kot drugod po Sloveniji. Vrednosti na Bregah so najvišje v Sloveniji in so nedvomno posledica učinka delovanja NEK, vendar tudi najvišje vrednosti še vedno dosegajo manj kot 2 % mejnih vrednosti direktive EU za pitne vode. Tudi v tem črpališču se vrednosti nižajo, saj je v primerjavi z letom 2020 povprečna koncentracija aktivnosti manjša za 5 %, glede na leto 2018 pa že kar za 30 %.

V letu 2021 je bil tekočinski izpust spet primerljiv z najvišjimi izpusti v zadnjih 10 letih. Korelacije med vrtnami blizu reke Save in izpusti so primerljive z opažanji v letih 2018 in 2019, ko smo spremenjene vrednosti v nekaterih vrtnah povezovali s spremenjenim hidrološkim režimom na krško-brežiškem polju zaradi napolnitve akumulacije HE Brežice.

Največja ocenjena letna efektivna doza v okolici NEK v letu 2021 zaradi pitja vodovodne vode je bila na krško-brežiškem polju izračunana za črpališče Brežice – Glogov Brod, in sicer 7,8 μSv za odraslo referenčno osebo, 10,5 μSv za otroke in 37,7 μSv za dojenčke. Vrednosti so precej višje kot v letu 2020. Praktično vsa obremenitev gre na račun naravnih radionuklidov, Pb-210 je glavni »krivec«. Umetni radionuklidi prispevajo k obremenitvi kvečjemu slab procent (0,91 %). Za otroke in dojenčke je ta delež še manjši.

Ocenjena letna doza v ljubljanskem vodovodu v letu 2021 je 3,6 μSv za odraslo referenčno osebo, 5,3 μSv za otroka in 21,9 μSv za dojenčka, kar je skoraj štirikrat več kot v letu 2020 in podobnega velikostnega reda kot leta 2019 in 2018. Obremenitev z umetnimi radionuklidi iz ljubljanskega vodovoda je ocenjena na 0,2 % celotne izračunane letne doze zaradi radionuklidov v pitni vodi za odraslo referenčno osebo. V primerjavi s prebivalci Brežic in Krškega so Ljubljančani glede letne efektivne doze za leto 2021 nekako na sredini.

Ocenjene letne efektivne doze zaradi umetnih radionuklidov v pitni vodi v brežiškem in krškem vodnooskrbnem sistemu so daleč pod avtorizirano mejno dozo (50 μSv), koncentracije aktivnosti pa pod izpeljanimi koncentracijami aktivnosti, ki so izračunane ob upoštevanju, da je vrednost mejne efektivne doze 100 μSv na leto [10].





3 RADIOAKTIVNOST V USEDIH

POVZETEK

Pregledali smo merske rezultate s treh lokacij za padavine in z osmih mest za suhe usede v okolici NEK ter jih primerjali z vrednostmi z referenčne točke v Ljubljani. Tudi v letu 2021 je bilo izmerjenih po 48 padavinskih vzorcev in vzorcev vazelinskih plošč. Uporabljene so bile tri različne analizne tehnike: visokoločljivostna spektrometrija gama, tekočinskoscintilacijska spektrometrija in radiokemijska metoda z meritvami na proporcionalnem števcu.

V padavinskih vzorcih in vazelinskih ploščah so bili, kot leta poprej, izmerjeni radionuklidi H-3, Be-7, Na-22, Cs-137, Sr-90, U-238, Ra-226, Ra-228, Pb-210, Th-228 in K-40. Izmerjene koncentracije aktivnosti usedov se ne odmikajo bistveno od dolgoletnih povprečij. Študirali smo korelacije med parametri, kot so količina padavin, koncentracija aktivnosti radionuklidov, padavinski in suhi used in neposredni zračni izpusti iz jedrske elektrarne. Podatke smo primerjali z večletnimi nizi in iskali morebitne odmike od dolgoletnih povprečij. V splošnem ni opaziti korelacije med izpusti jedrske elektrarne in vsebnostjo radionuklidov v okolju, razen pri H-3. Pri tritiju se opazi, da je koncentracija aktivnosti H-3 na Bregah in v Krškem na vsakoletni ravni višja kot na referenčnih mestih v Ljubljani in Dobovi, kar lahko pripišemo izpustom iz NEK. To sklepamo na podlagi korelacijskih koeficientov med izmerjeno koncentracijo H-3 in zračnimi izpusti, ki v letu 2021 za vzorčevalna mesta v okolici NEK kažejo na korelacijo, za referenčno vzorčevalno mesto v Ljubljani pa ne.

Izračunali smo efektivno dozo zaradi zunanjega sevanja useda in zaradi zaužitja rastlin z usedlimi radionuklidi za referenčno osebo v okolici jedrske elektrarne in na referenčni točki v Ljubljani. Prispevek umetnih radionuklidov v okolici NEK k skupni dozi je zanemarljiv. Skupne doze v okolici NEK so primerljive z dozami na referenčni točki v Ljubljani.

UVOD

Za nadzor učinka zračnih izpustov na okolje vzorčimo zrak z aerosolnimi in oglenimi filtri (poglavje *Zrak*) ter vzorci padavin. Lovilniki padavin so postavljeni v bližini jedrskega objekta (Krško, Brege in Dobova) in na referenčni lokaciji v Ljubljani. Del aerosolov zbiramo v obliki suhega useda na vazelinskih ploščah, ki so postavljene v okolici jedrske elektrarne in na referenčni lokaciji v Ljubljani. Tako zajamemo vse sestavne dele ozračja: pline, aerosole in vodo v različnih pojavnih oblikah in agregatnih stanjih. Podatki so bistveni za določitev doznih obremenitev ljudi, ki živijo v okolici jedrskega objekta. Rezultate primerjamo z vrednostmi na referenčni lokaciji.

Usedle radioaktivne snovi s sevanjem prispevajo k izpostavitvi ljudi neposredno, vsrkane v rastline prek korenin ali listov pa se vnesejo z užitnimi deli v prehrabno verigo ljudi, kar se podrobneje obravnava v poglavju *Radionuklidi v hrani*. Padavine s pronicanjem skozi zemeljske plasti postanejo del podzemnih vod, to pa uporabljamo kot pitno vodo (poglavje *Radioaktivnost v pitni in podzemni vodi*), zato igrajo padavine pomembno vlogo pri prenosu radioaktivnih snovi iz zraka v živa bitja.

Tritij, radioaktivni izotop vodika, je eden redkih radionuklidov, ki jih jedrske elektrarne izpuščajo v tolikšnih količinah, da jih lahko merimo tudi v okoljskih vzorcih. Del tritijevega inventarja v ozračju prispevajo tudi različne industrijske panoge, ki uporabljajo H-3 kot vstopno surovino pri izdelavi instrumentov in svetlečih oznak. Predvsem na severni zemeljski polobli je del tritija v ozračju dediščina nadzemnih jedrskih poskusov. Ti so v šestdesetih letih prejšnjega stoletja zvišali tritijeve koncentracije aktivnosti v padavinah za tri velikostne rede. Vrednosti se dandanes počasi približujejo ravni iz predjedrske dobe. Tritij je sicer tudi kozmogen radionuklid in nastaja v zgornjih plasteh ozračja z interakcijo kozmičnih žarkov in dušika. V ozračju postane sestavni del vodne molekule in se tako vključi v globalni vodni krog, ki je bistvenega pomena za življenje na Zemlji.



V letu 2021 so bili v vzorcih padavin in vazelinskih plošč izmerjeni H-3, umetni radionuklidi Cs-137, Sr-90, kozmogena Be-7 in Na-22 ter naravni radionuklidi K-40, U-238, Th-228, Th-230, Ra-226, Ra-228 in Pb-210.

OKOLJSKI VZORCI

Značilnosti vzorčenja

Mesečno vzorčenje padavin in suhega useda poteka neprekinjeno v skladu s postopkom *Zbiranje vzorcev deževnice in talnega useda (LMR-DN-04)*.

Lovilniki padavin so postavljeni v Krškem, Bregah, Dobovi in na referenčni lokaciji v Ljubljani (IJS). Instrument sestavljata lijak in neprozoren 50-litrski plastični sod, ki sta povezana z neprozorno plastično cevjo. Lijak iz polirane nerjavne pločevine, ki zajema padavine na efektivni površini 0,25 m², je opremljen s kovinsko mrežico za prestrezanje listja in drugih predmetov. Oblikovan je tako, da so izgube padavin zaradi pršenja vode iz lijaka minimalne. Ob lovilniku padavin v Krškem in Dobovi je tudi merilnik količine padavin, ki se odčitava dnevno, za lokaciji Brege in Ljubljana pa uporabljamo meritve ARSO.

Zbrani tekočinski vzorec padavin se razdeli na dva dela: v litrskemu podvzorcju se ugotavlja vsebnost tritija (H-3), iz preostalega vzorca se pripravi vodna sušina za analize sevalcev gama in stroncija po postopku *Priprava sušine vzorcev vod (LMR-DN-06)*.

Suhi talni used se zbira na vazelinskih ploščah površine 0,3 m² iz poliakrilatnega "pleksi" stekla. Postavljene so od 1,8 m do 2 m nad površino tal in premazane s tanko plastjo farmacevtske vazeline. Na ploščah se ujamejo tudi resuspendirani prašni delci. Zbiralniki suhega useda so postavljeni na osmih vzorčevalnih mestih v ožji in širši okolici NEK.

Značilnosti meritev okoljskih vzorcev

Za določitev aktivnosti sevalcev gama uporabljamo visokoločljivostno spektrometrijo gama. Analizo stroncija smo opravili po postopku *Določanje stroncija z beta štetjem (SDN-O2-STC(01))*. Ugotavljanje koncentracije aktivnosti H-3 smo opravili po postopku *Določanje tritija s tekočinskim scintilacijskim štetjem (SDN-O2-STC(02))*. V primerih, da je vzorca izredno malo, ga analiziramo po direktni metodi po postopkih *Vzorčenje in priprava vzorcev za določitev tritija (LSC-DN-06)* in *Analiza in izračun vsebnosti tritija H-3 (LSC-DN-07)*.

Meritve sevalcev gama v suhem usedu se izvajajo na treh sestavljenih vzorcih: ožja okolica NEK (vzorčevalna mesta 1, 7 in 8 na razdalji približno 1 km), širša okolica NEK (vzorčevalna mesta od 2 do 5 na razdalji približno 3 km) in daljna okolica (vzorčevalno mesto 6, najdlje od NEK, na razdalji približno 4,5 km). Referenčno mesto za suhi used je v Ljubljani. Koncentracije aktivnosti sevalcev gama v deževnici in suhem usedu so bile opravljene po postopku *Visokoločljivostna spektrometrija gama v laboratoriju (LMR-DN-10)*.

REZULTATI MERITEV IN TIPIČNI ČASOVNI POTEKI

Padavine in padavinski used

Rezultati meritev vzorcev padavin so prikazani v tabelah T-37 (Bregje), T-38 (Krško), T-39 (Dobova) in T-40 (Ljubljana). Vse meritve je opravil IJS. Tabele z merskimi rezultati so na priloženi zgoščenci v poročilu *Merski rezultati – nadzor radioaktivnosti v okolici Nuklearne elektrarne Krško – Poročilo za leto 2021, IJS-DP-13759*, marec 2022.

V vzorcih padavin so bili ugotovljeni H-3, Be-7, K-40, Cs-137, Sr-90 ter potomci uranove in torijeve razpadne vrste. Analiza Y-90 ni bila opravljena, zato so v merskih tabelah podane koncentracije aktivnosti Sr-89/Sr-90, čeprav praktično ni možnosti, da bi bil v vzorcju tudi Sr-89, saj ta kratkoživi radionuklid v izpustih NEK v letu 2021, podobno kot v prejšnjih letih, ni bil zaznan.

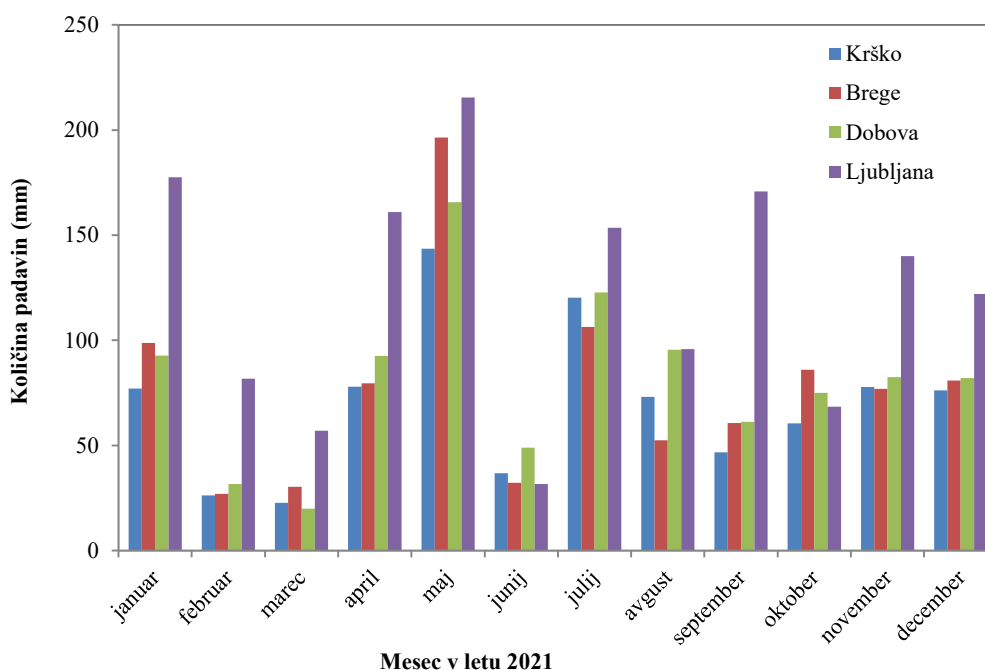


V tabeli 3.1 so izpisani meseci, v katerih smo izmerili maksimalno koncentracijo aktivnosti za posamezen radionuklid. Na vzorčevalnih mestih v okolici NEK je bil najvišji izmerek za tritij meseca aprila na Bregah, sledita mu izmerka iz istega meseca na lokaciji v Krškem in Dobovi. V Ljubljani je bila najvišja vrednost za tritij v mesecu juliju. Na lokacijah v Dobovi in Bregah so bile najvišje koncentracije aktivnosti Be-7 izmerjene v poletnem času, v Ljubljani v maju in v Krškem v februarju. Sr-90 je v letu 2021, kot tudi leta poprej, izvzet iz obravnave, saj so praktično vse izmerjene vrednosti pod mejo detekcije.

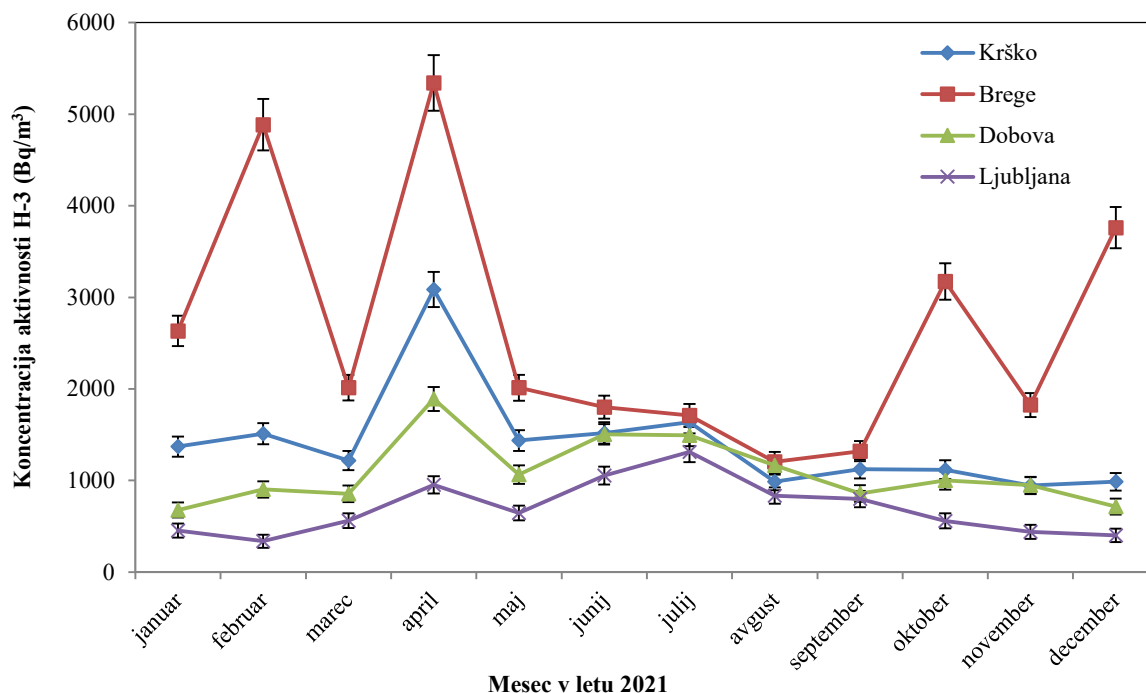
V letu 2021 je bila količina padavin na letni ravni v Ljubljani za približno 17% večja kot v letu 2020. Količina padavin na Bregah (meteorološka merilna postaja na letališču Cerklje na Dolenjskem) je primerljiva s količino padavin v prejšnjem letu, v Krškem je za 20 % manjša in 10 % večja v Dobovi. Največ dežja na vzorčevalnih mestih v okolici NEK je padlo v Dobovi, najmanj v Krškem. V celem letu je največ padavin padlo v Ljubljani (1 475 mm), kar je približno 62 % več od povprečja v okolici NEK. Meseca februar in marec sta bila najbolj suha na vseh vzorčevalnih mestih v okolici NEK. Mesečne količine padavin v Krškem, Bregah, Dobovi in Ljubljani so prikazane na sliki 3.1. Periode izračuna količin padavin so usklajene s termini vzorčenj.

Tabela 3.1: Pojavljanje najvišjih izmerjenih mesečnih koncentracij aktivnosti za H-3, Cs-137, Be-7, K-40 in Pb-210 v vzorcih padavin na Bregah, v Krškem, Dobovi in Ljubljani v letu 2021

Radionuklid v padavinah	LJUBLJANA	BREGE	KRŠKO	DOBOVA
H-3	julij	april	april	april
Cs-137	avgust	avgust	februar	julij
Be-7	maj	junij	februar	julij
K-40	junij	junij	februar	julij
Pb-210	avgust	junij	februar	julij



Slika 3.1: Mesečne količine padavin v Krškem, Bregah, Dobovi in Ljubljani

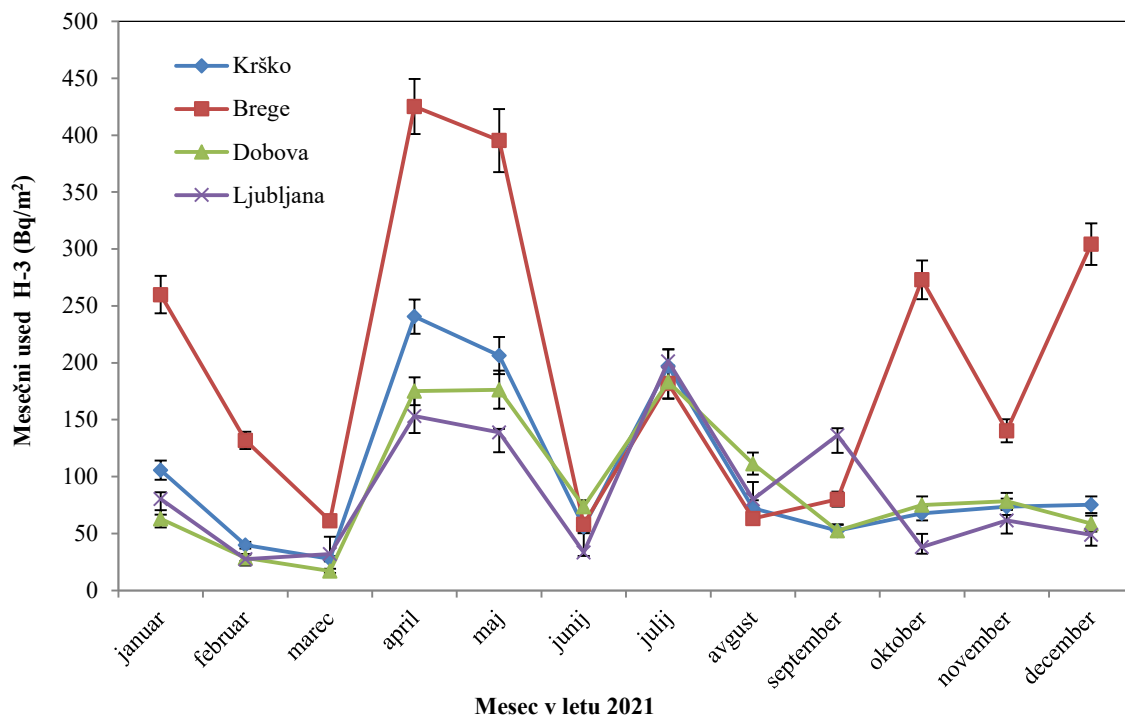


Slika 3.2: Mesečne koncentracije aktivnosti tritija v padavinah v Krškem, Bregah, Dobovi in Ljubljani. V mesecu januarju so bile koncentracije povišane, kar pripisujemo majhni količini vzorca padavin na vseh lokacijah.

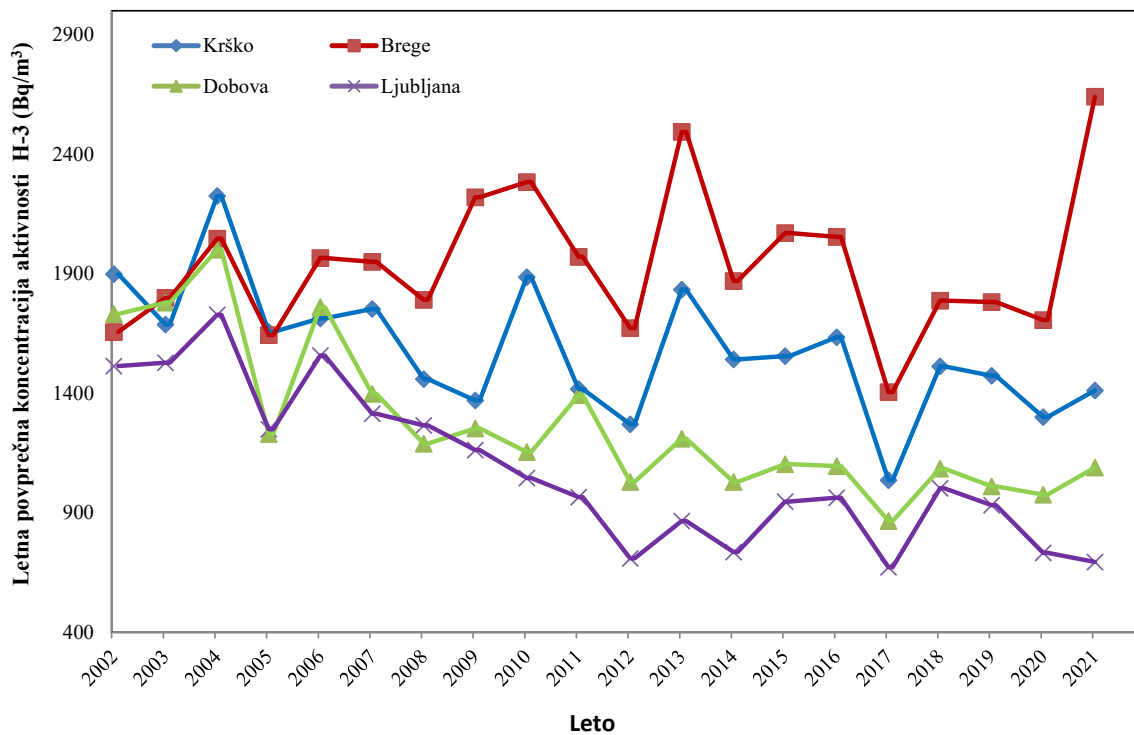
Tritij (H-3)

Koncentracije aktivnosti tritija v padavinah so prikazane na sliki 3.2. Povprečja mesečnih koncentracij aktivnosti, z izjemo zimskih vrednosti na Bregah, so primerljiva s povprečji mesečnih koncentracij v letu 2020. Koncentracije aktivnosti tritija na Bregah so v februarju, oktobru in decembru znatno povišane glede na ostala vzorčevalna mesta. V februarju je bilo padavin malo, iz česar lahko sklepamo, da se je tritij iz zraka spral z manjšo količino padavin in je v vzorcu koncentriran. Pri ostalih dveh odstopanjih pa ne najdemo nobene vzročne povezave. Zračni izpusti v letu 2021 so bili za 95 % višji kot v letu 2020 in za 142 % višji od leta 2019. Največji zračni izpust tritija, 32 % celoletnega izpusta, je bil v mesecu aprilu.

V aprilu je bila koncentracija tritija na vzorčevalnih mestih v okolici NEK višja od povprečne vrednosti, kar se sklada s povišanimi zračnimi izpusti v omenjenem mesecu. Povezanost med zračnimi izpusti in izmerjeno koncentracijo aktivnosti H-3 je v letu 2021 zaznana na vseh vzorčevalnih mestih v okolici NEK in sicer ima vzorčni korelacijski (Pearsonov) koeficient [49] najvišjo vrednost v Krškem (0,9), nato sledi Brege (0,6) in Dobova (0,5). Na referenčnem vzorčevalnem mestu v Ljubljani je koeficient korelacije blizu ničle, kar kaže na to, da ni povezave med zračnimi izpusti iz NEK koncentracijami aktivnosti. Najvišja mesečna koncentracija tritija v padavinskih vzorcih v okolici NEK je bila v mesecu aprilu izmerjena na Bregah, najnižja pa februarja v Ljubljani. Koncentracije aktivnosti v grobem sledijo običajnim naravnim letnim gibanjem tritija v ozračju severne zemeljske poloble, kjer so vrednosti poleti v splošnem višje kot pozimi. Izjema so koncentracije aktivnosti na lokacijah na Bregah in v Krškem, kjer se nedvoumno pozna učinek delovanja NEK, saj so letna povprečja konstantno višja od referenčne lokacije v Ljubljani.



Slika 3.3: Mesečni padavinski used tritija v Krškem, Bregah, Dobovi in Ljubljani



Slika 3.4: Povprečje letnih koncentracij aktivnosti H-3 v padavinah za obdobje 2006–2021



Mesečne padavinske usede (aktivnosti padavin na kvadratni meter površine) izračunamo z množenjem koncentracij aktivnosti in količin padavin. Na sliki 3.3 so predstavljeni mesečni padavinski usedi H-3 za vsa štiri vzorčevalna mesta: Ljubljano, Brege, Krško in Dobovo. Časovni poteki za lokacije v okolici NEK so primerljivi s potekom na ljubljanski referenčni lokaciji.

Na Bregah je vzorec koncentracij aktivnosti tritija nekoliko drugačen kot v Krškem in Dobovi, kar je lepo razvidno iz dolgoletnih letnih povprečij na sliki 3.4. Povprečje mesečnih koncentracij aktivnosti za leto 2021 je bilo na vseh lokacijah v okolici NEK višje kot v letu 2020, v Ljubljani pa je bilo nižje kot leta 2020. Vrednosti so bile najnižje v Ljubljani in najvišje na Bregah, kar je že ustaljen večletni vzorec.

Učinek delovanja NEK na koncentracije aktivnosti tritija v neposredni bližini elektrarne je opazen, kar kažejo letna povprečja, ki so na Bregah in v Krškem vsako leto nad vrednostmi v Dobovi in Ljubljani. V mesecih z majhnimi količinami padavin je korelacija med izpusti in koncentracijami aktivnosti izrazitejša. Izrazito sušni meseci se pojavljajo praktično vsako leto, a ne vedno v istem letnem času.

Sezonska nihanja tritija ponazarja tabela 3.2, kjer so nanizani rezultati linearne regresije in sicer smerni koeficienti korelacij in korelacijski koeficient R^2 med količino padavin in padavinskimi mesečnimi usedi tritija. Precejšnje razlike med smernimi koeficienti za zimo in poletje potrjujejo različne mehanizme za nastanek in transport tritija iz ozračja na Zemljo v obliki padavin. Čim večji je smerni koeficient, tem več tritija iz ozračja preide v padavine in s tem v padavinski used. Če pogledamo lokaciji Ljubljana in Dobova, kjer je učinek zračnih izpustov iz NEK nezaznaven oziroma pri Dobovi manj zaznaven, so poleti ti koeficienti višji kot pozimi, kar pomeni, da je prenos tritija iz ozračja v padavinske usede učinkovitejši poleti kot pozimi. Ta ugotovitev ne velja na Bregah, saj na omenjeni pojav umetno vplivamo z vnašanjem tritija v atmosfero preko zračnih izpustov iz NEK.

Medtem ko je tritij praktično edini merjeni radionuklid, ki ga v okolici NEK lahko deloma pripišemo izpustom jedrske elektrarne, je stanje pri drugih radionuklidih nekoliko drugačno. Primerjava med usedi Cs-137 v Ljubljani in na lokacijah v okolici NEK pokaže, da so vrednosti usedov v Ljubljani praktično enake ali nekatera leta celo nekoliko višje kot v okolici NEK (slika 3.7).

Tabela 3.2: Korelacijski koeficienti R^2 in smerni koeficienti korelacij za odvisnost pomladno-poletnih oziroma jesensko-zimskih padavinskih usedov tritija od količine padavin za leto 2021

	pomlad–poletje		jesen–zima	
	smerni koeficient	R^2	smerni koeficient	R^2
Ljubljana	0,8	0,7	0,7	0,7
Brege	2,0	0,5	2,4	0,4
Krško	1,5	0,6	0,9	0,7
Dobova	1,2	0,8	0,7	0,7

Berilij (Be-7)

Be-7 je kozmogeni radionuklid, kar pomeni, da naravno nastaja v zgornjem delu atmosfere v jedrskih reakcijah med visokoenergijskimi kozmičnimi žarki in dušikom [49], [51]. Od tam prehaja v spodnje plasti zemeljskega ozračja in na površje.

V tabeli 3.3 so prikazana letna povprečja padavinskega useda Be-7 v okolici NEK in na referenčnem merilnem mestu v Ljubljani.



Tabela 3.3: Povprečni letni padavinski used Be-7

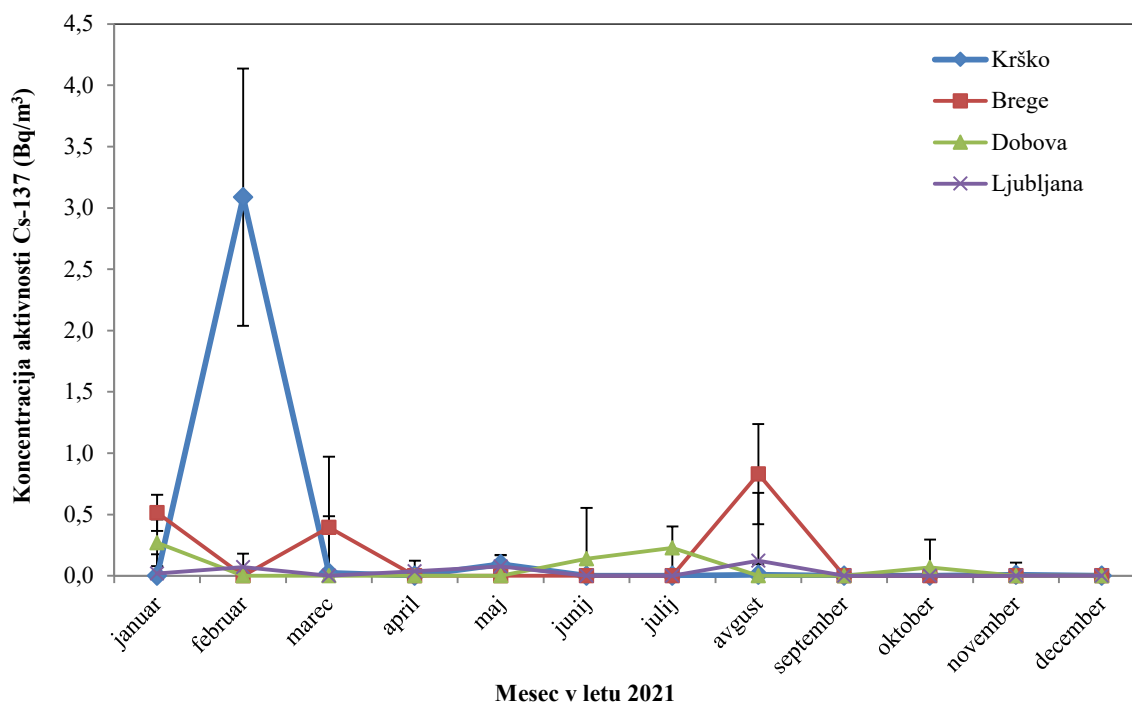
Vzorčevalno mesto	Letno povprečje padavinskega useda Be-7 (Bq/m ²)
Ljubljana	57 ± 1
Brege	22 ± 1
Krško	42 ± 1
Dobova	32 ± 1

Ogljik (C-14)

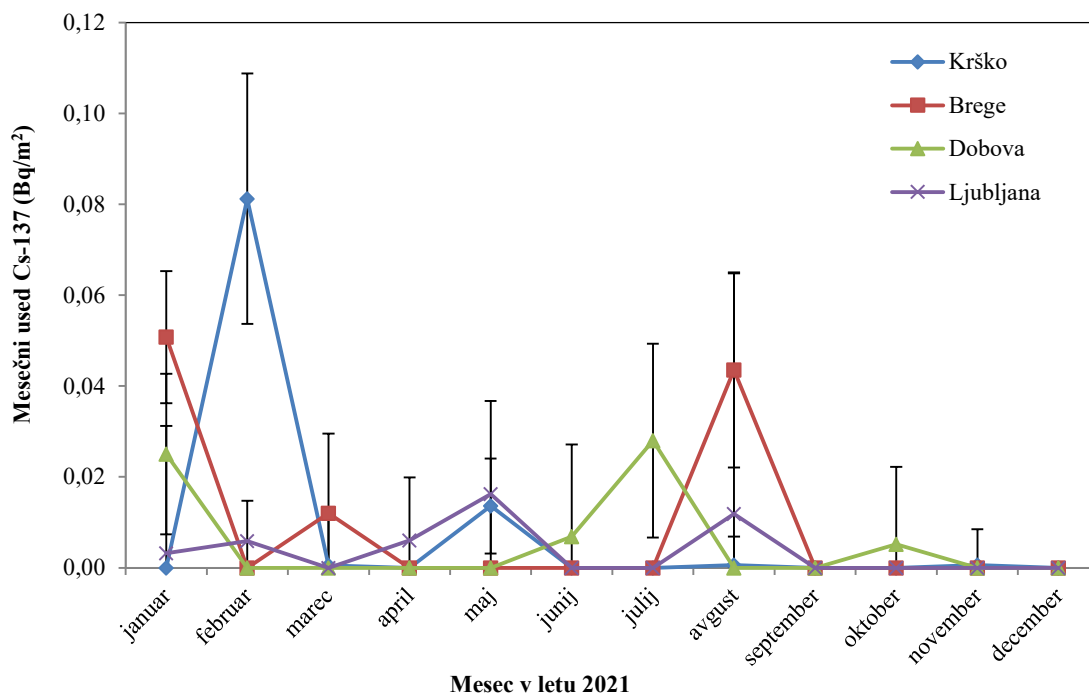
C-14 ni vključen v program meritev padavinskih vzorcev.

Cezij (Cs-137)

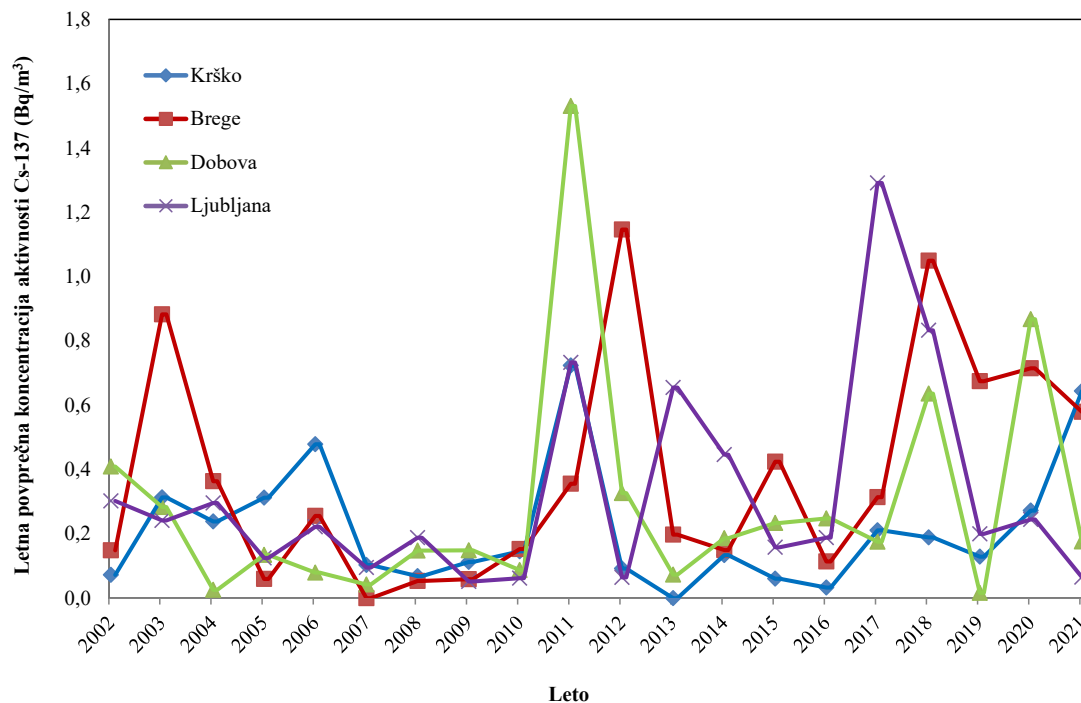
Mesečne koncentracije aktivnosti Cs-137 v padavinah v Krškem, Bregah, Dobovi in v Ljubljani so prikazane na sliki 3.5, padavinski used pa na sliki 3.6. V letu 2021 je bila največja vrednost izmerjena na vzorčevalni lokaciji v Krškem (3 ± 1) Bq/m³, ostale vrednosti pa so vse pod 1 Bq/m³. V okviru negotovosti je večina vrednosti zelo podobnih. Večji odmik, na primer v februarju v Krškem, bi lahko pripisali vetrovni resuspenziji s tal in majhni količini vzorca. Na sliki 3.7 je prikazan večletni potek letnih padavinskih usedov za Cs-137. Vse vrednosti, ki jih izmerimo, so verjetno posledica vetrovne resuspenzije, lahko pa tudi posledica kurjenja s trdimi gorivi v zimskih mesecih [18]. Ker je koncentracija aktivnosti v primeru majhne količine vzorca zelo odvisna od števila prašnih delcev, vnešenih v deževnico zaradi resuspenzije, lahko te vrednosti močno nihajo in je težko razložiti letne spremembe. Izjema je leto 2011, kjer je izrazito povišanje posledica nesreče v Fukušimi, kar se pokaže na vseh vzorčevalnih mestih (slika 3.7).



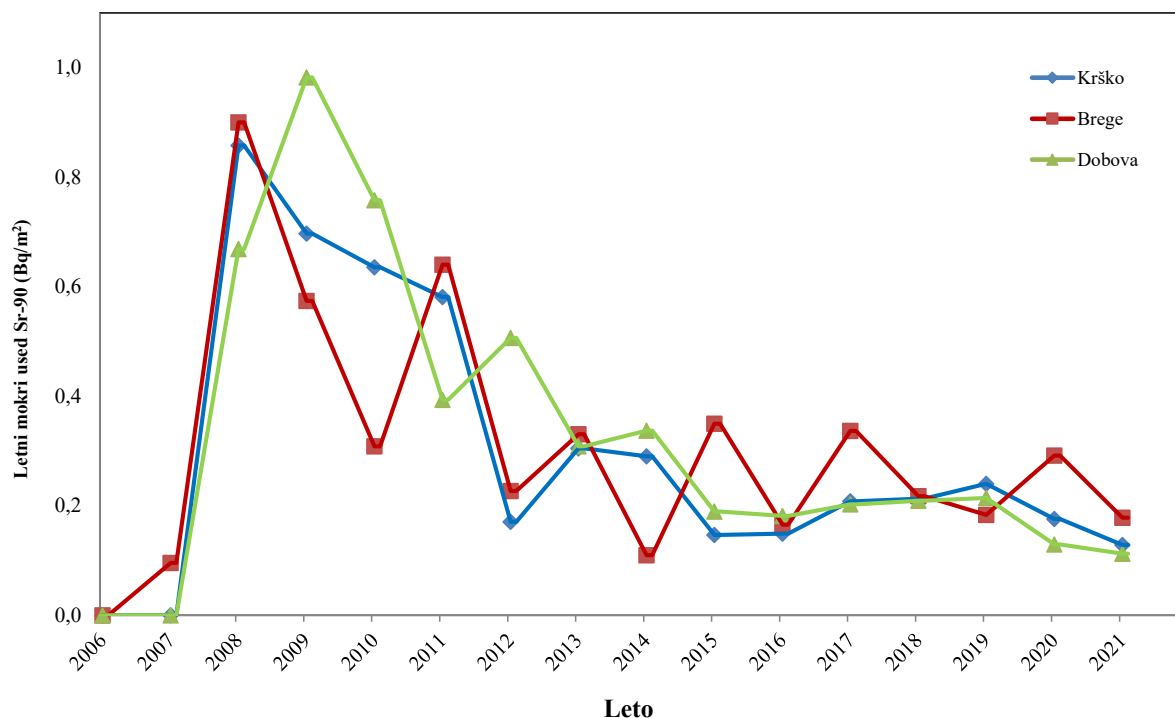
Slika 3.5: Mesečne koncentracije aktivnosti Cs-137 v padavinah v Krškem, Bregah, Dobovi in Ljubljani



Slika 3.6: Mesečni padavinski used Cs-137 v Krškem, Bregah, Dobovi in Ljubljani



Slika 3.7: Letna koncentracija aktivnosti Cs-137 v padavinah za obdobje 2006–2021. Izrazito povišanje v letu 2011 na vseh vzorčevalnih mestih je posledica nesreče v Fukušimi.



Slika 3.8: Letni padavinski used Sr-90 za obdobje 2006–2021

Stroncij (Sr-90)

V letu 2021 so bile vse vrednosti za Sr-90 pod mejo detekcije, razen januarja na Bregah in v Krškem, kjer sta bili $(0,5 \pm 0,1)$ in $(1,9 \pm 0,5)$ Bq/m³. Ostale vrednosti v tabelah so izpeljane iz detekcijskih mej, kjer predpostavimo vrednost četrtilne detekcijske meje. Predpostavljene vrednosti so pomembne za izračun doznih obremenitev. Slika 3.8 prikazuje letne padavinske usede Sr-90 na vseh treh lokacijah v okolici NEK med letoma 2006 in 2021. Usedi oziroma njihove predvidene vrednosti so v letu 2021 primerljive z vrednostmi iz prejšnjih let.

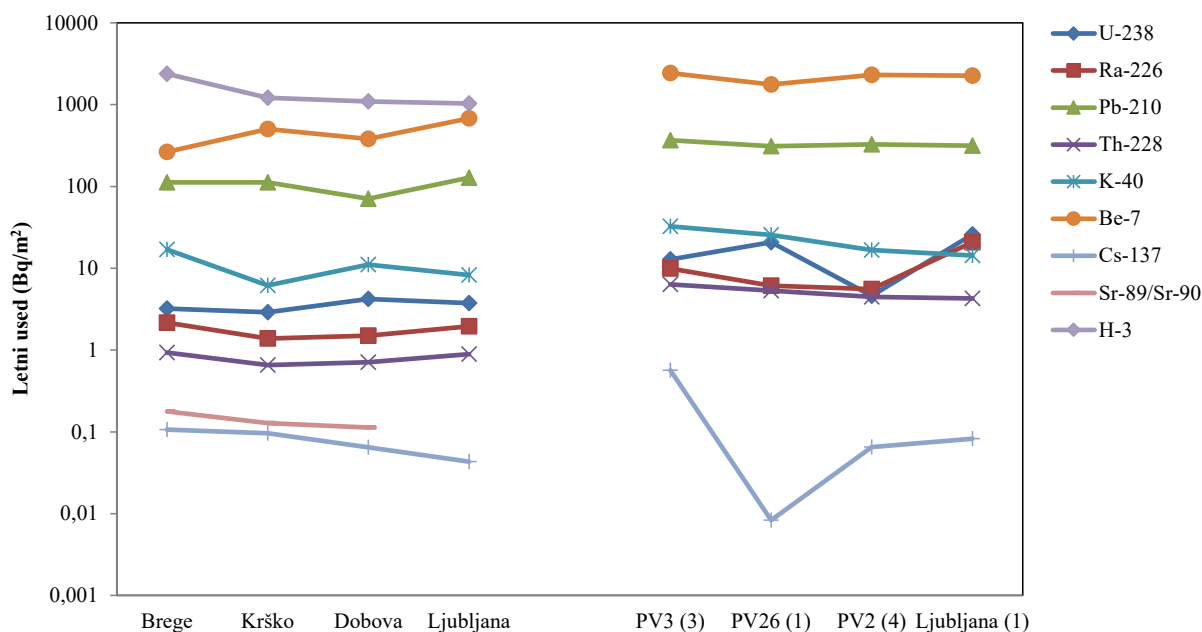
Jod (I-131)

I-131 v padavinskih vzorcih in vzorcih suhega useda ni bil izmerjen.

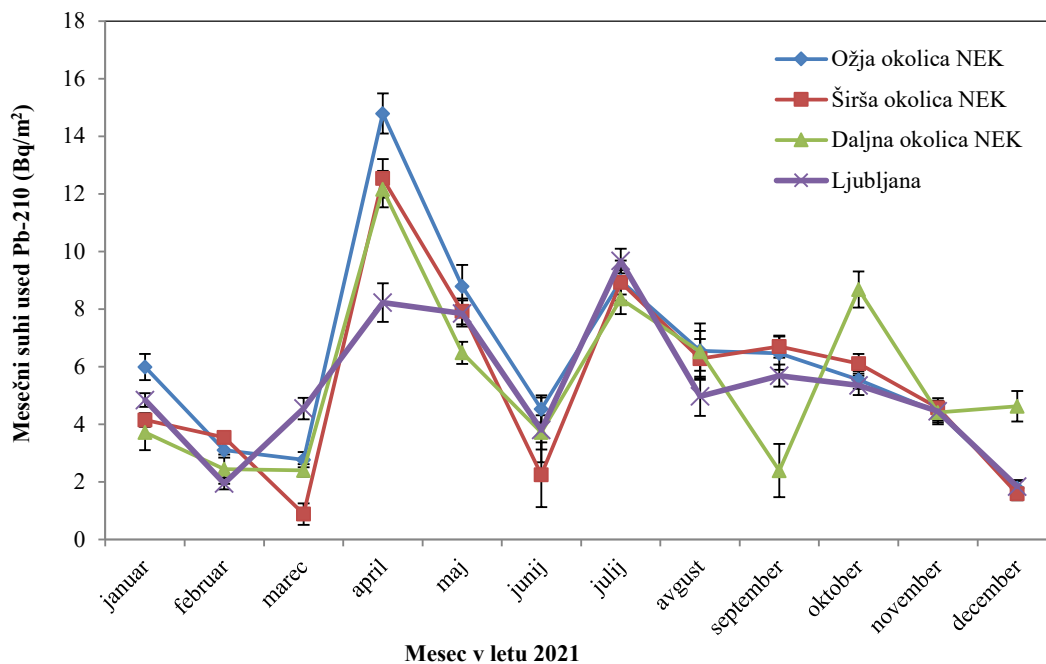
Suhi used

Rezultati meritev na vzorcih suhih usedov so prikazani v tabelah T-42/1 (širša okolica NEK), T-42/2 (daljna okolica NEK), T-42/3 (ožja okolica NEK) in T-42/4 (Ljubljana). Vse meritve je opravil IJS. Tabele z merskimi rezultati so na priloženi zgoščenki v poročilu *Merski rezultati – nadzor radioaktivnosti v okolici Nuklearne elektrarne Krško - Poročilo za leto 2021, IJS-DP-13759, marec 2022*.

V vzorcih suhega useda so bili v letu 2021 izmerjeni Be-7, K-40, Cs-137 in potomci uranove in torijeve razpadne vrste. Analiza stroncija se na vzorcih z vazelinskih plošč ne izvaja. Na sliki 3.9 je primerjava med suhim in mokrim usedom na vseh lokacijah, kjer se izvaja vzorčenje.



Slika 3.9: Letni usedi v padavinah, zbranih v lovilnikih deževnice (leva stran grafa) in na vazelinskih ploščah na različnih lokacijah okrog NEK (desna stran grafa)



Slika 3.10: Mesečni suhi used $Pb-210$ v Ljubljani, v širši in ožji okolici NEK ter na vzorčevalnem mestu, ki je najdlje od NEK (daljna okolica NEK)

Suhi used na vazelinskih ploščah v okolici NEK je primerljiv s suhim usedom v Ljubljani. Podobno velja tudi za padavinske usede.

Na sliki 3.10 je prikazan suhi used za $Pb-210$, ki zaradi velikega utežnega faktorja največ prispeva k izračunani letni dozi. Iz slike lahko ugotovimo zelo podoben časovni potek za vse štiri lokacije. Vrednosti



za Ljubljano so v splošnem primerljive z vrednostmi za lokacije v okolici NEK. Najvišje vrednosti v okolici Krškega so bile izmerjene v mesecu aprilu in v juliju v Ljubljani.

OCENA UČINKOV

Letno efektivno dozo izračunamo iz mesečnega, četrletnega ali polletnega povprečja ob predpostavki, da je vnos hrane, vode ali zraka v človeški organizem vse leto konstanten. Oceno učinkov radioaktivnega useda ovrednotimo z efektivno dozo zaradi zunanjega sevanja in z ingestijsko dozo¹⁴. Efektivne doze zaradi zunanjega sevanja useda ocenimo s produktom letnega useda in doznega faktorja [4] za posamezen radionuklid ob predpostavki štiriurnega zadrževanja na prostem. V tabeli 3.4 so povzete sumarne vrednosti zunanjih doz. K dozi največ prispeva kozmogeni Be-7, ki se s padavinami izpira iz ozračja, in sicer med 61 % in 83 %. Celotna efektivna doza zaradi zunanjega sevanja useda za umetne radionuklide v okolici NEK je v letu 2021 za faktor sedem manjša od vrednosti v letu 2020.

Tabela 3.4: Efektivne doze zaradi zunanjega sevanja iz useda v letu 2021 ob predpostavki zadrževanja na prostem 4 ure na dan. Vrednosti niso primerljive z oceno doze v poglavju *Zunanje sevanje*, saj tam ni upoštevano, da se referenčna oseba zadržuje 20 % časa na prostem in da je faktor ščitenja pri zadrževanju v hiši 0,1, kot je to v tem poglavju.

Starostna skupina	Radionuklidi	Okolica NEK (povprečje lokacij)	Ljubljana
		doza (μSv)	
ODRASLI OTROCI DOJENČKI	UMETNI	$(14 \pm 3) \text{ E-5}$	$< 17 \text{ E-5} *$
	VSI	$0,06 \pm 0,01$	$0,089 \pm 0,002$

* Za prispevek umetnih radionuklidov k efektivni dozi v Ljubljani podajamo »manjši od« vsote izračunane vrednosti in pripadajoče negotovosti, ker so poročane koncentracije aktivnosti radionuklida Cs-137 pod mejo kvantifikacije.

Tabela 3.5: Efektivne doze zaradi zaužitja rastlin z usedlimi radionuklidi v letu 2021 za odrasle, otroke in dojenčke.

Starostna skupina	Masa zaužitega rastlinja (kg)	Radionuklidi	Okolica NEK (povprečje lokacij)	Ljubljana
			doza (μSv)	
ODRASLI	25	UMETNI	$0,013 \pm 0,003$	$0,007 \pm 0,001$
		VSI	27 ± 4	35 ± 1
OTROCI	15	UMETNI	$0,011 \pm 0,002$	$0,006 \pm 0,001$
		VSI	45 ± 6	58 ± 2
DOJENČKI	2,5	UMETNI	$0,031 \pm 0,006$	$0,016 \pm 0,001$
		VSI	200 ± 27	266 ± 8

¹⁴ Za oceno obremenitve prebivalstva zaradi izpustov iz jedrskega objekta se uporablja referenčna oseba, ki predstavlja posameznika iz prebivalstva, ki prejema ali bi lahko prejeli najvišje doze.



Efektivna doza zaradi zunanjega sevanja umetnih radionuklidov prispeva v okolici NEK približno 0,2 % in v Ljubljani približno 0,1 % k celotni zunanji dozi, enako za vse starostne skupine. Tudi če vključimo v oceno izpuste iz NEK, so umetni radionuklidi pri računanju učinkovnih doz zaradi zunanjega sevanja v letu 2021 zanemarljivi.

Efektivno dozo zaradi zaužitja rastlin z usedlimi radionuklidi izračunamo s produktom koncentracije aktivnosti radionuklidov v masi 1 kg sveže rastline, ki jo zaužije človek, mase zaužitega rastlinja (25 kg za odraslo osebo, 15 kg za otroke in 2,5 kg za dojenčke) in doznega faktorja [4], [10], [61]. Pri tem šteje le used na zeleni del rastlin in posledični vnos radionuklidov v rastlino, medtem ko prevladujoči transport radionuklidov iz zemlje ni všteti. Obravnavan je v poglavju *Radionuklidi v hrani*. V izračunu ni upoštevano, da vse rastlinje pred zaužitjem operemo ali olupimo in tako odstranimo tudi do 90 % vseh radionuklidov na površini. Vrednosti so zbrane v tabeli 3.5.

Skupna učinkovna doza zaradi zaužitja rastlin v letu 2021 je primerljiva z letom 2020: prispevek umetnih radionuklidov v okolici NEK je za 12 % do 17 % večji, prispevek naravnih radionuklidov pa za približno 35 % manjši. Učinkovna doza je bila v letu 2021 za umetne radionuklide v okolici NEK med 73 % in 100 % večja kot na lokaciji v Ljubljani in približno 25 % manjša za skupno učinkovno dozo. Ugotovitev velja za vse starostne skupine. K skupni učinkovni dozi zaradi zaužitja rastlin tako v Ljubljani kot v okolici NEK največ prispeva naravni izotop Pb-210, in sicer kar 98 % pri otrocih in odraslih in 95 % pri dojenčkih. Učinkovna doza od umetnih radionuklidov prispeva k celotni učinkovni dozi zaradi zaužitja rastlin z usedlimi radionuklidi za odraslo osebo v okolici NEK okrog 0,05 %, v Ljubljani pa 0,02 %, kar je primerljivo s prejšnjim letom. Za otroke in dojenčka je prispevek še manjši. Umetni radionuklidi so torej pri računanju zunanjih doz v letu 2021 zaradi vnosa s hrano zanemarljivi.

SKLEPI

V letu 2021 ni bilo posebnosti glede radionuklidov v padavinah in suhih usedih. Tritij je še vedno edini radionuklid iz zračnih izpustov NEK, ki je lahko neposredno zaznan v padavinah predvsem na Bregah in v Krškem (Stara Vas). Po splošno uporabljani metodologiji sicer ne vpliva na dozno obremenitev zaradi zunanjega sevanja.

Med umetnimi radionuklidi je bil v padavinah občasno ugotovljen Cs-137. Zaznan je bil v 37 % vzorcev padavin in v 24 % vazelinških plošč. Letna povprečna koncentracija aktivnosti za Cs-137 je bila v letu 2021 v primerjavi z izmerjenimi vrednostmi iz leta 2020 na vseh merilnih mestih, razen v Krškem, nižja. Vzrok za detekcijo Cs-137 v padavinah je najverjetneje talna resuspenzija in kurjenje trdih goriv v zimskih mesecih. Sr-90 je bil v letu 2021 detektiran samo v dveh padavinskih vzorcih in sicer januarja v Krškem in Bregah, kjer je bila mesečna koncentracija aktivnosti $(1,9 \pm 0,5) \text{ Bq/m}^3$ in $(0,5 \pm 0,1) \text{ Bq/m}^3$. Če primerjamo prispevek umetnih in naravnih radionuklidov k celotni učinkovni dozi, prispevajo predvsem slednji. Obremenitvi prebivalcev v okolici NEK in na referenčni točki v Ljubljani sta primerljivi, učinek izpustov iz NEK pa je zanemarljiv.



4 ZRAK

POVZETEK

V poglavju so predstavljeni in ovrednoteni rezultati meritev plinastih in aerosolnih vzorcev iz okolja ter aerosolnih filtrov za vzorčenje zraka na ventilacijskem izpustu NEK. Ocena učinka na prebivalstvo, izračunana za zračno prenosno pot, je bila narejena na podlagi meritev zračnih izpustov (emisij) in z uporabo razredčitvenih faktorjev Lagrangeevega modela, kjer iz izračunanih koncentracij radionuklidov in njihovih pretvorbenih faktorjev ocenimo dozo zaradi imisij NEK, t.i. imisijsko dozo. Modelna ocena daje oceno učinkovite letne doze za odraslo osebo v naselju Spodnji Stari Grad 11,7 nSv, na ograji NEK (okvirno velja tudi za razdaljo 500 m od osi reaktorja) pa 19,2 nSv, in zajema vse izpuščene radionuklide. Lokacije vzorčenja imisij so bile v okviru rednega nadzora radioaktivnosti zraka v okolici NEK v letu 2021 enake kot prejšnja leta. Za primerjavo ocenjujemo tudi učinkovite doze zaradi koncentracij aktivnosti radionuklidov v okolju, t.i. okoljsko dozo, bodisi naravnih bodisi umetnih radionuklidov, ki so posledica globalne kontaminacije zaradi jedrskih poskusov in nesreč. Ocenjene letne učinkovite okoljske doze prebivalcev na podlagi meritev radioaktivnosti z aerosolnimi filtri zaradi inhalacije (vdihavanja) in imerzije (zunanjšega sevanja) umetnih radionuklidov (0,21 nSv) so zanemarljive in več velikostnih redov nižje od letne učinkovite doze, ki jo zaradi inhalacije povzročajo naravni radionuklidi (36 µSv). V dozah zaradi naravnih radionuklidov ni upoštevan prispevek kratkoživih potomcev radona. Učinkovita doza, izračunana iz meritev v okolju, vključuje le globalna kontaminanta Cs-137 in Sr-90.

UVOD

Zračni izpusti jedrske elektrarne imajo skupaj s tekočimi izpusti neposreden vpliv na okolje in ljudi, ki živijo v okolici takšnega objekta. Za nadzor zračnih izpustov opravljamo spektrometrijske analize aerosolnih filtrov za vzorčenje zraka na glavnem ventilacijskem izpustu NEK tik pred izpustom v okolje (emisijske meritve) ter aerosolnih in ogljenih filtrov za prečrpavanje zraka v okolju (okoljske meritve). Izmerjene aktivnosti radionuklidov na izviri oziroma emisij so vhodni podatki za modelne izračune, s katerimi se napoveduje njihova porazdelitev in aktivnost radionuklidov v okolju na podlagi sodobnih modelov, ki najbolje upoštevajo sprotne izmerjene meteorološke parametre v preteklem letu, konfiguracijo terena in druge značilnosti v okolici obravnavanega objekta. Pri oceni doz zaradi imisij se uporabljajo izmerjene koncentracije na okoliških zračnih črpalkah, medtem ko so pri oceni doz zaradi emisij privzete modelsko določene koncentracije. Neodvisni laboratoriji vzorčijo okoljske vzorce in tako preverjajo vpliv elektrarne na okolje in ljudi.

Vzorčenje emisij je potekalo na glavnem ventilacijskem izpustu NEK, kjer se odvezemajo vzorci za meritve joda (I-131), tritija (H-3), ogljika (C-14) in aerosolov (aerosolni filtri v monitorju RM-24) ter se opravljajo meritve žlahtnih plinov. Njihove koncentracije aktivnosti na izbranih lokacijah v okolici NEK se ugotavljajo z uporabo Lagrangeevega disperzijskega modela Spray [54]–[57], saj meritve na lokacijah zaradi razredčenja niso praktično mogoče, ker so koncentracije radioaktivnosti imisij zanemarljivo nizke v primerjavi s koncentracijami radioaktivnosti v okolju, ki so posledica globalne kontaminacije zaradi jedrskih poskusov in nesreč. Meritve aerosolov in I-131 v okolju se izvajajo na osmih lokacijah v okolici NEK (Spodnji Stari Grad, Krško - Stara vas, Leskovec, Brege, Vihre, Gornji Lenart, Spodnja Libna in Dobova) na različnih oddaljenostih od glavnega izpuha NEK, kar omogoča spremljanje razširjanja zračnih izpustov v vseh smereh (jod I-131 se v Dobovi ne vzorči). Poudariti je treba, da so v okolici NEK pogoste spremembe smeri vetra tudi večkrat na dan, hitrost vetra je nizka, prevladujoči smeri razširjanja sta proti jugozahodu in proti jugovzhodu. Kontrolne meritve aerosolov so bile opravljene z vzorci, ki so bili pridobljeni z vzorčenjem na lokaciji v Ljubljani.

Učinkovite doze zaradi emisij NEK so izračunane na podlagi modelskih izračunov (imisijske doze) in za



primerjavo še iz izmerjenih koncentracij aktivnosti radionuklidov v okolju (efektivne okoljske doze¹⁵) torej na lokacijah, kjer so postavljene aerosolne črpalke. Metodologija računanja doz je predstavljena v postopku *Ocena sevalnih obremenitev (LMR-RP-01)*.

OKOLJSKI VZORCI

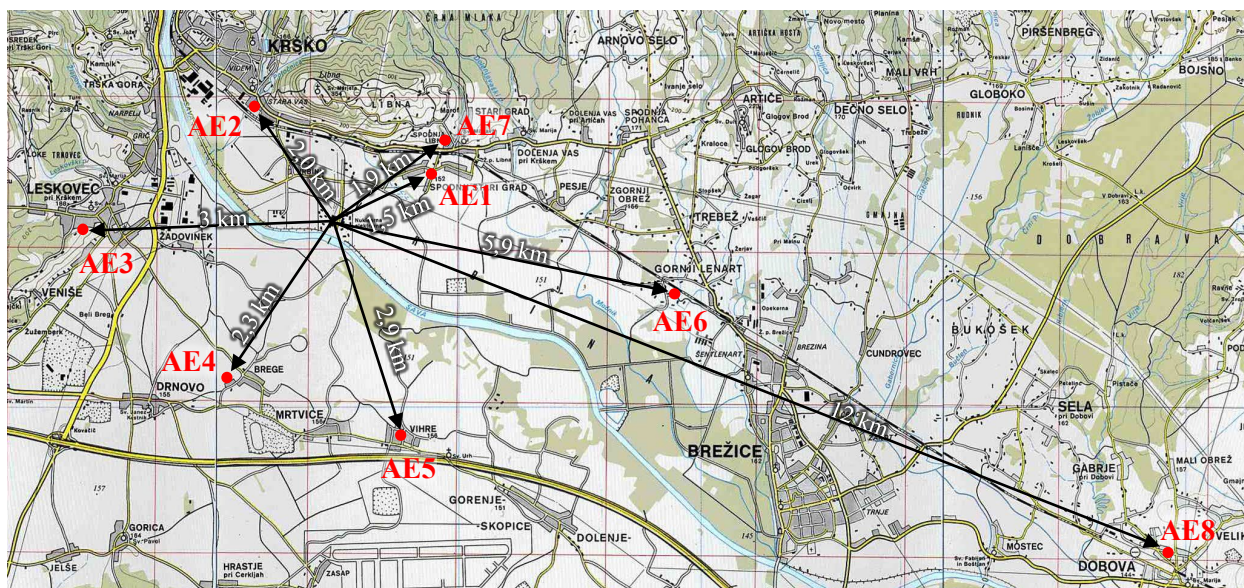
Značilnosti vzorčenja

Vzorčenje in meritve radioaktivnosti zraka v okolici Nuklearne elektrarne Krško se izvajajo v okviru obratovalnega nadzora radioaktivnosti. Tega mora v skladu s 124. členom *Zakona o varstvu pred ionizirajočimi sevanji in jedrski varnosti (ZVISJV-1)* [7] zagotavljati upravljalec jedrskega objekta. Podobno kot spremljamo radioaktivnost v okolju v Sloveniji, jo spremljajo tudi v drugih državah članicah EU, saj to zahteva 35. člen pogodbe EURATOM [62].

Vzorčenje zračnih emisij - aerosolov in I-131 (radioaktivnost zraka v okolju)¹⁶ je v letu 2021 potekalo na podoben način kot v preteklih letih, kar zagotavlja primerljivost z rezultati iz prejšnjih poročil oz. evalvacij.

Vzorčenje emisij NEK se opravlja na ventilacijskem izpustu z odvzemom reprezentativnega vzorca, ki se črpa skozi več merilnikov sevanja in vrača v ventilacijski izpust. Ločeno se vzorčijo tritij (H-3), ogljik (C-14) in Sr-90 za specifične analize s scintilacijskim spektrometrom beta ter aerosoli za izotopsko analizo sevalcev s spektrometrijo gama. Meritev žlahtnih plinov poteka neprekinjeno v posebnem merilnem zbiralniku. Vzorčenje in specifične analize tritija (H-3) in ogljika (C-14) je opravil IJS, meritve vzorcev filtrov za vzorčenje aerosolov na ventilacijskem izpustu pa NEK in IJS. V NEK so izvedene tudi meritve emisij joda ter žlahtnih plinov.

Aerosole smo vzorčili na osmih mestih v okolici NEK (slika 4.1): Spodnji Stari Grad – AE1 (1,5 km), Krško - Stara vas – AE2 (2,0 km), Leskovec – AE3 (3 km), Brege – AE4 (2,3 km), Vihre – AE5 (2,9 km), Gornji Lenart – AE6 (5,9 km), Spodnja Libna – AE7 (1,7 km) in Dobova – AE8 (12 km). Na istih mestih kot vzorčenje aerosolov je potekalo vzorčenje I-131 z izjemo lokacije v Dobovi. Vzorčenje za specifično meritev Sr-90 se je izvajalo v prvi polovici leta v Dobovi, v drugi polovici leta pa v Stari vasi, skladno z *NEK-RETS, Rev. 10*. Kontrolne meritve aerosolov so bile opravljene z vzorci, ki so bili pridobljeni z vzorčenjem na lokaciji v Ljubljani na dvorišču Instituta "Jožef Stefan" v okviru programa nadzora radioaktivnosti v življenjskem okolju v RS [18].



Slika 4.1: Načrt okolice NE Krško z vrisanimi okvirnimi lokacijami zračnih črpalk

¹⁵ Efektivna okoljska doza je izračunana iz izmerjenih koncentracij aktivnosti radionuklidov v okolju.

¹⁶ Radioaktivnost zraka v okolju združuje prispevke emisij NEK, globalnega onesnaženja in naravnega ozadja



Slika 4.2: Poleg zračnih črpalk v okolici NEK sta visoko zmogljivi črpalke v Ljubljani in v Dobovi

Vzorčenje aerosolov je potekalo z neprekinjenim prečrpavanjem zraka skozi aerosolne filtre. Ti se menjajo vsakih 15 dni, pri čemer se skozi njih prečrpa najmanj 10 000 m³ zraka mesečno. V Dobovi in na dvorišču IJS v Ljubljani (slika 4.2) poteka vzorčenje z zračnimi črpalkami, ki skozi filtre mesečno prečrpajo od 100 000 m³ do 150 000 m³ zraka. Izotopska analiza aerosolov se izvaja na sestavljenih mesečnih vzorcih z visokoločljivostno spektrometrijo gama. Vzorčenje in meritve vzorcev na vseh osmih mestih ter vzorčenje in meritve v Ljubljani je opravil IJS.

Zaradi specifičnih lastnosti I-131 in njegovih spojin je vzorčenje I-131 potekalo ločeno s črpalkami z manjšim pretokom in s posebnimi filtri iz steklenih mikrovlaknen in aktivnega oglja, prepojenega s trietilendiaminom. Filtri zbirajo atomski in molekularni jod (I, I₂), metiljodid (CH₃I), HI, HOI in jod, vezan na aerosole. Črpanje je neprekinjeno, filtri se menjajo vsakih 15 dni, skozi njih se prečrpa od 1 000 m³ do 1 400 m³ zraka. Specifična meritev adsorbiranega I-131 se izvaja z visokoločljivostno spektrometrijo gama. Vzorčenje in specifične meritve joda je opravil IJS.

Značilnosti meritev okoljskih vzorcev

Aktivnosti sevalcev žarkov gama in rentgenskih žarkov (to so vsi radionuklidi, navedeni v tabelah, razen Sr-89/Sr-90 in H-3) so bile izmerjene s spektrometrijo gama. Vsi spektrometri gama, ki so bili uporabljeni za meritve, ustrezajo kriterijem, ki so navedeni v *Pravilniku o monitoringu radioaktivnosti (JV10)* [8]. Meritve so bile opravljene po postopku *LMR-DN-10*. Rezultati meritev so sledljivi k aktivnostim primarnih standardov pri NIST, ZDA. Sistematski vplivi geometrije vzorca, matrike vzorca, gostote vzorca, koincidenčnih popravkov in hitrosti štetja na rezultate so upoštevani pri računu vseh aktivnosti. Negotovosti rezultatov so ocenjene v skladu z vodilom GUM in postopkom *LMR-RP-05*.

Ugotavljanje stroncija v okoljskih vzorcih temelji na raztapljanju vzorca v ustreznih raztopinah. V radiokemični separaciji ločimo stroncij od kalcija s kadečo se dušikovo kislino, po kateri nato sunke zaradi stroncija štejemo na proporcionalnem števcu. Izkoristek separacije določimo gravimetrično s tehtanjem oborine SrCO₃. Natančni postopek ugotavljanja Sr-89/Sr-90 s štetjem beta je opisan v standardnih delovnih navodilih *SDN-O2-STC(01)* in *DP-O2-STC(01)*.



REZULTATI MERITEV IN TIPIČNI ČASOVNI POTEKI

Rezultate meritev aerosolov na lokacijah na krško-brežiškem polju prikazujemo v tabelah od T-44 (Spodnji Stari Grad), T-45 (Krško – Stara Vas), T-46 (Leskovec), T-47 (Brege), T-48 (Vihre), T-49 (Gornji Lenart), T-50 (Libna) do T-51 (Dobova). V tabeli T-52 so prikazani rezultati meritev v Ljubljani, na dvorišču IJS, vzeti iz programa nadzora radioaktivnosti v življenjskem okolju v RS v letu 2021 [18]. Imisijske meritve oglenih filtrov, na katere se ulovijo plinasti izpusti I-131, so prikazane v tabeli T-43. Tabele z merskimi rezultati so na priloženi zgoščenci v poročilu *Merski rezultati – nadzor radioaktivnosti v okolici Nuklearne elektrarne Krško - Poročilo za leto 2021, IJS-DP-13759*, marec 2022. Pokaže se, da letno dozo lahko ocenimo iz danega mesečnega, četrletnega ali polletnega povprečja ob predpostavki, da je vnos hrane, vode ali zraka v telo in organizem človeka konstanten skozi celo leto. Pri vzorcih zraka je takšna predpostavka utemeljena.

V letu 2021 je bil redni remont NEK, ki je trajal od 1. 4. 2021 do 5. 5. 2021, ko se je začel 32. gorivni cikel. V času med remontom in po njem so navadno izpusti večji kot med rednim obratovanjem, kar velja za izpuste tritija (H-3), ogljika (C-14), joda in žlahtnih plinov.

Iz podatkov o meritvah vsebnosti plinov v izpuhu NEK, ki sta jih opravila NEK in IJS, ter iz podatka o nominalnem dnevnem izpuhu skozi glavni oddušnik (45,4 m³/s oziroma 163 583 m³/h oziroma 3 926 000 m³ na dan) so bile določene mesečne in letne emisije posameznih radionuklidov. Podatki so vzeti iz programa meritev plinastih efluentov (izvajalec IJS) [6] in podatkov o meritvah filtrov RM-24 na izviru, ki jih je posredoval NEK [5].

Tritij (H-3)

Tritija v zraku v okolju še ne merimo oziroma ni v programu meritev. Prisotnost tritija ocenjujemo z modelom razširjanja snovi po zraku na podlagi meritev na izviru.

Ogljik (C-14)

C-14 v zraku v okolju ne merimo oziroma ni v programu meritev obratovalnega nadzora. Prisotnost C-14 ocenjujemo z meritvami v okolju ob ograji NEK, ki je v izključitvenem območju, vendar rezultati meritev niso del programa obratovalnega nadzora. Vsebnost C-14 v zraku se ocenjuje tudi z modelom razširjanja snovi po zraku na podlagi meritev na izviru.

Cezij (Cs-137)

Od umetnih radionuklidov je bil v letu 2021 v aerosolih, zbranih na filtrih zračnih črpalk, zaznan le Cs-137, medtem ko so bile koncentracije Sr-90 v vseh četrletnih meritvah pod mejo detekcije. Njuna prisotnost v okolju je sicer posledica globalne kontaminacije, medtem ko je prispevek emisij NEK po modelni oceni nemerljiv. Izmerjene povprečne koncentracije aktivnosti Cs-137 v letu 2021 na posameznih merilnih mestih v okolici NEK, v Ljubljani in lokacijah v okviru nadzora radioaktivnosti v Republiki Sloveniji, so prikazane v tabeli 4.1. Za primerjavo so prikazana tudi večletna povprečja za posamezno lokacijo. Meritve aerosolov v okviru republiškega programa potekajo na lokacijah v Ljubljani (Institut "Jožef Stefan") in v Predmeji; dolgoletna merilna lokacija na Jareninskem vrhu je bila z letom 2018 zamenjana za Mursko Soboto (ZVD, Zavod za varstvo pri delu) [13], [14]. Iz tabele 4.1 lahko razberemo, da so bile povprečne koncentracije aktivnosti Cs-137 na lokacijah v okolici NEK v letu 2021 nižje od dolgoletnih povprečij. Povprečje po vseh lokacijah v okolici NEK za leto 2021 je dvakrat nižje kot drugod po Sloveniji. Večletno povprečje na Bregah (tabela 4.1) je za približno polovico višje od drugih lokacij v okolici NEK ali od vrednosti v Ljubljani in drugod po Sloveniji. Anomalijo lahko pripišemo okoljskim posebnostim na tej lokaciji.



Tabela 4.1: Primerjava večletnih povprečij izmerjenih mesečnih koncentracij aktivnosti Cs-137 v aerosolih v okviru nadzora radioaktivnosti v okolici NEK in v Republiki Sloveniji s podatki za leto 2021

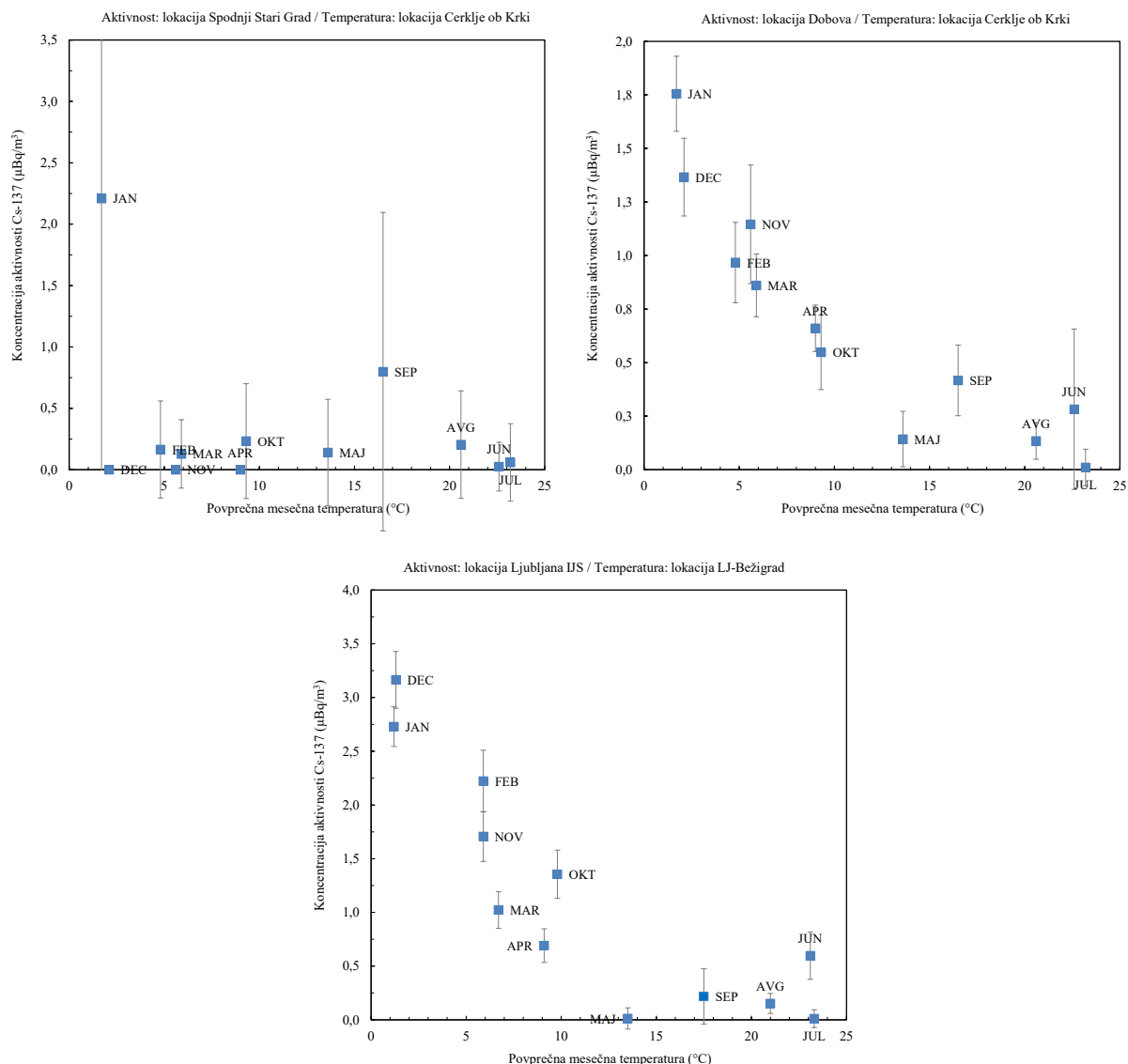
Lokacija	Od 2005 do 2020	2021
	Koncentracija aktivnosti (Bq/m ³)	
Spodnji Stari Grad	1,4E-06 ± 2E-07	3,3E-07 ± 2E-07
Stara vas	1,5E-06 ± 2E-07	6,7E-07 ± 4E-07
Leskovec	1,6E-06 ± 1E-07	5,1E-07 ± 2E-07
Brege	2,1E-06 ± 2E-07	4,1E-07 ± 3E-07
Vihre	1,3E-06 ± 3E-07	8,6E-07 ± 3E-07
Gornji Lenart	1,2E-06 ± 2E-07	2,1E-07 ± 2E-07
Spodnja Libna	1,1E-06 ± 3E-07	1,2E-07 ± 1E-07
Dobova	1,4E-06 ± 2E-07	6,9E-07 ± 6E-08
Povprečje NEK	1,2E-06 ± 2E-07	4,7E-07 ± 9E-08
Ljubljana	1,9E-06 ± 7E-08	1,2E-06 ± 6E-08
Murska Sobota	1,1E-06 ± 8E-07*	7,4E-7 ± 4E-7
Predmeja	2,6E-06 ± 8E-07	5,8E-6 ± 4E-6

* Samo od leta 2018 dalje

Tabela 4.2: Primerjava povprečij izmerjenih mesečnih koncentracij aktivnosti radionuklidov v aerosolih v okviru nadzora radioaktivnosti v okolici NEK in v Republiki Sloveniji za leto 2021

Vzorč.mesto	MURSKA SOBOTA*	PREDMEJA*	LJUBLJANA	POVPREČJE KRAJEV V OKOLICI NEK
IZOTOP	Povprečne mesečne koncentracije aktivnosti (Bq/m ³)			
Na-22			2,1E-07 ± 5E-08	7,1E-08 ± 4E-08
U-238	3,0E-06 ± 4E-06	8,0E-06 ± 2E-05	1,1E-06 ± 7E-07	1,1E-05 ± 2E-06
Ra-226	3,0E-06 ± 3E-06	4,4E-05 ± 6E-05	1,7E-07 ± 2E-06	3,2E-06 ± 2E-06
Pb-210	4,5E-04 ± 3E-04	2,7E-03 ± 2E-03	7,5E-04 ± 2E-05	5,8E-04 ± 8E-05
Ra-228	1,5E-06 ± 2E-06	6,0E-06 ± 8E-06	2,4E-07 ± 2E-07	4,5E-06 ± 7E-07
Th-230				2,9E-06 ± 2E-06
Th-228	2,8E-06 ± 4E-06	7,0E-06 ± 1E-05	2,7E-06 ± 2E-07	6,2E-06 ± 7E-07
K-40	2,9E-04 ± 6E-05	2,2E-03 ± 9E-04		
Be-7	2,9E-03 ± 2E-03	3,0E-02 ± 2E-02	4,3E-03 ± 6E-05	3,4E-03 ± 5E-04
I-131				
Cs-134				
Cs-137	7,4E-07 ± 4E-07	5,8E-06 ± 4E-06	1,2E-06 ± 6E-08	4,7E-07 ± 9E-08
Co-58				
Co-60				
Cr-51				
Mn-54				
Zn-65				
Nb-95				
Ru-106				
Sb-125				
Sr-89/Sr-90	Meritev ni v programu	Meritev ni v programu	Meritev ni v programu	3,2E-08 ± 2E-08

* Rezultati iz programa nadzora radioaktivnost v življenjskem okolju Republike Slovenije



Slika 4.3: Sezonska odvisnost koncentracij Cs-137 v zraku – Spodnji Stari Grad, Dobova in Ljubljana. Na večini lokacij okrog NEK so zaradi manjših prečrpanih volumnov vrednosti koncentracij Cs-137 zelo blizu meje detekcije ali kvantifikacije, v Dobovi in Ljubljani vzorčenje poteka z visoko pretočnima črpalkama, zato je korelacija med koncentracijo in povprečno mesečno temperaturo izrazitejša.

V izmerjenih povprečnih koncentracijah aktivnosti Cs-137 na filtrih vzorčevalnih črpalk je samo majhen del posledica resuspenzije Cs-137 iz zemlje. Iz literature ([63], [64], [2]) lahko namreč sklenemo, da je prispevek h koncentraciji aktivnosti Cs-137 v zraku v hladnih mesecih v veliki meri posledica uporabe trdih goriv (predvsem drv, briketov in peletov). V toplejših mesecih pa je prispevek kurjenja manj izrazit in je aktivnost najverjetneje posledica več dejavnikov: v največji meri resuspenzije s tal in lebdenja delcev v ozračju, v manjši meri pa prometa in industrije. Takšna temperaturna korelacija s koncentracijami Cs-137 v zraku je lepo vidna na sliki 4.3 za lokaciji Ljubljana in Dobova (visoko zmogljive črpalke) in manj izrazita za lokacijo Spodnji Stari Grad, kjer lahko potrdimo, da so izmerjene koncentracije Cs-137 v Sloveniji in tudi v okolici NEK posledica imisij. V okviru rednega nadzora življenskega okolja v RS v letu 2021 smo vzorčili domače pelete oziroma brikete ali tiste iz uvoza (Avstrija, Bosna in Hercegovina, Romunija, Slovenija) ([15], [17]). Specifične aktivnosti Cs-137 so bile od 1,4 Bq/kg do 6,6 Bq/kg. Iz podatkov o vsebnosti Cs-137 v lesnih kurivih lahko informativno ocenimo koncentracijo aktivnosti Cs-137 v zraku v bližini kurišč (do 500 m). V Sloveniji se približno četrtnina (23 %) od okrog 800 000 gospodinjstev ogreva



z lesno biomaso. Pri letni porabi okrog 1 200 kt za celotno Slovenijo je povprečna poraba slovenskega gospodinjstva, ki se ogreva le z lesno biomaso, okrog 6 500 kg na leto. Na podlagi teh podatkov in ob upoštevanju povprečne specifične aktivnosti 3,6 Bq/kg za 8 vzorcev iz programa, ([15], [17]) lahko ugotovimo, da je skupna letna izpuščena aktivnost Cs-137 v lesnih kurivih na gospodinjstvo 23 kBq. Ob zelo grobih predpostavkah, da se v okolje izpusti celotna količina Cs-137 pri zgorevanju lesa v peči, ob uporabi informativne vrednosti razredčitvenega faktorja na razdalji 500 m $\chi/Q=10^{-4}$ s/m³ (talni izpust) [18] in konstantnega izpusta s hitrostjo aktivnosti 3,1 10⁻³ mBq/s (predpostavili smo, da se peleti skurijo v 3 mesecih), dobimo oceno za koncentracijo aktivnosti Cs-137 v zraku 0,3 μBq/m³ v bližini hiše, kjer se za ogrevanje uporablja peč na trda goriva. Ta vrednost je nižja od povprečne koncentracije aktivnosti Cs-137 v zraku v Dobovi za tri zimske mesece v letu 2021, ki je 1,2 μBq/m³. Če upoštevamo prispevke nekaj gospodinjstev hkrati, pa dobimo že zelo primerljive vrednosti enakega velikostnega reda.

Stroncij (Sr-90)

Meritve stroncija Sr-90 v okolju se izvajajo v trimesečnih sestavljenih vzorcih. V letu 2021 so bile v prvi polovici leta meritve opravljene v Dobovi, v drugi polovici leta pa v Stari vasi. Povprečni koncentraciji aktivnosti v letu 2021 sta bili 6,5 E-7 v Dobovi, v Stari vasi pa 1,4 E-4 mBq/m³. Večletno povprečje koncentracije aktivnosti za Sr-90 je 0,65 μBq/m³. V zračnih izpustih NEK je bil v letu 2021 zaznan Sr-89/Sr-90.

Jod (I-131)

Mesečne koncentracije aktivnosti I-131 v zraku (ogleni filtri, tabela T-43) ali v aerosolih (tabele T-44 do T-51) so bile pod mejo detekcije.

Drugi aktivacijski in fisijski produkti

Med obratovanjem so bili v izpuhu NEK v letu 2021 zaznani izpusti Co-58, Co-60, Se-75, Ag-110m, Te-125m, Te-127m, Cs-137 in Sr-89/Sr-90, vendar teh radionuklidov, z izjemo Cs-137, nismo zaznali na nobenem od sedmih merilnih mest v okolici NEK, kjer so postavljene kombinirane črpalke, niti v Ljubljani. Cs-137 v zraku, izmerjen v zračnih filtrih, je posledica imisij. Zračni izpusti so navedeni v tabeli 4.3.

Naravni radionuklidi

Rezultate meritev naravnih radionuklidov v aerosolih v okolju na posameznih mestih je težko povezati v smiselne sklepe (tabela 4.2), saj so koncentracije aktivnosti radionuklidov lahko odvisne od vremenskih, geografskih in/ali geoloških razmer. Pri Be-7 in Pb-210 je ujemanje v okviru negotovosti povprečja dobro. Povprečna koncentracija aktivnosti Be-7 v letu 2021 v okolici NEK je bila 3 368 μBq/m³, Pb-210 pa 585 μBq/m³. V Ljubljani sta bili ustrezni vrednosti 4 640 μBq/m³ in 751 μBq/m³, v Murski Soboti 2 944 μBq/m³ in 454 μBq/m³ in na Predmeji 29 600 μBq/m³ in 2 721 μBq/m³. Za kozmogeni Be-7 ugotavljamo, da je bila v okviru negotovosti povprečij na vseh vzorčevalnih mestih v okolici NEK, Murski Soboti in v Ljubljani izmerjena primerljiva vrednost, izjema je lokacija Predmeja, kjer so vrednosti za velikostni red višje, kar je najverjetneje lastnost dobro prevetrene lokacije in posledično višjih koncentracij v zraku. Podobno velja tudi za Pb-210. Taka ugotovitev je pričakovana predvsem za lokacije s podobnim padavinskim režimom in ustrezno podobnim izpiranjem aerosolov iz ozračja ter prehajanjem zračnih mas iz višjih plasti atmosfere. Letna količina padavin v okolici NEK je tipično za okrog 22 % nižja kot v Ljubljani, kot kaže večletno povprečje [89]: v letu 2021 pa jih je bilo okrog 37 % manj.

Pri drugih naravnih radionuklidih so razlike med posameznimi merilnimi mesti v okolici NEK, v Ljubljani in drugih lokacijah po Sloveniji večje (tabela 4.2). Neujemanje lahko pripišemo različni sestavi tal, bližini obdelovalnih polj ter neupoštevanju izhajanja radona iz vzorca pri meritvah Ra-226 za vzorce iz Predmeje in Murske Sobote ter uporabi zračnih črpalk z različnimi pretoki. Meritve koncentracije aktivnosti radionuklidov v aerosolih v Ljubljani se zaradi najbolj zmogljive črpalke v primerjavah uporabljajo kot referenčne. Zračna črpalka na vzorčevalnem mestu v Ljubljani prečrpa približno desetkrat več zraka kot črpalka v okolici NEK, razen v Dobovi, kjer je enaka črpalka kot v Ljubljani. Ob upoštevanju teh dejstev



lahko sklenemo, da so vrednosti naravnih radionuklidov v zraku v okolici NEK podobne tistim, ki smo jih izmerili v okviru nadzornih meritev radioaktivnosti v Republiki Sloveniji ([13], [14], [15]).

Izvajalec meritev med izmerjenimi radionuklidi v okolju poroča tudi o Na-22 od leta 2008 dalje. Podobno kot Be-7 je Na-22 kozmogeni radionuklid, njegove koncentracije pa so navadno okrog 10 000-krat nižje od koncentracij Be-7. V letu 2021 je bila v Ljubljani povprečna koncentracija aktivnosti Na-22 $0,21 \mu\text{Bq}/\text{m}^3$.

Tabela 4.3: Zračni izpusti iz ventilacijskega izpusta NEK v letu 2021 na višini 60 m

	Radionuklid	Letni izpust (Bq)
Pare, plini	I-131	1,8E+05
	I-132	–
	I-133	–
	I-135	–
	HTO	5,8E+12
	HT + CHT	9,0E+11
	C-14 v CO ₂	9,2E+10
	C-14 v CH ₄	1,1E+10
Aerosoli	Mn-54	–
	Co-57	–
	Co-58	1,5E+04
	Co-60	5,6E+03
	Nb-95	–
	Zr-95	–
	Ru-103	–
	Ag-110m	9,4E+02
	Sb-125	–
	Te-123m	–
	Te-125m	7,8E+03
	Te-127m	2,4E+04
	Cs-137	1,3E+06
	Fe-55	–
Sr-89/Sr-90	7,5E+02	
Se-75	1,2E+05	
Žlahtni plini	Xe-131m	8,4E+11
	Xe-133	7,3E+07
	Xe-133m	–
	Xe-135	–
	Xe-135m	–
	Ar-41	8,1E+09
	Kr-85	–
	Kr-85m	–
Skupna izpuščena aktivnost za pare, pline in aerosole		6,8E+12
Skupna izpuščena aktivnost žlahtnih plinov		8,5E+11
Skupna izpuščena aktivnost		7,7E+12



OCENA UČINKOV

Ker so koncentracije aktivnosti radionuklidov v aerosolih, ki izvirajo iz drugih virov (globalno onesnaženje z umetnimi radionuklidi, naravna radioaktivnost) dosti večje od koncentracij aktivnosti radionuklidov v razredčenih zračnih izpustih NEK (imisijah) na lokacijah vzorčenja aerosolov, prispevka slednjih ni mogoče izolirati. Pri oceni koncentracij aktivnosti umetnih radionuklidov, ki so v zračnih izpustih iz NEK, si pomagamo z računskimi modeli, ki na posameznih lokacijah ocenijo razredčitev aktivnosti radionuklidov od točke izpusta. Za zahtevne razmere, kakršne nastopajo v okolici NE Krško, od 2007 dalje namesto Gaussovega uporabljamo Lagrangeev model širjenja izpuščenih snovi v zraku, upoštevajoč konfiguracijo tal in dejanske meteorološke razmere. Model uporablja vse merjene podatke sistema ekološkega informacijskega sistema EIS, ki ga upravlja NEK. Za emisije je to pretok plinov skozi glavni izpuh. Model uporablja še temperaturo in druge meteorološke parametre ter hitrost izpuščenih plinov in presek ventilacijskega izpusta. Po posvetovanju z NEK je bila za temperaturo dimnih plinov določena temperatura 25 °C.

Glavni izpust je v model postavljen z realnimi koordinatami: UTM33: X = 539944 Y = 5087290 in višina 60 m. Model ne vidi reaktorske zgradbe, ker ima ločljivost 250 m, področje opiše z uporabo terena "industrija", ki ima zelo veliko hrapavost terena [3].

Model s temi podatki in tridimenzionalno meteorologijo izpušča delčke na vsakih 10 sekund in jih usmerja glede na njihovo kinetično in toplotno energijo, ki jo imajo na izstopu iz ventilacijskega sistema, ter glede na vremenske razmere v prostoru, kjer so delci. Dimnega dviga model ne računa eksplicitno, temveč kot povprečje dvigov posameznih delčkov.

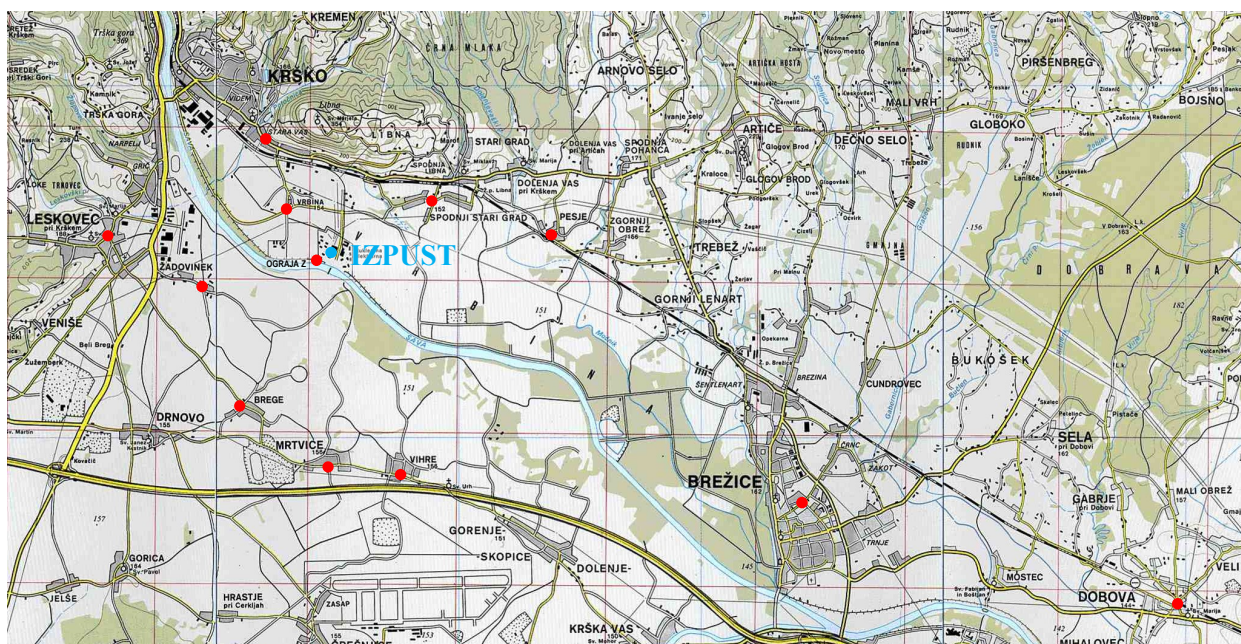
Koncentracije aktivnosti izpuščenih snovi v zunanjem zraku (imisije) na določeni lokaciji proč od izpusta ocenimo na podlagi razredčitvenih koeficientov (χ/Q) iz modela širjenja. Razredčitveni koeficient je normirano merilo za redčenje v ozračju in nam pove, kolikšna je koncentracija izpuščene snovi v obravnavani točki okolja pri enotski emisiji 1 Bq/s. Razredčitveni koeficient se izračuna iz meteoroloških podatkov za vsak polurni interval v obravnavanem letu posebej, in sicer za mrežo celic na obravnavanem območju modeliranja (25 km × 25 km z NEK v središču). Nato se za vsako celico izvede časovno povprečenje razredčitvenega koeficienta ob predpostavki konstantne emisije v tem časovnem intervalu.

Kot lokacije za izračun razredčitvenih faktorjev in kasneje tudi za oceno doz so bila izbrana nekatera naselja bodisi v neposredni bližini NEK bodisi z večjim številom prebivalcev. Lokacije so navedene v tabeli 4.4 in prikazane na sliki 4.4.

Tabela 4.4: Razredčitveni koeficienti (χ/Q)/(s/m³)^{*} v letu 2021 za naselja v okolici NEK, ki jih je izračunalo in posredovalo podjetje MEIS storitve za okolje z uporabo Lagrangeevega modela

2021	Sp. Stari Grad 1,5 km	Vrbina 0,8 km	Brežice 7,1 km	Vihre 3,1 km	Mrtvice 2,8 km	Brege 2,3 km	Žadovinek 1,7 km	Leskovec 2,9 km	Krško - Stara vas 1,7 km	Pesje 3,0 km	Dobova 12,1 km	Ograja NEK 0,2 km
Januar	3,75E-07	2,17E-07	2,06E-08	2,47E-08	4,83E-08	1,23E-07	3,46E-07	2,19E-07	1,60E-07	3,35E-07	4,81E-08	3,28E-07
Februar	2,81E-07	1,75E-07	5,16E-08	2,46E-08	4,92E-08	1,16E-07	2,23E-07	1,41E-07	9,51E-08	2,17E-07	3,56E-08	3,66E-07
Marec	2,58E-07	1,78E-07	6,70E-08	6,10E-08	9,07E-08	1,88E-07	1,37E-07	1,05E-07	1,03E-07	2,08E-07	1,55E-08	2,83E-07
April	3,23E-07	1,71E-07	4,28E-08	2,74E-08	5,31E-08	1,51E-07	2,35E-07	1,72E-07	9,16E-08	1,98E-07	2,52E-08	3,20E-07
Maj	3,69E-07	2,72E-07	7,44E-08	4,64E-08	7,12E-08	1,25E-07	2,21E-07	1,10E-07	9,77E-08	2,95E-07	1,23E-08	4,21E-07
Junij	3,99E-07	4,73E-07	1,25E-07	9,80E-08	1,38E-07	2,29E-07	2,42E-07	1,26E-07	1,23E-07	3,41E-07	7,04E-09	1,91E-06
Julij	4,97E-07	3,38E-07	9,38E-08	9,59E-08	1,31E-07	3,37E-07	3,83E-07	1,02E-07	1,05E-07	3,99E-07	1,21E-08	2,20E-06
Avgust	4,02E-07	5,13E-07	1,30E-07	1,59E-07	2,07E-07	3,91E-07	5,59E-07	1,91E-07	1,40E-07	2,76E-07	2,10E-08	2,13E-06
September	5,43E-07	3,32E-07	1,39E-07	8,39E-08	1,29E-07	2,39E-07	3,06E-07	1,25E-07	8,12E-08	3,96E-07	1,00E-08	1,02E-06
Oktober	4,41E-07	3,14E-07	1,08E-07	7,83E-08	9,92E-08	2,25E-07	3,08E-07	1,65E-07	1,30E-07	4,21E-07	2,19E-08	6,14E-07
November	3,84E-07	2,65E-07	5,80E-08	4,56E-08	8,24E-08	1,82E-07	5,07E-07	2,38E-07	1,34E-07	4,29E-07	7,79E-08	6,28E-07
December	6,47E-07	2,32E-07	4,45E-08	2,63E-08	4,84E-08	1,05E-07	2,67E-07	2,18E-07	2,33E-07	5,41E-07	2,37E-08	3,75E-07

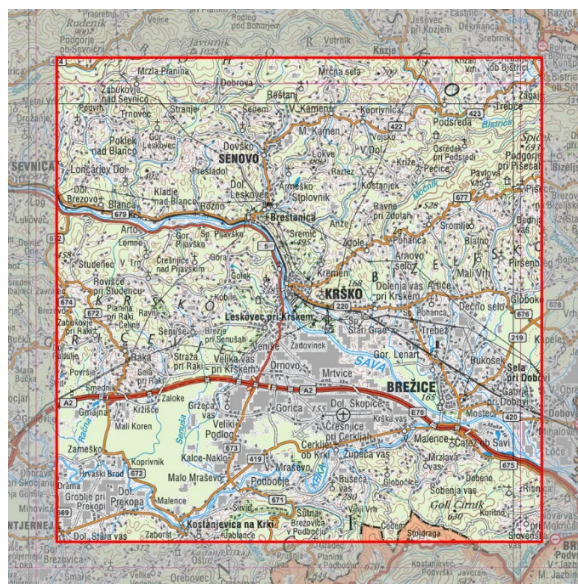
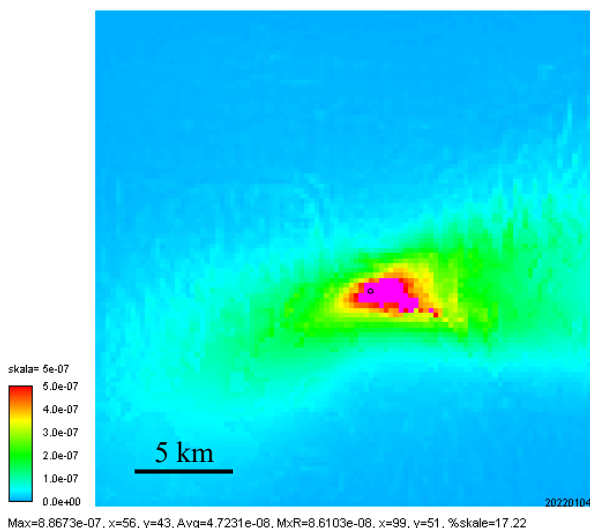
* Drsniški v posameznih celicah pomenijo relativno velikost razredčitvenega faktorja, posebej za ograjo NEK (okvirno velja tudi za razdaljo 500 m od osi reaktorja) (rdeče), in za vse druge lokacije skupaj (sivo). Tako so hitro razvidne morebitne sezonske/meteorološke variacije.



Slika 4.4: Načrt okolice NE Krško z vrisanimi okvirnimi lokacijami za bližnja naselja, v katerih so izračunani razredčitveni faktorji in naknadno izračunane doze

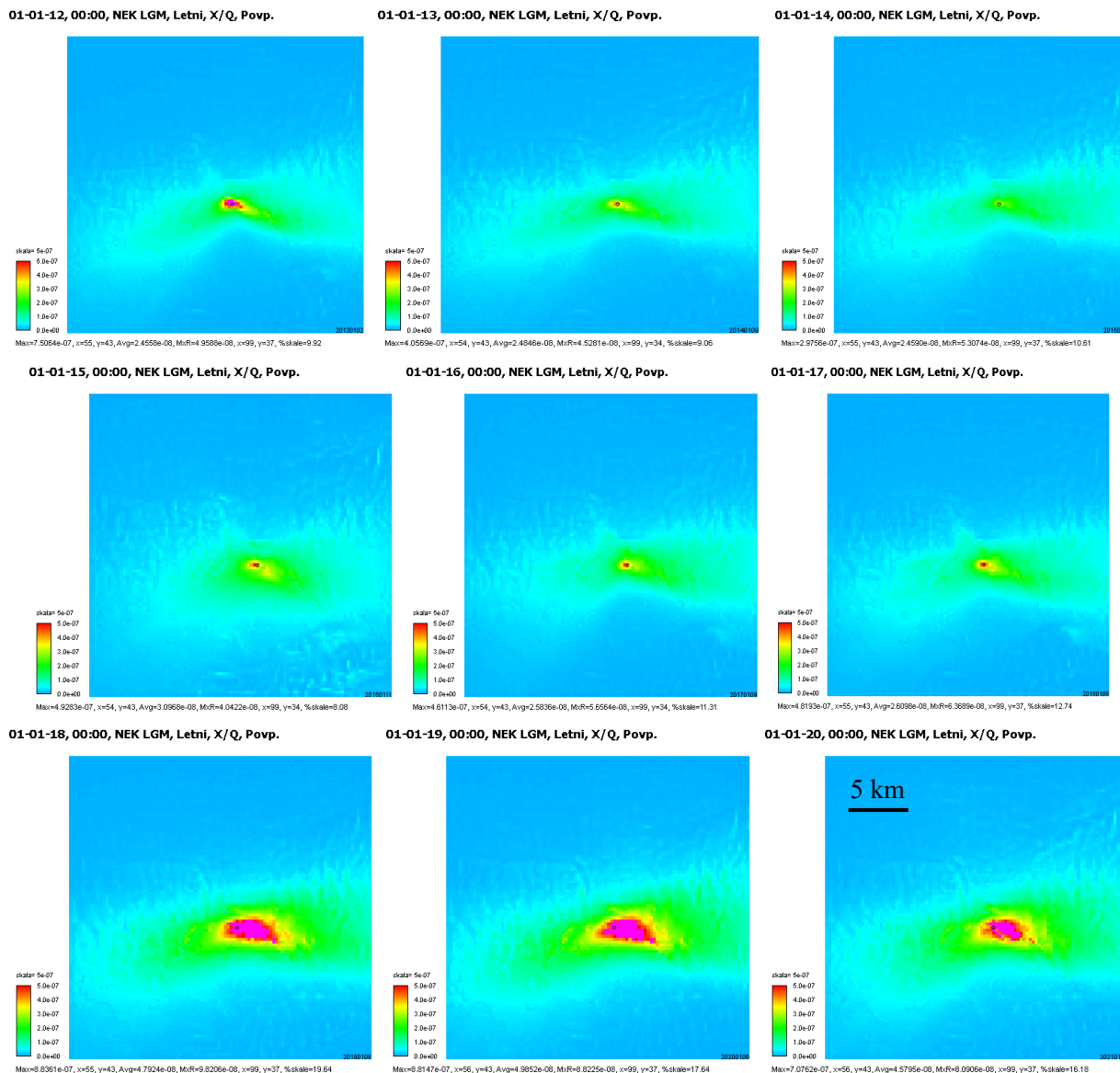
Na slikah 4.5a in 4.5b so predstavljeni povprečni letni razredčitveni koeficienti (χ/Q), na osnovi izračunanih mesečnih koeficientov χ/Q , tako za leto 2021 (slika 4.5a) in za primerjavo še iz prejšnjih let od 2012 do 2020 (slika 4.5b). Na slikah je vidno, da sta prevladujoči smeri, v katerih se v povprečju gibljejo izpusti NEK, jugozahod in jugovzhod.

01-01-21, 00:00, NEK LGM, Letni, χ/Q , Povp.



a) Leto 2021

Slika 4.5a: Povprečni letni razredčitveni koeficienti (χ/Q) z enoto s/m^3 , izračunani po Lagrangeevem modelu za izpust z višine 60 m za okolico NEK za leto 2021 (območje modeliranja je v rdečem okviru, 25 km × 25 km) [90]. Podatke je izračunal in posredoval MEIS, storitve za okolje.



a) Leta od 2012 do 2020

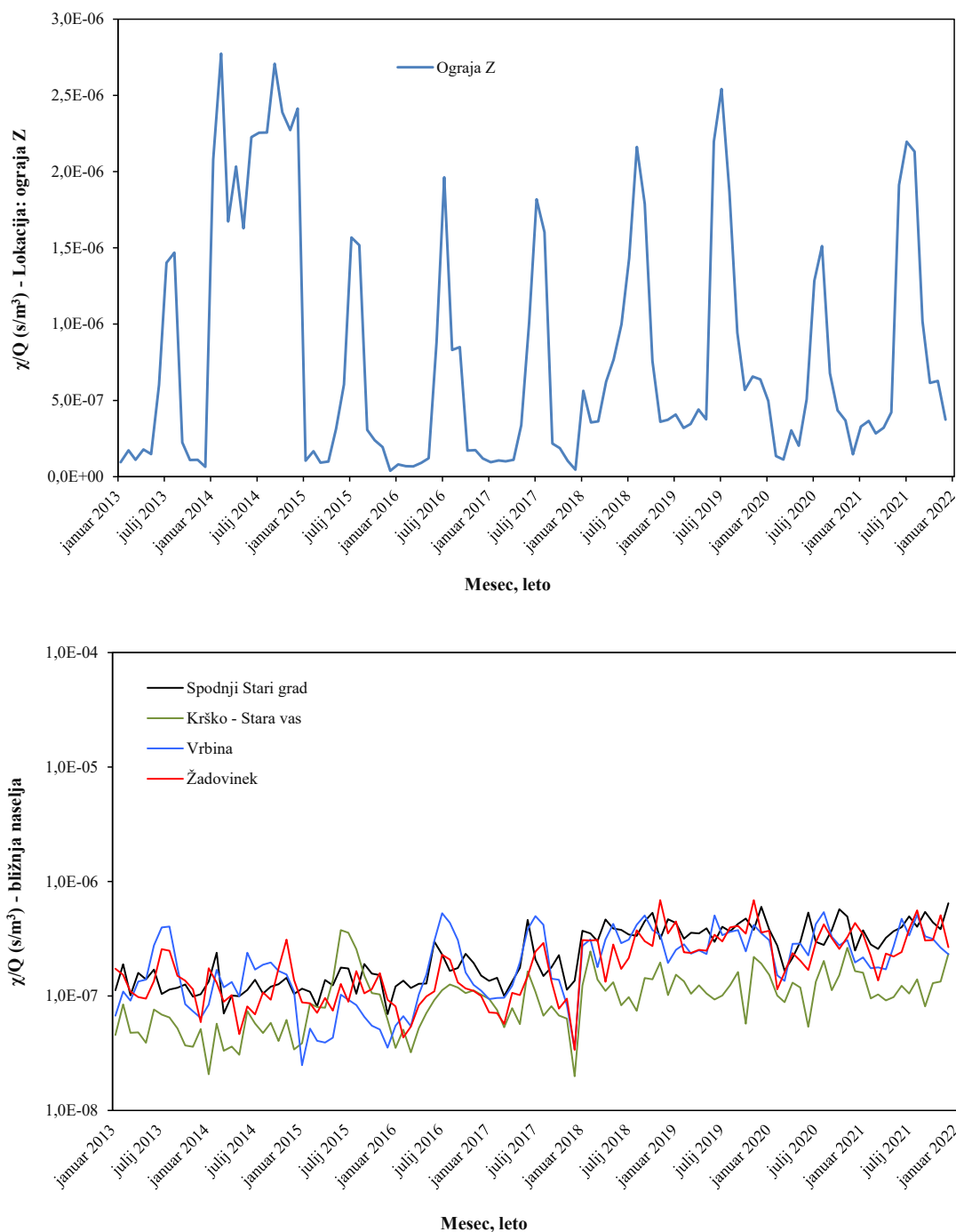
Slika 4.5b: Povprečni letni razredčitveni koeficienti (χ/Q) z enoto s/m^3 , izračunani po Lagrangeevem modelu za izpust z višine 60 m za okolico NEK za leta 2012–2020.

Podatke je izračunal in posredoval MEIS storitve za okolje.

Na sliki 4.6 je prikazan časovni potek rezultatov modeliranja z Lagrangeevim modelom, kjer so prikazani mesečni povprečni razredčitveni koeficienti od leta 2013 dalje. Na zgornjem grafu je časovni potek za najbližjo lokacijo izpusta, in sicer na zahodni ograji NEK, na spodnjem grafu slike 4.6 pa časovni potek za bližnja naselja Spodnji Stari Grad, Vrbina, Krško – Stara vas in Žadovinek. Na zahodni ograji NEK je zelo močno viden vpliv stabilnega vremena in s tem manjšega redčenja, kjer so razredčitveni faktorji v poletnih mesecih zelo visoki v primerjavi z ostalimi meseci. Takšni vrhovi so bistveno manj izraziti na ostalih lokacijah Spodnji Stari Grad, Vrbina, Krško – Stara vas in Žadovinek, ki so bolj oddaljene od mesta izpusta.



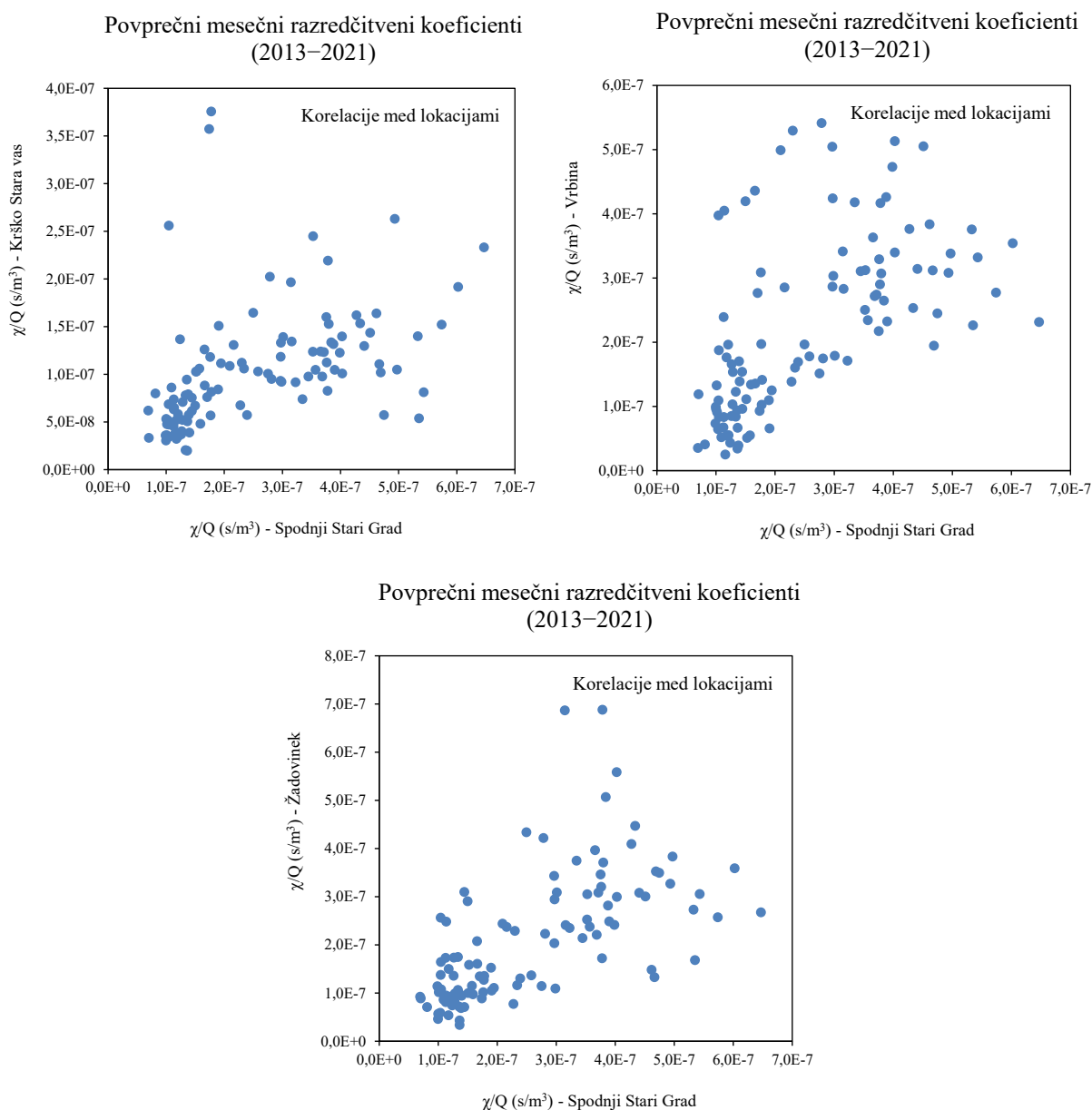
V časovnem poteku povprečnih mesečnih razredčitvenih faktorjev je opazen dvig faktorjev od vključno leta 2018 dalje na lokacijah Spodnji Stari Grad, Vrbina in Žadovinek. Kakšnih posebnih pojasnil nimamo, najverjetneje so bile meteorološke razmere takšne, da je bilo vreme v povprečju stabilnejše in posledično razredčitveni faktorji višji.



Slika 4.6: Povprečni mesečni razredčitveni koeficienti (χ/Q) z enoto s/m³, izračunani po Lagrangeevem modelu za izpust z višine 60 m za okolico NEK za leta 2013–2021. Podatke je izračunal in posredoval MEIS, storitve za okolje.



Kot je bilo ugotovljeno in je lepo vidno na slikah 4.5a in 4.5b, sta prevladujoči smeri, v katerih se v povprečju gibljejo izpusti NEK, jugozahod in jugovzhod. Zato smo preverili, ali so takšne smeri gibanja izpustov med seboj korelirane, oziroma antikorelirane. Na sliki 4.7 smo primerjali med seboj mesečne razredčitvene koeficiente na referenčni lokaciji in v bližnjih naseljih okrog NEK – Vrbinja, Krško – Stara vas ter Žadovinek. Lokacije za prikaz na sliki 4.7 so izbrane v različnih smereh glede na točko izpusta. V primeru sezonsko prevladujočih smeri vetrov oziroma smeri razširjanja izpustov, bi morali biti razredčitveni faktorji na različnih straneh od izpusta NEK antikorelirani, vendar na sliki 4.7 to ni opazno. Zato lahko privzamemo, da se vreme oziroma smer razširjanja v okolici NEK spreminja z urno ali dnevno periodo.



Slika 4.7: Korelacija povprečnih mesečnih razredčitvenih koeficientov (χ/Q) z enoto s/m^3 , na referenčni lokaciji Spodnji Stari Grad in v bližnjih naseljih za leta 2013–2021. Podatke je izračunal in posredoval MEIS storitve za okolje.



Meritve emisij na izpuhu NEK opravljata NEK in IJS. V tabeli 4.3 so pri aerosolih predstavljene vrednosti, ki so dobljene tako, konservativno upoštevamo višjo vrednost od obeh izvajalcev. O aktivnosti žlahtnih plinov poroča le NEK. Iz teh meritev in podatkov o izračunanih povprečnih mesečnih razredčitvenih koeficientih (χ/Q) za posamezna mesta v okolici NEK (tabela 4.4) lahko izračunamo inhalacijski in imerzijski prispevek k letni efektivni dozi zaradi zračnih emisij NEK.

Pri tem je treba povedati, da se pri poročanju o merskih rezultatih v bližini meje detekcije uporablja priporočilo Evropske komisije [60], ki določa, da se navede četrtnina meje detekcije (MDA) določenega radionuklida za vsak mesec, če je le-ta bil detektiran vsaj enkrat v letu. Takšen način poročanja lahko pomeni, da je letna izpuščena aktivnost precenjena in torej zelo konservativna. v letu 2015 se je tako pokazalo, da je bil izpust Cs-137 precenjen za 72 %, Ru-103 za 42 %, Xe-131m za 59 % itd. Teoretično bi lahko le ob eni mesečni meritvi tik ob meji detekcije bila navedena letna aktivnost, ki je 3,75-krat višja od dejansko izmerjene ($11 \times 0,25 MDA + 1 MDA$). Tako sta tudi ocenjeni efektivni dozi zaradi vdihavanja in zunanjšega sevanja žlahtnih plinov lahko precenjeni za nekaj odstotkov (v letu 2015 na primer 5 %), v ekstremnih primerih pa celo bistveno več. Tovrstno poročanje je pomanjkljivo tudi s stališča metrologije, saj se izgubi informacija o negotovosti rezultatov meritev in letne vsote [58].

Metodologija izračuna efektivne doze za referenčne osebe zaradi radioaktivnosti v zraku

Iz tabele 4.3 je razvidno, da skozi ventilacijski izpust uhaja največ tritija v obliki vodne pare (HTO). To je glavni prispevek k modelski oceni efektivne doze zaradi vdihavanja na izbranih lokacijah v okolici NEK (tabela 4.5). Znatne so tudi izpuščene aktivnosti žlahtnih plinov, vendar je treba v tem primeru za modelsko oceno efektivne doze¹⁷ upoštevati imerzijo oziroma zunanje sevanje, ki pa je za red velikosti nižja od efektivne doze zaradi vdihavanja hlapov, plinov in partikulatov z radionuklidi iz NEK, izračunane na lokacijah v okolici NEK (tabela 4.7).

Iz podatkov o meritvah mesečnih emisij posameznih radionuklidov (tabela 4.3) ter iz izračunanih mesečnih razredčitvenih koeficientov (χ/Q) (tabela 4.4), so bile izračunane koncentracije aktivnosti posameznih radionuklidov po mesecih a_{jl} na lokaciji l :

$$a_{jl, \text{mes}} = a_{js, \text{mes}} \cdot \Phi_v \cdot (\chi/Q)_l \quad (4.1)$$

Tu je a_{js} mesečna koncentracija aktivnosti radionuklida j na točki izpusta, Φ_v pretok oziroma hitrost izpusta v enotah m^3/s ter $(\chi/Q)_l$ razredčitveni faktor na lokaciji l v enotah s/m^3 .

Namen spremljanja radioaktivnosti v vzorcih zraka je ocena doz, ki jih prejmejo prebivalci v okolici NEK zaradi notranjega obsevanja (vdihavanje) in zunanjšega obsevanja. Predvidena efektivna doza $E_{l, \text{inh}, \text{mes}}(g)$, ki jo prejme referenčna oseba v starostni skupini prebivalstva g v enem mesecu na lokaciji l , se ugotavlja kot vsota vseh prispevkov zaradi vnosa različnih radionuklidov z vdihavanjem:

$$E_{l, \text{inh}, \text{mes}}(g) = \sum_j h(g)_{j, \text{inh}} A_{jl, \text{inh}, \text{mes}} \quad (4.2)$$

pri čemer je $h(g)_{j, \text{inh}}$ efektivna doza na enoto vnosa j -tega radionuklida zaradi vdihavanja, izražena v Sv/Bq [10], in $A_{jl, \text{inh}, \text{mes}}$ posamezni mesečni vnos j -tega radionuklida z vdihavanjem, izražen v Bq. V našem primeru mesečni vnos j -tega radionuklida $A_{jl, \text{inh}, \text{mes}}$ izračunamo kot:

$$A_{jl, \text{inh}, \text{mes}} = a_{jl, \text{mes}} \frac{1}{12} V(g) \quad (4.3)$$

kjer je $a_{jl, \text{mes}}$ koncentracija/specifična aktivnost j -tega radionuklida iz enačbe (4.1) in $V(g)$ letna hitrost dihanja za določeno starostno skupino g . V enačbi (4.3) smo privzeli, da je hitrost dihanja enakomerna celo leto. Z upoštevanjem ustreznih doznih pretvorbene faktorjev $h(g)_{j, \text{inh}}$ ([10], [37]) za posamezne

¹⁷ Za oceno obremenitve prebivalstva zaradi izpustov iz jedrskega objekta se uporablja referenčna oseba, ki predstavlja posameznika iz prebivalstva, ki prejmejo ali bi lahko prejeli najvišje doze.



radionuklide in posamezno starostno skupino dobimo oceno za mesečni prispevek posameznega radionuklida k letni dozi. Letna efektivna doza zaradi vdihavanja za posamezno starostno skupino referenčne osebe je potem vsota mesečnih efektivnih doz, ki jih izračunamo iz enačbe (4.2).

Efektivno dozo zaradi imerzije (zunanjšega sevanja) izračunamo ob predpostavki zanemarljivega prispevka inhalacije (vdihavanja) žlahtnih plinov v primerjavi z zunanjim sevanjem, ki ga povzroča polneskončni oblak žlahtnih plinov. Mesečno efektivno dozo zaradi imerzije na lokaciji l izračunamo kot:

$$E_{l,im,mes} = \sum_j h_{j,im} A_{jl,im,mes} \quad (4.4)$$

pri čemer je $h_{j,im}$ efektivna doza ((Sv/d)/(Bq/m³)) j -tega radionuklida, prejeta v enem dnevu na enoto koncentracije aktivnosti v zraku ([10], [37]). Pretvorbeni dozni koeficienti so enaki za vse starostne skupine. Aktivnost $A_{jl,im,mes}$ na lokaciji l izračunamo iz zveze, ki jo podaja enačba:

$$A_{jl,im,mes} = A_{jS,mes} (\chi/Q)_l \quad (4.5)$$

kjer je $A_{jS,mes}$ izpuščena mesečna aktivnost, pomnožena s pretokom in obdobjem izpuščanja, in $(\chi/Q)_l$ razredčitveni faktor na lokaciji l . Letna efektivna doza zaradi imerzije je potem za vse starostne skupine vsota mesečnih efektivnih doz, ki jih izračunamo iz enačbe (4.4).

Pri opisu metodologije izračuna doz je treba poudariti, da je za oceno prispevka NEK k dozi smiselno upoštevati le vrednosti, dobljene z modelnimi izračuni (enačba 4.1) emisij. Tako lahko ugotovimo na primeru tipično merljivega umetnega radionuklida Cs-137 v okolju, da izmerjene mesečne koncentracije aktivnosti, ki na aerosolnih filtrih v okolici NEK znašajo nekaj $\mu\text{Bq/m}^3$, niso posledica izpustov iz NEK, temveč posledica imisij oziroma splošne onesnaženosti okolja zaradi černobilske nesreče in poskusnih jedrskih eksplozij v petdesetih in šestdesetih letih dvajsetega stoletja ter v manjši meri nesreče v Fukušimi. V letu 2021 je bil tako med izpusti NEK radionuklid Cs-137 prisoten v majhni količini 1,3 MBq, meritve na filtrih v okolici NEK pa so pokazale koncentracije, primerljive s preteklimi leti. Iz meritev izpustov v preteklih letih smo že večkrat pokazali, da so koncentracije aktivnosti Cs-137, modelsko izračunane iz enačbe (4.1), tudi v primeru najvišje izračunane mesečne koncentracije več velikostnih razredov nižje od izmerjenih vrednosti v okolju.

Imisijske doze NEK (izračun iz emisij in modelsko ugotovljenih koncentracij aktivnosti radionuklidov na mestih vzorčenja)

Na podlagi zgoraj opisane metodologije je tako narejen izračun imisijskih doz, tj. preko izpustov NEK z modelskimi preračuni dobljenih koncentracij radionuklidov v zraku in z upoštevanjem ustreznih pretvorbenih faktorjev. V tabelah 4.5 in 4.6 so izračunane inhalacijske in imerzijske doze v okolici NEK. Najvišje izračunane doze so bile v letu 2021 v Spodnjem Starem Gradu in nato v Pesju, kjer so stopnje razredčitve najnižje.

Iz povprečnih mesečnih koncentracij aktivnosti za okolico NEK ter za Ljubljano so izračunane predvidene efektivne doze za tri starostne skupine: 1) odrasle, starejše od 17 let, 2) otroke, stare od 7 do 12 let, in 3) dojenčke, stare do enega leta (tabela 4.8). Pri tem smo upoštevali dozne pretvorbene faktorje $h(g)_{j,inh}$ (predvidena efektivna doza na enoto vnosa) iz referenc [10] in [37] in hitrosti dihanja 17 L/min (9 000 m³ na leto) za odraslega posameznika, 10,6 L/min za otroka (5 585 m³ na leto) in 2,0 L/min (1 044 m³ na leto) za dojenčka. Metodologija sledi priporočilom ICRP 101 [37] in daje konservativnejšo oceno doze kot določbe uredbe UV2 [10].



Tabela 4.5: Ocenjene letne učinkovite doze zaradi inhalacije (vdihavanja) in imerzije (zunanje sevanje) posameznih radionuklidov zaradi izpustov NEK za odraslega prebivalca (referenčne osebe) na lokaciji Spodnji Stari Grad (smer VSV, razdalja 1,5 km od osi reaktorja) in na najbližji lokaciji na ograji NEK, ki je v izključitvenem območju (0,2 km) – prispevki v letu 2021

	Radionuklid	Letna učinkovita doza (μSv)	
		Spodnji Stari Grad	Ograja NEK (okvirno velja tudi na razdalji 500 m od osi reaktorja)
Pare, plini (inhalacija - vdihavanje)	I-131	1,5E-07	2,9E-07
	I-132		
	I-133		
	I-135		
	HTO	1,1E-02	1,8E-02
	HT + CHT	1,7E-05	3,1E-05
	C-14 v CO_2	5,7E-05	9,3E-05
	C-14 v CH_4	6,0E-04	7,4E-04
Aerosoli (inhalacija - vdihavanje)	Mn-54		
	Co-57		
	Co-58	2,8E-09	2,8E-09
	Co-60	1,6E-08	1,6E-08
	Zr-95		
	Nb-95		
	Ru-103		
	Ag-110m	1,0E-09	1,0E-09
	Sb-125		
	Te-123m		
	Te-125m	4,1E-10	6,2E-10
	Te-127m	2,8E-08	4,2E-08
	Cs-137	6,7E-06	1,4E-05
	Fe-55		
Sr-89/90	1,6E-08	3,0E-08	
Se-75	2,0E-08	7,5E-08	
Žlahtni plini (imerzija - zunanje sevanje)	Xe-131m	1,2E-04	2,0E-04
	Xe-133	3,3E-08	3,7E-08
	Xe-133m		
	Xe-135		
	Xe-135m		
	Ar-41	1,9E-04	3,8E-04
	Kr-85		
	Kr-85m		
Inhalacijska doza		1,1E-02	1,9E-02
Imerzijska doza		3,1E-04	5,8E-04
DOZA – SKUPAJ		1,2E-02	1,9E-02



Tabela 4.6: Letne efektivne doze zaradi inhalacije (vdihavanja) in imerzije (zunanjega sevanja) zaradi izpustov NEK ter prispevka H-3 in C-14 za odraslega prebivalca (referenčna oseba) na referenčni lokaciji Spodnji Stari Grad in na najbližji lokaciji na ograji NEK (okvirno tudi na razdalji 500 m od osi reaktorja) za zadnjih 10 let

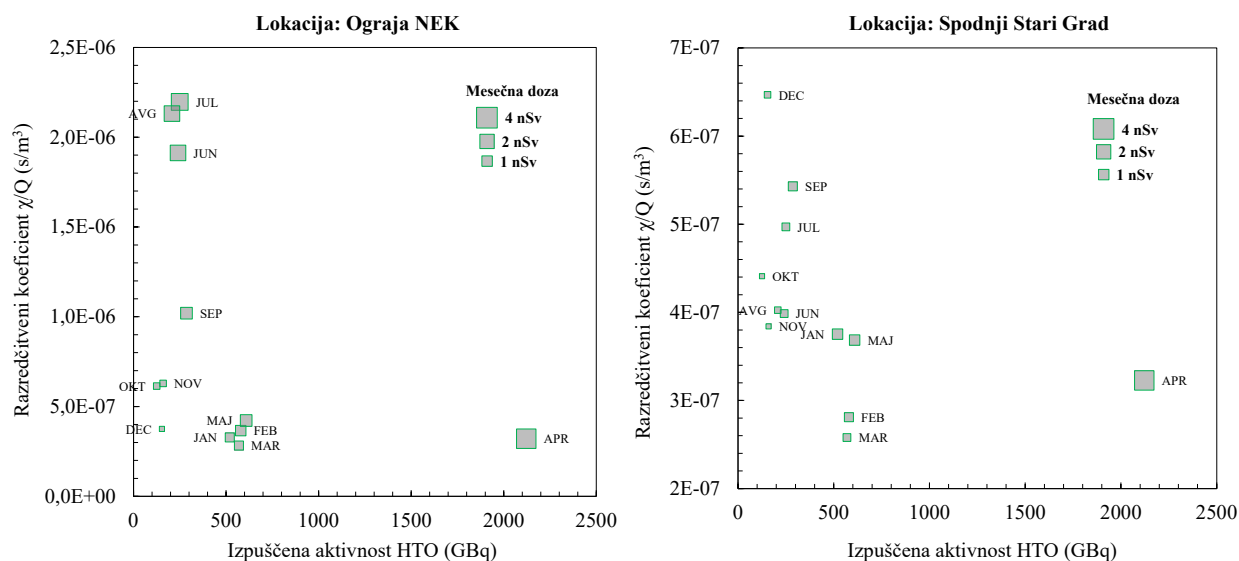
Leto	Spodnji Stari grad				Ograja NEK (okvirno tudi za razdaljo 500 m od osi reaktorja)			
	H-3	C-14	Letna inhalacijska doza (nSv)	Celotna letna doza (nSv)	H-3	C-14	Letna inhalacijska doza (nSv)	Celotna letna doza (nSv)
	Prispevek k celotni dozi (nSv)				Prispevek k celotni dozi (nSv)			
2011	3,5	0,01	3,5	3,7	10,5	0,05	11	11
2012 ^R	5,3	0,05	5,4	5,7	31	0,26	31	32
2013 ^R	3,7	1,4	5,2	5,7	11,7	3,1	15	16
2014	3,0	0,17	2,8	3,0	48	0,09	48	53
2015 ^R	3,9	0,02	4,0	4,8	15	0,05	15	16
2016 ^R	5,2	0,3	5,5	5,8	12,1	0,09	13	14
2017	4,5	2,2	6,7	7,0	12,2	11	24	24
2018 ^R	10	3,6	14	14	24	5,9	30	31
2019 ^R	5,1	1,2	6,3	6,8	13	3,0	16	17
2020	5,7	0,6	6,3	6,6	6,4	0,9	7,3	7,9
2021 ^R	10,8	0,7	11,4	11,7	17,8	0,8	18,7	19,2

Oznaka ^R pomeni, da je v tem letu potekal remont

Iz tabele 4.6 je razvidno, da je skoraj vsa inhalacijska doza za odrasle v letu 2021 posledica zračnih emisij tritija (95%), preostanek pa prispeva C-14. Ocenjeni prispevki k skupni inhalacijski dozi vseh drugih umetnih radionuklidov so bistveno manjši. Mesečne vrednosti efektivne doze so sicer lahko visoke v poletnih mesecih zaradi neugodnih vremenskih razmer (visok razredčitveni faktor, ko je ta odvisnost močno poudarjena na ograji NEK zaradi manjše oddaljenosti) in v mesecih, ko lahko neugodne vremenske razmere sovpadajo z remontom in bistveno višjimi izpusti. Inhalacijska doza po mesecih v letu 2021 za posameznika iz prebivalstva skozi leto precej variira na lokacijah Spodnji Stari Grad in na ograji NEK (okvirno velja tudi za razdaljo 500 m od osi reaktorja). V poletnih vremensko neugodnih mesecih leta 2021 so bili izpusti tritija relativno nizki v primerjavi z izpusti v času remonta. Mesečne odvisnosti izpustov HTO (z največjim prispevkom k inhalacijski dozi) in razredčitvenih koeficientov so medsebojno prikazane na sliki 4.8 na lokacijah na ograji NEK in na referenčni lokaciji Spodnji Stari Grad, kjer je mesečna doza na sliki izrisana tako, da velikost točke približno predstavlja mesečno inhalacijsko dozo.

Na prispevek doze C-14 vpliva njegova kemijska oblika v izpustu, saj je pretvorbeni dozni faktor za CH₄ višji kot za CO₂. Zaradi izvedenih del med obratovanjem ali remontom in ustrezno večjimi izpusti v obliki CH₄ je prispevek C-14 k dozi zaradi inhalacije višji (na primer v letih 2013, 2017, 2018 in 2019) [66]. V letu 2021 so bili kljub remontu izpusti C-14 v obliki CH₄ manjši (podobno tudi v letih 2011, 2012, 2015 in 2020).

Prispevki obeh radionuklidov k letni inhalacijski dozi in celotni letni dozi v letih od 2011 do 2021 so prikazani v tabeli 4.6. Kot je razvidno iz tabele, so doze v v preteklih letih v bližini NEK približno dva- do trikrat večje kot pa na referenčni lokaciji Spodnji Stari Grad. Izjema je leto 2020, ko so bili izpusti v vremensko neugodnih mesecih relativno nizki, zato je razlika v dozi na obeh lokacijah precej manjša.



Slika 4.8: Medsebojna odvisnost povprečnih mesečnih razredčitvenih koeficientov (χ/Q) z enoto s/m^3 , in izpuščene aktivnosti HTO v enotah GBq na ograji NEK in na referenčni lokaciji Spodnji Stari Grad v letu 2021. Površina posamezne točke v danem mesecu približno kaže tudi izračunano mesečno dozo v enotah nSv.

V letu 2021 je bil v izpustih izmerjen relativno majhen prispevek joda (0,18 MBq), kar kaže, da je integriteta goriva v 32. gorivnem ciklu (2021–2022) bistveno boljša kot v gorivnih ciklih 2012–2013, 2013–2015 (ko so nastale večje poškodbe gorivnih palic) in 2015–2016. Med gorivnimi cikli z dobro integriteto goriva v letu 2020 v izpustih ni bilo izmerjenega prispevka joda, sicer pa so bile izmerjene nizke aktivnosti joda v izpustih v letu 2019 (1 MBq), v letu 2018 (27 MBq) in letu 2017 (3,4 MBq), ki so za dva do tri velikostne rede nižje kot v ostalih gorivnih ciklih s slabšo integriteto ali poškodbami gorivnih palic (2016 8,0 GBq, 2015 200 GBq, 2014 4,6 GBq, 2013 90 GBq).

Zunanje sevanje zaradi radionuklidov v zraku (imerzijska doza) je v letu 2021 predvsem posledica izpustov žlahtnih plinov različnih izotopov ksenona in Ar-41. Celotna letna imerzijska doza za Spodnji Stari Grad za leto 2021 je bila 0,3 nSv, za ograjo NEK (in okvirno za razdaljo 500 m od osi reaktorja), pa 0,6 nSv: vrednosti so zelo nizke v primerjavi z inhalacijsko dozo na istih mestih (približno velikostni red razlike). Mesečne variacije imerzijskih doz so enake kot pri inhalacijskih dozah, visoke v poletnih mesecih, povišane v času med remontom in po njem (oktober in november).

Predvidene skupne letne efektivne doze za odraslega človeka so po modelskih ocenah na različnih lokacijah v razponu od 0,7 nSv (Dobova) do 20 nSv (ograja NEK, okvirno tudi na razdalji 500 m od osi reaktorja) (tabela 4.7). Razlike med lokacijami so posledica razredčitvev, kar upoštevamo s povprečnimi mesečnimi razredčitvenimi koeficienti χ/Q [54]–[57].



Tabela 4.7: Ocene inhalacijskih in imerzijskih doz zaradi atmosferskih izpustov v okolici NEK v letu 2021 z uporabo Lagrangeevega modela – imisijske doze NEK. Uporabljeni so podatki za dozne pretvorbene faktorje iz referenc [10] in [37] za odrasle in otroke.

PREGLED SKUPNIH LETNIH DOZ								
Naselje	Razdalja od NEK [km]	Inhalacijska doza [μ Sv]			Imerzijska doza [μ Sv]	Skupna doza [μ Sv]		
		Odrasli	Otroci	Dojenčki	Odrasli (otroci, dojenčki)	Odrasli	Otroci	Dojenčki
Spodnji Stari Grad	1,5	1,1E-02	9,1E-03	3,5E-03	3,1E-04	1,2E-02	9,1E-03	3,5E-03
Vrbina	0,8	7,4E-03	5,9E-03	2,3E-03	2,1E-04	7,6E-03	5,9E-03	2,3E-03
Brežice	7,1	2,0E-03	1,6E-03	6,1E-04	5,6E-05	2,0E-03	1,6E-03	6,1E-04
Vihre	3,1	1,5E-03	1,2E-03	4,6E-04	4,5E-05	1,5E-03	1,2E-03	4,6E-04
Mrtvice	2,8	2,4E-03	1,9E-03	7,4E-04	6,9E-05	2,5E-03	1,9E-03	7,4E-04
Brege	2,3	5,5E-03	4,3E-03	1,7E-03	1,5E-04	5,6E-03	4,3E-03	1,7E-03
Žadovinek	1,7	8,4E-03	6,7E-03	2,6E-03	2,4E-04	8,6E-03	6,7E-03	2,6E-03
Leskovec	2,9	5,0E-03	4,0E-03	1,5E-03	1,3E-04	5,1E-03	4,0E-03	1,5E-03
Krško - Stara vas	1,7	3,5E-03	2,8E-03	1,1E-03	9,9E-05	3,6E-03	2,8E-03	1,1E-03
Pesje	3,0	8,6E-03	6,8E-03	2,6E-03	2,6E-04	8,8E-03	6,8E-03	2,6E-03
Dobova	12,1	8,0E-04	6,4E-04	2,5E-04	2,4E-05	8,2E-04	6,4E-04	2,5E-04
Ograja NEK (zahod)	0,2	1,9E-02	1,5E-02	5,7E-03	5,8E-04	1,9E-02	1,5E-02	5,7E-03

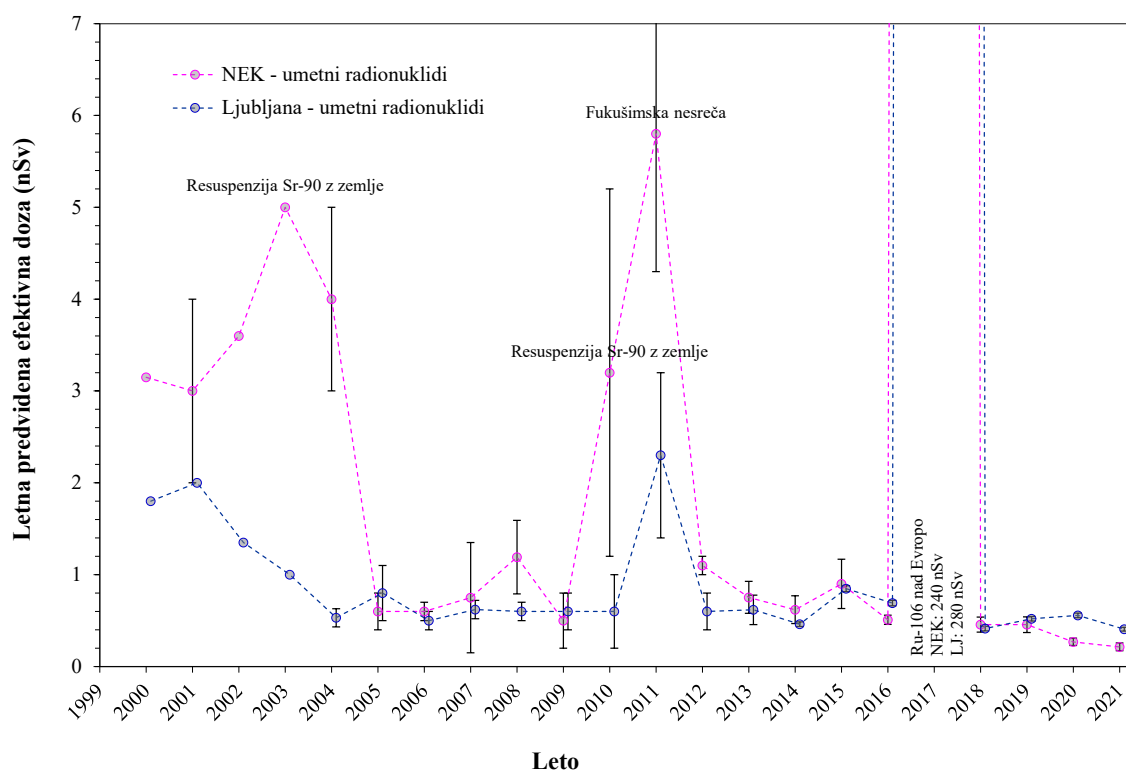
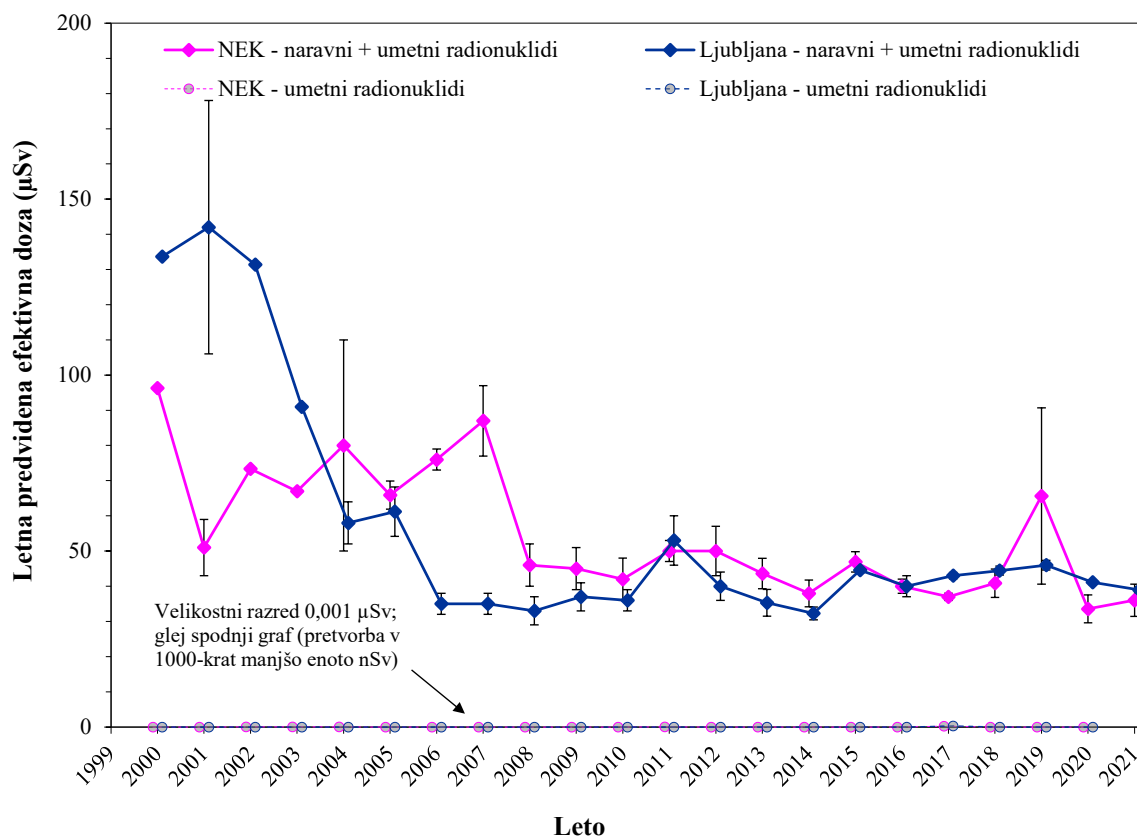
* dolžina sivega drsnika za posamezno starostno skupino sorazmerno izraža skupno dozo.

Doze zaradi radioaktivnosti zraka v okolju (efektivne okoljske doze)

Efektivne okoljske doze za okoliške prebivalce izračunamo iz izmerjenih koncentracij radionuklidov v okolju, in sicer na aerosolnih filtrih zračnih črpalk v okolici NEK (glej sliko 4.1) ob upoštevanju pretvorbene faktorje in značilnosti referenčne osebe. S seštevanjem predvidenih učinkovitih doz posameznih radionuklidov dobimo predvideno učinkovito dozo zaradi inhalacije (vdihavanja) umetnih radionuklidov in inhalacije vseh radionuklidov v aerosolih vključno z naravnimi, pri čemer pa niso všteti prispevki kratkoživih potomcev radona in torona. Rezultati izračunov so zbrani v tabeli 4.8.

Na sliki 4.9 so predstavljene letne predvidene učinkovite okoljske doze zaradi naravnih (v enotah μ Sv) in umetnih radionuklidov (v enotah nSv) za odraslega človeka (referenčna oseba), izračunane iz koncentracij aktivnosti radionuklidov v okolju oziroma iz meritev aerosolnih filtrov v okolici NEK in v Ljubljani v letih od 2000 dalje. Kot je razvidno s slike, je prispevek umetnih radionuklidov v Ljubljani in okolici NEK zelo podoben in je bil v preteklih letih okoli 1 nSv ali manj.

Radionuklida Cs-137 in Sr-90 sta sicer prisotna v globalni kontaminaciji zaradi jedrske nesreče v Černobilu in v manjši meri zaradi jedrske nesreče v Fukušimi ter jedrskih poskusov. Izračunana predvidena učinkovita doza za odraslo referenčno osebo zaradi teh dveh umetnih radionuklidov v globalni kontaminaciji je bila v preteklih letih več kot 10 000-krat manjša od izračunane doze zaradi naravnih radionuklidov (z izjemo leta 2017 zaradi prispevka Ru-106, katerega vir je najverjetneje izpust med predelavo jedrskega goriva na jugu Urala [65]). Povprečna izračunana učinkovita doza za odraslo osebo v okolici NEK zaradi umetnih radionuklidov je bila v obdobju 2007–2021 ($1,2 \pm 0,4$) nSv (brez osamelca 2017). V letu 2021 je bil prispevek Cs-137 k letni dozi ($0,17 \pm 0,03$) nSv in Sr-90 ($0,05 \pm 0,03$) nSv.



Slika 4.9: Primerjava letnih predvidenih učinkovitih okoljskih doz za leta 2000-2021 v okolici NEK in Ljubljani za odrasle osebe iz meritev aerosolov za naravne in umetne radionuklide skupaj v enotah μSv (zgornja slika) in posebej za umetne radionuklide v 1000-krat manjši enoti nSv (spodnja slika). Vrisane negotovosti imajo faktor pokritja $k = 1$ (68-odstotna zanesljivost).



Tabela 4.8: Povzetek vsot predvidenih učinkovitih okoljskih doz zaradi inhalacije (vdihavanja) za odrasle, otroke in dojenčke, ki so izračunane iz okoljskih koncentracij radionuklidov, izmerjenih na aerosolnih filtrih v letu 2021 v T-44 do T-55 ter doznih pretvorbennih faktorjev iz referenc [10] in [37].

STAROSTNA SKUPINA	VSOTA PRISPEVKOV PO VRSTAH RADIONUKLIDOV	LETNA EFEKTIVNA OKOLJSKA DOZA IZ KONCENTRACIJ AKTIVNOSTI NA AEROSOLNIH FILTRIH	
		OKOLICA NEK	LJUBLJANA
ODRASLI	umetni radionuklidi	$0,21 \pm 0,04$ nSv	$0,41 \pm 0,02$ nSv
	umetni in naravni radionuklidi	36 ± 4 μ Sv	39 ± 1 μ Sv
OTROCI	umetni radionuklidi	$0,16 \pm 0,03$ nSv	$0,31 \pm 0,02$ nSv
	umetni in naravni radionuklidi	29 ± 4 μ Sv	31 ± 1 μ Sv
DOJENČKI	umetni radionuklidi	$0,07 \pm 0,01$ nSv	$0,13 \pm 0,01$ nSv
	umetni in naravni radionuklidi	13 ± 2 μ Sv	$15 \pm 0,3$ μ Sv

Na sliki 4.9 je vidnih nekaj odstopanj od sicer pretežno stalnih vrednosti. Visoka doza umetnih radionuklidov v letu 2003 je bila posledica prispevka Sr-90, ki je to leto prispeval kar tri četrtine doze, vendar prispevek ni posledica izpustov iz NEK, temveč resuspenzije z zemlje. Podobno povišan prispevek resuspendiranega Sr-90 z zemlje je bilo opaziti v izmerkkih v letih 2000–2004 in 2010–2011, kjer je bil prispevek k letni dozi nekaj nSv. Višja doza zaradi umetnih radionuklidov v letu 2011 je opazna tako v Ljubljani kot okolici NEK. To je posledica izmerjenih vrednosti Cs-134, Cs-137 in I-131 v marcu in aprilu 2011 zaradi jedrske nesreče v Fukušimi. V letu 2017 je izračunana učinkovita doza za odraslo osebo zaradi umetnih radionuklidov (240 ± 20) nSv skoraj izključno zaradi vdihavanja Ru-106, kar je povprečje letnih doz po lokacijah aerosolnih črpalk v okolici NEK. Prispevek Sr-90 k dozi v Ljubljani ni ovrednoten, ker se v zračnih filtrih v okviru nadzora radioaktivnosti v življenjskem okolju Slovenije v Ljubljani ne ugotavlja vsebnosti Sr-90.

Za učinkovite okoljske doze naravnih radionuklidov je značilno, da variirajo po letih, kar velja tako za lokacije v okolici NEK kot za lokacijo v Ljubljani. Največji prispevek k učinkoviti dozi naravnih radionuklidov povzroča Pb-210, kar ni toliko posledica visokih koncentracij v zraku, temveč velikega doznega pretvorbennega faktorja, ki ga ima ta izotop [10]. Prispevek Pb-210 k letni predvideni učinkoviti dozi v okolici NEK za odraslega človeka je bil v letu 2021 (29 ± 4) μ Sv, kar je zelo podobno dozam iz preteklih let: (21–49 μ Sv na leto v obdobju 2005–2020). Drugi naravni radionuklid po prispevku k učinkoviti dozi v letu 2021 je Th-228 ($2,2 \pm 0,2$) μ Sv. Iz meritev koncentracij aktivnosti na aerosolnih filtrih v letu 2021 v Ljubljani so prispevki k dozi v okviru variacij v preteklih letih podobni prispevkom v okolici NEK, in sicer (38 ± 1) μ Sv na leto zaradi Pb-210 in ($0,95 \pm 0,05$) μ Sv na leto zaradi Th-228. V splošnem lahko rečemo, da so na prostem v okolici NEK učinkovite doze zaradi vdihavanja naravnih radionuklidov podobne kot drugod po Sloveniji in so nekaj 10 μ Sv na leto [13], [14].

Izračunana predvidena letna učinkovita okoljska doza zaradi inhalacije (vdihavanja) za referenčno osebo v okolici NEK za leto 2021 je v okviru negotovosti vsote vseh prispevkov primerljiva z dozo za prebivalca v Ljubljani. Prispevek umetnih radionuklidov globalne kontaminacije je tako v okolici NEK kot v Ljubljani zanemarljiv in za pet velikostnih redov nižji. Povzetek vsot predvidenih učinkovitih okoljskih doz, izračunanih iz meritev aerosolnih filtrov, je pokazan v tabeli 4.8.



Primerjava imisijskih doz NEK zaradi umetnih nuklidov in efektivnih okoljskih doz zaradi naravnih radionuklidov

Ko primerjamo vrednosti iz tabel 4.7 in 4.8 ob upoštevanju tabele 4.5, lahko ugotovimo, da so ocenjene in modelsko izračunane imisijske doze (učinek NEK), zaradi vdihavanja izpuščenih umetnih radionuklidov in imerzije le-teh (11,7 nSv na referenčni lokaciji Spodnji Stari Grad), za približno 4 velikostne rede nižje od efektivnih okoljskih doz naravnih radionuklidov v okolju, preračunanih iz izmerjenih koncentracij v aerosolih v okolici NEK (36 μ Sv).

SKLEPI

Sedanji program vzorčenja in meritev omogoča primeren vpogled in nadzor zračnih emisij NEK in koncentracij aktivnosti radionuklidov v zraku v okolici NEK. Tako merilne kot tudi evalvacijske metode dajejo konsistentne in zanesljive podatke, ki omogočajo primerjavo za vrsto let nazaj.

Ovrednotenje efektivnih okoljskih doz temelji na evalvaciji meritev aerosolnih filtrov v okolici NEK, imisijske doze NEK pa dobimo iz izmerjenih atmosferskih izpustov z modelnimi izračuni razredčitvenih koeficientov, ki temeljijo na dejanskih vremenskih podatkih. Tako za leto 2021 velja, da **izpusti hlapov in plinov, ki vsebujejo tritij oziroma C-14**, največ prispevajo k efektivni dozi zaradi **vdihavanja (inhalacijska doza)**. Ta je v Spodnjem Starem Gradu za odraslega posameznika iz prebivalstva (referenčno osebo) 10,8 nSv oziroma 0,7 nSv na leto, ob ograji NEK (okvirno velja tudi za razdaljo 500 m od osi reaktorja), pa 17,8 nSv oziroma 0,8 nSv na leto. Prispevki drugih radionuklidov k inhalacijski dozi so bistveno manjši, vendar pri tem niso vključene posledice prehoda radionuklidov iz zraka v druge prenosne poti. **Izpusti žlahtnih plinov** iz NEK (izotopi Xe in Ar) povzročajo dozo predvsem zaradi **zunanjega sevanja (imerzijska doza)**, ki je za odraslega posameznika iz prebivalstva (naselje Spodnji Stari Grad) 0,3 nSv na leto; na ograji NEK pa 0,6 nSv na leto.

Ocenjena **skupna imisijska letna efektivna doza NEK** v 2021 za odraslega posameznika iz prebivalstva, ki je posledica inhalacije (vdihavanja) in imerzije (zunanjega sevanja) **zaradi izpustov NEK**, je v Spodnjem Starem Gradu 11,7 nSv, ob ograji NEK pa 19,2 nSv.

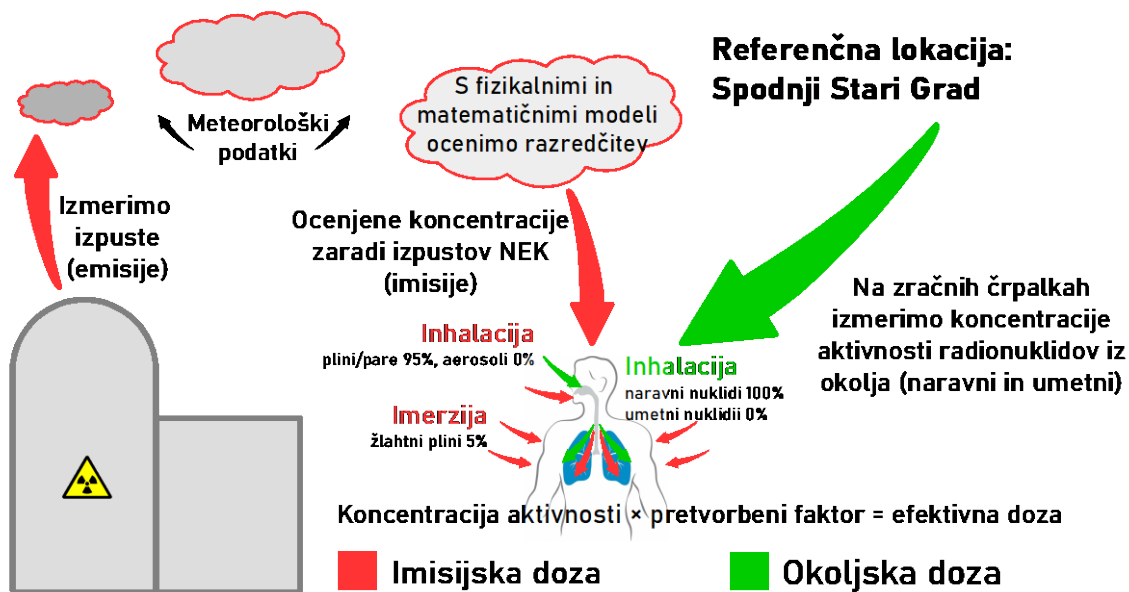
Predvidena **efektivna okoljska doza zaradi inhalacije** (vdihavanja) aerosolov v okolici NEK je predvsem posledica inhalacije **dolgoživih naravnih radionuklidov** in je za odraslega posameznika (36 \pm 4) μ Sv na leto; doza je v okviru pričakovanj in na ravni povprečne vrednosti zadnjih let. Predvidena **efektivna okoljska doza zaradi inhalacije** (vdihavanja) **umetnih radionuklidov** v aerosolih v okolici NEK je posledica radionuklidov, ki so del globalne kontaminacije zaradi jedrskih poskusov in černobilske kontaminacije, in je za odraslega posameznika (0,21 \pm 0,04) nSv na leto. Ocenjene in modelsko izračunane imisijske doze NEK zaradi umetnih radionuklidov so za nekaj velikostnih redov nižje od efektivnih okoljskih doz zaradi naravnih radionuklidov.

V letu 2008 je Evropska komisija izdala poročilo [67], v katerem so izračunane predvidene letne efektivne doze zaradi izpustov iz jedrskih elektrarn in obratov za predelavo jedrskega goriva v Evropi. Doze v poročilu Evropske komisije so izračunane za referenčno osebo za vse objekte ob enakih predpostavkah in na enakih razdaljah 500 m in 5 000 m od objekta. Pri ocenjevanju doze zaradi plinastih izpustov je efektivna doza za 75 % objektov manjša od 1,4 μ Sv na leto na razdalji 500 m (rob izključitvenega območja) in manjša od 0,24 μ Sv na leto na razdalji 5 000 m. Kot je razvidno iz tabele 4.7, so za NEK ocenjene doze bistveno nižje: na razdaljah 200 m (ograja NEK) oziroma 800 m (Vrbina) od NEK (ekvivalent 500 m) sta dozi 0,019 μ Sv in 0,0076 μ Sv na leto, na večjih razdaljah 3 000 m (Pesje) oziroma 7 100 m (Brežice) od NEK (ekvivalent 5 000 m) pa 0,0088 μ Sv in 0,0020 μ Sv na leto.



GRAFIČNI PRIKAZ PRISPEVKOV ZA OCENO EFEKTIVNE DOZE PO ZRAČNI PRENOSNI POTI

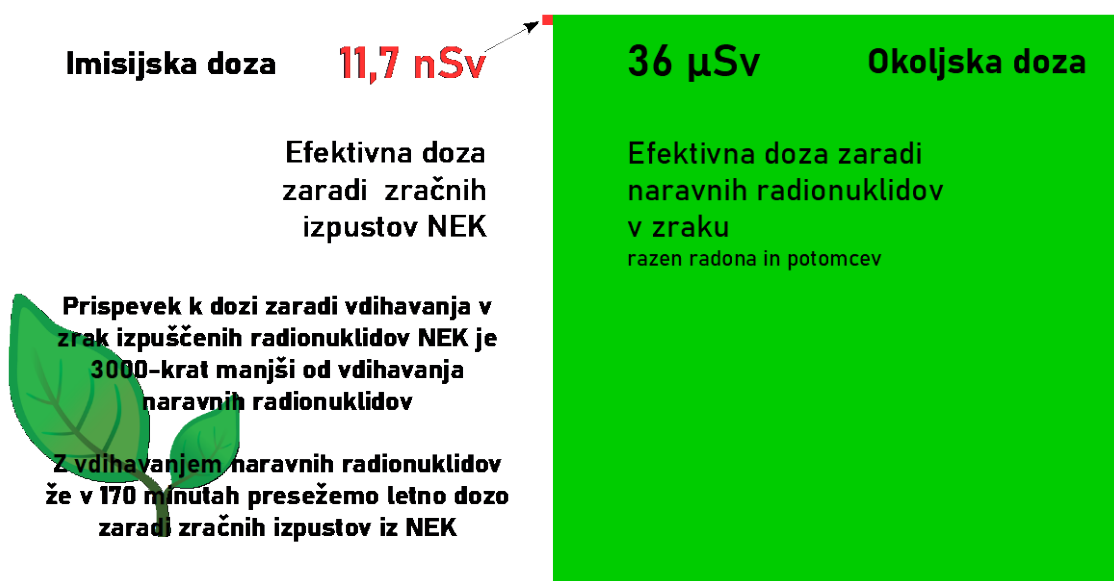
Kako ocenimo doze zaradi zračnih izpustov?



Kakšne so letne efektivne doze zaradi vdihavanja radionuklidov?

Efektivne doze zaradi zračnih izpustov NEK oziroma zaradi naravnih radionuklidov v okolju so označene z rdečim ■ oziroma zelenim ■ kvadratom

Površina kvadrata ustreza dozi!







5 ZUNANJE SEVANJE

POVZETEK

Zunanje sevanje, ki mu je izpostavljeno prebivalstvo, vključuje kozmično sevanje, sevanje naravnih radionuklidov (predvsem razpadnih produktov radona) v ozračju, sevanje iz radioaktivnega oblaka ob izpustu radioaktivnih snovi iz NEK v okolje in zunanje sevanje zaradi useda, ki se odloži po prehodu oblaka, ter sevanje naravnih in umetnih radionuklidov v zemlji in v objektih. Ocena dozne obremenitve (okoljski dozni ekvivalent $H^(10)$) zaradi zunanjega sevanja se izračuna iz ugotovljene radioaktivnosti zemlje in zraka, neposredno pa se meri s termoluminiscenčnimi dozimetri in kontinuirnimi merilniki hitrosti doze.*

Za izračun prispevka k dozni obremenitvi prebivalstva zaradi sevanja naravnih in umetnih radionuklidov v zemlji je v letu 2021 v okviru nadzora radioaktivnosti potekalo vzorčenje zemlje na treh lokacijah v okolici NEK. Rezultati meritev kažejo, da se specifične aktivnosti naravnih radionuklidov z globino ne spreminjajo, so pa manjše na Kusovi Vrbini, ki je največkrat poplavljena. Vrednosti $H^(10)$ zaradi radioaktivnosti v zemlji pri predpostavki enakomerne porazdelitve za naravne radionuklide in realne porazdelitve za Cs-137 so v letu 2021 v okolici NEK med $(0,47 \pm 0,01)$ mSv za zemljo v Kusovi Vrbini in $(0,62 \pm 0,02)$ mSv za zemljo na Gmajnicah in v Ameriki. Iz meritev globinske odvisnosti specifične aktivnosti Cs-137 na posameznih lokacijah lahko sklepamo na kompleksnost delovanja površinske in podtalne vode.*

V letu 2021 so bile v teku obratovalnega nadzora radioaktivnosti NEK opravljene neodvisne meritve doze zunanjega sevanja s termoluminiscenčnimi dozimetri (TLD) in kontinuirnimi merilniki hitrosti doze (MFM). Meritve s TLD in MFM kažejo v okviru merske negotovosti enako vrednost letnega okoljskega doznega ekvivalenta $H^(10)$ kot v zadnjih letih. Povprečni letni dozni ekvivalent $H^*(10)$ je bil v okolici NEK $(0,77 \pm 0,10)$ mSv, na ograji NEK $(0,56 \pm 0,03)$ mSv, v okolici Zagreba na Hrvaškem pa $(0,79 \pm 0,12)$ mSv. Prispevki k zunanjemu sevanju zunaj ograje NEK zaradi sevanja iz objektov NEK in atmosferskih izpustov radioaktivnih snovi so bili, enako kot prejšnja leta, v letu 2021 nemerljivi. Posredno smo konservativno ocenili, da je bila letna efektivna doza zunanjega sevanja zaradi useda iz oblaka kot posledica izpustov iz NEK, manjša od $1,0 \text{ E-}10$ mSv.*

UVOD

Viri ionizirajočega sevanja v človekovem naravnem in bivalnem okolju so primarni kozmični žarki, zrak in zemlja. Primarni kozmični žarki izvirajo iz vesolja, zato je izpostavljenost kozmičnemu sevanju večja na večjih višinah. Kozmični žarki tudi povzročajo jedrske reakcije visoko v ozračju, radioaktivni produkti teh reakcij pa z zračnimi tokovi dosežejo nižje zračne plasti, od koder se izpirajo in odlagajo na površino zemlje. Hitrost doze zaradi galaktičnih in izvengalaktičnih kozmičnih žarkov je odvisna od sončne aktivnosti, ker sončni veter odklanja primarne kozmične žarke, ki v stratosferi in zgornji troposferi povzročajo plazove sekundarnih kozmičnih žarkov, to je nabitih delcev, nevtronov in rentgenskih žarkov. Hitrost doze zaradi kozmičnih žarkov je zato odvisna od sončne aktivnosti, ki kaže 11-letni cikel [69].

Naravno sevanje iz zemlje izvira iz členov razpadnih verig urana U-238 z razpolovno dobo $4,45 \cdot 10^9$ let, torija Th-232 z razpolovno dobo $1,41 \cdot 10^{10}$ let ter radioaktivnega izotopa kalija, K-40 z razpolovno dobo $1,28 \cdot 10^9$ let. Ti radionuklidi so nastali, ko je nastala snov, iz katere je zemeljska skorja. Časovna odvisnost hitrosti doze na določeni lokaciji zaradi radioaktivnosti v zemlji ni konstantna. Spreminja se zaradi atenuacije žarkov gama v zemlji, ki je odvisna od vlage v zemlji in pozimi zaradi snega. Tudi po površini zemlje ni enakomerno porazdeljena, ker uran, torij in kalij niso porazdeljeni enakomerno.

Med členi uranove in torijeve razpadne verige je tudi žlahtni plin radon, ki z difuzijo prehaja iz zemlje, kjer je nastal, v zrak in tam razpada. Razpadni produkti radona ostanejo delno v zraku, delno pa se odlagajo na površino zemlje z izpiranjem in usedanjem. Ker so razpadni produkti radona, ki sevajo žarke gama, kratkoživi, časovna odvisnost te radioaktivnosti sledi vremenskim pogojem, v katerih so prehajanje iz



zemlje ter izpiranje in usedanje iz ozračja posebej izraziti. V teh pogojih lahko hitrost doze na površini zemlje naraste tudi za red velikosti. Hitrost doze zaradi izpiranja in usedanja iz zraka je torej določena z vremenskimi pogoji, ki so v času neenakomerno porazdeljeni. Zato časovna odvisnost doze zaradi usedanja radonovih potomcev neurejeno niha.

Razen naravne radioaktivnosti so v zemlji prisotne tudi radioaktivne snovi zaradi kontaminacije ozračja, ki izvira iz človekove dejavnosti. Ta globalna kontaminacija zemlje je nastala zaradi izpiranja radioaktivnosti iz zraka, hitrost doze zaradi te kontaminacije pa se s časom manjša zaradi radioaktivnega razpada in izpiranja kontaminacije v globlje zemeljske sloje. Če želimo ločiti prispevke k zunanji dozi zaradi kozmičnega sevanja, izpiranja in usedanja naravne in umetne radioaktivnosti iz zraka ter radioaktivnosti zemlje, lahko to naredimo na podlagi časovnih odvisnosti doze ali njene hitrosti.

Izpostavljenost naravnemu sevanju zaradi radioaktivnosti v zraku torej izvira iz kozmičnih žarkov in razpadnih produktov urana in torija. K radioaktivnosti v zraku prispeva tudi umetna radioaktivnost, ki je posledica človekove dejavnosti. Umetna radioaktivnost je posledica jedrskih eksplozij v ozračju, nesreč pri skladiščenju in predelavi radioaktivnih snovi, nesreč v jedrskih elektrarnah, načrtovanih izpustov radioaktivnih snovi v okolje ter neposrednega sevanja iz jedrskih objektov (jedrske elektrarne, raziskovalni reaktorji, predelovalni obrati...) in uporabnikov radioaktivnih snovi. Umetna radioaktivnost iz zraka se, podobno kot naravna, odlaga na površino zemlje in od tam izpira v globlje sloje. Geografska porazdelitev usedov umetnih radioaktivnih snovi je določena z zračnimi tokovi v času izpusta radioaktivnosti.

Prebivalstvo v okolici NEK je izpostavljeno naravnim virom ionizirajočega sevanja, kontaminaciji okolja z umetnimi radioaktivnimi snovmi, potencialno pa še neposrednemu sevanju elektrarne.

Izpostavitev prebivalstva zunanjemu sevanju določamo na dva načina: z neposrednimi meritvami zunanjega sevanja in iz meritev kontaminacije, to je iz koncentracij radioaktivnih snovi v okolju. Program meritev je določen v *Zakonu o varstvu pred ionizirajočimi sevanji in jedrski varnosti (ZVISJV-1)* [7] in *Pravilniku o monitoringu radioaktivnosti (JV10)* [8]. Da bi ugotovili učinek delovanja NEK na okolje, izvajamo v okolici NEK neprekinjene meritve zunanjega sevanja, neprekinjena vzorčenja aerosolov v zraku in periodične meritve aerosolov ter periodična vzorčenja in meritve radioaktivnosti zemlje in suhega useda. Učinek jedrske elektrarne na zunanje sevanje ugotavljamo s primerjavo meritev v okolici NEK z meritvami, ki so bile izvedene na večjih oddaljenostih, učinek izpustov NEK v zrak in vodo pa z meritvami radioaktivnosti zraka, radioaktivnosti rečnega sedimenta in radioaktivnosti zemlje na lokacijah, kjer Sava poplavlja, in na lokacijah, kjer Sava ne poplavlja, ter suhega useda.

Za sprotne meritve zunanjega sevanja uporabljamo sistem kontinuirnih merilnikov hitrosti doze MFM, ki so porazdeljeni v okolici jedrske elektrarne, in sistem merilnikov zunanjega sevanja, ki so razporejeni po Sloveniji. Ta dva sistema se uporabljata tudi za zgodnje opozarjanje v primeru povišane radioaktivnosti v zraku.

Meritve zunanjega sevanja izvajamo tudi s pasivnimi merilniki TLD (termoluminiscenčnimi dozimetri), ki merijo dozo v časovnem intervalu, ko so izpostavljeni. Tudi pri teh meritvah ugotavljamo učinek NEK s primerjavo med dozami, izmerjenimi s sistemom merilnikov, porazdeljenih v okolici NEK, in dozami, izmerjenimi s sistemom merilnikov, ki so razporejeni po Sloveniji.

Medtem ko z merilniki doze in hitrosti doze merimo skupno dozo naravnega in umetnega sevanja, lahko pri meritvah kontaminacije ločimo prispevke naravne radioaktivnosti, globalne kontaminacije zaradi eksplozij atomskih bomb in nesreč v jedrskih elektrarnah ter možne kontaminacije zaradi izpustov NEK. Meritve kontaminacije vzorcev, zbranih v okolici NEK, opravljamo z visokoločljivo spektromerijo gama, s katero merimo kontaminacijo vzorcev s posameznimi sevalci gama. Ker so v izpustih NEK sevalci gama, ki ne pripadajo niti naravni radioaktivnosti niti globalni kontaminaciji, lahko učinek jedrske elektrarne določimo na podlagi koncentracij sevalcev gama, ki so specifični za te izpuste. Doze sevanja zaradi posameznih sevalcev gama določimo računsko iz koncentracij in doznih koeficientov za zunanje sevanje za posamezne predpostavljene prostorske porazdelitve kontaminacije (poglavje *Zrak*).



OKOLJSKI VZORCI

Značilnosti vzorčenja in meritev

Zemljo vzorčimo na treh lokacijah na poplavnih področjih nizvodno od NEK. Najpogosteje je poplavljen lokacija Kusova Vrbina, navadno pri pretoku Save, ki je večji od 1 000 m³/s. Na tej lokaciji je torej prisotnost umetnih radionuklidov v zemlji lahko posledica radioaktivnega useda iz zraka ali pa izpustov NEK v reko Savo. Poplavljanje lahko spremeni globinsko porazdelitev odloženih radionuklidov, ki jih pričakujemo v zemlji.

Lokacije, kjer vzorčujemo, so na neobdelanih površinah. Vzorčenje poteka v štirih plasteh na globinah 0–5 cm, 5–10 cm, 10–15 cm in 15–30 cm. Tako določimo, kako je kontaminacija porazdeljena po globini. Hkrati z vzorci zemlje zberemo še vzorce trave. Pomembno je, da so mesta, kjer periodično zbiramo vzorce, blizu skupaj, da lahko primerjamo rezultate odvzemov na isti lokaciji.

Zemlja se vzorči spomladi in jeseni na naslednjih lokacijah:

- Amerika, levi breg Save, nizvodna razdalja od NEK 3,5 km, tip zemlje je rjava naplavina;
- Gmajnice, desni breg Save, nizvodna razdalja od NEK 2,5 km, tip zemlje je mivkasta borovina;
- Kusova Vrbina – Trnje, levi breg Save, nizvodna razdalja od NEK 8,5 km, tip zemlje je mivkasta borovina.

Metoda vzorčenja je predpisana s *Pravilnikom o monitoringu radioaktivnosti (JV10)* [8], postopek pa je opisan v navodilu *Zbiranje in priprava vzorcev zemlje (LMR-DN-07)*.

Skladno z *Zakonom o varstvu pred ionizirajočimi sevanji in jedrski varnosti* [7] in s *Pravilnikom o monitoringu radioaktivnosti (JV10)* [8] se zunanje sevanje v okolici NEK meri neprekinjeno z okoljskimi termoluminiscenčnimi dozimetri (TLD). Ti dozimetri merijo sevanje gama in ionizirajočo komponento kozmičnih žarkov. Neposredne meritve zunanjega sevanja se izvajajo s 57 dozimetri v okolici NEK in z 9 dozimetri na ograji NEK. Vsi dozimetri so tipa TLD-IJS-05 (CaF₂:Mn) in so nameščeni na razdaljah do 10 km od NEK. Postavljeni so na lokacijah v urbanem in ruralnem okolju z obdelanim in neobdelanim zemljiščem in so nameščeni na višini 1 m od tal. Odčitavanje poteka po sistemu IJS MR 200 (C) v *Laboratoriju za termoluminiscenčno dozimetrijo (TLD)* na IJS. S tem sistemom lahko merimo okoljske doze (okoljski dozni ekvivalent $H^*(10)$) v intervalu od 7,5 μ Sv do 5 Sv [72]. V okviru nadzornega programa NEK so na Hrvaškem postavljeni merilniki TLD LiF:Mg,Cu,P (MCP-N, Poljska), CaF₂ (IJS, Slovenija), Al₂O₃:C (Rusija) in radiofotoluminiscenčni merilniki FD-7 (Japonska) na desetih lokacijah.

Neodvisno od programa monitoringa sevanja v okolici NEK poteka v Sloveniji meritev doze zunanjega sevanja z dozimetri TLD na 50 lokacijah po vsej državi. Kot referenčni dozimeter pri obdelavi rezultatov meritev doze zunanjega sevanja se uporablja TLD, ki je postavljen na dvorišču IJS. Vsi dozimetri TLD, ki so postavljeni v Sloveniji, se odčitavajo polletno, v obdobju junij–julij in december–januar. Dozimetri so bili kalibrirani v *Laboratoriju za dozimetrične standarde (NDS)* na IJS v fotonskem sevalnem polju od 40 keV do 1 332 keV. Dozimetri, ki merijo dozo zunanjega sevanja na Hrvaškem, so bili kalibrirani v *Sekundarnem standardnem dozimetrijskem laboratoriju (SSDL)* na IRB v Zagrebu [72], [73].

V okolici NEK je postavljenih 14 kontinuirnih merilnikov hitrosti doze MFM-203, od tega jih 13 nadzira NEK, eden pa deluje v sklopu mreže URSJV. Ta mreža je del mreže URSJV – MOP za zgodnje zaznavanje sprememb zunanjega sevanja, v kateri deluje 71 merilnikov MFM-203. Podatki o teh meritvah so sprotno dostopni na spletnem naslovu <http://www.radioaktivnost.si>.

REZULTATI MERITEV IN ZNAČILNI ČASOVNI POTEKI

Cs-137 v zemlji

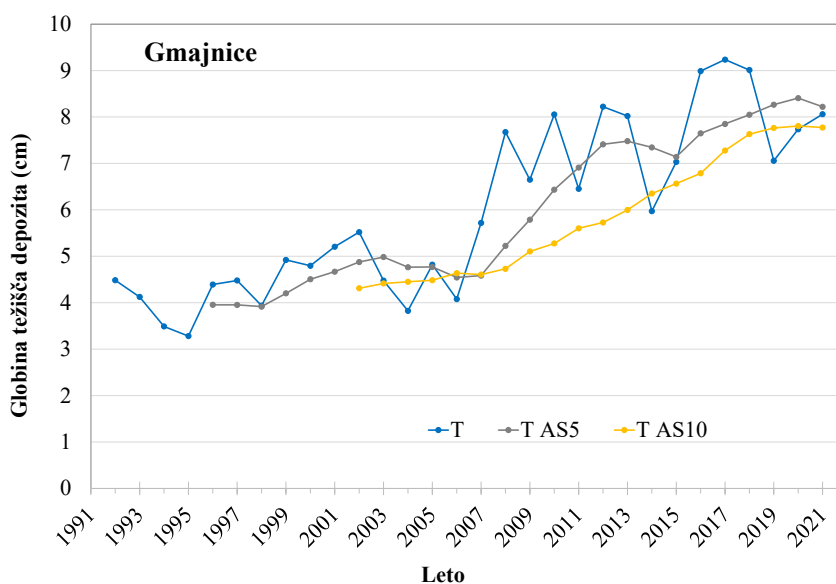
Rezultati meritev specifične aktivnosti radionuklidov v vzorcih zemlje so zbrani v tabelah T-57, T-58, T-59 in T-60, ki so na priloženi zgoščenci v poročilu *Merski rezultati - nadzor radioaktivnosti v okolici Nuklearne elektrarne Krško – Poročilo za leto 2021, IJS-DP-13759, marec 2022*. Izmerjeni so bili naravni radionuklidi ter umetna radionuklida Cs-137 in Sr-90, ki sta prisotna zaradi globalne kontaminacije. Drugi



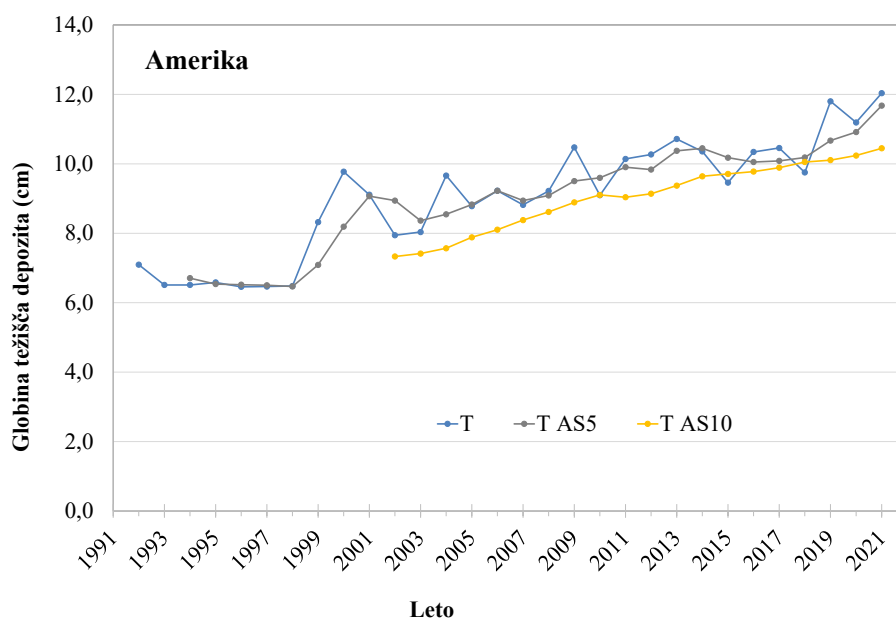
radionuklidi, ki se pojavljajo v izpustih NEK (plinasti izpusti), so prikazani v tabeli 5.4, tekoči izpusti se obravnavajo v poglavju *Radioaktivnost v reki Savi*. Specifične aktivnosti naravnih radionuklidov v zemlji iz uranovega in torijevega razpadnega niza ter K-40 se pri spomladanskem in jesenskem vzorčenju v okviru negotovosti tipično ujemajo. Te aktivnosti ne kažejo nobene izrazite odvisnosti od globine vzorčenja. Izjema je Pb-210, ki se kot razpadni produkt Rn-222 izpira iz atmosfere in so zato njegove koncentracije višje v zgornjih plasteh zemlje. Zaradi tega ne moremo pričakovati ujemanja specifičnih aktivnosti pri pomladnem in jesenskem vzorčenju. Podobno velja za kozmogeni Be-7, ki pa se zaradi kratkega razpadnega časa pojavlja v merljivih koncentracijah le v zgornjih plasteh zemlje. Tudi pri Cs-137 se lahko vrednosti, določene pri posameznih vzorčenjih, razlikujejo zunaj okvira negotovosti zaradi prerazporeditve Cs-137 na mikrolokacijah. Specifični aktivnosti obeh članov torijevega razpadnega niza Ra-228 in Th-228 se ujemata, pri uranovi razpadni vrsti pa je zaradi večje topnosti urana specifična aktivnost U-238 nižja od specifične aktivnosti Ra-226. Rezultati meritev kažejo, da so specifične aktivnosti radionuklidov iz uranovega in torijevega razpadnega niza ter K-40 nižje na lokacijah, ki so izpostavljene rednim poplavam. Specifične aktivnosti K-40, U-238 in Ra-226 so primerljive s povprečnimi aktivnostmi, ki jih navaja UNSCEAR [67] za države južne Evrope.

Specifične aktivnosti Cs-137 v zemlji so bile v letu 2021 od 2,4 Bq/kg v globinah 0–15 cm v Kusovi Vrbini do 47 Bq/kg v globinah 5–10 cm v Gmajnicah. Na slikah 5.1a–5.1c (skale na ordinatnih oseh so različne) je prikazana časovna odvisnost globine težišča nanosa (depozita) na podlagi meritev od leta 1992 dalje za lokacije Gmajnice, Amerika in Kusova Vrbina.

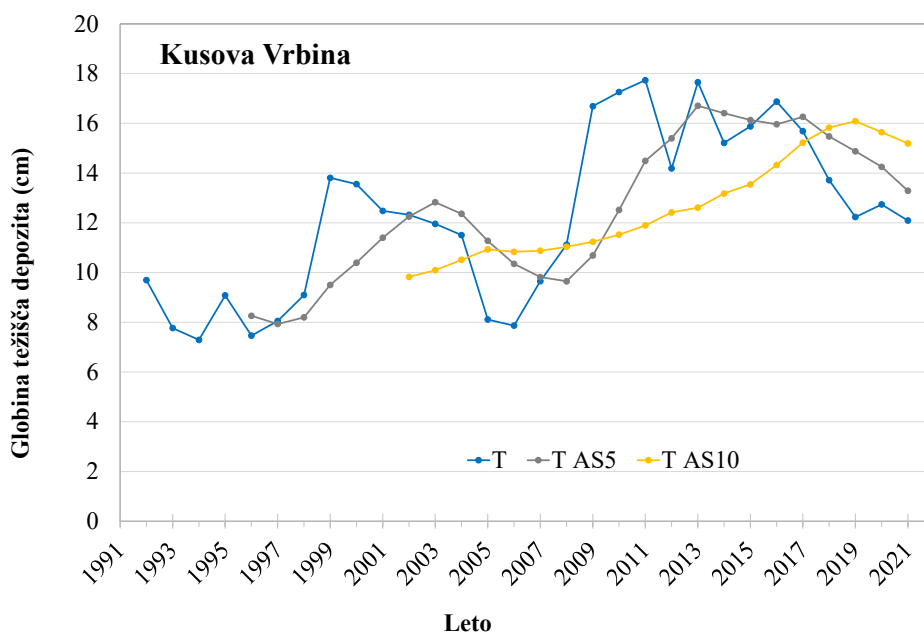
Opazno je precejšnje razsutje vrednosti, izračunanih iz rezultatov meritev specifičnih aktivnosti v posameznih letih. Vzroka sta lahko dva. Prvi je nehomogenost svežega nanosa po černobilski nesreči in vpliv prednostnih smeri toka vode v zemeljski ruši, ki lahko bistveno spremeni pričakovano porazdelitev radionuklidov v zemlji tudi na bližnjih lokacijah [67]. Drugi in bolj vpliven vzrok je prerazporeditev useda na mikrolokaciji. Prerazporeditev je posledica hidrogeoloških procesov, ki vplivajo na prodiranje Cs-137 v zemljinjo. Vpliv teh procesov je še posebej opazen na sliki 5.1c, ki prikazuje globino težišča nanosa na lokaciji Kusova Vrbina, ki je pogosto poplavljena. Dva izrazita skoka v globini težišča sta vsekakor posledica poplav, ki so povzročile dodaten nanos sveže mivke. To je tudi razlog, da je prodiranje Cs-137 v zemljinjo, kot ga kaže 10-letno drseče povprečje na sliki 5.1c, navidezno hitrejše kot na drugih dveh lokacijah. Začetna globina težišča nanosa na lokaciji Kusova Vrbina, če upoštevamo podatke od leta 1992, je ustrezno večja. S sliko je razvidno, da šele 10-letno drseče povprečje izpovpreči lokalno nehomogenost useda in vpliv hidrogeoloških procesov v zgornjih plasteh.



Slika 5.1a: Globina težišča nanosa Cs-137, izračunanega na podlagi letnih vzorčenj za lokacijo Gmajnice. Prikazano je tudi 5-letno (T AS5) in 10-letno (T AS10) drseče povprečje globine težišča depozita.

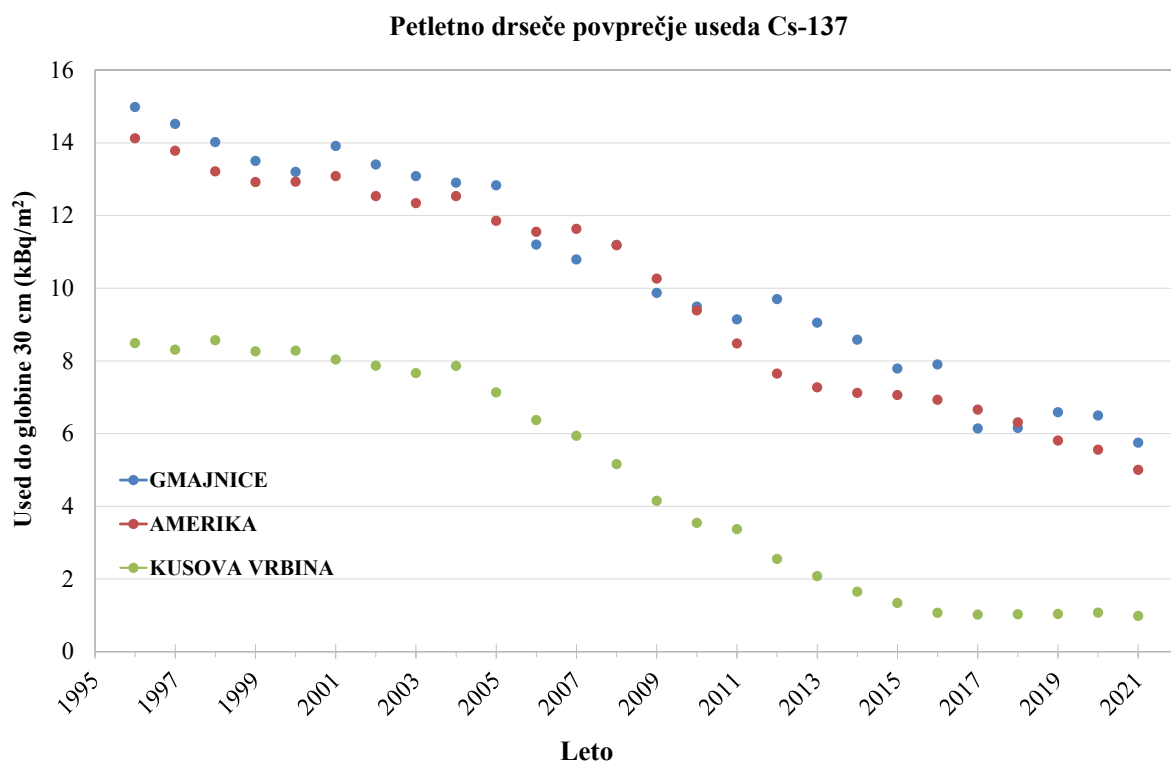


Slika 5.1b: Globina težišča nanosa Cs-137, izračunanega na podlagi letnih vzorčenj za lokacijo Amerika. Prikazano je tudi 5-letno (T AS5) in 10-letno (T AS10) drseče povprečje globine težišča depozita.

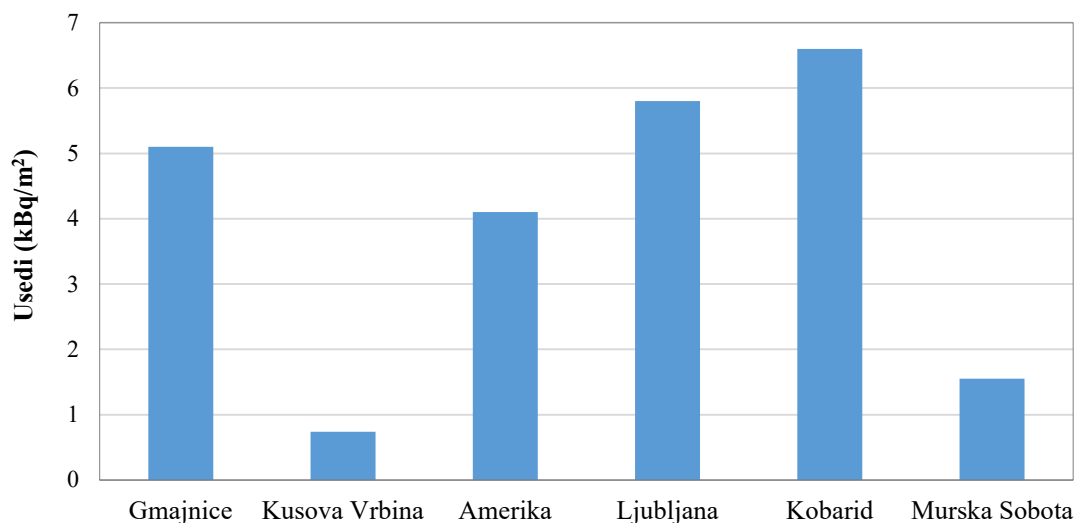


Slika 5.1c: Globina težišča nanosa Cs-137, izračunanega na podlagi letnih vzorčenj za lokacijo Kusova Vrba. Prikazano je tudi 5-letno (T AS5) in 10-letno (T AS10) drseče povprečje globine težišča depozita.

Usedanje iz zraka in poplavljanje reke Save sta glavni prenosni poti, po katerih lahko izpusti iz NEK dosežejo lokacije, kjer se zbirajo vzorci zemlje. Used Cs-137 do globine 30 cm, izmerjen v zadnjih letih na neobdelanih površinah, je predstavljen na sliki 5.2.



Slika 5.2: Petletno drseče povprečje useda Cs-137 do globine 30 cm za lokacije Gmajnice, Amerika in Kusova Vrbina



Slika 5.3: Primerjava med usedi na lokacijah, kjer je bila vzorčevana zemlja v okviru programa nadzora radioaktivnosti v okolici NEK in okviru meritev radioaktivnosti v življenjskem okolju v Republiki Sloveniji.



Na sliki 5.2 je prikazano petletno drseče povprečje useda do globine 30 cm za lokacije Gmajnice, Amerika in Kusova Vrbina. Velikost useda se zmanjšuje. Ocena pokaže, da je zmanjševanje v glavnem posledica radioaktivnega razpadanja Cs-137, saj je le-to okrog 2,3 % letno. Zanimivo je, da je časovna odvisnost useda na lokaciji Kusova Vrbina, ki je najpogosteje poplavljen, zelo različna od odvisnosti na lokacijah Gmajnice in Amerika, kar pomeni, da ima poplavljanje tukaj prevladujoč vpliv na preporazdelitev useda. Globina težišča nanosa do globine 30 cm je po letu 2010 približno 15 cm (slika 5.1c), kar kaže na to, da je porazdelitev približno homogena. Iz tega sledi, da je naplavljen vsa plast zemlje, kjer poteka vzorčenje, in da izmerjena kontaminacija ne opisuje razmer v Kusovi Vrbini v času černobilske kontaminacije, ampak razmere na področju, od koder izvira naplavljeni material.

V okviru nadzora radioaktivnosti v okolju v Republiki Sloveniji se meri used do globine 30 cm v Ljubljani, Kobaridu in Murski Soboti. V letu 2021 so bili na teh lokacijah izmerjeni povprečni usedi Cs-137 ($5,8 \pm 0,3$) kBq/m², ($6,6 \pm 0,2$) kBq/m² in ($1,6 \pm 0,2$) kBq/m². Te vrednosti so v povprečju višje ali primerljive z vrednostmi ($5,1 \pm 0,1$) kBq/m², ($0,74 \pm 0,05$) kBq/m² in ($5,0 \pm 0,1$) kBq/m², ki so bile izmerjene do globine 30 cm v Gmajnicah, Kusovi Vrbini in Ameriki. Primerjava med usedi na sliki 5.3 kaže, da izmerjeni used Cs-137 v okolici NEK ni posledica izpustov NEK. Vredno je omeniti, da je prispevek Cs-137 k letnemu okoljskemu doznemu ekvivalentu iz plasti 15–30 cm največ 5 % prispevka iz plasti 0–15 cm.

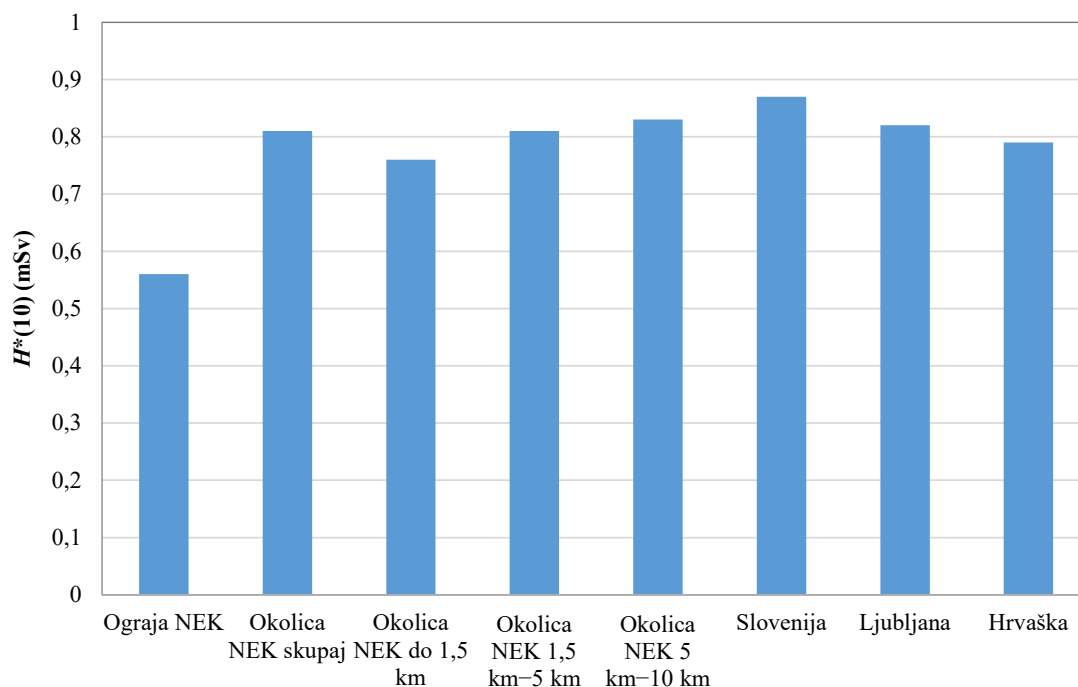
V izpuhu NEK se, razen žlahtnih plinov, radionuklidov joda, Co-58, Co-60, Se-75, Ag-119m in Cs-137 v letu 2021 niso pojavili drugi sevalci gama. Tekočinski izpusti NEK so vsebovali aktivacijske in fisijske produkte, sevalce gama, Mn-54, Co-58, Co-60, Nb-95, Ag-110m, Sb-125 in Cs-137. Noben od teh radionuklidov, ki so bili prisotni v tekočinskih izpustih, ni bil izmerjen v vzorcih zemlje. Izjema je Cs-137, pri katerem izmerjene vrednosti na lokacijah okrog NEK v primerjavi z vrednostmi na referenčni lokaciji v Ljubljani kažejo, da ni posledica izpustov iz NEK, ampak zgolj globalne kontaminacije.

Meritve TLD

Rezultati meritev doze zunanjega sevanja (sevanja gama in ionizirajoče komponente kozmičnega sevanja) za leto 2021 so v poročilu *Merski rezultati – nadzor radioaktivnosti v okolici Nuklearne elektrarne Krško – Poročilo za leto 2021, IJS-DP-13759* v tabelah T-53/b in T-53/c za dozimetre v okolici NEK, za dozimetre na ograji NEK in v okolici suhega skladišča NEK. V tabeli 5.1 in na sliki 5.4 so povzeti povprečni letni okoljski dozni ekvivalenti za okolico NEK, za ograjo NEK, za Slovenijo in za okolico Zagreba. V okviru merske negotovosti so letni okoljski dozni ekvivalenti v različnih oddaljenostih od NEK primerljivi s tistimi v preteklih letih.

Tabela 5.1: Letni okoljski dozni ekvivalent $H^*(10)$ na ograji NEK, v okolici NEK, v Sloveniji, Ljubljani in na Hrvaškem v letu 2021

Lokacija	Št. TLD	$H^*(10)$ (mSv)	Razpon $H^*(10)$ (mSv)
Na ograji NEK	9	$0,56 \pm 0,03$	0,51–0,59
Okolica NEK skupaj	57	$0,77 \pm 0,11$	0,52–1,01
Okolica NEK do 1,5 km	8	$0,76 \pm 0,11$	0,66–1,01
Okolica NEK od 1,5 km do 5 km	25	$0,77 \pm 0,10$	0,62–0,97
Okolica NEK od 5 km do 10 km	24	$0,79 \pm 0,11$	0,52–0,96
Slovenija	50	$0,84 \pm 0,17$	0,56–1,34
Ljubljana – referenčna lokacija	1	$0,82 \pm 0,09$	–
Hrvaška	10	$0,79 \pm 0,12$	0,65–1,00

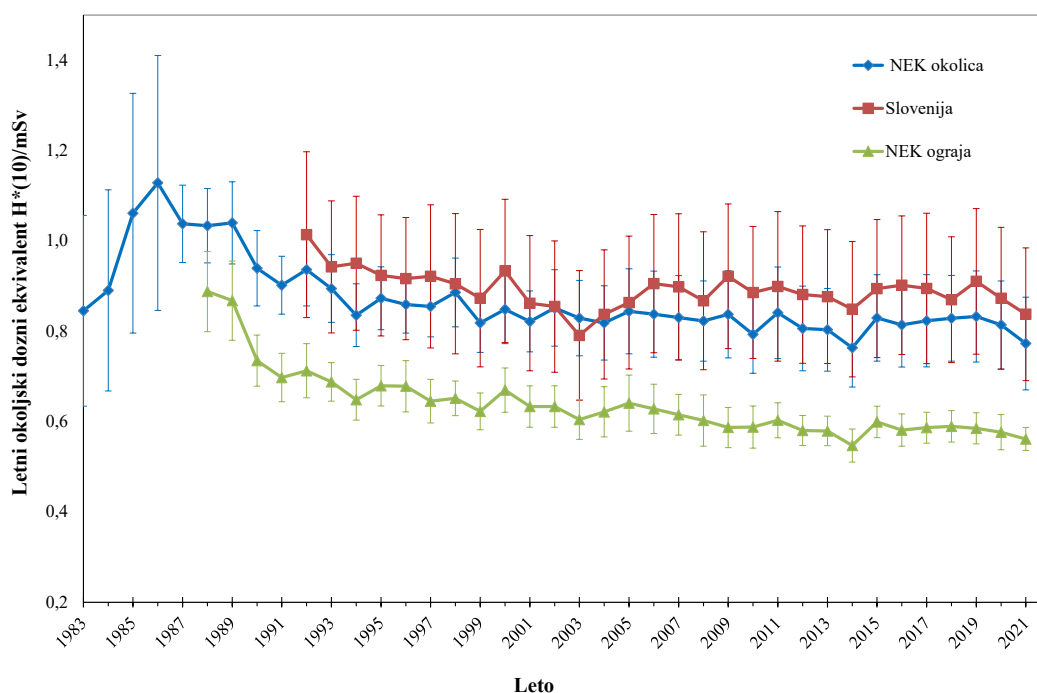


Slika 5.4: Primerjava med povprečnimi okoljskimi doznimi ekvivalenti $H^*(10)$, izmerjenimi v okolici NEK, na referenčni lokaciji v Ljubljani, povprečnimi ekvivalenti, izmerjenimi na Hrvaškem v okviru programa nadzora radioaktivnosti v okolici NEK, ter povprečnimi ekvivalenti, izmerjenimi v okviru meritev radioaktivnosti v življenjskem okolju v Republiki Sloveniji

Na sliki 5.5 so povzeti rezultati meritev povprečnih letnih okoljskih doznih ekvivalentov, izmerjenih v okolici NEK, na ograji NEK in v Sloveniji od leta 1983 do leta 2021. Meritve v Sloveniji kažejo, da je povprečni letni okoljski dozni ekvivalent v okolici NEK sistematično nekoliko nižji kot v življenjskem okolju v Sloveniji. Iz tabele 5.1 in slike 5.4 je razvidno, da so letne doze na ograji NEK za približno 30 % nižje kot sicer doze v okolju. Razliko pripisujemo prodnatim tlom z odstranjeno plastjo zemlje in zaščitnemu delovanju zgradb ter asfaltiranih površin znotraj ograje NEK, ki slabijo zunanje sevanje naravnih radionuklidov iz zemljišča. Neposredni učinek sevanja iz elektrarniških objektov na ograji ni merljiv [1].

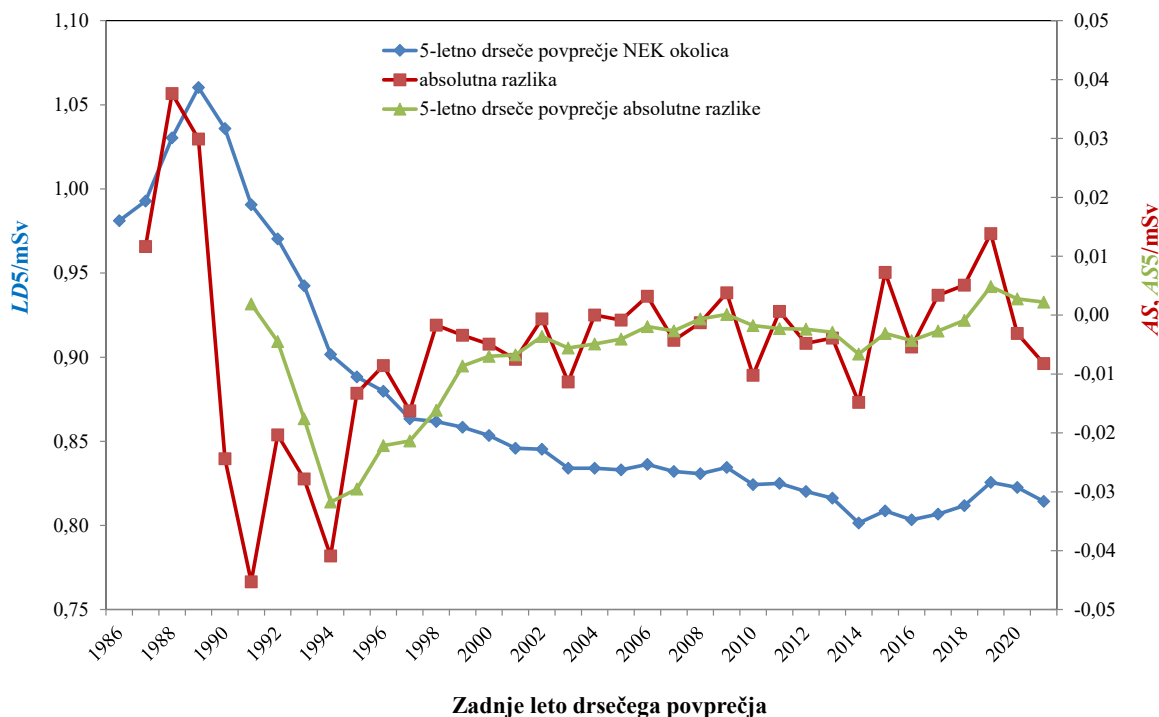
Za meritve, narejene na območju Slovenije, je značilno izrazito zmanjševanje letne doze, predvsem v prvih letih po černobilski nesreči, ki se je zgodila leta 1986, sedaj pa je okoljski dozni ekvivalent $H^*(10)$ konstanten. Vzroka sta razpad usedlih kratkoživih sevalcev gama, ki so v začetnem obdobju največ prispevali k zunanjemu sevanju, in prodiranje Cs-137 v globino. V zadnjih desetih letih, ko je v okolju še edini umetni sevalec gama Cs-137, je upadanje, ki ga lahko pripišemo radioaktivnemu razpadu Cs-137, izzvenelo, saj je njegov učinek na zmanjšanje letne doze manjši od razsutja izmerkova. Na sliki 5.6 je prikazano 5-letno drseče povprečje absolutnih sprememb letnih doz (AS5) v okolici NEK.

Slika 5.7 prikazuje povprečni okoljski dozni ekvivalent na Hrvaškem, izmerjen v okviru radiološkega nadzora okolice NEK, po letu 2010. Razvidno je, da je v zadnjih letih povprečni letni dozni ekvivalent, izmerjen s TLD na Hrvaškem, manjši od tistega, ki je bil izmerjen s TLD v okolici NEK, vendar se je, podobno kot v Sloveniji, v zadnjih letih zmanjševanje doze ustavilo.

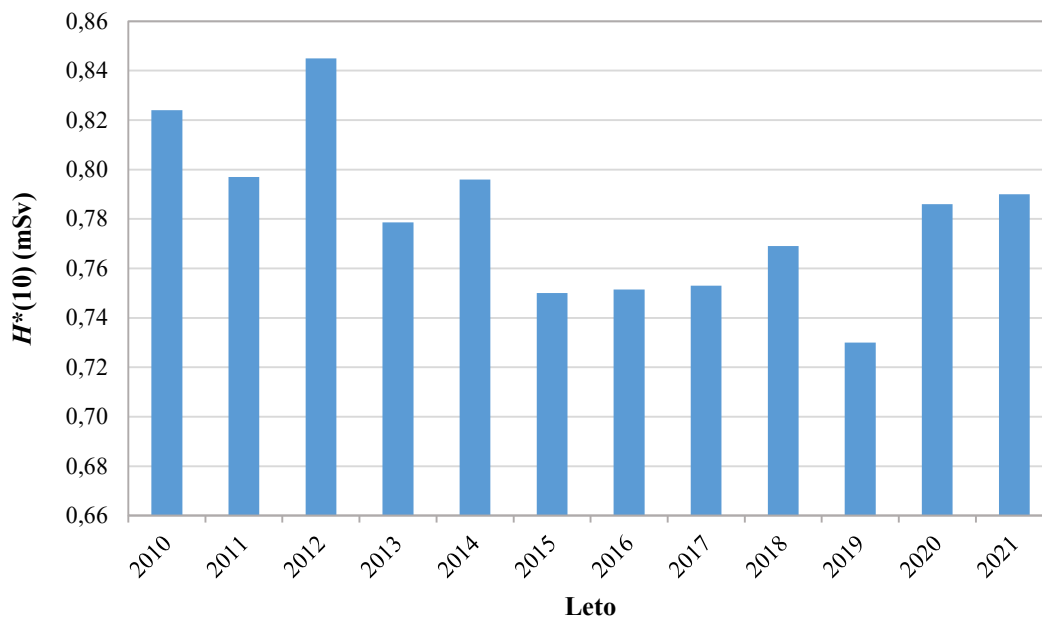


Slika 5.5: Povprečni letni okoljski dozni ekvivalent $H^*(10)$ v okolici NEK, na ograji NEK, in v Sloveniji od začetka meritev do 2021

Drseče povprečje letnih doznih ekvivalentov $H^*(10)$ v okolici NEK



Slika 5.6: Petletno drseče povprečje letnih doznih ekvivalentov $H^*(10)$ (LD_5), absolutna sprememba 5-letnega drsečega povprečja (AS) in 5-letno drseče povprečje absolutne spremembe (AS_5) v okolici NEK od 1986 do 2021. Negotovosti za LD_5 so med 0,030 mSv in 0,11 mSv, za AS med 0,043 mSv in 0,13 mSv ter za AS_5 med 0,019 mSv in 0,033 mSv. Zaradi boljše preglednosti negotovosti na sliki niso prikazane.



Slika 5.7: Povprečni okoljski dozni ekvivalent na Hrvaškem, izmerjen v okviru radiološkega nadzora okolice NEK po letu 2010

Sevanje iz zemlje

Iz meritev specifičnih aktivnosti naravnih radionuklidov v zemlji lahko ocenimo prispevek zemeljskega sevanja. Za izračun letnega okoljskega doznega ekvivalenta $H^*(10)$ uporabimo enačbo (5.1), ki jo dobimo iz enačbe (8) v [4]:

$$H^*(10)_{\text{letno}} = \sum_i w_i C_i \quad (5.1)$$

V enačbi smo s C_i označili specifične aktivnosti Ra-226, Th-232 (Ra-228, Th-228), K-40 in Cs-137 v zemlji, izražene z enoto Bq/kg. Koeficienti w_i so značilni za posamezne radionuklide ali radionuklide v razpadni shemi določenega radionuklida, ustrezne vrednosti za posamezni radionuklid pa so po vrsti: 4,94, 6,56, 0,449 in 1,68, izraženi v enotah $\mu\text{Sv}/(\text{Bq}/\text{kg})$. Te vrednosti so izračunane na podlagi koeficientov enačbe (9) v [4] ob predpostavki zadrževanja na prostem 8 760 ur. Enačba (9) v [4] je primerna za izračun letnega okoljskega doznega ekvivalenta, če je porazdelitev radionuklidov neodvisna od globine. To dobro velja za naravne radionuklide, ne velja pa za porazdelitev cezija, ki se spreminja z globino [4]. Zato je bil prispevek Cs-137 izračunan na podlagi realne porazdelitve, kot je opisano v poglavju *Ocena učinkov*. Iz rezultatov meritev specifičnih aktivnosti radionuklidov v zemlji, ki so zbrani v tabelah T-57, T-59 in T-60, lahko povzamemo povprečne aktivnosti Ra-226, Ra-228, Th-228, K-40 in Cs-137 v globinah od 0 cm do 15 cm na lokacijah v Gmajnicah, Kusovi Vrbini in Ameriki.

Na lokacijah Gmajnice in Amerika se vzorči neobdelana zemlja, ki je podobna kot podlaga pri večini merilnih postaj za TLD. Na lokaciji Kusova Vrbina pa se vzorči mešanica naplavin in zemlje, ki je podobna podlagi, na kateri stoji TLD v neposredni bližini. Iz povprečnih specifičnih aktivnosti Ra-226, Ra-228, Th-228, K-40 in Cs-137 v zemlji na lokacijah Gmajnice, Kusova Vrbina in Amerika po enačbi (5.1) izračunamo letni okoljski dozni ekvivalent za omenjene lokacije. Rezultati so zbrani v tabeli 5.2.



Tabela 5.2: Primerjava izračunanega in izmerjenega letnega okoljskega doznega ekvivalenta v letu 2021 za tri lokacije vzorčenja zemlje v okolici NEK. Ionizirajoča komponenta kozmičnega sevanja 0,26 mSv je izračunana s pomočjo programa EXPACS ([74], [75], [76]).

Radionuklid	Povprečna specifična aktivnost (0–15 cm) (Bq/kg)	Letni okoljski dozni ekvivalent, $H^*(10)$		Letni okoljski dozni ekvivalent, $H^*(10)$ (TLD) (mSv)
		Sevanje tal	Sevanje tal in ionizirajoča kozmična komponenta	
Gmajnice				št. dozimetra 59
U-238	35,5 ± 3,4	0,65 ± 0,02	0,91 ± 0,02	0,70 ± 0,09
Ra-226	42,5 ± 3,3			
Ra-228	31,1 ± 0,9			
Th-228	31,1 ± 0,8			
K-40	370 ± 12			
Cs-137	40,6 ± 1,3			
Kusova Vrbina				št. dozimetra 21
U-238	25,9 ± 4,0	0,47 ± 0,01	0,73 ± 0,01	0,65 ± 0,10
Ra-226	32,3 ± 2,6			
Ra-228	24,5 ± 0,7			
Th-228	24,3 ± 0,6			
K-40	320 ± 10			
Cs-137	2,7 ± 0,2			
Amerika				št. dozimetra 63
U-238	30,8 ± 2,7	0,63 ± 0,02	0,89 ± 0,02	0,77 ± 0,10
Ra-226	42,2 ± 3,3			
Ra-228	32,6 ± 0,9			
Th-228	33,3 ± 0,9			
K-40	410 ± 13			
Cs-137	16,3 ± 0,7			

Povprečne svetovne specifične aktivnosti v zemlji, ki jih navaja UNSCEAR, so 420 Bq/kg za K-40, 33 Bq/kg za U-238 in 45 Bq/kg za Th-232 [67]. Te vrednosti se dobro ujemajo z izmerjenimi vrednostmi v zemlji v okolici NEK, ki so navedene v tabeli 5.2. Iz tabele sledi, da se doza zaradi sevanja iz tal in ionizirajoče komponente kozmičnih žarkov ujema z dozo, izmerjeno z dozimetrom TLD v Kusovi Vrbini, kjer poteka vzorčenje zemlje v neposredni bližini dozimetra. Na drugih dveh lokacijah ujemanja ni, kar pojasnjujemo s tem, da se lokacija vzorčenja zemlje ne ujema povsem z lokacijo, kjer je postavljen dozimeter TLD.

Z uporabo programa EXPACS ([74], [75], [76]) izračunamo, da je letni okoljski dozni ekvivalent kozmičnih žarkov v Krškem (nadmorska višina 155 m) 0,33 mSv, od tega odpade 0,07 mSv na dozo zaradi nevtronov, na katere dozimetri TLD niso občutljivi. V Velikem Trnu (nadmorska višina 434 m) pa je letni okoljski dozni ekvivalent 0,38 mSv, od česar odpade 0,09 mSv na nevtrone, kar pomeni, da je doza zaradi ionizirajoče komponente kozmičnega sevanja na nadmorskih višinah dozimetrov v okolici jedrskega objekta v Krškem skoraj enaka 0,26 mSv. Ionizirajočo komponento kozmičnega sevanja prištejemo prispevku sevanja tal, da ocenimo letni dozni ekvivalent v tabeli 5.2.

Iz tabele 5.2 lahko ocenimo, da je prispevek zemeljskega sevanja k letnemu okoljskemu doznemu ekvivalentu v okolici NEK v razponu od 0,47 mSv do 0,65 mSv. Izračunani prispevek kozmične



komponente je približno eno tretjino celotne letne doze brez nevtronske komponente. Za lokacijo Kusova Vrba se vsota obeh prispevkov v okviru negotovosti ujema z izmerki TLD.

Hitrost doze v okolici NEK se meri s štirinajstimi kontinuirnimi merilniki hitrosti doze MFM. Rezultati so v tabeli T-56/a na priloženi zgoščenci v poročilu *Merski rezultati – nadzor radioaktivnosti v okolici Nuklearne elektrarne Krško – Poročilo za leto 2021, IJS-DP-13759, marec 2022*. Pri rezultatih meritev s temi merilniki je lastno ozadje merilnikov upoštevano in odšteto od izmerkov. V letu 2021 je bil izmerjen povprečni letni okoljski dozni ekvivalent $H^*(10)$ ($0,85 \pm 0,15$) mSv v območju od 0,65 mSv do 1,16 mSv. Ta vrednost se ujema s povprečnim letnim okoljskim doznim ekvivalentom, ki je bil izmerjen s TLD v okolici NEK (tabela 5.1). Povprečni letni okoljski dozni ekvivalent pri preostalih 60 kontinuirnih merilnikih v Sloveniji, ki so pod nadzorom URSJV, je bil v letu 2021 ($0,88 \pm 0,15$) mSv v območju od 0,60 mSv do 1,27 mSv. Ta vrednost je enaka povprečni vrednosti, določeni na podlagi meritev s TLD na območju Slovenije (tabela 5.1). Iz primerjave letnih okoljskih doznih ekvivalentov v tabeli T-56, izmerjenih z MFM, z letnimi okoljskimi doznimi ekvivalenti, izmerjenimi s TLD po Sloveniji (tabela T-54/b v poročilu *Merski rezultati – nadzor radioaktivnosti v okolici Nuklearne elektrarne Krško – Poročilo za leto 2021, IJS-DP-13759*), je mogoče ugotoviti, da se na posameznih lokacijah vrednosti, izmerjene z MFM in TLD, lahko razlikujejo tudi za 30 %, kar je posledica različne podlage na mestih, kjer sta postavljena merilnika MFM in TLD na določeni lokaciji. Na IJS, kjer sta oba merilnika postavljena v neposredni bližini, se vrednost ($0,76 \pm 0,03$) mSv, določena z MFM, v okviru negotovosti ujema z vrednostjo ($0,82 \pm 0,09$) mSv, določeno s TLD.

OCENA UČINKOV

Iz dejanske globinske porazdelitve specifične aktivnosti Cs-137 je bil ocenjen letni okoljski dozni ekvivalent $H^*(10)$, ki je posledica globalne kontaminacije. Za izračun hitrosti doze so bili uporabljeni rezultati simulacije Monte Carlo, ki omogočajo določitev prispevkov Cs-137 iz različnih globin [70]. Okoljski dozni ekvivalent $H^*(10)$ je bil izračunan iz zveze $H^*(10) = w \cdot D$ po standardu ISO 4037-3, pri čemer je D absorbirana doza v zraku na letni ravni, $w = 1,20$ pa je konverzijski faktor za pretvorbo absorbirane doze v okoljski dozni ekvivalent za Cs-137. Iz tabele 5.3 je razvidno, da so ocenjeni letni okoljski dozni ekvivalenti zaradi Cs-137 na lokacijah v okolici NEK v območju med 0,002 mSv in 0,028 mSv. To je primerljivo z vrednostmi na lokacijah, kjer se zemlja vzorčuje v okviru nadzora radioaktivnosti v Republiki Sloveniji. Tam so ocenjene letne doze $H^*(10)$ v območju od 0,011 mSv do 0,042 mSv.

Kot je bilo ugotovljeno, prispevkov NEK k dozi zunanjega sevanja ni mogoče neposredno meriti z merilniki TLD in MFM. Mreža TLD meri skupno dozo sevanja gama naravnih radionuklidov v okolju, ionizirajoče komponente kozmičnega sevanja ter prispevka globalne kontaminacije s Cs-137. Povprečni izmerjeni letni okoljski dozni ekvivalent v okolici NEK je bil v letu 2021 ($0,77 \pm 0,09$) mSv, kar se ujema z vrednostjo ($0,81 \pm 0,10$) mSv v letu 2020.

Ker okoljski TLD ne merijo doze nevtronske komponente kozmičnega sevanja, je bila le-ta izračunana z uporabo programa EXPACS ([74], [75], [76]). Program omogoča izračun doze, ki je posledica posameznih komponent kozmičnega sevanja vključno z nevtronsko komponento za poljubno geografsko dolžino in širino. Za leto 2021 je prispevek nevtronov k letnemu okoljskemu dozemu ekvivalentu 0,068 mSv.

Kot je bilo že omenjeno, je bil prispevek sevanja gama iz objektov znotraj ograje NEK k letni dozi na ograji pod mejo zaznavnosti. V preteklosti so bile opravljene tudi meritve hitrosti doze nevtronov zunaj ograje NEK, pri katerih se je pokazalo, da je bilo izmerjeno le naravno ozadje kozmičnih nevtronov [71]. Torej lahko za vse vrste sevanj sklenemo, da je prispevek iz objektov znotraj ograje NEK k zunanji dozi zunaj ograje zanemarljiv.

Letne efektivne doze zunanjega sevanja ob prehodu oblaka (imerzijske doze) pri atmosferskih izpustih iz NEK so ocenjene v poglavju *Zrak* na podlagi podatkov o izpuščenih aktivnostih in ob upoštevanju razredčitvenih koeficientov, dobljenih iz Lagrangeevega modela.



Tabela 5.3: Ocenjena letna vrednost $H^*(10)$ zaradi globalne kontaminacije s Cs-137 do globine 30 cm v letu 2021

LOKACIJA	$H^*(10)$ (mSv)	LOKACIJA	$H^*(10)$ (mSv)
Gmajnice	$0,028 \pm 0,006$	Ljubljana	$0,025 \pm 0,005$
Kusova Vrbina	$0,002 \pm 0,001$	Kobarid	$0,042 \pm 0,008$
Amerika	$0,013 \pm 0,003$	Murska Sobota	$0,011 \pm 0,002$

Okoljskega doznega ekvivalenta zaradi usedanja iz oblaka ne moremo izmeriti, lahko pa ga računsko ocenimo na podlagi emisij iz NEK, razredčitvenih koeficientov in doznih pretvorbennih koeficientov. Used se računa za lokacije, na katerih poteka vzorčenje zraka. Podatki, ki so potrebni za izračun, so izpusti iz NEK in depozicijski faktorji na posameznih lokacijah. Depozicijski faktorji se računajo po Lagrangeevem modelu, ki upošteva realne meteorološke podatke o gibanju zračnih mas in o padavinah. Rezultati izračuna za leto 2021 vključno z modelirano domeno so predstavljeni v poglavju o radioaktivnosti v zraku. Iz podatkov o gibanju zračnih mas se določijo razredčitveni koeficienti χ/Q , ki opisujejo koncentracijo radionuklidov v posameznih celicah modelne domene. Velikost modelne domene v NEK je $25 \text{ km} \times 25 \text{ km} \times 3 \text{ km}$ in je razdeljena na 100×100 celic v horizontalni smeri in 20 celic po vertikali. Celica je velika $250 \text{ m} \times 250 \text{ m}$, navpična dimenzija celice pa je spremenljiva in je odvisna od višine, v kateri je celica. Tabelirane vrednosti depozicijskih faktorjev in razredčitvenih koeficientov so v poročilu *Merski rezultati – nadzor radioaktivnosti v okolici Nuklearne elektrarne Krško – Poročilo za leto 2021, IJS-DP-13759*, marec 2022.

Depozicijski faktor (imenovan tudi *koeficient relativne depozicije*) D/Q za določeno lokacijo z enoto s/m^2 se izračuna po enačbi:

$$D/Q = k_T \cdot (\chi/Q)_1 \cdot h_1 + k_{\text{WDD}} \cdot \sum_{i=1}^N (\chi/Q)_i \cdot h_i \quad (5.2)$$

Pri tem je k_T faktor dotika, ki pove, kolikšen del radionuklidov se odloži pri stiku zračnih mas s tlemi, $(\chi/Q)_1$ razredčitveni koeficient prvega prizemnega nivoja, h_1 višina prvega prizemnega nivoja, k_{WDD} faktor mokrega in suhega nanosa, $(\chi/Q)_i$ razredčitveni koeficienti nivoja i , h_i višina nivoja i in N število nivojev v domeni.

Prispevki k letni efektivni dozi zaradi useda iz oblaka so zbrani v tabeli 5.4. Letna efektivna doza za posamezni radionuklid na določeni lokaciji je produkt letnega izpusta, depozicijskega faktorja iz enačbe (5.2), ki so ga izračunali v podjetju MEIS storitve za okolje, d. o. o., in doznega pretvorbennega koeficienta DCF [77]. Ta upošteva izpostavljenost zaradi useda in resuspenzije s tal po štirih dneh, pri končni oceni efektivne doze pa smo konzervativno privzeli, da se je izpust celoletne aktivnosti ponavljal vsake 4 dni vse leto (skupni ocenjeni letni izpust je vsota približno 91 dejanskih izpustov v tem letu). Iz rezultatov je razvidno, da je bila v letu 2021 letna efektivna doza največja na oddaljenosti 0,2 km od ventilacijskega izpusta NEK (zahodna ograja, okvirno velja tudi za razdaljo 500 m od osi reaktorja), vendar je tudi ta prispevek popolnoma zanemarljiv glede na druge prispevke zunanega sevanja. Tega prispevka NEK ni mogoče izmeriti niti s TLD niti z merilniki, ki neprekinjeno merijo ionizirajoče sevanje v okolici NEK, saj je daleč pod mejo detekcije. Že same variacije letnih efektivnih doz na posameznih lokacijah zaradi različnosti naravnega sevanja daleč presega prispevek NEK.


Tabela 5.4: Ocena letne efektivne doze zunanjega sevanja zaradi useda radioaktivnih snovi za izbrane lokacije z značilnimi razdaljami od NEK za leto 2021

Lokacije			Ograja NEK	Vrbina	Spodnji Stari Grad	Žadovinek	Vihre	Brežice
Oddaljenost od ventilacijskega izpusta NEK (km)			0,2	0,8	1,5	1,7	3,1	7,1
Radionuklid	Izpust (Bq na leto)	DCF (Sv na leto) / (Bq/m ²)	Letna efektivna doza zunanjega sevanja zaradi useda radioaktivnih snovi (mSv)					
I-131	1,79E+05	9,40E-11	6,54E-14	7,43E-15	1,00E-14	9,17E-15	1,37E-15	1,12E-15
I-132	–	6,59E-12	–	–	–	–	–	–
I-133	–	4,32E-11	–	–	–	–	–	–
H-3	6,73E+12	–	–	–	–	–	–	–
C-14	1,03E+11	1,27E-13	5,06E-11	5,75E-12	4,40E-10	7,75E-12	1,06E-12	8,70E-13
Cr-51	–	2,66E-11	–	–	–	–	–	–
Mn-54	–	4,39E-09	–	–	–	–	–	–
Co-58	1,47E+04	2,04E-09	1,16E-13	1,32E-14	1,78E-14	1,63E-14	2,44E-15	2,00E-15
Co-60	5,57E+03	1,74E-08	3,75E-15	4,26E-14	5,75E-14	5,26E-14	7,87E-15	6,45E-15
Zr-95	–	1,41E-09	–	–	–	–	–	–
Nb-95	–	8,15E-10	–	–	–	–	–	–
Ag-110m	9,43E+02	6,48E-10	2,37E-15	2,69E-16	3,63E-16	3,32E-16	4,97E-17	4,07E-17
Sb-124	–	4,05E-10	–	–	–	–	–	–
Te-125m	7,80E+03	6,38E-11	1,93E-15	2,19E-16	2,96E-16	2,71E-16	4,05E-17	3,32E-17
Te-127m	2,35E+04	3,46E-11	3,16E-15	3,59E-16	4,84E-16	4,43E-16	6,62E-17	5,43E-17
Cs-137	1,27E+06	4,45E-09	2,19E-11	2,48E-12	3,35E-16	1,35E-12	4,58E-13	3,76E-13
Se-75	1,22E+05	1,24E-09	5,87E-13	6,66E-14	8,99E-14	8,23E-14	1,23E-14	1,01E-14
Sr-90	1,04E+03	2,21E-12	8,93E-18	1,01E-18	1,37E-18	1,25E-18	1,87E-19	1,54E-19
VSOTA			7,37E-11	8,36E-12	1,13E-11	1,03E-11	1,54E-12	1,27E-12

Tabela 5.5: Doze $H^*(10)$ zaradi zunanjega sevanja v letu 2021 za prebivalstvo v okolici NEK

Vir	Podatki	$H^*(10)$ (mSv)
sevanje gama + ionizirajoča komponenta kozmičnega sevanja	TLD	0,77 (92 %)
kozmični nevtroni	[67], [74], [75], [76]	0,07 (8 %)
naravno sevanje – skupaj		0,84 (100 %)
kontaminacija zaradi černobilske nesreče in poskusnih jedrskih eksplozij	Cs-137 v zemlji	0,014 (1,7 %)*
NEK – atmosferski izpusti	used (model)	7,4E-11
SKUPAJ		0,86

* Ocena deleža glede na naravno sevanje. V tej oceni ni upoštevano, da se prebivalec (referenčna oseba) zadržuje 20 % časa na prostem in da je faktor ščitenja pri zadrževanju v zgradbah 0,1, temveč je konservativno privzeto, da se prebivalec ves čas zadržuje na prostem. Za izračun hitrosti doze so bili uporabljeni rezultati računa Monte Carlo, ki omogoča določitev prispevkov Cs-137 iz različnih globin [70].



Učinek usedanja in izpiranja iz ozračja umetne radioaktivnosti zaradi izpustov NEK je predstavljen v tabeli 5.4. Ocena vrednosti letnega okoljskega doznega ekvivalenta iz izpustov NEK je na lokacijah v okolici NEK večja od ocen vrednosti za leto 2020, ker so bili izpusti v atmosfero večji. Vredno je omeniti, da približno dve tretjini doze prispeva C-14, eno tretjino pa Cs-137. Ostali izotopi prispevajo približno 2 %. Ker C-14 seva le žarke beta s kratkim dosegom, je doza izračunana pri konzervativni predpostavki, da je površina telesa v neposrednem kontaktu s kontaminirano površino.

V tabeli 5.5 so povzete ocenjene letne vrednosti $H^*(10)$ za prebivalstvo¹⁸ v okolici NEK. Prevladuje izpostavitve zaradi naravnega sevanja in useda Cs-137 zaradi globalne kontaminacije. Prispevek NEK je zanemarljiv.

SKLEPI

Specifične aktivnosti naravnih radionuklidov v vzorcih zemlje v letu 2021 so primerljive z vrednostmi, izmerjenimi v prejšnjih letih, in s podatki, ki jih kot svetovno povprečje navaja UNSCEAR. Letni okoljski dozni ekvivalent $H^*(10)$ zaradi naravnih radionuklidov v zemlji je med 0,47 mSv in 0,68 mSv.

Prisotnost umetnih radionuklidov v okolju je posledica globalne kontaminacije zaradi jedrskih poskusov in črnobilske nesreče. Učinka NEK tudi v letu 2021 ni bilo mogoče zaznati. Prispevek Cs-137 k letni dozi $H^*(10)$ je od 0,4 % do 3 % skupne doze zaradi naravnih in umetnih radionuklidov v zemlji. Letni okoljski dozni ekvivalent zaradi globalne kontaminacije s Cs-137 na lokacijah v okolici NEK, ocenjeni ob predpostavki realne globinske porazdelitve Cs-137, je v območju med 0,002 mSv in 0,028 mSv, kar je v povprečju manj kot na lokacijah vzorčenja v okviru nadzora radioaktivnosti v Republiki Sloveniji. To je dodatna potrditev ugotovitve, da v okolju ni mogoče opaziti učinkov zaradi izpustov iz NEK.

Okoljski dozni ekvivalent, izmerjen s TLD na ograji NEK, je za 30 % nižji kot v okolici NEK. To kaže, da je prispevek NEK k dozni obremenitvi v okolici zaradi sevanja iz objektov NEK zanemarljiv in nemerljiv.

Povprečna vrednost letnega okoljskega doznega ekvivalenta, izmerjenega s TLD v okolici NEK, se ujema s povprečno vrednostjo, izmerjeno s kontinuirnimi merilniki hitrosti doze MFM. Povprečji, izmerjeni z merilniki TLD in MFM, sta 0,77 mSv in 0,85 mSv. To potrjuje zanesljivost meritev, saj se rezultati, dobljeni z različnimi merskimi metodami, ujemajo.

Vrednost $H^*(10)$ zaradi zunanjega sevanja naravnih sevalcev gama, ionizirajoče komponente kozmičnega sevanja in kozmičnih nevtronov v letu 2021 je bila za prebivalstvo v okolici NEK 0.84 mSv na leto in je primerljiva z oceno za svetovno prebivalstvo ter z ocenami za okolico NEK v prejšnjih letih. Ocenjena vrednost $H^*(10)$ se v okviru negotovosti ujema z izmerki TLD, kar potrjuje zanesljivost modelne ocene.

Prispevek k zunanjemu sevanju zaradi atmosferskih izpustov radioaktivnih snovi, izračunan na podlagi Lagrangeevega modela nanosa iz oblaka, je mnogo redov velikosti nižji od drugih prispevkov in popolnoma zanemarljiv. Konservativno ocenjujemo, da je letna efektivna doza zaradi zunanjega sevanja izpustov iz NEK manjša od $1,0 \cdot 10^{-4}$ nSv na robu izključitvenega območja in na večjih razdaljah, torej daleč pod detekcijsko mejo merilnikov. Meja detekcije z merilniki TLD je 7,5 μ Sv, torej bi merilniki brez težav ugotovili potencialno nevarne nivoje zunanjega sevanja zaradi izpustov NEK v ozračje. Omenjeno detekcijsko mejo bi seveda dosegli le ob večji pogostosti meritev, kot je dvakrat na leto.

¹⁸ Za oceno obremenitve prebivalstva zaradi izpustov iz jedrskega objekta se uporablja referenčna oseba, ki predstavlja posameznika iz prebivalstva, ki prejema ali bi lahko prejeli najvišje doze.





6 RADIONUKLIDI V HRANI

POVZETEK

Z ugotavljanjem specifičnih aktivnosti radionuklidov v živilih, vzorčenih v okolici NEK, preverjamo učinek izpustov NEK na hrano in ocenjujemo sevalno obremenitev prebivalstva zaradi uživanja hrane, pridelane na krško-brežiškem polju. Specifične aktivnosti radionuklidov v živilih, vzorčenih v okolici NEK, smo primerjali s specifičnimi aktivnostmi radionuklidov v živilih, vzorčenih drugod po Sloveniji.

V hrani je vsebnost umetnih radionuklidov Cs-137 in Sr-90, ki izvirata iz globalne kontaminacije okolja, povečala sevalno obremenitev odrasle referenčne osebe iz okolice NEK še za 0,5 μ Sv, kar je le 0,5 % celotne izračunane letne efektivne doze zaradi zaužitja hrane brez upoštevanja K-40. To je z biološkega vidika zanemarljivo. Sevalna obremenitev prebivalcev drugod po Sloveniji zaradi zaužitja hrane, kontaminirane s Cs-137 in Sr-90, je 0,6 μ Sv. V primerjavi merskih rezultatov za hrano iz okolice NEK in iz Republike Slovenije se upoštevajo le živila, ki so v skupnem naboru. V letu 2021 k dozi splošnih kontaminantov Cs-137 in Sr-90 v okolici NEK največ prispeva specifična aktivnost Sr-90 v listni zelenjavi, pri oceni efektivne doze drugod po Sloveniji pa specifična aktivnost Cs-137 v mesu in žitih. Specifična aktivnost Cs-137 v divjačini (zajec) je bila v 2021 primerljiva z drugimi živili, vzorčenimi v okolici NEK in drugod po Sloveniji, čeprav v gozdnih ekosistemih po Sloveniji občasno še vedno ugotavljamo zelo visoke vsebnosti Cs-137 kot posledico nesreče v Černobilu in preteklih jedrskih poskusov. V borovnicah iz Kamnika smo namreč namerili 38,9 Bq/kg.

V zračnih izpustih NEK za tritijem prevladuje radionuklid C-14. Ta se, enako kot ogljik C-12, v procesu fotosinteze vgrajuje v rastline in s hrano prehaja v živali in ljudi. Ocenjena efektivna doza referenčne osebe, prejeta zaradi zaužitja hrane, ki vsebuje C-14, je v okolici NEK – na robu izključitvenega območja in navzven – $(15,0 \pm 0,4)$ μ Sv, v krajih, kjer vpliva NEK v letu 2021 ni bilo mogoče zaznati (Dobova), pa $(14,8 \pm 0,5)$ μ Sv. Med obema vrednostnima ni statistično značilne razlike (ob veliki negotovosti ocenjene vrednosti), doza 0,14 μ Sv pa je primerljiva z ocenami iz prejšnjih let in je z biološkega vidika zanemarljiva.

UVOD

Izpusti radionuklidov v okolje, bodisi zaradi normalnega obratovanja jedrskih objektov ali izrednih dogodkov, potencialno izpostavljajo okoliško prebivalstvo ionizirajočemu sevanju. Radionuklidi najpogosteje prehajajo v okolje prek izpustov v atmosfero ali v vodne sisteme, pri čemer prihaja do kontaminacije zraka, vode, tal, rastlinstva in živalstva. Poti vnosa radionuklidov v človeški organizem sta predvsem inhalacija in zaužitje, zato je v okolici nuklearnih objektov potreben stalen nadzor radioaktivnosti v zraku, vodi, tleh, pa tudi v hrani rastlinskega in živalskega izvora, ki se prideluje v okolici jedrskih objektov.

V hrano rastlinskega izvora prehajajo radionuklidi predvsem preko koreninskega sistema rastlin, delno pa tudi s površine listov, kamor se odložijo kot usedi iz atmosfere. Sem spada predvsem kontaminacija s Pb-210, ki je naravni radionuklid in ga v izpustih NEK ne zaznamo. Stopnja privzema radionuklidov v rastline prek koreninskega sistema je v največji meri odvisna od biorazpoložljivosti posameznih radionuklidov v tleh, na kar poleg topnosti radionuklidov vplivajo predvsem abiotski in biotski talni dejavniki [77], [78]. Na absorpcijo radionuklidov v rastline prek listne površine vplivajo morfološke značilnosti rastlin (velikost površine, strukture na listih) in okoljski dejavniki, kot sta količina padavin in vetrovnost. Rastlinski organi se z radionuklidi površinsko kontaminirajo tudi zaradi neposrednega stika z zemljo, kar velja predvsem za gomolje, korenike, čebule ter liste in plodove, ki uspevajo pri tleh [79]. Na vsebnost radionuklidov v rastlinah vplivajo tudi človeške aktivnosti, kot so obdelovanje površin, gnojenje, uporaba pesticidov, promet in industrijsko onesnaževanje.

Specifična aktivnost radionuklidov v hranilih živalskega izvora je povezana predvsem s tem, da živali



užívajo z radionuklidi kontaminirano hrano in vodo. Na stopnjo kontaminacije živalskega organizma, zlasti organizma rastlinojedov, v veliki meri vpliva preferenca prehranjevanja z določenimi vrstami rastlinske hrane [79], radionuklide pa najdemo tudi v krmilih za prehrano domačih živali. Končno koncentracijo radionuklidov v živalskem organizmu določa razmerje med asimilacijo in izločanjem. Kopičenje v posameznih organih oziroma tkivih je v veliki meri odvisno od fizikalnih in kemijskih značilnosti posameznega radionuklida, vrste hrane in vsebnosti elementov, ki s posameznim radionuklidom tekmujejo za privzem, ter od fiziološkega stanja živali. Na vnos radionuklidov v človeški organizem vplivajo podobni faktorji kot na vnos v živalski organizem, le da ljudje s predhodno pripravo in čiščenjem hrane (pranje, lupljenje) lahko dodatno zmanjšajo vnos radionuklidov v organizem [79].

V okviru nadzora radioaktivnosti v okolici NEK smo analizirali vzorce hrane ter s tem preverjali učinek izpustov NEK na vsebnost radionuklidov v hrani. Na podlagi rezultatov meritev in z upoštevanjem prehranskih navad referenčne osebe smo lahko ocenili efektivno dozo referenčne osebe zaradi zaužitja hrane na krško-brežiškem polju.

OKOLJSKI VZORCI

Značilnosti vzorčenja

Vzorčenje živil v okolici Nuklearne elektrarne Krško poteka na mestih, ki imajo podobno sestavo tal kot tista pri vzorčenju zemlje. Za zemljo je značilna pedološka raznolikost (obrečni peščeni aluvij, diluvialna ilovica s kremenovimi produkti, apnenec). Zaradi odvisnosti prenosnih faktorjev od vrste tal se vzorci hrane odvzemajo vedno na istem mestu, če je le mogoče. V Vrbinu, Bregah in Spodnjem Starem Gradu se hrana na primer prideluje le za potrebe radiološkega nadzora. Odvzemna mesta vzorcev hrane v letu 2021, ki so označena na priloženem zemljevidu na koncu poročila, so bila: sadovnjak ob NEK (sadje), Pesje (mleko, zelenjava, sadje), Brege (mleko, zelenjava), Vihre (meso, zelenjava), Vrbinu (žito, zelenjava, sadje), Spodnji Stari Grad (meso, jajca, zelenjava), Žadovinec (zelenjava), Trnje (zelenjava), Leskovec (meso, sadje), Dolenje Skopice (mleko, zelenjava), Gornji Lenart (jajca), Kalce-Naklo (meso). V letu 2021 je bilo v okolici NEK skupno vzorčenih 32 vrst živil.

Značilnosti meritev okoljskih vzorcev

V vzorcih živil so bile izmerjene specifične aktivnosti sevalcev gama z visokoločljivostno spektrometrijo gama (VLG) in vsebnost Sr-90/Sr-89 z radiokemijsko metodo. Vzorčenje, meritve in analize vseh vzorcev živil so bile opravljene na IJS in ZVD. Rastlinski vzorci živil, razen žit, so bili pred analizo oprani s tekočo vodo, saj je poleg vnosa radionuklidov v rastline iz tal prek koreninskega sistema del kontaminacije zelenjave in sadja z radionuklidi tudi površinska kontaminacija, sploh če so deli rastlin med gojenjem v neposrednem stiku z zemljo.

Od radionuklidov, ki jih zaznamo v izpustih NEK, je v hrani C-14, ki se pojavlja v okolju tudi naravno. Meritve vsebnosti C-14 v rastlinskih vzorcih, vzorčenih v juliju in septembru 2021 v bližnji okolici NEK (zunanji krog) in na kontrolni točki v Dobovi, so bile opravljene na IRB v Zagrebu. Specifična aktivnost C-14 je bila izmerjena v koruzi, pšenici, jabolkih in hruškah.

REZULTATI MERITEV IN ZNAČILNI ČASOVNI POTEKI

Tabele z merskimi rezultati so na priloženi zgoščenki v poročilu *Merski rezultati – nadzor radioaktivnosti v okolici Nuklearne elektrarne Krško – Poročilo za leto 2021, IJS-DP-13759*, marec 2022.

Rezultati meritev vzorcev hrane so prikazani v tabelah T-61 (mleko - Pesje), T-62 (mleko – Dolenje Skopice), T-63 (mleko - Brege), T-64 (I-131 v vzorcih mleka), T-65, T-66, T-67 (sadje – jabolka, hruške, jagode), T-68 (rdeče in belo grozdje, šipek in bezeg), T-69 do T-73 (podzemna zelenjava: krompir, korenje, rdeča pesa, čebula, por; listna zelenjava – zelena solata, zelje, peteršilj, blitva; plodovke – fižol v zrnju, stročji fižol, paprika, paradižnik, feferoni, kumare, bučke, melancani; žita – pšenica, koruza, ječmen) T-74,



T-75 (kokošja jajca; kokošje, svinjsko, goveje in divjačinsko meso).

V vzorcih hrane so bili detektirani naravni radionuklidi iz razpadnih verig radionuklidov U-238 in Th-232 ter K-40 in kozmogeni Be-7, med umetnimi pa Cs-137 in Sr-90/Sr-89 ter I-131 (en vzorec mleka). Ker Sr-89 ni bil izmerjen v zračnih izpustih NEK, se vsi merski rezultati nanašajo na Sr-90.

V nadaljevanju so rezultati vsebnosti radionuklidov v živilih v okolici NEK podani primerjalno glede na vsebnosti radionuklidov v skupinah živil (meso in jajca, mleko, podzemna zelenjava, listna zelenjava, plodovke, žita in sadje), vzorčenih drugod po Sloveniji. Slednje meritve je izvedel ZVD. Vzorcena so bila naslednja živila: mleko; sadje – marelice, jagode, breskve, maline, borovnice, grozdje, banane; podzemna zelenjava – ni podatkov; listna zelenjava – šparglji, zelena solata, cvetača; plodovke – fižol, leča, paprika; žita – pšenična moka; jajca in meso (kokošja jajca, kokošje, svinjsko in goveje meso ter divjačina), skupno 19 vrst živil.

Tritij (H-3)

Tritij se v okviru rednega merilnega nadzora NEK v hrani ne ugotavlja. Vendar raziskave, ki so bile izvedene na IJS v zadnjih letih [81], kažejo povečane vsebnosti tritija v rastlinju neposredno ob NEK v primerjavi z rastlinjem na kontrolni točki. V letu 2021 je bil v rastlinju analiziran tudi organsko vezan tritij (OBT). Meritve so opravili na IRB [23]. Koncentracije aktivnosti v vseh merjenih vzorcih rastlinja (koruza, jabolka) so od $(1,5 \pm 1,0)$ Bq/L na kontrolni lokaciji v Dobovi do $(20,8 \pm 1,7)$ Bq/L ob zahodni ograji NEK (lokacija J). Izmerjene vrednosti so pod 100 Bq/L, kolikor je priporočena raven evropske komisije za H-3 v pitni vodi. Dozna obremenitev prebivalstva zaradi vsebnosti OBT v hrani je z biološkega stališča zanemarljiva (manj kot $1 \text{ E-4 } \mu\text{Sv}$).

Jod (I-131)

V vzorcu mleka iz Pesja je bila izmerjena aktivnost I-131 in sicer v vrednosti 0,05 Bq/kg. V ostalih vzorcih I-131 ni bil prisoten.

Ogljik (C-14)

Naravni radionuklid ogljik C-14 nastaja v Zemljini atmosferi kot produkt jedrskih reakcij med jedri dušika N-14 in nevtroni iz kozmičnega sevanja [80]. Skupaj z drugimi ogljikovimi izotopi kot CO₂ vstopa v ogljikov cikel Zemlje, kjer se v procesu fotosinteze asimilira v hrano rastlinskega izvora. Izmerjena aktivnost C-14 v enoletnih rastlinah ali drevesnih letnicah tako pove povprečno vsebnost C-14 v atmosferskem CO₂ med rastno sezono. C-14 vstopa v prehranjevalno verigo, s tem pa se lahko poveča dozna obremenitev lokalnega prebivalstva zaradi zaužitja.

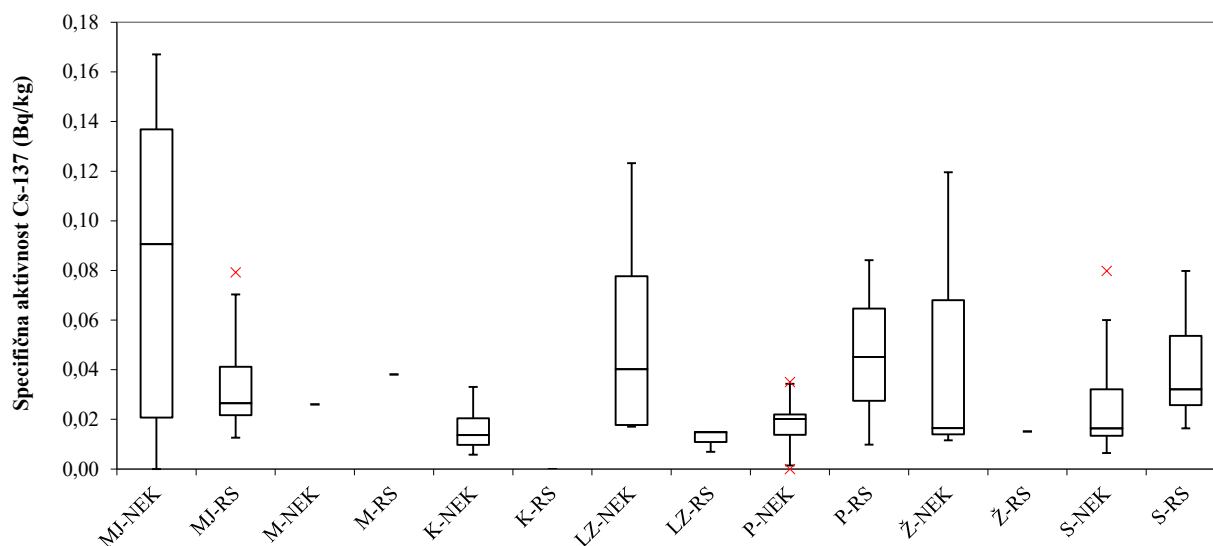
Jedrski objekti, še posebej jedrske elektrarne, lahko vplivajo na povišanje radioaktivnosti tako v atmosferi v svoji neposredni okolici kot tudi v rastlinju, ki tam uspeva. C-14 je merljiv tudi v izpustih NEK. Učinek jedrske elektrarne na povišanje aktivnosti C-14 v rastlinstvu oziroma hrani se ugotavlja tako, da se aktivnosti C-14 v rastlinju iz neposredne okolice NEK primerjajo s tistimi s kontrolnega področja (Dobova), kjer neposrednih učinkov ni več mogoče pričakovati.

Izračunana letna efektivna doza referenčne osebe zaradi zaužitja C-14 izhaja iz predpostavke, da letno zaužijemo okrog 330 kg hrane, ki vsebuje 30 % ogljika (~100 kg ogljika letno). Atomi C-14 so namreč strukturni del organskih molekul v organizmih, medtem ko drugi radionuklidi, kot so Cs-137, K-40, Sr-90 itd., ne spadajo med strukturne elemente, zato sta postopka računanja letne efektivne doze različna.

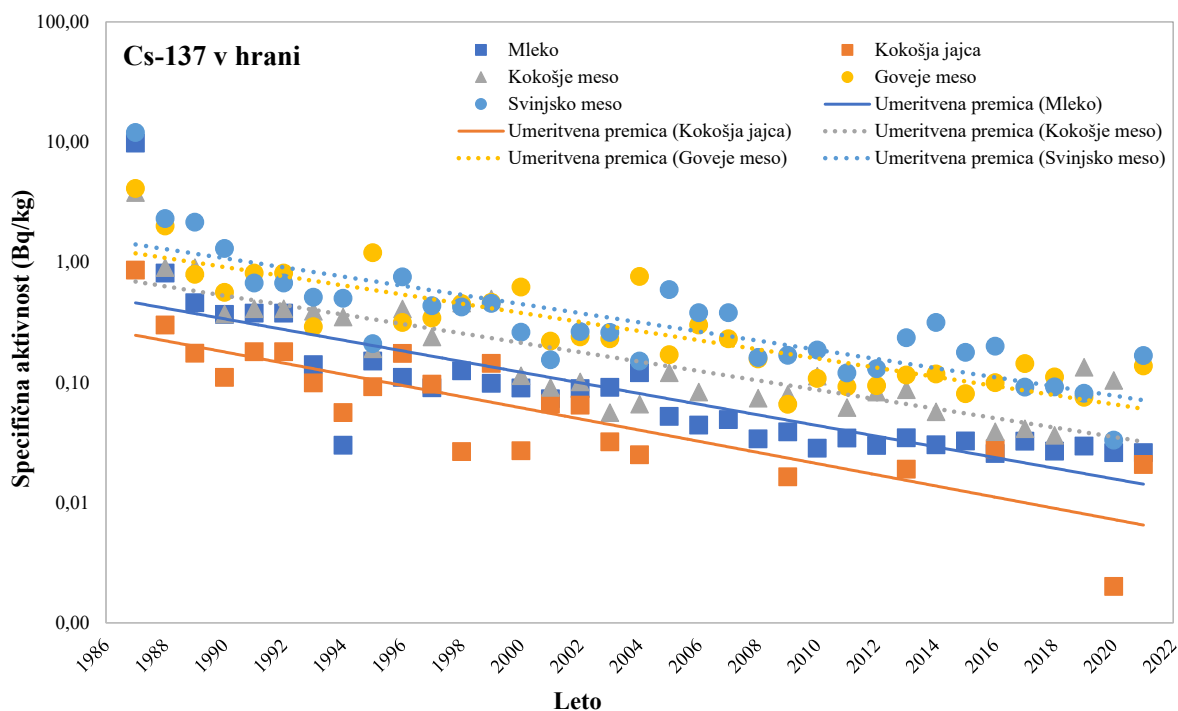
Specifična aktivnost C-14 je bila v bližnji okolici NEK v letu 2021 izmerjena v koruzi in pšenici in sicer v juliju in septembru. Vrednosti so zbrane v tabeli 6.1. Med povprečnimi vsebnostmi C-14 v hrani in rastlinju, merjenih v juliju in septembru na istih lokacijah, ni statistično značilnih razlik. Najvišja izmerjena specifična aktivnost C-14, (304 ± 7) Bq na kilogram ogljika, je bila izmerjena v pšenici (lokacija H) v juliju. Lokacije so označene na sliki 1 v poročilu [20].


Tabela 6.1: Specifične aktivnosti C-14 v okolici NEK v letu 2021

Območje v okolici NEK	Julij 2021	September 2021
	Bq na kilogram ogljika	
Ograja NEK (notranji krog)	(250 ± 9)	(249±7)
Rob izključitvenega območja – 500 m od osi reaktorja (zunanji krog)	(246± 8)	(242±8)
Dobova	(226 ± 7)	(241±5)



Slika 6.1: Specifična aktivnost Cs-137 (Bq/kg) v skupinah živil: MJ – meso in jajca, M-mleko, PZ-podzemna zelenjava, LZ – listna zelenjava, P – plodovke, Ž – žita, S – sadje; predstavljene so minimalna in maksimalna vrednost (brki) ter mediana, prvi in tretji kvartil (pravokotnik) po skupinah posamično vzorčenih živil v letu 2021 v okolici NEK in drugod po Sloveniji (RS). Izjema je surovo mleko, ki se v okviru obratovalnega nadzora radioaktivnosti v okolici NEK zbira in analizira mesečno na treh lokacijah (Vihre, Pesje in Brege), v okviru nadzora radioaktivnosti v življenjskem okolju v RS pa dvomesečno na treh lokacijah (Ljubljana, Kobarid in Bohinjska Bistrica). V grafu sta tako za mleko (NEK in RS) prikazani aritmetični sredini čez vse vzorce v okviru nadzora radioaktivnosti za leto 2021. Iz predstavitve so izvzeti vzorci divjačine in borovnic vzorčeni drugod po Sloveniji. V predstavitvi po živilih so bila upoštevana živila, ki spadajo v izbrano skupino; nabor živil v okviru *Monitoringa radioaktivnosti v življenjskem okolju v RS* obsega še druge vrste živil, kot so med, ribe, moka itd., ki se v okviru obratovalnega nadzora radioaktivnosti v okolici NEK ne vzorčijo. Če je bilo odvzetih več vzorcev iste vrste, je v tabeli poročana aritmetična sredina. Z znakom – so označene posamične meritve, z znakom **x** pa ubežniki (angl. *outliers*).



Slika 6.2: Izmerjene specifične aktivnosti Cs-137 v mleku, kokošjih jajcih ter kokošjem, govejem in svinjskem mesu, vzorčenih v okolici NEK, od leta 1987 do 2021. Vrednosti so prikazane v logaritemski skali. V kokošjih jajcih je bila specifična aktivnost v letih 2005–2008 in 2010–2012 pod mejo detekcije, prav tako pa tudi v kokošjem mesu leta 2007. Leta 1994 goveje meso ni bilo vzorčeno.

Cezij (Cs-137)

Radionuklid Cs-137 je bil v letu 2021 tako v okolici NEK kot drugod po Sloveniji detektiran v vseh skupinah vzorčenih živil. Meritve drugod po Sloveniji je izvedel ZVD.

Specifična aktivnost Cs-137 v živilih v okolici NEK je od 0 Bq/kg do 0,17 Bq/kg in je primerljiva s specifično aktivnostjo Cs-137 v živilih, vzorčenih drugod po Sloveniji, to je od 0 Bq/kg do 0,84 Bq/kg ([13], [14]). Podatki so prikazani na sliki 6.1. V divjačini (zajec in srnjak; Leskovec, Struge) je bila specifična aktivnost Cs-137 ($0,09 \pm 0,03$) Bq/kg in ($1,74 \pm 0,05$) Bq/kg, kar je primerljivo z ostalimi živilih.

V posameznih živilih v okolici NEK je bila najvišja specifična aktivnost Cs-137 izmerjena v govejem mesu ($0,17 \pm 0,03$) Bq/kg, medtem ko je bila specifična aktivnost Cs-137 v jabolkih in hruškah, vzorčenih v sadovnjaku v neposredni bližini NEK, $< 0,001$ Bq/kg. Največja izmerjena specifična aktivnost Cs-137 v hrani, vzorčeni drugod po Sloveniji, je bila izmerjena v leči ($0,084 \pm 0,02$) Bq/kg. V borovnicah iz Kamnika je bila specifična aktivnost ($38,9 \pm 1,09$) Bq/kg.

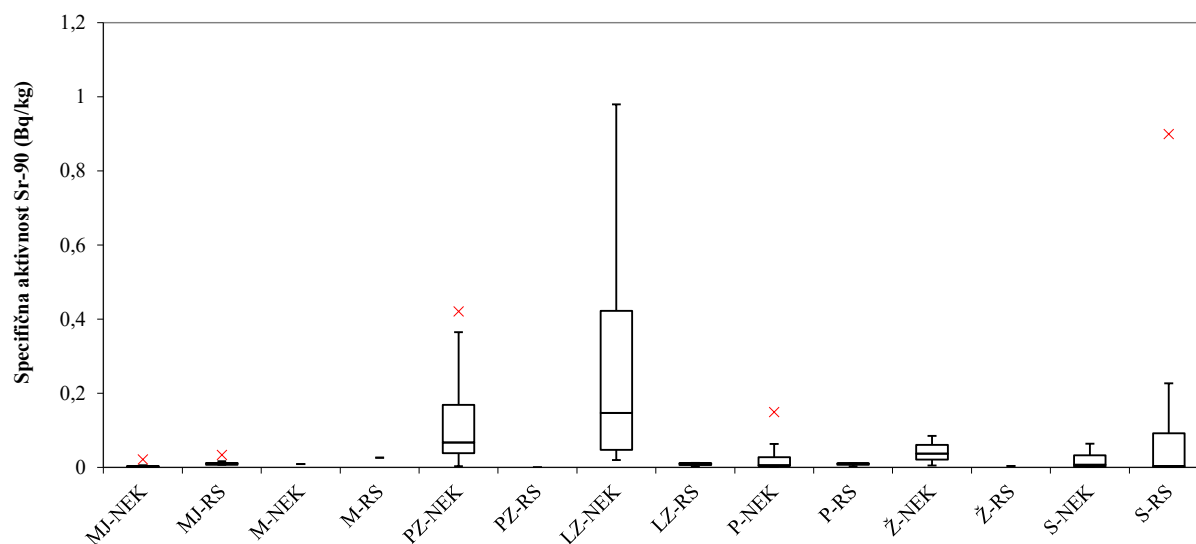
S slike 6.1 je razvidno, da največjo vsebnost Cs-137 v letu 2021 v okolici NEK in drugod po Sloveniji najdemo v mesu, listni zelenjavi, ter v žitih, najmanj pa v sadju.

Specifične aktivnosti Cs-137 in Sr-90 v hrani z leti nihajo, vendar je opazna težnja zniževanja vrednosti. Tako je s slike 6.2 razvidno, da se je specifična aktivnost Cs-137 v mleku od črnobilske nesreče do danes znižala za približno 400-krat, specifična aktivnost Sr-90 pa se je v enakem obdobju v mleku znižala za faktor 10 (slika 6.4). Izmerjena specifična aktivnost Cs-137 v mleku je tako že nekaj let na ravni izpred črnobilskega obdobja (1984, 1985), specifična aktivnost Sr-90 pa je tudi za faktor 2 nižja kot pred črnobilsko nesrečo. Tudi za druga živila živalskega izvora je opazna težnja zmanjševanja specifičnih aktivnosti Cs-137 in Sr-90 po črnobilski nesreči (sliki 6.2 in 6.4). Na kultiviranih površinah privzem



Cs-137 ter Sr-90 v rastline prek koreninskega sistema omejuje predvsem vezava atomov Cs-137 in Sr-90 v tleh (na glinene in organske delce), pa tudi povečana vsebnost kalija in s tem tudi radioaktivnega K-40 ter kalcija iz gnojil, ki močno zmanjšajo privzem obeh radionuklidov v rastline in s tem v hrano rastlinskega izvora in krmo [79]. Ta proces in pronicanje atomov Cs-137 globlje v zemljo z leti zmanjšujeta dostopnost Cs-137 rastlinam. Tako ta v manjšem številu vstopa v prehransko verigo človeka. To lahko podkrepimo, če povprečnim specifičnim aktivnostim Cs-137 v živilih živalskega izvora po letih narišemo usmeritvene premice¹⁹. Iz naklonov premic, ki se med seboj odmikajo za največ 20 %, lahko izračunamo efektivni razpolovni čas Cs-137 v omenjenih živilih 6,6 let (slika 6.2). Izračunani razpolovni čas je manjši od fizikalnega razpolovnega časa Cs-137 30,1 let. Podobno lahko izračunamo efektivni razpolovni čas Sr-90 v živilih živalskega izvora 8,5 let (slika 6.4). Statistično razsutje podatkov je v primeru Sr-90 večje kot pri Cs-137, zato smo iz računanja aritmetične sredine izvzeli kokošje in svinjsko meso. Kljub temu je tudi ta izračunani efektivni razpolovni čas bistveno krajši od fizikalnega razpolovnega časa Sr-90 28,8 let.

Kljub omenjenim težnjam pa v živilih, vzorčenih v gozdnih ekosistemih po Sloveniji, še vedno lahko ugotavljamo značilno višje specifične aktivnosti Cs-137 v primerjavi z živili, vzorčenimi v agrikulturnih ekosistemih.



Slika 6.3: Specifična aktivnost Sr-90 (Bq/kg) v skupinah živil: MJ – meso in jajca, M – mleko, PZ – podzemna zelenjava, LZ – listna zelenjava, P – plodovke, Ž – žita, S – sadje; predstavljene so minimalna in maksimalna vrednost (brki) ter mediana, prvi in tretji kvartil (pravokotnik) po skupinah posamično vzorčenih živil v letu 2021 v okolici NEK in drugod po Sloveniji (RS). Izjema je surovo mleko, ki se v okviru obratovalnega nadzora radioaktivnosti v okolici NEK zbira in analizira mesečno na treh lokacijah (Vihre, Pesje in Brege), v okviru nadzora radioaktivnosti v življenjskem okolju v RS pa dvomesečno na treh lokacijah (Ljubljana, Kobarid in Bohinjska Bistrica). V grafu so tako prikazane aritmetične sredine čez vse vzorce v okviru nadzora radioaktivnosti za celo leto 2021. V predstavitvi po živilih so bila upoštevana živila, ki spadajo v izbrano skupino; nabor živil v okviru *Monitoringa radioaktivnosti v življenjskem okolju v RS* obsega še druge vrste živil, kot so med, ribe, mlečni izdelki itd., ki se v okviru obratovalnega nadzora radioaktivnosti v okolici NEK ne vzorčujejo. Če je bilo odvzetih več vzorcev iste vrste, je v tabeli vpisana aritmetična sredina. Z znakom – so označene posamične meritve, z znakom × pa ubežniki (angl. *outliers*).

¹⁹ Podatkom smo prilagajali eksponentne krivulje ($\sim e^{-\frac{t}{\tau}}$). Ker so vrednosti na ordinatni osi v logaritemski skali, na sliki vidimo premice, katerih naklon je obratno sorazmeren z efektivnim razpolovnim časom τ .



Stroncij (Sr-90)

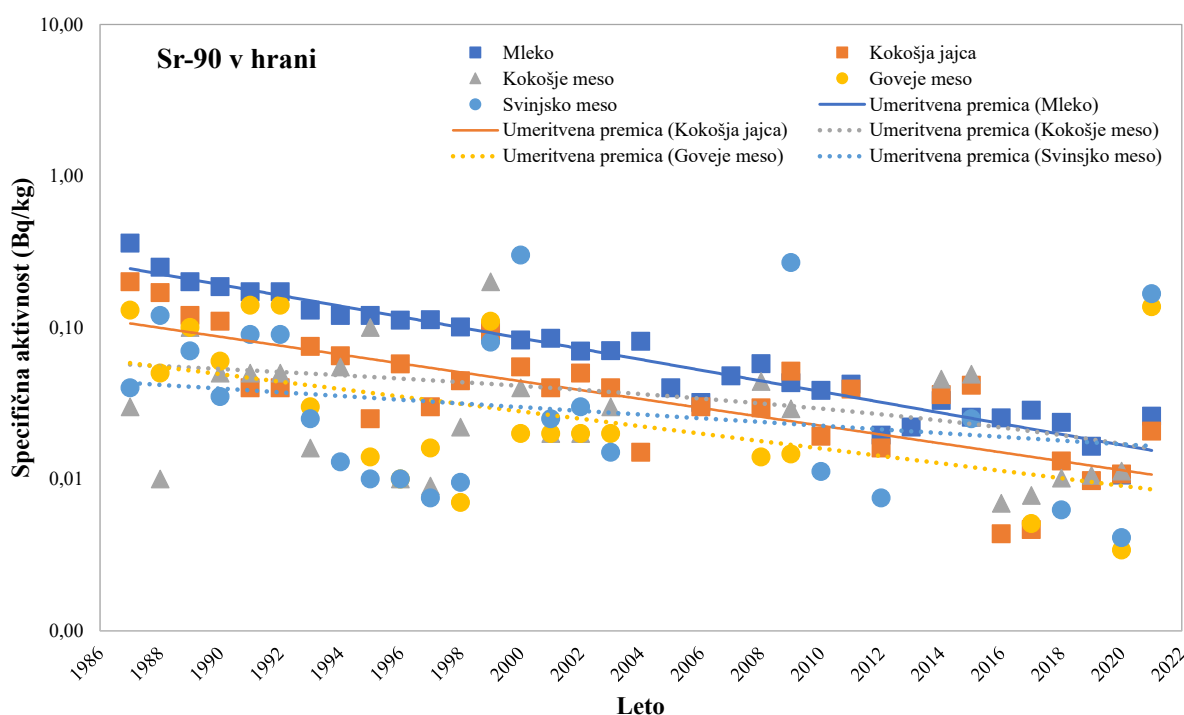
Radionuklid Sr-90 je bil v okolici NEK v letu 2021 detektiran v vseh skupinah živil (slika 6.3). Specifična aktivnost Sr-90 v živilih v okolici NEK je od 0 Bq/kg do 0,98 Bq/kg, specifična aktivnost Sr-90 v živilih, vzorčenih drugod po Sloveniji, pa od 0 Bq/kg do 0,90 Bq/kg.

V okolici NEK v skupino živil z večjo vsebnostjo Sr-90 spada hrana rastlinskega izvora, predvsem listna zelenjava in podzemna zelenjava ter sadje. Povprečna specifična aktivnost Sr-90 je najnižja v mesu in mleku. Tudi pri vzorčenju drugod po Sloveniji se razvrstitev skupin živil po vsebnosti Sr-90 sklada z vzorčenjem v okolici NEK.

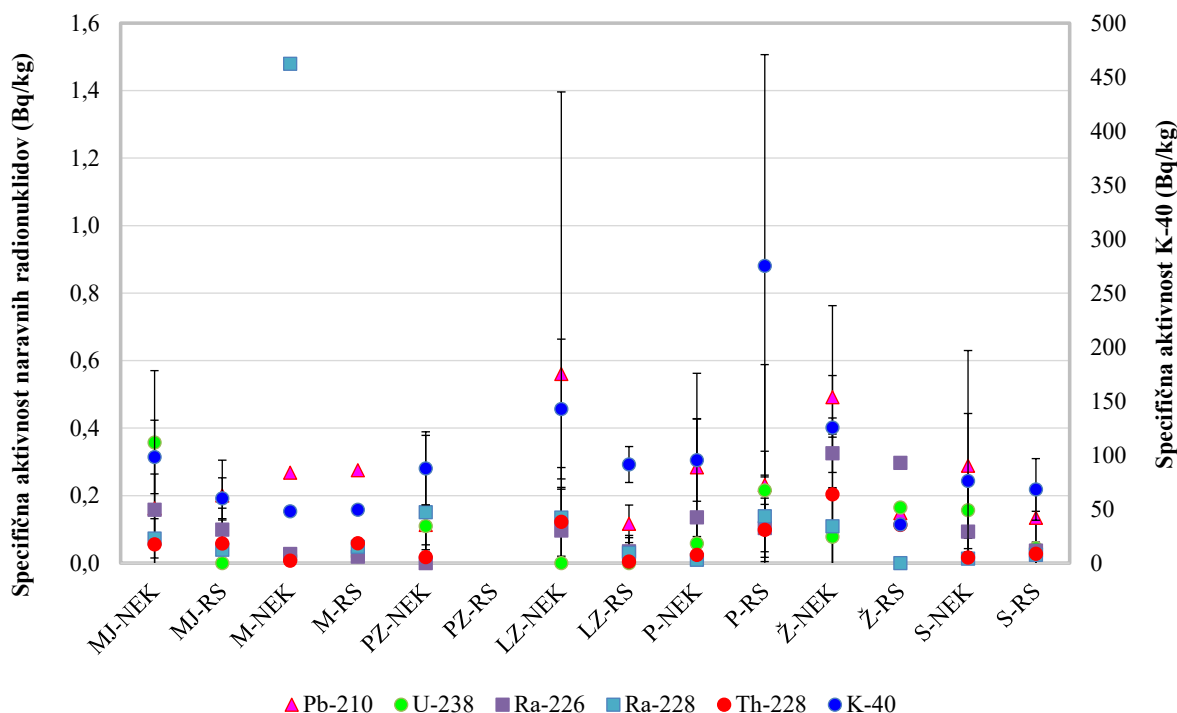
V okolici NEK so bile najvišje vrednosti detektirane v peteršilju ($0,98 \pm 0,17$) Bq/kg, drugod po Sloveniji pa v borovnicah ($0,90 \pm 0,16$) Bq/kg.

Jod (I-131)

Jod I-131 je bil detektiran v vzorcu mleka, vzorčenega v Pesju ($0,05 \pm 0,01$ Bq/kg)



Slika 6.4: Izmerjene specifične aktivnosti Sr-90 od leta 1987 do 2021 v mleku, kokošjih jajcih ter kokošjem, govejem in svinjskem mesu, vzorčenih v okolici NEK. V letih 2004–2007 in 2011–2013 so bile izmerjene specifične aktivnosti v kokošjem, govejem in svinjskem mesu pod mejo detekcije, v svinjskem mesu pa tudi leta 2008. V kokošjih jajcih je bila izmerjena specifična aktivnost Sr-90 pod mejo detekcije v letih 2005, 2007 in 2013.



Slika 6.5: Izmerjene povprečne specifične aktivnosti naravnih radionuklidov (Bq/kg) v vzorčenih skupinah živilih v letu 2021 v okolici NEK in po Sloveniji (RS); MJ – meso in jajca, M – mleko, PZ – podzemna zelenjava, LZ – listna zelenjava, P – plodovke, Ž – žita, S – sadje. Predstavljene so povprečne vrednosti in standardni odmik.

Naravni radionuklidi

Med naravnimi radionuklidi v hrani, prenesenimi po različnih poteh iz zemlje, umetnih gnojil in zraka, je najmočnejše zastopan K-40, prisotni pa so tudi radionuklidi iz razpadnih vrst U-238 in Th-232. Njihove specifične aktivnosti v posameznih živilih, vzorčenih v okolici NEK in drugod po Sloveniji (RS), so prikazane na sliki 6.5.

V letu 2021 je bila specifična aktivnost K-40 v hrani, pridelani na krško-brežiškem polju, od 32 Bq/kg (jagode) do 208 Bq/kg (peteršilj), v hrani, vzorčeni drugod po Sloveniji, pa od 29 Bq/kg (borovnice) do 463 Bq/kg (fižol). V okolici NEK v skupino z večjo specifično aktivnostjo K-40 spadata listna zelenjava in žito, med živila z manjšo aktivnostjo K-40 pa mleko in sadje.

Od naravnih radionuklidov (brez K-40) k letni efektivni dozi zaradi zaužitja hrane največ prispeva Pb-210 (56 %). V letu 2021 je bilo v okolici NEK in drugod po Sloveniji največ Pb-210 v listni zelenjavi in žitu. Najmanjše specifične aktivnosti so bile izmerjene v podzemni zelenjavi ter mesu in jajcih (okolica NEK) in listni zelenjavi (drugod po Sloveniji). V posameznih živilih v okolici NEK je bila najvišja specifična aktivnost Pb-210 izmerjena v peteršilju ($1,8 \pm 0,19$) Bq/kg, v živilih, vzorčenih po Sloveniji, pa v govejem mesu in fižolu ($0,33 \pm 0,3$) Bq/kg. Razpon specifičnih aktivnosti drugih naravnih radionuklidov v hrani v okolici NEK in po Sloveniji prikazujemo v tabeli 6.2.

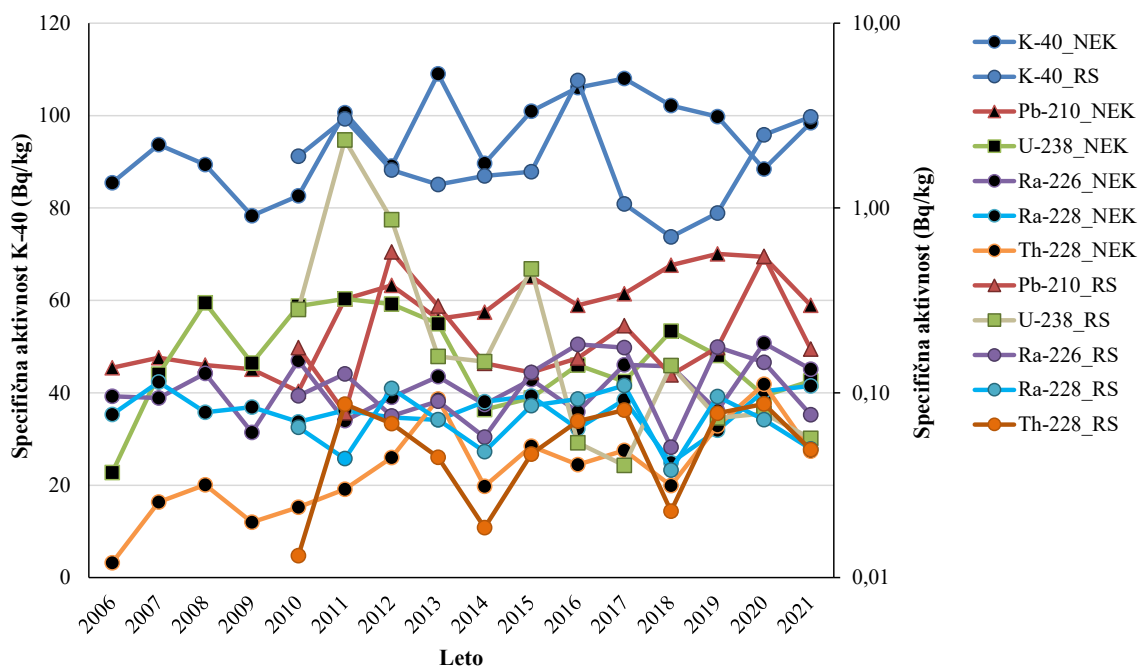


Tabela 6.2: Specifične aktivnosti naravnih radionuklidov v okolici NEK in po Sloveniji

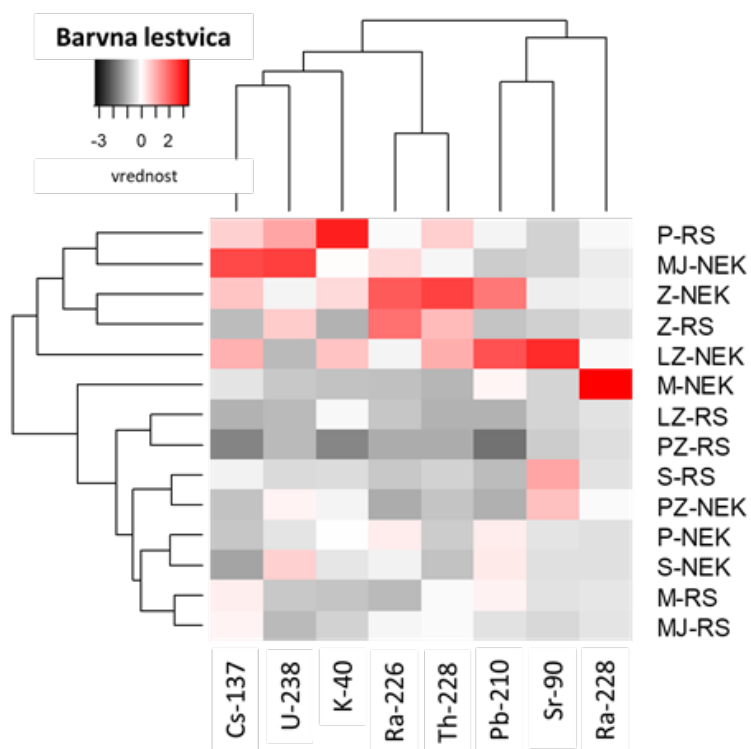
Radionuklid	NEK	Slovenija
	Specifična aktivnost (Bq/kg)	
U-238	do 0,62 (svinjsko meso)	do 0,6 (leča)
Ra-226	do 0,9 (bezeg)	do 0,3 (žito)
Ra-228	do 1,48 (mleko)	do 0,23 (stročji fižol)
Th-228	do 0,21 (paradižnik)	do 0,21 (stročji fižol)

Vsebnosti naravnih in umetnih radionuklidov v hrani z leti nihajo. V letu 2021 so izmerjene specifične aktivnosti naravnih radionuklidov v hrani iz okolice NEK v okviru merske negotovosti primerljive s tistimi iz preteklih let in pa s tistimi, izmerjenimi v letih od 2010 do 2021 drugod po Sloveniji (slika 6.6).

S programsko opremo »R« [87] smo statistično obdelali podatke specifičnih aktivnosti merjenih radionuklidov v 2021 za živila, vzorčena v okolici NEK in drugod po Sloveniji (RS). Z analizo gruč na podlagi evklidskih razdalj ([87]) smo med seboj primerjali z-transformirane povprečne specifične aktivnosti radionuklidov (Cs-137, Sr-90, K-40, Pb-210, U-238, Ra-226, Ra-228, Th-228) v skupinah živil – meso in jajca (MJ), mleko (M), podzemna zelenjava (PZ), listna zelenjava (LZ), plodovke (P), žito (Ž) in sadje in vino (S). Barvni diagram z dvodimenzionalno analizo gruč (slika 6.7) prikazuje, da relativno največ radionuklidov vsebujejo listna zelenjava (Sr-90, Pb-210, Th-228, K-40 in Cs-137) in žita (Th-228, Pb-210, Ra-226), najmanj pa plodovke, sadje in meso in jajca (NEK). Razlik v vsebnosti radionuklidov v hrani iz okolice NEK in drugod po Sloveniji v večini primerov ni.



Slika 6.6: Povprečne izmerjene specifične aktivnosti (Bq/kg) naravnih radionuklidov v hrani, vzorčeni v okolici NEK, po letih od 2006 do 2021, ter drugod po Sloveniji v letih od 2010 do 2021 (specifične aktivnosti K-40 so na levi ordinati, specifične aktivnosti drugih radionuklidov pa na desni).



Slika 6.7: Barvni diagram z dvodimenzionalno analizo gruč na podlagi z-transformiranih povprečnih specifičnih aktivnosti radionuklidov v skupinah živil, vzorčenih v 2021 v okolici NEK in drugod po Sloveniji (MJ – meso in jajca, M – mleko, PZ – podzemna zelenjava, Z– zelenjava, LZ – listnata zelenjava, P – plodovke, S – sadje in vino). Črna barva pomeni vrednosti pod povprečjem, bela povprečne vrednosti, rdeča pa nad povprečjem za posamezni radionuklid.

Tabela 6.3: Okvirna poraba živil po skupinah na člana gospodinjstva glede na podatke NIJZ ([84], [85])

Živilo	SI.Menu 2017/2018 Populacijske skupine			
	Dojenčki (Malčki)	Mladostniki	Odrasli	Starejši odrasli (nad 65 let)
	Povprečje (kg/leto)			
Jajca in meso	23	56	68	58
Mleko (samo mleko)	46	41	23	20
Podzemna zelenjava (krompir)	17	28	29	30
Listna zelenjava	2,9	6,7	14	13
Plodovke	7.2	12	19	18
Žito (vsi izdelki)	59	102	88	83
Sadje	72	75	70	83



OCENA UČINKOV

Oceno doznih obremenitev prebivalstva²⁰ zaradi zaužitja hrane, ki jih povzročajo posamezni radionuklidi, dobimo, če specifično aktivnost posameznega radionuklida v hrani pomnožimo z doznim pretvorbenim faktorjem $h(g)_i$, specifično aktivnostjo posameznega radionuklida a_i in letno porabo posamezne vrste hrane m_i (glej postopek *Ocena sevalnih obremenitev (LMR-RP-01)*):

$$E_{50-70, i} = a_i h(g)_i m_i \text{ (}\mu\text{Sv)} \quad (6.1)$$

Celotna predvidena efektivna doza pri uživanju hrane je vsota prispevkov doz ob zaužitju posamezne vrste hrane. Podatki za letno porabo posamezne skupine živil glede na starostne skupine (malčki, mladostniki, odrasli) so prikazani v tabeli 6.3. Temeljijo na povprečni količini porabljenih živil in pijač na člana gospodinjstva, ki jo je pripravil NIJZ za 2017/2018.

Pri oceni sevalne obremenitve referenčne osebe v okolici NEK smo privzeli, da le-ta uživa hrano, pridelano na krško-brežiškem področju, pri oceni sevalne obremenitve referenčne osebe iz drugih območij v Sloveniji pa smo privzeli, da oseba uživa hrano s celotnega območja Slovenije.

Pri oceni sevalne obremenitve prebivalcev v okolici NEK in drugod po Sloveniji smo upoštevali podatke porabe posameznih skupin živil po starostnih skupinah predstavljenih v tabeli 6.3.

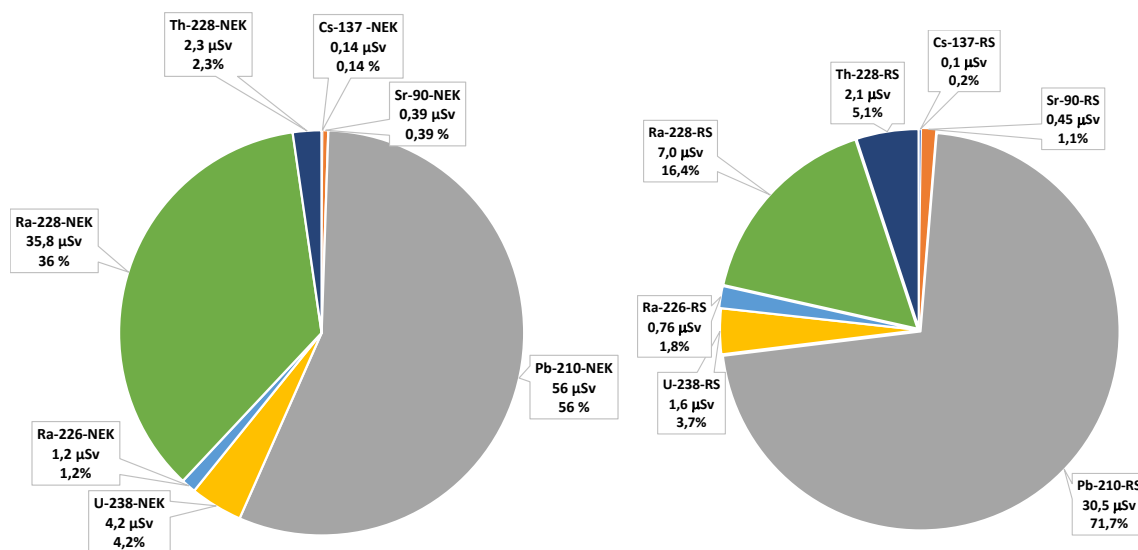
Republiški program nadzora radionuklidov v hrani predvideva vzorčenje hrane, pridelane v Sloveniji, medtem ko hrana, ki prihaja iz uvoza, ni natančneje kontrolirana, tako da podatki o vsebnosti radionuklidov niso znani in je zato težko oceniti dejanske doze, ki jih prebivalci prejmejo zaradi zaužitja hrane. Zato je letna efektivna doza zaradi zaužitja hrane izračunana ob privzetku, da prebivalci uživajo le hrano, pridelano na krško-brežiškem področju. Pri izračunu doze, prejete zaradi C-14, pa privzamemo, da prebivalci uživajo hrano iz notranjega kroga NEK (ograja NEK) in zunanjega kroga (rob izključitvenega območja) dva meseca v letu, drugih 10 mesecev pa hrano od drugod (Dobova).

Efektivna doza pri C-14 se nanaša na hrano in ne na posamezno vrsto hrane, saj se specifične aktivnosti C-14 v raznih vrstah sadja ali zelenjave ne razlikujejo. Tako ima tudi hrana živalskega izvora enako specifično aktivnost, če se živali prehranjujejo z rastlinami iz okolice NEK. C-14 je namreč del organskih molekul v organizmih, medtem ko drugi radionuklidi (Cs-137, K-40...) ne spadajo med strukturne elemente. Govorimo o zamenjavi atomov C-12 z atomi C-14 v organskih molekulah.

Ocenili smo, da je bila efektivna doza za odrasle referenčne osebe ob zaužitju vseh vrst vzorčene hrane zaradi prisotnosti radionuklidov Cs-137, Sr-90, Pb-210, U-238, Ra-226, Ra-228 in Th-228 v letu 2021 v okolici NEK (100 ± 26) μSv , skupaj s K-40 pa (264 ± 61) μSv . Razlike v skupnih dozah se pojavljajo predvsem zaradi razlik v dozah, prejetih zaradi naravnih radionuklidov, kot so K-40, Pb-210, U-238 in Ra-228, dodatno pa še iz vsote porabe živil v posameznih skupinah živil. Drugod po Sloveniji je bila efektivna doza odrasle osebe zaradi zaužitja brez K-40 (43 ± 10) μSv , s K-40 pa (160 ± 51) μSv . V nadaljevanju obravnavamo doze za odrasle referenčne osebe, izračunane po skupinah živil.

Prispevki posameznih radionuklidov k efektivni dozi za odraslo osebo v letu 2021 v okolici NEK in drugod po Sloveniji so prikazani na sliki 6.8 levo, pri čemer ni upoštevana efektivna doza, prejeta zaradi K-40. K skupni efektivni dozi brez K-40 je v okolici NEK največ prispeval Pb-210 (56 %), najmanj pa Sr-90 (0,39 %) in Cs-137 (0,14 %). Drugod po Sloveniji (slika 6.8 desno) je k skupni efektivni dozi brez K-40 največ prispeval Pb-210 (72%), in najmanj Sr-90 (1,06 %) in Cs-137 (0,23 %). Deleži radionuklidov so primerljivi z vzorčenji iz preteklih let.

²⁰ Za oceno obremenitve prebivalstva zaradi izpustov iz jedrskega objekta se uporablja referenčna oseba, ki predstavlja posameznika iz prebivalstva, ki prejema ali bi lahko prejeli najvišje doze.



Slika 6.8: Prispevki posameznih radionuklidov k skupni efektivni dozi (μSv), izračunani za odraslo osebo zaradi radionuklidov v hrani, po anketi porabe člana gospodinjstva, izvedeni v okolici NEK, in po podatkih SURS drugod po Sloveniji. *Levo:* v okolici NEK v letu 2021; *desno:* drugod po Sloveniji v letu 2021. Efektivne doze so bile izračunane za posamezne skupine živil. Skupna efektivna doza zaradi radionuklidov v hrani brez upoštevanja K-40 je bila v okolici NEK v letu 2021 $100 \mu\text{Sv}$, drugod po Sloveniji pa $43 \mu\text{Sv}$.

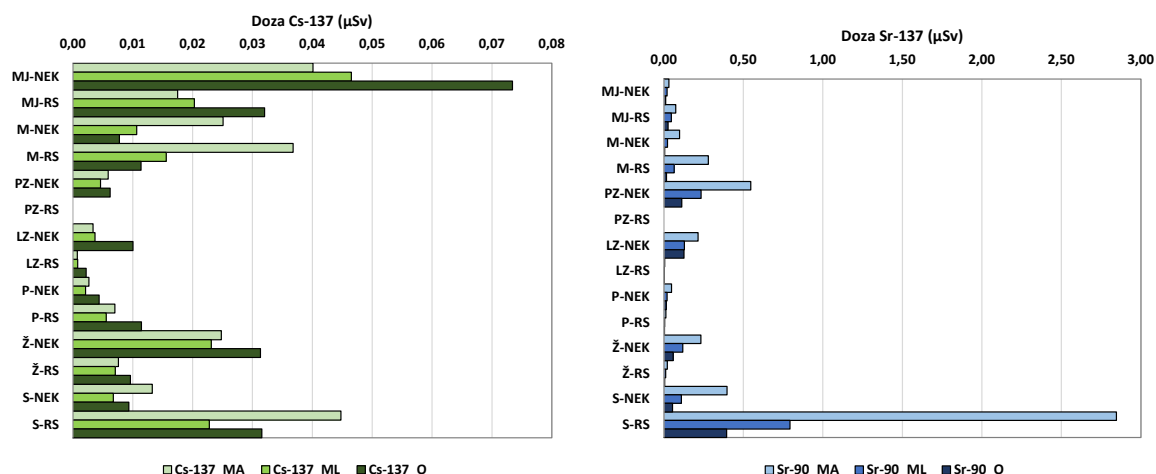
Umetni radionuklidi

Skupna letna efektivna doza za odraslo referenčno osebo, malčke in mladostnike zaradi vsebnosti Cs-137 v hrani je bila v letu 2021 v okolici NEK in drugod po Sloveniji $0,1 \mu\text{Sv}$. Skupna efektivna doza za odraslo referenčno osebo zaradi vsebnosti Sr-90 v hrani pa je bila v letu 2021 v okolici NEK $0,4 \mu\text{Sv}$ in drugod po Sloveniji $0,5 \mu\text{Sv}$, za malčke $1,6 \mu\text{Sv}$ in $3,2 \mu\text{Sv}$, za mladostnike pa $0,7 \mu\text{Sv}$ in $0,9 \mu\text{Sv}$. V okolici NEK je bil delež letne efektivne doze zaradi umetnih radionuklidov Cs-137 in Sr-90 pri uživanju hrane za odraslo referenčno osebo $0,5 \%$ ($0,1 \%$ od Cs-137 in $0,4 \%$ od Sr-90) od celotne prejete efektivne doze ($100 \mu\text{Sv}$ brez K-40). Drugod po Sloveniji je bil delež letne efektivne doze zaradi umetnih radionuklidov Cs-137 in Sr-90 pri uživanju hrane $1,3 \%$ ($0,2 \%$ od Cs-137 in $1,1 \%$ od Sr-90) glede na celotno prejeto efektivno dozo ($43 \mu\text{Sv}$ brez K-40), kar je z biološkega vidika zanemarljivo.

K letni dozi, prejeti zaradi umetnih radionuklidov Cs-137 in Sr-90 v hrani v okolici NEK ($0,5 \mu\text{Sv}$ in drugod po Sloveniji $0,6 \mu\text{Sv}$), je največ prispevalo prehranjevanje z mesom (Cs-137) in sadjem (Sr-90) (slika 6.9).

V zračnih izpustih, ki jih v okolje spušča NEK, sta bili v letu 2021 aktivnosti Cs-137 in Sr-90 zelo majhni ($1,2 \text{ MBq}$, $0,75 \text{ kBq}$). V vzorcih jabolk in hrušk iz neposredne bližine NEK (sadovnjak ob ograji) je bila vsebnost Cs-137 v letu 2021 manj kot $0,001 \text{ Bq/kg}$, vsebnost Sr-90 pa manj kot $0,1 \text{ Bq/kg}$, kar je primerljivo z vsebnostmi v drugih živilih, vzorčenih v okolici NEK in po Sloveniji.

V zračnih in tekočinskih izpustih NEK smo v letu 2021 zaznali tudi naslednje umetne radionuklide, ki niso del globalne kontaminacije: Mn-54, Co-58, Co-60, Nb-95, Ag-110m, S-125, Te-125m in I-131. Vendar so bile koncentracije aktivnosti teh radionuklidov v okolju tako nizke, da tudi v letu 2021 ti radionuklidi v živilih niso bili detektirani, razen I-131 v enem vzorcu mleka.



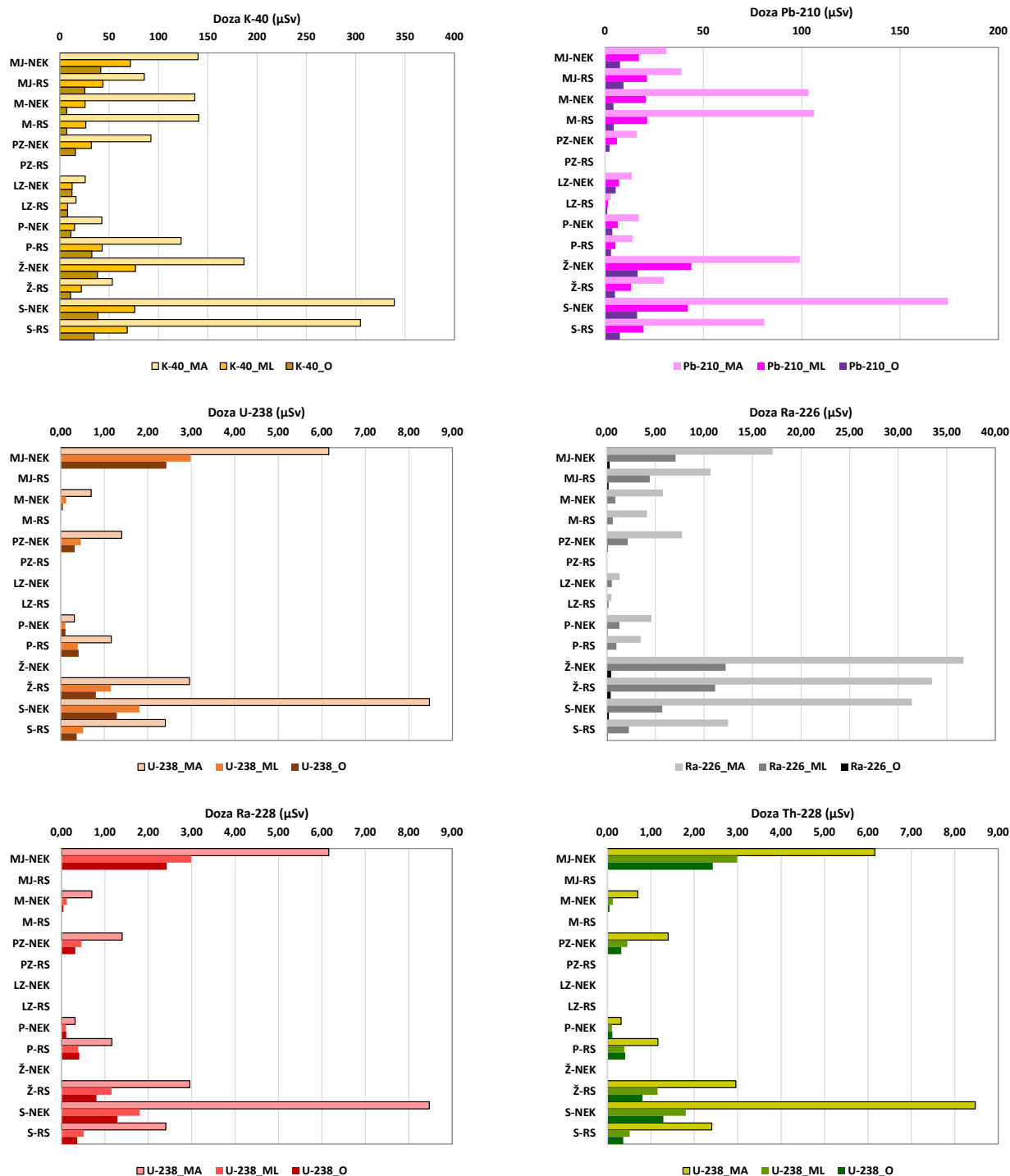
Slika 6.9: Izračunane efektivne doze (μSv) za malčke (MA), mladostnike (ML) in odraslo osebo (O) zaradi Cs-137 in Sr-90 v različnih skupinah živil, vzorčenih v okolici NEK in drugod po Sloveniji. Skupna efektivna doza zaradi Cs-137 in Sr-90 v hrani je bila v okolici NEK v letu 2021 za odraslo referenčno osebo $0,5 \mu\text{Sv}$ (Cs-137: $0,1 \mu\text{Sv}$, Sr-90: $0,4 \mu\text{Sv}$), drugod po Sloveniji pa $0,6 \mu\text{Sv}$ (Cs-137: $0,1 \mu\text{Sv}$, Sr-90: $0,5 \mu\text{Sv}$). Za malčke v okolici NEK $1,7 \mu\text{Sv}$ (Cs-137: $0,1 \mu\text{Sv}$, Sr-90: $1,6 \mu\text{Sv}$) in drugod po Sloveniji $3,3 \mu\text{Sv}$ (Cs-137: $0,1 \mu\text{Sv}$, Sr-90: $3,2 \mu\text{Sv}$), za mladostnike v okolici NEK $0,8 \mu\text{Sv}$ (Cs-137: $0,1 \mu\text{Sv}$, Sr-90: $0,7 \mu\text{Sv}$) in drugod po Sloveniji $1,0 \mu\text{Sv}$ (Cs-137: $0,1 \mu\text{Sv}$, Sr-90: $0,9 \mu\text{Sv}$).

Naravni radionuklidi

V splošnem k skupni efektivni dozi zaradi vsebnosti naravnih radionuklidov največ prispeva prehranjevanje z žiti, listno zelenjavo in mlekom (slika 6.10), najmanj pa s plodovkami, mesom in jajci.

Skupna letna efektivna doza zaradi K-40 je bila za referenčno odraslo osebo v letu 2021 v okolici NEK $164 \mu\text{Sv}$ in drugod po Sloveniji $118 \mu\text{Sv}$, za malčke $963 \mu\text{Sv}$ in $724 \mu\text{Sv}$, za mladostnike pa $309 \mu\text{Sv}$ in $211 \mu\text{Sv}$. Količina kalija v telesu se uravnava homeostatsko, pri čemer se odvečne količine izločijo prek ledvic. Pri odraslih je vsebnost kalija v telesu $0,18 \%$, pri otrocih pa $0,20 \%$. Ob upoštevanju deleža K-40 glede na K-39 ($0,0117 \%$ naravne izotopske vsebnosti), specifične aktivnosti K-40 ($2,6 \text{ E}+08 \text{ Bq/kg}$) in doznega pretvorbenega faktorja $3 \mu\text{Sv}$ na leto na Bq/kg je po podatkih UNSCEAR letna doza, ki jo prejmejo odrasli zaradi K-40 $165 \mu\text{Sv}$, letna doza, ki jo prejmejo otroci, pa $185 \mu\text{Sv}$. K vnosu K-40 v telo je v letu 2021 največ prispevalo prehranjevanje z žiti in sadjem, najmanj K-40 pa je bilo v listni zelenjavi (slika 6.10).

Skupna letna efektivna doza zaradi Pb-210 v hrani je bila za referenčno odraslo osebo v letu 2021 v okolici NEK $56 \mu\text{Sv}$ in drugod po Sloveniji $30 \mu\text{Sv}$, za malčke $455 \mu\text{Sv}$ in $272 \mu\text{Sv}$ in za mladostnike $144 \mu\text{Sv}$ in $82 \mu\text{Sv}$, kar je v okviru razsutja podatkov primerljivo z referenčno vrednostjo UNSCEAR [67] in meritvami iz preteklih let. Prejeta efektivna doza v okolici NEK zaradi Pb-210 se z leti močno spreminja, od $6,8 \mu\text{Sv}$ v letu 2006 do $56 \mu\text{Sv}$ v letu 2021. Pb-210 lahko prehaja iz tal v rastline prek koreninskega sistema, vendar se večina zadrži v koreninah in le slabo prehaja v nadzemne dele, sploh pa v semena in plodove [83]. Vsebnost Pb-210 v nadzemnih delih je tako večinoma posledica usedanja Pb-210 iz zraka. Usedline z rastlinskih organov lahko odstranimo s pranjem (predvsem zelenjave in sadja), v primeru trave (krme) in žit, ki jih pred uporabo ne peremo, pa je vsebnost povezana z različnimi okoljskimi dejavniki, kot so količina padavin, vetrovnost itd. Iz meritev v letu 2021 je razvidno, da je k letni dozi zaradi Pb-210 v hrani v okolici NEK največ prispevalo zaužitje žit in sadja, drugod po Sloveniji pa zaužitje mleka in mesa (slika 6.10).



Slika 6.10: Izračunane efektivne doze za malčke (MA), mladostnike (ML) in odrasle osebe (O) zaradi K-40, Pb-210, Ra-226, Ra-228, U-238 in Th-228 (μSv) v različnih skupinah živil, vzorčenih v okolici NEK in drugod po Sloveniji v letu 2021



Efektivna doza zaradi vsebnosti U-238 v hrani je bila za referenčno odraslo osebo v letu 2021 v okolici NEK 4,2 μSv , drugod po Sloveniji pa 1,6 μSv , za malčke 17,0 μSv in 6,5 μSv , za mladostnike pa 5,5 μSv in 2,1 μSv . K tej dozi je največ prispevalo prehranjevanje z mesom in sadjem (slika 6.10). Efektivna doza zaradi vsebnosti Ra-226 v hrani je bila za referenčno odraslo osebo v okolici NEK 1,2 μSv , drugod po Sloveniji 0,8 μSv , za malčke 105 μSv in 65 μSv , za mladostnike pa 30 μSv in 20 μSv . Zaradi vsebnosti Ra-228 je bila v okolici NEK 35,8 μSv in drugod po Sloveniji 7 μSv , za malčke 2290 μSv in 193 μSv , za mladostnike pa 297 μSv in 34 μSv . K letni dozi, prejeti zaradi Ra-226 in Ra-228, je največ prispevalo prehranjevanje z žiti (slika 6.10). Ra-226 in Ra-228 sta bila skoraj v vseh hranilih v okolici NEK nad mejo kvantifikacije, kar je v skladu z radiološkimi nadzornimi meritvami NEK v preteklih letih in primerljivo z vsebnostmi Ra-226 in Ra-228 v hrani drugod po Sloveniji. Efektivna doza zaradi vsebnosti Th-228 v hrani v okolici NEK je bila za referenčno odraslo osebo 2,3 μSv , drugod po Sloveniji pa 2,2 μSv , za malčke 63 μSv in 62 μSv , za mladostnike pa 6 μSv (okolica NEK in drugod po Sloveniji), vendar je prispevek Th-228 k skupni efektivni dozi zaradi kratkega razpolovnega časa in izjemno nizkih vsebnosti z biološkega vidika zanemarljiv. K letni dozi, prejeti zaradi Th-228, je največ prispevalo prehranjevanje z mesom in sadjem (slika 6.10).

C-14

V izpustih NEK sta tudi C-14 in tritij, ki se v ekosistemih sicer pojavljata kot naravna radionuklida. Nastajata namreč v zgornjih plasteh atmosfere v jedrskih reakcijah zaradi kozmičnega sevanja. C-14 se v rastline vgrajuje v procesu fotosinteze, v živalski in človeški organizem pa prehaja z uživanjem predvsem rastlinske hrane. V letih od 2006 do 2021 so potekale meritve C-14 tako v izpustih kot bioloških vzorcih, zbranih v okolici NEK, analize so bile opravljene na IRB v Zagrebu. Vzorčenje koruze, pšenice, hrušk in jabolk je bilo opravljeno v juliju in septembru. Efektivna doza zaradi prisotnosti C-14 v hrani je bila ob ograji NEK ocenjena na $(15,8 \pm 0,5)$ μSv , v okolici NEK (na razdalji do 1 km od osi reaktorja) $(15,5 \pm 0,5)$ μSv . Ocenjena efektivna doza za okolico NEK je $(15,0 \pm 0,4)$ μSv , kjer upoštevamo, da prebivalci uživajo hrano iz neposredne bližine NEK (blizu roba izključitvenega območja) dva meseca v letu, drugih 10 mesecev pa hrano od drugod (Dobova). Na kontrolni točki v Dobovi, kjer učinka NEK ni, pa je ocenjena efektivna doza $(14,8 \pm 0,5)$ μSv , kar je primerljivo v okviru relativne merske negotovosti (3,4 %) in naravne variabilnosti. Ocenjena doza (14,8 μSv) je prispevek naravnega C-14 in C-14 zaradi jedrskih poskusov v preteklosti, v razmerju 40 % proti 60 % [88]. Ocenjena letna efektivna doza zaradi C-14 iz NEK je $(0,14 \pm 0,06)$ μSv .

Efektivni dozi v okolici NEK in v Dobovi sta izračunani glede na podatek, da povprečen prebivalec (referenčna oseba) v Sloveniji porabi 330 kg hrane na leto, kar je več, kot predvideva 29. člen *Uredbe o mejnih dozah, radioaktivni kontaminaciji in intervencijskih nivojih (UV2)* [10], kjer je privzeto 250 kg, če masa in sestava zaužite hrane za referenčno osebo ni znana. Iz tega izhaja, da je absolutna vrednost doze zaradi zaužitja C-14 nižja. Ocena deleža ogljika v hrani je 30 %, kar pri porabi 330 kg pomeni, da se v organizem s hrano vnese 100 kg ogljika letno. V omenjenem modelu tudi predpostavimo, da prebivalci uživajo hrano iz neposredne okolice NEK dva meseca v letu, drugih 10 mesecev pa hrano od drugod (Dobova). Iz tega izhaja, da tudi v primeru računanja efektivne doze zaradi C-14 privzamemo, da prebivalci uživajo hrano, pridelano na krško-brežiškem področju (od ograje NEK in navzven do Dobove). Razlika med računanjem doze zaradi C-14 in doze zaradi vnosa drugih radionuklidov v hrano je v tem, da se za C-14 upošteva uteženo povprečje specifične aktivnosti C-14 glede na lokacijo vzorčenja, za druge radionuklide pa zaradi različnega načina vzorčenja to ni mogoče. Efektivna doza pri C-14 se nanaša na hrano in ne na posamezno vrsto hrane, saj se specifične aktivnosti C-14 (v Bq na kilogram ogljika) v raznih vrstah živil ne razlikujejo. Razmerje med izotopoma C-14 in C-12 je namreč v vseh organizmih konstantno in sledi razmerju med izotopoma v atmosferi.



SKLEPI

V letu 2021 je bilo opravljenih 32 meritev različnih vrst hrane iz okolice NEK. Zelenjavo, žita in sadje smo vzorčili od junija do oktobra, odvzem mesa in jajc je bil v januarju, marcu in juliju, mleko pa je bilo vzorčeno mesečno. Nadzor vsebnosti v hrani drugod po Sloveniji so izvedli na ZVD v okviru programa nadzora radioaktivnosti v življenjskem okolju v Republiki Sloveniji v letu 2021 [14].

Ocenili smo, da je bila letna učinkovita doza za odraslo referenčno osebo v okolici NEK zaradi vsebnosti umetnih in naravnih radionuklidov v hrani, pridelani na krško-brežiškem polju v letu 2021, brez upoštevanja K-40, $100 \mu\text{Sv}$, z upoštevanjem K-40 pa $264 \mu\text{Sv}$. Največji delež k skupni učinkoviti dozi zaradi zaužitja hrane, brez upoštevanja K-40, prispevajo naravni radionuklidi (99 %): Pb-210 (56,1%), Ra-228 (35,7 %), U-238 (4,2 %), Th-228 (2,3 %), in Ra-226 (1,17 %). Največji delež k celotni dozi $100 \mu\text{Sv}$ je prispevalo prehranjevanje z žiti in listno zelenjavo. Omenjeni rezultati so povezani z relativno večjo porabo kot pri drugih živilih, glede na porabo povprečnega slovenskega gospodinjstva (NIJZ). Glavni vir vnosa Cs-137 in Sr-90 je bila v letu 2021 listna zelenjava in meso.

Deleža letnih učinkovnih doz glede na celotno prejeta učinkovita doza zaradi umetnih radionuklidov Cs-137 in Sr-90 pri uživanju hrane sta bila 0,1 % in 0,4 % (0,5 % skupne doze), kar je z biološkega vidika zanemarljivo [91]. Iz grafov, predstavljenih v tem poglavju, lahko ugotovimo, da se vsebnosti obeh radionuklidov v vseh hranilih, ki se vzorčujejo na krško-brežiškem polju, še naprej zmanjšujeta. Zmanjševanje vsebnosti Cs-137 je, glede na rezultate meritev specifične aktivnosti v hrani po Sloveniji v prejšnjih letih in glede na podatke iz diplomskega dela [82], manj izrazito v gozdnih ekosistemih.

Med detektiranimi radionuklidi v zračnih izpustih NEK so tudi drugi umetni radionuklidi, ki pa jih v hrani v letu 2021 nismo detektirali, zato učinek zračnih izpustov NEK v hrani ni neposredno določljiv. Izračuni letnih učinkovnih doz zaradi zaužitja hrane, ki vsebuje umetne in naravne radionuklide, so pokazali, da je delež učinkovite doze v letu 2021 v okolici NEK zaradi umetnih radionuklidov glede na celotno učinkovito dozo zaradi vseh radionuklidov v hrani 0,5-odstoten, po Sloveniji pa 1,3-odstoten, kar je z biološkega vidika zanemarljivo. Od tod izhaja, da je prejeta učinkovita doza zaradi zaužitja hrane v glavnem posledica vnosa naravnih radionuklidov.

Izračunane učinkovite doze v letu 2021 veljajo pri pogoju, da referenčna oseba uživa samo hrano, pridelano na krško-brežiškem polju. Ocena velja tako za umetne in naravne radionuklide, kot tudi za C-14, ki pa se zaradi narave mehanizma zamenjave atomov C-12 z atomi C-14 v organskih molekulah organizmov obravnava ločeno. Zaradi tega pri obravnavi podatkov o vsebnosti C-14 (v Bq na kilogram ogljika) v hrani ni treba razlikovati med posameznimi vrstami hrane, saj je razmerje med C-14 in C-12 konstantno pri vseh organizmih in sledi razmerju v atmosferi. Pri oceni letne učinkovite doze bi bilo treba upoštevati delež samooskrbe prebivalcev, saj je iz podatkov o samooskrbi prebivalstva v Sloveniji razvidno, da prebivalci večji del hrane kupijo, hrana pa prihaja bodisi z drugih področij Slovenije ali iz uvoza. Republiški program nadzora radionuklidov v hrani predvideva vzorčenje hrane, pridelane v Sloveniji, medtem ko hrana, ki prihaja iz uvoza, ni analizirana na vsebnost radionuklidov. Tako podatki o vsebnosti radionuklidov v hrani iz uvoza niso znani in je težko oceniti dejanske doze, ki jih prebivalci dobijo zaradi zaužitja hrane. Kot kažejo rezultati primerjave vsebnosti radionuklidov v hrani s krško-brežiškega območja s tistimi drugod po Sloveniji, učinka delovanja NEK na vsebnost radionuklidov v hrani ni zaznati, oziroma je zanemarljivo majhen.

Edini radionuklid, ki ga sistematično merimo v okolju in je zagotovo vsaj delno posledica plinastih in tekočinskih izpustov NEK, je tritij (H-3), vendar njegove prisotnosti v hrani v okviru merilnega nadzora nismo ugotavljali. Študija raziskovalcev IJS iz leta 2017 je pokazala, da se v rastlinju (jabolkah) v neposredni bližini NEK (rob izključitvenega območja in navzven) detektirajo vsaj 6-krat povečane koncentracije aktivnosti tritija glede na kontrolno mesto vzorčenja. Študija raziskovalcev IRB v letu 2021 je pokazala, da so koncentracije aktivnosti organsko vezanega tritija v rastlinju (koruza, jabolka) od $(1,5 \pm 1,0) \text{ Bq/L}$ na kontrolni lokaciji v Dobovi do $(20,8 \pm 1,7) \text{ Bq/L}$ ob zahodni ograji NEK (lokacija J). Dozna obremenitev prebivalstva zaradi vsebnosti OBT v hrani je z biološkega stališča zanemarljiva.



7 REFERENCE

- [1] Nadzor radioaktivnosti v okolici Nuklearne elektrarne Krško, Poročilo za leto 2020, interna oznaka 9/2021, Ljubljana, april 2021
- [2] Nadzor radioaktivnosti v okolici Nuklearne elektrarne Krško, Poročilo za leto 2014, interna oznaka 5/2015, Ljubljana, marec 2015
- [3] Meritve radioaktivnosti v okolici Nuklearne elektrarne Krško – Poročilo za leto 2007, Ljubljana, interna oznaka 25/2007, ISSN 1318-2161, marec 2008
- [4] Nadzor radioaktivnosti v okolici Nuklearne elektrarne Krško, Poročilo za leto 2010, interna oznaka 12/2011, Ljubljana, marec 2011
- [5] Mesečna poročila o radioaktivnih emisijah in dozi, NEK, NEK-RETS, Rev. 10, Table 5.9.1, 2016–2021
- [6] Poročilo o meritvah plinastih efluentov v letu 2021, št. poročila 89/2021, IJS, februar 2022
- [7] Zakon o varstvu pred ionizirajočimi sevanji in jedrski (ZVISJV-1), Uradni list RS, št. 76/17, 26/19, 172/21
- [8] Pravilnik o monitoringu radioaktivnosti (JV10), Uradni list RS, št. 27/18
- [9] Pravilnik o monitoringu radioaktivnosti v pitni vodi, Uradni list RS, št. 74/15 in 104/20
- [10] Uredba o mejnih dozah, referenčnih ravneh in radioaktivni kontaminaciji (UV2), Uradni list RS, št. 18/18
- [11] Uredba o območjih omejene rabe prostora zaradi jedrskega objekta in o pogojih gradnje objektov na teh območjih (UV3), Uradni list RS, št. 78/19
- [12] Pravilnik o posebnih zahtevah varstva pred sevanji in načinu ocene doz (SV5), Uradni list RS, št. 47/18
- [13] Poročilo o izpostavljenosti prebivalcev Slovenije umetni radioaktivnosti v letu 2020, LMSAR-20210004-MG, ZVD, Zavod za varstvo pri delu, marec 2021
- [14] Poročilo o izpostavljenosti prebivalcev Slovenije umetni radioaktivnosti v letu 2021, LMSAR-20220004-MG, ZVD, Zavod za varstvo pri delu, marec 2022
- [15] Poročilo o izvajanju monitoringa radioaktivnosti v življenjskem okolju v Republiki Sloveniji v obdobju oktober–december 2021, ZVD Zavod za varstvo pri delu, LMSAR-20210022-D-MG, januar 2022
- [16] Poročilo o izvajanju monitoringa radioaktivnosti živil v Republiki Sloveniji v obdobju oktober–december 2021 – 6. faza (sklop 1), ZVD Zavod za varstvo pri delu, LMSAR-20200008-6-MP, januar 2022
- [17] Letno poročilo o opravljenih meritvah aktivnosti sevalcev gama in beta, Monitoring radioaktivnosti v življenjskem okolju v Republiki Sloveniji za leto 2021, IJS, 87/2021, januar 2022
- [18] Ovrednotenje merskih podatkov o radioaktivnosti v življenjskem okolju v Republiki Sloveniji v letu 2021, IJS-DP-13729, januar 2022
- [19] Poročilo o meritvah radioaktivnosti pitne vode v letu 2021, št. poročila 63/2021, IJS, oktober 2021
- [20] I. Krajcar Bronić, Izvješće o mjerenjima aktivnosti ^{14}C u okolišu Nuklearne elektrane Krško tijekom 2021. godine, LNA-7/2022, Institut Ruđer Bošković, Zavod za eksperimentalnu fiziku, Laboratorij za mjerenje niskih aktivnosti, Zagreb, Hrvatska, 18. 3. 2022
- [21] I. Krajcar Bronić, Izvješće o mjerenjima aktivnosti ^{14}C u Savi i ribi tijekom 2021. godine, LNA-2/2022, Institut Ruđer Bošković, Zavod za eksperimentalnu fiziku, Laboratorij za mjerenje niskih aktivnosti, Zagreb, Hrvatska, 7. 3. 2022



- [22] I. Krajcar Bronić, Izvještaj o mjerenjima aktivnosti ^{14}C u vodi – WMT2 kvartalni uzorci 2021, LNA-8/2022, Institut Ruđer Bošković, Zavod za eksperimentalnu fiziku, Laboratorij za mjerenje niskih aktivnosti, Zagreb, Hrvatska, 21. 3. 2022
- [23] I. Krajcar Bronić, Izvještaj o mjerenjima aktivnosti ^3H (OBT) u biljnom materijalu –2021, LNA-9/2022, Institut Ruđer Bošković, Zavod za eksperimentalnu fiziku, Laboratorij za mjerenje niskih aktivnosti, Zagreb, Hrvatska, 24. 3. 2022
- [24] Radiation Protection No 152, EU Scientific Seminar 2007, "Emerging Issues on Tritium and Low Energy Beta Emitters", Proceedings of a scientific seminar held in Luxembourg on 13 November 2007
- [25] Izpostavitve prebivalcev sevanju zaradi tekočinskih izpustov NE Krško v reko Savo, IJS-DP-8801 (2003)
- [26] Izpostavitve referenčne skupine prebivalcev sevanju zaradi tekočinskih izpustov NEK v reko Savo – Nova referenčna lokacija, IJS-DP-10114 (2009)
- [27] Samo Škrlec, Hidroelektrarne na Spodnji Savi, d.o.o., sporočilo po elektronski pošti, 9. 4. 2020
- [28] *Dose calculation and dilution modelling of run-of-river Brežice hydro plant accumulation* št. TO.RZ-5/2020
- [29] M. Četina, *Tridimenzionalni matematični baroklini model za izračun tokov v jezerih in morju*, doktorska disertacija, Univerza v Ljubljani, Fakulteta gradbeništvo in geodezijo, Oddelek za gradbeništvo, Hidrotehnična smer, Ljubljana, 1992
- [30] M. Četina, R. Rajar, A. Širca, D. Tagar, PCFLOW3D, User's Manual, Univerza v Ljubljani, Fakulteta za gradbeništvo in geodezijo, Katedra za mehaniko tekočin, Ljubljana, 1999
- [31] J. Kovšca, 2007, *Dopolnitve modela PCFLOW3D za simulacijo tokov in širjenja polutantov.*, diplomska naloga, Univerza v Ljubljani, Fakulteta za gradbeništvo in geodezijo, Oddelek za gradbeništvo, Hidrotehnična smer, Ljubljana, 2007
- [32] M. Mihalina, *Vpliv tekočinskih izpustov NE Krško na najbolj izpostavljeno skupino*, Poročilo številka NEK ESD-TR-05/08, Rev. 0, maj 2008
- [33] HE Brežice / Sanacija vplivov na NEK - Verifikacija in morebitne analize povratnih tokov v profilu NEK po vzpostavitvi zaježitve HE Brežice, IBE in FGG, april 2019
- [34] PARTNER, d.o.o., Poročilo o izvedenih batimetričnih meritvah pretočne akumulacije HE Brežice, april 2021
- [35] R. Rajar, Verifikacija numeričnega modela PCFLOW3D, julij 2021
- [36] ICRP Publication 124, Protection of the Environment under Different Exposure Situations, Ann. ICRP 43(1), 2014
- [37] ICRP Publication 101a, Assessing Dose of the Representative Person for the Purpose of Radiation Protection of the Public and The Optimisation of Radiological Protection: Broadening the Process, Ann. ICRP 36 (3), 2006
- [38] IAEA Safety Guide 427, Prospective Radiological Environmental Impact Assessment for Facilities and Activities, Draft safety guide DS427, 2016
- [39] https://www.irsn.fr/EN/newsroom/News/Pages/20200505_Fires-in-Ukraine-in-the-Exclusion-Zone-around-chernobyl-latest-news-and-consequences.aspx
- [40] C. Kunz, Carbon-14 discharges at three light-water reactors, Health Physics, 49 (1985), 25–35
- [41] Delavnica z naslovom C-4 u okolišu (C-14 v okolju), organizirana na IJS dne 9. 12. 2015, predavateljici: I. Krajcar Bronić in J. Barešić
- [42] Handbook of Parameter Values for Prediction of Radionuclide Transfer in Terrestrial and Freshwater environment, IAEA TRS no. 472



- [43] COUNCIL DIRECTIVE 2013/51/EURATOM of 22 October 2013 laying down requirements for the protection of the health of the general public with regard to radioactive substances in water intended for human consumption, L 296/12, Official Journal of the European Union
- [44] T. Petrovič, Določitev referenčnih aktivnosti radionuklida K-40 v različnih vzorcih, magistrsko delo, Mednarodna podiplomska šola Jožefa Stefana, Ljubljana, avgust 2010
- [45] A. Kovačič et al., Strokovne podlage za razglasitev ogroženosti podzemne vode v Republiki Sloveniji, 2002
- [46] <https://www.kostak.si/images/1-2022/voda2021.pdf>
- [47] <https://www.komunala-brezice.si/datoteke/navigacija/zu7qah12-porocilo-o-kakovosti-2021.pdf>
- [48] https://www.vokasnaga.si/sites/www.jhl.si/files/dokumenti/voka_snaga_letno_porocilo_2021_s_po_dpisi_010422.pdf
- [49] R. Jamnik, Matematična statistika, Državna založba Slovenije, 1980
- [50] James R. Arnold, H. Ali Al-Salih, Beryllium-7 Produced by Cosmic Rays, *Science*, 121 (1955) 3144, 451–453, DOI: 10.1126/science.121.3144.451
- [51] M. Yoshimori, Production and behavior of beryllium 7 radionuclide in the upper atmosphere, *Advances in Space Research*, 36 (2005), 922–926
- [52] Rozanski K., Gonfiantini R., Araguas – Araguas L., Tritium in the Global Atmosphere: Distribution Patterns and Recent Trends, *J. Phys. G, Nucl. Part. Phys.*, 17 (1991), S523 – S536
- [53] P. Vreča, I. Krajcar Bronić, A. Leis, M. Demšar, Isotopic composition of precipitation at the station Ljubljana (Reaktor), Slovenia – period 2007–2010, *GEOLOGIJA* 57/2, 217–230, Ljubljana 2014, doi:10.5474/geologija.2014.019
- [54] B. Breznik, M. Božnar, P. Mlakar, G. Tinarelli, Dose projection using dispersion models, 8th International Conference on Harmonisation within Atmospheric Dispersion Modelling for Regulatory Purposes, 14–17 October 2002, Sofia, Bulgaria, *Int. J. Environ. Pollut.*, 20 (2004), 278–285
- [55] P. Mlakar, M. Božnar, B. Breznik, A. Kovač, Modelling of air pollutant releases from the Krško Nuclear Power Plant, 4th Regional Meeting Nuclear Energy in Central Europe, Bled, Slovenia, 7–10 September 1997. *Proceedings*. Ljubljana: Nuclear Society of Slovenia, 1997, 137–144
- [56] M. Božnar, P. Mlakar, B. Breznik, Advanced modeling of potential air pollution dispersion around Krško NPP using 3D wind field reconstruction and Lagrangean particle model, International Conference Nuclear Energy for New Europe 2003, 8–11 September 2003, Portorož, Slovenija. *Proceedings*. Ljubljana: Nuclear Society of Slovenia, 2003, str. 602
- [57] M. Božnar, P. Mlakar, B. Breznik, G. Tinarelli, Use of Lagrangean particle model for air pollution dispersion for radioactive risk assessment in complex terrain, Sixth Annual Meeting of the European Meteorological Society (EMS) and Sixth European Conference on Applied Climatology (ECAC) : Ljubljana, Slovenia, 4–8 September 2006, (EMS annual meeting abstracts, Volume 3). Ljubljana: European Meteorological Society, Agencija RS za okolje, 2006
- [58] B. Zorko, M. Korun, J. C. M. Canadas, V. Nicoulaud Gouin, P. Chyly, A. M. Blixt Buhr, C. Lager, K. Aquilonius and P. Krajewski, Systematic influences of gamma-ray spectrometry data near the decision threshold for radioactivity measurements in the environment, *Journal of Environmental Radioactivity*, 158–159 (2016), 119–128
- [59] S. Širca, *Verjetnost v fiziki*, DMFA – založništvo, Ljubljana 2016
- [60] European Commission recommendation on standardized information on radioactive airborne and liquid discharges into the environment from nuclear power reactors and reprocessing plants in normal operation. *Euratom Off. J. Eur. Union.*, 2004, pp L2:32
- [61] International Atomic Energy Agency, Generic Models for Use in Assessing the Impact of Discharges of Radioactive Substances to the Environment, IAEA Safety Reports Series No. 19, Dunaj, 2001



- [62] Treaty establishing the European Atomic Energy Community (Euratom)
- [63] S. Stoulos et al., Post-Chernobyl Cs-137 in the atmosphere of Thessaloniki: a consequence of the financial crisis in Greece, *Journal of Environmental Radioactivity*, 128 (2014), 68–74
- [64] Povprečna mesečna koncentracija delcev PM₁₀ v letu 2013, ARSO, januar 2014, http://www.arso.gov.si/zrak/kakovost%20zraka/podatki/PM10_dec013_slo.pdf
- [65] Bossew, P & Gering, F & Petermann, Eric & Hamburger, T & Katzlberger, Christian & Hernández Ceballos, Miguel Ángel & De Cort, Marc & Gorzkiewicz, Krzysztof & Kierepko, Renata & Mietelski, J. (2019). An episode of Ru-106 in air over Europe, September–October 2017 – Geographical distribution of inhalation dose over Europe. *Journal of Environmental Radioactivity*. 205-206. 79-92. 10.1016/j.jenvrad.2019.05.004.
- [66] A. Volčanšek, komunikacija po elektronski pošti dne 3. 4. 2018
- [67] UNITED NATIONS, Sources and effects of Ionizing Radiation, Report to the General Assembly with Scientific Annexes, United Nations Scientific Committee on the Effects of Atomic Radiation, (UNSCEAR), YN, New York, 2000
- [68] Implied doses to the population of the EU arising from reported discharges from EU nuclear power stations and reprocessing sites in the years 1997 to 2004, *Radiation Protection* 153, European Commission, Bruselj, 2008
- [69] B. Zorko, M. Korun, B. Črnič, B. Vodenik, S. Gobec, *Influence of solar activity on ambient dose equivalent H*(10) measured with thermoluminescent dosimeters in Slovenia*, *Arh. Hig. Rada Toksikol.* 72 (2021) 23–28, doi:10.2478/aiht-2021-72-3475
- [70] A. Likar, T. Vidmar, B. Pucelj, Monte Carlo Determination of Gamma-ray Dose Rate with the GEANT System, *Health Physics*, 75 (1998), 165–169
- [71] Matjaž Korun, osebno sporočilo, 2003
- [72] B. Zorko, S. Miljanić, B. Vekić, M. Štuhec, S. Gobec, M. Ranogajec - Komor, Intercomparison of dosimetry systems based on CaF₂: Mn TL-detectors, *Radiat. Protect. Dosim.*, 119 (2006), 300–305
- [73] S. Miljanić, Ž. Knežević, M. Štuhec, M. Ranogajec - Komor, K. Krpan, B. Vekić, Energy Dependence of New Thermoluminescent Detectors in Terms of Hp(10) Values, *Radiat. Protect. Dosim.*, 106 (2003), 253–256
- [74] T. Sato, Analytical Model for Estimating the Zenith Angle Dependence of Terrestrial Cosmic Ray Fluxes, *PLOS ONE*, 11(8): e0160390 (2016)
- [75] T. Sato, Analytical model for estimating terrestrial cosmic ray fluxes nearly anytime and anywhere in the world: Extension of PARMA/EXPACS, *PLOS ONE*, 10(12): e0144679. (2015)
- [76] Program EXPACS, <http://phits.jaea.go.jp/expacs/>
- [77] FRMAC, Assessment manual Tables, Charts, Worksheets, Glossary, references, Volume 2, SAND2003-1072P, Table 3.5
- [78] S. Ehlken, G. Kirchner, Environmental process affecting plant root uptake of radioactive trace elements and variability of transfer factor data: a review. *Journal of environmental radioactivity*, 58 (2002), 97–112
- [79] F. W. Whicker, Radionuclide transport processes in terrestrial ecosystems. *Radiation research*, 94 (1983), 135–150
- [80] M. S. Yim, F. Caron, Life cycle and management of carbon-14 from nuclear power generation, *Prog. Nucl. Energy*, 48 (2006), 2–36, doi: 10.1016/j.pnucene.2005.04.002
- [81] R. Krištof, S. Košenina, B. Zorko, J. Kožar Logar, Tritium in organic matter around Krško Nuclear Power Plant, *Journal of radioanalytical and nuclear chemistry*, 314 (2017), 675–679, doi: 10.1007/s10967-017-5454-0
- [82] P. Zakrajšek, Vsebnost kovin in radionuklidov v gobah na izbranih področjih v Sloveniji, diplomsko delo, Univerza v Ljubljani, Pedagoška fakulteta, Biotehniška fakulteta, 2014



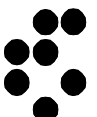
- [83] H. Yang, P. G. Appleby, *Use of lead-210 as a novel tracer for lead (Pb) sources in plants*, Sci. Rep., 6 (2016) 1, 21707 doi: 10.1038/srep21707
- [84] M. Gregorič, U. Blaznik, N. Delfar, M. Zaletel, D. Lavtar, B. Koroušič Seljak, P. Golja, K. Zdešar Kotnik, I. Pravst, N. Fidler Mis, S. Kostanjevec, M. Pajnkihar, T. Poklar Vatovec, A. Hočevar Grom, *Slovenian national food consumption survey in adolescents, adults and elderly*, National Institute of Public Health (NIJZ), EFSA supporting publication 2019:EN-1729, 2019, doi:10.2903/sp.efsa.2019.EN-1729
- [85] U. Blaznik, M. Gregorič, N. Delfar, M. Zaletel, D. Lavtar, B. Koroušič Seljak, N. Fidler Mis, P. Golja, K. Zdešar Kotnik, I. Pravst, A. Hočevar Grom, *Slovenian national food consumption survey on children (infants and toddlers)*, National Institute of Public Health (NIJZ), EFSA supporting publication 2019:EN-1728, 2019, doi:10.2903/sp.efsa.2019.EN-1728
- [86] European Commission, Radiation Protection 106, Technical recommendations on measurements of external environmental gamma radiation doses, A report of EURADOS Working Group 12, EURADOS report 1999
- [87] <https://www.r-project.org/>
- [88] <https://en.wikipedia.org/wiki/Carbon-14>
- [89] ARSO podatki, <http://meteo.arso.gov.si/met/sl/archive/>, 2022
- [90] Javne informacije Slovenije, Geodetska uprava Republike Slovenije, Državna pregledna karta Republike Slovenije DPK250 1: 250000 – 2005
- [91] J. F. Diehl, Radioactivity in food, *Encycl. Food Sci. Nutr.*, Academic Press, 2003, 4903–4911, doi:10.1016/b0-12-227055-x/00997-4



IJS delovno poročilo
IJS-DP-13759
marec 2022

**MERSKI REZULTATI –
NADZOR RADIOAKTIVNOSTI
V OKOLICI NUKLEARNE ELEKTRARNE KRŠKO**

POROČILO ZA LETO 2021





Naročnik: NE Krško, Vrbina 12, 8270 Krško

Izvajalci: Institut "Jožef Stefan", Ljubljana
Jamova cesta 39, SI-1000 Ljubljana

Zavod za varstvo pri delu, d. d.
Pot k izviru 6, SI-1260 Ljubljana - Polje

Institut Ruđer Bošković
Bijenička 54, HR-10000 Zagreb, Hrvatska

Pogodbe štev.: Pogodba št. 3200014 (Z-8191605, Obratovalni monitoring radioaktivnosti v okolici NEK) z dne 3. 2. 2020 (za IJS in ZVD)
Pogodba NEK št. 3200465 in HESS št. 68/2020 (Obratovalni monitoring v okolici NEK v povezavi s HE Brežice) z dne 1. 4. 2020 (za IJS in ZVD)
Pogodba št. 3172128 z dne 27. 12. 2017 (za IRB)

Odgovorni nosilec: doc. dr. Benjamin Zorko

Naslov poročila: Merski rezultati – nadzor radioaktivnosti v okolici Nuklearne elektrarne Krško - Poročilo za leto 2021

Poročilo uredila: mag. Denis Glavič - Cindro

Avtorji poročila:
Avtorji na IJS:
M. Centrih, dipl. inž. fiz., N. Čipanovska, mag. biol. biokem. fiziol.,
B. Črnič, mag. med. fiz., P. Gerjol, dipl. inž. teh. var.,
mag. D. Glavič - Cindro, S. Gobec, dr. M. Korun, dr. J. Kožar Logar,
dr. R. Krištof, dr. M. Nečemer, P. Prem, prof. biol., dr. T. Petrovič,
K. Poiškruh, mag. med. fiz., R. Roš Opaškar, dr. L. Rovnan,
mag. B. Vodenik, doc. dr. B. Zorko
Avtorji na ZVD:
dr. M. Giacomelli, A. Ivanc, P. Jovanovič, inž. fiz., D. Konda, M. Levstek,
dr. G. Omahen, L. Peršin, M. Podvratnik, univ.dipl.fiz in mag.med.fiz.
Avtorji na IRB:
dr. J. Barešič, mag. D. Borković, dr. I. Coha, dr. Ž. Grahek, M. Ivković,
mag. kem., G. Karanović, dipl. inž., T. Kardum, dr. Ž. Knežević,
dr. I. Krajcar Bronić, dr. M. Majer, dr. I. Lovrenčić Mikelić, dr.
M. Nodilo, A. Rajtarić, dr. A. Sironić, V. Trpavec, dr. I. Tucaković,
D. Žilić
Avtorji na MEIS:
dr. M. Z. Božnar, dr. B. Grašič, dr. P. Mlakar

Štev. del. poročila: IJS-DP-13759

Izvedba projekta je usklajena z zahtevami programov za zagotovitev kakovosti pri posameznih izvajalcih.



NASLOV POROČILA:

Merski rezultati – nadzor radioaktivnosti
v okolici Nuklearne elektrarne Krško – Poročilo za leto 2021

IJS-DP-13759
marec 2022

KLJUČNE BESEDE:

nadzor radioaktivnosti, vzorčevanje, meritve sevanja, meritve sevalcev gama in beta, visokoločljivostna spektrometrija gama, spektrometrija beta, zunanje sevanje, radioaktivno onesnaženje, identifikacija radionuklidov, dozimetrija, primerjalne meritve

POVZETEK:

V poročilu so zbrani vsi rezultati meritev radioaktivnosti v okolici NE Krško, ki so jih izvedli IJS, ZVD in IRB v letu 2021. Osnova za izvajanje obratovalnega nadzora je Pravilnik o monitoringu radioaktivnosti JV10 (Ur. l. RS 27/2018, 5. 5. 2018). Program obsega meritve v okolju jedrske elektrarne (imisije – priloga 4, preglednica 3 iz pravilnika JV10). Podroben program meritev je določen v Tehnični specifikaciji za izvedbo storitve obratovalnega monitoringa radioaktivnosti v okolici NEK (pitne vode, zraka, hrane, reke Save, padavin, zemlje in sevanja v okolju skupaj z oceno doz prebivalstva) za leti 2020 in 2021 v Republiki Sloveniji, NEK, TS št. TO.RZ 16/2019, revizija 0, Tehnični specifikaciji za izvedbo storitev obratovalnega monitoringa radioaktivnosti v okolici NEK zaradi HE Brežice za leti 2020 in 2021, NEK, TS št. TO.RZ 22/2019, revizija 2 in dodatno v Radiological Effluent Technical Specifications (RETS), NEK-RETS, Rev. 10, poglavje 3.12, strani 45–62.

REPORT TITLE:

Measurement results – surveillance of radioactivity
in the environment of Krško NPP - yearly report for 2021

IJS-DP-13759
March 2022

KEYWORDS:

radioactivity surveillance, sampling, radioactivity measurements, gamma- and beta-ray emitters activity measurements, high resolution gamma-ray spectrometry, beta spectrometry, external radiation, radioactive contamination, radionuclide identification, dosimetry, intercomparison measurements

ABSTRACT:

In the report all measurement results provided by JSI, ZVD and IRB for radioactivity surveillance in the year 2021 in the environment of Krško NPP are presented. The legal basis for radioactivity monitoring is given in Rules on the monitoring of radioactivity (JV10) (old regulations Ur. l. RS 20/2007 and 97/2009 and new regulation 27/2018, 5. 5. 2018). The programme comprises measurements in the environment of NPP (imission measurements, Appendix 4, table 3 in new regulation JV10). Detailed programme is determined in Technical specification for accomplishment of execution of environmental radioactivity monitoring of Krško NPP (drinking water, air, food, Sava river, precepitation, soil and external exposure to radiation with dose assessment) for years 2020 and 2021 in Republic of Slovenia, NEK, TS No. TO.RZ 16/2019, Revision 0, Technical specification for accomplishment of execution of environmental radioactivity monitoring of Krško NPP due to Brežice HPP for years 2020 and 2021, TS No. TO.RZ 22/2019, Rev. 2 and additionally in Radiological Effluent Technical Specifications (RETS), NEK-RETS, Rev. 10, chapter 3.12, pages 45–62.



IZVAJALCI MERITEV

INSTITUT "JOŽEF STEFAN" (IJS), LJUBLJANA

Koordinator projekta za IJS: doc. dr. Benjamin Zorko

Izvajalci na IJS:

Odsek za fiziko nizkih in srednjih energij (Odsek F2)

M. Centrih, dipl. inž. fiz., N. Čipanovska, mag. biol. biokem. fiziol., B. Črnič, mag. med. fiz., P. Gerjol, dipl. inž. teh. var., mag. D. Glavič - Cindro, S. Gobec, dr. M. Korun, dr. J. Kožar Logar, dr. R. Krištof, dr. M. Nečemer, P. Prem, prof. biol., dr. T. Petrovič, K. Poiškruh, mag. med. fiz., R. Roš Opaškar, mag. B. Vodenik, doc. dr. B. Zorko

Odsek za znanosti o okolju (Odsek O2)

dr. L. Rovan, B. Svetek, inž. kem. tehnol., dr. M. Štrok, Z. Trkov, inž. kem. tehnol.

ZAVOD ZA VARSTVO PRI DELU (ZVD), LJUBLJANA

Koordinator projekta za ZVD: dr. Gregor Omahen

Izvajalci na ZVD:

dr. M. Giacomelli, A. Ivanc, P. Jovanovič, inž. fiz., D. Konda, M. Levstek, dr. G. Omahen, L. Peršin, M. Podvratnik, univ.dipl.fiz in mag.med.fiz.

INSTITUT RUĐER BOŠKOVIĆ (IRB), ZAGREB

Koordinator projekta za IRB - ZIMO: dr. Željko Grahek

Izvajalci na IRB – Zavod za istraživanje mora i okoliša, Laboratorij za radioekologiju (IRB–ZIMO–LRE):

dr. I. Coha, dipl. inž., dr. Ž. Grahek, M. Ivković, mag. kem., G. Karanović, dipl. inž., T. Kardum, dr. I. Tucaković, D. Žilić

Izvajalci na IRB – Laboratorij za mjerenje niskih radioaktivnosti – Zavod za eksperimentalnu fiziku:

dr. J. Barešić, mag. D. Borković, dr. I. Krajcar Bronić, dr. I. Lovrenčić Mikelić, A. Rajtarić, dr. A. Sironić

Izvajalci na IRB – Laboratorij za radijacijsku kemiju i dozimetriju –Zavod za kemiju materijala:

dr. Ž. Knežević, dr. M. Majer, dr. M. Nodilo, V. Trpulec

IZVAJALCI EMISIJSKIH MERITEV ZNOTRAJ OGRAJE NE KRŠKO NUKLEARNA ELEKTRARNA KRŠKO (NEK), KRŠKO

Nosilec projekta za NE Krško: mag. Borut Breznik

Izvajalci v NEK:

M. Simončič, univ. dipl. kem., M. Pavlin, dipl. str., M. Urbanč, D. Mešiček, B. Vene, kem. tehnik, A. Volčanšek, univ. dipl. kem.

IZVAJALCI IZRAČUNOV RAZREDČITVENIH, DEPOZICIJSKIH TER KOEFIČIENTOV SEVANJA IZ OBLAKA PO LAGRANGEEVEM MODELU DELCEV, MEIS STORITVE ZA OKOLJE (MEIS), MALI VRH PRI ŠMARJU

Izvajalci v MEIS:

dr. P. Mlakar, dr. B. Grašič, dr. M. Z. Božnar



PROGRAM REDNEGA NADZORA RADIOAKTIVNOSTI V OKOLICI NE KRŠKO ZA LETO 2021

Osnova za izvajanje obratovalnega nadzora je *Pravilnik o monitoringu radioaktivnosti JV10* (pravilnik Ur. l. RS 27/18, 5. 5. 2018).

- (i) Program obsega **meritve v okolju jedrske elektrarne (imisije – priloga 4, preglednica 3 iz pravilnika JV 10)**.

Podroben program meritev je določen v *Tehnični specifikaciji za izvedbo storitve obratovalnega monitoringa radioaktivnosti v okolici NEK (pitne vode, zraka, hrane, reke Save, padavin, zemlje in sevanja v okolju skupaj z oceno doz prebivalstva) za leti 2020 in 2021 v Republiki Sloveniji*, NEK, TS št. TO.RZ 16/2019, revizija 0.

Poleg imisijskih meritev so v poročilu obravnavane tudi **meritve tekočinskih in atmosferskih izpustov (emisije priloga 4, preglednici 1 in 2 iz pravilnika JV10)** v obsegu, ki omogoča vrednotenje imisijskih meritev in doz.

- (ii) V juliju 2017 se je poleg rednega *Obratovalnega monitoringa radioaktivnosti v okolici NEK* začel izvajati tudi obratovalni monitoring radioaktivnosti v okolici NEK zaradi HE Brežice. Podroben program teh meritev je določen v *Tehnični specifikaciji za izvedbo storitve obratovalnega monitoringa radioaktivnosti v okolici NEK zaradi HE Brežice* za leti 2020 in 2021, NEK, TS št. TO.RZ 22/2019, revizija 2.

V programu radioloških meritev v okolici NE Krško za leto 2021 je naveden skupni program obeh programov nadzornih meritev. Program teh merite je skladen s programom, navedenim v *Radiological Effluent Technical Specifications (RETS)*, NEK-RETS, Rev. 10, poglavje 3.12, strani 45–62.

- (iii) Označba Sr-90/Sr-89 pomeni, da ni bila narejena analiza na Y-90. Ločitev za Y-90 se izvede samo v primerih, ko iz ponovitev meritev Sr-90/Sr-89 ugotovimo, da je izmerjena hitrost štetja res manjša od predhodno določene in je ta razlika hitrosti štetja posledica radioaktivnega razpada Sr-89.



PROGRAM RADIOLOŠKIH MERITEV V OKOLICI NE KRŠKO ZA LETO 2021

1. VODA, REKA SAVA

VRSTA IN OPIS MERITVE	VZORČEVALNO MESTO	VRSTA VZORCA	POGOSTOST VZORČEVANJA	POGOSTOST MERITVE	LETNO ŠT. MERITEV
Izotopska analiza s spektrometrijo gama	1. Krško – 4 km vzvodno od NEK	voda in suspendirana snov filtrski ostanek	sestavljen vzorec, neprekinjeno zbiran 31 dni	1-krat na 92 dni	4
	2. Nad jezom HE Brežice – 7,2 km nizvodno od NEK *			1-krat na 31 dni	12
	3. Brežice – 7,8 km nizvodno od NEK			1-krat na 31 dni	12
	4. Jesenice na Dolenjskem, 17,5 km nizvodno od NEK			1-krat na 31 dni	12
Tritij (H-3), specifična analiza s scintilacijskim spektrometrom	1. Krško	vodni destilat	sestavljen vzorec, neprekinjeno zbiran 31 dni	1-krat na 31 dni	12
	2. Nad jezom HE Brežice *			1-krat na 31 dni	12
	3. Brežice			1-krat na 31 dni	12
	4. Jesenice na Dolenjskem			1-krat na 31 dni	12
Stroncij Sr-90/Sr-89, specifična analiza (radiokemična izolacija Sr-90/Sr-89, detekcija s proporcionalnim števcem)	1. Krško	voda in suspendirana snov filtrski ostanek	sestavljen vzorec, neprekinjeno zbiran 31 dni	1-krat na 92 dni	4
	2. Nad jezom HE Brežice *			1-krat na 92 dni	4
	3. Brežice			1-krat na 31 dni	12
	4. Jesenice na Dolenjskem			1-krat na 92 dni	4

* Meritve iz programa Obratovalnega monitoringa radioaktivnosti v okolici NEK zaradi HE Brežice so se začele izvajati julija 2017.



2. REKA SAVA – VODA, SEDIMENTI, VODNA BIOTA

VRSTA IN OPIS MERITVE	VZORČEVALNO MESTO	VRSTA VZORCA	POGOSTOST VZORČEVANJA	POGOSTOST MERITVE	LETNO ŠT. MERITEV
Izotopska analiza s spektrometrijo gama Stroncij Sr-90/Sr-89, specifična analiza Tritij (H-3), specifična analiza s scintilacijskim spektrometrom	1. Obala 0,5 km vzvodno od NEK, levi breg 2. Obala pri Brežicah, 4–7,8 km, nizvodno od NEK, levi breg 3. Nad jezom HE Brežice, 7,2 km nizvodno od NEK* 4. Obala pri Jesenicah na Dolenjskem, 17,5 km nizvodno od NEK, desni breg 5. Podsused (H-3, 2-krat letno)	posamični vzorci voda + suspendirana snov sedimenti ribe vodni destilat	1-krat na 92 dni	1-krat na 92 dni	4 × 12 (voda) 4 × 8 (sediment) 4 × 8 (ribe) 2 (H-3 v Podsusedu)
Izotopska analiza s spektrometrijo gama Stroncij Sr-90/Sr-89, specifična analiza Tritij (H-3), specifična analiza	2 vzorca na obeh bregovih akumulacije med rečnima profiloma 120 in 121*	posamični vzorci voda + suspendirana snov sedimenti vodni destilat	1-krat na 31 dni	1-krat na 31 dni	2 × 36 (voda) 2 × 24 (sediment)
Izotopska analiza s spektrometrijo gama Stroncij Sr-90/Sr-89, specifična analiza Tritij (H-3), specifična analiza	Nadomestni habitat NH1*	posamični vzorci voda + suspendirana snov vodni destilat	1-krat na 92 dni	1-krat na 92 dni	3 × 4
Izotopska analiza s spektrometrijo gama Stroncij Sr-90/Sr-89, specifična analiza	Akumulacija HE Brežice*	posamični vzorci	1-krat na 182 dni	1-krat na 182 dni	2 × 2
C-14	2 vzorca na obeh bregovih akumulacije med rečnima profiloma 120 in 121* Akumulacija HE Brežice*	posamični vzorec, voda + suspendirana snov posamični vzorec, ribe	1-krat na 92 dni 1-krat na 182 dni	1-krat na 92 dni 1-krat na 182 dni	8 2

* Meritve iz programa Obratovalnega monitoringa radioaktivnosti v okolici NEK zaradi HE Brežice so se začele izvajati julija 2017.



3. VODOVODI

VRSTA IN OPIS MERITVE	VZORČEVALNO MESTO	VRSTA VZORCA	POGOSTOST VZORČEVANJA	POGOSTOST MERITVE	LETNO ŠT. MERITEV		
Izotopska analiza s spektrometrijo gama (VLG)	1. Krško (vodovod)	posamično vzeti vzorec vode	1-krat na 92 dni (VLG in Sr)	1-krat na 92 dni (VLG in Sr)	12		
Stroncij Sr-90/Sr-89, specifična analiza	2. Brežice (vodovod)				12		
Tritij (H-3), specifična analiza s scintilacijskim spektrometrom	3. Vrtina E1 znotraj ograje NEK				Vrtine in podtalnice 1-krat na 31 dni	Vrtine in podtalnice 1-krat na 31 dni	5 × 12 (H-3)
	4. Podtalnica v bližini NEK na levem bregu Save VOP-4 (samo H-3)						
	5. Vrtina VOP-1/06 (samo H-3)						
	6. Vrtina V-7/77 (samo H-3)						
	7. Vrtina V-12/77 (samo H-3)						

4. ČRPALIŠČA, ZAJETJA

VRSTA IN OPIS MERITVE	VZORČEVALNO MESTO	VRSTA VZORCA	POGOSTOST VZORČEVANJA	POGOSTOST MERITVE	LETNO ŠT. MERITEV
Izotopska analiza s spektrometrijo gama	1. Črpališče vod. Krško - Beli breg (Drnovo)	sestavljene vzorci vode	1-krat na dan	1-krat na 31 dni	5 × 12
Tritij (H-3), specifična analiza s scintilacijskim spektrometrom	2. Črpališče vod. Krško - Brege		1-krat na dan	1-krat na 31 dni	5 × 12
	3. Zajetje Dolenja vas		1-krat na dan	1-krat na 31 dni	12 × 5
Stroncij Sr-90/Sr-89, specifična analiza	4. Črpališče vod. Brežice VT1 (novo)				
	5. Črpališče vod. Brežice 481				

Pripomba: V Brežicah se vzorčijo zgolj aktivna črpališča, ki napajajo vodovodno omrežje.



5. PADAVINE IN USEDI

VRSTA IN OPIS MERITVE	VZORČEVALNO MESTO	VRSTA VZORCA	POGOSTOST VZORČEVANJA	POGOSTOST MERITVE	LETNO ŠT. MERITEV
Izotopska analiza s spektrometrijo gama	1. Libna ZR = 1,6 km	sestavljen vzorec, neprekinjeno zbiranje 31 dni	1-krat na 31 dni	1-krat na 31 dni	3 × 12
Tritij (H-3), specifična analiza s scintilacijskim spektrometrom	2. Brege				3 × 12
Stroncij Sr-90/Sr-89, specifična analiza	3. Dobova				3 × 12

ZR = zračna razdalja

6. USEDI – VAZELINSKE PLOŠČE

VRSTA IN OPIS MERITVE	VZORČEVALNO MESTO	VRSTA VZORCA	POGOSTOST VZORČEVANJA	POGOSTOST MERITVE	LETNO ŠT. MERITEV
Izotopska analiza s spektrometrijo gama	7 vzorčevalnih mest pri črpalkah za jod in sadovnjak ob NEK, 3 skupine lokacij	sestavljeni mesečni vzorec iz 3 skupin lokacij ali celomesečni vzorec iz posamezne lokacije pri povišanih vrednostih	neprekinjeno zbiranje vzorca 31 dni	1-krat na 31 dni	3 × 12



7. ZRAK

VRSTA IN OPIS MERITVE	VZORČEVALNO MESTO	VRSTA VZORCA	POGOSTOST VZORČEVANJA	POGOSTOST MERITVE	LETNO ŠT. MERITEV
Meritev I-131 (spektrometrija gama)	1. Sp. Stari Grad ZR = 1,8 km, 4C1 2. Stara vas (Krško) ZR = 1,8 km, 16C 3. Leskovec ZR = 3 km, 13D 4. Brege ZR = 2,3 km, 10C 5. Vihre ZR = 2 km, 8D 6. Gornji Lenart ZR = 5,9 km, 6E 7. Spodnja Libna ZR = 1,3 km, 2B	neprekinjeno črpanje skozi filter iz steklenih vlaken in skozi ogljen filter (15 dni)	1-krat na 15 dni	1-krat na 15 dni	6 × 24
Stroncij Sr-90/Sr-89, specifična analiza	1. Dobova ZR = 12,0 km, 6F	ostanek na filtru neprekinjeno črpanje skozi aerosolni filter	1-krat na 92 dni	1-krat na 92 dni	4
Izotopska analiza partikulatov in aerosolov s spektrometrijo gama	1. Sp. Stari Grad ZR = 1,8 km, 4C1 2. Stara vas (Krško) ZR = 1,8 km, 16C 3. Leskovec ZR = 3 km, 13D 4. Brege ZR = 2,3 km, 10C 5. Vihre ZR = 2 km, 8D 6. Gornji Lenart ZR = 5,9 km, 6E 7. Spodnja Libna ZR = 1,3 km, 2B 8. Dobova ZR = 12,0 km, 6F	neprekinjeno črpanje skozi aerosolni filter (menjava filtra glede na zamašitev oziroma na 31 dni)	1-krat na 31 dni	1-krat na 31 dni	7 × 12
C-14 v CO ₂ v zraku	A, B – znotraj ograde NEK	CO ₂ absorbiran na NaOH kot Na ₂ CO ₃	1-krat na 2 meseca		2 × 6



8. DOZA IN HITROST DOZE ZUNANJEGA SEVANJA

VRSTA IN OPIS MERITVE	VZORČEVALNO MESTO	VRSTA VZORCA	POGOSTOST VZORČEVANJA	POGOSTOST MERITVE	LETNO ŠT. MERITEV
Doza z okoljskimi TL-dozimetri v pasu okoli elektrarne	67 merilnih točk v Sloveniji, od tega 57 merilnih točk, razporejenih v krogih v pasu od 1,5–10 km okoli elektrarne, 9 merilnih točk na ograji NEK-a – skupaj 66 merilnih točk v okolici NEK in 1 merilna točka na IJS v Ljubljani; 10 na Hrvaškem	TL-dozimeter, najmanj 2 na merilno mesto	1-krat na pol leta	1-krat na pol leta	134 v Sloveniji
					20 na Hrvaškem
Meritev hitrosti doze sevanja gama	najmanj 10 merilnih mest, ki obkrožajo lokacijo NEK	omrežje z avtomatskim delovanjem		stalna meritev	stalni nadzor

Opomba: NEK izvaja meritve doze z OSL-dozimetri na šestih mestih na ograji objekta.

9. ZEMLJA

VRSTA IN OPIS MERITVE	VZORČEVALNO MESTO	VRSTA VZORCA	POGOSTOST VZORČEVANJA	POGOSTOST MERITVE	LETNO ŠT. MERITEV
Izotopska analiza s spektrometrijo gama	1. Amerika, $ZR = 3,2$ km, poplavno področje, rjava naplavina	posamični vzorec zemlje iz 4 globin 0–5 cm, 5–10 cm, 10–15 cm, 15–30 cm	1-krat v 6 mesecih	1-krat v 6 mesecih	2 × (3 × 4)
Stroncij Sr-90/Sr-89, specifična analiza (radiokemična izolacija Sr-90/Sr-89, detekcija s proporcionalnim števcem)	2. Trnje (Kusova Vrbina), $ZR = 8,5$ km, poplavno področje, borovina 3. Gmajnice (Vihre) $ZR = 2,6$ km, poplavno področje, rjava naplavina				posamični vzorci: naplavine, pašnik ali obdelovalna zemlja



10. HRANA – MLEKO

VRSTA IN OPIS MERITVE	VZORČEVALNO MESTO	VRSTA VZORCA	POGOSTOST VZORČEVANJA	POGOSTOST MERITVE	LETNO ŠT. MERITEV
Izotopska analiza s spektrometrijo gama	1. Pesje	posamični vzorec vsakih 31 dni	1-krat na 31 dni	1-krat na 31 dni	3 × 12
	2. Drново				
Stroncij Sr-90/Sr-89, specifična analiza	3. Skopice	posamični vzorec vsakih 31 dni			3 × 12
I-131, specifična analiza		posamični vzorec vsakih 31 dni med pašo – 8 mesecev			3 × 8

11. HRANA – SADJE

VRSTA IN OPIS MERITVE	VZORČEVALNO MESTO	VRSTA VZORCA	POGOSTOST VZORČEVANJA	POGOSTOST MERITVE	LETNO ŠT. MERITEV
Izotopska analiza s spektrometrijo gama	izbrani kraji na krško-brežiškem polju: sadovnjak AKK pri NEK, AKK Sremič, sadovnjak Leskovec	posamični sezonski vzorci raznega sadja:	1-krat na 365 dni	1-krat na 365 dni	10
Stroncij Sr-90/Sr-89, specifična analiza		jabolka, hruške, ribez, jagode, grozdje			10
C-14	Dobova in okolica 15 lokacij okoli NEK (Evrosad in izbrani kraji na polju)	sezonski vzorci raznega sadja, zelenjave ali žit	2-krat na leto (julij in september)	2-krat na leto	okoli 35



12. HRANA – POVRTNINE IN POLJŠČINE

VRSTA IN OPIS MERITVE	VZORČEVALNO MESTO	VRSTA VZORCA	POGOSTOST VZORČEVANJA	POGOSTOST MERITVE	LETNO ŠT. MERITEV
Izotopska analiza s spektrometrijo gama	izbrani kraji na krško-brežiškem polju: Brege, Žadovinek, Vrbina, Sp. Stari Grad, Trnje	posamični sezonski vzorci širokolistnatih povrtnin in poljščin: solata, zelje, korenje, krompir, paradižnik, peteršilj, fižol, čebula, pšenica, ječmen, koruza, hmelj	1-krat na 365 dni	1-krat na 365 dni	20
Stroncij Sr-90/Sr-89, specifična analiza					20
C-14	izbrani kraji na krško-brežiškem polju, in sicer Žadovinek, Brege, Spodnji Stari Grad, Dobova	žitarice	1-krat na leto	1-krat na leto	5

13. HRANA – MESO, PERUTNINA, JAJCA

VRSTA IN OPIS MERITEV	VZORČEVALNO MESTO	VRSTA VZORCA	POGOSTOST VZORČEVANJA	POGOSTOST MERITVE	LETNO ŠT. MERITEV
Izotopska analiza s spektrometrijo gama	izbrani kraji na krško-brežiškem polju: Žadovinek, Vrbina, Spodnji Stari Grad, Pesje	posamični vzorci raznega mesa in jajc	1-krat na 365 dni	1-krat na 365 dni	6
Stroncij Sr-90/Sr-89, specifična analiza					6

PROGRAM PRIMERJALNIH MERITEV V LETU 2021

Program primerjalnih meritev, ki ga izvajajo laboratoriji, vključeni v radiološki nadzor za NE Krško, obsega mednarodne ali medsebojne medlaboratorijske primerjave naslednjih vzorcev (vsaj 5 vzorcev letno):

- voda (sevalci gama, H-3, Sr-90)
- zračni filter (sevalci gama)
- zemlja ali sediment (sevalci gama)
- vegetacija ali hrana (sevalci gama)
- mleko (sevalci gama, I-131, Sr-89, Sr-90)

Rezultati vseh mednarodnih primerjalnih meritev morajo biti vključeni v zbirno letno poročilo. V poročilu mora biti navedeno, kateri laboratoriji so uspešno prestali preskuse in zadoščajo postavljenim merilom. Ustreznost laboratorija se izkazuje s primerjalnim indeksom glede na certificirano vrednost in z ovrednotenjem rezultata (sprejemljivo, sprejemljivo z opozorilom ter nesprejemljivo).



ENOTE IN NAZIVI KOLIČIN

V tabelah so dosledno uporabljene enote in oznake, ki naj bi najbolj neposredno "omogočale izračun" obremenitve človeka in so v skladu z zakonodajnimi podatki (Uradni list).

1 **VODE** (Sava, vodovod, zajetja, vrtine)

1.1 Koncentracija aktivnosti se navaja v enotah: Bq/m^3

($1 \text{ Bq/m}^3 = 1\text{E}-3 \text{ Bq/kg} = 1\text{E}-3 \text{ Bq/L}$).

približek velja ob predpostavki, da je $1 \text{ dm}^3 \text{ vode} = 1 \text{ L vode} = 1 \text{ kg vode}$).

1.2 Izraz "suspendirana snov" velja za ostanek filtracije delcev nad $0,45 \mu\text{m}$:

- koncentracija aktivnosti se navaja v enotah Bq/m^3 prefiltrirane vode; izraz "groba suspendirana snov" (filtrski ostanek) velja za filtriranje skozi črni trak oziroma velikosti delcev nad $6 \mu\text{m}$;
- koncentracija aktivnosti se navaja v enotah Bq/m^3 prefiltrirane vode, ki je dala ta filtrski ostanek.

1.3 **H-3** iz vode

Koncentracija aktivnosti tritija v vodi se navaja v enotah Bq/m^3 .

2 **USEDI** (padavine): aktivnost se podaja z dvema podatkom:

- Koncentracija aktivnosti useda na vodoravni prestrežni površini se navaja v enotah Bq/m^2 .
- Koncentracija aktivnosti tekočih padavin se podaja v enotah Bq/m^3 .

3 **HRANA**

Specifična aktivnost mase dejanskega vzorca se navaja v Bq/kg z navedbo masnega deleža (%) suhe snovi v dejanskem vzorcu, kadar se pri meritvah uporablja suha snov; le-to smo ugotavljali s suhim sušenjem na temperaturi od $60 \text{ }^\circ\text{C}$ do $80 \text{ }^\circ\text{C}$.

4 **BIOLOŠKI VZORCI**

Specifična aktivnost se za sveže ribe navaja v Bq/kg , navede se tudi masni delež (%) suhe snovi v ribi; za mahove, ribjo hrano in drugo se podaja specifična aktivnost mase suhe snovi v Bq/kg z navedbo deleža suhe snovi v vzorcu (%), kadar je to smiselno.

Specifična aktivnost C-14 v biološkem materialu se podaja kot specifična aktivnost C-14 v Bq na kilogram ogljika ali kot relativna specifična aktivnost v pMC (percent of Modern Carbon), $100 \text{ pMC} = 226 \text{ Bq}$ na kilogram ogljika.

5 **ZRAK**

Koncentracija aktivnosti se podaja za aerosole in jod v Bq/m^3 (pri približno normalnih razmerah).

Koncentracija aktivnosti C-14 v atmosferskem zraku se navaja kot relativna specifična aktivnost C-14 v pMC ali kot koncentracija aktivnosti C-14 v zraku v Bq/m^3 ob predpostavki, da je koncentracija CO_2 v zraku $384 \mu\text{g/g}$, $100 \text{ pMC} = 46 \text{ E}-3 \text{ Bq/m}^3$.

6 **ZEMLJA**

Specifična aktivnost zračno suhe zemlje se podaja v Bq/kg (sušenje pri sobni temperaturi) in v Bq/m^2 .

7 **ZUNANJE SEVANJE**

Doza zaradi zunanjega obsevanja se podaja z okoljskim doznim ekvivalentom $H^*(10)$ v Sv.



TABELA RADIONUKLIDOV

Seznam imen radioaktivnih izotopov, ki jih omenja poročilo o meritvah radioaktivnosti v okolici NEK ter njihovih simbolov in razpolovnih časov. Podatki o razpolovnih časih so vzeti iz E. Browne, R. B. Firestone, Table of Radioactive isotopes, John Wiley and Sons, 1986.

Element	Simbol izotopa ali izomera	Razpolovni čas
tritij	H-3	12,33 let
berilij	Be-7	53,29 dni
ogljik	C-14	5 730 let
natrij	Na-22	2,602 let
natrij	Na-24	14,66 ur
kalij	K-40	1,277 10 ⁹ let
argon	Ar-41	1,827 ure
krom	Cr-51	27,70 dni
mangan	Mn-54	312,2 dni
železo	Fe-55	2,73 let
kobalt	Co-57	271,77 dni
kobalt	Co-58	70,916 dni
železo	Fe-59	44,47 dni
kobalt	Co-60	5,271 let
cink	Zn-65	244,1 dni
stroncij	Sr-89	50,55 dni
stroncij	Sr-90	28,5 let
itrij	Y-90	2,671 dni
cirkonij	Zr-95	64,02 dni
niobij	Nb-95	34,97 dni
niobij	Nb-97	1,202 ure
molibden	Mo-99	2,748 dni
rutenij	Ru-103	39,254 dni
rutenij	Ru-106	1,020 leto
srebro	Ag-110m	249,76 dni
kositer	Sn-113	115,09 dni
kositer	Sn-117m	13,61 dni
telur	Te-123m	119,7 dni
antimon	Sb-124	60,20 dni
antimon	Sb-125	2,73 let
telur	Te-125m	57,4 dni
jod	I-125	60,14 dni
telur	Te-127m	109 dni
telur	Te-129m	33,6 dni
jod	I-131	8,040 dni
ksenon	Xe-131 m	11,9 dni
telur	Te-132	2,36 dni
ksenon	Xe-133	2,19 dni
jod	I-133	20,8 ur
cezij	Cs-134	2,062 let
ksenon	Xe-135	9,104 dni
cezij	Cs-137	30,0 let
barij	Ba-140	12,746 dni
lantani	La-140	1,678 dni
cerij	Ce-141	32,50 dni
cerij	Ce-144	284,9 dni
živo srebro	Hg-203	46,60 dni
svinec	Pb-210	22,3 let
radon	Rn-222	3,835 dni
radij	Ra-226	1 600 let
radij	Ra-228	5,75 let
torij	Th-228	1,913 let
uran	U-238	4,468 10 ⁹ let



MERSKE METODE

Koncentracije radioaktivnih snovi v okolju se merijo s specifičnimi metodami, ki omogočajo ugotavljanje njihove izotopske sestave. Uporaba nespecifičnih metod je dopustna le v primeru, ko je izotopska sestava dobro znana in se s časom ne spreminja. Metode morajo omogočiti merjenje množine radioaktivnih snovi, ki povzročijo manj kot tretjino avtorizirane mejne doze. Detekcijske meje metod, s katerimi se merijo posamezne specifične aktivnosti radionuklidov v vzorcih iz okolja, morajo biti manjše od aktivnosti, ki povzroči tridesetino avtorizirane dozne meje za posamezne radionuklide.

Seznam radionuklidov, katerih aktivnosti se merijo v okolju, mora ustrezati podatkom o emisiji in mora vsebovati najbolj radiotoksične izotope. Navadno se vzorci iz okolja merijo s spektrometri gama, kjer so aktivnosti posameznih radionuklidov določene z energijo in intenziteto vrhov v spektru. Aktivnosti radionuklidov, ki ne sevajo žarkov gama, se merijo z metodami, ki vključujejo njihovo radiokemično separacijo. V okviru meritev radioaktivnosti v okolici Nuklearne elektrarne Krško se po kemični separaciji merijo aktivnosti tritija H-3 in stroncijevih izotopov Sr-90/Sr-89 oziroma Sr-89 in Sr-90, če bi bil Sr-89 prisoten. V emisijah iz jedrske elektrarne se radiokemična separacija uporablja še za določanje C-14 in Fe-55.

Pri izvedbi meritev sodeluje več institucij, vsaka institucija izvaja meritve po svojih merskih metodah in postopkih. V nadaljevanju poglavja so opisane merske metode, ki jih uporabljajo posamezni izvajalci pri meritvah.

INSTITUT "JOŽEF STEFAN"

Institut "Jožef Stefan", Odsek za fiziko nizkih in srednjih energij (Odsek F-2), Laboratorij za meritve radioaktivnosti, je od marca 2003 akreditiran pri Slovenski akreditaciji (SA) pod zaporedno številko LP-022 za laboratorijske meritve aktivnosti sevalcev gama in rentgenskih žarkov z visokoločljivostno spektrometrijo gama v energijskem območju od 5 keV do 3 000 keV v trdnih in tekočih vzorcih. Vzorci morajo biti cilindrični z največjim premerom 12 cm in največjo debelino 6 cm. Biti morajo homogeni, kar pomeni, da so sevalci gama enakomerno porazdeljeni v vzorcu in da je matrika vzorca homogena. Vzorec se obravnava kot homogen, če je karakteristična dolžina, ki opisuje strukturo vzorca (npr. premer zrn ali debelina plasti), manjša od razdalje, na kateri se izkoristek za točkast vir spremeni za 2 %, ali pa če je najmanj desetkrat manjša od dimenzije vzorca. Območje emisij iz vzorca obsega od $0,005 \text{ s}^{-1}$ do $50\,000 \text{ s}^{-1}$.

Laboratorij za tekočinskoscintilacijsko spektrometrijo je od oktobra 2008 akreditiran pri Slovenski akreditaciji pod zaporedno številko LP-022 za laboratorijske meritve tritija v vzorcih vode in urina po direktni metodi in metodi z elektrolitsko obogatitvijo in od leta 2018 tudi za določevanje aktivnosti C-14 v tekočih, plinastih in trdnih vzorcih.

Laboratorij za termoluminiscenčno dozimetrijo je od julija 2005 akreditiran pri Slovenski akreditaciji pod zaporedno številko LP-022 za meritve doz $H_p(10)$, $H^*(10)$, kerme v zraku in $H_p(0,07)$ s termoluminiscenčnimi dozimetri TLD-400 ($\text{CaF}_2:\text{Mn}$) in TLD-100H/MCPN ($\text{LiF}:\text{Mg,Cu,P}$) za uporabo v osebni in okoljski dozimetriji v energijskem območju od 40 keV do 1,2 MeV in v območju doz od $7,5 \mu\text{Sv}$ do 5 Sv.

Celovito poročilo o vseh meritvah, opravljenih na IJS v okviru pogodb št. 3200014 z dne 3. 2. 2020 in št. 3200465 z dne 1. 4. 2020, napisano v skladu z zahtevami standarda SIST EN ISO/IEC 17025:2017, smo izdali ločeno pod zaporedno številko 6/2022. En izvod tega poročila je poslan naročniku, en izvod pa arhiviran na IJS. V tem poročilu ob posameznih rezultatih nista podani niti znak akreditacije niti besedilo, da je rezultat dobljen v okviru akreditirane metode.

Institut "Jožef Stefan", Odsek za znanosti o okolju (Odsek O-2), je za meritve stroncija, tritija in C-14 akreditiran pri Slovenski akreditaciji (SA) od junija 2009 dalje pod zaporedno številko LP 090.



Sr-90, Sr-89 ali Sr-90/Sr-89 se lahko določa v tekočinah, trdnem stanju ali usedlinah na zračnem filtru. Specifična aktivnost tritija v vodi se ugotavlja z direktno metodo ali z elektrolitsko obogatitvijo. Specifična aktivnost C-14 se določa v bazični raztopini. Specifične aktivnosti navedenih radionuklidov v prinesenih vzorcih so izražene v Bq/kg ali Bq/g.

a) VISOKOLOČLJIVOSTNA SPEKTROMETRIJA GAMA (Odsek F-2)

Aktivnosti sevalcev žarkov gama in rentgenskih žarkov (to so vsi izotopi, navedeni v tabelah, razen H-3, C-14, Sr-89, Sr-90) so bile izmerjene s spektrometrijo gama. Vsi spektrometri gama, ki so bili uporabljeni za meritve in razmere v okolju, v katerem delujejo, ustrezajo merilom, ki so navedena v [i]. Meritve so bile opravljene po postopku, opisanem v [ii]. Rezultati meritev so sledljivi k aktivnostim primarnih standardov v primarnem laboratoriju NIST. Sistematski vplivi geometrije vzorca, matrike vzorca, gostote vzorca, koincidenčnih korekcij in hitrosti štetja na rezultate so upoštevani pri računu vseh aktivnosti. Negotovosti rezultatov so ocenjene v skladu z vodilom [iii] in postopkom [iv]. Poleg statistične negotovosti prispevajo k negotovosti rezultatov še negotovosti predpostavk pri računu ploščin vrhov, kalibracije detektorjev, lastnosti vzorca, razpadnih konstant, merjenja količine vzorca in trajanja meritve. Najmanjša negotovost aktivnosti, ki je dosegljiva pri rutinskih meritvah in v ugodnih merskih razmerah, je 5 %.

ORIENTACIJSKE SPODNJE DETEKCIJSKE MEJE ZA VLG-SPEKTROMETRIJO

Medij	ZRAK	DEŽEVNICA	ZEMLJA	SEDIMENT	MESO	MLEKO	SADJE	SOLATA
Enota	Bq/m ³		Bq/kg					
Količina vzorca (*)	10 000 m ³	0,05 m ³	0,5 kg	0,1 kg	1 kg	4 kg	2 kg	4 kg
Be-7	1,93E-05	2,05E+00	1,58E+00	4,37E+00	3,96E-01	1,04E-01	2,48E-01	2,31E-01
Na-22	1,69E-06	3,28E-01	2,46E01	2,06E-01	8,68E-02	2,26E-02	2,62E-02	2,57E-02
K-40	3,87E-04	3,79E+00	2,80E+00	3,04E+00	7,42E-01	1,60E-01	2,07E-01	9,34E-02
Cr-51	8,96E-06	2,16E+00	1,51E+00	1,85E+00	3,76E-01	8,77E-02	1,05E-01	8,77E-02
Mn-54	1,19E-06	1,47E-01	4,30E-01	2,35E-01	5,39E-02	1,21E-02	1,77E-02	2,05E-02
Co-57	6,48E-06	6,82E-02	6,92E-01	3,06E-01	2,42E-02	7,94E-03	1,67E-02	1,15E-02
Co-58	1,35E-06	1,63E-01	2,57E-01	1,98E-01	5,92E-02	1,30E-02	1,83E-02	1,56E-02
Fe-59	3,17E-06	3,40E-01	6,24E-01	6,17E-01	2,19E-01	2,88E-02	5,44E-02	3,73E-02
Co-60	1,46E-06	3,00E-01	1,95E-01	1,55E-01	6,80E-02	1,58E-02	2,36E-02	1,67E-02
Zn-65	1,03E-05	1,42E+00	7,97E-01	1,12E+00	6,64E-01	2,13E-01	1,80E-01	1,23E-01
Zr-95	3,13E-06	2,39E-01	5,12E-01	3,05E-01	8,23E-02	1,71E-02	2,50E-02	3,04E-02
Nb-95	1,77E-06	2,59E-01	2,22E-01	2,66E-01	6,96E-02	2,18E-02	1,93E-02	1,64E-02
Ru-103	4,49E-06	6,22E-01	3,46E-01	5,04E-01	1,60E-01	1,18E-02	3,92E-02	3,77E-02
Ru-106	1,38E-05	1,90E+00	2,13E+00	1,67E+00	5,45E-01	1,02E-01	1,60E-01	1,40E-01
Sb-124	1,66E-06	1,70E-01	2,33E-01	1,98E-01	4,95E-02	1,22E-02	1,69E-02	1,36E-02
Sb-125	1,65E-06	1,04E-01	3,88E-01	4,27E-01	5,93E-02	1,55E-02	1,99E-02	8,00E-03
I-131	4,76E-06	1,25E+00	8,02E-01	4,26E+00	1,16E-01	2,27E-02	3,12E-02	2,56E-02
Cs-134	1,11E-06	1,24E-01	1,42E-01	1,52E-01	3,58E-02	7,85E-03	1,64E-02	9,59E-03
Cs-137	2,77E-06	2,77E-01	7,68E-01	9,38E-01	1,23E-01	1,67E-02	1,75E-02	1,39E-02
Ba-140	1,03E-05	1,39E+00	2,34E+00	2,23E+00	3,13E-01	4,85E-02	7,03E-02	5,26E-02
Pb-210	5,03E-05	2,57E+00	7,41E+00	7,70E+00	4,08E-01	1,55E-01	2,58E-01	2,47E-01
Ra-226	1,25E-04	1,55E+00	4,51E+00	4,70E+00	6,33E-01	3,33E-01	4,17E-01	4,70E-01
Ra-228	1,01E-05	6,62E-01	2,79E+00	1,72E+00	1,56E-01	3,51E-02	4,91E-02	3,32E-02
Th-228	1,39E-05	3,97E-01	3,38E+00	7,66E+00	1,13E-01	1,57E-02	2,88E-02	2,46E-02
U-238	3,63E-05	4,58E+00	9,21E+00	1,05E+01	1,00E+00	1,68E-01	2,66E-01	1,70E-01

(*) Količina vzorca, podana v enotah druge vrstice, velja za sveže vzorce, razen pri zemlji in sedimentih, kjer velja za suhi vzorec.

Tabelirane orientacijske spodnje detekcijske meje z intervalom zaupanja 95 % za identificirane radionuklide so izračunane iz rezultatov analize vrhov po postopkih, opisanih v:

- M. Korun, B. Vodenik, B. Zorko, *Calculation of decision thresholds in gamma-ray spectrometry*, Appl. Radiat. Isot. 94 (2014) 221–229
- M. Korun, B. Vodenik, B. Zorko, *Calculation of decision thresholds for radionuclides identified*



- in gamma-ray spectra by post-processing peak analysis results*, Nucl. Instr. And Meth. A, 813 (2016) 102–110
- D. Glavič-Cindro, M. Korun, B. Vodenik, B. Zorko, *Calculation of the detection limits by explicit expressions*, Appl. Radiat. Isot. 126 (2017) 267–269
 - M. Korun, B. Vodenik, B. Zorko, *Calculation of detection limits for radionuclides identified in gamma-ray spectra based on post-processing peak analysis results*, Appl. Radiat. Isot. 133 (2018) 22–30
 - M. Korun, T. Petrovič, B. Vodenik, B. Zorko, *Calculation of the decision threshold and detection limit in high-resolution gamma-ray spectrometry*, Nucl. Instr. and Meth. 1014 (2021) 165684

Detekcijske meje za neidentificirane radionuklide so izračunane s prilagoditvijo pričakovanega odziva spektrometra na žarke gama z energijo, ki jo seva neidentificirani sevalec gama.

Reference:

- [i] Pravilnik o monitoringu radioaktivnosti (JV10), Uradni list RS 20 (2007) 2509
- [ii] *Visokoločljivostna spektrometrija gama v laboratoriju (LMR-DN-10)*, izdaja 13, okt. 2016 in izdaja 14, dec. 2021, IJS
- [iii] Evaluation of measurement data – Guide to the expression of uncertainty in measurement (GUM), JCGM 100:2008
- [iv] *Ocena merilne negotovosti (LMR-RP-05)*, izdaja 03, mar. 2013 in izdaja 04, maj 2021, IJS

b) RADIOKEMIJSKA ANALIZA Sr-90/Sr-89 (Odsek O-2)

Določanje stroncija v okoljskih vzorcih (voda, hrana in krma, tla in sedimenti) temelji na raztapljanju vzorca v ustreznih raztopinah [v, vi]. Radiokemična separacija temelji na ločitvi stroncija od kalcija s kadečo dušikovo kislino. Izkoristek separacije določimo gravimetrično s tehtanjem oborine SrCO₃. Aktivnosti beta izmerimo na proporcionalnem števcu beta s pretokom plina, mešanice 90 % Ar in 10 % CH₄. Izkoristek proporcionalnega števca FHT 770 T-6, Eberline, za izbrane radionuklide ugotavljamo s kalibracijskimi certificiranimi standardi Eckert & Ziegler Analytics.

V primerih, ko je potrebna določitev Sr-89, se izvrši separacija stroncija Sr-90/Sr-89 ter po vzpostavljenem ravnotežju Sr-90/Y-90 izolacija itrija. Iz prve meritve SrCO₃ izmerimo skupno aktivnost obeh, Sr-90/Sr-89; iz meritve Y-90 pa najprej izračunamo aktivnost Sr-90 ter nato še aktivnost Sr-89.

Natančni postopek določanja Sr-90/Sr-89 z beta štetjem je opisan v standardnem delovnem navodilu SDN-O2-STC(01) [vi] in v delovnem navodilu DP-O2-STC(01) [vii], izračun merilne negotovosti je opisan v [vi].

Reference:

- [v] B. Vokal, Š. Fedina, J. Burger, I. Kobal, *Ten year Sr-90 survey at the Krško Nuclear Power Plant*, Annali di Chimica, 88 (1998), 731
- [vi] *Določanje stroncija z beta štetjem*, SDN-O2-STC(01), 10. izdaja, okt. 2020, IJS
- [vii] *Navodilo za uporabo proporcionalnega števca FHT 770T-6, Eberline, DP-O2-STC(01)*, 5. izdaja, feb. 2020, IJS

c) RADIOKEMIJSKA ANALIZA H-3 (Odsek O-2)

Tritij določamo v desorbirani vodi iz adsorbentov in v vodnih vzorcih po postopkih, ki so natančno opisani v [viii]–[x]. Vzorce vode najprej destiliramo in nato izvedemo elektrolizo. Po končani elektrolizi s tritijem obogateni preostanek destiliramo, odvzamemo alikvot in dodamo koktajl



ULTIMA GOLD LLT. Aktivnost tritija merimo z instrumentom Tri Carb 3170 TR/SL, Super Low Level Liquid Scintillation Analyzer (Canberra Packard) ali Quantulus 1220. Izkoristek števca za H-3 ugotavljamo s kalibracijskim certificiranim standardom proizvajalca NIST.

Reference:

- [viii] *Določanje tritija s tekočinskim scintilacijskim štetjem*, SDN-O2-STC(02), 10. izdaja, okt. 2020, IJS
- [ix] *Navodilo za uporabo tekočinsko scintilacijskega števca TRICARB 3170 TR/SL*, DP-O2-STC(02), 6. izdaja, feb. 2020, IJS
- [x] *Navodilo za uporabo tekočinsko scintilacijskega števca Quantulus 1220*, DP-O2-STC(04), 2. izdaja, feb. 2020, IJS

č) RADIOKEMIJSKA ANALIZA H-3 (Odsek F-2)

Na *Odseku F-2* poteka določitev tritija v vzorcih vod z elektrolitsko obogatitvijo in tekočinsko-scintilacijskim štetjem.

Vzorke destiliramo, preverimo pH destilata in mu dodamo natrijev peroksid. Pol litra vzorca elektrolitsko obogatimo, preostanku dodamo svinčev klorid in opravimo drugo destilacijo. V tekočinskoscintilacijskem števcu Quantulus 1220 (Wallac, PerkinElmer) merimo merjence, pripravljene iz destilata vzorca in scintilacijskega koktajla po postopkih *LSC-DN-06*, *LSC-DN-07* in *LSC-DN-08*. Za kalibracijo števca in pripravo krivulje dušenja uporabljamo certificiran NIST-ov standard, za dodatno kontrolo pa certificirane pripravke Perkin Elmerja.

Reference:

- [xi] *Umeritvene krivulje za tekočinsko scintilacijski spektrometer (LSC-DN-05)*, izdaja 03, dec. 2019, IJS
- [xii] *Vzorčenje in priprava vzorcev za določitev tritija (LSC-DN-06)*, izdaja 05, avg. 2014 in izdaja 06, jun. 2021, IJS
- [xiii] *Analiza in izračun vsebnosti tritija (LSC-DN-07)*, izdaja 07, jun. 2020, IJS
- [xiv] *Meritve vsebnosti radionuklidov s tekočinskoscintilacijskim števcem Quantulus (LSC-DN-08)*, izdaja 02, jun. 2020, IJS

d) RADIOKEMIJSKA ANALIZA C-14 (Odsek O-2)

Ogljik C-14 določamo v bazični raztopini po postopku, ki je opisan v [xv–xviii]. Raztopljeni $^{14}\text{CO}_2$ oborimo z BaCl_2 iz bazične raztopine. Uprašeni oborini BaCO_3 dodamo scintilacijski koktajl Instagel in destilirano vodo. Aktivnost C-14 merimo z instrumentom Tri Carb 3170 TR/SL, Super Low Level Liquid Scintillation Analyzer (Canberra Packard) ali Quantulus 1220. Izkoristek števca za C-14 določamo s certificiranim kalibracijskim standardom proizvajalca Eckert & Ziegler Analytics.

Reference:

- [xv] Woo H. J., Chun S. K., Cho S. Y., Kim Y. S., Kang D. W., Kim E. H., *Optimization of liquid scintillation counting techniques for the determination of carbon-14 in environmental samples*, Radional. Nucl. Cem., 239 (1999) 3, 649–655
- [xvi] *Določanje ^{14}C v bazični raztopini*, SDN-O2-STC(03), 10. izdaja, okt. 2020, IJS
- [xvii] *Navodilo za uporabo tekočinsko scintilacijskega števca TRICARB 3170 TR/SL*, D-O2-STC(02), 6. izdaja, feb. 2020, IJS
- [xviii] *Navodilo za uporabo tekočinsko scintilacijskega števca Quantulus 1220*, DP-O2-STC(04), 2. izdaja, feb. 2020, IJS



e) RADIOKEMIJSKA ANALIZA C-14 (Odsek F-2)

Ogljik C-14 v bioloških vzorcih določamo po postopku LSC-DN-13 [xix]. Biološke vzorce posušimo na 60 °C do konstantne teže, homogeniziramo in zmeljemo. Tako pripravljen vzorec sežgemo v sežigalni napravi ob dodatku kisika in nastali CO₂ vežemo na zmes CarbonTrap-a in CarbonCount-a (Meridian). Aktivnost C-14 merimo z tekočinskoscintilacijskim števcem Quantulus 1220 (PerkinElmer) [xx]. Za kalibracijo števca uporabljamo certificiran standard proizvajalca Eckert&Ziegler Analytics, za dodatno kontrolo pa certificirane pripravke Perkin Elmerja.

Reference:

- [xix] *Določitev vsebnosti C-14 (LSC-DN-13)*, izdaja 02, dec. 2017, IJS
 [xx] *Meritve vsebnosti radionuklidov s tekočinskoscintilacijskim števcem Quantulus(LSC-DN-08)*, izdaja 01, dec. 2019 in izdaja 02, jun. 2020, IJS

f) TERMOLUMINISCENČNA DOZIMETRIJA (Odsek F-2)

Sistem za termoluminiscenčno (TL) dozimetrijo sestavljajo računalniško kontroliran merilni sistem MR 200 C, veliko število dozimetrov in pečica za brisanje dozimetrov. Sistem omogoča enostavno, hitro in natančno merjenje doz sevanja v okolju in osebni dozimetriji. Za okoljske dozimetre uporabljamo dozimetre tipa TLD-IJS-05 (iz CaF₂:Mn) z odličnimi odzivnimi lastnostmi, saj lahko merimo zelo nizke doze (pod 20 μSv).

Meritve zunanje doze so bile opravljene po postopku, opisanem v *TLD-DN-02* [xxiii]. Karakteristike sistema za TL-dozimetrijo so podrobno opisane v delovnih poročilih IJS [xxi, xxii].

Reference:

- [xxi] *Validacija termoluminiscenčnega sistema TLD IJS MR 200 C po standardu IEC/CEI 61066*, IJS-DP-10126, feb. 2009
 [xxii] *Validacija termoluminiscenčnega sistema TLD IJS MR 200 C po standardu IEC/CEI 62387*, IJS-DP-11217, jan. 2013
 [xxiii] *Čitanje (merjenje) termoluminiscenčnih dozimetrov (TLD) (TLD-DN-02)*, izdaja 12, apr. 2020, IJS

INSTITUT RUĐER BOŠKOVIĆ

Institut Ruđer Bošković, *Laboratorij za radioekologijo* je novembra 2008 prejel prvo akreditacijo po standardu HRN EN ISO/IEC 17025:2007 pod številko 1162 pri Hrvatski akreditacijski agenciji (HAA). Novembra 2020 je potrdil usposobljenost skladno z novo izdajo standarda HRN EN ISO/IEC 17025:2017 pod isto zaporedno številko 1162 za določanje vsebnosti radionuklidov z visokoločljivostno spektrometrijo gama in vsebnosti Sr-89/Sr-90 po radiokemijski metodi v vzorcih iz okolja in proizvodih, vključno s hrano in pitno vodo ter za določanje tritija, skupne aktivnosti sevalcev alfa in beta ter Fe-55 v vodnih vzorcih.

Referenca:

- [xxiv] Priručnik sustava upravljanja kvalitetom PK (izdaja 2), Institut Ruđer Bošković, 2021

a) VISOKOLOČLJIVOSTNA SPEKTROMETRIJA GAMA

Spektre gama merimo z germanijevimi detektorji, in sicer:

- z germanijevim detektorjem BE3830 z ločljivostjo 0,38 keV pri 5,9 keV (Fe-55), 0,55 keV pri 59,5 keV (Am-241), 0,69 keV pri 122 keV (Co-57) in 2,05 keV pri 1 332,5 keV (Co-60);



- z germanijevim detektorjem BE5030P z ločljivostjo 0,334 keV pri 5,9 keV (Fe-55), 0,568 keV pri 122 keV (Co-57) in 1,748 keV pri 1 332,5 keV (Co-60);
- z germanijevim detektorjem GR2520 z izkoristkom 25 % glede na izkoristek detektorja z natrijevim jodidom; germanijev detektor ima ločljivost 0,8 keV pri 122 keV in 1,81 keV pri 1 332,5 keV.

Germanijevi detektorji so povezani z računalnikom s programsko opremo GENIE 2000. Ta programska oprema se uporablja za analizo izmerjenih spektrov skladno s postopki, opisanimi v PS 7.2/1 [xxv]. Izkoristke detektorjev merimo s certificiranimi standardi ČMI, ANALYTICS in LEA-CERCA, skladno z zahtevami, predpisanimi v postopkih in delovnih navodilih PS 7.2/1 in RU 7.2/1-1 [xxv, xxvi] ali matematično z uporabo programske opreme ISOX/LABSOCS. Meritve so bile opravljene po postopku, opisanem v PS 7.2/1 in RU 7.2/1-1. Negotovosti rezultatov so ocenjene v skladu s postopkoma PS 7.6/1 [xxvii] in PS 7.2/1 [xxv].

Spodnja meja detekcije in minimalna aktivnost, ki so določene z intervalom zaupanja 95 %, je za izmerjene vzorce opisana v PS 7.2/1, izdaja 1, in RU 7.2/1-1, izdaja 1.

ORIENTACIJSKE SPODNJE DETEKCIJSKE MEJE (MDA) ZA SPEKTROMETRIJO GAMA ZA DVA DETEKTORJA*

Detektor	BE3830			GR2520		
Medij	RIBE	VODA	SEDIMENT	RIBE	VODA	SEDIMENT
Enota	kg	m ³	kg	kg	m ³	kg
Količina vzorca (**)	0,4	0,05	0,175	0,4	0,05	0,175
Radionuklid	Bq/kg	Bq/m ³	Bq/kg	Bq/kg	Bq/m ³	Bq/kg
Be-7	0,20	0,40	0,4	0,24	0,41	0,50
K-40	1,50	2,92	2,7	9,61	18,8	19,3
Mn-54	0,008	0,01	0,017	0,06	0,12	0,13
Co-58	0,02	0,02	0,04	0,04	0,08	0,09
Co-60	0,04	0,07	0,06	0,05	0,08	0,09
Zn-65	0,02	0,02	0,04	0,10	0,19	0,19
Ru-103	0,004	0,005	0,01	0,05	0,09	0,11
Sb-124	0,03	0,04	0,06	0,15	0,28	0,30
Sb-125	0,01	0,01	0,03	0,10	0,16	0,20
I-131	0,02	0,03	0,03	0,01	0,02	0,02
Cs-134	0,04	0,04	0,08	0,03	0,05	0,05
Cs-137	0,02	0,04	0,05	0,01	0,02	0,024
Bi-214	0,11	0,10	0,2	0,80	1,34	1,90
Ra-228	0,20	0,07	0,6	1,00	1,80	2,02
Ra-226	0,11	0,10	0,2	0,80	1,34	1,90
U-238	1,40	2,30	2,8	5,91	10,4	9,74
Am-241	0,002	2,30	0,008	0,06	0,06	0,01

* Spodnje meje detekcije se lahko spreminjajo v odvisnosti od razmer pri meritvah (števeni čas, masa, statistične fluktuacije sevanja ipd.).

Reference:

- [xxv] SUK PS 7.2/1, Gama spektrometrijska određivanja, Institut Ruđer Bošković, izdaja 1, 2020
 [xxvi] SUK RU 7.2/1-1, Gama spektrometrijska određivanja, Institut Ruđer Bošković, izdaja 1, 2020
 [xxvii] SUK PS 7.6/1, Vrednovanje mjerne nesigurnosti, izdaja 1, 2020

b) RADIOKEMIJSKA ANALIZA Sr-90/Sr-89

Določanje stroncija v okoljskih vzorcih (voda, hrana in krma, tla in sedimenti) temelji na raztapljanju vzorca v ustreznih raztopinah in uporabi ionskih izmenjevalcev [xxviii, xxix]. Radiokemična separacija temelji na ločitvi stroncija od kalcija na koloni, napolnjeni z anionskim izmenjevalcem Amberlite CG-400 in raztopino 0,25 M HNO₃ v metanolu [xxx]. Izkoristek



separacije določimo gravimetrično s tehtanjem oborine SrCO_3 . Aktivnosti beta izmerimo s proporcionalnim števcem s silicijevim detektorjem i-Matic, Canberra.

V primerih, ko je potrebna določitev Sr-89, se izvrši separacija stroncija in izolacija itrija. Iz prve meritve na SrCO_3 izmerimo aktivnost obeh, Sr-89 in Sr-90; iz meritve Y-90 pa določimo aktivnost Sr-90. Natančni postopek določanja Sr-90/Sr-89 z beta štetjem je opisan v postopku PS 7.2/2 [xxxii] in v delovnem navodilu RU 7.2/2-1 [xxxii], izračun merilne negotovosti pa je opisan v PS 7.2/2 in PS 7.6/1 [xxxii, xxviii].

Reference:

- [xxviii] IAEA, Technical Reports Series No. 295, Measurement of radionuclides in food and the environment, 1989
- [xxix] Ž. Grahek, K. Košutić, M. Rožmarić - Mačefat, *Strontium isolation from natural samples with Sr resin and subsequent determination of Sr-90*, Journal of Radioanalytical & Nuclear Chemistry, 268 (2006), 179–190
- [xxx] Ž. Grahek et al, *Improved methods for the radioactive strontium determination*, Journal Radioanal. Nucl. Chem., 242 (1999), 33–40
- [xxxii] SUK PS 7.2/2, Određivanje $^{89,90}\text{Sr}$, Institut Ruđer Bošković, izdaja 1, 2020
- [xxxiii] SUK RU 7.2/2-1, Određivanje $^{89,90}\text{Sr}$, Institut Ruđer Bošković, izdaja 1, 2020

c) RADIOKEMIJSKA ANALIZA H-3

Tritij določamo v zračnih izpustih in v vodnih vzorcih po postopkih, ki so natančno opisani v referencah [xxxiiii–xxxviii]. Vzorec vode se predestilira z dodatkom KMnO_4 . 250 mL destilirane vode se elektrolitsko obogati. Koncentracijo H-3 določamo tako, da merimo 7 mL vodne raztopine, ki smo ji dodali 13 mL scintilatorja (ULTIMA GOLD) v polietilenski plastični posodici volumna 20 mL (Low diffusion plastic vial), na scintilacijskem števcu Liquid scintillation Analyser TriCarb 3180 TR/SL (Perkin Elmer). Ozadje je nižje od 3 sunkov na minuto. Izkoristek določamo z uporabo certificiranih "quench" standardov H-3 (Perkin Elmer).

Reference:

- [xxxiiii] Reference Manual TRI-CARB Liquid Scintillation Analyzer, Model 3180 TR/SL Series, Perkin Elmer, 2011
- [xxxiv] IAEA, Technical Reports Series No. 295, Measurement of radionuclides in food and the environment, 1989
- [xxxv] SUK PS 7.6/1, Vrednovanje mjerne nesigurnosti, izdaja 1, 2020
- [xxxvi] SUK PS 7.2/3, Određivanje tritija, Institut Ruđer Bošković, izdaja 1, 2020
- [xxxvii] SUK RU 7.2/3-1, Određivanje tritija, Institut Ruđer Bošković, izdaja 1, 2020

č) DOLOČANJE Fe-55

Fe-55 se določa z izolacijo Fe-55 na koloni, napolnjeni s smolo TRU. Podrobnosti so opisane v sistemskem postopku PS 7.2/4 in delovnem navodilu RU 7.2/4-1 [xxxviii, xxxix]. Aktivnost Fe-55 v vzorcih se izmeri s spektrometrom Liquid Scintillation Spectrometra TriCarb 3180 TR/SL (Perkin Elmer). Aktivnost se izračuna iz dobljenega neto števila sunkov in izkoristka, ki se določi iz spektralnega indeksa iz "quench-krivulje" ter izkoristka izolacije, dobljenega z merjenjem koncentracije Fe z AAS Perkin Elmer AAnalyst 400. Postopek določanja aktivnosti in merske negotovosti je opisan sistemskih postopkih in delovnih navodilih PS 7.2/4, RU 7.2/4-1 ter v referencah [xl, xli].

Reference:

- [xxxviii] SUK PS 7.2/4, Određivanje ^{55}Fe , Institut Ruđer Bošković, izdaja 1, 2020
- [xxxix] SUK RU 7.2/4-1, Određivanje ^{55}Fe , Institut Ruđer Bošković, izdaja 1, 2020
- [xl] Ž. Grahek, M. Rožmarić, *Extraction chromatographic separation of iron from complex*



- liquid samples and the determination of Fe-55*, Journal of Radioanalytical & Nuclear Chemistry, 267 (2006) 1, 131–137
- [xli] Ž. Grahek, M. Rožmarić, *Isolation of iron and strontium from liquid samples and the determination of ⁵⁵Fe and ^{89,90}Sr in liquid radioactive waste*, Analytica Chimica Acta, 511 (2004), 339–348

d) TERMOLUMINISCENČNA DOZIMETRIJA

Meritve zunanje doze na 10 lokacijah na Hrvaškem so opravljene s termoluminiscenčnimi (TLD) in radiofotoluminiscenčnimi (RPL) dozimetri. Rezultati so obdelani skladno s postopkom *PS 5.4/I Mjerenje doze u okolini TLD i RPL dozimetrima*.

Vsi dozimetri TL in RPL so kalibrirani v laboratoriju za sekundarne dozimetrične standarde (SSDL) na Institutu Ruđer Bošković. Laboratorij je opremljen skladno s priporočili mednarodne agencije za atomsko energijo MAAE in ima opremo za vzdrževanje sledljivosti dozimetričnih veličin v skladu z mednarodnimi standardi.

Za kalibracijo se uporablja oprema Hopewell Designs, Inc., ZDA in vir Cs-137 (serijska št. 1234, februarja 2004 je bila aktivnost vira 740 GBq). Hitrost doze v polju kalibracijskega vira Cs-137 je določena z referenčno ionizacijsko celico LS-01 (PTW 32002), ki je bila umerjena avgusta 2021 v dozimetričnem laboratoriju PTB z meroslovno sledljivostjo k primarnom standardu. Hitrost doze je izmerjena v enotah kerma v zraku ter preračunana v enote $H^*(10)$ v skladu s standardom ISO 4037 (2019). Umerjanje se izvaja skladno s standardom IAEA SRS 16:2000.

Reference:

- [xlii] IEC 62387:2020, *Radiation Protection Instrumentation – Dosimetry Systems with Integrating Passive Detectors for Individual, Workplace and Environmental Monitoring of Photon and Beta Radiation*, International Electrotechnical Commission, Geneva
- [xliii] M. Ranogajec Komor, *Passive solid state dosimeters in environmental monitoring*, G. A. Aycik (Ed.), *New Techniques for the Detection of Nuclear and Radioactive Agents*, NATO Security through Science Series B: Physics and Biophysics, 2009
- [xliv] Ž. Knežević, M. Majer, Z. Baranowska, O. Ciraj Bjelac, G. Iurlaro, N. Kržanović, F. Mariotti, M. Nodilo, S. Neumaier, K. Wołoszczuk, M. Živanović, *Investigations into the basic properties of different passive dosimetry systems used in environmental radiation monitoring in the aftermath of a nuclear or radiological event*, Radiat. Meas. (2021) doi:10.1016/j.radmeas.2021.106615

e) RADIOKEMIJSKA ANALIZA C-14

Radiokemijsko analizo ogljika C-14 opravlja *Laboratorij za mjerenje niskih radioaktivnosti, Zavod za eksperimentalnu fiziku, IRB*. Laboratorij je v juliju 2021 pridobil akreditacijo pri Hrvatski akreditacijski agenciji (HAA) v skladu s standardom HRN EN ISO/IEC 17025:2017 pod zaporedno številko 1667 za določanje relativne specifične aktivnosti ¹⁴C in datiranje z uporabo ¹⁴C [xlv].

Ogljik C-14 v biološkem materialu

Biološki vzorci se sušijo v sušilniku pri 100 °C, nato se karbonizirajo 15 min pri temperaturi 600 °C v peči brez prisotnosti zraka. Karbonizirani vzorci se žgejo v toku prečiščenega kisika v posebni, predhodno izčrpani stekleni aparaturi. Nastali CO₂ iz vzorca se absorbira v zmesi Carbosorba®E (10 mL) in Permafluora®E (10 mL) [xlvi–]. Masa absorbiranega CO₂ se določa s tehtanjem steklenice, v kateri se absorbira zmes, pred postopkom absorpcije in po njem. Postopek absorpcije se za vsak vzorec in pripadajoče standarde dvakrat ponovi. Aktivnost C-14 se meri v tekočinskoscintilacijskem števcu Quantulus 1220, Ultra Low Level Liquid Scintillation Counter



(Perkin Elmer). Števec je umerjen s certificiranim standardom proizvajalca Perkin Elmer. Najnižja aktivnost ^{14}C , ki jo lahko izmerimo preko meritve absorbiranega CO_2 , je 2,5 pMC. Skupna merilna negotovost je okoli 4,9 pMC.

Ogljik C-14 v atmosferskem CO_2

Atmosferski CO_2 se zbira na dveh lokacijah znotraj ograje NE Krško. Vzorčevalnik je sestavljen iz plitve plastične posode s površino 3–4 dm^2 , kamor se vlije 100 mL zasičene raztopine $\text{NaOH} \cdot \text{Na}_2\text{CO}_3$, ki se zbere v vzorčevalniku, se v laboratoriju v posebni stekleni aparaturi raztaplja z reakcijo s HCl v inertni dušikovi atmosferi. Tako dobljen CO_2 se uporabi za pripravo benzena [xlv, xlvi, li, lii]. Meritve se izvajajo v tekočinskoscintilacijskem števcu (LSC) Quantulus 1220. Vzorci benzena z maso 4 g se merijo v steklenih ampulah z volumnom 7 mL. Za vse meritve C-14 se uporablja standardni referenčni material Oxalic Acid II, NIST SRM-4990C. Pred vsako posamezno meritvijo aktivnosti ^{14}C se kontrolira čistoča vzorca z meritvijo SQP-parametra (SQP = Standard Quench Parameter), s katerim se opravi korekcija zaradi dušenja. Najnižja aktivnost ^{14}C , ki jo lahko določimo v vzorcih benzena, je 0,29 pMC, skupna merilna negotovost za vzorce iz okolja pa je 0,5 pMC.

Reference:

- [xlv] LNA-PS 7.2/1 Određivanje relativne specifične aktivnosti ^{14}C /starosti tehnikom LSC, Izdanje 3, Institut Ruđer Bošković, 2022
- [xlvi] N. Horvatinčić, J. Barešić, I. Krajcar Bronić, B. Obelić, *Measurements of low ^{14}C activities in a liquid scintillation counter in the Zagreb Radiocarbon Laboratory*, Radiocarbon 2004; 46/1:105–116
- [xlvii] I. Krajcar Bronić, N. Horvatinčić, J. Barešić, B. Obelić, *Measurement of ^{14}C activity by liquid scintillation counting*, Applied Radiation and Isotopes 2009;. 67:800–8
- [xlviii] J. Barešić, I. Krajcar Bronić, N. Horvatinčić, B. Obelić, *Mjerenje niskih ^{14}C aktivnosti uzoraka pripremljenih metodom apsorpcije CO_2* , U: I. Krajcar Bronić, S. Miljanić, B. Obelić, ur. Zbornik radova Petog simpozija Hrvatskog društva za zaštitu od zračenja; 9.–11. travnja 2003; Stubičke Toplice, Hrvatska. Zagreb: HDZZ; 2003, 267–272
- [xlix] LNA-RU 7.2/1-3 Spaljivanje organskog uzorka, Izdanje 1, Institut Ruđer Bošković, 2020.
- [l] LNA-RU 7.2/1-5 Apsorpcija CO_2 , Izdanje 1, Institut Ruđer Bošković, 2020.
- [li] J. Barešić, I. Krajcar Bronić, N. Horvatinčić, B. Obelić, *Mjerenje niskih ^{14}C aktivnosti uzoraka u obliku benzena u tekućinskom scintilacijskom brojaču*, U: V. Garaj - Vrhovac, N. Kopjar, S. Miljanić, ur. Zbornik radova Šestog simpozija Hrvatskog društva za zaštitu od zračenja; 18.–20. travnja 2005; Stubičke Toplice, Hrvatska. Zagreb: HDZZ; 2005, 158–163
- [lii] LNA-RU 7.2/1-6 Sinteza benzena, Izdanje 1, Institut Ruđer Bošković, 2020.

ZAVOD ZA VARSTVO PRI DELU

Zavod za varstvo pri delu, *Laboratorij za merjenje specifičnih aktivnosti radionuklidov* je marca 2004 pridobil akreditacijo za izvajanje visokoločljivostne spektrometrije gama v skladu s standardom SIST EN ISO/IEC 17025:2017 pod zaporedno številko LP-032. Akreditacija zajema meritve vzorcev zemlje, sedimentov, zraka, padavin ter živil živalskega in rastlinskega porekla. Metoda ugotavljanja stroncija je akreditirana od februarja 2009 dalje pri Slovenski akreditaciji (SA) pod zaporedno številko LP-032.

Celovito *Poročilo o izvajanju monitoringa radioaktivnosti v okolici NE Krško v letu 2021* z oznako LMSAR-20200014-100-PJ z dne 11. 2. 2022 o vseh meritvah, opravljenih na ZVD v okviru pogodb št. 3200014 z dne 3. 2. 2020 in št. 3200465 z dne 1. 4. 2020 ter napisano v skladu z zahtevami standarda SIST EN ISO/IEC 17025:2017, smo izdali ločeno. En izvod tega poročila smo poslali naročniku, po en izvod pa arhivirali na ZVD in IJS.



a) VISOKOLOČLJIVOSTNA SPEKTROMETRIJA GAMA

Omenjena metoda je v laboratoriju LMSAR podrobno opisana v dokumentu DP-LMSAR-09, in sicer v petih sklopih: energijska kalibracija, izkoristek detektorja, izračun lokacije in ploščine vrha, identifikacija radionuklida ter izračun specifične aktivnosti in merilne negotovosti rezultata. Vse našteje korake izvajamo s programsko opremo GENIE 2000, katere algoritmi so opisani v knjigi GENIE 2000 – Customization Tools Manual. Opora temu programskemu paketu pa so naslednji mednarodni standardi:

- IEC-1452: Nuclear instrumentation - Measurement of gamma-ray emission rates of radionuclides-Calibration and use of germanium spectrometers
- IEC-973: Test procedures for germanium gamma-ray detectors
- IEC-759: Standard test procedures for semiconductor X-ray energy spectrometers
- IEC-61976: Nuclear instrumentation-Spectrometry - Characterization of the spectrum background in HPGe gamma-ray spectrometry
- ISO-11929-3: Determination of the detection limit and decision threshold for ionizing radiation measurements

Sledljivost rezultatov dosegamo s kalibracijskimi standardi specifičnih geometrij in matrik, ki so podobne vzorcem, ki jih merimo za naše naročnike. Te standarde naročamo pri organizacijah, ki so akreditirane za pripravo teh standardov (npr. Eckert Ziegler Analytics iz ZDA in AEA Technology QSA GmbH iz Nemčije).

Vse sistematske vplive, kot so razlike v gostoti vzorcev, parametri, ki vplivajo na atenuacijo gama sevanja v matriki in odmike od geometrije vzorca glede na standardne vzorce, izračunavamo z validirano programsko opremo Canberra, ki je navedena v dokumentu: Model S573/S574 ISOCS/LabSOCS, Validation & Verification Manual.

ORIENTACIJSKE SPODNJE DETEKCIJSKE MEJE ZA VLG-SPEKTROMETRIJO (*)

Medij	BIOLOŠKI VZORCI	ZEMLJA	VODA	SEDIMENT	ZRAK
Enota	kg	kg	m ³	kg	m ³
Količina vzorca (**)	3	0,15	0,1	0,05	10 000
Radionuklid	Bq/kg	Bq/kg	Bq/m ³	Bq/kg	Bq/m ³
K-40	0,2	4,7	4,7	5,8	4,0 E-05
Mn-54	0,03	0,7	0,9	0,8	6,0 E-06
Co-57	0,01	0,4	0,3	0,8	2,0 E-06
Co-58	0,03	0,8	1,2	1,0	7,0 E-06
Co-60	0,03	0,7	0,7	0,8	6,0 E-06
Zn-65	0,06	1,5	2,0	1,8	1,0 E-05
Ru-103	0,10	0,9	1,6	1,0	7,0 E-06
Sb-124	0,03	0,8	1,2	1,0	7,0 E-06
Sb-125	0,06	1,7	1,8	2,0	1,0 E-05
I-131	0,20	5,0	1,5	6,0	4,0 E-05
Cs-134	0,03	0,6	0,7	0,8	5,0 E-06
Cs-137	0,03	0,7	0,7	0,8	5,0 E-06
Pb-210	0,20	8,0	3,3	8,0	4,0 E-05
Ra-228	0,07	2,0	2,0	2,0	2,0 E-05
Th-228	0,06	2,0	1,2	2,0	1,0 E-05
Ra-226	0,5	4,0	2,0	4,0	8,0 E-06
U-238	0,1	4,0	3,0	4,0	2,0 E-05
Am-241	0,0	1,0	0,7	1,0	5,0 E-06

(*) Tabelirane spodnje detekcijske meje so podane z intervalom zaupanja 68 %.

(**) Količina vzorca, podana v enotah druge vrstice, velja za sveže vzorce, razen pri zemlji in sedimentih, kjer velja za suhi vzorec.



b) RADIOKEMIČNA ANALIZA Sr-89/Sr-90 IN I-131

Natančen opis metod določitve Sr-89/90 v različnih vzorcih in določitve I-131 v mleku, kakor tudi vzorčenje in priprava vzorcev so predstavljeni v naslednjih internih delovnih postopkih:

- Vzorčenje, pakiranje, pošiljanje vzorcev iz biosfere, hrane in drugih bioloških vzorcev (DP-LMSAR-02)
- Priprava bioloških in nebioloških vzorcev za gamaspektrometrično in radiokemično analizo (DP-LMSAR-03)
- Opis metode za določitev aktivnosti Sr-89/90 v vzorcih iz okolja (DP-LMSAR-4.01)
- Kemijska obdelava vzorcev in merjenje aktivnosti Sr-89/90 (DP-LMSAR-4.02)
- Izračun specifične aktivnosti Sr-89/90 in merilna negotovost (DP-LMSAR-4.03)
- Zagotavljanje kakovosti meritev aktivnosti Sr-89/90 (DP-LMSAR-4.04)
- Določitev specifične aktivnosti I-131 v mleku (DP-LMSAR-16)
- Kalibracija beta števca za določitev specifične aktivnosti I-131 (DP-LMSAR-18)

Sledljivost rezultatov je dosežena z redno kalibracijo instrumentov BERTHOLD LB770 in PROTEAN INSTRUMENTS CORPORATION MDS MPC-9604 s standardnimi raztopinami proizvajalca Amersham, QSA Global ali PTB. Postopek kalibracije je opisan v delovnih postopkih DP-LMSAR-4.03 in DP-LMSAR-18.



TABELARIČNI ZAPISI MERITEV

Pravilnik o monitoringu radioaktivnosti (JV10) določa zasnovo programa nadzora radioaktivnosti, načina in obsega nadzora radioaktivnosti okolja ter obratovalnega nadzora radioaktivnosti, vrste meritev ter metode vzorčevanja in merjenja radioaktivnosti, kakovost merilne opreme radioaktivnosti, način rednega obveščanja javnosti o rezultatih merjenja radioaktivnosti ter obseg in način priprave in sprejema programov izvajanja nadzora radioaktivnosti. Program nadzora radioaktivnosti je določen v skladu z Direktivo Sveta 2013/59/EURATOM z dne 5. decembra 2013 o določitvi temeljnih varnostnih standardov za varstvo pred nevarnostmi zaradi ionizirajočega sevanja, Priporočilom komisije 2000/473/EURATOM z dne 8. junija 2000 o uporabi členov 35 in 36 Pogodbe Euratom o nadzoru stopnje radioaktivnosti v okolju za namene ocenjevanja izpostavljenosti prebivalstva kot celote (Ur. l. št. 191, z dne 27. 7. 2000, str. 37) in Priporočilom komisije 2004/2/EURATOM z dne 18. decembra 2003 o standardiziranih podatkih o atmosferskih in tekočinskih radioaktivnih izpustih v okolje iz reaktorjev jedrskih elektrarn in obratov za predelavo med normalnim obratovanjem (Ur. l. št. 2, z dne 6. 1. 2004, str. 36).

V priporočilu komisije 2004/2/EURATOM se kot vodilo za poročanje merskih izidov omenja standard *Determination of the characteristic limits (decision threshold, detection limit and limits of the confidence interval) for measurements of ionizing radiation - Fundamentals and application* (ISO 11929:2010). Pri tem je posebna pozornost namenjena poročanju merskih rezultatov v bližini meje detekcije oziroma meje kvantifikacije.

Poleg omenjenih priporočil komisije se s poročanjem in ocenjevanjem izpostavitve prebivalcev notranjemu in zunanemu ionizirajočemu sevanju ter negotovosti ukvarja skupina MODARIA pod pokroviteljstvom MAAE (IAEA). Delovna skupina *Working Group (WG) 5 - Uncertainty and variability analysis for assessments of radiological impacts arising from routine discharges of radionuclides*, katere člani so tudi sodelavci Odseka F2, se posebej ukvarja z oceno negotovosti doze ionizirajočega sevanja pri nadzoru radioaktivnosti. Delo je bilo končano s skupno objavo v znanstveni reviji (B. Zorko, M. Korun, J. C. M. Canadas, V. Nicoulaud Gouin, P. Chyly, A. M. Blixt Buhr, C. Lager, K. Aquilonius and P. Krajewski, *Systematic influences of gamma-ray spectrometry data near the decision threshold for radioactivity measurements in the environment*, Journal of Environmental Radioactivity, 158–159 (2016), 119–128).

Izmerki v tabelah in posredno v preglednicah so zapisani po naslednjih pravilih:

1. Specifične aktivnosti sevalcev gama pri posamično odvzetih vzorcih so preračunane na datum vzorčevanja.
Specifične aktivnosti sevalcev gama pri neprekinjeno zbiranih vzorcih so izračunane pri predpostavki, da sta bili hitrost zbiranja vzorca in kontaminacija konstantni v času vzorčevanja.
2. Pri IJS so rezultati meritev z visokoločljivostno spektrometrijo gama izraženi kot neposredni merski rezultati, $y \pm u(y)$, pri čemer je $u(y)$ združena standardna negotovost specifične aktivnosti in se nanaša na interval zaupanja z 68-odstotno zanesljivostjo (faktor pokritja $k = 1$).
Združena standardna negotovost pri rutinskih meritvah na visokoločljivostni spektrometriji gama vključuje statistično negotovost števila sunkov v vrhovih v spektru, negotovost metode določanja števila sunkov v vrhovih, ozadja, umeritve spektrometra, jedrskih podatkov in količine vzorca. Negotovosti, ki izvirajo iz vzorčevanja, razen količine vzorca, niso upoštevane.
Pri radiokemičnih meritvah vsebuje merska negotovost statistično negotovost meritve (negotovost tipa A) in druge ocenjene negotovosti tipa A in B, ki sledijo iz postopka in so bolj ali manj za določen postopek stalne. Negotovost tipa A ovrednotimo s statističnimi metodami, medtem ko negotovosti tipa B ovrednotimo s kritično presojo podatkov.
Poročane negotovosti so izračunane v skladu z vodili GUM (2008).
3. Pri IRB so primarni rezultati meritev z visokoločljivostno spektrometrijo gama izraženi kot $y \pm U(y)$, kjer je $U(y) = k \cdot u(y)$ razširjena merska negotovost s faktorjem pokritja $k = 2$. Če je



$U(y) \geq 0,9$ y, se pojmuje, da je rezultat pod mejo kvantifikacije in rezultat meritve ni zapisan v tabeli. Na isti način so poročani tudi rezultati meritev Sr-90 in H-3. Ta način poročanja o rezultatih se nanaša na nizke aktivnosti, ki se določajo v bližini meje kvantifikacije ($< 5 \text{ Bq/kg}$ za Cs-137).

4. Če je pri detektirani prisotnosti radionuklida negotovost aktivnosti večja od 80 % vrednosti izmerka, poročamo o neposrednem merskem rezultatu, ki ga označimo z znakom "‡", pod tabelo pa dopišemo, da gre za merski rezultat pod mejo kvantifikacije; v prejšnjih poročilih se je vrednost izmerka prištela k razširjeni negotovosti ($k = 2$), rezultat pa smo označili kot manjši ($<$) od dobljene številčne vrednosti.
5. V tabele ne pišemo spodnjih **detekcijskih mej**, ki so ocenjene iz velikosti ozadja, verjetnosti za detekcijo in količine vzorca.

O spodnji meji aktivnosti se zaradi visoke detekcijske meje poroča za Pb-210, ki je zaradi visokega doznega faktorja pomemben pri oceni doz. Skladno s standardom *Determination of the detection limit and decision threshold for ionizing radiation measurements - Part 7: Fundamentals and general applications (ISO 11929-7:2005)* se številčna vrednost spodnje meje aktivnosti pri danih razmerah pri meritvi nanaša na interval zaupanja s 95 % zanesljivostjo.

Kadar se poroča o meji detekcije (največkrat pri Pb-210, H-3, Sr-90 itd.), se na podlagi priporočila Evropske komisije (*European Commission recommendation on standardized in formation on radioactive airborne and liquid discharges into the environment from nuclear power reactors and reprocessing plants in normal operation*, Euratom Off. J. Eur. Union. 2004; str. L2:32; odstavka 6 in 7) v tabelah upošteva 1/4 meje detekcije kot predpostavljena vrednost. Te vrednosti ne podajamo s pripadajočo negotovostjo, v tabelah pa so označene z znakom "†". Zaradi tega tudi negotovosti aritmetičnega povprečja za izbrano leto ne podajamo z apriorno negotovostjo, temveč z aposteriorno negotovostjo (tj. upoštevamo stresanje vrednosti). Takšni zapisi so v tabelah označeni z "x". Na ta način smo poenotili tudi merske izide vseh sodelujočih organizacij in odsekov: IJS-F2, IJS-O2, IRB in ZVD.

Pri drugih nedetektiranih radionuklidih zaradi preglednosti njihove spodnje meje aktivnosti v tabele ne pišemo. Pri izračunih mesečnih povprečij se prazna polja upoštevajo kot ničle.

6. Pri računu doz za neko časovno obdobje T (npr. dan, mesec, leto) predpostavljamo, da poteka vnos medija (npr. vode, zraka) v organizem s stalno hitrostjo $\frac{dV}{dt} = \dot{V} = konst.$ Ta predpostavka nam omogoča, da v organizem vneseno aktivnost A posameznih radionuklidov izrazimo s:
 - ! časovnim integralom specifične aktivnosti (s časovnim integralom koncentracije aktivnosti) ali s
 - ! povprečno specifično aktivnostjo v obdobju T , ki je enaka specifični aktivnosti sestavljenega vzorca, zbranega v obdobju T .

Velja namreč:

$$A / (\text{Bq}) = \int_0^T \dot{V} / \left(\frac{\text{m}^3}{\text{s}}\right) \cdot a(t) / \left(\frac{\text{Bq}}{\text{m}^3}\right) \cdot dt / (\text{s}) = (\dot{V} \cdot T) \frac{1}{T} \int_0^T a(t) \cdot dt = V_T \cdot \langle a(t) \rangle = V_T \cdot a_T$$

kjer sta $V_T = (\dot{V} \cdot T)$ v času T vnesena količina (volumen) medija v organizem in $\langle a(t) \rangle = a_T$ povprečna specifična aktivnost v obdobju T , ki je enaka specifični aktivnosti sestavljenega vzorca a_T , zbranega iz enako velikih delnih vzorcev (volumnov) v obdobju T . To je primer neprekinjenega vzorčevanja vzorcev reke Save, saj se vzorec zbira dnevno, meritev sestavljenega vzorca pa je opravljena le enkrat mesečno. S takšnim načinom vzorčevanja in periode izvajanja meritev lahko izgubimo informacijo o morebitnih izpustih iz opazovanega objekta. Res je, da neprekinjeno zbiranje vzorca v Brežicah omogoča retrospektivno analizo za tri dni nazaj, medtem ko vzorčevanje reke Save v Krškem tega ne omogoča.

Če bi vzorec torej samo zbirali v obdobju T (npr. vse leto), bi bila a_T letna povprečna specifična aktivnost po eni sami meritvi za zbrani vzorec. Ker pa vzorec zbiramo in merimo periodično (npr.



mesečno), je letna aktivnost A letna vsota (integral) obdobjnih (npr. mesečnih) specifičnih aktivnosti $a(t)$. Ob predpostavki, da je vnos v organizem konstanten, potem sicer lahko govorimo o letni aritmetični srednji vrednosti (navadno ali neuteženo povprečje) specifične aktivnosti, vendar se je treba zavedati, da gre za letno vsoto obdobjnih specifičnih aktivnosti, deljeno s številom meritev.

Program nadzora radioaktivnosti v mediju mora omogočati dovolj dobro retrospektivno sliko v nekem obdobju, zato samo zbiranje vzorca v daljšem obdobju in redke meritve niso pokazatelj dobrega nadzora radioaktivnosti.

Slednja enakost velja tudi za diskretno zbiranje sestavljenega vzorca, ko v enakih časovnih presledkih (v obdobju T) nabereemo N delnih vzorcev z volumnom v :

$$a_T = \frac{1}{N \cdot v} \cdot \sum_{j=1}^N v \cdot a_j = \langle a \rangle$$

Kadar računamo vneseno aktivnost za neko obdobje (npr. leto) iz zaporedja ločenih (diskretnih) meritev (npr. mesečnih sestavljenih vzorcev; $T = \text{mesec}$), nadomestimo zgornji izraz z vsoto:

$$A_{\text{leto}} = \sum_{i=1}^{12} V_{\text{mes}} \cdot a_{\text{mes},i} = V_{\text{mes}} \sum_{i=1}^{12} a_{\text{mes},i} = (V_{\text{mes}} \cdot 12) \frac{1}{12} \sum_{i=1}^{12} a_{\text{mes},i}$$

$$A_{\text{leto}} = V_{\text{leto}} \cdot \frac{1}{12} \sum_{i=1}^{12} a_{\text{mes},i}$$

kjer je pomen veličin isti kot zgoraj.

7. Ocena negotovosti oziroma stresanja letne doze:

Letna učinkovita doza E_j j -tega radionuklida je sorazmerna z mesečno aritmetično srednjo vrednostjo obdobjnih specifičnih aktivnosti (navadno ali neuteženo povprečje) in porabi (ventiliran zrak, masa popite vode ali zaužite hrane itd.):

$$(E)_j = h(g)_{j, \text{ing, inh}} \cdot V_{\text{leto}} \cdot \frac{1}{12} \sum_{i=1}^{12} (a_{\text{mes},i})_j$$

kjer je $h(g)_{j, \text{ing, inh}}$ predvidena učinkovita doza na enoto vnosa j -tega radionuklida zaradi zaužitja ali vdihavanja, izražena v Sv/Bq.

Relativna negotovost mesečne učinkovite doze j -tega radionuklida je potem:

$$\frac{(\delta E_{\text{mes}})_j}{(E_{\text{mes}})_j} = \sqrt{\left(\frac{\delta h(g)_{j, \text{ing, inh}}}{h(g)_{j, \text{ing, inh}}}\right)^2 + \left(\frac{\delta V_{\text{mes}}}{V_{\text{mes}}}\right)^2 + \left(\frac{\delta (a_{\text{mes}})_j}{(a_{\text{mes}})_j}\right)^2}$$

Negotovost letne učinkovite doze, sešeta po vseh radionuklidih, je:

$$\delta E = \sqrt{\sum_{j, \text{mes}} (\delta E_{\text{mes}})_j^2}$$

Letno učinkovito dozo za določeno prenosno pot zapišemo potem kot $E \pm \delta E$. Stresanje mesečnih merskih rezultatov pa lahko zapišemo kot:

$$\Delta E = \sqrt{\sum_j \frac{\sum_{\text{mes}} (E_{\text{mes}} - E)_j^2}{11}}$$

pri čemer je ta vrednost zapisana ločeno, brez predznaka \pm .



8. Ocena negotovosti mesečne aritmetične srednje vrednosti, ali krajše mesečnega povprečja specifične aktivnosti (koncentracije aktivnosti) $\bar{a}_{\text{leto},j}$ za j -ti radionuklid v določenem letu:

$$\bar{a}_{\text{leto},j} = \frac{1}{N} \sum_{i=1}^N a_{i,j}, \text{ kjer je } N \text{ število meritev v enem letu } (i = 1 \dots N).$$

Obdobni neposredni rezultat meritve j -tega radionuklida (mesečno, trimesečno itd.) se podaja kot:

$$a_{i,j} \pm \delta a_{i,j}$$

kjer je $a_{i,j}$ izmerjena vrednost, $\delta a_{i,j}$ pa njena negotovost.

Apriorna negotovost povprečja (aritmetične sredine) specifične aktivnosti (koncentracije aktivnosti) $\delta \bar{a}_{\text{leto},j}$ za j -ti radionuklid v določenem letu:

$$\delta \bar{a}_{\text{leto},j} = \frac{1}{N} \sqrt{\sum_i (\delta a_i)_j^2}$$

Standardna deviacija $\sigma_{\text{leto},j}$ ali stresanje obdobjnih merskih rezultatov za j -ti radionuklid v določenem letu:

$$\sigma_{\text{leto},j} = \sqrt{\frac{\sum_i (a_i - \bar{a}_{\text{leto}})_j^2}{N-1}}; \text{ excelova funkcija "STDEV"}$$

Aposteriorna negotovost povprečja (aritmetične srednje vrednosti) specifične aktivnosti (koncentracije aktivnosti) $\delta \bar{a}_{\text{leto},j}$ zaradi stresanja podatkov v določenem letu:

$$\delta \bar{a}_{\text{leto},j} = \sqrt{\frac{\sum_i (a_i - \bar{a}_{\text{leto}})_j^2}{N(N-1)}}; \text{ excelova funkcija "STDEV" deljeno s korenem iz števila meritev}$$

Negotovost letne vsote useda j -tega radionuklida, $\delta a_{\text{used, leto},j}$ pa podajamo kot:

$$\delta a_{\text{used, leto},j} = \sqrt{\sum_i (\delta a_{\text{used},i})_j^2}$$

9. Pri evalvaciji podatkov se za mesečno povprečje (aritmetično srednjo vrednost) specifične aktivnosti (koncentracije aktivnosti) $\bar{a}_{\text{leto},j}$ za j -ti radionuklid v določenem letu uporabljata zapisa:
- i) $(\bar{a}_{\text{leto},j} \pm \delta \bar{a}_{\text{leto},j})$ v primeru uporabe apriorne negotovosti povprečja (aritmetične srednje vrednosti)
 - ii) $(\bar{a}_{\text{leto},j}; \delta \bar{a}_{\text{leto},j})$ v primeru uporabe aposteriorne negotovosti povprečja (aritmetične srednje vrednosti) zaradi stresanja merskih podatkov
10. Aktivnost Ra-226 je določena iz aktivnosti kratkoživih radonovih potomcev (Pb-214 in Bi-214). Faktor, ki opisuje ravnovesje med radijem in radonovimi potomci, določimo iz faktorja za izhajanje radona iz vzorca in časovnega intervala med pripravo in meritvijo vzorca.
11. Aktivnost urana je določena pri predpostavki, da je U-238 v ravnovesju s potomci Th-234 in Pa-234m ter da sta koncentraciji izotopov U-235 in U-238 v naravnem razmerju.
12. Notranje doze so izračunane iz vsebnosti radionuklidov v mediju, doznih faktorjev in iz predpostavljene porabe hrane, vode ali frekvence vdihovanja zraka. Negotovosti doz so izračunane iz negotovosti vsebnosti radionuklidov, povprečenih preko celega leta. Negotovosti porabe in doznih faktorjev v negotovostih doz niso upoštevane.
13. Označba Sr-90/Sr-89 pomeni, da ni bila narejena analiza na Y-90. Ločitev za Y-90 se izvede samo v primerih, ko iz ponovitve meritve Sr-90/Sr-89 ugotovimo, da je izmerjena hitrost štetja manjša od predhodno določene in je ta razlika hitrosti štetja posledica radioaktivnega razpada Sr-89.



SEZNAM TABEL MERITEV IZ PROGRAMA IMISIJSKIH MERITEV

OBRATOVALNI MONITORING RADIOAKTIVNOSTI V OKOLICI NEK

	Tabele	Stran
1. REKA SAVA - sestavljeni mesečni vzorci filtrirane vode in filtrskega ostanka		
– izotopska analiza sevalcev gama in specifični analizi Sr-90/Sr-89 in H-3		
KRŠKO	T – 1, 2	M–2
BREŽICE	T – 3, 4	M–3
JESENICE na Dolenjskem	T – 5, 6	M–6
1. REKA SAVA – posamični vzorci nefiltrirane vode		
– izotopska analiza sevalcev gama in specifična analiza Sr-90/Sr-89 in H-3		
KRŠKO	T – 7	M–8
BREŽICE	T – 9	M–9
JESENICE na Dolenjskem	T – 10	M–9
PODSUSED (R Hrvaška)	T – 11	M–10
2. REKA SAVA – sedimenti		
– izotopska analiza sevalcev gama in specifična analiza Sr-90/Sr-89		
KRŠKO	T – 12	M–10
BREŽICE	T – 13	M–11
JESENICE na Dolenjskem	T – 14	M–11
KRŠKO pod mostom	T – 15/p	M–12
pod jezom NEK	T – 16/p1	M–12
PESJE	T – 16/p2	M–13
BREŽICE	T – 16/p3	M–13
JESENICE na Dolenjskem	T – 17/p	M–14
PODSUSED (R Hrvaška)	T – 18	M–14
2. REKA SAVA – vodna biota – ribe		
– izotopska analiza sevalcev gama in specifična analiza Sr-90/Sr-89		
KRŠKO	T – 19	M–15
BREŽICE	T – 21	M–15
JESENICE na Dolenjskem	T – 22	M–16
JESENICE na Dolenjskem	T – 22/p1	M–16
OTOK (R Hrvaška)	T – 24	M–17
PODSUSED (R Hrvaška)	T – 25	M–17



3. VODOVODI – posamični vzorci pitne vode

- izotopska analiza sevalcev gama in specifični analizi Sr-90/Sr-89 in H-3

vodovod KRŠKO	T – 28	M–20
vodovod BREŽICE	T – 29	M–20
vertina E1 v NEK	T – V1	M–21
vertina VOP-4 v Vrbini	T – V2	M–21

4. ČRPALIŠČA VODOVODOV – sestavljeni mesečni vzorci

- izotopska analiza sevalcev gama in specifični analizi Sr-90/Sr-89 in H-3

vodovod BREŽICE	T – 30	M–22
črpališče BREGE	T – 31	M–23
črpališče RORE	T – 32	M–24
vodovod SPODNJI STARI GRAD	T – 33	M–25
črpališče BREŽICE - Glogov Brod	T – 34	M–26

4. PODTALNICE – posamični ali sestavljeni mesečni vzorci

- izotopska analiza sevalcev gama in specifični analizi Sr-90/Sr-89 in H-3

MEDSAVE (R Hrvaška)	T – V3	M–27
ŠIBICE (R Hrvaška)	T – V4	M–28
PETRUŠEVEC (R Hrvaška)	T – 36	M–29

5. PADAVINE – mesečni vzorci

- izotopska analiza sevalcev gama in specifični analizi Sr-90/Sr-89 in H-3

BREGE	T – 37	M–32
KRŠKO	T – 38	M–34
DOBOVA	T – 39	M–36
LJUBLJANA *)	T – 40	M–38
PREGLED SPECIFIČNIH ANALIZ H-3 V DEŽEVNICI	T – 41	M–40

6. SUHI USEDI – mesečni vzorci

- izotopska analiza sevalcev gama

SUHI USED – vazelinske plošče	T – 42	M–41
-------------------------------	--------	------

*) Meritve iz lastne raziskovalne dejavnosti, ki niso bile financirane iz programov nadzora radioaktivnosti v življenjskem okolju RS ali NEK



7. ZRAK – zračni jod ter aerosoli

– izotopska analiza sevalcev gama

PREGLED MERITEV JODA V ZRAKU	T – 43	M–46
SPODNJI STARI GRAD	T – 44	M–47
STARA VAS	T – 45	M–48
LESKOVEC	T – 46	M–49
BREGE	T – 47	M–50
VIHRE	T – 48	M–51
GORNJI LENART	T – 49	M–52
LIBNA	T – 50	M–53
DOBOVA	T – 51	M–54
STARA VAS (Sr-89/Sr-90)	T – 45	M–55
DOBOVA (Sr-89/Sr-90)	T – 51	M–55
LJUBLJANA *)	T – 52	M–56

8. DOZA ZUNANJEGA SEVANJA

TL-dozimetri v okolici NEK in na ograji NEK	T – 53	M–58
TL-dozimetri v Republiki Sloveniji	T – 54	M–62
TL-dozimetri v Republiki Hrvaški	T – 55	M–64
Merilniki hitrosti doze z neprekinjenim zbiranjem	T – 56	M–65
Izračun razredčitvenih in depozicijskih koeficientov po Lagrangeevem modelu (MEIS storitve za okolje)		M–70

9. ZEMLJA – posamični vzorci

– izotopska analiza sevalcev gama in
specifična analiza Sr-90/Sr-89

GMAJNICE – neobdelana zemlja	T – 57	M–74
KUSOVA VRBINA – neobdelana zemlja	T – 59	M–76
AMERIKA – neobdelana zemlja	T – 60	M–78

10. MLEKO – posamični ali sestavljeni mesečni vzorci

– izotopska analiza sevalcev gama in
specifični analizi Sr-90 in I-131

PESJE	T – 61	M–82
DOLENJE SKOPICE	T – 62	M–83
BREGE	T – 63	M–84
PESJE, DOLENJE SKOPICE, BREGE (I-131)	T – 64	M–85

11. SADJE – posamični vzorci

– izotopska analiza sevalcev gama in
specifična analiza Sr-90/Sr-89

JABOLKA	T – 65	M–85
HRUŠKE	T – 66	M–86
JAGODE	T – 67	M–86
RDEČE IN BELO GROZDJE, ŠIPEK IN BEZEG	T – 68	M–87

*) Iz programa nadzora radioaktivnosti v življenjskem okolju RS



12. POVRTNINE IN POLJŠČINE – posamični vzorci

– izotopska analiza sevalcev gama in
specifična analiza Sr-90/Sr-89

SOLATA, ČEBULA, BLITVA, PETERŠILJ	T – 69	M–87
KORENJE, PARADIŽNIK, MELANCANI, BUČKE	T – 70	M–88
KUMARE, RDEČA PESA, STROČJI FIŽOL, KORUZA	T – 71	M–88
PŠENICA, JEČMEN, FIŽOL, KROMPIR	T – 72	M–89
PAPRIKA, FEFERONI, ZELJE, POR	T – 73	M–89

13. MESO IN KOKOŠJA JAJCA – posamični vzorci

– izotopska analiza sevalcev gama in
specifična analiza Sr-90/Sr-89

KOKOŠJE MESO IN JAJCA	T – 74	M–90
SVINJSKO, GOVEJE IN DIVJAČINSKO MESO	T – 75	M–90

**OBRATOVALNI MONITORING RADIOAKTIVNOSTI V OKOLICI NEK
ZARADI HE BREŽICE**

**1. REKA SAVA - sestavljeni mesečni vzorci filtrirane
vode in filtrskega ostanka**

– izotopska analiza sevalcev gama in
specifični analizi Sr-90/Sr-89 in H-3

HE BREŽICE, nad jezom	T – HE 1, 2	M–92
-----------------------	-------------	------

1. REKA SAVA - sestavljeni mesečni vzorci filtrirane vode

– izotopska analiza sevalcev gama in
specifični analizi Sr-90/Sr-89 in H-3

HE BREŽICE, levi breg	T – HE 3	M–94
HE BREŽICE, desni breg	T – HE 4	M–95

1. REKA SAVA – posamični vzorci nefiltrirane vode

– izotopska analiza sevalcev gama in
specifični analizi Sr-90/Sr-89 in H-3

HE BREŽICE, nad jezom	T – HE 5	M–96
HE BREŽICE, nadomestni habitat NH1	T – HE 6	M–96

2. REKA SAVA – sedimenti

– izotopska analiza sevalcev gama in
specifična analiza Sr-90/Sr-89

HE BREŽICE, nad jezom	T – HE 7	M–98
HE BREŽICE, levi breg	T – HE 8	M–99
HE BREŽICE, desni breg	T – HE 9	M–100



2. REKA SAVA – vodna biota – ribe

– izotopska analiza sevalcev gama in
specifična analiza Sr-90/Sr-89

HE BREŽICE, nad jezom

T – HE 10 M–101

HE BREŽICE, nad jezom v akumulaciji

T – HE 11 M–101

3. PODTALNICA – posamični vzorci vode

specifična analiza H-3

Vrbina - vrtina VOP-1/06

T – HE 12 M–102

Amerika - vrtina V-12/77

T – HE 13 M–102

Gmajnice - vrtina V-7/77

T – HE 14 M–102

TABELE REZULTATOV PRIMERJALNIH MERITEV

M–103

1. VODA - REKA SAVA

VODA - SESTAVLJENI MESEČNI VZORCI

VODA - POSAMIČNI VZORCI

2. SEDIMENTI

VODNA BIOTA – RIBE

LETO 2021 T - 1a

1. REKA SAVA – VODA - sestavljeni vzorci filtrirane vode (voda + fina susp. snov)



Izotopska analiza sevalcev gama (***) in specifična analiza Sr-90

Vzorč. mesto	Krško				
Datum vzor.	januar - marec	april - junij	julij - september	oktober - december	Četrtno povprečje (za celo leto) (*)
Kol. vzorca (L)	149,25	143,45	150,50	141,45	
Pretok (m³/s)	272,0	275,0	87,0	161,0	
Oznaka vzorca	NEKVKKK121	NEKVKKK221	NEKVKKK321	NEKVKKK421	
IZOTOP	KONCENTRACIJA AKTIVNOSTI (Bq/m³)				
U-238	9,1E-01 ± 2E-01	2,8E+00 ± 8E-01	4,2E+00 ± 1E+00	3,6E+00 ± 1E+00	2,9E+00 ± 5E-01
Ra-226	1,5E-01 ± 3E-02	1,4E+00 ± 8E-02	1,5E+00 ± 2E-01	9,9E-01 ± 2E-01	9,9E-01 ± 6E-02
Pb-210	7,4E+00 ± 4E-01	6,1E+00 ± 5E-01	8,1E+00 ± 1E+00	1,2E+01 ± 1E+00	8,4E+00 ± 5E-01
Ra-228	2,6E-01 ± 5E-02		1,4E+00 ± 3E-01	1,4E+00 ± 3E-01	7,7E-01 ± 1E-01
Th-228	1,7E-01 ± 6E-02	3,2E-01 ± 2E-01	7,9E-01 ± 4E-01	1,6E+00 ± 3E-01	7,3E-01 ± 1E-01
Th-230					
K-40	1,1E+01 ± 5E-01	3,5E+01 ± 2E+00	4,6E+01 ± 4E+00	5,6E+01 ± 4E+00	3,7E+01 ± 1E+00
Be-7	7,8E+00 ± 3E-01	5,1E+01 ± 2E+00	5,6E+01 ± 3E+00	1,3E+02 ± 4E+00	6,0E+01 ± 1E+00
I-131	4,4E+00 ± 2E-01	3,5E+00 ± 4E-01		2,6E+00 ± 2E+00 ‡	2,6E+00 ± 5E-01
Cs-134					
Cs-137	1,1E-01 †	1,1E-01 ± 2E-02	7,7E-01 †	4,4E-01 †	3,6E-01 ± 5E-03 x
Co-58					
Co-60					
Cr-51					
Mn-54					
Zn-65					
Nb-95					
Ru-106					
Sb-125					
Sr-90	1,4E+00 ± 3E-01	5,0E-01 ± 1E-01	1,4E+00 ± 3E-01	1,1E+00 ± 3E-01	1,1E+00 ± 1E-01

(*) Število, ki sledi znaku ±, je negotovost povprečja (apriorna negotovost).

(**) Izhajanje radona iz posodice pri izračunu aktivnosti ni upoštevano.

(†) Rezultat meritve je pod mejo detekcije.

(‡) Rezultat meritve je pod mejo kvantifikacije.

LETO 2021 T - 2a

1. REKA SAVA – VODA - sestavljeni vzorci filtrskega ostanka (groba susp. snov)



Izotopska analiza sevalcev gama (***) in specifična analiza Sr-90 (***)

Vzorč. mesto	Krško				
Datum vzor.	januar - marec	april - junij	julij - september	oktober - december	Četrtno povprečje (za celo leto) (*)
Kol. vzorca (L)	144,00	145,60	147,20	147,20	
Susp. snov (g)	1,741	1,257	1,182	1,050	
Oznaka vzorca	NEKFKKK121	NEKFKKK221	NEKFKKK321	NEKFKKK421	
IZOTOP	KONCENTRACIJA AKTIVNOSTI (Bq/m³)				
U-238		4,7E-01 ± 3E-01	6,1E-01 ± 6E-01		2,7E-01 ± 2E-01
Ra-226	3,9E-01 ± 6E-02	1,6E-01 ± 1E-01			1,4E-01 ± 3E-02
Pb-210	7,1E-01 ± 6E-01	1,1E-01 ± 8E-02	5,4E-01 ± 4E-01		3,4E-01 ± 2E-01
Ra-228					
Th-228	2,5E-01 ± 1E-01	1,8E+00 ± 7E-01	2,5E-01 ± 2E-01		5,6E-01 ± 2E-01
Th-230					
K-40	1,3E+00 ± 9E-01	1,8E+00 ± 1E+00	3,1E+00 ± 1E+00		1,5E+00 ± 5E-01
Be-7					
I-131					
Cs-134					
Cs-137					
Co-58					
Co-60					
Cr-51					
Mn-54					
Zn-65					
Nb-95					
Ru-106					
Sb-125					
Sr-90					

(*) Število, ki sledi znaku ±, je negotovost povprečja (apriorna negotovost).

(**) Izhajanje radona iz posodice pri izračunu aktivnosti ni upoštevano.

(***) Rezultati meritev Sr-90 so pod mejo detekcije. Vsi rezultati izotopske analize sevalcev gama v vzorcu NEKFKKK421 so pod mejo detekcije.

LETO 2021 T - 1b

1. REKA SAVA – VODA - sestavljeni vzorci filtrirane vode (voda + fina susp. snov)

Specifična analiza H-3 (**)

Vzorč. mesto	Krško						
Datum vzor.	1.1.21-31.1.21	1.2.21-28.2.21	1.3.21-31.3.21	1.4.21-30.4.21	1.5.21-31.5.21	1.6.21-30.6.21	Mesečno povprečje (za 1. polletje) (*)
Datum meritve	31. 3. 2021	6. 4. 2021	24. 4. 2021	15. 6. 2021	22. 6. 2021	21. 7. 2021	
Kol. vzorca (L)	46,80	41,85	49,30	48,10	46,40	53,20	
Oznaka vzorca	NEKVKK0121	NEKVKK0221	NEKVKK0321	NEKVKK0421	NEKVKK0521	NEKVKK0621	
IZOTOP	KONCENTRACIJA AKTIVNOSTI (Bq/m ³)						
H-3	4,9E+02 ± 8E+01	6,1E+02 ± 8E+01	4,9E+02 ± 8E+01	5,8E+02 ± 8E+01	4,9E+02 ± 8E+01	5,2E+02 ± 8E+01	5,3E+02 ± 3E+01

Vzorč. mesto	Krško						
Datum vzor.	1.7.21-31.7.21	1.8.21-31.8.21	1.9.21-30.9.21	1.10.21-31.10.21	1.11.21-30.11.21	1.12.21-31.12.21	Mesečno povprečje (za celo leto) (*)
Datum meritve	30. 8. 2021	14. 10. 2021	20. 10. 2021	28. 12. 2021	4. 1. 2022	18. 1. 2022	
Kol. vzorca (L)	45,45	48,75	48,55	47,35	48,62	53,95	
Oznaka vzorca	NEKVKK0721	NEKVKK0821	NEKVKK0921	NEKVKK1021	NEKVKK1121	NEKVKK1221	
IZOTOP	KONCENTRACIJA AKTIVNOSTI (Bq/m ³)						
H-3	8,4E+02 ± 9E+01	5,0E+02 ± 8E+01	4,7E+02 ± 8E+01	7,9E+02 ± 9E+01	5,9E+02 ± 8E+01	6,0E+02 ± 8E+01	5,8E+02 ± 2E+01

(*) Število, ki sledi znaku ±, je negotovost povprečja (apriorna negotovost).

(**) Radiokemijske analize H-3 so bile opravljene na IJS na Odseku O-2.

LETO 2021 T - 4c

1. REKA SAVA – VODA - sestavljeni vzorci filtrskega ostanka (groba susp. snov)



Specifična analiza Sr-90 (***)

Vzorč. mesto	Brežice				
Datum vzor.	januar - marec	april - junij	julij - september	oktober - december	Četrletno povprečje (za celo leto) (*)
Kol. vzorca (L)	255,05	233,07	208,93	213,97	
Susp. snov (g)	1,07	2,26	1,49	0,68	
Oznaka vzorca	NEKFBRK121	NEKFBRK221	NEKFBRK321	NEKFBRK421	
IZOTOP	KONCENTRACIJA AKTIVNOSTI (Bq/m ³)				
Sr-90					

(*) Število, ki sledi znaku ±, je negotovost povprečja (apriorna negotovost).

(***) Vsi rezultati specifične analize Sr-90 so pod mejo detekcije.

LETO 2021 T – 3a

1. REKA SAVA – VODA - sestavljeni vzorci filtrirane vode (voda + fina susp. snov)



Izotopska analiza sevalcev gama (***) in specifični analizi Sr-90 in H-3 (***)

Vzorč. mesto	Brežice						
Datum vzor.	januar	februar	marec	april	maj	junij	Mesečno povprečje (za 1. polletje) (*)
Kol. vzorca (L)	50,30	44,10	51,10	47,50	49,13	47,55	
Pretok (m³/s)	349,0	346,0	128,0	159,0	480,0	180,0	
Oznaka vzorca	NEKVBR0121	NEKVBR0221	NEKVBR0321	NEKVBR0421	NEKVBR0521	NEKVBR0621	
IZOTOP	KONCENTRACIJA AKTIVNOSTI (Bq/m³)						
U-238		3,3E+00 ± 1E+00	4,3E+00 ± 2E+00				1,3E+00 ± 3E-01
Ra-226	6,6E-01 ± 2E-01	1,5E+00 ± 3E-01	6,2E-01 ± 2E-01	1,7E+00 ± 3E-01	9,4E-01 ± 3E-01	1,3E+00 ± 2E-01	1,1E+00 ± 1E-01
Pb-210	1,8E+00 ± 1E+00	5,3E+00 ± 1E+00	7,5E+00 ± 1E+00	5,7E+00 ± 1E+00	1,4E+01 ± 3E+00	3,8E+00	6,4E+00 ± 6E-01
Ra-228	7,0E-01 ± 4E-01		6,2E-01 ± 4E-01	1,9E+00 ± 1E+00	1,6E+00 ± 5E-01	1,6E+00 ± 2E-01	1,1E+00 ± 3E-01
Th-228	6,6E-01 ± 3E-01			8,7E-01 ± 6E-01		5,9E-01 ± 4E-01	3,5E-01 ± 1E-01
Th-230							
K-40	2,4E+01 ± 2E+00	3,0E+01 ± 3E+00	3,0E+01 ± 3E+00	3,6E+01 ± 5E+00	3,4E+01 ± 4E+00	2,5E+01 ± 3E+00	3,0E+01 ± 1E+00
Be-7		4,1E+01 ± 2E+00	6,9E+01 ± 2E+00	3,8E+01 ± 3E+00	2,7E+02 ± 8E+00	8,7E+00 ± 1E+00	7,2E+01 ± 2E+00
I-131		2,1E+00 ± 4E-01	2,0E+00 ± 5E-01	4,2E+00 ± 1E+00		2,9E+00 ± 4E-01	1,9E+00 ± 2E-01
Cs-134							
Cs-137							
Co-58							
Co-60							
Cr-51							
Mn-54							
Zn-65							
Nb-95							
Ru-106							
Sb-125							
Sr-90	1,2E+00 ± 6E-01	2,4E+00 ± 5E-01	1,1E+00 ± 3E-01	1,1E+00 ± 3E-01	1,5E+00 ± 4E-01	1,6E+00 ± 4E-01	1,5E+00 ± 2E-01
H-3	5,4E+03 ± 3E+02	2,9E+03 ± 2E+02	7,9E+03 ± 4E+02	4,4E+03 ± 3E+02	7,9E+02 ± 9E+01	1,0E+03 ± 1E+02	3,7E+03 ± 1E+02

(*) Število, ki sledi znaku ±, je negotovost povprečja (apriorna negotovost).

(**) Izhajanje radona iz posodice pri izračunu aktivnosti ni upoštevano.

(***) Visokoločljivostna spektrometrija gama in radiokemijske analize Sr-90/Sr-89 so bile opravljene na ZVD. Radiokemijske analize H-3 so bile opravljene na IJS na Odseku O-2.

(†) Rezultat meritve je pod mejo detekcije.

LETO 2021 T - 4a

1. REKA SAVA – VODA - sestavljeni vzorci filtrskega ostanka (groba susp. snov)



Izotopska analiza sevalcev gama (**)

Vzorč. mesto	Brežice						
Datum vzor.	januar	februar	marec	april	maj	junij	Mesečno povprečje (za 1. polletje) (*)
Kol. vzorca (L)	86,06	79,27	89,72	77,44	69,70	85,93	
Susp. snov (g)	0,666	0,298	0,110	0,047	0,851	1,361	
Oznaka vzorca	NEKFBR0121	NEKFBR0221	NEKFBR0321	NEKFBR0421	NEKFBR0521	NEKFBR0621	
IZOTOP	KONCENTRACIJA AKTIVNOSTI (Bq/m³)						
U-238	6,7E-01 ± 5E-01						1,1E-01 ± 9E-02
Ra-226	5,7E-01 ± 1E-01	7,6E-01 ± 1E-01	1,6E+00 ± 1E-01	5,0E-01 ± 1E-01	9,9E-01 ± 1E-01	3,4E-01 ± 2E-01	8,0E-01 ± 5E-02
Pb-210	2,0E+00 ± 9E-01	1,7E+00 ± 1E+00	1,8E+00 ± 7E-01	2,2E+00 ± 9E-01	2,9E+00 ± 3E-01	3,0E+00 ± 1E+00	2,3E+00 ± 4E-01
Ra-228		1,0E+00 ± 3E-01	3,4E+00 ± 8E-01				7,4E-01 ± 1E-01
Th-228	3,0E-01 ± 2E-01	2,6E-01 ± 2E-01	4,4E-01 ± 3E-01	6,4E-01 ± 3E-01	2,6E-01 ± 2E-01		3,2E-01 ± 9E-02
Th-230							
K-40	3,7E+00 ± 1E+00	6,8E+00 ± 2E+00	3,9E+00 ± 2E+00		3,8E+00 ± 1E+00	4,1E+00 ± 2E+00	3,7E+00 ± 6E-01
Be-7				3,3E+00 ± 7E-01	4,0E+00 ± 5E-01		1,2E+00 ± 1E-01
I-131							
Cs-134							
Cs-137	2,2E-01 ± 9E-02	2,3E-01 ± 9E-02	3,0E-01 ± 1E-01	1,8E-01 ± 7E-02	1,4E-01 ± 4E-02	3,0E-01 ± 1E-01	2,3E-01 ± 4E-02
Co-58							
Co-60							
Cr-51							
Mn-54							
Zn-65							
Nb-95							
Ru-106							
Sb-125							

(*) Število, ki sledi znaku ±, je negotovost povprečja (apriorna negotovost).

(**) Izhajanje radona iz posodice pri izračunu aktivnosti ni upoštevano.

LETO 2021 T - 3b

1. REKA SAVA – VODA - sestavljeni vzorci filtrirane vode (voda + fina susp. snov)



Izotopska analiza sevalcev gama (***) in specifični analizi Sr-90 in H-3 (***)

Vzorč. mesto	Brežice						
Datum vzor.	julij	avgust	september	oktober	november	december	Mesečno povprečje (za celo leto) (*)
Kol. vzorca (L)	49,55	49,00	41,20	49,05	47,55	48,92	
Pretok (m ³ /s)	105,0	91,0	65,0	93,0	174,0	217,0	
Oznaka vzorca	NEKVBR0721	NEKVBR0821	NEKVBR0921	NEKVBR1021	NEKVBR1121	NEKVBR1221	
IZOTOP KONCENTRACIJA AKTIVNOSTI (Bq/m ³)							
U-238	1,1E+00 ± 9E-01	1,6E+00 ± 5E-01		3,7E+00 ± 9E-01			1,2E+00 ± 2E-01
Ra-226	3,3E+00 ± 2E-01	1,4E+00 ± 1E-01	6,2E-01 ± 4E-01	1,1E+00 ± 1E-01	3,6E+00 ± 3E-01	2,7E-01 ± 1E-01	1,4E+00 ± 7E-02
Pb-210	8,2E+00 ± 5E-01	1,7E+01 ± 1E+00	3,9E+00 ± 2E+00	4,2E+00 ± 6E-01	5,5E+00 ± 2E+00	2,5E+01 ± 1E+00	8,5E+00 ± 4E-01
Ra-228	1,7E+00 ± 1E-01	9,6E-01 ± 2E-01	2,0E+00 ± 6E-01			6,0E-01 ± 2E-01	9,7E-01 ± 1E-01
Th-228		2,2E-01 ± 2E-01			2,3E+00 ± 6E-01	4,4E-01 ± 2E-01	4,2E-01 ± 9E-02
Th-230							
K-40	2,9E+01 ± 2E+00	3,4E+01 ± 2E+00	4,9E+01 ± 5E+00	4,4E+01 ± 2E+00	4,0E+01 ± 4E+00	3,6E+01 ± 2E+00	3,4E+01 ± 9E-01
Be-7	4,0E+00 ± 4E-01	1,8E+02 ± 5E+00	2,6E+01 ± 2E+00		1,3E+02 ± 5E+00	2,0E+02 ± 6E+00	8,1E+01 ± 1E+00
I-131		1,2E+00 ± 2E-01			3,1E+00 ± 1E+00	1,1E+01 ± 8E-01	2,2E+00 ± 2E-01
Cs-134							
Cs-137							
Co-58							
Co-60							
Cr-51							
Mn-54							
Zn-65							
Nb-95							
Ru-106							
Sb-125							
Sr-90	9,6E-01 ± 4E-01	1,5E+00 ± 4E-01	1,7E+00 ± 6E-01	2,7E+00 ± 6E-01	1,2E+00 ± 4E-01	1,1E+00 ± 3E-01	1,5E+00 ± 1E-01
H-3	1,5E+03 ± 1E+02	1,5E+03 ± 1E+02	1,6E+03 ± 1E+02	1,0E+03 ± 1E+02	1,7E+03 ± 1E+02	1,1E+03 ± 1E+02	2,6E+03 ± 6E+01

(*) Število, ki sledi znaku ±, je negotovost povprečja (apriorna negotovost).

(**) Izhajanje radona iz posodice pri izračunu aktivnosti ni upoštevano.

(***) Visokoločljivostna spektrometrija gama in radiokemijske analize Sr-90/Sr-89 so bile opravljene na ZVD, radiokemijske analize H-3 pa na IJS na Odseku O-2.

LETO 2021 T - 4b

1. REKA SAVA – VODA - sestavljeni vzorci filtrskega ostanka (groba susp. snov)



Izotopska analiza sevalcev gama (**)

Vzorč. mesto	Brežice						
Datum vzor.	julij	avgust	september	oktober	november	december	Mesečno povprečje (za celo leto) (*)
Kol. vzorca (L)	72,30	78,92	57,71	75,75	71,11	67,11	
Susp. snov (g)	0,510	0,533	0,446	0,211	0,254	0,210	
Oznaka vzorca	NEKFBR0721	NEKFBR0821	NEKFBR0921	NEKFBR1021	NEKFBR1121	NEKFBR1221	
IZOTOP KONCENTRACIJA AKTIVNOSTI (Bq/m ³)							
U-238		6,4E-01 ± 4E-01			1,6E+00 ± 1E+00		2,4E-01 ± 1E-01
Ra-226	4,3E-01 ± 3E-01	6,5E-01 ± 9E-02				4,7E-01 ± 2E-01	5,3E-01 ± 4E-02
Pb-210	3,5E+00 ± 1E+00	1,1E+00 ± 4E-01	2,2E+00 ± 2E+00	1,7E+00 ± 3E-01	2,7E+00 ± 1E+00	3,5E+00 ± 1E+00	2,4E+00 ± 3E-01
Ra-228	1,6E+00 ± 4E-01		1,1E+00 ± 6E-01			8,6E-01 ± 4E-01	6,7E-01 ± 1E-01
Th-228	8,2E-01 ± 5E-01		5,6E-01 ± 4E-01	2,7E-01 ± 1E-01		9,7E-01 ± 3E-01	3,8E-01 ± 8E-02
Th-230							
K-40			4,3E+00 ± 3E+00			4,7E+00 ± 2E+00	2,6E+00 ± 4E-01
Be-7				3,6E+00 ± 3E-01			9,0E-01 ± 8E-02
I-131							
Cs-134							
Cs-137	5,0E-01 ± 2E-01	1,8E-01 ± 7E-02	4,5E-01 ± 2E-01	1,1E-01 ± 4E-02	4,2E-01 ± 2E-01	3,3E-01 ± 1E-01	2,8E-01 ± 4E-02
Co-58							
Co-60							
Cr-51							
Mn-54							
Zn-65							
Nb-95							
Ru-106							
Sb-125							

(*) Število, ki sledi znaku ±, je negotovost povprečja (apriorna negotovost).

(**) Izhajanje radona iz posodice pri izračunu aktivnosti ni upoštevano.

LETO 2021 T - 5a
1. REKA SAVA – VODA - sestavljeni vzorci filtrirane vode (voda + fina susp. snov)



Izotopska analiza sevalcev gama in specifični analizi Sr-90 in H-3

Vzorč. mesto	Jesenice na Dolenjskem						
Datum vzor.	januar	februar	marec	april	maj	junij	Mesečno povprečje (za 1. polletje) (*)
Kol. vzor. (L)	279,00	252,00	279,00	270,00	279,00	270,00	
Pretok (m³/s)	522,0	469,0	165,0	226,0	648,0	234,0	
Oznaka vzorca	JFV01-21	JFV02-21	JFV03-21	JFV04-21	JFV05-21	JFV06-21	
IZOTOP	KONCENTRACIJA AKTIVNOSTI (Bq/m³)						
U-238	4,0E+00 ± 1E+00	5,8E+00 ± 1E+00	5,2E+00 ± 1E+00	6,4E+00 ± 1E+00	3,6E+00 ± 1E+00	4,1E+00 ± 1E+00	4,9E+00 ± 5E-01
Ra-226	1,5E+00 ± 3E-01	9,4E-01 ± 3E-01	7,8E-01 ± 2E-01	1,4E+00 ± 3E-01	1,6E+00 ± 3E-01	1,4E+00 ± 3E-01	1,3E+00 ± 1E-01
Pb-210							
Ra-228	1,6E+00 ± 4E-01	4,2E-01 ± 3E-01	1,2E+00 ± 5E-01	6,1E-01 ± 3E-01	1,6E+00 ± 5E-01	1,3E+00 ± 5E-01	1,1E+00 ± 2E-01
Th-228							
Th-230							
K-40	2,8E+01 ± 4E+00	7,4E+00 ± 3E+00	4,4E+01 ± 6E+00	2,0E+01 ± 4E+00	2,1E+01 ± 4E+00	1,3E+01 ± 3E+00	2,2E+01 ± 2E+00
Be-7	1,7E+00 ± 1E+00	2,9E+00 ± 1E+00	1,3E+00 ± 8E-01	1,7E+00 ± 1E+00	4,7E+00 ± 1E+00	2,8E+00 ± 1E+00	2,5E+00 ± 4E-01
I-131			5,0E+00 ± 1E+00		1,9E+00 ± 1E+00	1,7E+00 ± 1E+00	1,4E+00 ± 3E-01
Cs-134							
Cs-137	4,0E-01 ± 1E-01	1,3E-01 ± 7E-02	1,9E-01 ± 8E-02	1,2E-01 ± 8E-02			1,4E-01 ± 3E-02
Co-58							
Co-60							
Cr-51							
Mn-54							
Zn-65							
Nb-95							
Ru-106							
Sb-125							
Sr-90	2,1E+00 ± 2E-01	5,6E-01 ± 1E-01	1,6E+00 ± 2E-01	2,1E+00 ± 2E-01	2,0E+00 ± 2E-01	2,2E+00 ± 2E-01	1,8E+00 ± 7E-02
H-3	2,6E+03 ± 3E+02	4,7E+03 ± 4E+02	9,1E+03 ± 7E+02	3,4E+03 ± 3E+02	8,4E+02 ± 1E+02	7,6E+02 ± 1E+02	3,6E+03 ± 1E+02

(*) Število, ki sledi znaku ±, je negotovost povprečja (apriorna negotovost).

LETO 2021 T - 6a
1. REKA SAVA – VODA - sestavljeni vzorci filtrskega ostanka (groba susp. snov)



Izotopska analiza sevalcev gama

Vzorč. mesto	Jesenice na Dolenjskem						
Datum vzor.	januar	februar	marec	april	maj	junij	Mesečno povprečje (za 1. polletje) (*)
Kol. vzor. (L)	279,00	252,00	279,00	270,00	279,00	270,00	
Susp. snov (g/m³)	10,0	6,6	1,3	2,4	11,7	4,0	
Oznaka vzorca	JST01-21	JST02-21	JST03-21	JST04-21	JST05-21	JST06-21	
IZOTOP	KONCENTRACIJA AKTIVNOSTI (Bq/m³)						
U-238	8,7E-01 ± 6E-01	6,9E-01 ± 2E-01		7,0E-01 ± 2E-01	9,1E-01 ± 3E-01	4,0E-01 ± 2E-01	1,5E-01 ± 1E-01
Ra-226	7,7E-01 ± 2E-01						5,8E-01 ± 9E-02
Pb-210							
Ra-228	6,1E-01 ± 4E-01	9,6E-01 ± 5E-01	6,0E-01 ± 3E-01		8,2E-01 ± 4E-01		5,0E-01 ± 1E-01
Th-228							
Th-230							
K-40	8,1E+00 ± 2E+00	5,0E+00 ± 2E+00	3,4E+00 ± 2E+00		1,2E+01 ± 3E+00	3,2E+00 ± 2E+00	5,2E+00 ± 9E-01
Be-7		2,2E+00 ± 9E-01	9,1E-01 ± 5E-01	1,4E+00 ± 8E-01	4,6E+00 ± 1E+00	3,4E+00 ± 9E-01	2,1E+00 ± 3E-01
I-131							
Cs-134							
Cs-137	3,0E-01 ± 1E-01	2,0E-01 ± 8E-02	8,7E-02 ± 6E-02		1,8E-01 ± 8E-02	9,3E-02 ± 7E-02	1,4E-01 ± 3E-02
Co-58							
Co-60							
Cr-51							
Mn-54							
Zn-65							
Nb-95							
Ru-106							
Sb-125							

(*) Število, ki sledi znaku ±, je negotovost povprečja (apriorna negotovost).

Izotopska analiza sevalcev gama in specifični analizi Sr-90 in H-3

Vzorč. mesto	Jesenice na Dolenjskem						
Datum vzor.	julij	avgust	september	oktober	november	december	Mesečno povprečje (za celo leto) (*)
Kol. vzor. (L)	279,00	279,00	270,00	279,00	270,00	279,00	
Pretok (m ³ /s)	134,0	109,0	80,0	129,0	228,0	327,0	
Oznaka vzorca	JFV07-21	JFV08-21	JFV09-21	JFV10-21	JFV11-21	JFV12-21	
IZOTOP	KONCENTRACIJA AKTIVNOSTI (Bq/m ³)						
U-238	6,2E+00 ± 1E+00	4,5E+00 ± 1E+00	5,4E+00 ± 1E+00	6,2E+00 ± 1E+00	3,6E+00 ± 2E+00	5,9E+00 ± 1E+00	5,1E+00 ± 4E-01
Ra-226	1,6E+00 ± 3E-01	2,1E+00 ± 4E-01	1,2E+00 ± 3E-01	1,3E+00 ± 3E-01	1,1E+00 ± 4E-01	1,8E+00 ± 3E-01	1,4E+00 ± 9E-02
Pb-210							
Ra-228	1,4E+00 ± 5E-01	1,3E+00 ± 5E-01	1,4E+00 ± 5E-01	8,6E-01 ± 4E-01	8,1E-01 ± 6E-01	1,0E+00 ± 4E-01	1,1E+00 ± 1E-01
Th-228							
Th-230							
K-40	3,3E+01 ± 5E+00	6,3E+01 ± 8E+00	3,8E+01 ± 5E+00	4,6E+01 ± 6E+00	4,8E+01 ± 7E+00	3,5E+01 ± 5E+00	3,3E+01 ± 1E+00
Be-7	1,3E+00 ± 1E+00	1,9E+00 ± 1E+00	2,1E+00 ± 9E-01	1,7E+00 ± 1E+00	2,0E+00 ± 1E+00	1,7E+00 ± 9E-01	2,1E+00 ± 3E-01
I-131			1,9E+00 ± 1E+00			1,4E+00 ± 1E+00	9,8E-01 ± 2E-01
Cs-134							
Cs-137	2,1E-01 ± 9E-02	2,2E-01 ± 8E-02		1,7E-01 ± 8E-02			1,2E-01 ± 2E-02
Co-58							
Co-60							
Cr-51							
Mn-54							
Zn-65							
Nb-95							
Ru-106							
Sb-125							
Sr-90	2,0E+00 ± 2E-01	1,7E+00 ± 2E-01	1,4E+00 ± 2E-01	1,8E+00 ± 2E-01	1,6E+00 ± 2E-01	1,9E+00 ± 2E-01	1,8E+00 ± 5E-02
H-3	1,1E+03 ± 2E+02	1,1E+03 ± 2E+02	1,5E+03 ± 2E+02	1,4E+03 ± 2E+02	1,0E+03 ± 2E+02	8,9E+02 ± 2E+02	2,4E+03 ± 8E+01

(*) Število, ki sledi znaku ±, je negotovost povprečja (apriorna negotovost).

Izotopska analiza sevalcev gama

Vzorč. mesto	Jesenice na Dolenjskem						
Datum vzor.	julij	avgust	september	oktober	november	december	Mesečno povprečje (za celo leto) (*)
Kol. vzor. (L)	279,00	279,00	270,00	279,00	270,00	279,00	
Susp. snov (g/m ³)	4,7	1,9	1,7	2,6	3,0	4,3	
Oznaka vzorca	JST07-21	JST08-21	JST09-21	JST10-21	JST11-21	JST12-21	
IZOTOP	KONCENTRACIJA AKTIVNOSTI (Bq/m ³)						
U-238			8,3E-01 ± 6E-01	1,1E+00 ± 7E-01			2,3E-01 ± 9E-02
Ra-226	7,8E-01 ± 2E-01	3,4E-01 ± 2E-01	2,7E-01 ± 2E-01	3,3E-01 ± 2E-01		7,4E-01 ± 2E-01	4,9E-01 ± 6E-02
Pb-210							
Ra-228	4,3E-01 ± 3E-01			3,9E-01 ± 3E-01		3,9E-01 ± 3E-01	3,5E-01 ± 8E-02
Th-228							
Th-230							
K-40	4,2E+00 ± 2E+00				4,0E+00 ± 2E+00	4,4E+00 ± 2E+00	3,6E+00 ± 5E-01
Be-7	3,6E+00 ± 1E+00			1,3E+00 ± 7E-01	2,0E+00 ± 9E-01	2,3E+00 ± 8E-01	1,8E+00 ± 2E-01
I-131							
Cs-134							
Cs-137	1,1E-01 ± 7E-02		1,4E-01 ± 8E-02	1,4E-01 ± 7E-02	1,5E-01 ± 8E-02	2,0E-01 ± 8E-02	1,3E-01 ± 2E-02
Co-58							
Co-60							
Cr-51							
Mn-54							
Zn-65							
Nb-95							
Ru-106							
Sb-125							

(*) Število, ki sledi znaku ±, je negotovost povprečja (apriorna negotovost).

LETO 2021 T - 6a, 6b

1. REKA SAVA – VODA - sestavljeni vzorci filtrskega ostanka (groba susp. snov)

Specifična analiza Sr-90

Vzorč. mesto	Jesenice na Dolenjskem				
Datum vzor.	januar - marec	april - junij	julij - september	oktober - december	Četrtno povprečje (za celo leto) (*)
Kol. vzorca (L)	810,00	819,00	828,00	828,00	
Susp. snov (g/m ³)	5,9	6,1	2,8	3,3	
Oznaka vzorca	JST-I-21	JST-II-21	JST-III-21	JST-IV-21	
IZOTOP					
KONCENTRACIJA AKTIVNOSTI (Bq/m ³)					
Sr-90	1,1E-02 †	1,0E-02 †	2,8E-02 †	1,1E-02 †	1,5E-02 ± 4E-03 x

(*) Število, ki sledi znaku ±, je negotovost povprečja (apriorna negotovost).

(†) Rezultat meritve je pod mejo detekcije.

(x) Pri meji detekcije se kot predpostavljena vrednost upošteva 1/4 meje detekcije, zato se negotovosti aritmetičnega povprečja za izbrano leto ne podajajo z apriorno negotovostjo, temveč z aposteriornimi negotovostjo.

LETO 2021 T - 7

1. REKA SAVA – VODA - posamični vzorci nefiltrirane vode



Izotopska analiza sevalcev gama (**) in specifični analizi Sr-90 in H-3 (***)

Vzorč. mesto	Krško				
Datum vzor.	22. 2. 2021	10. 6. 2021	29. 9. 2021	17. 11. 2021	Četrtno povprečje (za celo leto) (*)
Kol. vzorca (L)	41,40	45,20	44,92	44,52	
Oznaka vzorca	RSKKK121	RSKKK221	RSKKK321	RSKKK421	
IZOTOP					
KONCENTRACIJA AKTIVNOSTI (Bq/m ³)					
U-238	1,7E+00 ± 6E-01	2,7E+00 ± 1E+00			1,1E+00 ± 4E-01
Ra-226	1,1E+00 ± 1E-01	1,6E+00 ± 1E-01	8,1E-01 ± 3E-01	1,0E+01 ± 4E+00	3,4E+00 ± 9E-01
Pb-210	2,2E+00 ± 6E-01	6,8E+00 ± 1E+00	9,4E+00 ± 2E+00	4,0E+00 ± 2E+00	5,6E+00 ± 9E-01
Ra-228		2,8E+00 ± 5E-01	2,2E+00 ± 5E-01		1,3E+00 ± 2E-01
Th-228	7,0E-01 ± 3E-01	1,2E+00 ± 4E-01	2,0E+00 ± 5E-01		9,8E-01 ± 2E-01
Th-230					
K-40		3,4E+01 ± 3E+00	5,0E+01 ± 4E+00	2,1E+01 ± 4E+00	2,6E+01 ± 2E+00
Be-7		2,7E+01 ± 1E+00	4,5E+01 ± 2E+00		1,8E+01 ± 6E-01
I-131	8,3E+00 ± 3E-01	9,3E-01 ± 1E-01	5,3E+00 ± 4E-01	9,8E+00 ± 6E-01	6,1E+00 ± 2E-01
Cs-134					
Cs-137					
Co-58					
Co-60					
Cr-51					
Mn-54					
Zn-65					
Nb-95					
Ru-106					
Sb-125					
Sr-90	1,1E+00 ± 3E-01	2,1E+00 ± 6E-01	1,6E+00 ± 6E-01	3,4E+00 ± 7E-01	2,0E+00 ± 3E-01
H-3	6,5E+02 ± 6E+01	7,1E+02 ± 6E+01	6,0E+02 ± 5E+01	5,2E+02 ± 5E+01	6,2E+02 ± 3E+01

(*) Število, ki sledi znaku ±, je negotovost povprečja (apriorna negotovost).

(**) Izhajanje radona iz posodice pri izračunu aktivnosti ni upoštevano.

(***) Visokoločljivostna spektrometrija gama in radiokemijska analiza Sr-90/Sr-89 sta bili opravljena na ZVD, analiza H-3 pa na IJS na Odseku F-2.

LETO 2021 T - 9
1. REKA SAVA – VODA - posamični vzorci nefiltrirane vode



Izotopska analiza sevalcev gama (**) in specifični analizi Sr-90 in H-3 (***)

Vzorč. mesto	Brežice					
	Datum vzor.	22. 2. 2021	10. 6. 2021	29. 9. 2021	17. 11. 2021	Četrtno povprečje (za celo leto) (*)
Kol. vzorca (L)	43,20	43,75	44,10	42,05		
Oznaka vzorca	RSBRK121	RSBRK221	RSBRK321	RSBRK421		
IZOTOP	KONCENTRACIJA AKTIVNOSTI (Bq/m ³)					
U-238	2,1E+00 ± 1E+00	4,7E+00 ± 2E+00	4,9E+00 ± 2E+00	7,1E-01 ± 6E-01 ‡	2,9E+00 ± 9E-01	
Ra-226	1,4E+00 ± 2E-01	1,3E+00 ± 3E-01	4,0E+00 ± 3E-01		1,8E+00 ± 2E-01	
Pb-210	3,7E+00 ± 2E+00	4,2E+00 ± 2E+00	2,8E+01 ± 3E+00	8,1E+00 ± 2E+00	1,1E+01 ± 1E+00	
Ra-228		3,6E+00 ± 6E-01	1,6E+00 ± 6E-01	1,8E+00 ± 5E-01	1,7E+00 ± 3E-01	
Th-228		2,7E+00 ± 6E-01	1,8E+00 ± 5E-01		1,1E+00 ± 2E-01	
Th-230						
K-40	3,0E+01 ± 3E+00	3,5E+01 ± 4E+00	5,8E+01 ± 4E+00	3,6E+01 ± 4E+00	4,0E+01 ± 2E+00	
Be-7	1,1E+01 ± 1E+00	3,3E+01 ± 2E+00	1,6E+02 ± 5E+00	8,0E+00 ± 1E+00	5,2E+01 ± 1E+00	
I-131	2,4E+00 ± 2E-01	1,9E+00 ± 2E-01	2,0E+00 ± 2E-01	3,2E+00 ± 3E-01	2,4E+00 ± 1E-01	
Cs-134						
Cs-137						
Co-58						
Co-60						
Cr-51						
Mn-54						
Zn-65						
Nb-95						
Ru-106						
Sb-125						
Sr-90	1,2E+00 ± 4E-01	1,1E+00 ± 4E-01	9,0E-01 ± 7E-01	3,8E+00 ± 8E-01	1,7E+00 ± 3E-01	
H-3	1,6E+03 ± 1E+02	8,0E+02 ± 7E+01	1,2E+03 ± 1E+02	7,6E+02 ± 7E+01	1,1E+03 ± 5E+01	

(*) Število, ki sledi znaku ±, je negotovost povprečja (apriorna negotovost).

(**) Izhajanje radona iz posodice pri izračunu aktivnosti ni upoštevano.

(***) Visokoločljivostna spektrometrija gama in radiokemijska analiza Sr-90/Sr-89 sta bili opravljena na ZVD, analiza H-3 pa na IJS na Odseku F-2.

(‡) Rezultat meritve je pod mejo kvantifikacije.

LETO 2021 T - 10
1. REKA SAVA – VODA - posamični vzorci nefiltrirane vode



Izotopska analiza sevalcev gama (**) in specifični analizi Sr-90 in H-3 (***)

Vzorč. mesto	Jesenice na Dolenjskem					
	Datum vzor.	22. 2. 2021	10. 6. 2021	29. 9. 2021	17. 11. 2021	Četrtno povprečje (za celo leto) (*)
Kol. vzorca (L)	43,05	45,60	45,62	43,12		
Oznaka vzorca	RSJEK121	RSJEK221	RSJEK321	RSJEK421		
IZOTOP	KONCENTRACIJA AKTIVNOSTI (Bq/m ³)					
U-238			5,2E+01 ± 1E+01	3,6E+00 ± 2E+00	1,4E+01 ± 3E+00	
Ra-226	6,2E-01 ± 2E-01	2,3E+00 ± 2E-01	5,7E-01 ± 3E-01	1,8E+00 ± 3E-01	1,3E+00 ± 1E-01	
Pb-210	3,3E+00 ± 1E+00	7,5E+00 ± 5E-01	4,9E+00 ± 2E+00	4,5E+00 ± 2E+00	5,0E+00 ± 7E-01	
Ra-228		2,6E+00 ± 1E-01	1,6E+00 ± 5E-01	6,3E-01 ± 6E-01 ‡	1,2E+00 ± 2E-01	
Th-228		6,2E-01 ± 3E-01	1,1E+00 ± 4E-01	7,3E-01 ± 6E-01	6,1E-01 ± 2E-01	
Th-230						
K-40	2,8E+01 ± 3E+00	3,3E+01 ± 2E+00	3,3E+01 ± 3E+00	3,1E+01 ± 4E+00	3,1E+01 ± 2E+00	
Be-7	5,9E+00 ± 1E+00	2,4E+01 ± 9E-01		3,3E+00 ± 1E+00	8,4E+00 ± 5E-01	
I-131	1,6E+00 ± 3E-01	1,3E+00 ± 1E-01	6,0E+00 ± 1E+00	4,0E+00 ± 3E-01	3,2E+00 ± 3E-01	
Cs-134						
Cs-137	5,6E-01 ± 2,3E-01	1,7E-01 ± 3E-02	3,6E-01 ± 1E-01	6,7E-01 ± 3E-01	4,4E-01 ± 1E-01	
Co-58						
Co-60						
Cr-51						
Mn-54						
Zn-65						
Nb-95						
Ru-106						
Sb-125						
Sr-90	1,7E+00 ± 5E-01	1,6E+00 ± 5E-01	1,2E+00 ± 3E-01	8,9E+00 ± 2E+00	3,4E+00 ± 5E-01	
H-3	6,5E+02 ± 6E+01	7,5E+02 ± 7E+01	5,9E+02 ± 5E+01	6,5E+02 ± 6E+01	6,6E+02 ± 3E+01	

(*) Število, ki sledi znaku ±, je negotovost povprečja (apriorna negotovost).

(**) Izhajanje radona iz posodice pri izračunu aktivnosti ni upoštevano.

(***) Visokoločljivostna spektrometrija gama in radiokemijska analiza Sr-90/Sr-89 sta bili opravljena na ZVD, analiza H-3 pa na IJS na Odseku F-2.

(‡) Rezultat meritve je pod mejo kvantifikacije.

LETO 2021 T - 11
1. REKA SAVA – VODA - posamični vzorci nefiltrirane vode

Specifična analiza H-3

Vzorč. mesto	Podsused (R Hrvaška)				
Datum vzor.	Januar - Marec	April - Junij	Julij - September	Oktober - December	četrtno povprečje (za celo leto) (*)
Oznaka vzorca	PO-I-21	PO-II-21	PO-III-21	PO-IV-21	
IZOTOP	KONCENTRACIJA AKTIVNOSTI (Bq/m ³)				
H-3	3,1E+04 ± 2E+03	6,5E+02 ± 1E+02	9,1E+02 ± 1E+02	5,1E+02 ± 1E+02	8,3E+03 ± 5E+02

(*) Število, ki sledi znaku ±, je negotovost povprečja (apriorna negotovost).

LETO 2021 T - 12
2. REKA SAVA – SEDIMENTI - posamični vzorci sedimentov



Izotopska analiza sevalcev gama (***) in specifična analiza Sr-90

Vzorč. mesto	Krško				
Datum vzor.	22. 2. 2021	10. 6. 2021	29. 9. 2021	17. 11. 2021	Četrtno povprečje (za celo leto) (*)
Kol. vzor. (g)	178,7	310,7	269,2	202,0	
Oznaka vzorca	SDKKK121	SDKKK221	SDKKK321	SDKKK421	
IZOTOP	SPECIFIČNA AKTIVNOST (Bq/kg)				
U-238	4,6E+01 ± 6E+00	3,7E+01 ± 7E+00	2,2E+01 ± 6E+00	3,4E+01 ± 7E+00	3,5E+01 ± 3E+00
Ra-226	4,1E+01 ± 1E+00	3,9E+01 ± 9E-01	3,0E+01 ± 9E-01	3,6E+01 ± 7E-01	3,6E+01 ± 4E-01
Pb-210	9,1E+01 ± 8E+00	9,0E+01 ± 8E+00	9,3E+01 ± 9E+00	1,2E+02 ± 1E+01	9,9E+01 ± 4E+00
Ra-228	4,1E+01 ± 2E+00	4,2E+01 ± 1E+00	3,7E+01 ± 2E+00	3,9E+01 ± 1E+00	4,0E+01 ± 7E-01
Th-228	3,7E+01 ± 2E+00	3,7E+01 ± 2E+00	3,3E+01 ± 2E+00	3,7E+01 ± 1E+00	3,6E+01 ± 8E-01
Th-230					
K-40	5,0E+02 ± 3E+01	5,0E+02 ± 3E+01	4,6E+02 ± 2E+01	4,2E+02 ± 2E+01	4,7E+02 ± 1E+01
Be-7	4,5E+01 ± 3E+00	1,4E+02 ± 5E+00	7,3E+01 ± 4E+00	1,3E+02 ± 4E+00	9,6E+01 ± 2E+00
I-131					
Cs-134					
Cs-137	7,8E+00 ± 5E-01	1,1E+01 ± 5E-01	7,9E+00 ± 5E-01	7,5E+00 ± 3E-01	8,4E+00 ± 2E-01
Co-58					
Co-60					
Cr-51					
Mn-54					
Zn-65					
Nb-95					
Ru-106					
Sb-125					
Sr-90					

(*) Število, ki sledi znaku ±, je negotovost povprečja (apriorna negotovost).

(**) Izhajanje radona iz posodice pri izračunu aktivnosti ni upoštevano.

LETO 2021 T - 13
2. REKA SAVA – SEDIMENTI - posamični vzorci sedimentov



Izotopska analiza sevancev gama (***) in specifična analiza Sr-90

Vzorč. mesto	Brežice				
Datum vzor.	22. 2. 2021	10. 6. 2021	29. 9. 2021	17. 11. 2021	Četrletno povprečje (za celo leto) (*)
Kol. vzor. (g)	301,1	173,4	191,1	210,1	
Oznaka vzorca	SDBRK121	SDBRK221	SDBRK321	SDBRK421	
IZOTOP	SPECIFIČNA AKTIVNOST (Bq/kg)				
U-238	1,9E+01 ± 2E+00	3,9E+01 ± 8E+00	2,5E+01 ± 6E+00	2,7E+01 ± 5E+00	2,7E+01 ± 3E+00
Ra-226	2,3E+01 ± 6E-01	3,5E+01 ± 9E-01	2,2E+01 ± 8E-01	2,5E+01 ± 6E-01	2,6E+01 ± 4E-01
Pb-210	2,5E+01 ± 3E+00	8,7E+01 ± 9E+00	8,6E+01 ± 8E+00		4,9E+01 ± 3E+00
Ra-228	1,7E+01 ± 9E-01	3,3E+01 ± 1E+00	1,9E+01 ± 2E+00	2,9E+01 ± 1E+00	2,5E+01 ± 6E-01
Th-228	1,8E+01 ± 1E+00	3,3E+01 ± 2E+00	1,2E+01 ± 2E+00	2,7E+01 ± 1E+00	2,2E+01 ± 7E-01
Th-230					
K-40	2,4E+02 ± 1E+01	4,6E+02 ± 2E+01	2,3E+02 ± 2E+01	2,5E+02 ± 2E+01	2,9E+02 ± 9E+00
Be-7		6,0E+01 ± 4E+00	1,5E+02 ± 7E+00	1,8E+01 ± 1E+00	5,7E+01 ± 2E+00
I-131					
Cs-134					
Cs-137	2,3E+00 ± 2E-01	9,9E+00 ± 5E-01	1,6E+00 ± 4E-01	4,0E+00 ± 2E-01	4,5E+00 ± 2E-01
Co-58					
Co-60					
Cr-51					
Mn-54					
Zn-65					
Nb-95					
Ru-106					
Sb-125					
Sr-90	1,4E+00 ± 6E-01	3,1E-01 ± 1E-01	9,4E-01 ± 3E-01	2,3E-01 ± 9E-02	7,2E-01 ± 2E-01

(*) Število, ki sledi znaku ±, je negotovost povprečja (apriorna negotovost).

(**) Izhajanje radona iz posodice pri izračunu aktivnosti ni upoštevano.

LETO 2021 T - 14
2. REKA SAVA – SEDIMENTI - posamični vzorci sedimentov



Izotopska analiza sevancev gama (***) in specifična analiza Sr-90

Vzorč. mesto	Jesenice na Dolenjskem				
Datum vzor.	22. 2. 2021	10. 6. 2021	29. 9. 2021	17. 11. 2021	Četrletno povprečje (za celo leto) (*)
Kol. vzor. (g)	183,1	281,6	231,1	499,6	
Oznaka vzorca	SDJEK121	SDJEK221	SDJEK321	SDJEK421	
IZOTOP	SPECIFIČNA AKTIVNOST (Bq/kg)				
U-238	3,5E+01 ± 4E+00	2,9E+01 ± 7E+00	1,8E+01 ± 4E+00	2,5E+01 ± 6E+00	2,6E+01 ± 3E+00
Ra-226	3,2E+01 ± 7E-01	2,8E+01 ± 8E-01	2,0E+01 ± 5E-01	2,7E+01 ± 7E-01	2,7E+01 ± 3E-01
Pb-210	9,3E+01 ± 8E+00	5,8E+01 ± 6E+00	3,5E+01 ± 4E+00	5,6E+01 ± 6E+00	6,0E+01 ± 3E+00
Ra-228	3,0E+01 ± 1E+00		1,6E+01 ± 8E-01	2,3E+01 ± 1E+00	1,7E+01 ± 4E-01
Th-228	2,6E+01 ± 1E+00	2,2E+01 ± 2E+00	1,5E+01 ± 9E-01	2,3E+01 ± 1E+00	2,1E+01 ± 6E-01
Th-230					
K-40	3,7E+02 ± 2E+01	2,8E+02 ± 2E+01	2,0E+02 ± 1E+01	2,9E+02 ± 2E+01	2,9E+02 ± 8E+00
Be-7	3,2E+01 ± 2E+00	1,7E+01 ± 2E+00	1,9E+01 ± 2E+00	3,6E+01 ± 3E+00	2,6E+01 ± 1E+00
I-131					
Cs-134					
Cs-137	5,9E+00 ± 3E-01	3,7E+00 ± 4E-01	1,1E+00 ± 2E-01	2,2E+00 ± 3E-01	3,2E+00 ± 1E-01
Co-58					
Co-60					
Cr-51					
Mn-54					
Zn-65					
Nb-95					
Ru-106					
Sb-125					
Sr-90					

(*) Število, ki sledi znaku ±, je negotovost povprečja (apriorna negotovost).

(**) Izhajanje radona iz posodice pri izračunu aktivnosti ni upoštevano.

LETO 2021 T - 15/p
2. REKA SAVA – SEDIMENTI



Izotopska analiza sevalcev gama

Vzrč. mesto	Krško pod mostom				
Datum vzor.	5. 3. 2021	24. 6. 2021	6. 9. 2021	5. 11. 2021	Četrletno povprečje (za celo leto) (*)
Kol. vzor. (g)	132,6	127,7	159,0	163,1	
Oznaka vzorca	SIZ03-21	SIZ06-21	SIZ09-21	SIZ11-21	
IZOTOP	SPECIFIČNA AKTIVNOST (Bq/kg)				
U-238	4,3E+01 ± 1E+01	4,6E+01 ± 1E+01	4,1E+01 ± 1E+01	4,0E+01 ± 1E+01	4,3E+01 ± 6E+00
Ra-226	5,5E+01 ± 6E+00	5,0E+01 ± 6E+00	4,1E+01 ± 5E+00	4,4E+01 ± 5E+00	4,7E+01 ± 3E+00
Pb-210					
Ra-228	5,0E+01 ± 8E+00	5,1E+01 ± 8E+00	4,9E+01 ± 7E+00	4,5E+01 ± 7E+00	4,9E+01 ± 4E+00
Th-228					
Th-230					
K-40	5,5E+02 ± 6E+01	5,3E+02 ± 6E+01	4,9E+02 ± 6E+01	4,6E+02 ± 5E+01	5,1E+02 ± 3E+01
Be-7	2,5E+01 ± 1E+01	9,8E+01 ± 2E+01	3,8E+01 ± 1E+01	5,6E+01 ± 1E+01	5,4E+01 ± 6E+00
I-131					
Cs-134					
Cs-137	7,4E+00 ± 1E+00	8,9E+00 ± 2E+00	7,0E+00 ± 1E+00	5,1E+00 ± 1E+00	7,1E+00 ± 6E-01
Co-58					
Co-60					
Cr-51					
Mn-54					
Zn-65					
Nb-95					
Ru-106					
Sb-125					

(*) Število, ki sledi znaku ±, je negotovost povprečja (apriorna negotovost).

LETO 2021 T - 16/p1
2. REKA SAVA – SEDIMENTI



Izotopska analiza sevalcev gama

Vzrč. mesto	Krško pod jezom NEK				
Datum vzor.	5. 3. 2021	24. 6. 2021	6. 9. 2021	5. 11. 2021	Četrletno povprečje (za celo leto) (*)
Kol. vzor. (g)	129,4	117,0	142,7	118,9	
Oznaka vzorca	SIS03-21	SIS06-21	SIS09-21	SIS11-21	
IZOTOP	SPECIFIČNA AKTIVNOST (Bq/kg)				
U-238	5,2E+01 ± 2E+01	4,6E+01 ± 1E+01	4,4E+01 ± 1E+01	3,8E+01 ± 1E+01	4,5E+01 ± 7E+00
Ra-226	5,7E+01 ± 7E+00	6,5E+01 ± 8E+00	4,5E+01 ± 5E+00	4,5E+01 ± 6E+00	5,3E+01 ± 3E+00
Pb-210					
Ra-228	5,0E+01 ± 8E+00	4,6E+01 ± 7E+00	4,7E+01 ± 7E+00	5,4E+01 ± 8E+00	4,9E+01 ± 4E+00
Th-228					
Th-230					
K-40	5,8E+02 ± 7E+01	5,9E+02 ± 7E+01	5,3E+02 ± 6E+01	5,6E+02 ± 6E+01	5,6E+02 ± 3E+01
Be-7	4,1E+01 ± 1E+01	1,2E+02 ± 2E+01	2,7E+01 ± 1E+01	4,4E+01 ± 1E+01	5,7E+01 ± 7E+00
I-131					
Cs-134					
Cs-137	9,2E+00 ± 1E+00	1,0E+01 ± 2E+00	8,1E+00 ± 1E+00	1,2E+01 ± 2E+00	9,8E+00 ± 7E-01
Co-58					
Co-60					
Cr-51					
Mn-54					
Zn-65					
Nb-95					
Ru-106					
Sb-125					

(*) Število, ki sledi znaku ±, je negotovost povprečja (apriorna negotovost).

LETO 2021 T - 16/p2
2. REKA SAVA – SEDIMENTI



Izotopska analiza sevalcev gama

Vzorč. mesto	Pesje				
Datum vzor.	5. 3. 2021	24. 6. 2021	6. 9. 2021	5. 11. 2021	Četrletno povprečje (za celo leto) (*)
Kol. vzor. (g)	118,2	106,6	127,7	102,6	
Oznaka vzorca	SPE03-21	SPE06-21	SPE09-21	SPE11-21	
IZOTOP	SPECIFIČNA AKTIVNOST (Bq/kg)				
U-238	4,3E+01 ± 2E+01	4,3E+01 ± 1E+01	4,3E+01 ± 1E+01	3,9E+01 ± 1E+01	4,2E+01 ± 7E+00
Ra-226	7,0E+01 ± 8E+00	6,8E+01 ± 8E+00	4,4E+01 ± 5E+00	4,0E+01 ± 5E+00	5,5E+01 ± 3E+00
Pb-210					
Ra-228	4,9E+01 ± 8E+00	4,6E+01 ± 8E+00	4,3E+01 ± 7E+00	4,2E+01 ± 7E+00	4,5E+01 ± 4E+00
Th-228					
Th-230					
K-40	5,7E+02 ± 7E+01	5,3E+02 ± 6E+01	5,4E+02 ± 6E+01	5,0E+02 ± 6E+01	5,3E+02 ± 3E+01
Be-7	5,7E+01 ± 1E+01	2,2E+02 ± 3E+01	5,9E+01 ± 2E+01	1,2E+02 ± 2E+01	1,1E+02 ± 1E+01
I-131					
Cs-134					
Cs-137	1,1E+01 ± 2E+00	1,0E+01 ± 2E+00	1,1E+01 ± 2E+00	1,1E+01 ± 2E+00	1,1E+01 ± 8E-01
Co-58					
Co-60					
Cr-51					
Mn-54					
Zn-65					
Nb-95					
Ru-106					
Sb-125					

(*) Število, ki sledi znaku ±, je negotovost povprečja (apriorna negotovost).

LETO 2021 T - 16/p3
2. REKA SAVA – SEDIMENTI



Izotopska analiza sevalcev gama

Vzorč. mesto	Brežice				
Datum vzor.	5. 3. 2021	24. 6. 2021	6. 9. 2021	5. 11. 2021	Četrletno povprečje (za celo leto) (*)
Kol. vzor. (g)	163,4	169,9	198,6	165,5	
Oznaka vzorca	SBR03-21	SBR06-21	SBR09-21	SBR11-21	
IZOTOP	SPECIFIČNA AKTIVNOST (Bq/kg)				
U-238	3,1E+01 ± 1E+01	3,6E+01 ± 1E+01	3,2E+01 ± 1E+01	4,2E+01 ± 1E+01	3,5E+01 ± 5E+00
Ra-226	4,6E+01 ± 5E+00	3,9E+01 ± 5E+00	3,0E+01 ± 4E+00	4,1E+01 ± 5E+00	3,9E+01 ± 2E+00
Pb-210					
Ra-228	2,9E+01 ± 5E+00	2,8E+01 ± 5E+00	2,2E+01 ± 4E+00	3,1E+01 ± 5E+00	2,8E+01 ± 2E+00
Th-228					
Th-230					
K-40	3,1E+02 ± 4E+01	2,8E+02 ± 3E+01	2,6E+02 ± 3E+01	3,3E+02 ± 4E+01	3,0E+02 ± 2E+01
Be-7	8,3E+00 ± 5E+00	1,2E+01 ± 6E+00	1,3E+01 ± 6E+00	3,2E+01 ± 6E+00	1,6E+01 ± 3E+00
I-131					
Cs-134					
Cs-137	3,4E+00 ± 8E-01	2,5E+00 ± 7E-01	2,3E+00 ± 7E-01	3,7E+00 ± 7E-01	2,9E+00 ± 4E-01
Co-58					
Co-60					
Cr-51					
Mn-54					
Zn-65					
Nb-95					
Ru-106					
Sb-125					

(*) Število, ki sledi znaku ±, je negotovost povprečja (apriorna negotovost).

LETO 2021 T - 17/p
2. REKA SAVA – SEDIMENTI

Izotopska analiza sevalcev gama

Vzorč. mesto	Jesenice na Dolenjskem				
Datum vzor.	5. 3. 2021	24. 6. 2021	6. 9. 2021	5. 11. 2021	Četrletno povprečje (za celo leto) (*)
Kol. vzor. (g)	174,8	191,6	198,7	184,6	
Oznaka vzorca	SJE03-21	SJE06-21	SJE09-21	SJE11-21	
IZOTOP	SPECIFIČNA AKTIVNOST (Bq/kg)				
U-238	3,4E+01 ± 1E+01	2,7E+01 ± 9E+00	3,2E+01 ± 1E+01	3,0E+01 ± 8E+00	3,1E+01 ± 5E+00
Ra-226	3,6E+01 ± 4E+00	3,6E+01 ± 4E+00	3,1E+01 ± 4E+00	2,5E+01 ± 3E+00	3,2E+01 ± 2E+00
Pb-210					
Ra-228	2,1E+01 ± 4E+00	1,8E+01 ± 3E+00	2,1E+01 ± 4E+00	1,9E+01 ± 4E+00	2,0E+01 ± 2E+00
Th-228					
Th-230					
K-40	2,7E+02 ± 3E+01	1,9E+02 ± 2E+01	2,2E+02 ± 3E+01	2,1E+02 ± 3E+01	2,2E+02 ± 1E+01
Be-7	1,2E+01 ± 6E+00	8,0E+00 ± 5E+00	2,9E+01 ± 8E+00	1,0E+01 ± 4E+00	1,5E+01 ± 3E+00
I-131					
Cs-134					
Cs-137	3,4E+00 ± 7E-01	1,2E+00 ± 5E-01	1,3E+00 ± 5E-01	1,9E+00 ± 6E-01	2,0E+00 ± 3E-01
Co-58					
Co-60					
Cr-51					
Mn-54					
Zn-65					
Nb-95					
Ru-106					
Sb-125					

(*) Število, ki sledi znaku ±, je negotovost povprečja (apriorna negotovost).

LETO 2021 T - 18
2. REKA SAVA – SEDIMENTI

Izotopska analiza sevalcev gama in specifična analiza Sr-90

Vzorč. mesto	Podsused (R Hrvaška)				
Datum vzor.	5. 3. 2021	24. 6. 2021	6. 9. 2021	5. 11. 2021	Četrletno povprečje (za celo leto) (*)
Kol. vzor. (g)	202,7	209,4	207,4	183,4	
Oznaka vzorca	SPO03-21	SPO06-21	SPO09-21	SPO11-21	
IZOTOP	SPECIFIČNA AKTIVNOST (Bq/kg)				
U-238	2,2E+01 ± 7E+00	2,6E+01 ± 8E+00	2,3E+01 ± 6E+00	3,5E+01 ± 1E+01	2,7E+01 ± 4E+00
Ra-226	2,6E+01 ± 3E+00	2,4E+01 ± 3E+00	2,5E+01 ± 3E+00	3,6E+01 ± 4E+00	2,8E+01 ± 2E+00
Pb-210					
Ra-228	1,2E+01 ± 3E+00	1,4E+01 ± 3E+00	2,0E+01 ± 4E+00	2,3E+01 ± 4E+00	1,7E+01 ± 2E+00
Th-228					
Th-230					
K-40	1,9E+02 ± 2E+01	1,8E+02 ± 2E+01	2,1E+02 ± 3E+01	2,6E+02 ± 3E+01	2,1E+02 ± 1E+01
Be-7				9,6E+00 ± 4E+00	2,4E+00 ± 1E+00
I-131					
Cs-134					
Cs-137		4,3E-01 ± 3E-01	2,6E+00 ± 6E-01	1,8E+00 ± 6E-01	1,2E+00 ± 2E-01
Co-58					
Co-60					
Cr-51					
Mn-54					
Zn-65					
Nb-95					
Ru-106					
Sb-125					
Sr-90	1,4E-01 †	1,8E-01 †	2,0E-01 ± 9E-02	2,4E-01 †	1,9E-01 ± 2E-02 x

(*) Število, ki sledi znaku ±, je negotovost povprečja (apriorna negotovost).

(†) Rezultat meritve je pod mejo detekcije.

(x) Pri meji detekcije se kot predpostavljena vrednost upošteva 1/4 meje detekcije, zato se negotovosti aritmetičnega povprečja za izbrano leto ne podajajo z apriorno negotovostjo, temveč z aposteriorno negotovostjo.

LETO 2021 T - 19
2. REKA SAVA – VODNA BIOTA - RIBE



Izotopska analiza sevalcev gama (**) in specifična analiza Sr-90

Vzorč. mesto	Krško				
Vrsta vzorca	krap	klen	mrena	som	Povprečje za vzorčevalno mesto (*)
Datum vzor.	11. 3. 2021	4. 6. 2021	10. 9. 2021	29. 10. 2021	
Masa vzorca (g)	650,0	410,0	880,0	388,0	
Oznaka vzorca	RIKKK121	RIKKK221	RIKKK321	RIKKK421	
IZOTOP	SPECIFIČNA AKTIVNOST (Bq/kg)				
U-238		4,3E-01 ± 2E-01		6,1E-01 ± 5E-01	2,6E-01 ± 1E-01
Ra-226	5,0E-02 ± 3E-02	1,7E-01 ± 3E-02	5,5E-02 ± 2E-02		6,8E-02 ± 1E-02
Pb-210	4,6E-01 ± 2E-01	4,5E-01 ± 1E-01	4,3E-01 ± 2E-01	4,9E-01 ± 4E-01 ‡	4,6E-01 ± 1E-01
Ra-228		2,2E-01 ± 6E-02			5,6E-02 ± 1E-02
Th-228					
Th-230					
K-40	8,8E+01 ± 6E+00	1,2E+02 ± 9E+00	7,1E+01 ± 4E+00	1,5E+02 ± 1E+01	1,1E+02 ± 4E+00
Be-7					
I-131					
Cs-134					
Cs-137	3,7E-02 ± 1E-02	3,4E-02 ± 1E-02	3,4E-02 ± 1E-02	1,5E-01 ± 6E-02	6,4E-02 ± 2E-02
Co-58					
Co-60					
Cr-51					
Mn-54					
Zn-65					
Nb-95					
Ru-106					
Sb-125					
Sr-90	2,1E-02 ± 8E-03	7,6E-01 ± 2E-01	1,7E-02 ± 7E-03	2,8E-02 ± 1E-02	2,1E-01 ± 4E-02

(*) Število, ki sledi znaku ±, je negotovost povprečja (apriorna negotovost).

(**) Izhajanje radona iz posodice pri izračunu aktivnosti ni upoštevano.

(‡) Rezultat meritve je pod mejo kvantifikacije.

LETO 2021 T - 21
2. REKA SAVA – VODNA BIOTA - RIBE



Izotopska analiza sevalcev gama (**) in specifična analiza Sr-90

Vzorč. mesto	Brežice				
Vrsta vzorca	krap	krap	mrena	mrena	Povprečje za vzorčevalno mesto (*)
Datum vzor.	11. 3. 2021	4. 6. 2021	10. 9. 2021	29. 10. 2021	
Masa vzorca (g)	616,0	572,0	540,0	510,0	
Oznaka vzorca	RIBRK121	RIBRK221	RIBRK321	RIBRK421	
IZOTOP	SPECIFIČNA AKTIVNOST (Bq/kg)				
U-238		1,0E-01 ± 9E-02 ‡			2,6E-02 ± 2E-02
Ra-226	1,8E-01 ± 3E-02	3,3E-01 ± 2E-02			1,3E-01 ± 9E-03
Pb-210					
Ra-228	2,0E-01 ± 9E-02	2,2E-01 ± 4E-02	2,1E-01 ± 9E-02		1,6E-01 ± 3E-02
Th-228	8,9E-02 ± 6E-02	6,7E-02 ± 3E-02	2,2E-01 ± 9E-02		9,4E-02 ± 3E-02
Th-230					
K-40	1,1E+02 ± 6E+00	6,8E+01 ± 4E+00	7,6E+01 ± 5E+00	7,9E+01 ± 5E+00	8,3E+01 ± 3E+00
Be-7					
I-131					
Cs-134					
Cs-137	6,3E-02 ± 3E-02	3,3E-02 ± 7E-03	1,0E-01 ± 4E-02	4,4E-02 ± 1E-02	6,0E-02 ± 1E-02
Co-58					
Co-60					
Cr-51					
Mn-54					
Zn-65					
Nb-95					
Ru-106					
Sb-125					
Sr-90	2,5E-02 ± 1E-02	1,1E-01 ± 5E-02	2,2E-02 ± 9E-03	2,5E-02 ± 1E-02	4,5E-02 ± 1E-02

(*) Število, ki sledi znaku ±, je negotovost povprečja (apriorna negotovost).

(**) Izhajanje radona iz posodice pri izračunu aktivnosti ni upoštevano.

(‡) Rezultat meritve je pod mejo kvantifikacije.

Izotopska analiza sevalcev gama (**) in specifična analiza Sr-90

Vzorč. mesto	Jesenice na Dolenjskem				
Vrsta vzorca	Iden	Iden	mrena	mom	Povprečje za vzorčevalno mesto (*)
Datum vzor.	11. 3. 2021	4. 6. 2021	10. 9. 2021	29. 10. 2021	
Masa vzorca (g)	586,0	600,0	534,0	428,0	
Oznaka vzorca	RIJEK121	RIJEK221	RIJEK321	RIJEK421	
IZOTOP	SPECIFIČNA AKTIVNOST (Bq/kg)				
U-238				5,8E-01 ± 4E-01	1,5E-01 ± 1E-01
Ra-226	1,1E-01 ± 2E-02	1,1E-01 ± 5E-02			5,7E-02 ± 1E-02
Pb-210	3,1E-01 ± 1E-01	8,4E-01 ± 3E-01	5,4E-01 ± 2E-01	4,2E-01 ± 4E-01 ‡	5,3E-01 ± 1E-01
Ra-228				2,7E-01 ± 2E-01	6,7E-02 ± 5E-02
Th-228	1,2E-01 ± 4E-02	1,4E-01 ± 7E-02	9,1E-02 ± 7E-02 ‡	1,7E-01 ± 1E-01	1,3E-01 ± 4E-02
Th-230					
K-40	1,1E+02 ± 7E+00	8,7E+01 ± 6E+00	8,7E+01 ± 6E+00	1,4E+02 ± 1E+01	1,1E+02 ± 4E+00
Be-7					
I-131					
Cs-134					
Cs-137	2,2E-02 ± 1E-03	1,1E-01 ± 4E-02	9,7E-02 ± 4E-02	1,4E-01 ± 6E-02	9,2E-02 ± 2E-02
Co-58					
Co-60					
Cr-51					
Mn-54					
Zn-65					
Nb-95					
Ru-106					
Sb-125					
Sr-90	4,0E-02 ± 2E-02	1,6E-01 ± 5E-02	1,9E-02 ± 8E-03	2,0E-02 ± 8E-03	6,0E-02 ± 1E-02

(*) Število, ki sledi znaku ±, je negotovost povprečja (apriorna negotovost).

(**) Izhajanje radona iz posodice pri izračunu aktivnosti ni upoštevano.

(‡) Rezultat meritve je pod mejo kvantifikacije.

Izotopska analiza sevalcev gama

Vzorč. mesto	Jesenice na Dolenjskem				
Vrsta vzorca	šupser	babuška	šupser	deverika	Povprečje za vzorčevalno mesto (*)
Datum vzor.	<i>Chondrostoma nasus</i> 24. 6. 2021	<i>Carassius gibelio</i> 24. 6. 2021	<i>Chondrostoma nasus</i> 2. 11. 2021	<i>Abramis brama</i> 2. 11. 2021	
Kol. vzor. (kg)	0,321	0,223	0,305	0,321	
Odstotek suhe snovi	29,37	32,71	25,50	29,90	
Oznaka vzorca	JE0621R1	JE0621R2	JE1121R1	JE1121R2	
IZOTOP	SPECIFIČNA AKTIVNOST (Bq/kg)				
U-238					
Ra-226	7,2E+00 ± 1E+00	1,9E+01 ± 2E+00	7,4E-01 ± 5E-01	1,3E+00 ± 5E-01	7,1E+00 ± 7E-01
Pb-210					
Ra-228					
Th-228					
Th-230					
K-40	1,1E+02 ± 1E+01	9,1E+01 ± 1E+01	1,1E+02 ± 1E+01	1E+02 ± 1E+01	1,0E+02 ± 7E+00
Be-7					
I-131					
Cs-134					
Cs-137					
Co-58					
Co-60					
Cr-51					
Mn-54					
Zn-65					
Nb-95					
Ru-106					
Sb-125					

(*) Število, ki sledi znaku ±, je negotovost povprečja (apriorna negotovost).

Izotopska analiza sevalcev gama

Vzorč. mesto	Otok (R Hrvatska)				
Vrsta vzorca	klen <i>Leuciscus cephalus</i>	plotica <i>Rutilus pigus virgo</i>	klen <i>Leuciscus cephalus</i>	babuška <i>Carassius gibelio</i>	Povprečje za vzorčevalno mesto (*)
Datum vzor.	24. 6. 2021	24. 6. 2021	2. 11. 2021	2. 11. 2021	
Kol. vzor. (kg)	0,296	0,277	0,295	0,248	
Odstoteksuhne snovi	26,46	29,70	25,96	26,82	
Oznaka vzorca	OT0621R1	OT0621R2	OT1121R1	OT1121R2	
IZOTOP	SPECIFIČNA AKTIVNOST (Bq/kg)				
U-238	3,7E+00 ± 8E-01	9,2E+00 ± 1E+00	9,1E-01 ± 5E-01	1,8E+00 ± 7E-01	3,9E+00 ± 5E-01
Ra-226					
Pb-210					
Ra-228	8,6E-01 ± 7E-01		1,3E+00 ± 8E-01		5,4E-01 ± 3E-01
Th-228					
Th-230					
K-40	1,2E+02 ± 1E+01	1,1E+02 ± 1E+01	1,2E+02 ± 2E+01	9E+01 ± 1E+01	1,1E+02 ± 7E+00
Be-7					
I-131					
Cs-134					
Cs-137					
Co-58					
Co-60					
Cr-51					
Mn-54					
Zn-65					
Nb-95					
Ru-106					
Sb-125					

(*) Število, ki sledi znaku ±, je negotovost povprečja (apriorna negotovost).

Izotopska analiza sevalcev gama

Vzorč. mesto	Podsused (R Hrvatska)				
Vrsta vzorca	mrena <i>Barbus barbus</i>	deverika <i>Abramis brama</i>	mrena <i>Barbus barbus</i>	šaran <i>Cyprinus carpio</i>	Povprečje za vzorčevalno mesto (*)
Datum vzor.	24. 6. 2021	24. 6. 2021	2. 11. 2021	2. 11. 2021	
Kol. vzor. (kg)	0,309	0,298	0,320	0,352	
Odstoteksuhne snovi	24,60	26,49	29,44	30,39	
Oznaka vzorca	PO0621R1	PO0621R2	PO1121R1	PO1121R2	
IZOTOP	SPECIFIČNA AKTIVNOST (Bq/kg)				
U-238	1,7E+00 ± 6E-01	3,6E+00 ± 8E-01	6,8E-01 ± 5E-01	1,3E+00 ± 5E-01	1,8E+00 ± 3E-01
Ra-226					
Pb-210					
Ra-228			1,1E+00 ± 7E-01		2,8E-01 ± 2E-01
Th-228					
Th-230					
K-40	1,4E+02 ± 2E+01	1,1E+02 ± 1E+01	1,2E+02 ± 1E+01	9,7E+01 ± 1E+01	1,2E+02 ± 7E+00
Be-7					
I-131					
Cs-134					
Cs-137					
Co-58					
Co-60					
Cr-51					
Mn-54					
Zn-65					
Nb-95					
Ru-106					
Sb-125					

(*) Število, ki sledi znaku ±, je negotovost povprečja (apriorna negotovost).

(‡) Rezultat meritve je pod mejo kvantifikacije.

VODOVODI, ČRPALIŠČA in ZAJETJA

- 3. POSAMIČNI VZORCI PITNE VODE
PODTALNICE**
- 4. ČRPALIŠČA VODOVODA KRŠKO IN BREŽICE**

LETO 2021 T - 28
3. VODOVOD KRŠKO – posamični vzorci

Izotopska analiza sevalcev gama in specifični analizi Sr-90/Sr-89 in H-3 (**)

Vzrč. mesto	vodovod Krško (Petrol)				
	Datum vzor.	26. 2. 2021	13. 5. 2021	5. 7. 2021	26. 10. 2021
Kol. vzorca (L)	51,13	50,40	52,99	52,51	
Oznaka vzorca	K21VD121	K21VD151	K21VD171	K21VD1A1	
IZOTOP	KONCENTRACIJA AKTIVNOSTI (Bq/m ³)				
U-238		5,2E+00 ± 2E+00	4,3E+00 ± 2E+00	1,9E+00 ± 1E+00	2,9E+00 ± 8E-01
Ra-226	5,5E+00 ± 9E-01	2,2E+00 ± 8E-01	1,4E+00 ± 6E-01	1,3E+00 ± 3E-01	2,6E+00 ± 4E-01
Pb-210	5,1E-01 †	1,4E+00 ± 2E+00 ‡	1,8E-01 ± 1E+00 ‡	5,1E-01 †	6,6E-01 ± 3E-01 x
Ra-228	3,9E-01 ± 5E-01 ‡	1,0E+00 ± 3E-01	7,1E-01 ± 5E-01	4,6E-01 ± 4E-01 ‡	6,4E-01 ± 2E-01
Th-228	3,7E-02 ± 3E-01 ‡	2,9E-01 ± 3E-01 ‡	2,1E-01 ± 3E-01 ‡	6,8E-01 ± 2E-01	3,0E-01 ± 1E-01
Th-230					
K-40	2,4E+01 ± 2E+00	2,9E+01 ± 2E+00	2,9E+01 ± 6E+00	3,0E+01 ± 2E+00	2,8E+01 ± 2E+00
Be-7	2,0E+00 ± 8E-01	2,5E+00 ± 8E-01	7,9E+00 ± 2E+00	4,6E+00 ± 2E+00	4,2E+00 ± 7E-01
I-131					
Cs-134					
Cs-137					
Co-58					
Co-60					
Cr-51					
Mn-54					
Zn-65					
Nb-95					
Ru-106					
Sb-125					
Sr-89/Sr-90	5,5E-01 ± 7E-02	6,0E-01 ± 7E-02	8,3E-01 ± 9E-02	7,1E-01 ± 8E-02	6,7E-01 ± 4E-02
H-3	5,6E+02 ± 8E+01	4,6E+02 ± 8E+01	4,7E+02 ± 7E+01	5,4E+02 ± 8E+01	5,1E+02 ± 4E+01

(*) Število, ki sledi znaku ±, je negotovost povprečja (apriorna negotovost).

(**) Visokoločljivostna spektrometrija gama je bila opravljena na Odseku F-2, radiokemijske analize Sr-89/Sr-90 in H-3 pa na Odseku O-2.

(‡) Rezultat meritve je pod mejo kvantifikacije.

(†) Rezultat meritve je pod mejo detekcije.

(x) Pri meji detekcije se kot predpostavljena vrednost upošteva 1/4 meje detekcije, zato se negotovosti aritmetičnega povprečja za izbrano leto ne podajajo z apriorno negotovostjo, temveč z aposteriorno negotovostjo.

LETO 2021 T - 29
3. VODOVOD BREŽICE – posamični vzorci

Izotopska analiza sevalcev gama in specifični analizi Sr-90/Sr-89 in H-3 (**)

Vzrč. mesto	vodovod Brežice (Petrol)				
	Datum vzor.	26. 2. 2021	13. 5. 2021	5. 7. 2021	26. 10. 2021
Kol. vzorca (L)	51,02	52,27	53,06	52,27	
Oznaka vzorca	K21VD321	K21VD351	K21VD371	K21VD3A1	
IZOTOP	KONCENTRACIJA AKTIVNOSTI (Bq/m ³)				
U-238	1,2E+00 ± 5E-01	5,0E+00 ± 2E+00	3,1E+00 ± 1E+00	3,6E+00 ± 1E+00	3,2E+00 ± 6E-01
Ra-226	7,1E-01 ± 3E-01	8,7E-01 ± 1E+00 ‡	5,8E-01 ± 7E-01 ‡	3,7E+00 ± 3E+00	1,5E+00 ± 7E-01
Pb-210	2,2E+00 ± 4E-01	1,8E+00 ± 1E+00	1,5E+01 ± 2E+00	4,4E+00 ± 3E+00	5,9E+00 ± 9E-01
Ra-228	2,4E-01 ± 3E-01 ‡	3,2E-01 ± 5E-01 ‡	6,2E-01 ± 3E-01		3,0E-01 ± 2E-01
Th-228	3,5E-01 ± 6E-02		2,3E-01 ± 2E-01 ‡	8,4E-01 ± 5E-01	3,6E-01 ± 1E-01
Th-230					
K-40	2,4E+01 ± 2E+00	7,3E+00 ± 3E+00	2,3E+01 ± 2E+00	2,4E+01 ± 2E+00	2,0E+01 ± 1E+00
Be-7	1,1E+00 ± 4E-01	2,5E+00 ± 1E+00	2,4E+01 ± 2E+00	4,8E+00 ± 9E-01	8,0E+00 ± 6E-01
I-131					
Cs-134					
Cs-137	2,6E-03 ± 3E-02 ‡				6,5E-04 ± 7E-03
Co-58					
Co-60					
Cr-51					
Mn-54					
Zn-65					
Nb-95					
Ru-106					
Sb-125					
Sr-89/Sr-90	4,1E-02 †	2,9E-01 ± 6E-02	4,2E-01 ± 6E-02	2,4E-01 ± 6E-02	2,5E-01 ± 8E-02 x
H-3	4,5E+01 †	4,6E+01 †	4,5E+01 †	5,0E+01 †	4,6E+01 ± 1E+00 x

(*) Število, ki sledi znaku ±, je negotovost povprečja (apriorna negotovost).

(**) Visokoločljivostna spektrometrija gama je bila opravljena na Odseku F-2, radiokemijske analize Sr-89/Sr-90 in H-3 pa na Odseku O-2.

(‡) Rezultat meritve je pod mejo kvantifikacije.

(†) Rezultat meritve je pod mejo detekcije.

(x) Pri meji detekcije se kot predpostavljena vrednost upošteva 1/4 meje detekcije, zato se negotovosti aritmetičnega povprečja za izbrano leto ne podajajo z apriorno negotovostjo, temveč z aposteriorno negotovostjo.

LETO 2021 T - V1
3. VRTINA E1 V NEK – posamični vzorci

Izotopska analiza sevalcev gama in specifični analizi Sr-90/Sr-89 in H-3 (**)

Vzorč. mesto	NEK - vrtina E1				
Datum vzor.	26. 2. 2021	13. 5. 2021	5. 7. 2021	26. 10. 2021	Četrletno povprečje (za celo leto) (*)
Kol. vzorca (L)	50,94	50,50	47,05	48,03	
Oznaka vzorca	K21VRE121	K21VRE151	K21VRE171	K21VRE1A1	
IZOTOP	KONCENTRACIJA AKTIVNOSTI (Bq/m ³)				
U-238	5,5E+00 ± 1E+00	3,2E+00 ± 1E+00	5,3E+00 ± 2E+00	3,4E+00 ± 2E+00	4,3E+00 ± 9E-01
Ra-226	2,8E+00 ± 7E-01	2,3E+00 ± 5E-01	1,1E+00 ± 7E-01	2,1E+00 ± 5E-01	2,1E+00 ± 3E-01
Pb-210	4,7E+00 ± 4E+00	5,4E-02 ± 4E+00 ‡	1,2E+00 ± 1E+00 ‡	4,9E-01 ± 4E+00 ‡	1,6E+00 ± 2E+00
Ra-228	8,8E-01 ± 4E-01	1,1E+00 ± 4E-01	5,3E-01 ± 4E-01	1,8E+00 ± 5E-01	1,1E+00 ± 2E-01
Th-228	1,1E+00 ± 2E-01	5,4E-01 ± 2E-01	4,3E-01 ± 2E-01	6,0E-01 ± 2E-01	6,7E-01 ± 1E-01
Th-230					
K-40	1,0E+02 ± 4E+00	7,9E+01 ± 4E+00	1,0E+02 ± 8E+00	9,4E+01 ± 4E+00	9,4E+01 ± 3E+00
Be-7		2,4E+00 ± 6E-01		1,4E+00 ± 1E+00	9,3E-01 ± 3E-01
I-131					
Cs-134					
Cs-137					
Co-58					
Co-60					
Cr-51					
Mn-54					
Zn-65					
Nb-95					
Ru-106					
Sb-125					
Sr-89/Sr-90	3,7E+00 ± 2E-01	3,7E+00 ± 2E-01	3,6E+00 ± 2E-01	3,5E+00 ± 2E-01	3,6E+00 ± 1E-01
H-3	1,8E+03 ± 1E+02	1,7E+03 ± 1E+02	2,1E+03 ± 1E+02	1,2E+03 ± 1E+02	1,7E+03 ± 6E+01

(*) Število, ki sledi znaku ±, je negotovost povprečja (apriorna negotovost).

(**) Visokoločljivostna spektrometrija je bila opravljena na Odseku F-2, radiokemijske analize Sr-89/Sr-90 in H-3 pa na Odseku O-2.

(‡) Rezultat meritve je pod mejo kvantifikacije.

LETO 2021 T - V2
3. VRTINA VOP-4 V VRBINI – posamični vzorci

Specifična analiza H-3 (**)

Vzorč. mesto	Vrbina - vrtina VOP-4						
Datum vzor.	29. 12. 2020	1. 2. 2021	1. 3. 2021	1. 4. 2021	3. 5. 2021	1. 6. 2021	Mesečno povprečje (za 1. polletje) (*)
Kol. vzorca (L)	1,00	1,00	1,00	1,00	1,00	1,00	
Oznaka vzorca	K21VRP411	K21VRP421	K21VRP431	K21VRP441	K21VRP451	K21VRP461	
IZOTOP	KONCENTRACIJA AKTIVNOSTI (Bq/m ³)						
H-3	1,1E+03 ± 1E+02	8,6E+03 ± 5E+02	9,0E+03 ± 5E+02	1,0E+04 ± 6E+02	7,9E+03 ± 4E+02	1,9E+03 ± 1E+02	6,5E+03 ± 2E+02

Vzorč. mesto	Vrbina - vrtina VOP-4						
Datum vzor.	1. 7. 2021	2. 8. 2021	1. 9. 2021	4. 10. 2021	2. 11. 2021	1. 12. 2021	Mesečno povprečje (za celo leto) (*)
Kol. vzorca (L)	1,00	1,00	1,00	1,00	1,00	1,00	
Oznaka vzorca	K21VRP471	K21VRP481	K21VRP491	K21VRP4A1	K21VRP4B1	K21VRP4C1	
IZOTOP	KONCENTRACIJA AKTIVNOSTI (Bq/m ³)						
H-3	8,8E+02 ± 9E+01	1,1E+03 ± 1E+02	9,9E+02 ± 1E+02	1,1E+03 ± 1E+02	2,2E+03 ± 2E+02	1,4E+03 ± 1E+02	3,9E+03 ± 8E+01

(*) Število, ki sledi znaku ±, je negotovost povprečja (apriorna negotovost).

(**) Radiokemijske analize H-3 so bile opravljene na IJS na Odseku F-2.

LETO 2021 T - 30a
4. VODOVOD BREŽICE – mesečni sestavljeni vzorci



Izotopska analiza sevalcev gama in specifični analizi Sr-90/Sr-89 in H-3 (**)

Vzorč. mesto	vodovod Brežice (M. Volčanšek)						
Datum vzor.	16. 12. 2020 - 18. 1. 2021	18. 1. 2021 - 16. 2. 2021	16. 2. 2021 - 16. 3. 2021	16. 3. 2021 - 19. 4. 2021	19. 4. 2021 - 17. 5. 2021	17. 5. 2021 - 16. 6. 2021	Mesečno povprečje (za 1. polletje) (*)
Kol. vzorca (L)	47,11	50,05	44,19	47,33	42,56	44,85	
Oznaka vzorca	K21VC3111	K21VC3121	K21VC3131	K21VC3141	K21VC3151	K21VC3161	
IZOTOP	KONCENTRACIJA AKTIVNOSTI (Bq/m ³)						
U-238	1,2E+00 ± 2E+00 ‡	5,4E+00 ± 2E+00	7,1E+00 ± 2E+00	2,0E+00 ± 2E+00 ‡	2,1E+00 ± 3E+00 ‡		3,0E+00 ± 7E-01
Ra-226	1,7E+00 ± 8E-01	1,7E+00 ± 6E-01	2,2E+00 ± 1E+00	8,0E-01 ± 6E-01	1,3E+00 ± 1E+00		1,3E+00 ± 3E-01
Pb-210	8,7E+00 ± 3E+00	9,3E+00 ± 6E+00	1,3E+01 ± 4E+00	4,3E-01	4,3E-01 †	6,1E-01 †	5,4E+00 ± 2E+00 x
Ra-228	6,8E-01 ± 4E-01	2,6E-01 ± 4E-01 ‡	7,3E-02 ± 2E-01 ‡			4,2E-01 ± 4E-01 ‡	2,4E-01 ± 1E-01
Th-228	6,4E-01 ± 2E-01	2,4E-01 ± 2E-01	8,5E-01 ± 3E-01	6,8E-01 ± 2E-01	3,8E-01 ± 2E-01	5,1E-01 ± 5E-01 ‡	5,5E-01 ± 1E-01
Th-230							
K-40	2,5E+01 ± 2E+00	2,5E+01 ± 2E+00	2,4E+01 ± 3E+00	2,7E+01 ± 3E+00	3,1E+01 ± 3E+00	2,7E+01 ± 2E+00	2,6E+01 ± 1E+00
Be-7	4,9E+00 ± 2E+00	7,5E+00 ± 1E+00	2,0E-01 ± 1E+00 ‡		1,5E+00 ± 1E+00	7,6E+00 ± 1E+00	3,6E+00 ± 5E-01
I-131							
Cs-134							
Cs-137							
Co-58							
Co-60							
Cr-51							
Mn-54							
Zn-65							
Nb-95							
Ru-106							
Sb-125							
Sr-89/Sr-90	4,2E-02 †	4,5E-02 †	4,9E-02 †	4,7E-02 †	4,3E-02 †	4,5E-02 †	4,5E-02 ± 1E-03 x
H-3	1,4E+02 ± 2E+01	1,2E+02 ± 1E+01	1,1E+02 ± 1E+01	1,4E+02 ± 2E+01	2,4E+01 †	1,1E+02 ± 2E+01	1,1E+02 ± 2E+01 x

(*) Število, ki sledi znaku ±, je negotovost povprečja (apriorna negotovost).

(**) Visokoločljivostna spektrometrija gama in radiokemijske analize H-3 so bile opravljene na Odseku F-2, radiokemijske analize Sr-89/Sr-90 pa na Odseku O-2.

(‡) Rezultat meritve je pod mejo kvantifikacije.

(†) Rezultat meritve je pod mejo detekcije.

(x) Pri meji detekcije se kot predpostavljena vrednost upošteva 1/4 meje detekcije, zato se negotovosti aritmetičnega povprečja za izbrano leto ne podajajo z apriorno negotovostjo, temveč z aposteriorno negotovostjo.

LETO 2021 T - 30b
4. VODOVOD BREŽICE – mesečni sestavljeni vzorci



Izotopska analiza sevalcev gama in specifični analizi Sr-90/Sr-89 in H-3 (**)

Vzorč. mesto	vodovod Brežice (M. Volčanšek)						
Datum vzor.	16. 6. 2021 - 19. 7. 2021	19. 7. 2021 - 16. 8. 2021	16. 8. 2021 - 16. 9. 2021	16. 9. 2021 - 18. 10. 2021	18. 10. 2021 - 16. 11. 2021	16. 11. 2021 - 16. 12. 2021	Mesečno povprečje (za celo leto) (*)
Kol. vzorca (L)	49,18	48,57	43,76	40,67	43,39	46,74	
Oznaka vzorca	K21VC3171	K21VC3181	K21VC3191	K21VC31A1	K21VC31B1	K21VC31C1	
IZOTOP	KONCENTRACIJA AKTIVNOSTI (Bq/m ³)						
U-238	3,8E+00 ± 1E+00	6,2E+00 ± 2E+00	5,4E+00 ± 1E+00	3,7E+00 ± 3E+00	5,6E+00 ± 8E-01	1,0E+00 ± 2E+00 ‡	2,7E+00 ± 5E-01
Ra-226	7,4E-01 ± 4E-01		5,7E-02 ± 3E+00 ‡	4,5E-01 ± 3E-01	5,0E-01 †	1,6E+00 ± 1E+00	1,8E+00 ± 2E-01
Pb-210	4,2E+00 ± 2E+00	6,1E+00 ± 1E+00	5,7E-02 ± 3E+00 ‡	4,5E-01 †	5,0E-01 †	3,2E+00 ± 2E+00	3,9E+00 ± 1E+00 x
Ra-228	1,2E+00 ± 3E-01	1,2E-01 ± 3E-01 ‡	2,5E-01 ± 3E-01 ‡	1,1E+00 ± 4E-01	4,3E-01 ± 3E-01	1,2E-01 ± 4E-01 ‡	3,9E-01 ± 9E-02
Th-228	1,2E-01 ± 1E-01 ‡		4,5E-01 ± 2E-01	3,1E-01 ± 2E-01	3,8E-01 ± 3E-01 ‡	4,6E-01 ± 1E-01	4,2E-01 ± 7E-02
Th-230		2,8E+01 ± 2E+01 ‡					2,3E+00 ± 2E+00
K-40	2,1E+01 ± 2E+00	2,2E+01 ± 2E+00	2,7E+01 ± 2E+00	2,4E+01 ± 2E+00	2,5E+01 ± 2E+00	2,5E+01 ± 2E+00	2,5E+01 ± 7E-01
Be-7	2,8E+00 ± 1E+00	1,6E+01 ± 3E+00	2,3E+00 ± 2E+00 ‡	1,5E+01 ± 2E+00	1,9E+00 ± 9E-01		4,9E+00 ± 4E-01
I-131							
Cs-134							
Cs-137							
Co-58							
Co-60							
Cr-51							
Mn-54							
Zn-65							
Nb-95							
Ru-106							
Sb-125							
Sr-89/Sr-90	3,9E-02 †	4,0E-02 †	5,0E-02 †	5,2E-02 †	4,8E-02 †	4,1E-02 †	4,5E-02 ± 1E-03 x
H-3	8,2E+01 ± 1E+01	1,3E+02 ± 2E+01	9,5E+01 ± 1E+01	2,7E+02 ± 3E+01	2,8E+01 †	1,7E+02 ± 2E+01	1,2E+02 ± 2E+01 x

(*) Število, ki sledi znaku ±, je negotovost povprečja (apriorna negotovost).

(**) Visokoločljivostna spektrometrija gama in radiokemijske analize H-3 so bile opravljene na Odseku F-2, radiokemijske analize Sr-89/Sr-90 pa na Odseku O-2.

(‡) Rezultat meritve je pod mejo kvantifikacije.

(†) Rezultat meritve je pod mejo detekcije.

(x) Pri meji detekcije se kot predpostavljena vrednost upošteva 1/4 meje detekcije, zato se negotovosti aritmetičnega povprečja za izbrano leto ne podajajo z apriorno negotovostjo, temveč z aposteriorno negotovostjo.

LETO 2021 T - 31a
4. ČRPALIŠČE VODOVODA KRŠKO – mesečni sestavljeni vzorci



Izotopska analiza sevalcev gama in specifični analizi Sr-90/Sr-89 in H-3 (**)

Vzorč. mesto	črpalništvo Brege							
Datum vzor.	16. 12. 2020 - 18. 1. 2021	18. 1. 2021 - 16. 2. 2021	16. 2. 2021 - 16. 3. 2021	16. 3. 2021 - 19. 4. 2021	19. 4. 2021 - 17. 5. 2021	17. 5. 2021 - 16. 6. 2021		Mesečno povprečje (za 1. polletje) (*)
Kol. vzorca (L)	46,00	45,59	43,90	51,82	43,62	46,61		
Oznaka vzorca	K21VC1111	K21VC1121	K21VC1131	K21VC1141	K21VC1151	K21VC1161		
IZOTOP	KONCENTRACIJA AKTIVNOSTI (Bq/m ³)							
U-238	5,0E+00 ± 2E+00	6,2E-01 ± 2E+00 ‡	2,1E+00 ± 2E+00 ‡		1,5E+00 ± 2E+00 ‡	2,7E+00 ± 2E+00	2,0E+00 ± 7E-01	
Ra-226	7,8E-01 ± 1E+00 ‡	1,9E+01 ± 3E+00	2,0E+00 ± 8E-01	1,1E+00 ± 9E-01 ‡	1,4E+00 ± 4E-01	5,2E-01 ± 2E-01	4,2E+00 ± 6E-01	
Pb-210	1,7E+00 ± 4E+00 ‡	7,8E-01 †	5,7E-01 ± 2E+00 ‡	5,3E+00 ± 2E+00	5,6E-01 ± 2E+00 ‡	1,7E+00 ± 2E+00 ‡	1,8E+00 ± 7E-01 x	
Ra-228	1,3E+00 ± 5E-01	1,1E+00 ± 5E-01	7,4E-01 ± 6E-01	3,0E-01 ± 3E-01 ‡	1,3E+00 ± 4E-01	6,8E-01 ± 4E-01	9,0E-01 ± 2E-01	
Th-228	7,3E-01 ± 2E-01	7,4E-01 ± 2E-01	3,9E-01 ± 3E-01	4,0E-01 ± 1E-01		2,5E-01 ± 2E-01 ‡	4,2E-01 ± 8E-02	
Th-230					4,9E+00 ± 7E+00 ‡		8,1E-01 ± 1E+00	
K-40	4,9E+01 ± 3E+00	4,6E+01 ± 3E+00	6,0E+01 ± 3E+00	7,6E+01 ± 4E+00	3,4E+01 ± 3E+00	4,8E+00 ± 2E+00	4,5E+01 ± 1E+00	
Be-7	2,6E+00 ± 1E+00	5,6E-01 ± 1E+00 ‡	2,2E+00 ± 1E+00		2,8E+00 ± 9E-01		1,4E+00 ± 4E-01	
I-131								
Cs-134								
Cs-137								
Co-58								
Co-60								
Cr-51								
Mn-54								
Zn-65								
Nb-95								
Ru-106								
Sb-125								
Sr-89/Sr-90	4,5E-01 ± 8E-02	3,7E-01 ± 9E-02	5,9E-01 ± 8E-02	7,0E-01 ± 9E-02	5,9E-01 ± 8E-02	1,8E-01 †	4,8E-01 ± 3E-02 x	
H-3	1,1E+03 ± 1E+02	1,3E+03 ± 1E+02	1,4E+03 ± 1E+02	1,4E+03 ± 1E+02	1,6E+03 ± 1E+02	1,5E+03 ± 2E+02	1,4E+03 ± 5E+01	

(*) Število, ki sledi znaku ±, je negotovost povprečja (apriorna negotovost).

(**) Visokoločljivostna spektrometrija gama in radiokemijske analize H-3 so bile opravljene na Odseku F-2, radiokemijske analize Sr-89/Sr-90 pa na Odseku O-2.

(‡) Rezultat meritve je pod mejo kvantifikacije.

(†) Rezultat meritve je pod mejo detekcije.

(x) Pri meji detekcije se kot predpostavljena vrednost upošteva 1/4 meje detekcije, zato se negotovosti aritmetičnega povprečja za izbrano leto ne podajajo z apriorno negotovostjo, temveč z aposteriorno negotovostjo.

LETO 2021 T - 31b
4. ČRPALIŠČE VODOVODA KRŠKO – mesečni sestavljeni vzorci



Izotopska analiza sevalcev gama in specifični analizi Sr-90/Sr-89 in H-3 (**)

Vzorč. mesto	črpalništvo Brege						
Datum vzor.	16. 6. 2021 - 19. 7. 2021	19. 7. 2021 - 16. 8. 2021	16. 8. 2021 - 16. 9. 2021	16. 9. 2021 - 18. 10. 2021	18. 10. 2021 - 16. 11. 2021	16. 11. 2021 - 16. 12. 2021	Mesečno povprečje (za celo leto) (**)
Kol. vzorca (L)	51,06	43,11	48,02	49,54	46,93	47,20	
Oznaka vzorca	K21VC1171	K21VC1181	K21VC1191	K21VC11A1	K21VC11B1	K21VC11C1	
IZOTOP	KONCENTRACIJA AKTIVNOSTI (Bq/m ³)						
U-238		4,8E+00 ± 2E+00	2,1E+00 ± 2E+00 ‡	3,1E+00 ± 2E+00	4,3E+00 ± 1E+00	5,3E+00 ± 2E+00	2,6E+00 ± 5E-01
Ra-226	1,1E+00 ± 3E-01	1,9E+00 ± 1E+00	1,5E+00 ± 4E-01	2,0E+00 ± 3E-01	1,8E+00 ± 4E-01	2,2E+00 ± 1E+00	3,0E+00 ± 3E-01
Pb-210	7,1E+00 ± 2E+00	7,2E+00 ± 2E+00	6,8E+00 ± 2E+00	3,4E+00 ± 2E+00	1,2E+00 ± 2E+00 ‡	7,2E+00 ± 1E+00	3,6E+00 ± 8E-01 x
Ra-228	1,0E+00 ± 3E-01	1,7E+00 ± 6E-01	1,0E+00 ± 3E-01	1,2E+00 ± 4E-01	8,9E-01 ± 3E-01	9,7E-01 ± 5E-01	1,0E+00 ± 1E-01
Th-228	1,5E-01 ± 2E-01 ‡	7,5E-01 ± 4E-01	4,4E-01 ± 2E-01	2,8E-01 ± 6E-01 ‡	7,3E-02 ± 2E-01 ‡	5,4E-01 ± 3E-01	4,0E-01 ± 8E-02
Th-230							4,1E-01 ± 6E-01
K-40	7,6E+01 ± 3E+00	8,2E+01 ± 4E+00	7,2E+01 ± 3E+00	7,6E+01 ± 4E+00	6,7E+01 ± 4E+00	4,4E+01 ± 3E+00	5,7E+01 ± 9E-01
Be-7	7,2E-02 ± 1E+00 ‡	3,6E+00 ± 1E+00	9,8E+00 ± 1E+00	5,5E-01 ± 1E+00 ‡	1,3E+00 ± 9E-01	3,9E+00 ± 3E+00	2,3E+00 ± 4E-01
I-131							
Cs-134							
Cs-137							
Co-58							
Co-60							
Cr-51							
Mn-54							
Zn-65							
Nb-95							
Ru-106							
Sb-125							
Sr-89/Sr-90	5,5E-01 ± 7E-02	8,2E-01 ± 8E-02	7,1E-01 ± 9E-02	6,6E-01 ± 9E-02	7,1E-01 ± 9E-02	6,3E-01 ± 1E-01	5,8E-01 ± 2E-02 x
H-3	1,4E+03 ± 1E+02	1,6E+03 ± 1E+02	1,5E+03 ± 1E+02	1,5E+03 ± 1E+02	1,3E+03 ± 1E+02	1,2E+03 ± 1E+02	1,4E+03 ± 4E+01

(*) Število, ki sledi znaku ±, je negotovost povprečja (apriorna negotovost).

(**) Visokoločljivostna spektrometrija gama in radiokemijske analize H-3 so bile opravljene na Odseku F-2, radiokemijske analize Sr-89/Sr-90 pa na Odseku O-2.

(‡) Rezultat meritve je pod mejo kvantifikacije.

(†) Rezultat meritve je pod mejo detekcije.

(x) Pri meji detekcije se kot predpostavljena vrednost upošteva 1/4 meje detekcije, zato se negotovosti aritmetičnega povprečja za izbrano leto ne podajajo z apriorno negotovostjo, temveč z aposteriorno negotovostjo.

LETO 2021 T - 32a
4. ČRPALIŠČE VODOVODA KRŠKO – mesečni sestavljeni vzorci



Izotopska analiza sevalcev gama in specifični analizi Sr-90/Sr-89 in H-3 (**)

Vzorč. mesto	črpališče Rore							Mesečno povprečje (za 1. polletje) (*)
	Datum vzor.	16. 12. 2020 - 18. 1. 2021	18. 1. 2021 - 16. 2. 2021	16. 2. 2021 - 16. 3. 2021	16. 3. 2021 - 19. 4. 2021	19. 4. 2021 - 17. 5. 2021	17. 5. 2021 - 16. 6. 2021	
Kol. vzorca (L)	44,66	38,87	37,64	46,00	37,49	40,12		
Oznaka vzorca	K21VC1411	K21VC1421	K21VC1431	K21VC1441	K21VC1451	K21VC1461		
IZOTOP	KONCENTRACIJA AKTIVNOSTI (Bq/m ³)							
U-238	3,0E+00 ± 2E+00	2,8E+00 ± 2E+00	3,3E+00 ± 3E+00 ‡	2,0E+00 ± 6E-01	1,4E+00 ± 6E-01	4,5E+00 ± 3E+00	2,8E+00 ± 8E-01	
Ra-226	2,7E+00 ± 1E+00	9,8E-01 ± 8E-01 ‡	6,3E-01 ± 1E+00 ‡	2,0E+00 ± 5E-01	1,1E+00 ± 6E-01	1,9E+00 ± 5E-01	1,6E+00 ± 3E-01	
Pb-210	3,4E+00 ± 3E+00	3,5E+00 ± 4E+00 ‡	2,8E+00 ± 3E+00 ‡	6,7E-01 ± 6E-01 ‡	2,0E+00 ± 5E-01	4,3E+00 ± 3E+00	2,8E+00 ± 1E+00	
Ra-228	1,0E+00 ± 6E-01	1,3E+00 ± 7E-01	4,2E-02 ± 2E-01 ‡	3,6E-01 ± 3E-01	1,9E-01 ± 4E-01 ‡	6,3E-01 ± 5E-01 ‡	6,0E-01 ± 2E-01	
Th-228	4,3E-01 ± 2E-01	1,1E+00 ± 2E-01	2,2E-01 ± 3E-01 ‡	5,2E-01 ± 8E-02	6,7E-01 ± 9E-02	7,4E-01 ± 5E-01	6,0E-01 ± 1E-01	
Th-230								
K-40	3,1E+01 ± 4E+00	2,7E+01 ± 3E+00	2,9E+01 ± 3E+00	2,8E+01 ± 3E+00	2,4E+01 ± 2E+00	3,1E+01 ± 3E+00	2,8E+01 ± 1E+00	
Be-7	8,8E+00 ± 2E+00		1,4E+00 ± 1E+00		5,9E+00 ± 1E+00	3,2E+01 ± 3E+00	8,0E+00 ± 6E-01	
I-131								
Cs-134								
Cs-137								
Co-58								
Co-60								
Cr-51								
Mn-54								
Zn-65								
Nb-95								
Ru-106								
Sb-125								
Sr-89/Sr-90	7,1E-01 ± 8E-02	5,6E-01 ± 1E-01	4,8E-01 ± 1E-01	5,4E-01 ± 1E-01	7,4E-01 ± 1E-01	6,7E-01 ± 9E-02	6,2E-01 ± 4E-02	
H-3	5,5E+02 ± 6E+01	5,7E+02 ± 5E+01	6,4E+02 ± 6E+01	5,9E+02 ± 6E+01	5,1E+02 ± 5E+01	5,1E+02 ± 5E+01	5,6E+02 ± 2E+01	

(*) Število, ki sledi znaku ±, je negotovost povprečja (apriorna negotovost).

(**) Visokoločljivostna spektrometrija gama in radiokemijske analize H-3 so bile opravljene na Odseku F-2, radiokemijske analize Sr-89/Sr-90 pa na Odseku O-2.

(‡) Rezultat meritve je pod mejo kvantifikacije.

LETO 2021 T - 32b
4. ČRPALIŠČE VODOVODA KRŠKO – mesečni sestavljeni vzorci



Izotopska analiza sevalcev gama in specifični analizi Sr-90/Sr-89 in H-3 (**)

Vzorč. mesto	črpališče Rore						Mesečno povprečje (za celo leto) (**)
	Datum vzor.	16. 6. 2021 - 19. 7. 2021	19. 7. 2021 - 16. 8. 2021	16. 8. 2021 - 16. 9. 2021	16. 9. 2021 - 18. 10. 2021	18. 10. 2021 - 16. 11. 2021	
Kol. vzorca (L)	44,25	37,23	51,90	48,50	35,53	37,88	
Oznaka vzorca	K21VC1471	K21VC1481	K21VC1491	K21VC14A1	K21VC14B1	K21VC14C1	
IZOTOP	KONCENTRACIJA AKTIVNOSTI (Bq/m ³)						
U-238	2,0E+00 ± 6E-01	2,7E+00 ± 2E+00	1,2E+00 ± 2E+00 ‡	1,4E+00 ± 1E+00 ‡	5,4E+00 ± 4E+00	3,2E+00 ± 2E+00	2,7E+00 ± 6E-01
Ra-226	1,2E+00 ± 2E-01	1,8E+00 ± 4E-01	2,8E+00 ± 7E-01	2,1E+00 ± 5E-01	2,4E+00 ± 8E-01	2,3E+00 ± 1E+00	1,8E+00 ± 2E-01
Pb-210	2,2E+00 ± 5E-01	6,5E-01 †	5,7E-01 †	3,6E-01 †	3,3E+00 ± 2E+00	1,5E+01 ± 5E+00	3,3E+00 ± 1E+00 x
Ra-228	2,4E-01 ± 2E-01 ‡	7,7E-01 ± 5E-01	9,6E-01 ± 4E-01	9,6E-01 ± 2E-01	9,9E-01 ± 4E-01	9,9E-01 ± 4E-01	6,3E-01 ± 1E-01
Th-228	2,4E-01 ± 7E-02	4,1E-01 ± 3E-01	5,3E-01 ± 3E-01	3,2E-01 ± 1E-01	1,2E+00 ± 3E-01	9,4E-01 ± 2E-01	6,0E-01 ± 8E-02
Th-230							
K-40	2,5E+01 ± 2E+00	3,1E+01 ± 3E+00	2,8E+01 ± 3E+00	2,3E+01 ± 2E+00	2,4E+01 ± 2E+00	2,7E+01 ± 9E-01	2,7E+01 ± 8E-01
Be-7		2,5E+00 ± 2E+00	1,3E+00 ± 1E+00	3,0E+00 ± 7E-01	2,1E+00 ± 1E+00	1,6E+00 ± 1E+00	4,9E+00 ± 4E-01
I-131							
Cs-134							
Cs-137							
Co-58							
Co-60							
Cr-51							
Mn-54							
Zn-65							
Nb-95							
Ru-106							
Sb-125							
Sr-89/Sr-90	5,7E-01 ± 9E-02	6,5E-01 ± 9E-02	8,6E-01 ± 9E-02	5,7E-01 ± 9E-02	8,1E-01 ± 1E-01	6,6E-01 ± 1E-01	6,5E-01 ± 3E-02
H-3	5,6E+02 ± 5E+01	6,1E+02 ± 6E+01	4,9E+02 ± 5E+01	5,6E+02 ± 5E+01	5,8E+02 ± 6E+01	7,2E+02 ± 7E+01	5,7E+02 ± 2E+01

(*) Število, ki sledi znaku ±, je negotovost povprečja (apriorna negotovost).

(**) Visokoločljivostna spektrometrija gama in radiokemijske analize H-3 so bile opravljene na Odseku F-2, radiokemijske analize Sr-89/Sr-90 pa na Odseku O-2.

(‡) Rezultat meritve je pod mejo kvantifikacije.

(†) Rezultat meritve je pod mejo detekcije.

(x) Pri meji detekcije se kot predpostavljena vrednost upošteva 1/4 meje detekcije, zato se negotovosti aritmetičnega povprečja za izbrano leto ne podajajo z apriorno negotovostjo, temveč z aposteriorno negotovostjo.

LETO 2021 T - 33a
4. ZAJETJE VODOVODA KRŠKO – mesečni sestavljeni vzorci



Izotopska analiza sevalcev gama in specifični analizi Sr-90/Sr-89 in H-3 (**)

Vzorč. mesto	vodovod Spodnji Stari Grad							
Datum vzor.	16. 12. 2020 - 18. 1. 2021	18. 1. 2021 - 16. 2. 2021	16. 2. 2021 - 16. 3. 2021	16. 3. 2021 - 19. 4. 2021	19. 4. 2021 - 17. 5. 2021	17. 5. 2021 - 16. 6. 2021		Mesečno povprečje (za 1. polletje) (*)
Kol. vzorca (L)	50,15	43,58	42,06	51,26	42,51	45,73		
Oznaka vzorca	K21VC211	K21VC221	K21VC231	K21VC241	K21VC251	K21VC261		
IZOTOP	KONCENTRACIJA AKTIVNOSTI (Bq/m ³)							
U-238	3,2E+00 ± 5E-01	5,5E+00 ± 2E+00	2,7E+00 ± 7E-01	4,1E+00 ± 2E+00	1,8E+00 ± 2E+00 ‡	3,7E+00 ± 7E-01	3,5E+00 ± 6E-01	
Ra-226	1,4E+00 ± 4E-01	1,3E+00 ± 4E-01	2,6E+00 ± 6E-01	8,5E-01 ± 4E-01	2,8E+00 ± 9E-01	9,8E-01 ± 2E-01	1,7E+00 ± 2E-01	
Pb-210	7,5E+00 ± 7E-01	6,9E+00 ± 4E+00	4,5E+00 ± 6E-01	3,2E-01	4,6E-01 †	5,0E+00 ± 8E-01	4,1E+00 ± 1E+00 x	
Ra-228	6,7E-01 ± 4E-01	1,4E+00 ± 4E-01	7,1E-01 ± 3E-01	1,3E+00 ± 7E-01	1,2E+00 ± 5E-01	6,0E-01 ± 4E-01	9,8E-01 ± 2E-01	
Th-228	6,7E-01 ± 8E-02	6,0E-01 ± 2E-01	5,3E-01 ± 8E-02	1,1E-01 ± 2E-01 ‡	5,1E-01 ± 3E-01	1,4E-01 ± 7E-02	4,3E-01 ± 7E-02	
Th-230								
K-40	1,8E+01 ± 2E+00	2,5E+01 ± 2E+00	3,3E+01 ± 2E+00	3,7E+01 ± 2E+00	3,5E+01 ± 3E+00	3,4E+01 ± 2E+00	3,0E+01 ± 1E+00	
Be-7	7,2E+00 ± 1E+00	3,6E+00 ± 7E-01		1,7E+00 ± 8E-01	1,9E+00 ± 1E+00	1,4E+01 ± 1E+00	4,7E+00 ± 5E-01	
I-131								
Cs-134								
Cs-137	5,1E-02 ± 8E-02 ‡						8,4E-03 ± 1E-02	
Co-58								
Co-60								
Cr-51								
Mn-54								
Zn-65								
Nb-95								
Ru-106								
Sb-125								
Sr-89/Sr-90	6,6E-01 ± 8E-02	8,1E-01 ± 9E-02	7,1E-01 ± 9E-02	7,1E-01 ± 8E-02	7,0E-01 ± 8E-02	6,7E-01 ± 9E-02	7,1E-01 ± 3E-02	
H-3	6,5E+02 ± 6E+01	8,7E+02 ± 8E+01	7,2E+02 ± 6E+01	8,0E+02 ± 8E+01	7,2E+02 ± 7E+01	8,0E+02 ± 7E+01	7,6E+02 ± 3E+01	

(*) Število, ki sledi znaku ±, je negotovost povprečja (apriorna negotovost).

(**) Visokoločljivostna spektrometrija gama in radiokemijske analize H-3 so bile opravljene na Odseku F-2, radiokemijske analize Sr-89/Sr-90 pa na Odseku O-2.

(‡) Rezultat meritve je pod mejo kvantifikacije.

(†) Rezultat meritve je pod mejo detekcije.

(x) Pri meji detekcije se kot predpostavljena vrednost upošteva 1/4 meje detekcije, zato se negotovosti aritmetičnega povprečja za izbrano leto ne podajajo z apriorno negotovostjo, temveč z aposteriorno negotovostjo.

LETO 2021 T - 33b
4. ZAJETJE VODOVODA KRŠKO – mesečni sestavljeni vzorci



Izotopska analiza sevalcev gama in specifični analizi Sr-90/Sr-89 in H-3 (**)

Vzorč. mesto	vodovod Spodnji Stari Grad							
Datum vzor.	16. 6. 2021 - 19. 7. 2021	19. 7. 2021 - 16. 8. 2021	16. 8. 2021 - 16. 9. 2021	16. 9. 2021 - 18. 10. 2021	18. 10. 2021 - 16. 11. 2021	16. 11. 2021 - 16. 12. 2021		Mesečno povprečje (za celo leto) (*)
Kol. vzorca (L)	50,63	42,15	46,88	48,28	40,19	45,66		
Oznaka vzorca	K21VC271	K21VC281	K21VC291	K21VC2A1	K21VC2B1	K21VC2C1		
IZOTOP	KONCENTRACIJA AKTIVNOSTI (Bq/m ³)							
U-238	2,4E+00 ± 1E+00	4,4E-01 ± 1E+00 ‡	2,5E+00 ± 2E+00	3,9E+00 ± 2E+00	4,9E+00 ± 2E+00	4,7E+00 ± 3E+00	3,3E+00 ± 5E-01	
Ra-226	3,6E+00 ± 5E-01	1,2E+00 ± 1E+00 ‡	1,4E+00 ± 8E-01	1,1E+00 ± 3E-01	2,6E+00 ± 1E+00	8,0E-01 ± 8E-01 ‡	1,7E+00 ± 2E-01	
Pb-210	1,0E+00	3,4E-01 †	3,4E+00 ± 4E+00 ‡	3,8E+00 ± 2E+00	7,3E-01	5,8E-01 †	2,9E+00 ± 8E-01 x	
Ra-228	9,0E-01 ± 3E-01	3,1E+00 ± 1E+00	8,6E-01 ± 7E-01 ‡	1,2E+00 ± 5E-01	4,8E-01 ± 8E-01 ‡	4,8E-01 ± 4E-01	1,1E+00 ± 2E-01	
Th-228	2,3E-02 ± 1E-01 ‡	2,5E-01 ± 2E-01 ‡	6,5E-01 ± 2E-01		1,7E-01 ± 6E-01 ‡	5,9E-02 ± 2E-01 ‡	3,1E-01 ± 7E-02	
Th-230								
K-40	4,6E+01 ± 3E+00	2,3E+01 ± 3E+00	2,2E+01 ± 3E+00	3,7E+01 ± 3E+00	3,3E+01 ± 3E+00	3,6E+01 ± 3E+00	3,2E+01 ± 8E-01	
Be-7	1,4E+01 ± 2E+00		5,9E+00 ± 1E+00	3,0E+00 ± 1E+00			4,3E+00 ± 3E-01	
I-131								
Cs-134								
Cs-137							4,2E-03 ± 6E-03	
Co-58								
Co-60								
Cr-51								
Mn-54								
Zn-65								
Nb-95								
Ru-106								
Sb-125								
Sr-89/Sr-90	6,7E-01 ± 8E-02	4,0E-01 ± 6E-02	3,2E-01 ± 8E-02	6,4E-01 ± 9E-02	1,3E+00 ± 2E-01	5,7E-01 ± 7E-02	6,8E-01 ± 3E-02	
H-3	1,0E+03 ± 9E+01	8,8E+02 ± 8E+01	9,9E+02 ± 9E+01	7,8E+02 ± 7E+01	6,0E+02 ± 6E+01	9,1E+02 ± 9E+01	8,1E+02 ± 2E+01	

(*) Število, ki sledi znaku ±, je negotovost povprečja (apriorna negotovost).

(**) Visokoločljivostna spektrometrija gama in radiokemijske analize H-3 so bile opravljene na Odseku F-2, radiokemijske analize Sr-89/Sr-90 pa na Odseku O-2.

(‡) Rezultat meritve je pod mejo kvantifikacije.

(†) Rezultat meritve je pod mejo detekcije.

(x) Pri meji detekcije se kot predpostavljena vrednost upošteva 1/4 meje detekcije, zato se negotovosti aritmetičnega povprečja za izbrano leto ne podajajo z apriorno negotovostjo, temveč z aposteriorno negotovostjo.

LETO 2021 T - 34a
4. ČRPALIŠČE VODOVODA BREŽICE – mesečni sestavljeni vzorci

Izotopska analiza sevalcev gama in specifični analizi Sr-90/Sr-89 in H-3 (***)

Vzroč. mesto	črpališče Brežice - Glogov Brod						
Datum vzor.	16. 12. 2020 - 18. 1. 2021	18. 1. 2021 - 16. 2. 2021	16. 2. 2021 - 16. 3. 2021	16. 3. 2021 - 19. 4. 2021	19. 4. 2021 - 17. 5. 2021	17. 5. 2021 - 16. 6. 2021	Mesečno povprečje (za 1. polletje) (*)
Kol. vzorca (L)	45,74	39,69	38,51	46,95	39,08	40,94	
Oznaka vzorca	K21VC3211	K21VC3221	K21VC3231	K21VC3241	K21VC3251	K21VC3261	
IZOTOP	KONCENTRACIJA AKTIVNOSTI (Bq/m ³)						
U-238	5,7E+00 ± 4E+00	6,5E+00 ± 3E+00		3,7E+00 ± 2E+00	2,3E+00 ± 2E+00	1,8E+00 ± 2E+00 ‡	3,3E+00 ± 1E+00
Ra-226	4,6E+00 ± 1E+00	1,4E+00 ± 1E+00 ‡	9,1E+00 ± 2E+00	1,0E+00 ± 7E-01	2,6E+00 ± 9E-01	4,4E-01 ± 3E-01	3,2E+00 ± 5E-01
Pb-210	1,9E+01 ± 4E+00	4,6E+01 ± 3E+00	6,7E+00 ± 2E+00	7,6E+00 ± 3E+00	5,7E+00 ± 5E+00	3,5E-01 †	1,4E+01 ± 7E+00 x
Ra-228	6,7E-01 ± 4E-01	2,8E-01 ± 5E-01 ‡	1,5E+00 ± 5E-01	1,2E+00 ± 6E-01	1,4E+00 ± 7E-01	1,0E+00 ± 4E-01	1,0E+00 ± 2E-01
Th-228	5,7E-01 ± 2E-01		3,9E-01 ± 2E-01	9,1E-01 ± 2E-01	6,5E-01 ± 3E-01		4,2E-01 ± 7E-02
Th-230							
K-40	2,6E+01 ± 2E+00	2,0E+01 ± 3E+00	2,0E+01 ± 2E+00	1,0E+01 ± 2E+00	2,4E+01 ± 3E+00	2,3E+01 ± 2E+00	2,1E+01 ± 1E+00
Be-7	8,5E+00 ± 2E+00					1,5E+00 ± 8E-01	1,7E+00 ± 3E-01
I-131							
Cs-134							
Cs-137	5,3E-03 ± 5E-02 ‡			7,9E-02 ± 1E-01 ‡			1,4E-02 ± 2E-02
Co-58							
Co-60							
Cr-51							
Mn-54							
Zn-65							
Nb-95							
Ru-106							
Sb-125							
Sr-89/Sr-90	4,8E-02 †	5,1E-02 †	6,3E-02 †	4,8E-02 †	5,4E-02 †	5,2E-02 †	5,3E-02 ± 2E-03 x
H-3	3,1E+01 †	5,6E+02 ± 5E+01	8,5E+01 ± 1E+01	1,4E+02 ± 2E+01	9,3E+01 ± 1E+01	8,4E+01 ± 1E+01	1,7E+02 ± 8E+01 x

(*) Število, ki sledi znaku ±, je negotovost povprečja (apriorna negotovost).

(***) Visokoločljivostna spektrometrija gama in radiokemijske analize H-3 so bile opravljene na Odseku F-2, radiokemijske analize Sr-89/Sr-90 pa na Odseku O-2.

(‡) Rezultat meritve je pod mejo kvantifikacije.

(†) Rezultat meritve je pod mejo detekcije.

(x) Pri meji detekcije se kot predpostavljena vrednost upošteva 1/4 meje detekcije, zato se negotovosti aritmetičnega povprečja za izbrano leto ne podajajo z apriorno negotovostjo, temveč z aposteriorno negotovostjo.

LETO 2021 T - 34b
4. ČRPALIŠČE VODOVODA BREŽICE – mesečni sestavljeni vzorci

Izotopska analiza sevalcev gama in specifični analizi Sr-90/Sr-89 in H-3 (***)

Vzroč. mesto	črpališče Brežice - Glogov Brod						
Datum vzor.	16. 6. 2021 - 19. 7. 2021	19. 7. 2021 - 16. 8. 2021	16. 8. 2021 - 16. 9. 2021	16. 9. 2021 - 18. 10. 2021	18. 10. 2021 - 16. 11. 2021	16. 11. 2021 - 16. 12. 2021	Mesečno povprečje (za celo leto) (*)
Kol. vzorca (L)	45,28	38,11	42,62	44,19	40,01	41,37	
Oznaka vzorca	K21VC3271	K21VC3281	K21VC3291	K21VC32A1	K21VC32B1	K21VC32C1	
IZOTOP	KONCENTRACIJA AKTIVNOSTI (Bq/m ³)						
U-238	2,3E+00 ± 2E+00	1,3E+00 ± 8E-01	5,8E-01 ± 1E+00 ‡	7,9E+00 ± 2E+00	4,1E+00 ± 8E-01	3,8E+00 ± 8E-01	3,3E+00 ± 5E-01
Ra-226	2,0E-01 ± 2E-01 ‡	5,2E-01 ± 2E-01		6,1E-01 ± 2E-01	6,1E-01 ± 2E-01	5,6E-01 ± 8E-01 ‡	1,8E+00 ± 2E-01
Pb-210	3,8E+00 ± 2E+00	7,1E+00 ± 8E-01	6,1E+00 ± 2E+00	1,4E+01 ± 2E+00	2,8E+01 ± 2E+00	1,4E+01 ± 1E+00	1,3E+01 ± 4E+00 x
Ra-228	6,8E-01 ± 5E-01			1,6E-01 ± 2E-01 ‡	1,6E-01 ± 2E-01 ‡	6,5E-01 ± 4E-01	6,3E-01 ± 1E-01
Th-228	1,4E-01 ± 3E-01 ‡	1,1E-01 ± 8E-02	4,5E-01 ± 3E-01	4,9E-01 ± 2E-01	5,1E-01 ± 7E-02	3,1E-01 ± 9E-02	3,8E-01 ± 5E-02
Th-230							
K-40	2,3E+01 ± 2E+00	1,7E+01 ± 2E+00	2,4E+01 ± 2E+00	2,7E+01 ± 3E+00	2,5E+01 ± 2E+00	1,9E+01 ± 3E+00	2,1E+01 ± 7E-01
Be-7		1,9E+00 ± 2E+00 ‡	3,5E+00 ± 2E+00	6,5E+00 ± 2E+00	4,4E+00 ± 7E-01	7,4E+00 ± 1E+00	2,8E+00 ± 3E-01
I-131							
Cs-134							
Cs-137							7,0E-03 ± 9E-03
Co-58							
Co-60							
Cr-51							
Mn-54							
Zn-65							
Nb-95							
Ru-106							
Sb-125							
Sr-89/Sr-90	4,5E-02 †	5,4E-02 †	5,3E-02 †	4,9E-02 †	4,8E-02 †	4,4E-02 †	5,1E-02 ± 1E-03 x
H-3	1,3E+02 ± 2E+01	2,4E+01 †	1,1E+02 ± 1E+01	1,2E+02 ± 2E+01	1,8E+02 ± 2E+01	1,7E+02 ± 2E+01	1,4E+02 ± 4E+01 x

(*) Število, ki sledi znaku ±, je negotovost povprečja (apriorna negotovost).

(***) Visokoločljivostna spektrometrija gama in radiokemijske analize H-3 so bile opravljene na Odseku F-2, radiokemijske analize Sr-89/Sr-90 pa na Odseku O-2.

(‡) Rezultat meritve je pod mejo kvantifikacije.

(†) Rezultat meritve je pod mejo detekcije.

(x) Pri meji detekcije se kot predpostavljena vrednost upošteva 1/4 meje detekcije, zato se negotovosti aritmetičnega povprečja za izbrano leto ne podajajo z apriorno negotovostjo, temveč z aposteriorno negotovostjo.

LETO 2021 T – V3a
4. PODTALNICA – R HRVAŠKA - posamični vzorci nefiltrirane vode

Izotopska analiza sevalcev gama in specifični analizi Sr-90/Sr-89 in H-3

Vzorč. mesto	Medsave (R Hrvaska)						
Datum vzor.	4. 1. 2021	8. 2. 2021	1. 3. 2021	12. 4. 2021	4. 5. 2021	1. 6. 2021	Mesečno povprečje (za 1. polletje) (*)
Kol. vzorca (L)	57,67	56,17	54,84	63,74	59,86	49,09	
Oznaka vzorca	MED01-21	MED02-21	MED03-21	MED04-21	MED05-21	MED06-21	
KONCENTRACIJA AKTIVNOSTI (Bq/m ³)							
U-238	4,4E+00 ± 2E+00	7,9E+00 ± 3E+00	7,9E+00 ± 3E+00	2,2E+00 ± 1E+00	4,5E+00 ± 2E+00	3,8E+00 ± 2E+00	5,1E+00 ± 8E-01
Ra-226			6,2E-01 ± 4E-01	5,2E+00 ± 8E-01	1,6E+00 ± 5E-01		1,2E+00 ± 2E-01
Pb-210							
Ra-228			1,1E+00 ± 7E-01	9,7E-01 ± 6E-01		1,1E+00 ± 7E-01	5,2E-01 ± 2E-01
Th-228							
Th-230							
K-40	5,0E+01 ± 8E+00	4,0E+01 ± 7E+00	3,9E+01 ± 7E+00	5,1E+01 ± 8E+00	4,6E+01 ± 8E+00	2,2E+01 ± 6E+00	4,1E+01 ± 3E+00
Be-7							
I-131							
Cs-134							
Cs-137	2,5E-01 ± 1E-01	5,2E-01 ± 2E-01					1,3E-01 ± 4E-02
Co-58							
Co-60							
Cr-51							
Mn-54							
Zn-65							
Nb-95							
Ru-106							
Sb-125							
Sr-90	1,4E+00 ± 2E-01	1,9E+00 ± 2E-01	2,4E+00 ± 2E-01	6,7E-01 ± 2E-01	1,7E+00 ± 2E-01	9,2E-01 ± 2E-01	1,5E+00 ± 9E-02
H-3	8,9E+02 ± 1E+02	2,4E+03 ± 2E+02	1,9E+03 ± 2E+02	4,4E+03 ± 4E+02	1,2E+03 ± 2E+02	8,5E+02 ± 1E+02	1,9E+03 ± 9E+01

(*) Število, ki sledi znaku ±, je negotovost povprečja (apriorna negotovost).

LETO 2021 T – V3b
4. PODTALNICA – R HRVAŠKA - posamični vzorci nefiltrirane vode

Izotopska analiza sevalcev gama in specifični analizi Sr-90/Sr-89 in H-3

Vzorč. mesto	Medsave (R Hrvaska)						
Datum vzor.	1. 7. 2021	2. 8. 2021	6. 9. 2021	8. 10. 2021	8. 11. 2021	2. 12. 2021	Mesečno povprečje (za celo leto) (*)
Kol. vzorca (L)	49,72	61,76	60,76	54,38	60,67	47,39	
Oznaka vzorca	MED07-21	MED08-21	MED09-21	MED10-21	MED11-21	MED12-21	
KONCENTRACIJA AKTIVNOSTI (Bq/m ³)							
U-238	7,4E+00 ± 2E+00	4,6E+00 ± 2E+00	5,6E+00 ± 2E+00	3,5E+00 ± 2E+00	3,9E+00 ± 2E+00	5,9E+00 ± 2E+00	5,1E+00 ± 6E-01
Ra-226	1,3E+00 ± 5E-01	2,2E+00 ± 5E-01		9,6E-01 ± 4E-01	1,0E+00 ± 4E-01	7,3E-01 ± 5E-01	1,1E+00 ± 1E-01
Pb-210							
Ra-228			9,0E-01 ± 7E-01		7,4E-01 ± 5E-01		4,0E-01 ± 1E-01
Th-228							
Th-230							
K-40	4,5E+01 ± 8E+00	6,0E+01 ± 9E+00	6,6E+01 ± 9E+00	7,5E+01 ± 1E+01	7,0E+01 ± 1E+01	6,8E+01 ± 1E+01	5,3E+01 ± 2E+00
Be-7							
I-131							
Cs-134							
Cs-137							6,4E-02 ± 2E-02
Co-58							
Co-60							
Cr-51							
Mn-54							
Zn-65							
Nb-95							
Ru-106							
Sb-125							
Sr-90	2,2E+00 ± 3E-01	2,1E+00 ± 3E-01	2,1E+00 ± 3E-01	1,1E+00 ± 3E-01	1,2E+00 ± 2E-01	1,7E+00 ± 2E-01	1,6E+00 ± 7E-02
H-3	9,3E+02 ± 2E+02	1,2E+03 ± 2E+02	1,0E+03 ± 2E+02	1,4E+03 ± 2E+02	9,0E+02 ± 2E+02	6,0E+02 ± 1E+02	1,5E+03 ± 6E+01

(*) Število, ki sledi znaku ±, je negotovost povprečja (apriorna negotovost).

LETO 2021 T – V4a
4. PODTALNICA – R HRVAŠKA - posamični vzorci nefiltrirane vode

Izotopska analiza sevalcev gama in specifični analizi Sr-90/Sr-89 in H-3

Vzorč. mesto	Šibice (R Hrvatska)						
Datum vzor.	4. 1. 2021	8. 2. 2021	1. 3. 2021	12. 4. 2021	4. 5. 2021	1. 6. 2021	Mesečno povprečje (za 1. polletje) (*)
Kol. vzorca (L)	57,59	58,91	55,41	58,44	51,56	55,11	
Oznaka vzorca	SIB01-21	SIB02-21	SIB03-21	SIB04-21	SIB05-21	SIB06-21	
KONCENTRACIJA AKTIVNOSTI (Bq/m ³)							
U-238	5,3E+00 ± 2E+00	8,3E+00 ± 3E+00	6,5E+00 ± 2E+00	5,7E+00 ± 2E+00	4,7E+00 ± 2E+00	7,6E+00 ± 2E+00	6,4E+00 ± 9E-01
Ra-226	1,7E+00 ± 5E-01	1,1E+00 ± 5E-01	1,1E+00 ± 5E-01	1,2E+00 ± 5E-01	1,9E+00 ± 6E-01	1,9E+00 ± 5E-01	1,5E+00 ± 2E-01
Pb-210							
Ra-228	1,7E+00 ± 8E-01	2,1E+00 ± 1E+00	1,3E+00 ± 7E-01	2,2E+00 ± 1E+00	8,0E-01 ± 7E-01	1,2E+00 ± 7E-01	1,6E+00 ± 3E-01
Th-228							
Th-230							
K-40	5,7E+01 ± 9E+00	5,7E+01 ± 9E+00	5,7E+01 ± 9E+00	4,7E+01 ± 8E+00	2,3E+01 ± 6E+00	4,2E+01 ± 8E+00	4,7E+01 ± 3E+00
Be-7							
I-131							
Cs-134							
Cs-137	4,9E-01 ± 2E-01	2,8E-01 ± 2E-01	4,2E-01 ± 2E-01		2,3E-01 ± 2E-01		2,4E-01 ± 6E-02
Co-58							
Co-60							
Cr-51							
Mn-54							
Zn-65							
Nb-95							
Ru-106							
Sb-125							
Sr-90	2,6E+00 ± 3E-01	2,5E+00 ± 3E-01	1,1E+00 ± 3E-01	2,7E+00 ± 3E-01	3,7E+00 ± 4E-01	3,8E+00 ± 4E-01	2,7E+00 ± 1E-01
H-3	6,7E+02 ± 1E+02	7,2E+02 ± 1E+02	7,8E+02 ± 1E+02	1,3E+03 ± 2E+02	7,2E+02 ± 1E+02	8,2E+02 ± 1E+02	8,4E+02 ± 6E+01

(*) Število, ki sledi znaku ±, je negotovost povprečja (apriorna negotovost).

LETO 2021 T – V4b
4. PODTALNICA – R HRVAŠKA - posamični vzorci nefiltrirane vode

Izotopska analiza sevalcev gama in specifični analizi Sr-90/Sr-89 in H-3

Vzorč. mesto	Šibice (R Hrvatska)						
Datum vzor.	1. 7. 2021	2. 8. 2021	16. 9. 2021	14. 10. 2021	11. 11. 2021	2. 12. 2021	Mesečno povprečje (za celo leto) (*)
Kol. vzorca (L)	56,97	51,66	53,22	60,43	56,81	55,18	
Oznaka vzorca	SIB07-21	SIB08-21	SIB09-21	SIB10-21	SIB11-21	SIB12-21	
KONCENTRACIJA AKTIVNOSTI (Bq/m ³)							
U-238	3,7E+00 ± 2E+00	5,8E+00 ± 2E+00	6,7E+00 ± 2E+00	8,1E+00 ± 2E+00	9,0E+00 ± 3E+00	1,0E+01 ± 3E+00	6,8E+00 ± 7E-01
Ra-226	4,0E+00 ± 8E-01	2,2E+00 ± 6E-01	2,3E+00 ± 6E-01	1,9E+00 ± 6E-01	2,4E+00 ± 6E-01	2,6E+00 ± 7E-01	2,0E+00 ± 2E-01
Pb-210							
Ra-228	1,1E+00 ± 7E-01		1,5E+00 ± 9E-01	2,0E+00 ± 9E-01	1,3E+00 ± 8E-01	1,1E+00 ± 7E-01	1,4E+00 ± 2E-01
Th-228							
Th-230							
K-40	5,6E+01 ± 9E+00	1,9E+01 ± 6E+00	1,5E+02 ± 2E+01	1,0E+02 ± 1E+01	1,2E+02 ± 1E+01	1,2E+02 ± 1E+01	7,0E+01 ± 3E+00
Be-7			2,2E+00 ± 1E+00		1,2E+01 ± 2E+00		1,2E+00 ± 2E-01
I-131							
Cs-134							
Cs-137							1,2E-01 ± 3E-02
Co-58							
Co-60							
Cr-51							
Mn-54							
Zn-65							
Nb-95							
Ru-106							
Sb-125							
Sr-90	3,5E+00 ± 4E-01	3,3E+00 ± 4E-01	2,0E+00 ± 3E-01	1,5E+00 ± 3E-01	1,5E+00 ± 3E-01	1,7E+00 ± 3E-01	2,5E+00 ± 1E-01
H-3	7,5E+02 ± 1E+02	7,4E+02 ± 1E+02	7,1E+02 ± 1E+02	6,9E+02 ± 1E+02	6,3E+02 ± 1E+02	6,0E+02 ± 1E+02	7,6E+02 ± 4E+01

(*) Število, ki sledi znaku ±, je negotovost povprečja (apriorna negotovost).

LETO 2021 T - 36a

4. PODTALNICA – R HRVAŠKA - posamični vzorci nefiltrirane vode

Izotopska analiza sevalcev gama in specifični analizi Sr-90/Sr-89 in H-3

Vzorč. mesto	Petruševac (R Hrvaska)						
Datum vzor.	15. 1. 2021	14. 2. 2021	15. 3. 2021	15. 4. 2021	15. 5. 2021	15. 6. 2021	Mesečno povprečje (za 1. polletje) (*)
Kol. vzorca (L)	0,25	0,25	0,25	0,25	0,25	0,25	
Oznaka vzorca	PET01-21	PET02-21	PET03-21	PET04-21	PET05-21	PET06-21	
KONCENTRACIJA AKTIVNOSTI (Bq/m ³)							
U-238							
Ra-226							
Pb-210							
Ra-228							
Th-228							
Th-230							
K-40							
Be-7							
I-131							
Cs-134							
Cs-137							
Co-58							
Co-60							
Cr-51							
Mn-54							
Zn-65							
Nb-95							
Ru-106							
Sb-125							
Sr-90							
H-3	8,1E+02 ± 1E+02	1,2E+03 ± 2E+02	1,3E+03 ± 2E+02	1,2E+03 ± 2E+02	1,1E+03 ± 2E+02	1,5E+03 ± 2E+02	1,2E+03 ± 7E+01

(*) Število, ki sledi znaku ±, je negotovost povprečja (apriorna negotovost).

LETO 2021 T - 36b

4. PODTALNICA – R HRVAŠKA - posamični vzorci nefiltrirane vode

Izotopska analiza sevalcev gama in specifični analizi Sr-90/Sr-89 in H-3

Vzorč. mesto	Petruševac (R Hrvaska)						
Datum vzor.	15. 7. 2021	15. 8. 2021	15. 9. 2021	15. 10. 2021	15. 11. 2021	15. 12. 2021	Mesečno povprečje (za celo leto) (*)
Kol. vzorca (L)	68,16	42,00	55,96	59,47	57,30	15,22	
Oznaka vzorca	PET07-21	PET08-21	PET09-21	PET10-21	PET11-21	PET12-21	
KONCENTRACIJA AKTIVNOSTI (Bq/m ³)							
U-238	3,1E+00 ± 1E+00	4,4E+00 ± 2E+00	2,6E+00 ± 1E+00	6,9E+00 ± 2E+00	4,5E+00 ± 2E+00		3,6E+00 ± 9E-01
Ra-226	1,7E+00 ± 5E-01	8,3E-01 ± 5E-01	7,7E-01 ± 4E-01				5,5E-01 ± 3E-01
Pb-210							
Ra-228	1,0E+00 ± 6E-01			9,3E-01 ± 6E-01	1,2E+00 ± 7E-01		5,3E-01 ± 2E-01
Th-228							
Th-230							
K-40	2,7E+01 ± 5E+00	5,0E+01 ± 9E+00	4,1E+01 ± 7E+00	4,3E+01 ± 7E+00	4,6E+01 ± 8E+00	2,5E+01 ± 1E+01	3,5E+01 ± 8E+00
Be-7			3,6E+00 ± 3E+00				4,8E+00 ± 4E+00
I-131							
Cs-134							
Cs-137					3,7E-01 ± 1E-01		6,2E-02 ± 6E-02
Co-58							
Co-60							
Cr-51							
Mn-54							
Zn-65							
Nb-95							
Ru-106							
Sb-125							
Sr-90	6,3E-01 ± 1E-01	1,0E+00 ± 2E-01	8,1E-01 ± 2E-01	8,9E-01 ± 2E-01	7,7E-01 ± 3E-01	2,3E-01 ± 1E-01	7,3E-01 ± 1E-01
H-3	1,8E+03 ± 2E+02	1,8E+03 ± 3E+02	2,6E+03 ± 3E+02	2,4E+03 ± 3E+02	2,2E+03 ± 2E+02	1,7E+03 ± 2E+02	1,6E+03 ± 6E+01

(*) Število, ki sledi znaku ±, je negotovost povprečja (apriorna negotovost).

5. PADAVINE IN USEDI

6. USEDI – VAZELINSKE PLOŠČE

LETO 2021 T - 37a
5. PADAVINE – mesečni sestavljeni vzorci

Izotopska analiza sevalcev gama in specifični analizi Sr-90/Sr-89 in H-3 (**), preračunane na KOLIČINO TEKOČIH PADAVIN

Vzorč. mesto	Bregi							Mesečno povprečje (za 1. polletje) (*)
	29. 12. 2020 - 1. 2. 2021	1. 2. 2021 - 1. 3. 2021	1. 3. 2021 - 1. 4. 2021	1. 4. 2021 - 3. 5. 2021	3. 5. 2021 - 1. 6. 2021	1. 6. 2021 - 1. 7. 2021		
Datum vzor.	29. 12. 2020 - 1. 2. 2021	1. 2. 2021 - 1. 3. 2021	1. 3. 2021 - 1. 4. 2021	1. 4. 2021 - 3. 5. 2021	3. 5. 2021 - 1. 6. 2021	1. 6. 2021 - 1. 7. 2021		
Kol. vzorca (L)	29,13	10,10	7,99	26,92	45,36	5,21		
Padavine (mm)***	98,7	27,0	30,4	79,6	196,4	32,2		
Oznaka vzorca	K21PD211	K21PD221	K21PD231	K21PD241	K21PD251	K21PD261		
IZOTOP	KONCENTRACIJA AKTIVNOSTI (Bq/m²)							
Na-22								
U-238	4,1E+00 ± 3E+00	7,8E+00 ± 2E+01 ‡	2,6E+01 ± 1E+01	2,6E+00 ± 4E+00 ‡			6,7E+00 ± 4E+00	
Ra-226	9,8E-01 ± 9E-01 ‡	1,6E+00 ± 2E+00 ‡		3,3E+00 ± 2E+00		5,4E+00 ± 5E+00 ‡	1,9E+00 ± 1E+00	
Pb-210	2,7E+02 ± 1E+01	2,9E+02 ± 2E+01	7,1E+01 ± 3E+01	4,2E+01 ± 3E+00	8,0E+01 ± 1E+01		2,4E+02 ± 1E+01	
Ra-228	5,6E-01 ± 6E-01 ‡	4,4E+00 ± 2E+00	3,0E-01 ± 8E-01 ‡			7,0E+02 ± 5E+01	8,8E-01 ± 4E-01	
Th-230								
Th-228	5,9E-01 ± 3E-01	5,1E+00 ± 3E+00	1,9E+00 ± 1E+00	5,7E-01 ± 3E-01	1,2E+00 ± 3E-01	4,6E+00 ± 3E+00	2,3E+00 ± 8E-01	
K-40	1,6E+01 ± 3E+00	2,4E+01 ± 1E+01	5,0E-01 ± 1E+01 ‡	2,0E+01 ± 4E+00	8,1E+00 ± 1E+00	5,6E+01 ± 2E+01	2,1E+01 ± 4E+00	
Be-7	3,2E+02 ± 2E+01	3,3E+02 ± 2E+01	7,1E+01 ± 9E+00	2,1E+02 ± 1E+01	2,3E+02 ± 1E+01	1,6E+03 ± 7E+01	4,6E+02 ± 1E+01	
I-131								
Cs-134								
Cs-137	5,1E-01 ± 1E-01		3,9E-01 ± 6E-01 ‡				1,5E-01 ± 1E-01	
Co-58								
Co-60								
Cr-51								
Mn-54								
Zn-65								
Nb-95								
Ru-106								
Sb-125								
Sr-89/Sr-90	5,5E-01 ± 1E-01	2,1E-01 †	3,0E-01 †	7,9E-02 †	4,8E-02 †	4,7E-01 †	2,8E-01 ± 8E-02 x	
H-3	2,6E+03 ± 2E+02	4,9E+03 ± 3E+02	2,0E+03 ± 1E+02	5,3E+03 ± 3E+02	2,0E+03 ± 1E+02	1,8E+03 ± 1E+02	3,1E+03 ± 8E+01	

(*) Število, ki sledi znaku ±, je negotovost povprečja (apriorna negotovost).

(**) Visokoločljivostna spektrometrija gama je bila opravljena na Odseku F-2, radiokemijske analize Sr-89/Sr-90 in H-3 pa na Odseku O-2.

*** Meritve količine padavin je opravila in posredovala Agencija RS za okolje (ARSO).

‡ Rezultat meritve je pod mejo kvantifikacije.

† Rezultat meritve je pod mejo detekcije.

(x) Pri meji detekcije se kot predpostavljena vrednost upošteva 1/4 meje detekcije, zato se negotovosti aritmetičnega povprečja za izbrano leto ne podajajo z apriorno negotovostjo, temveč z aposteriorno negotovostjo.

Izotopska analiza sevalcev gama in specifični analizi Sr-90/Sr-89 in H-3 (**), preračunane na ENOTO PRESTREZNE POVRŠINE

Vzorč. mesto	Bregi							Polletni used (*)
	29. 12. 2020 - 1. 2. 2021	1. 2. 2021 - 1. 3. 2021	1. 3. 2021 - 1. 4. 2021	1. 4. 2021 - 3. 5. 2021	3. 5. 2021 - 1. 6. 2021	1. 6. 2021 - 1. 7. 2021		
Datum vzor.	29. 12. 2020 - 1. 2. 2021	1. 2. 2021 - 1. 3. 2021	1. 3. 2021 - 1. 4. 2021	1. 4. 2021 - 3. 5. 2021	3. 5. 2021 - 1. 6. 2021	1. 6. 2021 - 1. 7. 2021		
Kol. vzorca (L)	29,1	10,1	8,0	26,9	45,4	5,2		
Padavine (mm)***	98,7	27,0	30,4	79,6	196,4	32,2		
Oznaka vzorca	K21PD211	K21PD221	K21PD231	K21PD241	K21PD251	K21PD261		
IZOTOP	KONCENTRACIJA AKTIVNOSTI (Bq/m²)							
Na-22								
U-238	4,1E-01 ± 3E-01	2,1E-01 ± 6E-01 ‡	7,9E-01 ± 3E-01	2,0E-01 ± 3E-01 ‡			1,6E+00 ± 7E-01	
Ra-226	9,6E-02 ± 9E-02 ‡	4,3E-02 ± 5E-02 ‡		2,6E-01 ± 2E-01		1,7E-01 ± 2E-01 ‡	5,8E-01 ± 3E-01	
Pb-210	2,6E+01 ± 1E+00	7,9E+00 ± 5E-01	2,2E+00 ± 1E+00	3,3E+00 ± 3E-01	1,6E+01 ± 2E+00	2,3E+01 ± 2E+00	7,8E+01 ± 3E+00	
Ra-228	5,6E-02 ± 6E-02 ‡	1,2E-01 ± 5E-02	9,2E-03 ± 3E-02 ‡				1,8E-01 ± 8E-02	
Th-230								
Th-228	5,9E-02 ± 3E-02	1,4E-01 ± 7E-02	5,6E-02 ± 3E-02	4,6E-02 ± 3E-02	2,3E-01 ± 5E-02	1,5E-01 ± 1E-01	6,8E-01 ± 2E-01	
K-40	1,6E+00 ± 3E-01	6,4E-01 ± 3E-01	1,5E-02 ± 3E-01 ‡	1,6E+00 ± 3E-01	1,6E+00 ± 3E-01	1,8E+00 ± 6E-01	7,2E+00 ± 9E-01	
Be-7	3,1E+01 ± 2E+00	8,9E+00 ± 5E-01	2,2E+00 ± 3E-01	1,7E+01 ± 9E-01	4,6E+01 ± 2E+00	5,2E+01 ± 2E+00	1,6E+02 ± 4E+00	
I-131								
Cs-134								
Cs-137	5,1E-02 ± 1E-02		1,2E-02 ± 2E-02 ‡				6,3E-02 ± 2E-02	
Co-58								
Co-60								
Cr-51								
Mn-54								
Zn-65								
Nb-95								
Ru-106								
Sb-125								
Sr-89/Sr-90	5,4E-02 ± 1E-02	5,6E-03 †	9,3E-03 †	6,3E-03 †	9,5E-03 †	1,5E-02 †	1,0E-01 ± 1E-02 x	
H-3	2,6E+02 ± 2E+01	1,3E+02 ± 8E+00	6,1E+01 ± 4E+00	4,3E+02 ± 2E+01	4,0E+02 ± 3E+01	5,8E+01 ± 4E+00	1,3E+03 ± 4E+01	

(*) Število, ki sledi znaku ±, je negotovost useda (apriorna negotovost).

(**) Visokoločljivostna spektrometrija gama je bila opravljena na Odseku F-2, radiokemijske analize Sr-89/Sr-90 in H-3 pa na Odseku O-2.

*** Meritve količine padavin je opravila in posredovala Agencija RS za okolje (ARSO).

‡ Rezultat meritve je pod mejo kvantifikacije.

† Rezultat meritve je pod mejo detekcije.

(x) Pri meji detekcije se kot predpostavljena vrednost upošteva 1/4 meje detekcije, zato se negotovosti letnega useda za izbrano leto ne podajajo z apriorno negotovostjo, temveč z aposteriorno negotovostjo.

LETO 2021 T - 37b
5. PADAVINE – mesečni sestavljeni vzorci

Izotopska analiza sevalcev gama in specifični analizi Sr-90/Sr-89 in H-3 (**), preračunane na KOLIČINO TEKOČIH PADAVIN

Vzorč. mesto	Brege							
Datum vzor.	1. 7. 2021 - 2. 8. 2021	2. 8. 2021 - 1. 9. 2021	1. 9. 2021 - 4. 10. 2021	4. 10. 2021 - 2. 11. 2021	2. 11. 2021 - 1. 12. 2021	1. 12. 2021 - 29. 12. 2021		Mesečno povprečje (za celo leto) (*)
Kol. vzorca (L)	34,08	14,98	16,83	25,48	24,25	23,24		
Padavine (mm)***	106,3	52,5	60,7	86,0	76,9	80,9		
Oznaka vzorca	K21PD271	K21PD281	K21PD291	K21PD2A1	K21PD2B1	K21PD2C1		
IZOTOP	KONCENTRACIJA AKTIVNOSTI (Bq/m ²)							
Na-22	2,8E+00 ± 2E+00	3,3E+00 ± 2E+00	1,6E+00 ± 3E+00 ‡	6,9E+00 ± 4E+00	5,8E+00 ± 3E+00			5,1E+00 ± 2E+00
U-238								
Ra-226		2,8E+00 ± 7E-01	3,4E+00 ± 2E+00	5,1E-01 ± 8E-01 ‡	2,9E-01 ± 1E+00 ‡	1,4E+01 ± 3E+00		2,7E+00 ± 6E-01
Pb-210	7,6E+01 ± 9E+00	1,6E+02 ± 1E+01	1,6E+01 ± 6E+00	4,8E+01 ± 6E+00	2,1E+01 ± 6E+00	1,3E+02 ± 1E+01		1,6E+02 ± 6E+00
Ra-228		2,0E+00 ± 9E-01				1,2E+00 ± 7E-01		7,0E-01 ± 2E-01
Th-230								
Th-228	6,5E-01 ± 4E-01	1,6E+00 ± 2E-01		8,8E-01 ± 3E-01	9,2E-02 ± 1E-01 ‡	1,6E-01 ± 4E-01 ‡		1,4E+00 ± 4E-01
K-40		3,2E+01 ± 4E+00	3,5E+01 ± 5E+00	5,2E+01 ± 5E+00	5,6E+00 ± 4E+00	1,1E+01 ± 3E+00		2,2E+01 ± 2E+00
Be-7	2,8E+02 ± 4E+01	4,8E+02 ± 3E+01	5,3E+01 ± 1E+01	1,4E+02 ± 7E+00	6,6E+01 ± 3E+00	4,0E+02 ± 2E+01		3,5E+02 ± 8E+00
I-131								
Cs-134								
Cs-137		8,3E-01 ± 4E-01						1,4E-01 ± 6E-02
Co-58								
Co-60								
Cr-51								
Mn-54								
Zn-65								
Nb-95								
Ru-106								
Sb-125								
Sr-89/Sr-90	3,7E-01	1,6E-01	1,4E-01	8,7E-02	1,0E-01	9,3E-02		2,2E-01 ± 5E-02 x
H-3	1,7E+03 ± 1E+02	1,2E+03 ± 1E+02	1,3E+03 ± 1E+02	3,2E+03 ± 2E+02	1,8E+03 ± 1E+02	3,8E+03 ± 2E+02		2,6E+03 ± 5E+01

(*) Število, ki sledi znaku ±, je negotovost povprečja (apriorna negotovost).

(**) Visokoločljivostna spektrometrija gama je bila opravljena na Odseku F-2, radiokemijske analize Sr-89/Sr-90 in H-3 pa na Odseku O-2.

*** Meritve količine padavin je opravila in posredovala Agencija RS za okolje (ARSO).

(‡) Rezultat meritve je pod mejo kvantifikacije.

(†) Rezultat meritve je pod mejo detekcije.

(x) Pri meji detekcije se kot predpostavljena vrednost upošteva 1/4 meje detekcije, zato se negotovosti aritmetičnega povprečja za izbrano leto ne podajajo z apriorno negotovostjo, temveč z aposteriorno negotovostjo.

Izotopska analiza sevalcev gama in specifični analizi Sr-90/Sr-89 in H-3 (**), preračunane na ENOTO PRESTREZNE POVRŠINE

Vzorč. mesto	Brege							
Datum vzor.	1. 7. 2021 - 2. 8. 2021	2. 8. 2021 - 1. 9. 2021	1. 9. 2021 - 4. 10. 2021	4. 10. 2021 - 2. 11. 2021	2. 11. 2021 - 1. 12. 2021	1. 12. 2021 - 29. 12. 2021		Letni used (*)
Kol. vzorca (L)	34,1	15,0	16,8	25,5	24,3	23,2		
Padavine (mm)***	106,3	52,5	60,7	86,0	76,9	80,9		
Oznaka vzorca	K21PD271	K21PD281	K21PD291	K21PD2A1	K21PD2B1	K21PD2C1		
IZOTOP	KONCENTRACIJA AKTIVNOSTI (Bq/m ²)							
Na-22								
U-238	2,9E-01 ± 2E-01	1,7E-01 ± 8E-02	9,5E-02 ± 2E-01 ‡	5,9E-01 ± 3E-01	4,4E-01 ± 2E-01			3,2E+00 ± 9E-01
Ra-226		1,5E-01 ± 4E-02	2,0E-01 ± 1E-01	4,4E-02 ± 7E-02 ‡	2,2E-02 ± 9E-02 ‡	1,2E+00 ± 2E-01		2,2E+00 ± 4E-01
Pb-210	8,1E+00 ± 9E-01	8,6E+00 ± 5E-01	9,7E-01 ± 4E-01	4,2E+00 ± 5E-01	1,6E+00 ± 4E-01	1,1E+01 ± 8E-01		1,1E+02 ± 3E+00
Ra-228		1,0E-01 ± 5E-02				9,4E-02 ± 6E-02		3,8E-01 ± 1E-01
Th-230								
Th-228	6,9E-02 ± 5E-02	8,5E-02 ± 1E-02		7,6E-02 ± 3E-02	7,0E-03 ± 1E-02 ‡	1,3E-02 ± 3E-02 ‡		9,3E-01 ± 2E-01
K-40		1,7E+00 ± 2E-01	2,1E+00 ± 3E-01	4,5E+00 ± 4E-01	4,3E-01 ± 3E-01	9,0E-01 ± 2E-01		1,7E+01 ± 1E+00
Be-7	3,0E+01 ± 4E+00	2,5E+01 ± 2E+00	3,2E+00 ± 7E-01	1,2E+01 ± 6E-01	5,1E+00 ± 3E-01	3,3E+01 ± 1E+00		2,7E+02 ± 6E+00
I-131								
Cs-134								
Cs-137		4,4E-02 ± 2E-02						1,1E-01 ± 3E-02
Co-58								
Co-60								
Cr-51								
Mn-54								
Zn-65								
Nb-95								
Ru-106								
Sb-125								
Sr-89/Sr-90	3,9E-02	8,4E-03	8,7E-03	7,4E-03	7,9E-03	7,5E-03		1,8E-01 ± 1E-02 x
H-3	1,8E+02 ± 1E+01	6,3E+01 ± 6E+00	8,0E+01 ± 7E+00	2,7E+02 ± 2E+01	1,4E+02 ± 1E+01	3,0E+02 ± 2E+01		2,4E+03 ± 5E+01

(*) Število, ki sledi znaku ±, je negotovost useda (apriorna negotovost).

(**) Visokoločljivostna spektrometrija gama je bila opravljena na Odseku F-2, radiokemijske analize Sr-89/Sr-90 in H-3 pa na Odseku O-2.

*** Meritve količine padavin je opravila in posredovala Agencija RS za okolje (ARSO).

(‡) Rezultat meritve je pod mejo kvantifikacije.

(†) Rezultat meritve je pod mejo detekcije.

(x) Pri meji detekcije se kot predpostavljena vrednost upošteva 1/4 meje detekcije, zato se negotovosti letnega useda za izbrano leto ne podajajo z apriorno negotovostjo, temveč z aposteriorno negotovostjo.

LETO 2021 T - 38a
5. PADAVINE – mesečni sestavljeni vzorci

Izotopska analiza sevalcev gama in specifični analizi Sr-90/Sr-89 in H-3 (**), preračunane na KOLIČINO TEKOČIH PADAVIN

Vzrč. mesto	Krško							
Datum vzor.	29. 12. 2020 - 1. 2. 2021	1. 2. 2021 - 1. 3. 2021	1. 3. 2021 - 1. 4. 2021	1. 4. 2021 - 3. 5. 2021	3. 5. 2021 - 1. 6. 2021	1. 6. 2021 - 1. 7. 2021		Mesečno povprečje (za 1. polletje) (*)
Kol. vzorca (L)	24,33	6,87	5,95	25,39	48,30	12,38		
Padavine (mm)	77,0	26,3	22,8	78,0	143,6	36,8		
Oznaka vzorca	K21PD311	K21PD321	K21PD331	K21PD341	K21PD351	K21PD361		
IZOTOP	KONCENTRACIJA AKTIVNOSTI (Bq/m ²)							
Na-22								
U-238	1,3E+00 ± 9E-01	1,1E+01 ± 1E+01 ‡	3,7E+01 ± 1E+01	8,6E-01 ± 1E+00 ‡	1,5E-01 ± 2E-01 ‡	5,6E+00 ± 5E+00 ‡	2,5E-02 ± 3E-02	9,4E+00 ± 3E+00
Ra-226	2,6E-01 ± 5E-01 ‡	5,4E+00 ± 5E+00 ‡	4,7E+00 ± 4E+00 ‡	9,5E+01 ± 2E+01	4,0E+01 ± 2E+00	1,4E+02 ± 1E+01	1,7E+00 ± 1E+00	2,8E+02 ± 1E+01
Pb-210	5,1E+01 ± 3E+00	1,3E+03 ± 6E+01	9,5E+01 ± 2E+01	3,8E+01 ± 2E+00	4,0E+01 ± 2E+00	1,4E+02 ± 1E+01	2,8E+02 ± 1E+01	2,1E+00 ± 1E+00
Ra-228		5,4E+00 ± 2E+00	6,8E+00 ± 7E+00 ‡		3,3E-01 ± 2E-01		2,1E+00 ± 1E+00	
Th-230								
Th-228	4,3E-02 ± 1E-01 ‡	5,8E+00 ± 2E+00	3,4E+00 ± 1E+00	5,5E-01 ± 1E-01	3,3E-01 ± 1E-01	1,2E+00 ± 1E+00 ‡	1,9E+00 ± 5E-01	1,6E+01 ± 4E+00
K-40	5,6E-02 ± 6E-01 ‡	8,8E+01 ± 1E+01	2,9E+00 ± 2E+01 ‡	2,6E+00 ± 2E+00 ‡	5,4E+00 ± 8E-01	2,7E+02 ± 3E+01	4,1E+02 ± 1E+01	
Be-7	2,3E+02 ± 2E+01	1,2E+03 ± 6E+01	1,1E+02 ± 1E+01	1,7E+02 ± 1E+01	4,7E+02 ± 2E+01			
I-131								
Cs-134								
Cs-137		3,1E+00 ± 1E+00	2,3E-02 ± 5E-01 ‡		9,5E-02 ± 7E-02		5,3E-01 ± 2E-01	
Co-58								
Co-60								
Cr-51								
Mn-54								
Zn-65								
Nb-95								
Ru-106								
Sb-125								
Sr-89/Sr-90	9,0E-02 †	1,9E+00 ± 5E-01	4,6E-01 †	8,0E-02 †	2,9E-02 †	1,8E-01 †	4,6E-01 ± 3E-01 x	
H-3	1,4E+03 ± 1E+02	1,5E+03 ± 1E+02	1,2E+03 ± 1E+02	3,1E+03 ± 2E+02	1,4E+03 ± 1E+02	1,5E+03 ± 1E+02	1,7E+03 ± 5E+01	

(*) Število, ki sledi znaku ±, je negotovost povprečja (apriorna negotovost).

(***) Visokoločljivostna spektrometrija gama je bila opravljena na Odseku F-2, radiokemijske analize Sr-89/Sr-90 in H-3 pa na Odseku O-2.

(‡) Rezultat meritve je pod mejo kvantifikacije.

(†) Rezultat meritve je pod mejo detekcije.

(x) Pri meji detekcije se kot predpostavljena vrednost upošteva 1/4 meje detekcije, zato se negotovosti aritmetičnega povprečja za izbrano leto ne podajajo z apriorno negotovostjo, temveč z aposteriorno negotovostjo.

Izotopska analiza sevalcev gama in specifični analizi Sr-90/Sr-89 in H-3 (**), preračunane na ENOTO PRESTREZNE POVRŠINE

Vzrč. mesto	Krško							
Datum vzor.	29. 12. 2020 - 1. 2. 2021	1. 2. 2021 - 1. 3. 2021	1. 3. 2021 - 1. 4. 2021	1. 4. 2021 - 3. 5. 2021	3. 5. 2021 - 1. 6. 2021	1. 6. 2021 - 1. 7. 2021		Polletni used (*)
Kol. vzorca (L)	24,3	6,9	6,0	25,4	48,3	12,4		
Padavine (mm)	77,0	26,3	22,8	78,0	143,6	36,8		
Oznaka vzorca	K21PD311	K21PD321	K21PD331	K21PD341	K21PD351	K21PD361		
IZOTOP	KONCENTRACIJA AKTIVNOSTI (Bq/m ²)							
Na-22								
U-238	1,0E-01 ± 7E-02	3,0E-01 ± 3E-01 ‡	8,5E-01 ± 3E-01	6,7E-02 ± 8E-02 ‡	2,1E-02 ± 3E-02 ‡	2,1E-01 ± 2E-01 ‡	2,1E-02 ± 3E-02	1,5E+00 ± 5E-01
Ra-226	2,0E-02 ± 4E-02 ‡	1,4E-01 ± 1E-01 ‡	1,1E-01 ± 9E-02 ‡	1,1E-01 ± 9E-02 ‡	5,7E+00 ± 3E-01	5,3E+00 ± 4E-01	2,7E-01 ± 2E-01	2,7E-01 ± 2E-01
Pb-210	4,0E+00 ± 2E-01	3,5E+01 ± 2E+00	2,2E+00 ± 5E-01	3,0E+00 ± 2E-01	4,8E-02 ± 3E-02	5,3E+00 ± 4E-01	5,5E+01 ± 2E+00	3,4E-01 ± 2E-01
Ra-228		1,4E-01 ± 6E-02	1,5E-01 ± 2E-01 ‡		1,4E-02 ± 1E-02	4,5E-02 ± 4E-02 ‡	3,4E-01 ± 2E-01	
Th-230								
Th-228	3,3E-03 ± 9E-03 ‡	1,5E-01 ± 6E-02	7,7E-02 ± 3E-02	4,3E-02 ± 1E-02	4,8E-02 ± 1E-02	4,5E-02 ± 4E-02 ‡	3,7E-01 ± 8E-02	3,4E+00 ± 6E-01
K-40	4,3E-03 ± 4E-02 ‡	2,3E+00 ± 4E-01	6,6E-02 ± 4E-01 ‡	2,0E-01 ± 2E-01 ‡	7,8E-01 ± 1E-01	9,9E+00 ± 1E+00	1,4E+02 ± 4E+00	
Be-7	1,8E+01 ± 1E+00	3,2E+01 ± 2E+00	2,5E+00 ± 2E-01	1,3E+01 ± 9E-01	6,7E+01 ± 3E+00			
I-131								
Cs-134								
Cs-137		8,1E-02 ± 3E-02	5,2E-04 ± 1E-02 ‡		1,4E-02 ± 1E-02		9,5E-02 ± 3E-02	
Co-58								
Co-60								
Cr-51								
Mn-54								
Zn-65								
Nb-95								
Ru-106								
Sb-125								
Sr-89/Sr-90	7,0E-03 †	5,1E-02 ± 1E-02	1,0E-02 †	6,3E-03 †	4,2E-03 †	6,7E-03 †	8,5E-02 ± 1E-02 x	
H-3	1,1E+02 ± 8E+00	4,0E+01 ± 3E+00	2,8E+01 ± 2E+00	2,4E+02 ± 2E+01	2,1E+02 ± 2E+01	5,6E+01 ± 4E+00	6,8E+02 ± 2E+01	

(*) Število, ki sledi znaku ±, je negotovost useda (apriorna negotovost).

(***) Visokoločljivostna spektrometrija gama je bila opravljena na Odseku F-2, radiokemijske analize Sr-89/Sr-90 in H-3 pa na Odseku O-2.

(‡) Rezultat meritve je pod mejo kvantifikacije.

(†) Rezultat meritve je pod mejo detekcije.

(x) Pri meji detekcije se kot predpostavljena vrednost upošteva 1/4 meje detekcije, zato se negotovosti letnega useda za izbrano leto ne podajajo z apriorno negotovostjo, temveč z aposteriorno negotovostjo.

LETO 2021 T - 38b
5. PADAVINE – mesečni sestavljeni vzorci

Izotopska analiza sevalcev gama in specifični analizi Sr-90/Sr-89 in H-3 (**), preračunane na KOLIČINO TEKOČIH PADAVIN

Vzorč. mesto	Krško							
Datum vzor.	1. 7. 2021 - 2. 8. 2021	2. 8. 2021 - 1. 9. 2021	1. 9. 2021 - 4. 10. 2021	4. 10. 2021 - 2. 11. 2021	2. 11. 2021 - 1. 12. 2021	1. 12. 2021 - 29. 12. 2021		Mesečno povprečje (za celo leto) (*)
Kol. vzorca (L)	34,97	25,07	17,35	21,88	24,33	23,56		
Padavine (mm)	120,3	73,1	46,7	60,5	77,8	76,2		
Oznaka vzorca	K21PD371	K21PD381	K21PD391	K21PD3A1	K21PD3B1	K21PD3C1		
IZOTOP	KONCENTRACIJA AKTIVNOSTI (Bq/m ³)							
Na-22								1,2E-02 ± 2E-02
U-238	3,0E+00 ± 2E+00	3,2E+00 ± 4E+00 ‡	1,8E+00 ± 3E+00 ‡		4,4E+00 ± 5E+00 ‡	4,6E+00 ± 4E+00		6,1E+00 ± 2E+00
Ra-226		6,1E-01 ± 7E-01 ‡	1,8E+00 ± 1E+00 ‡	9,0E+00 ± 2E+00	4,1E+00 ± 2E+00	1,7E+00 ± 9E-01		2,3E+00 ± 6E-01
Pb-210	1,2E+02 ± 9E+00	1,7E+02 ± 8E+00	1,0E+02 ± 1E+01	1,4E+02 ± 1E+01	1,9E+02 ± 9E+00	3,4E+01 ± 3E+01 ‡		2,0E+02 ± 6E+00
Ra-228		9,1E-01 ± 7E-01 ‡	1,2E+00 ± 2E+00 ‡	4,1E-01 ± 7E-01 ‡	3,6E-01 ± 1E+00 ‡	9,9E-01 ± 7E-01		1,4E+00 ± 7E-01
Th-230								
Th-228	4,9E-01 ± 6E-01 ‡	6,2E-01 ± 5E-01 ‡	1,5E+00 ± 5E-01	9,2E-01 ± 5E-01	4,1E-01 ± 5E-01 ‡	3,7E-01 ± 2E-01		1,3E+00 ± 3E-01
K-40		1,3E+01 ± 4E+00	2,2E+01 ± 6E+00	6,9E+00 ± 3E+00	5,3E+00 ± 4E+00	3,5E-01 ± 2E+00 ‡		1,2E+01 ± 2E+00
Be-7	6,7E+02 ± 6E+01	1,0E+03 ± 5E+01	7,5E+02 ± 3E+01	8,2E+02 ± 3E+01	1,2E+03 ± 6E+01	4,0E+02 ± 1E+01		6,1E+02 ± 1E+01
I-131								
Cs-134								
Cs-137		7,8E-03 ± 9E-02 ‡			7,3E-03 ± 1E-01 ‡			2,7E-01 ± 1E-01
Co-58								
Co-60								
Cr-51								
Mn-54								
Zn-65								
Nb-95								
Ru-106								
Sb-125								
Sr-89/Sr-90	6,6E-02 †	9,4E-02 †	1,5E-01 †	1,1E-01 †	1,0E-01 †	9,0E-02 †		2,8E-01 ± 2E-01 x
H-3	1,6E+03 ± 1E+02	9,9E+02 ± 1E+02	1,1E+03 ± 1E+02	1,1E+03 ± 1E+02	9,4E+02 ± 9E+01	9,9E+02 ± 1E+02		1,4E+03 ± 3E+01

(*) Število, ki sledi znaku ±, je negotovost povprečja (apriorna negotovost).

(***) Visokoločljivostna spektrometrija gama je bila opravljena na Odseku F-2, radiokemijske analize Sr-89/Sr-90 in H-3 pa na Odseku O-2.

(‡) Rezultat meritve je pod mejo kvantifikacije.

(†) Rezultat meritve je pod mejo detekcije.

(x) Pri meji detekcije se kot predpostavljena vrednost upošteva 1/4 meje detekcije, zato se negotovosti aritmetičnega povprečja za izbrano leto ne podajajo z apriorno negotovostjo, temveč z aposteriorno negotovostjo.

Izotopska analiza sevalcev gama in specifični analizi Sr-90/Sr-89 in H-3 (**), preračunane na ENOTO PRESTREZNE POVRŠINE

Vzorč. mesto	Krško							
Datum vzor.	1. 7. 2021 - 2. 8. 2021	2. 8. 2021 - 1. 9. 2021	1. 9. 2021 - 4. 10. 2021	4. 10. 2021 - 2. 11. 2021	2. 11. 2021 - 1. 12. 2021	1. 12. 2021 - 29. 12. 2021		Letni usod (*)
Kol. vzorca (L)	35,0	25,1	17,4	21,9	24,3	23,6		
Padavine (mm)	120,3	73,1	46,7	60,5	77,8	76,2		
Oznaka vzorca	K21PD371	K21PD381	K21PD391	K21PD3A1	K21PD3B1	K21PD3C1		
IZOTOP	KONCENTRACIJA AKTIVNOSTI (Bq/m ²)							
Na-22								2,1E-02 ± 3E-02
U-238	3,6E-01 ± 2E-01	2,3E-01 ± 3E-01 ‡	8,2E-02 ± 2E-01 ‡		3,5E-01 ± 4E-01 ‡	3,5E-01 ± 3E-01		2,9E+00 ± 8E-01
Ra-226		4,5E-02 ± 5E-02 ‡	8,5E-02 ± 7E-02 ‡	5,4E-01 ± 1E-01	3,2E-01 ± 2E-01	1,3E-01 ± 7E-02		1,4E+00 ± 3E-01
Pb-210	1,4E+01 ± 1E+00	1,2E+01 ± 6E-01	4,9E+00 ± 5E-01	8,2E+00 ± 6E-01	1,5E+01 ± 7E-01	2,6E+00 ± 2E+00 ‡		1,1E+02 ± 3E+00
Ra-228		6,7E-02 ± 5E-02 ‡	5,8E-02 ± 1E-01 ‡	2,5E-02 ± 4E-02 ‡	2,8E-02 ± 8E-02 ‡	7,6E-02 ± 5E-02		6,0E-01 ± 2E-01
Th-230								
Th-228	5,9E-02 ± 7E-02 ‡	4,5E-02 ± 4E-02 ‡	6,9E-02 ± 2E-02	5,5E-02 ± 3E-02	3,2E-02 ± 4E-02 ‡	2,8E-02 ± 2E-02		6,6E-01 ± 1E-01
K-40		9,2E-01 ± 3E-01	1,0E+00 ± 3E-01	4,2E-01 ± 2E-01	4,1E-01 ± 3E-01	2,7E-02 ± 2E-01 ‡		6,2E+00 ± 8E-01
Be-7	8,1E+01 ± 7E+00	7,6E+01 ± 4E+00	3,5E+01 ± 1E+00	4,9E+01 ± 2E+00	9,1E+01 ± 5E+00	3,0E+01 ± 1E+00		5,0E+02 ± 1E+01
I-131								
Cs-134								
Cs-137		5,7E-04 ± 6E-03 ‡			5,7E-04 ± 8E-03 ‡			9,6E-02 ± 3E-02
Co-58								
Co-60								
Cr-51								
Mn-54								
Zn-65								
Nb-95								
Ru-106								
Sb-125								
Sr-89/Sr-90	8,0E-03 †	6,9E-03 †	6,9E-03 †	6,7E-03 †	8,2E-03 †	6,8E-03 †		1,3E-01 ± 1E-02 x
H-3	2,0E+02 ± 1E+01	7,2E+01 ± 7E+00	5,3E+01 ± 5E+00	6,8E+01 ± 6E+00	7,3E+01 ± 7E+00	7,5E+01 ± 7E+00		1,2E+03 ± 3E+01

(*) Število, ki sledi znaku ±, je negotovost usoda (apriorna negotovost).

(***) Visokoločljivostna spektrometrija gama je bila opravljena na Odseku F-2, radiokemijske analize Sr-89/Sr-90 in H-3 pa na Odseku O-2.

(‡) Rezultat meritve je pod mejo kvantifikacije.

(†) Rezultat meritve je pod mejo detekcije.

(x) Pri meji detekcije se kot predpostavljena vrednost upošteva 1/4 meje detekcije, zato se negotovosti letnega usoda za izbrano leto ne podajajo z apriorno negotovostjo, temveč z aposteriorno negotovostjo.

LETO 2021 T - 39a
5. PADAVINE – mesečni sestavljeni vzorci



Izotopska analiza sevalcev gama in specifični analizi Sr-90/Sr-89 in H-3 (**), preračunane na KOLIČINO TEKOČIH PADAVIN

Vzorč. mesto	Dobova							Mesečno povprečje (za 1. polletje) (*)
	29. 12. 2020 - 1. 2. 2021	1. 2. 2021 - 1. 3. 2021	1. 3. 2021 - 1. 4. 2021	1. 4. 2021 - 3. 5. 2021	3. 5. 2021 - 1. 6. 2021	1. 6. 2021 - 1. 7. 2021		
Datum vzor.	28,73	8,67	7,63	27,57	49,48	7,48		
Kol. vzorca (L)	92,7	31,7	20,0	92,6	165,7	49,0		
Padavine (mm)	K21PD411	K21PD421	K21PD431	K21PD441	K21PD451	K21PD461		
Oznaka vzorca	KONCENTRACIJA AKTIVNOSTI (Bq/m ²)							
IZOTOP								
Na-22	1,0E+00 ± 8E-01	2,4E+01 ± 1E+01	7,6E+00 ± 3E+01 ‡	1,7E+00 ± 4E+00 ‡	2,6E+00 ± 1E+00	8,2E-01 ± 5E+00 ‡	2,3E+00 ± 5E+00	
U-238			2,9E+00 ± 5E+00 ‡		3,1E-01 ± 4E-01 ‡	8,6E-01 ± 7E-01 ‡	4,6E+00 ± 2E+00	
Ra-226	2,0E+01 ± 1E+00	1,1E+02 ± 4E+01	1,8E+00 ± 1E+01 ‡	2,0E+01 ± 5E+00	1,4E+01 ± 2E+00	1,4E+02 ± 9E+00	5,1E+01 ± 7E+00	
Pb-210		5,9E-01 ± 1E+00 ‡		7,5E-01 ± 1E+00 ‡			2,2E-01 ± 3E-01	
Ra-228			6,4E+01 ± 7E+01 ‡	2,5E+00 ± 2E+01 ‡			1,1E+01 ± 1E+01	
Th-230	1,7E-01 ± 1E-01	1,0E+00 ± 9E-01 ‡		1,2E+00 ± 2E-01	3,2E-01 ± 2E-01	6,2E-01 ± 3E-01	5,5E-01 ± 2E-01	
Th-228	2,1E+00 ± 2E+00 ‡	1,2E+01 ± 6E+00 ‡	2,8E+01 ± 2E+01	8,2E+00 ± 3E+00	2,3E+00 ± 1E+00	1,5E+01 ± 6E+00	1,1E+01 ± 3E+00	
K-40	1,8E+02 ± 1E+01	2,3E+02 ± 1E+01	3,6E+01 ± 3E+01	1,1E+02 ± 5E+00	1,2E+02 ± 5E+00	2,3E+02 ± 2E+01	1,5E+02 ± 6E+00	
Be-7								
I-131								
Cs-134								
Cs-137	2,7E-01 ± 2E-01					1,4E-01 ± 4E-01 ‡	6,8E-02 ± 8E-02	
Co-58								
Co-60								
Cr-51								
Mn-54								
Zn-65								
Nb-95								
Ru-106								
Sb-125								
Sr-89/Sr-90	7,7E-02 †	2,6E-01 †	2,9E-01 †	7,8E-02 †	4,8E-02 †	3,0E-01 †	1,8E-01 ± 5E-02 x	
H-3	6,8E+02 ± 8E+01	9,0E+02 ± 9E+01	8,5E+02 ± 9E+01	1,9E+03 ± 1E+02	1,1E+03 ± 1E+02	1,5E+03 ± 1E+02	1,1E+03 ± 4E+01	

(*) Število, ki sledi znaku ±, je negotovost povprečja (apriorna negotovost).

(**) Visokoločljivostna spektrometrija gama je bila opravljena na Odseku F-2, radiokemijske analize Sr-89/Sr-90 in H-3 pa na Odseku O-2.

(‡) Rezultat meritve je pod mejo kvantifikacije.

(†) Rezultat meritve je pod mejo detekcije.

(x) Pri meji detekcije se kot predpostavljena vrednost upošteva 1/4 meje detekcije, zato se negotovosti aritmetičnega povprečja za izbrano leto ne podajajo z apriorno negotovostjo, temveč z aposteriorno negotovostjo.

Izotopska analiza sevalcev gama in specifični analizi Sr-90/Sr-89 in H-3 (**), preračunane na ENOTO PRESTREZNE POVRŠINE

Vzorč. mesto	Dobova							Polletni used (*)
	29. 12. 2020 - 1. 2. 2021	1. 2. 2021 - 1. 3. 2021	1. 3. 2021 - 1. 4. 2021	1. 4. 2021 - 3. 5. 2021	3. 5. 2021 - 1. 6. 2021	1. 6. 2021 - 1. 7. 2021		
Datum vzor.	28,7	8,7	7,6	27,6	49,5	7,5		
Kol. vzorca (L)	92,7	31,7	20,0	92,6	165,7	49,0		
Padavine (mm)	K21PD411	K21PD421	K21PD431	K21PD441	K21PD451	K21PD461		
Oznaka vzorca	KONCENTRACIJA AKTIVNOSTI (Bq/m ²)							
IZOTOP								
Na-22	9,7E-02 ± 7E-02		1,5E-01 ± 6E-01 ‡	1,6E-01 ± 3E-01 ‡	4,2E-01 ± 2E-01	4,0E-02 ± 3E-01 ‡	8,7E-01 ± 8E-01	
U-238		7,5E-01 ± 3E-01	5,7E-02 ± 9E-02 ‡		5,2E-02 ± 7E-02 ‡	4,2E-02 ± 4E-02 ‡	9,0E-01 ± 3E-01	
Ra-226	1,8E+00 ± 1E-01	3,6E+00 ± 1E+00	3,7E-02 ± 2E-01 ‡	1,9E+00 ± 4E-01	2,3E+00 ± 3E-01	6,7E+00 ± 4E-01	1,6E+01 ± 1E+00	
Pb-210		1,9E-02 ± 5E-02 ‡		6,9E-02 ± 9E-02 ‡			8,8E-02 ± 1E-01	
Ra-228			1,3E+00 ± 1E+00 ‡	2,4E-01 ± 1E+00 ‡			1,5E+00 ± 2E+00	
Th-230	1,6E-02 ± 1E-02	3,2E-02 ± 3E-02 ‡		1,1E-01 ± 2E-02	5,3E-02 ± 4E-02	3,1E-02 ± 2E-02	2,4E-01 ± 5E-02	
Th-228	2,0E-01 ± 2E-01 ‡	3,9E-01 ± 2E-01	5,6E-01 ± 3E-01	7,6E-01 ± 3E-01	3,8E-01 ± 2E-01	7,5E-01 ± 3E-01	3,0E+00 ± 6E-01	
K-40	1,7E+01 ± 1E+00	7,4E+00 ± 4E-01	7,2E-01 ± 5E-01	1,0E+01 ± 5E-01	2,0E+01 ± 8E-01	1,1E+01 ± 8E-01	6,6E+01 ± 2E+00	
Be-7								
I-131								
Cs-134								
Cs-137	2,5E-02 ± 2E-02					6,8E-03 ± 2E-02 ‡	3,2E-02 ± 3E-02	
Co-58								
Co-60								
Cr-51								
Mn-54								
Zn-65								
Nb-95								
Ru-106								
Sb-125								
Sr-89/Sr-90	7,2E-03 †	8,2E-03 †	5,8E-03 †	7,3E-03 †	7,9E-03 †	1,5E-02 †	5,1E-02 x	
H-3	6,3E+01 ± 8E+00	2,9E+01 ± 3E+00	1,7E+01 ± 2E+00	1,8E+02 ± 1E+01	1,8E+02 ± 2E+01	7,4E+01 ± 5E+00	5,3E+02 ± 2E+01	

(*) Število, ki sledi znaku ±, je negotovost useda (apriorna negotovost).

(**) Visokoločljivostna spektrometrija gama je bila opravljena na Odseku F-2, radiokemijske analize Sr-89/Sr-90 in H-3 pa na Odseku O-2.

(‡) Rezultat meritve je pod mejo kvantifikacije.

(†) Rezultat meritve je pod mejo detekcije.

(x) Pri meji detekcije se kot predpostavljena vrednost upošteva 1/4 meje detekcije, zato se negotovosti letnega useda za izbrano leto ne podajajo z apriorno negotovostjo, temveč z aposteriorno negotovostjo.

LETO 2021 T - 39b
5. PADAVINE – mesečni sestavljeni vzorci

Izotopska analiza sevalcev gama in specifični analizi Sr-90/Sr-89 in H-3 (**), preračunane na KOLIČINO TEKOČIH PADAVIN

Vzorč. mesto	Dobova							Mesečno povprečje (za celo leto) (*)
	1. 7. 2021 - 2. 8. 2021	2. 8. 2021 - 1. 9. 2021	1. 9. 2021 - 4. 10. 2021	4. 10. 2021 - 2. 11. 2021	2. 11. 2021 - 1. 12. 2021	1. 12. 2021 - 29. 12. 2021		
Datum vzor.	19,70	20,66	12,43	22,29	20,14	21,33		
Kol. vzorca (L)	122,8	95,5	61,2	75,0	82,5	82,0		
Padavine (mm)	K21PD471	K21PD481	K21PD491	K21PD4A1	K21PD4B1	K21PD4C1		
Oznaka vzorca	KONCENTRACIJA AKTIVNOSTI (Bq/m ³)							
IZOTOP								
Na-22	4,0E+00 ± 4E+00 ‡	4,0E-01 ± 3E-01 ‡	3,1E+00 ± 9E+00 ‡	7,0E+00 ± 3E+00	6,1E-01 ± 3E-01	4,3E+00 ± 6E+00 ‡	8,4E-02 ± 4E-02	
U-238	1,7E+00 ± 8E-01	8,1E+00 ± 5E+00	4,4E+00 ± 3E+00		1,2E+01 ± 3E+00	1,5E+00 ± 3E+00 ‡	4,4E+00 ± 3E+00	
Ra-226	2,7E+02 ± 5E+01	7,3E+01 ± 1E+01	7,7E+01 ± 3E+01	6,2E+01 ± 7E+00	3,6E+01 ± 7E+00	2,4E+01 ± 5E+00	2,9E+00 ± 1E+00	
Pb-210	1,2E+00 ± 5E-01			1,3E+00 ± 9E-01	2,6E+00 ± 1E+00	1,2E+00 ± 1E+00 ‡	7,1E+01 ± 6E+00	
Ra-228							6,4E-01 ± 2E-01	
Th-230							5,5E+00 ± 6E+00	
Th-228	8,7E-01 ± 4E-01	3,7E-01 ± 5E-01 ‡	2,8E-01 ± 1E+00 ‡	6,0E-01 ± 4E-01	1,5E+00 ± 7E-01	1,7E+00 ± 8E-01	7,2E-01 ± 2E-01	
K-40	3,0E+01 ± 3E+00	1,1E+01 ± 4E+00	2,7E+01 ± 8E+00	1,1E+01 ± 8E+00	7,2E+00 ± 3E+00	3,5E+00 ± 5E+00 ‡	1,3E+01 ± 2E+00	
Be-7	1,2E+03 ± 4E+01	6,3E+02 ± 3E+01	4,0E+02 ± 2E+01	2,3E+02 ± 1E+01	6,7E+02 ± 3E+01	1,3E+02 ± 8E+00	3,5E+02 ± 6E+00	
I-131								
Cs-134								
Cs-137	2,3E-01 ± 2E-01			6,9E-02 ± 2E-01 ‡			5,9E-02 ± 4E-02	
Co-58								
Co-60								
Cr-51								
Mn-54								
Zn-65								
Nb-95								
Ru-106								
Sb-125								
Sr-89/Sr-90	1,2E-01 †	1,0E-01 †	1,8E-01 †	9,9E-02 †	1,2E-01 †	1,1E-01 †	1,5E-01 ± 3E-02 x	
H-3	1,5E+03 ± 1E+02	1,2E+03 ± 1E+02	8,6E+02 ± 9E+01	1,0E+03 ± 1E+02	9,5E+02 ± 9E+01	7,2E+02 ± 9E+01	1,1E+03 ± 3E+01	

(*) Število, ki sledi znaku ±, je negotovost povprečja (apriorna negotovost).

(**) Visokoločljivostna spektrometrija gama je bila opravljena na Odseku F-2, radiokemijske analize Sr-89/Sr-90 in H-3 pa na Odseku O-2.

(‡) Rezultat meritve je pod mejo kvantifikacije.

(†) Rezultat meritve je pod mejo detekcije.

(x) Pri meji detekcije se kot predpostavljena vrednost upošteva 1/4 meje detekcije, zato se negotovosti aritmetičnega povprečja za izbrano leto ne podajajo z apriorno negotovostjo, temveč z aposteriorno negotovostjo.

Izotopska analiza sevalcev gama in specifični analizi Sr-90/Sr-89 in H-3 (**), preračunane na ENOTO PRESTREZNE POVRŠINE

Vzorč. mesto	Dobova							Letni used (*)
	1. 7. 2021 - 2. 8. 2021	2. 8. 2021 - 1. 9. 2021	1. 9. 2021 - 4. 10. 2021	4. 10. 2021 - 2. 11. 2021	2. 11. 2021 - 1. 12. 2021	1. 12. 2021 - 29. 12. 2021		
Datum vzor.	19,7	20,7	12,4	22,3	20,1	21,3		
Kol. vzorca (L)	122,8	95,5	61,2	75,0	82,5	82,0		
Padavine (mm)	K21PD471	K21PD481	K21PD491	K21PD4A1	K21PD4B1	K21PD4C1		
Oznaka vzorca	KONCENTRACIJA AKTIVNOSTI (Bq/m ²)							
IZOTOP								
Na-22		3,8E-02 ± 3E-02 ‡	1,9E-01 ± 5E-01 ‡	5,2E-01 ± 2E-01	5,0E-02 ± 2E-02	8,9E-02 ± 4E-02		
U-238	5,0E-01 ± 5E-01 ‡	7,8E-01 ± 5E-01	2,7E-01 ± 2E-01		9,9E-01 ± 3E-01	4,2E+00 ± 1E+00		
Ra-226	2,0E-01 ± 1E-01		4,7E+00 ± 2E+00	4,6E+00 ± 5E-01	3,0E+00 ± 6E-01	1,9E+00 ± 4E-01	1,5E+00 ± 4E-01	
Pb-210	3,3E+01 ± 7E+00	7,0E+00 ± 1E+00		9,9E-02 ± 7E-02	1,9E+00 ± 4E-01	7,1E+01 ± 7E+00		
Ra-228	1,5E-01 ± 6E-02				2,2E-01 ± 1E-01	1,0E-01 ± 1E-01 ‡	6,5E-01 ± 2E-01	
Th-230							1,5E+00 ± 2E+00	
Th-228	1,1E-01 ± 5E-02	3,5E-02 ± 5E-02 ‡	1,7E-02 ± 8E-02 ‡	4,5E-02 ± 3E-02	1,3E-01 ± 5E-02	1,4E-01 ± 6E-02	7,1E-01 ± 1E-01	
K-40	3,7E+00 ± 4E-01	1,0E+00 ± 3E-01	1,7E+00 ± 5E-01	7,9E-01 ± 6E-01	6,0E-01 ± 3E-01	2,9E-01 ± 4E-01 ‡	1,1E+01 ± 1E+00	
Be-7	1,5E+02 ± 5E+00	6,0E+01 ± 2E+00	2,5E+01 ± 1E+00	1,7E+01 ± 9E-01	5,5E+01 ± 2E+00	1,1E+01 ± 6E-01	3,8E+02 ± 7E+00	
I-131								
Cs-134								
Cs-137	2,8E-02 ± 2E-02			5,2E-03 ± 2E-02 ‡			6,5E-02 ± 4E-02	
Co-58								
Co-60								
Cr-51								
Mn-54								
Zn-65								
Nb-95								
Ru-106								
Sb-125								
Sr-89/Sr-90	1,4E-02 †	9,7E-03 †	1,1E-02 †	7,4E-03 †	9,5E-03 †	9,2E-03 †	1,1E-01 x	
H-3	1,8E+02 ± 1E+01	1,1E+02 ± 1E+01	5,3E+01 ± 6E+00	7,5E+01 ± 8E+00	7,8E+01 ± 8E+00	5,9E+01 ± 7E+00	1,1E+03 ± 3E+01	

(*) Število, ki sledi znaku ±, je negotovost useda (apriorna negotovost).

(**) Visokoločljivostna spektrometrija gama je bila opravljena na Odseku F-2, radiokemijske analize Sr-89/Sr-90 in H-3 pa na Odseku O-2.

(‡) Rezultat meritve je pod mejo kvantifikacije.

(†) Rezultat meritve je pod mejo detekcije.

(x) Pri meji detekcije se kot predpostavljena vrednost upošteva 1/4 meje detekcije, zato se negotovosti letnega useda za izbrano leto ne podajajo z apriorno negotovostjo, temveč z aposteriorno negotovostjo.

LETO 2021 T - 40 a
5. PADAVINE – mesečni sestavljeni vzorci

Izotopska analiza sevalcev gama in specifična analiza H-3 (**), preračunane na KOLIČINO TEKOČIH PADAVIN

Vzorč. mesto	Ljubljana							Mesečno povprečje (za 1. polletje) (*)
Datum vzor.	29. 12. 2020 - 1. 2. 2021	1. 2. 2021 - 1. 3. 2021	1. 3. 2021 - 1. 4. 2021	1. 4. 2021 - 3. 5. 2021	3. 5. 2021 - 1. 6. 2021	1. 6. 2021 - 1. 7. 2021		
Kol. vzorca (L)	42,15	19,96	12,81	39,70	45,80	7,97		
Padavine (mm)***	177,6	81,8	57,0	161,0	215,4	31,7		
Oznaka vzorca	L21PD111	L21PD121	L21PD131	L21PD141	L21PD151	L21PD161		
IZOTOP	KONCENTRACIJA AKTIVNOSTI (Bq/m ²)							
Na-22				7,5E-02 ± 9E-02 ‡			1,2E-02 ± 1E-02	
U-238		6,6E+00 ± 3E+00		3,6E-01 ± 5E-01 ‡	2,1E+00 ± 1E+00	7,5E+00 ± 2E+01 ‡	2,8E+00 ± 3E+00	
Ra-226	5,7E+00 ± 8E-01			7,3E-01 ± 2E-01			1,1E+00 ± 1E-01	
Pb-210	4,0E+01 ± 4E+00	3,2E+01 ± 6E+00	4,9E+00 ± 6E+00 ‡	4,0E+01 ± 2E+00	1,8E+02 ± 9E+00	9,3E+01 ± 5E+01	6,4E+01 ± 8E+00	
Ra-228		1,1E+00 ± 8E-01	3,0E+00 ± 3E+00 ‡			2,2E+00 ± 4E+00 ‡	1,1E+00 ± 8E-01	
Th-230								
Th-228	1,1E+00 ± 1E+00 ‡	6,8E-01 ± 4E-01	7,8E-01 ± 3E+00 ‡	2,5E-01 ± 7E-02	3,9E-01 ± 1E-01	7,2E-01 ± 1E+00 ‡	6,5E-01 ± 5E-01	
K-40		3,0E+00 ± 4E+00 ‡	3,6E+00 ± 8E+00 ‡	6,5E+00 ± 1E+00	8,3E+00 ± 1E+00	1,4E+01 ± 9E+00	6,0E+00 ± 2E+00	
Be-7	2,6E+02 ± 1E+01	1,6E+02 ± 7E+00	1,4E+02 ± 9E+00	1,8E+02 ± 1E+01	1,1E+03 ± 7E+01	1,3E+02 ± 1E+01	3,3E+02 ± 1E+01	
I-131								
Cs-134								
Cs-137	1,8E-02 ± 2E-01 ‡	7,2E-02 ± 1E-01 ‡		3,8E-02 ± 9E-02 ‡	7,5E-02 ± 9E-02 ‡		3,4E-02 ± 4E-02	
Co-58								
Co-60								
Cr-51								
Mn-54								
Zn-65								
Nb-95								
Ru-106								
Sb-125								
H-3	4,5E+02 ± 8E+01	3,4E+02 ± 7E+01	5,6E+02 ± 8E+01	9,5E+02 ± 9E+01	6,5E+02 ± 8E+01	1,1E+03 ± 1E+02	6,7E+02 ± 3E+01	

(*) Število, ki sledi znaku ±, je negotovost povprečja (apriorna negotovost).

(**) Visokoločljivostna spektrometrija gama je bila opravljena na Odseku F-2, radiokemijske analize H-3 pa na Odseku O-2. Ker je bilo v februarju premalo vzorca (dežja), meritev H-3 ni bila opravljena.

*** Meritve količine padavin je opravila in posredovala Agencija RS za okolje (ARSO).

(‡) Rezultat meritve je pod mejo kvantifikacije.

(†) Rezultat meritve je pod mejo detekcije.

(x) Pri meji detekcije se kot predpostavljena vrednost upošteva 1/4 meje detekcije, zato se negotovosti letnega useda za izbrano leto ne podajajo z apriorno negotovostjo, temveč z aposteriornimi negotovostjo.

Izotopska analiza sevalcev gama in specifična analiza H-3 (**), preračunane na ENOTO PRESTREZNE POVRŠINE

Vzorč. mesto	Ljubljana							Polletni used (*)
Datum vzor.	29. 12. 2020 - 1. 2. 2021	1. 2. 2021 - 1. 3. 2021	1. 3. 2021 - 1. 4. 2021	1. 4. 2021 - 3. 5. 2021	3. 5. 2021 - 1. 6. 2021	1. 6. 2021 - 1. 7. 2021		
Kol. vzorca (L)	42,2	20,0	12,8	39,7	45,8	8,0		
Padavine (mm)***	177,6	81,8	57,0	161,0	215,4	31,7		
Oznaka vzorca	L21PD111	L21PD121	L21PD131	L21PD141	L21PD151	L21PD161		
IZOTOP	KONCENTRACIJA AKTIVNOSTI (Bq/m ²)							
Na-22		5,4E-01 ± 2E-01		1,2E-02 ± 1E-02 ‡			1,2E-02 ± 1E-02	
U-238				5,9E-02 ± 8E-02 ‡	4,5E-01 ± 3E-01	2,4E-01 ± 6E-01 ‡	1,3E+00 ± 8E-01	
Ra-226	1,0E+00 ± 1E-01	2,6E+00 ± 5E-01	2,8E-01 ± 3E-01 ‡	1,2E-01 ± 4E-02			1,1E+00 ± 1E-01	
Pb-210	7,1E+00 ± 7E-01	9,4E-02 ± 7E-02	1,7E-01 ± 2E-01 ‡	6,5E+00 ± 4E-01	3,8E+01 ± 2E+00	3,0E+00 ± 2E+00	5,7E+01 ± 3E+00	
Ra-228						7,0E-02 ± 1E-01 ‡	3,3E-01 ± 2E-01	
Th-230								
Th-228	1,9E-01 ± 2E-01 ‡	5,6E-02 ± 3E-02	4,4E-02 ± 1E-01 ‡	4,1E-02 ± 1E-02	8,5E-02 ± 3E-02	2,3E-02 ± 3E-02 ‡	4,4E-01 ± 3E-01	
K-40		2,5E-01 ± 3E-01 ‡	2,1E-01 ± 4E-01 ‡	1,0E+00 ± 2E-01	1,8E+00 ± 2E-01	4,5E-01 ± 3E-01	3,7E+00 ± 7E-01	
Be-7	4,6E+01 ± 2E+00	1,3E+01 ± 5E-01	7,9E+00 ± 5E-01	2,8E+01 ± 2E+00	2,3E+02 ± 2E+01	4,1E+00 ± 4E-01	3,3E+02 ± 2E+01	
I-131								
Cs-134								
Cs-137	3,2E-03 ± 3E-02 ‡	5,9E-03 ± 9E-03 ‡		6,0E-03 ± 1E-02 ‡	1,6E-02 ± 2E-02 ‡		3,1E-02 ± 4E-02	
Co-58								
Co-60								
Cr-51								
Mn-54								
Zn-65								
Nb-95								
Ru-106								
Sb-125								
H-3	8,0E+01 ± 1E+01	2,8E+01 ± 6E+00	3,2E+01 ± 5E+00	1,5E+02 ± 2E+01	1,4E+02 ± 2E+01	3,3E+01 ± 3E+00	4,7E+02 ± 3E+01	

(*) Število, ki sledi znaku ±, je negotovost useda (apriorna negotovost).

(**) Visokoločljivostna spektrometrija gama je bila opravljena na Odseku F-2, radiokemijske analize H-3 pa na Odseku O-2. Ker je bilo v februarju premalo vzorca (dežja), meritev H-3 ni bila opravljena.

*** Meritve količine padavin je opravila in posredovala Agencija RS za okolje (ARSO).

(‡) Rezultat meritve je pod mejo kvantifikacije.

(†) Rezultat meritve je pod mejo detekcije.

(x) Pri meji detekcije se kot predpostavljena vrednost upošteva 1/4 meje detekcije, zato se negotovosti letnega useda za izbrano leto ne podajajo z apriorno negotovostjo, temveč z aposteriornimi negotovostjo.

LETO 2021 T - 40 b
5. PADAVINE – mesečni sestavljeni vzorci

Izotopska analiza sevalcev gama in specifična analiza H-3 (**), preračunane na KOLIČINO TEKOČIH PADAVIN

Vzorč. mesto	Ljubljana							
Datum vzor.	1. 7. 2021 - 2. 8. 2021	2. 8. 2021 - 1. 9. 2021	1. 9. 2021 - 4. 10. 2021	4. 10. 2021 - 2. 11. 2021	2. 11. 2021 - 1. 12. 2021	1. 12. 2021 - 29. 12. 2021		Mesečno povprečje (za celo leto) (*)
Kol. vzorca (L)	24,76	23,55	29,45	17,36	32,61	28,59		
Padavine (mm)***	153,5	95,8	170,8	68,5	140,1	122,1		
Oznaka vzorca	L21PD171	L21PD181	L21PD191	L21PD1A1	L21PD1B1	L21PD1C1		
IZOTOP	KONCENTRACIJA AKTIVNOSTI (Bq/m ²)							
Na-22		3,1E-01 ± 2E-01						3,2E-02 ± 2E-02
U-238	2,7E+00 ± 2E+00 ‡	3,8E+00 ± 2E+00	7,8E-01 ± 2E+00 ‡	1,0E+01 ± 7E+00			6,8E+00 ± 3E+00	3,4E+00 ± 2E+00
Ra-226	1,1E+00 ± 8E-01	1,6E+00 ± 9E-01			3,5E+00 ± 1E+00			1,1E+00 ± 2E-01
Pb-210	2,0E+02 ± 1E+01	2,0E+02 ± 2E+01	4,1E+01 ± 2E+00	6,8E+01 ± 9E+00	2,8E+01 ± 3E+00		4,6E+01 ± 4E+00	8,1E+01 ± 5E+00
Ra-228	7,3E-01 ± 7E-01 ‡	1,7E+00 ± 1E+00		5,2E-01 ± 2E+00 ‡				7,7E-01 ± 4E-01
Th-230	3,9E+01 ± 2E+01		9,7E+00 ± 7E+00					4,0E+00 ± 2E+00
Th-228	7,4E-01 ± 2E-01	1,2E+00 ± 3E-01	1,1E-01 ± 1E-01 ‡	9,6E-01 ± 5E-01	2,5E-01 ± 2E-01 ‡	8,1E-01 ± 3E-01		6,7E-01 ± 3E-01
K-40	9,6E+00 ± 3E+00	1,2E+01 ± 2E+00	7,0E+00 ± 2E+00	7,9E+00 ± 5E+00	1,6E+00 ± 2E+00 ‡			6,1E+00 ± 1E+00
Be-7	8,8E+02 ± 3E+01	8,7E+02 ± 3E+01	2,8E+02 ± 2E+01	2,6E+02 ± 1E+01	2,9E+02 ± 1E+01	1,8E+02 ± 2E+01		3,9E+02 ± 8E+00
I-131								
Cs-134								
Cs-137		1,2E-01 ± 6E-01 ‡						2,7E-02 ± 5E-02
Co-58								
Co-60								
Cr-51								
Mn-54								
Zn-65								
Nb-95								
Ru-106								
Sb-125								
H-3	1,3E+03 ± 1E+02	8,4E+02 ± 9E+01	8,0E+02 ± 9E+01	5,6E+02 ± 8E+01	4,4E+02 ± 8E+01	4,0E+02 ± 7E+01		7,0E+02 ± 2E+01

(*) Število, ki sledi znaku ±, je negotovost povprečja (apriorna negotovost).

(**) Visokoločljivostna spektrometrija gama je bila opravljena na Odseku F-2, radiokemijske analize H-3 pa na Odseku O-2.

*** Meritve količine padavin je opravila in posredovala Agencija RS za okolje (ARSO).

(‡) Rezultat meritve je pod mejo kvantifikacije.

(x) Pri meji detekcije se kot predpostavljena vrednost upošteva 1/4 meje detekcije, zato se negotovosti letnega useda za izbrano leto ne podajajo z apriorno negotovostjo, temveč z aposteriorno negotovostjo.

Izotopska analiza sevalcev gama in specifična analiza H-3 (**), preračunane na ENOTO PRESTREZNE POVRŠINE

Vzorč. mesto	Ljubljana							
Datum vzor.	1. 7. 2021 - 2. 8. 2021	2. 8. 2021 - 1. 9. 2021	1. 9. 2021 - 4. 10. 2021	4. 10. 2021 - 2. 11. 2021	2. 11. 2021 - 1. 12. 2021	1. 12. 2021 - 29. 12. 2021		Letni used (*)
Kol. vzorca (L)	24,8	23,6	29,5	17,4	32,6	28,6		
Padavine (mm)***	153,5	95,8	170,8	68,5	140,1	122,1		
Oznaka vzorca	L21PD171	L21PD181	L21PD191	L21PD1A1	L21PD1B1	L21PD1C1		
IZOTOP	KONCENTRACIJA AKTIVNOSTI (Bq/m ²)							
Na-22		2,9E-02 ± 2E-02						4,1E-02 ± 3E-02
U-238	4,2E-01 ± 4E-01 ‡	3,6E-01 ± 2E-01	1,3E-01 ± 3E-01 ‡	7,1E-01 ± 5E-01			8,3E-01 ± 3E-01	3,7E+00 ± 1E+00
Ra-226	1,7E-01 ± 1E-01	1,5E-01 ± 9E-02			5,0E-01 ± 2E-01			1,9E+00 ± 3E-01
Pb-210	3,0E+01 ± 1E+00	1,9E+01 ± 2E+00	7,0E+00 ± 4E-01	4,7E+00 ± 6E-01	3,9E+00 ± 5E-01		5,6E+00 ± 5E-01	1,3E+02 ± 4E+00
Ra-228	1,1E-01 ± 1E-01 ‡	1,6E-01 ± 1E-01		3,6E-02 ± 1E-01 ‡				6,4E-01 ± 3E-01
Th-230	6,0E+00 ± 3E+00		1,7E+00 ± 1E+00					7,6E+00 ± 3E+00
Th-228	1,1E-01 ± 4E-02	1,2E-01 ± 3E-02	1,9E-02 ± 2E-02 ‡	6,5E-02 ± 3E-02	3,5E-02 ± 3E-02 ‡	9,8E-02 ± 4E-02		8,9E-01 ± 3E-01
K-40	1,5E+00 ± 5E-01	1,1E+00 ± 2E-01	1,2E+00 ± 3E-01	5,4E-01 ± 4E-01	2,3E-01 ± 2E-01 ‡			8,3E+00 ± 1E+00
Be-7	1,4E+02 ± 5E+00	8,3E+01 ± 3E+00	4,8E+01 ± 3E+00	1,8E+01 ± 8E-01	4,1E+01 ± 2E+00	2,2E+01 ± 2E+00		6,8E+02 ± 2E+01
I-131								
Cs-134								
Cs-137		1,2E-02 ± 5E-02 ‡						4,3E-02 ± 7E-02
Co-58								
Co-60								
Cr-51								
Mn-54								
Zn-65								
Nb-95								
Ru-106								
Sb-125								
H-3	2,0E+02 ± 2E+01	8,0E+01 ± 9E+00	1,4E+02 ± 2E+01	3,8E+01 ± 6E+00	6,2E+01 ± 1E+01	4,9E+01 ± 9E+00		1,0E+03 ± 4E+01

(*) Število, ki sledi znaku ±, je negotovost useda (apriorna negotovost).

(**) Visokoločljivostna spektrometrija gama je bila opravljena na Odseku F-2, radiokemijske analize H-3 pa na Odseku O-2.

*** Meritve količine padavin je opravila in posredovala Agencija RS za okolje (ARSO).

(‡) Rezultat meritve je pod mejo kvantifikacije.

(x) Pri meji detekcije se kot predpostavljena vrednost upošteva 1/4 meje detekcije, zato se negotovosti letnega useda za izbrano leto ne podajajo z apriorno negotovostjo, temveč z aposteriorno negotovostjo.

LETO 2021 T - 41
5. PREGLED SPECIFIČNIH ANALIZ H-3 V DEŽEVNICI V LETU 2021

Specifična analiza H-3 (**) preračunana na KOLIČINO TEKOČIH PADAVIN in ENOTO PRESTREZNE POVRŠINE

Vzorč. mesto	Krško			Brege			Dobova			Ljubljana		
	Padavine***	Koncentracija aktivnosti		Padavine***	Koncentracija aktivnosti		Padavine***	Koncentracija aktivnosti		Padavine***	Koncentracija aktivnosti	
Mesec vzorčevanja	mm	kBq/m ³	kBq/m ²	mm	kBq/m ³	kBq/m ²	mm	kBq/m ³	kBq/m ²	mm	kBq/m ³	kBq/m ²
Januar	77,0	1,4E+00	1,1E-01	98,7	2,6E+00	2,6E-01	92,7	6,8E-01	6,3E-02	177,6	4,5E-01	8,0E-02
Februar	26,3	1,5E+00	4,0E-02	27,0	4,9E+00	1,3E-01	31,7	9,0E-01	2,9E-02	81,8	3,4E-01	2,8E-02
Marec	22,8	1,2E+00	2,8E-02	30,4	2,0E+00	6,1E-02	20,0	8,5E-01	1,7E-02	57,0	5,6E-01	3,2E-02
April	78,0	3,1E+00	2,4E-01	79,6	5,3E+00	4,3E-01	92,6	1,9E+00	1,8E-01	161,0	9,5E-01	1,5E-01
Maj	143,6	1,4E+00	2,1E-01	196,4	2,0E+00	4,0E-01	165,7	1,1E+00	1,8E-01	215,4	6,5E-01	1,4E-01
Junij	36,8	1,5E+00	5,6E-02	32,2	1,8E+00	5,8E-02	49,0	1,5E+00	7,4E-02	31,7	1,1E+00	3,3E-02
Julij	120,3	1,6E+00	2,0E-01	106,3	1,7E+00	1,8E-01	122,8	1,5E+00	1,8E-01	153,5	1,3E+00	2,0E-01
Avgust	73,1	9,9E-01	7,2E-02	52,5	1,2E+00	6,3E-02	95,5	1,2E+00	1,1E-01	95,8	8,4E-01	8,0E-02
September	46,7	1,1E+00	5,3E-02	60,7	1,3E+00	8,0E-02	61,2	8,6E-01	5,3E-02	170,8	8,0E-01	1,4E-01
Oktober	60,5	1,1E+00	6,8E-02	86,0	3,2E+00	2,7E-01	75,0	1,0E+00	7,5E-02	68,5	5,6E-01	3,8E-02
November	77,8	9,4E-01	7,3E-02	76,9	1,8E+00	1,4E-01	82,5	9,5E-01	7,8E-02	140,1	4,4E-01	6,2E-02
December	76,2	9,9E-01	7,5E-02	80,9	3,8E+00	3,0E-01	82,0	7,2E-01	5,9E-02	122,1	4,0E-01	4,9E-02
Mesečno povprečje (za celo leto) (kBq/m ³)	1,41	±	3,4E-02	2,64E+00	±	5,3E-02	1,09E+00	±	2,9E-02	6,95E-01	±	2,5E-02
Celotna vrednost	839		1,2E+00	928		2,4E+00	971		1,1E+00	1475		1,0E+00
	mm		kBq/m ²	mm		kBq/m ²	mm		kBq/m ²	mm		kBq/m ²

(**) Radiokemijske analize H-3 so bile opravljene na Odseku O-2.

*** Meritve količine padavin je opravila in posredovala Agencija RS za okolje (ARSO).

LETO 2021 T - 42/1a
6. SUHI USED – VAZELINSKE PLOŠČE



Izotopska analiza sevalcev gama (**)

Vzorč. mesto	širša okolica NEK (2-5)							Polletna vsota	Polletni used (*)
Datum vzor.	29. 12. 2020 - 1. 2. 2021	1. 2. 2021 - 1. 3. 2021	1. 3. 2021 - 1. 4. 2021	1. 4. 2021 - 3. 5. 2021	3. 5. 2021 - 1. 6. 2021	1. 6. 2021 - 1. 7. 2021			
Kol. vzorca (g)	91,9	89,2	75,0	60,8	69,8	93,5			
Padavine (mm)***	87,9	26,7	26,6	78,8	170,0	34,5			
Oznaka vzorca	K21PV211	K21PV222	K21PV231	K21PV241	K21PV251	K21PV261			
IZOTOP	KONCENTRACIJA AKTIVNOSTI (Bq/m ²)								
Na-22									
U-238	1,0E-01 ± 9E-02 ‡	3,6E-02 ± 6E-02 ‡	2,5E-02 ± 3E-01 ‡	1,1E-01 ± 7E-02	9,0E-02 ± 8E-02 ‡		3,6E-01 ± 3E-01	1,8E+00 ± 2E+00	
Ra-226	6,9E-02 ± 6E-02 ‡	1,9E-02 ± 1E-02	2,4E-01 ± 2E-01 ‡	5,6E-02 ± 3E-02	1,1E-01 ± 1E-01 ‡	2,5E-01 ± 3E-01 ‡	7,5E-01 ± 4E-01	3,7E+00 ± 2E+00	
Pb-210	4,2E+00 ± 2E-01	3,6E+00 ± 2E-01	8,8E-01 ± 4E-01	1,3E+01 ± 7E-01	7,9E+00 ± 5E-01	2,3E+00 ± 1E+00	3,1E+01 ± 1E+00	1,6E+02 ± 7E+00	
Ra-228			8,6E-02 ± 4E-02	4,1E-02 ± 2E-02			1,3E-01 ± 5E-02	6,4E-01 ± 2E-01	
Tl-230		7,5E-01 ± 6E-01 ‡					7,5E-01 ± 6E-01	3,7E+00 ± 3E+00	
Tl-228	2,0E-01 ± 1E-02	3,8E-02 ± 7E-03	1,0E-01 ± 2E-02	5,1E-02 ± 9E-03	9,6E-02 ± 1E-02	4,1E-02 ± 3E-02	5,2E-01 ± 4E-02	2,6E+00 ± 2E-01	
K-40		3,2E-01 ± 1E-01	3,1E-01 ± 1E-01	4,5E-01 ± 1E-01	2,9E-01 ± 9E-02	1,9E-01 ± 3E-01 ‡	1,5E+00 ± 3E-01	7,7E+00 ± 2E+00	
Be-7	1,7E+01 ± 1E+00	1,4E+01 ± 2E+00	1,5E+01 ± 8E-01	8,3E+01 ± 5E+00	9,0E+01 ± 6E+00	2,7E+01 ± 1E+00	2,4E+02 ± 8E+00	1,2E+03 ± 4E+01	
I-131									
Cs-134									
Cs-137		5,9E-04 ± 4E-03 ‡	3,7E-03 ± 1E-02 ‡	8,8E-03 ± 7E-03 ‡			1,3E-02 ± 1E-02	6,5E-02 ± 6E-02	
Co-58									
Co-60									
Cr-51									
Mn-54									
Zn-65									
Nb-95									
Ru-106									
Sb-125									

(*) Ocena je narejena ob upoštevanju 20-odstotnega zbiralnega izkoristka vazelinskih plošč.

(**) Visokoločljivostna spektrometrija gama je bila opravljena na Odseku F-2.

*** Meritve količine padavin je opravila in posredovala Agencija RS za okolje (ARSO).

(‡) Rezultat meritve je pod mejo kvantifikacije.

LETO 2021 T - 42/1b
6. SUHI USED – VAZELINSKE PLOŠČE



Izotopska analiza sevalcev gama (**)

Vzorč. mesto	širša okolica NEK (2-5)							Letna vsota	Letni used (*)
Datum vzor.	1. 7. 2021 - 2. 8. 2021	2. 8. 2021 - 1. 9. 2021	1. 9. 2021 - 4. 10. 2021	4. 10. 2021 - 2. 11. 2021	2. 11. 2021 - 1. 12. 2021	1. 12. 2021 - 29. 12. 2021			
Kol. vzorca (g)	53,1	67,8	81,5	93,6	73,6	59,6			
Padavine (mm)***	113,3	62,8	53,7	73,3	77,4	78,6			
Oznaka vzorca	K21PV271	K21PV281	K21PV291	K21PV2A1	K21PV2B1	K21PV2C1			
IZOTOP	KONCENTRACIJA AKTIVNOSTI (Bq/m ²)								
Na-22									
U-238	1,9E-01 ± 2E-01 ‡		9,7E-02 ± 5E-02	1,1E-01 ± 7E-02	1,1E-01 ± 1E-01 ‡	6,1E-02 ± 2E-01 ‡	9,2E-01 ± 4E-01	4,6E+00 ± 2E+00	
Ra-226	5,8E-02 ± 3E-02	1,1E-01 ± 1E-01 ‡	8,9E-03 ± 2E-02 ‡	8,9E-03 ± 2E-02 ‡	1,9E-01 ± 2E-01 ‡	1,6E+00 ± 2E-01	1,1E+00 ± 4E-01	5,6E+00 ± 2E+00	
Pb-210	8,9E+00 ± 4E-01	6,3E+00 ± 7E-01	6,7E+00 ± 4E-01	6,1E+00 ± 3E-01	4,6E+00 ± 3E-01	1,6E+00 ± 2E-01	6,5E+01 ± 2E+00	3,3E+02 ± 9E+00	
Ra-228	5,7E-02 ± 4E-02	5,0E-02 ± 5E-02 ‡			5,1E-02 ± 6E-02 ‡		2,9E-01 ± 1E-01	1,4E+00 ± 5E-01	
Tl-230							7,5E-01 ± 6E-01	3,7E+00 ± 3E+00	
Tl-228	3,8E-02 ± 2E-02	6,5E-02 ± 3E-02	3,7E-02 ± 1E-02	2,9E-02 ± 1E-02	2,9E-02 ± 1E-02	1,7E-01 ± 2E-02	8,9E-01 ± 6E-02	4,5E+00 ± 3E-01	
K-40	8,6E-01 ± 2E-01		4,0E-01 ± 9E-02	2,6E-01 ± 9E-02	2,7E-01 ± 2E-01		3,3E+00 ± 4E-01	1,7E+01 ± 2E+00	
Be-7	7,2E+01 ± 4E+00	4,9E+01 ± 2E+00	4,7E+01 ± 4E+00	2,7E+01 ± 2E+00	1,4E+01 ± 6E-01	8,2E+00 ± 4E-01	4,6E+02 ± 1E+01	2,3E+03 ± 5E+01	
I-131									
Cs-134									
Cs-137							1,3E-02 ± 1E-02	6,5E-02 ± 6E-02	
Co-58									
Co-60									
Cr-51									
Mn-54									
Zn-65									
Nb-95									
Ru-106									
Sb-125									

(*) Ocena je narejena ob upoštevanju 20-odstotnega zbiralnega izkoristka vazelinskih plošč.

(**) Visokoločljivostna spektrometrija gama je bila opravljena na Odseku F-2.

*** Meritve količine padavin je opravila in posredovala Agencija RS za okolje (ARSO).

(‡) Rezultat meritve je pod mejo kvantifikacije.

LETO 2021 T - 42/2a
6. SUHI USED – VAZELINSKE PLOŠČE



Izotopska analiza sevalcev gama (**)

Vzorč. mesto	daljna okolica NEK								Polletna vsota	Polletni used (*)
	29. 12. 2020 - 1. 2. 2021	1. 2. 2021 - 1. 3. 2021	1. 3. 2021 - 1. 4. 2021	1. 4. 2021 - 3. 5. 2021	3. 5. 2021 - 1. 6. 2021	1. 6. 2021 - 1. 7. 2021				
Datum vzor.	24,9	25,1	21,8	17,9	15,5	20,2				
Kol. vzorca (g)	92,7	31,7	20,0	92,6	165,7	49,0				
Padavine (mm)	K21PV2611	K21PV2622	K21PV2631	K21PV2641	K21PV2651	K21PV2661				
Omaka vzorca	KONCENTRACIJA AKTIVNOSTI (Bq/m ²)									
IZOTOP										
Na-22	3,8E-01 ± 3E-01	4,9E-01 ± 5E-01 ‡		3,9E-01 ± 5E-01 ‡	1,4E-01 ± 1E-01 ‡	4,0E-01 ± 3E-01	1,8E+00 ± 8E-01	9,0E+00 ± 4E+00		
U-238		4,6E-01 ± 5E-01 ‡			1,1E-01 ± 3E-01 ‡	1,3E-01 ± 1E-01 ‡	7,0E-01 ± 6E-01	3,5E+00 ± 3E+00		
Ra-226		2,4E+00 ± 5E-01	2,4E+00 ± 2E-01		6,5E+00 ± 4E-01	3,7E+00 ± 6E-01	3,1E+01 ± 1E+00	1,5E+02 ± 6E+00		
Pb-210	3,7E+00 ± 6E-01	7,0E-02 ± 1E-01 ‡		1,2E+01 ± 6E-01			1,3E-01 ± 1E-01	6,5E-01 ± 6E-01		
Ra-228	6,1E-02 ± 7E-02 ‡									
Tb-230										
Tb-228	7,6E-02 ± 3E-02	1,3E-01 ± 1E-01 ‡	1,1E-01 ± 2E-02	1,3E-01 ± 4E-02	8,5E-02 ± 2E-02	7,7E-02 ± 4E-02	6,2E-01 ± 1E-01	3,1E+00 ± 6E-01		
K-40	6,0E-02 ± 3E-01 ‡	7,2E-01 ± 4E-01	8,7E-01 ± 4E-01	5,3E-01 ± 3E-01		6,0E-01 ± 8E-01 ‡	2,8E+00 ± 1E+00	1,4E+01 ± 5E+00		
Be-7	9,4E+00 ± 4E-01	1,2E+01 ± 1E+00	1,3E+01 ± 9E-01	5,7E+01 ± 3E+00	6,1E+01 ± 4E+00	2,8E+01 ± 1E+00	1,8E+02 ± 5E+00	9,0E+02 ± 3E+01		
I-131										
Cs-134										
Cs-137		1,7E-03 ± 2E-02 ‡					1,7E-03 ± 2E-02	8,3E-03 ± 8E-02		
Co-58										
Co-60										
Cr-51										
Mn-54										
Zn-65										
Nb-95										
Ru-106										
Sb-125										

(*) Ocena je narejena ob upoštevanju 20-odstotnega zbiralnega izkoristka vazelinskih plošč.

(**) Visokoločljivostna spektrometrija gama je bila opravljena na Odseku F-2.

(‡) Rezultat meritve je pod mejo kvantifikacije.

LETO 2021 T - 42/2b
6. SUHI USED – VAZELINSKE PLOŠČE



Izotopska analiza sevalcev gama (**)

Vzorč. mesto	daljna okolica NEK							Letna vsota	Letni used (*)	
	1. 7. 2021 - 2. 8. 2021	2. 8. 2021 - 1. 9. 2021	1. 9. 2021 - 4. 10. 2021	4. 10. 2021 - 2. 11. 2021	2. 11. 2021 - 1. 12. 2021	1. 12. 2021 - 29. 12. 2021				
Datum vzor.	13,5	13,8	20,0	17,2	15,4	18,2				
Kol. vzorca (g)	122,8	95,5	61,2	75,0	82,5	82,0				
Padavine (mm)	K21PV2671	K21PV2681	K21PV2691	K21PV26A1	K21PV26B1	K21PV26C1				
Omaka vzorca	KONCENTRACIJA AKTIVNOSTI (Bq/m ²)									
IZOTOP										
Na-22	8,8E-02 ± 3E-01 ‡	6,2E-01 ± 2E-01		7,9E-01 ± 4E-01	8,7E-01 ± 4E-01		4,2E+00 ± 1E+00	2,1E+01 ± 5E+00		
U-238			1,7E-01 ± 9E-02	1,2E-02 ± 6E-02 ‡			1,2E+00 ± 6E-01	6,1E+00 ± 3E+00		
Ra-226			5,4E+00 ± 6E-01	5,6E+00 ± 6E-01	4,0E+00 ± 5E-01		1,7E+00 ± 6E-01	6,2E+01 ± 2E+00		
Pb-210	9,9E+00 ± 8E-01	4,8E+00 ± 4E-01					1,3E-01 ± 1E-01	6,5E-01 ± 6E-01		
Ra-228										
Tb-230				3,1E+00 ± 3E+00 ‡			3,1E+00 ± 3E+00	1,5E+01 ± 1E+01		
Tb-228	9,3E-02 ± 6E-02	7,7E-03 ± 5E-02 ‡	1,5E-01 ± 8E-02	6,0E-02 ± 4E-02	4,1E-02 ± 1E-01 ‡	9,6E-02 ± 6E-02	1,1E+00 ± 2E-01	5,3E+00 ± 1E+00		
K-40	1,2E+00 ± 4E-01			1,1E+00 ± 5E-01			5,1E+00 ± 1E+00	2,6E+01 ± 6E+00		
Be-7	6,0E+01 ± 3E+00	4,1E+01 ± 8E+00	3,7E+01 ± 2E+00	2,3E+01 ± 1E+00	7,0E+00 ± 1E+00	4,2E+00 ± 6E-01	3,5E+02 ± 1E+01	1,8E+03 ± 5E+01		
I-131										
Cs-134										
Cs-137							1,7E-03 ± 2E-02	8,3E-03 ± 8E-02		
Co-58										
Co-60										
Cr-51										
Mn-54										
Zn-65										
Nb-95										
Ru-106										
Sb-125										

(*) Ocena je narejena ob upoštevanju 20-odstotnega zbiralnega izkoristka vazelinskih plošč.

(**) Visokoločljivostna spektrometrija gama je bila opravljena na Odseku F-2.

(‡) Rezultat meritve je pod mejo kvantifikacije.

LETO 2021 T - 42/3a
6. SUHI USED – VAZELINSKE PLOŠČE



Izotopska analiza sevalcev gama (**)

Vzorč. mesto	ožja okolica NEK (mesta 1, 7, 8)								
Datum vzor.	29. 12. 2020 - 1. 2. 2021	1. 2. 2021 - 1. 3. 2021	1. 3. 2021 - 1. 4. 2021	1. 4. 2021 - 3. 5. 2021	3. 5. 2021 - 1. 6. 2021	1. 6. 2021 - 1. 7. 2021			
Kol. vzorca (g)	74,9	58,3	60,5	53,2	56,6	69,3			
Padavine (mm)	77,0	26,3	22,8	78,0	143,6	36,8	Polletna vsota	Polletni used (*)	
Oznaka vzorca	K21PV311	K21PV322	K21PV331	K21PV341	K21PV351	K21PV361			
IZOTOP	KONCENTRACIJA AKTIVNOSTI (Bq/m ²)								
Na-22									
U-238	4,5E-01 ± 3E-01	2,1E-01 ± 2E-01 ‡	2,0E-01 ± 2E-01 ‡	3,7E-01 ± 4E-01 ‡		4,4E-01 ± 2E-01	1,7E+00 ± 6E-01	8,3E+00 ± 3E+00	
Ra-226	2,6E-01 ± 2E-01	1,5E-01 ± 1E-01 ‡	2,0E-01 ± 8E-02	6,7E-02 ± 3E-02	3,8E-01 ± 2E-01	7,5E-02 ± 2E-01 ‡	1,1E+00 ± 4E-01	5,7E+00 ± 2E+00	
Pb-210	6,0E+00 ± 5E-01	3,1E+00 ± 3E-01	2,8E+00 ± 3E-01	1,5E+01 ± 7E-01	8,8E+00 ± 7E-01	4,5E+00 ± 5E-01	4,0E+01 ± 1E+00	2,0E+02 ± 6E+00	
Ra-228	8,5E-02 ± 7E-02 ‡	1,3E-01 ± 9E-02	1,2E-02 ± 3E-02 ‡		1,2E-01 ± 4E-02	8,6E-02 ± 5E-02	4,3E-01 ± 1E-01	2,2E+00 ± 7E-01	
Th-230									
Th-232	2,6E-01 ± 2E-02	4,2E-02 ± 2E-02	6,3E-02 ± 3E-02	8,4E-02 ± 5E-02	1,5E-01 ± 3E-02	6,2E-02 ± 3E-02	6,6E-01 ± 8E-02	3,3E+00 ± 4E-01	
K-40		4,1E-01 ± 2E-01	1,7E+00 ± 2E-01	8,2E-01 ± 2E-01	9,0E-01 ± 3E-01	1,4E+00 ± 2E-01	5,2E+00 ± 6E-01	2,6E+01 ± 3E+00	
Be-7	2,2E+01 ± 8E-01	1,4E+01 ± 8E-01	1,8E+01 ± 9E-01	9,6E+01 ± 4E+00	9,5E+01 ± 4E+00	3,1E+01 ± 1E+00	2,8E+02 ± 6E+00	1,4E+03 ± 3E+01	
I-131									
Cs-134									
Cs-137		4,8E-03 ± 1E-02 ‡	2,7E-02 ± 2E-02	2,4E-02 ± 1E-02	2,3E-02 ± 1E-02	2,6E-02 ± 1E-02	1,1E-01 ± 3E-02	5,3E-01 ± 1E-01	
Co-58									
Co-60									
Cy-51									
Mn-54									
Zn-65									
Nb-95									
Ru-106									
Sb-125									

(*) Ocena je narejena ob upoštevanju 20-odstotnega zbiralnega izkoristka vazelinskih plošč.

(**) Visokoločljivostna spektrometrija gama je bila opravljena na Odseku F-2.

(‡) Rezultat meritve je pod mejo kvantifikacije.

LETO 2021 T - 42/3b
6. SUHI USED – VAZELINSKE PLOŠČE



Izotopska analiza sevalcev gama (**)

Vzorč. mesto	ožja okolica NEK (mesta 1, 7, 8)							
Datum vzor.	1. 7. 2021 - 2. 8. 2021	2. 8. 2021 - 1. 9. 2021	1. 9. 2021 - 4. 10. 2021	4. 10. 2021 - 2. 11. 2021	2. 11. 2021 - 1. 12. 2021	1. 12. 2021 - 29. 12. 2021		
Kol. vzorca (g)	48,2	44,8	65,6	72,6	64,7	47,7		
Padavine (mm)	120,3	73,1	46,7	60,5	77,8	76,2	Letna vsota	Letni used (*)
Oznaka vzorca	K21PV371	K21PV381	K21PV391	K21PV3A1	K21PV3B1	K21PV3C1		
IZOTOP	KONCENTRACIJA AKTIVNOSTI (Bq/m ²)							
Na-22								
U-238	2,6E-01 ± 2E-01	5,6E-01 ± 2E-01		2,0E-02 ± 6E-02 ‡	5,9E-02 ± 3E-01 ‡		2,6E+00 ± 7E-01	1,3E+01 ± 4E+00
Ra-226		3,4E-01 ± 5E-01 ‡		9,8E-04 ± 2E-02 ‡	1,6E-01 ± 1E-01	3,6E-01 ± 2E-01	2,0E+00 ± 6E-01	1,0E+01 ± 3E+00
Pb-210	9,0E+00 ± 7E-01	6,6E+00 ± 7E-01	6,5E+00 ± 6E-01	5,5E+00 ± 3E-01	4,4E+00 ± 4E-01	1,8E+00 ± 3E-01	7,4E+01 ± 2E+00	3,7E+02 ± 9E+00
Ra-228		3,6E-02 ± 7E-02 ‡		1,2E-02 ± 2E-02 ‡		1,9E-02 ± 3E-02 ‡	5,0E-01 ± 2E-01	2,5E+00 ± 8E-01
Th-230								
Th-232	2,9E-02 ± 5E-02 ‡	3,5E-02 ± 3E-02 ‡	1,7E-01 ± 5E-02	7,2E-03 ± 6E-03 ‡	6,9E-02 ± 3E-02	3,0E-01 ± 3E-02	1,3E+00 ± 1E-01	6,4E+00 ± 6E-01
K-40		1,9E-01 ± 2E-01 ‡	7,6E-01 ± 2E-01	7,7E-02 ± 6E-02 ‡	1,6E-01 ± 2E-01 ‡	1,1E-01 ± 1E-01 ‡	6,5E+00 ± 7E-01	3,3E+01 ± 3E+00
Be-7	7,5E+01 ± 7E+00	5,4E+01 ± 2E+00	4,1E+01 ± 2E+00	2,5E+01 ± 2E+00	1,0E+01 ± 5E-01	6,6E+00 ± 3E-01	4,9E+02 ± 1E+01	2,4E+03 ± 5E+01
I-131								
Cs-134								
Cs-137						7,2E-03 ± 2E-02 ‡	1,1E-01 ± 4E-02	5,6E-01 ± 2E-01
Co-58								
Co-60								
Cy-51								
Mn-54								
Zn-65								
Nb-95								
Ru-106								
Sb-125								

(*) Ocena je narejena ob upoštevanju 20-odstotnega zbiralnega izkoristka vazelinskih plošč.

(**) Visokoločljivostna spektrometrija gama je bila opravljena na Odseku F-2.

(‡) Rezultat meritve je pod mejo kvantifikacije.

LETO 2021 T - 42/4a
6. SUHI USED – VAZELINSKE PLOŠČE



Izotopska analiza sevalcev gama (**)

Vzorč. mesto	Ljubljana IJS									
Datum vzor.	29. 12. 2020 - 1. 2. 2021	1. 2. 2021 - 1. 3. 2021	1. 3. 2021 - 1. 4. 2021	1. 4. 2021 - 3. 5. 2021	3. 5. 2021 - 1. 6. 2021	1. 6. 2021 - 1. 7. 2021			Polletna vsota	Polletni used
Kol. vzorca (g)	24,2	25,9	20,5	9,9	15,7	20,7				
Padavine (mm)***	177,6	81,8	57,0	161,0	215,4	31,7				
Oznaka vzorca	L21PV111	L21PV122	L21PV131	L21PV141	L21PV151	L21PV161				
IZOTOP	KONCENTRACIJA AKTIVNOSTI (Bq/m ²)									
Na-22										
U-238		8,9E-01 ± 5E-01	4,7E-01 ± 3E-01	4,4E-01 ± 4E-01 ‡	2,4E-01 ± 5E-01 ‡	3,3E-01 ± 3E-01 ‡	2,4E+00 ± 1E+00	1,2E+01 ± 5E+00		
Ra-226	5,6E-01 ± 4E-01	6,7E-01 ± 4E-01	2,3E-02 ± 6E-02 ‡	4,7E-01 ± 2E-01	1,7E+00 ± 6E-01	1,7E+00 ± 6E-01	1,7E+00 ± 6E-01	8,6E+00 ± 3E+00		
Pb-210	4,8E+00 ± 6E-01	1,9E+00 ± 4E-01	4,5E+00 ± 4E-01	8,2E+00 ± 6E-01	7,8E+00 ± 6E-01	3,8E+00 ± 5E-01	3,1E+01 ± 1E+00	1,6E+02 ± 6E+00		
Ra-228			3,4E-02 ± 9E-02 ‡	1,1E-01 ± 1E-01 ‡	2,3E-02 ± 1E-01 ‡		1,7E-01 ± 2E-01	8,3E-01 ± 8E-01		
Th-230				1,3E-01 ± 1E+00 ‡	3,4E+00 ± 3E+00		3,6E+00 ± 3E+00	1,8E+01 ± 1E+01		
Th-228	2,6E-01 ± 2E-01	5,5E-02 ± 4E-02 ‡		6,3E-02 ± 5E-02	1,3E-01 ± 5E-02		5,0E-01 ± 2E-01	2,5E+00 ± 9E-01		
K-40		2,1E-01 ± 3E-01 ‡	7,0E-01 ± 3E-01		3,8E-01 ± 4E-01 ‡		1,3E+00 ± 6E-01	6,5E+00 ± 3E+00		
Bc-7	1,2E+01 ± 7E-01	1,3E+01 ± 1E+00	2,7E+01 ± 1E+00	6,0E+01 ± 3E+00	9,0E+01 ± 5E+00	3,1E+01 ± 3E+00	2,3E+02 ± 7E+00	1,2E+03 ± 3E+01		
I-131										
Cs-134										
Cs-137										
Co-58										
Co-60										
Cr-51										
Mn-54										
Zn-65										
Nb-95										
Ru-106										
Sb-125										

(*) Ocena je narejena ob upoštevanju 20-odstotnega zbiralnega izkoristka vazelinskih plošč.

(**) Visokoločljivostna spektrometrija gama je bila opravljena na Odseku F-2.

*** Meritve količine padavin je opravila in posredovala Agencija RS za okolje (ARSO).

(‡) Rezultat meritve je pod mejo kvantifikacije.

LETO 2021 T - 42/4b
6. SUHI USED – VAZELINSKE PLOŠČE



Izotopska analiza sevalcev gama (**)

Vzorč. mesto	Ljubljana IJS									
Datum vzor.	1. 7. 2021 - 2. 8. 2021	2. 8. 2021 - 1. 9. 2021	1. 9. 2021 - 4. 10. 2021	4. 10. 2021 - 2. 11. 2021	2. 11. 2021 - 1. 12. 2021	1. 12. 2021 - 29. 12. 2021			Letna vsota	Letni used
Kol. vzorca (g)	14,9	11,0	19,3	25,3	17,4	16,5				
Padavine (mm)***	153,5	95,8	170,8	68,5	140,1	122,1				
Oznaka vzorca	L21PV171	L21PV181	L21PV191	L21PV1A1	L21PV1B1	L21PV1C1				
IZOTOP	KONCENTRACIJA AKTIVNOSTI (Bq/m ²)									
Na-22										
U-238	7,4E-01 ± 3E-01		1,7E-01 ± 4E-01 ‡	2,5E-01 ± 4E-01 ‡	7,8E-01 ± 4E-01	8,9E-01 ± 3E-01	5,2E+00 ± 1E+00	2,6E+01 ± 6E+00		
Ra-226		2,1E+00 ± 1E+00	1,7E-01 ± 9E-02	6,4E-02 ± 9E-02 ‡	1,3E-01 ± 4E-01 ‡		4,2E+00 ± 1E+00	2,1E+01 ± 7E+00		
Pb-210	9,7E+00 ± 9E-01	5,0E+00 ± 6E-01	5,7E+00 ± 6E-01	5,4E+00 ± 6E-01	4,5E+00 ± 6E-01	1,8E+00 ± 3E-01	6,3E-01 ± 2E+00	3,2E+02 ± 1E+01		
Ra-228	9,8E-02 ± 8E-02						2,6E-01 ± 2E-01	1,3E+00 ± 9E-01		
Th-230							3,6E+00 ± 3E+00	1,8E+01 ± 1E+01		
Th-228	8,9E-02 ± 6E-02	1,8E-02 ± 4E-02 ‡	1,1E-01 ± 5E-02	9,7E-02 ± 5E-02		4,4E-02 ± 2E-02	8,6E-01 ± 2E-01	4,3E+00 ± 1E+00		
K-40		5,5E-01 ± 3E-01	1,6E-01 ± 4E-01 ‡	3,7E-01 ± 6E-01 ‡		5,1E-01 ± 3E-01	2,9E+00 ± 1E+00	1,4E+01 ± 5E+00		
Bc-7	9,0E+01 ± 3E+00	4,3E+01 ± 2E+00	3,7E+01 ± 1E+00	3,0E+01 ± 2E+00	1,4E+01 ± 2E+00	5,4E+00 ± 4E-01	4,5E+02 ± 8E+00	2,3E+03 ± 4E+01		
I-131										
Cs-134										
Cs-137			1,7E-02 ± 2E-02 ‡				1,7E-02 ± 2E-02	8,3E-02 ± 1E-01		
Co-58										
Co-60										
Cr-51										
Mn-54										
Zn-65										
Nb-95										
Ru-106										
Sb-125										

(*) Ocena je narejena ob upoštevanju 20-odstotnega zbiralnega izkoristka vazelinskih plošč.

(**) Visokoločljivostna spektrometrija gama je bila opravljena na Odseku F-2.

*** Meritve količine padavin je opravila in posredovala Agencija RS za okolje (ARSO).

(‡) Rezultat meritve je pod mejo kvantifikacije.

7. ZRAK

I-131 V ZRAKU
AEROSOLI

LETO 2021 T - 43
7. ZRAK - PREGLED MERITEV JODA I-131 V ZRAKU V LETU 2021



Specifična analiza I-131 v zraku (aerosolni, atomski, CH3I) (**)

Vzorč. mesto		Spodnji Stari Grad		Stara vas		Leskovec		Brege		Vihre		Gornji Lenart		Libna	
Datum vzor.		Volumen prečrpanega zraka V (m ³) in koncentracija aktivnosti KA (Bq/m ³)													
od	do	V	KA	V	KA	V	KA	V	KA	V	KA	V	KA	V	KA
29. 12. 2020	18. 1. 2021	1585,5	< 1E-05	1662,4	< 2E-05	1771,3	< 2E-05	1559,5	< 4E-05	1879,1	< 2E-05	1674,5	< 1E-05	1924,2	< 7E-05
18. 1. 2021	1. 2. 2021	1106,0	< 3E-05	1234,4	< 3E-05	1255,5	< 3E-05	1115,5	< 1E-05	1329,5	< 5E-05	1141,4	< 2E-05	1228,6	< 2E-05
1. 2. 2021	16. 2. 2021	1193,4	< 5E-05	1300,9	< 4E-05	1357,2	< 2E-05	1186,5	< 2E-05	1435,8	< 2E-05	1212,2	< 3E-05	1387,7	< 2E-05
16. 2. 2021	1. 3. 2021	1019,9	< 2E-05	1108,8	< 4E-05	1168,6	< 2E-05	1014,1	< 4E-05	1176,5	< 2E-05	1060,3	< 2E-05	1098,8	< 5E-05
1. 3. 2021	16. 3. 2021	1194,2	< 5E-05	1301,2	< 3E-05	1335,3	< 4E-05	1269,7	< 2E-05	1202,1	< 2E-05	1205,6	< 6E-05	1051,2	< 2E-05
16. 3. 2021	1. 4. 2021	1239,4	< 3E-05	1353,8	< 1E-05	1431,6	< 7E-06	1359,9	< 1E-05	1295,3	< 4E-05	1278,6	< 4E-05	1145,9	< 5E-05
1. 4. 2021	19. 4. 2021	1393,3	< 4E-05	1580,7	< 1E-05	1649,1	< 1E-05	1485,9	< 3E-05	1396,5	< 3E-05	1391,5	< 3E-05	1324,5	< 3E-05
19. 4. 2021	3. 5. 2021	1083,7	< 2E-05	1163,0	< 3E-05	1283,7	< 3E-05	1018,5	< 2E-05	1138,7	< 8E-05	1132,5	< 1E-05	1023,9	< 3E-05
3. 5. 2021	17. 5. 2021	1028,6	< 5E-05	1203,8	< 4E-05	1280,8	< 4E-05	1182,3	< 4E-05	1157,6	< 1E-05	1182,2	< 4E-05	1046,2	< 4E-05
17. 5. 2021	1. 6. 2021	1179,0	< 1E-05	1281,4	< 3E-05	1404,6	< 4E-05	1221,1	< 5E-05	1174,0	< 2E-05	1226,2	< 2E-05	1105,8	< 2E-05
1. 6. 2021	16. 6. 2021	1216,8	< 2E-05	1303,8	< 8E-06	1372,3	< 2E-05	1249,6	< 3E-05	1199,6	< 2E-05	1205,6	< 2E-05	1091,0	< 1E-05
16. 6. 2021	1. 7. 2021	1075,0	< 3E-05	1266,0	< 1E-05	1415,9	< 9E-06	1243,3	< 1E-05	1209,4	< 6E-05	1204,6	< 3E-05	1091,3	< 1E-05
1. 7. 2021	19. 7. 2021	1452,9	< 1E-05	1532,0	< 3E-05	1652,8	< 7E-05	10504,1	< 1E-06	1462,4	< 2E-05	1448,2	< 3E-05	1275,2	< 2E-05
19. 7. 2021	2. 8. 2021	1122,6	< 3E-05	1212,3	< 3E-05	1302,9	< 2E-05	1190,0	< 5E-05	1130,9	< 2E-05	1128,9	< 1E-05		
2. 8. 2021	16. 8. 2021	1058,0	< 2E-05	1088,9	< 2E-05	1190,8	< 3E-05	1089,0	< 3E-05	1147,5	< 3E-05	1093,4	< 2E-05	1012,3	< 6E-05
16. 8. 2021	1. 9. 2021	1332,7	< 4E-05	1412,1	< 5E-05	1448,3	< 5E-05	1263,8	< 6E-05	1305,3	< 3E-05	1352,8	< 6E-05	1158,5	< 5E-05
1. 9. 2021	16. 9. 2021	1254,9	< 3E-05	1336,0	< 2E-05	1372,3	< 1E-04	1244,6	< 2E-05	1221,4	< 5E-05	1199,8	< 5E-05	1115,4	< 3E-05
16. 9. 2021	4. 10. 2021	1489,2	< 2E-05	1565,0	< 2E-05	1619,9	< 3E-05	1255,5	< 4E-05	1467,8	< 2E-05	1561,2	< 2E-05	1344,6	< 2E-05
4. 10. 2021	18. 10. 2021	1107,2	< 5E-05	1208,8	< 3E-05	1270,4	< 3E-05	1178,3	< 1E-05	1142,1	< 4E-05	1230,8	< 2E-05	1066,2	< 5E-05
18. 10. 2021	2. 11. 2021	1174,0	< 2E-05	1281,3	< 6E-05	1301,3	< 4E-05	1239,3	< 2E-05	1854,8	< 2E-05	1267,9	< 3E-05	1106,6	< 3E-05
2. 11. 2021	16. 11. 2021	1073,2	< 2E-05	1179,7	< 2E-05	1253,8	< 3E-05	1025,3	< 5E-05	1976,1	< 1E-05	1123,8	< 3E-05	1047,7	< 3E-05
16. 11. 2021	1. 12. 2021	1192,8	< 1E-05	1275,4	< 9E-06	1212,8	< 2E-05	982,0	< 2E-05	1836,9	< 9E-06	1218,4	< 2E-05	1079,4	< 4E-05
1. 12. 2021	16. 12. 2021	1146,9	< 2E-05	1275,1	< 2E-05	1360,2	< 2E-05	1277,1	< 4E-05	2006,1	< 2E-05	1296,4	< 3E-05	1125,5	< 2E-05
16. 12. 2021	29. 12. 2021	987,5	< 2E-05	1085,8	< 4E-05	1154,3	< 2E-05	1102,5	< 4E-05	1598,0	< 1E-05	1109,0	< 4E-05	974,5	< 2E-05

(**) Specifična analiza I-131 je bila opravljena z visokoločljivostno spektrometrijo gama na Odseku F-2.

LETO 2021 T - 44a
7. ZRAK – zračni delci (aerosoli)

Izotopska analiza sevalcev gama (***)

Vzorč. mesto	Spodnji Stari Grad						
Datum vzor.	29. 12. 2020 . 1. 2. 2021	1. 2. 2021 . 1. 3. 2021	1. 3. 2021 . 1. 4. 2021	1. 4. 2021 . 3. 5. 2021	3. 5. 2021 . 1. 6. 2021	1. 6. 2021 . 1. 7. 2021	Mesečno povprečje (za 1. polletje) (*)
Kol. vzorca (m ³)	9869,00	11115,28	12931,51	13205,88	12102,36	12385,65	
Oznaka vzorca	K21AE11S	K21AE12S	K21AE13S	K21AE14S	K21AE15S	K21AE16S	
IZOTOP:	KONCENTRACIJA AKTIVNOSTI (Bq/m ³)						
Na-22	2,6E-05 ± 2E-05	6,8E-07 ± 2E-05 ‡	5,3E-06 ± 4E-06		5,4E-06 ± 1E-05 ‡		6,2E-06 ± 4E-06
U-238						1,4E-04 ± 1E-04	2,3E-05 ± 2E-05
Ra-226						4,2E-04 ± 3E-05	3,1E-04 ± 2E-05
Pb-210	5,2E-04 ± 3E-05	3,9E-04 ± 2E-05	2,6E-04 ± 2E-05	1,4E-04 ± 1E-04 ‡	1,3E-04 ± 1E-05	2,9E-06 ± 1E-06	5,7E-06 ± 1E-06
Ra-228	9,4E-06 ± 4E-06	5,6E-06 ± 4E-06	4,7E-06 ± 2E-06	4,1E-06 ± 3E-06	7,7E-06 ± 3E-06	2,9E-06 ± 1E-06	5,3E-06 ± 2E-05
Th-230	3,2E-05 ± 1E-04 ‡						5,7E-06 ± 8E-07
Th-228	5,5E-06 ± 2E-06	9,4E-06 ± 2E-06	5,9E-06 ± 1E-06	4,8E-06 ± 3E-06	3,5E-06 ± 2E-06	5,2E-06 ± 1E-06	
K-40							
Be-7	1,8E-03 ± 9E-05	2,0E-03 ± 1E-04	2,5E-03 ± 2E-04	2,6E-03 ± 1E-04	2,2E-03 ± 1E-04	3,6E-03 ± 2E-04	2,4E-03 ± 5E-05
I-131							
Cs-134							
Cs-137	2,2E-06 ± 2E-06 ‡	1,6E-07 ± 4E-07 ‡	1,3E-07 ± 3E-07 ‡		1,4E-07 ± 4E-07 ‡	2,6E-08 ± 2E-07 ‡	4,4E-07 ± 4E-07
Co-58							
Co-60							
Cr-51							
Mn-54							
Zn-65							
Nb-95							
Ru-106							
Sb-125							

(*) Število, ki sledi znaku ±, je negotovost povprečja (apriorna negotovost).

(***) Visokoločljivostna spektrometrija gama je bila opravljena na Odseku F-2.

(‡) Rezultat meritve je pod mejo kvantifikacije.

LETO 2021 T - 44b
7. ZRAK – zračni delci (aerosoli)

Izotopska analiza sevalcev gama (***)

Vzorč. mesto	Spodnji Stari Grad						
Datum vzor.	1. 7. 2021 . 2. 8. 2021	2. 8. 2021 . 1. 9. 2021	1. 9. 2021 . 4. 10. 2021	4. 10. 2021 . 2. 11. 2021	2. 11. 2021 . 1. 12. 2021	1. 12. 2021 . 29. 12. 2021	Mesečno povprečje (za celo leto) (*)
Kol. vzorca (m ³)	13196,90	12455,57	13816,37	11841,67	11718,72	11140,59	
Oznaka vzorca	K21AE17S	K21AE18S	K21AE19S	K21AE1AS	K21AE1BS	K21AE1CS	
IZOTOP:	KONCENTRACIJA AKTIVNOSTI (Bq/m ³)						
Na-22	3,9E-06 ± 8E-06 ‡	1,2E-05 ± 8E-06	1,4E-05 ± 1E-05 ‡	1,6E-05 ± 1E-05	3,4E-07 ± 7E-07 ‡	4,0E-06 ± 5E-06 ‡	2,9E-08 ± 6E-08
U-238					4,4E-06 ± 4E-06 ‡		7,6E-06 ± 3E-06
Ra-226				5,3E-07 ± 2E-05 ‡			1,2E-05 ± 8E-06
Pb-210	4,5E-04 ± 3E-05	3,4E-04 ± 2E-05	4,8E-04 ± 6E-05	5,9E-04 ± 3E-05	4,6E-04 ± 3E-05	4,2E-04 ± 2E-05	3,8E-04 ± 1E-05
Ra-228	1,5E-06 ± 3E-06 ‡	7,6E-06 ± 3E-06		3,7E-06 ± 3E-06 ‡	5,7E-06 ± 2E-06	6,8E-06 ± 2E-06	5,0E-06 ± 8E-07
Th-230							2,7E-06 ± 9E-06
Th-228	9,1E-06 ± 2E-06	8,0E-06 ± 2E-06		7,2E-06 ± 2E-06	5,7E-06 ± 1E-06	5,1E-06 ± 1E-06	5,8E-06 ± 5E-07
K-40							
Be-7	3,4E-03 ± 1E-04	2,2E-03 ± 8E-05	2,5E-03 ± 3E-04	2,1E-03 ± 8E-05	1,1E-03 ± 9E-05	8,6E-04 ± 6E-05	2,2E-03 ± 4E-05
I-131							
Cs-134							
Cs-137	6,0E-08 ± 3E-07 ‡	2,0E-07 ± 4E-07 ‡	8,0E-07 ± 1E-06 ‡	2,3E-07 ± 5E-07 ‡			3,3E-07 ± 2E-07
Co-58							
Co-60							
Cr-51							
Mn-54							
Zn-65							
Nb-95							
Ru-106							
Sb-125							

(*) Število, ki sledi znaku ±, je negotovost povprečja (apriorna negotovost).

(***) Visokoločljivostna spektrometrija gama je bila opravljena na Odseku F-2.

(‡) Rezultat meritve je pod mejo kvantifikacije.

LETO 2021 T - 45a
7. ZRAK – zračni delci (aerosoli)

Izotopska analiza sevalcev gama (***)

Vzrč. mesto	Stara vas							Mesečno povprečje (za 1. polletje) (*)
Datum vzor.	29. 12. 2020 - 1. 2. 2021	1. 2. 2021 - 1. 3. 2021	1. 3. 2021 - 1. 4. 2021	1. 4. 2021 - 3. 5. 2021	3. 5. 2021 - 1. 6. 2021	1. 6. 2021 - 1. 7. 2021		
Kol. vzorca (m ³)	13719,80	11232,58	12162,82	12653,24	11538,96	11522,73		
Oznaka vzorca	K21AE21S	K21AE22S	K21AE23S	K21AE24S	K21AE25S	K21AE26S		
IZOTOP:	KONCENTRACIJA AKTIVNOSTI (Bq/m ³)							
Na-22				1,6E-05 ± 8E-06		5,2E-06 ± 3E-05 ‡	3,6E-06 ± 6E-06	
U-238							1,3E-06 ± 8E-06	
Ra-226		6,0E-06 ± 3E-05 ‡	1,9E-06 ± 3E-05 ‡				5,7E-04 ± 3E-05	
Pb-210	7,8E-04 ± 1E-04	6,9E-04 ± 5E-05	5,0E-04 ± 4E-05	3,8E-04 ± 4E-05	2,9E-04 ± 2E-05	7,5E-04 ± 1E-04	5,7E-04 ± 3E-05	
Ra-228	4,0E-06 ± 2E-06	6,9E-06 ± 4E-06	7,1E-06 ± 3E-06	7,2E-06 ± 2E-06	5,1E-06 ± 2E-06	1,2E-06 ± 4E-06 ‡	5,3E-06 ± 1E-06	
Th-230								
Th-228	6,7E-06 ± 1E-06	5,4E-06 ± 2E-06	7,4E-06 ± 2E-06	6,0E-06 ± 2E-06	9,6E-06 ± 2E-06	6,6E-06 ± 2E-06	7,0E-06 ± 8E-07	
K-40								
Be-7	2,1E-03 ± 9E-05	3,4E-03 ± 1E-04	4,3E-03 ± 2E-04	4,3E-03 ± 4E-04	4,0E-03 ± 2E-04	7,3E-03 ± 3E-04	4,2E-03 ± 1E-04	
I-131								
Cs-134								
Cs-137	7,3E-08 ± 4E-07 ‡	4,1E-08 ± 4E-07 ‡	7,6E-07 ± 6E-07	2,0E-06 ± 2E-06 ‡	7,5E-08 ± 2E-07 ‡	1,2E-07 ± 1E-06 ‡	5,1E-07 ± 4E-07	
Co-58								
Co-60								
Cr-51								
Mn-54								
Zn-65								
Nb-95								
Ru-106								
Sb-125								

(*) Število, ki sledi znaku ±, je negotovost povprečja (apriorna negotovost).

(***) Visokoločljivostna spektrometrija gama je bila opravljena na Odseku F-2.

(‡) Rezultat meritve je pod mejo kvantifikacije.

LETO 2021 T - 45b
7. ZRAK – zračni delci (aerosoli)

Izotopska analiza sevalcev gama (***)

Vzrč. mesto	Stara vas						Mesečno povprečje (za celo leto) (*)
Datum vzor.	1. 7. 2021 - 2. 8. 2021	2. 8. 2021 - 1. 9. 2021	1. 9. 2021 - 4. 10. 2021	4. 10. 2021 - 2. 11. 2021	2. 11. 2021 - 1. 12. 2021	1. 12. 2021 - 29. 12. 2021	
Kol. vzorca (m ³)	12270,68	11606,75	12853,61	11068,85	10975,34	10542,92	
Oznaka vzorca	K21AE27S	K21AE28S	K21AE29S	K21AE2AS	K21AE2BS	K21AE2CS	
IZOTOP:	KONCENTRACIJA AKTIVNOSTI (Bq/m ³)						
Na-22	2,2E-05 ± 1E-05	7,5E-06 ± 5E-06	1,1E-05 ± 1E-05 ‡	2,6E-05 ± 2E-05			7,4E-06 ± 3E-06
U-238					5,4E-05 ± 6E-05 ‡		5,2E-06 ± 6E-06
Ra-226		6,6E-04 ± 4E-05	1,0E-03 ± 5E-05	1,2E-03 ± 1E-04	9,3E-04 ± 7E-05	9,1E-04 ± 6E-05	7,3E-04 ± 2E-05
Pb-210	7,2E-04 ± 4E-05	4,6E-06 ± 3E-06	5,7E-06 ± 2E-06		3,2E-06 ± 3E-06 ‡	5,0E-06 ± 3E-06	4,8E-06 ± 8E-07
Ra-228	4,6E-06 ± 3E-06						
Th-230							
Th-228	5,6E-06 ± 2E-06	6,8E-06 ± 1E-06	7,7E-06 ± 2E-06	1,3E-05 ± 6E-06	6,5E-06 ± 2E-06	6,3E-06 ± 2E-06	7,3E-06 ± 7E-07
K-40							
Be-7	6,5E-03 ± 3E-04	4,6E-03 ± 3E-04	5,6E-03 ± 2E-04	4,1E-03 ± 5E-04	2,2E-03 ± 1E-04	1,7E-03 ± 8E-05	4,2E-03 ± 8E-05
I-131							
Cs-134							
Cs-137	3,1E-06 ± 3E-06 ‡	1,2E-07 ± 3E-07 ‡		8,5E-07 ± 1E-06 ‡		9,3E-07 ± 9E-07 ‡	6,7E-07 ± 4E-07
Co-58							
Co-60							
Cr-51							
Mn-54							
Zn-65							
Nb-95							
Ru-106							
Sb-125							

(*) Število, ki sledi znaku ±, je negotovost povprečja (apriorna negotovost).

(***) Visokoločljivostna spektrometrija gama je bila opravljena na Odseku F-2.

(‡) Rezultat meritve je pod mejo kvantifikacije.

LETO 2021 T - 46a
7. ZRAK – zračni delci (aerosoli)



Izotopska analiza sevalcev gama (**)

Vzorc. mesto	Leskovec							
Datum vzor.	29. 12. 2020 . 1. 2. 2021	1. 2. 2021 . 1. 3. 2021	1. 3. 2021 . 1. 4. 2021	1. 4. 2021 . 3. 5. 2021	3. 5. 2021 . 1. 6. 2021	1. 6. 2021 . 1. 7. 2021		Mesečno povprečje (za 1. polletje) (*)
Kol. vzorca (m ³)	13912,00	11159,22	12174,85	12625,13	11419,50	11683,26		
Ozvala vzorca	K21AE31S	K21AE32S	K21AE33S	K21AE34S	K21AE35S	K21AE36S		
IZOTOP:	KONCENTRACIJA AKTIVNOSTI (Bq/m ³)							
Na-22				1,3E-06 ± 1E-06 ‡				2,1E-07 ± 2E-07
U-238	3,2E-05 ± 1E-05	1,1E-05 ± 1E-05 ‡		1,2E-05 ± 3E-05 ‡			2,2E-05 ± 2E-05 ‡	1,3E-05 ± 7E-06
Ra-226		1,6E-05 ± 4E-05 ‡						2,6E-06 ± 6E-06
Pb-210	6,2E-04 ± 3E-05	6,7E-04 ± 3E-05	4,9E-04 ± 4E-05	3,4E-04 ± 7E-05	3,1E-04 ± 5E-05	6,5E-04 ± 5E-05		5,1E-04 ± 2E-05
Ra-228	4,0E-06 ± 3E-06	3,9E-06 ± 4E-06 ‡	2,4E-06 ± 3E-06 ‡	7,7E-06 ± 4E-06	1,9E-06 ± 3E-06 ‡			3,3E-06 ± 1E-06
Th-230								
Th-228	4,1E-06 ± 2E-06	5,8E-06 ± 2E-06	7,7E-06 ± 2E-06	8,6E-06 ± 2E-06	5,3E-06 ± 2E-06	9,3E-06 ± 4E-06		6,8E-06 ± 1E-06
K-40								
Be-7	2,1E-03 ± 8E-05	3,6E-03 ± 2E-04	4,3E-03 ± 2E-04	4,2E-03 ± 2E-04	4,1E-03 ± 2E-04	7,1E-03 ± 6E-04		4,2E-03 ± 1E-04
I-131								
Cs-134								
Cs-137	1,7E-06 ± 7E-07	2,5E-07 ± 5E-07 ‡	1,3E-06 ± 9E-07		5,6E-08 ± 4E-07 ‡	1,4E-06 ± 2E-06 ‡		7,7E-07 ± 4E-07
Co-58								
Co-60								
Cr-51								
Mn-54								
Zn-65								
Nb-95								
Ru-106								
Sb-125								

(*) Število, ki sledi znaku ±, je negotovost povprečja (apriorna negotovost).

(**) Visokoločljivostna spektrometrija gama je bila opravljena na Odseku F-2.

(‡) Rezultat meritve je pod mejo kvantifikacije.

LETO 2021 T - 46b
7. ZRAK – zračni delci (aerosoli)



Izotopska analiza sevalcev gama (**)

Vzorc. mesto	Leskovec							
Datum vzor.	1. 7. 2021 . 2. 8. 2021	2. 8. 2021 . 1. 9. 2021	1. 9. 2021 . 4. 10. 2021	4. 10. 2021 . 2. 11. 2021	2. 11. 2021 . 1. 12. 2021	1. 12. 2021 . 29. 12. 2021		Mesečno povprečje (za celo leto) (*)
Kol. vzorca (m ³)	12296,51	11512,08	12577,65	10820,16	10877,60	10466,43		
Ozvala vzorca	K21AE37S	K21AE38S	K21AE39S	K21AE3AS	K21AE3BS	K21AE3CS		
IZOTOP:	KONCENTRACIJA AKTIVNOSTI (Bq/m ³)							
Na-22								1,0E-07 ± 1E-07
U-238	1,7E-05 ± 1E-05	1,5E-05 ± 1E-05 ‡	8,8E-06 ± 9E-06 ‡	1,3E-05 ± 2E-05 ‡	1,4E-05 ± 1E-05 ‡			1,2E-05 ± 4E-06
Ra-226								2,5E-06 ± 4E-06
Pb-210	7,0E-04 ± 3E-05	6,5E-04 ± 4E-05	9,9E-04 ± 5E-05	1,1E-03 ± 5E-05	8,3E-04 ± 4E-05	1,5E-05 ± 4E-05 ‡		6,8E-04 ± 1E-05
Ra-228	1,0E-05 ± 3E-06	4,9E-06 ± 4E-06	5,9E-06 ± 3E-06	4,3E-06 ± 4E-06 ‡		6,9E-06 ± 4E-06		4,4E-06 ± 9E-07
Th-230			3,9E-05 ± 7E-05 ‡					3,2E-06 ± 6E-06
Th-228	3,5E-06 ± 2E-06	6,5E-06 ± 3E-06	6,4E-06 ± 2E-06	8,6E-06 ± 3E-06	5,1E-06 ± 2E-06	8,5E-06 ± 2E-06		6,6E-06 ± 7E-07
K-40								
Be-7	6,3E-03 ± 3E-04	4,5E-03 ± 2E-04	5,6E-03 ± 2E-04	4,3E-03 ± 2E-04	2,1E-03 ± 1E-04	1,7E-03 ± 8E-05		4,2E-03 ± 7E-05
I-131								
Cs-134								
Cs-137		2,7E-07 ± 5E-07 ‡	1,8E-07 ± 4E-07 ‡	2,2E-07 ± 5E-07 ‡		8,1E-07 ± 8E-07 ‡		5,1E-07 ± 2E-07
Co-58								
Co-60								
Cr-51								
Mn-54								
Zn-65								
Nb-95								
Ru-106								
Sb-125								

(*) Število, ki sledi znaku ±, je negotovost povprečja (apriorna negotovost).

(**) Visokoločljivostna spektrometrija gama je bila opravljena na Odseku F-2.

(‡) Rezultat meritve je pod mejo kvantifikacije.

LETO 2021 T - 47a
7. ZRAK – zračni delci (aerosoli)



Izotopska analiza sevalcev gama (**)

Vzorč. mesto	Bregje							Mesečno povprečje (za 1. polletje) (*)
Datum vzor.	29. 12. 2020 . 1. 2. 2021	1. 2. 2021 . 1. 3. 2021	1. 3. 2021 . 1. 4. 2021	1. 4. 2021 . 3. 5. 2021	3. 5. 2021 . 1. 6. 2021	1. 6. 2021 . 1. 7. 2021		
Kol. vzorca (m ³)	10983,80	9162,90	11049,85	10878,27	10193,78	10309,21		
Oznaka vzorca	K21AE41S	K21AE42S	K21AE43S	K21AE44S	K21AE45S	K21AE46S		
IZOTOP:	KONCENTRACIJA AKTIVNOSTI (Bq/m ³)							
Na-22		1,4E-05 ± 8E-06	1,5E-05 ± 2E-05 ‡	2,5E-05 ± 1E-05		1,2E-05 ± 1E-05 ‡	1,1E-05 ± 5E-06	
U-238								
Ra-226	9,3E-06 ± 3E-05 ‡					1,1E-05 ± 4E-05 ‡	3,5E-06 ± 9E-06	
Pb-210	4,7E-04 ± 4E-05	4,2E-04 ± 3E-05	3,5E-04 ± 3E-05	2,7E-04 ± 1E-05	1,9E-04 ± 1E-05	3,9E-04 ± 4E-05	3,5E-04 ± 1E-05	
Ra-228	1,8E-06 ± 4E-06 ‡	8,1E-06 ± 3E-06	4,8E-06 ± 2E-05 ‡	4,9E-06 ± 2E-06	6,0E-06 ± 2E-06		4,3E-06 ± 4E-06	
Th-230								
Th-228	5,3E-06 ± 2E-06	9,8E-06 ± 2E-06	4,0E-06 ± 3E-06	4,3E-06 ± 2E-06	7,4E-06 ± 2E-06	6,9E-06 ± 5E-06	6,3E-06 ± 1E-06	
K-40								
Be-7	1,3E-03 ± 6E-05	2,1E-03 ± 1E-04	3,0E-03 ± 2E-04	3,0E-03 ± 2E-04	2,6E-03 ± 2E-04	2,6E-03 ± 3E-03 ‡	2,4E-03 ± 5E-04	
I-131								
Cs-134								
Cs-137	8,4E-08 ± 4E-07 ‡	2,2E-07 ± 4E-07 ‡	1,4E-06 ± 2E-06 ‡	1,1E-07 ± 3E-07 ‡	1,6E-07 ± 4E-07 ‡	1,1E-06 ± 2E-06 ‡	5,0E-07 ± 4E-07	
Co-58								
Co-60								
Cr-51								
Mn-54								
Zn-65								
Nb-95								
Ru-106								
Sb-125								

(*) Število, ki sledi znaku ±, je negotovost povprečja (apriorna negotovost).

(**) Visokoločljivostna spektrometrija gama je bila opravljena na Odseku F-2.

(‡) Rezultat meritve je pod mejo kvantifikacije.

LETO 2021 T - 47b
7. ZRAK – zračni delci (aerosoli)



Izotopska analiza sevalcev gama (**)

Vzorč. mesto	Bregje						Mesečno povprečje (za celo leto) (*)
Datum vzor.	1. 7. 2021 . 2. 8. 2021	2. 8. 2021 . 1. 9. 2021	1. 9. 2021 . 4. 10. 2021	4. 10. 2021 . 2. 11. 2021	2. 11. 2021 . 1. 12. 2021	1. 12. 2021 . 29. 12. 2021	
Kol. vzorca (m ³)	11077,74	10558,40	10674,26	10133,31	8895,70	9839,02	
Oznaka vzorca	K21AE47S	K21AE48S	K21AE49S	K21AE4AS	K21AE4BS	K21AE4CS	
IZOTOP:	KONCENTRACIJA AKTIVNOSTI (Bq/m ³)						
Na-22		4,7E-06 ± 1E-05 ‡		2,0E-05 ± 2E-05 ‡	1,3E-05 ± 1E-05 ‡	2,0E-05 ± 1E-05	1,3E-05 ± 4E-06
U-238							1,7E-06 ± 4E-06
Ra-226							4,4E-04 ± 9E-06
Pb-210	4,2E-04 ± 5E-05	4,0E-04 ± 2E-05	6,5E-04 ± 3E-05	7,1E-04 ± 4E-05	4,5E-04 ± 3E-05	5,4E-04 ± 3E-05	4,4E-04 ± 9E-06
Ra-228		1,1E-05 ± 4E-06	6,8E-06 ± 4E-06	6,2E-06 ± 5E-06	4,8E-06 ± 4E-06	1,4E-05 ± 4E-06	5,7E-06 ± 2E-06
Th-230	2,9E-05 ± 7E-05 ‡						2,4E-06 ± 6E-06
Th-228	1,1E-05 ± 5E-06	6,2E-06 ± 2E-06	7,2E-06 ± 2E-06	1,8E-06 ± 2E-06 ‡	9,2E-06 ± 2E-06	7,2E-06 ± 3E-06	6,7E-06 ± 8E-07
K-40							
Be-7	3,6E-03 ± 5E-04	2,7E-03 ± 1E-04	3,3E-03 ± 2E-04	2,5E-03 ± 1E-04	9,6E-04 ± 4E-05	1,0E-03 ± 4E-05	2,4E-03 ± 2E-04
I-131							
Cs-134							
Cs-137	8,7E-07 ± 1E-06 ‡	3,1E-07 ± 6E-07 ‡	2,4E-07 ± 5E-07 ‡	2,9E-07 ± 5E-07 ‡	2,5E-07 ± 6E-07 ‡		4,1E-07 ± 3E-07
Co-58							
Co-60							
Cr-51							
Mn-54							
Zn-65							
Nb-95							
Ru-106							
Sb-125							

(*) Število, ki sledi znaku ±, je negotovost povprečja (apriorna negotovost).

(**) Visokoločljivostna spektrometrija gama je bila opravljena na Odseku F-2.

(‡) Rezultat meritve je pod mejo kvantifikacije.

LETO 2021 T - 48a
7. ZRAK – zračni delci (aerosoli)

Izotopska analiza sevalcev gama (***)

Vzorč. mesto	Vihre							Mesečno povprečje (za 1. polletje) (*)
Datum vzor.	29. 12. 2020 . 1. 2. 2021	1. 2. 2021 . 1. 3. 2021	1. 3. 2021 . 1. 4. 2021	1. 4. 2021 . 3. 5. 2021	3. 5. 2021 . 1. 6. 2021	1. 6. 2021 . 1. 7. 2021		
Kol. vzorca (m ³)	11217,40	9177,37	10889,03	11056,69	9615,11	9743,29		
Oznaka vzorca	K21AE51S	K21AE52S	K21AE53S	K21AE54S	K21AE55S	K21AE56S		
IZOTOP:	KONCENTRACIJA AKTIVNOSTI (Bq/m ³)							
Na-22	1,3E-05 ± 1E-05 ‡	1,7E-05 ± 1E-05	1,0E-05 ± 7E-06	4,5E-06 ± 5E-06 ‡	2,6E-05 ± 2E-05	3,2E-05 ± 2E-05	1,7E-05 ± 5E-06	
U-238								
Ra-226								
Pb-210	8,2E-04 ± 4E-05	8,2E-04 ± 4E-05	5,9E-04 ± 3E-05	5,0E-04 ± 3E-05	3,3E-04 ± 2E-05	8,0E-04 ± 6E-05	6,4E-04 ± 2E-05	
Ra-228	3,4E-06 ± 3E-06 ‡	1,5E-05 ± 4E-06	4,9E-06 ± 2E-06	5,0E-06 ± 2E-06	1,2E-05 ± 5E-06		6,7E-06 ± 1E-06	
Th-230	1,1E-04 ± 6E-05						1,8E-05 ± 1E-05	
Th-228	6,4E-06 ± 3E-06	8,8E-06 ± 2E-06	3,5E-06 ± 2E-06	8,1E-06 ± 1E-06	7,5E-06 ± 3E-06	2,6E-06 ± 3E-06 ‡	6,2E-06 ± 1E-06	
K-40								
Be-7	2,5E-03 ± 1E-04	3,7E-03 ± 1E-04	5,0E-03 ± 3E-04	5,3E-03 ± 3E-04	5,0E-03 ± 3E-04	8,1E-03 ± 7E-04	4,9E-03 ± 1E-04	
I-131								
Cs-134								
Cs-137	2,8E-06 ± 3E-06 ‡	3,6E-06 ± 2E-06	2,2E-06 ± 1E-06	9,9E-07 ± 4E-07	1,4E-07 ± 5E-07 ‡		1,6E-06 ± 6E-07	
Co-58								
Co-60								
Cr-51								
Mn-54								
Zn-65								
Nb-95								
Ru-106								
Sb-125								

(*) Število, ki sledi znaku ±, je negotovost povprečja (apriorna negotovost).

(***) Visokoločljivostna spektrometrija gama je bila opravljena na Odseku F-2.

(‡) Rezultat meritve je pod mejo kvantifikacije.

LETO 2021 T - 48b
7. ZRAK – zračni delci (aerosoli)

Izotopska analiza sevalcev gama (***)

Vzorč. mesto	Vihre							Mesečno povprečje (za celo leto) (*)
Datum vzor.	1. 7. 2021 . 2. 8. 2021	2. 8. 2021 . 1. 9. 2021	1. 9. 2021 . 4. 10. 2021	4. 10. 2021 . 2. 11. 2021	2. 11. 2021 . 1. 12. 2021	1. 12. 2021 . 29. 12. 2021		
Kol. vzorca (m ³)	10146,76	8028,82	6972,57	7148,89	13001,91	12443,78		
Oznaka vzorca	K21AE57S	K21AE58S	K21AE59S	K21AE5AS	K21AE5BS	K21AE5CS		
IZOTOP:	KONCENTRACIJA AKTIVNOSTI (Bq/m ³)							
Na-22	1,9E-05 ± 1E-05	4,0E-05 ± 2E-05	1,1E-05 ± 2E-05 ‡		2,1E-05 ± 2E-05	8,6E-06 ± 1E-05 ‡	1,7E-05 ± 4E-06	
U-238								
Ra-226								
Pb-210	8,6E-04 ± 1E-04	1,1E-03 ± 6E-05	2,3E-03 ± 2E-04	1,9E-03 ± 1E-04	7,4E-04 ± 3E-05	7,7E-04 ± 4E-05	9,7E-04 ± 2E-05	
Ra-228		1,8E-05 ± 6E-06	6,5E-06 ± 5E-06 ‡	1,5E-06 ± 7E-06 ‡	5,1E-06 ± 3E-06	3,2E-06 ± 3E-06 ‡	6,2E-06 ± 1E-06	
Th-230							9,2E-06 ± 5E-06	
Th-228	2,8E-06 ± 6E-06 ‡	8,4E-06 ± 4E-06	1,2E-05 ± 3E-06	1,4E-05 ± 3E-06	6,9E-06 ± 1E-06	8,6E-06 ± 1E-06	7,5E-06 ± 9E-07	
K-40								
Be-7	7,5E-03 ± 9E-04	7,3E-03 ± 4E-04	1,0E-02 ± 4E-04	5,8E-03 ± 2E-04	1,7E-03 ± 6E-05	1,4E-03 ± 6E-05	5,3E-03 ± 1E-04	
I-131								
Cs-134								
Cs-137		2,8E-07 ± 7E-07 ‡	1,2E-07 ± 6E-07 ‡	1,1E-07 ± 6E-07 ‡			8,6E-07 ± 3E-07	
Co-58								
Co-60								
Cr-51								
Mn-54								
Zn-65								
Nb-95								
Ru-106								
Sb-125								

(*) Število, ki sledi znaku ±, je negotovost povprečja (apriorna negotovost).

(***) Visokoločljivostna spektrometrija gama je bila opravljena na Odseku F-2.

(‡) Rezultat meritve je pod mejo kvantifikacije.

LETO 2021 T - 49a
7. ZRAK – zračni delci (aerosoli)



Izotopska analiza sevalcev gama (**)

Vzorč. mesto	Gornji Lenart						
Datum vzor.	29. 12. 2020 - 1. 2. 2021	1. 2. 2021 - 1. 3. 2021	1. 3. 2021 - 1. 4. 2021	1. 4. 2021 - 3. 5. 2021	3. 5. 2021 - 1. 6. 2021	1. 6. 2021 - 1. 7. 2021	Mesečno povprečje (za 1. polletje) (*)
Kol. vzorca (m ³)	12545,20	10204,01	11323,44	11766,52	10718,63	10518,38	
Oznaka vzorca	K21AE61S	K21AE62S	K21AE63S	K21AE64S	K21AE65S	K21AE66S	
IZOTOP:	KONCENTRACIJA AKTIVNOSTI (Bq/m ³)						
Na-22		4,5E-05 ± 1E-05	3,6E-05 ± 2E-05	1,8E-05 ± 9E-06	1,6E-05 ± 1E-05		1,9E-05 ± 4E-06
U-238			1,2E-05 ± 4E-05 ‡				2,0E-06 ± 7E-06
Ra-226							1,6E-04 ± 1E-05
Pb-210	2,1E-04 ± 1E-05	1,7E-04 ± 4E-05	1,4E-04 ± 2E-05	1,1E-04 ± 1E-05	9,0E-05 ± 1E-05	2,7E-04 ± 7E-05	1,6E-04 ± 1E-05
Ra-228	3,5E-06 ± 2E-06			6,8E-06 ± 2E-06	7,7E-06 ± 3E-06	3,1E-06 ± 4E-06 ‡	3,5E-06 ± 1E-06
Th-230							
Th-228	5,5E-06 ± 1E-06	7,6E-06 ± 3E-06	6,9E-06 ± 3E-06	6,8E-06 ± 1E-06	8,2E-06 ± 4E-06	8,7E-06 ± 2E-06	7,3E-06 ± 1E-06
K-40							
Be-7	5,6E-04 ± 4E-05	9,4E-04 ± 1E-04		1,1E-03 ± 4E-05	1,2E-03 ± 5E-05	2,1E-03 ± 9E-05	9,8E-04 ± 3E-05
I-131							
Cs-134							
Cs-137	1,7E-07 ± 3E-07 ‡		1,7E-06 ± 2E-06 ‡	1,2E-07 ± 3E-07 ‡		4,3E-08 ± 3E-07 ‡	3,3E-07 ± 4E-07
Co-58							
Co-60							
Cr-51							
Mn-54							
Zn-65							
Nb-95							
Ru-106							
Sb-125							

(*) Število, ki sledi znaku ±, je negotovost povprečja (apriorna negotovost).

(**) Visokoločljivostna spektrometrija gama je bila opravljena na Odseku F-2.

(‡) Rezultat meritve je pod mejo kvantifikacije.

LETO 2021 T - 49b
7. ZRAK – zračni delci (aerosoli)



Izotopska analiza sevalcev gama (**)

Vzorč. mesto	Gornji Lenart						
Datum vzor.	1. 7. 2021 - 2. 8. 2021	2. 8. 2021 - 1. 9. 2021	1. 9. 2021 - 4. 10. 2021	4. 10. 2021 - 2. 11. 2021	2. 11. 2021 - 1. 12. 2021	1. 12. 2021 - 29. 12. 2021	Mesečno povprečje (za celo leto) (*)
Kol. vzorca (m ³)	11262,86	10724,02	12102,51	10727,32	10688,70	10314,94	
Oznaka vzorca	K21AE67S	K21AE68S	K21AE69S	K21AE6AS	K21AE6BS	K21AE6CS	
IZOTOP:	KONCENTRACIJA AKTIVNOSTI (Bq/m ³)						
Na-22	7,9E-06 ± 1E-05 ‡	5,3E-06 ± 1E-05 ‡	2,1E-05 ± 1E-05	4,9E-05 ± 3E-05	3,1E-05 ± 1E-05	1,0E-05 ± 6E-06	2,0E-05 ± 4E-06
U-238		4,0E-06 ± 3E-05 ‡			1,1E-05 ± 3E-05 ‡		2,3E-06 ± 5E-06
Ra-226							2,2E-04 ± 1E-05
Pb-210	2,7E-04 ± 3E-05	1,9E-04 ± 2E-05	3,0E-04 ± 2E-05	3,2E-04 ± 5E-05	3,1E-04 ± 1E-04	2,5E-04 ± 2E-05	2,2E-04 ± 1E-05
Ra-228	4,5E-06 ± 3E-06	7,7E-06 ± 3E-06	1,6E-06 ± 3E-06 ‡		8,3E-06 ± 3E-06	3,6E-06 ± 2E-06	3,9E-06 ± 7E-07
Th-230							
Th-228	8,5E-06 ± 2E-06	9,2E-06 ± 1E-06	6,9E-06 ± 2E-06	6,0E-05 ± 9E-05 ‡	6,6E-06 ± 2E-06	7,8E-06 ± 2E-06	5,0E-06 ± 8E-06
K-40							
Be-7	1,7E-03 ± 8E-05	1,1E-03 ± 5E-05	1,5E-03 ± 6E-05	1,0E-03 ± 1E-04	5,2E-04 ± 3E-05	4,4E-04 ± 3E-05	1,0E-03 ± 2E-05
I-131							
Cs-134							
Cs-137	4,0E-08 ± 3E-07 ‡	4,9E-07 ± 9E-07 ‡					2,1E-07 ± 2E-07
Co-58							
Co-60							
Cr-51							
Mn-54							
Zn-65							
Nb-95							
Ru-106							
Sb-125							

(*) Število, ki sledi znaku ±, je negotovost povprečja (apriorna negotovost).

(**) Visokoločljivostna spektrometrija gama je bila opravljena na Odseku F-2.

(‡) Rezultat meritve je pod mejo kvantifikacije.

LETO 2021 T - 50a
7. ZRAK – zračni delci (aerosoli)

Izotopska analiza sevalcev gama (**)

Vzrč. mesto	Libna						
Datum vzor.	29. 12. 2020 - 1. 2. 2021	1. 2. 2021 - 1. 3. 2021	1. 3. 2021 - 1. 4. 2021	1. 4. 2021 - 3. 5. 2021	3. 5. 2021 - 1. 6. 2021	1. 6. 2021 - 1. 7. 2021	Mesečno povprečje (za 1. polletje) (*)
Kol. vzorca (m ³)	13622,80	10853,08	11382,86	11859,41	10706,95	11061,64	
Oznaka vzorca	K21AE71S	K21AE72S	K21AE73S	K21AE74S	K21AE75S	K21AE76S	
IZOTOP:	KONCENTRACIJA AKTIVNOSTI (Bq/m ³)						
Na-22	1,8E-05 ± 2E-05 ‡	9,3E-06 ± 6E-06	2,8E-05 ± 2E-05	1,4E-05 ± 1E-05 ‡	3,7E-06 ± 1E-05 ‡	3,6E-06 ± 4E-06 ‡	1,3E-05 ± 6E-06
U-238							
Ra-226							
Pb-210	5,3E-04 ± 3E-05	5,5E-04 ± 3E-05	3,7E-04 ± 2E-05	1,1E-04 ± 1E-04 ‡	2,3E-04 ± 3E-05	5,6E-04 ± 2E-05	3,9E-04 ± 2E-05
Ra-228	5,4E-06 ± 3E-06	3,8E-06 ± 2E-06	6,7E-06 ± 3E-06	8,1E-06 ± 3E-06	8,3E-06 ± 3E-06	7,1E-06 ± 2E-06	6,6E-06 ± 1E-06
Th-230							
Th-228	5,4E-06 ± 2E-06	8,3E-06 ± 1E-06	9,5E-06 ± 2E-06	4,7E-06 ± 2E-06	1,3E-05 ± 2E-06	7,5E-06 ± 1E-06	8,0E-06 ± 7E-07
K-40							
Be-7	1,8E-03 ± 1E-04	2,9E-03 ± 2E-04	3,5E-03 ± 1E-04	3,4E-03 ± 1E-04	3,4E-03 ± 1E-04	6,0E-03 ± 2E-04	3,5E-03 ± 7E-05
I-131							
Cs-134							
Cs-137	3,2E-07 ± 5E-07 ‡	1,8E-07 ± 4E-07 ‡	1,5E-07 ± 5E-07 ‡		3,4E-08 ± 5E-07 ‡	8,5E-08 ± 2E-07 ‡	1,3E-07 ± 2E-07
Co-58							
Co-60							
Cr-51							
Mn-54							
Zn-65							
Nb-95							
Ru-106							
Sb-125							

(*) Število, ki sledi znaku ±, je negotovost povprečja (apriorna negotovost).

(**) Visokoločljivostna spektrometrija gama je bila opravljena na Odseku F-2.

(‡) Rezultat meritve je pod mejo kvantifikacije.

LETO 2021 T - 50b
7. ZRAK – zračni delci (aerosoli)

Izotopska analiza sevalcev gama (**)

Vzrč. mesto	Libna						
Datum vzor.	1. 7. 2021 - 2. 8. 2021	2. 8. 2021 - 1. 9. 2021	1. 9. 2021 - 4. 10. 2021	4. 10. 2021 - 2. 11. 2021	2. 11. 2021 - 1. 12. 2021	1. 12. 2021 - 29. 12. 2021	Mesečno povprečje (za celo leto) (*)
Kol. vzorca (m ³)	6505,84	10913,04	12190,33	10899,42	10962,82	10692,32	
Oznaka vzorca	K21AE77S	K21AE78S	K21AE79S	K21AE7AS	K21AE7BS	K21AE7CS	
IZOTOP:	KONCENTRACIJA AKTIVNOSTI (Bq/m ³)						
Na-22		1,1E-06 ± 8E-07		2,0E-05 ± 1E-05	1,4E-05 ± 1E-05 ‡		9,0E-08 ± 7E-08
U-238	9,3E-06 ± 2E-05 ‡	7,7E-06 ± 6E-06	1,3E-05 ± 1E-05 ‡				1,2E-05 ± 4E-06
Ra-226	1,2E-05 ± 3E-05 ‡		1,3E-05 ± 3E-05 ‡				2,1E-06 ± 4E-06
Pb-210	5,1E-04 ± 3E-05	5,3E-04 ± 3E-05	8,5E-04 ± 4E-05	9,3E-04 ± 4E-05	6,6E-04 ± 3E-05	6,3E-04 ± 3E-05	5,4E-04 ± 1E-05
Ra-228	4,9E-06 ± 4E-06 ‡	6,1E-06 ± 2E-06	4,2E-06 ± 3E-06	3,0E-06 ± 4E-06 ‡	4,9E-06 ± 3E-06	7,8E-06 ± 3E-06	5,9E-06 ± 9E-07
Th-230							
Th-228	3,4E-06 ± 3E-06 ‡	6,2E-06 ± 1E-06	4,9E-06 ± 2E-06	7,3E-06 ± 2E-06	6,8E-06 ± 3E-06	2,8E-06 ± 2E-06	6,6E-06 ± 6E-07
K-40							
Be-7	3,6E-03 ± 2E-04	3,7E-03 ± 2E-04	4,7E-03 ± 2E-04	3,4E-03 ± 2E-04	1,6E-03 ± 9E-05	1,3E-03 ± 7E-05	3,3E-03 ± 5E-05
I-131							
Cs-134							
Cs-137	3,1E-07 ± 8E-07 ‡	1,4E-07 ± 3E-07 ‡		2,6E-07 ± 5E-07 ‡			1,2E-07 ± 1E-07
Co-58							
Co-60							
Cr-51							
Mn-54							
Zn-65							
Nb-95							
Ru-106							
Sb-125							

(*) Število, ki sledi znaku ±, je negotovost povprečja (apriorna negotovost).

(**) Visokoločljivostna spektrometrija gama je bila opravljena na Odseku F-2.

(‡) Rezultat meritve je pod mejo kvantifikacije.

LETO 2021 T - 51a
7. ZRAK – zračni delci (aerosoli)



Izotopska analiza sevalcev gama (**)

Vzorč. mesto	Dobova							Mesečno povprečje (za 1. polletje) (*)
Datum vzor.	29. 12. 2020 - 1. 2. 2021	1. 2. 2021 - 1. 3. 2021	1. 3. 2021 - 1. 4. 2021	1. 4. 2021 - 3. 5. 2021	3. 5. 2021 - 1. 6. 2021	1. 6. 2021 - 1. 7. 2021		
Kol. vzorca (m ³)	142914,9	127047,3	147381,1	149322,6	137474,6	141244,6		
Oznaka vzorca	K21AE811	K21AE821	K21AE831	K21AE841	K21AE851	K21AE861		
IZOTOP:	KONCENTRACIJA AKTIVNOSTI (Bq/m ³)							
Na-22	3,5E-06 ± 4E-06 ‡	6,6E-07 ± 4E-06 ‡	4,9E-07 ± 2E-07	6,3E-07 ± 1E-07	3,9E-07 ± 2E-07	1,0E-06 ± 4E-07	4,2E-07 ± 9E-08	9,7E-07 ± 1E-06
U-238				1,6E-06 ± 3E-06 ‡				
Ra-226								
Pb-210	6,7E-04 ± 3E-05	7,2E-04 ± 4E-05	4,6E-04 ± 3E-05	3,9E-04 ± 2E-05	2,5E-04 ± 2E-05	7,5E-04 ± 4E-05	5,4E-04 ± 1E-05	1,3E-07 ± 2E-07
Ra-228	3,5E-07 ± 9E-07 ‡			2,1E-07 ± 7E-07 ‡	2,5E-07 ± 8E-07 ‡			
Th-230								
Th-228	1,8E-06 ± 4E-07	2,0E-06 ± 7E-07	2,1E-06 ± 4E-07	1,8E-06 ± 4E-07	2,2E-06 ± 5E-07	1,9E-06 ± 6E-07	1,9E-06 ± 2E-07	
K-40								
Be-7	2,3E-03 ± 8E-05	3,5E-03 ± 1E-04	4,7E-03 ± 3E-04	4,7E-03 ± 2E-04	4,4E-03 ± 2E-04	7,7E-03 ± 3E-04	4,6E-03 ± 9E-05	
I-131								
Cs-134								
Cs-137	1,8E-06 ± 2E-07	9,7E-07 ± 2E-07	8,6E-07 ± 1E-07	6,6E-07 ± 1E-07	1,4E-07 ± 1E-07 ‡	2,8E-07 ± 4E-07 ‡	7,8E-07 ± 8E-08	
Co-58								
Co-60								
Cr-51								
Mn-54								
Zn-65								
Nb-95								
Ru-106								
Sb-125								

(*) Število, ki sledi znaku ±, je negotovost povprečja (apriorna negotovost).

(**) Visokoločljivostna spektrometrija gama je bila opravljena na Odseku F-2.

(‡) Rezultat meritve je pod mejo kvantifikacije.

LETO 2021 T - 51b
7. ZRAK – zračni delci (aerosoli)



Izotopska analiza sevalcev gama (**)

Vzorč. mesto	Dobova							Mesečno povprečje (za celo leto) (*)
Datum vzor.	1. 7. 2021 - 2. 8. 2021	2. 8. 2021 - 1. 9. 2021	1. 9. 2021 - 4. 10. 2021	4. 10. 2021 - 2. 11. 2021	2. 11. 2021 - 1. 12. 2021	1. 12. 2021 - 29. 12. 2021		
Kol. vzorca (m ³)	141975,5	134796,8	152959,0	133138,0	123074,1	118057,7		
Oznaka vzorca	K21AE871	K21AE881	K21AE891	K21AE8A1	K21AE8B1	K21AE8C1		
IZOTOP:	KONCENTRACIJA AKTIVNOSTI (Bq/m ³)							
Na-22	1,1E-06 ± 2E-07	5,6E-07 ± 2E-07	5,1E-06 ± 4E-06				3,5E-07 ± 5E-08	9,1E-07 ± 6E-07
U-238								
Ra-226								
Pb-210	7,5E-04 ± 4E-05	6,4E-04 ± 3E-05	1,1E-03 ± 4E-05	1,1E-03 ± 6E-05	9,0E-04 ± 5E-05	8,7E-04 ± 5E-05	7,2E-04 ± 1E-05	1,7E-07 ± 2E-07
Ra-228	2,3E-07 ± 8E-07 ‡		7,3E-07 ± 9E-07 ‡			2,7E-07 ± 1E-06 ‡		
Th-230		4,5E-06 ± 2E-05 ‡					3,8E-07 ± 2E-06	1,8E-06 ± 1E-07
Th-228	1,9E-06 ± 5E-07		1,7E-06 ± 4E-07	2,4E-06 ± 5E-07	1,5E-06 ± 5E-07	1,9E-06 ± 7E-07	1,8E-06 ± 1E-07	
K-40								
Be-7	6,9E-03 ± 3E-04	4,7E-03 ± 2E-04	5,9E-03 ± 2E-04	3,8E-03 ± 2E-04	2,3E-03 ± 1E-04	1,6E-03 ± 7E-05	4,4E-03 ± 6E-05	
I-131								
Cs-134								
Cs-137	1,0E-08 ± 9E-08 ‡	1,3E-07 ± 9E-08	4,2E-07 ± 2E-07	5,5E-07 ± 2E-07	1,1E-06 ± 3E-07	1,4E-06 ± 2E-07	6,9E-07 ± 6E-08	
Co-58								
Co-60								
Cr-51								
Mn-54								
Zn-65								
Nb-95								
Ru-106								
Sb-125								

(*) Število, ki sledi znaku ±, je negotovost povprečja (apriorna negotovost).

(**) Visokoločljivostna spektrometrija gama je bila opravljena na Odseku F-2.

(‡) Rezultat meritve je pod mejo kvantifikacije.

LETO 2021 T - 45a, 45b
7. ZRAK – zračni delci (aerosoli)



Specifična analiza Sr-90/Sr-89 (**)

Vzorč. mesto	Stara vas			
Datum vzor.	1. 4. 2021 - 1. 7. 2021	1. 7. 2021 - 4. 10. 2021	4. 10. 2021 - 29. 12. 2021	Četrtno povprečje (za celo leto) (*)
Kol. vzorca (m ³)	35714,9	36731,0	32587,1	
Oznaka vzorca	K21AE2E1	K21AE2F1	K21AE2G1	
IZOTOP:	KONCENTRACIJA AKTIVNOSTI (Bq/m ³)			
Sr-89/Sr-90	2,8E-07 †	7,8E-08 †	7,4E-08 †	1,1E-07 ± 6E-08 x

(*) Število, ki sledi znaku ±, je negotovost povprečja (apriorna negotovost).

(**) Radiokemijske analize Sr-90/Sr-89 so bile opravljene na IJS na Odseku O-2.

(†) Rezultat meritve je pod mejo detekcije.

(x) Pri meji detekcije se kot predpostavljena vrednost upošteva 1/4 meje detekcije, zato se negotovosti aritmetičnega povprečja za izbrano leto ne podajajo z apriorno negotovostjo, temveč z aposteriorno negotovostjo.

LETO 2021 T - 51a, 51b
7. ZRAK – zračni delci (aerosoli)



Specifična analiza Sr-90/Sr-89 (**)

Vzorč. mesto	Dobova			
Datum vzor.	29. 12. 2020 - 1. 4. 2021	1. 4. 2021 - 1. 7. 2021		Četrtno povprečje (za celo leto) (*)
Kol. vzorca (m ³)	417343,3	428041,8		
Oznaka vzorca	K21AE8D1	K21AE8E1		
IZOTOP:	KONCENTRACIJA AKTIVNOSTI (Bq/m ³)			
Sr-89/Sr-90	4,6E-08 †	8,4E-08 †		3,2E-08 ± 2E-08 x

(*) Število, ki sledi znaku ±, je negotovost povprečja (apriorna negotovost).

(**) Radiokemijske analize Sr-90/Sr-89 so bile opravljene na IJS na Odseku O-2.

(†) Rezultat meritve je pod mejo detekcije.

(x) Pri meji detekcije se kot predpostavljena vrednost upošteva 1/4 meje detekcije, zato se negotovosti aritmetičnega povprečja za izbrano leto ne podajajo z apriorno negotovostjo, temveč z aposteriorno negotovostjo.

LETO 2021 T - 52a
7. ZRAK – zračni delci (aerosoli)



Izotopska analiza sevalcev gama (**)

Vzorč. mesto	Ljubljana IJS							Mesečno povprečje (za 1. polletje) (*)
Datum vzor.	29. 12. 2020 - 1. 2. 2021	1. 2. 2021 - 1. 3. 2021	1. 3. 2021 - 1. 4. 2021	1. 4. 2021 - 3. 5. 2021	3. 5. 2021 - 1. 6. 2021	1. 6. 2021 - 1. 7. 2021		
Kol. vzorca (m ³)	124295,8	123331,0	139019,6	54184,9	131032,0	134329,7		
Oznaka vzorca	RP21AE111	RP21AE121	RP21AE131	RP21AE14S	RP21AE151	RP21AE161		
IZOTOP	KONCENTRACIJA AKTIVNOSTI (Bq/m ³)							
Na-22	9,2E-07 ± 3E-06 ‡		2,5E-07 ± 3E-07 ‡ 2,8E-06 ± 4E-06 ‡	5,1E-06 ± 3E-06		1,5E-06 ± 3E-07 3,4E-06 ± 4E-06 ‡	2,9E-07 ± 7E-08 2,0E-06 ± 1E-06	
U-238								
Ra-226								
Pb-210	8,0E-04 ± 5E-05	6,4E-04 ± 3E-05	4,9E-04 ± 2E-05	4,4E-04 ± 2E-05	3,1E-04 ± 2E-05	7,9E-04 ± 3E-05	5,8E-04 ± 1E-05	
Ra-228		5,2E-07 ± 1E-06 ‡		9,6E-07 ± 1E-06 ‡		8,3E-07 ± 1E-06 ‡	3,8E-07 ± 3E-07	
Th-230								
Th-228	1,2E-06 ± 4E-07	2,9E-06 ± 6E-07	1,2E-06 ± 6E-07	1,5E-05 ± 7E-07	1,0E-06 ± 5E-07	1,6E-06 ± 5E-07	3,8E-06 ± 2E-07	
K-40								
Be-7	2,0E-03 ± 8E-05	3,6E-03 ± 1E-04	4,4E-03 ± 2E-04	4,5E-03 ± 2E-04	3,9E-03 ± 2E-04	8,3E-03 ± 4E-04	4,4E-03 ± 9E-05	
I-131								
Cs-134								
Cs-137	2,7E-06 ± 2E-07	2,2E-06 ± 3E-07	1,0E-06 ± 2E-07	6,9E-07 ± 2E-07	1,3E-08 ± 1E-07 ‡	6,0E-07 ± 2E-07	1,2E-06 ± 8E-08	
Co-58								
Co-60								
Cr-51								
Mn-54								
Zn-65								
Nb-95								
Ru-106								
Sb-125								

(*) Število, ki sledi znaku ±, je negotovost povprečja (apriorna negotovost).

(**) Visokoločljivostna spektrometrija gama je bila opravljena na Odseku F-2.

(‡) Rezultat meritve je pod mejo kvantifikacije.

LETO 2021 T - 52b
7. ZRAK – zračni delci (aerosoli)



Izotopska analiza sevalcev gama (**)

Vzorč. mesto	Ljubljana IJS							Mesečno povprečje (za celo leto) (*)
Datum vzor.	1. 7. 2021 - 2. 8. 2021	2. 8. 2021 - 1. 9. 2021	1. 9. 2021 - 4. 10. 2021	4. 10. 2021 - 2. 11. 2021	2. 11. 2021 - 1. 12. 2021	1. 12. 2021 - 29. 12. 2021		
Kol. vzorca (m ³)	140467,7	132246,0	141621,9	120174,7	118215,4	103609,1		
Oznaka vzorca	RP21AE171	RP21AE181	RP21AE191	RP21AE1A1	RP21AE1B1	RP21AE1C1		
IZOTOP	KONCENTRACIJA AKTIVNOSTI (Bq/m ³)							
Na-22	6,1E-07 ± 3E-07	1,7E-07 ± 3E-07 ‡					2,1E-07 ± 5E-08	
U-238				1,0E-06 ± 5E-06 ‡			1,1E-06 ± 7E-07	
Ra-226				2,0E-06 ± 3E-05 ‡			1,7E-07 ± 2E-06	
Pb-210	7,3E-04 ± 4E-05	6,1E-04 ± 1E-04	1,1E-03 ± 5E-05	1,1E-03 ± 7E-05	9,6E-04 ± 7E-05	1,1E-03 ± 6E-05	7,5E-04 ± 2E-05	
Ra-228				5,8E-07 ± 9E-07 ‡			2,4E-07 ± 2E-07	
Th-230								
Th-228	2,2E-06 ± 6E-07		1,6E-06 ± 5E-07	1,8E-06 ± 5E-07	1,8E-06 ± 6E-07	1,8E-06 ± 6E-07	2,7E-06 ± 2E-07	
K-40								
Be-7	6,1E-03 ± 3E-04	4,8E-03 ± 2E-04	5,8E-03 ± 3E-04	4,0E-03 ± 2E-04	2,4E-03 ± 1E-04	1,8E-03 ± 1E-04	4,3E-03 ± 6E-05	
I-131								
Cs-134								
Cs-137	1,1E-08 ± 8E-08 ‡	1,5E-07 ± 9E-08	2,2E-07 ± 3E-07 ‡	1,4E-06 ± 2E-07	1,7E-06 ± 2E-07	3,2E-06 ± 3E-07	1,2E-06 ± 6E-08	
Co-58								
Co-60								
Cr-51								
Mn-54								
Zn-65								
Nb-95								
Ru-106								
Sb-125								

(*) Število, ki sledi znaku ±, je negotovost povprečja (apriorna negotovost).

(**) Visokoločljivostna spektrometrija gama je bila opravljena na Odseku F-2.

(‡) Rezultat meritve je pod mejo kvantifikacije.

8. DOZA IN HITROST DOZE ZUNANJEGA SEVANJA

DOZA Z OKOLJSKIMI TL-DOZIMETRI

MERITVE HITROSTI DOZE SEVANJA GAMA

LETO 2021 T - 53/a
8. SEZNAM TL-DOZIMETROV V OKOLICI NEK IN NA OGRAJI NEK



SEZNAM DOZIMETROV TLD V OKOLICI NEK

Sektor	št.	Oznaka	GEOGRAFSKE KOORDINATE	d/km	Kraj in naslov
1 N	60	T1B1	45°56'54" / 15°30'56"	1,2	Spodnja Libna 5, M. Klinec (ob cesti)
	1	T1C1	45°57'09" / 15°30'49"	1,7	Libna 2, Andrej Peršolja
	2	T1F1	46°01'45" / 15°30'42"	10	Mali Kamen 32, Anton Brljavec
2 NNE	3	T2B1	45°56'46" / 15°31'20"	0,79	Spodnji Stari Grad 1
	4	T2B2	45°57'00" / 15°31'23"	1,4	Libna 8, Jože Pogačar
	5	T2D1	45°58'12" / 15°31'50"	3,75	Pleterje 16a, Maks Urek
	6	T2E1	46°00'44" / 15°34'41"	9,72	Pečice 33, KS Križe
3 NE	61	T3C1	45°57'04" / 15°32'07"	2,1	Libna 33, Božidar Volčanšek
	7	T3E1	45°58'27" / 15°33'38"	5,42	Zgornja Pohanca 3, Silvester Kunej
	8	T3E2	45°59'21" / 15°35'39"	8,4	Sromlje 13, Ivan Bartole
4 ENE	9	T4B1	45°56'35" / 15°31'53"	1,37	Spodnji Stari Grad 27, Mitja Stergar
	62	T4D1	45°56'50" / 15°32'45"	2,7	Dolenja vas pri Krškem 51, Jože Gorišek
	10	T4E1	45°57'11" / 15°35'44"	6,4	Glogov Brod 1, Milan Rožman
	11	T4F1	45°59'05" / 15°37'53"	10,45	Dednja vas 8, Ivan Dušič
5 E	12	T5B1	45°56'06" / 15°31'56"	1,25	Spodnji Stari Grad - Gmajna
	13	T5D1	45°56'24" / 15°33'16"	3,1	Pesje 1, Jože Gerjevič
	14	T5D2	45°55'47" / 15°34'24"	4,55	Gornji Lenart 21, Josip Kunej
	15	T5E1	45°56'46" / 15°38'22"	9,67	Globoko 21, Jože Hotko
6 ESE	16	T6B1	45°55'52" / 15°31'30"	1,25	VOP-4
	63	T6D1	45°55'48" / 15°33'15"	3,2	Pesje 23 (Amerika), Angela Slivšek
	17	T6E1	45°53'56" / 15°37'38"	9,65	Mostec 45, Jožefa Žibert
	18	T6E2	45°54'32" / 15°35'23"	6,72	Brežice, Nad Vrbino 3
	19	T6E3	45°54'56" / 15°35'13"	6	Brežice, Čolnarska 9, F. Vinpolšek
7 SE	59	T7D1	45°55'10" / 15°32'37"	3,2	Gmajnice, bivše vojaško skladišče
	20	T7E1	45°53'25" / 15°33'40"	6,42	Krška vas 34, Franc Tomše
	21	T7E2	45°53'50" / 15°35'43"	7,8	Brežice, Prešernova cesta 25, Sobak
8 SSE	22	T8D1	45°54'50" / 15°31'30"	2,7	Vihre 17, Martin Račič
	58	T8E1	45°53'16" / 15°32'52"	6,1	Boršt 1, Alojz Zofič
9 S	23	T9D1	45°53'41" / 15°30'33"	5	Črešnvice 30a, Avgust Kovač
	24	T9D2	45°54'52" / 15°30'57"	2,6	Mrtvice 27, Vili Kuhar
10 SSW	57	T10E1	45°53'46" / 15°29'34"	5	Hrastje pri Cerkljah 33a, Leopold Jerele
	26	T10C1	45°55'13" / 15°30'05"	2,3	Brege 17a, Smiljana Jurečič
11 SW	25	T11D2	45°55'11" / 15°29'50"	2,62	Brege 52, Franc Škofljanc (met. postaja)
	27	T11D1	45°55'05" / 15°29'10"	3,2	Drnovo 62, Fanika Bizjak
	28	T11E1	45°53'49" / 15°27'26"	6,2	Veliki Podlog 56, Ivan Arh
12 WSW	29	T12C1	45°56'03" / 15°29'44"	1,57	Žadovinek 20a, Anton Dušič
	30	T12E1	45°54'37" / 15°24'11"	9,35	Zaloke 10, Martin Tomažin
13 W	31	T13C1	45°56'19" / 15°29'31"	1,87	Žadovinek 10, Marjan Pešec
	32	T13D1	45°56'15" / 15°28'23"	3,2	Leskovec, Cesta ob gaju 17, Martina Strgar
	33	T13E1	45°56'27" / 15°25'07"	7,37	Drenovec 8, Ivan Zupančič
	34	T13E2	45°55'41" / 15°23'30"	9,72	Raka 1, Emil Vehovar, nad vodnjakom

SEZNAM DOZIMETROV TLD V OKOLICI NEK

Sektor	št.	Oznaka	GEOGRAFSKE KOORDINATE	d/km	Kraj in naslov
14 WNW	35	T14D1	45°56'57" / 15°28'40"	2,9	Klet Leskovec, Rostoharjeva 15a
	36	T14E1	45°57'34" / 15°25'10"	7,85	Kalce 4, Franc Tomažin
	37	T14E2	45°57'54" / 15°23'52"	9,72	Veliki trn 6, Janc
15 NW	38	T15C1	45°57'02" / 15°30'02"	1,9	Krško, Ob Potočnici
	39	T15B1	45°56'36" / 15°30'18"	1	Vrbina 2, Milka Filej
	40	T15D1	45°57'55" / 15°29'03"	4,37	Krško, Bohoričeva 5
	41	T15D2	45°57'32" / 15°28'59"	3,12	Trška gora, vinograd ob cesti, desno
	42	T15D3	45°57'22" / 15°29'22"	2,81	Krško, Ribiška 3, Emil Gelb
	43	T15E1	45°59'11" / 15°28'03"	6,6	Gunte 6
16 NNW	44	T15F1	46°00'36" / 15°25'40"	10,5	Presladol 74, Jane Radej
	45	T16B1	45°56'54" / 15°30'22"	1,3	Vrbina, Hladilnica Evrosad
	46	T16C1	45°57'04" / 15°30'10"	1,9	Krško, Cesta 4. julija 112, Edvin Kocjan
	47	T16D1	45°57'48" / 15°29'48"	3,12	Krško, Sremiška 29b, S. Valentinčič
	48	T16D2	45°58'32" / 15°29'22"	4,55	Sremič 13, Topolovšek
	49	T16D3	45°57'40" / 15°29'44"	2,9	Krško, Stritarjeva 5, Martin Založnik
	50	T16E1	46°00'20" / 15°28'41"	8,1	Senovo, Titova 2, Antonija Hodnik

DOZIMETRI, RAZPOREJENI NA OGRAJI NEK

št.	Oznaka	Smer	Geografske koordinate	Kraj postavitve
51	T6A1	ESE	45°56'13" / 15°31'08"	sredina ograje
52	T8A1	SE	45°56'11" / 15°31'00"	hladilni stolpi
53	T11A1	SW	45°56'15" / 15°30'51"	vhod bistvene vode
54	T13A1	W	45°56'18" / 15°30'47"	zahodna stran ograje
55	T3A1	NE	45°56'23" / 15°31'03"	vratarnica
56	T15A1	NNW	45°56'23" / 15°30'52"	severna ograja zahodno od stikalne postaje
65	T2A1	WSW	45°56'17" / 15°30'47"	zahodna stran ograje levo od 54
66	T1A1	W	45°56'19" / 15°30'47"	zahodna stran ograje desno od 54
67	T2A2	NNE	45°56'25" / 15°31'02"	severna ograja ob stikalni postaji

DOZIMETRI, RAZPOREJENI NA OGRAJI SUHO SKLADIŠČE NEK

št.	Oznaka	Smer	Geografske koordinate	Kraj postavitve
S1	TLD 1		45°56'19" / 15°30'47"	zahodna stran ograje, v bližini 54
S2	TLD 2		45°56'19" / 15°30'47"	zahodna stran ograje, v bližini 54
S3	TLD 3		45°56'19" / 15°30'47"	zahodna stran ograje, v bližini 54
S4	TLD 4		45°56'20" / 15°30'47"	zahodna stran ograje, v bližini 54
S5	TLD 5		45°56'20" / 15°30'47"	zahodna stran ograje, v bližini 54
S6	TLD 6		45°56'20" / 15°30'47"	zahodna stran ograje, v bližini 54
S7	TLD 7		45°56'21" / 15°30'47"	zahodna stran ograje, v bližini 54

LETO 2021 T - 53/b
8. DOZA ZUNANJEGA SEVANJA – TL-DOZIMETRI



Krajevna porazdelitev doz zunanega sevanja $H^*(10)$ (mSv) v posameznih obdobjih v letu 2021																				
Obdobje ekspozicije	od 1. 1. 2021 do 1. 7. 2021		Letna doza	od 1. 1. 2021 do 1. 7. 2021		Letna doza	od 1. 1. 2021 do 1. 7. 2021		Letna doza	od 1. 1. 2021 do 1. 7. 2021		Letna doza	od 1. 1. 2021 do 1. 7. 2021		Letna doza					
	do 1. 1. 2022			do 1. 1. 2022			do 1. 1. 2022			do 1. 1. 2022			do 1. 1. 2022							
Pas (km)	ograja znotraj NEK			do 1,5 km			1,5 km do 5,0 km			5,0 km do 10,0 km			Povprečje po sektorjih							
	št.			št.			št.			št.										
N 1				60	0,320	0,337	6,657	1	0,339	0,354	0,693	2	0,469	0,452	0,921	0,376	0,381	0,757		
NNE 2	67	0,282	0,304	5,586	3	0,369	0,398	0,767	5	0,384	0,380	0,764	6	0,387	0,369	0,756	0,407	0,417	0,825	
NE 3	55	0,275	0,310	5,585	4	0,488	0,523	1,011												
ENE 4				9	0,357	0,390	0,747	62	0,470	0,495	0,965	10	0,426	0,462	0,888	0,410	0,440	0,850		
E 5				12	0,374	0,381	0,755	13	0,426	0,385	0,811	15	0,355	0,407	0,762	0,384	0,393	0,776		
ESE 6	51	0,288	0,276	5,564	16	0,354	0,333	0,686	63	0,368	0,399	0,767	17	0,370	0,324	0,694	0,387	0,371	0,758	
SE 7																				
SSE 8	52	0,246	0,260	5,506				22	0,275	0,393	0,668	58	0,420	0,509	0,929	0,347	0,451	0,798		
S 9								24	0,349	0,413	0,763	23	0,406	0,476	0,882	0,378	0,445	0,823		
SSW 10								26	0,391	0,398	0,789	57	0,461	0,501	0,962	0,426	0,449	0,875		
SW 11	53	0,253	0,293	5,546				25	0,361	0,367	0,728	28	0,125	0,393	0,518	0,281	0,380	0,662		
WSW 12	65	0,269	0,317	5,586				27	0,358	0,382	0,739	30	0,353	0,391	0,744	0,339	0,379	0,718		
W 13	54	0,269	0,298	5,567				29	0,325	0,367	0,692	33	0,406	0,432	0,838	0,367	0,393	0,760		
WNW 14	66	0,249	0,306	5,554				31	0,312	0,335	0,647	34	0,363	0,400	0,763	0,369	0,396	0,765		
NW 15	56	0,281	0,279	5,560	39	0,383	0,426	0,809	32	0,388	0,404	0,792	36	0,352	0,366	0,718	0,338	0,357	0,695	
NNW 16								40	0,298	0,324	0,622	44	0,339	0,314	0,653	0,407	0,414	0,821		
								41	0,333	0,352	0,685									
								42	0,317	0,319	0,636									
								46	0,463	0,443	0,906	50	0,332	0,363	0,695					
								47	0,454	0,454	0,908									
								48	0,418	0,454	0,872									
								49	0,464	0,417	0,881									
Povprečje po pasovih	(9)	0,268	0,294	0,562	(8)	0,370	0,392	0,762	(25)	0,372	0,393	0,765	(24)	0,378	0,407	0,785	(57)	0,374	0,398	0,773
	±	0,015	0,018	0,025	±	0,054	0,062	0,114	±	0,057	0,047	0,099	±	0,071	0,051	0,105	±	0,062	0,051	0,103
Ljubljana																	št.			
																	64	0,394	0,427	0,821

Suho skladišče NEK - doze zunanega sevanja $H^*(10)$ (mSv) v posameznih obdobjih v letu 2021				
Obdobje ekspozicije	od 1. 1. 2021 do 1. 7. 2021		Letna doza	
	od 1. 7. 2021 do 1. 1. 2022			
Pas	ograja znotraj NEK			
W 13	št.			
	S1	0,267	0,302	0,569
	S2	0,272	0,308	0,580
	S3	0,272	0,298	0,570
	S4	0,263	0,296	0,559
	S5	0,271	0,304	0,575
	S6	0,267	0,303	0,570
S7	0,282	0,308	0,590	
Povprečje po pasovih	(7)	0,270	0,303	0,573
	±	0,006	0,004	0,010

št. – številka merilnega mesta (glej tabelo T – 53/a)
() – število merilnih mest upoštevanih v povprečju posameznega pasu
± – pomeni standardno deviacijo porazdelitve doz v pasu

Povprečna mesečna doza $H^*(10)$ (mSv na mesec) za 6-mesečni obdobji in povprečna mesečna doza $H^*(10)$ (mSv na mesec) v letu 2021																			
Obdobje ekspozicije	od 1. 1. 2021 do 1. 7. 2021	od 1. 7. 2021 do 1. 1. 2022	v 2021	od 1. 1. 2021 do 1. 7. 2021	od 1. 7. 2021 do 1. 1. 2022	v 2021	od 1. 1. 2021 do 1. 7. 2021	od 1. 7. 2021 do 1. 1. 2022	v 2021	od 1. 1. 2021 do 1. 7. 2021	od 1. 7. 2021 do 1. 1. 2022	v 2021	od 1. 1. 2021 do 1. 7. 2021	od 1. 7. 2021 do 1. 1. 2022	v 2021				
Pas (km)	ograja znotraj NEK			do 1,5 km			1,5 km do 5,0 km			5,0 km do 10,0 km			Povprečje po sektorjih						
N 1	št.			št.			št.			št.									
NNE 2	67	0,047	0,050	0,049	60	0,054	0,056	0,055	1	0,057	0,059	0,058	2	0,079	0,075	0,077	0,063	0,063	0,063
NE 3	55	0,046	0,051	0,049	3	0,062	0,066	0,064	5	0,065	0,063	0,064	6	0,065	0,061	0,063	0,068	0,069	0,069
ENE 4					4	0,082	0,087	0,084					7	0,073	0,063	0,068	0,070	0,068	0,069
E 5					9	0,060	0,064	0,062	61	0,074	0,081	0,077	8	0,063	0,060	0,062			
ESE 6	51	0,048	0,046	0,047	12	0,063	0,063	0,063	62	0,079	0,082	0,080	10	0,072	0,076	0,074	0,069	0,073	0,071
SE 7					14	0,064	0,066	0,065	13	0,072	0,064	0,068	11	0,065	0,068	0,067			
SSE 8	52	0,041	0,043	0,042	16	0,059	0,055	0,057	14	0,064	0,066	0,065	15	0,060	0,067	0,063	0,064	0,065	0,065
S 9									63	0,062	0,066	0,064	17	0,062	0,054	0,058	0,065	0,061	0,063
SSW 10													18	0,058	0,062	0,060			
SW 11	53	0,043	0,048	0,046					59	0,055	0,062	0,058	19	0,083	0,070	0,077	0,059	0,063	0,060
WSW 12	65	0,045	0,052	0,049					22	0,046	0,065	0,056	20	0,067	0,070	0,069			
W 13	54	0,045	0,049	0,047					24	0,059	0,068	0,064	21	0,051	0,057	0,054	0,058	0,075	0,067
WNW 14	66	0,042	0,051	0,046					26	0,066	0,066	0,066	23	0,068	0,079	0,074	0,063	0,074	0,069
NW 15	56	0,047	0,046	0,047					27	0,060	0,063	0,062	28	0,021	0,065	0,043	0,047	0,063	0,055
NNW 16									29	0,055	0,061	0,058	30	0,059	0,065	0,062	0,057	0,063	0,060
									31	0,052	0,055	0,054	33	0,068	0,071	0,070	0,062	0,065	0,063
									32	0,065	0,067	0,066	34	0,061	0,066	0,064			
									35	0,062	0,065	0,064	36	0,059	0,060	0,060	0,062	0,065	0,064
									38	0,051	0,054	0,052	37	0,065	0,071	0,068	0,057	0,063	0,060
									40	0,050	0,054	0,052	43	0,066	0,073	0,069	0,062	0,065	0,063
									41	0,056	0,058	0,057	44	0,057	0,052	0,054			
									42	0,053	0,053	0,053					0,057	0,059	0,058
									46	0,078	0,073	0,075	50	0,056	0,060	0,058	0,068	0,068	0,068
									47	0,076	0,075	0,076							
									48	0,070	0,075	0,073							
									49	0,078	0,069	0,073							
Povprečje po pasovih	(9) 0,045	0,049	0,047	(8) 0,062	0,065	0,064	(25) 0,063	0,065	0,064	(24) 0,064	0,067	0,065	(57) 0,063	0,066	0,064				
	± 0,003	0,003	0,002	± 0,009	0,010	0,010	± 0,010	0,008	0,008	± 0,012	0,008	0,009	± 0,010	0,008	0,009				
Ljubljana													št.	64	0,066	0,071	0,068		

Suho skladišče NEK - povprečna mesečna doza $H^*(10)$ (mSv na mesec) za 6-mesečni obdobji in povprečna mesečna doza $H^*(10)$ (mSv na mesec) v letu 2021				
Obdobje ekspozicije	od 1. 1. 2021 do 1. 7. 2021	od 1. 7. 2021 do 1. 1. 2022	v 2021	
Pas (km)	ograja znotraj NEK			
W 13	št.			
	S1	0,045	0,050	0,047
	S2	0,046	0,051	0,048
	S3	0,046	0,049	0,047
	S4	0,044	0,049	0,047
	S5	0,046	0,050	0,048
	S6	0,045	0,050	0,047
	S7	0,047	0,051	0,049
Povprečje po pasovih	(7) 0,045	0,050	0,048	
	± 0,001	0,001	0,001	

št. – številka merilnega mesta (glej tabelo T – 53/a)

() – število merilnih mest, upoštevanih v povprečju posameznega pasu

± – pomeni standardno deviacijo porazdelitve doz v pasu

Št.	KRAJ	GPS-KOORDINATE
1	KOČEVJE	45°38'46" / 14°51'01"
2	DVOR PRI ŽUŽEMBERKU	45°48'29" / 14°57'42"
3	DOBLIČE (ČRNOMELJ)	45°33'36" / 15°08'46"
4	DRAŠIČI (METLIKA)	45°39'55" / 15°22'34"
5	NOVO MESTO	45°48'07" / 15°10'39"
6	MALKOVEC (MOKRONOG)	45°57'11" / 15°12'18"
7	LISCA	46°04'04" / 15°17'06"
8	CELJE	46°14'12" / 15°13'33"
9	ROGAŠKA SLATINA	46°14'40" / 15°37'41"
10	SLOVENSKE KONJICE	46°20'42" / 15°25'03"
11	ROGLA	46°26'46" / 15°19'23"
12	MARIBOR	46° 28' 46" / 15° 40' 54"
13	PTUJ	46°25'48" / 15°52'58"
14	JERUZALEM (ORMOŽ)	46°28'34" / 16°11'15"
15	LEDAVA	46°33'25" / 16°28'20"
16	MURSKA SOBOTA (RAKIČAN)	46°39'08" / 16°11'29"
17	GORNJI PETROVCI	46°48'13" / 16°12'53"
18	GORNJA RADGONA	46°40'49" / 15°58'44"
19	SVEČINA (PLAČ)	46°39'49" / 15°35'29"
20	RIBNICA NA POHORJU	46°32'30" / 15°17'30"
21	KOTLJE	46°31'17" / 14°58'54"
22	VELENJE	46°21'49" / 15°07'11"
23	NAZARJE (MOZIRJE)	46°19'23" / 14°56'58"
24	LUČE OB SAVINJI	46°21'15" / 14°44'48"
25	VAČE	46°07'06" / 14°50'23"
26	LJUBLJANA - BEŽIGRAD (ARSO)	46°03'56" / 14°30'45"
27	BRNIK - AERODROM	46°13'03" / 14°28'23"
28	JEZERSKO (ZGORNJE JEZERSKO)	46°23'53" / 14°30'14"
29	PODLJUBELJ	46°23'58" / 14°17'03"
30	LESCE VRBNJE	46°21'04" / 14°11'31"
31	PLANINA POD GOLICO	46°28'03" / 14°03'09"
32	ZDENSKA VAS	45°51'28" / 14°42'28"
33	RATEČE	46°29'49" / 13°42'46"
34	TRENTA	46°22'56" / 13°45'13"
35	LOG POD MANGARTOM	46°24'25" / 13°36'10"
36	BOVEC	46°20'05" / 13°32'55"
37	TOLMIN	46°10'46" / 13°43'54"
38	BILJE (NOVA GORICA)	45°53'44" / 13°37'27"
39	VEDRIJAN (KOJSKO)	46°00'50" / 13°32'29"
40	LOKEV PRI LIPICI	45°39'49" / 13°55'19"
41	PORTOROŽ - AERODROM	45°28'30" / 13°37'02"
42	KOSEZE (ILIRSKA BISTRICA)	45°33'11" / 14°14'08"
43	ZALOG (POSTOJNA)	45°45'58" / 14°11'36"
44	NOVA VAS NA BLOKAH	45°46'23" / 14°30'34"
45	VRHNIKA	45°57'42" / 14°16'26"
46	VOJSKO	46°01'32" / 13°54'08"
47	SORICA	46°13'19" / 14°01'41"
48	STARA FUŽINA	46°17'21" / 13°53'36"
49	JELENJA VAS (ISKRBA, KOČEVSKA REKA)	45°33'40" / 14°51'28"
50	KREDARICA	46°22'43" / 13°50'57"

LETO 2021 T - 54/b
8. TLD polletne meritve (**)



Št. TLD	Mesto postavitve	Izmerjena doza $H^*(10)$ (mSv) v obdobju				Letna doza $H^*(10)$ (mSv) v 2021	Povprečna mesečna doza $H^*(10)$ (mSv na mesec) v obdobju				Povprečna mesečna doza $H^*(10)$ (mSv na mesec) v 2021
		od do	1. 1. 2021 1. 7. 2021	od do	1. 7. 2021 1. 1. 2022		od do	1. 1. 2021 1. 7. 2021	od do	1. 7. 2021 1. 1. 2022	
1	KOČEVJE	0,451 ± 0,090	0,462 ± 0,092	0,913 ± 0,129	0,076 ± 0,015	0,076 ± 0,015	0,076 ± 0,015	0,076 ± 0,022			
2	DVOR PRI ŽUŽEMBERKU	0,452 ± 0,090	0,471 ± 0,094	0,923 ± 0,131	0,076 ± 0,015	0,078 ± 0,016	0,077 ± 0,022				
3	DOBLIČE ČRNOMELJ	0,591 ± 0,118	0,550 ± 0,110	1,141 ± 0,161	0,099 ± 0,020	0,091 ± 0,018	0,095 ± 0,027				
4	DRAŠIČI METLIKA	0,423 ± 0,085	0,436 ± 0,087	0,858 ± 0,121	0,071 ± 0,014	0,072 ± 0,014	0,072 ± 0,020				
5	NOVO MESTO	0,333 ± 0,067	0,334 ± 0,067	0,667 ± 0,094	0,056 ± 0,011	0,055 ± 0,011	0,056 ± 0,016				
6	MALKOVEC MOKRONOG	0,371 ± 0,074	0,365 ± 0,073	0,736 ± 0,104	0,062 ± 0,012	0,060 ± 0,012	0,061 ± 0,017				
7	LISCA	0,367 ± 0,073	0,374 ± 0,075	0,741 ± 0,105	0,062 ± 0,012	0,062 ± 0,012	0,062 ± 0,017				
8	CELJE	0,417 ± 0,083	0,409 ± 0,082	0,826 ± 0,117	0,070 ± 0,014	0,068 ± 0,014	0,069 ± 0,019				
9	ROGAŠKA SLATINA	0,388 ± 0,078	0,395 ± 0,079	0,783 ± 0,111	0,065 ± 0,013	0,065 ± 0,013	0,065 ± 0,018				
10	SLOVENSKE KONJICE	0,415 ± 0,083	0,400 ± 0,080	0,815 ± 0,115	0,070 ± 0,014	0,066 ± 0,013	0,068 ± 0,019				
11	ROGLA	0,487 ± 0,097	0,530 ± 0,106	1,017 ± 0,144	0,082 ± 0,016	0,088 ± 0,018	0,085 ± 0,024				
12	MARIBOR AERODROM	0,388 ± 0,078	0,378 ± 0,076	0,767 ± 0,108	0,065 ± 0,013	0,063 ± 0,013	0,064 ± 0,018				
13	PTUJ	0,385 ± 0,077	0,392 ± 0,078	0,777 ± 0,110	0,065 ± 0,013	0,065 ± 0,013	0,065 ± 0,018				
14	JERUZALEM ORMOŽ	0,376 ± 0,075	0,402 ± 0,080	0,779 ± 0,110	0,063 ± 0,013	0,067 ± 0,013	0,065 ± 0,018				
15	LENDAVA	0,437 ± 0,087	0,435 ± 0,087	0,872 ± 0,123	0,074 ± 0,015	0,072 ± 0,014	0,073 ± 0,021				
16	MURSKA SOBOTA	0,374 ± 0,075	0,386 ± 0,077	0,759 ± 0,107	0,063 ± 0,013	0,064 ± 0,013	0,063 ± 0,018				
17	GORNJI PETROVCI	0,414 ± 0,083	0,441 ± 0,088	0,855 ± 0,121	0,070 ± 0,014	0,073 ± 0,015	0,071 ± 0,020				
18	GORNJA RADGONA	0,383 ± 0,077	0,355 ± 0,071	0,738 ± 0,105	0,064 ± 0,013	0,059 ± 0,012	0,062 ± 0,017				
19	SVEČINA PLAČ	0,466 ± 0,093	0,475 ± 0,095	0,941 ± 0,133	0,078 ± 0,016	0,079 ± 0,016	0,078 ± 0,022				
20	RIBNICA NA POHORJU	0,428 ± 0,086	0,422 ± 0,084	0,851 ± 0,120	0,072 ± 0,014	0,070 ± 0,014	0,071 ± 0,020				
21	KOTLJE	0,489 ± 0,098	0,455 ± 0,091	0,943 ± 0,133	0,082 ± 0,016	0,075 ± 0,015	0,079 ± 0,022				
22	VELENJE	0,421 ± 0,084	0,410 ± 0,082	0,832 ± 0,118	0,071 ± 0,014	0,068 ± 0,014	0,069 ± 0,020				
23	NAZARJE MOZIRJE	0,421 ± 0,084	0,399 ± 0,080	0,820 ± 0,116	0,071 ± 0,014	0,066 ± 0,013	0,068 ± 0,019				
24	LUČE OB SAVINJI	0,414 ± 0,083	0,414 ± 0,083	0,827 ± 0,117	0,069 ± 0,014	0,068 ± 0,014	0,069 ± 0,019				
25	VAČE	0,454 ± 0,091	0,422 ± 0,084	0,876 ± 0,124	0,076 ± 0,015	0,070 ± 0,014	0,073 ± 0,021				
26	LJUBLJANA BEŽIGRAD	0,377 ± 0,075	0,382 ± 0,076	0,759 ± 0,107	0,063 ± 0,013	0,063 ± 0,013	0,063 ± 0,018				
27	BRNIK AERODROM	0,536 ± 0,107	0,552 ± 0,110	1,088 ± 0,154	0,090 ± 0,018	0,091 ± 0,018	0,091 ± 0,026				
28	JEZERSKO	0,490 ± 0,098	0,505 ± 0,101	0,995 ± 0,141	0,082 ± 0,016	0,083 ± 0,017	0,083 ± 0,023				
29	PODLJUBELJ	0,365 ± 0,073	0,378 ± 0,076	0,743 ± 0,105	0,061 ± 0,012	0,063 ± 0,013	0,062 ± 0,018				
30	LESCE VRBNJE	0,341 ± 0,068	0,354 ± 0,071	0,695 ± 0,098	0,057 ± 0,011	0,059 ± 0,012	0,058 ± 0,016				
31	PLANINA POD GOLICO	0,401 ± 0,080	0,465 ± 0,093	0,866 ± 0,123	0,067 ± 0,013	0,077 ± 0,015	0,072 ± 0,020				
32	ZDENSKA VAS	0,453 ± 0,091	0,478 ± 0,096	0,930 ± 0,132	0,076 ± 0,015	0,079 ± 0,016	0,078 ± 0,022				
33	RATEČE	0,385 ± 0,077	0,437 ± 0,087	0,822 ± 0,117	0,065 ± 0,013	0,072 ± 0,014	0,069 ± 0,019				
34	TRENTA	0,279 ± 0,056	0,285 ± 0,057	0,563 ± 0,080	0,047 ± 0,009	0,047 ± 0,009	0,047 ± 0,013				
35	LOG POD MANGARTOM	0,389 ± 0,078	0,452 ± 0,090	0,841 ± 0,119	0,065 ± 0,013	0,075 ± 0,015	0,070 ± 0,020				
36	BOVEC	0,348 ± 0,070	0,372 ± 0,074	0,720 ± 0,102	0,059 ± 0,012	0,061 ± 0,012	0,060 ± 0,017				
37	TOLMIN	0,349 ± 0,070	0,377 ± 0,075	0,726 ± 0,103	0,059 ± 0,012	0,062 ± 0,012	0,061 ± 0,017				
38	BILJE NOVA GORICA	0,297 ± 0,059	0,309 ± 0,062	0,606 ± 0,086	0,050 ± 0,010	0,051 ± 0,010	0,051 ± 0,014				
39	VEDRIJAN KOJSKO	0,415 ± 0,083	0,390 ± 0,078	0,805 ± 0,114	0,070 ± 0,014	0,064 ± 0,013	0,067 ± 0,019				
40	LOKEV PRI LIPICI	0,475 ± 0,095	0,478 ± 0,096	0,953 ± 0,135	0,080 ± 0,016	0,079 ± 0,016	0,079 ± 0,022				
41	SEČOVLJE AERODROM	0,331 ± 0,066	0,351 ± 0,070	0,682 ± 0,096	0,056 ± 0,011	0,058 ± 0,012	0,057 ± 0,016				
42	KOSEZE IL. BISTRICA	0,390 ± 0,078	0,381 ± 0,076	0,771 ± 0,109	0,066 ± 0,013	0,063 ± 0,013	0,064 ± 0,018				
43	ZALOG POSTOJNA	0,426 ± 0,085	0,446 ± 0,089	0,872 ± 0,123	0,072 ± 0,014	0,074 ± 0,015	0,073 ± 0,021				
44	NOVA VAS NA BLOKAH	0,525 ± 0,105	0,578 ± 0,116	1,103 ± 0,156	0,088 ± 0,018	0,096 ± 0,019	0,092 ± 0,026				
45	VRHNIKA	0,452 ± 0,090	0,659 ± 0,132	1,112 ± 0,160	0,076 ± 0,015	0,109 ± 0,022	0,093 ± 0,027				
46	VOJSKO	0,352 ± 0,070	0,395 ± 0,079	0,747 ± 0,106	0,059 ± 0,012	0,065 ± 0,013	0,062 ± 0,018				
47	SORICA	0,341 ± 0,068	0,366 ± 0,073	0,707 ± 0,100	0,057 ± 0,011	0,061 ± 0,012	0,059 ± 0,017				
48	STARA FUŽINA	0,287 ± 0,057	0,321 ± 0,064	0,609 ± 0,086	0,048 ± 0,010	0,053 ± 0,011	0,051 ± 0,014				
49	JELENJA VAS ISKRBA	0,632 ± 0,126	0,709 ± 0,142	1,341 ± 0,190	0,106 ± 0,021	0,117 ± 0,023	0,112 ± 0,032				
50	KREDARICA	0,412 ± 0,082	0,359 ± 0,072	0,771 ± 0,109	0,069 ± 0,014	0,059 ± 0,012	0,064 ± 0,018				
Število merilnih mest		50	50	50	50	50	50				
Povprečje - merilna mesta		0,412 ± 0,084	0,426 ± 0,087	0,838 ± 0,147	0,069 ± 0,014	0,070 ± 0,014	0,070 ± 0,020				
Najvišja doza		0,632 ± 0,126 (49)	0,709 ± 0,142 (49)	1,341 ± 0,190 (49)	0,106 ± 0,021 (49)	0,117 ± 0,023 (49)	0,112 ± 0,032 (49)				
Najnižja doza		0,279 ± 0,056 (34)	0,285 ± 0,057 (34)	0,563 ± 0,080 (34)	0,047 ± 0,009 (34)	0,047 ± 0,009 (34)	0,047 ± 0,013 (34)				

(**) Meritve doze zunanjega sevanja s TL-dozimetri so opravljene na Odseku F-2. Negotovost rezultatov meritev so podane z intervalom zaupanja 95 % .

	Polletne doze				Letna doza	
	12. 1. 2021 - 9. 7. 2021		9. 7. 2021 – 11. 1. 2022		2021	
	TLD + RPL	Meritve z napravo Thermo FH 40-L10	TLD + RPL	Meritve z napravo Thermo FH 40-L10	TLD + RPL	Meritve z napravo Thermo FH 40-L10
Vzorč. mesto	H*(10) (mSv)					
Bistra	0,41	0,34	0,36	0,42	0,77	0,76
Bregana	0,42	0,37	0,40	0,32	0,82	0,69
Harmica	0,51	0,31	0,46	0,33	0,97	0,64
Jastrebarsko	0,40	0,30	0,37	0,32	0,76	0,62
Klanjec	0,35	0,32	0,31	0,33	0,65	0,65
Novaki	0,36	0,28	0,32	0,33	0,68	0,62
Oroslavlje	0,53	0,35	0,47	0,36	1,00	0,71
Samobor	0,39	0,36	0,35	0,38	0,73	0,74
Zagreb	0,43	0,31	0,40	0,33	0,83	0,64
Zaprešić	0,39	0,32	0,33	0,53	0,72	0,85

LETO 2021 T - 56/a

8. KONTINUIRNE MERITVE DOZ ZUNANJEGA SEVANJA ZA LETO 2021 V REPUBLIKI SLOVENIJI – sistem OKOLICA NEK / letni pregled

Lokacija	Merilna postaja	Mesečne povprečne vrednosti (nSv/h) - polturna obdelava podatkov																								Polletno povprečje (nSv/h)	Polletna doza (mSv)
		Januar				Februar				Marec				April				Maj				Junij					
		Povprečna vrednost	Sigma	Min	Maks	Povprečna vrednost	Sigma	Min	Maks	Povprečna vrednost	Sigma	Min	Maks	Povprečna vrednost	Sigma	Min	Maks	Povprečna vrednost	Sigma	Min	Maks	Povprečna vrednost	Sigma	Min	Maks		
Brege	Brege	102 ± 6	87	138	98 ± 6	83	126	98 ± 6	85	153	99 ± 7	97	156	99 ± 8	86	143	101 ± 6	88	151	99,6 ± 2,6	0,45 ± 0,01						
Gornji Lenart	Gornji Lenart	118 ± 7	103	153	115 ± 6	100	140	117 ± 6	99	172	118 ± 7	67	116	116 ± 9	97	165	122 ± 9	100	189	117,3 ± 2,9	0,53 ± 0,01						
Krško	Krško	106 ± 6	89	129	103 ± 6	86	129	104 ± 6	87	147	104 ± 6	56	158	104 ± 9	89	163	105 ± 7	84	165	104,3 ± 2,6	0,47 ± 0,01						
Leskovec	Leskovec	94 ± 4	85	117	91 ± 4	82	107	92 ± 3	82	119	92 ± 4	71	126	91 ± 5	81	121	92 ± 4	79	122	92,1 ± 1,6	0,42 ± 0,01						
Libna	Libna	93 ± 3	84	117	90 ± 4	82	109	85 ± 5	65	111	86 ± 4	93	165	85 ± 5	75	114	85 ± 3	77	113	88,0 ± 1,5	0,40 ± 0,01						
Pesje	Pesje	109 ± 5	97	128	107 ± 5	90	121	109 ± 5	97	133	110 ± 7	113	196	109 ± 8	92	159	111 ± 7	96	157	108,9 ± 2,4	0,49 ± 0,01						
Skopice	Skopice	109 ± 6	89	135	106 ± 6	89	126	108 ± 6	93	157	107 ± 7	69	180	107 ± 8	93	146	111 ± 7	94	149	108,0 ± 2,7	0,49 ± 0,01						
Spodnji Stari Grad	Spodnji Stari Grad	104 ± 6	91	141	101 ± 6	86	125	102 ± 6	86	161	102 ± 7	113	196	102 ± 8	85	156	104 ± 7	89	168	102,5 ± 2,7	0,46 ± 0,01						
Vihre	Vihre	91 ± 5	77	115	89 ± 5	75	106	89 ± 5	76	129	89 ± 5	92	180	90 ± 5	78	117	91 ± 6	78	125	89,8 ± 2,1	0,41 ± 0,01						
Brežice	Brežice	85 ± 4	76	106	82 ± 4	72	97	83 ± 4	74	117	83 ± 4	103	170	83 ± 5	75	111	83 ± 4	76	111	83,2 ± 1,7	0,38 ± 0,01						
Cerklje	Cerklje	76 ± 5	64	109	73 ± 5	62	103	75 ± 5	63	123	74 ± 5	63	106	73 ± 7	64	112	78 ± 6	66	114	74,8 ± 2,2	0,34 ± 0,01						
Krško-NEK	Krško-NEK	74 ± 5	61	101	65 ± 8	45	89	76 ± 4	68	118	77 ± 5	100	201	77 ± 6	67	111	78 ± 5	65	115	75,5 ± 2,1	0,34 ± 0,01						
Krško-Videm	Krško-Videm	80 ± 5	71	107	76 ± 4	67	99	74 ± 5	56	117	75 ± 6	89	150	75 ± 8	66	117	76 ± 5	66	130	76,2 ± 2,1	0,34 ± 0,01						
Lokacija	Merilna postaja	Julij				Avgust				September				Oktober				November				December				Letno povprečje (nSv/h)	Letna doza (mSv)
Brege	Brege	103 ± 8	85	182	105 ± 8	89	158	104 ± 8	86	147	103 ± 8	88	148	104 ± 11	86	175	102 ± 7	89	162	101,0 ± 2,0	0,88 ± 0,02						
Gornji Lenart	Gornji Lenart	129 ± 9	104	206	131 ± 11	108	236	132 ± 11	110	212	126 ± 9	103	175	125 ± 12	106	187	120 ± 8	103	166	120,4 ± 2,3	1,06 ± 0,02						
Krško	Krško	108 ± 8	92	162	109 ± 8	93	176	109 ± 10	93	224	108 ± 7	91	143	109 ± 11	91	167	106 ± 7	91	151	105,7 ± 2,1	0,93 ± 0,02						
Leskovec	Leskovec	94 ± 5	83	129	95 ± 5	85	139	95 ± 5	83	137	95 ± 5	84	120	95 ± 7	83	137	94 ± 4	84	128	93,0 ± 1,2	0,81 ± 0,01						
Libna	Libna	87 ± 4	77	121	87 ± 5	79	122	87 ± 5	79	127	88 ± 4	78	113	90 ± 7	78	124	89 ± 5	77	131	87,9 ± 1,2	0,77 ± 0,01						
Pesje	Pesje	114 ± 8	96	176	113 ± 10	97	222	114 ± 8	98	171	113 ± 7	98	160	114 ± 10	95	170	112 ± 7	96	158	110,4 ± 1,9	0,97 ± 0,02						
Skopice	Skopice	113 ± 8	95	171	115 ± 8	95	156	115 ± 9	94	184	112 ± 8	96	154	111 ± 11	92	173	109 ± 7	94	155	109,7 ± 2,1	0,96 ± 0,02						
Spodnji Stari Grad	Spodnji Stari Grad	107 ± 8	92	174	107 ± 10	85	214	108 ± 9	89	161	106 ± 8	86	147	107 ± 11	86	168	104 ± 7	88	160	103,9 ± 2,1	0,91 ± 0,02						
Vihre	Vihre	93 ± 6	78	125	92 ± 5	78	125	92 ± 6	75	121	91 ± 6	74	118	91 ± 7	77	129	91 ± 5	75	118	90,6 ± 1,6	0,79 ± 0,01						
Brežice	Brežice	85 ± 5	77	135	86 ± 6	77	169	86 ± 5	76	122	86 ± 5	76	114	87 ± 7	76	136	85 ± 4	76	117	84,2 ± 1,3	0,74 ± 0,01						
Cerklje	Cerklje	81 ± 7	66	138	83 ± 7	69	135	84 ± 8	68	130	82 ± 12	66	163	80 ± 10	67	152	79 ± 6	67	126	76,9 ± 1,8	0,67 ± 0,02						
Krško-NEK	Krško-NEK	86 ± 7	73	110	94 ± 8	83	200	94 ± 7	83	133	93 ± 7	79	132	94 ± 10	82	144	92 ± 6	82	140	81,1 ± 1,7	0,71 ± 0,02						
Krško-Videm	Krško-Videm	77 ± 7	65	132	78 ± 7	68	136	79 ± 10	66	202	79 ± 7	67	120	81 ± 10	66	137	79 ± 6	68	137	77,0 ± 1,7	0,67 ± 0,02						

Podatki o kontinuirnih meritvah hitrosti doz so povzeti s spletnega portala www.radioaktivnost.si, ki ga vodi URSJV, Ministrstvo za okolje in prostor.

LETO 2021 T - 56/b

8. KONTINUIRNE MERITVE DOZ ZUNANJEGA SEVANJA ZA LETO 2021 V REPUBLIKI SLOVENIJI – 1. polovica / 1. polletje

Lokacija		Mesečne povprečne vrednosti (nSv/h) - polurna obdelava podatkov																				Polletno povprečje (nSv/h)	Polletna doza (mSv)						
		Januar				Februar				Marec				April				Maj						Junij					
		Povprečna vrednost	Sigma	Min	Maks	Povprečna vrednost	Sigma	Min	Maks	Povprečna vrednost	Sigma	Min	Maks	Povprečna vrednost	Sigma	Min	Maks	Povprečna vrednost	Sigma	Min	Maks			Povprečna vrednost	Sigma	Min	Maks		
Bilje	Bilje	91	± 8	75	145	88	± 8	72	144	87	± 7	71	148	88	± 8	74	152	86	± 7	71	129	88	± 5	75	117	87,9	± 2,8	0,40	± 0,01
Boršt	Boršt	130	± 11	96	166	126	± 8	103	160	127	± 7	111	182	128	± 8	77	128	129	± 9	105	208	132	± 7	113	165	128,6	± 3,3	0,58	± 0,01
Bovec	Bovec	70	± 11	57	134	77	± 10	61	125	80	± 6	66	120	81	± 8	91	168	84	± 15	68	156	81	± 6	67	118	79,5	± 3,3	0,36	± 0,01
Brestanica-Sv.Mohor	Sv.Mohor	78	± 5	65	100	75	± 5	64	97	75	± 5	62	102	76	± 6	91	123	76	± 7	62	118	77	± 5	60	109	76,2	± 2,2	0,34	± 0,01
Brinje	MIRA00	47	± 3	37	60	59	± 24	24	105	87	± 7	68	165	86	± 9	71	181	85	± 9	60	160	90	± 7	40	130	61,9	± 2,4	0,28	± 0,01
Brinje	Brinje (ARSO)	108	± 8	92	159	103	± 7	90	149	105	± 7	88	175	104	± 9	81	137	103	± 9	88	167	108	± 7	93	131	105,3	± 3,1	0,48	± 0,01
Brinje	Brinje (URSJV)	87	± 9	80	110	82	± 6	70	100	82	± 4	70	90	84	± 10	94	169	82	± 8	70	110	87	± 7	80	100	83,2	± 2,6	0,38	± 0,01
Brnik	Brnik	127	± 10	107	180	127	± 8	109	172	129	± 9	112	234	130	± 8	78	144	128	± 11	105	190	132	± 8	113	168	129,0	± 3,6	0,58	± 0,02
Dobliče	Dobliče	144	± 11	118	204	139	± 8	120	183	142	± 9	120	196	139	± 11	68	111	138	± 9	120	208	147	± 11	124	214	141,0	± 3,9	0,64	± 0,02
Dolenje	Dolenje	90	± 6	74	122	88	± 7	74	124	88	± 5	77	119	89	± 7	85	169	87	± 6	75	117	89	± 5	76	110	88,5	± 2,4	0,40	± 0,01
Drnovo	Drnovo (aerosoli)	86	± 4	78	122	84	± 4	76	118	84	± 5	78	154	84	± 5	94	136	84	± 7	77	133	86	± 5	78	136	84,8	± 1,9	0,38	± 0,01
Dvor	Dvor	107	± 9	86	148	104	± 7	89	134	105	± 7	91	161	105	± 8	114	154	105	± 9	87	147	107	± 6	89	156	105,5	± 3,0	0,48	± 0,01
Gačnik	Gačnik	116	± 7	99	146	116	± 7	102	164	118	± 6	104	149	117	± 7	91	141	116	± 8	98	156	120	± 7	102	169	117,3	± 2,8	0,53	± 0,01
Gornja Radgona	Gornja Radgona	105	± 5	92	126	103	± 6	87	141	104	± 5	91	121	104	± 5	60	120	103	± 6	87	129	104	± 6	90	144	103,9	± 2,2	0,47	± 0,01
Hrastje	Hrastje	90	± 8	74	131	85	± 7	71	126	85	± 7	71	159	86	± 9	66	124	85	± 8	71	133	86	± 6	69	114	86,1	± 3,0	0,39	± 0,01
Hrastnik	Hrastnik	98	± 6	83	143	95	± 7	80	131	96	± 6	81	152	95	± 6	84	127	95	± 7	81	143	96	± 6	79	133	95,9	± 2,6	0,43	± 0,01
Iirska Bistrica	Iirska Bistrica	110	± 7	93	147	106	± 7	91	144	108	± 6	92	147	108	± 7	82	126	105	± 6	92	139	111	± 7	94	135	107,8	± 2,7	0,49	± 0,01
Iška vas	Iška vas	97	± 9	78	141	92	± 8	76	134	93	± 6	79	150	94	± 8	82	154	93	± 8	79	140	94	± 6	79	140	93,7	± 3,0	0,42	± 0,01
Jesenice na Dolenjski	Jesenice na Dol.	77	± 6	61	98	73	± 5	59	96	73	± 5	60	95	74	± 6	82	124	74	± 7	63	110	75	± 5	62	108	74,2	± 2,3	0,33	± 0,01
Kamnik	Kamnik	85	± 5	68	109	81	± 6	68	111	82	± 5	66	138	82	± 6	85	141	81	± 6	70	108	81	± 5	69	114	82,1	± 2,2	0,37	± 0,01
Koper	Koper	99	± 6	87	137	97	± 6	83	122	98	± 5	85	128	100	± 8	75	117	97	± 6	80	128	101	± 8	87	211	98,3	± 2,5	0,44	± 0,01
Krajinski park Gorič	Krajinski park Goričko	104	± 5	89	130	102	± 7	86	158	105	± 5	92	128	106	± 6	89	138	105	± 8	90	153	106	± 7	92	144	104,7	± 2,5	0,47	± 0,01
Kredarica	Kredarica	134	± 7	111	163	127	± 9	105	157	130	± 7	111	155	132	± 6	86	189	126	± 9	107	160	126	± 6	108	165	129,5	± 2,9	0,58	± 0,01
Krsko-NEK	NEK-URSJV	72	± 6	0	100	70	± 5	60	100	71	± 5	60	130	71	± 5	104	132	71	± 7	0	120	74	± 6	60	120	71,4	± 2,3	0,32	± 0,01
Krvavec	Krvavec	98	± 6	82	145	93	± 9	75	129	94	± 8	79	140	98	± 7	85	149	117	± 9	93	155	117	± 6	100	149	103,5	± 2,9	0,47	± 0,01
Lendava	Lendava	98	± 6	85	137	96	± 6	81	152	97	± 5	84	118	98	± 6	89	159	97	± 7	82	135	100	± 6	87	116	97,6	± 2,4	0,44	± 0,01
Lesce	Lesce	94	± 10	76	140	100	± 9	83	153	101	± 6	83	142	102	± 7	90	163	102	± 10	85	159	103	± 8	89	165	100,8	± 3,2	0,45	± 0,01
Levec	Levec	100	± 6	85	142	99	± 7	84	132	100	± 6	89	149	100	± 7	78	129	99	± 7	83	134	102	± 7	86	137	100,0	± 2,7	0,45	± 0,01
Lisca	Lisca	103	± 7	88	136	102	± 6	86	133	103	± 6	90	142	104	± 7	81	130	103	± 7	90	136	103	± 5	89	128	103,0	± 2,5	0,46	± 0,01

Podatki o kontinuirnih meritvah hitrosti doz so povzeti s spletnega portala www.radioaktivnost.si, ki ga vodi URSJV, Ministrstvo za okolje in prostor.

LETO 2021 T - 56/c

8. KONTINUIRNE MERITVE DOZ ZUNANJEGA SEVANJA ZA LETO 2021 V REPUBLIKI SLOVENIJI – 1. polovica / 2. polletje

		Mesečne povprečne vrednosti (nSv/h) - polurna obdelava podatkov																Letno povprečje (nSv/h)	Letna doza (mSv)						
		Julij				Avgust				September				Oktober						November				December	
Lokacija	Merilna postaja	Povprečna vrednost	Sigma	Min	Maks	Povprečna vrednost	Sigma	Min	Maks	Povprečna vrednost	Sigma	Min	Maks	Povprečna vrednost	Sigma	Min	Maks	Povprečna vrednost	Sigma	Min	Maks	Povprečna vrednost	Sigma	Min	Maks
Bilje	Bilje	89 ± 8	75	171	90 ± 9	74	171	90 ± 9	76	186	88 ± 7	73	135	92 ± 19	74	355	91 ± 9	72	141	88,5 ± 2,2	0,78 ± 0,02				
Boršt	Boršt	134 ± 11	113	263	134 ± 10	115	187	133 ± 11	114	222	131 ± 8	114	169	135 ± 16	100	236	118 ± 14	89	175	129,6 ± 2,6	1,14 ± 0,02				
Bovec	Bovec	82 ± 11	67	220	81 ± 12	67	186	82 ± 11	65	178	81 ± 8	67	116	86 ± 15	66	169	76 ± 11	62	161	80,0 ± 2,6	0,70 ± 0,02				
Brestanica-Sv.Mohor	Sv.Mohor	79 ± 6	65	119	80 ± 6	62	117	80 ± 7	68	131	78 ± 6	66	113	80 ± 10	65	133	78 ± 6	64	132	77,3 ± 1,7	0,68 ± 0,01				
Brinje	MIRA00	93 ± 15	55	249	93 ± 10	61	176	97 ± 23	59	344	90 ± 8	49	195	93 ± 14	49	191	109 ± 11	91	178	68,7 ± 2,1	0,60 ± 0,02				
Brinje	Brinje (ARSO)	110 ± 14	92	270	111 ± 10	89	180	112 ± 14	90	312	108 ± 8	89	199	112 ± 16	90	211	88 ± 11	70	140	105,6 ± 2,6	0,92 ± 0,02				
Brinje	Brinje (URSJV)	90 ± 14	0	230	94 ± 25	80	230	90 ± 12	0	280	88 ± 7	80	180	89 ± 11	70	130				84,5 ± 2,3	0,74 ± 0,02				
Brnik	Brnik	135 ± 12	117	236	133 ± 12	113	221	134 ± 14	114	252	130 ± 9	15	160	135 ± 19	109	266	126 ± 12	105	196	129,9 ± 2,9	1,14 ± 0,03				
Dobliče	Dobliče	154 ± 12	124	224	155 ± 13	131	251	153 ± 15	123	261	150 ± 13	124	218	150 ± 16	117	224	147 ± 11	120	204	144,6 ± 3,2	1,27 ± 0,03				
Dolenje	Dolenje	90 ± 7	76	149	91 ± 7	77	156	90 ± 6	79	129	89 ± 6	72	115	92 ± 11	76	156	90 ± 7	74	120	89,2 ± 1,8	0,78 ± 0,02				
Drnovo	Drnovo (aerosoli)	88 ± 6	78	158	89 ± 8	80	167	89 ± 7	79	153	88 ± 6	78	139	89 ± 9	78	156	87 ± 6	77	144	85,9 ± 1,6	0,75 ± 0,01				
Dvor	Dvor	109 ± 10	92	225	109 ± 8	90	162	109 ± 13	91	300	107 ± 7	90	138	111 ± 14	93	221	106 ± 10	83	158	106,5 ± 2,4	0,93 ± 0,02				
Gačnik	Gačnik	123 ± 9	104	183	122 ± 11	103	210	123 ± 11	103	252	119 ± 12	102	217	121 ± 13	103	226	116 ± 9	91	186	118,2 ± 2,4	1,04 ± 0,02				
Gornja Radgona	Gornja Radgona	106 ± 6	91	138	106 ± 8	89	171	106 ± 7	88	155	105 ± 7	87	137	106 ± 8	90	151	104 ± 6	87	127	104,5 ± 1,7	0,92 ± 0,02				
Hrastje	Hrastje	88 ± 11	72	186	88 ± 9	71	155	89 ± 14	0	273	87 ± 7	73	136	93 ± 15	71	183	90 ± 10	75	148	86,9 ± 2,4	0,76 ± 0,02				
Hrastnik	Hrastnik	97 ± 8	81	184	98 ± 7	82	144	98 ± 8	81	158	98 ± 9	83	156	100 ± 11	80	202	98 ± 7	81	158	96,7 ± 2,0	0,85 ± 0,02				
Iliška Bistrica	Iliška Bistrica	114 ± 8	96	178	114 ± 8	96	156	115 ± 8	96	162	113 ± 7	97	136	114 ± 8	94	156	113 ± 8	93	162	110,3 ± 2,1	0,97 ± 0,02				
Iška vas	Iška vas	96 ± 9	80	174	97 ± 9	81	160	97 ± 13	79	252	96 ± 9	77	155	101 ± 16	78	199	98 ± 9	83	160	94,8 ± 2,4	0,83 ± 0,02				
Jesenice na Dolenjsk	Jesenice na Dol.	77 ± 7	62	135	78 ± 7	63	137	78 ± 7	59	111	78 ± 8	62	122	79 ± 9	64	123	78 ± 6	64	117	75,6 ± 1,8	0,66 ± 0,02				
Kamnik	Kamnik	83 ± 7	71	152	83 ± 6	69	122	83 ± 8	70	168	83 ± 5	72	108	86 ± 11	70	163	84 ± 6	71	117	82,6 ± 1,7	0,72 ± 0,01				
Koper	Koper	103 ± 8	86	179	104 ± 8	90	177	102 ± 6	84	124	101 ± 7	84	167	102 ± 8	85	172	101 ± 8	86	148	99,9 ± 1,9	0,88 ± 0,02				
Krajinjski park Goričk	Krajinjski park Goričko	109 ± 8	93	152	110 ± 11	91	217	110 ± 12	93	286	106 ± 9	92	160	108 ± 12	89	172	102 ± 9	84	133	105,4 ± 2,1	0,92 ± 0,02				
Kredarica	Kredarica	129 ± 8	113	179	131 ± 8	114	179	130 ± 7	110	171	129 ± 7	112	156	131 ± 11	106	179	133 ± 9	111	161	129,8 ± 2,2	1,14 ± 0,02				
Krsko-NEK	NEK-URSJV	76 ± 7	60	130	76 ± 9	60	190	76 ± 7	60	120	103 ± 14	70	110	110 ± 14	110	110	90 ± 19	60	110	73,9 ± 2,0	0,65 ± 0,02				
Krvavec	Krvavec	119 ± 8	105	169	119 ± 8	103	166	119 ± 9	101	175	119 ± 9	100	177	120 ± 11	100	198	99 ± 8	75	136	108,3 ± 2,3	0,95 ± 0,02				
Lendava	Lendava	104 ± 10	89	233	102 ± 10	85	178	103 ± 8	86	193	101 ± 10	87	178	101 ± 9	84	161	99 ± 6	84	130	98,8 ± 2,0	0,87 ± 0,02				
Lesce	Lesce	105 ± 11	88	212	105 ± 11	85	201	104 ± 10	87	182	102 ± 7	90	150	108 ± 19	82	238	93 ± 10	75	162	101,2 ± 2,5	0,89 ± 0,02				
Levec	Levec	104 ± 8	91	167	103 ± 8	91	151	105 ± 10	87	225	101 ± 8	88	180	104 ± 12	86	179	100 ± 8	83	138	100,9 ± 2,1	0,88 ± 0,02				
Lisca	Lisca	105 ± 8	90	165	105 ± 7	91	174	105 ± 9	88	173	105 ± 9	90	153	107 ± 10	90	163	99 ± 9	82	142	103,4 ± 2,0	0,91 ± 0,02				

Podatki o kontinuirnih meritvah hitrosti doz so povzeti s spletnega portala www.radioaktivnost.si, ki ga vodi URSJV, Ministrstvo za okolje in prostor.

LETO 2021 T - 56/d

8. KONTINUIRNE MERITVE DOZ ZUNANJEGA SEVANJA ZA LETO 2021 V REPUBLIKI SLOVENIJI – 2. polovica / 1. polletje

		Mesečne povprečne vrednosti (nSv/h) - polurna obdelava podatkov																				Polletno povprečje (nSv/h)	Polletna doza (mSv)		
		Januar				Februar				Marec				April				Maj						Junij	
Lokacija	Merilna postaja	Povprečna vrednost	Sigma	Min	Maks	Povprečna vrednost	Sigma	Min	Maks	Povprečna vrednost	Sigma	Min	Maks	Povprečna vrednost	Sigma	Min	Maks	Povprečna vrednost	Sigma	Min	Maks	Povprečna vrednost	Sigma	Min	Maks
Ljubljana-Bezigrad	Ljubljana (Bežigrad)	110 ± 8	93	154	106 ± 8	91	152	107 ± 8	92	178	107 ± 10	86	156	107 ± 8	91	158	110 ± 7	93	141	108,0 ± 3,3	0,49 ± 0,01				
Ljubljana-Brinje-IJS	Brinje (IJS)	87 ± 10	60	132	83 ± 9	56	132	84 ± 9	58	168	84 ± 11	98	187	83 ± 10	58	144	88 ± 9	62	118	84,9 ± 3,9	0,38 ± 0,02				
Ljubljana-Vič	LJ-Vič	85 ± 0	85	85	115 ± 7	97	158	115 ± 7	98	175	116 ± 8	87	153	114 ± 8	97	160	118 ± 7	102	140	85,0 ± 0,0	0,38 ± 0,00				
Loče	Loče	105 ± 5	92	129	102 ± 6	89	135	104 ± 6	89	154	105 ± 6	110	175	103 ± 7	86	147	106 ± 6	91	127	104,3 ± 2,4	0,47 ± 0,01				
Malkovec	Malkovec	103 ± 7	89	143	100 ± 6	85	132	102 ± 6	86	159	102 ± 7	0	144	102 ± 7	86	138	103 ± 6	90	137	101,9 ± 2,6	0,46 ± 0,01				
Maribor-Slivnica	MB-Slivnica	106 ± 7	92	145	104 ± 7	89	155	105 ± 6	91	143	105 ± 7	86	134	105 ± 9	86	161	108 ± 7	90	139	105,5 ± 2,9	0,48 ± 0,01				
Muta	Muta	108 ± 6	93	136	105 ± 7	90	150	106 ± 6	92	141	106 ± 6	72	110	106 ± 9	90	155	107 ± 9	93	180	106,4 ± 2,8	0,48 ± 0,01				
Novo mesto	Novo mesto	89 ± 8	73	141	84 ± 6	70	124	84 ± 7	69	145	84 ± 7	69	180	83 ± 7	68	118	86 ± 8	69	147	84,7 ± 2,9	0,38 ± 0,01				
Park Škocjanske jame	Park Škocjanske jame	95 ± 6	81	118	92 ± 6	76	115	93 ± 6	79	115	94 ± 7	91	142	91 ± 7	75	129	95 ± 6	82	116	93,4 ± 2,6	0,42 ± 0,01				
Podbočje	Podbočje	96 ± 6	80	133	93 ± 6	78	119	93 ± 6	80	141	94 ± 7	89	163	93 ± 7	80	138	95 ± 7	80	144	94,0 ± 2,6	0,42 ± 0,01				
Podčetrtek	Podčetrtek	103 ± 6	89	138	100 ± 6	88	136	102 ± 7	89	174	102 ± 7	80	142	101 ± 10	79	154	105 ± 8	81	164	102,1 ± 2,9	0,46 ± 0,01				
Postojna	Postojna	117 ± 9	95	150	113 ± 8	94	158	116 ± 7	98	150	117 ± 10	92	171	114 ± 8	97	156	121 ± 8	100	154	116,2 ± 3,3	0,52 ± 0,02				
Ptuj	Ptuj	112 ± 6	97	157	110 ± 7	92	161	110 ± 6	94	142	110 ± 7	114	202	110 ± 8	95	156	115 ± 7	99	136	111,2 ± 2,7	0,50 ± 0,01				
Rakičan	MS-Rakičan	99 ± 6	85	127	98 ± 6	85	145	100 ± 5	87	123	101 ± 7	51	99	100 ± 8	84	146	103 ± 7	89	162	100,0 ± 2,6	0,45 ± 0,01				
Rateče	Rateče	90 ± 10	75	150	86 ± 9	71	136	95 ± 8	78	127	133 ± 8	92	180	136 ± 11	118	193	140 ± 8	121	180	114,0 ± 3,6	0,51 ± 0,02				
Ravne na Koroskem	Ravne na Koroskem	107 ± 6	90	143	105 ± 7	90	142	104 ± 15	0	134	98 ± 30	78	117	103 ± 17	0	136	108 ± 8	89	167	106,1 ± 3,7	0,48 ± 0,02				
Rogla	Rogla	92 ± 7	78	128	92 ± 8	75	136	96 ± 6	81	119	101 ± 7	109	189	105 ± 8	87	137	102 ± 8	86	210	97,7 ± 2,9	0,44 ± 0,01				
Rudno polje	Rudno polje	87 ± 7	72	115	83 ± 9	66	122	82 ± 5	69	110	85 ± 5	86	134	102 ± 13	72	153	113 ± 6	97	164	90,3 ± 2,6	0,41 ± 0,01				
Sečovlje	Sečovlje	83 ± 6	71	123	81 ± 6	67	113	83 ± 7	72	167	84 ± 9	72	110	81 ± 7	69	128	85 ± 6	71	145	82,8 ± 2,7	0,37 ± 0,01				
Slovenj Gradec	Sl. Gradec	131 ± 8	108	173	131 ± 8	111	182	133 ± 7	115	172	133 ± 8	91	142	133 ± 9	115	179	137 ± 9	116	184	132,9 ± 3,3	0,60 ± 0,01				
Suha	Suha	94 ± 8	79	136	94 ± 7	78	124	95 ± 6	79	143	95 ± 6	89	163	94 ± 8	76	127	96 ± 6	83	121	94,8 ± 2,7	0,43 ± 0,01				
Šostanj	Šostanj	110 ± 8	93	164	109 ± 8	93	146	109 ± 6	94	141	109 ± 7	80	142	109 ± 10	90	165	110 ± 7	93	156	109,3 ± 3,0	0,49 ± 0,01				
Todraž	Todraž	121 ± 12	97	161	128 ± 9	109	179	129 ± 7	114	180	131 ± 9	92	171	131 ± 10	108	173	135 ± 8	114	181	129,9 ± 3,6	0,59 ± 0,02				
Trbovlje	Trbovlje	72 ± 6	56	115	68 ± 6	52	96	68 ± 6	55	112	68 ± 6	114	202	68 ± 7	53	109	68 ± 6	54	119	68,7 ± 2,5	0,31 ± 0,01				
Velenje	Velenje	109 ± 7	92	152	109 ± 8	93	157	109 ± 6	96	138	109 ± 7	51	99	110 ± 8	94	157	112 ± 8	95	180	109,5 ± 2,9	0,49 ± 0,01				
Vnajnarje	Vnajnarje	129 ±	111	170	130 ± 7	115	171	131 ± 7	112	181	132 ± 8	78	117	131 ± 8	112	167	137 ± 9	118	167	131,5 ± 3,2	0,59 ± 0,01				

Podatki o kontinuirnih meritvah hitrosti doz so povzeti s spletnega portala www.radioaktivnost.si, ki ga vodi URSJV, Ministrstvo za okolje in prostor.

8. KONTINUIRNE MERITVE DOZ ZUNANJEGA SEVANJA ZA LETO 2021 V REPUBLIKI SLOVENIJI – 2. polovica / 2. polletje

		Mesečne povprečne vrednosti (nSv/h) - polurna obdelava podatkov																				Letno povprečje (nSv/h)	Letna doza (mSv)		
		Julij				Avgust				September				Oktober				November						December	
Lokacija	Merilna postaja	Povprečna vrednost	Sigma	Min	Maks	Povprečna vrednost	Sigma	Min	Maks	Povprečna vrednost	Sigma	Min	Maks	Povprečna vrednost	Sigma	Min	Maks	Povprečna vrednost	Sigma	Min	Maks	Povprečna vrednost	Sigma	Min	Maks
Ljubljana-Bezigrad	Ljubljana (Bežigrad)	112 ± 13	96	247	112 ± 10	95	178	114 ± 20	97	483	109 ± 7	93	153	114 ± 16	92	215	110 ± 11	93	207	109,0 ± 2,6	0,95 ± 0,02				
Ljubljana-Brinje-IJS	Brinje (IJS)	90 ± 14	62	232	90 ± 12	64	158	91 ± 15	66	290	88 ± 9	62	174	91 ± 16	58	190	85 ± 16	0	170	86,4 ± 3,1	0,76 ± 0,03				
Ljubljana-Vič	LJ-Vič	119 ± 11	100	253	120 ± 9	102	193	120 ± 11	99	281	117 ± 7	101	151	121 ± 13	102	200	118 ± 10	100	188	85,0 ± 0,0	0,74 ± 0,00				
Loče	Loče	108 ± 7	93	155	107 ± 8	90	164	108 ± 8	92	152	106 ± 9	92	194	107 ± 10	92	153	105 ± 7	87	155	105,2 ± 1,9	0,92 ± 0,02				
Malkovec	Malkovec	107 ± 8	91	178	108 ± 7	90	170	107 ± 8	90	158	105 ± 8	91	150	107 ± 12	87	198	104 ± 8	87	163	103,6 ± 2,1	0,91 ± 0,02				
Maribor-Slivnica	MB-Slivnica	110 ± 9	95	173	89 ± 42	0	240	114 ± 8	94	153	113 ± 13	94	198	113 ± 13	95	205	109 ± 8	89	157	107,3 ± 2,4	0,94 ± 0,02				
Muta	Muta	107 ± 15	0	183	109 ± 14	91	249	109 ± 9	85	187	108 ± 11	91	206	110 ± 10	91	178	102 ± 14	0	148	106,8 ± 2,4	0,94 ± 0,02				
Novo mesto	Novo mesto	89 ± 9	73	167	90 ± 9	71	139	90 ± 10	71	149	91 ± 10	71	146	91 ± 12	70	149	92 ± 8	73	142	86,8 ± 2,3	0,76 ± 0,02				
Park Škocjanske jame	Park Škocjanske jame	96 ± 8	79	145	97 ± 8	80	150	97 ± 10	80	237	93 ± 6	81	125	96 ± 9	77	151	95 ± 8	81	129	94,1 ± 2,0	0,82 ± 0,02				
Podbočje	Podbočje	97 ± 7	79	145	98 ± 8	81	141	98 ± 8	79	161	99 ± 11	81	179	98 ± 10	80	150	97 ± 7	80	145	95,4 ± 2,1	0,84 ± 0,02				
Podčetrtek	Podčetrtek	108 ± 9	86	179	107 ± 9	89	153	109 ± 10	91	162	106 ± 8	87	155	106 ± 12	87	169	104 ± 8	88	156	103,7 ± 2,3	0,91 ± 0,02				
Postojna	Postojna	121 ± 11	105	187	124 ± 10	102	185	123 ± 11	102	187	118 ± 8	96	156	121 ± 12	99	187	117 ± 10	95	160	117,9 ± 2,6	1,03 ± 0,02				
Ptuj	Ptuj	119 ± 9	101	181	114 ± 14	97	236	115 ± 8	97	177	115 ± 12	95	208	113 ± 11	95	205	111 ± 8	94	166	112,3 ± 2,3	0,98 ± 0,02				
Rakičan	MS-Rakičan	107 ± 7	91	142	106 ± 13	88	229	104 ± 11	88	226	101 ± 8	84	167	102 ± 10	86	158	99 ± 7	84	135	101,0 ± 2,1	0,88 ± 0,02				
Rateče	Rateče	143 ± 9	120	201	139 ± 11	119	215	141 ± 9	124	203	137 ± 7	117	176	139 ± 15	102	205	106 ± 10	87	171	123,6 ± 2,6	1,08 ± 0,02				
Ravne na Koroškem	Ravne na Koroškem	112 ± 7	94	159	109 ± 10	92	194	111 ± 9	93	186	108 ± 7	94	149	111 ± 11	95	173	98 ± 9	78	154	107,3 ± 2,5	0,94 ± 0,02				
Rogla	Rogla	104 ± 9	88	170	104 ± 9	89	186	103 ± 7	89	152	104 ± 10	87	164	106 ± 11	87	159	92 ± 8	77	144	99,3 ± 2,3	0,87 ± 0,02				
Rudno polje	Rudno polje	115 ± 8	98	175	114 ± 9	99	190	114 ± 8	99	171	114 ± 8	99	172	117 ± 14	87	175				97,7 ± 2,2	0,86 ± 0,02				
Sečovelje	Sečovelje	87 ± 7	73	154	89 ± 9	77	204	87 ± 7	73	175	85 ± 5	71	118	86 ± 8	73	135	86 ± 8	69	141	84,5 ± 2,0	0,74 ± 0,02				
Slovenj Gradec	Sl. Gradec	140 ± 10	117	203	137 ± 11	119	230	139 ± 10	120	228	136 ± 10	118	206	137 ± 12	114	220	124 ± 11	97	185	133,9 ± 2,6	1,17 ± 0,02				
Suha	Suha	98 ± 8	85	177	97 ± 9	78	180	98 ± 8	82	152	96 ± 7	82	133	102 ± 15	79	189	94 ± 8	77	138	95,6 ± 2,1	0,84 ± 0,02				
Šoštanj	Šoštanj	114 ± 9	96	192	111 ± 10	94	175	112 ± 10	96	178	110 ± 8	93	175	114 ± 14	96	206	106 ± 11	88	160	110,0 ± 2,4	0,96 ± 0,02				
Todraž	Todraž	137 ± 13	113	311	137 ± 7	124	182	137 ± 8	125	223	135 ± 6	121	169	138 ± 12	119	211	128 ± 8	113	175	132,6 ± 2,4	1,16 ± 0,02				
Trbovlje	Trbovlje	69 ± 7	55	128	69 ± 7	55	108	71 ± 7	56	119	71 ± 6	58	106	88 ± 17	0	144	98 ± 6	81	134	72,3 ± 1,9	0,63 ± 0,02				
Velenje	Velenje	115 ± 9	99	185	113 ± 9	96	177	114 ± 12	95	233	110 ± 9	94	193	114 ± 14	94	192	109 ± 9	91	158	110,5 ± 2,4	0,97 ± 0,02				
Vnjanarje	Vnjanarje	144 ± 10	123	233	146 ± 9	125	199	144 ± 10	121	237	137 ± 9	115	203	136 ± 13	115	204	127 ± 10	104	188	134,5 ± 2,5	1,18 ± 0,02				

Podatki o kontinuirnih meritvah hitrosti doz so povzeti s spletnega portala www.radioaktivnost.si, ki ga vodi URSJV, Ministrstvo za okolje in prostor.

LETO 2021

8. IZRAČUN RAZREDČITVENIH IN DEPOZICIJSKIH KOEFICIENTOV PO LAGRANGEEVEM MODELU (MEIS, d. o. o.)



Razredčitveni koeficienti

Lokacija	NEK - plant vent	NEK - ograja zahod	NEK - ograja vzhod	Spodnji Stari Grad	Vrbina	Brežice	Vihre	Mrtvice	Brege	Žadovinek	Leskovec	Krško - Stara vas	Pesje	Dobova
Mesec	Povprečni mesečni X/Q (s/m^3)													
Januar	2,27E-07	2,31E-07	3,28E-07	3,75E-07	2,17E-07	2,06E-08	2,47E-08	4,83E-08	1,23E-07	3,46E-07	2,19E-07	1,60E-07	3,35E-07	4,81E-08
Februar	1,99E-07	1,94E-07	3,66E-07	2,81E-07	1,75E-07	5,16E-08	2,46E-08	4,92E-08	1,16E-07	2,23E-07	1,41E-07	9,51E-08	2,17E-07	3,56E-08
Marec	1,55E-07	1,33E-07	2,83E-07	2,58E-07	1,78E-07	6,70E-08	6,10E-08	9,07E-08	1,88E-07	1,37E-07	1,05E-07	1,03E-07	2,08E-07	1,55E-08
April	1,90E-07	1,47E-07	3,20E-07	3,23E-07	1,71E-07	4,28E-08	2,74E-08	5,31E-08	1,51E-07	2,35E-07	1,72E-07	9,16E-08	1,98E-07	2,52E-08
Maj	2,42E-07	2,23E-07	4,21E-07	3,69E-07	2,72E-07	7,44E-08	4,64E-08	7,12E-08	1,25E-07	2,21E-07	1,10E-07	9,77E-08	2,95E-07	1,23E-08
Junij	1,54E-06	1,04E-06	1,91E-06	3,99E-07	4,73E-07	1,25E-07	9,80E-08	1,38E-07	2,29E-07	2,42E-07	1,26E-07	1,23E-07	3,41E-07	7,04E-09
Julij	1,84E-06	1,33E-06	2,20E-06	4,97E-07	3,38E-07	9,38E-08	9,59E-08	1,31E-07	3,37E-07	3,83E-07	1,02E-07	1,05E-07	3,99E-07	1,21E-08
Avgust	2,14E-06	1,66E-06	2,13E-06	4,02E-07	5,13E-07	1,30E-07	1,59E-07	2,07E-07	3,91E-07	5,59E-07	1,91E-07	1,40E-07	2,76E-07	2,10E-08
September	7,56E-07	8,06E-07	1,02E-06	5,43E-07	3,32E-07	1,39E-07	8,39E-08	1,29E-07	2,39E-07	3,06E-07	1,25E-07	8,12E-08	3,96E-07	1,00E-08
Oktober	3,65E-07	2,82E-07	6,14E-07	4,41E-07	3,14E-07	1,08E-07	7,83E-08	9,92E-08	2,25E-07	3,08E-07	1,65E-07	1,30E-07	4,21E-07	2,19E-08
November	3,94E-07	3,49E-07	6,28E-07	3,84E-07	2,65E-07	5,80E-08	4,56E-08	8,24E-08	1,82E-07	5,07E-07	2,38E-07	1,34E-07	4,29E-07	7,79E-08
December	2,24E-07	2,15E-07	3,75E-07	6,47E-07	2,32E-07	4,45E-08	2,63E-08	4,84E-08	1,05E-07	2,67E-07	2,18E-07	2,33E-07	5,41E-07	2,37E-08

Depozicijski koeficienti

Lokacija	NEK - plant vent	NEK - ograja zahod	NEK - ograja vzhod	Spodnji Stari Grad	Vrbina	Brežice	Vihre	Mrtvice	Brege	Žadovinek	Leskovec	Krško - Stara vas	Pesje	Dobova
Mesec	Povprečni mesečni $(D/Q)/(s/m^2)$													
Januar	2,66E-06	1,65E-06	9,89E-07	2,49E-07	1,59E-07	1,17E-08	1,20E-08	1,62E-08	6,09E-08	2,49E-07	8,60E-08	6,38E-08	1,10E-07	2,59E-08
Februar	1,90E-06	1,14E-06	7,98E-07	1,90E-07	9,64E-08	1,30E-08	1,25E-08	1,59E-08	4,14E-08	1,89E-07	6,52E-08	4,09E-08	8,02E-08	1,47E-08
Marec	1,82E-06	9,07E-07	7,70E-07	1,25E-07	1,25E-07	1,99E-08	2,29E-08	2,78E-08	7,71E-08	1,18E-07	5,55E-08	5,12E-08	7,87E-08	8,82E-09
April	2,01E-06	1,09E-06	8,31E-07	1,82E-07	9,63E-08	1,46E-08	1,52E-08	2,37E-08	6,82E-08	1,45E-07	6,85E-08	3,98E-08	8,46E-08	1,32E-08
Maj	2,39E-06	1,03E-06	1,05E-06	1,89E-07	1,46E-07	2,23E-08	2,09E-08	2,36E-08	6,64E-08	1,39E-07	6,22E-08	5,84E-08	1,10E-07	8,91E-09
Junij	2,84E-06	9,64E-07	1,23E-06	1,56E-07	1,69E-07	3,48E-08	4,01E-08	4,60E-08	7,81E-08	1,11E-07	5,71E-08	7,59E-08	1,16E-07	5,66E-09
Julij	3,12E-06	1,05E-06	1,31E-06	2,06E-07	1,23E-07	2,31E-08	3,56E-08	4,06E-08	9,41E-08	1,40E-07	5,05E-08	5,47E-08	1,11E-07	7,44E-09
Avgust	3,69E-06	1,64E-06	1,26E-06	1,88E-07	2,22E-07	3,52E-08	5,84E-08	6,38E-08	1,06E-07	2,24E-07	9,89E-08	9,10E-08	1,06E-07	1,57E-08
September	3,56E-06	1,35E-06	1,51E-06	2,46E-07	1,49E-07	3,95E-08	4,11E-08	5,36E-08	1,18E-07	1,71E-07	7,01E-08	5,17E-08	1,24E-07	1,36E-08
Oktober	3,44E-06	1,44E-06	1,47E-06	2,02E-07	1,99E-07	2,90E-08	2,88E-08	3,10E-08	1,22E-07	1,77E-07	7,15E-08	7,86E-08	1,30E-07	1,49E-08
November	4,09E-06	2,31E-06	1,44E-06	2,10E-07	1,73E-07	1,62E-08	3,30E-08	4,40E-08	1,40E-07	3,59E-07	9,85E-08	5,87E-08	1,25E-07	3,83E-08
December	3,65E-06	1,52E-06	1,70E-06	3,19E-07	1,63E-07	1,69E-08	1,54E-08	2,54E-08	1,18E-07	2,34E-07	8,16E-08	7,60E-08	1,51E-07	1,58E-08

LETO 2021

8. IZRAČUN RAZREDČITVENIH IN DEPOZICIJSKIH KOEFICIENTOV PO LAGRANGEEVEM MODELU (MEIS, d. o. o.)



Koeficientov sevanja iz oblaka

Lokacija	NEK - plant vent	NEK - ograja zahod	NEK - ograja vzhod	Spodnji Stari Grad	Vrbina	Brežice	Vihre	Mrtvice	Brege	Žadovinec	Leskovec	Krško - Stara vas	Pesje	Dobova
Mesec	Povprečni mesečni $(D/Q)/(s/m^2)$													
Januar	2,32E-07	2,33E-07	3,30E-07	3,75E-07	2,17E-07	2,06E-08	2,47E-08	4,81E-08	1,22E-07	3,46E-07	2,18E-07	1,60E-07	3,34E-07	4,79E-08
Februar	2,04E-07	1,96E-07	3,68E-07	2,81E-07	1,74E-07	5,14E-08	2,46E-08	4,91E-08	1,15E-07	2,23E-07	1,41E-07	9,47E-08	2,16E-07	3,55E-08
Marec	1,61E-07	1,36E-07	2,86E-07	2,57E-07	1,77E-07	6,68E-08	6,09E-08	9,04E-08	1,87E-07	1,37E-07	1,05E-07	1,03E-07	2,08E-07	1,54E-08
April	1,95E-07	1,50E-07	3,23E-07	3,22E-07	1,71E-07	4,27E-08	2,74E-08	5,29E-08	1,51E-07	2,35E-07	1,72E-07	9,12E-08	1,97E-07	2,51E-08
Maj	2,49E-07	2,26E-07	4,24E-07	3,68E-07	2,71E-07	7,41E-08	4,64E-08	7,10E-08	1,24E-07	2,20E-07	1,10E-07	9,73E-08	2,94E-07	1,23E-08
Junij	1,55E-06	1,04E-06	1,91E-06	3,97E-07	4,71E-07	1,25E-07	9,78E-08	1,37E-07	2,28E-07	2,41E-07	1,26E-07	1,22E-07	3,40E-07	7,02E-09
Julij	1,86E-06	1,33E-06	2,19E-06	4,95E-07	3,37E-07	9,35E-08	9,56E-08	1,31E-07	3,35E-07	3,82E-07	1,01E-07	1,05E-07	3,98E-07	1,21E-08
Avgust	2,16E-06	1,67E-06	2,13E-06	4,01E-07	5,11E-07	1,29E-07	1,58E-07	2,06E-07	3,89E-07	5,57E-07	1,90E-07	1,39E-07	2,75E-07	2,09E-08
September	7,67E-07	8,11E-07	1,02E-06	5,41E-07	3,31E-07	1,38E-07	8,38E-08	1,28E-07	2,39E-07	3,05E-07	1,24E-07	8,09E-08	3,94E-07	9,96E-09
Oktober	3,73E-07	2,86E-07	6,18E-07	4,40E-07	3,14E-07	1,08E-07	7,81E-08	9,89E-08	2,24E-07	3,08E-07	1,65E-07	1,29E-07	4,20E-07	2,18E-08
November	4,01E-07	3,53E-07	6,30E-07	3,83E-07	2,65E-07	5,78E-08	4,56E-08	8,22E-08	1,82E-07	5,06E-07	2,37E-07	1,33E-07	4,27E-07	7,76E-08
December	2,31E-07	2,18E-07	3,79E-07	6,45E-07	2,31E-07	4,43E-08	2,63E-08	4,82E-08	1,05E-07	2,67E-07	2,17E-07	2,32E-07	5,39E-07	2,36E-08

9. ZEMLJA

LETO 2021 T – 57a

9. ZEMLJA - NEOBDELANA - poplavno področje ob Savi - 7D (mivkasta borovina, nekošeno področje)

Izotopska analiza sevalcev gama in specifična analiza Sr-90/Sr-89 (**)

Vzrč. mesto	Gmajnice							
Datum vzor.	20. 5. 2021							
Gl. vzor. (cm)	trava	0-5	5-10	10-15	15-30	0-15	0-15	0-30
Kol. vzor. (kg/m ²)	0,07	28,7	36,1	39,4	114,7	104,2	+ trava	218,9
Oznaka vzorca	K21ZN11T51	K21ZN11AB51	K21ZN11C51	K21ZN11D51	K21ZN11E51			
IZOTOP	KONCENTRACIJA AKTIVNOSTI (Bq/m ²)							
U-238	1,0E-01 ± 2E-01 ‡	7,6E+02 ± 9E+01	1,2E+03 ± 2E+02	1,3E+03 ± 1E+02	3,1E+03 ± 3E+02	3,3E+03 ± 2E+02	3,3E+03 ± 2E+02	6,3E+03 ± 4E+02
Ra-226	3,9E-01 ± 2E-01	1,2E+03 ± 1E+02	1,6E+03 ± 1E+02	1,5E+03 ± 1E+02	4,2E+03 ± 4E+02	4,3E+03 ± 2E+02	4,3E+03 ± 2E+02	8,5E+03 ± 5E+02
Pb-210	8,3E-01 ± 3E-01	2,0E+03 ± 7E+02	2,5E+02	2,1E+03 ± 1E+02	4,3E+02 ± 3E+03 ‡	4,3E+03 ± 7E+02 x	4,3E+03 ± 7E+02 x	4,8E+03 ± 3E+03 x
Ra-228	3,9E-02 ± 6E-02 ‡	8,7E+02 ± 3E+01	1,1E+03 ± 4E+01	1,2E+03 ± 5E+01	3,2E+03 ± 1E+02	3,2E+03 ± 7E+01	3,2E+03 ± 7E+01	6,4E+03 ± 1E+02
Th-232	7,8E-02 ± 2E-02	9,0E+02 ± 3E+01	1,1E+03 ± 3E+01	1,2E+03 ± 5E+01	3,2E+03 ± 9E+01	3,2E+03 ± 6E+01	3,2E+03 ± 6E+01	6,4E+03 ± 1E+02
Th-230				1,1E+03 ± 5E+02		1,1E+03 ± 5E+02	1,1E+03 ± 5E+02	1,1E+03 ± 5E+02
K-40	4,4E+01 ± 1E+00	1,1E+04 ± 4E+02	1,3E+04 ± 4E+02	1,4E+04 ± 7E+02	3,7E+04 ± 1E+03	3,7E+04 ± 9E+02	3,7E+04 ± 9E+02	7,5E+04 ± 2E+03
Be-7	1,2E+01 ± 5E-01	2,5E+02 ± 4E+01				2,5E+02 ± 4E+01	2,6E+02 ± 4E+01	2,5E+02 ± 4E+01
I-131								
Cs-134								
Cs-137	2,7E-02 ± 1E-02	1,2E+03 ± 4E+01	1,7E+03 ± 5E+01	1,4E+03 ± 9E+01	6,8E+02 ± 3E+01	4,3E+03 ± 1E+02	4,3E+03 ± 1E+02	5,0E+03 ± 1E+02
Co-58								
Co-60								
Cr-51								
Mn-54								
Zn-65								
Nb-95								
Ru-106								
Sb-125								
Sr-89/Sr-90	2,0E-02 ± 2E-03	2,3E+01 ± 2E+00	2,6E+01 ± 3E+00	3,1E+01 ± 3E+00	8,2E+01 ± 9E+00	8,1E+01 ± 4E+00	8,1E+01 ± 4E+00	1,6E+02 ± 1E+01

Vzrč. mesto	Gmajnice							
Datum vzor.	20. 5. 2021							
Gl. vzor. (cm)	trava	0-5	5-10	10-15	15-30	Uteženo povprečje		Uteženo povprečje
Kol. vzorca (kg)	0,13	0,34	0,37	0,41	0,45	0-15		0-30
Kol. (kg/m ²)	0,07	28,7	36,1	39,4	114,7			
Oznaka vzorca	K21ZN11T51	K21ZN11AB51	K21ZN11C51	K21ZN11D51	K21ZN11E51			
IZOTOP	SPECIFIČNA AKTIVNOST (Bq/kg)							
U-238	1,5E+00 ± 3E+00 ‡	2,6E+01 ± 3E+00	3,3E+01 ± 5E+00	3,3E+01 ± 3E+00	2,7E+01 ± 2E+00	3,1E+01 ± 2E+00	2,9E+01 ± 2E+00	
Ra-226	5,9E+00 ± 3E+00	4,3E+01 ± 4E+00	4,4E+01 ± 4E+00	3,8E+01 ± 4E+00	3,7E+01 ± 3E+00	4,2E+01 ± 2E+00	3,9E+01 ± 2E+00	
Pb-210	1,3E+01 ± 4E+00	6,8E+01 ± 3E+01	6,9E+00	5,4E+01 ± 3E+00	3,7E+00 ± 3E+01 ‡	4,2E+01 ± 7E+00 x	2,2E+01 ± 1E+01 x	
Ra-228	5,9E-01 ± 9E-01 ‡	3,0E+01 ± 1E+00	3,2E+01 ± 1E+00	3,0E+01 ± 1E+00	2,8E+01 ± 9E-01	3,0E+01 ± 6E-01	2,9E+01 ± 6E-01	
Th-232	1,2E+00 ± 3E-01	3,1E+01 ± 9E-01	3,2E+01 ± 8E-01	3,0E+01 ± 1E+00	2,8E+01 ± 8E-01	3,1E+01 ± 6E-01	2,9E+01 ± 5E-01	
Th-230				2,8E+01 ± 1E+01		1,0E+01 ± 5E+00	5,0E+00 ± 2E+00	
K-40	6,6E+02 ± 2E+01	3,7E+02 ± 1E+01	3,6E+02 ± 1E+01	3,5E+02 ± 2E+01	3,2E+02 ± 1E+01	3,6E+02 ± 9E+00	3,4E+02 ± 7E+00	
Be-7	1,8E+02 ± 8E+00	8,8E+00 ± 1E+00				2,4E+00 ± 3E-01	1,2E+00 ± 2E-01	
I-131								
Cs-134								
Cs-137	4,1E-01 ± 2E-01	4,3E+01 ± 1E+00	4,7E+01 ± 1E+00	3,5E+01 ± 2E+00	5,9E+00 ± 3E-01	4,1E+01 ± 1E+00	2,3E+01 ± 5E-01	
Co-58								
Co-60								
Cr-51								
Mn-54								
Zn-65								
Nb-95								
Ru-106								
Sb-125								
Sr-89/Sr-90	3,0E-01 ± 3E-02	8,0E-01 ± 7E-02	7,3E-01 ± 7E-02	8,0E-01 ± 7E-02	7,2E-01 ± 8E-02	7,7E-01 ± 4E-02	7,5E-01 ± 5E-02	

(*) Število, ki sledi znaku ±, je negotovost povprečja (apriorna negotovost).

(**) Visokoločljivostna spektrometrija gama je bila opravljena na Odseku F-2, radiokemijske analize Sr-90/Sr-89 pa na Odseku O-2.

(‡) Rezultat meritve je pod mejo kvantifikacije.

(†) Rezultat meritve je pod mejo detekcije.

(x) Pri meji detekcije se kot predpostavljena vrednost upošteva 1/4 meje detekcije, zato se negotovosti aritmetičnega povprečja za izbrano leto ne podajajo z apriorno negotovostjo, temveč z aposteriorno negotovostjo.

LETO 2021 T – 57b

9. ZEMLJA - OBDELANA - poplavno področje ob Savi - 7D (rjava naplavina, normalno oranje)

Izotopska analiza sevalcev gama (***)

Vzorč. mesto		Gmajnice							
Datum vzor.		12. 10. 2021							
Gl. vzor. (cm)	trava	0-5	5-10	10-15	15-30	0-15	0-15	0-30	
Kol. vzor. (kg/m ²)	0,07	27,2	38,2	46,3	101,1	111,7	+ trava	212,8	
Oznaka vzorca	K21ZN11TA1	K21ZN11ABA1	K21ZN11CA1	K21ZN11DA1	K21ZN11EA1				
IZOTOP		KONCENTRACIJA AKTIVNOSTI (Bq/m ²)							
U-238	2,2E-01 ± 2E-01 ‡	1,1E+03 ± 1E+02	1,5E+03 ± 2E+02	1,8E+03 ± 2E+02	3,0E+03 ± 5E+02	4,4E+03 ± 3E+02	4,4E+03 ± 3E+02	7,4E+03 ± 6E+02	
Ra-226	4,7E-01 ± 3E-01	1,2E+03 ± 1E+02	1,7E+03 ± 2E+02	2,0E+03 ± 2E+02	4,1E+03 ± 4E+02	4,8E+03 ± 3E+02	4,8E+03 ± 3E+02	8,9E+03 ± 5E+02	
Pb-210	7,0E+00 ± 4E-01	3,5E+03 ± 9E+02	1,7E+03 ± 6E+02	4,3E+02	4,4E+02 †	5,6E+03 ± 1E+03 x	5,6E+03 ± 1E+03 x	6,1E+03 ± 1E+03 x	
Ra-228	2,1E-01 ± 4E-02	8,9E+02 ± 3E+01	1,2E+03 ± 4E+01	1,4E+03 ± 5E+01	3,1E+03 ± 1E+02	3,6E+03 ± 7E+01	3,6E+03 ± 7E+01	6,7E+03 ± 1E+02	
Th-228	2,9E-01 ± 3E-02	8,3E+02 ± 2E+01	1,2E+03 ± 3E+01	1,5E+03 ± 4E+01	3,0E+03 ± 8E+01	3,5E+03 ± 6E+01	3,5E+03 ± 6E+01	6,5E+03 ± 1E+02	
Th-230				2,1E+03 ± 2E+03 ‡		2,1E+03 ± 2E+03	2,1E+03 ± 2E+03	2,1E+03 ± 2E+03	
K-40	2,4E+01 ± 8E-01	1,0E+04 ± 4E+02	1,5E+04 ± 5E+02	1,7E+04 ± 6E+02	3,6E+04 ± 1E+03	4,2E+04 ± 9E+02	4,2E+04 ± 9E+02	7,9E+04 ± 2E+03	
Be-7	4,2E+01 ± 2E+00	3,2E+02 ± 5E+01				3,2E+02 ± 5E+01	3,6E+02 ± 5E+01	3,2E+02 ± 5E+01	
I-131									
Cs-134									
Cs-137	2,7E-01 ± 2E-02	1,1E+03 ± 3E+01	1,6E+03 ± 6E+01	1,8E+03 ± 6E+01	7,0E+02 ± 5E+01	4,5E+03 ± 9E+01	4,5E+03 ± 9E+01	5,2E+03 ± 1E+02	
Co-58									
Co-60									
Cr-51									
Mn-54									
Zn-65									
Nb-95									
Ru-106									
Sb-125									
Sr-89/Sr-90	4,7E-02 ± 4E-03	2,3E+01 ± 2E+00	3,1E+01 ± 3E+00	4,0E+01 ± 4E+00	6,0E+01 ± 6E+00	9,5E+01 ± 5E+00	9,5E+01 ± 5E+00	1,5E+02 ± 8E+00	

Vzorč. mesto		Gmajnice							
Datum vzor.		12. 10. 2021							
Gl. vzor. (cm)	trava	0-5	5-10	10-15	15-30	Uteženo povprečje	Uteženo povprečje		
Kol. vzorca (kg)	0,13	0,30	0,33	0,38	0,38	0-15	0-30		
Kol. (kg/m ²)	0,07	27,2	38,2	46,3	101,1				
Oznaka vzorca	K21ZN11TA1	K21ZN11ABA1	K21ZN11CA1	K21ZN11DA1	K21ZN11EA1				
IZOTOP		SPECIFIČNA AKTIVNOST (Bq/kg)							
U-238	3,4E+00 ± 4E+00 ‡	4,1E+01 ± 5E+00	4,0E+01 ± 5E+00	3,8E+01 ± 4E+00	3,0E+01 ± 5E+00	4,0E+01 ± 3E+00	3,5E+01 ± 3E+00		
Ra-226	7,2E+00 ± 4E+00	4,3E+01 ± 4E+00	4,3E+01 ± 4E+00	4,3E+01 ± 4E+00	4,0E+01 ± 4E+00	4,3E+01 ± 2E+00	4,2E+01 ± 2E+00		
Pb-210	1,1E+02 ± 7E+00	1,3E+02 ± 3E+01	4,4E+01 ± 2E+01	9,4E+00	4,3E+00 †	5,1E+01 ± 2E+01 x	2,9E+01 ± 3E+01 x		
Ra-228	3,2E+00 ± 6E-01	3,3E+01 ± 1E+00	3,2E+01 ± 1E+00	3,1E+01 ± 1E+00	3,1E+01 ± 1E+00	3,2E+01 ± 6E-01	3,1E+01 ± 6E-01		
Th-228	4,3E+00 ± 5E-01	3,0E+01 ± 8E-01	3,0E+01 ± 9E-01	3,2E+01 ± 8E-01	3,0E+01 ± 8E-01	3,1E+01 ± 5E-01	3,0E+01 ± 5E-01		
Th-230				4,4E+01 ± 5E+01 ‡		1,8E+01 ± 2E+01	9,7E+00 ± 1E+01		
K-40	3,6E+02 ± 1E+01	3,8E+02 ± 1E+01	3,9E+02 ± 1E+01	3,7E+02 ± 1E+01	3,6E+02 ± 1E+01	3,8E+02 ± 8E+00	3,7E+02 ± 7E+00		
Be-7	6,4E+02 ± 2E+01	1,2E+01 ± 2E+00				2,9E+00 ± 4E-01	1,5E+00 ± 2E-01		
I-131									
Cs-134									
Cs-137	4,1E+00 ± 3E-01	4,0E+01 ± 1E+00	4,3E+01 ± 2E+00	3,8E+01 ± 1E+00	6,9E+00 ± 5E-01	4,0E+01 ± 8E-01	2,4E+01 ± 5E-01		
Co-58									
Co-60									
Cr-51									
Mn-54									
Zn-65									
Nb-95									
Ru-106									
Sb-125									
Sr-89/Sr-90	7,1E-01 ± 6E-02	8,4E-01 ± 8E-02	8,2E-01 ± 7E-02	8,7E-01 ± 8E-02	6,0E-01 ± 6E-02	8,5E-01 ± 4E-02	7,3E-01 ± 4E-02		

(*) Število, ki sledi znaku ±, je negotovost povprečja (apriorna negotovost).

(***) Visokoločljivostna spektrometrija gama je bila opravljena na Odseku F-2.

(‡) Rezultat meritve je pod mejo kvantifikacije.

(†) Rezultat meritve je pod mejo detekcije.

(x) Pri meji detekcije se kot predpostavljena vrednost upošteva 1/4 meje detekcije, zato se negotovosti aritmetičnega povprečja za izbrano leto ne podajajo z apriorno negotovostjo, temveč z aposteriorno negotovostjo.

LETO 2021 T – 59a

9. ZEMLJA - NEOBDELANA - poplavno področje ob Savi - 6E (mivkasta borovina, košeno področje)

Izotopska analiza sevalcev gama in specifična analiza Sr-90/Sr-89 (***)

Vzorč. mesto	Kusova Vrčina							
	20. 5. 2021							
Datum vzor.								
Gl. vzor. (cm)	trava	0-5	5-10	10-15	15-30	0-15	0-15	0-30
Kol. vzor. (kg/m ²)	0,07	38,6	48,6	46,4	100,6	133,6	+ trava	234,1
Oznaka vzorca	K21ZN2T51	K21ZN2AB51	K21ZN2CS1	K21ZN2D51	K21ZN2E51			
IZOTOP	KONCENTRACIJA AKTIVNOSTI (Bq/m ²)							
U-238	7,8E-02 ± 6E-02	8,9E+02 ± 9E+01	1,2E+03 ± 3E+02	1,5E+03 ± 3E+02	2,6E+03 ± 3E+02	3,6E+03 ± 4E+02	3,6E+03 ± 4E+02	6,3E+03 ± 6E+02
Ra-226	1,4E-01 ± 1E-01 ‡	1,2E+03 ± 1E+02	1,5E+03 ± 2E+02	1,5E+03 ± 1E+02	3,4E+03 ± 3E+02	4,3E+03 ± 2E+02	4,3E+03 ± 2E+02	7,7E+03 ± 4E+02
Pb-210	9,0E-01 ± 1E-01	3,6E+02 ± 6E+02 ‡	2,8E+02	1,6E+02 †	3,5E+03 ± 3E+03	8,1E+02 ± 6E+02 x	8,1E+02 ± 6E+02 x	4,3E+03 ± 3E+03 x
Ra-228		9,3E+02 ± 3E+01	1,1E+03 ± 5E+01	1,1E+03 ± 5E+01	2,4E+03 ± 8E+01	3,2E+03 ± 7E+01	3,2E+03 ± 7E+01	5,6E+03 ± 1E+02
Th-228	2,4E-02 ± 1E-02	9,2E+02 ± 2E+01	1,1E+03 ± 4E+01	1,1E+03 ± 3E+01	2,3E+03 ± 6E+01	3,2E+03 ± 6E+01	3,2E+03 ± 6E+01	5,5E+03 ± 9E+01
Th-230								
K-40	4,6E+01 ± 2E+00	1,2E+04 ± 4E+02	1,5E+04 ± 6E+02	1,5E+04 ± 5E+02	3,0E+04 ± 1E+03	4,2E+04 ± 9E+02	4,2E+04 ± 9E+02	7,2E+04 ± 1E+03
Be-7	1,2E+01 ± 8E-01	1,8E+02 ± 2E+01				1,8E+02 ± 2E+01	1,9E+02 ± 2E+01	1,8E+02 ± 2E+01
I-131								
Cs-134								
Cs-137	1,3E-02 ± 1E-02 ‡	1,0E+02 ± 5E+00	1,2E+02 ± 1E+01	1,1E+02 ± 1E+01	3,9E+02 ± 2E+01	3,3E+02 ± 2E+01	3,3E+02 ± 2E+01	7,1E+02 ± 3E+01
Co-58								
Co-60								
Cr-51								
Mn-54								
Zn-65								
Nb-95								
Ru-106								
Sb-125								
Sr-89/Sr-90		6,6E+00 ± 2E+00	1,1E+01 ± 2E+00	1,0E+01 ± 2E+00	2,5E+01 ± 6E+00	2,8E+01 ± 4E+00	2,8E+01 ± 4E+00	5,3E+01 ± 7E+00

Vzorč. mesto	Kusova Vrčina							
	20. 5. 2021							
Datum vzor.								
Gl. vzor. (cm)	trava	0-5	5-10	10-15	15-30	Uteženo povprečje	Uteženo povprečje	
Kol. vzorca (kg)	0,16	0,41	0,45	0,45	0,45	0-15	0-30	
Kol. (kg/m ²)	0,07	38,6	48,6	46,4	100,6			
Oznaka vzorca	K21ZN2T51	K21ZN2AB51	K21ZN2CS1	K21ZN2D51	K21ZN2E51			
IZOTOP	SPECIFIČNA AKTIVNOST (Bq/kg)							
U-238	1,1E+00 ± 8E-01	2,3E+01 ± 2E+00	2,5E+01 ± 6E+00	3,3E+01 ± 7E+00	2,6E+01 ± 3E+00	2,7E+01 ± 3E+00	2,7E+01 ± 2E+00	
Ra-226	2,0E+00 ± 2E+00 ‡	3,2E+01 ± 3E+00	3,1E+01 ± 3E+00	3,3E+01 ± 3E+00	3,4E+01 ± 3E+00	3,2E+01 ± 2E+00	3,3E+01 ± 2E+00	
Pb-210	1,3E+01 ± 1E+00	9,3E+00 ± 1E+01 ‡	5,8E+00 †	3,5E+00 †	3,5E+01 ± 3E+01	6,0E+00 ± 6E+00 x	1,9E+01 ± 2E+01 x	
Ra-228		2,4E+01 ± 7E-01	2,3E+01 ± 1E+00	2,4E+01 ± 1E+00	2,4E+01 ± 8E-01	2,4E+01 ± 5E-01	2,4E+01 ± 5E-01	
Th-228	3,4E-01 ± 1E-01	2,4E+01 ± 6E-01	2,3E+01 ± 8E-01	2,4E+01 ± 7E-01	2,3E+01 ± 6E-01	2,4E+01 ± 4E-01	2,3E+01 ± 4E-01	
Th-230								
K-40	6,6E+02 ± 3E+01	3,0E+02 ± 1E+01	3,1E+02 ± 1E+01	3,3E+02 ± 1E+01	3,0E+02 ± 1E+01	3,1E+02 ± 7E+00	3,1E+02 ± 6E+00	
Be-7	1,7E+02 ± 1E+01	4,7E+00 ± 4E-01				1,4E+00 ± 1E-01	7,8E-01 ± 7E-02	
I-131								
Cs-134								
Cs-137	1,9E-01 ± 2E-01 ‡	2,7E+00 ± 1E-01	2,4E+00 ± 3E-01	2,4E+00 ± 3E-01	3,8E+00 ± 2E-01	2,5E+00 ± 1E-01	3,1E+00 ± 1E-01	
Co-58								
Co-60								
Cr-51								
Mn-54								
Zn-65								
Nb-95								
Ru-106								
Sb-125								
Sr-89/Sr-90		1,7E-01 ± 5E-02	2,2E-01 ± 5E-02	2,2E-01 ± 5E-02	2,5E-01 ± 6E-02	2,1E-01 ± 3E-02	2,3E-01 ± 3E-02	

(*) Število, ki sledi znaku ±, je negotovost povprečja (apriorna negotovost).

(***) Visokoločljivostna spektrometrija gama je bila opravljena na Odseku F-2, radiokemijske analize Sr-90/Sr-89 pa na Odseku O-2.

(‡) Rezultat meritve je pod mejo kvantifikacije.

(†) Rezultat meritve je pod mejo detekcije.

(x) Pri meji detekcije se kot predpostavljena vrednost upošteva 1/4 meje detekcije, zato se negotovosti aritmetičnega povprečja za izbrano leto ne podajajo z apriorno negotovostjo, temveč z aposteriorno negotovostjo.

LETO 2021 T – 59b

9. ZEMLJA - NEOBDELANA - poplavno področje ob Savi - 7D (mivkasta borovina, nekošeno področje)

Izotopska analiza sevalcev gama in specifična analiza Sr-90/Sr-89 (***)

Kusova Vrčina								
Vzorč. mesto	12. 10. 2021							
Datum vzor.	12. 10. 2021							
Gl. vzor. (cm)	trava	0-5	5-10	10-15	15-30	0-15	0-15	0-30
Kol. vzor. (kg/m ²)	0,03	38,8	50,6	49,7	104,7	139,1	+ trava	243,8
Oznaka vzorca	K21ZN2TA1	K21ZN2ABA1	K21ZN2CA1	K21ZN2DA1	K21ZN2EA1			
IZOTOP KONCENTRACIJA AKTIVNOSTI (Bq/m ²)								
U-238	2,9E-01 ± 1E-01	9,3E+02 ± 2E+02	1,2E+03 ± 2E+02	1,3E+03 ± 2E+02	2,9E+03 ± 3E+02	3,4E+03 ± 3E+02	3,4E+03 ± 3E+02	6,3E+03 ± 4E+02
Ra-226	1,1E-01 ± 8E-02	1,2E+03 ± 1E+02	1,6E+03 ± 2E+02	1,7E+03 ± 2E+02	3,7E+03 ± 3E+02	4,5E+03 ± 3E+02	4,5E+03 ± 3E+02	8,2E+03 ± 4E+02
Pb-210	2,5E+00 ± 3E-01	1,1E+03 ± 5E+02	4,5E+02 ± 7E+02 ‡	3,9E+02 †	8,4E+02 †	1,9E+03 ± 9E+02 x	1,9E+03 ± 9E+02 x	2,8E+03 ± 9E+02 x
Ra-228		9,4E+02 ± 4E+01	1,3E+03 ± 4E+01	1,3E+03 ± 4E+01	2,6E+03 ± 9E+01	3,5E+03 ± 7E+01	3,5E+03 ± 7E+01	6,1E+03 ± 1E+02
Th-228	3,3E-02 ± 2E-02	9,8E+02 ± 3E+01	1,2E+03 ± 4E+01	1,3E+03 ± 3E+01	2,5E+03 ± 7E+01	3,5E+03 ± 6E+01	3,5E+03 ± 6E+01	6,0E+03 ± 9E+01
Th-230		1,5E+03 ± 1E+03 ‡			1,5E+03 ± 1E+03	1,5E+03 ± 1E+03	1,5E+03 ± 1E+03	1,5E+03 ± 1E+03
K-40	1,9E+01 ± 7E-01	1,3E+04 ± 5E+02	1,6E+04 ± 6E+02	1,6E+04 ± 5E+02	3,0E+04 ± 1E+03	4,5E+04 ± 9E+02	4,5E+04 ± 9E+02	7,5E+04 ± 1E+03
Be-7	1,6E+01 ± 8E-01	3,6E+02 ± 7E+01			3,6E+02 ± 7E+01	3,6E+02 ± 7E+01	3,6E+02 ± 7E+01	3,6E+02 ± 7E+01
I-131								
Cs-134								
Cs-137	1,9E-02 ± 1E-02	1,1E+02 ± 8E+00	1,6E+02 ± 1E+01	1,3E+02 ± 8E+00	3,7E+02 ± 5E+01	4,0E+02 ± 2E+01	4,0E+02 ± 2E+01	7,7E+02 ± 5E+01
Co-58								
Co-60								
Cr-51								
Mn-54								
Zn-65								
Nb-95								
Ru-106								
Sb-125								
Sr-89/Sr-90		8,4E+00 ± 2E+00	1,3E+01 ± 3E+00	8,9E+00 ± 3E+00	3,5E+00 †	3,0E+01 ± 4E+00	3,0E+01 ± 4E+00	3,4E+01 ± 4E+00 x

Kusova Vrčina								
Vzorč. mesto	12. 10. 2021							
Datum vzor.	12. 10. 2021							
Gl. vzor. (cm)	trava	0-5	5-10	10-15	15-30	Uteženo povprečje	Uteženo povprečje	
Kol. vzorca (kg)	0,09	0,38	0,42	0,42	0,43	0-15	0-30	
Kol. (kg/m ²)	0,03	38,8	50,6	49,7	104,7			
Oznaka vzorca	K21ZN2TA1	K21ZN2ABA1	K21ZN2CA1	K21ZN2DA1	K21ZN2EA1			
IZOTOP SPECIFIČNA AKTIVNOST (Bq/kg)								
U-238	8,4E+00 ± 3E+00	2,4E+01 ± 4E+00	2,3E+01 ± 4E+00	2,7E+01 ± 4E+00	2,7E+01 ± 3E+00	2,5E+01 ± 2E+00	2,6E+01 ± 2E+00	
Ra-226	3,1E+00 ± 2E+00	3,1E+01 ± 3E+00	3,2E+01 ± 3E+00	3,4E+01 ± 3E+00	3,5E+01 ± 3E+00	3,3E+01 ± 2E+00	3,4E+01 ± 2E+00	
Pb-210	7,4E+01 ± 7E+00	2,8E+01 ± 1E+01	8,9E+00 ± 1E+01 ‡	7,9E+00 †	8,0E+00 †	1,4E+01 ± 6E+00	1,1E+01 ± 1E+01 x	
Ra-228		2,4E+01 ± 1E+00	2,5E+01 ± 9E-01	2,6E+01 ± 8E-01	2,5E+01 ± 9E-01	2,5E+01 ± 5E-01	2,5E+01 ± 5E-01	
Th-228	9,7E-01 ± 5E-01	2,5E+01 ± 7E-01	2,4E+01 ± 8E-01	2,5E+01 ± 7E-01	2,4E+01 ± 6E-01	2,5E+01 ± 4E-01	2,5E+01 ± 4E-01	
Th-230		3,8E+01 ± 4E+01 ‡				1,1E+01 ± 1E+01	6,1E+00 ± 6E+00	
K-40	5,6E+02 ± 2E+01	3,3E+02 ± 1E+01	3,2E+02 ± 1E+01	3,2E+02 ± 1E+01	2,9E+02 ± 1E+01	3,2E+02 ± 7E+00	3,1E+02 ± 6E+00	
Be-7	4,7E+02 ± 2E+01	9,4E+00 ± 2E+00				2,6E+00 ± 5E-01	1,5E+00 ± 3E-01	
I-131								
Cs-134								
Cs-137	5,6E-01 ± 3E-01	2,9E+00 ± 2E-01	3,1E+00 ± 2E-01	2,7E+00 ± 2E-01	3,5E+00 ± 5E-01	2,9E+00 ± 1E-01	3,2E+00 ± 2E-01	
Co-58								
Co-60								
Cr-51								
Mn-54								
Zn-65								
Nb-95								
Ru-106								
Sb-125								
Sr-89/Sr-90		2,2E-01 ± 5E-02	2,6E-01 ± 6E-02	1,8E-01 ± 5E-02	3,4E-02 †	2,2E-01 ± 3E-02	1,4E-01 ± 1E-01 x	

(*) Število, ki sledi znaku ±, je negotovost povprečja (apriorna negotovost).

(***) Visokoločljivostna spektrometrija gama je bila opravljena na Odseku F-2, radiokemijske analize Sr-90/Sr-89 pa na Odseku O-2.

(‡) Rezultat meritve je pod mejo kvantifikacije.

(†) Rezultat meritve je pod mejo detekcije.

(x) Pri meji detekcije se kot predpostavljena vrednost upošteva 1/4 meje detekcije, zato se negotovosti aritmetičnega povprečja za izbrano leto ne podajajo z apriorno negotovostjo, temveč z aposteriorno negotovostjo.

LETO 2021 T - 60a

9. ZEMLJA - NEOBDELANA - poplavno področje ob Savi - 6D (rjava naplavina, košeno področje)

Izotopska analiza sevalcev gama in specifična analiza Sr-90/Sr-89 (***)

Vzorč. mesto	Amerika							
Datum vzor.	20. 5. 2021							
Gl. vzor. (cm)	trava	0-5	5-10	10-15	15-30	0-15	0-15	0-30
Kol. vzor. (kg/m ²)	0,06	33,8	38,2	43,8	101,5	115,9	+ trava	217,4
Oznaka vzorca	K21ZN3T51	K21ZN3AB51	K21ZN3C51	K21ZN3D51	K21ZN3E51			
IZOTOP	KONCENTRACIJA AKTIVNOSTI (Bq/m ²)							
U-238	2,5E-02 ± 7E-02 ‡	1,1E+03 ± 8E+01	1,3E+03 ± 1E+02	1,5E+03 ± 1E+02	3,5E+03 ± 3E+02	3,9E+03 ± 2E+02	3,9E+03 ± 2E+02	7,4E+03 ± 3E+02
Ra-226		1,4E+03 ± 1E+02	1,6E+03 ± 2E+02	2,0E+03 ± 2E+02	4,4E+03 ± 4E+02	5,0E+03 ± 3E+02	5,0E+03 ± 3E+02	9,5E+03 ± 5E+02
Pb-210	9,7E-01 ± 3E-01	2,2E+03 ± 1E+02	2,2E+03 ± 1E+02	2,0E+03 ± 6E+02	3,5E+03 ± 2E+02	6,4E+03 ± 6E+02	6,4E+03 ± 6E+02	9,9E+03 ± 7E+02
Ra-228		1,1E+03 ± 3E+01	1,3E+03 ± 5E+01	1,4E+03 ± 4E+01	3,4E+03 ± 1E+02	3,8E+03 ± 7E+01	3,8E+03 ± 7E+01	7,2E+03 ± 1E+02
Th-232	3,5E-02 ± 1E-02	1,2E+03 ± 5E+01	1,4E+03 ± 6E+01	1,5E+03 ± 4E+01	3,3E+03 ± 9E+01	4,0E+03 ± 9E+01	4,0E+03 ± 9E+01	7,3E+03 ± 1E+02
Th-230		1,4E+03 ± 8E+02	1,4E+03 ± 3E+02	2,2E+03 ± 1E+03	2,2E+03 ± 1E+03	2,8E+03 ± 8E+02	2,8E+03 ± 8E+02	5,0E+03 ± 1E+03
K-40	5,7E+01 ± 2E+00	1,6E+04 ± 5E+02	1,6E+04 ± 8E+02	1,7E+04 ± 5E+02	4,1E+04 ± 1E+03	4,9E+04 ± 1E+03	4,9E+04 ± 1E+03	9,0E+04 ± 2E+03
Be-7	1,4E+01 ± 6E-01	2,9E+02 ± 3E+01			4,3E+01 ± 5E+01 ‡	2,9E+02 ± 3E+01	3,1E+02 ± 3E+01	3,4E+02 ± 6E+01
I-131								
Cs-134								
Cs-137		5,0E+02 ± 2E+01	6,6E+02 ± 4E+01	8,7E+02 ± 3E+01	2,1E+03 ± 9E+01	2,0E+03 ± 6E+01	2,0E+03 ± 6E+01	4,2E+03 ± 1E+02
Co-58								
Co-60								
Cr-51								
Mn-54								
Zn-65								
Nb-95								
Ru-106								
Sb-125								
Sr-89/Sr-90		1,5E+01 ± 2E+00	2,1E+01 ± 4E+00	2,9E+01 ± 3E+00	7,3E+01 ± 7E+00	6,5E+01 ± 5E+00	6,5E+01 ± 5E+00	1,4E+02 ± 9E+00

Vzorč. mesto	Amerika							
Datum vzor.	20. 5. 2021							
Gl. vzor. (cm)	trava	0-5	5-10	10-15	15-30	Uteženo	Uteženo	
Kol. vzorca (kg)	0,12	0,37	0,39	0,43	0,45	poprečje	poprečje	
Kol. (kg/m ²)	0,06	33,8	38,2	43,8	101,5	0-15	0-30	
Oznaka vzorca	K21ZN3T51	K21ZN3AB51	K21ZN3C51	K21ZN3D51	K21ZN3E51			
IZOTOP	SPECIFIČNA AKTIVNOST (Bq/kg)							
U-238	4,3E-01 ± 1E+00 ‡	3,2E+01 ± 2E+00	3,3E+01 ± 3E+00	3,5E+01 ± 3E+00	3,5E+01 ± 3E+00	3,4E+01 ± 2E+00	3,4E+01 ± 2E+00	
Ra-226		4,1E+01 ± 4E+00	4,3E+01 ± 4E+00	4,5E+01 ± 4E+00	4,4E+01 ± 4E+00	4,3E+01 ± 2E+00	4,4E+01 ± 2E+00	
Pb-210	1,6E+01 ± 5E+00	6,4E+01 ± 3E+00	5,8E+01 ± 4E+00 †	4,7E+01 ± 1E+01	3,4E+01 ± 2E+00	5,6E+01 ± 5E+00 x	4,6E+01 ± 4E+00 x	
Ra-228		3,2E+01 ± 9E-01	3,3E+01 ± 1E+00	3,2E+01 ± 9E-01	3,4E+01 ± 9E-01	3,2E+01 ± 6E-01	3,3E+01 ± 5E-01	
Th-232	6,0E-01 ± 2E-01	3,4E+01 ± 2E+00	3,6E+01 ± 2E+00	3,3E+01 ± 8E-01	3,2E+01 ± 9E-01	3,5E+01 ± 8E-01	3,4E+01 ± 6E-01	
Th-230		4,2E+01 ± 2E+01	3,7E+01 ± 8E+00		2,2E+01 ± 1E+01	2,4E+01 ± 7E+00	2,3E+01 ± 6E+00	
K-40	9,7E+02 ± 3E+01	4,6E+02 ± 2E+01	4,3E+02 ± 2E+01	3,9E+02 ± 1E+01	4,0E+02 ± 1E+01	4,2E+02 ± 9E+00	4,1E+02 ± 8E+00	
Be-7	2,4E+02 ± 1E+01	8,7E+00 ± 8E-01			4,2E-01 ± 5E-01 ‡	2,5E+00 ± 2E-01	1,5E+00 ± 3E-01	
I-131								
Cs-134								
Cs-137		1,5E+01 ± 6E-01	1,7E+01 ± 1E+00	2,0E+01 ± 7E-01	2,1E+01 ± 8E-01	1,8E+01 ± 5E-01	1,9E+01 ± 5E-01	
Co-58								
Co-60								
Cr-51								
Mn-54								
Zn-65								
Nb-95								
Ru-106								
Sb-125								
Sr-89/Sr-90		4,5E-01 ± 7E-02	5,5E-01 ± 9E-02	6,5E-01 ± 7E-02	7,2E-01 ± 7E-02	5,6E-01 ± 4E-02	6,3E-01 ± 4E-02	

(*) Število, ki sledi znaku ±, je negotovost povprečja (apriorna negotovost).

(***) Visokoločljivostna spektrometrija gama je bila opravljena na Odseku F-2, radiokemijske analize Sr-90/Sr-89 pa na Odseku O-2.

(‡) Rezultat meritve je pod mejo kvantifikacije.

(†) Rezultat meritve je pod mejo detekcije.

(x) Pri meji detekcije se kot predpostavljena vrednost upošteva 1/4 meje detekcije, zato se negotovosti aritmetičnega povprečja za izbrano leto ne podajajo z apriorno negotovostjo, temveč z aposteriorno negotovostjo.

LETO 2021 T - 60b

9. ZEMLJA - NEOBDELANA - poplavno področje ob Savi - 6D (rjava naplavina, košeno področje)

Izotopska analiza sevalcev gama in specifična analiza Sr-90/Sr-89 (**)

Vzrč. mesto	Amerika							
	12. 10. 2021							
Datum vzor.								
Gl. vzor. (cm)	trava	0-5	5-10	10-15	15-30	0-15	0-15	0-30
Kol. vzor. (kg/m ²)	0,04	32,0	47,3	51,5	108,4	130,8	+ trava	239,2
Oznaka vzorca	K21ZN3TA1	K21ZN3ABA1	K21ZN3CA1	K21ZN3DA1	K21ZN3EA1			
IZOTOP	KONCENTRACIJA AKTIVNOSTI (Bq/m ²)							
U-238	1,8E-01 ± 6E-02	9,3E+02 ± 2E+02	1,1E+03 ± 1E+02	1,7E+03 ± 2E+02	3,6E+03 ± 5E+02	3,7E+03 ± 3E+02	3,7E+03 ± 3E+02	7,3E+03 ± 6E+02
Ra-226	4,3E-01 ± 2E-01	1,3E+03 ± 1E+02	1,9E+03 ± 2E+02	2,2E+03 ± 2E+02	4,6E+03 ± 4E+02	5,4E+03 ± 3E+02	5,4E+03 ± 3E+02	9,9E+03 ± 5E+02
Pb-210	3,8E+00 ± 2E-01	2,2E+03 ± 5E+02	3,9E+02 ± 2E+02	2,4E+03 ± 2E+02	1,0E+03	5,1E+03 ± 5E+02	5,1E+03 ± 5E+02	6,1E+03 ± 5E+02
Ra-228	1,5E-01 ± 2E-02	1,0E+03 ± 4E+01	1,6E+03 ± 5E+01	1,7E+03 ± 5E+01	3,4E+03 ± 1E+02	4,3E+03 ± 8E+01	4,3E+03 ± 8E+01	7,7E+03 ± 1E+02
Th-228	1,5E-01 ± 1E-02	9,9E+02 ± 3E+01	1,5E+03 ± 4E+01	1,7E+03 ± 5E+01	3,5E+03 ± 9E+01	4,2E+03 ± 7E+01	4,2E+03 ± 7E+01	7,7E+03 ± 1E+02
Th-230				2,8E+03 ± 1E+03	4,0E+04 ± 6E+03	2,8E+03 ± 1E+03	2,8E+03 ± 1E+03	4,3E+04 ± 7E+03
K-40	2,2E+01 ± 2E+00	1,3E+04 ± 5E+02	1,8E+04 ± 6E+02	2,1E+04 ± 7E+02	4,0E+04 ± 1E+03	5,2E+04 ± 1E+03	5,2E+04 ± 1E+03	9,2E+04 ± 2E+03
Be-7	2,7E+01 ± 2E+00	4,7E+02 ± 6E+01				4,7E+02 ± 6E+01	5,0E+02 ± 6E+01	4,7E+02 ± 6E+01
I-131								
Cs-134								
Cs-137	7,8E-02 ± 9E-03	4,7E+02 ± 2E+01	6,6E+02 ± 2E+01	8,3E+02 ± 5E+01	1,9E+03 ± 6E+01	2,0E+03 ± 6E+01	2,0E+03 ± 6E+01	3,9E+03 ± 9E+01
Co-58								
Co-60								
Cr-51								
Mn-54								
Zn-65								
Nb-95								
Ru-106								
Sb-125								
Sr-89/Sr-90		1,8E+01 ± 2E+00	2,5E+01 ± 3E+00	2,9E+01 ± 4E+00	7,7E+01 ± 9E+00	7,2E+01 ± 6E+00	7,2E+01 ± 6E+00	1,5E+02 ± 1E+01

Vzrč. mesto	Amerika							
	12. 10. 2021							
Datum vzor.								
Gl. vzor. (cm)	trava	0-5	5-10	10-15	15-30	Uteženo	Uteženo	
Kol. vzorca (kg)	0,10	0,33	0,35	0,35	0,40	poprečje	poprečje	
Kol. (kg/m ²)	0,04	32,0	47,3	51,5	108,4	0-15	0-30	
Oznaka vzorca	K21ZN3TA1	K21ZN3ABA1	K21ZN3CA1	K21ZN3DA1	K21ZN3EA1			
IZOTOP	SPECIFIČNA AKTIVNOST (Bq/kg)							
U-238	4,9E+00 ± 2E+00	2,9E+01 ± 5E+00	2,3E+01 ± 3E+00	3,2E+01 ± 3E+00	3,4E+01 ± 5E+00	2,8E+01 ± 2E+00	3,1E+01 ± 2E+00	
Ra-226	1,2E+01 ± 5E+00	3,9E+01 ± 4E+00	4,0E+01 ± 4E+00	4,3E+01 ± 4E+00	4,2E+01 ± 4E+00	4,1E+01 ± 2E+00	4,1E+01 ± 2E+00	
Pb-210	1,0E+02 ± 6E+00	7,0E+01 ± 2E+01	8,2E+00	4,7E+01 ± 3E+00	9,4E+00	3,9E+01 ± 4E+01	2,5E+01 ± 3E+01	
Ra-228	4,1E+00 ± 6E-01	3,2E+01 ± 1E+00	3,3E+01 ± 1E+00	3,3E+01 ± 1E+00	3,1E+01 ± 1E+00	3,3E+01 ± 6E-01	3,2E+01 ± 6E-01	
Th-228	4,2E+00 ± 4E-01	3,1E+01 ± 9E-01	3,3E+01 ± 8E-01	3,2E+01 ± 1E+00	3,2E+01 ± 9E-01	3,2E+01 ± 5E-01	3,2E+01 ± 5E-01	
Th-230				5,4E+01 ± 3E+01	3,7E+02 ± 6E+01	2,1E+01 ± 1E+01	1,8E+02 ± 3E+01	
K-40	5,9E+02 ± 5E+01	4,0E+02 ± 1E+01	3,9E+02 ± 1E+01	4,0E+02 ± 1E+01	3,7E+02 ± 1E+01	4,0E+02 ± 8E+00	3,9E+02 ± 7E+00	
Be-7	7,4E+02 ± 5E+01	1,5E+01 ± 2E+00				3,6E+00 ± 5E-01	2,0E+00 ± 3E-01	
I-131								
Cs-134								
Cs-137	2,1E+00 ± 3E-01	1,5E+01 ± 7E-01	1,4E+01 ± 5E-01	1,6E+01 ± 1E+00	1,8E+01 ± 6E-01	1,5E+01 ± 5E-01	1,6E+01 ± 4E-01	
Co-58								
Co-60								
Cr-51								
Mn-54								
Zn-65								
Nb-95								
Ru-106								
Sb-125								
Sr-89/Sr-90		5,6E-01 ± 8E-02	5,3E-01 ± 7E-02	5,6E-01 ± 8E-02	7,1E-01 ± 8E-02	5,5E-01 ± 4E-02	6,2E-01 ± 4E-02	

(*) Število, ki sledi znaku ±, je negotovost povprečja (apriorna negotovost).

(**) Visokoločljivostna spektrometrija gama je bila opravljena na Odseku F-2, radiokemijske analize Sr-90/Sr-89 pa na Odseku O-2.

(‡) Rezultat meritve je pod mejo kvantifikacije.

(†) Rezultat meritve je pod mejo detekcije.

(x) Pri meji detekcije se kot predpostavljena vrednost upošteva 1/4 meje detekcije, zato se negotovosti aritmetičnega povprečja za izbrano leto ne podajajo z apriorno negotovostjo, temveč z aposteriorno negotovostjo.

HRANILA

10. MLEKO
11. SADJE
12. POVRTNINE IN POLJŠČINE
13. MESO IN KOKOŠJA JAJCA

LETO 2021 T - 61a
10. MLEKO – sestavljeni mesečni vzorci (VLG, Sr-90)



Izotopska analiza sevalcev gama (***) in specifična analiza Sr-90

Vzorč. mesto	Pesje						
	januar 5,04 MLPE0121	februar 5,12 MLPE0221	marec 5,10 MLPE0321	april 5,15 MLPE0421	maj 5,19 MLPE0521	junij 5,14 MLPE0621	Mesečno povprečje (za 1. polletje) (*)
IZOTOP	SPECIFIČNA AKTIVNOST SVEŽE SNOVI (Bq/kg)						
U-238							
Ra-226	1,6E-2 ± 7E-03	3,0E-2 ± 7E-03	2,2E-2 ± 8E-03		4,4E-2 ± 6E-03	2,4E-2 ± 7E-03	2,3E-02 ± 3E-03
Pb-210	1,1E-1 †	1,0E-1 †	7,5E-2 †	7,3E-2 ± 6E-02	5,3E-2 †	2,5E-1 ± 3E-02	1,1E-01 ± 1E-02 x
Ra-228				2,6E-2 ± 2E-02		1,0E-1 ± 3E-02	2,1E-02 ± 6E-03
Th-228		2,7E-1 ± 9E-02					4,4E-02 ± 2E-02
Th-230							
K-40	5,1E+1 ± 2E+00	5,1E+1 ± 2E+00	5,0E+1 ± 3E+00	4,3E+1 ± 2E+00	5,2E+1 ± 3E+00	4,8E+1 ± 3E+00	4,9E+01 ± 1E+00
Be-7							
I-131							
Cs-134							
Cs-137	8,5E-2 ± 6E-03	5,2E-2 ± 5E-03	5,3E-2 ± 6E-03	6,5E-2 ± 7E-03	6,8E-2 ± 5E-03	4,3E-2 ± 4E-03	6,1E-02 ± 2E-03
Co-58							
Co-60							
Cr-51							
Mn-54							
Zn-65							
Nb-95							
Ru-106							
Sb-125							
Sr-90	2,3E-2 ± 7E-03	2,0E-2 ± 7E-03	2,2E-2 ± 7E-03	1,5E-2 ± 7E-03	2,8E-2 ± 9E-03	1,7E-2 ± 5E-03	2,1E-02 ± 3E-03

(*) Število, ki sledi znaku ±, je negotovost povprečja (apriorna negotovost).

(**) Izhajanje radona iz posodice pri izračunu aktivnosti ni upoštevano.

(†) Rezultat meritve je pod mejo detekcije.

LETO 2021 T - 61b
10. MLEKO – sestavljeni mesečni vzorci (VLG, Sr-90)



Izotopska analiza sevalcev gama (***) in specifična analiza Sr-90

Vzorč. mesto	Pesje						
	julij 5,13 MLPE0721	avgust 5,15 MLPE0821	september 5,22 MLPE0921	oktober 5,14 MLPE1021	november 5,14 MLPE1121	december 5,23 MLPE1221	Mesečno povprečje (za celo leto) (*)
IZOTOP	SPECIFIČNA AKTIVNOST SVEŽE SNOVI (Bq/kg)						
U-238	1,5E-1 ± 8E-02			8,9E-2 ± 4E-02			2,0E-02 ± 7E-03
Ra-226		4,9E-2 ± 5E-03		1,5E-2 ± 5E-03		6,1E-2 ± 9E-03	2,2E-02 ± 2E-03
Pb-210	8,7E-2 †	4,8E-2 †	7,6E-2 †	5,0E-2 †		1,0E-1 ± 6E-02	8,6E-02 ± 7E-03 x
Ra-228		2,5E-2 ± 1E-02	4,5E-2 ± 4E-02				1,6E-02 ± 4E-03
Th-228				3,6E-2 ± 9E-03	4,2E-2 ± 2E-02	1,7E-2 ± 1E-02	3,0E-02 ± 8E-03
Th-230							
K-40	4,9E+1 ± 3E+00	4,6E+1 ± 2E+00	5,0E+1 ± 3E+00	5,0E+1 ± 3E+00	4,8E+1 ± 3E+00	4,9E+1 ± 2E+00	4,9E+01 ± 7E-01
Be-7							
I-131			4,8E-2 ± 6E-03				4,0E-03 ± 5E-04
Cs-134							
Cs-137	1,2E-2 †	1,7E-2 ± 3E-03	2,4E-2 ± 5E-03	1,3E-2 ± 3E-03 †	1,3E-2 †	6,8E-3 †	3,8E-02 ± 1E-03 x
Co-58							
Co-60							
Cr-51							
Mn-54							
Zn-65							
Nb-95							
Ru-106							
Sb-125							
Sr-90	3,0E-4 ± 1E-04	1,2E-3 †	3,1E-2 ± 9E-03	1,3E-3 †	1,3E-3 †	1,5E-3 †	1,3E-02 ± 2E-03 x

(*) Število, ki sledi znaku ±, je negotovost povprečja (apriorna negotovost).

(**) Izhajanje radona iz posodice pri izračunu aktivnosti ni upoštevano.

(†) Rezultat meritve je pod mejo detekcije.

LETO 2021 T - 62a
10. MLEKO – sestavljeni mesečni vzorci (VLG, Sr-90)



Izotopska analiza sevalcev gama (***) in specifična analiza Sr-90

Vzorč. mesto	Dolenje Skopice						
Datum vzor.	januar	februar	marec	april	maj	junij	Mesečno povprečje (za 1. polletje) (*)
Kol. vzorca (kg)	5,41	5,42	5,28	5,33	5,42	5,28	
Oznaka vzorca	MLDS0121	MLDS0221	MLDS0321	MLDS0421	MLDS0521	MLDS0621	
IZOTOP	SPECIFIČNA AKTIVNOST (Bq/kg) SVEŽE SNOVI						
U-238		9,9E-3 ± 5E-03	1,9E-1 ± 8E-02	3,3E-2 ± 4E-03	1,3E-2 ± 6E-03	1,1E-2 ± 6E-03	3,1E-02 ± 1E-02
Ra-226							1,1E-02 ± 2E-03
Pb-210	1,0E-1 ± 6E-02	5,2E-2 †	1,1E-1 †	4,1E-2 †	7,7E-2 †	5,9E-2 †	7,4E-02 ± 1E-02 x
Ra-228	5,4E-2 ± 3E-02		3,6E-2 ± 2E-02		2,2E-2 ± 2E-02	3,7E-2 ± 1E-02	2,5E-02 ± 7E-03
Th-228			2,3E-2 ± 2E-02		2,5E-2 ± 1E-02		9,6E-03 ± 4E-03
Th-230							
K-40	4,9E+1 ± 3E+00	5,3E+1 ± 3E+00	5,8E+1 ± 3E+00	5,4E+1 ± 3E+00	5,0E+1 ± 2E+00	4,7E+1 ± 2E+00	5,2E+01 ± 1E+00
Be-7							
L-131							
Cs-134							
Cs-137	1,2E-2 †	5,9E-3 †	8,8E-3 †	8,5E-3 ± 3E-03	1,3E-1 ± 6E-03	2,1E-2 ± 3E-03	3,1E-02 ± 1E-03 x
Co-58							
Co-60							
Cr-51							
Mn-54							
Zn-65							
Nb-95							
Ru-106							
Sb-125							
Sr-90	5,0E-3 ± 5E-03	1,1E-2 ± 6E-03	1,2E-3 †	5,0E-3 ± 5E-03	1,3E-3 †	1,3E-3 †	4,1E-03 ± 2E-03 x

(*) Število, ki sledi znaku ±, je negotovost povprečja (apriorna negotovost).

(**) Izhajanje radona iz posodice pri izračunu aktivnosti ni upoštevano.

(†) Rezultat meritve je pod mejo detekcije.

LETO 2021 T - 62b
10. MLEKO – sestavljeni mesečni vzorci (VLG, Sr-90)



Izotopska analiza sevalcev gama (***) in specifična analiza Sr-90

Vzorč. mesto	Dolenje Skopice						
Datum vzor.	julij	avgust	september	oktober	november	december	Mesečno povprečje (za celo leto) (*)
Kol. vzorca (kg)	5,43	5,43	5,41	5,41	5,42	5,44	
Oznaka vzorca	MLDS0721	MLDS0821	MLDS0921	MLDS1021	MLDS1121	MLDS1221	
IZOTOP	SPECIFIČNA AKTIVNOST SVEŽE SNOVI (Bq/kg)						
U-238			1,4E-1 ± 7E-02	1,5E-2 ± 9E-03	1,6E-1 ± 7E-02		4,1E-02 ± 1E-02
Ra-226							6,8E-03 ± 1E-03
Pb-210	1,7E-1 ± 8E-02	9,3E-2 †	8,8E-2 †	5,3E-2 †	7,5E-2 †	4,8E-2 †	8,1E-02 ± 9E-03 x
Ra-228			3,5E-2 ± 3E-02				1,5E-02 ± 4E-03
Th-228		2,3E-2 ± 2E-02		1,9E-2 ± 8E-03	2,7E-2 ± 2E-02	4,5E-2 ± 9E-03	1,4E-02 ± 3E-03
Th-230							
K-40	4,9E+1 ± 3E+00	4,7E+1 ± 3E+00	4,5E+1 ± 2E+00	5,0E+1 ± 3E+00	4,0E+1 ± 2E+00	4,6E+1 ± 2E+00	4,9E+01 ± 7E-01
Be-7							
L-131							
Cs-134							
Cs-137	1,4E-2 †	1,2E-2 †	1,3E-2 ± 5E-03	6,1E-3 †	1,1E-2 †	1,7E-2 ± 3E-03	2,1E-02 ± 8E-04 x
Co-58							
Co-60							
Cr-51							
Mn-54							
Zn-65							
Nb-95							
Ru-106							
Sb-125							
Sr-90	1,5E-3 †	9,0E-3 ± 9E-03	1,3E-3 †	2,2E-2 ± 8E-03	6,3E-2 ± 2E-02	1,9E-2 ± 8E-03	1,2E-02 ± 2E-03 x

(*) Število, ki sledi znaku ±, je negotovost povprečja (apriorna negotovost).

(**) Izhajanje radona iz posodice pri izračunu aktivnosti ni upoštevano.

(†) Rezultat meritve je pod mejo detekcije.

LETO 2021 T - 63a
10. MLEKO – sestavljeni mesečni vzorci (VLG, Sr-90)



Izotopska analiza sevalcev gama (***) in specifična analiza Sr-90

Vzorč. mesto	Bregje							Mesečno povprečje (za 1. polletje) (*)
	januar	februar	marec	april	maj	junij		
Datum vzor.	5.15	5.43	5.31	5.28	5.07	5.23		
Kol. vzorca (kg)	MLBG0121	MLBG0221	MLBG0321	MLBG0421	MLBG0521	MLBG0621		
Oznaka vzorca								
IZOTOP	SPECIFIČNA AKTIVNOST SVEŽE SNOVI (Bq/kg)							
U-238	1,0E-1 ± 9E-03	6,4E-2 ± 8E-03	1,9E-2 ± 8E-03	2,3E-2 ± 1E-02			3,4E-02 ± 3E-03	
Ra-226	1,0E-1 †	7,9E-2 †	8,8E-2 †	1,0E-1 †	8,5E-2 †	7,2E-2 †	8,8E-02 †x	
Pb-210		5,1E-2 ± 2E-02	3,1E-2 ± 2E-02		2,2E-1 ± 5E-02		4,5E-02 ± 1E-02	
Ra-228	3,6E-2 ± 2E-02	2,4E-2 ± 2E-02					1,5E-02 ± 5E-03	
Th-228		5,0E+1 ± 3E+00	5,0E+1 ± 3E+00	5,1E+1 ± 2E+00	5,1E+1 ± 3E+00	5,0E+1 ± 3E+00	4,2E+01 ± 1E+00	
Th-230								
K-40								
Be-7								
I-131								
Cs-134								
Cs-137	1,7E-2 ± 5E-03	2,1E-2 ± 5E-03	1,1E-2 †	9,5E-3 †	2,7E-2 ± 5E-03	2,4E-2 ± 4E-03	1,8E-02 ± 2E-03 x	
Co-58								
Co-60								
Cr-51								
Mn-54								
Zn-65								
Nb-95								
Ru-106								
Sb-125								
Sr-90	1,5E-3 †	2,3E-3 †	2,1E-3 †	1,3E-2 ± 9E-03	2,0E-3 †	6,0E-3 ± 5E-03	4,5E-03 ± 2E-03 x	

(*) Število, ki sledi znaku ±, je negotovost povprečja (apriorna negotovost).

(**) Izhajanje radona iz posodice pri izračunu aktivnosti ni upoštevano.

(†) Rezultat meritve je pod mejo detekcije.

LETO 2021 T - 63b
10. MLEKO – sestavljeni mesečni vzorci (VLG, Sr-90)



Izotopska analiza sevalcev gama (***) in specifična analiza Sr-90

Vzorč. mesto	Bregje							Mesečno povprečje (za celo leto) (*)
	julij	avgust	september	oktober	november	december		
Datum vzor.	4.94	5.26	5.20	5.18	5.26	4.91		
Kol. vzorca (kg)	MLBG0721	MLBG0821	MLBG0921	MLBG1021	MLBG1121	MLBG1221		
Oznaka vzorca								
IZOTOP	SPECIFIČNA AKTIVNOST SVEŽE SNOVI (Bq/kg)							
U-238		2,8E-2 ± 1E-02	2,5E-2 ± 5E-03	9,9E-3 ± 5E-03	2,1E-2 ± 4E-03	9,6E-2 ± 5E-02	3,2E-02 ± 4E-03	
Ra-226	1,0E-1 †	1,0E-1 †	5,0E-2 †	5,2E-2 †	4,6E-2 †	9,9E-2 †	8,1E-02 †x	
Pb-210		3,3E-2 ± 3E-02		3,7E-2 ± 9E-03	2,5E-2 ± 8E-03	3,5E-2 ± 1E-02	2,8E-02 ± 5E-03	
Ra-228					1,8E-2 ± 1E-02		1,4E-02 ± 3E-03	
Th-228		5,1E+1 ± 3E+00	5,2E+1 ± 3E+00	5,2E+1 ± 3E+00	4,4E+1 ± 2E+00	5,2E+1 ± 2E+00	4,6E+01 ± 7E+01	
Th-230								
K-40	4,7E+1 ± 3E+00							
Be-7								
I-131								
Cs-134								
Cs-137	1,5E-2 ± 4E-03	2,2E-2 ± 6E-03	2,6E-2 ± 4E-03	2,5E-2 ± 4E-03	2,2E-2 ± 3E-03	8,1E-3 †	1,9E-02 ± 1E-03 x	
Co-58								
Co-60								
Cr-51								
Mn-54								
Zn-65								
Nb-95								
Ru-106								
Sb-125								
Sr-90	1,2E-3 †	1,4E-3 †	2,1E-3 †	1,5E-3 †	1,3E-3 †	1,8E-3 †	3,0E-03 ± 9E-04 x	

(*) Število, ki sledi znaku ±, je negotovost povprečja (apriorna negotovost).

(**) Izhajanje radona iz posodice pri izračunu aktivnosti ni upoštevano.

(†) Rezultat meritve je pod mejo detekcije.

LETO 2021 T - 64
10. MLEKO – posamični vzorci (I-131)



Specifična analiza I-131 (*)

Datum vzorčenja	Datum meritve	Vzorčevalno mesto		
		Pesje	Dolenje Šlovice	Brege
		KONCENTRACIJA AKTIVNOSTI I-131 (Bq/kg) #		
2. 8. 2021	3. 8. 2021	< 3,7E-03	< 3,7E-03	< 4,6E-03
2. 9. 2021	3. 9. 2021	4,8E-02 ± 6E-03	< 3,9E-03	< 4,5E-03
6. 10. 2021	7. 10. 2021	< 4,5E-03	< 4,3E-03	< 5,0E-03
14. 9. 2021	15. 9. 2021	< 4,0E-03	< 4,4E-03	< 4,8E-03
17. 8. 2021	18. 8. 2021	< 4,5E-03	< 4,8E-03	< 4,2E-03
19. 10. 2021	20. 10. 2021	< 4,2E-03	< 4,4E-03	< 4,9E-03
22. 6. 2021	23. 6. 2021	< 3,7E-03	< 4,4E-03	< 4,6E-03
29. 6. 2021	30. 6. 2021	< 3,7E-03	< 3,8E-03	< 4,4E-03

LETO 2021 T - 65
11. HRANILA – SADJE - jabolka



Izotopska analiza sevalcev gama in specifična analiza Sr-90/Sr-89 (**)

Vzorč. mesto	Evrosad Krško - sadovnjaki okoli NEK					Povprečje - jabolka (*)
Vrsta vzorca	jabolka - Zlati delišes	jabolka - Granny Smith	jabolka - elstar	jabolka - gala royal	jabolka - topaz	
Datum vzor.	30. 9. 2021	30. 9. 2021	25. 8. 2021	25. 8. 2021	30. 9. 2021	
Kol. vzorca (kg)	0,30	0,32	0,39	0,29	0,34	
Odstotek suhe snovi	15,60	15,90	16,30	13,70	17,40	
Oznaka vzorca	K21HSJB191	K21HSJB491	K21HSJB581	K21HSJB781	K21HSJB1291	
IZOTOP	SPECIFIČNA AKTIVNOST SVEŽE SNOVI (Bq/kg)					
U-238		2,2E-02 ± 2E-01 ‡		2,9E-01 ± 1E-01	1,3E-01 ± 8E-02	9,0E-02 ± 4E-02
Ra-226		2,8E-01 ± 2E-01		9,3E-02 ± 1E-01 ‡	2,4E-02 ± 8E-02 ‡	7,8E-02 ± 5E-02
Pb-210	1,2E-01 †	1,1E-01 †	1,1E-01 †	4,6E-02 †	2,8E-01 ± 1E-01	1,4E-01 ± 4E-02 x
Ra-228					7,8E-03 ± 3E-02 ‡	1,6E-03 ± 6E-03
Th-228	4,4E-02 ± 3E-02			3,0E-02 ± 1E-02	1,8E-02 ± 1E-02	1,8E-02 ± 7E-03
Th-230				7,0E-01 ± 1E+00 ‡		1,4E-01 ± 2E-01
K-40	3,0E+01 ± 1E+00	4,0E+01 ± 2E+00	5,0E+01 ± 2E+00	3,5E+01 ± 1E+00	5,5E+01 ± 3E+00	4,2E+01 ± 8E-01
Be-7	2,3E-01 ± 2E-01 ‡	4,3E-01 ± 2E-01		3,1E-01 ± 2E-01	7,3E-01 ± 1E-01	3,4E-01 ± 7E-02
I-131						
Cs-134						
Cs-137				1,7E-02 ± 1E-02		3,5E-03 ± 3E-03
Co-58						
Co-60						
Cr-51						
Mn-54						
Zn-65						
Nb-95						
Ru-106						
Sb-125						
Sr-89/Sr-90	1,3E-03 †	1,0E-03 †		1,1E-03 †	1,1E-03 †	9,1E-04 ± 2E-04 x

(*) Število, ki sledi znaku ±, je negotovost povprečja (apriorna negotovost).

(**) Visokoločljivostna spektrometrija gama je bila opravljena na Odseku F-2, radiokemijske analize Sr-90/Sr-89 pa na Odseku O-2.

(‡) Rezultat meritve je pod mejo kvantifikacije.

(†) Rezultat meritve je pod mejo detekcije.

(x) Pri meji detekcije se kot predpostavljena vrednost upošteva 1/4 meje detekcije, zato se negotovosti aritmetičnega povprečja za izbrano leto ne podajajo z apriorno negotovostjo, temveč z aposteriorno negotovostjo.

LETO 2021 T - 66
11. HRANILA – SADJE - hruške

Izotopska analiza sevalcev gama in specifična analiza Sr-90/Sr-89

Vzorč. mesto	Evrosad Krško - sadovnjaki okoli NEK		Povprečje - hruške (*)
	hruške - viljamovke	hruške - sweet sensation	
Vrsta vzorca			
Datum vzor.	25. 8. 2021	30. 9. 2021	
Kol. vzorca (kg)	0,39	0,39	
Odstotek suhe snovi	19,20	13,90	
Oznaka vzorca	K21HSR781	K21HSR891	
IZOTOP	SPECIFIČNA AKTIVNOST SVEŽE SNOVI (Bq/kg)		
U-238	2,2E-01 ± 2E-01 ‡	3,1E-02 ± 3E-02 ‡	1,2E-01 ± 1E-01
Ra-226	5,4E-02 ± 1E-01 ‡	2,6E-02 ± 3E-02 ‡	4,0E-02 ± 6E-02
Pb-210	6,5E-01 ± 6E-01 ‡	6,2E-02 ± 5E-02 ‡	3,6E-01 ± 3E-01
Ra-228	4,8E-02 ± 9E-02 ‡		2,4E-02 ± 5E-02
Th-228	4,2E-02 ± 2E-02	1,6E-02 ± 1E-02	2,9E-02 ± 1E-02
Th-230			
K-40	5,7E+01 ± 2E+00	4,5E+01 ± 2E+00	5,1E+01 ± 1E+00
Be-7	4,3E-01 ± 2E-01	4,5E-01 ± 6E-02	4,4E-01 ± 1E-01
I-131			
Cs-134			
Cs-137		1,6E-04 ± 2E-03 ‡	8,2E-05 ± 1E-03
Co-58			
Co-60			
Cr-51			
Mn-54			
Zn-65			
Nb-95			
Ru-106			
Sb-125			
Sr-89/Sr-90	1,6E-02 ± 2E-03	1,1E-02 ± 2E-03	1,3E-02 ± 1E-03

(*) Število, ki sledi znaku ±, je negotovost povprečja (apriorna negotovost).

(**) Visokoločljivostna spektrometrija gama je bila opravljena na Odseku F-2, radiokemijske analize Sr-90/Sr-89 pa na Odseku O-2.

(‡) Rezultat meritve je pod mejo kvantifikacije.

LETO 2021 T - 67
11. HRANILA – SADJE – jagode

Izotopska analiza sevalcev gama in specifična analiza Sr-90/Sr-89 (**)

Vzorč. mesto	Evrosad (Vrbina)	Pesje	Povprečje - jagode (*)
	jagode	jagode	
Vrsta vzorca			
Datum vzor.	20. 5. 2021	20. 5. 2021	
Kol. vzorca (kg)	0,33	0,31	
Odstotek suhe snovi	7,20	8,20	
Oznaka vzorca	K21HSJG351	K21HSJG951	
IZOTOP	SPECIFIČNA AKTIVNOST SVEŽE SNOVI (Bq/kg)		
U-238		1,4E-01 ± 9E-02	6,8E-02 ± 4E-02
Ra-226		9,1E-02 ± 6E-02	4,6E-02 ± 3E-02
Pb-210	4,6E-02 ‡	1,4E-01 ± 2E-01 ‡	9,5E-02 ± 5E-02 x
Ra-228	2,9E-02 ± 3E-02 ‡	2,0E-02 ± 3E-02 ‡	2,5E-02 ± 2E-02
Th-228	2,1E-02 ± 1E-02	2,4E-02 ± 9E-03	2,3E-02 ± 6E-03
Th-230			
K-40	3,8E+01 ± 1E+00	2,7E+01 ± 9E-01	3,2E+01 ± 8E-01
Be-7		1,7E-02 ± 4E-02 ‡	8,6E-03 ± 2E-02
I-131			
Cs-134			
Cs-137	1,3E-02 ± 7E-03		6,7E-03 ± 4E-03
Co-58			
Co-60			
Cr-51			
Mn-54			
Zn-65			
Nb-95			
Ru-106			
Sb-125			
Sr-89/Sr-90	1,2E-02 ± 1E-03	1,9E-02 ± 2E-03	1,6E-02 ± 1E-03

(*) Število, ki sledi znaku ±, je negotovost povprečja (apriorna negotovost).

(**) Visokoločljivostna spektrometrija gama je bila opravljena na Odseku F-2, radiokemijske analize Sr-90/Sr-89 pa na Odseku O-2.

(‡) Rezultat meritve je pod mejo kvantifikacije.

(†) Rezultat meritve je pod mejo detekcije.

(x) Pri meji detekcije se kot predpostavljena vrednost upošteva 1/4 meje detekcije, zato se negotovosti aritmetičnega povprečja za izbrano leto ne podajajo z apriorno negotovostjo, temveč z aposteriorno negotovostjo.

LETO 2021 T - 68
11. HRANILA – SADJE – rdeče in belo grozdje, šipek in bezeg

Izotopska analiza sevalcev gama in specifična analiza Sr-90/Sr-89 (**)

Vzorč. mesto	Leskovec		Vrbina	
Vrsta vzorca	rdeče grozdje	belo grozdje	šipek	bezeg
Datum vzor.	16. 9. 2021	16. 9. 2021	25. 8. 2021	25. 8. 2021
Kol. vzorca (kg)	0,45	0,44	0,25	0,21
Odstoteksuhe snovi	21,00	21,60	47,40	49,80
Oznaka vzorca	K21HSGR191	K21HSGR291	K21HSSP281	K21HSBZ381
IZOTOP	SPECIFIČNA AKTIVNOST SVEŽE SNOVI (Bq/kg)			
U-238	1,4E-01 ± 3E-01 ‡	2,8E-01 ± 1E-01	2,4E-01 ± 5E-01 ‡	
Ra-226			3,9E-01 ± 2E-01	9,0E-01 ± 5E-01
Pb-210	1,4E-01 †	5,1E-02 †	9,5E-01 ± 3E-01	2,4E-01 †
Ra-228		2,6E-02 ± 6E-02 ‡		3,3E-02 ± 1E-01 ‡
Th-228	5,2E-02 ± 3E-02	3,1E-02 ± 1E-02	2,4E-01 ± 1E-01	1,2E-02 ± 5E-02 ‡
Th-230			1,2E+00 ± 2E+00 ‡	
K-40	6,9E+01 ± 3E+00	6,1E+01 ± 2E+00	2,0E+02 ± 1E+01	1,5E+02 ± 6E+00
Be-7	5,6E-01 ± 2E-01	7,4E-01 ± 1E-01	6,6E+00 ± 8E-01	1,2E+01 ± 1E+00
I-131				
Cs-134				
Cs-137			4,2E-02 ± 5E-02 ‡	
Co-58				
Co-60				
Cr-51				
Mn-54				
Zn-65				
Nb-95				
Ru-106				
Sb-125				
Sr-89/Sr-90	4,1E-02 ± 3E-03	6,4E-02 ± 4E-03		

(*) Število, ki sledi znaku ±, je negotovost povprečja (apriorna negotovost).

(**) Visokoločljivostna spektrometrija gama je bila opravljena na Odseku F-2, radiokemijske analize Sr-90/Sr-89 pa na Odseku O-2.

(‡) Rezultat meritve je pod mejo kvantifikacije.

(†) Rezultat meritve je pod mejo detekcije.

LETO 2021 T - 69
12. HRANILA – POVRTNINE IN POLJŠČINE – solata, čebula, blitva, peteršilj

Izotopska analiza sevalcev gama (**) in specifična analiza Sr-90

Vzorč. mesto	Dolenje Skopice (Krška vas)	Žadovinek	Vihre	Pesje
Vrsta vzorca	solata	čebula	blitva	peteršilj
Datum vzor.	22. 6. 2021	29. 6. 2021	29. 6. 2021	7. 8. 2021
Masa vzorca (kg)	3,50	2,50	2,98	2,00
Oznaka vzorca	SZNEK010621	SZNEK020621	SZNEK030621	SZNEK040821
IZOTOP	SPECIFIČNA AKTIVNOST SVEŽE SNOVI (Bq/kg)			
U-238				
Ra-226	2,7E-2 ± 2E-02	3,3E-2 ± 5E-03	8,8E-2 ± 9E-03	2,7E-1 ± 2E-02
Pb-210	2,1E-1 ± 1E-01	4,5E-2 †	1,1E-1 †	1,8E+0 ± 2E-01
Ra-228	4,2E-2 ± 3E-02	4,0E-2 ± 1E-02	1,7E-1 ± 2E-02	3,3E-1 ± 4E-02
Th-228		2,2E-2 ± 1E-02	4,8E-2 ± 3E-02	1,4E-1 ± 3E-02
Th-230				
K-40	1,8E+2 ± 9E+00	6,0E+1 ± 3E+00	1,2E+2 ± 6E+00	2,1E+2 ± 1E+01
Be-7	3,2E+0 ± 1E-01		7,0E-1 ± 5E-02	1,6E+1 ± 5E-01
I-131				
Cs-134				
Cs-137	1,7E-2 ± 1E-03	5,8E-3 †	6,3E-2 ± 7E-03	1,2E-1 ± 1E-02
Co-58				
Co-60				
Cr-51				
Mn-54				
Zn-65				
Nb-95				
Ru-106				
Sb-125				
Sr-90	5,7E-2 ± 2E-02	8,5E-2 ± 2E-02	2,4E-1 ± 4E-02	9,8E-1 ± 2E-01

(**) Izhajanje radona iz posodice pri izračunu aktivnosti ni upoštevano.

(†) Rezultat meritve je pod mejo detekcije.

LETO 2021 T - 70

12. HRANILA – POVRTNINE IN POLJŠČINE – korenje, paradižnik, melancani, bučke

Izotopska analiza sevalcev gama (***) in specifična analiza Sr-90

Vzorč. mesto	Pesje	Spodnji Stari Grad	Trnje	
Vrsta vzorca	korenje	paradižnik	melancani	bučke
Datum vzor.	7. 8. 2021	7. 8. 2021	7. 8. 2021	7. 8. 2021
Masa vzorca (kg)	2,18	3,80	3,35	5,44
Oznaka vzorca	SZNEK050821	SZNEK060821	SZNEK070821	SZNEK080821
IZOTOP	SPECIFIČNA AKTIVNOST SVEŽE SNOVI (Bq/kg)			
U-238	3,5E-1 ± 2E-01		4,3E-2	†
Ra-226	2,8E-1 ± 2E-02			
Pb-210	1,7E-1 ± 1E-01	1,8E-1	5,3E-2	†
Ra-228	4,9E-1 ± 4E-02			
Th-228	6,2E-2 ± 4E-02	2,1E-1 ± 5E-02		
Th-230				
K-40	8,9E+1 ± 5E+00	7,3E+1 ± 4E+00	7,8E+1 ± 4E+00	4,7E+1 ± 2E+00
Be-7	5,0E-1 ± 9E-02		4,8E-2 ± 2E-02	
I-131				
Cs-134				
Cs-137	3,3E-2 ± 9E-03	2,5E-2	5,8E-3	†
Co-58				
Co-60				
Cr-51				
Mn-54				
Zn-65				
Nb-95				
Ru-106				
Sb-125				
Sr-90	4,2E-1 ± 7E-02	3,5E-3	2,0E-3	†

(**) Izhajanje radona iz posodice pri izračunu aktivnosti ni upoštevano.

(†) Rezultat meritve je pod mejo detekcije.

LETO 2021 T - 71

12. HRANILA – POVRTNINE IN POLJŠČINE – kumare, rdeča pesa, stročji fižol, koruza

Izotopska analiza sevalcev gama (***) in specifična analiza Sr-90

Vzorč. mesto	Pesje	Žadovinek	Dolenje Skopice	Vrbina
Vrsta vzorca	kumare	rdeča pesa	stročji fižol	koruza
Datum vzor.	17. 8. 2021	17. 8. 2021	17. 8. 2021	28. 8. 2021
Masa vzorca (kg)	4,00	3,52	2,41	1,20
Oznaka vzorca	SZNEK090821	SZNEK100821	SZNEK110821	SZNEK120821
IZOTOP	SPECIFIČNA AKTIVNOST SVEŽE SNOVI (Bq/kg)			
U-238				
Ra-226		1,2E-1 ± 1E-02	9,0E-2 ± 9E-03	3,8E-1 ± 2E-02
Pb-210	1,2E-1	†	1,3E-1 ± 1E-01	2,5E-1
Ra-228			5,8E-2 ± 3E-02	
Th-228	5,0E-2 ± 2E-02	8,5E-2 ± 2E-02	3,4E-2 ± 3E-02	7,6E-2 ± 4E-02
Th-230				
K-40	7,5E+1 ± 4E+00	1,2E+2 ± 6E+00	1,1E+2 ± 6E+00	1,2E+2 ± 6E+00
Be-7	1,3E-1 ± 4E-02	7,2E-1 ± 7E-02	5,0E-1 ± 6E-02	
I-131				
Cs-134				
Cs-137	1,8E-2 ± 5E-03	6,8E-2 ± 1E-02	1,4E-2	†
Co-58				
Co-60				
Cr-51				
Mn-54				
Zn-65				
Nb-95				
Ru-106				
Sb-125				
Sr-90	2,3E-2 ± 1E-02	1,2E-2	1,5E-1 ± 3E-02	5,0E-3

(**) Izhajanje radona iz posodice pri izračunu aktivnosti ni upoštevano.

(†) Rezultat meritve je pod mejo detekcije.

LETO 2021 T - 72

12. HRANILA – POVRTNINE IN POLJŠČINE – pšenica, ječmen, fižol, krompir

Izotopska analiza sevalcev gama (***) in specifična analiza Sr-90

Vzorč. mesto	Urbina		Vihre	Spodnji Stari Grad
Vrsta vzorca	pšenica	ječmen	fižol	krompir
Datum vzor.	28. 8. 2021	28. 8. 2021	28. 8. 2021	28. 8. 2021
Masa vzorca (kg)	1,20	1,50	1,30	3,13
Oznaka vzorca	SZNEK130921	SZNEK140921	SZNEK150921	SZNEK160921
IZOTOP	SPECIFIČNA AKTIVNOST SVEŽE SNOVI (Bq/kg)			
U-238			2,3E-1 ± 2E-01	
Ra-226	2,7E-01 ± 2E-02	3,3E-1 ± 4E-02		
Pb-210	4,4E-01 ± 2E-01	7,9E-1 ± 3E-01	2,0E-1 †	1,5E-1 †
Ra-228	2,3E-01 ± 4E-02	9,9E-2 ± 8E-02		7,4E-2 ± 3E-02
Th-228	5,6E-02 ± 4E-02	1,5E-1 ± 8E-02		
Th-230				
K-40	1,2E+02 ± 7E+00	1,4E+2 ± 8E+00	1,6E+2 ± 9E+00	1,3E+2 ± 7E+00
Be-7	7,2E-01 ± 1E-01	7,0E+0 ± 5E-01		
I-131				
Cs-134				
Cs-137	1,7E-02 †	1,2E-1 ± 2E-02	3,5E-2 †	1,6E-2 †
Co-58				
Co-60				
Cr-51				
Mn-54				
Zn-65				
Nb-95				
Ru-106				
Sb-125				
Sr-90	8,5E-02 ± 3E-02	3,7E-2 ± 4E-02	7,0E-3 †	3,5E-3 †

(**) Izhajanje radona iz posodice pri izračunu aktivnosti ni upoštevano.

(†) Rezultat meritve je pod mejo detekcije.

LETO 2021 T - 73

12. HRANILA – POVRTNINE IN POLJŠČINE – paprika, feferoni, zelje, por

Izotopska analiza sevalcev gama (***) in specifična analiza Sr-90

Vzorč. mesto	Brege		Žadovinek	Vihre
Vrsta vzorca	paprika	feferoni	zelje	por
Datum vzor.	14. 9. 2021	14. 9. 2021	14. 9. 2021	6. 10. 2021
Masa vzorca (kg)	2,69	2,30	3,16	2,90
Oznaka vzorca	SZNEK171021	SZNEK181021	SZNEK191021	SZNEK201021
IZOTOP	SPECIFIČNA AKTIVNOST SVEŽE SNOVI (Bq/kg)			
U-238	1,2E-1 ± 1E-01			9,2E-2 ± 6E-02
Ra-226	7,5E-2 ± 2E-02	1,4E-1 ± 2E-02		7,9E-2 ± 1E-02
Pb-210	1,7E-1	2,4E-1 ± 2E-01	1,1E-1 †	8,5E-2 †
Ra-228				
Th-228				
Th-230				
K-40	7,2E+1 ± 4E+00	9,6E+1 ± 4E+00	6,3E+1 ± 3E+00	6,7E+1 ± 4E+00
Be-7	5,4E-1 ± 1E-01	1,3E+0 ± 2E-01		6,2E-1 ± 6E-02
I-131				
Cs-134				
Cs-137	2,2E-2 †	2,1E-2 †	1,8E-2 †	1,1E-2 †
Co-58				
Co-60				
Cr-51				
Mn-54				
Zn-65				
Nb-95				
Ru-106				
Sb-125				
Sr-90	4,0E-3 †	4,3E-3 †	2,0E-2 ± 1E-02	5,0E-2 ± 2E-02

(**) Izhajanje radona iz posodice pri izračunu aktivnosti ni upoštevano.

(†) Rezultat meritve je pod mejo detekcije.

LETO 2021 T - 74
13. HRANILA – KOKOŠJE MESO IN JAJCA

Izotopska analiza sevalcev gama in specifična analiza Sr-90/Sr-89 (**)

Vzorč. mesto	Spodnji Stari Grad	Gornji Lenart	Povprečje - jajca (*)	Spodnji Stari Grad
Vrsta vzorca	lobošja jajca	lobošja jajca		
Datum vzor.	18. 1. 2021	16. 6. 2021		18. 1. 2021
Kol. vzorca (kg)	0,24	0,28		0,18
Odstoteksuhe snovi	23,20	25,60		29,40
Oznaka vzorca	K21HJ111	K21HJ1061		K21HMK111
IZOTOP	SPECIFIČNA AKTIVNOST SVEŽE SNOVI (Bq/kg)			
U-238		2,5E-01 ± 3E-01 ‡	1,2E-01 ± 1E-01	5,5E-01 ± 4E-01 ‡
Ra-226	5,3E-01 ± 2E-01	5,8E-02 ± 6E-02 ‡	3,0E-01 ± 9E-02	7,4E-02 ± 3E-01 ‡
Pb-210	1,6E-01 †	3,1E-01 ± 5E-01 ‡	2,4E-01 ± 8E-02 x	3,9E-01 †
Ra-228		3,0E-01 ± 1E-01	1,5E-01 ± 6E-02	1,7E-01 ± 1E-01
Th-228	3,8E-02 ± 3E-02 ‡	8,0E-02 ± 2E-02	5,9E-02 ± 2E-02	7,0E-02 ± 4E-02
Th-230		1,4E+00 ± 2E+00 ‡	6,8E-01 ± 9E-01	5,1E-01 ± 3E+00 ‡
K-40	3,5E+01 ± 1E+00	4,2E+01 ± 1E+00	3,9E+01 ± 1E+00	1,1E+02 ± 4E+00
Be-7				
I-131				
Cs-134				
Cs-137		4,1E-02 ± 1E-02	2,1E-02 ± 7E-03	
Co-58				
Co-60				
Cr-51				
Mn-54				
Zn-65				
Nb-95				
Ru-106				
Sb-125				
Sr-89/Sr-90	1,2E-02 ± 3E-03	3,1E-02 ± 4E-03	2,2E-02 ± 3E-03	3,4E-03 †

(*) Število, ki sledi znaku ±, je negotovost povprečja (apriorna negotovost).

(**) Visokoločljivostna spektrometrija gama je bila opravljena na Odseku F-2, radiokemijske analize Sr-90/Sr-89 pa na Odseku O-2.

(‡) Rezultat meritve je pod mejo kvantifikacije.

(†) Rezultat meritve je pod mejo detekcije.

(x) Pri meji detekcije se kot predpostavljena vrednost upošteva 1/4 meje detekcije, zato se negotovosti aritmetičnega povprečja za izbrano leto ne podajajo z apriorno negotovostjo, temveč z aposteriorno negotovostjo.

LETO 2021 T - 75
13. HRANILA – SVINJSKO, GOVEJE IN DIVJAČINSKO MESO

Izotopska analiza sevalcev gama in specifična analiza Sr-90/Sr-89 (**)

Vzorč. mesto	Vihre	Kalce-Naklo	Povprečje - svinjsko meso (*)	Leskovec	
Vrsta vzorca	svinjsko meso	svinjsko meso		goveje meso	zajec - divjačina
Datum vzor.	22. 6. 2021	1. 12. 2021		29. 11. 2021	17. 5. 2021
Kol. vzorca (kg)	0,42	0,32		0,36	0,24
Odstoteksuhe snovi	32,80	25,60		28,80	25,40
Oznaka vzorca	K21HMS471	K21HMS7C1		K21HMG8B1	K21HMD851
IZOTOP	SPECIFIČNA AKTIVNOST SVEŽE SNOVI (Bq/kg)				
U-238	1,1E+00 ± 6E-01	1,0E-01 ± 2E-01 ‡	6,2E-01 ± 3E-01	2,2E-01 ± 1E-01	2,8E-01 ± 3E-01 ‡
Ra-226	2,3E-01 ± 2E-01 ‡	1,0E-01 ± 1E-01 ‡	1,7E-01 ± 1E-01	2,2E-01 ± 1E-01	3,5E-02 ± 1E-01 ‡
Pb-210	8,8E-02 ± 7E-01 ‡	5,5E-02 †	7,2E-02 ± 2E-02 x	5,1E-02 †	6,4E-02 †
Ra-228					4,9E-02 ± 6E-02 ‡
Th-228	1,6E-02 ± 2E-02 ‡	3,2E-02 ± 3E-02 ‡	2,4E-02 ± 2E-02	1,1E-02 ± 2E-02 ‡	1,2E-01 ± 4E-02
Th-230					
K-40	1,2E+02 ± 4E+00	1,2E+02 ± 6E+00	1,2E+02 ± 4E+00	1,2E+02 ± 6E+00	1,1E+02 ± 3E+00
Be-7					
I-131					
Cs-134					
Cs-137	1,9E-01 ± 3E-02	7,9E-02 ± 3E-02	1,4E-01 ± 2E-02	1,7E-01 ± 3E-02	9,1E-02 ± 3E-02
Co-58					
Co-60					
Cr-51					
Mn-54					
Zn-65					
Nb-95					
Ru-106					
Sb-125					
Sr-89/Sr-90	1,8E-03 †	1,7E-03 †	1,8E-03 ± 4E-05 x	1,7E-03 †	2,4E-03 †

(*) Število, ki sledi znaku ±, je negotovost povprečja (apriorna negotovost).

(**) Visokoločljivostna spektrometrija gama je bila opravljena na Odseku F-2, radiokemijske analize Sr-90/Sr-89 pa na Odseku O-2.

(‡) Rezultat meritve je pod mejo kvantifikacije.

(†) Rezultat meritve je pod mejo detekcije.

(x) Pri meji detekcije se kot predpostavljena vrednost upošteva 1/4 meje detekcije, zato se negotovosti aritmetičnega povprečja za izbrano leto ne podajajo z apriorno negotovostjo, temveč z aposteriorno negotovostjo.

**OBRATOVALNI MONITORING RADIOAKTIVNOSTI
V OKOLICI NEK ZARADI HE BREŽICE**

1. VODA – REKA SAVA

VODA – SESTAVLJENI MESEČNI VZORCI

VODA – POSAMIČNI VZORCI

2. SEDIMENTI

VODNA BIOTA – RIBE

3. PODTALNICA

VODA - POSAMIČNI VZORCI

LETO 2021 T – HE 1a

1. REKA SAVA – VODA - sestavljeni vzorci filtrirane vode (voda + fina susp. snov)



Izotopska analiza sevalcev gama (**) in specifični analizi Sr-90 in H-3 (***)

Vzorč. mesto	HE Brežice, nad jezom						
	januar 48,75 NEKVHEJ0121	februar 44,40 NEKVHEJ0221	marec 48,90 NEKVHEJ0321	april 47,65 NEKVHEJ0421	maj 48,81 NEKVHEJ0521	junij 47,40 NEKVHEJ0621	Mesečno povprečje (za 1. polletje) (*)
IZOTOP	KONCENTRACIJA AKTIVNOSTI (Bq/m³)						
U-238	2,2E+00 ± 2E+00		1,8E+00 ± 6E-01				6,7E-01 ± 3E-01
Ra-226			3,4E-01 ± 8E-02				7,3E-01 ± 8E-02
Pb-210	1,1E+01 ± 1E+00	1,7E+00 ± 1E+00 ‡	3,6E+00 ± 4E-01	2,7E+01 ± 1E+00	1,9E+01 ± 1E+00	3,9E+00 ± 2E+00	1,1E+01 ± 6E-01
Ra-228	1,1E+00 ± 4E-01		1,0E+00 ± 1E-01	1,5E+00 ± 2E-01	1,6E+00 ± 1E-01	2,6E+00 ± 7E-01	1,3E+00 ± 1E-01
Th-228			3,1E-01 ± 2E-01	5,1E-01 ± 2E-01	3,3E-01 ± 3E-01 ‡		1,9E-01 ± 7E-02
Th-230							
K-40	2,7E+01 ± 3E+00	2,0E+01 ± 3E+00	3,0E+01 ± 1E+00	3,2E+01 ± 2E+00	2,7E+01 ± 2E+00	2,7E+01 ± 5E+00	2,7E+01 ± 1E+00
Be-7	9,9E+01 ± 3E+00	6,1E+00 ± 1E+00	2,1E+01 ± 9E-01	1,6E+02 ± 5E+00	3,6E+02 ± 1E+01	4,2E+01 ± 3E+00	1,2E+02 ± 2E+00
I-131			4,1E+00 ± 3E-01	4,2E+00 ± 4E-01	2,5E+00 ± 4E-01		1,8E+00 ± 1E-01
Cs-134							
Cs-137							
Co-58							
Co-60							
Cr-51							
Mn-54							
Zn-65							
Nb-95							
Ru-106							
Sb-125							
Sr-90	1,1E+00 ± 6E-01	1,9E+00 ± 4E-01	1,2E+00 ± 3E-01	7,6E-01 ± 3E-01	1,5E+00 ± 5E-01	1,2E+00 ± 4E-01	1,3E+00 ± 2E-01
H-3*	7,8E+03 ± 4E+02	2,8E+03 ± 2E+02	1,8E+04 ± 9E+02	5,8E+03 ± 3E+02	9,5E+02 ± 9E+01	8,5E+02 ± 9E+01	6,0E+03 ± 2E+02

(*) Število, ki sledi znaku ±, je negotovost povprečja (apriorna negotovost).

(**) Izhajanje radona iz posodice pri izračunu aktivnosti ni upoštevano.

(***) Visokoločljivostna spektrometrija gama in radiokemijske analize Sr-90/Sr-89 so bile opravljene na ZVD. Radiokemijske analize H-3 so bile opravljene na IJS na Odseku O-2.

‡) Rezultat meritve je pod mejo kvantifikacije.

LETO 2021 T – HE 2a

1. REKA SAVA – VODA - sestavljeni vzorci filtrskega ostanka (groba susp. snov)



Izotopska analiza sevalcev gama (**)

Vzorč. mesto	HE Brežice, nad jezom						
	januar 120,09 Susp. snov (g) 9,42 NEKFHEJ0121	februar 106,83 3,99 NEKFHEJ0221	marec 117,35 2,65 NEKFHEJ0321	april 85,81 8,54 NEKFHEJ0421	maj 85,04 13,02 NEKFHEJ0521	junij 88,46 3,84 NEKFHEJ0621	Mesečno povprečje (za 1. polletje) (*)
IZOTOP	KONCENTRACIJA AKTIVNOSTI (Bq/m³)						
U-238						2,4E+00 ± 1E+00	4,0E-01 ± 2E-01
Ra-226						4,1E-01 ± 2E-01	4,6E-01 ± 6E-02
Pb-210	6,8E-01 ± 6E-01 ‡	4,7E-01 ± 1E-01	9,2E-01 ± 2E-01	3,2E-01 ± 2E-01	2,4E+00 ± 9E-01	3,0E+00 ± 1E+00	1,9E+00 ± 3E-01
Ra-228		1,6E+00 ± 6E-01	2,1E+00 ± 9E-01	1,8E+00 ± 7E-01	9,1E-01 ± 4E-01	8,5E-01 ± 4E-01	3,9E-01 ± 3E-01
Th-228		5,6E-01 ± 2E-01			1,6E+00 ± 3E-01	6,1E-01 ± 3E-01	4,9E-01 ± 1E-01
Th-230		3,5E-01 ± 2E-01	4,0E-01 ± 3E-01				
K-40	2,2E+00 ± 1E+00	3,9E+00 ± 1E+00	2,7E+00 ± 1E+00		3,9E+00 ± 2E+00		2,1E+00 ± 5E-01
Be-7		1,5E+00 ± 4E-01		2,9E+00 ± 6E-01			7,3E-01 ± 1E-01
I-131						9,1E-01 ± 4E-02	1,5E-01 ± 6E-03
Cs-134							
Cs-137							
Co-58							
Co-60							
Cr-51							
Mn-54							
Zn-65							
Nb-95							
Ru-106							
Sb-125							

(*) Število, ki sledi znaku ±, je negotovost povprečja (apriorna negotovost).

(**) Izhajanje radona iz posodice pri izračunu aktivnosti ni upoštevano.

‡) Rezultat meritve je pod mejo kvantifikacije.

LETO 2021 T – HE 1b
1. REKA SAVA – VODA - sestavljeni vzorci filtrirane vode (voda + fina susp. snov)



Izotopska analiza sevancev gama (***) in specifični analizi Sr-90 in H-3 (***)

Vzorč. mesto	HE Brežice, nad jezom						
	datum vzor. Kol. vzorca (L) Oznaka vzorca	avgust	september	oktober	november	december	Mesečno povprečje (za celo leto) (*)
	7.27 NEKVFHEJ0721	8.39 NEKVFHEJ0821	5.62 NEKVFHEJ0921	8.99 NEKVFHEJ1021	5.64 NEKVFHEJ1121	3.37 NEKVFHEJ1221	
	KONCENTRACIJA AKTIVNOSTI (Bq/m ³)						
U-238	2,3E+00 ± 1E+00	3,1E+00 ± 1E+00	2,6E+00 ± 2E+00	3,5E+00 ± 2E+00			1,3E+00 ± 3E-01
Ra-226	1,0E+00 ± 2E-01	2,3E+00 ± 2E-01	8,8E-01 ± 3E-01	6,8E-01 ± 4E-01	2,9E+00 ± 3E-01		1,0E+00 ± 7E-02
Pb-210	7,9E+00 ± 1E+00	7,3E+00 ± 2E+00	3,0E+00 ± 2E+00	5,8E+00 ± 2E+00	5,3E+00 ± 2E+00	2,4E+00 ± 2E+00 ‡	8,1E+00 ± 5E-01
Ra-228	1,4E+00 ± 5E-01	8,2E-01 ± 6E-01	7,9E-01 ± 7E-01 ‡	1,0E+00 ± 6E-01	1,6E+00 ± 7E-01	8,9E-01 ± 9E-01 ‡	1,2E+00 ± 2E-01
Th-228	8,7E-01 ± 4E-01		1,4E+00 ± 5E-01	1,3E+00 ± 7E-01		6,2E-01 ± 6E-01 ‡	4,5E-01 ± 1E-01
Th-230							
K-40	3,5E+01 ± 3E+00	2,5E+01 ± 3E+00	3,3E+01 ± 4E+00	2,9E+01 ± 5E+00	4,2E+01 ± 5E+00	4,4E+01 ± 5E+00	3,1E+01 ± 1E+00
Be-7	2,6E+00 ± 7E-01	2,9E+01 ± 2E+00	1,4E+01 ± 2E+00	2,0E+01 ± 2E+00	1,7E+01 ± 2E+00	2,1E+01 ± 2E+00	6,6E+01 ± 1E+00
I-131					4,2E+00 ± 1E+00	1,4E+00 ± 2E+00 ‡	1,4E+00 ± 2E-01
Cs-134							
Cs-137							
Co-58							
Co-60							
Cr-51							
Mn-54							
Zn-65							
Nb-95							
Ru-106							
Sb-125							
Sr-90	8,0E-01 ± 7E-01 ‡	2,0E+00 ± 4E-01	2,5E+00 ± 6E-01	2,6E+00 ± 6E-01	1,1E+00 ± 4E-01	6,6E-01 ± 3E-01	1,4E+00 ± 1E-01
H-3*	1,0E+03 ± 1E+02	1,2E+03 ± 1E+02	1,5E+03 ± 1E+02	7,1E+02 ± 9E+01	1,7E+03 ± 1E+02	9,5E+02 ± 1E+02	3,6E+03 ± 9E+01

(*) Število, ki sledi znaku ±, je negotovost povprečja (apriorna negotovost).

(**) Izhajanje radona iz posodice pri izračunu aktivnosti ni upoštevano.

(***) Visokoločljivostna spektrometrija gama in radiokemijske analize Sr-90/Sr-89 so bile opravljene na ZVD. Radiokemijske analize H-3 so bile opravljene na IJS na Odseku O-2.

(‡) Rezultat meritve je pod mejo kvantifikacije.

LETO 2021 T – HE 2b
1. REKA SAVA – VODA - sestavljeni vzorci filtrskega ostanka (groba susp. snov)



Izotopska analiza sevancev gama (**)

Vzorč. mesto	HE Brežice, nad jezom						
	datum vzor. Kol. vzorca (L) Susp. snov (g) Oznaka vzorca	avgust	september	oktober	november	december	Mesečno povprečje (za celo leto) (*)
	7.27 NEKVFHEJ0721	8.39 NEKVFHEJ0821	5.62 NEKVFHEJ0921	8.99 NEKVFHEJ1021	5.64 NEKVFHEJ1121	3.37 NEKVFHEJ1221	
	KONCENTRACIJA AKTIVNOSTI (Bq/m ³)						
U-238	4,0E-01 ± 2E-01	9,8E-01 ± 2E-01	2,9E-01 ± 2E-01	6,8E-01 ± 6E-01 ‡			2,9E-01 ± 1E-01
Ra-226	2,3E-01 ± 5E-02	1,0E+00 ± 1E+00 ‡	2,6E+00 ± 1E+00	1,7E+00 ± 7E-01	1,8E+00 ± 1E+00	1,4E-01 ± 7E-02	3,7E-01 ± 4E-02
Pb-210	1,3E+00 ± 2E-01		6,3E-01 ± 3E-01	7,5E-01 ± 3E-01	7,3E-01 ± 3E-01	7,9E-01 ± 3E-01	1,7E+00 ± 2E-01
Ra-228	2,3E-01 ± 1E-01					8,0E-01 ± 1E-01	3,9E-01 ± 7E-02
Th-228							3,1E-01 ± 5E-02
Th-230							
K-40		4,0E+00 ± 2E+00	4,6E+00 ± 2E+00			2,6E+00 ± 7E-01	2,0E+00 ± 3E-01
Be-7							3,7E-01 ± 6E-02
I-131							7,6E-02 ± 3E-03
Cs-134							
Cs-137							
Co-58							
Co-60							
Cr-51							
Mn-54							
Zn-65							
Nb-95							
Ru-106							
Sb-125							

(*) Število, ki sledi znaku ±, je negotovost povprečja (apriorna negotovost).

(**) Izhajanje radona iz posodice pri izračunu aktivnosti ni upoštevano.

(‡) Rezultat meritve je pod mejo kvantifikacije.

LETO 2021 T – HE 3a

1. REKA SAVA – VODA - posamični vzorci filtrirane vode (voda + fina susp. snov)



Izotopska analiza sevalcev gama (***) in specifični analizi Sr-90 in H-3 (***)

Vzorec. mesto	HE Brežice, levi breg						
	4. 1. 2021 Kol. vzorca (L) Oznaka vzorca	3. 2. 2021 43,15 RSHEL0221	1. 3. 2021 42,90 RSHEL0321	1. 4. 2021 43,70 RSHEL0421	3. 5. 2021 42,55 RSHEL0521	1. 6. 2021 43,10 RSHEL0621	Mesečno povprečje (za 1. polletje) (*)
IZOTOP	KONCENTRACIJA AKTIVNOSTI (Bq/m³)						
U-238	2,4E+00 ± 1E+00	1,9E+00 ± 1E+00	1,2E+00 ± 9E-01	3,6E-01 ± 2E-01	9,4E-01 ± 2E-01	1,2E+00 ± 3E-01	9,1E-01 ± 3E-01
Ra-226	1,7E+00 ± 2E-01	1,6E+00 ± 2E-01	3,6E-01 ± 2E-01	3,6E+01 ± 2E+00	1,0E+01 ± 2E+00	1,0E+01 ± 2E+00	9,6E-01 ± 8E-02
Pb-210	8,7E+00 ± 1E+00	6,8E+00 ± 2E+00	2,1E+00 ± 8E-01	1,5E+00 ± 3E-01	1,5E+00 ± 3E-01	1,3E+00 ± 1E+00	1,2E+01 ± 7E-01
Ra-228	3,1E+00 ± 4E-01	7,9E-01 ± 5E-01		8,5E-01 ± 3E-01	8,5E-01 ± 3E-01	2,0E+00 ± 1E+00	1,5E+00 ± 3E-01
Th-228	1,1E+00 ± 4E-01	6,0E-01 ± 4E-01				1,5E+00 ± 7E-01	8,1E-01 ± 2E-01
Th-230							
K-40	5,1E+01 ± 3E+00	3,2E+01 ± 3E+00	2,6E+01 ± 2E+00	3,8E+01 ± 3E+00	2,6E+01 ± 4E+00	2,4E+01 ± 5E+00	3,3E+01 ± 1E+00
Be-7	4,2E+01 ± 2E+00	3,8E+01 ± 2E+00		4,3E+01 ± 2E+00	3,6E+01 ± 2E+00	8,5E+01 ± 3E+00	4,1E+01 ± 8E-01
I-131		2,3E+00 ± 4E-01	2,3E+00 ± 2E-01	5,9E+00 ± 4E-01			1,8E+00 ± 9E-02
Cs-134							
Cs-137	9,0E-01 ± 1,1E-01	6,6E-01 ± 1,3E-01	3,3E-01 ± 1,4E-01	3,1E-01 ± 1,3E-01	6,6E-01 ± 2,7E-01	7,9E-01 ± 3,2E-01	6,1E-01 ± 8E-02
Co-58							
Co-60							
Cr-51							
Mn-54							
Zn-65							
Nb-95							
Ru-106							
Sb-125							
Sr-90	1,1E+00 ± 6E-01	9,0E-01 ± 3E-01	8,7E-01 ± 4E-01	8,0E-01 ± 4E-01	1,4E+00 ± 4E-01	1,2E+00 ± 4E-01	1,1E+00 ± 2E-01
H-3	6,3E+02 ± 8E+01	5,6E+02 ± 8E+01	5,1E+02 ± 8E+01	5,6E+02 ± 8E+01	4,4E+02 ± 7E+01	5,4E+02 ± 8E+01	5,4E+02 ± 3E+01

(*) Število, ki sledi znaku ±, je negotovost povprečja (apriorna negotovost).

(**) Izhajanje radona iz posodice pri izračunu aktivnosti ni upoštevano.

(***) Visokoločljivostna spektrometrija gama in radiokemijske analize Sr-90/Sr-89 so bile opravljene na ZVD, radiokemijske analize H-3 pa na IJS na Odseku O-2.

(‡) Rezultat meritve je pod mejo kvantifikacije.

LETO 2021 T – HE 3b

1. REKA SAVA – VODA - posamični vzorci filtrirane vode (voda + fina susp. snov)



Izotopska analiza sevalcev gama (**)

Vzorec. mesto	HE Brežice, levi breg						
	1. 7. 2021 Kol. vzorca (L) Oznaka vzorca	2. 8. 2021 44,75 RSHEL0821	2. 9. 2021 42,95 RSHEL0921	1. 10. 2021 43,20 RSHEL1021	2. 11. 2021 43,75 RSHEL1121	1. 12. 2021 43,90 RSHEL1221	Mesečno povprečje (za celo leto) (*)
IZOTOP	KONCENTRACIJA AKTIVNOSTI (Bq/m³)						
U-238			4,0E+00 ± 2E+00		3,1E+00 ± 2E+00	3,0E+00 ± 8E-01	1,3E+00 ± 3E-01
Ra-226	1,9E+00 ± 2E-01	1,9E+00 ± 2E-01	1,1E+00 ± 4E-01	2,5E+00 ± 3E-01	7,7E-01 ± 3E-01	4,4E+00 ± 1E-01	1,5E+00 ± 7E-02
Pb-210	2,0E+01 ± 1E+00	2,1E+01 ± 1E+00	6,0E+00 ± 2E+00	1,3E+01 ± 2E+00	4,2E+00 ± 2E+00	3,8E+00 ± 5E-01	1,2E+01 ± 5E-01
Ra-228			1,5E+00 ± 8E-01	2,0E+00 ± 6E-01		1,1E+00 ± 2E-01	1,1E+00 ± 2E-01
Th-228			1,3E+00 ± 7E-01	1,5E+00 ± 6E-01		5,2E-01 ± 2E-01	6,8E-01 ± 1E-01
Th-230							
K-40	3,0E+01 ± 2E+00	3,8E+01 ± 3E+00	4,3E+01 ± 6E+00	3,3E+01 ± 4E+00	4,1E+01 ± 5E+00	4,6E+01 ± 2E+00	3,6E+01 ± 1E+00
Be-7	7,3E+00 ± 6E-01	1,8E+02 ± 6E+00	1,1E+01 ± 2E+00	4,3E+01 ± 2E+00	9,5E+00 ± 2E+00	3,1E+01 ± 1E+00	4,4E+01 ± 7E-01
I-131	2,4E+00 ± 4E-01	3,5E+00 ± 4E-01	3,9E+00 ± 6E-01		2,5E+00 ± 6E-01	1,7E+00 ± 1E-01	2,0E+00 ± 1E-01
Cs-134							
Cs-137	1,9E-01 ± 7,7E-02	3,4E-01 ± 1,4E-01	9,2E-01 ± 3,8E-01	6,8E-01 ± 2,8E-01	7,3E-01 ± 3,0E-01	3,0E-01 ± 5,6E-02	5,7E-01 ± 6E-02
Co-58							
Co-60							
Cr-51							
Mn-54							
Zn-65							
Nb-95							
Ru-106							
Sb-125							
Sr-90	2,0E+00 ± 4E-01	1,4E+00 ± 4E-01	1,4E+00 ± 3E-01	1,2E+00 ± 3E-01	1,9E+00 ± 6E-01	1,7E+00 ± 4E-01	1,3E+00 ± 1E-01
H-3	1,9E+03 ± 1E+02	7,7E+02 ± 9E+01	5,3E+02 ± 8E+01	4,7E+02 ± 8E+01	5,9E+02 ± 9E+01	5,2E+02 ± 8E+01	6,6E+02 ± 2E+01

(*) Število, ki sledi znaku ±, je negotovost povprečja (apriorna negotovost).

(**) Izhajanje radona iz posodice pri izračunu aktivnosti ni upoštevano.

LETO 2021 T – HE 4a
1. REKA SAVA – VODA – posamični vzorci filtrirane vode (voda + fina susp. snov)



Izotopska analiza sevalcev gama (**) in specifični analizi Sr-90 in H-3 (***)

Vzroč. mesto	HE Brežice, desni breg						Mesečno povprečje (za 1. polletje) (*)
	4. 1. 2021	3. 2. 2021	1. 3. 2021	1. 4. 2021	3. 5. 2021	1. 6. 2021	
Datum vzor.	41,80	44,92	43,70	44,30	44,60	45,05	
Kol. vzorca (L)							
Oznaka vzorca	RSHE0121	RSHE0221	RSHE0321	RSHE0421	RSHE0521	RSHE0621	
IZOTOP	KONCENTRACIJA AKTIVNOSTI (Bq/m ³)						
U-238		3,0E+00 ± 2E+00	2,2E+00 ± 1E+00	2,7E+00 ± 7E-01		3,4E+00 ± 2E+00	1,9E+00 ± 5E-01
Ra-226	2,8E+00 ± 3E-01	1,0E+00 ± 3E-01	7,1E-01 ± 2E-01	5,1E-01 ± 8E-02	6,2E-01 ± 2E-01	1,6E+00 ± 3E-01	1,2E+00 ± 1E-01
Pb-210	1,4E+01 ± 2E+00	5,4E+00 ± 2E+00	3,7E+00 ± 2E+00	2,4E+01 ± 1E+00	3,9E+00 ± 2E+00	4,8E+00 ± 2E+00	9,3E+00 ± 7E-01
Ra-228			9,4E-01 ± 4E-01	9,7E-01 ± 1E-01	9,9E-01 ± 7E-01		4,8E-01 ± 1E-01
Th-228	1,1E+00 ± 6E-01	8,4E-01 ± 5E-01		4,2E-01 ± 2E-01	5,2E-01 ± 5E-01 ‡	6,2E-01 ± 6E-01 ‡	5,9E-01 ± 2E-01
Th-230							
K-40	4,2E+01 ± 5E+00	1,7E+01 ± 4E+00	2,3E+01 ± 3E+00	3,3E+01 ± 2E+00	2,5E+01 ± 3E+00	2,6E+01 ± 4E+00	2,8E+01 ± 1E+00
Be-7	6,8E+01 ± 3E+00	5,2E+00 ± 1E+00		2,0E+01 ± 8E-01	7,2E+00 ± 1E+00	6,2E+01 ± 3E+00	2,7E+01 ± 7E-01
I-131	6,4E-01 ± 2E-01	1,9E+00 ± 3E-01	3,2E+00 ± 3E-01	4,6E+00 ± 2E-01			1,7E+00 ± 9E-02
Cs-134							
Cs-137							
Co-58							
Co-60							
Cr-51							
Mn-54							
Zn-65							
Nb-95							
Ru-106							
Sb-125							
Sr-90	1,1E+00 ± 5E-01	1,5E-01 ± 6E-02	1,5E+00 ± 6E-01	8,2E-01 ± 4E-01	1,4E+00 ± 4E-01	1,8E+00 ± 6E-01	1,1E+00 ± 2E-01
H-3	5,1E+02 ± 8E+01	5,1E+02 ± 8E+01	6,4E+02 ± 8E+01	6,8E+02 ± 8E+01	5,4E+02 ± 8E+01	5,3E+02 ± 8E+01	5,7E+02 ± 3E+01

(*) Število, ki sledi znaku ±, je negotovost povprečja (apriorna negotovost).

(**) Izhajanje radona iz posodice pri izračunu aktivnosti ni upoštevano.

(***) Visokoločljivostna spektrometrija gama in radiokemijske analize Sr-90/Sr-89 so bile opravljene na ZVD, radiokemijske analize H-3 pa na IJS na Odseku O-2.

(‡) Rezultat meritve je pod mejo kvantifikacije.

LETO 2021 T – HE 4b
1. REKA SAVA – VODA - posamični vzorci filtrirane vode (voda + fina susp. snov)



Izotopska analiza sevalcev gama (**) in specifični analizi Sr-90 in H-3 (***)

Vzroč. mesto	HE Brežice, desni breg						Mesečno povprečje (za celo leto) (*)
	1. 7. 2021	2. 8. 2021	2. 9. 2021	1. 10. 2021	2. 11. 2021	1. 12. 2021	
Datum vzor.	45,15	46,35	43,95	43,30	42,35	44,55	
Kol. vzorca (L)							
Oznaka vzorca	RSHE0721	RSHE0821	RSHE0921	RSHE1021	RSHE1121	RSHE1221	
IZOTOP	KONCENTRACIJA AKTIVNOSTI (Bq/m ³)						
U-238	6,1E+00 ± 2E+00	2,3E+00 ± 2E+00	4,0E+00 ± 3E+00				2,0E+00 ± 4E-01
Ra-226	3,5E+00 ± 2E-01	1,8E+00 ± 3E-01	1,8E+00 ± 3E-01			4,3E+00 ± 3E-01	1,4E+00 ± 6E-02
Pb-210	1,8E+01 ± 2E+00	3,5E+01 ± 2E+00	6,9E+00 ± 2E+00	1,3E+01 ± 3E+00	1,3E+01 ± 3E+00	1,5E+01 ± 3E+00	1,3E+01 ± 6E-01
Ra-228	1,8E+00 ± 5E-01	3,3E+00 ± 5E-01			2,9E+00 ± 9E-01	1,1E+00 ± 6E-01	1,0E+00 ± 1E-01
Th-228			1,3E+00 ± 9E-01	1,2E+00 ± 8E-01	7,0E-01 ± 6E-01 ‡		5,6E-01 ± 1E-01
Th-230							
K-40	3,1E+01 ± 3E+00	2,9E+01 ± 4E+00	4,5E+01 ± 6E+00	4,5E+01 ± 6E+00	2,0E+01 ± 5E+00	2,9E+01 ± 4E+00	3,0E+01 ± 1E+00
Be-7	5,7E+00 ± 1E+00	1,8E+02 ± 5E+00	1,4E+01 ± 2E+00	5,0E+01 ± 3E+00	4,5E+01 ± 2E+00	5,4E+01 ± 3E+00	4,3E+01 ± 7E-01
I-131		1,3E+00 ± 4E-01	1,5E+00 ± 5E-01	4,7E+00 ± 1E+00	3,9E+00 ± 4E-01		1,8E+00 ± 1E-01
Cs-134							
Cs-137							
Co-58							
Co-60							
Cr-51							
Mn-54							
Zn-65							
Nb-95							
Ru-106							
Sb-125							
Sr-90	1,3E+00 ± 3E-01	1,8E+00 ± 4E-01	1,1E+00 ± 3E-01	1,4E+00 ± 5E-01	3,5E+00 ± 8E-01	9,9E-01 ± 4E-01	1,4E+00 ± 1E-01
H-3	1,9E+03 ± 1E+02	1,7E+03 ± 1E+02	5,5E+02 ± 8E+01	3,6E+03 ± 2E+02	5,8E+02 ± 8E+01	6,4E+02 ± 8E+01	1,0E+03 ± 3E+01

(*) Število, ki sledi znaku ±, je negotovost povprečja (apriorna negotovost).

(**) Izhajanje radona iz posodice pri izračunu aktivnosti ni upoštevano.

(***) Visokoločljivostna spektrometrija gama in radiokemijske analize Sr-90/Sr-89 so bile opravljene na ZVD, radiokemijske analize H-3 pa na IJS na Odseku O-2.

(‡) Rezultat meritve je pod mejo kvantifikacije.

LETO 2021 T – HE 5

1. REKA SAVA – VODA - posamični vzorci filtrirane vode (voda + fina susp. snov)



Izotopska analiza sevalcev gama (***) in specifična analiza Sr-90

Vzrč. mesto	HE Brežice, nad jezom				
Datum vzor.	22. 2. 2021	10. 6. 2021	29. 9. 2021	17. 11. 2021	Četrtno povprečje (za celo leto) (*)
Kol. vzorca (L)	46,2	43,2	44,7	42,8	
Oznaka vzorca	RSHEJK121	RSHEJK221	RSHEJK321	RSHEJK421	
IZOTOP	KONCENTRACIJA AKTIVNOSTI (Bq/m ³)				
U-238					
Ra-226	1,7E-01 ± 1E-01	6,4E-01 ± 4E-01	2,5E+00 ± 3E-01	5,3E+00 ± 2E+00	8,3E-01 ± 1E-01
Pb-210	1,3E+00 ± 6E-01	5,0E+00 ± 2E+00	1,1E+01 ± 3E+00		5,7E+00 ± 1E+00
Ra-228	9,6E-01 ± 2E-01	3,9E+00 ± 9E-01	1,8E+00 ± 8E-01	2,3E+00 ± 8E-01	2,3E+00 ± 4E-01
Th-228		1,4E+00 ± 7E-01	9,8E-01 ± 6E-01		5,8E-01 ± 2E-01
Th-230					
K-40	3,0E+01 2E+00	2,1E+01 5E+00	4,0E+01 5E+00	3,6E+01 5E+00	3,2E+01 ± 2E+00
Be-7	1,6E+00 3E-01	1,9E+01 2E+00			5,1E+00 ± 6E-01
I-131	2,2E+00 2E-01			4,3E+00 6E-01	1,6E+00 ± 1E-01
Cs-134					
Cs-137					
Co-58					
Co-60					
Cr-51					
Mn-54					
Zn-65					
Nb-95					
Ru-106					
Sb-125					
Sr-90	8,9E-01 ± 3E-01	2,4E+00 ± 6E-01	1,2E+00 ± 3E-01	2,1E+00 ± 4E-01	1,6E+00 ± 2E-01
H-3	3,1E+03 ± 3E+02	7,6E+02 ± 7E+01	6,6E+02 ± 6E+01	5,5E+02 ± 5E+01	1,3E+03 ± 7E+01

(*) Število, ki sledi znaku ±, je negotovost povprečja (apriorna negotovost).

(**) Izhajanje radona iz posodice pri izračunu aktivnosti ni upoštevano.

LETO 2021 T – HE 6a

1. REKA SAVA – VODA - posamični vzorci filtrirane vode (voda + fina susp. snov)



Izotopska analiza sevalcev gama (***) in specifična analiza Sr-90

Vzrč. mesto	HE Brežice, nadomestni habitat NH1				
Datum vzor.	22. 2. 2021	10. 6. 2021	29. 9. 2021	17. 11. 2021	Četrtno povprečje (za celo leto) (*)
Kol. vzorca (L)	49,2	47,6	46,2	49,4	
Oznaka vzorca	RSNHK121	RSNHK221	RSNHK321	RSNHK421	
IZOTOP	KONCENTRACIJA AKTIVNOSTI (Bq/m ³)				
U-238	3,6E+00 ± 1E+00	2,2E+00 ± 2E+00	2,7E+00 ± 2E+00	5,1E+00 ± 2E+00	3,4E+00 ± 9E-01
Ra-226	3,6E+00 ± 2E-01	1,1E+00 ± 2E-01	1,1E+00 ± 2E-01	3,1E-01 ± 3E-01 ‡	1,3E+00 ± 1E-01
Pb-210	6,0E+00 ± 1E+00	5,2E+00 ± 1E+00	1,7E+01 ± 2E+00	4,2E+00 ± 2E+00	8,1E+00 ± 8E-01
Ra-228	2,8E+00 ± 4E-01	2,4E+00 ± 6E-01	1,8E+00 ± 4E-01		1,8E+00 ± 2E-01
Th-228	1,8E+00 ± 4E-01	7,0E-01 ± 4E-01	5,4E-01 ± 5E-01 ‡		7,5E-01 ± 2E-01
Th-230					
K-40	7,6E+01 ± 3E+00	4,3E+01 ± 3E+00	4,9E+01 ± 4E+00	4,8E+01 ± 4E+00	5,4E+01 ± 2E+00
Be-7	6,4E+00 ± 1E+00	1,7E+01 ± 1E+00	8,5E+01 ± 3E+00	1,9E+00 ± 2E+00 ‡	2,7E+01 ± 9E-01
I-131					
Cs-134					
Cs-137					
Co-58					
Co-60					
Cr-51					
Mn-54					
Zn-65					
Nb-95					
Ru-106					
Sb-125					
Sr-90	1,7E+00 ± 6E-01	1,7E+00 ± 4E-01	1,2E+00 ± 7E-01	1,4E+00 ± 3E-01	1,5E+00 ± 3E-01
H-3	3,5E+03 ± 3E+02	3,6E+03 ± 3E+02	1,8E+03 ± 1E+02	1,8E+03 ± 1E+02	2,7E+03 ± 1E+02

(*) Število, ki sledi znaku ±, je negotovost povprečja (apriorna negotovost).

(**) Izhajanje radona iz posodice pri izračunu aktivnosti ni upoštevano.

(‡) Rezultat meritve je pod mejo kvantifikacije.

LETO 2021 T – HE 2c

1. REKA SAVA – VODA - sestavljeni vzorci filtrskega ostanka (groba susp. snov)



Specifična analiza Sr-90 **

Vzorč. mesto	HE Brežice, nad jezom				
Datum vzor. Kol. vzorca (L)	januar - marec 344,3	april - junij 259,3	julij - september 296,6	oktober - december 317,6	Četrtno povprečje (za celo leto) (*)
Susp. snov (g)	5,43	8,41	7,07	6,23	
Oznaka vzorca	NEKFHEJK121	NEKFHEJK221	NEKFHEJK321	NEKFHEJK421	
IZOTOP	KONCENTRACIJA AKTIVNOSTI (Bq/m ³)				
Sr-90					

(*) Število, ki sledi znaku ±, je negotovost povprečja (apriorna negotovost).

(**) Vsi rezultati meritev Sr-90 so pod mejo detekcije.

LETO 2021 T – HE 2d

1. REKA SAVA – VODA - posamični vzorci filtrirane vode (voda + fina susp. snov)



Specifična analiza H-3

Vzorč. mesto	HE Brežice, nad jezom				
Datum vzorčevanja	22. 2. 2021 - 22. 2. 2021	10. 6. 2021 - 10. 6. 2021	29. 9. 2021 - 29. 9. 2021	17. 11. 2021 - 17. 11. 2021	Četrtno povprečje (za celo leto) (*)
Datum meritve	5. 4. 2021	24. 7. 2021	23. 11. 2021	2. 1. 2022	
Kol. vzorca (L)	1,00	1,00	1,00	1,00	
Oznaka vzorca	RSHEJK121	RSHEJK221	RSHEJK321	RSHEJK421	
IZOTOP	KONCENTRACIJA AKTIVNOSTI (Bq/m ³)				
H-3	3,1E+03 ± 3E+02	7,6E+02 ± 7E+01	6,6E+02 ± 6E+01	5,5E+02 ± 5E+01	1,3E+03 ± 7E+01

(*) Število, ki sledi znaku ±, je negotovost povprečja (apriorna negotovost).

LETO 2021 T – HE 6b

1. REKA SAVA – VODA - posamični vzorci filtrirane vode (voda + fina susp. snov)



Specifična analiza H-3

Vzorč. mesto	HE Brežice, nadomestni habitat NH1				
Datum vzorčevanja	22. 2. 2021 - 22. 2. 2021	10. 6. 2021 - 10. 6. 2021	29. 9. 2021 - 29. 9. 2021	17. 11. 2021 - 17. 11. 2021	Četrtno povprečje (za celo leto) (*)
Datum meritve	5. 4. 2021	24. 7. 2021	23. 11. 2021	2. 1. 2022	
Kol. vzorca (L)	1,00	1,00	1,00	1,00	
Oznaka vzorca	RSNHK121	RSNHK221	RSNHK321	RSNHK421	
IZOTOP	KONCENTRACIJA AKTIVNOSTI (Bq/m ³)				
H-3	3,5E+03 ± 3E+02	3,6E+03 ± 3E+02	1,8E+03 ± 1E+02	1,8E+03 ± 1E+02	2,7E+03 ± 1E+02

(*) Število, ki sledi znaku ±, je negotovost povprečja (apriorna negotovost).

LETO 2021 T – HE 7
2. REKA SAVA – SEDIMENTI - posamični vzorci sedimentov



Izotopska analiza sevalcev gama (***) in specifična analiza Sr-90

Vzorč. mesto	HE Brežice, nad jezom				
Datum vzor.	22. 2. 2021	10. 6. 2021	29. 9. 2021	17. 11. 2021	Četrletno povprečje (za celo leto) (*)
Kol. vzor. (g)	351,8	231,0	288,6	261,6	
Oznaka vzorca	SDHEJK121	SDHEJK221	SDHEJK321	SDHEJK421	
IZOTOP	SPECIFIČNA AKTIVNOST (Bq/kg)				
U-238	3,0E+01 ± 4E+00	4,0E+01 ± 8E+00	1,5E+01 ± 6E+00	2,8E+01 ± 5E+00	2,8E+01 ± 3E+00
Ra-226	2,9E+01 ± 6E-01	3,2E+01 ± 8E-01	2,5E+01 ± 8E-01	2,5E+01 ± 5E-01	2,8E+01 ± 4E-01
Pb-210	4,3E+01 ± 5E+00	7,4E+01 ± 7E+00	9,4E+01 ± 9E+00	8,7E+01 ± 7E+00	7,5E+01 ± 4E+00
Ra-228	2,1E+01 ± 9E-01	2,7E+01 ± 1E+00	2,3E+01 ± 1E+00	2,4E+01 ± 8E-01	2,4E+01 ± 6E-01
Th-228	2,0E+01 ± 1E+00	2,4E+01 ± 1E+00	2,0E+01 ± 2E+00	2,1E+01 ± 9E-01	2,1E+01 ± 6E-01
Th-230					
K-40	2,9E+02 ± 2E+01	3,1E+02 ± 2E+01	2,9E+02 ± 2E+01	2,7E+02 ± 1E+01	2,9E+02 ± 8E+00
Be-7	9,5E+00 ± 1E+00	4,2E+01 ± 3E+00	6,9E+01 ± 4E+00	6,8E+01 ± 3E+00	4,7E+01 ± 2E+00
I-131					
Cs-134					
Cs-137	3,7E+00 ± 2E-01	4,4E+00 ± 4E-01	3,1E+00 ± 4E-01	2,3E+00 ± 2E-01	3,4E+00 ± 2E-01
Co-58					
Co-60					
Cr-51					
Mn-54					
Zn-65					
Nb-95					
Ru-106					
Sb-125					
Sr-90	6,0E+00 ± 1E+00	2,4E-01 ± 1E-01	1,5E-01 ± 6E-02	2,5E-01 ± 1E-01	1,7E+00 ± 4E-01

(*) Število, ki sledi znaku ±, je negotovost povprečja (apriorna negotovost).

(**) Izhajanje radona iz posodice pri izračunu aktivnosti ni upoštevano.

LETO 2021 T – HE 8a
2. REKA SAVA – SEDIMENTI - posamični vzorci sedimentov



Izotopska analiza sevalcev gama (***) in specifična analiza Sr-90

Vzorč. mesto	HE Brežice, levi breg						
	Datum vzor.	3. 2. 2021	1. 3. 2021	1. 4. 2021	3. 5. 2021	1. 6. 2021	Mesečno povprečje (za 1. polletje) (*)
Kol. vzor. (g)	297,4	151,4	135,7	336,3	188,1	169,3	
Oznaka vzorca	SDHEL0121	SDHEL0221	SDHEL0321	SDHEL0421	SDHEL0521	SDHEL0621	
IZOTOP	SPECIFIČNA AKTIVNOST (Bq/kg)						
U-238	3,2E+01 ± 7E+00	3,8E+01 ± 4E+00	2,6E+01 ± 6E+00	3,0E+01 ± 6E+00	4,4E+01 ± 1E+01	2,2E+01 ± 9E+00	3,2E+01 ± 3E+00
Ra-226	3,1E+01 ± 8E-01	3,2E+01 ± 7E-01	2,9E+01 ± 8E-01	3,4E+01 ± 6E-01	3,7E+01 ± 1E+00	2,5E+01 ± 1E+00	3,1E+01 ± 4E-01
Pb-210	4,0E+01 ± 5E+00	3,7E+01 ± 4E+00	7,3E+01 ± 7E+00	4,7E+01 ± 4E+00	1,3E+02 ± 1E+01	1,0E+02 ± 1E+01	7,1E+01 ± 3E+00
Ra-228	3,1E+01 ± 1E+00	3,2E+01 ± 1E+00	2,7E+01 ± 1E+00	3,0E+01 ± 9E-01	5,0E+01 ± 2E+00	1,9E+01 ± 2E+00	3,1E+01 ± 6E-01
Th-228	2,7E+01 ± 2E+00	2,8E+01 ± 1E+00	2,5E+01 ± 2E+00	2,8E+01 ± 1E+00	4,3E+01 ± 2E+00	2,4E+01 ± 3E+00	2,9E+01 ± 7E-01
Th-230							
K-40	3,7E+02 ± 2E+01	3,8E+02 ± 2E+01	3,4E+02 ± 2E+01	3,6E+02 ± 2E+01	5,8E+02 ± 3E+01	3,0E+02 ± 3E+01	3,9E+02 ± 1E+01
Be-7	1,3E+01 ± 2E+00	4,6E+00 ± 1E+00		1,4E+01 ± 1E+00	3,9E+01 ± 4E+00	2,8E+02 ± 1E+01	5,8E+01 ± 3E+00
I-131							
Cs-134							
Cs-137	3,8E+00 ± 3E-01	2,4E+00 ± 2E-01	2,6E+00 ± 4E-01	5,8E+00 ± 2E-01	1,3E+01 ± 7E-01	1,9E+00 ± 6E-01	5,0E+00 ± 2E-01
Co-58							
Co-60							
Cr-51							
Mn-54							
Zn-65							
Nb-95							
Ru-106							
Sb-125							
Sr-90	1,3E-01 ± 5E-02	1,4E-01 ± 6E-02	1,3E-01 ± 5E-02	1,9E-01 ± 8E-02	9,5E-02 ± 4E-02	3,2E-01 ± 1E-01	1,6E-01 ± 3E-02

(*) Število, ki sledi znaku ±, je negotovost povprečja (apriorna negotovost).

(**) Izhajanje radona iz posodice pri izračunu aktivnosti ni upoštevano.

LETO 2021 T – HE 8b
2. REKA SAVA – SEDIMENTI - posamični vzorci sedimentov



Izotopska analiza sevalcev gama (***) in specifična analiza Sr-90

Vzorč. mesto	HE Brežice, levi breg						
	Datum vzor.	2. 8. 2021	2. 9. 2021	1. 10. 2021	2. 11. 2021	1. 12. 2021	Mesečno povprečje (za celo leto) (*)
Kol. vzor. (g)	258,5	330,2	114,0	186,5	234,6	190,3	
Oznaka vzorca	SDHEL0721	SDHEL0821	SDHEL0921	SDHEL1021	SDHEL1121	SDHEL1221	
IZOTOP	SPECIFIČNA AKTIVNOST (Bq/kg)						
U-238	3,1E+01 ± 7E+00	3,9E+01 ± 5E+00	3,3E+01 ± 5E+00	2,2E+01 ± 7E+00	2,0E+01 ± 5E+00	2,7E+01 ± 5E+00	3,0E+01 ± 2E+00
Ra-226	3,5E+01 ± 9E-01	3,8E+01 ± 1E+00	2,6E+01 ± 8E-01	2,6E+01 ± 1E+00	3,0E+01 ± 7E-01	3,1E+01 ± 7E-01	3,1E+01 ± 3E-01
Pb-210	5,3E+01 ± 6E+00	5,2E+01 ± 6E+00	1,1E+02 ± 9E+00	6,0E+01 ± 8E+00	4,8E+01 ± 6E+00	7,1E+01 ± 6E+00	6,8E+01 ± 2E+00
Ra-228	3,4E+01 ± 2E+00	3,3E+01 ± 2E+00	2,5E+01 ± 2E+00	2,7E+01 ± 2E+00	3,1E+01 ± 1E+00	3,2E+01 ± 1E+00	3,1E+01 ± 4E-01
Th-228	3,0E+01 ± 2E+00	3,4E+01 ± 2E+00	2,0E+01 ± 2E+00	2,2E+01 ± 2E+00	3,2E+01 ± 1E+00	2,8E+01 ± 1E+00	2,8E+01 ± 5E-01
Th-230							
K-40	4,3E+02 ± 3E+01	4,5E+02 ± 3E+01	2,9E+02 ± 2E+01	3,6E+02 ± 2E+01	3,8E+02 ± 2E+01	4,1E+02 ± 2E+01	3,9E+02 ± 7E+00
Be-7	1,2E+01 ± 2E+00	1,4E+01 ± 3E+00	9,0E+01 ± 5E+00	3,5E+01 ± 4E+00	2,0E+01 ± 2E+00	1,1E+01 ± 1E+00	4,4E+01 ± 1E+00
I-131							
Cs-134							
Cs-137	8,4E+00 ± 5E-01	8,2E+00 ± 5E-01	4,8E+00 ± 5E-01	3,6E+00 ± 5E-01	4,2E+00 ± 3E-01	6,2E+00 ± 3E-01	5,4E+00 ± 1E-01
Co-58							
Co-60							
Cr-51							
Mn-54							
Zn-65							
Nb-95							
Ru-106							
Sb-125							
Sr-90	2,9E-01 ± 1E-01	1,5E-01 ± 6E-02	2,3E-01 ± 9E-02	2,2E-01 ± 9E-02	2,3E-01 ± 9E-02	4,6E-01 ± 5E-01 †	2,1E-01 ± 5E-02

(*) Število, ki sledi znaku ±, je negotovost povprečja (apriorna negotovost).

(**) Izhajanje radona iz posodice pri izračunu aktivnosti ni upoštevano.

(†) Rezultat meritve je pod mejo kvantifikacije.

LETO 2021 T – HE 9a
2. REKA SAVA – SEDIMENTI - posamični vzorci sedimentov



Izotopska analiza sevalcev gama (***) in specifična analiza Sr-90

Vzorč. mesto	HE Brežice, desni breg						
Datum vzor.	4. 1. 2021	3. 2. 2021	1. 3. 2021	1. 4. 2021	3. 5. 2021	1. 6. 2021	Mesečno povprečje (za 1. polletje) (*)
Kol. vzor. (g)	327,2	110,5	143,4	317,5	338,1	309,8	
Oznaka vzorca	SDHED0121	SDHED0221	SDHED0321	SDHED0421	SDHED0521	SDHED0621	
IZOTOP	SPECIFIČNA AKTIVNOST (Bq/kg)						
U-238	2,7E+01 ± 6E+00	2,1E+01 ± 3E+00	2,6E+01 ± 6E+00	2,7E+01 ± 5E+00	3,7E+01 ± 7E+00	3,7E+01 ± 8E+00	2,9E+01 ± 2E+00
Ra-226	3,8E+01 ± 8E-01	2,1E+01 ± 5E-01	3,0E+01 ± 7E-01	3,2E+01 ± 6E-01	3,6E+01 ± 7E-01	3,4E+01 ± 8E-01	3,2E+01 ± 3E-01
Pb-210	3,9E+01 ± 5E+00	1,1E+02 ± 9E+00	5,7E+01 ± 6E+00	4,0E+01 ± 4E+00	6,2E+01 ± 6E+00	4,1E+01 ± 5E+00	5,8E+01 ± 2E+00
Ra-228		2,1E+01 ± 1E+00	2,6E+01 ± 1E+00	3,2E+01 ± 1E+00	3,8E+01 ± 1E+00	3,6E+01 ± 1E+00	2,5E+01 ± 4E-01
Th-228	2,7E+01 ± 1E+00		2,5E+01 ± 1E+00	3,0E+01 ± 1E+00	3,3E+01 ± 1E+00	3,2E+01 ± 2E+00	2,5E+01 ± 5E-01
Th-230							
K-40	3,6E+02 ± 2E+01	2,9E+02 ± 2E+01		4,1E+02 ± 2E+01	4,8E+02 ± 2E+01	4,5E+02 ± 2E+01	3,3E+02 ± 8E+00
Be-7	1,2E+01 ± 2E+00	3,3E+01 ± 2E+00	1,0E+01 ± 2E+00	8,2E+00 ± 1E+00	1,6E+01 ± 1E+00	1,8E+01 ± 3E+00	1,6E+01 ± 8E-01
I-131							
Cs-134							
Cs-137	3,3E+00 ± 3E-01	6,2E+00 ± 3E-01	2,7E+00 ± 2E-01	4,4E+00 ± 2E-01	1,1E+01 ± 4E-01	9,0E+00 ± 4E-01	6,1E+00 ± 1E-01
Co-58							
Co-60							
Cr-51							
Mn-54							
Zn-65							
Nb-95							
Ru-106							
Sb-125							
Sr-90	1,2E-01 ± 5E-02	4,9E-01 ± 2E-01	1,8E-01 ± 7E-02	2,2E-01 ± 9E-02	1,4E-01 ± 6E-02	5,1E-01 ± 2E-01	2,7E-01 ± 5E-02

(*) Število, ki sledi znaku ±, je negotovost povprečja (apriorna negotovost).

(**) Izhajanje radona iz posodice pri izračunu aktivnosti ni upoštevano.

LETO 2021 T – HE 9b
2. REKA SAVA – SEDIMENTI - posamični vzorci sedimentov



Izotopska analiza sevalcev gama (***) in specifična analiza Sr-90

Vzorč. mesto	HE Brežice, desni breg						
Datum vzor.	1. 7. 2021	2. 8. 2021	2. 9. 2021	1. 10. 2021	2. 11. 2021	1. 12. 2021	Mesečno povprečje (za celo leto) (*)
Kol. vzor. (g)	189,0	273,7	132,8	432,0	239,3	194,9	
Oznaka vzorca	SDHED0721	SDHED0821	SDHED0921	SDHED1021	SDHED1121	SDHED1221	
IZOTOP	SPECIFIČNA AKTIVNOST (Bq/kg)						
U-238	3,2E+01 ± 6E+00	4,1E+01 ± 5E+00	2,6E+01 ± 5E+00	2,7E+01 ± 7E+00	3,2E+01 ± 6E+00	3,1E+01 ± 7E+00	3,0E+01 ± 2E+00
Ra-226	3,6E+01 ± 7E-01	3,7E+01 ± 8E-01	2,2E+01 ± 9E-01	2,9E+01 ± 1E+00	3,5E+01 ± 7E-01	3,6E+01 ± 1E+00	3,2E+01 ± 2E-01
Pb-210	7,3E+01 ± 6E+00	4,9E+01 ± 4E+00	1,1E+02 ± 1E+01	2,7E+01 ± 5E+00	7,2E+01 ± 6E+00	5,3E+01 ± 7E+00	6,1E+01 ± 2E+00
Ra-228	3,7E+01 ± 1E+00	3,6E+01 ± 1E+00	2,4E+01 ± 2E+00	2,9E+01 ± 2E+00	3,7E+01 ± 1E+00	3,8E+01 ± 2E+00	2,9E+01 ± 4E-01
Th-228	3,0E+01 ± 1E+00		2,2E+01 ± 2E+00	2,9E+01 ± 2E+00	3,2E+01 ± 1E+00	3,6E+01 ± 2E+00	2,7E+01 ± 4E-01
Th-230							
K-40	4,6E+02 ± 2E+01	4,4E+02 ± 2E+01	2,8E+02 ± 2E+01	3,5E+02 ± 3E+01	4,6E+02 ± 2E+01	4,6E+02 ± 3E+01	3,7E+02 ± 6E+00
Be-7	1,4E+01 ± 1E+00	1,8E+01 ± 2E+00	1,7E+02 ± 9E+00		1,4E+01 ± 1E+00	1,3E+01 ± 3E+00	2,8E+01 ± 9E-01
I-131							
Cs-134							
Cs-137	7,4E+00 ± 3E-01	5,6E+00 ± 3E-01	6,3E+00 ± 6E-01	1,4E+00 ± 4E-01	1,1E+01 ± 4E-01	1,2E+01 ± 7E-01	6,7E+00 ± 1E-01
Co-58							
Co-60							
Cr-51							
Mn-54							
Zn-65							
Nb-95							
Ru-106							
Sb-125							
Sr-90	1,8E-01 ± 7E-02	5,1E-02 ± 2E-02	5,0E-01 ± 6E-01	1,6E-01 ± 7E-02	9,8E-02 ± 4E-02	2,2E-01 ± 9E-02	2,4E-01 ± 6E-02

(*) Število, ki sledi znaku ±, je negotovost povprečja (apriorna negotovost).

(**) Izhajanje radona iz posodice pri izračunu aktivnosti ni upoštevano.

LETO 2021 T – HE 10
2. REKA SAVA – VODNA BIOTA - RIBE



Izotopska analiza sevalcev gama (**) in specifična analiza Sr-90

Vzorč. mesto	HE Brežice, nad jezo				
Vrsta vzorca	krap	podust	krap	mrena	Povprečje za vzorčevalno mesto (*)
Datum vzor.	11. 3. 2021	4. 6. 2021	10. 9. 2021	29. 10. 2021	
Masa vzorca (g)	630,0	750,0	536,0	456,0	
Oznaka vzorca	RIHEJK121	RIHEJK221	RIHEJK321	RIHEJK421	
IZOTOP	SPECIFIČNA AKTIVNOST (Bq/kg)				
U-238		3,9E-01 ± 2E-01			9,6E-02 ± 4E-02
Ra-226	1,5E-01 ± 2E-02		8,1E-01 ± 5E-02		2,4E-01 ± 1E-02
Pb-210	3,9E-01 ± 5E-02	4,4E-01 ± 2E-01		3,9E-01 ± 2E-01	3,1E-01 ± 6E-02
Ra-228	9,6E-02 ± 2E-02	1,2E-01 ± 9E-02	1,4E-01 ± 7E-02	1,6E-01 ± 5E-02	1,3E-01 ± 3E-02
Th-228				8,9E-02 ± 5E-02	2,2E-02 ± 1E-02
Th-230					
K-40	1,1E+02 ± 7E+00	6,0E+01 ± 4E+00	9,4E+01 ± 6E+00	9,9E+01 ± 7E+00	9,1E+01 ± 3E+00
Be-7					
I-131					
Cs-134					
Cs-137	1,8E-02 ± 6E-03	7,1E-02 ± 3E-02	2,9E-02 ± 1E-02	3,2E-02 ± 1E-02	3,7E-02 ± 9E-03
Co-58					
Co-60					
Cr-51					
Mn-54					
Zn-65					
Nb-95					
Ru-106					
Sb-125					
Sr-90	2,6E-02 ± 1E-02	1,5E-02 ± 6E-03	2,7E-02 ± 1E-02	2,4E-02 ± 1E-02	2,3E-02 ± 5E-03

(*) Število, ki sledi znaku ±, je negotovost povprečja (apriorna negotovost).

(**) Izhajanje radona iz posodice pri izračunu aktivnosti ni upoštevano.

LETO 2021 T – HE 11
2. REKA SAVA – VODNA BIOTA - RIBE



Izotopska analiza sevalcev gama (**) in specifična analiza Sr-90

Vzorč. mesto	HE Brežice, nad jezo v akumulaciji		
Vrsta vzorca	krap	podust	Povprečje za vzorčevalno mesto (*)
Datum vzor.	4. 6. 2021	10. 9. 2021	
Masa vzorca (g)	664,0	508,0	
Oznaka vzorca	RIHEAP121	RIHEAP221	
IZOTOP	SPECIFIČNA AKTIVNOST (Bq/kg)		
U-238		4,1E-01 ± 3E-01	2,1E-01 ± 3E-01
Ra-226	4,4E-01 ± 3E-02	1,1E-01 ± 3E-02	2,7E-01 ± 3E-02
Pb-210	5,3E-01 ± 1E-01	5,2E-02 ± 2E-02	2,9E-01 ± 2E-02
Ra-228		1,5E-01 ± 1E-01	7,7E-02 ± 1E-01
Th-228			
Th-230			
K-40	5,6E+01 ± 4E+00	9,5E+01 ± 5E+00	7,6E+01 ± 5E+00
Be-7			
I-131			
Cs-134			
Cs-137	3,7E-02 ± 2E-02	6,9E-02 ± 3E-02	5,3E-02 ± 3E-02
Co-58			
Co-60			
Cr-51			
Mn-54			
Zn-65			
Nb-95			
Ru-106			
Sb-125			
Sr-90	3,9E-02 ± 5E-02 ‡	2,2E-02 ± 9E-03	3,1E-02 ± 9E-03

(*) Število, ki sledi znaku ±, je negotovost povprečja (apriorna negotovost).

(**) Izhajanje radona iz posodice pri izračunu aktivnosti ni upoštevano.

(‡) Rezultat meritve je pod mejo kvantifikacije.

LETO 2021 T – HE 12
3. VRTINA VOP-1 – posamični vzorci

Specifična analiza H-3 (**)

Vzorč. mesto	Vrbina - vrtina VOP-1/06						
Datum vzor.	18. 1. 2021	16. 2. 2021	16. 3. 2021	19. 4. 2021	17. 5. 2021	16. 6. 2021	Mesečno povprečje (za 1. polletje) (*)
Kol. vzorca (L)	1,00	1,00	1,00	1,00	1,00	1,00	
Oznaka vzorca	K21VRP111	K21VRP121	K21VRP131	K21VRP141	K21VRP151	K21VRP161	
IZOTOP	KONCENTRACIJA AKTIVNOSTI (Bq/m ³)						
H-3	8,5E+02 ± 8E+01	7,4E+02 ± 6E+01	6,7E+02 ± 6E+01	7,5E+02 ± 7E+01	9,3E+02 ± 8E+01	8,5E+02 ± 8E+01	8,0E+02 ± 3E+01

Vzorč. mesto	Vrbina - vrtina VOP-1/06						
Datum vzor.	19. 7. 2021	16. 8. 2021	16. 9. 2021	18. 10. 2021	16. 11. 2021	16. 12. 2021	Mesečno povprečje (za celo leto) (*)
Kol. vzorca (L)	1,00	1,00	1,00	1,00	1,00	1,00	
Oznaka vzorca	K21VRP171	K21VRP181	K21VRP191	K21VRP1A1	K21VRP1B1	K21VRP1C1	
IZOTOP	KONCENTRACIJA AKTIVNOSTI (Bq/m ³)						
H-3	9,1E+02 ± 8E+01	1,0E+03 ± 9E+01	8,3E+02 ± 7E+01	7,3E+02 ± 7E+01	7,8E+02 ± 7E+01	8,5E+02 ± 8E+01	8,2E+02 ± 2E+01

(*) Število, ki sledi znaku ±, je negotovost povprečja (apriorna negotovost).

(**) Radiokemijske analize H-3 so bile opravljene na IJS na Odseku F-2.

LETO 2021 T – HE 13
3. VRTINA V-12/77 – posamični vzorci

Specifična analiza H-3 (**)

Vzorč. mesto	Amerika - vrtina V-12/77						
Datum vzor.	18. 1. 2021	16. 2. 2021	16. 3. 2021	19. 4. 2021	17. 5. 2021	16. 6. 2021	Mesečno povprečje (za 1. polletje) (*)
Kol. vzorca (L)	1,00	1,00	1,00	1,00	1,00	1,00	
Oznaka vzorca	K21VRP127711	K21VRP127721	K21VRP127731	K21VRP127741	K21VRP127751	K21VRP127761	
IZOTOP	KONCENTRACIJA AKTIVNOSTI (Bq/m ³)						
H-3	1,3E+03 ± 1E+02	1,2E+03 ± 1E+02	1,3E+03 ± 1E+02	1,5E+03 ± 1E+02	1,2E+03 ± 1E+02	1,3E+03 ± 2E+02	1,3E+03 ± 5E+01

Vzorč. mesto	Amerika - vrtina V-12/77						
Datum vzor.	19. 7. 2021	16. 8. 2021	16. 9. 2021	18. 10. 2021	16. 11. 2021	16. 12. 2021	Mesečno povprečje (za celo leto) (*)
Kol. vzorca (L)	1,00	1,00	1,00	1,00	1,00	1,00	
Oznaka vzorca	K21VRP127771	K21VRP127781	K21VRP127791	K21VRP1277A1	K21VRP1277B1	K21VRP1277C1	
IZOTOP	KONCENTRACIJA AKTIVNOSTI (Bq/m ³)						
H-3	1,3E+03 ± 1E+02	1,2E+03 ± 1E+02	1,1E+03 ± 9E+01	1,2E+03 ± 9E+01	1,3E+03 ± 1E+02	1,5E+03 ± 1E+02	1,3E+03 ± 3E+01

(*) Število, ki sledi znaku ±, je negotovost povprečja (apriorna negotovost).

(**) Radiokemijske analize H-3 so bile opravljene na IJS na Odseku F-2.

LETO 2021 T – HE 14
3. VRTINA V-7/77 – posamični vzorci

Specifična analiza H-3 (**)

Vzorč. mesto	Gmajnice - vrtina V-7/77						
Datum vzor.	18. 1. 2021	16. 2. 2021	16. 3. 2021	19. 4. 2021	17. 5. 2021	16. 6. 2021	Mesečno povprečje (za 1. polletje) (*)
Kol. vzorca (L)	1,00	1,00	1,00	1,00	1,00	1,00	
Oznaka vzorca	K21VRP77711	K21VRP77721	K21VRP77731	K21VRP77741	K21VRP77751	K21VRP77761	
IZOTOP	KONCENTRACIJA AKTIVNOSTI (Bq/m ³)						
H-3	1,3E+03 ± 1E+02	1,8E+03 ± 1E+02	2,3E+03 ± 2E+02	2,8E+03 ± 2E+02	3,8E+03 ± 3E+02	5,2E+03 ± 4E+02	2,9E+03 ± 1E+02

Vzorč. mesto	Gmajnice - vrtina V-7/77						
Datum vzor.	19. 7. 2021	16. 8. 2021	16. 9. 2021	18. 10. 2021	16. 11. 2021	16. 12. 2021	Mesečno povprečje (za celo leto) (*)
Kol. vzorca (L)	1,00	1,00	1,00	1,00	1,00	1,00	
Oznaka vzorca	K21VRP77771	K21VRP77781	K21VRP77791	K21VRP777A1	K21VRP777B1	K21VRP777C1	
IZOTOP	KONCENTRACIJA AKTIVNOSTI (Bq/m ³)						
H-3	4,4E+03 ± 4E+02	3,1E+03 ± 2E+02	7,9E+02 ± 6E+01	1,7E+03 ± 1E+02	1,8E+03 ± 2E+02	1,8E+03 ± 2E+02	2,6E+03 ± 7E+01

(*) Število, ki sledi znaku ±, je negotovost povprečja (apriorna negotovost).

(**) Radiokemijske analize H-3 so bile opravljene na IJS na Odseku F-2.

**TABELE
REZULTATOV
PRIMERJALNIH MERITEV**

REZULTATI PREVERJANJA
IAEA-TEL-2021-04 ALMERA proficiency test
on the determination of anthropogenic and natural radionuclides in water,
Japanese bamboo and smear samples
ALMERA, IAEA, Terrestrial Environment Laboratory

V juliju 2021 je Terrestrial Environment Laboratory z IAEA razposlal 4 vzorce umetno kontaminirane vode, vzorec japonskega bambusa in 2 vzorca simuliranih brisov za določanje vsebnosti naravnih in umetnih radionuklidov. Pri tem preverjanju je sodeloval IJS, Odsek F-2 pri določitvi sevalcev gama z visokoločljivostno spektrometrijo gama ter vsebnosti H-3 v vzorcu vode št. 2. Končne individualne rezultate smo prejeli novembra 2021 [*Individual Evaluation Report for Laboratory No. 40 (IJS, Odsek F-2) for the ALMERA Proficiency Test IAEA-TEL-2021-04, IAEA, Terrestrial Environment Laboratory, S. Tarjan, Seibersdorf, November 2021*].

V naslednjih 5 tabelah so zbrani rezultati analiz IJS (koda laboratorija 40 za Odsek F-2) in primerjave rezultatov z referenčnimi vrednostmi IAEA. Vzorec vode št. 3 je bil referenčni in je imel vnaprej podane vrednosti za vse radionuklide, zato v individualnem poročilu ni rezultatov za ta vzorec. En vzorec brisa je bil nekontaminiran (referenčni), rezultate smo poročali le za vzorec številka 7 (kontaminiran bris). Ti rezultati so bili kombinacija meritev dveh brisov, 7A in 7B.

IAEA je rezultate meritev ovrednotila na podlagi določitve relativnega odstopanja *Bias*:

$$Bias = \frac{Value_{reported} - Value_{target}}{Value_{target}} \cdot 100 \%$$

Le-tega so primerjali z največjim dopustnim odstopanjem (*MARB*), ki je bil določen individualno za vsak posamezen radionuklid. Kadar je vrednost relativnega odstopanja manjša ali enaka *MARB*, je rezultat sprejemljiv glede na točnost (accuracy).

$$P = \sqrt{\left(\frac{U_{target}}{Value_{target}}\right)^2 + \left(\frac{U_{reported}}{Value_{reported}}\right)^2} \cdot 100 \%$$

$$|Bias| \leq k \cdot P, \quad k = 2,58$$

kjer je *k* je faktor pokritja in je 2,58 za interval zaupanja 99 %. Če je $|Bias| \leq k \cdot P$ in $P \leq MARB$, je rezultat interkomparacije sprejemljiv glede na preciznost (precision).

Dodatni kriterij, ki ga IAEA uporablja za primerjavo rezultatov, je Z-test:

$$Z = \left| \frac{Value_{reported} - Value_{target}}{roboustSD} \right|$$

kjer je *roboustSD* standardna deviacija rezultatov interkomparacije brez outlierjev. Kriteriji za ovrednotenje so:

$Z < 2$: acceptable, $2 \leq Z \leq 3$: warning, $Z > 3$: not acceptable

Poleg tega smo sami naredili še ζ -test:

$$\zeta\text{-test} = \frac{Value_{reported} - Value_{target}}{\sqrt{u_{reported}^2 + u_{target}^2}}$$

Rezultati so sprejemljivi, če je ζ -test < 2 . Vrednosti ζ -testov smo sami določili za vse vzorce.

REZULTATI IJS (Odsek F-2):

IAEA-TEL-2021-04 Sample 01, Spiked Water analize IJS opravljene <i>julija 2021</i> , individualni rezultati objavljeni <i>novembra 2021</i>						
IZOTOP	IAEA	IJS Lab. No. 40	Rel. odmik (%)	ζ-preskus	Z-preskus	Končna ocena
	(Bq/kg)					
Am-241	60,9 ± 2,7	62,5 ± 1,9	2,63	0,48	0,08	A
Co-60	74,2 ± 3,3	74,4 ± 2,2	0,27	0,05	0,02	A
Cs-134	113,2 ± 5,1	109,2 ± 3,3	-3,53	-0,66	0,13	A
Cs-137	69,2 ± 3,1	67,0 ± 2,0	-3,18	-0,60	0,83	A

IAEA-TEL-2021-04 Sample 02, Spiked Water analize IJS opravljene <i>julija, septembra in oktobra 2021</i> , individualni rezultati objavljeni <i>novembra 2021</i>						
IZOTOP	IAEA	IJS Lab. No. 40	Rel. odmik (%)	ζ-preskus	Z-preskus	Končna ocena
	(Bq/kg)					
Am-241	108,3 ± 4,9	107,2 ± 3,3	-1,02	-0,19	0,08	A
Ba-133	147,3 ± 6,6	137,3 ± 4,1	-6,79	-1,29	0,83	A
Cs-137	147,4 ± 6,6	138,8 ± 4,2	-5,83	-1,10	1,08	A
Eu-152*	3,01 ± 0,37	3,0 ± 0,2	-0,33	-0,02	0,03	A
H-3*	1653,6 ± 98,2	1620 ± 50	2,03	0,30	0,34	A

* Radionuklida Eu-152 in H-3 nimata določene referenčne vrednosti IAEA. V tem primeru je primerjava narejena s povprečno vrednostjo sodelujočih laboratorijev in pripadajočo robustno standardno deviacijo. Le-ta je navedena v stolpcu IAEA.

IAEA-TEL-2021-04 Sample 03, Spiked Water, QC sample analiza IJS opravljena <i>julija, septembra in oktobra 2021</i>					
IZOTOP	IAEA	IJS* Lab. No. 40	Rel. odmik (%)	ζ-preskus	Končna ocena
	(Bq/kg)				
Ba-133	58,7 ± 0,4	56,1 ± 1,7	-4,43	-1,49	A
Eu-152	115,7 ± 3,5	122,4 ± 3,7	5,79	1,32	A

<p align="center">IAEA-TEL-2021-04 Sample 04, Japanese Bamboo analize IJS opravljene <i>julija, septembra in oktobra 2021</i>, individualni rezultati objavljeni <i>novembra 2021</i></p>						
IZOTOP	IAEA	IJS Lab. No. 40	Rel. odmik (%)	ζ-preskus	Z-preskus	Končna ocena
	(Bq/kg)					
Cs-134	86,6 ± 4	81,4 ± 2,5	-6,00	-1,10	0,03	A
Cs-137	2063 ± 93	1890 ± 60	-8,39	-1,56	0,27	A
K-40	97,9 ± 7,2	86,9 ± 2,9	-11,24	-1,42	0,38	A

<p align="center">IAEA-TEL-2021-04 Sample 05, Spiked Water analize IJS opravljene <i>julija in septembra 2021</i>, individualni rezultati objavljeni <i>novembra 2021</i></p>						
IZOTOP	IAEA	IJS Lab. No. 40	Rel. odmik (%)	ζ-preskus	Z-preskus	Končna ocena
	(Bq/kg)					
Cs-134	19,05 ± 0,86	18,2 ± 0,6	-4,46	-0,81	0,23	A
Cs-137	26,02 ± 1,17	24,9 ± 0,8	-4,30	-0,79	0,91	A
Am-241*	4,85 ± 0,57	5,0 ± 0,2	3,09	0,25	0,26	A

* Radionuklid Am-241 nima določene referenčne vrednosti IAEA. V tem primeru je primerjava narejena s povprečno vrednostjo sodelujočih laboratorijev in pripadajočo robustno standardno deviacijo. Le-ta je navedena v stolpcu IAEA.

<p align="center">IAEA-TEL-2021-04 Sample 07, "Simulated swipe sample" analize IJS opravljene <i>julija in oktobra 2021</i>, individualni rezultati objavljeni <i>novembra 2021</i></p>						
IZOTOP	IAEA	IJS Lab. No. 40	Rel. odmik (%)	ζ-preskus	Z-preskus	Končna ocena
	(Bq/filter)					
Cs-137	11,2 ± 0,6	11,6 ± 0,4	3,57	0,55	0,34	A

REZULTATI PREVERJANJA
IAEA-TEL-2021-03 World-wide open proficiency test
on the determination of anthropogenic and natural radionuclides in water,
Japanese bamboo and smear samples
ALMERA, IAEA, Terrestrial Environment Laboratory

V juliju 2021 je Terrestrial Environment Laboratory z IAEA razposlal 4 vzorce umetno kontaminirane vode, vzorec japonskega bambusa in 2 vzorca simuliranih brisov za določanje vsebnosti naravnih in umetnih radionuklidov. Pri tem preverjanju so sodelovali ZVD in IRB pri določitvi sevalcev gama in Sr-90. IRB je določil tudi aktivnost tritija. Poleg tega je sodeloval še IJS, Odsek O-2 pri določitvi Sr-90 in H-3 v vzorcu vode št. 2. Končne individualne rezultate so izvajalci prejeli novembra in decembra 2021 [*Individual Evaluation Report for Laboratory No. 14 (IRB) for the World-Wide Open Proficiency Test IAEA-TEL-2021-03, Individual Evaluation Report for Laboratory No. 146 (ZVD) for the World-Wide Open Proficiency Test IAEA-TEL-2021-03 in Individual Evaluation Report for Laboratory No. 220 (IJS, Odsek O-2) for the World-Wide Open Proficiency Test IAEA-TEL-2021-03, IAEA, Terrestrial Environment Laboratory, S. Tarjan, Seibersdorf, november in december 2021*].

V prvih petih tabelah v nadaljevanju so zbrani rezultati analiz IRB (koda laboratorija 14), sledi jim ena tabela z rezultati IJS, Odseka O-2 (koda laboratorija 220), nato pa so v naslednjih petih tabelah zbrani rezultati ZVD (koda laboratorija 146). V vseh tabelah so tudi primerjave rezultatov z referenčnimi vrednostmi IAEA. Vzorec vode št. 3 je bil referenčni in je imel vnaprej podane vrednosti za vse radionuklide, zato v individualnih poročilih ni rezultatov za ta vzorec. Vsi vzorci pri tej interkomparaciji so bili enaki kot pri predhodni interkomparaciji IAEA-TEL-2021-04.

Kriteriji za ovrednotenje interkomparacij IAEA so pri vseh interkomparacijah enaki. Podrobno so opisani pri interkomparaciji IAEA-TEL-2021-04 ALMERA proficiency test on the determination of anthropogenic and natural radionuclides in water, Japanese bamboo and smear samples.

REZULTATI IRB:

IAEA-TEL-2021-03					
Sample 01, Spiked Water					
analize IRB opravljene <i>septembra in oktobra 2021</i> , individualni rezultati objavljeni <i>novembra 2021</i>					
IZOTOP	IAEA	IRB Lab. No. 14	Rel. odmik (%)	Z-preskus	Končna ocena
	(Bq/kg)				
Am-241	60,9 ± 2,7	61,7 ± 4,5	1,31	0,12	A
Co-60	74,2 ± 3,3	74,8 ± 3,4	0,81	0,10	A
Cs-134	113,2 ± 5,1	111,1 ± 6,1	-1,86	0,18	A
Cs-137	69,2 ± 3,1	69,4 ± 3,8	0,29	0,09	A

IAEA-TEL-2021-03 Sample 02, Spiked Water analize IRB opravljene <i>septembra in oktobra 2021</i> , individualni rezultati objavljeni <i>novembra 2021</i>					
IZOTOP	IAEA	IRB Lab. No. 14	Rel. odmik (%)	Z-preskus	Končna ocena
	(Bq/kg)				
Am-241	108,3 ± 4,9	113,9 ± 8,2	5,17	0,75	A
Ba-133	147,3 ± 6,6	148,1 ± 10,5	0,54	0,68	A
Cs-137	147,4 ± 6,6	146,2 ± 8,0	-0,81	0,17	A
Sr-90	146,8 ± 8,4	138,5 ± 4,5	-5,65	0,42	A
Eu-152*	3,01 ± 0,37	2,9 ± 0,6	-5,2	0,30	A
H-3*	1653,6 ± 98,2	1760,0 ± 70,7	1,54	1,08	A

* Radionuklida Sr-90 in H-3 nimata določene referenčne vrednosti IAEA. V tem primeru je primerjava narejena s povprečno vrednostjo sodelujočih laboratorijev in pripadajočo robustno standardno deviacijo. Le-ta je navedena v stolpcu IAEA.

IAEA-TEL-2021-03 Sample 04, Japanese Bamboo analize IRB opravljene <i>septembra in oktobra 2021</i> , individualni rezultati objavljeni <i>novembra 2021</i>					
IZOTOP	IAEA	IRB Lab. No. 14	Rel. odmik (%)	Z-preskus	Končna ocena
	(Bq/kg)				
Cs-134	86,6 ± 4	2089 ± 111	2312,24	200,79	N
Cs-137	2063 ± 93	87,9 ± 87,9	-95,74	10,26	N

IAEA-TEL-2021-03 Sample 05, Spiked Water analize IRB opravljene <i>septembra in oktobra 2021</i> , individualni rezultati objavljeni <i>novembra 2021</i>					
IZOTOP	IAEA	IRB Lab. No. 14	Rel. odmik (%)	Z-preskus	Končna ocena
	(Bq/kg)				
Cs-134	19,05 ± 0,86	19,1 ± 1,1	0,26	0,53	A
Cs-137	26,02 ± 1,17	26,6 ± 1,5	2,23	0,40	A
Am-241*	4,85 ± 0,57	5,0 ± 0,5	3,09	0,26	A

* Radionuklid Am-241 nima določene referenčne vrednosti IAEA. V tem primeru je primerjava narejena s povprečno vrednostjo sodelujočih laboratorijev in pripadajočo robustno standardno deviacijo. Le-ta je navedena v stolpcu IAEA.

IAEA-TEL-2021-03 Sample 07, "Simulated swipe sample" analize IRB opravljene <i>septembra in oktobra 2021</i> , individualni rezultati objavljeni <i>novembra 2021</i>					
IZOTOP	IAEA	IRB Lab. No. 14	Rel. odmik (%)	Z-preskus	Končna ocena
	(Bq/filter)				
Cs-137	11,2 ± 0,6	10,5 ± 0,5	-6,25	1,05	A

REZULTATI IJS, Odsek O-2:

IAEA-TEL-2021-03 Sample 02, Spiked Water analize IJS, Odsek O-2 opravljene <i>od julija do avgusta 2021</i> , individualni rezultati objavljeni <i>novembra 2021</i>					
IZOTOP	IAEA	IJS, Odsek F-2 Lab. No. 220	Rel. odmik (%)	Z-preskus	Končna ocena
	(Bq/kg)				
Sr-90	146,8 ± 8,4	150 ± 8	2,18	0,65	A
H-3*	1653,6 ± 98,2	1642 ± 21	0,70	0,12	A

* Radionuklid H-3 nima določene referenčne vrednosti IAEA. V tem primeru je primerjava narejena s povprečno vrednostjo sodelujočih laboratorijev in pripadajočo robustno standardno deviacijo. Le-ta je navedena v stolpcu IAEA.

REZULTATI ZVD:

IAEA-TEL-2021-03 Sample 01, Spiked Water analize ZVD opravljene <i>septembra 2021</i> , individualni rezultati objavljeni <i>decembra 2021</i>					
IZOTOP	IAEA	ZVD Lab. No. 146	Rel. odmik (%)	Z-preskus	Končna ocena
	(Bq/kg)				
Am-241	60,9 ± 2,7	59,5 ± 6,0	-2,30	0,35	A
Co-60	74,2 ± 3,3	73,7 ± 2,5	-0,67	0,15	A
Cs-134	113,2 ± 5,1	111,7 ± 4,1	-1,33	0,25	A
Cs-137	69,2 ± 3,1	68,2 ± 4,2	-1,45	0,31	A

IAEA-TEL-2021-03 Sample 02, Spiked Water analize ZVD opravljene <i>septembra 2021</i> , individualni rezultati objavljeni <i>decembra 2021</i>					
IZOTOP	IAEA	ZVD Lab. No. 146	Rel. odmik (%)	Z-preskus	Končna ocena
	(Bq/kg)				
Am-241	108,3 ± 4,9	106,6 ± 10,9	-1,57	0,21	A
Ba-133	147,3 ± 6,6	154,3 ± 6,3	4,75	0,98	A
Cs-137	147,4 ± 6,6	143,9 ± 8,9	-2,37	0,59	A
Sr-90	146,8 ± 8,4	161 ± 28	9,67	1,32	A

IAEA-TEL-2021-03 Sample 04, Japanese Bamboo analize ZVD opravljene <i>septembra 2021</i> , individualni rezultati objavljeni <i>decembra 2021</i>					
IZOTOP	IAEA	ZVD Lab. No. 146	Rel. odmik (%)	Z-preskus	Končna ocena
	(Bq/kg)				
Cs-134	86,6 ± 4	90,5 ± 2,2	4,50	0,39	A
Cs-137	2063 ± 93	2120 ± 59	2,76	0,32	A
K-40	97,9 ± 7,2	97,6 ± 11,6	-0,31	0,02	A

IAEA-TEL-2021-03 Sample 05, Spiked Water analize ZVD opravljene <i>septembra 2021</i> , individualni rezultati objavljeni <i>decembra 2021</i>					
IZOTOP	IAEA	ZVD Lab. No. 146	Rel. odmik (%)	Z-preskus	Končna ocena
	(Bq/kg)				
Cs-134	19,05 ± 0,86	18,7 ± 0,9	-1,84	0,30	
Cs-137	26,02 ± 1,17	25,5 ± 1,6	-2,00	0,40	A
Am-241*	4,85 ± 0,57	4,4 ± 0,5	-9,28	0,79	A

* Radionuklid Am-241 nima določene referenčne vrednosti IAEA. V tem primeru je primerjava narejena s povprečno vrednostjo sodelujočih laboratorijev in pripadajočo robustno standardno deviacijo. Le-ta je navedena v stolpcu IAEA.

IAEA-TEL-2021-03 Sample 07, "Simulated swipe sample" analize ZVD opravljene <i>septembra 2021</i> , individualni rezultati objavljeni <i>decembra 2021</i>					
IZOTOP	IAEA	ZVD Lab. No. 146	Rel. odmik (%)	Z-preskus	Končna ocena
	(Bq/filter)				
Cs-137	11,2 ± 0,6	11,1 ± 0,4	-0,89	0,13	A

REZULTATI PREVERJANJA
IAEA-TEL-2020-05 Proficiency test
on the determination of anthropogenic and natural radionuclides in
spiked water, stream sediment and simulated aerosol filter samples,
IAEA, Terrestrial Environment Laboratory

V juliju 2020 je Terrestrial Environment Laboratory z IAEA razposlal 2 vzorca umetno kontaminirane vode, vzorec sedimenta in 3 vzorce simuliranih aerosolnih filtrov za določanje vsebnosti naravnih in umetnih radionuklidov. Pri tem preverjanju je sodeloval IRB pri določitvi sevalcev gama. Končne individualne rezultate so prejeli aprila 2021 [*Individual Evaluation Report for Laboratory No. 31 (IRB) for the Proficiency Test IAEA-TEL-2020-05, Terrestrial Environment Laboratory, S. Tarjan, Seibersdorf, november in december 2021*].

V naslednjih petih tabelah so zbrani rezultati IRB (koda laboratorija 31). V vseh tabelah so tudi primerjave rezultatov z referenčnimi vrednostmi IAEA. Vzorec vode št. 2 je bil referenčni in je imel vnaprej podane vrednosti za vse radionuklide, zato v individualnem poročilu ni rezultatov za ta vzorec.

Kriteriji za ovrednotenje interkomparacij IAEA so pri vseh interkomparacijah enaki. Podrobno so opisani pri interkomparaciji IAEA-TEL-2021-04 ALMERA *proficiency test on the determination of anthropogenic and natural radionuclides in water, Japanese bamboo and smear samples*.

REZULTATI IRB:

IAEA-TEL-2020-05					
Sample 01, Spiked Water					
analize IRB opravljene <i>januarja in februarja 2021</i> , individualni rezultati objavljeni <i>aprila 2021</i>					
IZOTOP	IAEA	IRB Lab. No. 31	Rel. odmik (%)	Z-preskus	Končna ocena
	(Bq/kg)				
Ba-133	44,3 ± 1,2	42,5 ± 3,1	-4,06	0,73	A
Co-60	106,5 ± 2,5	107,7 ± 5,4	1,13	0,38	A
Cs-137	91,1 ± 2,4	90,8 ± 5,1	-0,33	0,21	A
Pb-210	91,7 ± 2,4	97,4 ± 9,8	6,22	1,15	A

IAEA-TEL-2020-05					
Sample 03, Stream sediment					
analize IRB opravljene <i>januarja in februarja 2021</i> , individualni rezultati objavljeni <i>aprila 2021</i>					
IZOTOP	IAEA	IRB Lab. No. 31	Rel. odmik (%)	Z-preskus	Končna ocena
	(Bq/kg)				
Bi-214	750 ± 30	794,0 ± 60,5	5,87	0,51	A
Ra-226	750 ± 30	790,5 ± 61,3	5,40	0,36	A

<p align="center">IAEA-TEL-2020-05 Sample 04, Simulated aerosol filter analize IRB opravljene <i>januarja in februarja 2021</i>, individualni rezultati objavljeni <i>aprila 2021</i></p>					
IZOTOP	IAEA	IRB Lab. No. 31	Rel. odmik (%)	Z-preskus	Končna ocena
	(Bq/filter)				
Cs-134	15,8 ± 0,8	15,1 ± 1,3	-4,43	0,47	A
Cs-137	37,6 ± 1,9	38,3 ± 2,4	1,86	0,22	A

<p align="center">IAEA-TEL-2020-05 Sample 05, Simulated aerosol filter analize IRB opravljene <i>januarja in februarja 2021</i>, individualni rezultati objavljeni <i>aprila 2021</i></p>					
IZOTOP	IAEA	IRB Lab. No. 31	Rel. odmik (%)	Z-preskus	Končna ocena
	(Bq/filter)				
Cs-134	11,2 ± 0,6	9,9 ± 0,7	-11,61	1,37	A
Cs-137	29,3 ± 1,5	29,0 ± 2,1	-1,02	0,13	A

<p align="center">IAEA-TEL-2020-05 Sample 06, Simulated aerosol filter analize IRB opravljene <i>januarja in februarja 2021</i>, individualni rezultati objavljeni <i>aprila 2021</i></p>					
IZOTOP	IAEA	IRB Lab. No. 31	Rel. odmik (%)	Z-preskus	Končna ocena
	(Bq/filter)				
Cs-134	20,5 ± 1,1	19,4 ± 1,7	-5,37	0,55	A
Cs-137	28,6 ± 1,5	29,0 ± 2,5	1,40	0,19	A

REZULTATI PREVERJANJA
IAEA-RML-2021-01
World-Wide Proficiency Test for Tritium, Strontium and
Gamma Emitters in Seawater 2021,
IAEA Environment Laboratories, Monaco, Radiometrics Laboratory

Septembra 2021 je IAEA (Environmental Laboratories, Monaco) razposlala vzorec morske vode iz Mediterana, kontaminirane s H-3, Sr-90, Cs-134, Cs-137 in »neznanim« radionuklidom. Pri tem preverjanju sta sodelovala odseka F-2 in O-2 z IJS. Odsek F-2 je opravil meritve vsebnosti radionuklidov z visokoločljivostno spektrometrijo gama (Cs-134, Cs-137, K-40, »neznani« radionuklid je bil Na-22) ter meritve vsebnosti H-3 s tekočinskoscintilacijsko spektrometrijo, Odsek O-2 pa je določil vsebnosti stroncija Sr-90 in tritija H-3.

Individualni poročili smo prejeli januarja 2022 [*Individual Evaluation Report for Sample Number S21N068 (LabCode 68) (IJS, Odsek F-2) for the World-Wide Proficiency Test IAEA-RML-2021-01 in Individual Evaluation Report for Sample Number S20N071 (LabCode 71) (IJS, Odsek O-2) for the World-Wide Proficiency Test IAEA-RML-2021-01, IAEA, Radiometrics Laboratory, NA Marine Environment Laboratory NA_MEL, Mai Khanh Pham, January 2022*].

IAEA je rezultate meritev ovrednotila na podlagi določitve relativnega odstopanja *Bias*:

$$Bias = \frac{Value_{reported} - Value_{target}}{Value_{target}} \cdot 100 \%$$

Le-tega so primerjali z največjim dopustnim odstopanjem (*MARB*), ki je bil določen individualno za vsak posamezen radionuklid. Kadar je vrednost relativnega odstopanja manjša ali enaka *MARB*, je rezultat sprejemljiv glede na točnost (accuracy).

$$P = \sqrt{\left(\frac{U_{target}}{Value_{target}}\right)^2 + \left(\frac{U_{reported}}{Value_{reported}}\right)^2} \cdot 100 \%$$

$$|Bias| \leq k \cdot P, \quad k = 2,58$$

Če je $|Bias| \leq k \cdot P$ in $P \leq MARB$, je rezultat interkomparacije sprejemljiv glede na preciznost (precision).

Poleg tega je Odsek F-2 naredil še ζ -test:

$$\zeta\text{-test} = \frac{Value_{reported} - Value_{target}}{\sqrt{u_{reported}^2 + u_{target}^2}}$$

Rezultati so ustrezni, če je $|\zeta\text{-test}| \leq 2$.

V naslednjih dveh tabelah so prikazani rezultati analiz IJS, Odsek F-2 (koda vzorca S20N068) in Odsek O-2 (koda vzorca S20N071) in primerjave z referenčnimi vrednostmi IAEA.

REZULTATI IJS (Odsek F-2):

IAEA-RML-2021-01 Spiked Mediterranean Seawater analize IJS, Odsek F-2, opravljene <i>novembra 2021</i> , individualni rezultati objavljeni <i>januarja 2022</i>						
IZOTOP	IAEA	IJS (koda vzorca S21N068)	Rel. odmik (%)	P (%)	ζ- preskus	Končna ocena
Cs-134	0,567 ± 0,003	0,550 ± 0,020	-3,0	3,7	-0,84	A
Cs-137	0,903 ± 0,007	0,870 ± 0,030	-3,7	3,5	-1,07	A
Na-22	1,402 ± 0,012	1,380 ± 0,040	-1,6	3,0	-0,53	A
H-3	4,482 ± 0,077	4,670 ± 0,180	4,2	4,2	0,96	A

REZULTATI IJS (Odsek O-2):

IAEA-RML-2021-01 Spiked Mediterranean Seawater analize IJS, Odsek O-2, opravljene <i>med oktobrom 2021 in decembrom 2021</i> , individualni rezultati objavljeni <i>januarja 2021</i>					
IZOTOP	IAEA	IJS (koda vzorca S21N071)	Rel. odmik (%)	P (%)	Končna ocena
H-3	4,456 ± 0,076	4,450 ± 0,270	-0,1	6,3	A
Sr-90	0,611 ± 0,005	0,592 ± 0,035	-3,1	6,0	A

**KONČNI REZULTATI MEDNARODNE PRIMERJAVE
ENVIRONMENTAL RADIOACTIVITY COMPARISON EXERCISE 2020
NPL – Velika Britanija**

AB, B1 – kontaminirani vodni raztopini

Novembra 2021 je bilo izdano končno poročilo za mednarodne primerjalne meritve "Environmental Radioactivity Comparison Exercise 2020" [NPL REPORT IR 59, Environmental Radioactivity Proficiency Test Exercise 2020, E.M. van Es, S.M. Collins, H. Muhamudl and R. Shearman, November 2021], kjer je sodeloval Odsek O-2 z IJS (koda laboratorija 106) pri meritvah vzorcev kontaminiranih vodnih raztopin B1 in AB: V teh vodnih raztopinah so določili vsebnosti H-3, C-14 in Sr-90. Končni rezultati analiz in primerjave z referenčnimi vrednostmi NPL so zbrane v naslednjih preglednicah. Pri statističnih ocenah so bile uporabljene naslednje zveze:

$$\text{odmik} = \frac{Value_{reported} - Value_{target}}{Value_{target}} \cdot 100 \%$$

$$\zeta\text{-preskus} = \frac{Value_{reported} - Value_{target}}{\sqrt{u_{reported}^2 + u_{target}^2}}$$

$$z\text{-preskus} = \frac{Value_{reported} - Value_{target}}{0,05823 \cdot Value_{target}}$$

REZULTATI IJS, Odsek O-2:

NPL – AB / Lab Code 106					
kontaminirana vodna raztopina					
analize IJS, Odsek O-2, opravljene <i>aprila in maja 2021</i>					
končno poročilo objavljeno <i>novembra 2021</i>					
IZOTOP	NPL	IJS	Rel.odmik (%)	ζ-preskus	Z-preskus
	(Bq/kg)				
H-3	6,375 ± 0,069	6,28 ± 0,09	-1,5	-0,84	-0,26
Sr-90	3,865 ± 0,010	3,75 ± 0,19	-3,0	-0,60	-0,51

NPL – B1 / Lab Code 106					
kontaminirana vodna raztopina					
analize IJS, Odsek O-2, opravljene <i>aprila in maja 2021</i>					
končno poročilo objavljeno <i>novembra 2021</i>					
IZOTOP	NPL	IJS	Rel.odmik (%)	ζ-preskus	Z-preskus
	(Bq/kg)				
H-3	0,5815 ± 0,0067	0,573 ± 0,010	-1,5	-0,71	-0,25
C-14	0,3253 ± 0,0015	0,307 ± 0,020	-5,6	-0,91	-0,97

REZULTATI PREVERJANJA

IARMA ERAD-PT-2021

Environmental Radioactivity Proficiency Test on the Determination of Natural and Anthropogenic Radionuclides in Mushroom and Water International Atomic Reference Material Agency (IARMA), Thurso, Highland, United Kingdom

V letu 2021 je IARMA, International Atomic Reference Material Agency iz Združenega kraljestva, priredila primerjalne meritve, kjer je bilo treba v 3 vzorcih umetno kontaminirane vode in enem vzorcu suhih gob določiti vsebnosti naravnih in umetnih radionuklidov. Pri tem preverjanju je sodeloval IJS, Odsek F-2 pri določitvi sevalcev gama v vzorcih vod in suhih gob z visokoločljivostno spektrometrijo gama. Individualno poročilo so prejeli decembra 2021 [IARMA ERAD-PT-2021, *Environmental Radioactivity Proficiency Test on the Determination of Natural and Anthropogenic Radionuclides in Mushroom and Water, Individual Evaluation Report for Laboratory Code 04, International Atomic Reference Material Agency (IARMA), Thurso, Highland, United Kingdom, januar 2021*].

V naslednjih 4 tabelah so zbrani rezultati analiz IJS (koda laboratorija 04 za Odsek F-2), primerjave z referenčnimi vrednostmi IARMA za umetne in naravne radionuklide v 3 vzorcih kontaminirane vode in enem vzorcu suhih gob.

REZULTATI IJS (Odsek F-2):

IARMA ERAD-PT-2021					
Sample IARMA-118, Water Sample					
analize IJS opravljene <i>oktobra 2021</i> , končni rezultati objavljeni <i>decembra 2021</i>					
IZOTOP	IARMA	IJS Lab. No. 04	Rel. Bias %	Z-preskus	Končna ocena
(Bq/kg)					
Co-57	<1	<0,09	–	–	A
Co-60	6,40 ± 0,20	6,65 ± 0,20	3,9	0,4	A
Ba-133	5,02 ± 0,20	4,84 ± 0,16	–3,6	–0,4	A
Cs-134	5,40 ± 0,20	5,57 ± 0,17	3,1	0,3	A
Cs-137	4,49 ± 0,18	4,68 ± 0,14	4,2	0,4	A
Eu-152	2,87 ± 0,10	3,17 ± 0,12	10,5	1,0	A
Th-232	4,80 ± 0,20	4,98 ± 0,11	3,8	0,4	A
U-238	7,20 ± 0,36	7,45 ± 0,99	3,5	0,3	A
Am-241	4,55 ± 0,18	5,10 ± 0,22	12,1	1,2	A

IARMA ERAD-PT-2021 Sample IARMA-119, Water Sample analize IJS opravljene <i>oktobra 2021</i> , končni rezultati objavljeni <i>decembra 2021</i>					
IZOTOP	IARMA	IJS Lab. No. 04	Rel. odmik (%)	Z-preskus	Končna ocena
Co-57	<1	<0,14	–	–	A
Co-60	8,54 ± 0,34	8,90 ± 0,27	4,2	0,4	A
Ba-133	7,20 ± 0,26	7,07 ± 0,36	–1,8	–0,2	A
Cs-134	6,93 ± 0,33	7,90 ± 0,24	14,0	1,4	A
Cs-137	5,80 ± 0,20	5,77 ± 0,17	–0,5	–0,1	A
Eu-152	5,86 ± 0,23	6,54 ± 0,20	11,6	1,2	A
Th-232	11,39 ± 0,40	11,62 ± 0,25	2,0	0,2	A
U-238	10,11 ± 0,50	11,20 ± 1,27	10,8	1,1	A
Am-241	9,37 ± 0,40	9,82 ± 0,37	4,8	0,5	A

IARMA ERAD-PT-2021 Sample IARMA-120, Water Sample analize IJS opravljene <i>oktobra 2021</i> , končni rezultati objavljeni <i>decembra 2021</i>					
IZOTOP	IARMA	IJS Lab. No. 04	Rel. odmik (%)	Z-preskus	Končna ocena
Co-57	<1	<0,15	–	–	A
Co-60	12,89 ± 0,40	13,56 ± 0,41	5,2	0,5	A
Ba-133	14,27 ± 0,50	14,05 ± 0,51	–1,5	–0,2	A
Cs-134	10,75 ± 0,40	not reported	–	–	–
Cs-137	7,96 ± 0,32	8,22 ± 0,25	3,3	0,3	A
Eu-152	14,39 ± 0,50	15,44 ± 0,47	7,3	0,7	A
Th-232	14,23 ± 0,40	14,59 ± 0,31	2,5	0,3	A
U-238	16,40 ± 0,65	13,91 ± 1,22	–15,2	–1,5	A
Am-241	13,82 ± 0,40	14,00 ± 0,43	1,3	0,1	A

IARMA ERAD-PT-2021 Sample IARMA-117, Mushroom analize IJS opravljene <i>oktobra 2021</i> , končni rezultati objavljeni <i>decembra 2021</i>					
IZOTOP	IARMA	IJS Lab. No. 04	Rel. odmik (%)	Z-preskus	Končna ocena
K-40	1526 ± 51	1444,0 ± 43,3	–5,4	–0,5	A
Co-57	<1	<0,4	–	–	A
Co-60	44,20 ± 2,00	42,99 ± 1,29	–2,7	–0,3	A
Ba-133	18,10 ± 0,72	18,57 ± 0,56	2,6	0,3	A
Cs-134	24,80 ± 1,00	23,43 ± 0,72	–5,5	–0,6	A
Cs-137	24,50 ± 0,90	24,35 ± 0,73	–0,6	–0,1	A
Eu-152	43,10 ± 1,80	42,18 ± 1,27	–2,1	–0,2	A
Am-241	21,20 ± 0,85	22,71 ± 0,68	7,1	0,7	A

REZULTATI PREVERJANJA
IARMA ETRIT-PT-2021
Environmental Radioactivity Proficiency Test on
the Determination of Tritium in Water
International Atomic Reference Material Agency (IARMA),
Thurso, Highland, United Kingdom

V letu 2021 je IARMA, International Atomic Reference Material Agency iz Združenega kraljestva, priredila primerjalne meritve, kjer je bilo treba v 6 vzorcih umetno kontaminirane vode določiti vsebnosti tritija. Pri tem preverjanju je sodeloval IJS, Laboratorij za tekočinskoscintilacijsko spektrometrijo z Odseka F-2. Individualna poročila so prejeli januarja 2021 [IARMA ETRIT-PT-2021, *Environmental Radioactivity Proficiency Test on the Determination of Tritium in Water, Individual Evaluation Report for Laboratory Code 014, International Atomic Reference Material Agency (IARMA), Thurso, Highland, United Kingdom, januar 2021*].

V naslednji tabeli so zbrani rezultati analiz IJS (koda laboratorija 014 za *Odsek F-2*), primerjave z referenčnimi vrednostmi IARMA za določitev vsebnosti tritija v šestih vzorcih kontaminirane vode.

REZULTATI IJS (Odsek F-2):

IARMA ETRIT-PT-2021					
Tritium in Water					
analize IJS, opravljene <i>od oktobra do novembra 2021</i> , končni rezultati objavljeni <i>januarja 2021</i>					
VZOREC	IARMA	IJS Lab. No. 014	Rel. odmik (%)	Z-preskus	Končna ocena
IARMA-121	<1	<0,74	–	–	A
IARMA-122	8,56 ± 0,43	8,80 ± 0,67	2,8	0,28	A
IARMA-123	43,72 ± 1,50	41,67 ± 2,68	–4,7	–0,47	A
IARMA-124	86,8 ± 3,0	86,55 ± 5,41	–0,3	–0,03	A
IARMA-125	213,6 ± 7,0	214,40 ± 14,40	0,4	0,04	A
IARMA-126	238,9 ± 8,3	239,40 ± 17,60	0,2	0,02	A

REZULTATI MEDNARODNIH PRIMERJALNIH MERITEV

Study MRAD-35 ERA (Environmental Resource Associates), ZDA

Decembra 2021 so bili objavljeni končni rezultati primerjalnih meritev MRAD-35 [*Study MRAD-35, Proficiency testing performance report, Multi-media Radiochemistry PT Scheme, Round 35, December 2021, ERA Customer Number: R460987 (za IRB), ZDA*], ki jih je organizirala ERA, Environmental Resource Associates, ZDA. Vzorci so bili razposlani septembra 2021, laboratoriji pa so morali poročati o rezultatih do 19. novembra 2021. Pri tej primerjavi je sodeloval IRB, ki je poročal rezultate za pet vzorcev (vzorec vegetacije, zemlje in trije vzorci vode, od katerih je bil eden za določitev tritija, eden za celotne sevalce alfa in beta in eden za določitev drugih radionuklidov).

Rezultati analiz IRB ter primerjave s pripisanimi vrednostmi (assigned values) so zbrane v naslednjih 4 preglednicah.

REZULTATI IRB:

ERA, Study MRAD-35 Soil Radionuclides					
analize opravljene <i>oktobra in novembra 2021</i> , končni rezultati objavljeni <i>decembra 2021</i>					
IZOTOP	ERA Certified value	ERA Satisfactory Range	IRB	z-preskus	Končna ocena
	(pCi/kg)				
Ac-228	3 240 ± 79	2 480–3 950	3 537	0,873	Satisfactory
Am-241	891 ± 9	460–1 280	923	0,249	Satisfactory
Bi-212	3 350 ± 82	1 170–5 140	3 834	0,68	Satisfactory
Bi-214	1 370 ± 32	975–1 860	1 498	0,376	Satisfactory
Cs-134	2 650 ± 24	1 960–3 090	2830	1,1	Satisfactory
Cs-137	3 660 ± 37	3 160–4 260	3 911	0,722	Satisfactory
Co-60	4 730 ± 31	4 020–5 430	5 097	1,06	Satisfactory
Pb-212	3 420 ± 84	2 450–4 270	3 725	0,798	Satisfactory
Pb-214	1 490 ± 35	1 130–1 800	1 470	0,00844	Satisfactory
K-40	24 700 ± 618	19 600–30 300	24 403	–0,209	Satisfactory
Sr-90	6 090 ± 61	2 810–8 800	5 604	–0,137	Satisfactory
Th-234	2 720 ± 27	1 490–4 590	3 768	0,941	Satisfactory
U-238	2 720 ± 27	1 550–3 830	2 677	–0,029	Satisfactory
Zn-65	4 860 ± 51	4 100–6 120	5 104	–0,0078	Satisfactory

**ERA, Study MRAD-35
Vegetation Radionuclides**

analize opravljene *oktobra in novembra 2021*, končni rezultati objavljeni *decembra 2021*

IZOTOP	ERA Certified value	ERA Satisfactory Range	IRB	z-preskus	Končna ocena
	(pCi/kg)				
Am-241	4 040 ± 42	3 290–5 470	4 260	–0,224	Satisfactory
Cs-134	923 ± 9	798–1 060	964	0,559	Satisfactory
Cs-137	2 210 ± 22	1 960–2 720	2 356	0,0771	Satisfactory
Co-60	1 590 ± 104	1 470–1 980	1 759	0,272	Satisfactory
K-40	33 300 ± 1665	25 900–39 400	32 225	–0,121	Satisfactory
Sr-90	5 720 ± 57	4 430–7 250	5 453	–0,549	Satisfactory
U-238	1 340 ± 40	1 260–1 740	1 395	–0,856	Satisfactory
Zn-65	1 200 ± 13	1 070–1 580	1 317	–0,0824	Satisfactory

**ERA, Study MRAD-35
Water Radionuclides**

analize opravljene *oktobra in novembra 2021*, končni rezultati objavljeni *decembra 2021*

IZOTOP	ERA Certified value	ERA Satisfactory Range	IRB	z-preskus	Končna ocena
	(pCi/L)				
Am-241	63,7 ± 0,7	44,0–77,7	76	1,8	Satisfactory
Cs-134	649 ± 61	537–690	660	1,22	Satisfactory
Cs-137	2 170 ± 22	2 000–2 320	2 195	0,411	Satisfactory
Co-60	964 ± 68	890–1 080	988	0,0916	Satisfactory
Fe-55	246 ± 5	181–321	250	–0,0263	Satisfactory
Sr-90	936 ± 10	799–1 050	864,9	–0,968	Satisfactory
Zn-65	394 ± 4	335–488	409	–0,0757	Satisfactory

**ERA, Study MRAD-35
Water Tritium**

analize opravljene *oktobra in novembra 2021*, končni rezultati objavljeni *decembra 2021*

IZOTOP	ERA Certified value	ERA Satisfactory Range	IRB	z-preskus	Končna ocena
	(pCi/L)				
H-3	12 800 ± 193	10 600–14 500	13 378	0,862	Satisfactory
H-3	12 800 ± 193	10 600–14 500	13 756	1,25	Satisfactory

REZULTATI
MEDNARODNE PRIMERJALNE MERITVE
Radiochemistry PT Scheme, Round 127
ERA (Environmental Resource Associates), ZDA

Decembra 2021 so bili objavljeni končni rezultati radiokemijske primerjave RAD-127 za določitev vsebnosti stroncija v vodnih vzorcih [*Radiochemistry PT Scheme, Round 127 ERA, Environmental Resource Associates, ERA Customer Number: R460987 (za IRB), ZDA, December 2021*]; za en vzorec vode, ki ga je razposlala ERA, Environmental Resource Associates, ZDA.

IRB je v okviru te interkomparacije opravil meritve vsebnosti stroncija po dveh metodah. Rezultati IRB ter primerjave s pripisanimi vrednostmi (assigned values) so zbrani v naslednji preglednici.

REZULTATI IRB:

ERA, RAD-127					
Water Radionuclides					
analize opravljene <i>oktobra in novembra 2021</i> , končni rezultati objavljeni <i>decembra 2021</i>					
IZOTOP	ERA	ERA	IRB	z-preskus	Končna ocena
	Certified value	Satisfactory Range			
	(pCi/L)				
Sr-89*	61,8 ± 0,7	47,7–64,8	60,8	1,06	Satisfactory
Sr-90*	29,3 ± 0,3	23,9–31,9	27,0	–0,44	Satisfactory
Sr-89**	61,8 ± 0,7	47,7–64,8	61,4	1,2	Satisfactory
Sr-90**	29,3 ± 0,3	23,9–31,9	28,2	0,158	Satisfactory

* Meritve opravljene po doma razviti metodi s proporcionalnim števcem (s silicijevim detektorjem), opisani v postopku *Određivanje ^{89,90}Sr (PS 7.2/2)* in v delovnem navodilu *Određivanje ^{89,90}Sr (RU 7.2/2-1)*.

** Meritve opravljene po doma razviti metodi s čerenkovim štetjem na scintilacijskem števcu, opisani v postopku *Određivanje ^{89,90}Sr (PS 7.2/2)* in v delovnem navodilu *Određivanje ^{89,90}Sr (RU 7.2/2-1)*.

REZULTATI PREVERJANJA RINGVERSUCH 3/2020

Ringversuch 3/2020 zur Bestimmung von Gamastrahlen in Wasser BfS, Bundesamt für Strahlenschutz, Nemčija

Oktobra 2021 je Bundesamt für Strahlenschutz (BfS) iz Nemčije poročal o primerjalnih meritvah vsebnosti radionuklidov v vzorcu kontaminirane vode, kjer je sodeloval ZVD (koda laboratorija 5-1) [Bericht, Bestimmung von Gammastralen im Wasser, Ringversuch 3/2020, C. Lucks, C. Prautsch, A. Guttman, K. Schmidt, C. Scholtysik, I. Winterfeld, C. Wittner, BfS, Bundesamt für Strahlenschutz, Nemčija, oktober 2021]. Meritve so bile opravljene januarja 2021. Rezultati meritev ZVD in primerjava z referenčnimi vrednostmi je v spodnji, tabeli.

REZULTATI ZVD:

BfS - RINGVERSUCH 3/2020						
Voda, kontaminirana s sevalci gama						
analize (ZVD), opravljene <i>januarja 2021</i> , končni rezultati objavljeni <i>oktobra 2021</i>						
IZOTOP	BfS PTB-Sollwert	ZVD * (koda laboratorija 5-1)		z-preskus	ζ-preskus	Končna ocena
	(Bq/g)	Aktivnost (Bq/g)	Varianca (Bq/g) ²			
Na-22	11,62 ± 0,13	11,3	0,0707	0,318	0,367	A
Co-57	22,07 ± 0,37	21,8	0,212	0,145	0,189	A
Co-60	9,44 ± 0,11	9,3	0,000	0,151	0,449	A
Cs-134	30,79 ± 0,37	29,7	0,141	0,354	0,939	A
Cs-137	10,80 ± 0,12	10,4	0,000	0,370	0,563	A
Eu-152	15,8 ± 0,29	15,7	0,141	0,101	0,225	A
Bi-207	13,43 ± 0,64	16,5	0,0707	8,77	17,6	N
Am-241	4,443 ± 0,066	4,3	0,000	0,322	0,353	A

* Podano je povprečje posameznih poročanih rezultatov in pripadajoča varianca

REZULTATI PREVERJANJA
"Fortluft 2020" sevalci gama v aerosolnem filtru
BfS, Bundesamt für Strahlenschutz in PTB, Nemčija

V letu 2020 je ZVD sodeloval pri primerjalnih meritvah simuliranih aerosolnih filtrov – *Kontrolle der Eigenüberwachung radioaktiver Emissionen aus Kernkraftwerken (Fortluft) [42. Ringversuch "Fortluft 2020", BfS-UR 3–08/2021, G. Böhm, A. Deller, A. Heckel, C. Strobl, P. Wiody, M. Ehlers, O. Nähle, PTB in BfS, Berlin, Nemčija, avgust 2021]*, ki jih je organiziral Bundesamt für Strahlenschutz (BfS) v sodelovanju s PTB iz Nemčije. Koda laboratorija ZVD je bila 2019-1683 (51). Končni rezultati so bili objavljeni avgusta 2021. Rezultati in primerjave z referenčnimi vrednostmi so zbrane v spodnji tabeli.

REZULTATI ZVD:

BfS - "Fortluft 2020"							
Aerosolni filter, kontaminiran s sevalci gama							
analize (ZVD), opravljene <i>decembra 2020</i> , končni rezultati objavljeni <i>avgusta 2021</i>							
IZOTOP	BfS PTB-Sollwert		ZVD * (vzorec št 2020-1287, koda laboratorija 51)		Rel. odmik (%)	ζ-preskus	Končna ocena
	(Bq/g)	(Bq/filter)	Aktivnost (Bq/g)	Varianca (Bq/g) ²			
Co-60	2,07 ± 0,05	1,65 ± 0,04	2,044 ± 0,050	0,36	-1,24	0,36	A
Cd-109	8,14 ± 0,17	6,48 ± 0,13	8,010 ± 0,240	0,44	-1,59	0,44	A
Cs-134	2,13 ± 0,05	1,70 ± 0,04	2,077 ± 0,027	0,93	-2,48	0,93	A
Eu-154	3,27 ± 0,10	2,60 ± 0,08	3,058 ± 0,073	1,72	-6,50	1,72	A

* Podano je povprečje posameznih poročanih rezultatov in pripadajoča varianca

REZULTATI PREVERJANJA
INTERLABORATORY COMPARISON »RAW MILK 2020«
MRI, Max Rubner-Institut,
Bundeshforschungsinstitut für Ernährung und Lebensmittel, Kiel, Nemčija

V letu 2020 je MRI, Max Rubner-Institut, Bundesforschungsinstitut für Ernährung und Lebensmittel iz Kiela, Nemčija, organiziral primerjalne meritve, kjer je bilo treba v vzorcu surovega mleka določiti vsebnost umetnih radionuklidov. Pri tem preverjanju sta sodelovala IJS (koda laboratorija 56) in ZVD (koda laboratorija 51). Odsek F-2 je poročal o meritvah z visokoločljivostno spektrometrijo gama na treh spektrometrih: SE, HG in BL. Po navodilih organizatorja primerjalnih meritev je poročal o treh paralelkih meritev na vsakem spektrometru (SE, HG in BL). ZVD je poročal o dveh serijah meritev na spektrometrih ReGe in BeGe in o eni seriji radiokemijskih meritev Sr-89 in Sr-90. Končno zbirno poročilo smo prejeli aprila 2021.

V prvih treh tabelah so zbrani rezultati analiz IJS in primerjave s povprečjem sodelujočih laboratorijev, v naslednjih dveh pa rezultati ZVD. Za razliko od prejšnjih let tokrat referenčnih vrednosti, izmerjenih v PTB, niso podali.

Organizator je rezultate primerjal s testom z-score, ki je definiran kot

$$z_i = \frac{x_i - \bar{x}}{\sigma}$$

kjer je x_i rezultat sodelujočega laboratorija za posamezen radionuklid, \bar{x} povprečna vrednost vseh sodelujočih laboratorijev za ta radionuklid in σ standardna deviacija povprečja ($k = 1$).

Rezultati so sprejemljivi, če je $|z| \leq 2$, vprašljivi, če je $2 < |z| \leq 3$ in nesprejemljivi, če je $|z| \geq 3$.

REZULTATI IJS (Odsek F-2):

Raw Milk 2020, Koda laboratorija 56						
analize IJS opravljene <i>septembra 2020</i> , končni rezultati objavljeni <i>aprila 2021</i> (ovrednotenje je izračunano glede na povprečje sodelujočih laboratorijev)						
IZOTOP	IJS Spektrometer SE	Povprečje sodelujočih laboratorijev	Rel. odmik (%)	ζ-preskus	z-preskus	Končna ocena
K-40	48,7 ± 1,6	51,07 ± 2,75	-4,64	-1,5	-0,9	A
Co-60	9,2 ± 0,3	9,72 ± 0,31	-5,34	-1,9	-1,7	A
I-131	211 ± 6	218,4 ± 9,42	-3,38	-1,1	-0,8	A
Ba-133	8,4 ± 0,3	8,75 ± 0,48	-4,00	-1,4	-0,7	A
Cs-134	13,0 ± 0,4	13,42 ± 0,64	-3,12	-1,1	-0,7	A
Cs-137	6,9 ± 0,2	7,10 ± 0,26	-2,81	-0,9	-0,8	A
Am-241	6,1 ± 0,3	5,96 ± 0,63	2,34	0,5	0,2	A

Raw Milk 2020, Koda laboratorija 56 analize IJS opravljene <i>septembra 2020</i> , končni rezultati objavljeni <i>aprila 2021</i> (ovrednotenje je izračunano glede na povprečje sodelujočih laboratorijev)						
IZOTOP	IJS Spektrometer HG	Povprečje sodelujočih laboratorijev	Rel. odmik (%)	ζ-preskus	z-preskus	Končna ocena
	(Bq/L)					
K-40	49,8 ± 2,0	51,07 ± 2,75	-2,48	-0,6	-0,5	A
Co-60	9,6 ± 0,3	9,72 ± 0,31	-1,23	-0,4	-0,4	A
I-131	207 ± 7	218,4 ± 9,42	-5,21	-1,5	-1,2	A
Ba-133	8,3 ± 0,3	8,75 ± 0,48	-5,14	-1,4	-0,9	A
Cs-134	12,7 ± 0,4	13,42 ± 0,64	-5,36	-1,9	-1,1	A
Cs-137	7,0 ± 0,4	7,10 ± 0,26	-1,40	-0,3	-0,4	A
Am-241	5,9 ± 0,2	5,96 ± 0,63	-1,00	-0,2	-0,1	A

Raw Milk 2020, Koda laboratorija 56 analize IJS opravljene <i>septembra 2020</i> , končni rezultati objavljeni <i>aprila 2021</i> (ovrednotenje je izračunano glede na povprečje sodelujočih laboratorijev)						
IZOTOP	IJS Spektrometer BL	Povprečje sodelujočih laboratorijev	Rel. odmik (%)	ζ-preskus	z-preskus	Končna ocena
	(Bq/L)					
K-40	50,2 ± 1,9	51,07 ± 2,75	-1,70	-0,5	-0,3	A
Co-60	9,7 ± 0,3	9,72 ± 0,31	-0,20	-0,1	-0,1	A
I-131	208 ± 6,2	218,4 ± 9,42	-4,76	-1,6	-1,1	A
Ba-133	8,4 ± 0,3	8,75 ± 0,48	-4,00	-1,4	-0,7	A
Cs-134	13,0 ± 0,4	13,42 ± 0,64	-3,12	-1,1	-0,7	A
Cs-137	6,8 ± 0,2	7,10 ± 0,26	-4,22	-1,4	-1,2	A
Am-241	5,9 ± 0,2	5,96 ± 0,63	-1,00	-0,3	-0,1	A

REZULTATI ZVD:

Raw Milk 2020, Koda laboratorija 51 analize IJS opravljene <i>oktobra 2020</i> , končni rezultati objavljeni <i>aprila 2021</i> (ovrednotenje je izračunano glede na povprečje sodelujočih laboratorijev)					
IZOTOP	ZVD Spektrometer ReGe	Povprečje sodelujočih laboratorijev	ζ-preskus	z-preskus	Končna ocena
	(Bq/L)				
K-40	47,8 ± 3,8	51,07 ± 2,75	-0,9	-1,2	A
Co-60	9,9 ± 0,4	9,72 ± 0,31	0,4	0,6	A
I-131	226,0 ± 11,3	218,4 ± 9,42	0,7	0,8	A
Ba-133	8,8 ± 0,5	8,75 ± 0,48	0,1	0,1	A
Cs-134	13,7 ± 0,5	13,42 ± 0,64	0,5	0,4	A
Cs-137	7,2 ± 0,5	7,10 ± 0,26	0,2	0,4	A
Am-241	6,3 ± 0,6	5,96 ± 0,63	0,6	0,5	A
Sr-89	52,5 ± 5,2	29,69 ± 2,87	4,3	7,9	N
Sr-90	8,5 ± 1,5	4,37 ± 0,66	2,7	6,3	N

Raw Milk 2020, Koda laboratorija 51 analize IJS opravljene <i>oktobra 2020</i> , končni rezultati objavljeni <i>aprila 2021</i> (ovrednotenje je izračunano glede na povprečje sodelujočih laboratorijev)					
IZOTOP	ZVD Spektrometer BeGe	Povprečje sodelujočih laboratorijev	ζ-preskus	z-preskus	Končna ocena
	(Bq/L)				
K-40	51,4 ± 3,1	51,07 ± 2,75	0,1	0,1	A
Co-60	9,6 ± 0,4	9,72 ± 0,31	-0,3	-0,4	A
I-131	214,0 ± 8,6	218,4 ± 9,42	-0,5	-0,5	A
Ba-133	9,0 ± 0,5	8,75 ± 0,48	0,5	0,5	A
Cs-134	13,4 ± 0,5	13,42 ± 0,64	-0,0	-0,0	A
Cs-137	6,8 ± 0,5	7,10 ± 0,26	-0,6	-1,2	A
Am-241	5,6 ± 0,3	5,96 ± 0,63	-1,0	-0,6	A

REZULTATI PREVERJANJA
INTERLABORATORY COMPARISON »PT Tea 2021«
MRI, Max Rubner-Institut,
Bundeschorschungsinstitut für Ernährung und Lebensmittel, Kiel, Nemčija

V letu 2021 je MRI, Max Rubner-Institut, Bundesforschungsanstalt für Ernährung und Lebensmittel iz Kiela, Nemčija, organiziral primerjalne meritve, kjer je bilo treba v vzorcu čaja določiti vsebnost radionuklidov. Spisek radionuklidov je bil vnaprej določen in sicer je bilo potrebno določiti vsebnost K-40, Co-60, Ba-133, Cs-134 in Cs-137. Odsek F-2 je opravil meritve z visokoločljivostno spektrometrijo gama. Na vseh spektrometrih sta bili izvedeni dve seriji meritev, pri čemer se je med serijama vzorec razdril in prepakiral. Povprečja meritev po serijah sta se potem poročala kot meritev 1 in meritev 2 v samem poročilu. Koda laboratorija je bila 51.

V tabelah v prilogi 1 so zbrani rezultati analiz IJS in primerjave s povprečjem sodelujočih laboratorijev.

Organizator je pri primerjavi uporabil testa z-preskus in ζ-preskus.

Test z-preskus je definiran kot

$$z_i = \frac{x_i - \bar{x}}{\sigma}$$

kjer je x_i rezultat sodelujočega laboratorija za posamezen radionuklid, \bar{x} povprečna vrednost vseh sodelujočih laboratorijev za ta radionuklid in σ standardna deviacija povprečja ($k = 1$).

Test ζ-preskus je definiran kot

$$\zeta_i = \frac{x_i - \bar{x}}{\sqrt{u(x_i)^2 + u(\bar{x})^2}}$$

kjer je x_i rezultat sodelujočega laboratorija za posamezen radionuklid, $u(x_i)$ njegova negotovost, \bar{x} povprečna vrednost vseh sodelujočih laboratorijev za ta radionuklid in $u(\bar{x})$ njegova negotovost.

Rezultati so sprejemljivi, če je $|z| \leq 2$ and $|\zeta| \leq 2$, vprašljivi, če je $2 < |z| < 3$ and $2 < |\zeta| < 3$ in nesprejemljivi, če je $|z| \geq 3$ and $|\zeta| \geq 3$.

REZULTATI IJS (Odsek F-2):

Test Tea (powder) 2021, koda laboratorija 51							
analize IJS opravljene <i>junija 2021</i> , končni rezultati objavljeni <i>februarja 2022</i> (ovrednotenje je izračunano glede na povprečje sodelujočih laboratorijev)							
IZOTOP	Meritev 1	Meritev 2	Referenčna vrednost	Z ₁	ζ ₁	Z ₂	ζ ₂
	(Bq/Kg)						
K-40	593 ± 18	595 ± 18	597 ± 4	-0,1	-0,2	0	-0,1
Co-60	2,7 ± 0,1	2,7 ± 0,09	2,26 ± 0,04	1,8	2,9	1,9	4,3
Ba-133	11,2 ± 0,3	11,3 ± 0,3	11,1 ± 0,1	0	0,2	0,2	0,6
Cs-134	74 ± 2	73 ± 2	69,8 ± 0,6	0,7	1,8	0,5	1,2
Cs-137	23,1 ± 0,7	23 ± 0,7	22,7 ± 0,2	0,2	0,7	0,1	0,4


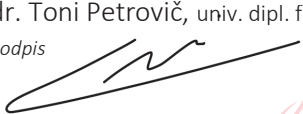

**VZDRŽEVANJE PRIPRAVLJENOSTI IZREDNEGA
MONITORINGA RADIOAKTIVNOSTI**



Center za fizikalne meritve
Laboratorij za meritve specifičnih aktivnosti radionuklidov

Št. poročila: | LMSAR-51/2021-MG
Datum: | 15.07.2021

Poročilo o obhodu mobilnih enot

Naročnik:	Nuklearna elektrarna Krško d.o.o. Vrbina 12 8270 Krško
Sodelujoči:	ZVD, IJS, NEK
Naročilo:	Pogodba št. 3192262 za Mobilno enoto ZVD za terenske meritve za leta 2020, 2021, 2022 in 2023
Poslano:	Poročilo vsebuje skupaj 4 strani in ga je dovoljeno reproducirati samo v celoti. 1 × naročnik 1 × arhiv ZVD
Poročilo izdelal:	dr. Marko Giacomelli, univ. dipl. fiz. ZVD <i>podpis</i>  <small>elektronsko podpisano dr. Marko Giacomelli, univ. dipl. fiz.</small>
Dopolnitve poročila:	dr. Toni Petrovič, univ. dipl. fiz. IJS <i>podpis</i>  Digitally signed by TONI PETROVIČ Date: 2021.07.16 11:41:49 +02'00'
Poročilo odobril:	dr. Gregor Omahen, univ. dipl. fiz. ZVD <i>podpis</i>  <small>elektronsko podpisano dr. Gregor Omahen, univ. dipl. fiz.</small>

1 Program obhoda

V času od 14. do 16.6.2021 smo opravili redni obhod mobilnih enot za posredovanje v primeru nesreče v jedrski elektrarni, in sicer ZVD (MERZ – Mobilna enota radiološke zaščite), IJS ELME – Ekološki laboratorij z mobilno enoto) ter NEK (TO.RZ). Program je določen v Preglednici 3 Priloge 8 Pravilnika o monitoringu radioaktivnosti (JV11, Uradni list RS št. 27/2018), in obsega:

- Meritve hitrosti doz na izbranih točkah, kjer se sicer izvajajo meritve v sklopu obratovalnega monitoringa
- Meritve kontaminacije površin
- Meritve hitrosti doz iz vozečega vozila z mapiranjem
- Spektrometrija gama in-situ
- Vzorčenje in meritev aktivnosti vzorcev v mobilnem laboratoriju
- Meritve »vročih« vzorcev
- Pozicioniranje vzorčevalnih točk (GPS)
- Meritve meteoroloških parametrov
- Meritve osebnih doz
- Vzpostavitev kontrolne točke z meritvami
- Meritev vsebnosti joda v ščitnici
- Meritev radionuklidov v telesu (WBC)
- Poročanje rezultatov in komunikacija s terena

Program je bil v celoti izpolnjen. Posamezne aktivnosti s podrobneje opisane v naslednjih poglavjih. Vodje ekip so bili Marko Giacomelli (ZVD, MERZ), Toni Petrovič (IJS,ELME) in Miroslav Urbanč (NEK, TO.RZ). Poročila o obhodu izmenjaje pripravljata ZVD in IJS. Pri vsaki aktivnosti so podana morebitna opažanja in predlagane izboljšave, bodisi podana s strani ZVD bodisi IJS. Opažanja in predlogi so lahko smiselni in koristni za vse ekipe mobilnih enot.

1.1 Ekipe mobilnih enot

MERZ ZVD – Marko Giacomelli, Andraž Koritnik, Aleš Ivanc, Gregor Omahen, Manca Podvratnik

ELME IJS – Toni Petrovič, Matjaž Stepišnik, Miha Mihovilovič (testiranje APRS sistema za pošiljanje podatkov iz terena), Rok Roš Opaškar, Tilen Breclj, Klara Poiškruh

TO.RZ NEK – Miroslav Urbanč, Miha Romih

2 Meritve na terenu

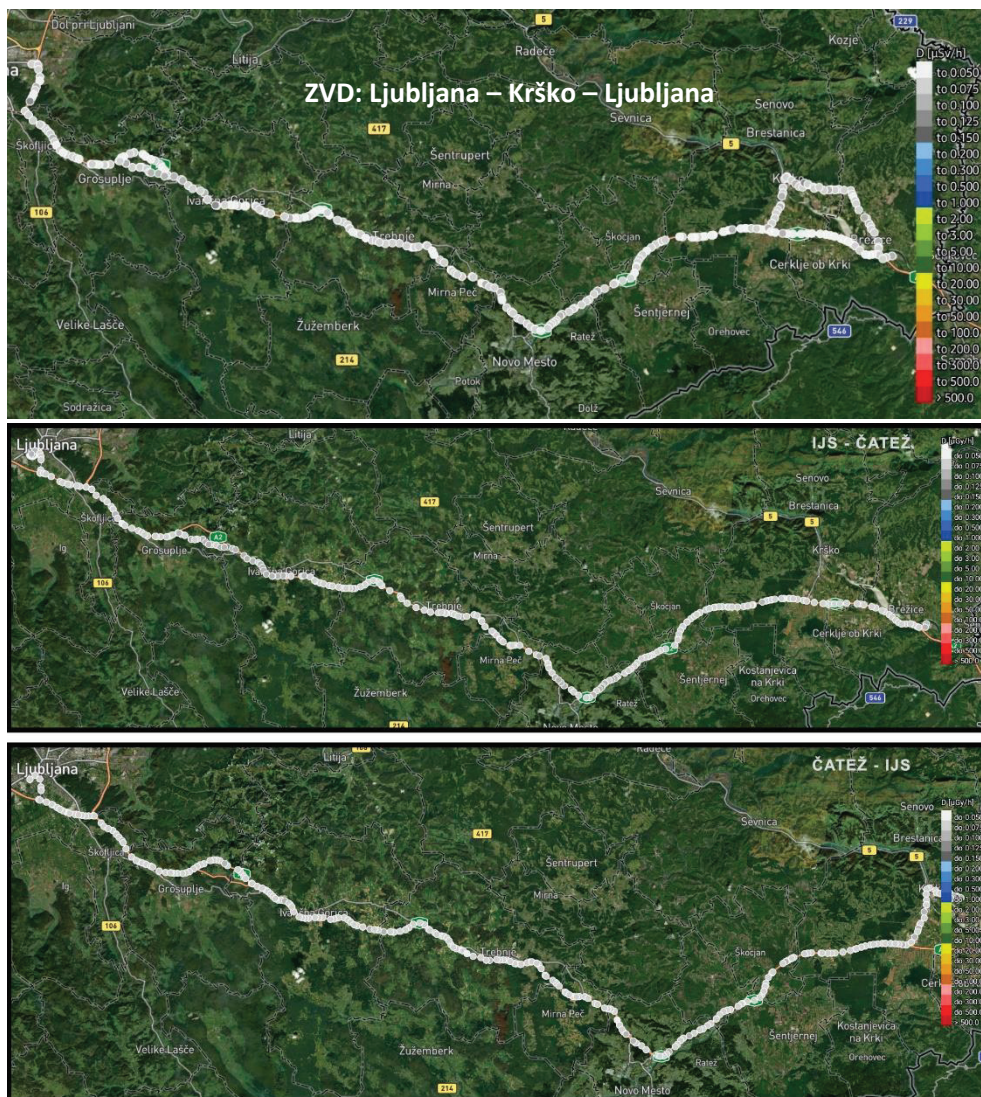
2.1 Meritve hitrosti doz iz vozečega vozila

Mobilni enoti MERZ in ELME za mapiranje hitrosti doz uporabljata različne merilnike, ki preko brezžične povezave pošiljata podatke na Android tablični računalnik (glej sliko 1), ki jih nato obdeluje aplikacija Route Monitoring.

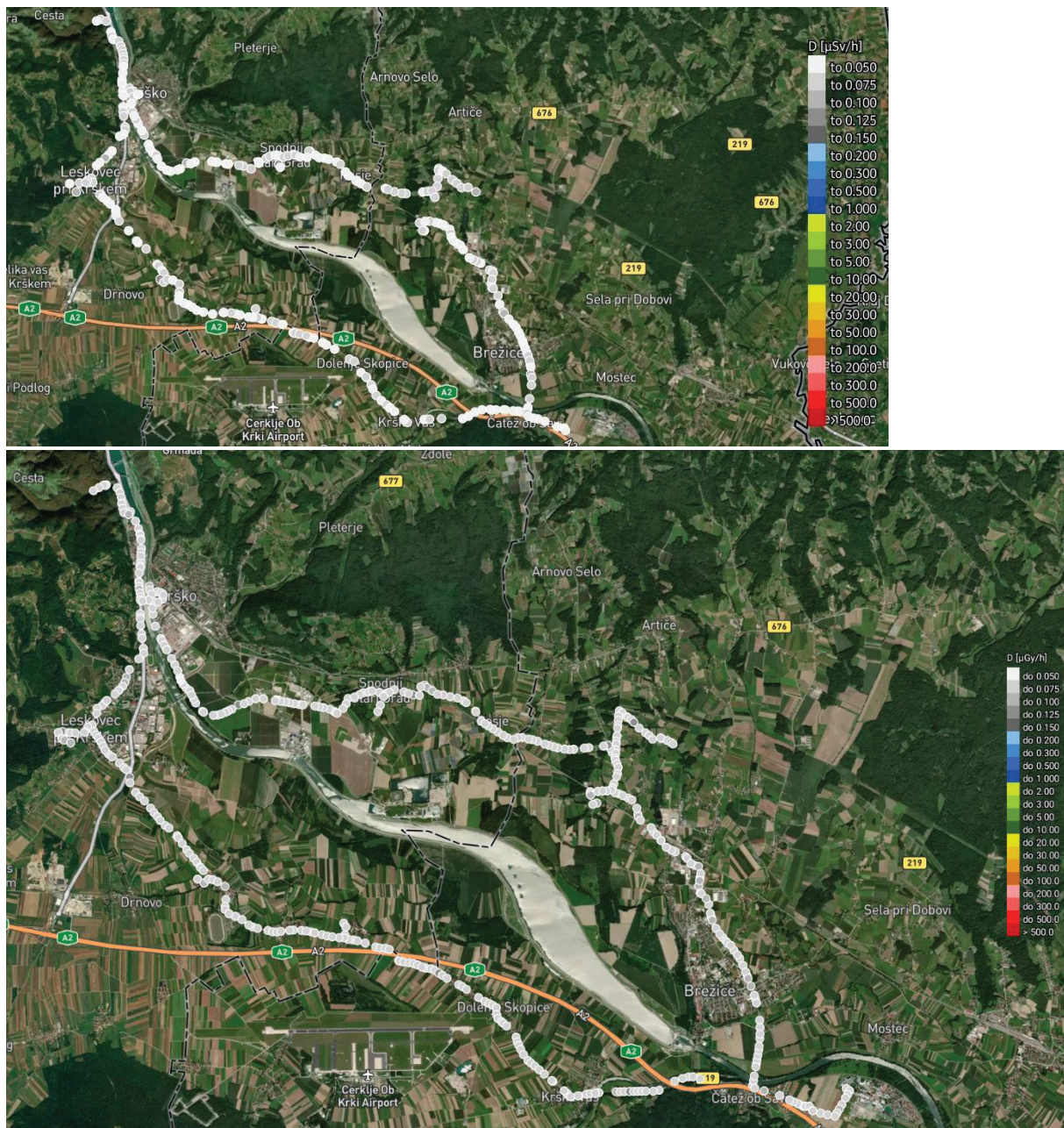


Slika 1: Izvajanje meritev mapiranja hitrosti doz iz vozečega vozila

Aplikacija meritve beleži v podatkovno bazi in izriše v obliki karte hitrosti doz, kot je prikazano na sliki 2 oziroma 3, kjer smo meritve izvajali na poti iz Ljubljane do Krškega in nazaj oziroma na krožni poti po vzorčevalnih mestih okrog NEK.



Slika 2: Izmerjene hitrosti doz iz vozečega vozila na vožnji do Krškega in nazaj v Ljubljano (ZVD zgoraj, IJS spodaj 2x)



Slika 3: Izmerjene hitrosti doz iz vozečega vozila na krožni vožnji v okolici Krškega (ZVD zgoraj, IJS spodaj)

OPAŽANJA IN PREDLOGI:

- OP1. ZVD – aplikacija Route monitoring pri raznih obhodu in meritvah deluje neprekinjeno, zato porabi veliko energije in baterije. Zato je smiselno med vožnjo tablični računalnik imeti priključen na stalno napajanje
- OP2. ZVD – aplikacija na tabličnem računalniku deluje neprekinjeno do okvirno 4 ure, zato bomo v MERZ nabavili dodatno polnilno Li-ionsko baterijo kapacitete vsaj 10000 mAh.
- OP3. ZVD – v MERZ smo imeli med izvajanjem mapiranja občasne težave z bluetooth povezljivostjo merilnika Automess AD-b in tabličnega računalnika, kar je bila posledica delno iztrošene baterije merilnika. Zato je pri potrebno biti pozoren na napetost baterije (9 V), ki v tem primeru ne sme pasti preveč pod 8 V.

2.2 Meritve hitrosti doz in kontaminacije na izbranih točkah

Prvi dan obhoda (14.6.) smo opravili meritve na 10 različnih točkah v okolici NEK, tokrat na IJS vzorčevalnih mestih obratovalnega monitoringa radioaktivnosti NEK, in sicer Čatež (Hotel Terme), Gornji Lenart, Zajetje Glogov Brod, Spodnji Stari Grad, Vrbina, Krško (stari most), Vodno zajetje Rore, Leskovec, Brege in Vihre.



Slika 4: Prikaz merskih točk v okolici NEK

Meritve hitrosti doz smo opravili na višini 1 m od tal, meritve kontaminacije pa na razdalji 10 cm od tal oziroma vazelinskih plošč. Opravili smo meritve hitrosti doz sevanja gama in kontaminacije beta/gama ter alfa.



Slika 5: Izvajanje meritev na izbranih točkah v okolici NEK

Rezultati meritev so podani v tabeli 2 na strani 18. Meritve naravnega ozadja je težko primerjati med seboj, saj pri tako nizkih hitrostih doz izmerki nihajo do $\pm 20\%$, zato ujemanje rezultatov v tabeli 2 ocenimo kot dobro.

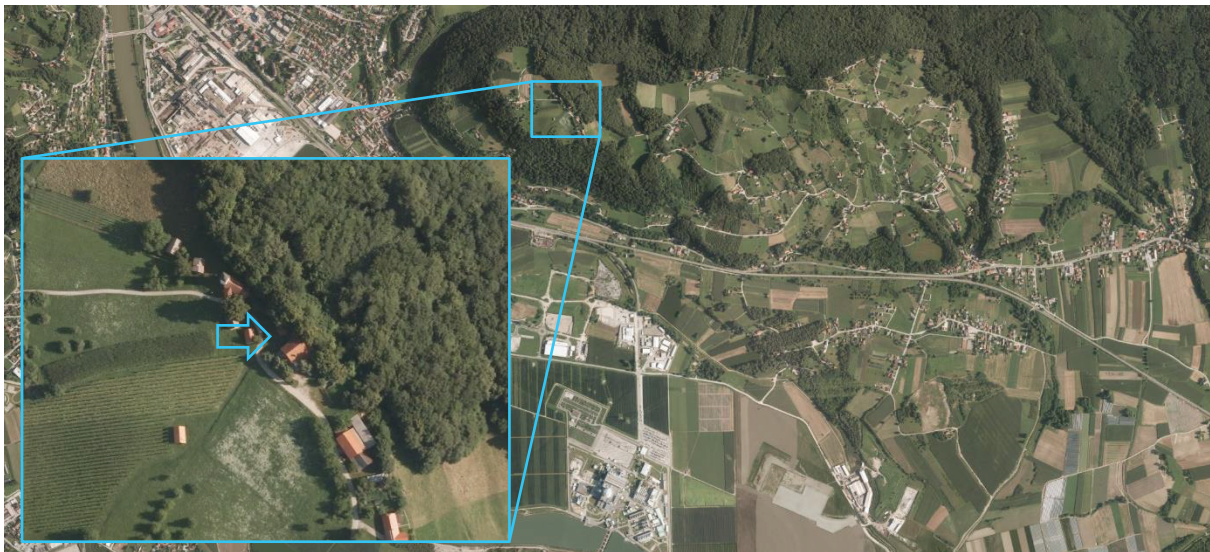
OPAŽANJA IN PREDLOGI:

OP4. IJS – meritve dozne hitrosti na vedno enakih in dobro poznanih merskih mestih so nesmiselne. Predlagamo, da se v bodoče merska mesta določi dinamično v posvetu z odgovornimi osebami URSJV, ki lahko ob pomoči razpoložljivih računalniških orodij simulirajo smer izpusta v okolje in ustvarijo nepredvidljive okoliščine, ki se jim moramo na terenu nato prilagoditi in jih upoštevati. S tem bi dosegli glavne cilje vaje, ki so sprejemanje pravih taktičnih odločitev na terenu, izvedba meritev na mestih pomembnih za varstvo prebivalstva, sodelovanje z inšpektorji URSJV in zaščita lastnih terenskih ekip pred sevanjem.

2.3 Spektrometrija gama in-situ

Zadnji dan obhoda (16.6.) smo opravljali meritve koncentracij aktivnosti radionuklidov v zemlji z gama spektrometrijo in-situ. Meritve smo opravljali na lokaciji na vrhu Libne poleg lovskega doma (glej sliko 6)

Detektor z germanijevim kristalom je bil postavljen na trinožno stojalo na višino 1 metra od tal, kot je prikazano na sliki 7. S pomočjo matematičnih kalibracij smo določili koncentracije aktivnosti naravnih radionuklidov (Bq/kg), ki so enakomerno porazdeljeni po globini, in koncentracijo aktivnosti Cs-137, kjer najprej privzamemo enakomerno porazdelitev po globini (Bq/kg), nato pa še specifično aktivnost (Bq/m²), kjer privzamemo, da je vsa aktivnost posledica svežega useda in zbrana na površini zemlje.



Slika 6: Lokacija meritve z gama spektrometrijo in-situ na Libni

Vzporedno smo vzeli na istem mestu meritve in-situ še vzorec zemlje in ga izmerili v mobilnem laboratoriju.



Slika 7: Izvajanje spektrometrije gama in-situ ter vzorčenje zemlje za naknadno meritev v mobilnem laboratoriju

Rezultati meritev so prikazani v tabeli 3 na strani 19, levo so rezultati meritve in-situ, desno pa meritve v mobilnem laboratoriju.

Če najprej primerjamo meritve in-situ in odvzetega vzorca zemlje v mobilnem laboratoriju, lahko ugotovimo, da je pri meritvi ZVD ujemanje zelo dobro ($\pm 5-10\%$) tako za naravne radionuklide, kot za Cs-137, pri meritvi IJS pa je ujemanje dobro ($\pm 10-20\%$) za naravne radionuklide in zmerno ($\pm 30\%$) za Cs-137. Pri meritvi IJS v mobilnem laboratoriju najverjetneje zelo vpliva manjša debelina ščita 2,5 cm, medtem ko ZVD uporablja ščit debeline 5 cm in so meritve nizkih aktivnosti blizu detekcijske meje natančnejše.

Če nato primerjamo še posamične rezultate meritev in-situ MERZ in ELME, ugotovimo delna razhajanja:

- Pri koncentraciji aktivnosti Be-7 jih lahko v veliki meri pripišemo mikrolokaciji in različnem zbiranju padavin, IJS je meril bližje asfaltni cesti, ZVD dlje stran.

- Pri nekaterih naravnih radionuklidih so razlike možne zaradi upoštevanja/neupoštevanja ravnovesnih faktorjev staršev s potomci.

Pri primerjavi posamičnih meritev vzorca zemlje v mobilnem laboratoriju MERZ in ELME pa so razhajanja posledica debelin svinčenega ščita, saj je razmerje ozadje/vzorec v primeru ZVD bistveno boljše kot v primeru IJS, kar se tudi vidi v zmožnosti poročanja rezultatov za takšne krajše meritve na terenu.

OPAŽANJA IN PREDLOGI:

- OP5. ZVD – predlagamo izvedbo in-situ meritev v višjih doznih poljih, ki jih lahko ustvarimo z močnejšim virom Cs-137. Na ta način lahko preverimo v kakšnih doznih poljih bi detektorji še lahko učinkovito delovali na terenu oziroma je mrtvi čas detektorjev še sprejemljiv. Na ta način se bi lahko s pomočjo spektrometrije gama in-situ določili tudi okvirni pretvorbeni faktorji merilnikov hitrosti doz ($[\text{Bq}/\text{m}^2]/[\mu\text{Sv}/\text{h}]$) za hitro oceno površinske kontaminacije na širših območjih (v okviru nekega privzetega nabora radionuklidov, ki je odvisen od časa po izpustih v primeru nesreče).
- OP6. IJS – predlagamo nakup prenosnega senčnika, ki bo v primeru sončnega vremena omogočal boljšo vidljivost na zaslonu prenosnega računalnika, kjer se izvajajo in-situ analize.
- OP7. IJS – uporaba trenutno razpoložljivih dveh agregatov je nepraktična in ne zadošča potrebam ELME, zato predlagamo nakup enega, dovolj zmogljivega agregata.

3 Meritve v mobilnem laboratoriju

Nekatere vzorce iz okolja in vroče vzorce smo merili v svinčenih ščitih v mobilnem laboratoriju MERZ in ELME ter TO.RZ NEK.



Slika 8: Izvajanje meritev v mobilnem laboratoriju

3.1 Vzorčenje in meritev okolijskih vzorcev

V tokratnem obhodu mobilnih enot smo kot vzorec iz okolja vzorčili in merili jabolko, ki smo ga izmerili neposredno postavljenega na detektor. Za analizo smo uporabili matematično kalibracijo v obliki krogle kot najbližji približek jabolku. Rezultati meritev so prikazani v tabeli 4 na strani 20.

IJS z meritvami ni določil nobenega izotopa oziroma so aktivnosti pod mejami detekcije ali kvantifikacije. ZVD ima v mobilnem laboratoriju svinčen ščit debeline 5 cm (IJS le 2,5 cm), zato so detekcijske meje znižane in posledično je MERZ lahko določil koncentraciji aktivnosti za K-40 in Cs-137.

3.2 Meritev »vročih« vzorcev

V mobilnih laboratorijih ZVD, IJS in NEK smo izmerili dva vzorca s povišanimi aktivnostmi, in sicer smo merili dva standardna vzorca zračnih filtrov iz steklenih vlaken ter z aktivnim ogljem. Rezultati meritev so prikazani v tabelah 5 in 6 na straneh 21 in 22.

Odstopanja rezultatov med mobilnimi enotami in glede na referenčne vrednosti s certifikata so okrog 10% (izjema so nekateri kratkoživi radionuklidi, kjer so trenutno v vzorcu zelo nizke aktivnosti), pri čemer v primeru zračnega filtra iz steklenih vlaken ZVD v splošnem izmeri rahlo nižje aktivnosti od dejanskih, IJS in NEK pa rahlo višje, v primeru filtra z aktivnim ogljem pa je ravno obratno.

OPAŽANJA IN PREDLOGI:

OP8. ZVD – predlagamo izvedbo laboratorijskih meritev v višjih doznih poljih (npr. nekaj 10 $\mu\text{Sv/h}$), ki jih lahko ustvarimo z močnejšim virom Cs-137. V kolikor se uporabi vir ZVD, bi bilo potrebno meritve organizirati izven območja NEK, razen če se uredi vnos radioaktivnega vira ali uporabi kak primeren vir iz NEK. Na ta način lahko preverimo v kakšnih doznih poljih bi mobilni laboratoriji še lahko učinkovito delovali na terenu. Podobno bi lahko meritev izvedli z raztopino I-131 v Marinellijevi čaši (simulacija ozadja pri nesreči), kjer bi merili z dodatno aktivnostjo I-131 nakapan bris, vendar bi v tem primeru le preverili kakšen mrtvi čas detektorja je še sprejemljiv.

3.3 Meritev vsebnosti joda v ščitnici

Za določevanje oziroma simulacijo notranje kontaminacije ščitnice z I-131 smo izvedli primerjalne meritve z virom Ba-133. Dogovorili smo se, da poročamo aktivnosti, kot da je prisoten I-131. Meritve smo opravili MERZ, ELME in TO.RZ, rezultati meritev so prikazani v tabeli 7 na strani 23, poročali smo aktivnosti določene na podlagi umerjenih pretvorbenih faktorjev merilnikov hitrosti doze.



Slika 9: Določevanje notranje kontaminacije ščitnice

Odstopanja rezultatov med mobilnimi enotami so okrog 20%, pri čemer ZVD izmeri nižje aktivnosti od dejanske/referenčne, IJS rahlo višje, NEK pa doseže zelo dobro ujemanje.

OPAŽANJA IN PREDLOGI:

- OP9. ZVD – opažamo sistematsko nižje izmerjene vrednosti na zadnjih nekaj obhodih mobilnih enot, zato bomo preverili kalibracijske faktorje merilnikov z novo raztopino I-131 in jih posodobili.
- OP10. IJS – predlagamo poleg takojšnje primerjave med izmerjenimi rezultati tudi primerjavo z znano aktivnostjo vzorca.

3.4 Meritev skupne aktivnosti beta

V mobilnih laboratorijih ZVD, IJS in NEK smo izvedli primerjalne meritve s filtrom, ki je vseboval sevalce beta delcev, kjer smo določili skupno aktivnost beta. Rezultati meritev so prikazani v tabeli 8 na strani 24. Odstopanja rezultatov med mobilnimi enotami so okrog 20%, pri čemer ZVD in NEK izmerita nižje aktivnosti od dejanske (podatki s certifikata), IJS pa rahlo višje.

4 Posebna opravila in meritve različnih parametrov

4.1 Meritve meteoroloških parametrov

Na lokaciji NEK smo opravili meritve vremenskih pogojev. Vremenska postaja ZVD je bila pozicionirana na višini 1,5 metra nad tlemi, medtem ko je bila postaja IJS na višini vsaj 3 metrov.



Slika 10: Izvajanje meritev z vremensko postajo

ZVD ima brezžično vremensko postajo, ki jo povežemo v splet in je tako dostopna na spletni platformi Weather Underground pod kodo ILJUBL21. Merski podatki so prikazani na sliki 11. IJS vremenske podatke prepisuje sprti na obrazec, kot je prikazano na sliki 12.

June 15, 2021

Time	Temperature	Dew Point	Humidity	Wind	Speed	Gust	Pressure	Precip. Rate.	Precip. Accum.	UV	Solar
9:34 AM	18.7 °C	10.6 °C	60 %	NNE	0.0 km/h	0.0 km/h	1,048.76 hPa	0.00 mm	0.00 mm	0	w/m²
9:37 AM	19.1 °C	10.7 °C	59 %	NE	0.8 km/h	1.2 km/h	1,048.76 hPa	0.00 mm	0.00 mm	0	w/m²
9:44 AM	19.6 °C	10.5 °C	56 %	WSW	0.4 km/h	0.4 km/h	1,048.76 hPa	0.00 mm	0.00 mm	0	w/m²
9:49 AM	20.2 °C	10.5 °C	54 %	WNW	0.0 km/h	0.0 km/h	1,048.76 hPa	0.00 mm	0.00 mm	0	w/m²
9:54 AM	21.2 °C	11.0 °C	52 %	SE	0.3 km/h	0.3 km/h	1,048.09 hPa	0.00 mm	0.00 mm	0	w/m²
9:59 AM	21.9 °C	11.3 °C	51 %	West	0.2 km/h	0.2 km/h	1,048.09 hPa	0.00 mm	0.00 mm	0	w/m²
10:04 AM	22.1 °C	11.7 °C	52 %	NW	0.5 km/h	0.6 km/h	1,048.09 hPa	0.00 mm	0.00 mm	0	w/m²
10:09 AM	22.1 °C	11.1 °C	50 %	SSE	0.8 km/h	1.0 km/h	1,048.09 hPa	0.00 mm	0.00 mm	0	w/m²
10:14 AM	22.5 °C	11.0 °C	48 %	WSW	0.4 km/h	0.4 km/h	1,048.09 hPa	0.00 mm	0.00 mm	0	w/m²
10:19 AM	23.0 °C	11.4 °C	48 %	SSW	1.3 km/h	1.5 km/h	1,048.09 hPa	0.00 mm	0.00 mm	0	w/m²
10:24 AM	23.0 °C	11.1 °C	47 %	South	1.6 km/h	1.9 km/h	1,048.09 hPa	0.00 mm	0.00 mm	0	w/m²
10:29 AM	23.0 °C	11.4 °C	48 %	SW	0.9 km/h	1.0 km/h	1,048.09 hPa	0.00 mm	0.00 mm	0	w/m²
10:34 AM	23.0 °C	10.6 °C	46 %	South	0.4 km/h	0.4 km/h	1,048.09 hPa	0.00 mm	0.00 mm	0	w/m²
10:39 AM	23.4 °C	10.9 °C	45 %	West	0.6 km/h	0.6 km/h	1,048.09 hPa	0.00 mm	0.00 mm	0	w/m²
10:44 AM	23.5 °C	10.6 °C	44 %	SSE	1.4 km/h	2.0 km/h	1,048.09 hPa	0.00 mm	0.00 mm	0	w/m²
10:49 AM	23.5 °C	10.1 °C	43 %	SSE	2.2 km/h	2.8 km/h	1,048.09 hPa	0.00 mm	0.00 mm	0	w/m²
10:54 AM	23.7 °C	9.7 °C	41 %	SSE	0.7 km/h	0.8 km/h	1,048.09 hPa	0.00 mm	0.00 mm	0	w/m²
10:56 AM	24.0 °C	9.8 °C	41 %	SSW	0.0 km/h	0.0 km/h	1,048.09 hPa	0.00 mm	0.00 mm	0	w/m²
11:54 AM	25.7 °C	8.4 °C	33 %	SSW	0.6 km/h	0.6 km/h	1,048.09 hPa	0.00 mm	0.00 mm	0	w/m²
11:59 AM	26.3 °C	8.8 °C	33 %	SSW	1.3 km/h	1.4 km/h	1,048.09 hPa	0.00 mm	0.00 mm	0	w/m²
12:04 PM	26.6 °C	8.6 °C	32 %	SSW	0.6 km/h	0.7 km/h	1,048.09 hPa	0.00 mm	0.00 mm	0	w/m²
12:09 PM	26.5 °C	9.2 °C	34 %	SSE	0.9 km/h	1.2 km/h	1,048.09 hPa	0.00 mm	0.00 mm	0	w/m²
12:14 PM	26.5 °C	9.3 °C	34 %	SSE	0.7 km/h	0.8 km/h	1,048.09 hPa	0.00 mm	0.00 mm	0	w/m²
12:19 PM	26.9 °C	9.4 °C	33 %	SSW	0.6 km/h	0.7 km/h	1,048.09 hPa	0.00 mm	0.00 mm	0	w/m²
12:24 PM	27.2 °C	9.5 °C	33 %	SW	0.5 km/h	0.6 km/h	1,047.07 hPa	0.00 mm	0.00 mm	0	w/m²
12:29 PM	27.3 °C	10.0 °C	34 %	SE	0.7 km/h	0.9 km/h	1,047.07 hPa	0.00 mm	0.00 mm	0	w/m²
12:34 PM	27.4 °C	10.6 °C	35 %	SE	0.8 km/h	1.0 km/h	1,048.09 hPa	0.00 mm	0.00 mm	0	w/m²
12:39 PM	27.4 °C	10.1 °C	34 %	SW	0.5 km/h	0.6 km/h	1,048.09 hPa	0.00 mm	0.00 mm	0	w/m²

Slika 11: Vremenski podatki MERZ

METEOROLOŠKI PARAMETRI

Lokacija: NEK Datum: 15.6.2021

ČAS (hh:mm)	VETER		ZRAK		
	HITROST (m/s)	SMER (°)	TEMPERATURA (°C)	RELATIVNA VLAŽNOST (%)	TLAK (hPa)
09:58	1,1	164	23,9	45	1028,9
10:00	0,6	248	23,9	45	1028,8
10:02	0,9	246	23,9	46	1028,8
10:04	0	139	23,8	48	1028,7
10:06	0,6	171	23,8	44	1028,7
10:08	0,5	173	23,8	44	1028,6
10:10	0,1	186	23,8	43	1028,7
10:12	0	158	23,8	42	1028,8
10:14	1,1	292	23,9	42	1028,8
10:16	0	147	23,9	42	1028,7

Količina padavin v času meritev (mm): 0

Slika 12: Vremenski podatki ELME

OPAŽANJA IN PREDLOGI:

OP11. ZVD – vremenske postaje ne smemo postaviti v bližino zgradb, saj se tako lahko zelo spremenijo vetrovne razmere. Predlagamo, da se vremenska postaja postavi vsaj dvakrat dlje od višine zgradbe v neposredni bližini.

4.2 Meritve osebnih doz

Vsi člani mobilnih enot ZVD in IJS so v času obhoda 14.-16.6. uporabljali osebne pasivne dozimetre (OSL ali TLD) ter 16.6. tudi osebne alarmne elektronske dozimetre.

Noben član ni prejel doze povišane nad naravnim ozadjem.

4.3 Vzpostavitev kontrolne točke in uporaba zaščitne opreme

Na zadnji dan obhoda (16.6.) smo izvedli preverjanje ustreznosti osebne zaščitne opreme, njeno uporabo in vzpostavitev morebitne kontrolne točke za izstop iz radiološko nadzorovanega območja. Člana MERZ in ELME sta uporabila popolno zaščitno opremo, ki je vključevala papirni kombinezon, obujke, bombažne in lateks rokavice ter celo obrazno dihalno masko s partikulatnim in ogljenim filtrom. Rok uporabe filtrov ni bil pretečen.

Po oblačenju zaščitne opreme smo testirali še njeno odstranjevanje z naknadnimi meritvami osebne kontaminacije, kjer je potrebno biti pozoren, da ne pride do sekundarne kontaminacije (deli telesa ali drugi člani ekipe).



Slika 13: Vzpostavitev kontrolne točke in uporaba osebne varovalne opreme

OPAŽANJA IN PREDLOGI:

- OP12. ZVD – v MERZ nismo uporabljali rokavic z debelejšim lateksom, tanjše pa se lahko ob intenzivnem delu in na ostrih robovih hitro strgajo, kljub temu, da uporabimo več plasti. V MERZ bomo nabavili močnejše rokavice.
- OP13. ZVD – dodatno opozorilo gre tudi na račun staranja lateksa; v MERZ smo v preteklih letih ugotovili, da se zaradi vročine/mraza in posledičnega hitrejšega staranja kakovost lateksa zmanjšuje ter posledično začnejo rokavice trgati, zato predlagamo, da se v mobilnih enotah rokavice uporabljajo do največ 3 leta in nato ustrezno menjajo.
- OP14. IJS – pri vaji oblačenja zaščitne opreme nismo imeli s sabo gumijastih škornjev. Predlagamo, da se v prihodnje škornje vzame s sabo na teren.
- OP15. IJS – pri vaji oblačenja predlagamo občasno kontrolirano kontaminacijo, da udeleženci lahko dejansko izmerijo in locirajo vroče točke ter posledično pravilno izvesti dekontaminacijo.

4.4 Meritev radionuklidov v telesu

Član ELME je opravil celotelesno meritev radionuklidov v NEK, kjer ni bilo ugotovljene nobene notranje kontaminacije.

OPAŽANJA IN PREDLOGI:

- OP16. ZVD – predlagamo, da se občasno meritev izvede bodisi z uporabo točkastih virov za simulirano interno kontaminacijo pred ščitnico ali na prsih (pljuča) bodisi z realno nadzorovano kontaminacijo, na primer nakapana raztopina I-131 na suhem brisu ali bolj kontaminiran bris iz radiološko nadzorovanega območja NEK, ki je nato hermetično zaprt. V primeru I-131 se lahko uporabi aktivnosti pod nivoji izvzetja.
- OP17. IJS – meritve radionuklidov v celem telesu delamo v skladu s pravilnikom JV-10, a menimo, da v primeru izrednega dogodka v NEK, takšne meritve ne bodo del našega programa dela in jih hkrati v NEK niti ne bo mogoče opraviti. Predlagamo, da se poišče alternativna rešitev.

4.5 Poročanje rezultatov in komunikacija s terena

Na zadnji dan obhoda (16.6.) smo tudi preverili komunikacijo na terenu in izmenjavo informacij preko postaj ZARE. V ta namen smo na CORS rezervirali ZARE kanal 37, ki smo ga MERZ in ELME uporabljali za komunikacijo.

Na Libni smo v okolici lovskega doma označili 10 merskih točk, kjer so nato člani MERZ, ELME in TO.RZ NEK opravili meritve in sporočili rezultate preko radijske postaje. MERZ in ELME sta poročala v sistemu ZARE, NEK pa v lastnem sistemu. ZVD je nekatere merske točke »oplemenil« s točkastimi viri, da so bile meritve MERZ (ZVD) še vedno nima radijske postaje za poročanje NEK, nanjo čakamo že 2 leti, saj se dokončna investicija v nov digitalni sistem odmika oziroma nam njen status ni znan.

Poročanje s postajami ZARE naj sledi t.i. 3-smerni komunikaciji, najprej izvajalec meritev poroča »s terena« v »centralo«, nato »centrala« ponovi na list zabeležene rezultate, obvezno pa mora nato izvajalec meritev potrditi točnost prebranih rezultatov.



Slika 14: Izvajanje meritev hitrosti doz s sporočanjem terenskih rezultatov s postajo ZARE

OPAŽANJA IN PREDLOGI:

- OP18. ZVD in IJS - 3-smerno komunikacijo je potrebno dosledno upoštevati. To je potrebno zagotoviti z ustreznimi rednimi vajami.

- OP19. ZVD – v MERZ za zapisovanje uporabljamo izključno kemične svinčnike, kjer se zapisi ne razmažejo v primeru dežja. Za zapisovanje kakršnihkoli meritev odsvetujemo uporabo nalivnikov ali svinčnikov na črnila.
- OP20. ZVD in IJS – za izmenjavo podatkov preko postaj ZARE je smiselno uporabljati en kanal za vsako posamezno ekipo, saj se sicer informacije preveč mešajo med seboj in komunikacija poteka prepočasi. Predlagamo, da se rezervira in uporabi dva simpleksna kanala.
- OP21. ZVD – člani ekipe včasih začnejo prehitro podajati informacije po stisku gumba, zato se začetni del informacije izgubi. Pri poročanju naj se z govorom tako počaka vsaj 1-2 sekundi po stisku gumba postaje ZARE.
- OP22. ZVD – ker imamo MERZ in ELME praktično enake postaje ZARE, jih bomo na ZVD ustrezno označili, da bo hitro razvidno, za katero postajo gre.
- OP23. ZVD – predlagamo, da NEK obvesti ZVD o terminskem planu vključitve v njihov digitalni radijski sistem.
- OP24. ZVD – predlagamo vpeljavo dodatnega poročanja s terena v sistem KID, ki ga upravlja URSJV.

4.6 Meritve z radijskimi merilniki Saphymo

Na koncu obhoda (16.6.) smo MERZ, ELME in TO.RZ NEK preverili še vključenost in prenos podatkov z merilnikov Saphymo miniTRACE v radijski sistem NEK. Vsi merilniki mobilnih enot so se povezali, podatki so se uspešno prenesli skupaj z GPS pozicijo merilnika. Na vrhu Libne smo sicer imeli neposreden pogled na NEK, zato je bila povezava zelo dobra.



Slika 15: Vključitev merilnikov hitrosti doz gama Saphymo miniTRACE v sistem NEK

OPAŽANJA IN PREDLOGI:

- OP25. ZVD – predlagamo različna testiranja dosega radijskega signala merilnikov Saphymo in morebitne črne točke v okolici NEK.

5 Zaključne ugotovitve

V okviru obhoda mobilnih enot ZVD in IJS (MERZ in ELME) smo izvedli vse aktivnosti, ki so predpisane po programu iz pravilnika JV11. Skupaj z mobilno enoto TO.RZ NEK smo izvedli primerjalne meritve vročih vzorcev, skupne aktivnosti beta in aktivnosti I-131 v ščitnici.

Prav tako smo preverili delovanje različne opreme, ki je delovala brezhibno.

S podrobno analizo vseh aktivnosti članov mobilni enot smo opazili in izpostavili določena mesta za izboljšave ter tudi predlagali rešitve. Vsa ta opažanja in predlogi so navedeni v posameznih podpoglavjih z oznakami »OP##«, na enem mestu pa smo jih zbrali v tabeli 1 spodaj.

5.1 Zbirni seznam opažanj in predlogov

Tabela 1 Zbirna tabela opažanj in predlogov z obhoda mobilnih enot

Oznaka	Predlagatelj – Vsebina	Stran
OP1	ZVD – aplikacija Route monitoring pri raznih obhodih in meritvah deluje neprekinjeno, zato porabi veliko energije in baterije. Zato je smiselno med vožnjo tablični računalnik imeti priključen na stalno napajanje	4
OP2	ZVD – aplikacija na tabličnem računalniku deluje neprekinjeno do okvirno 4 ure, zato bomo v MERZ nabavili dodatno polnilno Li-ionsko baterijo kapacitete vsaj 10000 mAh.	4
OP3	ZVD – v MERZ smo imeli med izvajanjem mapiranja občasne težave z bluetooth povezljivostjo merilnika Automess AD-b in tabličnega računalnika, kar je bila posledica delno iztrošene baterije merilnika. Zato je pri potrebno biti pozoren na napetost baterije (9 V), ki v tem primeru ne sme pasti preveč pod 8 V.	4
OP4	IJS – meritve dozne hitrosti na vedno enakih in dobro poznanih merskih mestih so nesmiselne. Predlagamo, da se v bodoče merska mesta določi dinamično v posvetu z odgovornimi osebami URSJV, ki lahko ob pomoči razpoložljivih računalniških orodij simulirajo smer izpusta v okolje in ustvarijo nepredvidljive okoliščine, ki se jim moramo na terenu nato prilagoditi in jih upoštevati. S tem bi dosegli glavne cilje vaje, ki so sprejemanje pravilnih taktičnih odločitev na terenu, izvedba meritev na mestih pomembnih za varstvo prebivalstva, sodelovanje z inšpektorji URSJV in zaščita lastnih terenskih ekip pred sevanjem.	6
OP5	ZVD – predlagamo izvedbo in-situ meritev v višjih doznih poljih, ki jih lahko ustvarimo z močnejšim virom Cs-137. Na ta način lahko preverimo v kakšnih doznih poljih bi detektorji še lahko učinkovito delovali na terenu oziroma je mrtvi čas detektorjev še sprejemljiv. Na ta način se bi lahko s pomočjo spektrometrije gama in-situ določili tudi okvirni pretvorbeni faktorji merilnikov hitrosti doz ($[Bq/m^2]/[\mu Sv/h]$) za hitro oceno površinske kontaminacije na širših območjih (v okviru nekega privzetega nabora radionuklidov, ki je odvisen od časa po izpustih v primeru nesreče).	8
OP6	IJS – predlagamo nakup prenosnega senčnika, ki bo v primeru sončnega vremena omogočal boljšo vidljivost na zaslonu prenosnega računalnika, kjer se izvajajo in-situ analize.	8

Oznaka	Predlagatelj – Vsebina	Stran
OP7	IJS – uporaba trenutno razpoložljivih dveh agregatov je nepraktična in ne zadošča potrebam ELME, zato predlagamo nakup enega, dovolj zmogljivega agregata.	8
OP8	ZVD – predlagamo izvedbo laboratorijskih meritev v višjih doznih poljih (npr. nekaj 10 $\mu\text{Sv/h}$), ki jih lahko ustvarimo z močnejšim virom Cs-137. V kolikor se uporabi vir ZVD, bi bilo potrebno meritve organizirati izven območja NEK, razen če se uredi vnos radioaktivnega vira ali uporabi kak primeren vir iz NEK. Na ta način lahko preverimo v kakšnih doznih poljih bi mobilni laboratoriji še lahko učinkovito delovali na terenu. Podobno bi lahko meritev izvedli z raztopino I-131 v Marinellijevi čaši (simulacija ozadja pri nesreči), kjer bi merili z dodatno aktivnostjo I-131 nakapan bris, vendar bi v tem primeru le preverili kakšen mrtvi čas detektorja je še sprejemljiv.	9
OP9	ZVD – opažamo sistematsko nižje izmerjene vrednosti na zadnjih nekaj obhodih mobilnih enot, zato bomo preverili kalibracijske faktorje merilnikov z novo raztopino I-131 in jih posodobili.	10
OP10	IJS – predlagamo poleg takojšnje primerjave med izmerjenimi rezultati tudi primerjavo z znano aktivnostjo vzorca.	10
OP11	ZVD – vremenske postaje ne smemo postaviti v bližino zgradb, saj se tako lahko zelo spremenijo vetrovne razmere. Predlagamo, da se vremenska postaja postavi vsaj dvakrat dlje od višine zgradbe v neposredni bližini.	11
OP12	ZVD – v MERZ nismo uporabljali rokavic z debelejšim lateksom, tanjše pa se lahko ob intenzivnem delu in na ostrih robovih hitro strgajo, kljub temu, da uporabimo več plasti. V MERZ bomo nabavili močnejše rokavice.	12
OP13	ZVD – dodatno opozorilo gre tudi na račun staranja lateksa; v MERZ smo v preteklih letih ugotovili, da se zaradi vročine/mraza in posledičnega hitrejšega staranja kakovost lateksa zmanjšuje ter posledično začnejo rokavice trgati, zato predlagamo, da se v mobilnih enotah rokavice uporabljajo do največ 3 leta in nato ustrezno menjajo.	12
OP14	IJS – pri vaji oblačenja zaščitne opreme nismo imeli s sabo gumijastih škornjev. Predlagamo, da se v prihodnje škornje vzame s sabo na teren.	12
OP15	IJS – pri vaji oblačenja predlagamo občasno kontrolirano kontaminacijo, da udeleženci lahko dejansko izmerijo in locirajo vroče točke ter posledično pravilno izvesti dekontaminacijo.	12
OP16	ZVD – predlagamo, da se občasno meritev izvede bodisi z uporabo točkastih virov za simulirano interno kontaminacijo pred ščitnico ali na prsih (pljuča) bodisi z realno nadzorovano kontaminacijo, na primer nakapana raztopina I-131 na suhem brisu ali bolj kontaminiran bris iz radiološko nadzorovanega območja NEK, ki je nato hermetično zaprt. V primeru I-131 se lahko uporabi aktivnosti pod nivoji izvzetja.	13
OP17	IJS – meritve radionuklidov v celem telesu delamo v skladu s pravilnikom JV-10, a menimo, da v primeru izrednega dogodka v NEK, takšne meritve ne bodo del našega programa dela in jih hkrati v NEK niti ne bo mogoče opraviti. Predlagamo, da se poišče alternativna rešitev.	13

Oznaka	Predlagatelj – Vsebina	Stran
OP18	ZVD in IJS - 3-smerno komunikacijo je potrebno dosledno upoštevati. To je potrebno zagotoviti z ustreznimi rednimi vajami.	13
OP19	ZVD – v MERZ za zapisovanje uporabljamo izključno kemične svinčnike, kjer se zapisi ne razmažejo v primeru dežja. Za zapisovanje kakršnihkoli meritev odsvetujemo uporabo nalivnikov ali svinčnikov na črnila.	14
OP20	ZVD in IJS – za izmenjavo podatkov preko postaj ZARE je smiselno uporabljati en kanal za vsako posamezno ekipo, saj se sicer informacije preveč mešajo med seboj in komunikacija poteka prepočasi. Predlagamo, da se rezervira in uporabi dva simpleksna kanala.	14
OP21	ZVD – člani ekipe včasih začnejo prehitro podajati informacije po stisku gumba, zato se začetni del informacije izgubi. Pri poročanju naj se z govorom tako počaka vsaj 1-2 sekundi po stisku gumba postaje ZARE.	14
OP22	ZVD – ker imamo MERZ in ELME praktično enake postaje ZARE, jih bomo na ZVD ustrezno označili, da bo hitro razvidno, za katero postajo gre.	14
OP23	ZVD – predlagamo, da NEK obvesti ZVD o terminskem planu vključitve v njihov digitalni radijski sistem.	14
OP24	ZVD – predlagamo vpeljavo dodatnega poročanja s terena v sistem KID, ki ga upravlja URSJV.	14
OP25	ZVD – predlagamo različna testiranja dosega radijskega signala merilnikov Saphymo in morebitne črne točke v okolici NEK.	14

6 Priloge

Originalna poročila o meritvah so priloge tega poročila:

1. Poročilo o meritvah sevalnih razmer, ZVD številka LMSAR-53/2021-MG
2. Poročilo o meritvah radioaktivnosti, ZVD številka LMSAR-54/2021-MG
3. Poročilo o meritvah radioaktivnosti, ZVD številka LMSAR-55/2021-MG
4. Poročilo o meritvah ionizirajočega sevanja, IJS številka 35/2021
5. Poročilo o rezultatih meritev aktivnosti sevalcev gama, IJS številka 36/2021
6. Poročilo o rezultatih meritev aktivnosti sevalcev gama, IJS številka 37/2021

Tabela 2 Meritve hitrosti doz in kontaminacije na izbranih lokacijah v okolici NEK

Izvajalec meritve:		ZVD				IJS			
Lokacija	Merilnik:	Automess AD-b Hitrost doze (μ Sv/h)	Berthold LB 124 Kontaminacija β/γ (cps)	Automess 6150AD Hitrost doze (nSv/h)	Automess 6150AD Hitrost doze (nSv/h)	Berthold LB 124 Kontaminacija β/γ (cps)	Berthold LB 124 Kontaminacija α (cps)		
Čatež, Hotel Terme	GPS koordinate	0,05	4,0	54	67	6,5	0,10		
	N 45,8921° E 15,6207°								
Gornji Lenart	GPS koordinate	0,07	6,3	89	60	6,5	0,01		
	N 45,9279° E 15,5733°								
Zajetje Glogov Brod	GPS koordinate	0,06	9,5	73	64	7,0	0,08		
	N 45,9735° E 15,5883°								
Spodnji Stari Grad	GPS koordinate	0,07	10,7	68	77	7,2	0,02		
	N 45,9429° E 15,5313°								
Vrbina	GPS koordinate	0,08	11,8	84	95	8,1	0,01		
	N 45,9443° E 15,5047°								
Krško, stari most	GPS koordinate	0,06	8,7	61	73	8,4	0		
	N 45,9586° E 15,4880°								
Vodarna Rore	GPS koordinate	0,05	7,8	49	51	5,6	0,01		
	N 45,9713° E 15,4774°								
Leskovec	GPS koordinate	0,09	11,7	77	94	7,3	0,02		
	N 45,9374° E 15,4730°								
Brege	GPS koordinate	0,08	10,9	68	75	8,3	0,01		
	N 45,9199° E 15,4971°								
Vihre	GPS koordinate	0,06	12,7	66	77	7,3	0,02		
	N 45,9139° E 15,5247°								

Tabela 3 Meritve koncentracije aktivnosti v zemlji (primerjava in-situ merite in meritve vzete v mobilnem laboratoriju)

Primerjalne meritve

Analizni list

Izvajalec priprave: ZVD, A. Ivanc, M. Podvratnik

Datum vzorčevanja: 17.06.2021

Vzorčevalno mesto: travnik, Libna, Krško

Vrsta vzorca: in-situ meritev zemlje (stojalo 1 m od tal)

Izvajalec priprave: ZVD, A. Ivanc, M. Podvratnik

Datum vzorčevanja: 17.06.2021

Vzorčevalno mesto: travnik, Libna, Krško

Vrsta vzorca: zemlja globlino do 10 cm

Primerjalne meritve

Analizni list

Izvajalec	ZVD	IJS	Razlika ZVD IJS
Datum analize*	06.10.2020		
Količina mer. Vzorca	kg	kg	
Oznaka vzorca	zemlja IS Libna 21-06	E21IN61	
Radionuklid***	Specifična aktivnost (Bq/kg)**		upoštevanje vrednosti
Be-7	9,1 ± 2,4	5,8 ± 2,2	56,9%
K-40	255 ± 28	305 ± 35	-16,4%
Cs-137	7,5 ± 1	10,6 ± 1,3	-29,2%
Ra-226	25 ± 2,7	42 ± 5	-40,5%
Ra-228	22 ± 3	26 ± 3	-15,4%
Th-228	22 ± 3	27 ± 3	-18,5%
Cs-137 (Bq/m2)	350 ± 45	370 ± 44	-5,4%

Izvajalec	ZVD	IJS	Razlika ZVD IJS
Datum analize*	17.06.2021	17.06.2021	
Količina mer. Vzorca	0,214 kg	0,439 kg	
Oznaka vzorca	zemlja VZ Libna 21-06	E21ZN61	
Radionuklid***	Specifična aktivnost (Bq/kg)**		
K-40	225 ± 40	370 ± 45	-39,2%
Cs-137	8,4 ± 1,6	16 ± 2	-47,5%
U-238	19 ± 11		
Ra-226	21 ± 3		
Pb-210	53 ± 17		
Ra-228	20 ± 4	25 ± 4	-20,0%
Th-228	15 ± 4	38 ± 3	-60,5%

OPOMBA: Medsebojna primerjava poročanih vrednosti in relativna odstopanja vključno z barvno skalo (< 10% – 10-20% – 20-30% – > 30%) so le informativne narave in upoštevajo le razmerja poročanih vrednosti ne pa tudi merskih negotovosti.

Tabela 4 Meritve koncentracije aktivnosti v vzorcu iz okolja

Primerjalne meritve

Analizni list

Izvajalec priprave:	ZVD, M. Giacomelli
Datum vzorčevanja:	15.06.2021
Vzorčevalno mesto:	Krško
Vrsta vzorca:	Jabolko, krogla 2R= 7cm

Izvajalec	ZVD	IJS	Razlika ZVD IJS
Datum analize*	15.06.2021	15.06.2021	
Količina mer. Vzorca	0,162 kg	0,158 kg	
Oznaka vzorca	JAB-NEK-202106	E21JABOLK061	
Radionuklid***	Specifična aktivnost (Bq/kg)**		
K-40	52 ± 13	< 123	-57,7%
Cs-137	1,5 ± 0,6	< 6,8	-77,9%
Co-60	< 5,1	< 6,1	-16,4%
I-131	< 3,0	< 6,2	-51,6%
Cs-134	< 3,9	< 7	-44,3%

OPOMBA: Medsebojna primerjava poročanih vrednosti in relativna odstopanja vključno z barvno skalo (< 10% – 10-20% – 20-30% – > 30%) so le informativne narave in upoštevajo le razmerja poročanih vrednosti ne pa tudi merskih negotovosti.

Tabela 5 Meritve aktivnosti za zračnem filtru iz steklenih vlaken

Primerjalne meritve

Analizni list

Izvajalec priprave: ZVD, M. Giacomelli

Datum vzorčevanja: 15.06.2021

Vzorčevalno mesto: NEK RZ - merjeno na terenu

Vrsta vzorca: GF značni filter Analytix A34897

Izvajalec	Datum analize*	ZVD	IJS	NEK	Ref. vrednost	Odstopanje od povprečja			Odstopanje od referenčnih vrednosti			
						ZVD	IJS	NEK	ZVD	IJS	NEK	
	15.06.2021	15.06.2021	15.06.2021	15.06.2021	15.06.2021							
Količina mer. Vzorca	1 vzorec	1 vzorec	1 vzorec	1 vzorec	1 vzorec							
Oznaka vzorca	GF5-NEK-210615	E21AE61	A34897									
Radionuklid***	Specifična aktivnost (Bq/vzorec)**											
Mn-54	1230 ± 40	1400 ± 110	1330 ± 180	1199 ± 48		-6,8%	6,1%	0,8%	2,6%	16,8%	10,9%	
Co-57	21 ± 3	26 ± 3	29 ± 2			-17,1%	2,6%	14,5%				
Co-60	5020 ± 180	5500 ± 320	5360 ± 600	5315 ± 213		-5,2%	3,9%	1,3%	-5,6%	3,5%	0,8%	
Zn-65	990 ± 55	1100 ± 75	1140 ± 230	963 ± 39		-8,0%	2,2%	5,9%	2,8%	14,2%	18,4%	
Cs-134	2240 ± 40	2460 ± 140	2450 ± 280	2434 ± 97		-6,0%	3,2%	2,8%	-8,0%	1,1%	0,7%	
Cs-137	5180 ± 130	5900 ± 460	5680 ± 680	5697 ± 228		-7,3%	5,6%	1,7%	-9,1%	3,6%	-0,3%	

OPOMBA: Medsebojna primerjava poročanih vrednosti in relativna odstopanja vključno z barvno skalo (< 10% – 10-20% – 20-30% – > 30%) so le informativne narave in upoštevajo le razmerja poročanih vrednosti ne pa tudi merskih negotovosti.

Tabela 6 Meritve aktivnosti za zračnem filtru iz aktivnega oglja

Primerjalne meritve

Analizni list

Izvajalec priprave: ZVD, M. Giacomelli

Datum vzorčevanja: 15.06.2021

Vzorčevalno mesto: NEK RZ - merjeno na terenu

Vrsta vzorca: ogljeni zračni filter Analytics SRS 112246

Izvajalec	ZVD	IJS	NEK	Ref. vrednost	Odstopanje od povprečja			Odstopanje od referenčnih vrednosti		
					ZVD	IJS	NEK	ZVD	IJS	NEK
Datum analize*	15.06.2021	15.06.2021	15.06.2021	15.06.2021						
Količina mer. Vzorca	1 vzorec	1 vzorec	1 vzorec	1 vzorec						
Oznaka vzorca	CCP5-NEK-210615	E21JD61		SRS 112246						
Radionuklid***	Specifična aktivnost (Bq/vzorec)**									
Co-57	185 ± 13	185 ± 17	191 ± 28	199 ± 8	-1,1%	-1,1%	2,1%	-7,2%	-7,2%	-4,2%
Co-60	2300 ± 80	2230 ± 320	2380 ± 270	2323 ± 93	-0,1%	-3,2%	3,3%	-1,0%	-4,0%	2,5%
Y-88	36 ± 7	38 ± 3	28 ± 12	36 ± 1	5,9%	11,8%	-17,6%	1,1%	6,7%	-21,3%
Cd-109	20900 ± 850	19400 ± 2200	21000 ± 2800	20350 ± 814	2,3%	-5,1%	2,8%	2,7%	-4,7%	3,2%
Sn-113	35 ± 10	26 ± 4		31 ± 1	14,8%	-14,8%		12,6%	-16,3%	
Cs-137	1840 ± 60	1800 ± 140	1830 ± 230	1849 ± 74	0,9%	-1,3%	0,4%	-0,5%	-2,7%	-1,0%
Ce-139	40 ± 5	36 ± 4	42 ± 13	40 ± 2	1,7%	-8,5%	6,8%	0,0%	-10,0%	5,0%

OPOMBA: Medsebojna primerjava poročanih vrednosti in relativna odstopanja vključno z barvno skalo (< 10% – 10-20% – 20-30% – > 30%) so le informativne narave in upoštevajo le razmerja poročanih vrednosti ne pa tudi merskih negotovosti.

Tabela 7 Določevanje aktivnosti radioaktivnega joda v ščitnici

Primerjalne meritve

Analizni list

Izvajalec priprave: ZVD, G. Omahen

Datum vzorčevanja: 15.06.2021

Vzorčevalno mesto: NEK RZ

Vrsta vzorca: ščitnica - simulacija (2r=25mm, h=45 mm)

Izvajalec	ZVD	IJS	NEK	Ref. vrednost	Odstopanje od povprečja			Odstopanje od referenčnih vrednosti		
					ZVD	IJS	NEK	ZVD	IJS	NEK
Datum analize *	15.06.2021	15.06.2021	15.06.2021	15.06.2021						
Količina mer. Vzorca	1 vzorec	1 vzorec	1 vzorec	1 vzorec						
Oznaka vzorca	brez			A34892						
Radionuklid***	Specifična aktivnost (Bq/vzorec)**									
I-131	125000 ± 41000	190000 ± 40000	176000 ± 17600	177000 ± 7080	-23,6%	16,1%	7,5%	-29,4%	7,3%	-0,6%

OPOMBA: Medsebojna primerjava poročanih vrednosti in relativna odstopanja vključno z barvno skalo (< 10% – 10-20% – 20-30% – > 30%) so le informativne narave in upoštevajo le razmerja poročanih vrednosti ne pa tudi merskih negotovosti.

Tabela 8 Meritve skupne aktivnosti beta na zračnem filtru

Primerjalne meritve

Analizni list

Izvajalec priprave: ZVD, M. Giacometti

Datum vzorčevanja: 15.06.2021

Vzorčevalno mesto: NEK RZ

Vrsta vzorca: filter papir, skupna beta aktivnost

Izvajalec	ZVD	IJS	NEK	Ref. vrednost	Odstopanje od povprečja			Odstopanje od referenčnih vrednosti			
					ZVD	IJS	NEK	ZVD	IJS	NEK	
Datum analize*	15.06.2021	15.06.2021	15.06.2021	15.06.2021							
Količina mer. Vzorca	1 vzorec	1 vzorec	1 vzorec	1 vzorec							
Oznaka vzorca	brez	brez	brez	A34892							
Radionuklid***	Specifična aktivnost (Bq/vzorec)**										
skupna beta	135 ± 41	200 ± 80	155 ± 33	174 ± 7	-17,3%	22,4%	-5,1%	-22,4%	14,9%	-10,9%	

OPOMBA: Medsebojna primerjava poročanih vrednosti in relativna odstopanja vključno z barvno skalo (< 10% – 10-20% – 20-30% – > 30%) so le informativne narave in upoštevajo le razmerja poročanih vrednosti ne pa tudi merskih negotovosti.

IJS delovno poročilo
IJS-DP-13623
oktober 2021

R O M E N E K 2/21

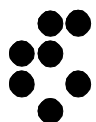
MOBILNI RADIOLOŠKI LABORATORIJ

**Poročilo o meritvah po programu vzdrževanja pripravljenosti
za primer izrednega dogodka v NEK**



Ljubljana, oktober 2021

Institut "Jožef Stefan", Ljubljana, Slovenija
Ekološki laboratorij z mobilno enoto





Naročnik: NE Krško

Izvajalca: Institut "Jožef Stefan", Ljubljana (IJS), Ekološki laboratorij z mobilno enoto (ELME)
Zavod za varstvo pri delu d.o.o. (ZVD)

Naslov pogodbe: Vzdrževanje pripravljenosti izrednega monitoringa radioaktivnosti za leta 2020, 2021, 2022 in 2023

Številka pogodbe: št. 3192191 z dne 8. 1. 2020 (za IJS)
št. 3192262 z dne 9. 1. 2020 (za ZVD)

Nosilec naloge: prof. dr. Matej Lipoglavšek (za IJS)
dr. Gregor Omahen (za ZVD)

Naslov poročila: ROMENEK 2/21 - Poročilo o meritvah po programu vzdrževanja pripravljenosti za primer izrednega dogodka v NEK

Avtor poročila: Boštjan Črnič, mag. med. fiz.

Štev.del.por. IJS: IJS-DP-13623

Kopije: Nuklearna elektrarna Krško
ZVD
ZIC (knjižnica IJS)
arhiv enote

Datum obhoda: od 6. 9. 2021 do 8. 9. 2021

Izvedba meritev je usklajena z zahtevami programov IJS in ELME za zagotovitev kakovosti.

	<i>Ime in priimek</i>	<i>Datum</i>	<i>Podpis</i>
<i>Pripravil</i>	Boštjan Črnič, mag. med. fiz.	14. 10. 2021	
<i>Pregledala</i>	mag. Denis Glavič-Cindro Peter Jovanovič, inž. fiz.	15. 10. 2021	 <small>Digitally signed by Denis Glavič-Cindro Date: 2021.10.19 14:56:21 +0200</small>
<i>Odobrila</i>	prof. dr. Matej Lipoglavšek dr. Gregor Omahen	18. 10. 2021	

Slika na naslovni strani: Meritve na Vrbini, tretji dan obhoda mobilnih enot.



NASLOV POROČILA:

ROMENEK 2/21 - Poročilo o meritvah po programu vzdrževanja pripravljenosti za primer izrednega dogodka v NEK
Boštjan Črnič

IJS-DP-13623
oktober 2021

IZVLEČEK:

V poročilu so zbrani rezultati meritev hitrosti okoljskega doznega ekvivalenta $\dot{H}^*(10)$ sevanja gama in površinske kontaminacije na izbranih lokacijah v okolici NEK, rezultati primerjalnih meritev radioloških mobilnih laboratorijev IJS ELME, ZVD in NEK hitrosti okoljskega doznega ekvivalenta in aktivnih vzorcev, in sicer filtrskega papirja, ogljenega filtra in filtrskega papirja za meritve skupne aktivnosti β . Podani so rezultati meritve radionuklidov v telesu ter meritve aktivnosti I-131 v ščitnici na fantomu, meritve spektrometrije gama in-situ in rezultati meritev aktivnosti okoljskih vzorcev. Poleg tega so navedene tudi druge rutinske meritve, izvedene med terenskim usposabljanjem intervencijskih ekip.

KLJUČNE BESEDE:

zagotavljanje pripravljenosti, urjenje, radioaktivno onesnaženje okolja, zračne in tekoče radioaktivne izteke, umetni in naravni radionuklidi, specifična aktivnost radionuklidov, meritve in-situ, primerjalne meritve, meritve hitrosti doze in površinske kontaminacije, meritve radionuklidov v telesu

REPORT TITLE:

ROMENEK 2/21 - Report on regular emergency preparedness exercise in the vicinity of Nuclear Power Plant Krško
Boštjan Črnič

IJS-DP-13623
October 2021

ABSTRACT:

Results of gamma-ray ambient dose equivalent rate $\dot{H}^*(10)$ measurements and surface contamination measurements at selected locations in the vicinity of Krško NPP, results of intercomparison measurements of IJS ELME, ZVD and NEK radiological mobile units of ambient dose equivalent rate and active samples, namely filter paper, charcoal filter and filter paper for activity measurement of β total are presented. Results of a whole-body counting readout and results of a measurement of activity in thyroid simulated by phantom measurement, an in situ gamma spectrometry measurement as well as results of activity measurements of environmental samples are given. Other routine measurements performed during the field drill of intervention teams are reported, as well.

KEYWORDS:

Emergency preparedness, training, radioactive contamination of the environment, airborne and liquid radioactive effluents, man-made and natural radionuclides, specific activities of radionuclides, in-situ measurements, intercomparison measurements, dose-rate and surface contamination measurements, whole-body counting



VSEBINA

1	SODELUJOČE EKIBE	5
2	PROGRAM OBHODA	6
3	PREGLED MERITEV IN ANALIZ	7
3.1	PRIMERJALNE MERITVE VZORCEV S POVIŠANO AKTIVNOSTJO	7
3.2	DRUGE PRIMERJALNE TERENSKÉ MERITVE IN MERITVE V STACIONARNIH LABORATORIJIH	7
3.3	POSEBNE MERITVE IN RUTINSKE MERITVE NA TERENU.....	7
4	KOMENTAR MERITEV IN ANALIZ	8
4.1	SPLOŠNO.....	8
4.2	PRIMERJALNE MERITVE VZORCEV S POVIŠANO AKTIVNOSTJO	8
a	Primerjalna meritev aktivnosti <i>aerosolnega filtra</i>	8
b	Primerjalna meritev aktivnosti <i>oglenega filtra</i>	8
c	Primerjalna meritev skupne aktivnosti β filtrskega papirja	8
4.3	DRUGE PRIMERJALNE TERENSKÉ MERITVE IN MERITVE V STACIONARNIH LABORATORIJIH	9
a	Meritve hitrosti okoljskega doznega ekvivalenta na terenu	9
b	Meritve aktivnosti s spektrometrijo gama in-situ.....	10
c	Meritve specifičnih aktivnosti radionuklidov v vzorcu zemlje	10
d	Primerjalna meritev aktivnosti <i>aerosolnega filtra</i>	11
e	Meritve aktivnosti vzorca <i>krmne silaže</i>	11
4.4	POSEBNE MERITVE IN RUTINSKE MERITVE NA TERENU.....	12
a	Meritve hitrosti okoljskega doznega ekvivalenta in površinske kontaminacije, meritve geografskih koordinat, kartiranje hitrosti doze	12
b	Meritve aktivnosti joda v ščitnici	15
c	Meritve radionuklidov v telesu	15
d	Meteorološki parametri	15
e	Osebna dozimetrija.....	15
4.5	PREVERJANJE ZAŠČITNE OPREME	15
4.6	TEST KOMUNIKACIJ	16
4.7	TEST OPREME IN NAVODIL	16
4.8	TEHNIČNE OPOMBE.....	16
4.9	ZAKLJUČKI IN PRIPOROČILA	17
a	IJS ELME.....	17
b	ZVD.....	17
c	NEK.....	17
d	SPLOŠNI ZAKLJUČEK.....	17
5	REZULTATI MERITEV	18
5.1	NEGOTOVOSTI MERITEV	18
5.2	PRIMERJALNE MERITVE VZORCEV S POVIŠANO AKTIVNOSTJO	18
5.3	DRUGE PRIMERJALNE TERENSKÉ MERITVE	20
5.4	POSEBNE MERITVE IN RUTINSKE MERITVE NA TERENU.....	23
6	PRILOGE	25



1 SODELUJOČE EKIPE

Ekipa IJS ELME:

- Boštjan Črnič, mag. med. fiz., *vodja obhoda*
- doc. dr. Benjamin Zorko
- Petra Prem, prof. biol.
- Tanja Murn, prof. biol. in kem. (na usposabljanju)

Ekipa ZVD:

- Peter Jovanovič, inž. fiz., *vodja obhoda*
- dr. Jaka Kovač
- Manca Podvratnik, univ. dipl. fiz.
- mag. Boštjan Drolc

Ekipa NEK:

- Damjan Mešiček, *vodja obhoda*
- Damjan Trupej
- mag. Borut Breznik

Ekipa URSJV (opazovalca):

- Michel Cindro
- Branko Fujs



2 PROGRAM OBHODA

Obhod mobilnih enot IJS ELME in ZVD v okolici NEK je potekal od 6. 9. 2021 do 8. 9. 2021. Drugi in tretji dan obhoda je sodelovala tudi mobilna enota NEK. Prvi in tretji dan obhoda sta kot opazovalca sodelovala tudi predstavnika URSJV.

Prvi dan:

1. Obhod 10 merilnih mest (vzorčevalna mesta v okviru rednega obratovalnega monitoringa NEK in druge lokacije):
 - a. meritve hitrosti okoljskega doznega ekvivalenta $\dot{H}^*(10)$ z ionizacijsko celico in merilniki hitrosti okoljskega doznega ekvivalenta
 - b. meritve površinske kontaminacije
 - c. meritve geografskih koordinat
2. Kartiranje hitrosti okoljskega doznega ekvivalenta $\dot{H}^*(10)$ na poti Ljubljana - Krško
3. Kartiranje hitrosti okoljskega doznega ekvivalenta $\dot{H}^*(10)$ med obhodom merskih točk
4. Uporaba radijskih postaj za komunikacijo med mobilnimi enotami
5. Testiranje delovanja opreme
6. Osebna dozimetrija

Drugi dan:

1. Primerjalne meritve aktivnosti vzorcev s povišano aktivnostjo v NEK
2. Meritev skupne aktivnosti β na filtru
3. Meritev aktivnosti joda I-131 v ščitnici – simulacija meritve na fantomu
4. Meritev aktivnosti radionuklidov v telesu (WBC)
5. Testiranje delovanja opreme
6. Osebna dozimetrija

Tretji dan:

1. Testiranje komunikacij
2. Meritev spektrometrije gama in-situ
3. Meritev aktivnosti vzorca zemlje
4. Meritev aktivnosti vzorca simuliranega aerosolnega filtra
5. Meritev aktivnosti vzorca simulirane krmne silaže
6. Primerjalne meritve hitrosti okoljskega doznega ekvivalenta $\dot{H}^*(10)$
7. Meritve meteoroloških parametrov
8. Pregled in primerjava osnovne zaščitne opreme mobilnih enot ter postavitve vstopno/izstopne točke z dekontaminacijskimi conami na meji blokirane območja
9. Testiranje delovanja opreme
10. Osebna dozimetrija

OPOMBA:

Tretji dan so meritve potekale na travniku za deponijo podjetja Kostak na Vrbini (N 46,936° / E 15,534°).



3 PREGLED MERITEV IN ANALIZ

3.1 PRIMERJALNE MERITVE VZORCEV S POVIŠANO AKTIVNOSTJO

Primerjalne meritve aerosolnega filtra, ogljenega filtra ter filtrskega papirja, ki so jim bili dodani umetni radionuklidi.

Vzorec	Referenčni datum	Vrsta analize	REZULTATI
Aerosolni filter	7. 9. 2021	G	T1 (<i>prilogi 1 in 6</i>)
Ogleni filter	7. 9. 2021	G	T2 (<i>prilogi 1 in 7</i>)
Filtrski papir	7. 9. 2021	PK	T3

3.2 DRUGE PRIMERJALNE TERENSKÉ MERITVE IN MERITVE V STACIONARNIH LABORATORIJIH

Oznake meritev	Merilno mesto	REZULTATI Tabela/Slika
GIS, HD	Travnik Vrbina	T4, T7, S1a, S1b (<i>priloge 3, 4 in 5</i>)
G	Zemlja – Vrbina / IJS, ZVD	T4 (<i>priloga 2</i>)
G	Aerosolni filter – Vrbina / ZVD	T5 (<i>prilogi 2 in 8</i>)
G	Vzorec krmne silaže – Vrbina / ZVD	T6 (<i>priloga 2</i>)

3.3 POSEBNE MERITVE IN RUTINSKE MERITVE NA TERENU

Rutinske nespecifične meritve sevanja v okolju, posebne meritve radioaktivnosti na terenu, meritve osebnih doz in meteoroloških parametrov na terenu

Oznake meritev	Merilno mesto	REZULTATI Tabela/Slika
HDIC, HDK	Ljubljana–Krško	S4a, S4b
HD, HDIC, PK, HDK	Supernova Krško, Gasilci Krško, Brege T11D2, Gmajnice ZN11, Boršt T8E1, Kusova Vrbina ZN2, Mostec brod, Amerika ZN3, Vrbina, Lovski dom Libna	S5a, S5b (<i>prilogi 4 in 5</i>)
THY	Ščitnica – fantom – NEK	T8
WBC	Radionuklidi v telesu – NEK	T9
MP	Meteorološki parametri – Vrbina	T10a, T10b



Oznake meritev	Merilno mesto	REZULTATI Tabela/Slika
OS	Osebnne doze v času trajanja obhoda	T11

Oznake meritev in analiz:

B	meritev sevalcev β
G	spektrometrija gama izbranega vzorca
GIS	spektrometrija gama in-situ
H	meritev vsebnosti H-3
HD	meritev hitrosti okoljskega doznega ekvivalenta $\dot{H}^*(10)$
HDIC	meritev hitrosti okoljskega doznega ekvivalenta $\dot{H}^*(10)$ z ionizacijsko celico RSS-131
HDK	kartiranje hitrosti okoljskega doznega ekvivalenta $\dot{H}^*(10)$
HDKON	meritve hitrosti okoljskega doznega ekvivalenta $\dot{H}^*(10)$ in kontaminacije za opustitev nadzora
MP	meteorološki parametri
OS	meritve osebnih doznih ekvivalentov $H_p(10)$
PK	meritev površinske kontaminacije s sevalci α , β in γ
S	meritev aktivnosti Sr-89/Sr-90
THY	meritev aktivnosti joda I-131 v ščitnici
WBC	meritev aktivnosti radionuklidov v telesu

4 KOMENTAR MERITEV IN ANALIZ

4.1 SPLOŠNO

Zaradi okvare prenosnega HPGe detektorja za spektrometrijo gama, intervencijska ekipa ZVD ni mogla izvesti meritev s prenosnim spektrometrom. Po dogovoru z drugimi ekipami so nekatere vzorce za primerjalne meritve odnesli v laboratorijsko analizo na ZVD.

4.2 PRIMERJALNE MERITVE VZORCEV S POVIŠANO AKTIVNOSTJO

a Primerjalna meritev aktivnosti *aerosolnega filtra*

V okviru primerjalnih meritev smo izmerili aktivnost *aerosolnega filtra* Analytics A37841 (mix gamma). Primerjava rezultatov med mobilnima radiološkima laboratorijema NEK in IJS ELME je v tabeli T1. Rezultati se za vse identificirane radionuklide ujemajo v okviru merilnih negotovosti.

b Primerjalna meritev aktivnosti *oglenega filtra*

V okviru primerjalnih meritev smo izmerili tudi aktivnost *oglenega filtra* Analytics A37846. Rezultati za I-131 se ujemajo v okviru merilnih negotovosti. Vsi rezultati so v tabeli T2.

c Primerjalna meritev skupne aktivnosti β filtrskega papirja

V okviru primerjalnih meritev smo določili tudi skupno aktivnost β filtrskega papirja Analytics 117057. Primerjava rezultatov med mobilnimi laboratoriji NEK, IJS ELME in ZVD je v tabeli T3. Tudi v tem primeru se vrednosti, določene v mobilnih laboratorijih, ujemajo v okviru merilnih negotovosti.



4.3 DRUGE PRIMERJALNE TERENSKE MERITVE IN MERITVE V STACIONARNIH LABORATORIJIH

a Meritev hitrosti okoljskega doznega ekvivalenta na terenu

Na terenu so člani mobilnih enot IJS ELME, NEK in ZVD na travniku na Vrbini izmerili hitrosti okoljskega doznega ekvivalenta $\dot{H}^*(10)$ na 10 različnih merilnih mestih v območju, ki je prikazano na sliki S1a. Rezultati vseh treh ekip se ujemajo v okviru merilnih negotovosti, deklariranih za posamezne merilnike. Meritve so bile narejene na višini 1 m od tal. Meritvi št. 9 in 10 sta bili izvedeni na dveh "vročih" točkah, kjer smo postavili točkasta vira (Cs-137 na točki 9, Ba-133 na točki 10), pri meritvah pa smo si pomagali z distančnikom za kontrolni vir IJS ELME dolžine 12 cm. Na sliki S1b je prikazan potek kartiranja hitrosti okoljskega doznega ekvivalenta, med katerimi je tudi izbranih 10 točk, ki so posebej navedene v tabeli T7.



Slika S1a: Prikaz območja na Vrbini, kjer so potekale meritve spektrometrije gama in-situ, vzorčevanje zemlje na terenu, primerjalne meritve aktivnosti ter hitrosti okoljskega doznega ekvivalenta na 10 merilnih mestih in meritve meteoroloških parametrov (posnetek IJS ELME).



Slika S1b: Prikaz rezultatov meritve hitrosti okoljskega doznega ekvivalenta na obhodni poti na Vrbinju pri izvajanju primerjalnih meritev hitrosti okoljskega doznega ekvivalenta na 10 izbranih merilnih mestih (posnetek ZVD; slika je glede na sliko S1a zavrtena za 90° v pozitivni smeri).

b Meritev aktivnosti s spektrometrijo gama in-situ

Za meritve in-situ z visokoločljivostnim spektrometrom gama smo izbrali travnik za deponijo podjetja Kostak na Vrbinju. IJS ELME je izmeril aktivnosti naravnih radionuklidov in Cs-137, ki so značilne za naravno okolje v Republiki Sloveniji. Rezultati so podani v tabeli T4 primerjalno z rezultati meritev vzorca zemlje. Rezultati meritve in-situ so bili izračunani ob predpostavki enakomerne porazdelitve radionuklidov v zemlji, za Be-7 in Cs-137 pa tudi aktivnost ob predpostavki površinske porazdelitve radionuklidov v zemlji. Takšna geometrija bi bila uporabljena za analizo v primeru svežega useda.

Ekipi radioloških mobilnih enot ZVD (okvara detektorja) in NEK nista izvajali meritve s spektrometrijo gama in-situ.

c Meritev specifičnih aktivnosti radionuklidov v vzorcu zemlje

IJS ELME je na terenu izvedel meritve specifične aktivnosti sevalcev gama v vzorcu zemlje. Vzorec zemlje je bil sestavljen iz več posameznih vzorcev, odvzetih na globini 0-10 cm v krogu s polmerom 1 m okoli mesta, kjer je bila izvedena meritev in-situ. Tudi v vzorcu zemlje smo zaznali le naravne radionuklide in Cs-137. Rezultati meritev so podani v tabeli T4 primerjalno z rezultati meritev in-situ ter z laboratorijskima meritvama vzorca na IJS v Laboratoriju za meritve radioaktivnosti (LMR) in na ZVD. Rezultati terenske meritve IJS ELME in obeh laboratorijskih meritev se v okviru negotovosti večinoma zelo dobro ujemajo. Pri Ra-226 smo odmik med specifično aktivnostjo izmerjeno na terenu in specifično aktivnostjo izmerjeno v stacionarnih laboratorijih pojasnili z dejstvom, da je bila terenska meritev približno 30-krat krajša od laboratorijskih, zaradi česar je bilo število izmerjenih sunkov v spektralnem vrhu pri energiji 186 keV majhno, avtomatska procedura pri terenski meritvi pa je ploščine v vrhu precenila, negotovost izračuna pa podcenila.



Ekipa mobilne enote NEK meritve vzorca zemlje v mobilnem laboratoriju ni izvajala.



Slika S2: Meritve in-situ na travniku na Vrbini

d Primerjalna meritev aktivnosti aerosolnega filtra

V okviru drugih primerjalnih meritev na terenu smo izmerili aktivnost *aerosolnega filtra* IARMA 056 (sample 07a+07b). Primerjava rezultatov med mobilnim laboratorijem IJS ELME ter laboratorijema NEK in ZVD je v tabeli T5. Rezultati meritev, ki so jih opravili sodelavci IJS ELME, NEK in ZVD, se ujemajo v okviru merilnih negotovosti.

e Meritev aktivnosti vzorca krmne silaže

Izvedli smo tudi primerjalno meritev specifične aktivnosti sevalcev gama v vzorcu iz prehranske verige. Tokrat smo izbrali *krmno silažo* IARMA 056 (sample 04), ki je vsebovala dodatne umetne radionuklide. Primerjava rezultatov meritev med mobilnim radiološkim laboratorijem IJS ELME in ZVD je v tabeli T6. Rezultati meritev aktivnosti Cs-137 za IJS ELME in ZVD se dobro ujemajo v okviru raztrosa podatkov, za Cs-134 pa se ujemajo v okviru razširjene negotovosti meritev ($k = 2$).

Ekipa mobilne radiološke enote NEK ni opravila analize krmne silaže.



4.4 POSEBNE MERITVE IN RUTINSKE MERITVE NA TERENU

a Meritve hitrosti okoljskega doznega ekvivalenta in površinske kontaminacije, meritve geografskih koordinat, kartiranje hitrosti doze

Prvi dan obhoda smo na 10 mestih, ki jih je določil vodja obhoda IJS ELME, izmerili hitrosti okoljskega doznega ekvivalenta in površinsko kontaminacijo. Rezultati meritev IJS ELME so v prilogi 4, rezultati ZVD pa v prilogi 5.



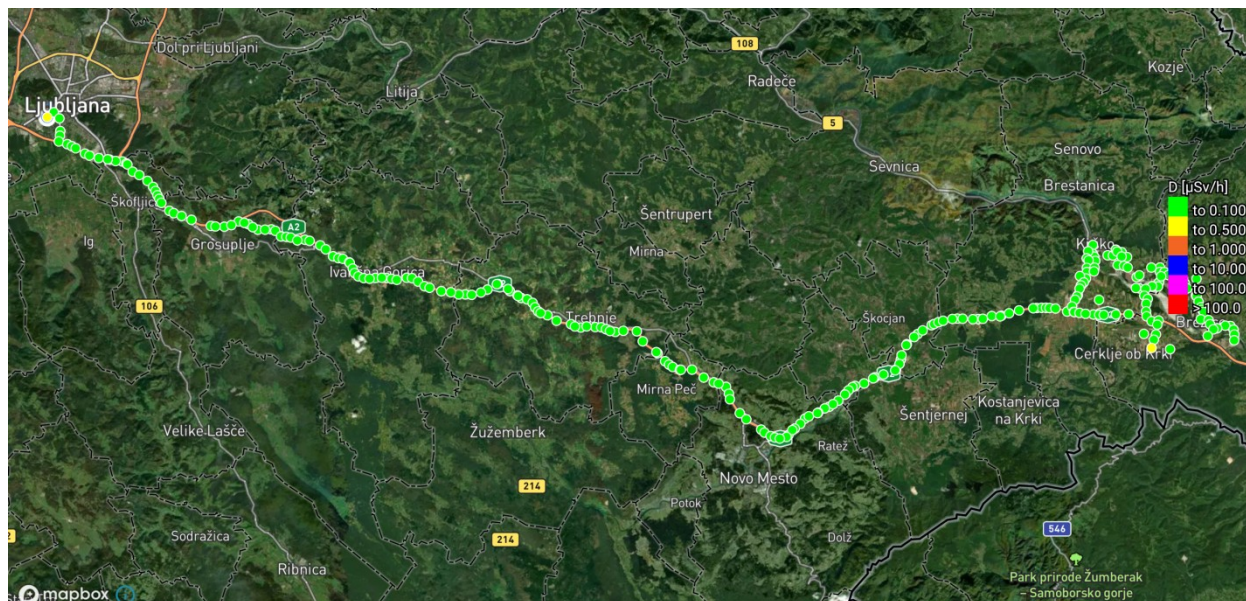
Slika S3: Meritve hitrosti okoljskega doznega ekvivalenta in površinske kontaminacije na različnih lokacijah, prvi dan obhoda.

Meritve hitrosti okoljskega doznega ekvivalenta smo izvajali na višini 1 m od tal. IJS ELME je meritve z ionizacijsko celico RSS-131 opravljal na površinah, kjer je bilo parkirano vozilo, na katerem je bila pritrjena ionizacijska celica. Meritve površinske kontaminacije na lokaciji z oznako Brege T11D2 so bile izvedene nad vazelinsko ploščo, drugod pa 1–2 cm nad tlemi. Na vseh merilnih mestih so bile izmerjene običajne vrednosti naravnega ozadja. Na vseh merilnih mestih smo določili tudi geografske koordinate.

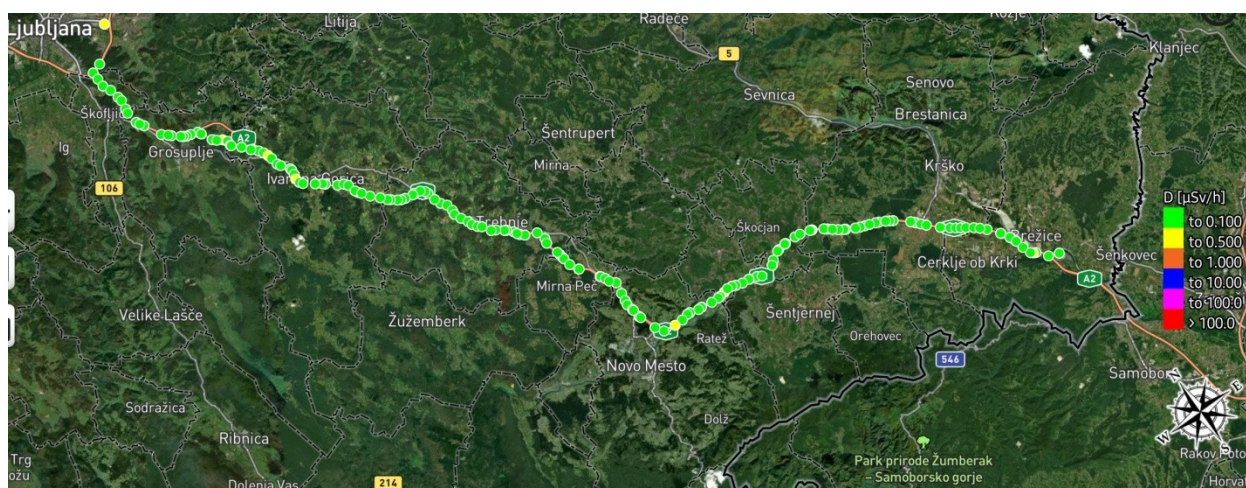
Podlaga tal na merilnih mestih je bila trava, beton ali asfalt.

Od Ljubljane do Krškega in med obhodom 10 merilnih mest smo izvajali tudi kartiranje hitrosti okoljskega doznega ekvivalenta (IJS ELME z ionizacijsko celico RSS-131, ZVD z merilnikom Automess s scintilacijsko sondo).

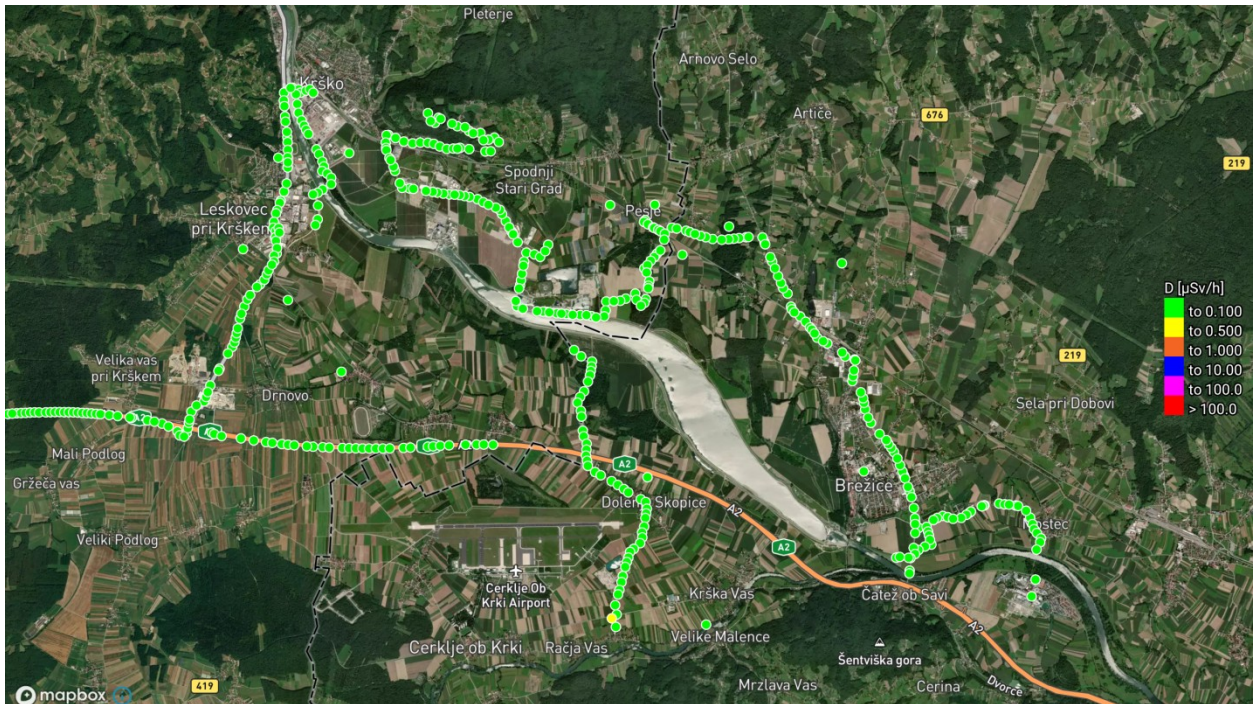
Rezultati meritev so prikazani na slikah S4a, S4b ter S5a in S5b.



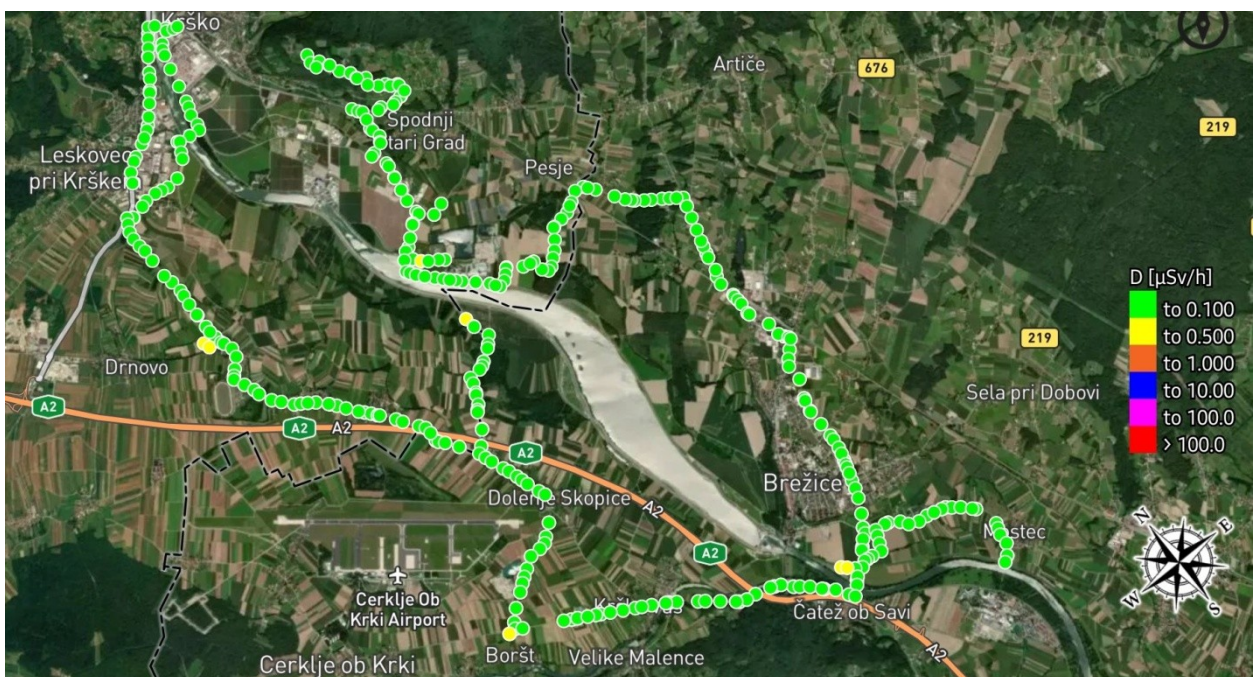
Slika S4a: Kartiranje hitrosti okoljskega doznega ekvivalenta na poti iz Ljubljane do okolice Krškega (meritve IJS ELME, 6. 9. 2021).



Slika S4b: Kartiranje hitrosti okoljskega doznega ekvivalenta na poti od Ljubljane do okolice Krškega (meritve ZVD, 6. 9. 2021).



Slika S5a: Kartiranje hitrosti okoljskega doznega ekvivalenta 6. 9. 2021 med obhodom desetih izbranih merilnih mest (IJS ELME, merilnik ionizacijska celica RSS-131).



Slika S5b: Kartiranje hitrosti okoljskega doznega ekvivalenta 6. 9. 2021 med obhodom desetih izbranih merilnih mest (ZVD, merilnik Automess s scintilacijsko sondjo).



b Meritve aktivnosti joda v ščitnici

Meritve aktivnosti joda I-131 v ščitnici smo izvedli z merilniki hitrosti okoljskega doznega ekvivalenta na fantomu, s katerim simuliramo ščitnico, pri čemer smo namesto joda I-131 uporabili radioaktivni izvor Ba-133. Pri izračunu aktivnosti smo upoštevali različne koeficiente radionuklidov. Ba-133 seva fotone podobnih energij kot I-131, razpolovni čas pa je veliko daljši. Izmerjene aktivnosti se v okviru merskih negotovosti ujemajo z rezultatom meritve laboratorija NEK kakor tudi z referenčno vrednostjo, preračunano na dan meritve. Rezultati so v tabeli T8.

c Meritev radionuklidov v telesu

IJS ELME je za enega člana izvedel meritve aktivnosti radionuklidov v telesu s pomočjo števca celotne aktivnosti WBC StandFast. Meritve so pokazale samo prisotnost K-40. Rezultat je v tabeli T9.

d Meteorološki parametri

Tretji dan obhoda smo izvedli meritev meteoroloških parametrov na travniku na Vrbinu. Rezultati meritev IJS ELME so v tabeli T10a, povzetek rezultatov meritev ZVD pa v tabeli T 10b.

e Osebna dozimetrija

Člani radiološke intervencijske ekipe IJS ELME niso prejeli doz sevanja, višjih od naravnega ozadja. Rezultati odčitkov osebnih doznih ekvivalentov so v tabeli T11.

4.5 PREVERJANJE ZAŠČITNE OPREME

Tretji dan obhoda smo vadili uporabo zaščitne opreme enot IJS ELME in ZVD. Vadili smo tudi postavitve kontrolne točke s conami na meji blokiranega območja in preverjanje kontaminacije oseb in opreme pri izstopu iz blokiranega območja.



Slika S6: Vaja uporabe zaščitne opreme in postavitve kontrolne točke s conami.



4.6 TEST KOMUNIKACIJ

Prvi dan obhoda smo v Krškem po telefonski številki 112 vzpostavili zvezo z Regijskim centrom za obveščanje Brežice. Zaposlili smo za rezervacijo delovnega kanala za povezavo med člani ekip radioloških mobilnih enot IJS ELME in ZVD ter ekipo URSJV. Ekipa so po ročnih radijskih postajah od vodje ekipe IJS ELME prejemale navodila za pot, ob tem pa so si izmenjevale tudi ostale informacije.

Tretji dan obhoda smo po telefonski številki 112 med potjo iz Čateža zaprosili za rezervacijo dveh delovnih kanalov: enega za ekipo IJS ELME, drugega pa za ekipo ZVD. Z merilnega mesta na Vrbini je IJS ELME po kanalu 10 v sistemu ZARE/ZARE+ preveril zvezo z Regijskim centrom Brežice (ReCo-KK). Zveza je bila obojestransko dobra (SPREJEM/ODDAJANJE = 4/4). Med vožnjo iz Čateža do Vrbine je IJS ELME nekajkrat preveril zvezo z ZVD, a je bila zveza zaradi velike razdalje med enotama večino časa slaba (2/2), ko pa sta bili obe enoti v bližini NEK, je bila zveza odlična (5/5). Prav tako sta enoti IJS ELME in NEK po radijski postaji NEK med vožnjo nekajkrat preverili zvezo: ekipa NEK je bila v tem času na območju Vrbine, ekipa IJS ELME pa v Drnovem (3/3), Žadovinku (4/4) in na koncu na Vrbini (5/5).

Preverili smo tudi zvezo z ročnimi postajami med ekipo IJS ELME na terenu in vozilom MRL ter med ekipo ZVD in ekipo IJS ELME. Zveza je bila odlična. Pri izvajanju primerjalnih meritev hitrosti doze na 10 merilnih mestih na Vrbini sta ekipi IJS ELME in ZVD poročali rezultate meritev po radijski zvezi vsaka svojemu članu pri vozilu mobilne enote.

Ekipa ZVD zveze z mobilno enoto NEK ni preverjala, ker ZVD trenutno nima ustrezne radijske postaje.

4.7 TEST OPREME IN NAVODIL

Zaradi nepričakovane okvare prenosnega HPGe detektorja za spektrometrijo gama ekipa ZVD na terenu ni mogla izvesti meritev aktivnosti radionuklidov in-situ ter meritev aktivnosti ostalih okoljskih vzorcev. Po dogovoru z drugimi ekipami so vzorce odnesli v laboratorijsko analizo na ZVD.

Pri kartiranju hitrosti okoljskega doznega ekvivalenta z ionizacijsko celico RSS-131 so bile v posnetku meritev prisotne prekinitve brez izmerkov.

Vsa ostala oprema je delovala brezhibno.

4.8 TEHNIČNE OPOMBE

Komunikacije med mobilnimi enotami

Mobilna enota NEK ima vgrajeno postajo v sistemu ZARE, ki ima prednastavljene komunikacijske kanale. Prednastavljeni kanali omogočajo komunikacijo NEK po sistemu ZARE z najpomembnejšimi deležniki v primeru izrednega dogodka. Kljub temu tretji dan obhoda mobilna enota NEK tudi ob pomoči ostalih mobilnih enot ni uspela uporabiti proste izbire komunikacijskega kanala, kar je omejilo možnost neposredne komunikacije z drugimi mobilnimi enotami.

ZVD je vzpostavil oziroma vseskozi vzdržuje komunikacijski sistem ZARE, ki deluje. Niso pa preverjali delovanja komunikacijskega sistema z NEK. Radijske postaje ZVD za komunikacijo z NEK že v letu 2019 ni bilo mogoče povezati v omrežje NEK, zato so jo takrat vrnilo NEK. Trenutno je ZVD še vedno brez postaje za komunikacijo s TPC NEK. ZVD predlaga, da v medsebojni komunikaciji uporabljamo le sistem ZARE, ki deluje za vse.



4.9 ZAKLJUČKI IN PRIPOROČILA

a IJS ELME

Priporočamo nakup dežnika/sončnika za izvajanje meritev in-situ ter udobnejših zložljivih stolov za delo na terenu.

Pri meritvah aktivnosti bolj aktivnih vzorcev se v izmerjenih spektrih lahko pojavijo tudi manj pogosti spektralni vrhovi, ki se jih lahko pripiše napačnim radionuklidom, zato je treba take spektre vedno dodatno preveriti.

V vozilu MRL je treba na steno za tiskalnikom pritrditi električni razdelilec.

Preveriti je treba kalibracijske faktorje CF merilnikov hitrosti doze za meritve na ščitnici.

Med kartiranjem hitrosti okoljskega doznega ekvivalenta s tabličnim računalnikom oziroma telefonom se naprave za shranjevanje podatkov ne sme dajati v varčevalni način, ker to prekine delovanje programa Route Monitoring in s tem zajemanje meritev.

Za vidnost merilnika MiniTrace v sistemu merilnikov NEK mora biti funkcija GPS v merilniku MiniTrace vklopljena ('GPS on').

b ZVD

V najkrajšem času je treba popraviti HPGe detektor za terenske meritve.

V najkrajšem času je treba priskrbeti novo postajo za komunikacijo s TPC NEK.

c NEK

Mobilna enota NEK mora preveriti možnost proste izbire radijskih kanalov v radijski postaji ZARE in če to ni mogoče, določiti standardni kanal za komunikacijo z drugimi mobilnimi enotami ali po potrebi postajo preprogramirati.

d SPLOŠNI ZAKLJUČEK

Priporočamo, da v prihodnje vse ekipe na obhodih stalno uporabljajo radijske postaje za medsebojno komunikacijo ter za poročanje rezultatov meritev in izmenjavo drugih podatkov ali informacij. Pri tem naj ima vsaka ekipa svoj lastni radijski kanal, da se tako izogne nepotrebnim motnjam v komunikaciji.

Vse ekipe so pokazale, da lahko že na terenu poročajo vse ključne rezultate meritev v ustrezni obliki (poročila za akreditirane meritve). Da bi poročanje postalo čim bolj utečeno, predlagamo, da terensko poročanje rezultatov primerjalnih meritev postane standardni del obhoda mobilnih enot.

Priporočamo, da imajo vse mobilne enote za določene pogoste vrste vzorcev glede na MDA in OIR (operativne intervencijske ravni) določene najkrajše čase meritev aktivnosti vsaj za nekaj najpomembnejših radionuklidov (npr. Cs-137).

Predlagamo, da za prvi dan obhoda vodja obhoda določi 10 mest, ki naj ne bodo nujno vzorčevalna mesta iz programa rednega monitoringa radioaktivnosti v okolici NEK.



5 REZULTATI MERITEV

5.1 NEGOTOVOSTI MERITEV

Vse negotovosti rezultatov meritev so podane s stopnjo zaupanja 68 % oziroma faktorjem pokritja $k = 1$ za IJS ELME in ZVD ter s stopnjo zaupanja 95 % oziroma faktorjem pokritja $k = 2$ za laboratorij NEK.

5.2 PRIMERJALNE MERITVE VZORCEV S POVIŠANO AKTIVNOSTJO

Tabela T1: Primerjava rezultatov meritev aerosolnega filtra Analytics

Vzorčevalno mesto: *Analytics A37841*

Geometrija: $\Phi 58 \times 1$

Vrsta vzorca: aerosolni filter

Enota: filter

Datum vzorčenja: 7. 9. 2021

Aktivnost dne: 7. 9. 2021

	Aerosolni filter Analytics		Razmerja
Izotop	Specifična aktivnost (Bq/filter)		IJS ELME / NEK
	IJS ELME	NEK	
Cr-51	$(1,3 \pm 0,1) E+4$	$(1,2 \pm 0,1) E+4$	1,08
Mn-54	$(6,4 \pm 0,5) E+3$	$(5,9 \pm 0,2) E+3$	1,08
Co-58	$(5,6 \pm 0,4) E+3$	$(5,4 \pm 0,2) E+3$	1,04
Fe-59	$(5,4 \pm 0,3) E+3$	$(4,9 \pm 0,1) E+3$	1,10
Co-60	$(7,2 \pm 0,4) E+3$	$(6,7 \pm 0,2) E+3$	1,07
Zn-65	$(7,7 \pm 0,5) E+3$	$(7,0 \pm 0,3) E+3$	1,10
Cs-134	$(4,1 \pm 0,2) E+3$	$(4,3 \pm 0,1) E+3$	0,95
Cs-137	$(5,5 \pm 0,4) E+3$	$(5,1 \pm 0,2) E+3$	1,08
Ce-141	$(6,2 \pm 0,6) E+3$	$(5,5 \pm 0,7) E+3$	1,13

Oznake: IJS ELME – terenska meritev in terenska analiza

NEK – terenska meritev in terenska analiza



Tabela T5: Primerjava rezultatov meritev aerosolnega filtra

Vzorčevalno mesto: Vrbinja / vzorec IARMA Geometrija: Φ 48×1,4
 Vrsta vzorca: aerosolni filter Enota: filter
 Datum vzorčenja: 8. 9. 2021 Aktivnost dne: 8. 9. 2021

Izotop	Aktivnost (Bq)			Razmerje IJS ELME / NEK	Razmerje ZVD / NEK	Razmerje IJS ELME / ZVD
	IJS ELME	NEK	ZVD			
Cs-137	(2,1 ± 0,2) E+1	(2,1 ± 1,4) E+1	(2,2 ± 0,1) E+1	1,00	1,05	0,95

Oznake: IJS ELME – terenska meritev in terenska analiza
 NEK – laboratorijska meritev v NEK
 ZVD – laboratorijska meritev na ZVD

Opomba: za Be-7 in Cs-137 je bil opravljen tudi izračun ob predpostavki površinske porazdelitve depozita;

Tabela T6: Primerjava rezultatov meritev vzorca krmne silaže

Vzorčevalno mesto: Vrbinja / vzorec IARMA Geometrija: Φ 60×25
 Vrsta vzorca: silaža Enota: filter
 Datum vzorčenja: 8. 9. 2021 Aktivnost dne: 8. 9. 2021

Izotop	Aktivnost (Bq)	Aktivnost (Bq)	Razmerje IJS ELME / ZVD
	IJS ELME	ZVD	
Cs-134	(4,9 ± 0,6) E+1	(6,1 ± 0,4) E+1	0.80
Cs-137	(1,8 ± 0,1) E+3	(1,9 ± 0,1) E+3	0,95

Oznake: IJS ELME – terenska meritev in terenska analiza
 ZVD – laboratorijska meritev na ZVD


Tabela T7: Primerjalne meritve hitrosti okoljskega doznega ekvivalenta na terenu

Datum meritev: 8. 9. 2021

Lokacija: travnik na Vrbini (N 46,936° / E 15,534°)

Merska točka	Geografske koordinate	Čas	IJS ELME	ZVD	NEK	Razmerja		
			[$\mu\text{Sv/h}$]	[$\mu\text{Sv/h}$]	[$\mu\text{Sv/h}$]	IJS ELME / NEK	ZVD / NEK	IJS ELME / ZVD
			Automess 6150 AD (s scintilacijsko sondo)	Automess 6150 AD (s scintilacijsko sondo)	FH40G			
1	N 45,9358° E 15,5349°	11:45	0,090	0,10	0,107	0,84	0,93	0,90
2	N 45,9359° E 15,5342°	11:48	0,094	0,10	0,106	0,89	0,94	0,94
3	N 45,9356° E 15,5341°	11:51	0,092	0,10	0,095	0,97	1,05	0,92
4	N 45,9352° E 15,5346°	11:53	0,097	0,09	0,093	1,04	0,97	1,08
5	N 45,9350° E 15,5346°	11:57	0,064	0,07	0,087	0,74	0,80	0,91
6	N 45,9357° E 15,5336°	12:00	0,093	0,10	0,110	0,85	0,91	0,93
7	N 45,9361° E 15,5342°	12:03	0,098	0,10	0,087	1,13	1,15	0,98
8	N 45,9358° E 15,5347°	12:04	0,095	0,10	0,105	0,90	0,95	0,95
9	N 45,9357° E 15,5347°	12:08	1,06	1,10	0,965	1,10	1,14	0,96
10	N 45,9357° E 15,5347°	12:21	1,80	2,00	1,65	1,09	1,21	0,90

Opomba: V tabeli so pri vsaki ekipi rezultati meritev samo za en izbrani merilnik; rezultati meritev za vse uporabljene merilnike ekip IJS ELME in ZVD so v prilogah 4 in 5. Meritve so bile narejene na višini 1 m od tal. Meritev št. 8 je bila narejena na mestu, kjer je potekala meritev z mobilno sondo NEK GammaTracer. Meritvi št. 9 in 10 sta bili izvedeni na dveh "vročih" točkah, ki smo ju simulirali s točkastimi viri (Cs-137 na točki 9, Ba-133 na točki 10), pri meritvah pa smo si pomagali z distančnikom IJS ELME dolžine 12 cm. Merilna negotovost rezultatov IJS ELME je 25 % ($k = 1$) in ZVD 45 % ($k = 2$). Merilna negotovost za merilnik NEK je tipično <5 % in največ 20 % ($k=1$).



5.4 POSEBNE MERITVE IN RUTINSKE MERITVE NA TERENU

Tabela T8: Meritve aktivnosti Ba-133 v fantomu s simulirano ščitnico
Certificirana aktivnost je preračunana na 7. 9. 2021

Datum aktivnosti: 7. 9. 2021

Izotop	Aktivnost (Bq)				
	IJS ELME	NEK	ZVD	CERTIFIKAT	
Ba-133	$(1,5 \pm 0,5) E+5$	$(1,46 \pm 0,19) E+5$	$(1,4 \pm 0,5) E+5$	1,34 E+5	
Razmerja med laboratoriji			Primerjava s certificirano vrednostjo (LABORATORIJ / CERTIFIKAT)		
IJS ELME / NEK	ZVD / NEK	IJS ELME / ZVD	IJS ELME	NEK	ZVD
1,03	0,96	1,07	1,12	1,09	1,04

Oznake: IJS ELME – terenska meritev in terenska analiza
 ZVD – terenska meritev in terenska analiza
 NEK – laboratorijska meritev.

Tabela T9: Meritve radionuklidov v telesu

Datum meritve: 7. 9. 2021

Izotop	WBC StandFast
	Aktivnost (Bq)
K-40	$(1,9 \pm 0,9) E+3$



Tabela T10a: Meteorološke meritve - Vrbina, meritve IJS ELME

Lokacija: Vrbina

Datum: 8. 9. 2021

GPS koordinate: N 45,9361° / E 15,5345°

Količina padavin v času meritev: Brez padavin

ČAS (hh:mm)	VETER		ZRAK		ZRAČNI TLAK (hPa)
	HITROST (m/s)	SMER (°)	TEMP. (°C)	REL. VLAGA (%)	
9:15	0,0	300	17,4	79	1002,8
10:04	1,1	164	19,9	61	1002,8
10:50	0,0	286	21,6	57	1002,7
11:35	2,2	155	24,2	45	1002,4
12:19	0,0	95	25,9	37	1002,1
13:10	0,0	269	26,3	32	1001,7
13:23	2,2	150	26,6	32	1001,8
13:27	2,2	98	26,6	31	1001,8
13:30	2,2	98	26,9	30	1001,7
13:33	0,0	255	26,8	30	1001,7

Tabela T10b: Meteorološke meritve - Vrbina, povzetek meritev ZVD

Lokacija: Vrbina

Datum: 8. 9. 2021

GPS koordinate: N 45,9358° / E 15,5345°

	Najvišje	Najnižje	Povprečje		Najvišje	Najnižje	Povprečje
Temperatura	22,8 °C	15,1 °C	20,8 °C	Hitrost vetra	14,3 km/h	0,0 km/h	0,1 km/h
Rosišče	15,4 °C	11,2 °C	13,3 °C	Sunki vetra	17,5 km/h	–	0,2 km/h
Vlažnost	78 %	55 %	63 %	Smer vetra	–	–	ESE
Padavine	–	–	–	Tlak	1012,9 hPa	1012,9 hPa	–

Tabela T11: Prejeti dodatni osebni dozni ekvivalenti članov ekipe IJS ELME med obhodom, zabeleženi z elektronskimi dozimetri MGP, model DMC2000S

Člani	Datum	Doza (mSv)	Datum	Doza (mSv)	Datum	Doza (mSv)
Benjamin Zorko	6. 9. 2021	0	7. 9. 2021	0	8. 9. 2021	0
Boštjan Črnič	6. 9. 2021	0	7. 9. 2021	0	8. 9. 2021	0
Petra Prem	6. 9. 2021	0	7. 9. 2021	0	8. 9. 2021	0
Tanja Murn	6. 9. 2021	0	7. 9. 2021	0	8. 9. 2021	0



6 PRILOGE¹

1. *Poročilo o rezultatih meritev aktivnosti sevalcev gama, poročilo št. 48/2021* za meritve vsebnosti radionuklidov s spektrometrijo gama – IJS ELME
2. *Poročilo o rezultatih meritev aktivnosti sevalcev gama, poročilo št. 49/2021* za meritve vsebnosti radionuklidov s spektrometrijo gama – IJS ELME
3. *Poročilo o rezultatih meritev aktivnosti sevalcev gama, poročilo št. 50/2021* za meritve kontaminacije tal s spektrometrijo gama in-situ – IJS ELME
4. *Poročilo o meritvah ionizirajočega sevanja, poročilo št. 51/2021* za meritve hitrosti doze in površinske kontaminacije – IJS ELME
5. *Poročilo o meritvah sevalnih razmer, poročilo št. LMSAR-68/2021-MP* za meritve hitrosti doze in površinske kontaminacije – ZVD
6. *Poročilo o spektrometriji gama, poročilo št. MLA012-21* za meritve vsebnosti radionuklidov s spektrometrijo gama – NEK
7. *Poročilo o spektrometriji gama, poročilo št. MLA010-21* za meritve vsebnosti radionuklidov s spektrometrijo gama – NEK
8. *Poročilo o spektrometriji gama, poročilo št. 914-21* za meritve vsebnosti radionuklidov s spektrometrijo gama – NEK

¹ Vse dodatne podrobnosti o obhodu za IJS ELME so zbrane v Dnevniku ELME in v arhivu ELME, za ZVD v arhivu ZVD in za NEK v arhivu NEK.



**POROČILO O REZULTATIH MERITEV
AKTIVNOSTI SEVALCEV GAMA**

**REPORT ON GAMMA-RAY EMITTERS
ACTIVITY MEASUREMENTS**



**SLOVENSKA
AKREDITACIJA**
SIST EN ISO/IEC 17025
LP-022

Številka
Number **48/2021**

Stran: 1 **od** 3
Page: 1 *of* 3

Naročnik
Customer

Nuklearna elektrarna Krško (NEK)
Vrbina 12, 8270 KRŠKO

Naslov in številka pogodbe
Customer contract title and number

**Vzdrževanje pripravljenosti izrednega monitoringa
radioaktivnosti ELME za leta 2020, 2021, 2022 in 2023**
Pogodba št. 3192191 (Z-8190910) z dne 8. 1. 2020

Vrsta meritev
Measurement type

Meritve vsebnosti radionuklidov z visokoločljivostno
spektrometrijo gama v Mobilnem radiološkem
laboratoriju (MRL)
*Measurements of radionuclide activities with high
resolution gamma-ray spectrometry in Mobile
radiological laboratory (MRL)*

Datum meritev
Measurement date

7. 9. 2021

Kraji meritev
Measurement locations

NEK, Vrbina 2, 8270 Krško

Merska metoda
Method of measurement

Meritve vsebnosti radionuklidov z visokoločljivostnim
spektrometrom gama po postopku *Visokoločljivostna
spektrometrija gama v mobilnem radiološkem
laboratoriju ELME-DN-12 (ver. 13 / jul. 2019)*

*High resolution gamma-ray spectrometry following the
procedure ELME-DN-12 (ver. 13 / Jul. 2019)*


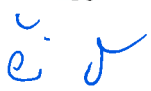
<p>Poročilo pripravil <i>Report prepared by</i></p> <p></p> <p>doc. dr. Benjamin Zorko</p>	<p>Poročilo odobril <i>Report approved by</i></p> <p></p> <p>Boštjan Črnič, mag. med. fiz</p>	<p>Datum izdaje <i>Date of issue</i></p> <p>7. 9. 2021</p>
---	--	--

Tabela 1: Meritve aktivnosti v aerosolnem filtru

Vzorčevalno mesto: NEK – Analytics A37841 Geometrija: Φ 58×1
Vrsta vzorca: aerosolni filter Datum aktivnosti: 7. 9. 2021
Datum vzorčevanja: 7. 9. 2021 Detektor: EL
Datum meritve: 7. 9. 2021
Ura začetka meritve: 11:00
Čas meritve: 760 s

AEROSOLNI FILTER ANALYTICS (oznaka vzorca E21-AE-91)	
Izotop	Koncentracija aktivnosti (Bq/ filter)
	MRL_{TT}
Cr-51	(1,3 ± 0,1) E+4
Mn-54	(6,4 ± 0,5) E+3
Co-58	(5,6 ± 0,4) E+3
Fe-59	(5,4 ± 0,3) E+3
Co-60	(7,2 ± 0,4) E+3
Zn-65	(7,7 ± 0,5) E+3
Cs-134	(4,1 ± 0,2) E+3
Cs-137	(5,5 ± 0,4) E+3
Cs-138	(5,1 ± 2,2) E+2
Ce-141	(6,2 ± 0,6) E+3

Oznake: MRL_{TT} = terenska meritvev in terenska analiza

Tabela 2: Meritve aktivnosti v oglenem filtru

Vzorčevalno mesto:	NEK – Analytics A37846	Geometrija:	Φ 46×4
Vrsta vzorca:	ogleni filter	Datum aktivnosti:	7. 9. 2021
Datum vzorčevanja:	7. 9. 2021	Detektor:	EL
Datum meritve:	7. 9. 2021		
Ura začetka meritve:	10:20		
Čas meritve:	1230 s		

AEROSOLNI FILTER ANALYTICS (oznaka vzorca E21-JD-91)	
Izotop	Koncentracija aktivnosti (Bq/ filter)
	MRL _{TT}
I-131	(4,7 ± 0,3) E+3

Oznake: MRL_{TT} = terenska meritev in terenska analiza

Splošne opombe:

General remarks:

- Specifične aktivnosti sevalcev gama so preračunane na datum vzorčevanja.
Specific activities of gamma-ray emitters are calculated back to the sampling date.
- Število, ki sledi znaku ±, je številna vrednost združene standardne negotovosti specifične aktivnosti in se nanaša na interval zaupanja z 68 % zanesljivostjo (k = 1).
The number following the ± symbol is the numerical value of the combined standard uncertainty of the specific activity and corresponds to the confidence interval with a 68 % confidence (k = 1).
- Poročane negotovosti so izračunane v skladu z vodili GUM (2008).
The reported uncertainties are calculated in accordance with GUM (2008).
- Aktivnosti, navedene v poročilu, se nanašajo le na izmerjeni vzorec in ne na celoten vzorčevani material.
The activities reported refer only to the measured sample only and not to the bulk material subject to sampling.
- Merilna negotovost vzorčenja ni vključena v skupno merilno negotovost.
The sampling uncertainty is not included in the uncertainty budget.
- Analiziran je bil celoten odvzet vzorec.
The whole taken sample material was analysed.

Če želite dodatna pojasnila, nas prosim pokličite.
In case you have any questions, please do not hesitate to contact us.



**POROČILO O REZULTATIH MERITEV
AKTIVNOSTI SEVALCEV GAMA**
**REPORT ON GAMMA-RAY EMITTERS
ACTIVITY MEASUREMENTS**



**SLOVENSKA
AKREDITACIJA**
SIST EN ISO/IEC 17025
LP-022

Številka
Number **49/2021**

Stran: 1 od 4
Page: 1 of 4

Naročnik
Customer

Nuklearna elektrarna Krško (NEK)
Vrbina 12, 8270 KRŠKO

Naslov in številka pogodbe
Customer contract title and number

**Vzdrževanje pripravljenosti izrednega monitoringa
radioaktivnosti ELME za leta 2020, 2021, 2022 in 2023**
Pogodba št. 3192191 (Z-8190910) z dne 8. 1. 2020

Vrsta meritev
Measurement type

Meritve vsebnosti radionuklidov z visokoločljivostno
spektrometrijo gama v Mobilnem radiološkem
laboratoriju (MRL)
*Measurements of radionuclide activities with high
resolution gamma-ray spectrometry in Mobile
radiological laboratory (MRL)*

Datum meritev
Measurement date

8. 9. 2021

Kraji meritev
Measurement locations

Vrbina
(N 45,9358, E 15,5346)

Merska metoda
Method of measurement

Meritve vsebnosti radionuklidov z visokoločljivostnim
spektrometrom gama po postopku *Visokoločljivostna
spektrometrija gama v mobilnem radiološkem
laboratoriju ELME-DN-12 (ver. 13 / jul. 2019)*
*High resolution gamma-ray spectrometry following the
procedure ELME-DN-12 (ver. 13 / Jul. 2019)*



<p>Poročilo pripravil <i>Report prepared by</i></p> <p></p> <p>doc. dr. Benjamin Zorko</p>	<p>Poročilo odobril <i>Report approved by</i></p> <p></p> <p>Boštjan Črnič, mag. med. fiz.</p>	<p>Datum izdaje <i>Date of issue</i></p> <p>8. 9. 2021</p>
---	---	--

Tabela 1: Meritve aktivnosti v vzorcu zemlje

Vzorčevalno mesto: Vrčina
Vrsta vzorca: zemlja
Datum vzorčevanja: 8. 9. 2021
Datum meritve: 8. 9. 2021
Ura začetka meritve: 10:53
Čas meritve: 2400 s

Geometrija: Φ 90×54
Datum aktivnosti: 8. 9. 2021
Detektor: EL

ZEMLJA (oznaka vzorca E21-ZN-91)	
Izotop	Specifična aktivnost (Bq/kg)
	MRL_{TT}
K-40	(4,8 ± 0,5) E+2
Cs-137	(5,6 ± 0,5) E+1
Ra-226	(1,0 ± 0,3) E+2
Ra-228	(4,2 ± 0,7) E+1
Th-228	(4,6 ± 0,6) E+1

Oznake: MRL_{TT} = terenska meritvev in terenska analiza

Tabela 2: Meritve aktivnosti v aerosolnem filtru

Vzorčevalno mesto: Vrbinja / IARMA Geometrija: Φ 48×1,4
Vrsta vzorca: simuliran aerosolni filter Datum aktivnosti: 8. 9. 2021
Datum vzorčevanja: 8. 9. 2021 Detektor: EL
Datum meritve: 8. 9. 2021
Ura začetka meritve: 12:25
Čas meritve: 2400 s

AEROSOLNI FILTER IARMA (sample 07a&07b) (oznaka vzorca E21-AE-92)	
Izotop	Koncentracija aktivnosti (Bq/ filter)
	MRL_{TT}
Cs-137	(2,1 ± 0,2) E+1

Oznake: MRL_{TT} = terenska meritvev in terenska analiza

Tabela 3: Meritve aktivnosti v simulirani silaži

Vzorčevalno mesto:	Vrbina / IARMA	Geometrija:	Φ 60×25
Vrsta vzorca:	simulirana silaža	Datum aktivnosti:	8. 9. 2021
Datum vzorčevanja:	8. 9. 2021	Detektor:	EL
Datum meritve:	8. 9. 2021		
Ura začetka meritve:	11:36		
Čas meritve:	2400 s		

SIMULIRANA SILAŽA IARMA (sample 04) (oznaka vzorca E21-KRM-91)	
Izotop	Specifična aktivnost (Bq/kg) #
	MRL _{TT}
Cs-134	(4,9 ± 0,6) E+1
Cs-137	(1,8 ± 0,1) E+3

Oznake: MRL_{TT} = terenska meritev in terenska analiza

(†) Rezultat meritve je pod mejo detekcije.

Splošne opombe:

General remarks:

- Specifične aktivnosti sevalcev gama so preračunane na datum vzorčevanja.
Specific activities of gamma-ray emitters are calculated back to the sampling date.
- Število, ki sledi znaku ±, je številska vrednost združene standardne negotovosti specifične aktivnosti in se nanaša na interval zaupanja z 68 % zanesljivostjo ($k = 1$).
The number following the ± symbol is the numerical value of the combined standard uncertainty of the specific activity and corresponds to the confidence interval with a 68 % confidence ($k = 1$).
- Poročane negotovosti so izračunane v skladu z vodili GUM (2008).
The reported uncertainties are calculated in accordance with GUM (2008).
- Aktivnosti, navedene v poročilu, se nanašajo le na izmerjeni vzorec in ne na celoten vzorčevani material.
The activities reported refer only to the measured sample only and not to the bulk material subject to sampling.
- Merilna negotovost vzorčenja ni vključena v skupno merilno negotovost.
The sampling uncertainty is not included in the uncertainty budget.
- Analiziran je bil celoten odvzet vzorec.
The whole taken sample material was analysed.

Če želite dodatna pojasnila, nas prosim pokličite.
In case you have any questions, please do not hesitate to contact us.

¶



POROČILO O REZULTATIH MERITEV AKTIVNOSTI SEVALCEV GAMA

REPORT ON GAMMA-RAY EMITTERS ACTIVITY MEASUREMENTS

Številka
Number 50/2021 Stran:
Page: 1 od
of 2

Naročnik
Customer Nuklearna elektrarna Krško (NEK)
Vrbina 12, 8270 KRŠKO

Naslov in številka pogodbe
Customer contract title and number Vzdrževanje pripravljenosti izrednega monitoringa
radioaktivnosti ELME za leta 2020, 2021, 2022 in 2023
Pogodba št. 3192191 (Z-8190910) z dne 8. 1. 2020

Vrsta meritev
Measurement type Meritve kontaminacije tal s spektrometrijo gama in-
situ Measurements of the surface contamination with
in-situ gamma ray spectrometry

Datum meritev
Measurement date 8. 9. 2021

Kraji meritev
Measurement locations Vrbina
(N 45,9356°, E 15,5341°)

Merska metoda
Method of measurement Meritve in-situ z visokoločljivostnim spektrometrom
gama po postopku Meritve in-situ s prenosnim
spektrometrom gama ELME-DN-14 (ver. 10 / maj 2019)
In-situ measurements with high resolution gamma-ray
spectrometer following the procedure ELME-DN-14
(ver. 10 / May 2019)



Poročilo pripravil Report prepared by  doc. dr. Benjamin Zorko	Poročilo odobril Report approved by  Boštjan Črnič, mag. med. fiz.	Datum izdaje Date of issue 8. 9. 2021
--	--	---

Tabela 1: Rezultati in-situ meritve na travniku v Vrbini
Predpostavljena je enakomerna porazdelitev radionuklidov.

Kraj meritve: Vrbina Geometrija: in-situ, enakomerna 200 m
Datum meritve: 8. 9. 2021 Datum aktivnosti: 8. 9. 2021
Ura meritve: 09:15 Detektor: EL

Specifična aktivnost (Bq/kg) (Enakomerna porazdelitev)					
Th-228	Ra-228	Ra-226	K-40	Cs-137	Be-7
(3,3±0,3) E+1	(3,0 ± 0,3) E+1	(4,7 ± 0,5) E+1	(3,9 ± 0,4) E+2	(3,9 ± 0,5) E+1	(1,1 ± 0,3) E+1

Tabela 2: Rezultati in-situ meritve na travniku v Vrbini
Predpostavljena je površinska porazdelitev radionuklidov.

Kraj meritve: Vrbina Geometrija: in-situ, površinska 200 m
Datum meritve: 8. 9. 2021 Datum aktivnosti: 8. 9. 2021
Ura meritve: 09:15 Detektor: EL

Koncentracija aktivnosti (Bq/m ²) (Površinska porazdelitev)	
Cs-137	Be-7
(1,4 ± 0,3) E+3	(3,5 ± 1,0) E+2

Splošne opombe:

General remarks:

- Specifične aktivnosti sevalcev gama so preračunane na datum meritve.
Specific activities of gamma-ray emitters are calculated to the measurement date.
- Število, ki sledi znaku ±, je številna vrednost združene standardne negotovosti specifične aktivnosti in se nanaša na interval zaupanja z 68 % zanesljivostjo ($k = 1$).
The number following the ± symbol is the numerical value of the combined standard uncertainty of the specific activity and corresponds to the confidence interval with a 68 % confidence ($k = 1$).
- Poročane negotovosti so izračunane v skladu z vodili GUM (2008).
The reported uncertainties are calculated in accordance with GUM (2008).
- Rezultati meritev se nanašajo le na lokacijo, kjer je bila meritev opravljena.
Measurement results represent above stated measurement location only.

Če želite dodatna pojasnila, nas prosim pokličite.
In case you have any questions, please do not hesitate to contact us.

¶

Tabela 1

Uporabljeni merilniki / Instruments used

Oznaka Label	Vrsta Type	Ime Name	Ser. št. Ser. No.
HD1	merilnik hitrosti doze	Automess / SCINT – ELME 1	153688 / 152975
HD2	merilnik hitrosti doze	Automess / SCINT – ELME 2	163413 / 164489
HD3	merilnik hitrosti doze	Victoreen 451P	4098
HD4	merilnik hitrosti doze	Reuter Stokes 131	06D137665
HD5	merilnik hitrosti doze	Teletektor ELME 1	167359
K1	merilnik kontaminacije	Berthold LB 124 – ELME 1	10-11384
K2	merilnik kontaminacije	Berthold LB 124 – ELME 2	10-11494
K3	merilnik kontaminacije	CoMo 170	5613

Tabela 2

Meritve hitrosti doze, datum meritev 6. 9. 2021

Measurements of dose rate, measurement date 6. 9. 2021

MERSKA TOČKA		HITROST DOZE			GEOGRAFSKE KOORDINATE	OPIS MERSKE TOČKE
		OZNAKA MERILNIKA**				
		HD1	HD2	HD4		
		γ (μ Sv/h)	γ (μ Sv/h)	γ (μ Sv/h)		
1*	SUPERNOVA KRŠKO	0,043	0,049	0,050	N 45,9316, E 15,4846	AS
2	GASILCI KRŠKO	0,076	0,065	0,068	N 45,9561, E 15,4896	BE
3	BREGE T11D2	0,090	0,092	0,058	N 45,9199, E 15,4971	TR, BE
4	GMAJNICE ZN11	0,066	0,074	0,074	N 45,9227, E 15,5406	TR
5	BORŠT T8E1	0,097	0,103	0,095	N 45,8879, E 15,5477	TR
6	KUSOVA VRBINA ZN2	0,072	0,088	0,078	N 45,8957, E 15,6008	TR
7	MOSTEC BROD	0,069	0,070	0,068	N 45,8965, E 15,6271	TR
8	AMERIKA ZN3	0,065	0,083	0,064	N 45,9333, E 15,5537	TR
9	VRBINA	0,076	0,077	0,071	N 45,9364, E 15,3358	TR
10	LOVSKI DOM LIBNA	0,081	0,095	0,061	N 45,9460, E 15,4935	TR

OZNAKE MERSKIH TOČK: AS asfalt TR trava
BE beton

* Tipična vrednost naravnega ozadja je podana v prvi vrstici tabele.
Typical background value is given in the first row of the table.

** Oznaka merilnika in podatki o merilnikih so v tabeli 1.
Labels and descriptions of instruments used are in Table 1.

Tabela 3

Meritve površinske kontaminacije, datum meritev 6. 9. 2021
Measurements of surface contamination, measurement date 6. 9. 2021

MERSKA TOČKA		POVRŠINSKA KONTAMINACIJA**						GEOGRAFSKE KOORDINATE	OPIS MERSKE TOČKE
		OZNAKA MERILNIKA***							
		K1		K2		K3			
		α (s ⁻¹)	$\beta + \gamma$ (s ⁻¹)	α (s ⁻¹)	$\beta + \gamma$ (s ⁻¹)	α (s ⁻¹)	$\beta + \gamma$ (s ⁻¹)		
1*	SUPERNOVA KRŠKO	0,1	5,2	0,1	4,8	0	11,9	N 45,9316, E 15,4846	AS
2	GASILCI KRŠKO	0,03	8,2	0,05	6,5	0	14,5	N 45,9561, E 15,4896	BE
3	BREGE T11D2	0,1	8,4	0,1	8,8	0	15,5	N 45,9199, E 15,4971	VP
4	GMAJNICE ZN11	0,02	8,5	0,15	8,4	0	13,6	N 45,9227, E 15,5406	TR
5	BORŠT T8E1	0,1	13,5	0,02	15,8	0	18,1	N 45,8879, E 15,5477	TR
6	KUSOVA VRBINA ZN2	0,01	11,0	0,01	8,4	0	14,0	N 45,8957, E 15,6008	TR
7	MOSTEC BROAD	0,01	8,8	0,02	8,5	0,1	12,6	N 45,8965, E 15,6271	TR
8	AMERIKA ZN3	0	10,7	0	9,7	0	13,6	N 45,9333, E 15,5537	TR
9	VRBINA	0,04	11,2	0,01	9,0	0	15,5	N 45,9364, E 15,3358	TR
10	LOVSKI DOM LIBNA	0,02	12,9	0	13,3	0	17,5	N 45,9460, E 15,4935	TR

OZNAKE MERSKIH TOČK:

AS asfalt
BE beton

TR trava
VP vazelinska plošča

- * Tipična vrednost naravnega ozadja je podana v prvi vrstici tabele.
Typical background value is given in the first row of the table.
- ** Za tipične sevalce beta se privzame, da kontaminacija ni prisotna, kadar meritev ne presega naravnega ozadja za več kot 5 cps.
For typical beta emitters it is assumed that contamination is not present when the measurement does not exceed the background value for more than 5 cps values.
- *** Oznaka merilnika in podatki o merilnikih so v tabeli 1.
Labels and descriptions of instruments used are in Table 1.

Tabela 4

Meritve hitrosti doze, datum meritev 8. 9. 2021

Measurement of dose rate, measurement date 8. 9. 2021

MERSKA TOČKA	HITROST DOZE				GEOGRAFSKE KOORDINATE
	OZNAKA MERILNIKA				
	HD1	HD2	HD3	HD5	
	γ ($\mu\text{Sv/h}$)	γ ($\mu\text{Sv/h}$)	γ ($\mu\text{Sv/h}$)	γ ($\mu\text{Sv/h}$)	
1*	0,090	0,100	0,11	0,11	N 45,9358, E 15,5349
2	0,094	0,100	0,13	0,13	N 45,9359, E 15,5342
3	0,092	0,100	0,05	0,07	N 45,9356, E 15,5341
4	0,097	0,100	0,10	0,07	N 45,9352, E 15,5346
5	0,064	0,067	0,05	0,06	N 45,9350, E 15,5346
6	0,093	0,096	0,13	0,06	N 45,9357, E 15,5336
7	0,098	0,096	0,15	0,04	N 45,9361, E 15,5342
8	0,095	0,098	0,15	0,07	N 45,9358, E 15,5347
9 – VIR 1	1,06	1,00	1,0	1,0	N 45,9357, E 15,5347
10 – VIR 2	1,80	1,68	1,8	1,9	N 45,9357, E 15,5347

* Tipična vrednost naravnega ozadja je podana v prvi vrstici tabele.
Typical background value is given in the first row of the table.

Opomba Merilne negotovosti so za hitrost doze 25 % in za kontaminacijo 40 % z intervalom
Remark zaupanja z 68 % zanesljivostjo ($k = 1$). Izračunane so v skladu z vodili GUM (2008).
Measurement uncertainties are 25 % for dose rate and 40 % for contamination with
confidence interval of 68 % ($k = 1$). Uncertainties are calculated in accordance with
GUM (2008).

Če želite dodatna pojasnila, nas prosim pokličite.
In case you have any questions, please do not hesitate to contact us.





Center za fizikalne meritve

Centre for Physical Measurements

Laboratorij za meritve specifičnih aktivnosti radionuklidov

Laboratory for Measurements of Specific Activities of Radionuclides

Št. poročila:
Report number:

LMSAR-68/2021-MP

Datum:
Date:

09.09.2021

Poročilo o meritvah sevalnih razmer *Report on measurement of radiological conditions*

Naročnik: <i>Client:</i>	Nuklearna elektrarna Krško (NEK) Vrbina 12, 8270 KRŠKO
Vzorčil: <i>Sampled by:</i>	Peter Jovanovič, Boštjan Drolc, Jaka Kovač
Naročilo: <i>Order No.:</i>	Pogodba št. 3192262 za Mobilno enoto ZVD za terenske meritve za leta 2020, 2021, 2022 in 2023
Poslano: <i>Sent to:</i>	1 × naročnik / <i>client</i> 1 × arhiv ZVD / <i>archive ZVD</i>
Meritve opravil: <i>Measurements performed by:</i>	mag. Boštjan Drolc, univ. dipl. fiz. <i>podpis/signature</i>
Poročilo izdelal: <i>Report prepared by:</i>	Manca Podvratnik, univ. dipl. fiz. <i>podpis/signature</i>
Pregledal in odobril: <i>Reviewed and approved by:</i>	dr. Marko Giacomelli, univ. dipl. fiz. <i>podpis/signature</i>

□ Meritve hitrosti doz

Meritve hitrosti doz so bile izvedene po internem delovnem postopku delovnem postopku ZVD oznaka DP-LDOZ-4.01 (Ver. 7): Merjenje doze in hitrosti doze s prenosnimi merilniki ionizirajočega sevanja.

Negotovost meritve dozne hitrosti je navedena v postopku DP-LDOZ-4.01 (Ver. 7) in jo poročamo na zahtevo naročnika.

Measurements of dose rates

Dose rate measurements were carried out in accordance with ZVD working procedure number DP-LDOZ-4.01 (Ver. 7): Dose and dose rate measurements with portable detectors of ionizing radiation.

The uncertainty is estimated in DP-LDOZ-4.01 (Ver. 7), and is reported only on request of the client.

□ Meritve kontaminacije

Meritve kontaminacije so bile izvedene po internem delovnem postopku ZVD oznaka DP-LDOZ-4.03 (Rev. 5): Merjenje površinske kontaminacije. Privzeti izotop za izračun kontaminacije je izotop radioaktivnega vira, v kolikor ni posebej podan v stolpcu z opombami.

Negotovost meritev kontaminacije je navedena v postopku DP-LDOZ-4.03 in jo poročamo na zahtevo naročnika.

Measurements of contamination

Contamination measurements were carried out in accordance with ZVD working procedure number DP-LDOZ-4.03 (Rev. 5): Measurements of surface contamination. The default isotope for calculation of contamination in the isotope of the radioactive source unless stated otherwise in the table.

The uncertainty is also estimated in DP-LDOZ-4.03 (Rev. 5), and is reported only on request of the client.

Tabela 1 Meritve hitrosti doz in kontaminacije (vzorčevalne točke) / Measurements of dose rates and contamination (sampling sites)

Vrsta meritve <i>Measurement type</i>		Sevanje gama	Sevanje gama	Sevanje gama+beta	Sevanje gama+beta
Merilnik <i>Device</i>		Automess 6150 AD-B Št. 109847 (107006)	Victoreen 451P (144) Št. 9746	Berthold LB 124 (97) Št. 10-7055 (6988)	Berthold LB 124 Scint Št. 10-1067 (10030)
Geometrija meritve <i>Measurement geometry</i>		1 m od tal	1 m od tal	Kontaktna meritev	Kontaktna meritev
Datum meritve <i>Date of measurement</i>		06.09.2021	06.09.2021	06.09.2021	06.09.2021
Merilno mesto <i>Location</i>	Koordinate <i>Coordinates</i>	Hitrost doze <i>Dose rate (μSv/h)</i>	Hitrost doze <i>Dose rate (μSv/h)</i>	Kontaminacija <i>Contamination (cps)</i>	Kontaminacija <i>Contamination (cps)</i>
Spar, Krško	N 45,9385° E 15,4849°	0,06	0,1	7,7	4,8
Civilna zaščita Krško	N 45,9562° E 15,4895°	0,07	0,1	8,6	6,5
Brege 52	N 45,9199° E 15,4971°	0,09	0,1	10,8	6,9
Gmanjnice (ZN11)	N 45,9227° E 15,5406°	0,06	0,1	8,5	6,5
Boršt (T8E1)	N 45,8878° E 15,5477°	0,11	0,1	16,6	12,0
Kusova Vrbina (ZN2)	N 45,8957° E 15,6008°	0,09	0,1	12,1	8,3
Brod Mostec	N 45,8964° E 15,6272°	0,06	0,1	9,1	6,5
Amerika	N 45,9333° E 15,5537°	0,09	0,1	11,1	6,5
Vrbina	N 45,9363° E 15,5359°	0,08	0,1	14,7	8,8
Libna, Lovski dom	N 45,9536° E 15,5132°	0,09	0,1	18,1	12,8

Tabela 2 Meritve hitrosti doz in kontaminacije (terensko merjenje) / Measurements of dose rates and contamination (field monitoring)

Vrsta meritve <i>Measurement type</i>		Sevanje gama	Sevanje gama
Merilnik <i>Device</i>		Automess 6150 AD-B Št. 109847	Spir Ace Št. 19014363
Geometrija meritve <i>Measurement geometry</i>		1 m od tal	1 m od tal
Datum meritve <i>Date of measurement</i>		08.09.2021	08.09.2021
Merilno mesto <i>Location</i>		Hitrost doze <i>Dose rate (μSv/h)</i>	Hitrost doze <i>Dose rate (μSv/h)</i>
Vrbina - točka 1 45,9358° 15,4345°		0,10	0,07
Vrbina - točka 2 45,9359° 15,5342°		0,10	0,08
Vrbina - točka 3 45,9356° 15,5341°		0,10	0,07
Vrbina - točka 4 45,9352° 15,5345°		0,09	0,08
Vrbina - točka 5 45,9350° 15,5346°		0,07	0,05
Vrbina - točka 6 45,9357° 15,5337°		0,10	0,06
Vrbina - točka 7 45,9361° 15,5341°		0,10	0,07
Vrbina - točka 8 45,9358° 15,5347°		0,10	0,07
Vrbina - točka 9 45,9357° 15,5346°		1,10*	1,02*
Vrbina - točka 10 45,9357° 15,5346°		2,00*	1,70*

* Meritev opravljena na razdalji 10 cm od vira



POROČILO O SPEKTROMETRIJI GAMA

št.: MLA012-21

Metoda meritve: ADP-1.7.025 rev.5, Metoda gama spektrometrije
 Postopek in plan vzorčenja: ADP-1.7.012 rev.3, Program medlaboratorijskih primerjalnih meritev

VZOREC:

Številka vzorca : MLA012-21
 Mesto in vrsta vzorca : HCC DET3 Filter papir 15cm
 Datum in čas vzorčenja : 7.9.21 (18:00)
 Volumen (m3) : 1.0
 Vzorčeval : Analytics
 Datum prejema vzorca : 07.09.2021

MERITEV:

V Mobilnem laboratoriju RZ.
 Datum meritve : 7.9.2021
 Čas meritve : 5000 sekund
 Datoteka spektra.cnf : MLA012-21-HCCDET3-FP15CM-1308
 Kalibracija : D3FP1-15CM_2021

RADIONUKLID	AKTIVNOST (Bq/)	NEGOTOVOST* (Bq/)
CR-51	1.18E+04 ±	6.19E+02
MN-54	5.88E+03 ±	1.96E+02
CO-58	5.44E+03 ±	1.87E+02
FE-59	4.86E+03 ±	1.44E+02
CO-60	6.68E+03 ±	1.59E+02
ZN-65	7.01E+03 ±	2.63E+02
X SB-122		
CS-134	4.25E+03 ±	1.05E+02
CS-137	5.09E+03 ±	2.10E+02
CE-141	5.51E+03 ±	1.93E+02

* razširjena standardna negotovost meritve, k=2
 # neakreditiran rezultat
 ? izbira nuklida ni dokončno odločena
 X nuklid je izločen z analizo interferenčnih vrhov

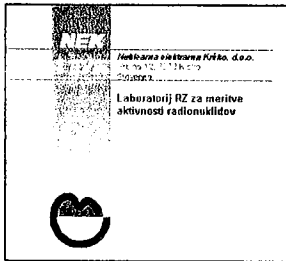
OPOMBE:
 A37841

(dodatki/odstopanja)

Pripravil:
 Urbanč Miro

Odobril/IP
 Vodja Laboratorija RZ

Datum: 7.9.2021



POROČILO O SPEKTROMETRIJI GAMA

št.: **MLA010-21**

Metoda meritve: ADP-1.7.025 rev.5, Metoda gama spektrometrije
 Postopek in plan vzorčenja: ADP-1.7.012 rev.3, Program medlaboratorijskih primerjalnih meritev

VZOREC:

Številka vzorca : MLA010-21
 Mesto in vrsta vzorca : Ogleni filter HCC A37846
 Datum in čas vzorčenja : 7.9.21 (8:00)
 Volumen (m3) : 1.0
 Vzorčeval : Analytics
 Datum prejema vzorca : 07.09.2021

MERITEV:

V Mobilnem laboratoriju RZ.
 Datum meritve : 7.9.2021
 Čas meritve : 2000 sekund
 Datoteka spektra.cnf : MLA010-21-PRIMIJSZVD-OF-0709
 Kalibracija : D30F1_2021

RADIONUKLID	AKTIVNOST (Bq/)	NEGOTOVOST* (Bq/)
I-131	4.30E+03 ±	8.83E+01
X XE-133		

- * razširjena standardna negotovost meritve, k=2
- # neakreditiran rezultat
- ? izbira nuklida ni dokončno odločena
- X nuklid je izločen z analizo interferenčnih vrhov

OPOMBE:

Primerjalne meritve IJS ZVD

(dodatki/odstopanja)

Pripravil:
 Mesiček, Trupej

Datum: 7.9.2021

Odobril/ID
 Vodja Laboratorija RZ

Poročilo o meritvah se razen v celoti ne sme razmnoževati brez pisnega dovoljenja Laboratorija RZ.

Konec poročila



POROČILO O SPEKTROMETRIJI GAMA

št.: 914-21

Metoda meritve: ADP-1.7.025 rev.5, Metoda gama spektrometrije
 Postopek in plan vzorčenja: ADP-1.7.012 rev.3, Program medlaboratorijskih primerjalnih meritev

Številka vzorca : 914-21
 Mesto in vrsta vzorca : Primerjalne meritve Filter papir
 Datum vzorca : 14.10.21 (11:00)
 Količina : 1.0
 Vzorčeval : IJS
 Poročilo pripravil : Urbanč Miro
 Datum analize : 14.10.2021
 Datoteka spektra.cnf : 914-21-PRIMMERIJS-FP-1410
 Kalibracija : D6FP1_2021

RADIONUKLID	AKTIVNOST (Bq/)	NEGOTOVOST* (Bq/)
CS-137	2.14E+01 ±	1.36E+01

* razširjena standardna negotovost meritve, k=2
 ? izbira nuklida ni dokončno odločena
 X nuklid je izločen z analizo interferenčnih vrhov

OPOMBE:

Merjena dva filter papirja (07a in 07b) skupaj.

Pripravil: Urbanč Miro

Vodja Laboratorija RZ

Datum: 14.10.2021

Borut Breznik

Poročilo o meritvah se razen v celoti ne sme razmnoževati brez pisnega dovoljenja Laboratorija RZ.

Konec poročila